La nécropole des Mastraits à Noisy-le-Grand (93) : rapport de triennal

Cyrille Le Forestier

▶ **To cite this version:**

Cyrille Le Forestier. La nécropole des Mastraits à Noisy-le-Grand (93) : rapport de triennal. Archéologie des nécropoles. 2023. ⟨hal-04222782⟩

HAL Id: hal-04222782

https://hal.science/hal-04222782v1

Submitted on 29 Sep 2023

HAL is a multi-disciplinary open access archive for the deposit and dissemination of scientific research documents, whether they are published or not. The documents may come from teaching and research institutions in France or abroad, or from public or private research centers.

L'archive ouverte pluridisciplinaire **HAL**, est destinée au dépôt et à la diffusion de documents scientifiques de niveau recherche, publiés ou non, émanant des établissements d'enseignement et de recherche français ou étrangers, des laboratoires publics ou privés.

HAL Authorization

2022

ARCHÉOLOGIE DES NÉCROPOLES

Rapport de triennale, fouille programmée (2019-2022)

La nécropole médiévale des Mastraits à Noisy-le-Grand (93)

sous la direction de Cyrille Le Forestier

DRAC ÎLE-DE-FRANCE
Liberté • Égalité • Fraternité RÉPUBLIQUE FRANÇAISE
Ministère Culture Communication

Inrap

TABLE DES MATIÈRES

11 LES DONNÉES ADMINISTRATIVES

23 1. CONTEXTE GÉNÉRAL

23 1.1 Contexte topographique
25 1.2. Historique de Noisy-le-Grand
39 1.4. Les sources écrites et cartographiques

42 2. LE CORPUS ET LES MÉTHODES

42 2.1. Le corpus
42 2.2. Les méthodes : anthropologie de terrain
42 2.2.1. La taphonomie (généralités)
43 2.2.2. Les contenants
43 2.2.3. Les éléments internes en matériau périssable
44 2.2.4. Les positions des membres
45 2.3. Les méthodes : anthropologie biologique
45 2.3.1. Détermination du sexe et de l'âge au décès
45 2.3.2. Estimation de l'état sanitaire et lésions osseuses
46 2.3.3. La métrique crânienne et post-crânienne
46 2.4 L'enregistrement
47 2.3.4. Les prélèvements ADN

49 3. LES FOUILLES DE 2019, 2021 ET 2022

49 3.1. Les circonstances de l'intervention
52 3.2. Les interventions
55 3.3. Le cimetière
55 3.3.1. La chronologie
63 3.4. Les pratiques funéraires
63 3.4.1. Les fosses
65 3.4.2 Les orientations
65 3.4.3 La position des corps
66 3.4.4 La gestion funéraire
85 3.5. Le recrutement funéraire
85 3.5.1. Répartition sexuelle
88 3.5.2. Répartition par âge au décès
91 3.5.3. La pathocènose
94 3.5.4. Les données anthropométriques

96 4. LES PROJETS EN LIEN AVEC LA FOUILLE DE LA NÉCROPOLE DES MASTRAITS DE NOISY- LE- GRAND

96 4.1 Le projet « archéologie et histoire des épidémies »
98 4.2 L'Action de Recherche Collective : Archéologie du handicap
100 4.3 La nécropole numérique
100 4.3.1 Acquisition numérique des données archeo-anthropologiques et spatiales
108 4.3.2. Les moyens accordés en 2022 ont permis au projet d'avancer de manière spectaculaire sur de nom breux sujets, brièvement résumés ci-dessous :

110 4.4. La recherche isotopique (texte de Valentin Miclon, UMR6273)

115 5. LA VALORISATION

115 5.1. Les visites
116 5.2. Les jeux
126 5.3. Les evénements patrimoniaux
126 5.3.1. Les Journées Européennes de l'Archéologie
130 5.3.2. Les journées européenes du Patrimoine
131 Bilan

137 6. LE BUDGET

137 6.1. La fouille
137 6.2. La valorisation

141 5. BILAN ET CONCLUSION GÉNÉRALE

141 5.1.Les objectifs et les résultats
141 5.1.1 Le corpus
141 5.1.2. Le PCR Archéologie des nécropoles mérovingiennes en Île-de-France
142 5.1.3. Les sarcophages et les fosses construites
143 5.1.4. Les analyses ADN
144 5.1.5. Le mobilier
145 5.2. Conclusion

149 BIBLIOGRAPHIE

156 ANNEXES

156 Annexe 1 : extrait de l'archive de 1771
161 Annexe 2 : le détail des analyses 14c

185 LE CATALOGUE

424 INVENTAIRE DES UNITÉS STRATIGRAPHIQUES

443 INVENTAIRE DU MOBILIER ARCHÉOLOGIQUE

455 INVENTAIRE DES DOCUMENTS ARCHÉOLOGIQUES

TABLE DES FIGURES

23 Fig.1 : Localisation de la commune de Noisy-le-Grand (C. Le Forestier, Inrap)

24 Fig.2 : Extrait de la carte géologique, BRGM, feuille XXIV-14

28 Fig.3 : Carte archéologique des alentours (les numéros sont cités dans le texte) (C. Le Forestier, Inrap)

30 Fig.4 : Sondage dans l'église Saint-Sulpice (E. Jacquot, CD93)

31 Fig.5 : Plan général des vestiges de la fouille de 2008-2009, nécropole des mastraits (M. Kérien CD93, C. Le Forestier, Inrap, N. Latsanopoulos, CD93)

32 Fig.6 : Photographie de l'église Saint-Sulpice (vers 1940)

33 Fig.7 : Plan des sondages de l'église Notre-Dame et Saint-Sulpice à Noisy-le-Grand (93) (M.Kérien , ADN)

33 Fig.8 : Vues des sépultures 001 et 003, rue Gambetta (P. Susini-Colin, CD93)

34 Fig.9 : Vue du diagnostic rue Gambetta (P. Susini-Colin, CD93)

35 Fig.10 : Plan des vestiges de la fouille de 2017 (Rue des Mastraits et abords immédiats) (C. Le Foresrtier, Inrap)

36 Fig.11 : Vue de la surveillance des travaux au niveau du 3 rue des Mastraits en 2018 (sarcophage en plâtre avec un sujet et un dépôt funéraire constitué d'un truelle). Une stèle a également été retrouvée. Il est dif ficle de l'associer à une structure (C. Le Forestier, Inrap)

37 Fig.12 : Plan général de la fouille programmée (2019 à 2022) (M. Kerien, ADN, C. Font, Inrap, C. Le Forestier, Inrap)

38 Fig.13 : Plan général des interventions aux abords de la nécropole des Mastraits à Noisy-le-Grand (C. Le Forestier, F. Barenghi, Inrap)

40 Fig.14 : Carte de l'Abbé Delagrive (1711) et localisation de la nécropole en rouge plein et de la fouille de 2008-2009

40 Fig.15 : Croix de Dame Ysabael, découverte à l'angle des rues Pierre Brossolette et du Docteur Sureau

44 Fig.16 : Position des membres supérieurs (C. Le Forestier, Inrap)

48 Fig.17 : Liste des échantillons humains transférés au Musée de l'Homme dans le cadre du projet BeDNA (P. Ehrhardt, MNHN)

50 Fig.18 : Plan général de la nécropole (état en juin 2022) (C. Font, C. Le Forestier, Inrap)

52 Fig.19 : Vue de la fouille en 2019 (C. Le Forestier, Inrap).

53 Fig.20 : Vue du décapage en 2021 (C. Le Forestier, Inrap)

54 Fig.21 : Vue du début de la fouille en juin 2021 (en haut) et en juin 2022 (en bas) (C. Le Forestier, Inrap)

55 Fig.22 : Tracé hypothétique (en tireté) du fossé 2054 (en trait plein). En noir, les sépultures datées entre le VI^{e} et le milieu du VIII^{e} siècles et en bleu les sépultures datées de la seconde moitié du VIII^{e} siècle au XII^{e}-XIII^{e} siècles (C. Le Forestier, C. Seng, Inrap).

56 Fig.23 : Radier observé lors des fouilles de 2008-2009 (en haut à gauche), de 2017 (en haut à droite) et de 2022 (en bas) (C. Le Forestier, Inrap).

57 Fig.24 : inhumations datées par 14$^{C.}$ (C.Font et C. Le Forestier, Inrap).

58 Fig.25 : Inhumation 811 (C. Le Forestier, Inrap)

59 Fig.26 : Exemple d'une sépulture de la phase 2 (I.884) (C. Le Forestier, Inrap)

60 Fig.27 : Exemple de sépulture de la phase 3 (I.916) (C. Le Forestier, Inrap)

61 Fig.28 : Plan par phases (selon la typologie des pratiques funéraires) (C. Font, C. Le Forestier, Inrap)

62 Fig.29 : Diagramme stratigraphique (C. Le Forestier, Inrap)

64 Fig.30 : Dimensions des fosses sépulcrales, numfait correspond au numéro de la sépulture (C. Le Forestier, Inrap)

65 Fig.31 : Degré d'orientation des individus (toutes périodes confondues) (C. Font, Inrap)

66 Fig.32 : Degré de fléchissement des avant-bras et phase d'inhumation (C. Le Forestier, Inrap)

66 Fig.33 : Nombre de cas par type de gestion funéraire (C. Font, C. Le Forestier, Inrap)

67 Fig.34 : Répartition des différentes pratiques funéraires (C. Font, C. Le Forestier, Inrap)

68 Fig.35 : Liste des sarcophages et caractéristiques, numfait correspond au numéro de sépultures (C. Le Forestier, Inrap).

69 Fig.36 : Vues du sarcophage MAS8274 (I.920) (C. Le Forestier).
70 Fig.37 : Dimensions de la cuve MAS8274 (I.920) (C. Le Forestier, Inrap)
70 Fig.38 : Détail de la cuve MAS8274 et des enduits de rebouchage (C. Le Forestier, Inrap).
71 Fig.39 : Exemples de surélévation des moules internes de sarcophages (C. Le Forestier, Inrap), L. Renou).
72 Fig.40 : Exemple du sarcophage mal conservé de la sépulture 812 (C. Le Forestier, Inrap).
72 Fig.41 : Couvercle de la sépulture 829 (MAS7076) (C. Le Forestier, Inrap)
73 Fig.42 : Les trois cas de fosses maçonnées (I.833 en haut à gauche, I.923 en haut à droite (inhumation au nord) et I.891,en bas) (C. Le Forestier, Inrap)
74 Fig.43 : I.873, exemple d'absence apparente de contenant (C. Le Forestier, Inrap)
75 Fig.44 : Exemple de deux fosses "à banquette" : I.895 (en haut), la compression des avant-bras est très forcée et I.900 (en bas) (C. Le Forestier, Inrap).
76 Fig.45 : Exemple de forte compression dûe à un linceul très enserrant (C. Le Forestier, Inrap).
77 Fig.46 : Répartition des sujets emmaillotés dans un linceul (C. Font et C. Le Forestier, Inrap).
79 Fig.47 : Exemples de calages céphaliques (I.816, I.820, I.863 et I.917 (C. Le Forestier, Inrap).)
79 Fig.48 : Répartition des calages céphaliques (C. Font, C. Le Forestier, Inrap)
80 Fig.49 : sépultures avec calages mentonniers, sexe des sujets et technique employée (mains ou pierres). Pour le sexe 0 : adulte indéterminé, 1 : homme, 2 : femme et 3 : trop jeune (C. Le Forestier, Inrap)
81 Fig.50 : Exemple de calage mentonnier avec pierre (I.896) et mains (I.874) (C. Le Forestier, Inrap)
81 Fig.51 : coussin céphalique en plâtre dans la sépulture 899 (R. El Hajaoui, Inrap)
82 Fig.52 : Inhumation 749 (fouille 2017 à quelques mètres au sud-ouest de la fouille programmée) (C. Le Forestier, Inrap)
82 Fig.53 : Répartition des calages mentonniers (C. Le Forestier, Inrap)
83 Fig.54 : Classe d'âges et pratiques funéraires (C. Le Forestier, Inrap).
85 Fig.55 : Résultat de l'étude sexuelle par phase (C. Le Forestier, Inrap)
85 Fig.56 : Répartition des sujets par sexe (C. Font, C. Le Forestier, Inrap).
86 Fig.57 : Répartition des sujets par sexe et par phases (C. Font, C. Le Forestier, Inrap)
87 Fig.58 : Illustration d'une zone dense où les coxaux sont absents (C. Le Forestier, Inrap)
88 Fig.59 : Repartition par âge au décès et par phase (C. Le Forestier, Inrap)
89 Fig.60 : Indice de juvénilité et rapport 5-9 ans / 10-14 ans (C. Le Forestier, Inrap)
89 Fig.61 : Plan de répartition par âge des sujets de la phase 1 (C. Font, C. Le Forestier, Inrap)
90 Fig.62 : Plan de répartition par âge des sujets de la phase 2 (C. Font, C. Le Forestier, Inrap)
90 Fig.63 : Plan de répartition par âge des sujets de la phase (C. Font, C. Le Forestier, Inrap)
91 Fig.64 : Inventaire des atteintes selon les lésions retenus pour l'Action Collective de Recherches "Archéologie du Handicap". Les champs avec un asterisque ont été ajoutés.
92 Fig.65 : Individu de la sépulture 854 présentant les séquelles de la tuberculose (aspect serpentiforme) (M.Kérien, Association Archéologie des nécropoles)
93 Fig.66 : Traumatismes sur le sujet de la sépulture 833 : à droite un fragment de pariéral droit arraché et à gauche, un coup sur le pariétal gauche (C. Le Forestier, Inrap)
94 Fig.67 : Cas de déformation en boutonnière (M. Kérien, Association Archéologie des nécropoles)
95 Fig.68 : Estimation de la stature d'après l'humérus (hum), le fémur (fem) et le tibia (tib). "Stat_med" est la médiane des données acquises (C. Le Forestier, Inrap)
98 Fig.69 : Liste des échantillons pour étude paléogénétique (C. Le Forestier, inrap)
99 Fig.70 : Page de saisie pour une atteinte dans la base Archéologie du handicap
99 Fig.71 : Exemple de résultats d'une recherche sur une lésion osseuse
101 Fig.72 : Description des tables attributaires mises en place pour l'étude anthropologique (collectif Ramen, Inrap 2022)
102 Fig.73 : Fonctionnement des triggers dans le module anthropologique (collectif Ramen, Inrap 2022)
103 Fig.74 : Les interfaces de saisie dans le logiciel QGIS : a. formulaire de la table des faits ; b. formulaire de la table des squelettes ; c. de gauche à droite, mannequins des squelettes adulte, immature et périnatal (collectif Ramen, Inrap 2022)
104 Fig.75 : Modèle d'une sépulture généré dans Agisoft Metashape : la position des clichés est matérialisée et les points d'appuis sont positionnés (R. El Hajaoui, Inrap 2022)
105 Fig.76 : Numérisation des entités archéologiques dans QGIS à partir d'une ortho-image (C. Seng, Inrap 2022)

107 Fig.77 : Modèle logique de données (MLD) simplifié : en bleu, les tables géométriques issues du modèle institutionnel des six couches ; en orange et rouge, les tables de description archéologique ; en violet, les tables permettant la description archéo-anthropologique (collectif Ramen, Inrap 2022)

109 Fig.78 : Utilisation d'un scanner 3D sur le terrain pour une comparaison avec les relevés photogrammétriques (C. Le Forestier, Inrap)

111 Fig.79 : Schéma théorique de la distribution des 13C et 15N des ressources alimentaires (modifié d'après Salesse 2015, p.97)

116 Fig.83 : Visite sur les abords de la fouille (C. Le Forestier, Inrap)

117 Fig.84 : Vue de l'escape game (H. Azmoun, Inrap)

117 Fig.85 : Vue de l'escape game avec le comptage des perles mérovingiennes et la mesure d'un crâne (A. Hazmoun,Inrap)

118 Fig.86 : Vue de l'escape game avec les explications sur le déroulement du jeu (H. Azmoun, Inrap)

118 Fig.87 : Jeu de l'Archéoscan (grande et petite versions) (C. Le Forestier, Inrap)

119 Fig.88 : Exemple de vidéo associée à l'Archéoscan pour illustrer les méthodes de l'anthropologie à partir des restes dentaires (C. Le Forestier, Inrap)

119 Fig.89 : Conception de l'archéoscan. Á gauche, version "échelle 1" avec l'aide précieuse des agents du CD93, Bureau du Patrimoine Archéologique, C. Gonçalvès-Buissart et F. Normand ; à droite, élaboration de la version réduite (C. Le Forestier, Inrap)

120 Fig.90 : Le jeu "Qui est ce squelette ?" Des photos des sépultures fouillées entre 2008 et 2019 ont été impri mées sur des supports rigides et fixées sur des supports pivotants (C. Le Forestier, Inrap).

121 Fig.91 : Présentation du Jeu "Qui est ce squelette" lors des journées européennes de l'archéologie en juin 2021 (C. Le Forestier, Inrap).

122 Fig.92 : Jeu de la fresque "Ou est Chlodovecus ? (dessin : Emmamouthé Goudiaby, CD93)

122 Fig.93 : Personnages et objets à trouver pour le jeu "Ou est Cholodovecus ?" (E. Goudiaby, CD93, C. Le Forestier, Inrap)

123 Fig.94 : Les enfants devaient replacer sur un plan les sépultures qui présentaient tel ou tel attribut de topographie (tiré au hasard sur la tablette, reliée en ligne : https://archeologie-des-necropoles.com/activites-roue.php) (C. Le Forestier, Inrap, A. Baiet, ADN)

124 Fig.95 : Vue du jeu "Avance et fouille" sur le concept d'un jeu de l'oie (C. Le Forestier, Inrap).

124 Fig.96 : Vue de jeu "Avance et fouille" (C. Le Forestier, Inrap).

125 Fig.97 : Travail pédagogique sur l'analyse d'une sépulture sur une bâche granf format (C. Le Forestier, Inrap).

126 Fig.98 : Visite groupée lors des Journées européennes de l'archéologie en 2019 (C. Le Forestier, Inrap).

126 Fig.99 : Visite sur le site en juin 2022 (C. Le Forestier, Inrap)

127 Fig.100 : Visite de D. Guerin sur le chantier de fouille lors des Journées européennes de l'archéologie en juin 2019

127 Fig.101 : Balisage du chemin pour se rendre au visite sur la nécropole (C. Le Forestier, Inrap).

129 Fig.102 : jeu du Céramopuzzle (à gauche) et la pièce de théâtre "Deux archéologues à Noisy-le-Grand" jouée dans la rue à l'occasion des journées européennes de l'archéologie en juin 2021 (C. Le Forestier, Inrap).

129 Fig.103 : stand "Nouvelles technologies en archéologie" lors des JEA de 2022 (C. Le Forestier, Inrap)

130 Fig.104 : Entrée du village archéologique (C. Le Forestier, Inrap).

130 Fig.105 : Vue d'un jeu sur le matériel archéologique et sur les pratiques funéraires (C. Le Forestier, Inrap).

131 Fig.106 : Jeu "LEs pratiques funéraires" (C. Le Forestier, Inrap)

132 Fig.107 : Nombe de visiteurs, de durée de présentation, de personnels et de temps de préparation pour chaque évènements

132 Fig.108 : Distribution du livret ludique de fouille (C. Le Forestier, Inrap)

140 Fig.109 : Récapitulatif des sommes engagées et de la participation de chaque acteurs (C. Le Forestier, Inrap)

142 Fig.80 : Répartition des sarcophages en pierre et en plâtre (C. Le Forestier, Inrap)

146 Fig.81 : Nombre de sites par période (C. Le Forestier, Inrap).

147 Fig.82 : Les nécropoles alto-médiévales en Île-de-France (C. Le Forestier, Inrap)

Noisy-le-Grand, commune de Seine-Saint-Denis (93), située sur la rive gauche de la Marne, occupe tout le sommet et le versant septentrional d'un coteau. Sa plus grande partie se trouve sur le plateau qui s'étend vers le sud-ouest, le sud et le sud-est, vers Villiers-sur-Marne, Emerainville et Combault. La nécropole se situe à 86 m NGF, sur la partie haute du coteau. Vers le nord-ouest, la pente présente une inclinaison bien plus importante. Au niveau de la Marne, l'altitude est de 40 m NGF.

La nécropole de Noisy-le-Grand est fouillée depuis 2007 lors d'opérations d'archéologie préventive et programmées. Ce sont aujourd'hui 839 sépultures qui ont été mises au jour, dont près d'un tiers daté de l'époque mérovingienne et les deux tiers du VIIIe siècle jusqu'au début du XIIIe siècle. Les pratiques funéraires se distinguent nettement entre l'utilisation de contenants en plâtre ou maçonnés pour les sépultures anciennes et les fosses plus minimalistes pour les inhumations postérieures. Les « sépultures habillées », riches en mobilier, laissent place progressivement à des inhumations en linceul.

Noisy-le-Grand fait partie de ces rares lieux mentionnés dans un texte de l'époque mérovingienne, en l'occurrence l'Histoire des Francs, écrite à la fin du VIe siècle par Grégoire de Tours, évêque de Clermont. L'auteur y relate notamment, qu'après avoir été assassiné, en 580, Chlodovecus, fils de Chilpéric, est inhumé « sub stilicidio oraturii de la villa Noceto », littéralement « sous la gouttière de l'oratoire de la villa de Noisy ». Le texte nous apprend ainsi que Noisy-le-Grand est une propriété royale où se trouve un petit lieu de culte (**LATOUCHE 1995**).

Au total, ce sont 839 sépultures qui ont été fouillées en 15 ans, qui se répartissent en différents modes d'inhumations, sur lesquels nous reviendrons, en 253 sépultures datées entre la fin du VIe siècle et le milieu du VIIIe siècle, 315 sépultures datées entre le milieu du VIIIe et le Xe siècles, 211 sépultures entre le XIe et le début du XIIIe siècle et enfin 60 inhumations dont la phase d'inhumation n'est pas clairement déterminée. L'ensemble de la population représente 593 sujets adultes (217 adultes de sexe indéterminés, 198 sujets masculins et 153 sujets féminins), 198 immatures et 48 sujets dont l'âge et le sexe sont indéterminables.

Les fouilles ont bénéficié d'une forte implication de l'Inrap, de la DRAC d'île-de-France comme des collectivités territoriales, dont la mairie de Noisy-le-Grand, d'étudiants et de nombreux bénévoles de l'association Archéologie des nécropoles. La fouille programmée a été l'occasion de proposer de nombreux activités (jeux pédagogiques) et évènements de valorisation (Journées européennes de l'archéologie, Journées européennes du Patrimoine)

Ce rapport présente les résultats de la triennale de fouille programmée qui a eu lieu de 2019 à 2022, à raison d'un mois de fouille par an, en juin. Á cause de la crise sanitaire, la fouille de 2020 a été reportée à l'année suivante. D'autres sépultures sont encore à fouiller sur la parcelle 152, dont le nombre peut être estimé entre 75 et 100.

LES DONNÉES ADMINISTRATIVES

Localisation
Région : Île-de-France
Département : Seine-Saint-Denis
Commune : Noisy-le-Grand
Adresse ou lieu-dit : 2 rue des Mastraits

Codes
Code Insee : 93051
Numéro de dossier patriarche : 8231
Numéro de l'entité archéologique : /

Coordonnées (en Lambert 93)
AX : 666818, AY : 666846
BX : 6860916, BY : 6860910
Z : 85 m NGF

Références cadastrales
Commune : Noisy-le-Grand
Année : /
Section(s) : AX
Parcelle(s) : 152

Propriétaire du terrain : Ville de Noisy-le-Grand (93)

Référence de l'opération
Numéros des arrêtés d'autorisation de fouille programmée : 2019-159, 2021-10, 2022-377
Code de l'opération : 1010935

Porteur du projet
Association Archéologie des nécropoles

Responsable scientifique de l'opération
Cyrille Le Forestier, Inrap

Dates d'intervention sur le terrain
Du 03 juin 2019 au 05 juillet 2019,
du 1er juin au 30 juin 2021
du 1er juin zau 30 juin 2022

Surfaces
Surface totale de la parcelle : 303 m²

Thésaurus
Chronologie : haut Moyen Âge, Moyen Âge classique
Sujets et thèmes : Nécropole, sépulture, radier, sarcophages, fosses maçonnées, anthropologie de terrain
Mobilier : sarcophage, objets, ossements humains

Intervenants Scientifiques
Hélène Djema, conservateur en charge du dossier (2019 à 2021)
Nicolas Girault, ingénieur d'études (2022)
Cyrille Le Forestier, responsable scientifique

Administratifs
Micheline Kérien (Présidente de l'association Archéologie des nécropoles), Elodie Perugini (secrétaire de l'association Archéologie des nécropoles), Olivier Gérard (Trésorier)
Hervé Vincendeau : Direction environnement Espaces publics de Noisy-le-Grand
Marie-Christiane Casala, Catherine Marcille, Anne Augereau, Inrap
Il existe une convention entre l'Inrap et l'association ADN

Techniques
Entreprise Guintoli (décapage et évacuation des terres)
Tesora (sondages pollution)

Equipe de fouille de l'Association Archéologie des nécropoles

Alicia Buckschtein	Lucas Cressini
Aliénor Roussel	Morgane Monnier
Caroline Gamelin	Noémie Narayanin
Alizée Guérin	Manon Perloff
Andréa Boulay	Anysia Belanjon
Anthony Panizzoli	Alexia Angeli
Brunelle Fliche	Aude Tsuvaltsidis
Charlotte Delrue	Audrey Michel
Pierre-Louis Chassang	Océane Witon
Edyta Savy	Lou-Anne Mathieu
Inès Keuter	Lucie Bidouze
Jaï Rebière	Serena Lecomte
Julia Piton	Vanessa Lorrain
Lucas Barbarin	Lisa Foucher
Martin Musy	Amandine Desbrailles
Jessee Copain	Coralie Notin
Morgane Rossignol	Emma Canot

Rosalie Jallot	Isabella Generelli
Sarah Levallet	Lisa Caltagirone
Sophie Lafosse	Maliwan Thomas
Inés Keuter	Océane Vaux
Alizée Guérin	Cholé Harnois
Lola Pouden-Checa	Emma Witmann
Julie Birgel	Célia Richard
Micheline Kérien	Evelyse Bruneau
Maxence Lefevre	Anthrony Panizzoli
Alex Baiet	

Equipe de fouille Inrap (jours de recherche)
Cyrille Le Forestier (Responsable d'opération)
Christelle Seng (archéologue)
Rachid El Hajaoui (archéologue)
Frédéric Barenghi (Topographe)

Equipe de médiation
Rosalie Jallot
Charlotte Delrue
Lucas Barbarin
Morgane Rossignol
Etienne Roussé
Noémie Ollier
Marius Amoretti
Diane Ollivier
Floriane Coeur-de-Roi
Florine Waultier

Valorisation lors des JEA
Equipe de médiation ADN et fouilleurs Inrap
Solène Bonleu
Inès Constantin

Equipe de post-fouille (Association et Inrap)
Micheline Kérien
Alicia Buckschtein
Alizée Guérin
Andréa Boulay
Pierre-Louis Chassang
Christelle Seng
Frederic Barenghi
Inès Keuter

Cyrille Le Forestier
Jaï Rebière
Joséphine Obrecht
Julia Piton
Lucas Barbarin
Christelle Seng
Rachid El Hajaoui
Sarah Levallet
Célia Richard
Caroline Font
Thomas Guillemard
Florent Mercey

Soutien logistique
Emmanuel Lemaure, Inrap
Florence Mille, Inrap

Relecture
Micheline Kérien, association Archéologie des nécropoles
Evelise Bruneau

Bureau de l’Association Archéologie des nécropoles
Micheline Kérien, présidente
Elodie Perugini, secrétaire
Olivier Gérard, trésorier

Remerciements

L’équipe remercie la mairie de Noisy-le-Grand pour son soutien tout au long de la réalisation de cette première triennale de fouille, particulièrement à madame La Maire, Brigitte Marcigny et Mr Hervé Vincendeau qui ont manifesté très tôt leur intérêt pour les vestiges archéologiques de la commune.

Ces remerciements s’adressent à l’association Archéologie des nécropoles, porteuse du projet, en la personne de Micheline Kérien, présidente très impliquée sur le site depuis 2007.

De même, nous remercions chaleureusement le personnel de la Maison pour Tous Marcel Bou s’est très vite impliqué dans l’aventure. Rachel Knoerr et Anouchka Mignon ont été des soutiens essentiels au déroulement de la fouille, de même qu'Emmanuelle et Catherine. Elles ont d’ores et déjà manifesté leur intérêt pour poursuivre leur collaboration avec l’équipe d’archéologues.

Les remerciements vont également aux agents de la DRAC. Hélène Djema et Dorothée Derieux-Chaoui qui ont été enthousiastes dès le début pour la réalisation d’une fouille programmée sur cette parcelle et Nicolas Girault qui a aussi témoigné son intérêt pour cette opérations. Les services de la DRAC sont également remerciés pour la possiblité d'effectuer des analyses radiocarbones par le biais du programme Artémis.

L’Inrap est également vivement remercié pour son engagement scientifique dans cette fouille, par l’intermédiaire de la Direction Scientifique et Technique (Gérard Bataille puis Olivier Blin) et des adjoints scientifique et technique de la base archéologique de Croissy-Beaubourg, Richard Cottiaux, Anne Augereau et Catherine Marcille. Nous remercions l'Inrap pour les jours octroyés pour cette opération et pour la mise à disposition des locaux pour les études de post-fouille et pour le stockage du mobilier osseux.

Ce rapport est dédié à Caroline Gamelin qui a fouillé sur le site en 2009 et en 2019 et qui nous a quitté.

Liberté • Égalité • Fraternité
RÉPUBLIQUE FRANÇAISE
PRÉFET DE LA RÉGION ÎLE-DE-FRANCE

Arrêté n° 2019-159 du 28 février 2019
portant autorisation de fouille programmée.

Le Préfet de région ;

Vu le code du patrimoine et notamment son livre V ;

Vu l'arrêté n° IDF-2019-02-08-006 du 8 février 2019, signé de Monsieur Michel CADOT, préfet de la région d'Île-de-France, préfet de Paris, portant délégation de signature à Madame Karine DUQUESNOY, directrice régionale des affaires culturelles d'Île-de-France par intérim ;

Vu l'arrêté n° 2019-011 du 11 février 2019 portant subdélégation de signature à Monsieur Stéphane DESCHAMPS, Conservateur régional de l'archéologie, et à Monsieur Jean-Marc GOUEDO son adjoint ;

Vu le dossier, enregistré sous le n° PGR112019000015, de demande d'opération archéologique arrivé le 19 novembre 2018 ;

Vu l'avis de la commission territoriale de la recherche archéologique Centre Nord en date des 21, 22 et 23 janvier 2019 ;

ARRÊTE

Article 1 - Monsieur Cyrille LE FORESTIER est autorisé, en qualité de responsable scientifique, à conduire une opération de fouille programmée à partir de la date de notification du présent arrêté jusqu'au 31 septembre 2019, sise en :

RÉGION : ILE-DE-FRANCE
- DEPARTEMENT : SEINE-SAINT-DENIS
  COMMUNE : NOISY-LE-GRAND
- CADASTRE : Section : AX, Parcelle(s) : 152

Intitulé de l'opération : Nécropôle alto-médiévale des Mastraits

Programme de recherche : Axe 7. Phénomènes funéraires depuis l'Antiquité : origine, évolution, fonctions.

Code de l'opération : **10935**

Article 2 - prescriptions générales
Les recherches sont effectuées sous la surveillance du conservateur régional de l'archéologie territorialement compétent et conformément aux prescriptions imposées pour assurer le bon déroulement scientifique de l'opération.

Le responsable scientifique de l'opération informe régulièrement le conservateur régional de l'archéologie de ses travaux et découvertes. Il lui signale immédiatement toute découverte importante de caractère mobilier ou immobilier. Il revient au préfet de région de statuer sur les mesures définitives à prendre à l'égard des découvertes.

À la fin de l'année civile, le responsable scientifique de l'opération adresse au conservateur régional de l'archéologie, en triple exemplaire papier plus un exemplaire au format pdf, un rapport accompagné des plans et coupes précis des structures découvertes et des photographies nécessaires à la compréhension du texte. L'inventaire de l'ensemble du mobilier recueilli est annexé au rapport d'opération. Il signale les objets d'importance notable. Il indique les études complémentaires envisagées et, le cas échéant, le délai prévu pour la publication.

Article 3 - destination du matériel archéologique découvert
Le responsable prend les dispositions nécessaires à la sécurité des objets mobiliers. Le mobilier archéologique

est mis en état pour étude, classé, marqué et inventorié. Son conditionnement est adapté par type de matériaux et organisé en fonction des unités d'enregistrement. Le statut juridique et le lieu de dépôt du matériel archéologique découvert au cours de l'opération sont fixés conformément aux dispositions légales et réglementaires et aux termes des conventions passées avec les propriétaires des terrains concernés.

Article 4 - versement des archives de fouilles
L'intégralité des archives accompagnée d'une notice explicitant son mode de classement et de conditionnement et fournissant la liste des codes utilisés avec leur signification, fait l'objet de la part du responsable de l'opération d'un versement unique. Ce versement est détaillé sur un bordereau récapitulatif établi par le responsable de l'opération, dont le visa par le préfet de région vaut acceptation et décharge. Le lieu de conservation est désigné par le préfet de région.

Article 5 - La Directrice régionale des affaires culturelles par intérim est chargée de l'exécution du présent arrêté, qui sera notifié à Monsieur Cyrille LE FORESTIER.

Fait à PARIS, le 01er mars 2019

Pour le Préfet de Région, Préfet de Paris
et par délégation,
la Directrice régionale des affaires culturelles par intérim,
et par subdélégation,
Le Conservateur régional de l'archéologie

Stéphane DESCHAMPS

Liberté • Égalité • Fraternité
RÉPUBLIQUE FRANÇAISE
PRÉFET DE LA RÉGION ÎLE-DE-FRANCE

Arrêté n° 2021-010 du 05 janvier 2021
portant autorisation de fouille programmée.

Le Préfet de région ;

Vu le code du patrimoine et notamment son livre V ;

Vu l'arrêté préfectoral n° IDF-2020-08-17-010 du 17 août 2020 portant délégation de signature à Monsieur Laurent ROTURIER, directeur régional des affaires culturelles d'Île-de-France en matière administrative ;

Vu l'arrêté n° 2020-057 du 18 août 2020 portant subdélégation de signature à Monsieur Stéphane DESCHAMPS, Conservateur régional de l'archéologie, et à Monsieur Jean-Marc GOUEDO, Conservateur régional adjoint de l'archéologie ;

Vu le dossier, enregistré sous le n° PGR112019000015, de demande d'opération archéologique arrivé le 19 novembre 2018 ;

Vu le dossier de demande d'opération archéologique de deuxième année de triennale arrivé en Préfecture de région, le 25 novembre 2019 ;

Vu l'avis de la commission territoriale de la recherche archéologique (CTRA), Commission Centre-Nord en date du 28 janvier 2020 ;

Vu l'arrêté n° 2020-078 du 05 février 2020 portant autorisation de fouille programmée ;

Vu l'arrêté n° 2020-386 du 29 juillet 2020 portant abrogation d'une autorisation de fouille programmée, en raison de la situation sanitaire ;

Vu le dossier de demande d'opération archéologique de deuxième année de triennale arrivé en Préfecture de région, le 11 décembre 2020 ;

ARRÊTE

Article 1 - Monsieur Cyrille LE FORESTIER est autorisé(e), en qualité de responsable scientifique, à conduire une opération de fouille programmée à partir de la date de notification du présent arrêté jusqu'au 31 décembre 2021, sise en :

RÉGION : ILE-DE-FRANCE
- DEPARTEMENT : SEINE-SAINT-DENIS
  COMMUNE : NOISY-LE-GRAND
  Lieudit ou adresse : Rue des Martraits

Intitulé de l'opération : Nécropole alto-médiévale des Mastraits.
Programme de recherche : Axe 7, Phénomènes funéraires depuis l'Antiquité : origine, évolution, fonctions.
Code de l'opération : **1010935-2**

Article 2 - prescriptions générales
Les recherches sont effectuées sous la surveillance du conservateur régional de l'archéologie territorialement compétent et conformément aux prescriptions imposées pour assurer le bon déroulement scientifique de l'opération.

Le responsable scientifique de l'opération informe régulièrement le conservateur régional de l'archéologie de ses travaux et découvertes. Il lui signale immédiatement toute découverte importante de caractère mobilier ou immobilier. Il revient au préfet de région de statuer sur les mesures définitives à prendre à l'égard des découvertes.

À la fin de l'année civile, le responsable scientifique de l'opération adresse au conservateur régional de l'archéologie, en triple exemplaire papier plus un exemplaire au format pdf, un rapport accompagné des plans et coupes précis des structures découvertes et des photographies nécessaires à la compréhension du texte. L'inventaire de l'ensemble du mobilier recueilli est annexé au rapport d'opération. Il signale les objets d'importance notable. Il indique les études complémentaires envisagées et, le cas échéant, le délai prévu pour la publication.

Article 3 - destination du matériel archéologique découvert
Le responsable prend les dispositions nécessaires à la sécurité des objets mobiliers. Le mobilier archéologique est mis en état pour étude, classé, marqué et inventorié. Son conditionnement est adapté par type de matériaux et organisé en fonction des unités d'enregistrement. Le statut juridique et le lieu de dépôt du matériel archéologique découvert au cours de l'opération sont fixés conformément aux dispositions légales et réglementaires et aux termes des conventions passées avec les propriétaires des terrains concernés.

Article 4 - versement des archives de fouilles
L'intégralité des archives accompagnée d'une notice explicitant son mode de classement et de conditionnement et fournissant la liste des codes utilisés avec leur signification, fait l'objet de la part du responsable de l'opération d'un versement unique. Ce versement est détaillé sur un bordereau récapitulatif établi par le responsable de l'opération, dont le visa par le préfet de région vaut acceptation et décharge. Le lieu de conservation est désigné par le préfet de région.

Article 5 - prescriptions particulières
Le responsable scientifique se rapprochera du conservateur régional de l'Archéologie pour rééquilibrer les moyens entre le volume des études nécessaires et les moyens mis en œuvre.

Article 6 - Le Directeur régional des affaires culturelles d'Île-de-France est chargé(e) de l'exécution du présent arrêté, qui sera notifié à Monsieur Cyrille LE FORESTIER.

Fait à PARIS, le 08/01/2021

Pour le Préfet de Région, Préfet de Paris
et par délégation,
Pour le Directeur régional des affaires culturelles,
et par subdélégation,
Le Conservateur régional de l'archéologie

Stéphane DESCHAMPS

PRÉFET
DE LA RÉGION
D'ÎLE-DE-FRANCE
Liberté
Égalité
Fraternité

Direction régionale des affaires culturelles

Arrêté n° 2022-377 du 23 mai 2022

portant autorisation de fouille programmée.

Le Préfet de région ;

Vu le code du patrimoine et notamment son livre V ;

Vu l'arrêté du 07 février 2022 portant définition des données scientifiques de l'archéologie et de leurs conditions de bonne conservation ;

Vu l'arrêté préfectoral n° IDF-2020-08-17-010 du 17 août 2020 portant délégation de signature à Monsieur Laurent ROTURIER, directeur régional des affaires culturelles d'Île-de-France en matière administrative ;

Vu l'arrêté n° 2021-09 du 12 février 2021 portant subdélégation de signature à Monsieur Stéphane DESCHAMPS, Conservateur régional de l'archéologie, et à Monsieur Jean-Marc GOUEDO, Conservateur régional adjoint de l'archéologie ;

Vu le dossier, enregistré sous le n° PGR112019000015, de demande d'opération archéologique arrivé le 25 janvier 2022 ;

Vu l'avis de la commission territoriale de la recherche archéologique (CTRA), Commission Centre-Nord en date des 16, 17 et 18 mai 2022 ;

ARRÊTE

Article 1 - Monsieur Cyrille LE FORESTIER est autorisé, en qualité de responsable scientifique, à conduire une opération de fouille programmée à partir de la date de notification du présent arrêté jusqu'au 31 décembre 2022, sise en :

RÉGION : ILE-DE-FRANCE
- DEPARTEMENT : SEINE-SAINT-DENIS
  COMMUNE : NOISY-LE-GRAND
  Adresse : 2, Rue des Martraits

Intitulé de l'opération : Nécropole alto-médiévale des Mastraits 2019-2022.
Programme de recherche : Axe 7. Phénomènes funéraires depuis l'Antiquité : origine, évolution, fonctions.
Code de l'opération : **1010935**

Article 2 - prescriptions générales
Les recherches sont effectuées sous la surveillance du conservateur régional de l'archéologie territorialement compétent et conformément aux prescriptions imposées pour assurer le bon déroulement scientifique de l'opération.

Le responsable scientifique de l'opération informe régulièrement le conservateur régional de l'archéologie de ses travaux et découvertes. Il lui signale immédiatement toute découverte importante de caractère mobilier ou immobilier. Il revient au préfet de région de statuer sur les mesures définitives à prendre à l'égard des découvertes.

À la fin de l'année civile, le responsable scientifique de l'opération adresse au conservateur régional de l'archéologie, en triple exemplaire papier plus un exemplaire au format pdf, un rapport accompagné des plans et coupes précis des structures découvertes et des photographies nécessaires à la compréhension du texte. L'inventaire de l'ensemble du mobilier recueilli est annexé au rapport d'opération. Il signale les objets

d'importance notable. Il indique les études complémentaires envisagées et, le cas échéant, le délai prévu pour la publication.

Article 3 - destination du matériel archéologique découvert
Le responsable prend les dispositions nécessaires à la sécurité des objets mobiliers. Le mobilier archéologique est mis en état pour étude, classé, marqué et inventorié. Son conditionnement est adapté par type de matériaux et organisé en fonction des unités d'enregistrement. Le statut juridique et le lieu de dépôt du matériel archéologique découvert au cours de l'opération sont fixés conformément aux dispositions légales et réglementaires et aux termes des conventions passées avec les propriétaires des terrains concernés.

Article 4 - versement des archives de fouilles
L'intégralité des archives accompagnée d'une notice explicitant son mode de classement et de conditionnement et fournissant la liste des codes utilisés avec leur signification, fait l'objet de la part du responsable de l'opération d'un versement unique. Ce versement est détaillé sur un bordereau récapitulatif établi par le responsable de l'opération, dont le visa par le préfet de région vaut acceptation et décharge. Le lieu de conservation est désigné par le préfet de région.

Article 5 - prescriptions particulières
Cette opération de fouille programmée est considérée comme une année complémentaire destinée à compenser la perte d'une année de la campagne triennale initiée en 2019. Elle est destinée à produire une document de synthèse répondant aux attentes scientifiques pour ce type d'opération : présentation du contexte (géographique, topographique, géologique, historique et archéologique), cartographie détaillée, relevés (plans, coupes), inventaires détaillés, traitement du mobilier,etc. Le rapport devra être majoritairement consacré à ces aspects.

Article 6 - Le Directeur régional des affaires culturelles d'Île-de-France est chargé de l'exécution du présent arrêté, qui sera notifié à Monsieur Cyrille LE FORESTIER.

Fait à PARIS, le 23 mai 2022

Pour le Préfet de Région, Préfet de Paris
et par délégation,
Pour le Directeur régional des affaires culturelles,
et par subdélégation,
Le Conservateur régional de l'archéologie

Stéphane DESCHAMPS

1. CONTEXTE GÉNÉRAL

1.1 Contexte topographique

Noisy-le-Grand est une commune de Seine-Saint-Denis (93), limitrophe avec les communes de Neuilly-sur-Marne et Villiers-sur-Marne et Champs-sur-Marne du département du Val-de-Marne (94). Elle fait partie de la Ville Nouvelle de Marne-la-Vallée comprenant une partie du Val-de-Marne et principalement l'est seine-et-marnais (**fig. 1**).

Noisy-le-Grand est située sur la rive gauche de la Marne et occupe tout le sommet et le versant septentrional d'un coteau au pied duquel coule la Marne. Il n'y a aucun autre cours d'eau qui traverse la commune.

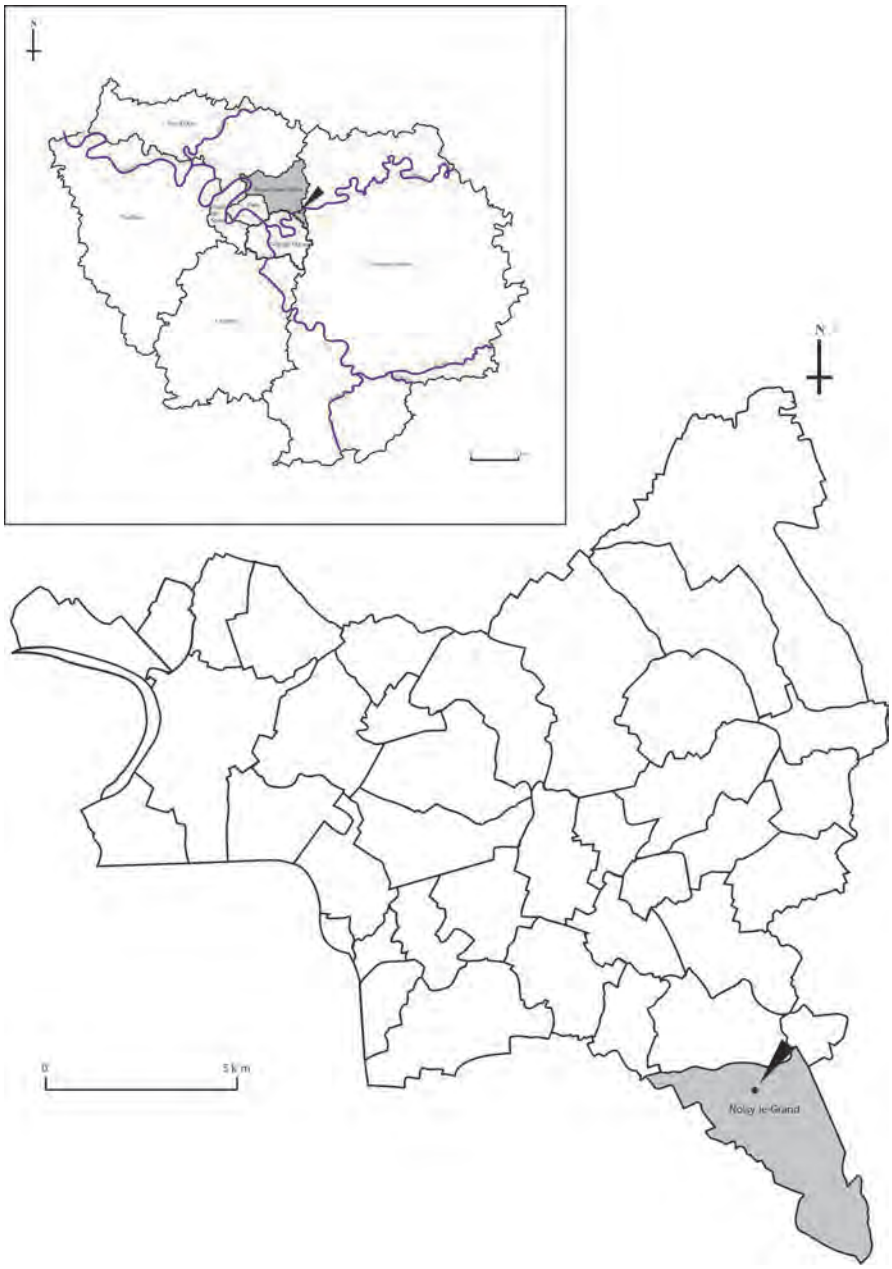

Fig.1 : Localisation de la commune de Noisy-le-Grand (C. Le Forestier, Inrap)

D’après la carte géologique du BRGM (**fig.2**), le terrain d’assiette du projet se trouve dans une zone de limon des plateaux. L’opération a permis d’identifier la couverture sédimentaire du site, qui est constituée de haut en bas : d’un niveau de remblai et de terre végétale ; d’une couche de terre limoneuse de couleur brun sombre ; d’un substrat de marno-calcaire : formation de Brie.

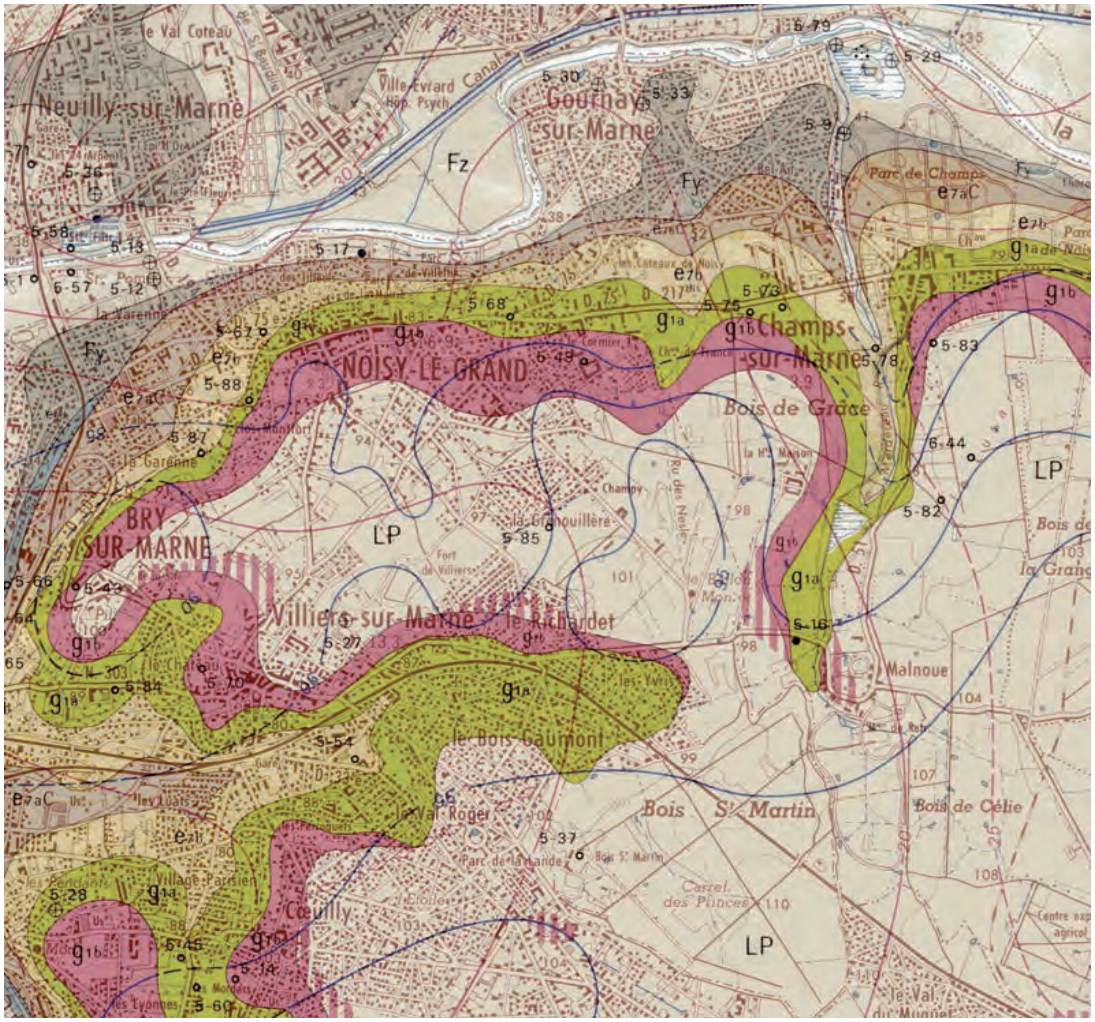

Fig.2 : Extrait de la carte géologique, BRGM, feuille XXIV-14

- Stampien inférieur, formation de Brie
- Stampien inférieur, marnes vertes
- Bartonien supérieur, Ludien supérieur
- Bartonien supérieur, Ludien moyen et inférieur

La plus grande partie du territoire de la commune se trouve sur un plateau qui s’étend vers le sud-ouest, le sud et le sud-est vers Villiers-sur-Marne, Emerainville et Combault.

La nécropole se situe à 86 m NGF, sur le haut d’un versant de la Marne. Vers le nord-ouest, la pente présente une inclinaison bien plus importante. Au niveau de la Marne, l’altitude est de 40 m NGF. Vers le sud-est, le terrain présente moins de relief (autour de 95 m NGF). De nombreux ensembles funéraires de cette période ont également été découverts sur le haut de versant, c’est le cas par exemple à Cormeilles-en-Parisis (95), Montfermeil (93) ou Pontoise (95).

1.2. Historique de Noisy-le-Grand

L'origine du nom de Noisy proviendrait soit de « noyers » qui constituaient une partie de la forêt, soit du celte « nois », hauteur, en relation avec la situation géographique du lieu ; l'épithète « le grand » serait liée soit à l'étendue du territoire soit au fait que la commune ait été une résidence royale franque.

Noisy-le-Grand est mentionnée sous les formes suivantes : Nucetum VIe siècle ; Noisiacum 1059-1060 ; Nociavcum 1089-1090 ; Noisiacensi 1090 ; Nucenaum Magnum 1096 ; Nuisiacum 1096-1097 ; Villam Nuseium 1119 ; Nusiacum 1147 ; Noisiaco Magno 1201-1202 ; Noisi Magno 1207; Nusiacum Magnum 1239 ; Noesciaco 1262 ; Noysi 1380. Une continuité d'occupation depuis l'époque mérovingienne est plausible. Le village est chef-lieu paroissial depuis le début du XIII^{e} siècle au plus tard.

Le centre de Noisy-le-Grand est distant de 18 km de Saint-Denis, qui revêt au haut Moyen Âge une importance certaine. Saint-Denis, à l'époque mérovingienne, est devenue l'expression de la réussite neustrienne qui avait fait, au début du VI^{e} siècle, d'une branche de Mérovingiens (celle de Chilpéric) la seule lignée régnante en Gaule et dans les tria regna Neustrie, Austrasie, Bourgogne franque. Noisy-le-Grand, comme de nombreuses communes d'Île-de-France, bénéficie donc d'un emplacement privilégié, à proximité du pôle attractif dionysien. Noisy-le-Grand se situe à 9 km de Bonneuil-sur-Marne (94) qui est à l'époque mérovingienne un grand domaine (figure forte du fisc parisien) dont le point de passage dans le Parisis est contrôlé par la maîtrise économique des cours d'eau.

La première mention de Noisy-le-Grand figure dans l'Histoire des Francs, rédigée au VIe siècle par Grégoire de Tours. Le lieu est domaine des rois francs : on y indique une villa regia de Chilpéric. L'auteur évoque ainsi l'assassinat du prince Clovis, fils de Chilpéric, vers 580 sur ordre de Frédégonde. En voici quelques extraits (**LATOUCHE 1995**) :

Livre V, chapitre XXXIX : « [en 580] Après la mort de ses fils, le roi Chilpéric résida, plein de tristesse, avec son épouse pendant le mois d'octobre dans la forêt de Cuise [Compiègne]. Il envoya alors Clovis, son fils, à Berny, à l'instigation de la reine [Frédégonde] pour que lui aussi périsse de la même mort [dysenterie]. La maladie qui avait tué ses frères y sévissait à cette époque avec violence ; mais il n'y éprouva pas le moindre malaise. Quant au roi lui-même, il se rendit à Chelles, villa de la cité parisienne. Puis au bout de quelques jours il fit venir à lui Clovis. Je ne me gênerai pas de dire quelle a été la mort de ce dernier. Or donc, tandis qu'il habitait chez son père dans ladite villa, il se mit à se vanter prématurément et à dire : « Voici que mes frères étant morts, tout le royaume m'est resté ; les Gaules entières seront sous ma domination et le destin m'a accordé l'empire universel ! Voici donc que je porterai à mes ennemis qui sont dans mes mains tous les coups qu'il me plaira ». Puis il dénigra en termes peu convenables sa marâtre, la reine Frédégonde. Quand elle l'apprit elle fut saisie d'une terreur excessive. Quelques jours après quelqu'un vient dire à la reine : «Si tu te trouves privée de fils, c'est la perfidie de Clovis qui en est la cause. Convoitant en effet la fille d'une de tes servantes, il a eu recours à sa mère pour tuer tes fils au moyen de maléfices et c'est pourquoi je t'avertis que tu ne saurais espérer pour toi un meilleur sort, puisqu'on t'a enlevé les espérances grâce auxquelles tu aurais dû régner ». La reine, prise alors de panique, enflammée de colère, aiguillonnée par son deuil récent, fit saisir et durement fouetter la jeune fille sur laquelle Clovis avait jeté les yeux, puis elle ordonnât qu'on coupât la chevelure de sa tête et qu'on plaça cette chevelure attachée à un pieu qu'on avait taillé devant la demeure de Clovis. La mère de la jeune fille fut aussi attachée et torturée, et la reine lui arracha un aveu qui confirmait la véracité des propos prêtés. Insinuant ensuite dans l'esprit du roi ces allégations et d'autres du même genre, elle demanda le châtiment de Clovis. Le roi, qui était alors parti pour la chasse, le fit mander secrètement. Quand ce dernier arriva, il fut appréhendé sur ordre du roi par les ducs Didier et Bobon qui lui mirent des menottes, et dépouillé de ses armes et de ses vêtements, puis revêtu d'un costume sordide, il est amené prisonnier à la reine. Elle ordonna alors qu'on le retînt sous bonne garde, car elle désirait apprendre de lui si les choses

s'étaient passées comme elle l'avait entendu dire, de qui il avait reçu les conseils, à l'instigation de qui il avait agi et surtout avec qui il s'était lié d'amitié. Mais lui, niant tout le reste, révéla seulement ses nombreuses amitiés. Finalement au bout de trois jours la reine ordonna qu'on l'emmenât enchaîné de l'autre côté du fleuve de la Marne et qu'on l'emprisonnât dans une villa nommée Noisy. C'est dans cette prison qu'il périt, frappé d'un coup de couteau, et c'est dans ce même lieu qu'il fut enseveli. Au même moment des messagers se rendirent auprès du roi pour lui dire que celui-ci s'était transpercé de sa propre main et ils affirmaient que le couteau lui-même dont il s'était frappé était encore à l'endroit de la blessure. Trompé par ces paroles le roi Childéric ne pleura pas celui qu'il avait, pour ainsi dire, livré à la mort à l'instigation de la reine. Les serviteurs de Clovis furent aussi dispersés sur différents points. Quant à sa mère elle fut sauvagement assassinée. Sa sœur, de qui les serviteurs de la reine avaient abusé est emmenée dans un monastère où elle demeure encore aujourd'hui [en 591 ou en 594 ?] après avoir pris l'habit et tous leurs biens furent remis à la reine. La femme qui avait tenu des propos sur Clovis est condamnée à être brûlée sur un bûcher. Pendant qu'on l'y conduit la misérable se met à protester, disant qu'elle avait dit des mensonges ; mais ses paroles ne servirent à rien ; on l'attacha à un poteau et elle fut brûlée vive dans les flammes. Le trésorier de Clovis, Chuppa, connétable, fut conduit prisonnier auprès de la reine pour être exposé à diverses tortures ; mais la reine ordonna qu'on ne le suppliciât pas et qu'on le délivrât de ses liens et nous obtînmes du roi qu'il ait la permission de partir libre… »

Livre VIII, chapitre X : [en 584] Enfin, comme [le roi Gontran] déplorait souvent la mort violente de Mérovée et celle de Clovis et ignorait où on les avait jetés après les avoir tués, un homme vint trouver le roi pour lui dire : « si cela ne me nuit pas dans la suite j'indiquerai dans quel endroit a été jeté le cadavre de Clovis ». Le roi jura qu'on ne le molesterait pas, mais qu'au contraire on le rémunérerait. L'homme dit alors : « L'exposé des faits lui-même, ô roi, prouvera que j'énonce la vérité, car quand Clovis a été tué et enseveli sous l'auvent d'un oratoire, la reine, craignant que, si un jour il était découvert on ne l'ensevelisse solennellement, le fit jeter dans le lit du fleuve de la Marne. Je l'ai ainsi découvert dans un vivier que j'avais aménagé par mon travail pour les besoins de la pêche des poissons. J'ignorais qui c'était, mais à la chevelure longue j'ai deviné que c'était Clovis et, l'ayant pris sur les épaules, je l'ai apporté sur la rive et je l'y ai enterré en élevant dessus un tertre. Voici la chose ; les membres étant sauf, fais ce que tu voudras ». Lorsque le roi eut été informé de cela, il fit semblant de se rendre à la chasse et ayant découvert le tertre, il retrouva le petit corps entier et intact. Seule une partie des cheveux qui était en-dessous était déjà tombée, mais l'autre était demeurée intacte avec la chevelure pendante elle-même. On reconnut alors que c'était celui que le roi recherchait avec obstination. Ayant donc convoqué l'évêque de la cité, il le transporta à la basilique de Saint-Vincent [Saint-Vincent-Sainte-Croix, actuelle église de Saint-Germain-des-Prés], pour l'enterrer avec le clergé et la population ainsi qu'avec une parure de cierges innombrables. Il ne pleura pas moins la mort de ses neveux que lorsqu'il avait à ensevelir jadis ses propres fils. Après cela il envoya Pappoul, évêque de Chartres, pour chercher le cadavre de Mérovée et l'ensevelir à côté du tombeau de Clovis.»

En 1060, Henri Ier fait don aux moines de Saint-Martin-des-Champs du village de Noisy (ainsi qu'une partie du village de Brie) avec tous les revenus et droits sur les terres, fôrets, vignes et pâturages qui en dépendent. Au XIIe siècle, les moines entreprennent la construction d'une église paroissiale, sous le double vocable de Notre-Dame et de Saint-Sulpice. Sulpice, évêque de Bourges, serait mort en 591, ce qui confirme la fondation ancienne de l'église et du village de Noisy.

En 1089-1090, Geofroi, évêque de Paris, concède l'autel de Noisy-le-Grand, tenu par le comte Hughes de Dammartin, à Saint-Martin des Champs. Les moines auraient envisagé l'édification d'un nouveau lieu de culte près de l'ancien cimetière, mais l'opposition des riverains les aurait fait renoncer. Au début du XIIIe siècle, la présentation à la cure de l'église Notre-Dame et Saint-Sulpice appartient au prieur de Saint-Martin-des-Champs. Mais au début du XIIe siècle, le droit de présentation aurait appartenu au comte de Dammartin qui le tenait de l'évêque. Une tradition contestable voudrait que cette église soit à l'emplacement de la chapelle où est inhumé au VIème siècle le fils de Chilpéric. Le clocher est construit vers 1130-1140 et n'est pas sans évoquer celui de Saint-Martin-des-Champs par

son socle carré, et ses fenêtres cintrées à colonnettes et chapiteaux. Le choeur, la nef et la chapelle de la Vierge sont édifiés vers 1245. Une dédicace est attestée en 1484 : la pierre de dédicace, déposée à la Révolution, a été retrouvée au XIXe siècle. Les donateurs qui ont permis l'achèvement des travaux, Jehan Groignet et sa femme Pauline, y sont représentés agenouillés devant une Madone. Mentienne, en 1919, signale qu'une vasque provenant de la chapelle de la ferme Saint-Martin était conservée, dans la nouvelle église du Perreux. Lebeuf, en 1758, rapporte avoir vu devant l'autel de l'église Notre-Dame et Saint-Sulpice une pierre tombale du XIVe siècle "représentant une personne en habits longs". Sur l'un des piliers de la nef se trouve une inscription en gothiques minuscules rappelant la dédicace de l'édifice par Louis de La Fourés, évêque de Paris, en 1484. Une dalle funéraire de 1659 est également conservée dans l'église.

Au cours du Moyen Âge, le domaine est partagé en plusieurs fiefs laïcs. Á partir du XVIIe siècle, les moines cèdent leurs droits sur Noisy. En 1706, ils n'ont plus aucune possession. Ainsi, Madame de Maintenon devient propriétaire d'une partie de la commune.

Au XVIIIe siècle, l'ancien village se développe au nord de la rue Cossonneau avec l'église, des cultures ainsi que le domaine de Villefix, un fief que le roi Henri Ier avait cédé à l'un de ses officiers. Au sud, il existe la ferme Saint-Martin et principalement des champs cultivés et des vignes. La carte des Chasses de 1764 indique que la situation du bourg ne semble pas avoir évolué. C'est surtout au XIXème siècle que les constructions apparaissent et vont former un maillage qui va évoluer jusqu'à nos jours. De domaines vastes et de champs cultivés au XVIIIème siècle, Noisy-le-Grand va se morceler en parcelles de plus en plus étroites et constituer le centre ville actuel. (**ADROT 2005 : 14**).

La nécropole se situait en partie sous la rue des Mastraits et près de la place appelée Place des Mastraits, une brève recherche bibliographique révèle une fréquence d'association entre les dérivés du nom Mastraits et les ensembles funéraires mérovingiens.

En 1937, H. Glaetti définit l'étymologie de l'appellation marturetum dans le Bulletin critique et chronique bibliographique :

« Le problème qui est exposé ici avec le plus de développement est celui dit des martyria-martyreta, vocables d'où dérivent d'innombrables « Martroye », « Martray », « Marterey », etc. (M. Glaetti n'en compte pas moins de 474) (…). On admet généralement que les toponymes en cause dérivent d'une forme latine supposée Marturetum ou Martyretum, dans laquelle le suffixe –etum indique une notion collective par rapport au mot martyrium. Mais sur le sens évolué de ce dernier mot et sur la valeur du collectif, on cesse d'être d'accord. La notion de martyr y est-elle restée incluse, tandis qu'il désignait finalement une simple chapelle ? Et le sens de chapelle ou oratoire, même le plus général, s'accorde-t-il avec le collectif servant à désigner, lui, tout un cimetière ? Si l'on s'en tient à la définition martyrium = chapelle, il faut se résigner à forcer le sens de martyretum : points de vue presque inconciliables.(…). Quel que soit le nombre d'exemples que l'on puisse réunir pour établir la correspondance martyrium = chapelle, il tombe sous le sens qu'un martyretum ne peut pas désigner une réunion de chapelles, mais la communauté de tombes. »

Une fois la définition acceptée, il est aisé d'apporter à celle-ci une crédibilité par une simple focale sur l'archéologie francilienne: nécropole mérovingienne de Giberville (« Le Martray »), de Pontoise (« Place du Martray »), de Cormeilles-en-Parisis (« Le Martray ») (**LE FORESTIER 2002**) et enfin, à Noisy-le-Grand (« Rue des Mastraits »). Tous ces sites ont révélé la présence de sépultures mérovingiennes. Il convient aussi de citer d'autres communes, principalement en Bretagne, où il existe une place ou rue des Martray (et ses dérivés) à un carrefour et sur une hauteur :de La Trinité-Porhoët (22), Lamballe (22), Quintin (22), Saint-Brieuc, Paimpol (22), Loudun (86), Nantes (44).

1.3. Les opérations d'archéologie préventive aux abords de la nécropole de Noisy-le-Grand

Plusieurs opérations d'archéologie préventive ont été réalisées sur le territoire de Noisy-le-Grand, soit par le Bureau de l'Archéologie de Seine-Saint-Denis, soit par l'Institut National de Recherches en Archéologie Préventives (**fig.3**).

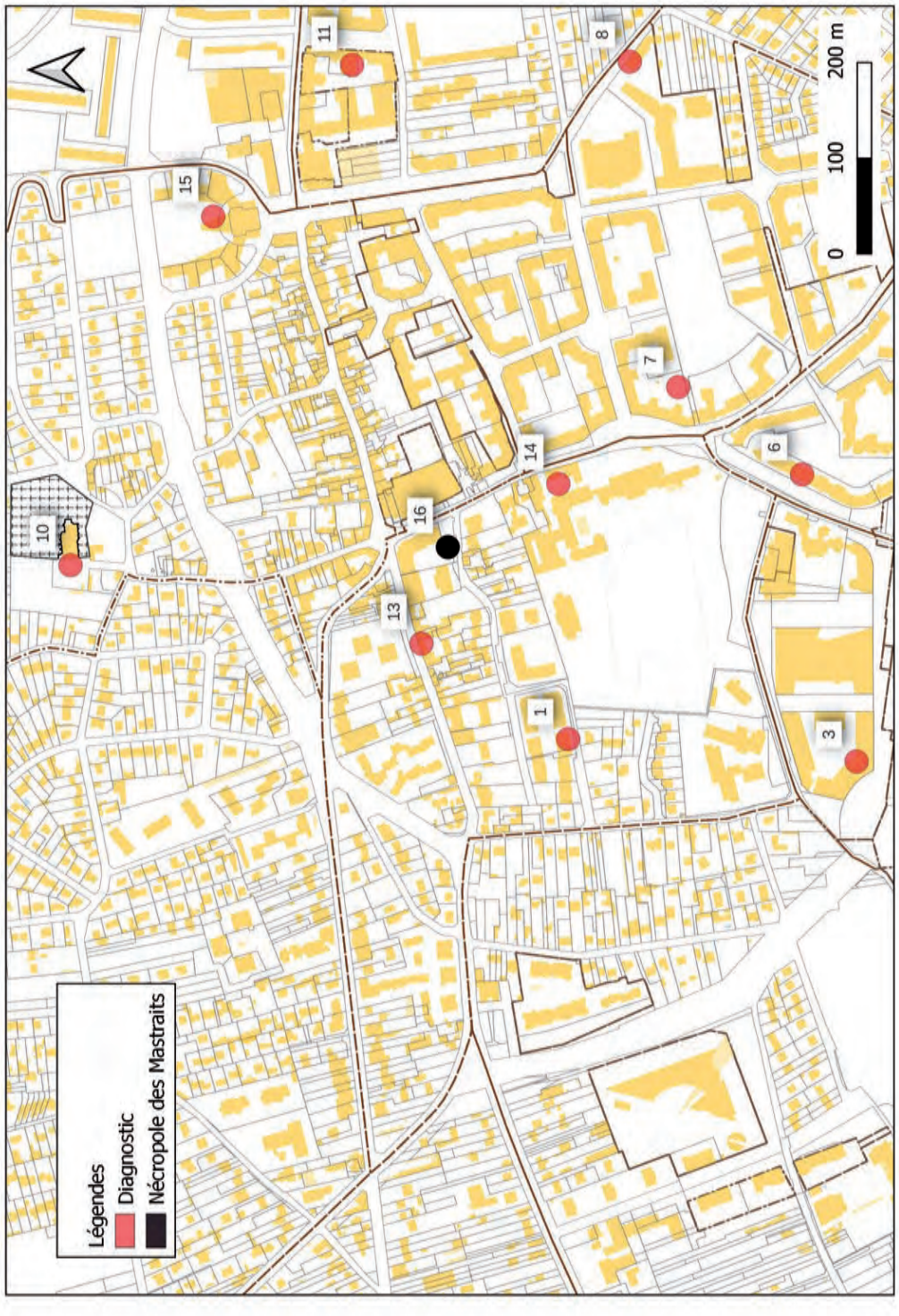

Fig.3 : Carte archéologique des alentours (les numéros sont cités dans le texte) (C. Le Forestier, Inrap)

Bien que ce ne soit pas une fouille préventive, il convient de débuter cet inventaire par la plus ancienne fouille de Seine-Saint-Denis. En effet, à une dizaine de mètres de la parcelle 152, concernée par la fouille programmée, une fouille à été réalisée en 1771 par les géomètres du Roi pour une validation de limites parcellaires(cf texte en annexe 1).

Certaines interventions n'ont pas révélé la présence d'une occupation anthropique ancienne : la rue Roger Salengro (1)(CG93, 2000), l'extension de l'usine Marne-Aval (2), les « Clos des Plantes », boulevard du Mont-d'Est (3), Avenue Montaigne, collège La Varenne (4), 198 rue Emile Cossoneau (5), Mairie (15) (**GONCALVES 2010**).

Une opération a été menée en 1991 lors de la démolition d'un bâtiment d'habitation au n° 10 de l'impasse Alexandre (6). Un portail en pierre de taille associé à un tronçon de mur a été mis au jour, attribué au XV^{e} siècle ; il est constitué de deux portes accolées prenant appui sur un pilier central.

Les structures médiévales situées sur les terrains diagnostiqués en 1996 préalablement à la réalisation de la ZAC du Clos Saint-Vincent (7) étaient trop arasées pour justifier une fouille. Ces éléments se rattachaient au site de l'Ermitage et de la ferme Saint-Martin. L'église Saint-Sulpice est attestée en 1089-1090, la partie la plus ancienne étant l'abside nord. L'hypothèse de restitution du plan de l'église, avant les travaux du XIII^{e} siècle, nous rapproche des plans des édifices bien connus du XI^{e} siècle en Île-de-France. Les caractéristiques de la construction du XI^{e} siècle sont un appareil de moellons en opus spicatum, des piles quadrangulaires massives, des petites ouvertures et des arcades en plein cintre ainsi que la voûte en berceau.

Préalablement à la réalisation du collège du Clos Saint-Vincent (8), un diagnostic a été mené en octobre 2000 par une équipe du Conseil général de la Seine-Saint-Denis. Des traces d'occupations humaines ont été observées mais "elles sont peu denses et non datées. Ces structures, fosses, restes de constructions sur poteaux et fossés marquent une fréquentation extensive du site" (**CERCY 2000 : 25**).

Au 20 rue du Docteur Sureau, un diagnostic préalable à la restructuration d'un des bâtiments du Groupe scolaire Françoise Cabrini (14) a permis la découverte, en 2001, d'un creusement d'environ 2 m² et 1 m de profondeur qui a livré des tessons de céramique granuleuse plutôt carolingiens, d'un tesson de céramique non-tournée, de quatre tessons gallo-romains, de deux fragments de verre bleu, d'un poinçon en os, d'un éclat de silex et d'ossements animaux.

Au lieu-dit "la Rive Charmante", un diagnostic archéologique a été réalisé par l'Inrap en octobre 2002. "Des traces d'occupations humaines anciennes ont été identifiées mais le caractère ténu des vestiges semble montrer que l'essentiel du ou des sites se localise à l'extérieur de l'emprise sondée. Les vases attribuables à la culture de Cerny révèlent très probablement la périphérie d'un site" (**LANCHON, LEJEUNE 2002**).

Durant l'hiver 2002, une opération de diagnostic a été réalisée préalablement à l'extension du cimetière, suivie d'une campagne de sondages dans l'église Notre-Dame et Saint-Sulpice (10). Celle-ci est attestée en 1089-1090 (**DEPOIN 1912 N°40 : 71**). "L'ensemble des observations archéologiques relatives aux différentes phases de construction de l'église correspondent avec les différentes phases perceptibles dans les élévations et permettent de mieux comprendre l'évolution structurelle de l'église" (**LAFARGE, JARBAD 2003 : 45**). Quasiment tous les sondages ont livré des inhumations du haut Moyen Âge, peut-être postérieures (**fig.4**). Les tranchées concernant l'extension du cimetière n'ont, quant à elles, pas révélé d'inhumations et ont montré une occupation peu dense, de type agraire et probablement discontinue.

Fig.4 : Sondage dans l'église Saint-Sulpice (E. Jacquot, CD93)

En avril 2005, l'Inrap est intervenu sur "l'Îlot du Marché" (11). "Les structures archéologiques découvertes ont subi un arasement lors de la construction des bâtiments au XIX^{e} siècle et une destruction quasi complète lors de la démolition contemporaine. Cependant, il reste des traces d'une occupation des XVI-XVII^{e} siècles en rapport certainement avec les activités du domaine de Villefix, qui a perduré jusqu'au XVIII^{e} siècle". Seul un fossé des XII-XIII^{e} siècles atteste une occupation plus ancienne (**ADROT 2005 : 29**).

Un diagnostic a été réalisé, en juillet 2007 par l'Inrap, rue Robert-Schumann (12) dans le cadre d'un lotissement. "Malgré un important niveau de remblai, des niveaux néolithiques ont été détectés. Ils ont livré un corpus lithique qui comprend un peu d'outillage (deux grattoirs et deux éclats retouchés), un percuteur, un fragment de meule en grès et quelques fragments de céramique et de faune. L'occupation est donc attestée par deux fosses et un trou de poteau et peut être mise en parallèle avec le site voisin de la "Haute-Île" à Neuilly-sur-Marne" (**SAMZUN 2007**).

Dans le cadre de l'aménagement du parking, entre l'Hôtel de Ville et le parc, des études de sol ont été réalisées. Les sondages ont révélé la présence de "cavités". Le rapport établi par Technosol les identifie comme d'anciennes carrières. Leur hauteur est de 1,70 m pour 6 à 6,50 m de long et 2 à 3 m de large.

Dans le parc de la mairie (15), un premier diagnostic a été réalisé par l'Inrap les 18 et 19 novembre 2004 sur les parcelles AD574 et AD572 d'une superficie totale de 4368 m^{2}. Les autres parcelles du projet étaient alors bâties et donc non accessibles. Le diagnostic n'a pas livré de traces d'occupations humaines anciennes et n'a pu sonder davantage les "cavités souterraines" (**CORTÈS 2004**).

En 1996, des carrières ont pu être observées lors d'une surveillance de terrassement avenue du Général De Gaulle.

En 2007, un sondage archéologique (16), au 4 rue des Mastraits, donne lieu à une fouille en 2008-2009 (**LE FORESTIER 2012**). Ce sont 633 sépultures des époques mérovingienne (219

inhumations) et carolingienne (391 inhumations) qui sont alors mises au jour (**fig.5**). Vingt-trois sont chronologiquement indéterminées. Une limite fossoyée de la nécropole mérovingienne (à l'ouest) abandonnée à l'époque carolingienne a été mise en évidence. Quatre-cent-dix-huit éléments de mobilier en alliage cuivreux, en fer, en verre et en os ont été décomptés. Cent-trente-et-un sarcophages de plâtre ont été fouillés, douze d'entre eux présentaient des décors encore visibles.

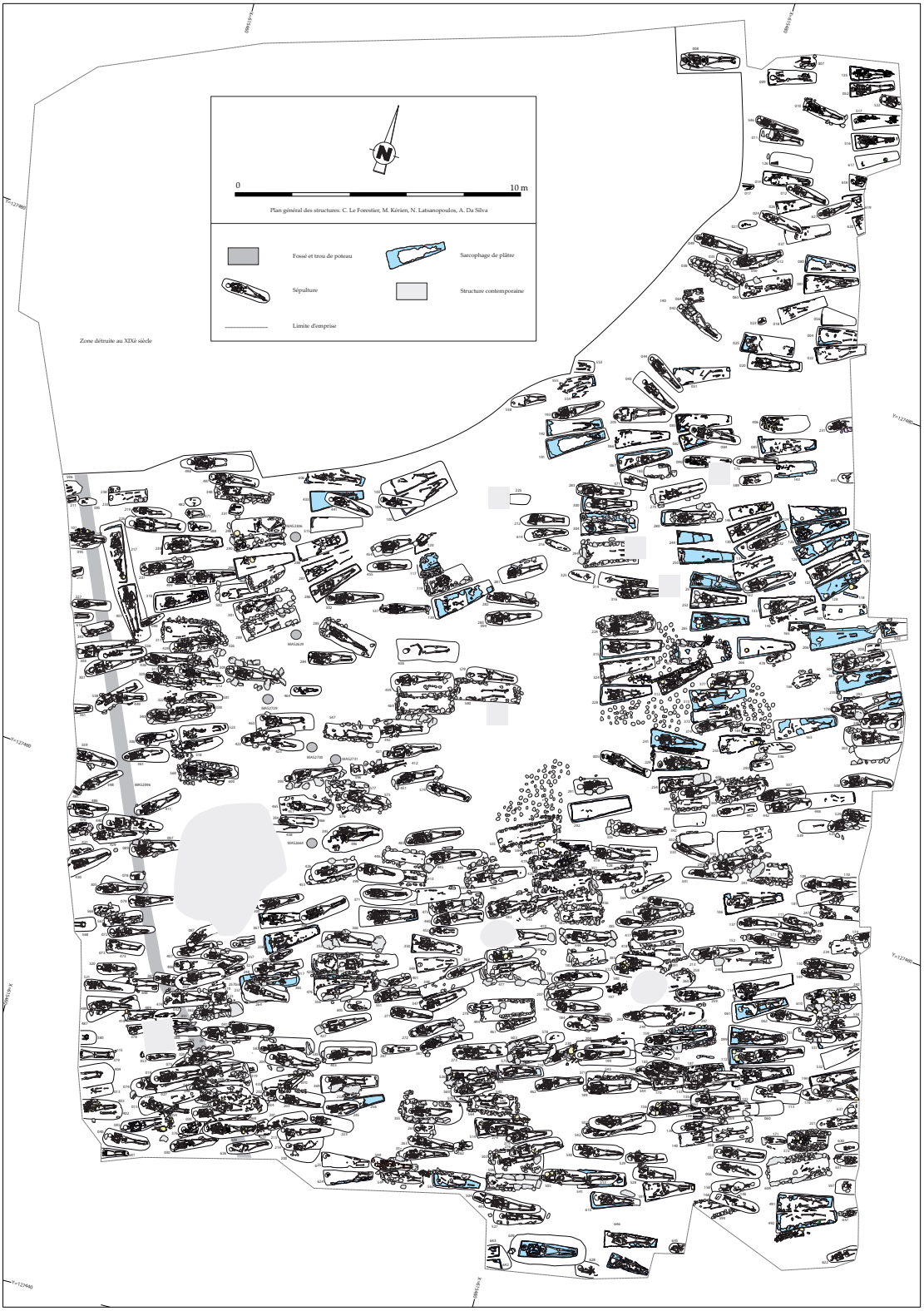

Fig.5 : Plan général des vestiges de la fouille de 2008-2009, nécropole des mastraits (M. Kérien CD93, C. Le Forestier, Inrap, N. Latsanopoulos, CD93)

En 2013, une autre opération archéologique de diagnostic livrant quelques sépultures carolingiennes a été réalisée aux abords de l'église Saint-Sulpice (**fig.6)**

Fig.6 : Photographie de l'église Saint-Sulpice (vers 1940)

À l'occasion de l'agrandissement du cimetière ancien et de la restauration de l'église, des sondages ont été menés entre 2002 et 2012 qui ont permis de mieux connaître le contexte topographique dans lequel s'insère l'église (**fig.7**). La sépulture la plus ancienne de l'édifice consiste en un sarcophage de plâtre sans décor attribué à la seconde moitié du VII^{e} siècle par comparaison typo-chronologique du mode de mise en oeuvre avec les découvertes faites à Saint-Denis. Ce sarcophage, remployé comme ossuaire lors de la construction des fondations médiévales, contenait les restes de sept individus.

Au total, ces sondages ont mis au jour vingt-cinq sépultures : une dizaine sont à dater entre l'époque carolingienne et le XII^{e} siècle (sans contenant apparent, avec colmatage rapide), les autres sont postérieures au milieu du XII^{e} siècle, date de la reconstruction du système de fondation de l'édifice.

Aucun dépôt de mobilier associé aux individus n'a été observé. Neuf sépultures mises au jour en 2013, au sud de l'église, s'apparentent à ces sépultures altomédiévales, par leur mode d'inhumation : position des pieds, joints et en hyper-extension, position des bras, absence de mobilier. Le cimetière médiéval, peut-être à partir de l'époque carolingienne, semble s'étendre vers le sud en remontant le coteau dans un rayon d'une quarantaine de mètres. Vers le nord, en redescendant le coteau, les données archéologique restent insuffisantes.

Un diagnostic, réalisé en 2013 au niveau de la rue Gambetta et à quelques mètres de l'église Saint-Sulpice (**SUSINI-COLIN 2013**) permet la découverte de huit nouvelles sépultures à inhumations datées des X^{e}-XI^{e} siècles par typochronologie, en particulier les logettes et calages céphaliques (**fig. 8 et 9**), attestant de leur contemporanéité avec les sépultures de la rue des Mastraits.

Le développement du cimetière associé à l'église à la fin du haut Moyen Âge est contemporain des dernières phases de la nécropole des Mastraits. Mais constitue-t-il une implantation funéraire, vouée à remplacer cette nécropole dès cette époque ? Une autre hypothèse peut être avancée : le site de l'église Notre-Dame et Saint-Sulpice, occupé dès le haut Moyen Âge correspondrait dès l'origine à un sanctuaire, probablement une chapelle funéraire privée, sans pour autant qu'il y ait de lien formel certain entre ce sanctuaire et la *villa regia* de Chilpéric.

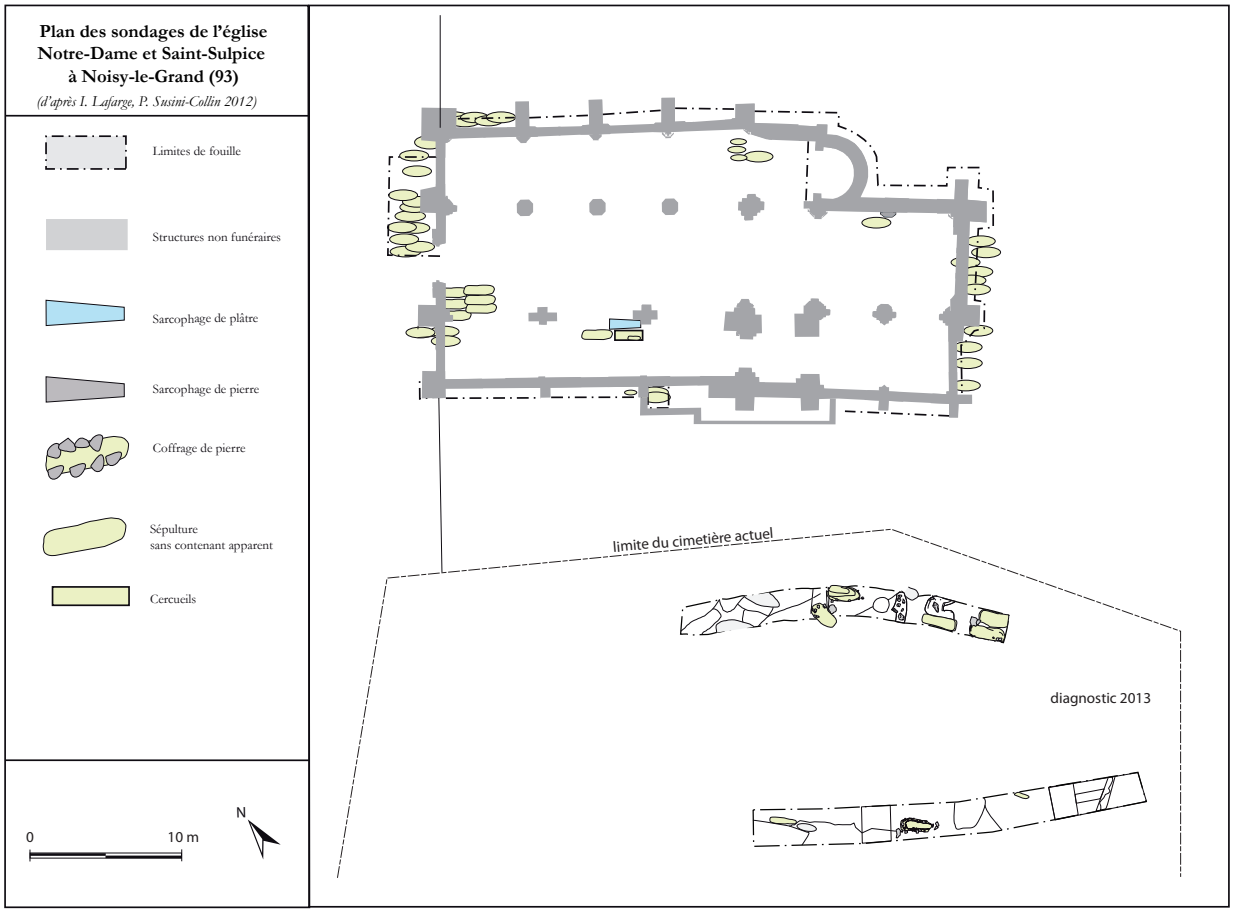

Fig.7 : Plan des sondages de l'église Notre-Dame et Saint-Sulpice à Noisy-le-Grand (93) (M. Kérien , ADN)

Fig.8 : Vues des sépultures 001 et 003, rue Gambetta (P. Susini-Colin, CD93)

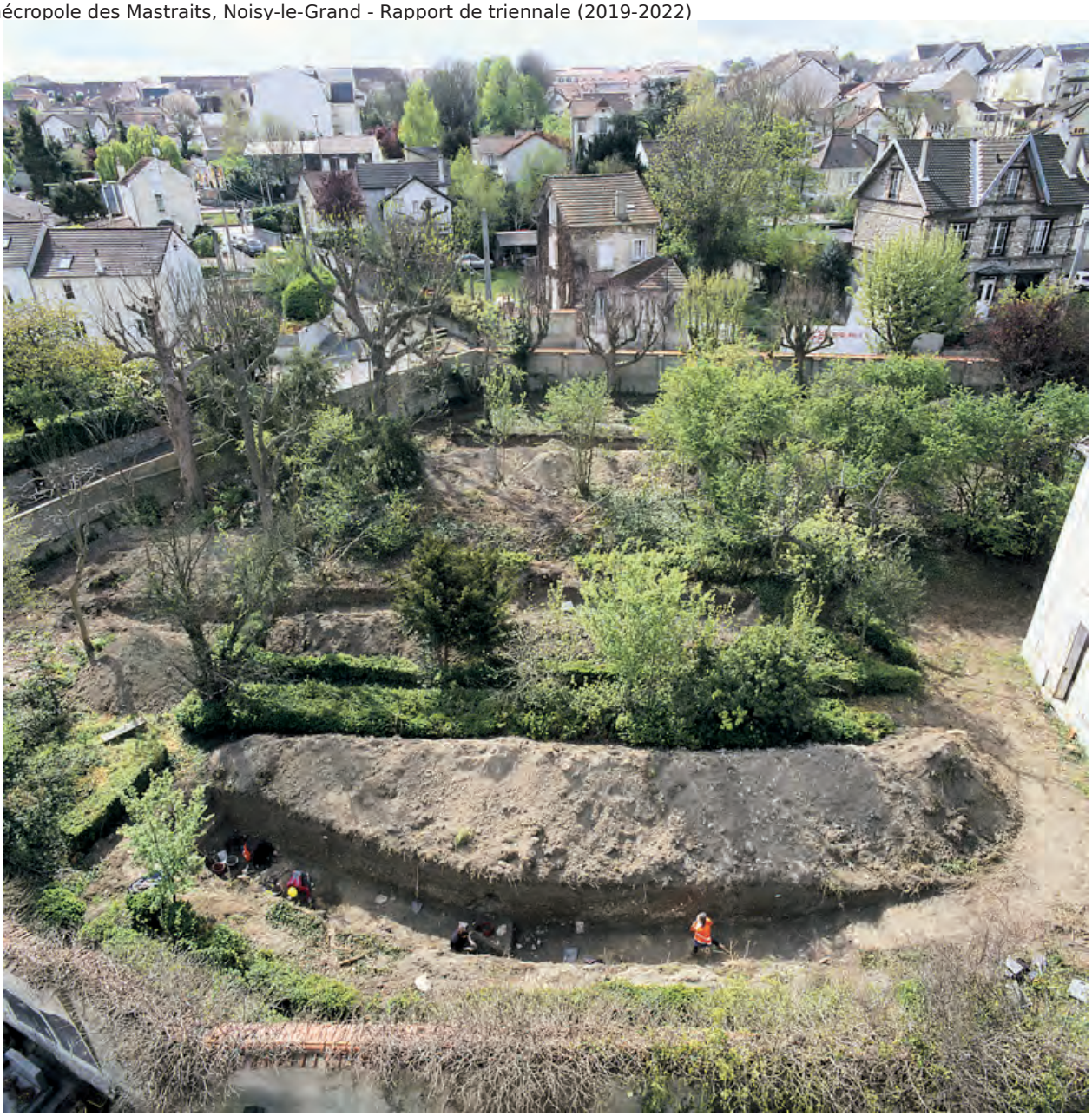

Fig.9 : Vue du diagnostic rue Gambetta (P. Susini-Colin, CD93)

Entre 2010 et 2014 et dans les alentours de la nécropole des Mastraits, deux opérations de diagnostics se déroulent dans le secteur, ne livrant aucun autre vestige archéologique mais permettent d'appréhender la limite ouest de la nécropole. Le projet de réhabilitation de la rue des Mastraits en 2015 génère un nouveau diagnostic, suivi d'une fouille archéologique en 2017 au cours de laquelle 90 sépultures sont dégagées (**LE FORESTIER, À PARAITRE**).

Cette fouille a lieu sur l'emplacement de la rue des Mastraits au niveau du trottoir nord (numéros pairs). Le diagnostic au niveau de la parcelle 152 n'a pas donné de fouille puisque la mairie de Noisy-le-Grand a abandonné le projet de parking à cet endroit pour privilégier un parc "pédagogique" en lien avec la nécropole médiévale des Mastraits.

En 2017, la seconde fouille préventive du côté des numéros pairs de la rue des Mastraits (du 2 au 4) a permis la mise au jour de 90 sépultures (**fig.10)**. Les pratiques funéraires sont similaires à celles observées lors de la fouille précédente, tout comme le recrutement funéraire (profil démographique de la population). Seul le mobilier diffère en quelques points. Les plaques boucles en fer sont plus nombreuses proportionnellement à la fouille précédente ; les perles sont quasi-absentes (1 seule pour plus de 200 en 2008-2009) et enfin les armes sont au nombre de 3 alors que la fouille précédente en

avait livré 2. Cette différence s'explique soit par une occupation légèrement antérieure dans cette partie sud de la nécropole soit par un recrutement différent. De même, les sépultures carolingiennes sont nombreuses dans la partie ouest de l'emprise.

Le rapport de cette intervention, dont la prescription concerne également la surveillance de travaux de la rue des Mastraits, n'est pas encore achevé puisqu'il manque encore une zone à fouiller (au niveau du numéro 5 de la même rue).

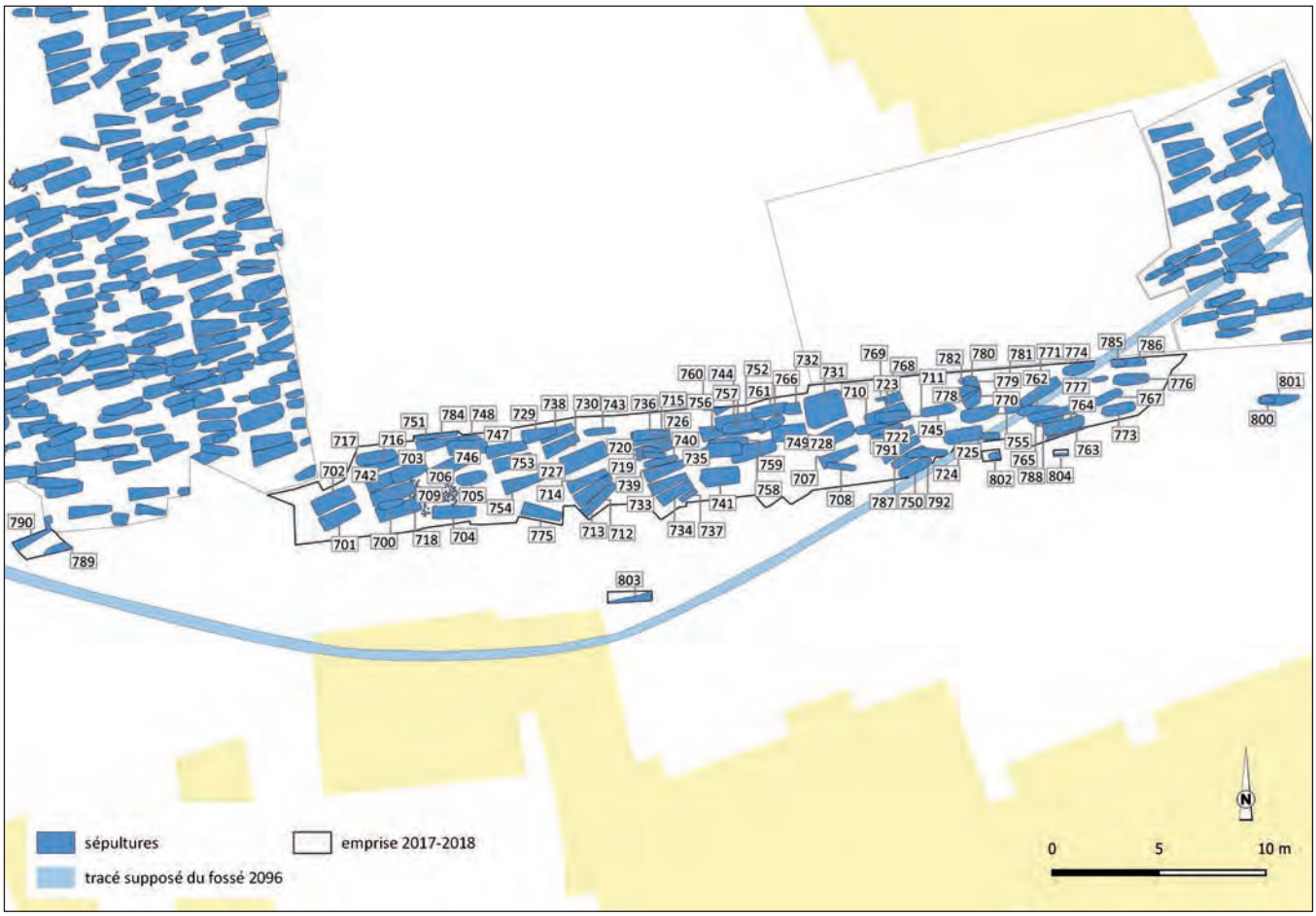

Fig.10 : Plan des vestiges de la fouille de 2017 (Rue des Mastraits et abords immédiats) (C. Le Foresrtier, Inrap)

En 2018, la réhabilitation de la rue des Mastraits entraîne des surveillances de travaux qui ont concerné une surface de 395 m². L'entreprise BIR, en charge des travaux du réseau électrique est intervenue du 14 mars au 23 mars 2018, en discontinu. L'entreprise CISE, en charge des travaux d'assainissement est intervenue du 12 juin au 4 juillet 2018, en discontinu (**fig.11**).

Dix tranchées ont été ouvertes et ont fait l'objet d'une surveillance. D'autres percées ont été effectuées manuellement par les ouvriers du chantier dans la cour du numéro 1 et de celle du numéro 5 de la rue des Mastraits. Enfin, une tranchée linéaire a été faite dans le jardin de la maison se situant au 11 de la rue des Mastraits. Ces trois dernières interventions n'ont pas livré de vestiges archéologiques.

Au total, ce sont cinq sépultures supplémentaires qui ont été découvertes lors de cette intervention.

Une dernière parcelle, située au 5bis rue des Mastraits, comprise dans la prescription de fouille, n'a pas encore été investiguée en raison d'un retard d'acquisition.

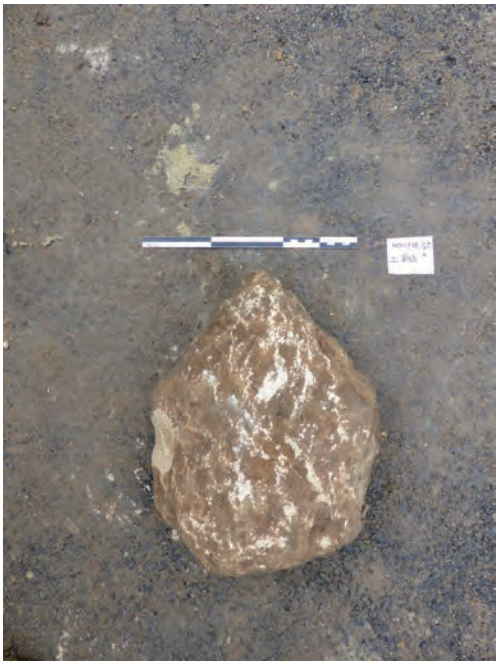

Fig.11 : Vue de la surveillance des travaux au niveau du 3 rue des Mastraits en 2018 (sarcophage en plâtre avec un sujet et un dépôt funéraire constitué d'un truelle). Une stèle a également été retrouvée. Il est difficle de l'associer à une structure (C. Le Forestier, Inrap)

En 2019, 2021 et 2022 les campagnes de fouille programmée à l'angle des rues du Docteur Sureau et des Mastraits ont permis la mise au jour de 111 nouvelles sépultures (**fig.12**), principalement datées entre le VII^{e} et le XII^{e} siècle. Ces nouvelles fouilles portent à 839 le nombre de sépultures à inhumations médiévales dans tout le secteur de la rue des Mastraits (**fig.13**).

Les diagnostics réalisés aux abords de la nécropole n'ont pas livré de vestiges archéologiques (7, 15, 18 et 30 rue des Mastraits). Bien que négatifs, ils permettent de circonscrire l'occupation funéraire et de compléter les connaissances sur l'habitat, qui se trouve vraisemblablement à l'est de la nécropole.

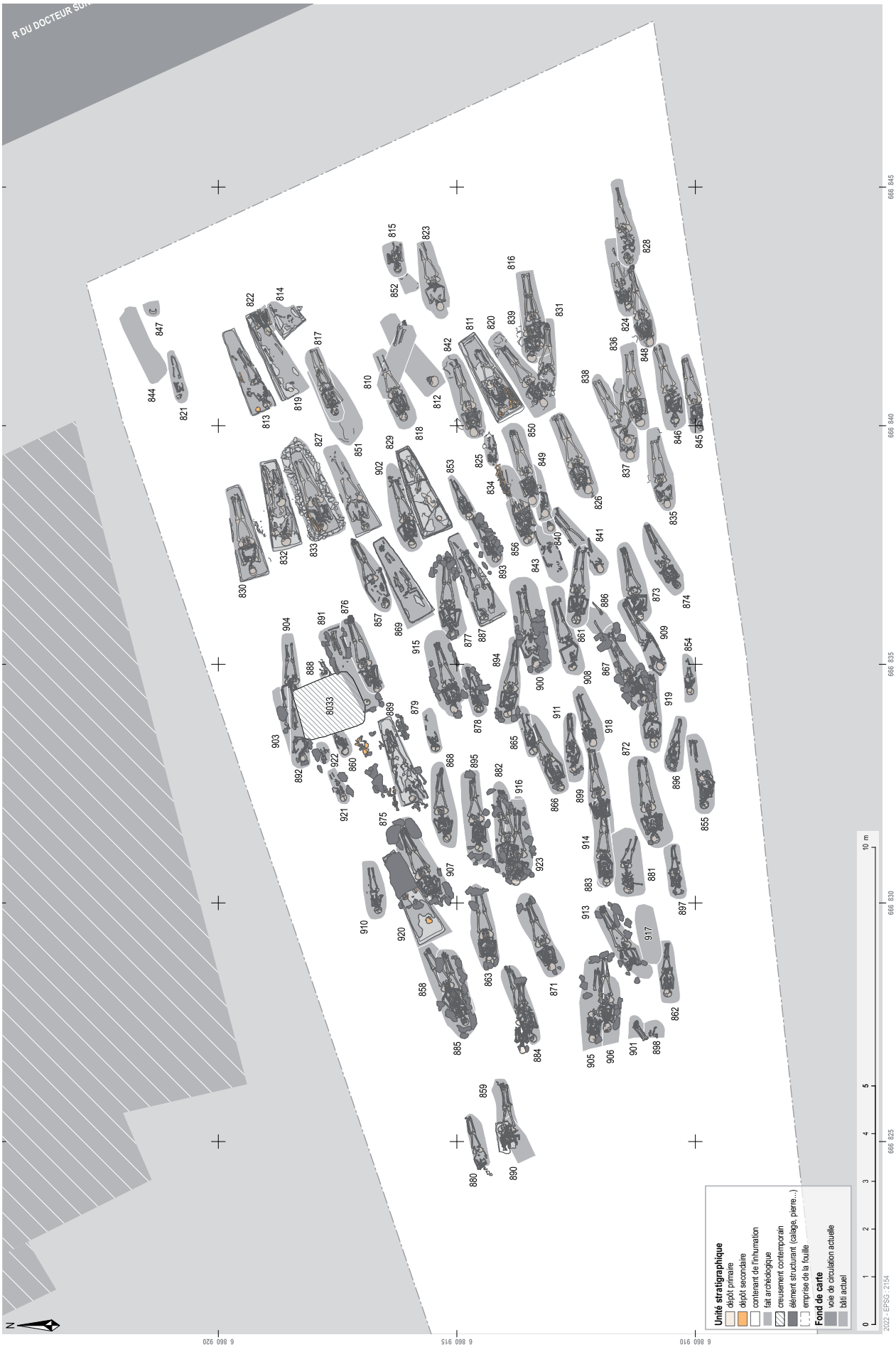

Fig.12 : Plan général de la fouille programmée (2019 à 2022) (M. Kerien, ADN, C. Font, Inrap, C. Le Forestier, Inrap)

Fig.13 : Plan général des interventions aux abords de la nécropole des Mastraits à Noisy-le-Grand (C. Le Forestier, F. Barenghi, Inrap)

1.4. Les sources écrites et cartographiques

Le quartier composé des rues actuelles du Docteur Sureau, Pierre Brossolette, Pasteur et des Mastraits a bénéficié au XVIII[e] de fouilles archéologiques (les plus anciennes du département). Un document concernant la visite de géomètres experts sur la demande de Monsieur Coqueret relate les découvertes qui ont été faites au niveau de « ladite place appelée des Mastraits ». Le texte est très original et comporte quelques notions d'archéologie. Un extrait se trouve dans l'annexe 1.

En 1771 est mis au jour, le long de la rue du Docteur Sureau, un mur lié à de la terre, d'une trentaine de centimètres d'épaisseur et de hauteur conservée, vers la rue des Mastraits, des vestiges de murs de nature semblable où s'ouvre peut-être une porte, le long de la rue Pierre Brossolette, un sarcophage en plâtre vraisemblablement mérovingien, et à l'ouest du terrain, deux autres sarcophages et des ossements humains. Il est probable qu'un carrefour, voire une place, ait existé à cet emplacement.

Entre la topographie de la carte de Delagrive et le cadastre napoléonien, le carrefour évolue, de nouvelles voies sont percées. Alors que la rue des Mastraits n'existe pas sur ce document, elle y figure bien sur le second. La modification du centre ancien s'accompagne de travaux et c'est probablement dans ce cadre que Monsieur Coqueret effectue des fouilles au niveau de la Grande Rue (aujourd'hui rue Pierre Brossolette) et qu'il prévient un architecte et un greffier des Bâtiments pour notifier les découvertes.

« Dans les fouilles faites le long de la partie latérale à gauche, nous n'avons reconnu aucun vestige de murs de fondations mais seulement deux tombes en plâtre et d'ailleurs différents ossements (…). Par devant le long de la Grande Rue dans les fouilles que nous y avons fait faire, nous n'y avons point trouvé de vestiges de murs et dans le cas ou il y en aurait, ils se trouveraient autant que nous pouvons en conjecturer par la teste des vestiges du mur latéral à droite en l'alignement des maisons sous l'encaissement du pavé et nous y avons seulement trouvé une tombe en plâtre ladite entre des ossements ».

Selon Lény Roinné (communication écrite), il faut interpréter ce texte de la manière suivante :

Le terrain est loué aux frères Coqueret par la fabrique de la paroisse de Noisy (une dizaine de notables qui gèrent l'argent et les biens de l'église), mais la location est contestée par la veuve du seigneur de Noisy-Champs (la veuve Michel), qui est convaincue que ce terrain appartient au domaine seigneurial puisqu'à l'époque, c'est une sorte de terrain vague / place publique. Elle récrimine, ce qui énerve ses adversaires (coalition Coqueret, le curé, le marguillier, la fabrique de la paroisse), qui en réfèrent à une autorité supérieure, à savoir le sieur Jean-François du Four de Villeneuve, lieutenant civil au Châtelet de Paris. Principal argument de leur défense : ce terrain était, il y a bien longtemps, un cimetière, relevant donc des possessions de l'église locale et non du seigneur. Les frères Coqueret ont alors creusé partout tant qu'ils purent, pour accréditer cette théorie. Quand ils trouvent des os, du plâtre et des restes de murs, ils appellent les amis et le Châtelet afin de mettre un terme aux réclamations de la veuve Michel, et pouvoir construire tranquillement leur bâtiment sur le terrain.

Il s'agit donc juste d'une histoire de droits, les «faits archéologiques» n'émeuvent pas ces gens qui s'en servent juste comme preuve pour justifier leurs prétentions sur un terrain disputé entre deux parties.

Le document est le compte-rendu des experts au lieutenant civil, pour que ce dernier puisse attribuer le terrain à la «coalition église» ou à la veuve Michel.

Ces interventions ont pu être localisées avec exactitude. L'auteur de la visite situe la parcelle « par devant sur la grande rue (Docteur Sureau aujourd'hui) du village de Noisy-le-Grand, un chemin pavé qui conduit à Champs (Champs-sur-Marne, plus à l'est) à droite (…) et ensuite dans ce terrain vers cet angle est une croix avec dé et marches le tout en pierre de taille ».

La parcelle de Mr Coqueret se situe donc aux angles des rues actuelles Pierre Brossolette et du Docteur Sureau, d'après les descriptions des chemins anciens et de la présence de la croix figurée sur la Carte de l'abbé Delagrive de 1771.

De même, sur la carte de l'Abbé Delagrive (1740) figure une croix à l'angle nord-est du cimetière (**fig.14**). Il s'agit de la «crois de Dame Ysebael», mentionnée dans plusieurs actes entre 1317 et 1332. Isabelle de Valery, seigneur de Bry-sur-Marne, possède alors le fief de la Barre dont dépend le terrain sur lequel se trouve le cimetière. Le fût, octogonal et monolithe, est surmonté d'un petit chapiteau feuillagé. A l'intersection des bras, deux sculptures figurent, d'un côté une Vierge à l'Enfant, de l'autre la crucifixion. Aux extrémités de la croix, des motifs aujourd'hui dégradés rappellent le chapiteau du fût. Cette ornementation semble attribuable au XV^{e} siècle. Le monument se situe actuellement dans le cimetière actuel de Noisy-le-Grand, jouxtant l'église Saint-Sulpice (**fig.15**).

Fig.14 : Carte de l'Abbé Delagrive (1711) et localisation de la nécropole en rouge plein et de la fouille de 2008-2009

Fig.15 : Croix de Dame Ysabael, découverte à l'angle des rues Pierre Brossolette et du Docteur Sureau

Á plusieurs reprises avant 1919, des sarcophages en plâtre furent découverts. Une sépulture aurait livré un anneau sigillaire figurant une Vierge à l'Enfant. C'est à l'évidence à cet objet que G.-R. Delahaye, en 1980, fait référence en évoquant la découverte d'un «sceau daté du 14e siècle». Il était autrefois conservé dans la collection Espaullard.

En 1980, sans doute à l'emplacement du bâtiment situé à l'angle de la rue Pierre Brossolette et de la rue du Docteur Sureau, un sarcophage en plâtre est découvert mais non-fouillé. Il s'agit d'une tombe à cuve trapézoïdale, aux parois épaisses de 8 à 10 cm et au couvercle en deux parties (Rousseau 1985)

En 1990, M. Lanne a raconté à Jacques Guillard que des fragments de plâtre auraient été exhumés pendant la Seconde Guerre Mondiale, lors du creusement d'abris anti-aériens et présentés comme des tombes mérovingiennes.

Á la lumière de la documentation archéologique et historique, certaines limites ont pu être définies. Les fouilles du XVIII^{e} permettent d'attester la présence de la nécropole au carrefour des rues Pierre Brossolette et du Dr Sureau.

Les fouilles réalisées entre 2008 et 2022 ne concernent donc qu'une frange de l'occupation funéraire médiévale.

En considérant les limites décrites précédemment, le nombre total de sépultures pourrait être de près de 3000.

2. LE CORPUS ET LES MÉTHODES

2.1. Le corpus

Le corpus se compose de 111 sépultures à inhumations. Aucune crémation n'a été découverte. De même, aucun édifice ou structure fossoyée ancienne, autre que sépulcrale, n'a été mis en évidence. Quelques creusements contemporains ont endommagé la nécropole à l'ouest et au nord-est, privant la collection d'une dizaine de sépultures au maximum.

Á ces 111 sépultures primaires, il convient d'ajouter de très nombreuses unités stratigraphiques contenant des ossements déconnectés. Cela concerne les réductions de corps et les remblais.

Bien que les opérations précédentes (2008-2009 et 2017) aient livré de nombreux éléments de mobilier, les fouilles réalisées entre 2019 et 2022 en sont exemptes. La matière osseuse est d'une qualité très satisfaisante et permet les études décrites ci-dessous.

Ces 111 sépultures, malgré le caractère programmé de ces interventions, ont été fouillées selon les méthodes classiques de traitement d'inhumations (délais, outils employés, observations, etc.). Nous avons évité le plus possible de laisser les ossements au soleil ou sous la pluie. L'action répétée des périodes de chaleur et d'humidité dégrade rapidement la matière corticale (lors du séchage sous les UV).

2.2. Les méthodes : anthropologie de terrain

2.2.1. La taphonomie (généralités)

Des choix méthodologiques ont été effectués pour permettre le démontage des sépultures en documentant correctement la sépulture. Les relations ostéo-articulaires, les migrations osseuses à l'intérieur ou en dehors du volume corporel originel, l'observation des effets de compression, de paroi et de gouttière ont été enregistrées. Les largeurs entre les humérus, les coxaux et les pieds ont également été annotées afin d'établir la corrélation entre les largeurs des contenants et des corps. Toutes ces observations ont pour but de déterminer la « vitesse de colmatage » de l'espace de décomposition par le sédiment.

La compréhension des gestes funéraires passe par l'analyse des actions qui ont eu lieu avant, pendant et après l'enfouissement. Les observations portent donc sur les transformations de l'agencement du corps depuis son dépôt et de la disposition des autres éléments appartenant à la sépulture (pierre de coffrage, calage, mobilier, parure, etc.). Cette analyse se fonde principalement sur l'examen de la conservation et de l'ordonnance de l'ensemble des vestiges, qu'ils soient osseux ou non (DUDAY et al. 1990 ; **DUDAY, SELLIER 1991**).

L'étude taphonomique a pour but de compléter les observations de terrain (clous, traces ligneuses) et de restituer les éléments aujourd'hui disparus comme les chaussures, les linceuls, les coussins céphaliques, etc. La qualité de l'étude est conditionnée par la diagénèse qui correspond aux altérations de la composition chimique des restes après leur enfouissement (**MASSET 2006**). Dans le cas de sépultures, il s'agit de la décomposition du cadavre, de l'intervention des thanatophages, des rongeurs, des éléments végétaux (principalement des racines) et des occupations postérieures au dépôt du cadavre. Il faut retenir principalement trois acteurs de la dégradation des vestiges osseux : les actions biochimiques, mécaniques et physico-chimiques. Les altérations dues aux micro-

organismes, au Ph, à la température ont vraisemblablement eu un rôle dans la fragmentation des parties corticales. D'autres facteurs ont un rôle dans l'altération (ou non) des tissus osseux humains : le milieu environnant, le sexe du sujet, son âge, son régime alimentaire, son état physiologique et pathologique. Ces éléments sont variables chez un individu comme au sein d'une population (**POLET, ORBAN 2001**).

Á Noisy-le-Grand, sur la nécropole des Mastraits, les sujets se sont majoritairement décomposés au sein d'un espace colmaté rapidement, hormis pour les sépultures mérovingiennes non perturbées. Á côté de cela, il existe quelques phénomènes liés à l'architecture interne de la sépulture qui peuvent être définis comme éléments secondaires tels le linceul et le coussin céphalique. Chaque fois que la conservation et la documentation du squelette le permettaient, la détermination des différents types de colmatage a été réalisée dans le but de déceler les éléments secondaires en contact avec l'individu : élément de surélévation de la tête, présence de dépôts sur ou à côté du sujet, pièces d'habillement (vêtements, chaussures, linceuls, etc.) et éléments de parure.

2.2.2. Les contenants

Ce mode d'inhumation est fréquemment accompagné de squelettes dont les os sont déconnectés. Cela concerne les connexions labiles (mains, extrémités des pieds, mandibule) comme les connexions persistantes (coudes ou genoux). La décomposition d'un cadavre au sein d'un espace vide entraîne également des déplacements osseux en dehors du volume corporel initial. Cela, bien sûr, dans le cas où le couvercle résisterait assez longtemps, jusqu'à la décomposition des masses molles.

Des migrations osseuses aléatoires peuvent résulter de la disparition des planches de fond. Généralement, l'écoulement des jus de décomposition provoque un ramollissement axial de la planche de fond. Celui-ci, sous l'action bactérienne, fongique ou chimique, peut entrainer le maintien ou le basculement du bloc crânio-facial en fonction de sa localisation.

Les dimensions des contenants peuvent également été restituées en fonction de la largeur au niveau des épaules, du bassin et des pieds du sujet.

Un soin tout particulier a été apporté à l'observation des sarcophages, tout comme en 2008-2009. Les nombreux indices nous renseignant sur le mode de mise en œuvre des cuves ont été collectés : dimensions, forme, épaisseur, nombre de coulées, réparation, enduit, surélévation du moule interne, etc.

2.2.3. Les éléments internes en matériau périssable

La présence de coussin céphalique se détermine par une disjonction, une segmentation des vertèbres cervicales en « accordéon ». La disparition du volume du coussin entraîne une migration progressive des os du cou et une possible latéralisation du bloc craniofacial.

Les observations de terrain sur les relations entretenues par les os après la disparition des matières organiques, permettent la mise en évidence de linceul, ou tout du moins, d'un élément plus ou moins enserrant, autour de l'individu au moment de sa décomposition. Ces différentes pressions sur le « corps cadavérique » ont déjà fait l'objet d'études, notamment lors des rencontres du GAAF en 2009 (**BUQUET-MARCON ET AL. 2008**).

Le linceul, enserrant, va se caractériser par une compression générale du squelette et plus particulièrement au niveau des ceintures scapulaires, pelviennes et des pieds. La première région anatomique concerne les humérus, qui vont être latéralisés, les clavicules verticalisées et les scapulas de chant. Les coxaux ne seront pas complètement à plat et les pieds vont adopter une position soit d'hyperflexion (fléchissement des métatarses ou des phalanges proximales) soit d'hyperextension (alignement strict, ou presque, des tibias, des tarses et des os constitutifs des pieds). En effet, en l'absence de toute intervention, les os des pieds se réunissent en fagot et apparaissent par leur face médiale selon la position. Enfin, les linceuls ont la particularité de laisser des traces de leur « architecture ». Comme le cercueil (ou coffrage) peut être identifiable par la présence de clous à

la fouille, le linceul peut l'être par la présence (pas systématique) d'éléments de fermeture du linge (fibule ou épingle). Malheureusement, les fouilles de 2019 à 2022 n'ont pas livré ce type de vestige. Cependant, l'importance de la compression a pu être appréciée par l'observation de la position des os des avant-bras.

Quant aux vêtements, leur mise en évidence s'avère plus délicate en l'absence de restes organiques ou d'éléments vestimentaires métalliques (**LANGLOIS, GALLIEN 2008**).

2.2.4. Les positions des membres

Les cotations employées pour la description des membres supérieurs correspondent au degré de fléchissement des os des avant-bras (**LE FORESTIER 2000**).

Cet enregistrement ne nécessite pas de tableau de correspondance (**fig.16**). Il se présente, par exemple, sous la forme suivante : 180°/90°, pour l'avant-bras droit disposé le long du corps et l'avant-bras gauche replié sur l'abdomen. Les différents degrés de fléchissement sont : 180° pour les avant-bras le long du corps jusqu'à 0° dès que les avant-bras sont ramenés sur les épaules. Trois stades intermédiaires sont retenus : 135° (mains sur le pubis), 90° (avant-bras perpendiculaires au bras, reposant sur l'abdomen) et 45° (mains croisées sur les épaules).

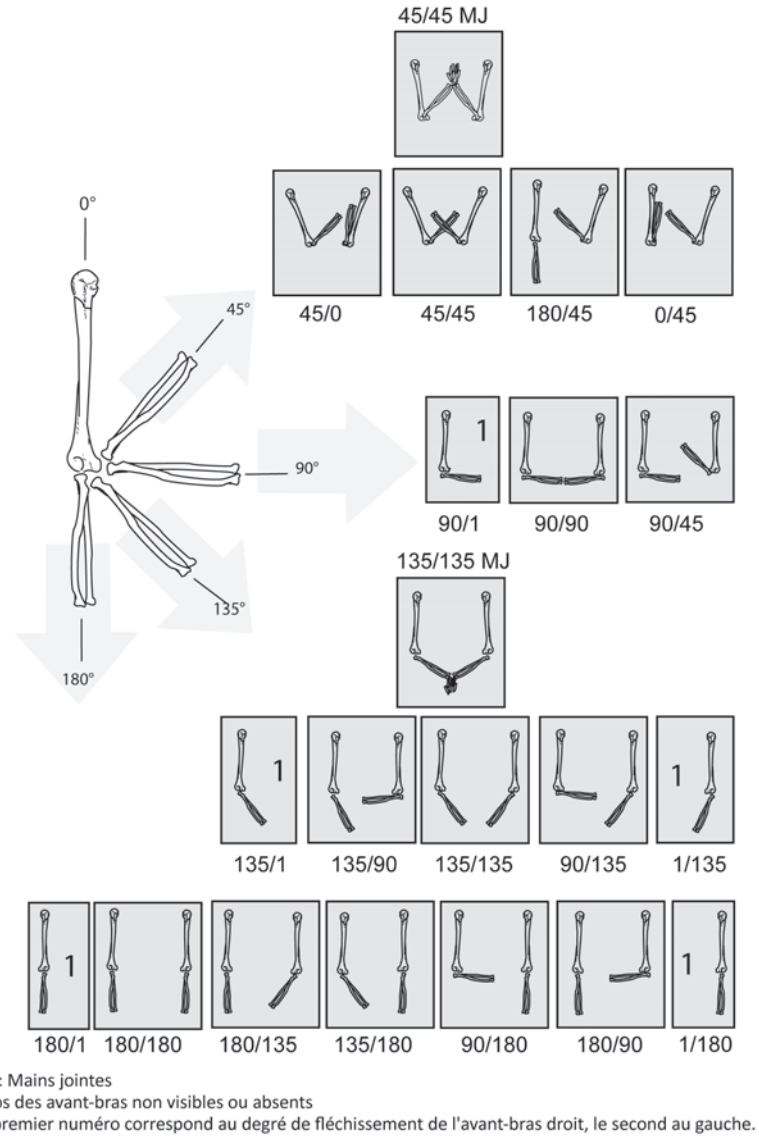

Fig.16 : Position des membres supérieurs (C. Le Forestier, Inrap)

Les membres inférieurs sont décrits selon leur fléchissement. Les pieds peuvent adopter des postures telles que l'hyperflexion ou l'hyperextension en fonction des espaces vides secondaires (créés tant pour le mode de décomposition en espace colmaté qu'en espace vide) comme par exemple des chaussures ou un linceul, et également en fonction des contraintes architecturales comme le coffrage ou des contraintes localisées comme les dépôts funéraires (céramique, coffre, etc.).

2.3. Les méthodes : anthropologie biologique

Les séances de post-fouille ont eu lieu au sein de la base Inrap de Croissy-Beaubourg (77). La convention entre l'Inrap et l'association Archéologie des Nécropoles mentionnait ce type de partenariat. Il a donc été possible d'y effectuer le lavage, le tri et la mise en sac, l'inventaire et l'étude des squelettes humains. Les études de post-fouille ont été supervisées par Micheline Kérien de l'association.

2.3.1. Détermination du sexe et de l'âge au décès

L'estimation sexuelle a été effectuée selon la méthode probabiliste de diagnose sexuelle (**MURAIL ET AL. 2005**) et n'a donc concerné que les adultes. Sur le terrain, la méthode macroscopique de J. Bruzek a été réalisée dans un souci de préservation de l'information (**BRUZEK 1991**). Á titre indicatif, nous avons travaillé sur les données métriques de la partie proximale des fémurs (**CURATE ET AL. 2016**) quand cela était possible. Aucune étude ADN n'a encore été réalisée sur cette phase de fouille, à l'inverse de celles de 2008-2009 et de 2017 dans le cadre du projet sur l'analyse génomique des populations humaines dans le Bassin parisien entre le Néolithique et le XVIIe siècle après J.-C : *https://anr.fr/Projet-ANR-21-CE12-0007*

Pour l'âge des immatures, le degré de minéralisation des éléments dentaires dents (pour les individus de moins de 15 ans) a été observée (**MOORREES, FANNING ET HUNT, 1963**). Pour les adolescents et les jeunes adultes, la méthode sur l'ossification des cartilages de conjugaison a été utilisée (**FEREMBACH ET AL. 1979 ; BIRKNER 1980**). Plus récemment, nous avons eu recours à la détermination sur les analyses bayésiennes, disponible en ligne (*https://f-santos.shinyapps.io/baewebapp/*) et facile d'utilisation.

Enfin, dès qu'aucune des méthodes précédentes n'était applicable, la mesure des os longs a été effectuée selon les tables de correspondances de M. Stloukal et M. Hanàkovà (**FEREMBACH ET AL. 1979**) pour apporter un âge au décès à titre informatif.

Quant aux adultes, il n'est pas possible, selon nous, de définir précisément un âge au décès. Des méthodes indicatives comme l'aspect de la surface pré-auriculaire de l'os coxal (**SCHMITT 2004**), la cementochronologie ou la multiplicité des indices de sénescence comme l'arthrose, la perte de dents ante-mortem, l'usure des dents importante ou le mal de Dish pour les sujets masculins âgés (**KACKI, VILLOTTE 2006**) ont pu parfois être proposés.

2.3.2. Estimation de l'état sanitaire et lésions osseuses

Plusieurs critères complémentaires ont été utilisés pour permettre d'approcher l'état sanitaire des différents individus de la nécropole.

L'hypoplasie de l'émail dentaire a été cotée sur toutes les dents (faible, forte, absence), tout comme les caries, le tartre et les abcès dans la mesure où ils étaient perceptibles. Le tarte a été coté selon 3 stades : léger, moyen, fort en fonction de la surface qu'il occupait sur les dents et du nombre de dents concernées. L'usure dentaire a été quant à elle cotée selon les stades de chronologie et de

classification du degré d'attrition mis au point par D.R. Brothwell **(BROTHWELL 1972)**. Les caries ont été inventoriées en fonction des dents sur lesquelles elles se trouvaient.

Les lésions osseuses ont été observées et ont fait l'objet d'une étude plus détaillée dans le catalogue des sépultures.

Il reste très difficile d'estimer l'activité d'une population car assez peu d'entre elles laissent des traces totalement caractéristiques sur le squelette. Néanmoins, le développement des zones d'insertions musculaires ainsi que la répétition de certaines enthésopathies peuvent indiquer l'intensité ou la répétition des plusieurs mouvements : ces variations ont été cotées pour essayer de déterminer d'éventuelles différences chronologiques.

En outre, des signes mineurs ont été utilisés en complément pour affiner le diagnostic : présence de fractures, d'entorses, de tassements vertébraux et enthésopathies de la crête iliaque.

Depuis 2020, l'Inrap, sous la conduite de Valérie Delattre, a initié une Action Collective de Recherches sur l'archéologie du handicap. Dans ce cadre, une série d'atteintes invalidantes a été définie et qui sera reprise dans ce rapport (*https://archeohandi.hypotheses.org/*). Le site de Noisy-le-Grand, la nécropole des Mastraits, fait partie d'un des sites de référence pour les études de prévalence des atteintes.

2.3.3. La métrique crânienne et post-crânienne

Les études anthropométriques permettent de caractériser la population et de comparer les morphologies avec des sujets d'autres nécropoles.

Pour le crâne, les différents indices retenus ont été les suivants : indice crânien horizontal, indice facial supérieur, indice gnathique de Flower et indice mandibulaire.

Pour la stature, la méthode est celle de Trotter (**EL NAJJAR ET MC WILLIAMS 1978 : 92**). L'estimation est calculée à partir de la mesure des os longs complets. Les estimations de stature n'ont été réalisées que sur les squelettes dont le sexe était déterminable. Seuls les os longs dont la croissance était terminée ont été mesurés conformément à la méthode utilisée par les auteurs.

2.4 L'enregistrement

Ce projet a pour objectif la mise au point et l'expérimentation d'outils numériques et des protocoles liés, dédiés à l'enregistrement des données de terrain du site de Noisy-le-Grand (93), les Mastraits. Ces outils doivent répondre à une volonté de dématérialiser l'enregistrement des données de terrain, en s'appuyant sur la géomatique pour gérer les données spatiales et attributaires, à partir de relevés issus de la photogrammétrie (**SENG ET AL. 2022**). L'objectif est d'enregistrer les Unités Stratigraphiques composant chaque sépulture (creusement, contenant, comblements, dépôt du ou des corps, réductions…) ainsi que les données propres à l'archéo-anthropologie (aménagement interne de la sépulture, données descriptives et métriques du sarcophage, position du défunt, etc.) au sein de la même base de données. La saisie et l'interrogation de ces données se font par l'interface de QGis (logiciel libre) directement, sans recourir à des logiciels tiers. Pour davantage d'ergonomie et d'accessibilité, les tables attributaires seront affichées sous forme de formulaire(s), régi(s) par des options ou des masques de saisie. Parallèlement à cet enregistrement des données, des séries de photographies sont prises dans le but de créer un modèle 3D. Outre la possibilité d'archiver les volumes du « vestige archéologique » sa position dans un espace géoréférencé, le modèle 3D permettra d'éditer une orthophotographie, qui se substituera aux minutes de terrain manuelles : une fois l'orthophotographie importée dans QGis sous forme de raster, le tracé des US sera effectué directement sur le support numérique choisi. Ce travail réalisé sur le terrain sera complété par les analyses effectuées en laboratoire ou chaque entité archéologique sera complétée et plus particulièrement les données anthropologiques (sexe, âge, maladies, métrique crânienne et post-crânienne, etc.). L'ensemble de cette démarche permettra une consultation et fournira des outils

d'analyse plus fiables et plus rapides que les données archéo-anthropologiques collectées de manière traditionnelle. L'avantage de rassembler toutes les données au sein d'un projet QGis est également la possibilité d'édition et de diffusion rapides et aisées, de cartes dynamiques et interactives, et de fait systématiquement synchronisées avec les données.

L'association en charge de la fouille programmée, Archéologie des Nécropoles (ADN), est en partenariat conventionné avec l'Inrap. Elle dispose de tout le matériel nécessaire pour mener à bien cette expérimentation et se propose de le mettre à disposition des participants : appareils photographiques, accessoires de prise de vue, ordinateur pour les traitements 3D, tablette ou ordinateur ultra portable et tactile pour la saisie des données et le relevé numérique des US sur le terrain, etc.

Á l'issue de cette expérience, l'équipe de recherche rédigera un article sur la démarche méthodologique et présentera une communication dans des colloques spécialisés en archéométrie et/ou en archéo-anthropologie. Des stagiaires des universités travaillant sur le numérique et des étudiants des universités en archéologie pourront être invités et mobilisés pour participer au projet.

Lors de la campagne de 2021 et 2022, les inventeurs de Badass (Base de données archéologiques attributaires et spatiales) sont venus d'Orléans sur le terrain pour corriger et compléter l'extension « funéraire ». Il s'agit des agents Inrap C. Font, T. Guillmard et F. Mercey.

2.3.4. Les prélèvements ADN

La paléogénétique prend une importance croissante dans l'étude des populations humaines et s'intègre désormais aux problématiques archéologiques. Toutefois, les analyses d'ADN ancien peuvent être compliquées par une mauvaise préservation initiale du matériel génétique dans les échantillons, la contamination par de l'ADN moderne et par les conditions de stockage du matériel archéogénétique.

Le projet beDNA (banque d'échan tillons et de Données Nationale Archéo-génétique) se propose de mettre en place une collection d'échantillons unique, via le prélèvement systématique d'échantillons archéologiques humains sur toutes les opérations en cours et à venir (**EHRHART ET AL. 2021**) . Cette banque fournira des conditions de conservation optimales, assurant une bonne qualité de l'ADN et le suivi centralisé des échantillons, facilitant ainsi les études intégrant plusieurs sites d'une même période, région ou culture.

Cet objectif implique la création d'une base de données, un protocole de prélèvement des échantillons commun à toutes les opérations archéologiques, la mise en place d'un espace de stockage dédié au projet, au Musée de l'Homme (MNHN, Paris) ainsi qu'un processus unique d'évaluation des demande et d'approbation par l'État des demandes d'analyse d'échantillons.

La phase de test, initiée en septembre 2020 sur la région Île-de-France, nous a permis de tester les protocoles et dispositifs mis en place, du terrain à la banque du projet beDNA, avec des prélèvements réalisés lors de différentes opérations archéologiques.

Voici la liste des 47 échantillons qui ont été transférés au Musée de l'Homme (**fig.17**):

beDNA	num_sép	UE prélevée en relation avec d'autres UE ?	Si oui à relations avec autres UE, préciser UE	Si oui à relations avec autres UE, préciser nature relation	Type échantillon	Type dent	Précision dent (ex : M2)	Précisions si autre échantillons osseux	Latéralisation de l'os ou dent
136A	I905	Non			Dent	Prémolaire	P2		Supérieure
136B	I905	Non			Dent	Prémolaire	P1		Inférieure
137A	I895	Non			Dent	Incisive	I2		Inférieure droite
137B	I895	Non			Autre échantillon osseux			Phalange	Droite
138A	I916	Non			Dent	Molaire	M3		Supérieure droite
138B	I916	Non			Dent	Molaire	M2		Inférieure droite

139A	I918	Non			Dent	Molaire	M0		Supérieure
139B	I918	Non			Autre échantillon osseux			Phalange	
140A	I922	Non			Partie pétreuse				Gauche
140B	I922	Non			Dent	Incisive			
141A	I917	Non			Dent	Incisive	I1		Supérieure
141B	I917	Non			Autre échantillon osseux			Phalange distale	
142A	I920	Oui ?		Réduction	Dent	Incisive	I1		Inférieure gauche
143A	I915	Non			Dent	Molaire	M3		Supérieure gauche
143B	I915	Non			Dent	Prémolaire	P0		Inférieure gauche
144A	I921	Non			Dent	Incisive	I0		Inférieure
144B	I921	Non			Autre échantillon osseux			Phalange	
145A	I919	Non			Dent	Canine	C		Supérieure droite
145B	I919	Non			Dent	Incisive	I0		Inférieure
146A	I911	Non			Partie pétreuse				Droite
146B	I911	Non			Autre échantillon osseux			Phalange proximale	Droite
147A	I906				Dent	Prémolaire	P1		Inférieure gauche
147B	I906				Dent	Prémolaire	P2		Inférieure gauche
148A	I913	Non			Partie pétreuse				Gauche
148B	I913	Non			Dent	Molaire	M2		Inférieure gauche
149A	I914	Non			Dent	Prémolaire	P0		Inférieure gauche
149B	I914	Non			Autre échantillon osseux			Phalange	Gauche
150A	I894	Non			Dent	Molaire	M3		Supérieure droite
150B	I894	Non			Dent	Incisive	I2		Supérieure gauche
151A	I910	Non			Dent	Molaire	M0		Supérieure
151B	I910	Non			Dent	Incisive	I0		Inférieure
152A	I908	Non			Dent	Canine	C		Inférieure
152B	I908	Non			Partie pétreuse				Gauche
153A	I893	Non			Autre échantillon osseux			Os temporal	Gauche
153B	I893	Non			Autre échantillon osseux			Phalange	
154A	I896	Non			Partie pétreuse				Droite
154B	I896	Non			Dent	Canine	C		Supérieure
155A	I902	Non			Dent	Prémolaire	P1		Inférieure
155B	I902	Non			Autre échantillon osseux			Phalange II	
156A	I909	Non			Dent	Molaire			Supérieure
156B	I909	Non			Dent	Incisive			Supérieure
157A	I900	Non			Dent	Molaire			Supérieure gauche
157B	I900	Non			Dent	Prémolaire			Supérieure gauche
158A	I897	Non			Dent	Canine	C		Inférieure gauche
158B	I897	Non			Dent	Canine	C		Inférieure droite
159A	I899	Non			Dent	Incisive	I1		Inférieure gauche
159B	I899	Non			Dent	Incisive	I2		Inférieure gauche

Fig.17 : Liste des échantillons humains transférés au Musée de l'Homme dans le cadre du projet BeDNA (P. Ehrhardt, MNHN)

3. LES FOUILLES DE 2019, 2021 ET 2022

3.1. Les circonstances de l'intervention

Les opérations d'archéologie préventive se sont déroulées de manière classique en fonction des constructions et des aménagements urbains : immeubles d'habitations au 4, rue des Mastraits (2008-2009), réfection de la rue des Mastraits (2017) et remplacements des réseaux existants (surveillance de travaux en 2018).

Initialement, la parcelle 152, dont il est question dans ce rapport devait faire l'objet d'un aménagement (parking), ce qui a conduit à un diagnostic en 2015 (**LE FORESTIER 2015**).

A la suite de la fouille préventive de 2017 et de l'engouement du public pour ce site, le projet d'aménagement a été abandonné et la Ville de Noisy-le-Grand a décidé de proposer cette parcelle à la fouille programmée, située à l'angle des rues du docteur Sureau et des Mastraits.

Après plusieurs réunions entre la municipalité de Noisy-le-Grand, le Service Régional de l'Archéologie, l'Inrap et l'association Archéologie des nécropoles, il a été convenu de réaliser une première triennale de fouille programmée sur cette parcelle à l'abandon depuis près de dix ans. Anciennement, le terrain etait un lieu de stockage pour une entreprise de maçonnerie. Ce projet sur 3 ans, de 2019 à 2021, devait permettre la fouille des 303m² de l'emprise pour une estimation d'environ 200 sépultures à inhumations. Les années suivantes auraient alors été dévolues à la publication de l'ensemble des données dans un volume de synthèse.

Á la fin de cette triennale, 111 sépultures ont été fouillées et il semble bien que le nombre de 200 inhumations estimées soit atteint si de nouvelles fouilles ont lieu sur cette parcelle.

La fouille de la nécropole noiséenne des Mastraits s'inscrit dans une longue démarche de fouilles et de recherches sur une nécropole médiévale en plein centre-ville. Le suivi des travaux d'urbanisme, lors des fouilles d'archéologie préventive, et la volonté de tous les partenaires de travailler ensemble pour la réalisation d'une fouille programmée font de ce site un cadre idéal pour la recherche scientifique et la valorisation du patrimoine. Quatorze ans de fouilles successives auront permis d'exhumer 839 sépultures datées du VI^e^ au XIII^e^ siècle (**fig.18**), ce qui en fait une des nécropole les plus importantes d'Île-de-France et une ressource documentaire osseuse primordiale pour les études populationnelles.

Le nombre important de sépultures permet d'enrichir nos connaissances sur l'archéologie funéraire de la période alto-médiévale et du Moyen Âge classique. Les modes d'inhumations évoluent selon les nouvelles règles liturgiques et nous pouvons suivre pas à pas ces changements dans l'observation des pratiques funéraires. Ces phases successives se ressentent également dans l'organisation même de la nécropole et dans son développement. Les études envisagées, et déjà en cours, concernent également les champs de la paléodémographie, de la paléopathologie, de la génétique ou de l'anthropométrie. Le nombre d'ossements, avoisinant les 170 000, permet des analyses statistiquement fiables d'autant que, pour chaque période, les effectifs sont suffisants. Cette fouille et les excellentes conditions de travail ont également permis la mise en place d'un protocole d'enregistrement original, la Nécropole Numérique.

Depuis la fouille de 2008-2009, le public local s'est intéressé aux découvertes. Systématiquement, en 2008-2009, 2017 puis en 2019, 2021 et 2022, l'équipe a voulu ouvrir le chantier aux visiteurs, proposer des expositions (2011 et 2019), participer aux manifestations (Journées Européennes de l'Archéologie, Journées Européennes du Patrimoine, Université inter-âges) et initier les plus jeunes à l'archéologie. Le « package archéologique » accueille chaque année depuis 2019, au mois de juin, près de 1000 enfants du territoire noiséen et des communes limitrophes.

Fig.18 : Plan général de la nécropole (état en juin 2022) (C. Font, C. Le Forestier, Inrap)

Portée par l'association Archéologie des nécropoles, créée en 2014 en même temps que le PCR Archéologie des nécropoles mérovingiennes en Île-de-France, la fouille de la première triennale a été menée par des agents de l'Institut National de Recherches Archéologiques Préventives et fortement soutenue par la Direction Générale des Affaires Culturelles. La mairie de Noisy-le-Grand est également un précieux partenaire dans cette opération archéologique d'envergure. Les fouilleurs sont exclusivement des stagiaires, formés à la fouille de sépulture par l'équipe encadrante.

La triennale a eu lieu de 2019 à 2021. La première année a permis la fouille de 41 sépultures à inhumations (**LE FORESTIER 2019**). En 2020, la crise sanitaire a interrompu la réalisation de la fouille. En 2021, ce sont 38 sépultures qui ont été mises au jour (**LE FORESTIER 2021)**. En 2022, 32 sépultures ont été exhumées. Ce nombre, moins important que les deux années précédentes, se justifie par la volonté de l'équipe encadrante de former les stagiaires à la chaîne opératoire en anthropologie biologique et non seulement à la fouille de sépultures. Ils ont pu à cette occasion faire du lavage, de l'inventaire ostéologique, de la détermination sexe et âge et des petites pathologies. De même, ils ont pu effectuer leur propre relevé photogrammétrique de leur sépulture et l'intégration des données sous Qgis.

La fouille d'un tel ensemble, regroupant actuellement 839 sépultures est l'occasion de travailler sur de nombreuses thématiques que nous avions déjà listées en 2009, à la suite de la première fouille préventive. Deux axes de recherches nous occupent principalement.

Le premier concerne l'étude des pratiques funéraires, tant dans la mise en œuvre des contenants moulés que sont les sarcophages en plâtre que dans celle des fosses construites, où la maçonnerie contient des pierres liées au plâtre. Cela concerne également les fosses anthropomorphes ainsi que les fosses à banquette. L'étude technique de ces contenants sera l'occasion de travailler sur une éventuelle typochronologie. Les pratiques funéraires concernent également la disposition des corps dans les sépultures. Aux alentours des IX^{e}-X^{e} siècles, la tête des sujets est calée (pour éviter que le regard du cadavre ne soit porté ailleurs que vers l'est) avec des pierres ou des ossements de sépultures antérieures. Á Noisy-le-Grand, certaines sépultures (plus de 50) ont bénéficié d'un « calage mentonnier », vraisemblablement pour éviter le rire sardonique. Ce calage peut être une pierre sous le menton ou alors les mains, placées de force (sous la pression du linceul). Ces caractéristiques méritent une étude de synthèse à la fin des opérations de fouilles.

Le second axe de recherches concerne les données biologiques des sujets. D'abord, leur nombre important permet une analyse de leur état sanitaire. L'inventaire de toutes les atteintes osseuses et des carences alimentaires permettra de suivre l'évolution des conditions sanitaires du VIème au XIIIème siècle. Cette première observation macroscopique sera couplée avec des études isotopiques pour observer d'éventuels liens avec le régime alimentaire des individus.

Les études de biologie moléculaire déjà engagées en 2010 et en 2018 permettront également de répondre à une question qui nous occupe depuis le début de ces interventions : à l'époque mérovingienne, quels liens unissent les sujets inhumés dans un même sarcophage ? Liens de parenté ? Gestion pragmatique des lieux d'inhumations ?

Bien évidemment, les résultats de ces fouilles seront aussi l'occasion, à travers les vestiges exhumés, de travailler sur l'évolution spatiale de la nécropole, la répartition générale du mobilier, les stèles, les données anthropométriques, etc.

Depuis la fouille de 2008-2009, nous avons communiqué sur les découvertes. Ainsi, le public a pu suivre pas à pas les travaux de recherche archéologique de ce secteur de la ville de Noisy-le-Grand. De même, lors de ces opérations archéologiques, plusieurs visites de presse ont eu lieu (télévisuelles, presse papier). Nous avons reçu également des groupes d'étudiants et leurs professeurs pour des visites du site.

Cette visibilité et cette accessibilité ont motivé la commune de Noisy-le-Grand à s'investir dans ce domaine. Convaincue que la valorisation est essentielle en archéologie, l'équipe de fouille et de médiation a mis en œuvre de nombreux « modules de médiation » lors des campagnes de 2019 à 2022.

3.2. Les interventions

Les fouilles se déroulèrent durant le mois de juin de chaque année pour permettre de présenter le chantier de fouille lors des Journées Nationales de l'Archéologie en 2019 et des Journées Européennes de l'Archéologie en 2021 et 2022. Le matériel de fouille avait été acheté grâce à la subvention de la municipalité comme les repas qui ont été assurés successivement par un traiteur local en 2019 par l'équipe même en 2021 et en 2022 par une association sevranaise, "Tantine Food" qui réutilise les produits invendus et qui compte parmi son personnel des cuisiniers en réinsertion.

En 2019, Le décapage archéologique a été effectué à l'aide de moyens appropriés : pelle hydraulique munie d'un godet de curage à lame lisse. Les sédiments décapés ont été évacués de la fouille et mis en décharge. Le décapage a été effectué bien au-dessus du niveau de l'apparition des sépultures pour collecter un maximum d'ossements en remblai et pouvoir fouiller les sépultures des plus jeunes, parfois décapés mécaniquement car trop peu visibles (**fig.19**).

Fig.19 : Vue de la fouille en 2019 (C. Le Forestier, Inrap).

En 2021, le décapage a concerné tout le reste de la parcelle pour ne pas avoir à endommager de nouveau le terrain par le passage d'une pelle hydraulique (**fig.20**). Pour la mise en décharge des terres, un diagnostic pollution a été demandé. Cette phase de fouille s'est déroulée du 1er au 30 juin 2021 avec une nouvelle équipe de stagiaires, dont certains étaient présents en 2019 (**fig.21**).

Fig.20 : Vue du décapage en 2021 (C. Le Forestier, Inrap)

Á la fin de la fouille le 30 juin 2021, une bâche en polyuréthane a été déployée sur le terrain, fortement lestée, dans l'attente de la nouvelle intervention archéologique en juin 2022.

En 2022, la bâche a simplement été enlevée pour permettre le dégagement des structures.

L'équipe de fouille était composée de quatre personnes principales : Cyrille Le Forestier, Inrap, responsable d'opération et archéo-anthropologue, Christelle Seng, Inrap, en charge de l'enregistrement, Rachid El-Hajaoui, Inrap, en charge de la photogrammétrie et Micheline Kérien, présidente de l'association Archéologie des nécropoles (ADN) et en charge en partie de la formation des particpants.

Ce sont 53 personnes qui ont participé à la fouille en dehors de l'équipe "fixe". Il s'agit pour la plupart d'étudiants issus des universités de Paris I, Paris IV, Paris X, Bordeaux, Marseille, Nantes, Dijon et du Museum Nationale d'Histoire Naturelle. Quelques bénévoles ont également pris part à la fouille. Nous avons également accueilli 4 stagiaires sur le terrain : 2 collégiens de 3ème et 2 stagiaires du Museum Nationale d'Histoire Naturelle. Tous ces participants ont reçu de la part de l'association Archéologie des nécropoles des chaussures de sécurité ainsi que des gants de travail.

La fouille a bénéficié de conditions météorologiques favorables à part quelques épisodes de fortes chaleurs au milieu des mois de juin 2019 et 2022.

Fig.21 : Vue du début de la fouille en juin 2021 (en haut) et en juin 2022 (en bas) (C. Le Forestier, Inrap)

3.3. Le cimetière

Ce sont donc 111 sépultures qui ont été fouillées entre 2019 et 2022 sur la parcelle 152 de la rue des Mastraits à Noisy-le-Grand *(**fig.12**).* Les phases chronologiques des sépultures sont similaires avec ce que l'on avait déjà observé lors des fouilles antérieures. L'étendue du cimetière se développe, comme attendu, au nord de la parcelle. L'existence de sépultures à cet endroit avait été mise en évidence par de nombreux témoignages du voisinage. En effet, la construction du bâtiment pour personnes âgées, Jean Wiener, avait perturbé de nombreuses inhumations dont certains riverains avaient encore le souvenir de bouts de plâtre et d'ossements humains se retrouvant dans les rues alentour.

La densité est également une donnée récurrente depuis le début des opérations en 2007. Les recoupements sont nombreux mais, pour autant, les squelettes sont généralement complets, vraisemblablement en raison d'une variation de profondeurs des fosses.

3.3.1. La chronologie

L'hypothétique prolongement du fossé de 2008-2009

Comme nous l'avons souligné à plusieurs reprises (rapport de fouille 2019 et 2021), la limite sud de la nécropole peut être déduite par l'absence de sépultures mérovingiennes au-delà d'une limite qui n'a pas été avérée archéologiquement dans la partie sud des emprises investiguées (**fig.22**). Cette limite correspond au prolongement vers l'est du fossé qui avait déjà été remarqué en 2008-2009 et enregistré en **MAS2096 (LE FORESTIER 2012, P.96**). Contemporain des sépultures des VI^e^ et VII^e^ siècle, ce fossé est mérovingien.

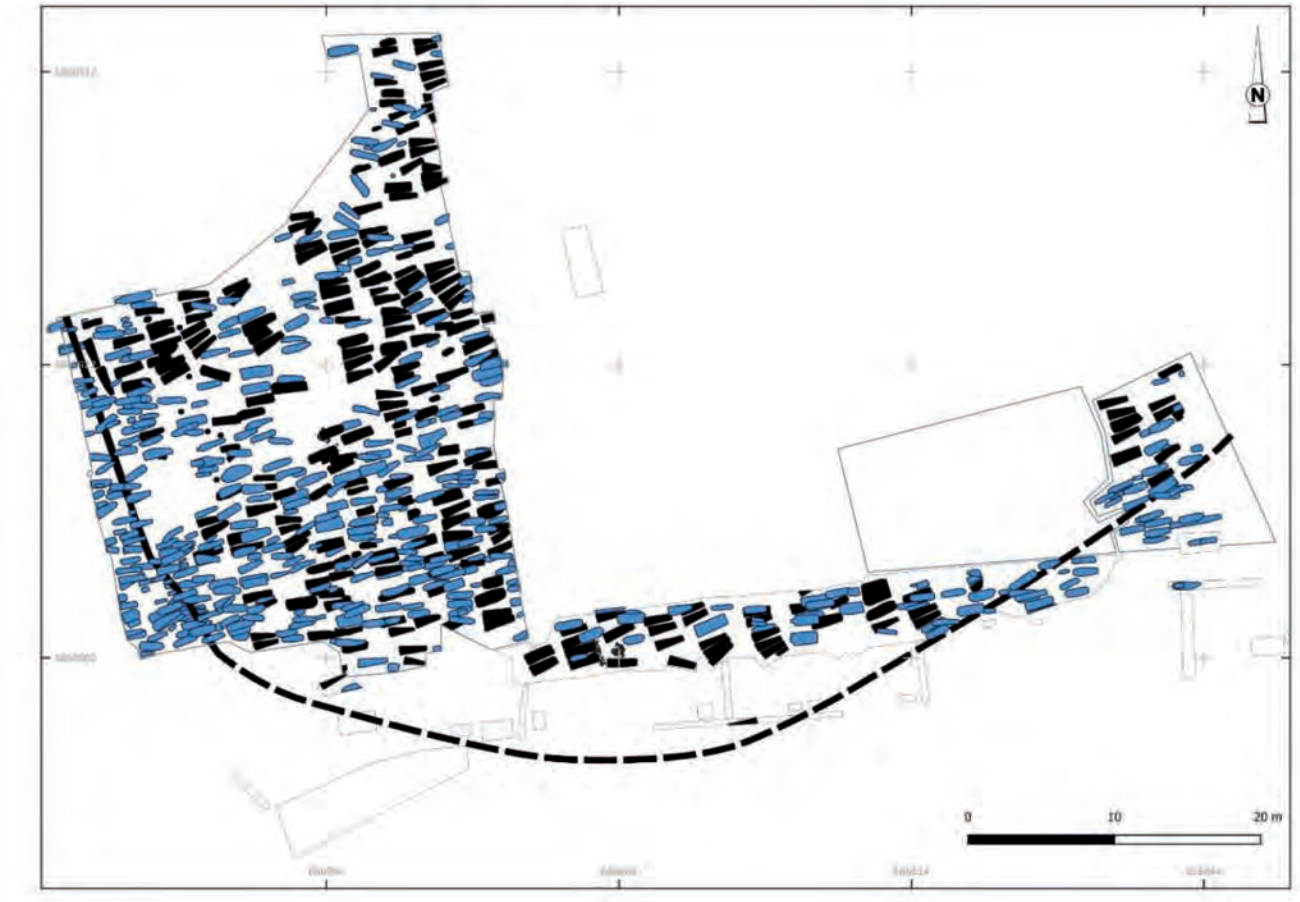

Fig.22 : Tracé hypothétique (en tireté) du fossé 2054 (en trait plein). En noir, les sépultures datées entre le VIe et le milieu du VIIIe siècles et en bleu les sépultures datées de la seconde moitié du VIII^e^ siècle au XII^e^-XIII^e^ siècles (C. Le Forestier, C. Seng, Inrap).

Le radier

Le niveau de circulation de la nécropole est conservé sous la forme d'un radier de pierres dans le secteur présentant la plus grande concentration en sarcophages (**fig.23**). Il est présent au niveau des sépultures 292 et 535 au centre de l'emprise de 2008-2009 et au niveau des sépultures 163 et 228 à l'est de cette même emprise. Il a été retrouvé à l'ouest de l'emprise de la fouille de 2017 autour des sépultures 704, 706 et 709. Ce radier se situe entre 84,4 et 84,7 m NGF qui sont d'ailleurs les altitudes les plus hautes du secteur. Lors de la fouille programmée en 2019, ce même type de niveau a été retrouvé et enregistré en MAS8002. Il peut être daté de l'époque mérovingienne puisqu'il n'est pas présent sur l'ensemble du site et qu'il est recoupé par les sépultures postérieures au VIII^{e} siècle.

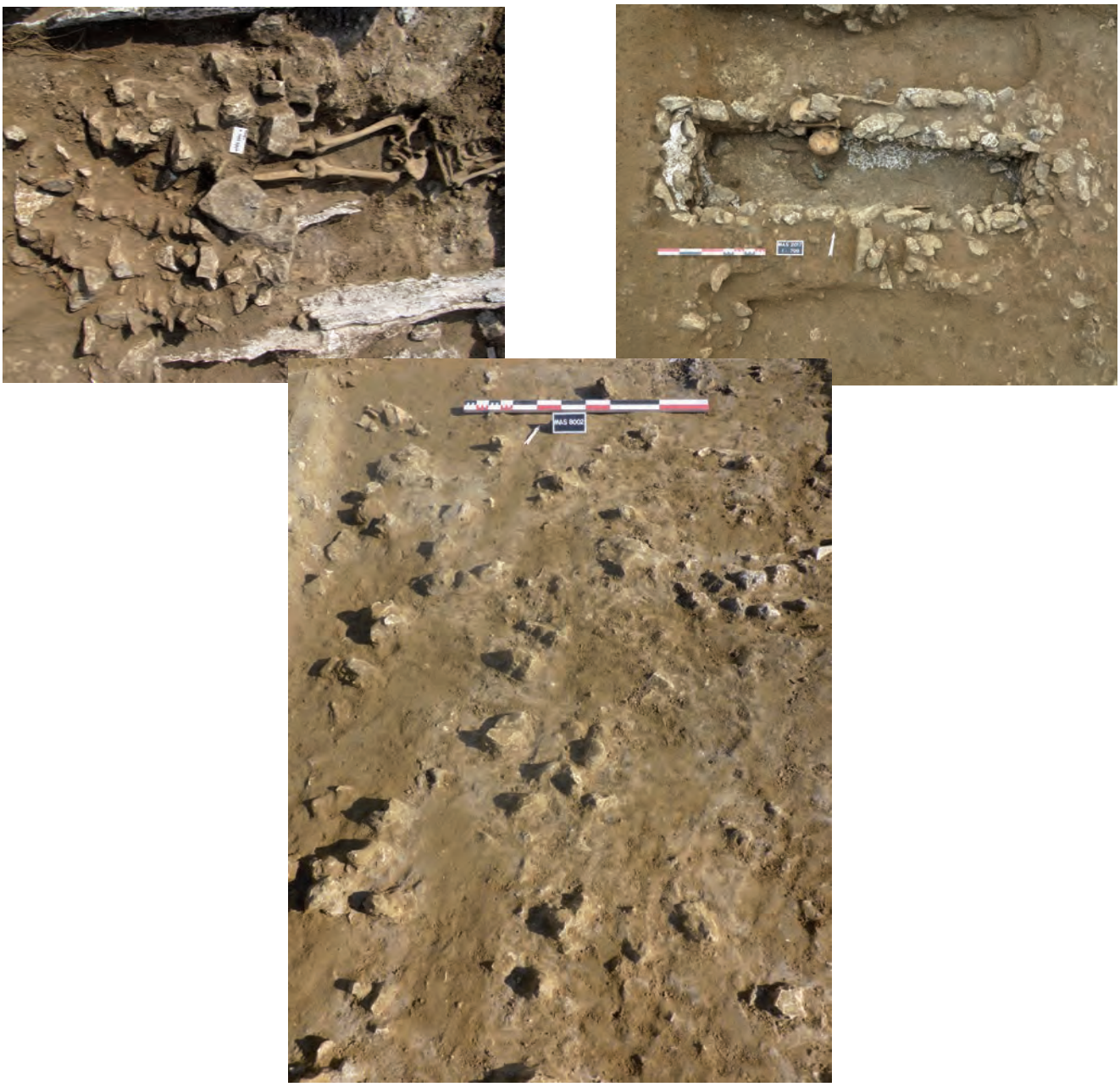

Fig.23 : Radier observé lors des fouilles de 2008-2009 (en haut à gauche), de 2017 (en haut à droite) et de 2022 (en bas) (C. Le Forestier, Inrap).

Les sépultures : datations radiocarbones

Á la différence de l'identification des phases d'occupations quand il s'agit d'habitat, d'artisanat, d'agriculture, etc., la détermination des phases chronologiques des inhumations est difficile à effectuer.

L'espace funéraire est occupé entre le VIème siècle et le tout début du XIIIème siècle. C'est-à-dire qu'il perdure tout au long du haut Moyen Âge jusqu'au Moyen Âge classique. Aucun indice funéraire gallo-romain ou du bas Moyen Âge n'a été identifié.

Nous pouvons considérer que les inhumations sont ininterrompues pendant toute la période d'utilisation du cimetière, au rythme de plusieurs par an. Toutefois, malgré cette difficulté, nous pouvons présenter un phasage par type de pratique funéraire (typochronologie). Les périodes de transition sont difficiles à cerner car les datations physicochimiques sont trop imprécises.

Ce sont dix sépultures qui ont bénéficié d'une datation radiocarbone : **I.811, I.812, I.831, I.833, I.850, I.867, I.875, I.902, I.905, I.907, I.908 et I.914** (**fig.24**). Les détails des datations sont présentés en annexe (**cf annexe 2**).

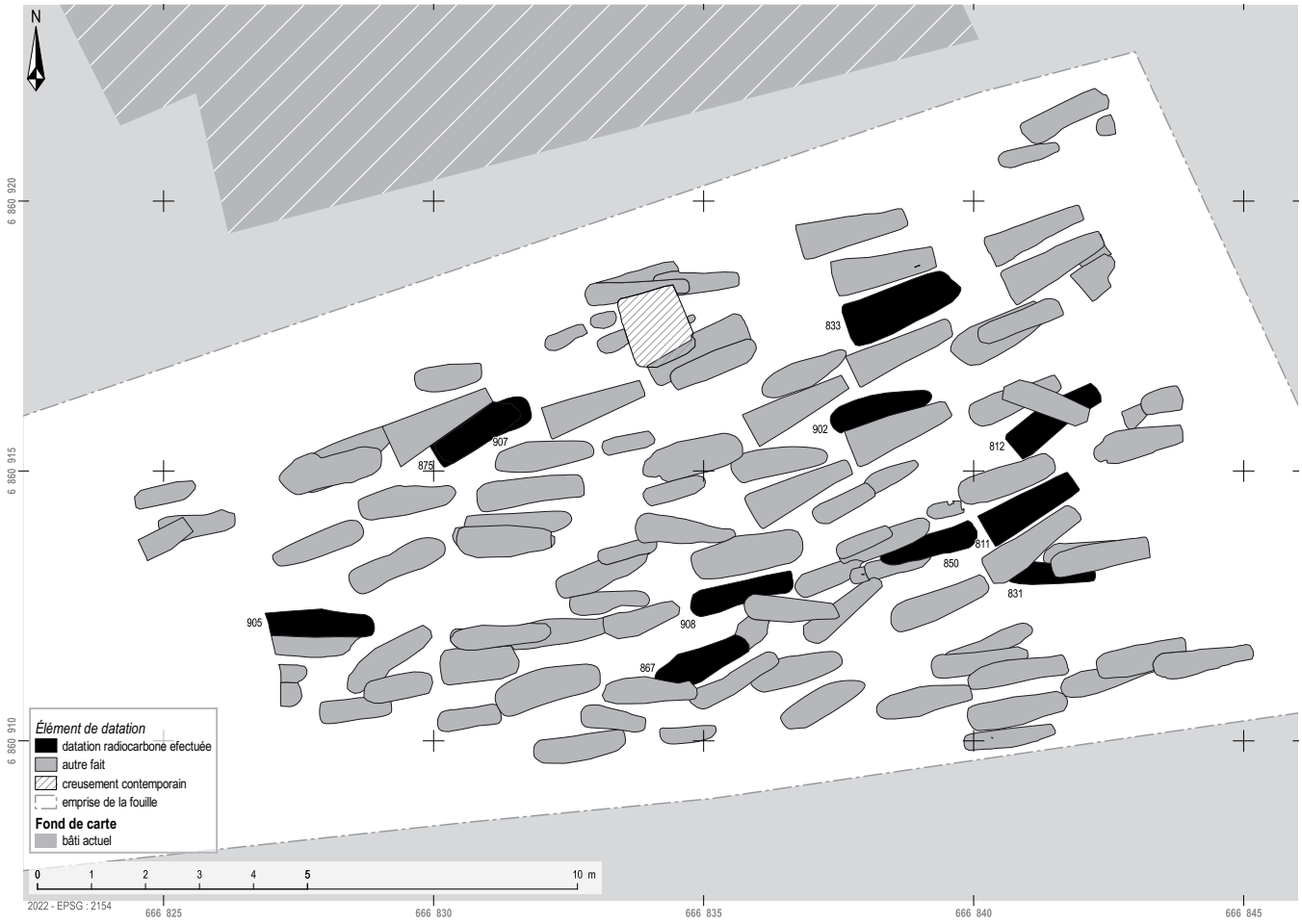

Fig.24 : inhumations datées par 14C. (C.Font et C. Le Forestier, Inrap).

Les sépultures : datations par type de pratiques funéraires

Les sarcophages de plâtre / les fosses construites

Les inhumations de la période comprise entre le VIe et le début du VIIIe siècle présentent l'avantage de contenir parfois du mobilier permettant leur datation. C'est le cas pour les sépultures des fouilles de 2008-2009 et de 2017. Bien que les sépultures fouillées depuis 2019 n'en contiennent pas, il est tentant de considérer que les inhumations, au sein de sarcophages de plâtre ou de « fosses construites », soient de la même période.

Pour la sépulture **811** (**fig.25**), le problème s'est posé quand à la chronologie des dépôts. Il semble que la cuve ait été construite à l'époque mérovingienne comme il est coutume de l'observer pour tous les sarcophages de cette nécropole. Cependant, le dépôt le plus ancien (en réduction) est

daté entre 663 et 859 après J.-C et celui en position primaire entre 776 et 975 après J.-C. Il apparaît donc que le dernier dépôt a eu lieu plutôt à la phase suivante. Dans la publication de synthèse qui sera consacrée à la totalité de la nécropole fouillée, il faudra proposer un phasage, non pas par inhumation, mais unité stratigraphique en distinguant bien le contenant du contenu. Faute de temps, ce travail n'a pas pu être réalisé dans ce volume.

Fig.25 : Inhumation 811 (C. Le Forestier, Inrap)

Bien que la mise en œuvre du sarcophage ait été effectuée vraisemblablement à l'époque mérovingienne (de nombreuses datations franciliennes par14^C l'attestent pour ce type de contenant), les sujets présents dans la cuve ne sont pas toujours les premiers occupants. Les autres datations par le mobilier et par 14^C effectuées sur les inhumations des fouilles antérieures permettent sans hésiter de situer les sarcophages en plâtre et les fosses construites entre le VIème et le début du VIIIème siècle. Ces modes d'inhumations constituent la phase 1.

Les sépultures sans contenant apparent et sans aménagement interne

Ce mode d'inhumation succède aux fosses sépulcrales renfermant un contenant. Les caractéristiques de ce groupe sont l'inhumation en linceul, assez peu enserrant, l'absence de mobilier et l'absence d'aménagement de la fosse et autour du cadavre. Le sujet de la sépulture **727**, fouillé en 2017, a les mains repliées sur l'abdomen et n'est pas dans un linceul enserrant. Cette inhumation réutilise une cuve de plâtre. La tête n'a pas basculé et la sarcophage sous-jacent a servi de calage. Le décès de l'individu est survenu entre 983 et 1051. Ce type d'inhumations pourrait avoir eu lieu entre le début du VIII^e siècle et la fin du X^e siècle et constitue la phase 2. Cet exemple illustre bien une différence de datation entre le contenant funéraire et le dernier sujet qui l'occupe. C'est également le cas de la sépulture **884** (**fig. 26)**.

Fig.26 : Exemple d'une sépulture de la phase 2 (I.884) (C. Le Forestier, Inrap)

Les sépultures en banquette, avec calage céphalique (pierres ou fosses anthropomorphes), calage mentonnier et linceul enserrant, voire très enserrant.

Les sépultures de ce groupe ne renferment pas de mobilier. Ce groupe réunit en effet plusieurs aménagements. Le creusement se présente sous forme de banquette pour accueillir quelques pierres maintenant vraisemblablement des planches de bois. La tête du défunt est généralement calée par des pierres et/ou par un creusement anthropomorphe faisant office de logette céphalique. Le corps est surélevé dans sa partie supérieure pour permettre au défunt de regarder vers l'est, vers Jérusalem. Enfin, ce groupe rassemble également les sujets qui présentent un calage mentonnier (évitement du rire sardonique) sous la forme d'une pierre ou du positionnement d'une ou des deux mains sous le menton.

La sépulture **765**, fouillée en 2017, présente ces particularités (mains sous le menton et calage céphalique) et a été datée entre 994 et 1154, tout comme la sépulture **749**, datée entre 1033 et 1190. La sépulture **850**, fouillée en 2019 présente un emmaillotement assez enserrant et une surélévation céphalique. Sa datation est comprise entre 1016 et 1155. Les sépultures 905 et 906 illustrent les pratiques de ces deux derniers groupes et entretiennent une relation stratigraphique. Le sujet de la sépulture **906** n'est pas très enserré dans son linceul, les avant-bras reposent sur le membre opposé. Le sujet de la sépulture **905** est emmailloté fortement, les mains ont été disposées de manière à caler la mandibule et une pierre a été placée pour maintenir la tête. C'est aussi le cas de la sépulture **916** (**fig.27**)

Ce type de sépultures pourrait être daté entre la fin du X^{e} siècle et le XII^{e} siècle et constituent la phase 3.

Fig.27 : Exemple de sépulture de la phase 3 (I.916) (C. Le Forestier, Inrap)

Á partir de cette proposition typochronologique qui s'appuie sur des datations 14^{C} (fouilles de 2008-2009, 2017, 2019-2022), ce sont 16 sépultures qui appartiennent à la phase 1, 41 à la phase 2 et 54 à la phase 3 (**fig.28 et 29**).

Les inhumations de la phase 1 se situent exclusivement dans la partie nord de l'emprise de fouille. Au délà du fossé suggéré. Seul un groupe composé de trois sépultures a été repéré. Il s'agit des sépultures **827, 833 et 832**. La suite de la fouille devrait permettre d'étudier d'autres sépultures de cette phase, bien caractéristique. Ajoutons que les inhumations de cette phase semblent être systématiquement réalisées dans des contenants de plâtre.

Les sépultures de la phase 2 s'implantent sur l'ensemble de la parcelle, avec cependant une plus forte concentration observée au centre de l'emprise.

Les sépultures de la phase 3 recoupent de nombreuses inhumations de la phase 1 et 2. Certaines s'intercalent entre les sépultures de la phase 2 à moins que ces dernières appartiennent justement à la phase 2. La présence de ce type de sépulture est plus ténue au nord de l'emprise de fouille.

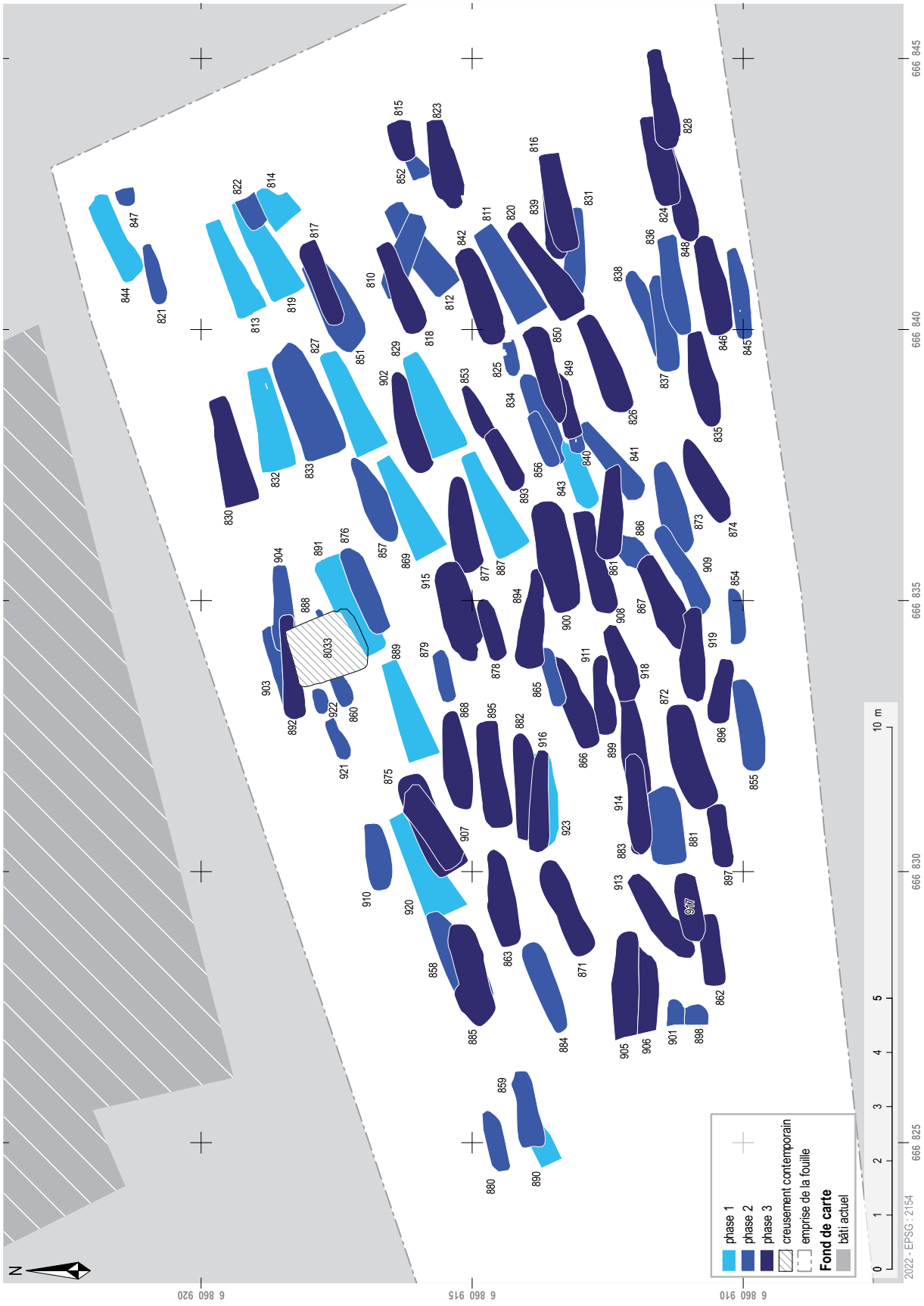

Fig.28 : Plan par phases (selon la typologie des pratiques funéraires) (C. Font, C. Le Forestier, Inrap)

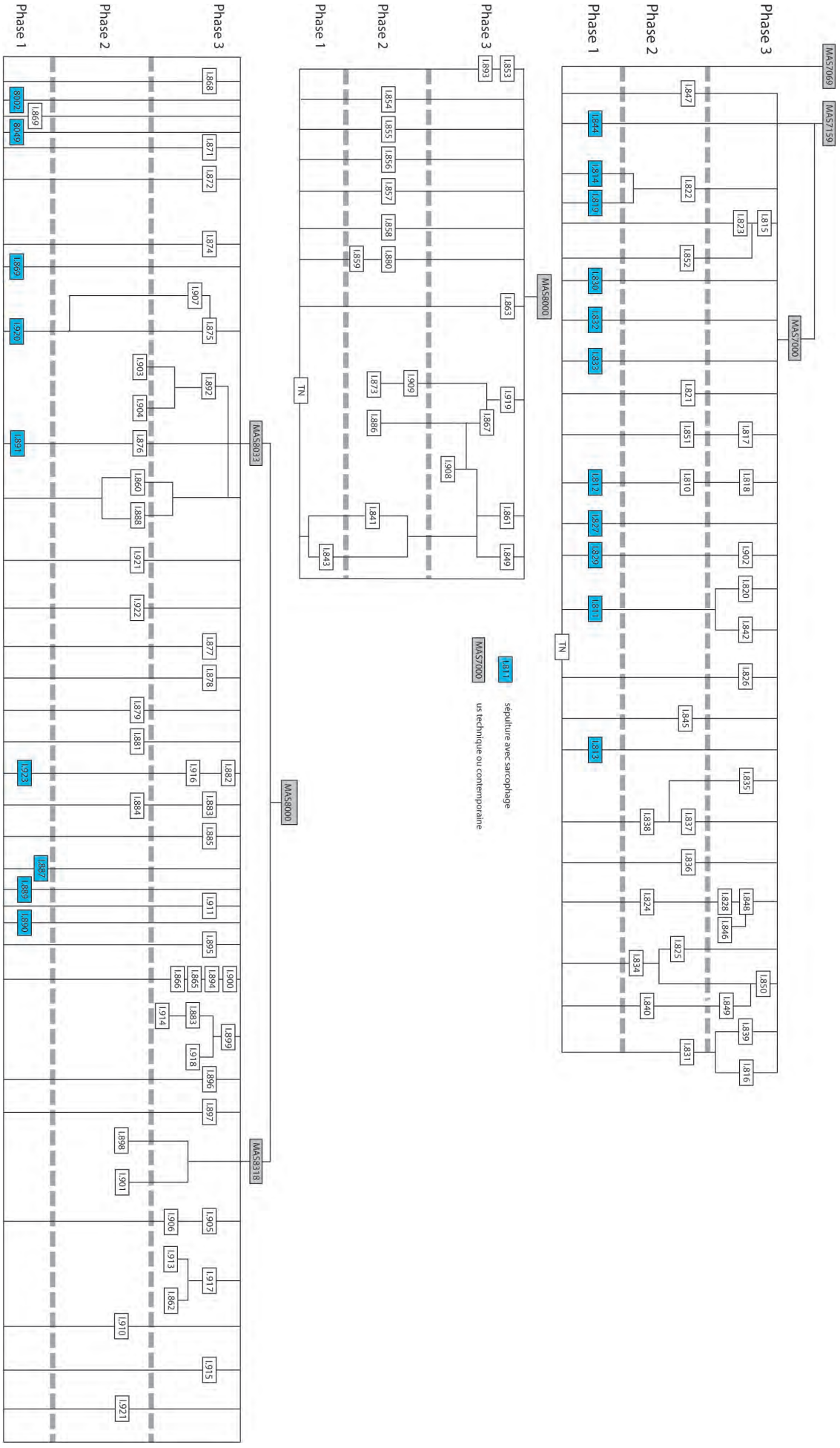

Fig.29 : Diagramme stratigraphique (C. Le Forestier, Inrap)

3.4. Les pratiques funéraires

Les faits funéraires correspondent tous à des sépultures primaires à inhumation. Ce mode de gestion est tout à fait en adéquation avec la période. Il faut noter la présence de réductions de corps et de vidanges pour les occupations de la phase mérovingienne, pour les phases suivantes, les ossements perturbés sont simplement placés dans le comblement de la fosse sépulcrale.

Les pratiques funéraires sont identiques aux phases précédentes. Á la période mérovingienne, il semble que le sarcophage de plâtre et les fosses construites soient les seules structures funéraires utilisées. Les datations 14c et la datation du mobilier (pour les fouilles de 2007 à 2018) attestent bien de cette exclusivité. Les autres types d'aménagements sont postérieurs au VIIIe siècle (fosse oblongue, fosse à banquettes, fosses anthropomorphes).

3.4.1. Les fosses

Les creusements ont été réalisés dans la couche limono-sableuse du substrat naturel pour les inhumations les plus anciennes. Pour bon nombre d'entre elles, les fosses ont été creusées en partie dans les comblements des sépultures antérieures. Les longueurs, les largeurs et les profondeurs conservées ont été renseignées (**fig.30**)

Les dimensions des fosses sont, selon toute logique, variables en fonction de l'âge au décès des sujets. L'analyse suivante ne prend en compte que les fosses des individus adultes. La médiane des longueurs des fosses de la phase 1 est de 200 cm et de 56 cm pour la largeur. Pour la phase 2, la médiane des longueurs et des largeurs est respectivement de 177 cm et de 45,5 cm. Quant à la phase 3, la médiane des longueurs et des largeurs est respectivement de 186 cm et de 50 cm. Ces différences s'expliquent assez simplement. Les fosses de la phase 1 sont plus grandes en raison de leur conditionnement pour accueillir un sarcophage de plâtre, généralement de grandes dimensions. De même, les fosses des sujets de la phase 3 sont creusées dans le but d'accueillir des « fosses à banquette », également assez larges. Les fosses de la phase 2, qui accueillent principalement des sujets sans contenant et emmaillotés dans un linceul, n'ont pas vocation à être de grandes dimensions.

numfait	dim_max	dim_min	profondeur	numfait	dim_max	dim_min	profondeur
811	187	55	42	**865**	110	28	9
812	190	56	20	**866**	164	52	16
813	186	41	33	**867**	186	60	20
814	79	60	17	**868**	154	36	16
815	77	43	31	**869**	196.7	50.7	39
816	184	50	33	**870**	0	0	0
817	163	38	15	**871**	190	52	42
818	176	44	24	**872**	200	66	16
819	199	53	41	**873**	173.9	55.4	14
820	201	51	37	**874**	165.2	52	14
821	114	30	11	**875**	195	70	21
822	0.61	41	0	**876**	175	40	18
823	169.7	56	19	**877**	180	60	20
824	169.1	52.7	14	**878**	114	30	12
825	64.4	28.3	9	**879**	86	22	12
826	193.4	48.8	28	**880**	114	64	30
827	213.9	48.9	38	**881**	140	70	36
828	186.8	41.6	9	**883**	170	64	27
829	215	90	40	**884**	172	54	30
830	202.1	50.6	19	**885**	192	78	33
831	176.5	39.1	45	**886**	60	40	10
832	191.7	53.9	41	**887**	200	52	37
833	214.4	76.8	39	**888**	1.4	12.5	0
834	179.8	43.9	17	**891**	205	45	25
835	178.5	49.4	30	**892**	180	55	20
836	185.9	42.6	17	**893**	40	110	12
837	180.6	38.2	21	**894**	184	50	41
838	173.2	41.9	20	**895**	175	49	19
839	195.8	45.8	14	**896**	120	40	20
840	30.3	28.5	7	**897**	116	40	10
841	156	0	16	**898**	25	40	22
841	175	35	32	**899**	202.9	47.7	12
842	186.4	53.8	33	**900**	210	60	40
843	144	48	23	**901**	40	35	20
				902	190	48	20
844	166.9	42.8	20	**903**	100	30	15
845	169.2	35	17	**904**	120	32	10
846	186.7	53	15	**905**	166	45	25
847	34.5	36	0	**906**	160	35	25
848	188.1	38.3	22	**908**	185	40	20
849	124.1	28.3	5	**909**	170	400	20
850	184.5	41.3	31	**910**	50	130	10
851	185.2	63.3	23	**911**	40	170	30
853	90	46	25	**913**	176	50	28
854	104	48	12	**914**	170	33	20
855	170	50	10	**915**	170	41	21
856	112	40	16	**916**	189	40	40
857	169	50	12	**917**	125	40	30
858	192.3	63.8	10	**918**	140	47	16
859	141.9	40.4	12	**919**	175	50	20
860	54	36	8	**920**	175	44	30
861	190	54	30	**921**	20	30	30
862	112	40	12	**922**	50	24	10
863	184	60	26	**923**	177	55	36

Fig.30 : Dimensions des fosses sépulcrales, numfait correspond au numéro de la sépulture (C. Le Forestier, Inrap)

3.4.2 Les orientations

Les fosses sont généralement orientées selon un axe est-ouest, la tête du défunt à l'ouest.

Cette orientation n'est pas *stricto sensu* la même pour toutes les sépultures mais l'intention de disposer les corps selon cet axe est respectée. Rappelons que l'objectif d'une telle disposition est de permettre au défunt de regarder vers l'est. Cette volonté est accompagnée d'aménagements autour du défunt (calages et coussins céphaliques). Á ce stade de la fouille, une étude par phase des orientations serait incomplète. Nous remarquons donc que l'amplitude est assez faible (**fig.31**).

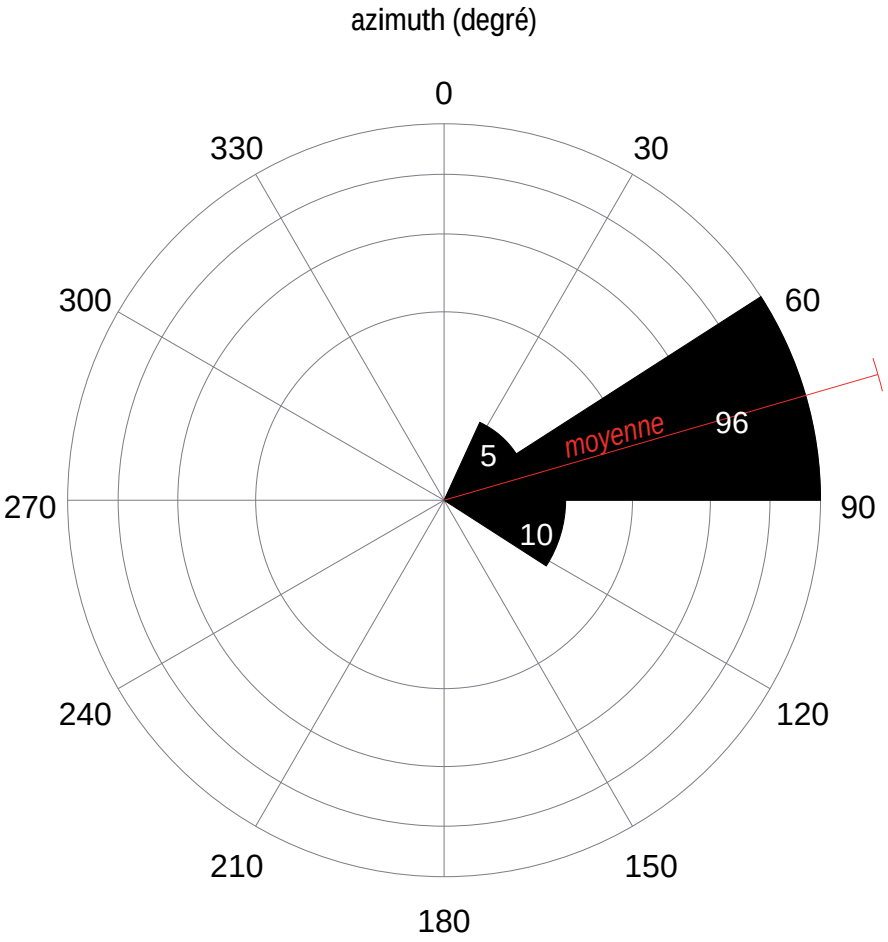

Fig.31 : Degré d'orientation des individus (toutes périodes confondues) (C. Font, Inrap)

3.4.3 La position des corps

Les corps ont été disposés en décubitus dorsal, les mains généralement sur le membre supérieur opposé (au niveau du coude) ou sur l'abdomen et les membres inférieurs alignés dans l'axe du corps, non fléchis.

Seuls trois sujets adoptent une position un peu différente. Le premier est celui de la sépulture **855**. Le corps repose en décubitus latéral gauche. La longueur de la fosse, non adaptée à la taille relative de l'individu, n'a pas permis un dépôt sur le dos. Le deuxième est le sujet de la sépulture **856**. Vraisemblablement pour la même raison que l'inhumation précédente, les membres inférieurs ne sont pas étendus mais fléchis, le droit reposant sur le gauche. Enfin, le dernier cas est celui de la sépulture **881**. Le sujet repose en décubitus dorsal, mais les membres supérieurs sont surélevés. Il est possible que le sujet ait été glissé le long de la paroi et que les membres supérieurs sont venus

se caler contre la paroi ouest de la fosse. Le comblement de la fosse a été immédiat après le dépôt du jeune cadavre.

Nous ne comptons pas parmi les inhumations des dépôts aberrants ou des ossements ayant subi des interventions post-mortem comme c'est le cas sur le site de La Confiserie à Villiers-le-Bel (**ABADIE 2013**) ou des individus dans des positions particulières comme c'est le cas de sujets jetés dans des silos à grains à Bondy (**POIGNANT 2012**).

L'étude de la position des membres supérieurs et plus particulièrement du fléchissement des deux avant-bras a pu être réalisée pour 75 sépultures (soit 67,5%), ce qui est tout à fait satisfaisant (**fig.31**). La position dominante est celle où les avant-bras sont repliés sur le ventre à 90°/90°, les mains reposant sur le coude opposé. Elle représente 23 cas, dont 17 pour la troisième phase. Ensuite, la position avec les mains le long du corps (180°/180°) comptabilise 12 cas dont la plupart dans les deuxième et troisième phases. Enfin, la position avec les mains sur le pubis (135°/135°) concerne 10 cas principalement pour les sujets de la phase 3. Les positions hautes, avec les mains reposant sur l'épaule du même côté et du côté opposé concernent presqu'exclusivement les individus de la phase 3.

Position avant-bras	phase 1	phase 2	phase 3	Total
0/0	0	0	1	1
0/1	0	1	0	1
0/45	0	0	2	2
0/90	0	0	1	1
1/0	0	1	1	2
1/180	0	2	0	2
135/0	0	1	0	1
135/1	0	1	0	1
135/135	2	2	6	**10**
135/180	0	1	1	2
135/90	0	0	2	2
180/135	1	1	0	2
180/180	1	7	4	**12**
45/1	0	0	1	1
45/135	0	0	2	2
45/45	0	0	3	3
45/90	0	2	7	**9**
90/1	0	1	1	2
90/135	0	1	2	3
90/45	0	0	1	1
90/90	1	5	17	**23**
1/90	0	0	1	1

Fig.32 : Degré de fléchissement des avant-bras et phase d'inhumation (C. Le Forestier, Inrap)

Quant à la position des membres inférieurs, hormis pour les cas cités *infra*, ils sont alignés dans l'axe du corps.

3.4.4 La gestion funéraire

Ce sont 4 types de gestion funéraire qui ont été mis en évidence parmi les inhumations de la nécropole au sein de la parcelle 152 (**fig.33 et 34**).

sarcophage	coffrage	fosse maçonnée	fosse à banquette	sans contenant apparent	ind
15	1	3	18	66	8

Fig.33 : Nombre de cas par type de gestion funéraire (C. Font, C. Le Forestier, Inrap)

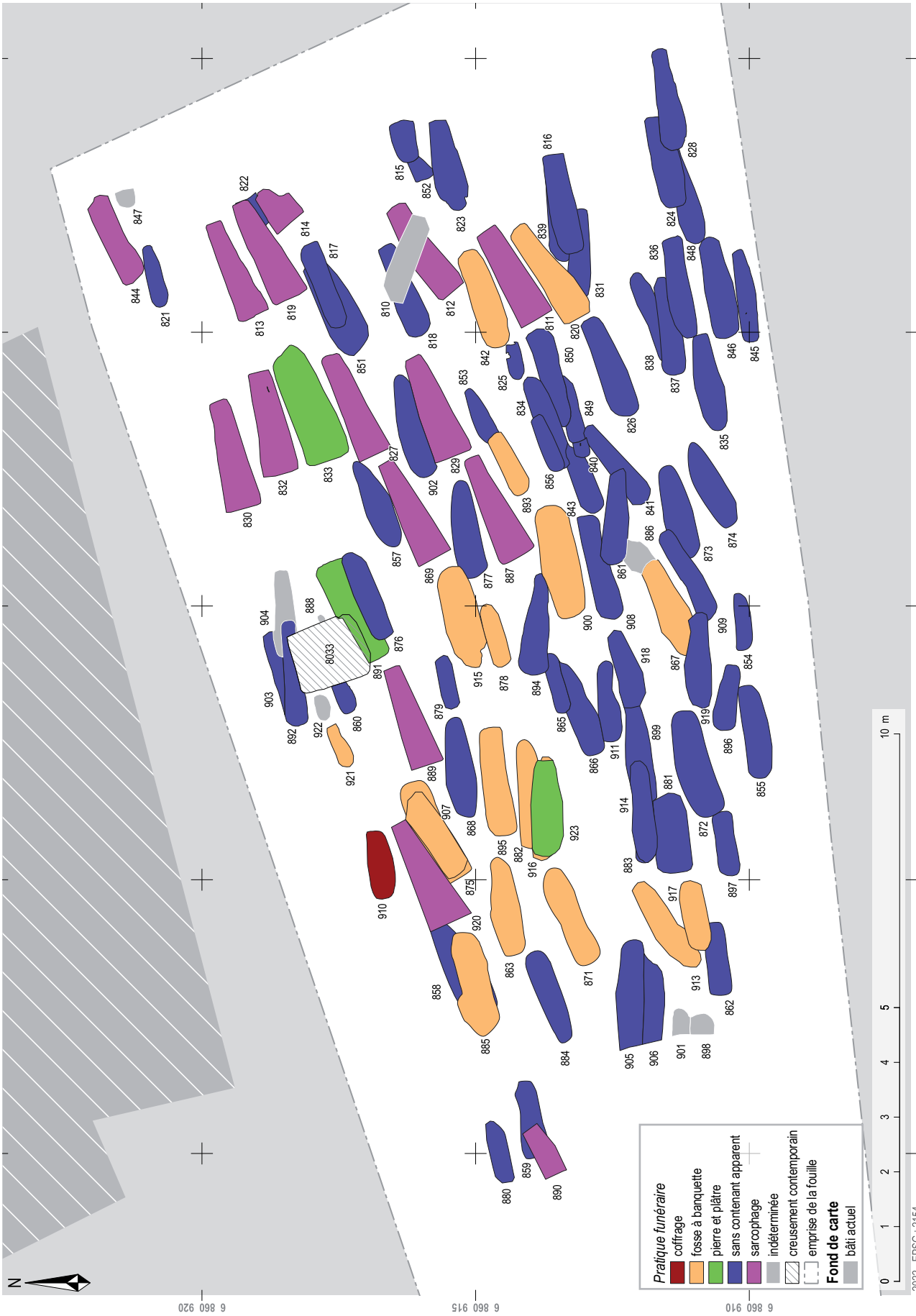

Fig.34 : Répartition des différentes pratiques funéraires (C. Font, C. Le Forestier, Inrap)

Les sarcophages

Au nombre de 15, ils occupent principalement la zone nord et est de la parcelle 152. Voici les sépultures où la présence d'un sarcophage de plâtre a été observée (**fig.35**) :

num fait	éléments surélévation	incuslusions	enduit	long	larg tête	larg pied
811	non	gypse (entre 5 et 10 cm de dia)	non	190	66	43
812	ind	ind	ind	194	63	39
813	gypse	non	oui	186	60	31
814	gypse	gypse (entre 5 et 10 cm de dia)	oui	76 min	64	ind
819	non	gypse (entre 1 et 5 cm de dia)	oui	200	70	29
827	non	non	ind	201	62	33
829	non	gypse (entre 1 et 5 cm de dia)	ind	195	74	34
830	non	gypse (entre 1 et 5 cm de dia)	ind	203	65	36
832	gypse	gypse (entre 1 et 10 cm de dia) et CDB	oui	193	67	40
844	ind	non	ind	42 min	ind	30
869	non	non	ind	197	64	29
887	non	non	ind	204	63	35
889	non	non	oui	192	65	42
890	non	CDB	non	92 min	ind	33
920	non / calage	gypse (entre 1 et 10 cm de dia)	oui	204	63	33

Fig.35 : Liste des sarcophages et caractéristiques, numfait correspond au numéro de sépultures (C. Le Forestier, Inrap).

Avant de détailler techniquement les cuves retrouvées lors des fouilles de 2019 à 2022, il convient de faire un point sur l'origine et la terminologie des sarcophages.

Il faut d'abord se référer à Isidore de Séville pour définir l'usage des sarcophages. Au VII^{e} siècle, il décrivait « la pierre de sarcophage » comme ayant la propriété de « consumer un corps en quarante jours », il fait ensuite l'étymologie du mot issu de racines grecques pour signifier « mangeur de chair » (**BARNEY ET ALII 2006 ; FEANS LANDEIRA 2011**). Le Littré le définit comme un « tombeau dans lequel les anciens mettaient les corps qu'ils ne voulaient pas brûler, et qui était fait d'une pierre que l'on croyait avoir la propriété de consumer les corps ».

Techniquement, le sarcophage est constitué d'un fond solidaire des parois, d'un couvercle et peut présenter des décors. Partant de l'hypothèse que tout sarcophage peut potentiellement être décoré, on parlera de panneaux latéraux, de tête et de pied. Le sarcophage en tant qu'objet n'est, d'une part, pas nécessairement immobile, d'autre part, il est le résultat d'un ensemble de gestes techniques révélateurs de choix culturels, traditionnels, innovateurs ou spontanés qu'il est nécessaire de prendre en considération pour comprendre l'objet dans son contexte social, culturel et économique (**BÜTTNER, HENRION 2011**). Son usage est prioritairement réservé à des membres de l'élite sociale selon toute vraisemblance, mais c'est aussi une structure à usage multiple, où de nombreuses inhumations peuvent avoir lieu.

Les couvercles sont théoriquement du même matériau que la cuve. La fréquence des réouvertures entraîne cependant le plus souvent la fragmentation des couvercles et le mélange de matériaux lors de leur remplacement par des remplois divers.

Les cuves plus ou moins bien conservées

La cuve de la sépulture **920** est assez bien conservée pour pouvoir l'analyser (**fig.36**).

Fig.36 : Vues du sarcophage MAS8274 (I.920) (C. Le Forestier).

Le sarcophage est recouvert d'un couvercle en calcaire coquillé dont une face est plane et l'autre en bâtière. Il n'est pas impossible qu'il s'agisse d'une stèle en remploi. L'enduit de lissage fait au minimum 11 cm et il recouvre les négatifs laissés par l'installation du moule interne de la cuve. Cet enduit est observable au niveau de la paroi latérale droite (longueur de 20 cm) et de la paroi de tête. Il semble que l'enduit ne soit présent qu'au fond de la cuve et non sur la hauteur, ce qui s'observe d'ailleurs généralement. La composition du plâtre semble être similaire entre les deux mises en oeuvre (construction et enduit) et ne comporte ni charbons de bois ni fragment de gypse, ce qui implique un tamisage assez soigné. La première coulée de plâtre entre les deux moules est de 4 cm d'épaisseur.

De dimensions tout à fait standard (**fig.37**), la cuve présente au niveau de la paroi de tête et du tiers observable de la paroi de fond une couche de plâtre faisant office d'enduit de rebouchage et d'enduit de lissage. La mise en œuvre même des sarcophages de plâtre mérovingien nécessite en effet l'utilisation d'un moule externe et d'un moule interne. Une fois les planches du moule interne retirées, les négatifs de ces dernières demeurent visibles. Pour parfaire le contenant funéraire, du plâtre a été coulé dans ces rigoles formant le périmètre de la partie interne de la cuve et une couche recouvre le fond, de telle sorte que l'ensemble de l'intérieur soit uniforme.

dénomination	mesure (en cm)
plus grande long externe	204
plus grande largeur interne	56
plus grande largeur externe	63
plus petite largeur interne	29
plus petite largeur interne	30
plus grande hauteur interne	33
plus petite hauteur interne	17
plus grande épaisseur	4
plus petite épaisseur	0
long couvercle (pierre)	85
larg couvercle (pierre	50
épaisseur couvercle	19

Fig.37 : Dimensions de la cuve MAS8274 (I.920) (C. Le Forestier, Inrap)

Cette cuve présente également une particularité qui permet d'observer un aspect technique tout à fait pertinent. Deux perforations sont visibles au niveau des parois latérales droite et gauche du sarcophage, à 0,2 m de la paroi de tête. Il semble envisageable que ces deux trous soient les vestiges d'un mode d'assemblage des deux planches latérales du moule interne et externe. De cette façon, les deux planches d'un côté sont maintenues solidaires et leur assemblage permet de couler le plâtre entre elles. Il est probable qu'après quelques heures, l'élément en bois soit retiré pour être récupéré. Dans le cas inverse, si les ouvriers décident de le laisser, il doit être brisé ou scié. Cependant, vu le soin apporté à l'enduit de lissage sur le fond, il semble peu probable que des éléments de la mise en œuvre restent figés dans cette construction. Cette découverte nous alerte sur le fait qu'il faille observer finement les parois latérales des cuves en les cassant si nécessaire. En effet, comme nous l'avons vu, certains éléments peuvent être masqués (comme les traces laissées par le moule interne) et il n'est pas invraisemblable que ces perforations latérales soient rebouchées une fois l'ensemble de la cuve sèche et les éléments de mise en œuvre retirés.

Après le dégagement de l'angle nord-ouest, aucun élément de calage n'a été découvert. Ce qui est assez cohérent avec les observations sur le maintien des deux moules grâce à un élement de bois (**fig.38**).

Fig.38 : Détail de la cuve MAS8274 et des enduits de rebouchage (C. Le Forestier, Inrap).

Les éléments de surélévation du moule interne

Comme nous venons de le voir pour la cuve de la sépulture **920,** la mise en oeuvre des moules interne et externe peut laisser des traces archéologiques visibles. Pour plusieurs cas, des éléments en gypse ont été disposés à quelques centimètres du moule externe pour permettre la surélévation du moule (**fig.39**). Ainsi, le plâtre peut couler entre les deux moules pour que le fond et les parois latérales, de tête et de pied soient solidaires. Sans cela, la cuve serait bien trop fragile et elle casserait lors du transport.

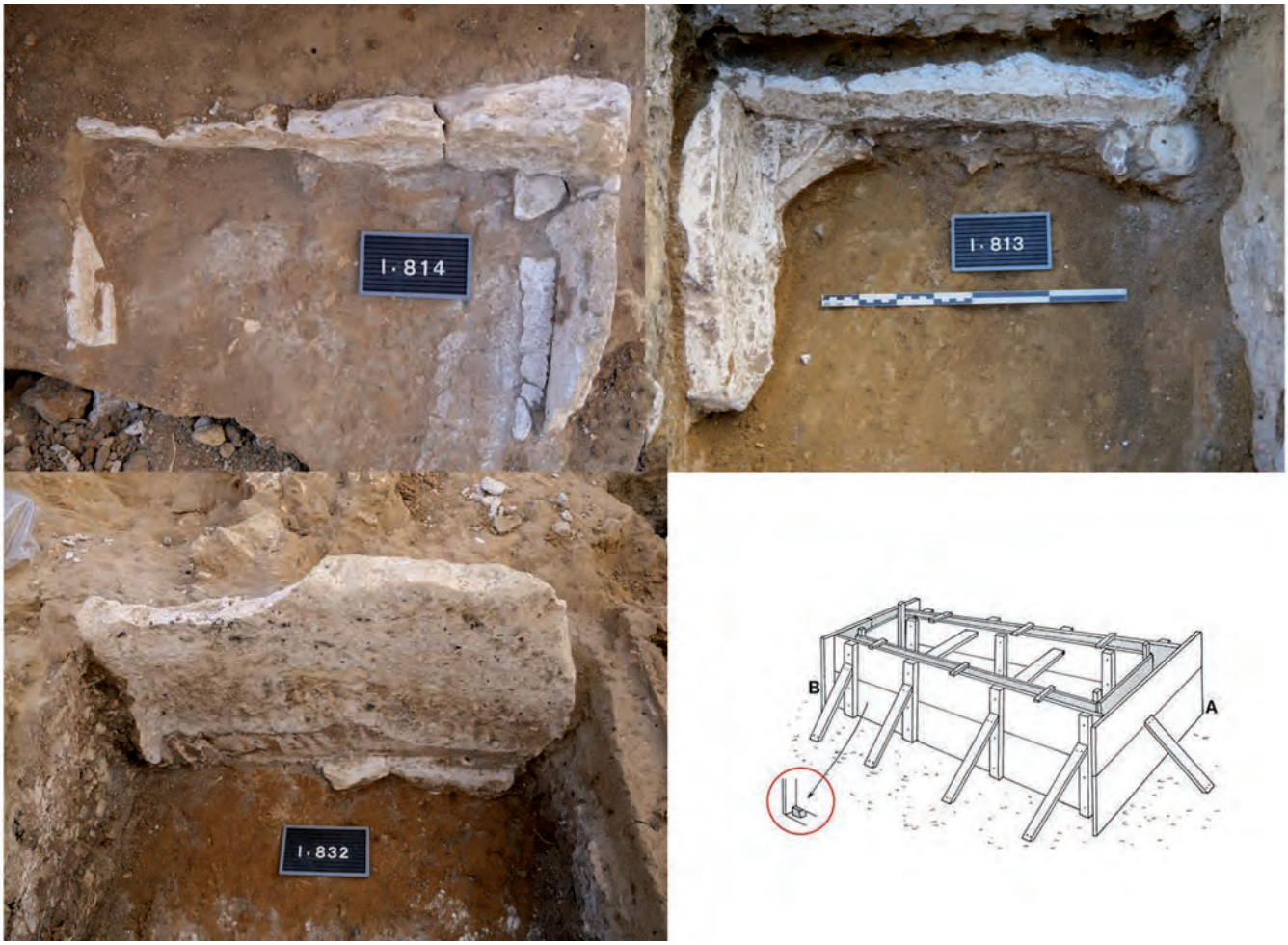

Fig.39 : Exemples de surélévation des moules internes de sarcophages (C. Le Forestier, Inrap), L. Renou).

Les cuves mal conservées

Certains sarcophages sont mal conservés et les parois ne sont réduites qu'à un fin liseré blanchâtre. C'est le cas pour le sarcophage de la sépulture **812** (**fig.40)**. Dans ces cas, il est difficile de décrire la mise en œuvre des cuves.

Fig.40 : Exemple du sarcophage mal conservé de la sépulture 812 (C. Le Forestier, Inrap).

Les couvercles

Pour les sépultures **829 (MAS7076)** et **869**, quelques fragments de couvercle ont été observés à la fouille. Ils ont été découverts dans le comblement de la cuve et reposaient à l'oblique. Il faut alors envisager que la rupture de cet élément de couverture s'est effectuée de manière longitudinale Les quelques centimètres conservés ne permettent d'en déduire quoi que ce soit (**fig.41)**.

Fig.41 : Couvercle de la sépulture 829 (MAS7076) (C. Le Forestier, Inrap)

Le contenant de la sépulture 920 (cf. **fig.36**) a bénéficié d'un imposant couvercle en pierre déposé à l'emplacement de la moitié distale (moitié est) de la cuve. Il paraît vraisemblable qu'il ne s'agit pas là de son couvercle initial puisqu'ils sont tous (lorsqu'ils sont conservés) réalisés en plâtre. Cet élément serait donc un couvercle de remplacement à la suite de la dissolution, de la fragilité ou de la rupture du précédent. Les quelques caractéristiques de cette pierre massive, c'est-à-dire la matière et la forme ne sont pas sans rappeler les stèles funéraires retrouvées sur le site au début de la fouille en 2008. Quoique plus grande, elle présente une base à angles droits et un sommet plus ou moins triangulaire

Les fosses construites (ou fosses maçonnées)

La fosse aménagée peut recevoir un dispositif construit qui peut se caractériser par la mise en

place d'un encadrement de pierres sèches ou maçonnées ; les maçonneries peuvent utiliser divers matériaux, le plus souvent des éléments récupérés. De la même manière, le liant peut être de terre, de mortier sable et chaux ou de plâtre ; on peut alors parler de sépulture à fosse maçonnée.

Ce mode de dépôt est fréquent et trop souvent confondu avec les sarcophages (**LAFARGE 2013 ; LAFARGE 2016**). Les fosses maçonnées sont constituées d'un contenant fabriqué dans la fosse. Cette maçonnerie peut affecter plusieurs formes ; certaines particularités varient chronologiquement, comme la présence d'aménagements céphaliques (coussins, logettes), ou plus tard des logements pour des pots à encens.

Les fosses maçonnées ne sont pas destinées aux usages multiples et la réutilisation de ce type de contenant est peu fréquente. C'est outre le fait qu'elles ne se rattachent pas à des réseaux d'approvisionnement complexes, ce qui les distingue des sarcophages. Généralement le couvercle est composé des mêmes matériaux que l'aménagement de la tombe destinée à recevoir le défunt. Le plus souvent, ces constructions sont assez soignées mais il est généralement difficile de leur reconnaître une fonction somptuaire et leur signification sociale reste une interrogation. Les statuts sociaux associés à ce type de contenants funéraires sont donc souvent difficiles à évaluer pour les personnes qu'elles accueillent.

Ce type de structure concerne 3 sépultures : **833, 891** et **923** (**fig.42**). La construction de la sépulture **833** est de loin la mieux conservée, la forme générale de la structure est quadrangulaire alors que la partie interne est trapézoïdale. Les deux autres structures sont incomplètes. Ce sont trois adultes, dont un homme et deux sujets indéterminés qui occupent ce type de structure.

Fig.42 : Les trois cas de fosses maçonnées (I.833 en haut à gauche, I.923 en haut à droite (inhumation au nord) et I.891,en bas) (C. Le Forestier, Inrap)

Les fosses sans contenant apparent

Sans nécessairement lui conférer une signification économique et sociale, il va sans dire que la sépulture dite « en pleine terre » est le mode d'inhumation le moins onéreux. Pour autant si cette modestie pourrait être l'affichage d'une humilité chrétienne, longtemps, et même encore aujourd'hui de nombreuses sépultures sont considérées en pleine terre du fait de l'absence des traces visibles de contenant qui peut avoir complètement disparu physiquement. Toute observation, en l'absence de ces traces doit donc reposer sur une observation taphonomique fine.

Le terme « sans contenant apparent » semble plus approprié que celui de « pleine terre » puisque la détermination de ce type de sépulture se fait principalement à partir de l'étude taphonomique. Il convient de rappeler que l'absence d'éléments de fixation (clous, agrafes) n'exclut pas la présence d'un cercueil ou d'un coffrage. Pour une inhumation au sein d'un contenant et en l'absence d'éléments de couverture résistant, le colmatage des masses molles est rapide et s'apparente tout à fait à ce que l'on a appelé à tort une « sépulture en pleine terre ». Le terme « sans contenant apparent » évite ce malentendu.

Au sein de la parcelle 152, ce sont à ce jour 66 fosses « sans contenant apparent » qui ont été décomptées, de tous âges et tous sexes. C'est le cas pour l'inhumation **873** (**fig.43**)

Fig.43 : I.873, exemple d'absence apparente de contenant (C. Le Forestier, Inrap)

Les fosses à banquette

La fosse correspond au creusement lié à toute inhumation. Si ses parois n'ont fait l'objet d'aucun traitement particulier, cette dernière n'est pas aménagée, élaborée. C'est par exemple le cas des fosses où les bords forment une banquette servant à porter les éléments de couverture de la sépulture (planches ou dalles). C'est aussi le cas des fosses anthropomorphes dont les bords de la fosse affectent un « découpage morphologique » (**DURAND 1988, P. 99**).

Les « fosses à banquettes » sont destinées à accueillir un élément de couverture, le plus fréquemment des planches maintenues par quelques pierres aux pieds et à la tête mais aussi à l'aide d'autres matériaux. Ces pierres sont généralement retrouvées sur la banquette ou alors légèrement déversées à l'intérieur du creusement où repose le défunt. Des stèles en remploi peuvent servir à ce type de calage, voire à la couverture. Ce système protège le défunt et définit l'espace d'inhumation. Cécile Treffort cite un cas proche de ce qui est décrit ici : « Saint Ulrich avait demandé (…) qu'on ne place pas de planche de bois sous son corps, mais qu'on le dépose dans la terre pure et qu'on le recouvre d'un couvercle de bois » (**TREFFORT 1996, P. 74-75**). Il arrive souvent que ces fosses soient anthropomorphes avec une logette céphalique, plus ou moins efficace, la tête du défunt pouvant parfois basculer latéralement. Dans le cas de creusement mal élaboré, les fossoyeurs ont pu

disposer des pierres de part et d'autre de la tête du cadavre.

Cette pratique funéraire bien particulière peut être datée de la fin du IX^e^ siècle au XI^e^ siècle. De nombreuses sépultures de ce type ont été fouillées en Île-de-France et correspondent à la phase chronologique 3. Nous pouvons citer Villemomble, « Grande Rue » (**DELAHAYE 1988)** et Bondy « Cœur de Ville » (**POIGNANT 2012**).

Pour cette phase 3 de l'opération, les fosses à banquette concernent 18 individus qui se répartissent en 13 sujets adultes (6 hommes, 3 femmes et 4 de sexe indéterminé) et 5 immatures.

Cette pratique funéraire se retrouve principalement au centre de la parcelle. Seules deux sépultures sont à l'écart de l'ensemble **I.839** et **I.842**. La première ne bénéficie pas non plus de calage ou de coussin céphalique à l'inverse de toutes les autres de ce type. Il peut subsister un doute quant à son appartenance chronologique. Il conviendra de réaliser une datation radiocarbone. Cependant, ces deux sépultures ne renferment pas autant de pierres sur le pourtour de la banquette que les autres inhumations de ce type (**I.863, I.867, I.871, 875, I.878? I.895, I.900, I.913, I.915 et I.916**) (**fig.44**).

Fig.44 : Exemple de deux fosses "à banquette" : I.895 (en haut), la compression des avant-bras est très forcée et I.900 (en bas) (C. Le Forestier, Inrap).

Les linceuls

D. Paya a souligné un point qui peut être assez finement observé à Noisy-le-Grand : « L'enveloppement du corps a évolué : il est possible durant les premiers siècles du christianisme, que le corps ait pu être déposé dans un tissu ample, non serré, qui n'était peut-être pas cousu ni maintenu ». Cela fait tout à fait écho à ce que l'on a observé au sein de notre nécropole. Il peuit en revanche arriver, bien que rarement, que les os des avant-bras aient parfois subi une compression très importante. De nombreux linceuls ont été observés (**fig.45 et 46**).

Les sujets qui ont bénéficiés d'un linceul sont ceux des sépultures **836, 837, 839, 842, 845, 846, 848, 850, 853, 856, 858, 859, 861, 862, 863, 866, 868, 871, 872, 873, 874, 875, 876, 877, 880, 882, 883, 884, 885, 892, 893, 894, 895, 896, 897, 899, 905, 906, 909, 913, 914, 915, 916, 917, 918 et 919**

C'est le cas des sépultures **874** et **876** et des individus présentant des fléchissements des membres supérieurs à 0°. Il apparaît que seul un enserrement très fort d'une pièce de tissu (ou d'un lien), de type linceul aurait pu provoquer ce genre d'observation taphonomique. Une sépulture (**inhumation 2006**) de Meaux, rue de l'Hospice (**DELOZANNE à paraître**) présente cette même caractéristique mais avec un enserrement prononcé pour la totalité du corps, ne laissant pas de doute quant à la présence d'un linceul au moment de sa décomposition. Il faudra définir par la suite si cette méthode d'enserrement s'accompagne de caractéristiques bien précises (sexe, âge, chronologie, etc.).

Fig.45 : Exemple de forte compression dûe à un linceul très enserrant (C. Le Forestier, Inrap).

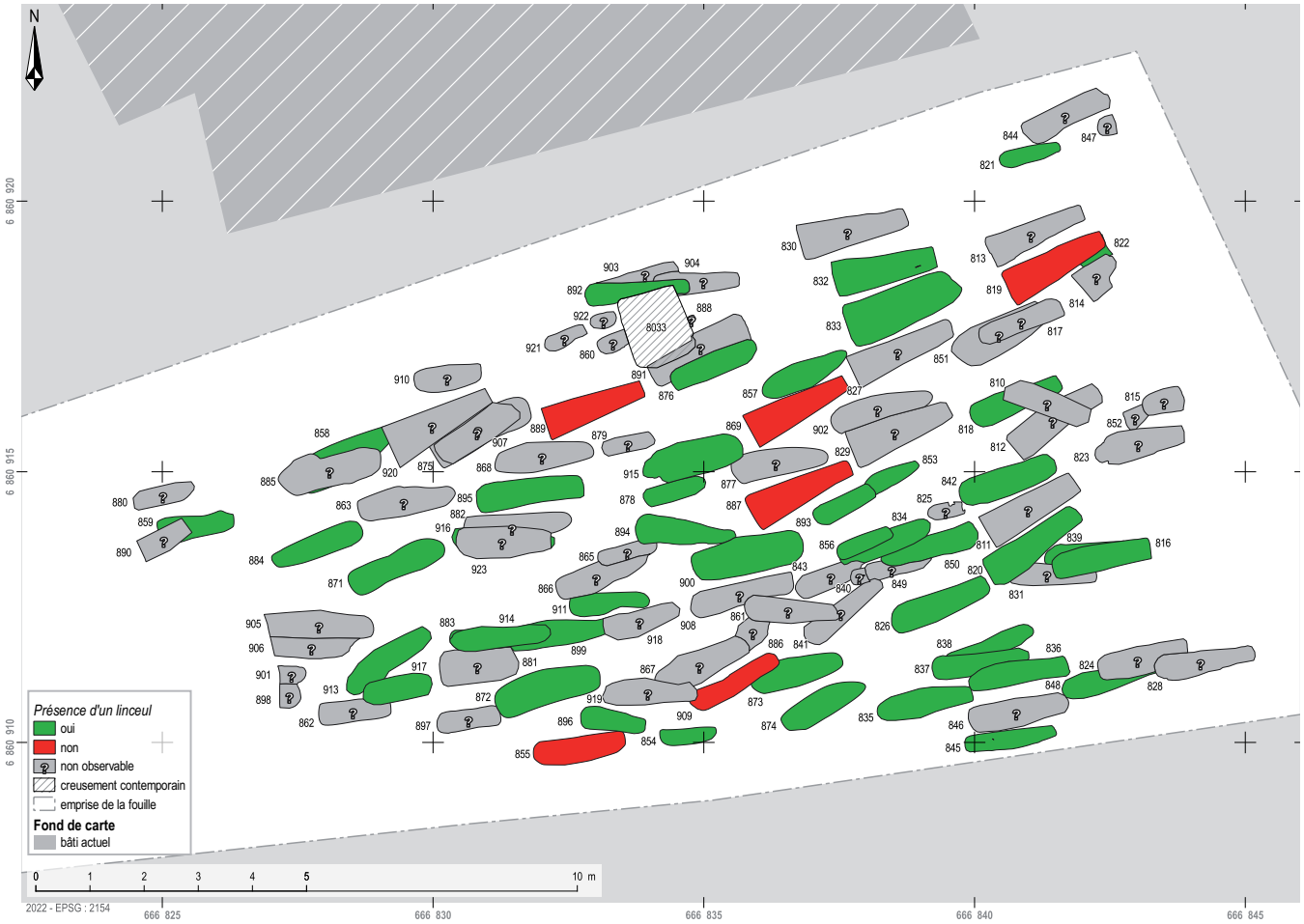

Fig.46 : Répartition des sujets emmaillotés dans un linceul (C. Font et C. Le Forestier, Inrap).

De nombreuses unités stratigraphiques contiennent des ossements humains en dehors des dépôts primaires. C'est le cas des réductions de corps, des vidanges et des remblais sans aménagement.

Les vidanges et les réductions de corps (M. Kérien)

Parmi les faits funéraires, six réductions (**I.811, I.813, I.832, I.889, I.890 et I.920**) et six vidanges (**I.830, I.833, I.834, I.889, I.892 et I.923**) et ont été décomptés. Le Nombre Minimum d'Individus se situe entre 1 et 4 (**I.830 et I.834**). L'analyse complète de ces vestiges serait effectuée à la fin de la fouille de la parcelle 152. Nous profitons de ce rapport pour proposer quelques définitions.

Les réductions

Longtemps évoquée uniquement pour caractériser les nombreuses et spectaculaires manipulations anthropiques lisibles au sein des sépultures collectives néolithiques, la réduction de corps avait ainsi été définie : « regroupement intentionnel de tous les ossements d'un individu (ou du moins de la majorité d'entre eux) dans l'espace où s'est effectué le dépôt initial » (**DUDAY ET SELLIER, 1991, P. 13**). Cette proposition avait aussi été amendée en 2013 comme suit : « les os disloqués sont souvent déplacés et maintenus au sein de l'espace sépulcral, démontrant qu'ils restent rattachés à la communauté des morts » (**BLIN ET CHAMBON, 2013, P. 66**).

Bien sûr, au vu de similitudes de gestion funéraires, l'archéologie médiévale ne pouvait que se saisir du sujet pour proposer des définitions adaptées de la réduction en contexte cimetérial et récemment encore un lexique la définissait ainsi : « quand une tombe est ré-ouverte, ce qui est la norme dans les sépultures collectives, il peut arriver qu'un squelette soit réduit par les fossoyeurs à l'état d'un paquet d'os disloqués. L'effet de ce geste n'est pas toujours facile à distinguer de celui

d'une double inhumation… La réduction peut être interne (ossements repoussés, par exemple au pied d'un coffre ou d'un sarcophage) ou externe (alvéole ou coffre latéral, ossements rejetés au-dessus du couvercle, etc.) » (**CRUBÉZY ET ALII, 2007, P. 243**).

Une spécificité d'importance s'impose ici, celle du maintien du dépôt secondaire des ossements manipulés dans l'espace sépulcral originel ou dans son prolongement le plus immédiat (au chevet, au pied ou de part et d'autre des parois latérales), le lien initial et topographique entre la sépulture et les ossements étant préservé. Dans les contextes particuliers alto-médiévaux, il revient donc à considérer la réduction comme étant « le regroupement intentionnel de tout ou partie des ossements d'un individu déplacé dans l'espace de son dépôt initial, en vue de dégager l'espace nécessaire au dépôt d'un autre défunt ». Cette définition, dans le droit fil de celle initiée par H. Duday et P. Sellier (cf. supra) qui privilégiait surtout l'observation anthropologique de terrain, contextualise de fait l'étude du dépôt osseux avec l'architecture et l'agencement interne de la sépulture.

La cuve de la **sépulture 811** contient les restes osseux de deux individus. **MAS7008** correspond au dépôt primaire d'un sujet adulte de sexe féminin et **MAS7009** à la réduction de corps, à droite de la tête osseuse du dernier dépôt. Le sujet qui a été réduit est un adulte de sexe indéterminé. La sépulture **920** contient quant à elle les restes de deux sujets, dont un en position primaire.

Les vidanges

Considérant là encore ce terme de façon pragmatique, il convient de considérer qu'il s'agit d'un amas osseux déplacé à l'extérieur de son contenant initial (cercueil, sarcophage, …) voire même à l'extérieur de la fosse d'inhumation, mais ré-inhumé à proximité ou au contact de celle-ci dans une structure propre.

La présence d'une partie des ossements maintenus dans le lieu d'inhumation initial, la faiblesse récurrente du NMI dans ces dépôts associée à la bonne représentativité des individus concernés, la constitution d'un creusement – et parfois d'un contenant - spécifique, le maintien de proximité avec la sépulture ou le groupe de sépultures identifiables témoignent toutefois d'une volonté de sauvegarder tout ou partie du lien détruit par l'externalisation. Sachant que celle-ci a pu être dictée par les réutilisations successives de sépultures ou qu'elle résulte de recoupements partiels liés aux réutilisations d'emplacements.

En revanche, l'emploi assez fréquent du terme de « vidange de sépulture », déduit de l'absence d'ossements dans celle-ci, soulève nombre d'objections car la seule présence d'une sépulture vide ou vidée dans un espace funéraire peut avoir plusieurs origines : creusement d'une fosse par anticipation ou confection d'un contenant *in situ* jamais utilisé ? Pillage abouti? Elle peut aussi être le témoignage, par défaut, d'une véritable gestion de l'espace funéraire, le questionnement reposant sur la reprise et le déplacement des ossements : sont-ils contemporains du fonctionnement de la nécropole ou sont-ils plus tardifs ? Relèvent-ils d'une pratique funéraire consentie, d'une gestion ordonnée de l'espace dédié ou du hasard des creusements dans des lieux investis de longue date ?

Faute d'éléments probants, il semble préférable de n'utiliser le terme de « vidange » qu'en présence des os déplacés. Auquel cas, il revêt une double signification désignant à la fois le geste et son aboutissement, à savoir l'amas osseux constitué en dehors de la sépulture initiale. On peut souligner que ce terme de « vidange » quand il définit l'amas d'os prélevé et redéposé est préféré à celui d'ossuaire en ce sens qu'il donne une vision dynamique de ces manipulations d'ossements (**CHAMBON, 2003**).

Les calages céphaliques

Tout est mise en œuvre pour faciliter le jour du jugement dernier et de la résurrection. Le Chrétien considère que la mort n'est qu'un état d'attente avec le jour où il pourra rejoindre le paradis (**PAYA 2017**). Ce sont 37 cas de calages céphaliques qui ont été observés et qui concernent des hommes (13), des femmes (9) et des enfants (8). Les reste des adultes de sexe indéterminé (7). Pour deux cas (**I.833 et I.899**), un élément de plâtre fait office de calage et pour les autres, il s'agit de pierres, de 1 à 3, qui ont été déposées autour de la tête du cadavre au moment du dépôt (**fig. 47 et 48**).

Fig.47 : Exemples de calages céphaliques (I.816, I.820, I.863 et I.917 (C. Le Forestier, Inrap).)

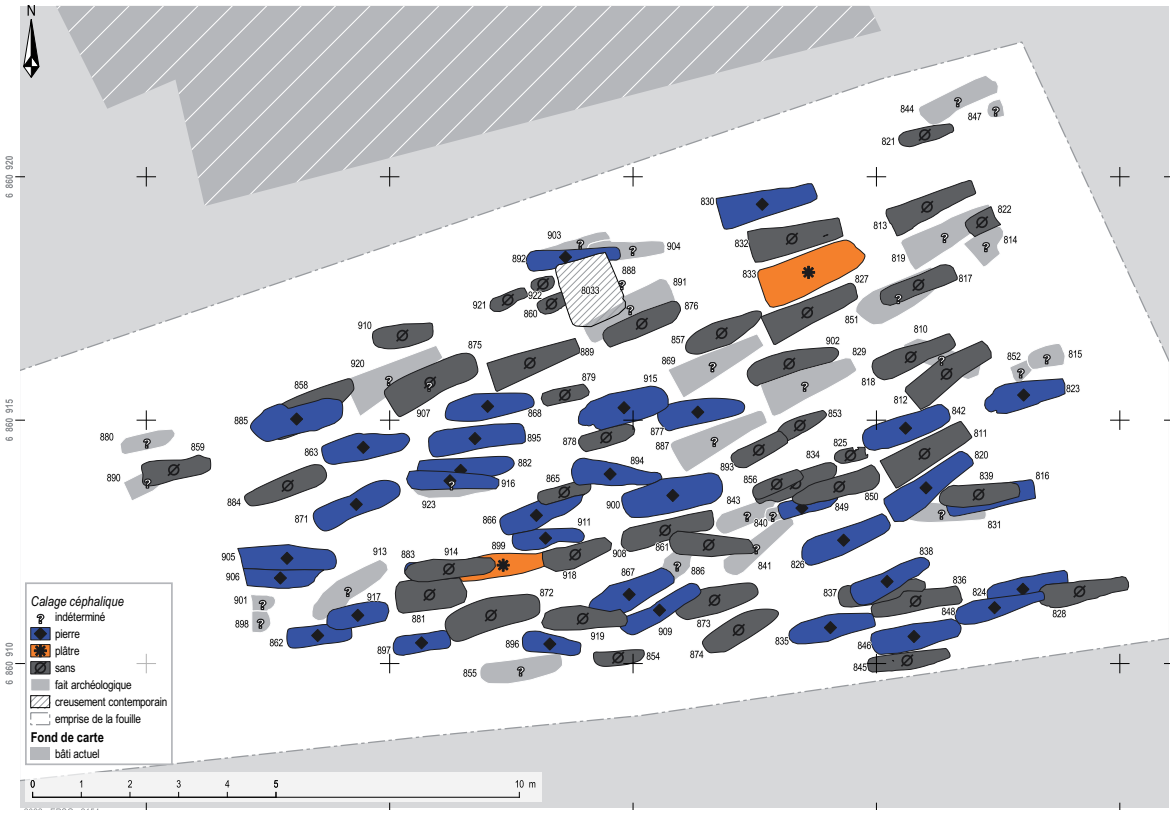

Fig.48 : Répartition des calages céphaliques (C. Font, C. Le Forestier, Inrap)

Les calages mentonniers

Pour de nombreuses sépultures de la nécropole, des cas de calages mentonniers ont été observés. Il s'agit d'une intervention sur le cadavre, dans le but d'éviter le rire sardonique provoqué par l'ouverture de la bouche lors de la rupture des ligaments et des muscles de la mâchoire. Cette intervention concerne de nombreuses sépultures de la nécropole entre les XI^{e} et le XII^{e} siècle (**fig.49**).

numfait	sexe_DSP	calage_mentonnier
845	2	tesson de céramique ?
848	1	mains
868	2	mains
899	2	mains
905	1	mains
907	0	mains
918	3	mains
816	1	pierre
835	2	pierre
839	2	pierre
867	2	pierre
877	1	pierre
896	3	pierre
911	3	pierre

Fig.49 : sépultures avec calages mentonniers, sexe des sujets et technique employée (mains ou pierres). Pour le sexe 0 : adulte indéterminé, 1 : homme, 2 : femme et 3 : trop jeune (C. Le Forestier, Inrap)

Pour permettre le maintien de la mandibule, ce sont deux techniques (voire trois) qui ont été employées (**fig.50**).

La première utilise une pierre qui est déposée sous le menton du sujet. Au nombre de 7, c'est le cas de sépultures **816, 835, 839, 867** (datée entre 1060 et 1158), **877, 896 et 911**. La plupart des sujets ont été inhumés enveloppés dans des linceuls. Ce geste est donc réalisé non pas dans la nécropole mais au moment de l'emmaillotement du sujet, vraisemblablement dans le foyer du défunt. Une pierre est placée sous le menton, les avant-bras généralement repliés et la main reposant sur le coude opposé. Ensuite, le corps est enveloppé dans le linceul scellant à la fois la position des membres supérieurs et celle de la pierre. Le fait qu'aucun calage mentonnier en plâtre n'ait été retrouvé permet d'étayer l'hypothèse d'une pratique réalisée en dehors du cimetière. Á l'inverse des calages céphaliques, voire des coussins céphaliques, qui sont réalisés dans la nécropole et qui utilisent parfois des éléments en plâtre des sarcophages antérieurs (**fig.51**).

Fig.50 : Exemple de calage mentonnier avec pierre (I.896) et mains (I.874) (C. Le Forestier, Inrap)

Fig.51 : coussin céphalique en plâtre dans la sépulture 899 (R. El Hajaoui, Inrap)

La seconde technique pour maintenir le menton consiste à placer une main (voire deux) du sujet juste au niveau de la mandibule. Au nombre de 9, c'est le cas des sépultures **824, 848, 868, 872, 874**, **899, 905, 907 et 918**. Pour 4 cas, les deux mains ont été disposées sous le menton et pour cinq cas, seule la main droite est concernée (parmi elles, la main de l'inhumation 907 n'est pas observable). Enfin, un tesson de céramique a été déposé sous le menton du sujet de la sépulture 845.

La sépulture **867** a été datée entre 1060 et 1158. Une sépulture de la fouille de 2017 avait également bénéficié d'une datation radiocarbone et qui présentait une pierre sous le menton. L'inhumation **749** se situait entre 1033 et 1190 (**fig.52**). Une autre, avec les mains sous le menton, I.765, a été datée par radiocarbone entre 994 et 1154.

Il est tentant de voir dans ce geste une pratique bien établie, qui semble propre à une seule période et qui serait en usage entre la seconde moitié du XI^{e} siècle et la première moitié du XII^{e} siècle.

Est-ce l'œuvre d'une seule personne qui préparait les corps ou bien, plus simplement, une mode funéraire propre à ce site ? Un autre cas a été découvert sur le site de l'église Saint-Sulpice, daté des XI^e^-XII^e^ siècles.

Fig.52 : Inhumation 749 (fouille 2017 à quelques mètres au sud-ouest de la fouille programmée) (C. Le Forestier, Inrap)

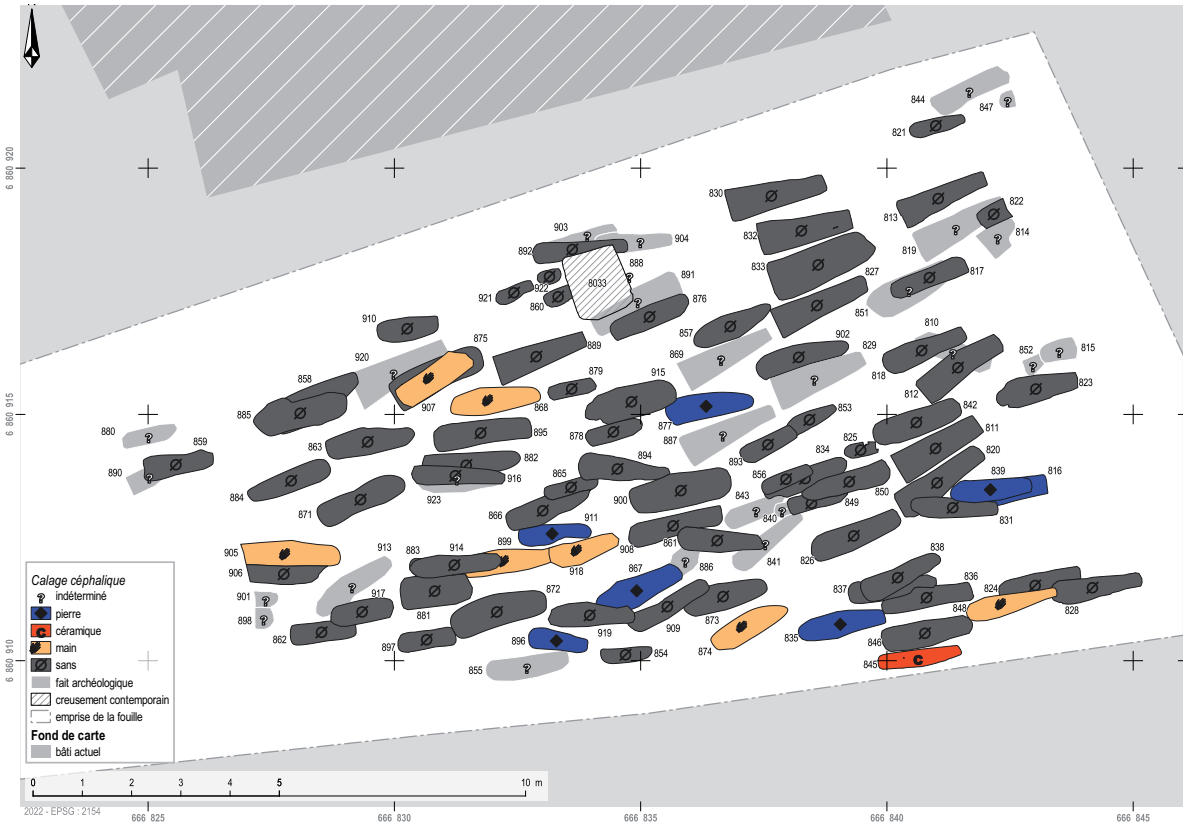

Fig.53 : Répartition des calages mentonniers (C. Le Forestier, Inrap)

Concernant la répartition par âge pour les différents contenants utilisés, il n'y a pas de distinction entre adultes et immatures (**fig.54)**.

	AD	AD/IM5	IM	IM1	IM2	IM3	IM4	IM5	Total
fosse à banquette	13				1	2	1	1	18
sarcophage	13						2		15
pierre et plâtre	3								3
coffrage						1			1
sans contenant apparent	45	2			4	10	3	2	66
ind	5		1	1	1				8

Fig.54 : Classe d'âges et pratiques funéraires (C. Le Forestier, Inrap).

Le haut Moyen Âge est marqué par des changements de pratiques funéraires, qui se voient principalement dans l'évolution du contenant et dans la disposition des corps.

Progressivement, dans le courant du V^e^ siècle, les sarcophages en pierre apparaissent en Île-de-France, sur le modèle des cuves monumentales romaines. Á ce même moment, les sarcophages en plâtre font également leur apparition tout comme les fosses plâtrées. Un des objectifs des cuves est d'avoir accès à la structure funéraire, *a posteriori*, pour pouvoir la réutiliser et multiplier les dépôts successifs de sujets en gérant l'espace par la vidange ou la réduction. Cette pratique, d'ordre culturel et social a des fondements qui nous échappent encore actuellement, regroupement de personnes issues d'une même famille ? d'une même communauté ? gestion pragmatique ? On doit noter l'usage concomitant de sarcophages à usage unique dans des contextes sociaux particulièrement favorisés, généralement de grandes églises où le statut aristocratique des inhumations est évident (Saint-Denis (93), Chelles (77), Saint-Geneviève ou Saint-Germain-des-Prés à Paris). Dans la plupart des cas, on observe des réutilisations des cuves pour les inhumations extérieures à l'église. L'usage des inhumations successives a engendré des procédés techniques particuliers comme l'accès à la structure par un système d'ouverture facilité (couvercle et cuve avec bords biseautés), une visibilité de la structure (couvercle affleurant) et trous d'évacuation des jus de décomposition, permettant une dégradation du corps plus rapide pour un usage répété de la cuve, alors marquée par les traces de réutilisation (usure ou remplacement du couvercle, usure des bords, réductions dans et autour des cuves). Ces « structures collectives » peuvent également être en bois comme à Saint-Pathus, « Grande rue » (**MAYER 2019**). Cette pratique, bien que plus rare, est également attestée pour des inhumations dans des fosses maçonnées.

En 578, le Concile d'Auxerre interdit de déposer un corps par-dessus un autre. S'agit-il d'un corps-cadavre ou d'un corps-squelette ? Il n'en est pas fait mention. En 585, le concile de Macon apporte une précision à cette question : « Nous avons appris que de nombreuses gens ouvrent les tombeaux alors que les corps des morts ne sont pas encore décomposés et qu'ils déposent par-dessus ces corps leurs propres morts, ou qu'ils usurpent pour leurs morts, ce qui est un sacrilège, les emplacements consacrés à d'autres, et cela sans l'autorisation du propriétaire des tombeaux ». Cela nous renseigne sur le caractère familial ou communautaire des contenants funéraires. Il est possible de réutiliser un contenant, uniquement si les ayants-droits sont d'accord, uniquement, bien entendu, si le corps précédent est décomposé. Les exemples de réduction ou de vidange ne concernent à Noisy-le-Grand que des ossements et non des membres.

La disparition des sépultures habillées est peut-être à mettre en relation avec plusieurs facteurs comme l'épidémie de Peste Justienne et le courant ascétique qui domine dans l'Europe chrétienne pendant l'époque mérovingienne. Á cela s'ajoute, quelques décennies plus tard, la notion de pêcheur originel pour tout chrétien. Le dépouillement dans la sépulture et l'attente d'un monde meilleur est

donc la norme dans le cimetière chrétien. La progressive utilisation du linceul peut avoir des raisons pratiques pour le transport, pour éviter l'éparpillement des ossements dans la tombe ou simplement la nudité des corps.

L'utilisation privilégiée des sarcophages est généralement abandonnée au VIIIe siècle où leur usage redevient exclusivement un marqueur social. Les fosses maçonnées continuent d'être utilisées mais moins fréquemment et l'inhumation devient plus strictement individuelle dans des fosses de plus en plus étroites puis anthropomorphes (ou à logette céphalique) vers le IXe siècle, avec parfois la présence de banquettes. Ensuite, les cercueils en bois se généralisent durant le bas Moyen Âge. Toutefois, l'usage de tombes à fosses maçonnées, généralement individuelles, reste récurent jusqu'à l'époque moderne.

Dès le XIIIe siècle, la règle est formelle : « On doit ensevelir le mort de telle sorte que sa tête soit tournée à l'occident et ses pieds à l'orient. En cette position, pour ainsi dire, il prie, et ceci insinue qu'il est disposé à se diriger en toute hâte d'occident en orient, du monde ou de la terre au siècle futur (**DURAND 1988**).

3.5. Le recrutement funéraire

La caractérisation d'une population archéologique se détermine sur la part de chaque catégorie : homme, femme, jeune, plus âgé, handicapé, etc. Lors de l'étude des squelettes exhumés en 2008-2009, la population du VIe au XIIIe siècle avait été caractérisée comme classique, villageoise et sans recrutement particulier.

3.5.1. Répartition sexuelle

Parmi les 111 sujets en position primaire de la nécropole (fouilles 2019 à 2022), nous décomptons 44 adultes de sexe indéterminé, 21 adultes de sexe masculin, 17 adultes de sexe féminin et 29 individus immatures dont le sexe ne peut être identifié qu'à partir de l'ADN mitochondrial (**fig.55** et 56).

sexe	masculin	féminin	trop jeune	ind	total
phase 1	0	0	2	15	17
phase 2	6	5	15	15	41
phase 3	15	12	12	14	53
Total	21	17	29	44	111

Fig.55 : Résultat de l'étude sexuelle par phase (C. Le Forestier, Inrap)

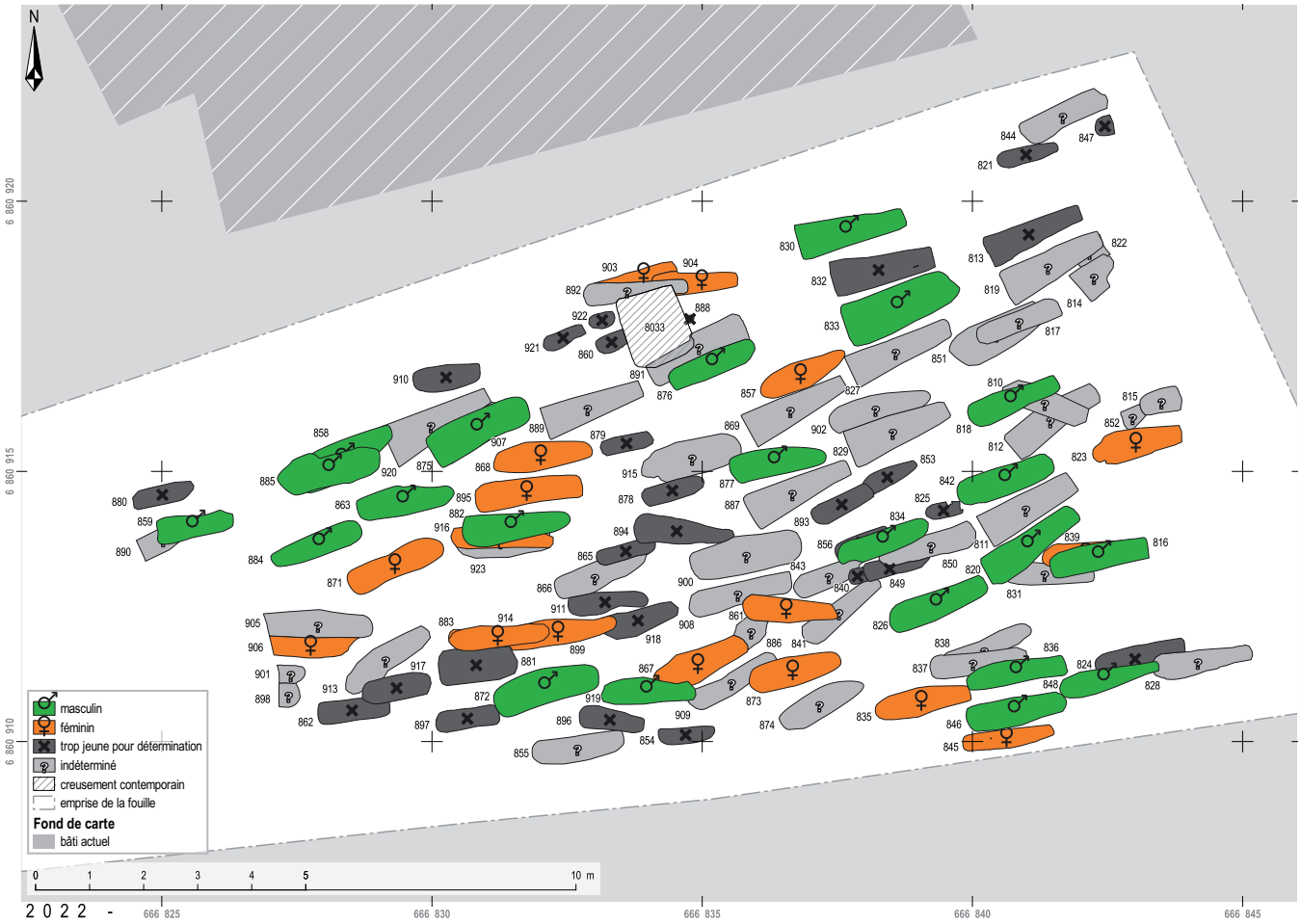

Fig.56 : Répartition des sujets par sexe (C. Font, C. Le Forestier, Inrap).

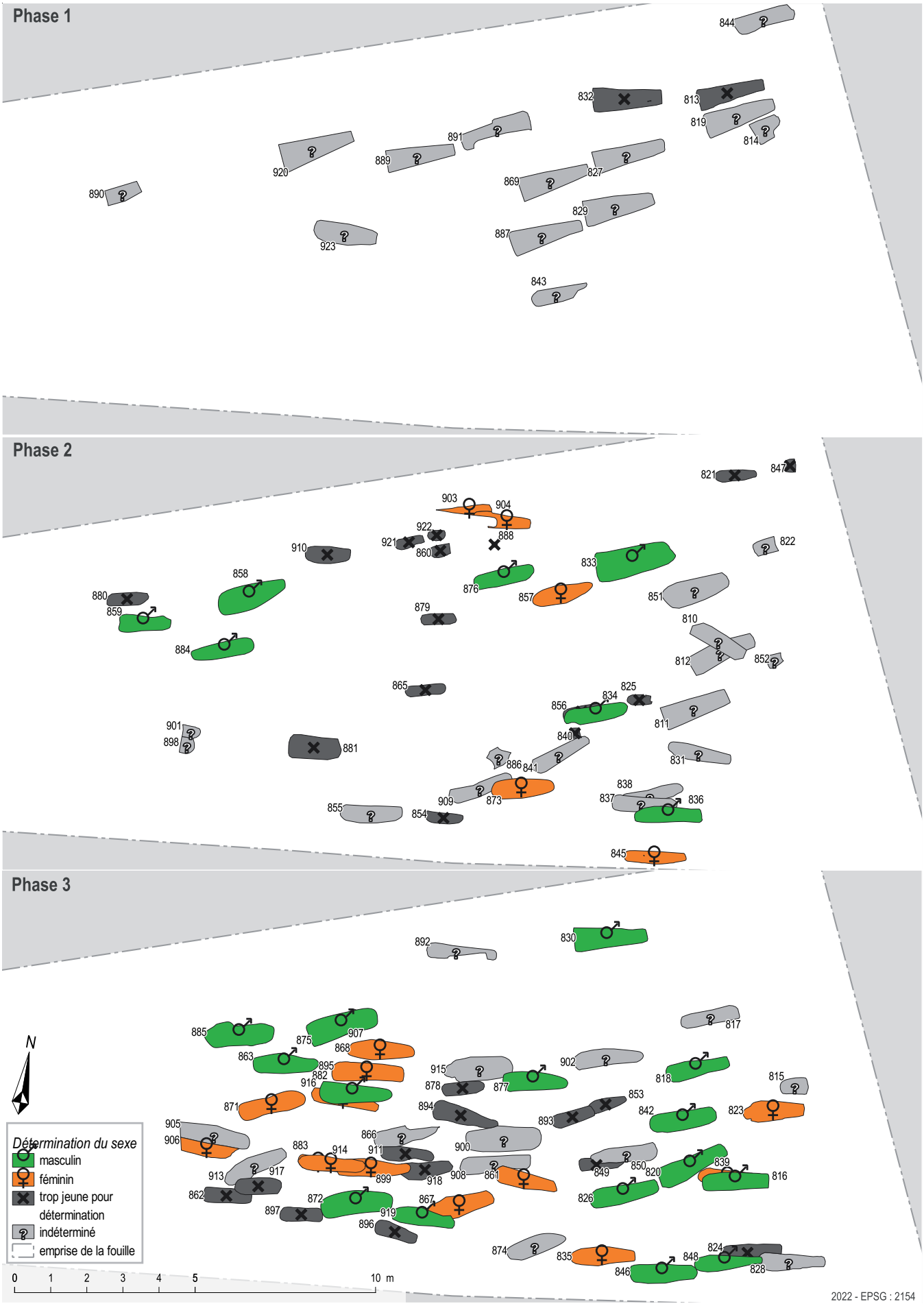

Fig.57 : Répartition des sujets par sexe et par phases (C. Font, C. Le Forestier, Inrap)

Pour les sujets de la première phase (16), la diagnose sexuelle n'a été possible sur aucune sépulture (**fig.57**). Il convient de s'interroger sur la conservation déplorable des vestiges humains retrouvés dans les sarcophages. Ce type de structure ne semble pas favorable à la bonne conservation des ossements humains. En effet, l'action de l'oxygène et le milieu « ouvert » des cuves couplé à la stagnation des eaux pluviales ont vraisemblablement contribué à la dégradation des ossements.

Pour les sujets de la deuxième phase, au nombre de 41, la situation est plus favorable puisque 12 sujets ont bénéficié d'une estimation sexuelle : 6 sont féminins et 6 masculins. Quatorze sujets adultes sont de sexe indéterminé.

Enfin pour les sujets de la dernière phase d'inhumation, au nombre de 54, ils se répartissent entre 15 sujets masculins et 12 féminins.

Les déterminations sexuelles ont été réalisées selon trois méthodes : la DSP, l'observation macroscopique des éléments pelviens et les dimensions de la tête fémorale. La conservation osseuse est très satisfaisante pour permettre une bonne détermination sexuelle.

Á l'échelle de la population, ce sont 30,6% des effectifs qui ont pu bénéficier d'une estimation. La raison n'est pas la mauvaise conservation des vestiges pelviens mais les nombreux recoupements qui ont privé quelques squelettes des os coxaux, comme c'est le cas pour le sujet de la sépulture 849 (**fig.58**).

Fig.58 : Illustration d'une zone dense où les coxaux sont absents (C. Le Forestier, Inrap)

D'autres méthodes pour l'estimation sexuelle ont été utilisées. Leurs résultats ne sont pas inclus dans le décompte général puisque nous considérons que la DSP est la méthode la plus fiable à ce jour. Toutefois, il convient de les présenter pour permettre la discussion.

L'estimation sexuelle à partir des caractères morphométriques des coxaux a été possible pour 34 sujets, celle à partir des caractères morphologiques a été possible pour 34 individus également (ce qui est assez cohérent puisque les deux méthodes utilisent la même région anatomique) et celle à partir de la mophométrie du fémur a été réalisable sur 50 sujets. Ce sont 24 sujets qui ont bénéficié de la même estimation sexuelle en prenant en compte les deux premières méthodes. Pour 6

sujets, l'estimation par les coxaux est féminine et masculine par les têtes fémorales et pour 2 sujets, l'estimation par les coxaux est masculine et féminine par les têtes fémorales.

Sans prendre en compte le phasage, cette répartition ne met pas en évidence un recrutement particulier en fonction du sexe des individus.

3.5.2. Répartition par âge au décès

Comme pour le sexe, les estimations de l'âge au décès ont pu être réalisées sur de nombreux individus en raison d'une assez bonne conservation osseuse, des immatures comme des adultes, mais principalement pour les phases 2 et 3 (**fig.59**). Il est souvent inutile, voire absurde, de proposer des schémas paléodémographiques pour les ensembles funéraires contenant peu d'individus et dont l'utilisation de l'aire sépulcrale s'étend sur plusieurs siècles. Ici, nous sommes à peu près convaincus que l'utilisation de ce cimetière dure près de six siècles. Le peu de sujets de la collection ne permet que très peu d'hypothèses en paléodémographie.

Phase	AD	AD/IM5	IM	IM1	IM2	IM3	IM4	IM5
1	13		1				2	
2	25	1		1	6	5	2	
3	41	1				8	2	3
Total	79	2	1	1	6	13	6	3

Fig.59 : Repartition par âge au décès et par phase (C. Le Forestier, Inrap)

Pour la phase 1 (**fig.61**), l'étude de l'âge au décès a permis de décompter 15 adultes et 2 immatures. Ces derniers se répartissent en 1 sujet décédé entre 1 et 4 ans (aux alentours de 2 ans) et 1 sujet décédé entre 10 et 14 ans (plutôt aux alentours de 12 ans). Il y a donc, selon toute vraisemblance, un déséquilibre entre la mortalité infantile et celle des adultes. La collection devrait contenir davantage de sujets décédés dans les premières classes d'âges pour une population pré-jennérienne. Plusieurs raisons en sont la cause comme l'érosion naturelle des sols (les immatures sont en effet enterrés moins profondément que les adultes), les labours parfois intensifs, l'intervention des animaux fouisseurs qui endommagent les sépultures les plus superficielles, la moins bonne conservation des ossements des plus jeunes. La raison parfois évoquée d'un décapage trop bas ne peut pas être retenue ici puisque nous avions décidé de décaper plus en hauteur pour, justement, ne pas détruire les sépultures des plus jeunes sujets.

Pour la phase 2 (**fig.6**2), nous décomptons 26 sujets adultes, parmi lesquels un individu décédé aux alentours de 20 ans. Pour les immatures, cette phase contient 1 sujet décédé entre 0 et 1 an, 6 sujets entre 1 et 4 ans, 5 entre 5 et 9 ans et 3 entre 10 et 14 ans. Bien que le nombre de décès immatures soit faible, il est tout de même plus élevé que dans de nombreux sites de cette période. Cela peut justement être dû à un décapage moins profond du fait du caractère programmé et non préventif de cette opération archéologique.

Quant à la phase 3 (**fig.63**), elle regroupe 39 sujets adultes et 14 individus immatures. Parmi ces derniers, nous décomptons un sujet décédé autour de 20 ans, un immature indéterminé, 1 enfant décédé entre 0 et 1 an, 8 entre 5 et 9 ans, 2 entre 10 et 14 ans et 3 entre 15 et 19 ans. Comme pour la phase 2, la part des immatures est assez importante.

Deux critères ont été retenus pour valider l'hypothèse d'une population « naturelle » de modèle archaïque, sans recrutement spécifique et capable de se renouveler. Ces deux critères sont

suffisamment fiables (**BOCQUET-APPEL, MASSET 1977**) car ils ne prennent pas en compte les décès survenus entre le stade fœtal et les premières classes d'âge (population difficilement quantifiable en archéologie).

Le premier prend en compte les enfants décédés entre 5 et 14 ans et celui des adultes (appelé aussi indice de juvénilité), il doit être supérieur ou égal à 0,100. Plus le chiffre est elevé, plus la mortalité des plus jeunes est forte. Pour la première phase, l'indice est aberrant et ne peut pas correspondre à une population naturelle, il est de 0,06. Pour les phases 1 et 2, il est respectivement de 0,32 et 0,25, ce qui est compatible avec une population à schéma de mortalité archaïque. Aujourd'hui en France, ce chiffre est en dessous de 0,100, ce qui est improbable pour une population avant l'invention des vaccins (**fig.60**).

Le second est le rapport des décédés de 5 à 9 ans et des décédés de 10 à 14 ans, il doit être supérieur à 2. Pour la phase, en raison de l'absence des 5-9 ans, le résultat est de 0 ; pour la phase 2, il semble y avoir un déficit des sujets décédés entre 5 et 9 ans ou alors une surmortalité des sujets qui ont succombé entre 10 et 14 ans ; quant à la phase 3, le chiffre de 4 est plausible. Sur l'ensemble des individus fouillés dans la parcelle 152 de la rue des Mastraits, le résultat est 2,1 (f**ig.60)**.

	ind. Juvénilité	5-9 / 10-14
Phase 1	0,153	0
Phase 2	0,28	2,5
Phase 3	0,243	4

Fig.60 : Indice de juvénilité et rapport 5-9 ans / 10-14 ans (C. Le Forestier, Inrap)

Eu égard à ce que l'on a coutume d'observer dans les populations archéologiques, sans que l'on connaisse réellement les schémas démographiques des périodes anciennes, il semble que le recrutement des individus de ce site soit naturel. Par cela, nous entendons qu'il n'y a pas de biais dans la constitution de l'effectif comme nous l'aurions en présence d'un cimetière militaire, de religieuses, d'un sanctuaire à répit, etc. Toutefois et nous n'aurons de cesse de le répéter dans ce rapport, l'étude des 83 sépultures du site fournira des résultats bien plus fidèles et plus construits sur l'ensemble de la population.

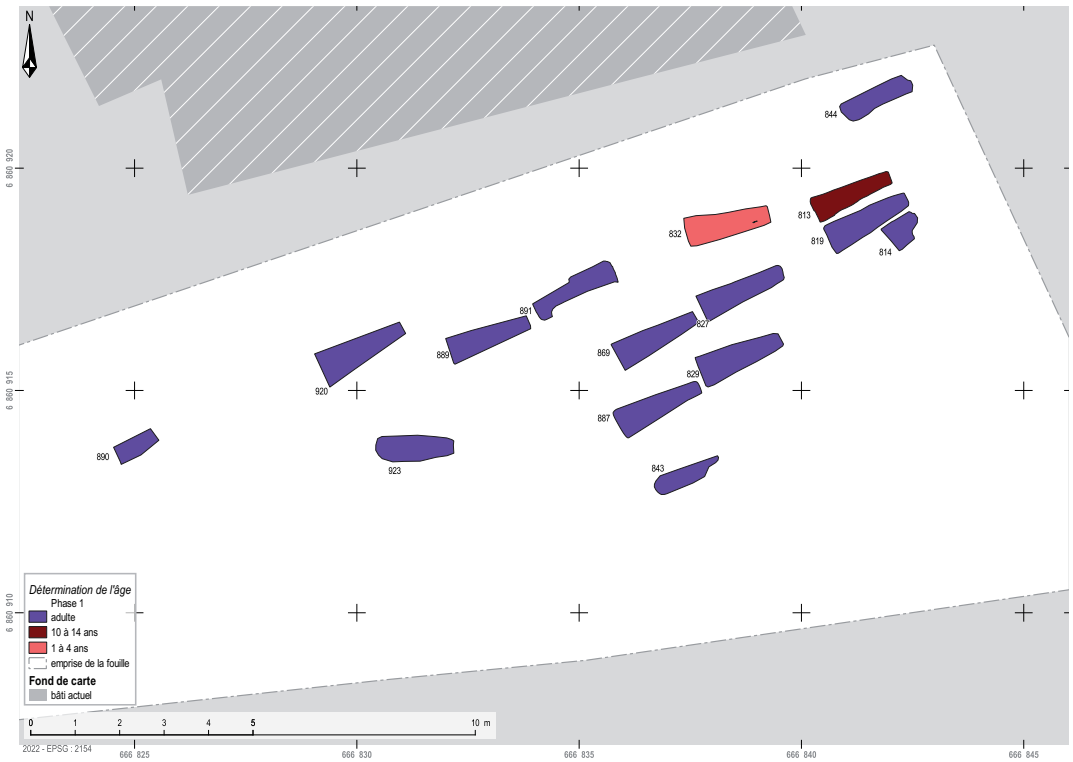

Fig.61 : Plan de répartition par âge des sujets de la phase 1 (C. Font, C. Le Forestier, Inrap)

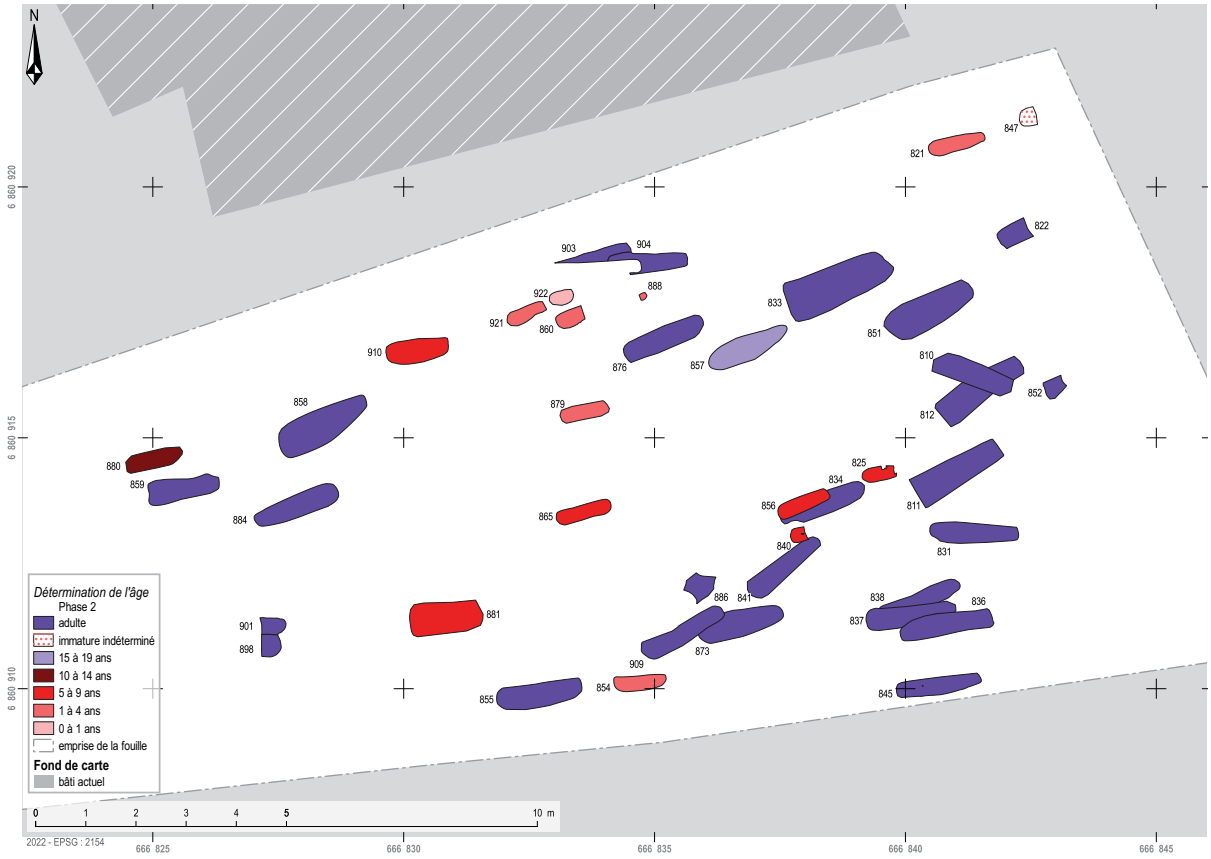

Fig.62 : Plan de répartition par âge des sujets de la phase 2 (C. Font, C. Le Forestier, Inrap)

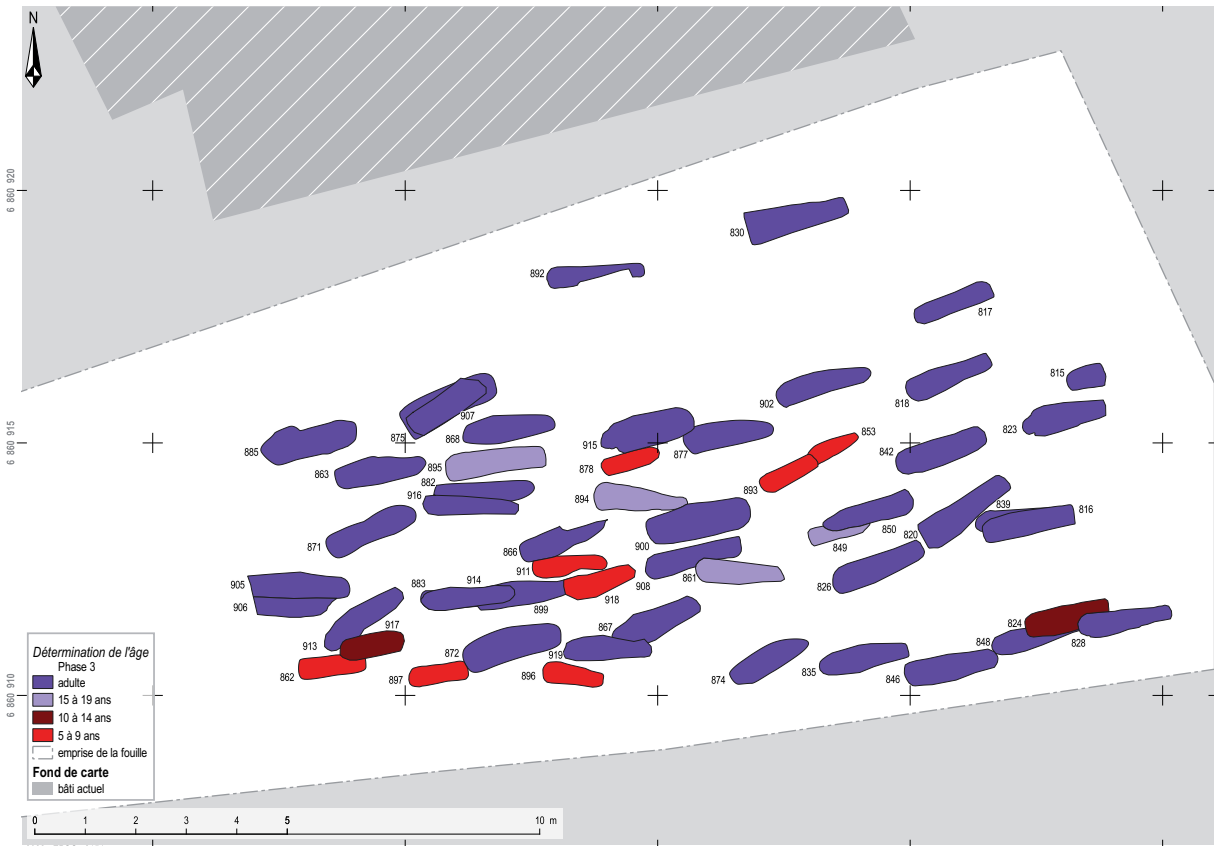

Fig.63 : Plan de répartition par âge des sujets de la phase (C. Font, C. Le Forestier, Inrap)

3.5.3. La pathocènose

L'approche sanitaire d'une population trouve toute sa valeur par son étude complète. Comme il s'agit ici d'un huitième de la population fouillée, il n'est pas envisageable d'aborder la notion de prévalence (nombre de cas d'une maladie dans une population à un moment donné).

Voici les principales lésions osseuses observées (**fig.64**)

	Trépanation	Édentement	Atteinte neurale	luxation hanche	Scoliose sévère	Paget	DISH	cartentiel	Nanisme	infection	Fracture non réd	Amputation	Nodules Schmorll	spina bifida occulta	Arthrose	Patho dégénér.	tartre*	traumatsime*	Autres
813	0	0	0	0	0	0	0	1	0	0	0	0	0	0	0	0	0	0	0
826	0	0	0	0	0	0	0	0	0	1	0	0	0	0	0	0	0	0	0
827	0	0	0	0	0	0	0	0	0	1	0	0	0	0	0	0	0	0	0
830	0	0	0	0	0	0	0	1	0	0	0	0	0	0	0	0	0	0	0
831	0	0	0	0	0	0	0	0	0	1	0	0	0	0	0	0	0	0	0
833	0	0	0	0	0	0	0	0	0	0	0	0	0	0	0	0	0	1	0
835	0	0	0	0	0	0	0	1	0	1	0	0	0	0	0	0	0	0	0
840	0	0	0	0	0	0	0	1	0	0	0	0	0	0	0	0	0	0	0
846	0	0	0	0	0	0	0	0	0	1	0	0	0	0	0	0	0	0	0
849	0	0	0	0	0	0	0	1	0	0	0	0	0	0	0	0	0	0	0
850	0	0	0	0	0	0	0	1	0	0	0	0	0	0	0	0	0	0	0
851	0	0	0	0	0	0	0	0	0	1	0	0	0	0	0	0	0	0	0
854	0	0	0	0	0	0	0	1	0	0	0	0	0	0	0	0	0	0	0
861	0	0	0	0	0	0	0	0	0	1	0	0	0	0	0	0	0	0	0
868	0	0	0	0	0	0	0	0	0	0	0	0	0	0	0	0	0	1	0
872	0	0	0	1	0	0	0	0	0	0	0	0	0	0	0	0	0	0	0
873	0	1	0	0	0	0	0	0	0	0	0	0	0	0	0	0	0	0	0
874	0	0	0	0	0	0	0	0	0	1	0	0	0	0	0	0	0	0	0
876	0	1	0	0	0	0	0	0	0	0	0	0	0	0	0	0	0	0	0
883	0	0	0	0	0	0	0	0	0	0	0	0	0	0	0	0	1	0	0
889	0	0	0	0	0	0	0	0	0	1	0	0	0	0	0	0	0	0	0
892	0	1	0	0	0	0	0	0	0	0	0	0	0	0	0	0	0	0	0
893	0	0	0	0	0	0	0	1	0	1	0	0	0	0	0	0	0	0	0
894	0	0	0	0	0	0	0	0	0	1	0	0	0	0	0	0	0	0	0
917	0	0	0	0	0	0	0	1	0	0	0	0	0	0	0	0	0	0	0
918	0	0	0	0	0	0	0	1	0	0	0	0	0	0	0	0	0	0	0
923	0	0	0	0	0	0	0	0	0	1	0	0	0	0	0	0	0	0	0
815	0	0	0	0	0	0	0	0	0	0	0	0	0	0	1	0	0	0	0
820	0	0	0	0	0	0	0	1	0	0	0	0	0	0	1	0	0	0	0
832	0	0	0	0	0	0	0	0	0	0	0	0	0	0	1	0	0	0	0
836	0	0	0	0	0	0	0	0	0	0	0	0	0	0	1	0	0	0	0
839	0	0	0	0	0	0	0	0	0	0	0	0	0	0	1	0	0	0	0
845	0	0	0	0	0	0	0	0	0	0	0	0	0	0	1	0	0	0	0
858	0	0	0	0	0	0	0	0	0	0	0	0	0	0	1	0	0	0	0
859	0	0	0	0	0	0	0	0	0	0	0	0	0	0	1	0	0	0	0
862	0	0	0	0	0	0	0	0	0	0	0	0	0	0	1	0	0	0	0
867	0	0	0	0	0	0	0	0	0	0	0	0	0	0	1	0	0	0	0
875	0	0	0	0	0	0	0	0	0	0	0	0	0	0	1	0	0	0	0
882	0	0	0	0	0	0	0	0	0	0	0	0	0	0	1	0	0	0	0
887	0	0	0	0	0	0	0	0	0	0	0	0	0	0	1	0	0	0	0
902	0	0	0	0	0	0	0	0	0	0	0	0	0	0	1	0	0	0	0
904	0	0	0	0	0	0	0	0	0	0	0	0	0	0	1	0	0	0	0
905	0	0	0	0	0	0	0	0	0	0	0	0	0	0	1	0	0	0	0
913	0	0	0	0	0	0	0	0	0	0	0	0	0	0	1	0	0	0	0
914	0	0	0	0	0	0	0	0	0	0	0	0	0	0	1	0	0	0	0
total	0	3	0	1	0	0	0	11	0	12	0	0	0	0	18	0	1	2	0

Fig.64 : Inventaire des atteintes selon les lésions retenus pour l'Action Collective de Recherches "Archéologie du Handicap". Les champs avec un asterisque ont été ajoutés.

L'arthrose touche 18 sujets parmi les individus fouillés dans la parcelle 152. Il s'agit principalement de spondylarthropathie : **I.815, I.839, I.867, I.882, I.887, I.902, I.832, I.845, I.858, I.867, I.875 et I.905** et, parmi les sujets sexués, nous comptons 4 hommes et 3 femmes. Pour les autres, il s'agit de légère arthrose au niveau des articulations des coudes et des surfaces sacro-iliaques : **I.820, I.836, I.859, I.862, I.913 et I.914,** dont trois hommes et une femme identifiables. Hormis sept sujets, les autres appartiennent à la phase 3. Pour les spondylarthropathies, il y a deux sujets de la phase 1 (**I.832 et I.887**) et deux de la phase 2 (**I.845 et I.858**). Quant aux autres formes d'arthrose, trois sont de la phase 2 (**I.836, I.859 et I.914**), les autres appartiennent à la dernière phase d'occupation.

Les atteintes carentielles, identifiables par un aspect poreux ou par la présence de *cribra orbitalia* sont au nombre de onze : **I.813, I.820, I.830, I.835, I.840, I.849, I.850, I.854, I.893, I.917 et I.918.** Parmi ces dernières, 3 appartiennent à la phase 1 (**I.813,I.840 et I.854**) et le reste à la phase 3. La plupart sont des immatures (IM2, IM3 et IM4), hormis le sujet de la **sépulture 835** (une femme) et celui de la **sépulture 830** (un homme). Ce sont donc près de 10% d'individus par ce type de lésions qui traduisent un état sanitaire plutôt défavorisé.

Le squelette de la **sépulture 854** présente de nombreuses zones avec un aspect poreux. Il se peut que ces lésions soient symptomatiques de la tuberculose (**fig.65**).

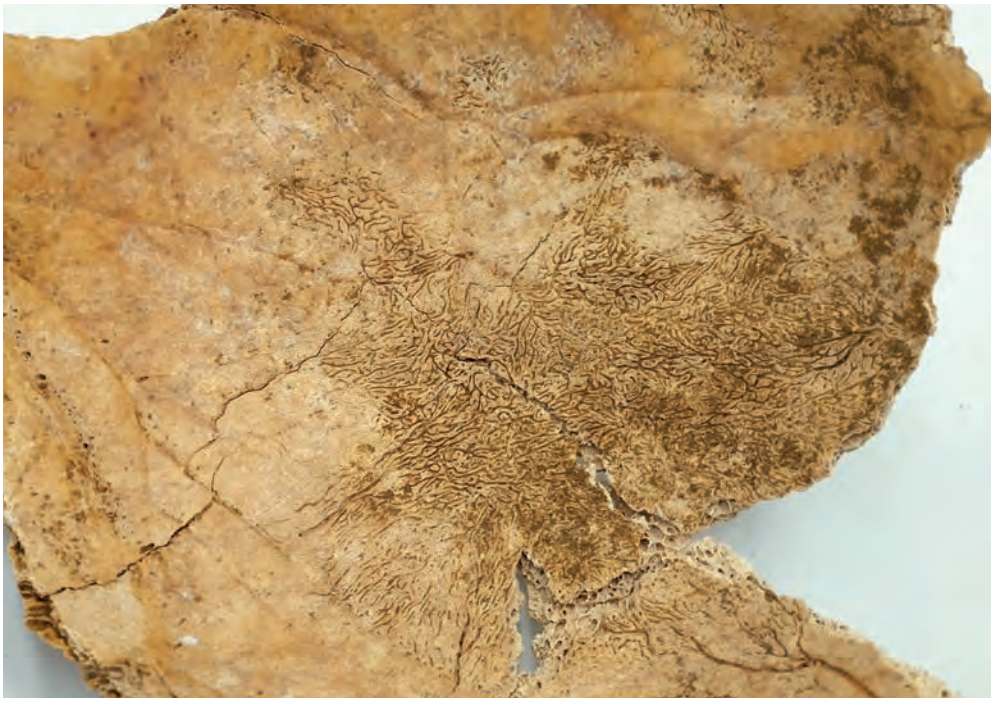

Fig.65 : Individu de la sépulture 854 présentant les séquelles de la tuberculose (aspect serpentiforme) (M. Kérien, Association Archéologie des nécropoles)

Les traumatismes sont assez rares parmi les sujets de cette partie de la nécropole des Mastraits. Cela concerne une fracture de l'ulna droit, pour le sujet masculin de la sépulture 868 (phase 2) et deux coups portés sur les pariétaux du l'individu masculin de **l'inhumation 833** (phase 3). Il s'agit d'un traumatisme par objet tranchant résorbé sur le pariétal gauche et d'un trou creusé par découpe (par opération chirurgicale) sur le dessus du scalp au niveau de la suture pariétale avec résorption notable (**fig.66**). Nous observons un second traumatisme par objet tranchant au niveau de la découpe sur le pariétal gauche assez parallèle au premier. La partie de l'os pariétal droit semble s'être détaché puis résorbé, peut-être dû à une autre découpe par opération chirurgicale ou alors lorsque l'objet tranchant a été retiré du crâne après avoir frappé, il a agi comme un levier et détachant un fragment d'os pariétal. Ce cas est tout à fait original et fera l'objet d'investigations plus approfondies ultérieurement.

Fig.66 : Traumatismes sur le sujet de la sépulture 833 : à droite un fragment de pariéral droit arraché et à gauche, un coup sur le pariétal gauche (C. Le Forestier, Inrap)

Les infections concernent 10 sujets. Il s'agit principalement de périostites, généralement symptomatiques d'infection non spécifique. Il s'agit des inhumations **826, 827, 831, 846, 851, 861, 874, 889, 914 et 923**. Il n'y a pas de sujets d'une phase plus atteints qu'une autre, toutes les périodes comportent des individus ayant été touchés par une infection. Parmi les sujets sexués, nous décomptons deux femmes et deux hommes et aucun immature.

Bien que cette observation ne soit pas réellement liée à un stress biologique, il convient de noter la présence pour deux sujets, **I.839 et I.848** de la sacralisation de la dernière lombaire (L5). Ces deux inhumations sont de la phase chronologique et sont espacées d'1,8 m. Il n'est pas impossible qu'un lien de parenté unissent ces deux sujets adultes (une femme et un homme).

Un cas de déformation en boutonnière ? Le sujet de la **sépulture 863** présente une déformation d'une phalange proximale droite et d'une phalange moyenne (**fig.67**). La déformation en boutonnière peut résulter de nombreuses affections, d'une déchirure tendineuse, d'une luxation, d'une fracture, d'une arthrose ou d'une polyarthrite rhumatoïde. Habituellement, la déformation est due à la destruction du point d'insertion du tendon extenseur à la base de la phalange intermédiaire, permettant à la phalange proximale de faire saillie ("boutonnière") entre les bandelettes latérales du tendon extenseur.

Fig.67 : Cas de déformation en boutonnière (M. Kérien, Association Archéologie des nécropoles)

3.5.4. Les données anthropométriques

Pour 40 individus adultes, la métrique post-crânienne a pu être réalisée, soit 50% de l'effectif adulte (**fig.68**). Comme la taille dépend des références populationnelles prenant en compte le sexe des individus, les sujets non sexués ont été retirés de cette analyse. Au final, seuls 29 sujets de sexe connu ont au moins un os long (parmi l'humérus, le fémur et le tibia) entier pour permettre une mesure. Parmi ces derniers, 7 appartiennent à la phase 2 et 22 à la phase 3. Sans surprise, les mesures sur les individus de la dernière phase d'occupation ont été davantage réalisables puisque ces inhumations n'ont pas été perturbées par des creusements des phases antérieures. Les sujets de la phase 2, en partie incomplets à cause des fossoyages des fosses sépulcrales de la phase 3, sont toutefois plus nombreux que ceux de la phase 1 dont les os sont souvent très mal conservés.

Pour les mesures, la phase 2 regroupe 4 hommes et 3 femmes. Pour les sujets masculins, les valeurs oscillent entre 1,60 m (**I.848**) et 1,72 m (**I.834**). Pour les sujets féminins, elles oscillent entre 1,57 m (**I.857**) et 163,5 m (**I.845**). Les sujets de la phase, bien plus nombreux, se répartissent entre 12 sujets masculins et 7 sujets féminins. Pour le premier sexe, les valeurs oscillent entre 1,61 (**I.919**) et 1,81 (**I.826**). Pour les femmes, les valeurs s'échelonnent entre 1,48 m (**I.868**) et 1,73 m (**I.871**). Entre les deux phases, les sujets sont un peu grands mais l'écart d'effectif peut être à l'origine de ce constat. Encore une fois, l'étude globale de la population de la nécropole des Mastraits entre le VI^{e} siècle et le XII^{e} siècle permettra de proposer une véritable conclusion sur la stature.

num_fait	âge	sexe	phase	stat_hum	stat_fem	stat_tib	stat_med
826	AD	1	3	1742	1809	1832	1809
830	AD	1	3	1749	1704	ind	1726
833	AD	1	2	1638	1578	ind	1608
834	AD	1	2	1690	1749	ind	1720
835	AD	2	3	1537	1554	1558	1554
836	AD	1	2	1613	1647	1683	1647
839	AD	2	3	1557	ind	1520	1539
842	AD	1	3	1706	1640	1701	1701
845	AD	2	2	1635	1606	1656	1635
846	AD	1	3	ind	1737	1741	1739
848	AD	1	3	1709	1721	1812	1721
857	AD/IM5	2	2	1537	1571	1639	1571
858	AD	1	2	1604	1599	1646	1604
861	AD/IM5	2	3	1541	1727	1584	1584
863	AD	1	3	1675	1673	1726	1675
868	AD	2	3	1453	1487	1578	1487
871	AD	2	3	1736	1737	1761	1737
872	AD	1	3	1758	1730	1845	1758
875	AD	1	3	1758	1737	1749	1749
882	AD	1	3	1712	1687	1751	1712
883	AD	2	3	1494	1512	1546	1512
885	AD	1	3	1650	ind	1648	1649
895	IM5	2	3	1537	1534	1558	1537
899	AD	2	3	1749	1670	1735	1735
903	AD	2	2	ind	1578	ind	1578
905	AD	1	3	1875	1635	1719	1719
906	AD	2	3	ind	1635	1665	1650
916	AD	2	3	1635	1581	1680	1635
919	AD	1	3	1610	1571	1608	1608

Fig.68 : Estimation de la stature d'après l'humérus (hum), le fémur (fem) et le tibia (tib). "Stat_med" est la médiane des données acquises (C. Le Forestier, Inrap)

L'étude biologique des 111 inhumations fouillées entre 2019 et 2022 montre certes l'image d'une population classique (toutes les catégories sont représentées) mais eu égard aux squelettes étudiés en 2008-2009, la part des sujets présentant des lésions osseuses est plus importantes comme quelques possibles cas de tuberculose, de nombreuses infections non spécifiques, des troubles carentiels etc. Il est possible que cette frange de la nécropole corresponde à une popualtion en moins bonne santé que celle qui se situe plus à l'ouest. L'étude de l'ensemble du corpus et la mise en parallèle de toutes ces données démographiques et sur l'état sanitaire sera indispensable pour saisir ces quelques dissemblances.

4. LES PROJETS EN LIEN AVEC LA FOUILLE DE LA NÉCROPOLE DES MASTRAITS DE NOISY- LE- GRAND

Plusieurs projets de recherche sont étroitement liés avec la fouille et les résultats de la nécropole des Mastraits à Noisy-le-Grand. Le Programme Collectif de Recherches "Archéologie des nécropoles mérovingiennes en Île-de-France" a été initié à la suite de la fouille de la nécropole en 2008-2009. La publication des résultats verra le jour en 2023 dans un supplément de la Revue Archéologie d'île-de-France (RAIF). La nécropole de Noisy-le-Grand s'inscrit également dans un projet de recherche du bacille *yersinia pestis* dans le cadre de la Peste Justinienne ; elle s'inscrit également dans l'Action Collective de Recherche "Archéologie du handicap", le site de Noisy-le-Grand a servi de test dans le recensement des cas paléopathologoiques pour ce projet ; la fouille a également été l'occasion d'expérimenter un enregistrement stratigraphiques, mais aussi en archéo-anthropologie, totalement dématérialisé (enregistement des données sur tablette numérique, photogrammétrie, automatisation des catalogues de sépultures, etc. ; enfin, la fouille va faire l'objet d'une étude isotopique pour caractériser le type de régime alimentaire du VI^{e} au XIII^{e} siècle.

4.1 Le projet « archéologie et histoire des épidémies »

Ce projet consiste à éclairer et à comprendre les pandémies du passé. Ce type d'étude impose bien évidemment une démarche transdisciplinaire et une plateforme spécialisée qui doit permettre d'étudier le phénomène microbien dans sa dimension humaine et historique.

Les équipes du PCR Archéologie des nécropoles mérovingiennes en Île-de-France et de la fouille de la nécropole des Mastraits ont été sollicités par Isabelle Cattedu pour participer à ce projet dont voici la note d'intention. Avec l'accord du SRA, des échantillons de la fouille de 2008-2009 ont été envoyés à Leipzig (Allemagne) pour une étude de biologie moléculaire.

Résumé du projet (I. Cattedu)

Les défis sont nombreux, à la fois historiques (peu voire pas de textes selon les régions géographiques), philologiques (textes en langues diverses parfois complexes), biologiques (foyers permanents, temporaires, vecteurs, rôles des conditions environnementales). Les facteurs économiques, culturels et sociaux sont partie prenante de cette démarche. Ces travaux solliciteront donc de nombreuses sciences, dont l'archéologie, l'histoire, la philologie, l'archéogénétique, la géochimie et les témoignages isotopiques, l'informatique, le SIG et la philologie quantitative.

Les chercheurs ont longtemps limité les impacts de l'épidémie de peste justinienne à des régions méditerranéennes (puis jusqu'en Azerbaïdjan et dans l'Empire sassanide). Ses conséquences économiques et politiques sont à l'origine de nombreux débats et paradigmes autour de la crise du VIe siècle. Or les premières données archéogénétiques mettent à mal ces théories.

En effet, la prolifération inopinée d'inhumations simultanées de deux, trois ou quatre individus, ne présentant aucun signe de violence dans un cimetière typique, s'est révélée porteuse de cas avérés une fois les échantillons étudiés. Le projet actuel a déjà relevé 85 exemples livrant l'aDNA de Yersinia pestis distribués sur 55 sites comprenant entre 5 et 52 victimes. Au-delà, plusieurs « variants » sont d'ores et déjà cartographiés et diverses vagues de cette épidémie ont été mises en évidence entre 540 et les années 700.

Ces découvertes récentes commencent donc à montrer que la pandémie, apparue en Égypte,

s'est diffusée en Espagne, dans le cimetière wisigothique de Valence, mais aussi en France : à Lunel Viel, ainsi qu'à Bourges où l'archéologie biomoléculaire établit plusieurs mortalités pestilentielles bien postérieures à l'épidémie de 571, mentionnée par Grégoire de Tours. Plus surprenant, elle a également pénétré le cœur de la Bavière à plusieurs reprises (site d'Aschheim VI^e^-VII^e^ siècles) et s'est répandue jusque dans les îles britanniques, notamment dans la zone orientale occupée par les anglo-saxons et non pas dans le sud-est romanisé, là où les relations commerciales avec la Méditerranée se poursuivaient encore au VI^e^ siècle.

L'archéologie occupe donc une place stratégique dans ce projet. Il s'agit de repérer, inventorier (open access data base) et analyser des données funéraires susceptibles de documenter les mortalités des épisodes de la pandémie, ainsi que d'autres de natures différentes qui l'accompagnaient (ex. les témoins de dysenterie à Metz en 588).

Le projet consiste à recenser les cas de sépultures multiples, de sépultures de masse (à partir de cinq) et de sépultures « d'urgence » dites « hâtives » (expéditives, improvisées), mais aussi les exclusions en périphérie des contextes funéraires standards, les sépultures en silos, en four à chaux, le long des axes de circulation, etc. Le tout s'inscrivant entre le VI^e^ et le VIII^e^ siècle et même plus largement entre les années 300 et 800, sur le territoire de la France.

Une fois les sites et inhumations sélectionnés pour leur intérêt potentiel et les contextes renseignés, il s'agit de prélever une dent (molaire de préférence) qui sera envoyée aux équipes de généticiens de Iéna Leipzig. Ces dernières sont chargées d'identifier les traces moléculaires du code génétique du pathogène encore conservé dans les dents. Les analyses seront faites aux frais de Harvard et en collaboration avec Max Planck Institute qui prendra également en charge les datations radiocarbone.

Cette base de géo-données des cas susceptibles d'analyse par le projet aDNA sur la pandémie de peste sous Justinien sera disponible et téléchargeable sur MAPS (Mapping Past Societies), le successeur de DARMC.

À terme, l'objectif est également :

- d'aller vers une cartographie de plus en plus précise et plus largement de répondre à des questions historiques, environnementales, économiques et sociales (ex. contextes ruraux et urbains, sites côtiers...) ;

- d'analyser les comportements d'inclusion ou d'exclusion et les gestes funéraires en début d'épidémie et au-delà ;

- de réfléchir aux impacts sociaux et économiques des pandémies, de relier ces résultats avec les réseaux de communication pour mieux comprendre les transmissions...

Les enjeux d'un tel sujet de recherche pour notre institut sont évidents, en particulier en cette période qui voit se multiplier les pandémies. Ce sujet d'étude est en pointe dans la recherche scientifique récente et fait écho aux interrogations sociétales contemporaines ; là encore le foisonnement de nos données issues de l'archéologie préventive et leur traitement en interne, puis en collaboration, seront des plus-values incontestables.

Le sujet transversal rejoint d'ores et déjà plusieurs programmes de recherche en cours comme l'ARC de V. Delattre sur « Archéologie du Handicap » ; le PAS de M.-C. Truc, S. Desbrosse-Degorbetière, sur l' « Archéologie de la nécropole du haut Moyen Âge en Champagne-Ardenne », ou encore le PCR de Cyrille Le Forestier, sur les « nécropoles mérovingiennes en Ile-de-France », pour ne citer que quelques exemples dont les données pourront être mutualisées.

Quelques échantillons de la nécropole de Noisy-le-Grand ont été envoyés le 20 décembre 2022 à Leipzig pour déceler la présence de *Yersinia Pestis* mais également pour une identification des pathogènes (herpès, tuberculose, Epstien-Barr, Bartonnella Quintana, etc.). Il est à noter que sur chaque échantillon osseux envoyé, un prélèvement sera éffectué (à la micro-foreuse) et le reste de l'os, quasiment intact, sera retourné en France et intégré de nouveau à la collection ostéologique.

Les échantillons ont concernés les sépultures suivantes (**fig.69**).

168	MAS4138	2008	rib	petrous bone	canine
215	MAS2175	2008	rib	petrous bone	molar
476	MAS2563	2008	scapula	petrous bone	molar
640	MAS4534	2008	rib	petrous bone	molar
731A	MAS6141	2008	ulna dyaphisis	petrous bone	
731B	MAS6142	2008	metatarsal	petrous bone	molar
749	MAS6210	2008	rib	petrous bone	molar
755	MAS6238	2008	rib	petrous bone	molar
811A	MAS7008	2008	scapula	petrous bone	molar
811B	MAS7009	2008	rib	petrous bone	canine
881	MAS8108	2008	rib	petrous bone	molar
530	MAS4440	2008	rib	petrous bone	N/A

Fig.69 : Liste des échantillons pour étude paléogénétique (C. Le Forestier, inrap)

4.2 L'Action de Recherche Collective : Archéologie du handicap

L'altruisme est-il un comportement plus prégnant aujourd'hui qu'hier ? Rien n'est moins sûr. Les recherches archéologiques, et notamment celles issues des fouilles préventives, montrent que les personnes fragilisées, en situation de handicap ou « différentes » peuvent faire l'objet d'une prise en charge collective par tout ou partie du corps social et ce, depuis la Préhistoire. En effet, dès Neandertal et le désormais validé « take care »exposant les réalités d'une paléo-compassion, l'archéologie documente nombre de cas où la société a accompagné, aidé, réparé et assisté des personnes non autonomes ou différentes. Elle permet aussi d'appréhender la façon dont des personnes âgées dépendantes, des handicapés physiques, et parfois mentaux selon la lecture possible des pathologies sur le squelette, ont été inclus ou exclus de leur communauté.

Les données archéologiques et historiques permettent une approche qui dépasse l'anecdotique. Les soins apportés et l'inventions d'appareillages compensatoire ingénieux, sont autant d'indices tangibles d'une prise en charge de proximité, humaine et technique et renseignent sur tous les hommes du passé, leurs valeurs et leurs comportements. S'intéresser à la place du « corps différent », à celui que ses particularités physiques singularisent, a souvent été intégré à l'étude des pathologies.

Au-delà de la recension des lésions, des affections, peut-on reconnaître le statut, le rôle, l'inclusion ou l'exclusion de « l'infirme » au sein de sa communauté ?

Cette enquête nationale, en créant une base de données *ad hoc* et en proposant, à terme, des synthèses de fond (chronologiques et thématiques) tentera de répondre à des interrogations fondamentales sur l'homme, sur tous les hommes du passé, leurs valeurs et leurs comportements, et fera immanquablement écho aux sujets de société contemporains qui font du handicap un véritable enjeu de civilisation.

Cette thématique du handicap et de la considération – ou non – réservée par les communautés du passé – y compris les plus anciennes, accessibles à l'investigation archeo-anthropologique - à l'égard des « corps différents » est sans nul doute l'une des rares clefs dont l'archéologie (et notamment préventive en raison de l'abondance des données engrangées) dispose pour appréhender les liens tissés entre les hommes, mettant en oeuvre les individus eux-mêmes (diagnostic rétrospectif), les modalités de l'archéologie funéraire (taphonomie, agencement, accompagnement, …) et les mobiliers spécifiques (appareils compensatoires,…).

Cette action de recherche collective est menée par V. Delattre. L'association Archéologie des

nécropoles a participé activement à la réalisation de la base de données en ligne (**fig.70 et 71**). Un apprenti de l'IUT de Marne-la-Vallée (77) a été employé en alternance pour developper cet outil dont se servent maintenant près d'une vingtaine de chercheurs (https://archeohandi.huma-num.fr/public/accueil).

		D	G		D	G	Nb cas concerné	Nb cas observable	Prévalence*
Trépanation	☐						0	0	0
Édentement complet	☐						0	0	0
Atteinte neurale	☐	☐	☐	☐	☐	☐	0	0	0
Scoliose sévère				☐			0	0	0
Maladie de Paget ou ostéite déformante	☐	☐	☐	☐	☐	☐	0	0	0
DISH	☐	☐	☐	☐	☐	☐	0	0	0
Rachitisme	☐	☐	☐	☐	☐	☐	0	0	0
Nanisme	☐	☐	☐	☐	☐	☐	0	0	0
Fracture non réduite	☐	☑	☐	☐	☐	☐	2	0	1000
Amputation		☐	☐		☐	☐	0	0	0
Pathologie dégénérative sévère	☐	☐	☐	☐	☐	☐	0	0	0
Autre	☐	☐	☐	☐	☐	☐	0	0	0

Fig.70 : Page de saisie pour une atteinte dans la base Archéologie du handicap

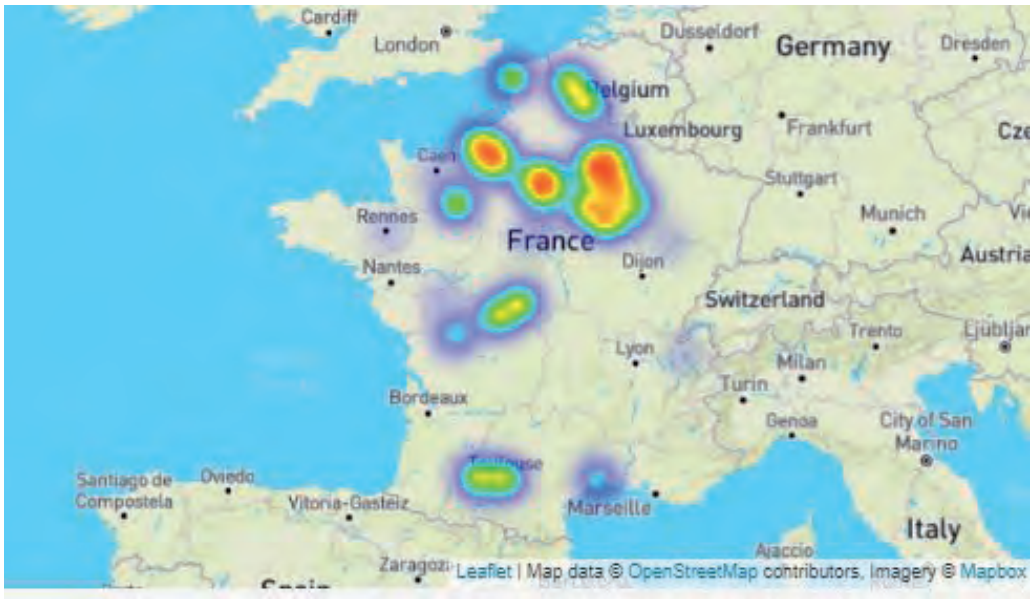

Fig.71 : Exemple de résultats d'une recherche sur une lésion osseuse

Le site des Mastraits à Noisy-le-Grand a fait office de site-test pour les présences/absences de type de lésion pour les individus fouillées en 2008-2009. En voici les résultats :

Maladies infectieuses : Les atteintes les plus fréquentes concernent les infections non spécifiques. Il est difficile de les caractériser (car peut-être pas assez développées) et c'est pourquoi il convient de les classer parmi les atteintes dites non spécifiques. Ce sont 27 cas qui ont été identifiés, dont 3 cas flagrants d'ostéomyélites (1 homme adulte et deux sujets adultes indéterminés).

Pour les infections non spécifiques, 9 cas féminins ont été recensés, 8 cas masculins, 3 immatures et 7 sujets adultes indéterminés. Parmi tous ces cas, ce sont 16 sujets mérovingiens et 11 sujets carolingiens qui ont été décomptés.

Atteintes dégénératives : Les autres atteintes les plus fréquentes parmi les sujets inhumés entre le VIème et le XIIIème sont, comme pour de nombreux sites, les arthroses et plus principalement les spondylarthroses, pour 20 cas. Ce sont 7 cas masculins touchés par cette atteinte, 4 cas féminins et 4 cas d'adultes de sexe indéterminé. Seuls deux cas mérovingiens se trouvent parmi ce groupe (un adulte masculin et un adulte de sexe indéterminé). Un cas de présence d'enthèses prononcée (calcanéums et patellas) se trouve dans le décompte des atteintes dégénératives et concerne un sujet adulte de sexe masculin inhumé à la période mérovingienne. Les arthroses sont majoritairement des spondylarthroses (15 cas sur 20) et les autres cas concernent les arthroses du coude et du poignet.

Édentement : Les cas d'édentement complet (ou quasi complet) concernent 7 sujets. Parmi lesquels, 3 hommes, 2 femmes et deux adultes de sexe indéterminé. Ils sont issus de l'époque mérovingienne et carolingienne (respectivement 3 et 4 cas).

Atteinte neurale : Ce groupe de lésions concerne 4 sujets dont 3 atteints de *spina bifida occulta*. Parmi lesquels un sujet adulte masculin décédé à l'époque mérovingienne deux autres (deux hommes adultes) à l'époque carolingienne. Le quatrième cas concerne un individu atteint de la maladie de Legg Calve Perthes (ostéochondrite primitive), une femme adulte.

Maladie de Forestier : Un seul cas de maladie de Forestier (DISH) a été observé parmi les sujets inhumés. Il s'agit d'un homme inhumé à l'époque carolingienne.

Traumatisme : Ce sont 23 sujets qui présentent des séquelles de fractures (cal osseux plus ou moins volumineux), principalement sur les os longs (avant-bras et jambes). Ce sont 16 sujets masculins qui ont été décomptés, 3 sujets féminins et 4 adultes de sexe indéterminé. Huit ont été inhumés à la période mérovingienne (dont 1 seule femme) et 15 à la période suivante.

Trépanation : Un seul cas d'intervention sur le neurocrâne d'un individu a été observé. Il s'agit d'un sujet adulte masculin inhumé dans un sarcophage mérovingien (le sujet peut être carolingien) qui a reçu deux coups sur le neurocrâne, un sur le pariétal gauche et un sur le droit. Un fragment osseux a été emporté lors du traumatisme et il semble qu'une tentative de consolidation ait eu lieu. Bien qu'il ne s'agisse pas *stricto sensu* d'une trépanation, l'inttention de réparation est manifestement plausible.

Plusieurs types de lésions retenus pour l'enregistrement des situations de handicaps ne figurent pas parmi les atteintes observées à ce jour lors de l'étude anthropologique des sujets de Noisy-le-Grand, les Mastraits. Ce sont les cas de nanisme, de rachitisme (bien que des infections non spécifiques puissent en être un indice) et d'amputation. Ce type d'atteinte est cependant assez rare dans les collections anthropologiques issues des fouilles archéologiques.

4.3 La nécropole numérique

4.3.1 Acquisition numérique des données archeo-anthropologiques et spatiales

Le projet « Nécropole numérique » s'inscrit dans un contexte où le développement d'une série d'outils et de logiciels, au sein de l'Inrap notamment, concorde avec la mutation numérique

qui s'effectue dans notre activité. Cette dynamique s'illustre par le déploiement des systèmes d'information géographique (SIG) à l'échelle nationale au sein de l'institut, mais aussi par les sessions de formation interne à la photogrammétrie et à l'élaboration de systèmes d'enregistrement de terrain institutionnels (Application EDArc, direction scientifique et technique (DST), Inrap) ou sous l'impulsion d'initiatives locales. Les autres acteurs de l'archéologie sont également mobilisés et investis dans l'application de ces technologies et l'utilisation de ces outils (**PIERROT-DESEILLIGNY, CLÉRY 2011**).

Lors des opérations archéologiques précédentes sur la nécropole de Noisy-le-Grand, les données ont été saisies dans un fichier FileMaker conçu pour l'enregistrement archéo-anthropologique, et les plans d'illustration ont été réalisés sur des supports hétérogènes (Adobe Illustrator pour les opérations plus anciennes, QGIS pour les plus récentes). Les pratiques ainsi que les outils ont évolué, et la considération spatiale des données est devenue essentielle à l'analyse du site, rendant de fait, l'utilisation de FileMaker insuffisante. Le projet constitue également l'occasion de migrer les données vers des logiciels libres, sous des formats garantissant la pérennité de la donnée . Les analyses à l'échelle de la nécropole dans sa totalité, comprenant à la fois les données des campagnes précédentes mais également celles des campagnes à venir, doivent donc s'effectuer au sein d'une base de données relationnelle et spatiale.

La nouvelle base de données s'appuie sur les descriptifs précédemment utilisés dans FileMaker et permet de réunir l'enregistrement des unités stratigraphiques (US) composant chaque sépulture, associé aux données propres à l'archéo-anthropologie. La représentation vectorielle est assurée par la récupération des illustrations des campagnes précédentes, qui sera complétée par les levers des campagnes futures. Le choix s'est porté sur le logiciel libre QGIS, qui permet la modification et l'interrogation des informations spatiales et attributaires, associé à une base de données au format SpatiaLite (SpatiaLite est une évolution de SQLite intégrant les informations spatiales. Ce moteur de base de données utilise le Structured Query Language (SQL), un langage d'écriture universelle, libre, sans obsolescence et normalisé). La base de données est constituée d'un unique fichier, facilement archivable et échangeable avec les autres chercheurs. La saisie des données stratigraphiques s'appuie sur un projet de base de données archéologiques développé en interne, appelée « Badass » (base archéologique de données attributaires et spatiales). La plasticité de ce noyau a permis la conception d'un module supplémentaire rassemblant les tables dédiées aux données funéraires (**fig.72)**.

Table	Description succincte	Géométrie
t_squelette	permet d'apporter des informations sur la position ou l'orientation des ossements et regroupe une synthèse des données anthropologiques	multipolygone
t_obs_sep	permet d'enregistrer les informations taphonomiques du dépôt	na
t_cont_sep	permet d'enregistrer les caractéristiques du contenant funéraire	na
t_os	permet de créer un enregistrement correspondant à un os	multipolygone
t_mesure	permet d'enregistrer les différentes observations à l'échelle de l'os (mesures, données de détermination du sexe ou de l'âge, indices de pathologies)	na
model_anthropo	permet de lister les différentes observations taphonomiques possibles selon le type de sépultures et les contenants. Cette liste peut-être adaptée par le chercheur dont les problématiques seraient différentes, avant l'utilisation du module anthroplogique de Badass	na
mannequin	permet de générer les géométries des os selon la classe d'âge désignée : adulte, immature, périnatal	multipolygone

Fig.72 : Description des tables attributaires mises en place pour l'étude anthropologique (collectif Ramen, Inrap 2022)

Les différentes observations réalisées sur les ossements (mesures, pathologies, détermination du sexe, de l'âge) font l'objet d'un enregistrement dans ces tables spécifiques. À la création d'une nouvelle US liée à l'enregistrement funéraire dans Badass, plusieurs triggers (un trigger ou déclencheur est une ligne de code écrite dans le langage d'interrogation Structured Query Language (SQL) qui permet d'automatiser la création d'enregistrements ou la saisie de données selon des critères spécifiés). créent des enregistrements en cascades dans les tables du module anthropologique (**fig.73**).

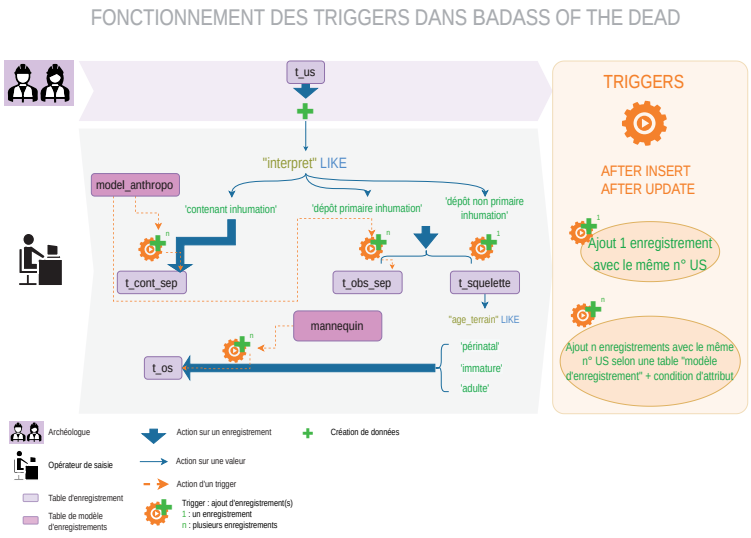

Fig.73 : Fonctionnement des triggers dans le module anthropologique (collectif Ramen, Inrap 2022)

- un nouveau squelette portant le même numéro d'US est ajouté (table t_squelette) ;
- l'ensemble des observations taphonomiques (dans la table t_obs_sep) ou sur le contenant(dans la table t_cont_sep) constitue une série d'enregistrements dont la liste est établie dans une table modèle (model_anthropo) ;
- lorsque la classe d'âge est déterminée (adulte, immature ou périnatal) l'ensemble des os constituant le squelette accompagné par leur géométrie est ajouté à la table des os (t_os) depuis la table mannequin servant de modèle.

La saisie des données se fait par l'intermédiaire de formulaires établis grâce aux outils natifs de QGIS. Ces derniers offrent de nombreuses possibilités pour améliorer l'ergonomie de l'affichage (sous-formulaires, menus déroulants, cases à cocher, etc.). Enfin, la saisie des données anthropologiques (mesures, détermination du sexe, de l'âge, observations sur les pathologies) peuvent s'effectuer sur une interface graphique qui permet de visualiser l'ensemble des os du squelette (**fig.74**).

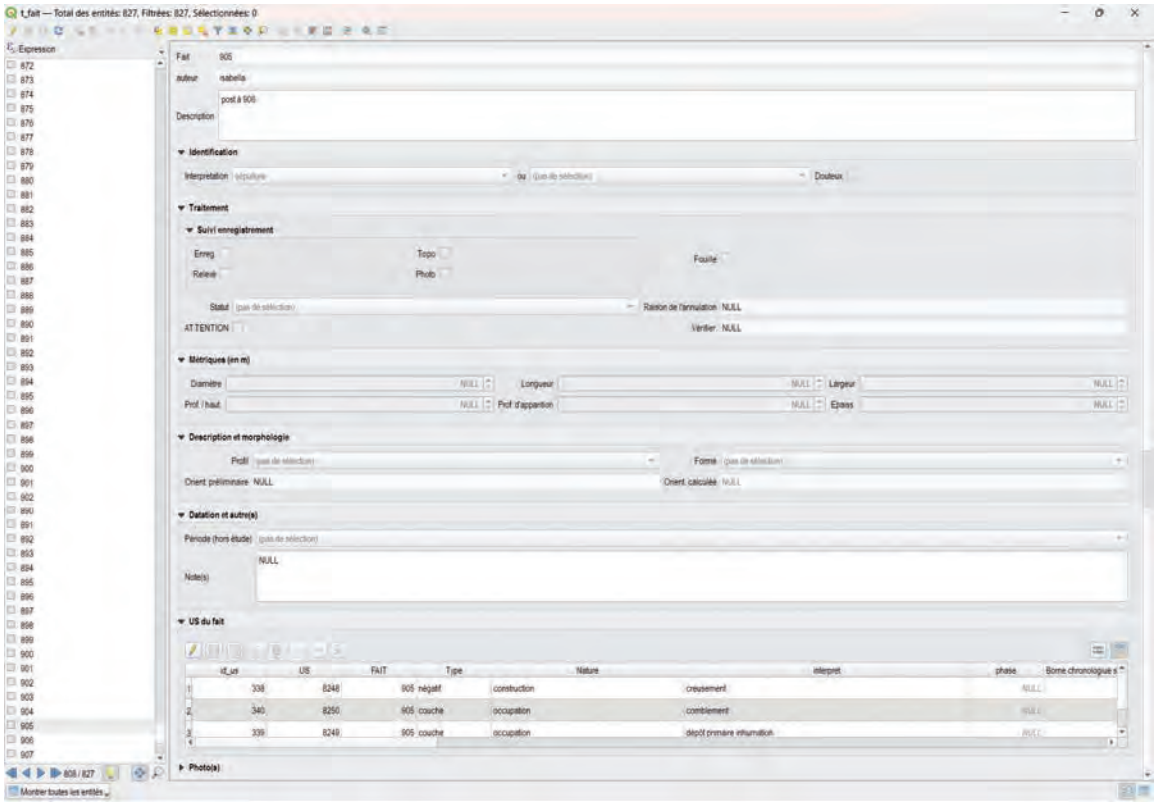

Fig.74 : Les interfaces de saisie dans le logiciel QGIS : a. formulaire de la table des faits ; b. formulaire de la table des squelettes ; c. de gauche à droite, mannequins des squelettes adulte, immature et périnatal (collectif Ramen, Inrap 2022)

La base de données HumanOs (https://www. humanos.cnrs.fr/), projet développé par Rozenn Colleter, Jean-Baptiste Romain et Jean-Baptiste Barreau (Inrap et Cnrs, UMR 6566 « CReAAH »), permet l'enregistrement des données ostéologiques par sépulture, et son fonctionnement repose notamment sur la saisie des données de mesure à l'échelle de l'os (**COLLETER ET AL. 2020**). Ce principe d'enregistrement a été retenu et complété. Les observations peuvent être réalisées à plusieurs échelles d'analyse (squelette ou os), selon l'individu et l'os considérés. La liste des observations possibles sur le squelette s'adapte à l'os et à l'âge de l'individu. La géométrie associée systématiquement à chaque os permet, au besoin, une modification manuelle selon la problématique de recherche (partie d'os non conservée, fragmentation, etc.).

La saisie commence dès le terrain puis est complétée à partir d'analyses effectuées en laboratoire, où les données anthropologiques (sexe, âge, pathologies, métrique crânienne et post-crânienne, etc.) sont ajoutées. La consultation immédiate des données est dès lors possible, et les outils d'analyse proposés à la fois par le langage SQL et par QGIS sont fiables et rapides. L'édition et la diffusion de cartes dynamiques et interactives sont réalisées par ce même logiciel, et de fait systématiquement synchronisées avec les données attributaires.

La numérisation des sépultures

Si le projet est expérimenté dans le cadre d'une fouille programmée, la démarche se rapproche le plus possible des conditions de la fouille préventive aussi bien pour le matériel utilisé (Panasonic Lumix DC-FT7 compact et durci, fixé sur une perche télescopique Rode) que pour l'urgence qu'exige le relevé des vestiges. Les protocoles de prise de vue et les traitements appliqués reprennent une méthodologie déjà éprouvée en contexte préventif. Des paramètres optimaux pour les prises de vues sont fixés sur l'appareil (Focale équivalente au 28 mm, ouverture établie à F/3.3, sensibilité fixée à 80 ISO), dans la mesure du possible. La mise en place d'un canevas topographique permet

le positionnement des modèles dans un système de coordonnées de référence (SCR) afin de les orienter, de leur donner une échelle et une position géographique. Des points de référence sont implantés autour du secteur de fouille, des points intermédiaires sont positionnés à proximité du sujet à documenter. Les vues générales sont réalisées à l'aide d'une perche. Une connexion Wi-Fi est établie entre l'appareil photo et le terminal mobile : elle permet le contrôle de la prise de vue à distance par l'interface d'une application (Image App, application gratuite fournie par Panasonic) . Pour l'acquisition des modèles individuels, l'appareil photo est tenu à la main.

Le logiciel utilisé pour les traitements de photogrammétrie est Metashape (Éditeur : Agisoft) . Si son interface est claire et fonctionnelle, ses réglages par défaut nécessitent un ajustement pour obtenir une documentation scientifique rigoureuse (**VERGNIEUX 2011**). Le logiciel analyse les images, détecte les points homologues (**Rose 2012**) et propose une orientation des différentes prises de vue dans un espace en trois dimensions (**fig.75**).

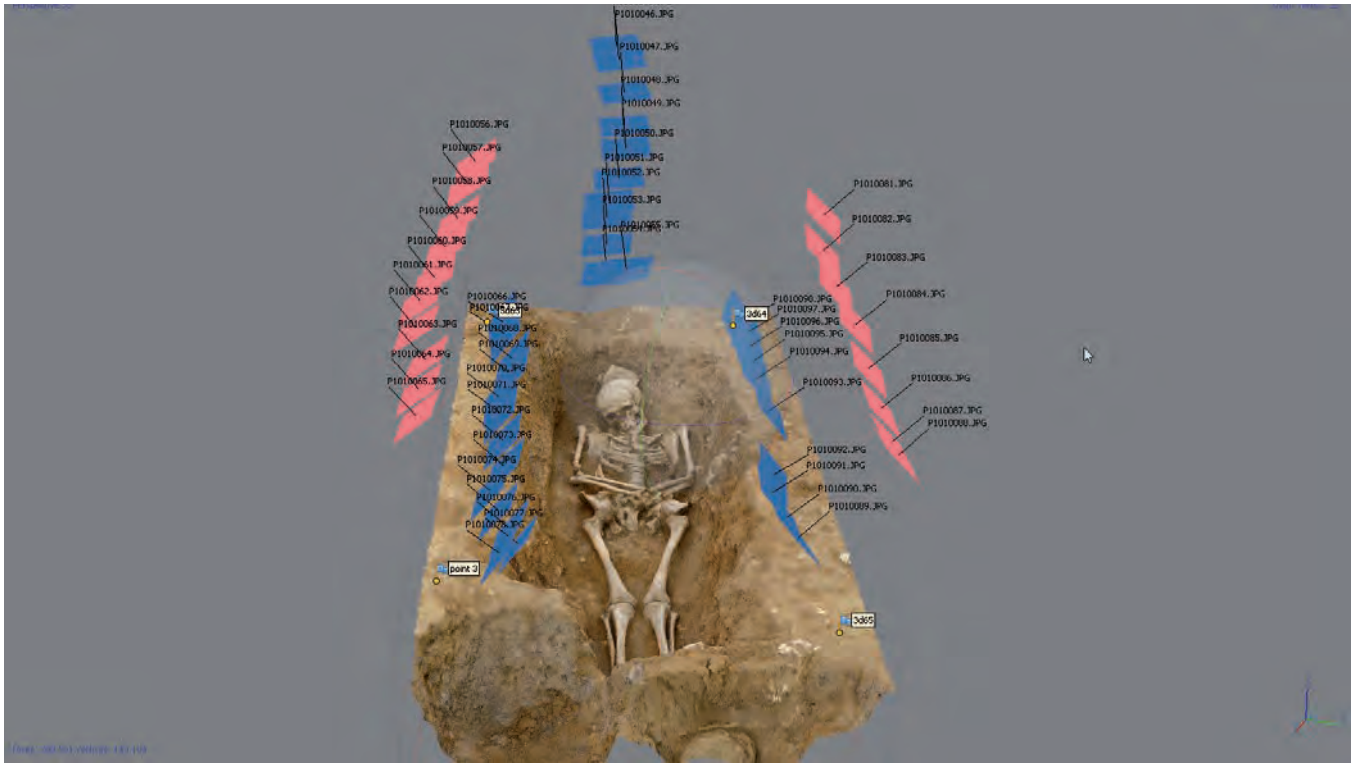

Fig.75 : Modèle d'une sépulture généré dans Agisoft Metashape : la position des clichés est matérialisée et les points d'appuis sont positionnés (R. El Hajaoui, Inrap 2022)

Le nuage de points obtenu est ensuite géoréférencé par l'association des points d'appui sur les images avec le fichier topographique qui contient leurs valeurs géographiques. Un nuage de points dense est ensuite généré et constitue la base de la documentation. Il permet de calculer un modèle numérique de surface (MNS), une représentation raster du relief de la scène, selon un plan donné.

Chaque pixel du raster est porteur de la position géographique (longitude, latitude) d'un point de la scène mais aussi de sa valeur en altitude.

Ce MNS permet l'édition de profils et la réalisation d'ortho-images, soit des vues de la scène selon un plan donné, sans aucune déformation liée à la perspective ou à la parallaxe. Ces ortho-images peuvent être imprimées puis interprétées, décrites et commentées, à l'instar d'une minute de terrain réalisée manuellement. Dans le cadre de la « Nécropole numérique », les rasters sont directement importés dans QGIS pour y être numérisés. Le plan général de la fouille est ainsi enrichi en temps réel.

La digitalisation des vestiges

Le travail de numérisation a deux buts : la représentation spatiale des données attributaires à fin d'analyses archéologiques et la production d'illustrations (**fig.76**).

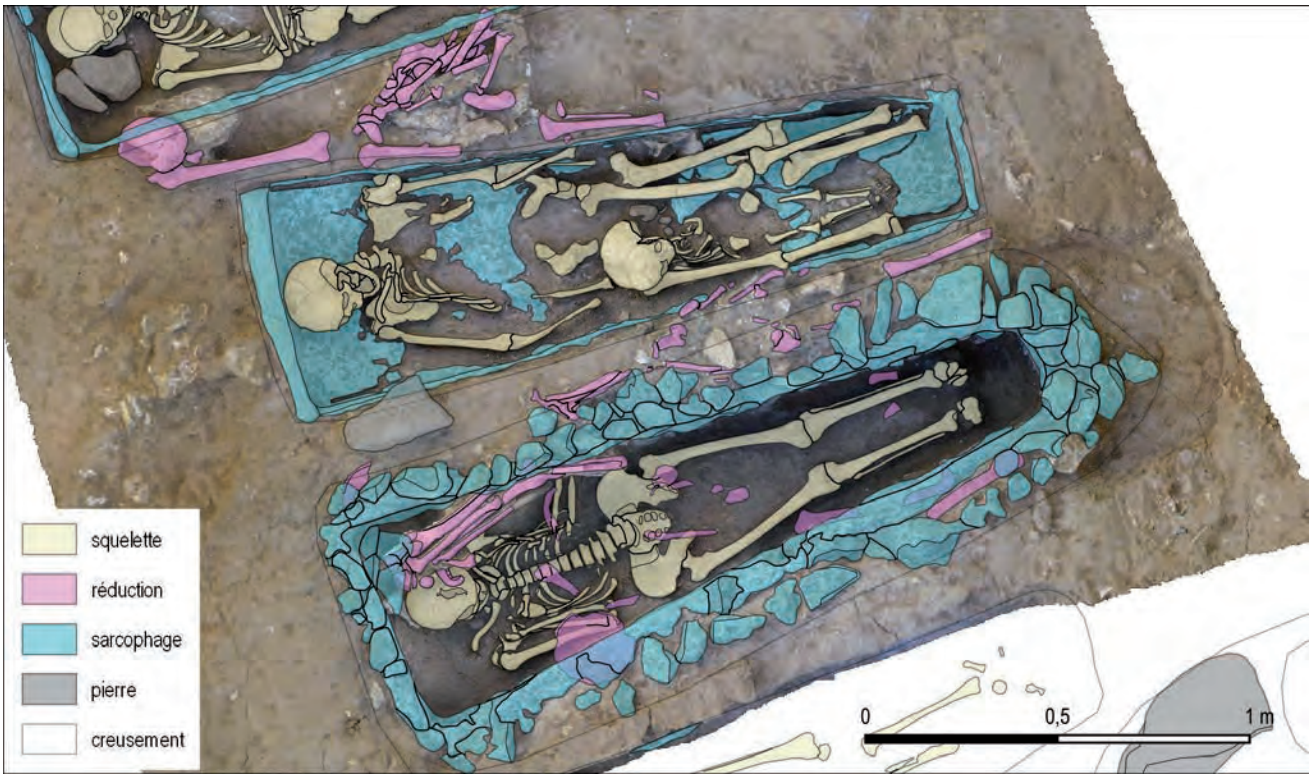

Fig.76 : Numérisation des entités archéologiques dans QGIS à partir d'une ortho-image (C. Seng, Inrap 2022)

Les types d'US représentés sur la couche de multipolygones sont les dépôts funéraires, les réductions, les contenants, les aménagements et les creusements [ill. 5]. Des données spatiales complémentaires sont ajoutées par l'import des dessins réalisés lors des fouilles précédentes. Pour ces deux ateliers de numérisation, différentes méthodes ont été utilisées, en utilisant des outils natifs du logiciel.

La fusion des données spatiales sera possible lorsque la reprise des US des opérations antérieures sera achevée. L'intégrité de l'ensemble est d'avance garantie par le choix commun des géométries représentées et par la concordance des champs dans les tables attributaires. Le rendu final de la superposition des US tiendra compte des relations stratigraphiques réelles saisies dans l'enregistrement.

À ce stade de la réflexion, la numérisation retenue permet une interrogation de la base de données spatiales à l'échelle de l'individu.

Retour d'expérience et bilan intermédiaire

À ce stade, le projet dispose donc d'une base de données spatiales et attributaires exhaustive et adaptable. Le principe de l'ajout à Badass d'un module spécifiquement dédié à l'enregistrement du contexte et des gestes funéraires permet d'inclure les nombreux champs nécessaires aux analyses anthropologiques. En ce qui concerne la saisie des données sur le terrain, le recours à des formulaires spécifiques semble être la solution la plus satisfaisante.

Aujourd'hui, la base de données est intégrée dans QGIS ; des formulaires ont été conçus grâce aux possibilités de mise en forme du logiciel. Le mannequin du squelette est intégré dans l'interface mais n'a pas été utilisé sur le terrain : la saisie des données anthropologiques en laboratoire sera l'occasion d'expérimenter cette possibilité ergonomique alternative.

La campagne de fouille de 2021 a permis de tester toutes les fonctionnalités implémentées dans la base SpatiaLite : si le cœur de la base est robuste et très complet, l'extension funéraire a fait l'objet de plusieurs reprises afin d'en simplifier la structure et l'efficience. Les campagnes de fouille et la saisie des données, sont l'occasion de tester en continue la pertinence des choix structurels de l'équipe de développement.

Cependant, à l'heure actuelle, l'utilisation de QGIS nécessite un environnement Windows, MacOs ou Linux, ce qui implique un coût matériel élevé et limite le type de terminal d'accès (pas de téléphone ou tablette Android). Les outils de conception de formulaires dans QGIS sont limités et ne permettent pas de personnaliser finement les interfaces de saisies. Nous avons contourné ce défaut par la mise en place de plusieurs Styles associés à chaque couche qui permettent l'utilisation de formulaires différents et simplifiés adaptés à une problématique ponctuelle. D'autres outils associés à QGIS, tels que Qt Creator, sont requis, ainsi que l'emploi du langage Python pour intégrer des fonctionnalités plus complexes (sur ce point, l'équipe est enrichie par la collaboration de J.-B. Barreau, CNRS). Ces options ont pour le moment été écartées car elles nécessiteraient des compétences poussées en informatique que nous ne possédons pas au sein de l'équipe. Enfin, notons que le format SpatiaLite est mono-utilisateur.

Un portage sur serveur (PostGreSQL associé à l'extension spatiale PostGIS (https://www.postgresql.org/)) est envisagé pour l'exploitation future de la base de données. Ce système de gestion de bases de données relationnelles (SGBDR) est plus puissant et possède des fonctions de requêtes plus avancées que SpatiaLite. D'autres parts, il est multi-utilisateurs et permettrait un archivage en ligne des données de fouille avec la possibilité d'une restitution sous forme de publication numérique de tout ou partie des données vers le public.

Les relevés ont été exclusivement réalisés en photogrammétrie. De légers ajustements dans les protocoles de prise de vue et dans les paramètres de traitement ont été nécessaires entre les trois campagnes. Si, la première année, un seul opérateur s'est chargé de toute la chaîne opératoire, les bénévoles des campagnes de 2021 et 2022 ont été formés à cette application de la photogrammétrie et ont pu réaliser eux-mêmes les modèles de leurs sépultures. Enfin, la modélisation peut être poussée jusqu'à la réalisation d'un maillage à partir du nuage dense, puis d'une texture : ces traitements optionnels permettent d'obtenir un modèle en trois dimensions complet à destination d'une exploitation, dans le cadre par exemple de la valorisation (les modèles de la nécropole destinés aux échange avec le public sont consultables sur Sketchfab à l'adresse suivante : https://sketchfab.com/ArcheoNec), du partage ou de la diffusion scientifique (**Le Forestier 2021**).

À ce jour, le recours à des logiciels gratuits et open source pour la photogrammétrie reste prématuré. Le logiciel MicMac reste difficile d'accès sans une bonne maîtrise de l'outil informatique (des interfaces plus ergonomiques sont en cours de développement). Le logiciel Alicevision (avec son interface graphique Meshroom) bénéficie d'une interface plus avancée mais ne permet pas de géoréférencer les modèles pour le moment. Si le logiciel gratuit CloudCompare (développé par Daniel Girardeau-Montaut : https://www.danielgm.net/cc/) permet de travailler avec le nuage de points dense et de réaliser des profils complexes, il nécessite néanmoins un certain nombre de manipulations supplémentaires, comportant un risque de perte du géoréférencement ou de déformation des documents générés.

Avec un appareil photo numérique compact, la prise de vue ne peut se faire qu'avec une mise au point automatique, ce qui peut parfois poser problème. La conséquence est un travail important de reprise des ortho-images afin de les corriger : la manipulation, très simple, est tout de même très chronophage. Par ailleurs, l'appareil ne peut produire que des images compressées au format JPEG, quand des fichiers RAW sont préférables.

Les outils en cours de développement et les protocoles testés sur un échantillon de données issues des fouilles programmées semblent répondre positivement aux objectifs établis par le projet. À l'issue du développement et de l'intégration des données créées précédemment, des analyses de la nécropole seront possibles à toutes échelles et sur tous les champs renseignés dans la base de données.

Bien que mis en place dans un contexte de fouille programmée, le projet expérimente des réponses

aux problématiques des opérations de terrain de l'archéologie préventive, intégrant la dimension spatiale de la donnée archéologique.

L'utilisation sur une nécropole complexe permet de tester pleinement l'outil dans toutes ses dimensions : spatiales, stratigraphiques, anthropologiques, toutes réunies sous une même interface répondant à des critères d'interopérabilité, de partage et de réutilisation des données.

Base archéologique de données attributaires et spatiales (Badass)

La structuration des données spatiales minimales est désormais systématisée, pour les opérations archéologiques de l'Inrap, par six couches géométriques (**MOREAU 2016)**.

Un projet initial de système de gestion de bases de données relationnelles (SGBDR), développé en interne, permet de compléter ces six couches par des tables descriptives scientifiques. La mise en relation des données, articulées autour de l'unité stratigraphique (US), répond à une méthode d'enregistrement classique dans un but d'analyses archéologiques (**GALINIÉ, RANDOIN 1987 ; DESACHY 2008**).

La structure de la base de données s'inspire de la base CADoc (**BOLO ET AL. 2014**). La spécificité de la démarche est ici l'intégration simultanée des données spatiales et de l'enregistrement archéologique. Par le biais de déclencheurs (également appelés « triggers ») (Lozano, Georges 2019), instructions SQL écrites dans la base de données, les géométries issues des levers topographiques et contenues dans les six couches sont distribuées, selon leur nature, sur chacune des tables dévolues à l'analyse archéologique.

Ce procédé dispense les archéologues de la gestion des relations et mises à jour entre les données issues de deux sources d'acquisition parallèles : l'acquisition spatiale (topographie et relevés de terrain) et l'acquisition descriptive.

La structuration adaptative et souple de Badass permet l'adjonction de tables supplémentaires dont la vocation est plus spécialisée. Elle constitue donc le noyau de structuration sur lequel les tables liées à l'enregistrement des données de la fouille de Noisy-le-Grand, strictement funéraires, viendront s'appuyer. Il existe aujourd'hui une extension expérimentale officielle au logiciel QGIS (https://plugins.qgis.org/plugins/badass/) développée par Alex Baiet de l'associatio nArchéologie des nécropoles qui permet la création d'une base de données SpatiaLite vides et d'un projet QGIS pré-paramétré. Après la consolidation du module anthropologique, celui-ci pourra être ajouté depuis cette extension pour une restitution à la communauté d'utilisateurs de QGIS (**fig.77**).

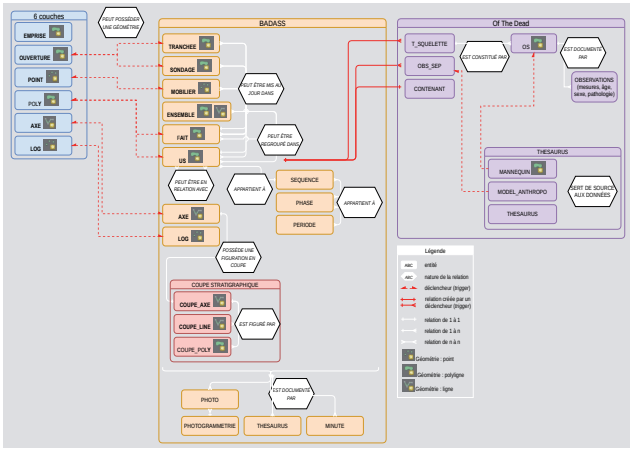

Fig.77 : Modèle logique de données (MLD) simplifié : en bleu, les tables géométriques issues du modèle institutionnel des six couches ; en orange et rouge, les tables de description archéologique ; en violet, les tables permettant la description archéo-anthropologique (collectif Ramen, Inrap 2022)

L'utilisation d'une interface unique réunissant les données attributaires et spatiales du site, permet de générer le catalogue des sépultures, grâce à la fonction « Atlas » des outils de mise en page de QGIS. Cette fonction permet de dupliquer automatiquement une même mise en page pour chaque variable choisie (ici le numéro de sépulture ou de dépôt primaire ?) afin de collecter et de

restituer les données des champs sélectionnés, précédemment saisies dans les différentes tables de la base de données relationnelle.

Les vues cartographiques se recentrent automatiquement sur le sujet courant de la couche de couverture et les champs ou symboles ajoutés à la mise en page qui dépendent de la saisie dans la base de données sont également mis à jour selon l'entité courante

4.3.2. Les moyens accordés en 2022 ont permis au projet d'avancer de manière spectaculaire sur de nombreux sujets, brièvement résumés ci-dessous :

1. La base de données :

- modifications structurelles nécessaires dans le code du noyau principal de la base de données suite aux diverses expérimentations, ajout et suppression de triggers, modification de noms de champs, etc.;
- ajout d'une table pour l'inventaire des modèles (t_photogram) ;
- ajustement des formulaires de saisies des tables d'enregistrement archéologique ;
- ajout de premières vues de récapitulation pour synthétiser les données saisies dans les différentes tables et générer des inventaires ou aider au suivi de l'enregistrement (relations stratigraphiques, erreurs de saisies de relations stratigraphiques, faits par tranchée, minutes, photos, us par faits).

2. Le module d'enregistrement des données funéraires :

- simplification et restructuration de l'architecture de l'extension dédiée à l'enregistrement archéo-anthropologique suite aux diverses expérimentations;
- mise en place de trois « mannequins » comme interface de saisie à l'échelle de l'os (mesures, observations, fiche de conservation pour individus adultes, immatures et périnatal, ajout d'un polygone « crâne » pour saisir les mesures crâniennes impliquant plusieurs os) ;
- paramétrage des filtres dans les formulaires de saisie régissant les valeurs du thesaurus pour les mesures et les observations sur les os en fonction de la classe d'âge de l'individu et de l'os sélectionné.

3. Intégration des données :

- saisie des données de la fouille 2022 sur le terrain (support matériel : ordinateur portable ; opérateurs : anthropologue et fouilleurs) ;
- intégration de l'inventaire photos de 2019 et 2021 ;
- intégration des données ostéologiques des campagnes 2019 et 2021 (en cours) ;
- intégration des données spatiales (US) de 2021 (en cours) ;
- intégration des données ostéologiques et biologiques de la campagne 2022 (en cours).

4. Photogrammétrie :

- ajustement du protocole de prise de vues (points d'amer, paramétrage des prises de vue) ;
- levés et traitements réalisés par chaque fouilleur ;
- test matériel avec un scanner 3D (**fig.78**) avec la collaboration de François Giligny et Ophélie Magnani (Paris I) ;

a- relevé manuel d'une sépulture pour comparer objectivement les méthodes de relevé (précision du dessin, qualité de l'interprétation, etc.)

5. Exploitation des données

- conception de mises en pages dans QGIS pour les exports destinés à la publication des résultats scientifiques des campagnes 2019, 2021 et 2022 (cartes de répartition, analyses spatiales, catalogue des sépultures, etc.) (en cours);
- modèles 3D mis à jour régulièrement pour un accès libre sur la plateforme Sketchfab (https://sketchfab.com/ArcheoNec) .

Fig.78 : Utilisation d'un scanner 3D sur le terrain pour une comparaison avec les relevés photogrammétriques (C. Le Forestier, Inrap)

6. Travaux divers

- rédaction d'un « manuel d'utilisation » et de prise en main de l'outil dans QGIS et de fiches techniques (en cours) ;
- réorganisation du dépôt des fichiers liés au projet sur le Gitlab (https://gitlab.com/projet-r-d-bddsarcheo) (en cours) ;
- création d'une extension officielle basée sur le langage Python pour QGIS (implémentation de la base de données dans un projet pré-paramétré) par Alex Baïet et suite aux travaux initiés par Emma Chapuis et Alexandre Hummeau en 2021, sous la direction de Jean-Baptiste Barreau (CNRS) (https://github.com/alex-baiet/badass/) (en cours) ;
- création d'une bibliothèque Zotero pour centraliser les références bibliographiques et les partager (en cours).

7. Actions de communication, présentation des travaux en cours et valorisation :

- séminaire archéomatique en archéologie funéraire du 2 mars 2022, organisé par le GAAF et les Ateliers Archéomatiques (Tours) (https://www.gaaf-asso.fr/wp-content/uploads/SeminaireGaaf_2mars2022.pdf) ;
- réunion plénière du groupe archéologie du handicap (ARC) du 8 mars 2022, au siège de l'Inrap (projet @gir R134932) ;
- réunion plénière des réseaux référents SIG et photogrammétrie le 16 juin sur le site des Mastraits
- animation d'un stand sur les outils numériques et l'enregistrement archéologique aux Journées Européennes de l'Archéologie les 17, 18 et 19 juin à Noisy-le-Grand ;
- présentation des réflexions génératrices de la base de données à la Summer School ARIADNE / CIDOC CRM à Prato, du 20 au 24 juin 2022 (https://ariadne-infrastructure.eu/mapping-existing-datasets-to-cidoc-crm-summer-school/) ;
- communication au colloque de l'AFAM en octobre au Musée de Saint-Germain-en-Laye (à venir) (https://archeonec.hypotheses.org/afam2022) ;

- présentation à l'atelier SITRADA (à venir) (https://sitrada.hypotheses.org/) ;
- article dans le hors-série d'Archéopages pour les 20 ans de l'Inrap ; BIBLIO
- dépôts des comptes rendus annuels sur HAL (en cours) (https://hal.archives-ouvertes.fr/hal-03620076) .

8. Perspectives pour 2023

- finaliser l'extension funéraire ;
- expérimentation de la nouvelle version pendant la campagne de fouille de 2023 ;
- comparaison des traitements de modélisation sur d'autres logiciels de photogrammétrie ;
- participation de deux collègues supplémentaires pour mener à bien les expérimentations (Camille Colonna anthropologue en CIF et Camille Mangier topographe référente SIG et photogrammétrie en NAOM) ;
- finalisation et dépôt de l'extension pour QGIS (https://plugins.qgis.org/plugins/badass/) ;
- publication d'un article de synthèse sur les travaux réalisés et le retour d'expérimentation.

Par manque de moyens, le compte rendu d'activité du projet pour les années 2021-2022 n'a pas pu être achevé cette année : il sera finalisé au premier trimestre 2023.

4.4. La recherche isotopique (texte de Valentin Miclon, UMR6273)

Puisque l'approche isotopique vise à évaluer les relations de proximité biochimique entre les pôles alimentaires et les humains, La connaissance la plus fiable et précise possible des rapports isotopiques de leur(s) réseau(x) trophique(s) est indispensable pour limiter (ou identifier) l'incidence de ces facteurs. Il est donc nécessaire de considérer dans ces études un référentiel faunique local et contemporain de la population humaine étudiée. Des vestiges archéozoologiques mis au jour sur les sites de Gournay-sur-Marne et Bondy pourront être mis à contribution dans le cadre de cette étude Homme – milieux, pour les populations du passé et notamment à la période médiévale.

Valentin Miclon qui fera l'étude isotopique est intervenu sur le terrain en juin 2022 pour expliquer aux stagiaires la démarche et la chaîne opératoire de cette étude.

L'alimentation répond alors à la hiérarchie sociale. Néanmoins, la distinction alimentaire s'opère dans un cadre lui-même contraint par la disponibilité des ressources, fortement soumise aux conditions environnementales. Celles-ci imposent donc le choix des cultures des différentes régions ainsi que des espèces y formant les différents cheptels. Ces différences environnementales s'associent à des contraintes culturelles et à la conjoncture économique.

Le corps humain est une archive biologique dont les différents tissus enregistrent, au cours de leur formation, la composition physico-chimique des ressources consommées, elle-même dépendante de leur environnement d'origine. L'analyse biochimique des restes humains peut donc permettre de reconstituer les régimes alimentaires des individus et connaitre l'environnement dans lequel ils ont puisé leurs ressources.

Dans le cadre de l'étude de la nécropole du haut Moyen Âge de Noisy-le-Grand, une analyse des rapports des isotopes stables du carbone et de l'azote du collagène osseux est envisagée. En effet, l'analyse combinée de ces éléments permet de replacer l'individu au sein de la chaîne alimentaire en renseignant la part protéique de l'alimentation des dernières années de la vie de l'individu. Elle permet également de déterminer le type de plantes consommées à chaque niveau de ce réseau en évaluant les relations de proximité biochimique entre les pôles alimentaires et les humains (**fig.79**).

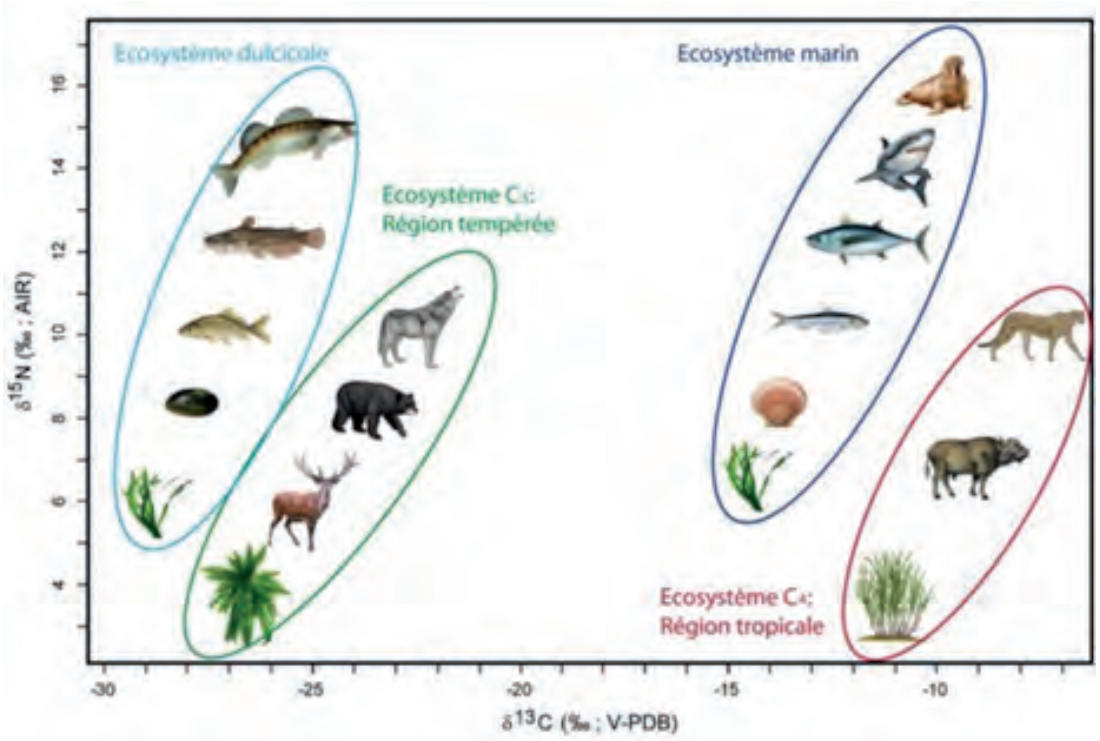

Fig.79 : Schéma théorique de la distribution des 13C et 15N des ressources alimentaires (modifié d'après Salesse 2015, p.97)

Au cours des vingt dernières années, les analyses isotopiques de l'alimentation de la période médiévale se sont développées sur l'ensemble du territoire européen. Pour cette période, outre la recherche quasi systématique d'éventuelles distinctions alimentaires selon le sexe et l'âge des sujets au sein des populations étudiées, ces analyses ont prouvé leurs capacités à répondre à différentes problématiques. Parmi celles-ci citons la détermination de l'âge au sevrage (**HERRSCHER 2001, RICHARDS ET AL. 2002**), l'évolution des pratiques alimentaires des populations rurales et urbaines confrontées à d'importants changements sociaux, économiques et politiques (**MÜLDNER ET RICHARDS 2007, REITSEMA ET AL. 2017**), l'identification de pratiques alimentaires distinctes entre chrétiens et musulmans (Alexander et al. 2015), entre laïcs appartenant à différents groupes sociaux d'une même ville (**KJELLSTRÖM ET AL. 2009**), entre populations laïques et monastiques inhumées au sein de sites différents (**POLET ET KATZENBERG 2002, MÜLDNER ET RICHARDS 2005, YODER 2010**), ou au sein d'un même site mais dans des espaces funéraires distincts (**MÜLDNER ET RICHARDS 2007, YODER 2012, COLLETER ET AL. 2019**).

En France, l'application des analyses isotopiques à des fins de restitution paléoalimentaire dans des contextes du Moyen Âge demeure rare. De plus, la plupart des études réalisées ou en cours, portent principalement sur le bas Moyen Âge et aucune n'a été menée à moins de 200 km de la région Parisienne (**BOCHERENS 1991, HERRSCHER 2003, CARLIER 2013, MICLON ET AL. 2017, VYTLAČIL 2018, MION ET AL. 2018, 2019, COLLETER ET AL. 2019**).

Les échantillons

Les humains seront sélectionnés sur leur capacité individuelle à apporter un maximum d'informations biologiques, mais également à répondre à des hypothèses de distinctions sociales et chronologiques.

Les animaux retenus formeront un référentiel archéozoologique local et contemporain du corpus humain étudié, documentant différents maillons de la chaîne alimentaire ainsi que différents milieux.

Les prélèvements osseux qui seront réalisés représenteront environ 500 mg par échantillon. Pour les humains, les prélèvements seront réalisés préférentiellement sur les diaphyses des os longs des mains et des pieds, généralement moins porteurs d'informations ostéologiques importantes. A défaut,

un fragment sera prélevé sur la diaphyse d'un autre os long, en veillant à préserver au maximum le potentiel informatif de l'individu.

Pour les animaux, les prélèvements seront réalisés en priorité au niveau des diaphyses des os longs, en veillant à documenter un individu différent à chaque prélèvement. Ainsi, les fragments osseux collectés proviendront, dans la mesure du possible, du même os pour les différents représentants d'un taxon.

Enfin, que ce soit pour les restes humains comme pour les vestiges archéozoologiques, les os retenus devront être exempts de lésion pathologique ou traumatique, mais également de toute trace de recollage.

Préparation des échantillons

La préparation des échantillons sera réalisée au sein du Centre Michel de Boüard, CRAHAM (UMR 6273 CNRS-UNICAEN).

Les fragments osseux seront extraits au moyen d'une micro-scie. La fraction trabéculaire et la partie superficielle de l'os cortical de chaque prélèvement seront éliminées par fraisage, afin de n'en conserver que la partie la moins exposée aux éventuels contaminants ou facteurs d'altération diagénétique. Chaque échantillon sera ensuite nettoyé par bain à ultrasons dans de l'eau déminéralisée, puis séché dans une étuve (entre 4 et 14 heures à 40°C).

Une fois sèche, chaque pièce osseuse sera broyée manuellement dans un mortier en agate au moyen d'un pilon du même matériau. Le broyat sera ensuite tamisé afin de retenir une poudre de granulométrie comprise entre 0,5 et 0,7 mm.

L'extraction du collagène sera réalisée en suivant le protocole défini par Longin (1971) et modifié par Bocherens et ses collaborateurs (1991).

L'analyse des rapports des isotopes stables du carbone et de l'azote du collagène osseux sera réalisée par spectrométrie de masse isotopique (IRMS-EA), au sein de la plateforme PLATIN' (Plateau d'Isotopie de Normandie, UMR INRA - 950 EVA : http://icore.unicaen.fr/platin-/). La méthode employée consiste en l'introduction d'une masse connue de collagène dans une capsule d'étain scellée (0,900 et 1,100 mg). L'ensemble est soumis à combustion à 1000°C en présence d'un excès d'oxygène dans un tube en quartz rempli d'agents oxydants. L'étain contribue au cours de cette réaction à une augmentation de la température jusqu'aux environs de 1700°C. Les gaz de combustion (N2, NOx, H2O, O2, et CO2) sont transportés par un courant d'hélium dans une seconde colonne, contenant du cuivre métallique pur à 600°C, ce qui permet d'éliminer tout l'oxygène et de convertir le NOx en diazote (N2). L'eau est retenue dans un piège de perchlorate de magnésium (Mg(CLO4)2). Le CO2 et le N2 obtenus sont ensuite séparés par chromatographie réalisée à 65°C (température constante) avant d'être analysés. Les mesures des ions de masse 44, 45, 46 pour les valeurs de δ13C et de ceux de masse 28, 29 et 30 pour les valeurs de δ15N sont réalisées par le collecteur.

Les teneurs isotopiques sont mesurées par séries, entre lesquelles sont inclus des témoins (foie de bœuf, betterave et canne à sucre, sulfate d'ammonium) calibrés sur des standards internationaux IAEA-N1 (sucrose, δ13CV-PDB = -10,43 ‰) et IAEA-CH6 (sulfate d'ammonium, δ15NAir = 0,40 ‰). Les δ13C et δ15N sont mesurés avec une précision analytique inférieure à 0,1 ‰.

Le nombre d'échantillons humains qui seront analysés est estimé à 30, quand le référentiel archéozoologique sera constitué de 15 échantillons. Les délais pour la réalisation de l'ensemble de cette étude sont estimés à 2 mois.

5. LA VALORISATION

Une place importante a été donnée à la valorisation de la nécropole des Mastraits depuis 2019, ce qui était d'ailleurs la volonté de la commune de Noisy-le-Grand en contrepartie de la mise à disposition de la parcelle P152. Ainsi de nombreuses activités ont été mises en place pour faire découvrir le métier d'archéologue et le site au public. Ces trois années de fouille programmée nous permettent aujourd'hui d'effectuer un bilan de nos activités.

La plupart des animations ont été conçues et animées par l'association Archéologie des Nécropoles, sous la forme du bénévolat, de l'accueil de stagiaires, d'un étudiant en alternance ou encore grâce au recrutement de médiateurs rémunérés. Chaque année, un médiateur a été chargé de concevoir des modules nouveaux, d'organiser les visites avec les divers partenaires - écoles, centres aérés - et de coordonner l'équipe de médiation durant la campagne de fouille.

Le périmètre de la fouille se situant au croisement des rues des Mastraits et du Docteur Sureau, cet emplacement en fait un lieu de passage important. Le site est séparé de la rue par un grillage quii permet aux passants de pouvoir observer les fouilles et d'interagir directement avec les archéologues, offrant ainsi une meilleure proximité avec le public. Il avait été convenu avec les fouilleurs que cette interaction était indissociable de notre métier d'archéologue et que nous nous devions de répondre à toutes les questions des passants. Depuis 2007, nous sommes présents dans le secteur et nous avons ressenti chez les habitants des alentours un enthousiasme à chaque fois que nous revenions.

Durant chaque campagne de fouille, une équipe de médiateurs a accueilli tout au long du mois de juin des élèves de primaire et de collège. Grâce à un partenariat avec la Maison Pour Tous Marcel-Bou, nous avons pu utiliser leur espace de jardin pour réaliser les différentes activités proposées aux élèves.

En 2019, Rosalie Jallot s'est chargée de ce travail à partir du mois de mai. En 2021, Diane Olivier, étudiante en master communication à Sciences Po de Saint-Germain-en-Laye (78) et en 2022, Marius Amoretti, étudiant en master histoire de l'art à l'Institut Catholique de Paris (75) ont effectué un stage de 5 mois au sein de l'association Archéologie des nécropoles pour préparer l'ensemble du travail de médiation. Enfin, un apprenti de l'Université de Marne-la-Vallée a participé au developpement informatique d'une activité.

5.1. Les visites

Aux abords immédiats de la fouille et sur les grilles qui l'entouraient, des panneaux extraits d'une exposition réalisée en 2019 - "Paroles d'os" - attiraient chaque jour l'attention des curieux. Par ailleurs, grace à la bonne visibilité du chantier, ils pouvaient observer les techniques de fouille, les sépultures dégagées et discuter avec les fouilleurs. Des dépliants d'aide à la visite , réalisés par l'Inrap, étaient également distribués aux passants, notamment pour la préparation des Journées Européennes de l'Archéologie.

Les visites duraient en moyenne 20 minutes. Pour les enfants, il était intéressant d'avoir un temps d'observation des archéologues au travail car cela leur permet de poser des questions et d'ouvrir leur curiosité au discours du médiateur.

Fig.83 : Visite sur les abords de la fouille (C. Le Forestier, Inrap)

Les panneaux servaient également de support de présentation pour les médiateurs lors des visites de groupe. Celles-ci ont accueilli principalement des classes des écoles primaires et des collèges. Sur le terrain, elles étaient divisées en plusieurs moments: celui de la présentation de la nécropole et de l'archéologie par l'intermédiaire d'une saynète ; puis celui des ateliers et de la visite du chantier de fouille, durant lesquels les élèves étaient répartis en petits groupes (de 5 à 8). Chaque activité durait environ 25 à 30 minutes, animée par un médiateur formé préalablement à l'archéologie, et plus particulièrement à l'archéologie funéraire.

Nous distribuions également des dépliants d'aide à la visite, réalisés par l'Inrap, aux passants afin de les informer sur notre travail et les inviter à venir aux Journées Européennes de l'Archéologie.

5.2. Les jeux

Nous avions installé dans une cabane juste à côté du site un escape game. Le déroulé et le synopsis ont été élaborés par Cyrille Le Forestier et Rosalie Jallot et la conception graphique par la société Rabbit et Monkeys par l'intermédiaire de Valérie Gérard. L'escape game mettait en scène une petite enquête dans le bureau d'une célèbre archéologue, Rose Dubois, où le but était d'essayer de découvrir le code d'un petit coffre-fort avec l'aide d'indices dissimulés dans toute la pièce. Cette activité était en adéquation avec les fouilles de la nécropole : découverte de perles mérovingiennes, analyse d'un plan, fouille d'une partie de sarcophage factice et mesures crâniennes. Un petit groupe de 5 à 6 personnes rentre dans l'escape game accompagné d'une personne de l'équipe de médiation qui lance la vidéo d'introduction résumant le but du jeu et donne le premier indice. Les apprentis archéologues ont alors 15 minutes pour trouver les indices avant qu'une organisation secrète n'arrive pour voler les notes de fouille ! L'activité est un moyen ludique d'en apprendre un peu plus sur le chantier tout en s'amusant.

Fig.84 : Vue de l'escape game (H. Azmoun, Inrap)

Fig.85 : Vue de l'escape game avec le comptage des perles mérovingiennes et la mesure d'un crâne (A. Hazmoun,Inrap)

Fig.86 : Vue de l'escape game avec les explications sur le déroulement du jeu (H. Azmoun, Inrap)

Pour la campagne 2021, nous avons diversifié nos jeux à travers la création de nouvelles activités. Le premier jeu élaboré est celui de l'Archéo'scan. Ce jeu consiste à analyser la sépulture qui est devant soi tout comme le ferait l'archéo-anthropologue.

Fig.87 : Jeu de l'Archéoscan (grande et petite versions) (C. Le Forestier, Inrap)

Á l'aide d'une truelle interactive (avec système électronique embarqué) conçue spécialement en impression 3D pour l'Archéo'scan, le joueur cherchera les régions anatomiques utiles à l'analyse du squelette. Le jeu se joue de 1 à 8 joueurs et dure environ 20 minutes. Dix capteurs électroniques ont été cachés dans la sépulture (chronologie, pathologie, état sanitaire, etc.). En passant la truelle dessus, chaque capteur lancera une vidéo d'environ 1 minute sur une tablette ou sur un smartphone (application téléchargeable). Les textes ont été dits par Alexia Angeli de l'association ADN. Cette technologie, basée sur l'Arduino, permet de nombreuses possibilités d'éléments interactifs. Ces vidéos expliquent la démarche scientifique de l'archéo-anthropologie pour la détermination des données utiles au chercheur (sexe, âge, maladie ancienne, etc.) ! Un système ludique qui simule une analyse de datation au carbone 14 est aussi présent dans le module Archéo'scan !

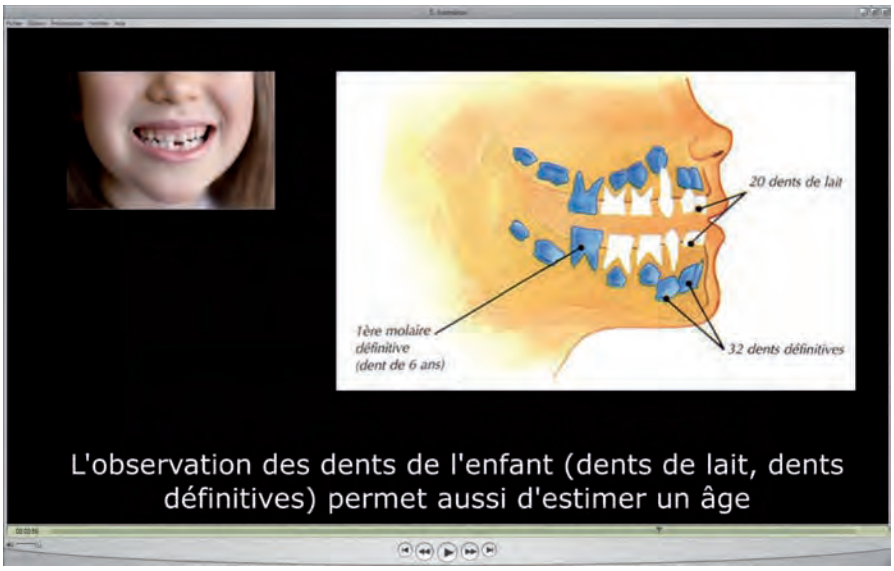

Fig.88 : Exemple de vidéo associée à l'Archéoscan pour illustrer les méthodes de l'anthropologie à partir des restes dentaires (C. Le Forestier, Inrap)

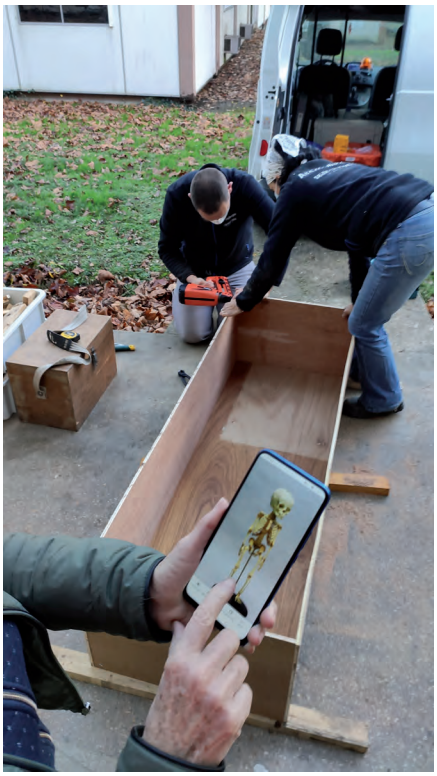

Fig.89 : Conception de l'archéoscan. Á gauche, version "échelle 1" avec l'aide précieuse des agents du CD93, Bureau du Patrimoine Archéologique, C. Gonçalvès-Buissart et F. Normand ; à droite, élaboration de la version réduite (C. Le Forestier, Inrap)

Le second jeu proposé en 2021 est « Qui est ce squelette ? ». Cette activité se joue à deux équipes de 1 à 4 personnes et le but consiste à retrouver la sépulture médiévale de l'autre équipe. Pour y arriver, les participants doivent poser des questions sur les inhumations et les masquer ou les garder en fonction de la réponse. Les thèmes abordés sont la chronologie, le sexe et les maladies.

Seize photos de sépultures de la nécropole médiévale de Noisy-le-Grand ont été imprimées sur des support en aluminium de qualité. Celles-ci ont été installées sur une structure en bois, comme une bibliothèque. Fixées sur les tiges filetées, les photos sont retournées au fur et à mesure de la découverte de la sépulture : femme ou homme, mérovingien ou carolingien, avec de l'arthrose, une fracture, etc. Á la fin, il ne reste qu'une seule sépulture !

Chaque équipe pose tour à tour des questions. Comme les informations ne sont pas disponibles sur la photographie, un document en papier est fourni avec l'activité et qui contient toutes les informations utiles sur les 16 sépultures.

Fig.90 : Le jeu "Qui est ce squelette ?" Des photos des sépultures fouillées entre 2008 et 2019 ont été imprimées sur des supports rigides et fixées sur des supports pivotants (C. Le Forestier, Inrap).

Fig.91 : Présentation du Jeu "Qui est ce squelette" lors des journées européennes de l'archéologie en juin 2021 (C. Le Forestier, Inrap).

En 2021, Un dernier jeu était proposé au public sur les grilles qui entourent la fouille au niveau de la rue du Docteur Sureau. Il s'agit du « Où est Chlodovecus ? ». Le jeu consiste à retrouver des scènes, des personnages et des objets sur une fresque dessinée par H. Goudiaby. Á la fois ludique et pédagogique, ce jeu présentait également l'avantage de pouvoir s'adapter à tous les publics scolaires, en variant les questions ou en proposant aux élèves eux-mêmes d'en formuler de nouvelles.

Ces deux derniers jeux, « Qui-est-ce squelette ? » et « Où est Chlodovecus ? » ont été réutilisés durant la campagne de fouille 2022.

Fig.92 : Jeu de la fresque "Ou est Chlodovecus ? (dessin : Emmamouthé Goudiaby, CD93)

Fig.93 : Personnages et objets à trouver pour le jeu "Ou est Cholodovecus ?" (E. Goudiaby, CD93, C. Le Forestier, Inrap)

Pour 2022, trois nouvelles activités ont été conçues : « Fais ton plan », « Avance et fouille » et la reproduction d'une sépulture de taille réelle.

Le jeu « Fais ton plan » se compose de plusieurs magnets représentant des squelettes d'individus immatures, féminins et masculins. Á l'aide d'indices fournis par "une roue du hasard" sur une tablette tactile, les élèves doivent replacer l'individu au bon endroit sur le plan. Ces indices permettent aux enfants de découvrir plusieurs notions de l'archéologie funéraire et de l'archéologie de manière plus générale : la détermination du sexe, les contenants funéraires, l'orientation sur un plan et la stratigraphie.

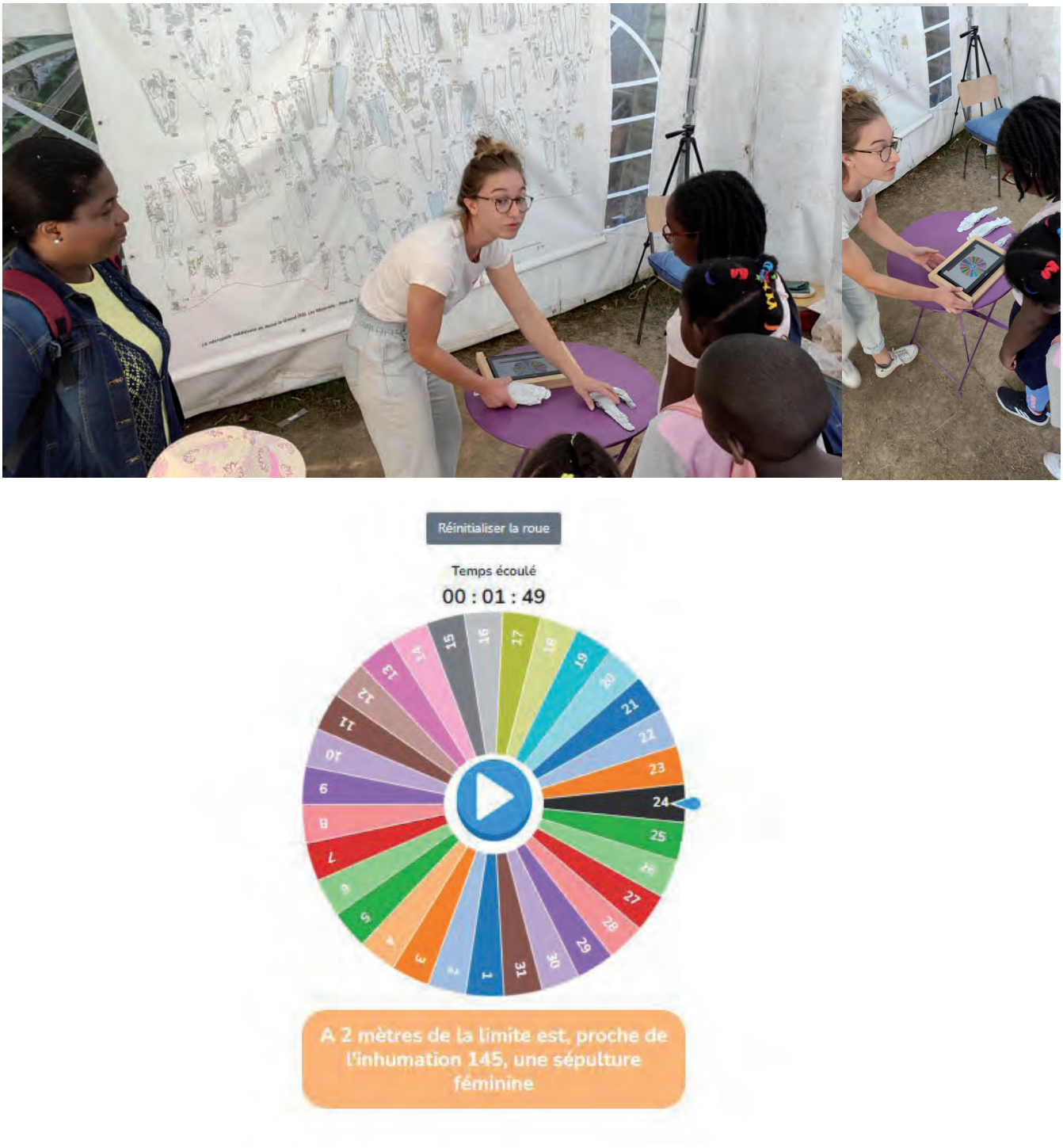

Fig.94 : Les enfants devaient replacer sur un plan les sépultures qui présentaient tel ou tel attribut de topographie (tiré au hasard sur la tablette, reliée en ligne : https://archeologie-des-necropoles.com/activites-roue.php) (C. Le Forestier, Inrap, A. Baiet, ADN)

Le second jeu élaboré, « Avance et fouille », s'inspire du jeu de l'oie. Les enfants lancent un dé et avancent sur les cases, représentées par des plots, selon le chiffre indiqué. En plus du côté ludique d'un jeu de plateau à échelle humaine, le jeu « Avance et fouille » permet d'expliquer l'intégralité d'une opération archéologique, du diagnostic à la publication du rapport de fouille.

Fig.95 : Vue du jeu "Avance et fouille" sur le concept d'un jeu de l'oie (C. Le Forestier, Inrap).

Fig.96 : Vue de jeu "Avance et fouille" (C. Le Forestier, Inrap).

Enfin, la dernière activité correspond à une sépulture à taille réelle dessinée sur une bâche. Elle permet d'expliquer au public, des plus jeunes aux plus anciens, les différents modes d'inhumations existants. C'est également l'occasion de prendre le temps d'expliquer des notions d'ostéologie.

Fig.97 : Travail pédagogique sur l'analyse d'une sépulture sur une bâche granf format (C. Le Forestier, Inrap).

Les pièces de théâtre

Pour la campagne de fouille 2021, une pièce de théâtre fut créée. Jouée par les médiateurs du patrimoine, cette saynète mettait en scène une célèbre archéologue, Rose Dubois, accompagnée de son apprenti. L'histoire s'écrit autour de la découverte d'une sépulture qui serait celle du roi Clovis !

Cette petite pièce de théâtre inaugurait le début des activités afin de découvrir l'archéologie et le site de la nécropole dans un cadre ludique et dynamique.

Pour 2022, une nouvelle pièce de théâtre fut écrite. Jouée par deux médiateurs du patrimoine, l'histoire se déroulait au XVIII^{e} siècle et prenait place dans le contexte de la première fouille archéologique à Noisy-le-Grand.

Les enfants étaient alors tous présents en même temps, pour une durée de quinze minutes. Ensuite, les élèves étaient divisées en groupe pour se dispatcher sur les différentes activités.

5.3. Les evénements patrimoniaux

5.3.1. Les Journées Européennes de l'Archéologie

Lors de chaque campagne de fouille, l'association Archéologie des nécropoles a participé aux Journées Européennes de l'Archéologie. Pour accueillir le public, des jeux et des stands étaient installés.

Fig.98 : Visite groupée lors des Journées européennes de l'archéologie en 2019 (C. Le Forestier, Inrap).

Fig.99 : Visite sur le site en juin 2022 (C. Le Forestier, Inrap)

Fig.100 : Visite de D. Guerin sur le chantier de fouille lors des Journées européennes de l'archéologie en juin 2019

Les journées du 14 au 16 juin 2019, encore connues sous le nom des Journées Nationales de l'Archéologie, ont été orchestrées par Solène Bonleu et Louise Truchot (stagiaire) du Développement culturel et de la Communication de l'Inrap Centre – Île-de-France. Solène Bonleu s'est chargée avec l'association Archéologie des nécropoles, et Inès Constantin (stagiaire) en 2022, de l'organisation des Journées Européennes de l'Archéologie à Noisy-le-Grand qui se sont déroulées les 19-20 juin 2021 et les 18-19 juin 2022.

Fig.101 : Balisage du chemin pour se rendre au visite sur la nécropole (C. Le Forestier, Inrap).

Lors de ces weekends, nous avons proposé au public des visites de la fouille, des stands explicatifs sur l'archéologie et des jeux pour les enfants.

Les visites étaient réalisées par les médiateurs du patrimoine et les fouilleurs. Ce fut l'occasion pour les étudiants en archéologie de se former aussi à la médiation, à la vulgarisation des données scientifiques. Une visite durait en moyenne 20 minutes. Pour ces visites nous suivions les affiches de l'exposition placées sur le grillage autour de la fouille. La visite se terminait à l'entrée du chantier où un espace sécurisé avait été aménagé pour que le public puisse s'approcher un peu plus de la fouille.

Plusieurs stands étaient proposés lors des Journées Européennes de l'Archéologie. Il s'agit de stands autour de l'archéologie et du Moyen-Âge.

En 2019, nous avions des stands sur l'archéo-anthropologie, sur l'ADN ancien (animé par Sophie Lafosse, paléogénéticienne au Museum national d'Histoire Naturelle) et sur l'archéologie de manière plus globale. Ces stands étaient accolés au chantier et l'espace était assez restreint par rapport à l'important flux de visiteurs ces jours-là.

En 2021, les Journées Européennes de l'Archéologie se sont déroulées à une centaine de mètres de la fouille de la nécropole. Installés sur le parking du centre commercial, plusieurs stands en lien avec l'archéologie ont été présentés tout le long du week-end. Les stands proposés au public, animés par les stagiaires de la fouille, étaient les suivants :

- Stand archéo-anthropologie : présentation des ossements, des méthodes d'estimations de l'âge et du sexe et des maladies.
- Stand ADN ancien : comme en 2019, celui-ci était animé par Sophie Lafosse, paléogénéticienne du Museum national d'Histoire Naturelle. Elle expliquait les méthodes de lecture de l'ADN sur les ossements et comment celui-ci est étudié.
- Stand associatif et institutionnel : l'association Archéologie des nécropoles et l'Inrap présentaient leurs missions. Ce stand était l'occasion de présenter l'organisation de l'archéologie à une échelle nationale et à une échelle locale.
- Stand alimentation au Moyen-Âge : Quelques fruits et légumes étaient présentés sur une table et le public devait deviner si tel ou tel produit existait en France au Moyen Âge et les plats qui pouvaient être réalisés.
- Stands jeux et création : l'association Archéologie des nécropoles a mis en place plusieurs stands comprenant les jeux proposés lors des visites des groupes scolaires. Un stand de calligraphie a été installé pour que le public puisse écrire son prénom à la plume en s'appuyant sur des exemples calligraphiques médiévaux.
- Stand de jeux en bois médiévaux : une troupe médiévale a installé de nombreux jeux en bois pour tous les âges.
- Visites du site toutes les demi-heures.

En 2022, malgré la canicule, nous avions conservé ce rendez-vous. Ces journées se sont déroulées à la fois sur la rue des Mastraits (samedi) et ur le parking de la Maison Jean Wiener (dimanche). Les activités proposés étaient :

- Stand d'accueil de l'association Archéologie des nécropoles de l'Inrap
- Stand sur les pratiques funéraires
- Stand sur les nouvelles technologies (essai à la photogrammétrie et au Système d'Information géographique)
- Stand archéo-anthropologie
- Jeu "Avance et fouille !"
- Visites du site toutes les demi-heures.

Fig.102 : jeu du Céramopuzzle (à gauche) et la pièce de théâtre "Deux archéologues à Noisy-le-Grand" jouée dans la rue à l'occasion des journées européennes de l'archéologie en juin 2021 (C. Le Forestier, Inrap).

Fig.103 : stand "Nouvelles technologies en archéologie" lors des JEA de 2022 (C. Le Forestier, Inrap)

5.3.2. Les journées européenes du Patrimoine

En septembre 2021, l'association Archéologie des nécropoles, la commune de Noisy-le-Grand etl l'Inrap ont organisé les journées européennes du patrimoine. Tout un village archéologique avait été installé avec de nombreux jeux, des conférences, des stands pour les plus jeunes, des bornes interactives conçues par la ville, etc.

Fig.104 : Entrée du village archéologique (C. Le Forestier, Inrap).

Fig.105 : Vue d'un jeu sur le matériel archéologique et sur les pratiques funéraires (C. Le Forestier, Inrap).

Fig.106 : Jeu "LEs pratiques funéraires" (C. Le Forestier, Inrap)

En 2022, les Journées Européennes de l'Archéologie se sont déroulées le samedi dans la rue des Mastraits et le dimanche sur le parking du foyer Jean Wiener. Les stands associatif et institutionnel et d'archéo-anthropologie ont été repris cette année. Un nouveau stand sur l'utilisation du numérique en archéologie a été réalisé. Ce stand a eu un très grand succès auprès des adultes qui découvraient la photogrammétrie et le SIG. Les jeux pour les enfants étaient en accès libre et étaient accompagnés d'un stand créatif. Sur ce stand les enfants pouvaient créer leur fibule en dessinant dans un pin's et colorier des blasons. Enfin, un passe-tête a été confectionné afin d'offrir à chaque visiteur une photo-souvenir prise avec un polaroïd.

Cet événement a réuni sur ces trois années de participation près de 4000 visiteurs. Nous avons pu constater l'intérêt des Noiséens pour lesquels cela est devenu un rendez-vous annuel.

Bilan

Toutes ces activités, ces créations ludiques, ces visites ont permis de diffuser dans d'autres domaines ce contenu scientifique. Ce fut le cas dans des interventions dans les écoles, des conférences, d'autres évènements (Circuit de randonnée en Seine-Saint-Denis, Sciences Infuses dans les bibliothèques du département de Seine-Saint-Denis, université participative inter-âges, etc.).

Tout cela a favorisé la mise à disposition d'un local à partir de septembre 2023 pour l'association Archéologie des nécropoles à Sevran (siège de l'association) pour accueillir principalement des enfants des écoles primaires mais aussi d'autres publics des communes avoisinantes. Dans ce local, les animateuirs de l'association présenteront un mini-bac de fouille, un petit laboratoire et un lieu de discussion, de projection de films, etc.

De même, en septembre 2022, la commune de Noisy-le-Grand a émis le souhait de conserver une trace de la présence de cette nécropole. La formule n'est pas encore définie : archéosite ? parc ? Centre d'Interprétation (CIAP) ?

Actions	Public touché	"Nombre de jours de présentation "	Médiateurs	"Temps de préparation (en jours)"
EAC 2019	1000	20	2	35
EAC 2021	1000	22	3	55
EAC2022	975	21	3	42
JNA 2019	2300	3	12	10
JEA 2021	900	3	14	10
JEP 2021	600	2	8	25
JEA2022	720	3	11	25
Parole d'os (exposition)	250	10	2	12
De Plâtre et d'os (expostion)	150	30	3	5

Fig.107 : Nombe de visiteurs, de durée de présentation, de personnels et de temps de préparation pour chaque évènements

Les actions en lien avec la nécropole médiévale des Mastraits ne s'arrêtent pas à la fouille. L'association Archéologie des nécropoles avait postulé pour deux années sur le projet MICACO (Mission Culture et Art au Collège) dans un collège de Noisy-le-Sec et un de Noisy-le-Grand. Pour le premier, nous avions réalisé un livret qui a été distribué lors des JEA en 2021 tout autour du chantier.

Fig.108 : Distribution du livret ludique de fouille (C. Le Forestier, Inrap)

Pour le second collège, nous avions réalisé un panneau sur les pathologies au Moyen Âge. A chaque fois, les élèves (des 4ème et des 5ème) sont venus visiter le chantier pendant les Journées Nationales, puis Européennes de l'Archéologie.

Enfin, voici quelques morceaux choisis du Livre d'Or

« Merci pour toutes ces découvertes. Les enfants ont beaucoup aimé ce moment »
les CE2B école Joliot Curie

« Merci beaucoup pour cet accueil chaleureux et sympathique. Les élèves ont découvert et appris plein de choses sur le métier d'archéologue et le Moyen Âge. Belle équipe d'animateur passionnés ! Bravo ! »

Les CE2 A de Joliot Curie

« Merci beaucoup pour ces animations ! merci aux animateurs pour leurs sympathie ! Ce fut un très bon moment !

Les CM1 A de Joliot Curie

« Merci pour toutes ces belles découvertes et pour toutes vos réponses aux multiples questions des enfants »

Les Ce2c de Joliot Curie

« Merci beaucoup pour cette animation qui a fait découvrir aux enfants le monde de l'archéologie. Nous avons passé un très bon moment. Les enfants ont adorés !

Les CM1 des Noyers

« Un grand bravo pour la pédagogie adaptée aux enfants ! Les ateliers sont en lien avec les domaines d'apprentissage. Vous avez été patients avec les enfants ! »

Mme Belabbas, CE1 b des Noyers

« Merci pour tout, pour la visite , les jeux et le théâtre »

L'intervention en classe et les ateliers sur le site sont très complémentaires. Les enfants ont beaucoup appris sur l'archéologie. « C'était génial » »

Classe de CP/Ce1, Simone Veil

« Les Ce1 des Noyers et leur maitresse vous remercie pour ce superbe moment de découverte et d'apprentissage. Les enfants ont adoré. »

Mme Verdier

« Un grand merci pour vos explications et vos ateliers. La classe de CM1 et leur maitresse de Simone Veil vous remercie »

Mme Simon

« Très instructif pour tous. Les interventions sont à la portée des enfants et des adultes. Merci pour ces ateliers. »

CM2 Clos d'Ambert

« Merci pour toutes ces animations ! C'était très intéressant. Les enfants ont adoré. »

CM2 Clos d'Ambert

« Merci beaucoup, très belle visite, très bien organisé, très pédagogique. Bravo ! »

CM1 Clos d'Ambert

« Merci pour votre accueil et votre talent à retracer un bout d'Histoire. Les enfants étaient ravis et leur participation résume la qualité de vos activités. »

L'accueil de Loisir de la Varenne

« Super accueil, une activité très ludique et très bien expliqué pour les enfants et les adultes. La participation des enfants montraient leur enthousiasme »

AESH du clos d'Ambert

« Merci pour l'accueil, les activités -jeux sont géniales quelle chance d'avoir ce site. Merci pour votre disponibilité et votre bienveillance »

Mme Cardinal. Clos d'Ambert

« Merci pour cette superbe matinée : super accueil, activités intéressantes et élèves ravis ! A refaire ! »

Mme Lavérie CM1c Joliot

« Un accueil chaleureux sous une forte chaleur. Des ateliers ludiques et pédagogiques grâce auxquels nos élèves ont appris beaucoup de choses. Merci et bravo à vous ! Très bonne continuation »

Mme Brunstein , la maîtresse « brumisatrice », Ce2 d Joliot Curie

« Un accueil chaleureux et très explicatif. A quand un meilleur financement de l'archéologie par le ministère de la culture. Merci à Mme Roseline Bachelot »

« Un grand merci pour cette initiative. Chaleureux accueil ; visite très intéressante. »

Famille SIFFRE-BOUTOT

« Bravo à tous ! chaque année, vous présentez de nouvelles activités. C'est avec plaisir que je

viens chaque année. Bonne continuation à tous. »

Sophie Ch.

« Visite bien agréable. Avec des explications de la visites guidée ++ Merci aux organisateurs avec un soleil super ! »

« Merci énormément pour l'organisation de ces journées découvertes particulièrement intéressante. Un grand merci pour votre accueil et sens du partage de votre savoir. Envie de revenir très vite 😊 »

« Visite très enrichissante sur les mérovingiens et les carolingiens. Malgré la chaleur »

Nathalie

« Merci beaucoup pour cet évènement et toutes les explication sur ce sujet passionnant ! Un grand merci tout particulier à Alexia ☺ Bonne continuation ! »

Margaux

« J'ai bien adorer C'est trop bien »

Louise

« Très belle visite ! Merci … et à l'année prochaine »

Claudia

« Merci aux organisateurs et aux participants qui sont de véritables passionnées. Merci et Bravo »

Pascale

« Merci à vous ! Un super accueil très à l'écoute. Mes élèves étaient ravis, ils ont appris énormément de choses en s'amusant. Je suis moi-même ravie d'avoir découvert ce merveilleux site en tant que véritable noiséenne. Bonne continuation ! »

Ecole Celestin Freinet

« Le centre Paul Langevin vous remercie pour cette matinée riche d'informations. J'espère que tous ces jeux susciteront des vocation »

Tim

« Moi j'ai bien aimé ici parce que j'ai découvert plein de choses »

Sarah 7 ans

« Bonjour, j'ai adorée cette aventure. Surtout quand nous avons vu les archéologues et dans la tente , et le jeux où il fallait trouvé les personnages. Merci »

Naija 10 ans

« Salut, mon nom est Alicia et mon moment préféré c'est quand j'ai vu des vrais squelettes j'espère que vous allez bien au revoir »

11 ans

« Un grand merci de la part des Ce2 de l'école Freinet pour cette visite très intéressante. Un grand bravo pour ce que vous faites. »

Leur maitresse,

Céline B.

« Moi je trouve que c'est super intéressant j'aime beaucoup les enquêtes et les squelettes. »

Zixia

« J'ai aimé surtout le jeu de l'oie »

Kinaya, 8 ans

« Activités intéressantes et variées. Animateurs impliqués. Explications claires et explicites. Beau travail ! »

Classe Ce2

« Merci beaucoup de votre accueil ! La pièce de théâtre était très amusante. Nous avons découvert des choses intéressantes que nous ne connaissions pas. L'accueil était très chaleureux et adapté. Nous avons pu découvrir la forme de chaque os. »

Les élèves de 5e de l'Institut National des Jeunes Aveugles

« Merci pour toutes ces activités et merci au médiateurs pour leur investissement »

Ecole Chaplin ville de la Courneuve

« Beaucoup d'activités différentes et enrichissantes. Bravo à toute l'équipe. Ce fut très intéressant et très amusant. J'espère que nous pourrons revenir l'année prochaine pour en apprendre encore d'avantages. »

Les élèves du CRESN (enfant malentendants)

Ps : l'équipe a su s'adapter à l'handicap des enfants. Encore bravo !

« Nous avons apprécie cette après-midi en lien avec l'archéologie. Les jeux proposées sont adaptés, ludiques et créatifs. Les enfants sont acteurs. Merci beaucoup pour votre accueil et votre gentillesse. »

L'éducatrice du CRESN

« Merci beaucoup pour ce stage qui m'a permis de découvrir le métier d'archéologue et d'agrandir ma passion »

Raphaël

6. LE BUDGET

Les moyens mis en œuvre sur la fouille proviennent de trois sources : la DRAC, la mairie de Noisy-le-Grand et l'Inrap. Les deux premiers ont apporté un soutien financier et le dernier de nombreux moyens humains ainsi que des ressources documentaires (dépliants d'aide à la visite, documents pédagogiques, etc.) et de l'affichage (panneaux sur la fouille).

Ces budgets n'ont pas uniquement servi aux différentes opérations de terrain sur ces trois ans mais également aux périodes de post-fouille. L'Inrap, sous la forme d'une convention, a autorisé les équipes de l'association Archéologie des nécropoles à venir travailler dans ses locaux, principalement à Croissy-Beaubourg. Les budgets ont servi à l'achat de caisses de conditionnement, de sacs plastiques, etc.

6.1. La fouille

La DRAC a permis de financer à hauteur de quelques équipements utiles à la fouille et à l'aménagement du chantier (nouveaux outils de dentiste, aspirateurs, chemins de planches, etc.). Une autre part a été dévolue à l'hébergement de stagiaires qui ne pouvaient pas se faire héberger en Île-de-France.

La somme versée par la ville de Noisy-le-Grand, a permis d'assurer les repas des stagiaires, de supporter (en plus des sommes de la DRAC) l'hébergement d'une partie des stagiaires, d'acheter une tente pour l'accueil du public, pour la pause des fouilleurs, de payer le décapage et l'évacuation des terres en décharge et d'acquérir un équipement pour la photogrammétrie (appareil photo et perche).

L'Inrap a participé la mise à disposition d'agents pour plus de 250 jours/hommes. Le projet La Nécropole Numérique fait partie de cette dotation.

En raison de l'indisponibilité actuelle du laboratoire de Caen (UMR6273) pour les travaux sur les Isotopes, une réserve financière a été constituée.

6.2. La valorisation

La DRAC a financé l'embauche de médiateurs du patrimoine et l'achat de matériel utile à la création de la plupart des jeux. La ville de Noisy-le-Grand a permis de recruter un stagiaire pour la médiation et d'en défrayer quatre autres, animateurs des ateliers. Ce budget a aussi permis de payer une prestation à une troupe médiévale qui présentait des jeux en bois, d'aménager les stands et de produire d'autres activités de médiation (fléchage sous forme de squelette sur le trottoir). Enfin, l'Inrap a mis à disposition de nombreux jours pour les agents Inrap pour les Journées Européennes de l'Archéologie et les Journées européennes du Patrimoine et leur préparation. Il a aussi conçu et imprimé des dépliants d'aide à la visite et des panneaux et a également réalisé un film sur la fouille de la nécropole.

Il faut également rappeler que tous ces investissements ont été en partie réutilisés (surtout les modules de médiation) lors des différentes manifestations en rapport avec la fouille.

2019				
FOUILLE	DRAC	Ville	Inrap	Bénévolat
Moyens humains / Valo,	0	0	25 jours en PAS	195 jours
coût moyens humains	0	0	9375	
Stagiaires	0	3748	0	
Aménagement chantier	0	6700	0	
Moyens mécaniques	0	5500	0	
Equipements	0	9500	0	
Etudes spécialisées	6400	14300	0	
Affichage	0	0	0	
Autre		0	0	
Total (en €)	6400	39748	0	
EAC / valorisation	DRAC	Ville	Inrap	Bénévolat
Moyens humains / Valo,	0	22820	15 jours valorisation JNA	
coût moyens humains	8000	0	5625	
Stagiaires	0	0	0	
Aménagement chantier	0	0	0	
Moyens mécaniques	0	0	0	
Equipements	0	0	0	
Etudes spécialisées	0	0	0	
Affichage	0	1800	0	
Autre	0	0	0	
Total (en €)	8000	24620	5625	
2021				
FOUILLE	DRAC	Ville	Inrap	Bénévolat
Moyens humains / Valo,	0	0	105 jours en PAS	195 jours
coût moyens humains	0	0	39375	
Stagiaires	1914	8500	0	
Aménagement chantier	2000	3000	0	
Moyens mécaniques	0	9964	0	
Equipements	2000	5500	0	
Etudes spécialisées	0	0	0	
Affichage	0	1800	0	
Autre		0	0	
Total (en €)	5914	28764	39375	74053.8
EAC / valorisation	DRAC	Ville	Inrap	Bénévolat
Moyens humains / Valo,	2 CDD	1 CDD	12 jours valorisation JNA	40 jours
coût moyens humains	5000	2500	4500	
stagiaires	0	1500	0	
Aménagement médiation	0	4500	0	
Moyens mécaniques	0	0	0	
Equipements / matériel	3000	0	0	
Etudes spécialisées	0	0	0	

Affichage	0	4300	5 500,00 €	
Autre	0	0	12000	
Total (en €)	8000	12800	22000	42800
Total fouille et EAC :	116853			
2022				
FOUILLE	DRAC	Ville	Inrap	Bénévolat
Moyens humains / Valo,	0	0	105 jours en PAS	110jours
coût moyens humains	0	0	39375	
Stagiaires	3399	0	0	
Aménagement chantier	700	0	0	
Evacuation terres	0	648	0	
Equipements	0	250	0	
Etudes spécialisées				
C14	3780	0	0	
Affichage	0	780	0	
Autre		0	0	
Total (en €)	7879	1678	39375	
EAC / valorisation	DRAC	Ville	Inrap	Bénévolat
Moyens humains / Valo,	2 CDD	1 CDD	15 jours valorisation JNA	40 j/h
coût moyens humains	5000	2500	5625	
stagiaires	0	1500	0	
Aménagement médiation	1500	2850	0	
Moyens mécaniques	0	0	0	
Equipements / matériel	1500	0	0	
Etudes spécialisées	0	0	0	
Affichage	0	800	620	
Autre	0	0	1750	
Total (en €)	8000	7650	7995	
Total fouille et EAC :	15879	9328	47370	
total 2019, 2021, 2022				
FOUILLE	DRAC	Ville	Inrap	Bénévolat
Moyens humains / Valo,	0	0	235 jours/homme	500 jours
coût moyens humains	0	3748	78750	
Stagiaires	5313	15200	0	
Aménagement chantier	2700	8500	0	
Evacuation terres	0	20112	0	
Equipements	8400	20050	0	
Etudes spécialisées	0	0	0	
C14	3780	1800	0	
Affichage	6400	40528	0	
Autre	5914	28764	39375	
Total (en €)	32507	138702	118125	
EAC / valorisation	DRAC	Ville	Inrap	Bénévolat
Moyens humains / Valo,	2 CDD	1 CDD	42 jours valorisation JNA	120 jours

coût moyens humains	18000	5000	15750	
stagiaires	0	3000	0	
Aménagement média-tion	1500	7350	0	
Moyens mécaniques	0	0	0	
Equipements / matériel	4500	0	0	
Etudes spécialisées	0	0	0	
Affichage	0	6900	6120	
Autre	0	0	13750	
Total (en €)	24000	22250	35620	
Total fouille et EAC	56507	160952	153745	

Fig.109 : Récapitulatif des sommes engagées et de la participation de chaque acteurs (C. Le Forestier, Inrap)

5. BILAN ET CONCLUSION GÉNÉRALE

La fouille de la parcelle P152 présentait de nombreux intérêts en 2018, lors du dépôt de dossier de fouilles programmées. Chaque point a été repris et commenté à la lumière des investigations qui ont eu lieu lors de la triennale 2019-2022.

5.1. Les objectifs et les résultats

5.1.1 Le corpus

- En 2018

Il s'agit d'un des corpus les plus importants de la région en terme du nombre de sépultures, avec les nécropoles de Saint-Denis (93), Vicq (78) et de Serris (77). La documentation de ces fouilles est parfois très ancienne, en partie inexploitable et le mobilier inaccessible. La nécropole des Mastraits est une des rares de cette période dont la documentation soit complète et utilisable et la collection ostéologique disponible au sein d'un même lieu (dépôt archéologique du département de la Seine-Saint-Denis, à Neuilly-sur-Marne, sous la responsabilité du chef de Bureau du Patrimoine Archéologique de Seine-Saint-Denis, Mr Claude Héron).

- En 2022

Cet aspect n'a pas été remis en question lors des fouilles. Le nombre de sépultures a été enrichi de 111. La qualité osseuse des squelettes exhumés depuis 2018 est exceptionnelle et permettra de compléter les données paléodémographiques, paléopathologiques et sur les pratiques funéraires. Ce corpus a permis d'enrichir les données sur les études métriques et d'attester le dimorphisme crânien entre les sujets mérovingiens et carolingiens.

5.1.2. Le PCR Archéologie des nécropoles mérovingiennes en Île-de-France

- En 2018

Les résultats issus de l'étude globale de la nécropole participeront au Programme Collectif de Recherches (PCR) Archéologie des nécropoles mérovingiennes en Île-de-France, regroupant une trentaine de chercheurs (Inrap, CNRS, collectivités territoriales, etc.) et initié en 2013 justement à la suite de la fouille de la nécropole des Mastraits à Noisy-le-Grand. Une publication synthétique des résultats est prévue prochainement. Les participants remettent leur article en 2019 et une relecture sera effectué en 2020 pour une publication à la fin de cette même année ou au début de 2021.

- En 2022

Les données issues de la fouille de la nécropole des Mastraits ont en effet alimentés plusieurs articles qui paraîtront en 2022 dans la Revue Archéologique d'Île-de-France (un sur les réductions et les vidanges, un sur les pratiques funéraires, un sur le site même).

Les stèles

- En 2018

Une approche minutieuse permettra la collecte de tous les éléments de stèles qui n'ont pas été observés lors des phases de fouilles précédentes (manque de temps et de logistique) et qui permettraient d'alimenter les connaissances régionales sur la pluralité des types de stèle (**GRALL**

2016, ARDOUIN 2017). En effet, seuls les blocs les plus significatifs ont été collectés sur le chantier. Lors de la fouille programmée, la totalité des éléments lithiques devront être documentés (photogrammétrie) et observés (traces de taille).

- En 2022

Lors des deux campagnes de fouille, ce sont 5 stèles qui ont été prélevées. Elles proviennent exclusivement des comblements des fosses sépulcrales postérieures à la période mérovingienne.

5.1.3. Les sarcophages et les fosses construites

- En 2018

Depuis de nombreuses années, un intérêt particulier est porté aux techniques de mise en œuvre des sarcophages de plâtre. En 2008-2009, il a été décidé d'effectuer le même travail de démontage systématique des sarcophages de Noisy-le-Grand. Le travail d'observation a été réalisé en collaboration avec I. Lafarge (Bureau du patrimoine archéologique de Seine-Saint-Denis). Ces analyses ont mené à l'étude de près de 130 cuves en plâtre présentée dans le Rapport final d'opération et dans un article publié dans les Actes des XXX^{e} journées internationales de l'Associarion française d'archéologie mérovingienne (**LE FORESTIER ET AL. 2015**). L'étude sur le terrain des cuves en plâtre doit être menée enfin de façon complète et minutieuse avec un enregistrement exhaustif. Il s'agit de prise de mesure, d'altitudes et d'observation des différentes coulées, des fonds des cuves et des aspects spécifiques : décors, bords biseautés, trous d'évacuation des jus de décomposition ou réparation. Une attention particulière devra être portée à l'observation de la moindre trace de décor, parfois très tenue.

A la suite des études au sein du PCR Archéologie des nécropoles mérovingiennes en Île-de-France, une cartographie des cuves en plâtre et en pierre a pu être réalisée (**fig.80)**.

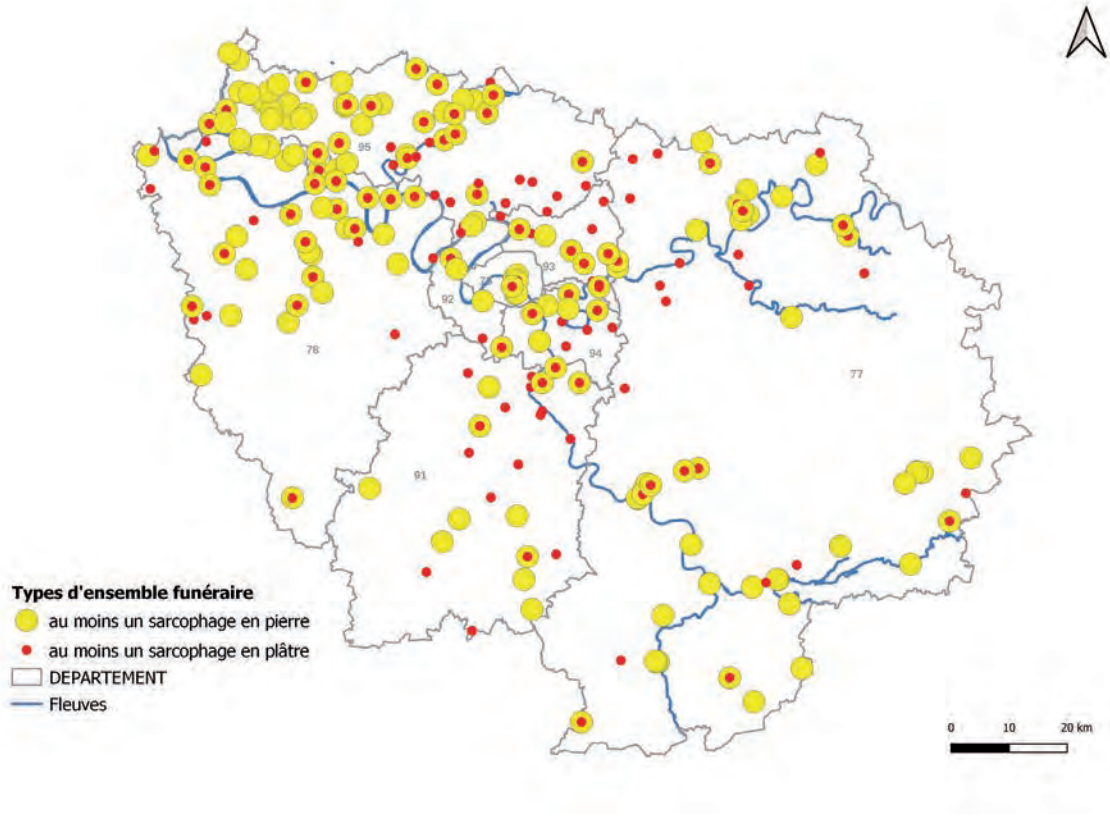

Fig.80 : Répartition des sarcophages en pierre et en plâtre (C. Le Forestier, Inrap)

L'observation minutieuse des sépultures à « coffrage de pierres » permettra de mettre en évidence la présence ou l'absence de plâtre dans la maçonnerie de ces structures (Ivan Lafarge, 2016). Ce type de structure funéraire doit également être contextualisé avec les sépultures en sarcophage de plâtre et celles sans contenant apparent. Ce travail, bien qu'il soit déjà effectué dans le cadre de travaux préventifs pourra être traité par les analyses envisagées (datation 14^c, Adn ancien, statistique). Il conviendra également de s'intéresser réellement à l'aspect individuel de ces sépultures alors que les cuves en plâtre accueillent généralement plusieurs défunts.

- En 2022

Les sarcophages ont fait l'objet d'une attention particulière pour l'analyse de la mise en œuvre. Plusieurs d'entre eux ont permis la mise en évidence de plusieurs coulées et de la présence d'éléments de calage pour la surélévation du moule interne.

Ce sont seulement trois fosses construites qui ont été fouillées lors des deux campagnes de fouilles. Ce constat correspond tout à fait à ce que l'on a pu observer sur la moins grande densité des structures mérovingiennes dans cette partie de la nécropole. Á ce jour, la première triennale n'apporte que peu de données supplémentaires sur les fosses construites. Elle confirme juste, avec la sépulture 839, leur contemporanéité avec les sarcophages en plâtre moulés à l'extérieur de la fosse. Une autre donnée, acquise en juin 2022, permet de proposer un système d'assemblage peu connu des deux moules (interne et externe) par la perforation latérale de ces derniers.

5.1.4. Les analyses ADN

Les analyses Adn dont les prélèvements auront été effectuées dans des conditions enfin optimales (autant de manipulations qui n'ont pas pu être réalisées dans un cadre de fouille préventive) permettront d'avérer ou non la présence de liens de parenté entre les sépultures d'un même sarcophage réunissant un dépôt primaire et une, ou des, réductions de corps. Les analyses Adn permettront également, par le biais de l'Adn mitochondrial, d'apporter une détermination sexuelle aux sujets le nécessitant.

Le Musée de l'Homme a engagé des analyses paléogénétiques de 40 sujets du site des Mastraits de Noisy-le-Grand (93). Il s'agit d'un projet important, d'analyse des génomes anciens humains du Bassin Parisien (**BON, MARSOLIER-KERGOAT 2021**), copiloté par le Muséum d'Histoire Naturelle (MNHM) et le commissariat à l'Energie Atomique (CEA).

- En 2022

Il a été possible de faire des prélèvements ADN avant le lavage des ossements. Lors de l'écriture des enjeux de la triennale, nous n'avions pas connaissance du projet BeDNA qui consiste à prélever systématiquement deux éléments sur tous les squelettes qui seraient fouillées en Île-de-France (région test). Une personne du Musée de l'Homme (Sophie Lafosse) fait partie de l'équipe depuis le début de la triennale et a participé aux fouilles de 2019 et 2021. Les premiers prélèvements pour Bedna ont été réalisé en juin 2022. A cette occasion, Pauline Ehrahrt du MNHN est venu expliquer la démarche et le mode opératoire aux stagiaires sur le terrain.

Quant au projet de l'étude des génomes du Bassin Parisien, les résultats ont été très satisfaisants puisque la plupart des échantillons ont livré de l'ADN. Ces études ont d'ailleurs permis aussi d'obtenir le sexe mitochondrial de la plupart des individus (même des immatures). Cela concerne les sépultures de 2008 et 2017. Ces résultats sont encourageants au regard du projet BeDNA et de la qualité génétique des échantillons.

5.1.5. Le mobilier

- En 2018

Le prélèvement minutieux et complet de l'environnement des objets (jamais réalisé pour les campagnes précédentes) permettra de travailler sur les restes organiques (cuir, tissu, poil, fourrure, etc.). Ce travail sera suivi par H. Huysseune qui a déjà étudié ce type de vestiges (Huysseune 2015). Le mobilier une fois nettoyé et restauré le cas échéant sera confié à J. Soulat pour une étude typochronologique. Ces deux intervenants participent pleinement au PCR.

- En 2022

De manière surprenante, aucun élément de mobilier n'a été mise au jour lors des fouilles de 2019 et 2020. Son absence est regrettable pour la caractérisation des sépultures (statut social, sexe archéologique, etc.) mais une véritable donnée pertinente dans la compréhension de la nécropole. Les résultats C14 d'une sépulture fouillée en 2019 (I.811) regroupant toutes les caractéristiques d'une sépulture mérovingienne (sarcophage en plâtre, réduction de corps) ont permis de dater le décès du sujet entre 776 et 975. Cette datation et l'absence de mobilier dans les sépultures de la parcelle P152 permettent de proposer une phase plus récente d'utilisation de la nécropole. La nécropole se développerait donc vers l'est en même temps que l'évolution des pratiques funéraires et plus précisément de l'absence de dépôt de mobilier dans les sépultures et de l'abandon de la «sépulture habillée ».

Depuis février 2022, les nouvelles normes sur l'enregistrement et le conditionnement sont actives. Nous avons enregsitré le mobilier selon ces normes. Par contre, l'ensemble de la documentation graphique n'a pas pu être traité de la même manière mais la reprise selon les normes BAM sera effectuée en 2023 par les bénévoles de l'association Archéologie des nécropoles.

5.2. Conclusion

Cette nécropole réunit de nombreuses disciplines et c'est ce qui en fait sa richesse. Comme le soulignait D. Paya « L'apport des outils de datation, l'arrivée des archéo-anthropologues et de leur observation de l'état sanitaire des populations comme des processus de décomposition, ont donné un élan décisif à l'opportunité de fouiller des cimetières, qui, en d'autres temps, n'auraient suscité que peu d'intérêt parce que sans mobilier (**PAYA 2017)**. Á l'opposé, F. Blaizot (**BLAIZOT 2017**) nous met en garde contre les « études anthropologiques » qui ne sont qu'une compilation de méthodes, plus ou moins bien employées, et des choix discutables dans la chaîne opératoire des études comme cela a été le cas pour l'étude du millier de sépultures de Serris, « Les Ruelles ». L'auteure insiste sur le fait qu'il faut « privilégier les collaborations interdisciplinaires et interinstitutionnelles dans le cadre d'un projet d'étude et de publication succédant au rendu du rapport de fouille », ce qui « apparaît comme une solution raisonnable et souhaitable. C'est dans ce cadre que l'étude des site des Mastraits a été appréhendée, à savoir l'utilisation de nombreuses méthodes en archéologie funéraire sans toutefois tomber dans le systématisme (volonté de proposer un synthèse palédémographique avec seulement 111 sépultures ; proposer des prévalences pour les pathologies sur quelques individus ; etc.). Les études synthétiques seront développées dans un document final, qui portera sur l'ensemble des sépultures fouillées parmi les projets en cours.

La nécropole des Mastraits de Noisy-le-Grand s'inscrit dans un paysage funéraire médiéval francilien très abondant et dont les connaissances ne cessent d'évoluer.

Ce sont 17831 sépultures pour 452 sites qui ont été décomptés lors des travaux du PCR Archéologie des nécropoles mérovingiennes en Île-de-France. Le tableau de décompte général permet de s'interroger sur la pérennité des sites funéraires de la période tardo-antique à la fin de l'époque carolingienne. Dans de nombreux cas qui concernent principalement les fouilles anciennes, le nombre exact de sépultures n'est pas indiqué. Lorsque le texte mentionne plusieurs inhumations, le décompte a été de deux. Par exemple, à Chapet (Les Yvelines), des fouilles ont eu lieu en 1884 et il est mentionné la découverte « de sarcophages en pierre et en plâtre et différents objets ». De même, à Chaussy (Val-d'Oise), fouilles de 1889, il est indiqué la présence de « cercueils de pierre avec haches et piques et des monnaies ».

Les sites datés entre le III^{e} et le V^{e} siècles sont au nombre de 59, ceux de l'époque mérovingienne (du VIe siècle au début du VIII^{e} siècle) de 261 et ceux de la période suivante (du VIII^{e} au X^{e} siècle) au nombre de 42. La pérennité funéraire entre les deux premières périodes concerne 42 sites et seulement 26 pour les occupations qui perdurent pendant tout le haut Moyen Âge. Cependant, ces 26 sites concernent 4614 sépultures (médiane de 5,5) alors que les 42 autres en concernent 3452 (médiane de 33). Les occupations funéraires qui perdurent après le V^{e} siècle concernent des sites de grandes tailles comme ceux de Bondy, Maule, Melun et les nécropoles parisiennes. Pour les sites qui sont en fonctionnement tout au long de la période alto-médiévale, ils sont au nombre de 26 et certains ont des effectifs assez importants (Bondy, Noisy-le-Grand, Serris, Maule ou Blandy-les-Tours). Sans surprise, les sites funéraires qui ont livré au moins une sépulture tardo-antique et au moins une sépulture carolingienne (7 cas) sont assez rares. C'est le cas pour le site de la « RD40 » à Tremblay-en-France (**GONCALVÈS-BUISSART 2006**) où 27 sépultures dispersées carolingiennes se sont implantées autour et sur une nécropole aristocratique du Ve siècle de 36 sujets.

Quant aux indices funéraires exclusivement mérovingiens (nécropoles et sépultures dispersées), ils sont au nombre de 261 pour un total de 9257 sépultures (médiane de 5 sépultures). Les ensembles funéraires avec un effectif important ont été abandonnés assez rapidement et correspondent en partie à ce qui a été appelé les « nécropoles de plein champ ».

tardo-antique	mérovingien	carolingien	nombre de sites
			59
			42
			4
			7
			261
			26
			42
			11

Fig.81 : Nombre de sites par période (C. Le Forestier, Inrap).

Les départements qui ont livrés le plus grand nombre de sites sont successivement la Seine-et-Marne (144), le Val-d'Oise (110), les Yvelines (60), l'Essonne (43), la Seine-Saint-Denis (40), le Val-de-Marne (28), Paris (20) et les Hauts-de-Seine (7) (**fig.82**). Les départements qui ont la plus grande densité de sites (au km²) sont la Seine-Saint-Denis, le Val-de-Marne et le Val-d'Oise.

Près de la moitié des sites funéraires retenus dans le cadre du PCR se situe à moins de deux kilomètres d'un cours d'eau (192 sites). Parmi ces derniers, 122 contiennent au moins une sépulture mérovingienne, 50 une sépulture du Bas-Empire et 25 une sépulture carolingienne.

Le site de Noisy-le-Grand fait partie des « grandes nécropoles pérennes ». Il faut appréhender ce type de nécropoles, au nombre de 34, comme des secteurs fédérateurs le plus souvent en relation avec un édifice religieux. L'existence d'un lieu de culte précoce semble être un des éléments qui conditionne l'utilisation du cimetière tout au long du haut Moyen Âge. C'est le cas des nécropoles de Saint-Denis, lieu vraisemblable de l'édification d'une *memoria* au-dessus d'une tombe particulièrement vénérée. Au Ve siècle, le lieu prend de l'importante avec la présence des reliques de Saint-Denis, puis de la sépulture de la reine Arégonde. Pour Chelles, le lieu devient singulier avec la fondation monastique de Clotilde. En 1987, les fouilles à Villemomble ont permis d'exhumer une partie de l'église mérovingienne Saint-Genès ainsi que la nécropole du haut Moyen Âge **(DELAHAYE 1988**). De même, il semble qu'une église existe à Bondy dès l'époque mérovingienne, comme le mentionne le testament d'Ermenthrude **(ATSMA 1985**). La position du site de Bondy, sur l'antique voie de Paris à Meaux, est peut-être aussi une raison à la pérennité de l'occupation. Meaux se distingue par la présence d'une nécropole de plusieurs centaines de sépultures datées entre le IIe et le XIe au niveau de la rue Cornillon, à proximité des églises de Saint-Martin et Saint-Saintin (**DE MECQUENEM 2011**). Enfin, la nécropole de Nanterre a été découverte au niveau de la cathédrale Saint-Geneviève et accueille des sépultures pendant tout le haut Moyen Âge. Le culte génovéfaine remonte au VIIe siècle (**ROBLIN, P.183**).

Ces quelques nécropoles évoquées, où la densité des sépultures est importante, attestent bien du rôle fédérateur d'un édifice religieux (sur l'emplacement de reliques ?) ou d'un axe routier important. Comme le souligne A. Dierkens, « si la nécropole hors agglomérations autorisait des inhumations extensives, le cimetière paroissial, resserré autour de l'église et délimité par un mur ou un enclos, implique une utilisation intensive de l'espace disponible et donc le bouleversement rapide de la plupart des tombes » (**DIERKENS, PERIN 1997**). C'est également le cas des grandes nécropoles de Serris, Vicq, Villemomble, Noisy-le-Grand, Villiers-le-Bel, etc. Á l'inverse, d'autres grandes nécropoles de l'Antiquité tardive sont délaissées comme celles des « Terres Noires » à Epiais-Rhus, de « Chantambre » à Buno-Bonnevaux ou « ZAC du Parc » à Louvres.

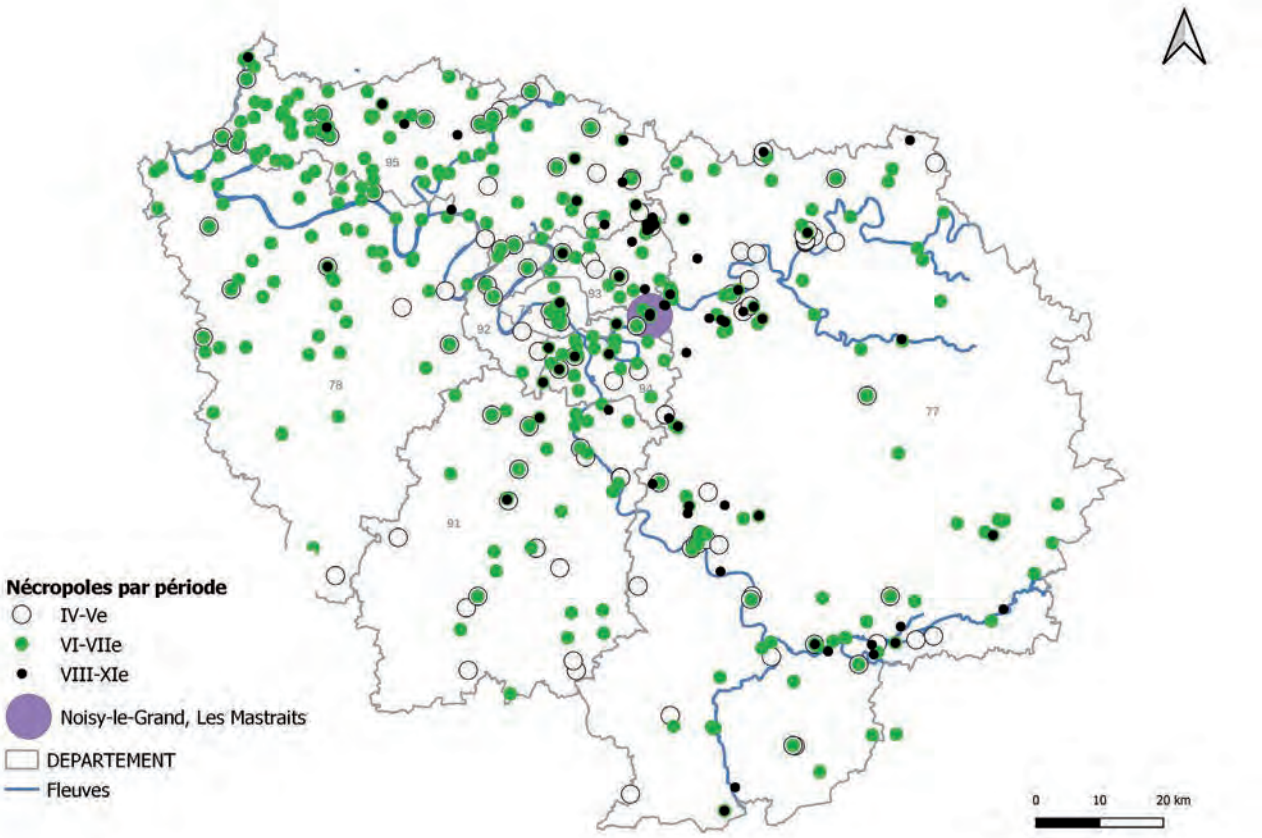

Fig.82 : Les nécropoles alto-médiévales en Île-de-France (C. Le Forestier, Inrap)

La nécropole de Noisy-le-Grand, en activité du VI^e^ au XII^e^, voire au XIII^e^ siècles, est semble-t-il délaissée au profit d'un emplacement cimetérial aux abords de l'église Saint-Sulpice, à quelques 700 m au nord, dont les plus anciens éléments architecturaux sont datables du XI^e^ siècle.

Les pratiques funéraires sont caractéristiques de ce que l'on observe en Île-de-France pour ces périodes. Avant le VIII^e^ siècle, l'usage des cuves en plâtre et des fosses maçonnées est quasi exclusif. Progressivement, les fosses ne sont plus aménagées et les défunts sont inhumés au sein de linceul enserrant. Vers le X^e^ siècle, apparaissent les fosses à banquettes (sur lesquelles reposent des éléments de bois). Cette pratique s'accompagne d'un calage céphalique (fosse anthropomorphe et/ou calage à l'aide de pierres) et du maintien, au niveau de la mandibule, pour éviter le rire sardonique.

Le recrutement funéraire ne livre pas des résultats surprenants.

La répartition sexuelle des sujets des deux phases est différente. Pour l'époque mérovingienne, le taux de masculinité est de 49 % contre 57 % pour la période carolingienne. Toutefois, l'intégralité de l'ensemble funéraire n'a pas été fouillée et il est possible que de très nombreuses sépultures soient présentes en dehors de l'emprise étudiée. Il a aussi été avéré qu'un plus grand nombre de sujets féminins ont été inhumés dans les sépultures les plus anciennes (nombreux os et éléments de parure féminins retrouvés dans les remblais des fosses).

Quant aux âges au décès, l'observation de la répartition des adultes est intéressante. L'époque mérovingienne est marquée par une plus faible mortalité des sujets jeunes et par une part moins importante de sujets plutôt âgés, ce qui s'inverse progressivement aux siècles suivants. Il faudra cependant vérifier qu'il n'y a pas de biais causé par la conservation différentielle des ossements des

plus jeunes.

L'étude de cet espace funéraire, occupé pendant près de huit siècles, est encore en cours et ne débutera véritablement qu'à la fin de la campagne des fouilles programmées. D'autres données participeront à la synthèse de ce site, comme celles issus de l'étude génétique des populations du Bassin Parisien réalisée par le Musée de l'Homme ou celles sur les isotopes pour caractériser les modes d'alimentation et suivre leurs évolutions tout au long du Moyen Âge.

BIBLIOGRAPHIE

ABADIE I. (2013) – Traces d'interventions anthropiques sur des restes osseux humains déposés dans un silo du haut Moyen Âge, site de « La Confiserie », Villiers-le-Bel (Val-d'Oise), RAIF, 6, p. 185-222.

ADROT D. 2005 - Noisy-le-Grand, Ilot du marché, rapport de diagnostic archéologique. INRAP, Ile-de-France / Centre, 45 p.

ALEXANDER, M.M., GERRARD, C.M., GUTIÉRREZ, A., MILLARD, A.R., (2015) - Diet, society, and economy in late medieval Spain: Stable isotope evidence from Muslims and Christians from Gandía, Valencia. American Journal of Physical Anthropology 156, 263–273. https://doi.org/10.1002/ajpa.22647

ARDOUIN S. (2017)— Les stèles mérovingiennes, premiers témoignages des communautés chrétiennes rurales d'Île-de-France. Archéologie médiévale, 47, p. 53-70.

ATSMA H., LE PORZOU F., VEZIN J. (1985) – Le testament d'Ermenthrude : texte et traduction, dans : Catalogue d'art et d'histoire du Musée Carnavalet. II. Collections mérovingiennes, Ville de Paris, Paris, p. 824.

BARNEY S.A., LEWIS W.J., BEACH J.A., BERGHOF O. (2006) – The etymologies of Isidore of Seville, Cambridge university Press, 475 p. [présentation et traduction du texte en anglais]

BLAIZOT F. (2017) - Les espaces funéraires de l'habitat groupé des Ruelles, à Serris (Seine-et-Marne) du VIIe au XIe s. : modes d'inhumation, organisation gestion et dynamique. Ausonius Éditions, 573 p.

BLIN A, CHAMBON P. (2013) - Du cadavre à l'oubli, Les nouvelles de l'archéologie, p. 65-70.

BOCHERENS, H., FIZET, M., MARIOTTI, A., OLIVE, C., BELLON, G., BILLIOU, D., (1991) - Application de la biogéochimie isotopique (13C, 15N) à la détermination du régime alimentaire des populations humaines et animales durant les périodes antique et médiévale. Archives Scientifiques de Genève 44, 329–340.

BOLO A., FONT C., DE MUYLDER M., GUILLEMARD T. (2014) - De la tablette PC à la cartographie de terrain : exemple de méthodologie sur le chantier d'archéologie préventive de Noyon (Oise), in Costa L., Djindjian F., Giligny F. (dir.), Actes des 3es journées d'informatique et archéologie de Paris, 1er-2 juin 2012, Rome, Consiglio Nazionale delle Ricerche (coll. Suppl. à Archeologia e Calcolatori, 5), p. 247-256.

BON C., MARSOLIER-KERGOAT M.-C. (2021) - « Vous avez dit paléogénomique ? », Revue d'ethnoécologie [En ligne], 19 | 2021, mis en ligne le 30 juin 2021, consulté le 24 novembre 2021. URL : http://journals.openedition.org/ethnoecologie/6696 ; DOI : https://doi.org/10.4000/ethnoecologie.6696

BOCQUET J.-P., MASSET C. (1977) - Estimateurs en paléodémographie. L'Homme, XVII(4), p. 65-90.

BROTHWELL D.R. (1972) — Digging up bones (London, British Museum (Natural History)). 1972.

BRUZEK J. (1991) – Fiabilité des procédés de détermination du sexe à partir de l'os coxal. Implications à l'étude du dimorphisme sexuel de l'Homme fossile. Thèse de Doctorat, Muséum National d'Histoire Naturelle, Institut de Paléontologie Humaine, Paris, 431 p.

BUQUET-MARCON C., PECQUEUR L., DETANTE M. (2006)— Parés d'habits invisibles. GAAF, 2008.

BUTTNER S., HENRION (2011) - Les carrières de sarcophages de l'Auxerrois (Yonne) : naissance d'une industrie Ve-VIe siècles », Carriers et bâtisseurs de la période préindustrielle, Europe et régions limitrophes, sous la direction de Jean-Pierre Gély et Jacqueline Lorenz, 134e congrès national du CTHS, Bordeaux, 2009, CTHS sciences, 11, 2011, p. 85-98.

CARLIER, A., (2013) - Pratiques alimentaires à l'époque moderne (XVe - XVIIIe siècle), l'exemple d'Aix-en-Provence grâce à l'analyse isotopique (δ13C, δ15N) des ossements humains (Mémoire de Master 2). Aix-Marseille Université, Aix-en-Provence.

CERCY C. (2000) - Noisy-le-Grand, collège du Clos Saint-Vincent. DFS de fouille d'évaluation archéologique. Emprise du nouveau collège. Epinay-sur-Seine : Mission Archéologique de Seine-Saint-Denis. Saint-Denis : Service Régional de l'Archéologie. 26 p.

COLLETER R., ROMAIN J.-B., BARREAU J.-B. (2020) — Humanos: an open source nomadic software database for physical anthropology and archaeology. Virtual Archaeology Review, 11(23): In Press, 2020. https://www.researchgate.net/publication/342361736 (lien valide au 18/12/2020).

CHAMBON P. (2003) - Les morts dans les sépultures collectives néolithiques en France. Du cadavre aux restes ultimes, Paris, Supplément à Gallia Préhistoire, 35, CNRS édition, 396 p.

CORTES J.L. (2004)- Rapport de diagnostic archéologique, Ilôt de la Mairie. INRAP, Ile-de-France / Centre. Saint-Denis : Service Régional de l'Archéologie. 2004.

CRUBEZY E. et collectif (2007) – L'archéologie funéraire, Errance, 247p.

CURATE F, UMBELINO C, PERINHA A, NOGUEIRA C, SILVA AM, CUNHA E.J (2017) - Sex determination from the femur in Portuguese populations with classical and machine-learning classifiers. Forensic Leg Med. 2017, p52-75-81

DELAHAYE G.-R. (1988) - Sauvetage archéologique sur le cimetière mérovingien, médiéval et post-médiéval de Villemomble (campagne 1986-1987), En Aulnoye Jadis, n°17, p.5-16

DE MECQUENEM C. (2011) - Meaux (77), 45-47 rue Cornillon. Rapport de diagnostic. Croissy-Beaubourg, Inrap CIF, SRA Ile-de-France.

DELOZANNE (C.) à paraître - Meaux (Seine-et-Marne), rue de l'Hospice : rapport de fouille. Inrap CIF, à paraître

DESACHY B. (2008) — De la formalisation du traitement des données stratigraphiques en archéologie de terrain. Paris : Université Paris 1-Panthéon Sorbonne, 2008, 338 p.*

DIERKENS A., PÉRIN P. (1997) — Death and Burial in Gaul and Germania, 4th–8th Century. The transformation of the Roman World AD, 1997, p. 400-900.

DUDAY H., SELLIER P. (1991) - L'archéologie des gestes funéraires et la taphonomie, Les Nouvelles de l'archéologie, 40, p. 12-14.

DUDAY H., COURTAUD P., CRUBEZY E., SELLIER P., TILLIER A.-M. (1990) — L'Anthropologie «de terrain»: reconnaissance et interprétation des gestes funéraires. Bulletins et Mémoires de la Société d'Anthropologie de Paris, 2, 3, p. 29-49.

DURAND M. (1988) – Archéologie du cimetière médiéval au sud-est de l'Oise. Relations avec l'habitat et évolution des rites et des pratiques funéraires du VIe au XVIe siècle, « Revue archéologique de Picardie », n° spécial, 1988

EHRHART P., CHAMBON P., GIMEL E., HEYER E., LAFOSSE S., SELLIER P., THOMAS A., BON C. (2021) - beDNA : une collection systématique d'échantillons humains archéologiques à vocation paléogénétique in Bulletins et Mémoires de la Société d'Anthropologie de Paris, supplément n° 33.

EL NAJJAR M.-Y., MC WILLIAMS K-R. (1978) - Forensic anthropology: the structure, morphology, and variation of human bone and dentition. Springfield, IL: Charles C. Thomas.

FEANS LANDEIRA J. (2011) – Isidoro de Sevilla – Etimologias Libro XVI – de las piedras y de laos metales - Paris, Les Belles Lettres, 473 p. [texte en latin, présentation, traduction et notes en espagnol].

FEREMBACH D., SCHWIDETZKY I., STLOUKAL M. (1979) — Recommandations pour déterminer l'âge et le sexe sur le squelette. Bulletins et Mémoires de la Société d'anthropologie de Paris, 6, 1, 1979, p. 7-45.

GALINIE H., RANDOIN B. (1987) - Enregistrement et exploitation des données des fouilles de Tours. 1re partie, in Randoin B. (dir.), Enregistrements des données de fouilles urbaines, Tours, Centre national d'archéologie urbaine, p. 61-73.

GONCALVES-BUISSART C. (2006) - Tremblay-en-France (Seine-Saint-Denis), Route Départementale 40, rapport de fouille, Département de la Seine-Saint-Denis, Bureau du Patrimoine, Epinay-sur-Seine, 2 vol., 642 p.

GRALL (J.) — Première approche de la signalisation des sépultures au haut Moyen Âge en Île-de-France. In : Revue archéologique d'Île-de-France, n° 9. Association des amis de la revue archéologique, 2016, (Revue archéologique d'Île-de-France).

HERRSCHER, E., (2001) - Contribution de l'analyse paléoépidémiologique et paléobiogéochimique à la connaissance de la santé et de l'alimentation à la fin du Moyen Age: église Saint-Laurent de Grenoble (Thèse de doctorat). Muséum national d'histoire naturelle, Paris.

HERRSCHER, E., (2003) - Alimentation d'une population historique. Analyse des données isotopiques de la nécropole Saint-Laurent de Grenoble (XIIIe-XVe siècle, France). Bulletins et Mémoires de la Société d'Anthropologie de Paris 149–269.

KACKI S., VILLOTTE S.(2006) — Maladie hyperostosique et mode de vie: intérêt d'une démarche bio-archéologique. Exemple du cimetière du Couvent des Soeurs Grises de Beauvais (Oise), XVe-XVIIIe s.

KASSER M., EGELS Y. (2001)— Photogrammétrie Numérique. Hermès sciences publications, Collection ENSG-IGN, 2001

KJELLSTRÖM, A., STORÅ, J., POSSNERT, G., LINDERHOLM, A., (2009) - Dietary patterns and social structures in medieval Sigtuna, Sweden, as reflected in stable isotope values in human skeletal remains. Journal of Archaeological Science 36, 2689–2699. https://doi.org/10.1016/j.jas.2009.08.007

LAFARGE I. (2016) — Eléments d'approche typologique pour les tombes construites et les tombes maçonnées en Île-de-France durant la période médiévale. In : Revue archéologique d'Île-de-France, n° 9. Association des amis de la revue archéologique, 2016, (Revue archéologique d'Île-de-France).

LAFARGE I., JARBAD S. (2003)- Noisy-le-Grand, Eglise Notre-Dame et Saint-Sulpice et Extension du cimetière, DFS de fouille d'évaluation archéologique. Epinay-sur-Seine : Mission Archéologique de Seine-Saint-Denis. Pantin : INRAP, Ile-de-France / Centre. Saint-Denis : Service Régional de l'Archéologie, 49 p.

LANCHON Y., LEJEUNE Y. (2002) - Noisy-le-Grand "La Rive Charmante" (Seine-Saint-Denis). Rapport de diagnostic archéologique (secteur sud). INRAP Centre Ile-de-France. DRAC - Service Régional de l'Archéologie d'Ile-de-France. 2002, 12 p. et annexes.

LANGLOIS J.Y., GALLIEN V. (2008) — Le souple dans tous ses états: de l'espace colmaté à l'espace vide. In : Rencontre autour des sépultures habillées, actes du colloque de Carry-le-Rouet (13–14 Novembre 2008.

LATOUCHE R. (1995) - Grégoire de Tours, Histoire des Francs, Paris, Les Belles Lettres, traduction par Robert Latouche, p.325-354.

LE FORESTIER C. à parâitre – La nécropole du haut Moyen Âge de Noisy-le-Grand (93),Rue des Mastraits et abords immédiats. Rapport final d'opération. Inrap Centre – Île-de-France, Croissy-Beaubourg.

LE FORESTIER C. (2000) — Cimetière villageois et sépultures isolées à Villiers-le-Sec (95). Mémoire de maîtrise Paris I, 2000. 165 p.

LE FORESTIER C. (2002) - La nécropole mérovingienne «Le Martray» à Cormeilles-en-Parisis. Bulletin du Vieil Argenteuil, Société Historique et Archéologique d'Argenteuil et du Parisis, 37, p.2-11

LE FORESTIER C., PERRIER D., PROUST C. (2009) – Le mobilier de la nécropole mérovingienne des Mastraits à Noisy-le-Grand (93) : premières observations in Revue des Antiquités Nationales, tome 40, p. 167-181.

LE FORESTIER C. (2012) – La nécropole du haut Moyen Âge de Noisy-le-Grand (93), 4 rue des Mastraits. Rapport final d'opération. Département de la Seine-Saint-Denis / Inrap Centre – Île-de-France, Croissy-Beaubourg. 2 volumes. 955 p.

LE FORESTIER C., LAFARGE I., PAROT S. (2015)— Les sarcophages en plâtre de la nécropole des Mastraits à Noisy-le-Grand. In : ISABELLE (C.), HENRION (F.), SCUILLIER (C.) dir. — Les sarcophages de l'Antiquité tardive au haut Moyen Âge, fabrication, utilisation, diffusion : actes des XXXe Journées internationales d'archéologie mérovingienne, Musée d'Aquitaine, Bordeaux, 2-4 octobre 2009. Bordeaux : Fédération Aquitania, 2015, p. 411-419. (Aquitina).

LE FORESTIER C (2015) - Noisy-le-Grand "Rue des Mastraits et abords immédiats" (Seine-Saint-Denis). Rapport de diagnostic archéologique. INRAP Centre Ile-de-France. DRAC - Service Régional de l'Archéologie d'Ile-de-France. 20015, 76 p. et annexes.

LE FORESTIER C. (2019) — Fouilles programmées de la nécropole des Mastraits à Noisy-le-Grand, campagne 2019, Association Archéologie des nécropoles, Inrap, SRA, municipalité de Noisy-le-Grand : Noisy-le-Grand, 2019. 75 p.

LE FORESTIER C. (2022) — Fouilles programmées de la nécropole des Mastraits à Noisy-le-Grand, campagne 2021, Association Archéologie des nécropoles, Inrap, SRA, municipalité de Noisy-le-Grand : Noisy-le-Grand, 93 p.

LONGIN, R., (1971) - New Method of Collagen Extraction for Radiocarbon Dating. Nature 230, 241–242. https://doi.org/10.1038/230241a0

LOZANO V., GEORGES E. (2019) - Not Only SQL, Lyon, Framasoft, 374 p. Moreau A. 2016 : GIS, An Answer to the Challenge of Preventive Archaeology? The Attempts of the French National Institute for Preventive Archaeology (Inrap), in Campana S., Scopigno R., Carpentiero G., Cirillo M. (dir.), CAA2015, keep the revolution going: proceedings of the 43rd Annual Conference on Computer Applications and Quantitative Methods in Archaeology, Oxford, Archaeopress Publishing Ltd (coll. Archaeopress archaeology), p. 303-308.

MAYER A. (2019) – Saint-Pathus (Seine-et-Marne). Grande Rue – rue de la maison neuve. Archéologie médiévale, n°46, 2019, p.358

MOORREES F., FANNING A., HUNT E. (1963) - Formation and resorption of three deciduous teeth in children. American Journal of Anthropology, 21 (2) : 205-13

MASSET C. (2006)— Charles Suzanne & Caroline Polet, eds, Dictionnaire d'anthropobiologie. Préface de Emma Rabino-Massa. Bruxelles, De Boeck, 2005, 401 p., index anglais/français, fig., tabl., cartes. L'Homme. Revue française d'anthropologie, 179, p. 237-238.

MICLON, V., GAULTIER, M., GENIES, C., COTTÉ, O., YVERNAULT, F., HERRSCHER, E., (2017) - Social characterization of the medieval and modern population from Joué-lès-Tours (France): Contribution of oral health and diet. BMSAP. https://doi.org/10.1007/s13219-017-0192-y

MION, L., (2019) - Aux origines de l'alimentation méditerranéenne : Analyses isotopiques de vestiges bioarchéologiques de l'Antiquité au début du Moyen Âge dans le Sud-Est de la France (Thèse de doctorat). Aix-Marseille Université, Aix-en-Provence.

MION, L., HERRSCHER, E., ANDRÉ, G., HERNANDEZ, J., DONAT, R., FABRE, M., FOREST, V., SALAZAR-GARCÍA, D.C., (2018) - The influence of religious identity and socio-economic status on diet over time, an example from medieval France. Archaeological and Anthropological Sciences. https://doi.org/10.1007/s12520-018-0754-z

MOREAU A. (2016) — GIS, An Answer to the Challenge of Preventive Archaeology? The Attempts of the French National Institute for Preventive Archaeology (Inrap) Actes de colloque CAA2015 (43), Archaeopress Publishing Ltd, pp. 303

MÜLDNER, G., RICHARDS, M.P., (2007) - Stable isotope evidence for 1500 years of human diet at the city of York, UK. American Journal of Physical Anthropology 133, 682–697. https://doi.org/10.1002/ajpa.20561

MÜLDNER, G., RICHARDS, M.P., (2005) - Fast or feast: reconstructing diet in later medieval England by stable isotope analysis. Journal of Archaeological Science 32, 39–48. https://doi.org/10.1016/j.jas.2004.05.007

POIGNANT S. (2012) - Bondy (Seine-Saint-Denis), Cœur de Ville, rapport de fouille, Pantin, Inrap CIF, 2 vol., 1046 p.

PAYA (2017) - Des pots dans la tombe, Caen, PUC, CRAHAM, p.465-484

PIERROT DESEILLIGNY M., CLERY I. (2011)— « Images et modèle 3D en milieux naturels, volutions récentes en photogrammétrie et modélisation 3D par photos des milieux naturels », Collection EDYTEM, Laboratoire EDYTEM, n° 12, 2011.

POLET (C.), ORBAN (R.) — Les dents et les ossements humains: que mangeait-on au Moyen Āge? Brepols, 2001.

POLET, C., KATZENBERG, M.A., (2002) - Comportements alimentaires de trois populations médiévales belges: apports de la biogéochimie isotopique. Revue belge de philologie et d'histoire 80, 1371–1390. https://doi.org/10.3406/rbph.2002.4673

REITSEMA, L.J., KOZŁOWSKI, T., CREWS, D.E., KATZENBERG, M.A., CHUDZIAK, W., (2017) - Resilience and local dietary adaptation in rural Poland, 1000–1400 CE. Journal of Anthropological Archaeology 45, 38–52.
https://doi.org/10.1016/j.jaa.2016.11.001

RICHARDS, M.P., MAYS, S., FULLER, B.T., (2002) - Stable carbon and nitrogen isotope values of bone and teeth reflect weaning age at the Medieval Wharram Percy site, Yorkshire, UK. American Journal of Physical Anthropology 119, 205–210. https://doi.org/10.1002/ajpa.10124

ROBLIN M. (1971)— Le terroir de Paris aux époques gallo-romaine et franque. A. et J. Picard, 1971.

ROSE H. 2012 -Processus de création de nuages de points par corrélation d'image, Revue XYZ, 131, p. 19-23

SALESSE, K., (2015) - Archéo-biogéochimie isotopique, reconstitutions des régimes alimentaires et des schémas de mobilité, et interactions bioculturelles. Les sépultures plurielles de la catacombe des Saints Pierre-et-Marcellin (Rome, Ier-IIIe s. ap. J.-C.) : Les sépultures plurielles de la région X de la catacombe des Saints Pierre-et-Marcellin (Rome, Ier-IIIe s. ap. J.-C.) (Thèse de doctorat). Université de Bordeaux, Bordeaux.

SAMZUN A. (2007) - Noisy-le-Grand, "rue Robert Schumann". Rapport de diagnostic. Août 2007. INRAP, Centre Ile-de-France. DRAC - Service Régional de l'Archéologie d'Ile-de-France. 2007, 33 p.

SENG C., LE FORESTIER C., EL HADJAOUI R., FONT C., GUILLEMARD T., MERCEY F. (2022) - Acquisition numérique des données archéo-anthropologiques et spatiales. Le projet « Nécropole numérique ». Archéopages, Inrap, HS n° 6. p.250-265

SUSINI-COLIN P. (2013) - 2 rue de l'Eglise - rue Gambetta, rapport de diagnostic. Sous la direction de Pauline Susini-Collin. Bureau du PAtrimoine Archéologique du Département de la Seine-Saint-Denis

TREFFORT C. (1996) — L'Église carolingienne et la mort. Presses universitaires de Lyon, 1996.

VERGNIEUX R. (2011) : L'usage scientifique des modèles 3D en archéologie. De la validation à la simulation, Virtual Archaeology Review, 2-4, p. 39-43.

VYTLAČIL, Z., KAUPOVÁ, S., LEFEBVRE, A., VELEMÍNSKÝ, P., BRŮŽEK, J., (2018). - A time of change: dietary reconstruction of the Merovingian cemetery of Norroy-le-Veneur, France. Anthropol Anz 75, 325–338.
https://doi.org/10.1127/anthranz/2018/0834

YODER C. (2010) - Diet in medieval Denmark: a regional and temporal comparison. Journal of

Archaeological Science 37, 2224–2236.
https://doi.org/10.1016/j.jas.2010.03.020

YODER, C., (2012) - Let them eat cake? Status-based differences in diet in medieval Denmark. Journal of Archaeological Science 39, 1183–1193. https://doi.org/10.1016/j.jas.2011.12.029

Sites internet

- Cours de l'ENSG : http://cours-fad-public.ensg.eu/course/index.php?categoryid=43
- Accès à la base de données Cadoc : https://sites.google.com/site/bdcadoc/
- Modèles 3D mis en ligne : https://sketchfab.com/ArcheoNec

ANNEXES

Annexe 1 : extrait de l'archive de 1771

Archives nationales Z1 S 259
Visite et état de terrain à
Noisy le Grand à le requeste
Des Sieurs Coqueret...
23 Avril 1771

(Extrait)

.....

Nous avons ensuitte fait faire différentes fouilles le long des quatre costés dudit terrain par le moyen desquelles nous avons reconnu seavoir

- Dans les trois fouilles faites le long du costé latéral a droite qu'il y avoit un mur de closture de quinze à seize pouces d'épaisseur construit en mortier de terre et dont il ne reste plus que la fondation en la hauteur d'un pied ou environ en observant toutes fois que la teste dudit mur aboutit à l'encaissement de la chaussée de la grande rue
- Dans les fouilles faites le long de la partie latérale à gauche nous n'avons reconnu aucuns vestiges de fondations de murs mais seulement deux tombes en plastre et d'ailleurs différents ossements
- Par devant le long de la grande rue dans les fouilles que nous y avons fait faire nous n'y avons point trouvé de vestiges de murs et dans le cas ouil y en auroit eu ils se trouveroient autant que nous pouvons en conjecturer par la teste des vestiges du mur latéral a droite en l'alignement des maisons sous l'encaissement du pavé et nous y avons seulement trouvé une tombe en plastre laditte entre ossements.
- Quant aux fouilles faites vers la ruelle faisant le fond dudit terrain d'après une rigolle qui a été formée antérieurement à nos opérations nous y avons trouvé les vestiges de murs, nous en avons fait découvrir partie des pavements, nous avons reconnu que les parties de mur existantes sont d'environ dix sept pouces de haut et de seize pouces d'épaisseur qu'elles se trouvent à moitié de la longueur seulement, que vers le milieu nous avons trouvé deux parties en chaisne hourdées de plastre qui sembleroient annoncer la fondation de deux pieds droits de porte

Tel est l'état dudit terrain suivant la visite par nous faite en vertu de vostre ordonnance du neuf du.....

Archives Nationales Z1J259
23 AVRIL 1771
visite et état de terrain
à Noisy le Grand à la requeste
des Sieurs Coqueret
Mrs Lelanne de Mezieres et
Taboureur experts

A Messire Jean François Dufour de Villeneuve chevalier Seigneur de Villeneuve Chelles et autres lieux conseiller du Roy en ses conseils Maistre de Requestes honoraire de son hotel lieutenant civil de

la ville prevost et vicomté de Paris.

L'an mil sept cent soixante et onze le mardy vingtroisiesme jour du mois d'avril du matin

nous Nicolas Lelanne de Mezieres et Pierre Taboureur architectes Experts Bourgeois des Bastiments à Paris en consequence de l'assignation à nous donnee le dix huit du present mois par exploit de Jean Vincent huissier à verge du Chastelet de Paris en vertu de vostre ordonnance sur référé, Messire, du neuf dudit present mois scellée le lendemain et signifiée le treize du mesme mois et à la requeste des Sieurs Coqueret frères, nous sommes avec Maistre Joseph Bouillero : greffier des Bastiments à Paris transportés de la ville de Paris notre demeure ordinaire au village de Noisy le Grand sur une place appelée des Mastraits, ledit village distant de ladite ville de Paris de quatre lieues ou estant arrivés sur les dix heures du matin nous avons fait lecture des pièces qui suivent

Scavoir

de l'original signé de vous, Messire, et scellé le dix du present mois par pourvoy de vostre ordonnance du neuf du mesme mois

Par laquelle après la comparution de Me Marge procureur audit Chastelet et des Sieurs Zacharie et Pierre Coqueret freres laboureurs a Noisy le Grand qui a dit qu'aux termes de votre ordonnance du 25 mars dernier il avoit fait assigner aux jour et heure de ladite ordonnance du neuf du present mois par devant vous par exploit du cinq du mesme mois ladite Vve Michel dame de Noisy Champs et autres lieux, les curé et marguillier de Noisy-le-Grand, Germain Jendrin et consorts intervenants pour voir dire qu'attendu que lesdits Sieurs Coqueret, jettant les fondements du bastiment qu'ils veulent faire sur ladite place des Mastraits, ont trouvé les anciennes fondations de murs qui autrefois environnoient cette place, fait qu'il est bien important de faire constater, il vous plut addresser commission rogatoire au juge de Champs ou autres à l'effet de se transporter sur ladite place et faire dresser procès verbal parties présentes ou deuement appelées des vestiges qui se trouvent des anciennes fondations de murs lors duquel proces verbal, les parties assistées si bon leur sembloit de leurs procureurs, pourroient faire tels dires, réquisitions et observations qu'elles aviseroient pour ledit proces verbal fait et rapporté servir et valloir ce que de raison apres aussy la comparution de Me Dulion procureur des curé et marguillier de Noisy le Grand qui a dit qu'il s'en rapportai à ce qui seroit par vous ordonné sur la visite requise avec observation que cestoit le cas de nommer des experts de Paris à l'effet de quoy il a requis lettres de ce qu'il nommoit nous Lelanne de Mezieres et attendu qu'il estoit six heures sonnées et que personne n'estoit comparu pour ladite Veuve Michel et pour les Sieurs Jendrin et consorts intervenants apres la réquisition dudit Maistre Marge procureur de luy adjuger ses conclusions en défaut contre les défaillants,

Vous avez Messire donné acte desdites comparutions et dires et défaut contre ladite Veuve Michel et lesdits Jendrin et consorts défaillants et apres avoir entendu ledit Maistre Dulion procureur des curé et marguillier de Noisy le Grand au principal vous avez renvoyé les parties à l'audience et cependant vous avez autorisé lesdits Sieurs Coqueret fréres à faire constater par nous Lelanne de Mezieres nommé tant par eux que par lesdits Sieurs curé et marguillier les lieux dont est question et vestiges si aucuns il y a des anciennes fondations à l'effet de quoy vous avez dit que dans trois jours les parties défaillantes seroient tenues de nommer un expert de leur part sinon que ladite visite seroit faite par nous Lelanne de Mezieres et par nous Taboureur que vous avez nommé d'office lors de laquelle visite les parties assistées de leurs procureurs pourroient faire tels dires réquisitions et observations qu'il appartiendroit.

De l'original de votre ordonnance, Messire, signée de vouset en datte du vingt cinq mars dernier estant ensuite d'une requeste à vous présentee par lesdits Sieurs Coqueret frères exposition qu'en mil six cent soixante huit ils avoient pris à rente de la fabrique de Noisy le Grand un terrain appelé Le Mastrait à l'effet d'y faire construire et qu'ils en avoient été empeschés par le procureur fiscal de ladite Veuvfe Michel Dame de Champs Noisy le Grand qui se prétendoit propriétaire de ce terrain en sa qualité de Dame de Noisy comme si ce terrain estoit une place publique, La fabrique de Noisy le Grand à laquelle ils avoient fait les dénonciations nécessaires estoit en cause et pour ecarter les prétentions

de la Veuvfe Michel avoit soutenu que ce terrain avoit esté autrefois un cimetiere et entouré de murs, La contestation estoit lors pendante par appel au présidial dudit Chastelet et les circonstances du tems empeschoient qu'elle ne fut jugée, toutefois lesdits Sieurs Coqueret qui avoient le plus grand interest d'accélérer leur bastiment dans lequel ils devoient se retirer en quittant leur ferme venoient de faire fouiller pour jetter les fondements et avoient trouvé les anciens vestiges des murs qui avoient entouré ce terrain, comme il estoit très important pour eux de faire constater ce fait ils avoient été conseillés de donner ladite requeste et ont conclu à ce qu'il vous plût, Messire, addresser commission rogatoire au juge de Champs premier juge des parties à l'effet de se transporter sur ladite place des Mastraits et faire dresser procès verbal les parties présentes ou deuement appelées des vestiges qui se trouvent des anciennes fondations de murs lors duquel proces verbal les parties assistées si bon leur sembloit de leurs procureurs pourroient faire tels dires, réquisitions et observations qu'elles aviseroient pour ledit procès verbal faict et rapporté servir et valloir ce que de raison, ladite requeste signée Marge,

Par laquelle ordonnance du 25 mars dernier vous avez, Messire, permis d'assigner au premier jour deux heures de relevée en votre hotel.

Ensuite de laquelle derniere ordonnance est l'original controllé à Paris le huict du présent mois par Imbert d'un exploit du cinq dudit présent mois fait par ledit Vincent huissier en vertu de ladite ordonnance et à la requeste desdits Sieurs Coqueret,

Par lequel exploit il a été donné assignation à Dame Anne Bernier Veufve de Messire Gabriel Michel secrétaire du Roy dame de Noisy Champs et autres lieux,

Aux Sœurs curé et marguillier de l'œuvre et fabrique de Noisy le Grand et aux Sieurs Germain Jendrin, Estienne Tellier, de Larangeais, Cardon, Fuisseau, Thiers, Pascal, Letin, Martinet, Gouillard, Lottin, Poupet, Mentienne et Choin, tous habitants de Noisy le Grand a comparoir le mardy neuf du present mois trois heures de relevée en vostre hostel et par devant vous Messire pour…….et procedder sur et aux fins desdites requeste et ordonnances et voir adjuger auxdits Sieurs Coqueret les conclusions prises par icelles et telles autres qu'il aviseroit prendre

de l'original controllé à Paris le quatorze du présent mois par Imbert d'un exploit du treize du mesme mois fait par ledit Vincent huissier à la requeste desdits Sieurs Coqueret

par lequel exploit il a été signifié et laissé copie à ladite Veufve Michel auxdits Sieurs Curé et marguillier de l'œuvre et fabrique de Noisy le Grand et auxdits Sieurs Germain Jendrin, Estienne Tellie, de Larangeais, Cardon, Ruisseau, Thiers, Pascal, Letin Martinet, Gouillard, Lottin, Poupet, Mancienne et Choin tous habitants de Noisy le Grand intervenant, de l'ordonnance de M. le Lieutenant Civil du neuf du présent mois de … nous avons cy dessus fait lecture à ce qu'ils n'en ignorassent et par le mesme exploit il a été fait sommation à ladite Veufve Michel et auxdits intervenants aux termes de ladite ordonnance de nommer dans trois jours un expert de leur part, de laquelle nomination ils signifieroient acte au domicile dudit Maistre Marge procureur avec déclaration qu'il seroit procédé et passé outre à ladite visite par nous architectes experts susnommés,

Et de l'original controllé à Paris le dix neuf du présent mois par Imbert d'un autre exploit cy-devant mentionné le dix huit du mesme mois fait par ledit Vincent huissier en vertu de votre ordonnance, Messire, du neuf du présent mois dont nous avons cy-dessus fait lecture et à la requeste desdits Sieurs Coqueret frères.

Par lequel il a été donné assignation à nous architectes experts susdits, à ladite Veufve Michel, auxditsSieurs Curé et marguillier de l'œuvre et fabrique de Noisy le Grand et auxdits Sieur Germain Jandrin, Estienne Tellier, de Larangeais, Cardon, Ruisseau, Thierret, Pascal, Letin, Martinet, Gouillard, Lottin, Poupet, Mantienne et Choin, tous habitants de Noisy le Grand intervenants à comparoir cejourd'hui huit heures du matin audit village de Noisy le Grand sur ladite place des Mastraits à l'effet par nous Lalanne de Mezieres expert nommé par lesdits Sieurs Coqueret freres et les Curé et marguillier de l'œuvre et fabrique de Noisy le Grand et par nous Taboureur expert nommé par les autres parties de constater le fait des lieux énoncés au procès verbal du référé susdatée et des vestiges si aucuns il y a des anciennes fondations et en procès verbal et par les parties estreprésentes si bon leur sembloient au procès verbal qui seroit dressé en conséquence par nosdits experts, visite et état

des lieux énoncés au procès verbal de référé susdatté et des vestiges si aucuns y a des anciennes fondations, avec déclaration qu'il y seroit procédé tant en absence qu'en présence, avec réserve par lesdits Sieurs Coqueret de faire et dire ce qu'ils aviseroient bon estre et de se faire assister par leur procureur si bon leur sembloit ainsy que la faculté en a été accordée aux parties par ledit référé.

Lesdites lectures faites en présence desdits Sieurs Coqueret assistés de Maistre Marge leur procureur du Sieur Curé dudit village de Noisy le Grand et de Maistre Dulion procureur dudit Sieur curé et du marguillier de la paroisse dudit Noisy le Grand et en l'absence des autres parties,

Lesdits Sieurs Coqueret assistés comme dessus dudit Maistre Marge leur procureur nous ont dit qu'ils nous requièrent de procéder en exécution de votre ordonnance, Messire, du neuf du présent mois et en conséquence de constater les lieux dont est question et vestiges des anciennes fondations de faire faire toutes les fouilles pour ce nécessaires et de rapporter ce que nous reconnaitrons dan lesdites fouilles et ont signé avec ledit Me Marge leur procureur.
(signatures : Marge Coqueret Coqueret)

Et par ledit Maistre Dulion procureur desdits sieurs curé et marguillier de ladite paroisse de Noisy le Grand a été dit qu'il n'empesche point qu'il soit procédé à la visite requise par lesdits Sieurs Coqueret qu'il soit mesme vérifié par nous tout ce qui peut servir à constater que la place des Mastraits dont est question estoit originairement un cimetière lequel estoit entouré de murs ainsy qu'il sera par nous reconnu par les différentes tombes et ossements qui doivent se trouver et par les vestiges d'anciens murs de cloture qui sont sur une partie dudit terrain le surplus ayant été anciennement fouillé, requérant pareillement de constater la croix estant sur ledit terrain et de faire faire au surplus toutes fouilles et tranchées nécessaires portant néanmoins audit nom que notre présente opération ne pourra estre de la part desdits Sieurs Coqueret tirée à conséquence pour en induire un droit actuel au-delà de la possession dans laquelle ils ont été maintenus qui puisse donner matière en aucun cas à un recou à raison du bastiment qu'ils annoncent se proposer de faire et ce au moyen de l'instance pendante sur le fond de la contestation qui doit régler sur le pétitoire faisant au surplus ledit Me Dulion pour toutes les parties toutes protestations et réserves de droit et a signé.
(signature : Dulion)

Et par lesdits Sieurs Coqueret assistés comme dessus a été dit qu'il paraissait illusoire de la part dudit Me Dulion audit nom en convenant d'une possession prononcée en faveur desdits Sieurs Coqueret de vouloir se soustraire à l'indemnité qui pourroit résulter contre lesdits Sieurs Curé et marguillier de l'éviction du terrain au fond mesme à raison des bastiments qu'ils entendoient faire sur ledit terrain vu que sans la faculté d'y bâtir leur possession leur deviendroit inutile pour quoy ils font toutes réserves et ont signé avec ledit Me Marge leur procureur.
(signatures : Coqueret Marge Coqueret)

Après quoy nous avons visité le terrain en question appelé le Mastrait et nous avons reconnu qu'il est situé par devant sur la grande rue du village de Noisy le Grand un chemin pavé qui conduit à Champs à droite il joint à l'héritage de la veufve Estienne Fouques, ensuitte à celuy de Mr de Laage et ensuitte aux héritiers Garin, à gauche il reigne le long de la rue de Beauvais conduisant par le Chemin des vaches au chemin pavé de Malnoue et par derrière il tient à une ruelle qui conduit aux champs et sépare ledit terrain d'avec un clos appelé le fief des Arches, ensuitte à Mr de Laage et ensuite à la Veufve Gennevrier nous avons reconnu qu'à l'angle dudit terrain et hors d'iceluy au droit de ladite grande rue et la rue de Beauvais est ensuite public, que dans ce terrain vers cet angle est une croix avec dé et marches le toit en pierres de taille, et que ledit terrain est actuellement vaguue sur lequel sont différents tas de pierres.

Nous avons ensuitte fait faire différentes fouilles le long des quatre costés dudit terrain par le moyen desquelles nous avons reconnu scavoir

- dans les trois fouilles faites le long du costé latéral à droite qu'il y avoit un mur de closture de quinze à seize pouces d'épaisseur construit en mortier de terre et dont il ne reste plus que la fondation en la hauteur d'un pied ou environ en observant toutes fois que la teste dudit mur aboutit à l'encaissement de la chaussée de la grande rue.

- dans les fouilles faites le long de la partie latérale à gauche nous n'avons reconnu aucuns vestiges de fondations de mur mais seulement deux tombes en platre et d'ailleurs différents ossements.

- par devant le long de la grande rue dans les fouilles que nous y avons fait faire nous n'y avons point trouvé de vestiges de murs et dans le cas où il y en aurait et ils se trouveroient autant que nous pouvons en conjecturer par la teste des vestiges du mur latéral à droite en l'alignement des maisons sous l'encaissement du pavé et nous y avons seulement trouvé une tombe en plastre laditte entre ossements.

- quant aux fouilles faites vers la ruelle faisant le fond dudit terrain d'après une rigolle qui a été formée antérieurement à nos opérations nous y avons trouvé des vestiges de murs, nous en avons fait découvrir partie des pavements, nous avons reconnu que les parties de mur existantes sont d'environ dix sept pouces de haut et de seize pouces d'épaisseur, qu'elles se trouvent à moitié de la longueur seulement, que vers le milieu nous avons trouvé deux parties en chaisne bourdées de plastre qui sembleroient annoncer la fondation de deux pieds droits de porte.

Tel est l'état dudit terrain suivant la visite par nous faite en vertu de vostre ordonnance du neuf du présent mois vous reservant d'en juger et ordonner observant que nostre visite a este faite en mesmes présence et absence que dessus excepté que pendant le cours d'ycelle sons comparus les parties du marguillier et plusieurs habitants et encore partie desdits intervenants et nommément de Larangeais Gouillard et Botin et aussy le procureur fiscal des justices de Champs et Noisy le Grand.
(signatures : Bouillerot Lelanne de Mezières Taboureur)

Controllé à Paris le 24 avril 1771 Langlois.

ANNEXE 2 : LE DÉTAIL DES ANALYSES 14C

CIRAM
Science For Art Cultural Héritage

DÉPARTEMENT
ARCHÉOLOGIE

Dossier 0922-AR-898V

Les Mastraits
Noisy-le-Grand
Seine-Saint-Denis (93)

DATATION RADIOCARBONE
DE PRÉLÈVEMENTS OSSEUX

sur demande de
M. Cyrille LE FORESTIER
Association Archéologie des nécropoles
18 allée des mésanges
Sevran 93270

Patrick Rossetti, ing. pour CIRAM

le 11 octobre 2022 à Martillac

CIRAM SAS au capital de 14.000 €
480 825 652 RCS Bordeaux - APE 7112B
SIRET 480 825 652 00047
N° TVA Intracommunautaire FR 56 480 825 652

Technopole Bordeaux Montesquieu
9 allée Jacques Latrille
33650 Martillac
France

Téléphone : +33 (0)5 57 34 34 80
Portable : +33 (0)6 66 63 80 99
E-mail : contact@ciram-art.com
Site Web : www.ciram-art.com

Ce document est protégé par le procédé CIRAM Track®

Avertissement – Liste des abréviations
L'âge conventionnel est exprimé en années avant 1950, « BP » signifiant before present.
Dans nos rapports nous n'utilisons pas les abréviations « av. J.-C. » et « apr. J.-C. » mais « BC » qui, en anglais, signifie before Christ *et « AD » qui, en latin, signifie* Anno Domini.

LISTE DES PRÉLÈVEMENTS

L'échantillonnage a été réalisé par le client. * *Informations fournies par le client*

Date de réception des échantillons	26 septembre 2022
Non-conformité éventuelle à la réception	AUCUNE

Code laboratoire	Structure*	Nature*	C/N
CIRAM-5106	MAS8281 - I.914	Os (humain)	3.2
CIRAM-5107	MAS8249 - I.905	Os (humain)	3.2
CIRAM-5108	MAS8066 - I.867	Os (humain)	3.2
CIRAM-5109	MAS8254 - I.907	Os (humain)	3.2
CIRAM-5110	MAS8262 - I.908	Os (humain)	3.2
CIRAM-5111	MAS8240 - I.902	Os (humain)	3.1
CIRAM-5112	MAS8090 - I.875	Os (humain)	3.2

***Tableau 1** : Référencement CIRAM, structure de provenance et nature des prélèvements.*

ANALYSE

Méthode d'analyse mise en œuvre	EA, IRMS, AMS (norme ASTM D6866-21)
Date de la réalisation de l'analyse EA – IRMS - Graphitisation	27 et 28 septembre 2022
Date de la réalisation de l'analyse AMS	3 octobre 2022
Effectuées par	SC / MG / ZE
Conditions ambiantes particulières	SO

CIRAM SAS au capital de 14.000 €
480 825 652 RCS Bordeaux - APE 7112B
SIRET 480 825 652 00047
N° TVA Intracommunautaire FR 56 480 825 652

Technopole Bordeaux Montesquieu
9 allée Jacques Latrille
33650 Martillac
France

Téléphone : +33 (0)5 57 34 34 80
Portable : +33 (0)6 66 63 80 99
E-mail : contact@ciram-art.com
Site Web : www.ciram-art.com

Ce document est protégé par le procédé CIRAM Track®

SYNTHÈSE DES RÉSULTATS

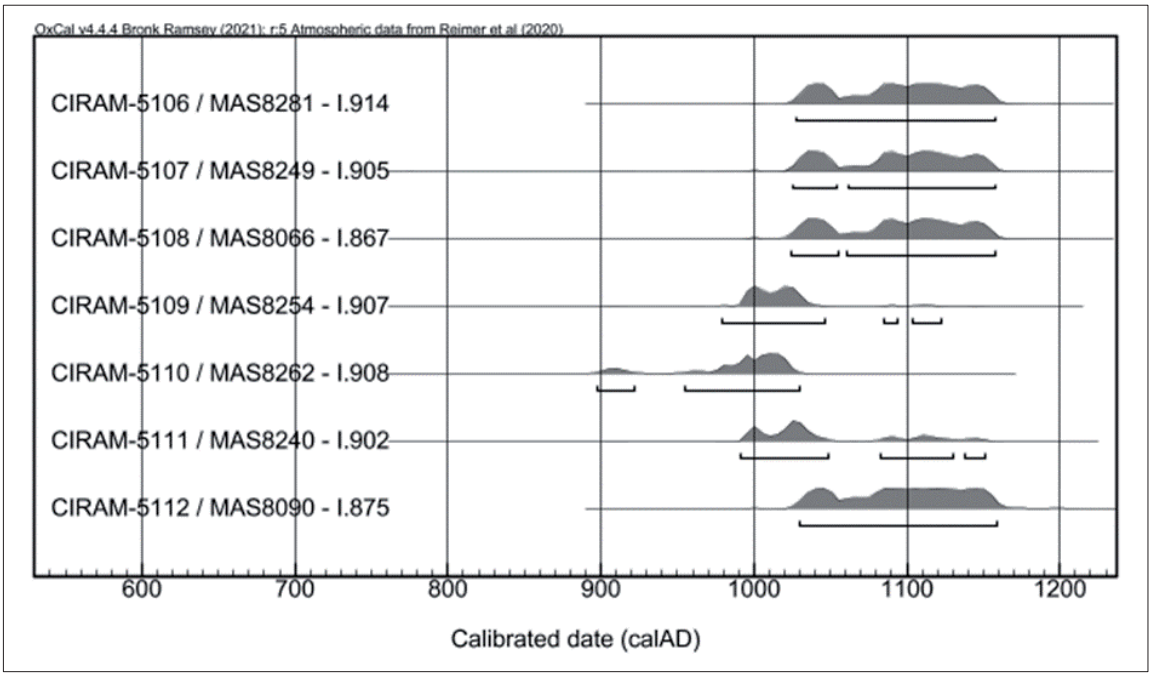

***Figure 1** : Représentation graphique de l'ensemble des distributions de probabilité des datations obtenues sur les structures datées de Les Mastraits, Noisy-le-Grand - Seine-Saint-Denis (93).*

Les résultats obtenus sont relativement homogènes et remontent au Moyen-âge central.
Les différents intervalles chronologiques se distribuent sur une période comprise entre la toute fin du X^e^ siècle et la première moitié du XII^e^ siècle.

CIRAM SAS au capital de 14.000 €
480 825 652 RCS Bordeaux - APE 7112B
SIRET 480 825 652 00047
N° TVA Intracommunautaire FR 56 480 825 652

Technopole Bordeaux Montesquieu
9 allée Jacques Latrille
33650 Martillac
France

Téléphone : +33 (0)5 57 34 34 80
Portable : +33 (0)6 66 63 80 99
E-mail : contact@ciram-art.com
Site Web : www.ciram-art.com

Ce document est protégé par le procédé CIRAM Track®

PRÉSENTATION DES RÉSULTATS

CIRAM-5106 – Ossements humains – MAS8281 - I.914

Fraction	Âge conventionnel BP	pMC corrigé	$\delta^{13}C$ (‰)	$\delta^{15}N$ (‰)
Collagène, résidus alcalins	959 ± 26	88.74 ± 0.29	-20.28	11.78

Dates calibrées à 2 σ : 1028 AD (95.4%) 1158 AD
(Probabilité de 95.4 %)

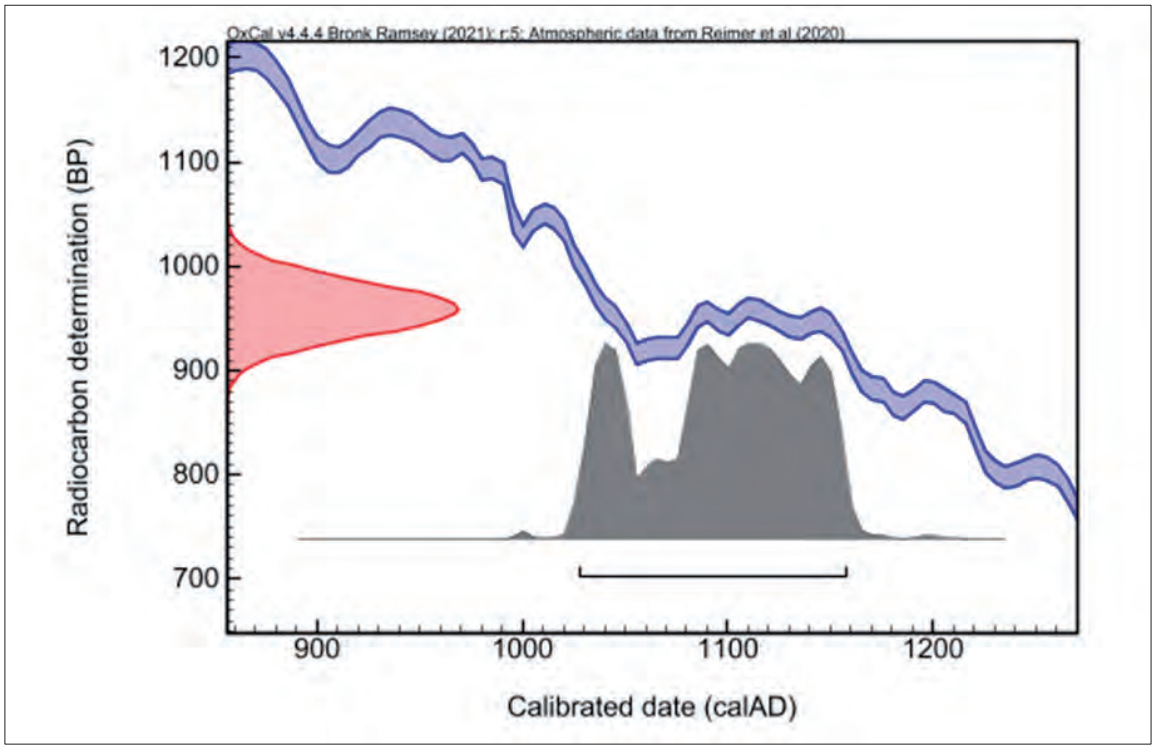

Ce document est protégé par le procédé CIRAM Track®

CIRAM-5107– Ossements humains – MAS8249 - I.905

Fraction	Âge conventionnel BP	pMC corrigé	$\delta^{13}C$ (‰)	$\delta^{15}N$ (‰)
Collagène, résidus alcalins	966 ± 26	88.67 ± 0.29	-20.31	12.59

Dates calibrées à 2 σ : 1024 AD (23.1%) 1054 AD
(Probabilité de 95.4 %) 1062 AD (72.3%) 1158 AD

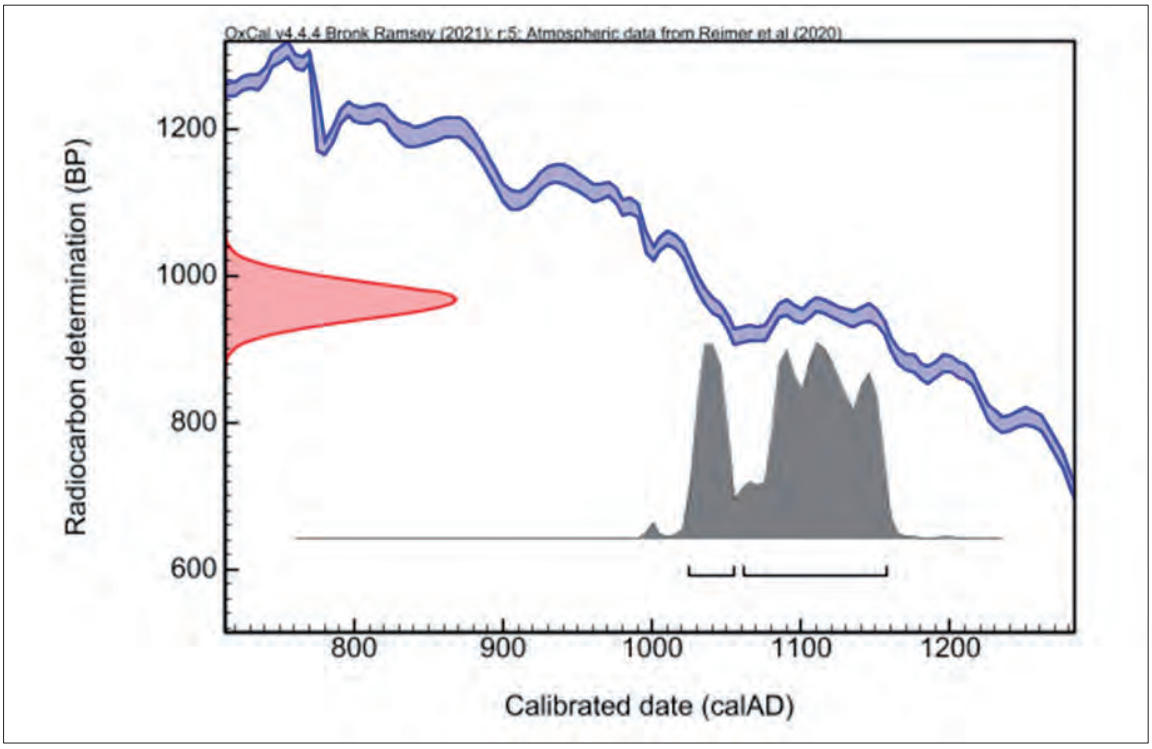

Ce document est protégé par le procédé CIRAM Track®

CIRAM-5108 – Ossements humains – MAS8066 - I.867

Fraction	Âge conventionnel BP	pMC corrigé	$\delta^{13}C$ (‰)	$\delta^{15}N$ (‰)
Collagène, résidus alcalins	966 ± 27	88.67 ± 0.29	-20.43	13.91

Dates calibrées à 2 σ : 1024 AD (23.1%) 1054 AD
(Probabilité de 95.4 %) 1060 AD (72.3%) 1158 AD

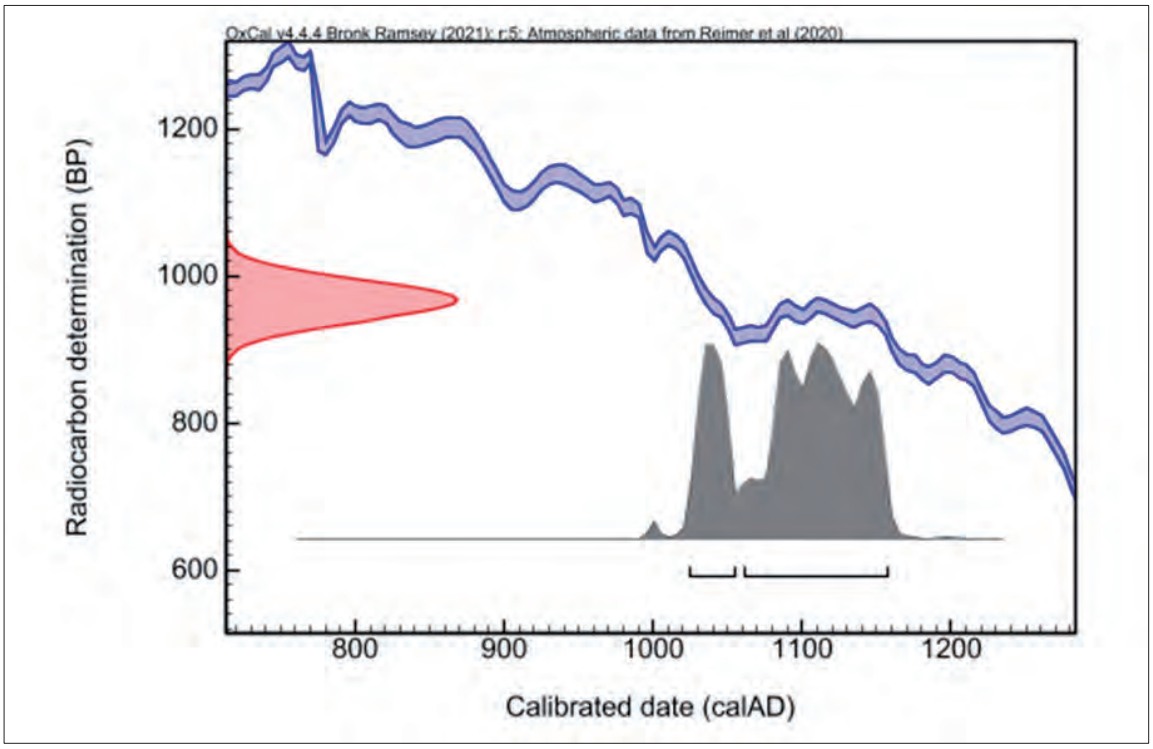

Ce document est protégé par le procédé CIRAM Track®

CIRAM-5109 – Ossements humains – MAS8254 - I.907

Fraction	Âge conventionnel BP	pMC corrigé	$\delta^{13}C$ (‰)	$\delta^{15}N$ (‰)
Collagène, résidus alcalins	1023 ± 26	88.04 ± 0.29	-19.85	10.48

Dates calibrées à 2 σ : 978 AD (91.4%) 1046 AD
(Probabilité de 95.4 %) 1084 AD (1.2%) 1094 AD
1104 AD (2.8%) 1122 AD

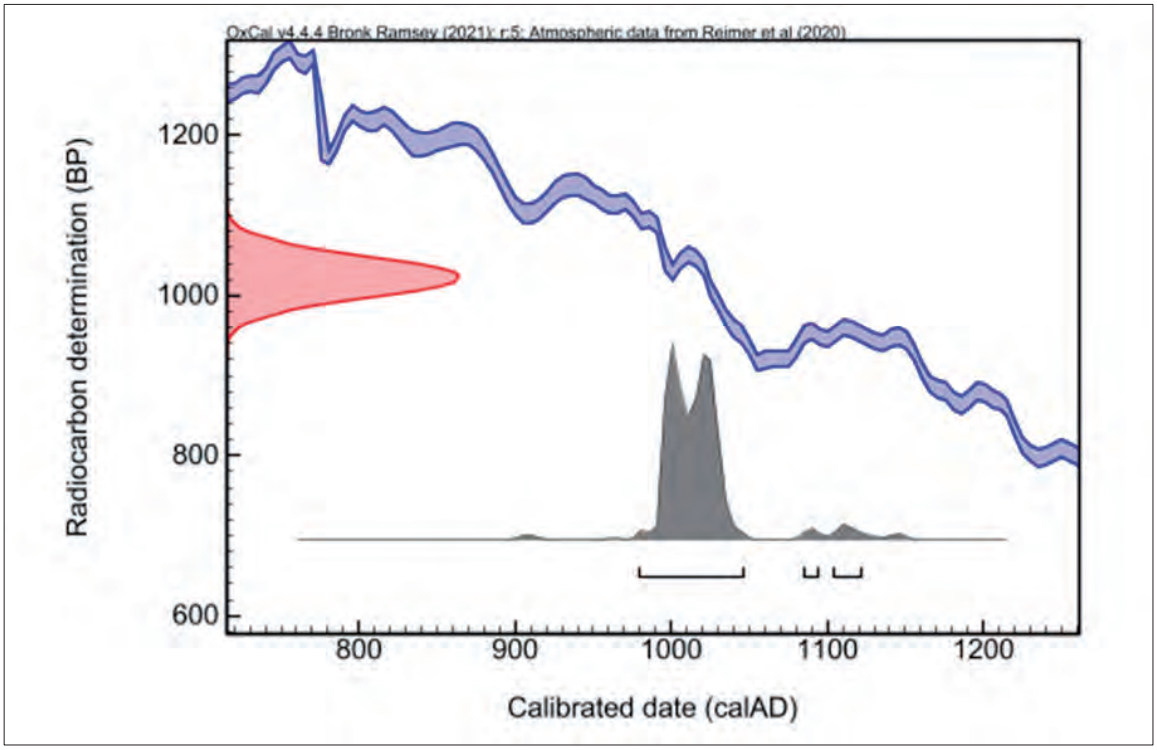

Ce document est protégé par le procédé CIRAM Track®

CIRAM-5110 – Ossements humains – MAS8262 - I.908

Fraction	Âge conventionnel BP	pMC corrigé	$\delta^{13}C$ (‰)	$\delta^{15}N$ (‰)
Collagène, résidus alcalins	1056 ± 26	87.68 ± 0.28	-20.2	9.54

Dates calibrées à 2 σ : 897 AD (11.0%) 921 AD
(Probabilité de 95.4 %) 954 AD (84.4%) 1030 AD

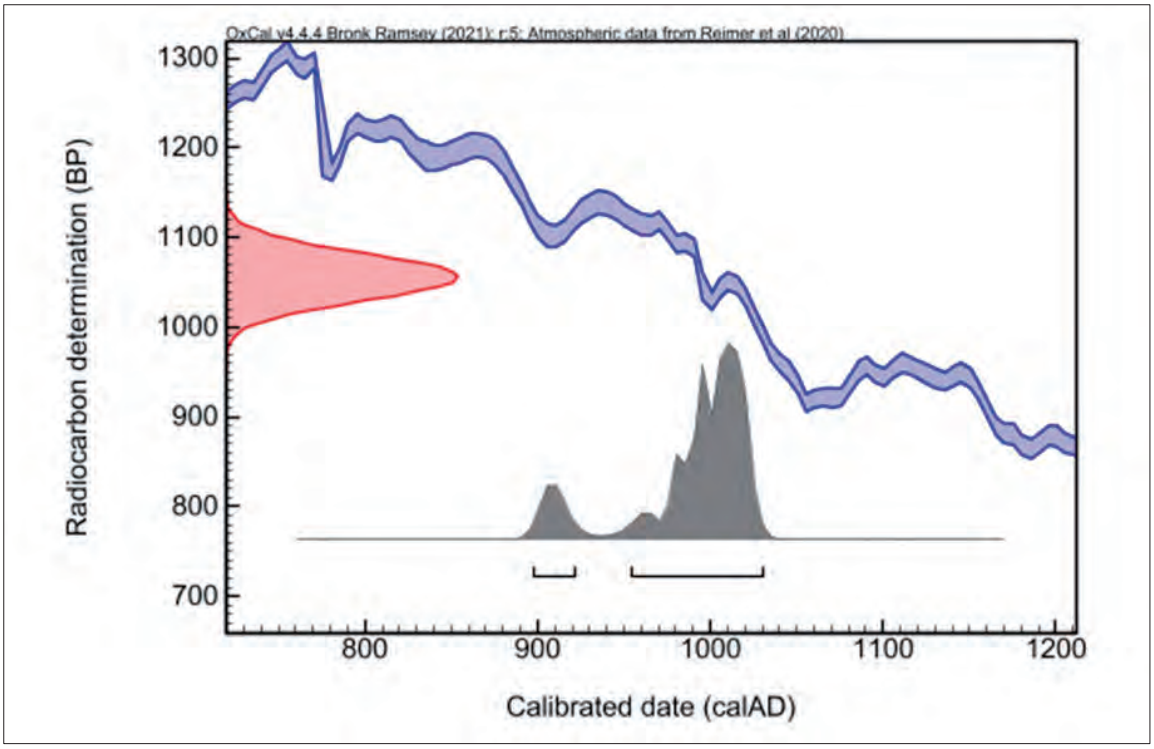

Ce document est protégé par le procédé CIRAM Track®

CIRAM-5111 – Ossements humains – MAS8240 - I.902

Fraction	Âge conventionnel BP	pMC corrigé	$\delta^{13}C$ (‰)	$\delta^{15}N$ (‰)
Collagène, résidus alcalins	1005 ± 26	88.24 ± 0.28	-20.28	11.83

Dates calibrées à 2 σ :
(Probabilité de 95.4 %)

991 AD (70.9%) 1048 AD
1082 AD (20.6%) 1130 AD
1138 AD (3.9%) 1150 AD

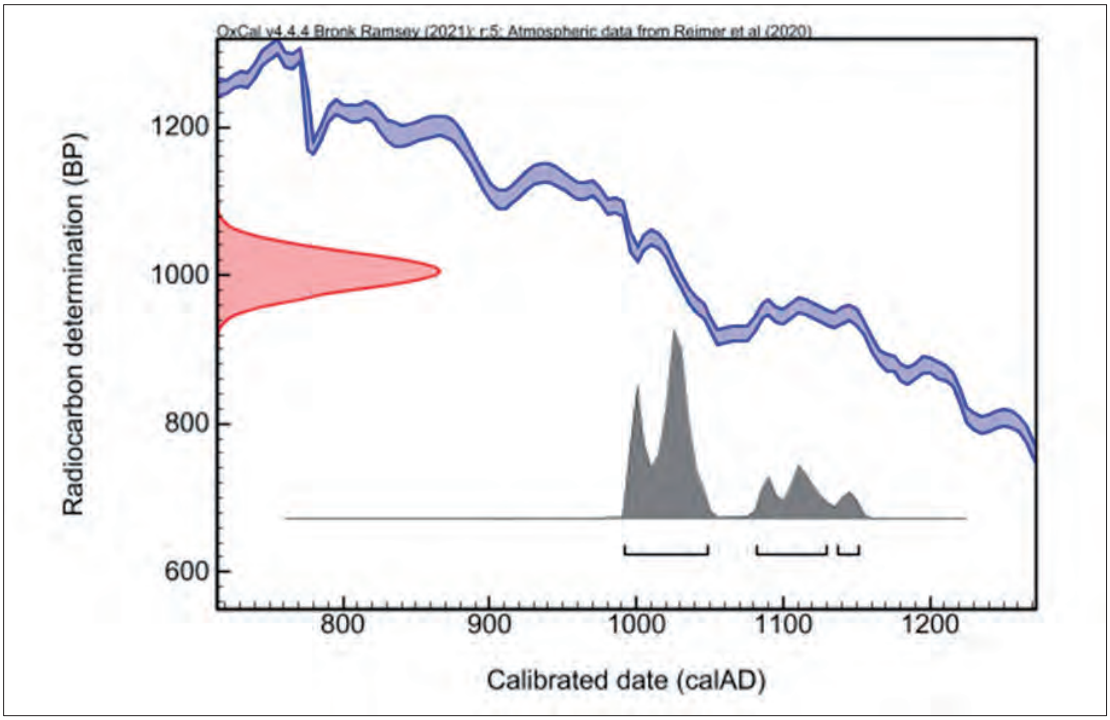

Ce document est protégé par le procédé CIRAM Track®

CIRAM-5112 – Ossements humains – MAS8090 - I.875

Fraction	Âge conventionnel BP	pMC corrigé	$\delta^{13}C$ (‰)	$\delta^{15}N$ (‰)
Collagène, résidus alcalins	953 ± 26	88.81 ± 0.29	-20.18	11.63

Dates calibrées à 2 σ : 1030 AD (95.4%) 1158 AD
(Probabilité de 95.4 %)

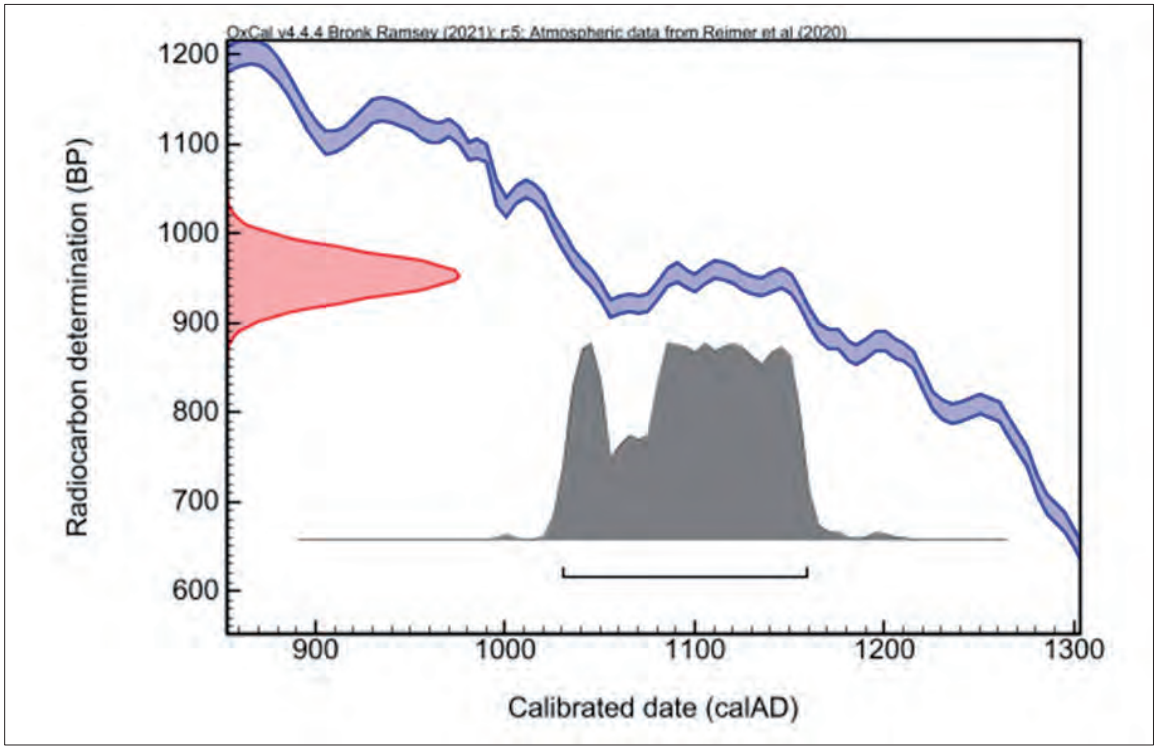

Ce document est protégé par le procédé CIRAM Track®

ANNEXE – MÉTHODOLOGIE MISE EN ŒUVRE POUR LA DATATION PAR CARBONE 14 – AMS

La datation au carbone 14 est basée sur la mesure de l'activité radiologique du carbone 14 contenu dans toute matière organique. Elle permet de déterminer l'intervalle de temps écoulé depuis la mort de l'organisme à dater (l'abattage de l'arbre par exemple).

Préparation des échantillons

L'échantillon est traité à l'acide chlorhydrique (HCl, 1 M) à froid pendant 24 h, afin d'éliminer toute contamination de surface et de détériorer partiellement la partie minérale de l'os rendant, ainsi l'extraction du collagène plus efficace. L'échantillon est ensuite lavé à l'eau déminéralisée sur un filtre en fibre de verre. Puis il est traité à l'hydroxyde de sodium (0,1 M) à température ambiante pendant 10 min, afin d'éliminer les acides humiques et fulviques résiduels. L'échantillon est une nouvelle fois traité à l'acide chlorhydrique à froid, pour éviter l'absorption du dioxyde de carbone atmosphérique, potentiellement induit par le traitement basique précédent. Enfin, l'échantillon est chauffé à 80 °C pendant 8 h dans une solution légèrement acidifiée, afin de gélatiniser le collagène.
Après ces traitements, l'échantillon subit une combustion à 920 °C et est transformé en gaz. Durant cette étape, une première vérification du rapport C/N est effectuée à l'aide d'un analyseur élémentaire (Elementar Vario ISOTOPE Select). Le dioxyde de carbone (CO_2) résiduel a été séparé des autres résidus de combustion à l'aide d'un piège à zéolite. Ce dioxyde de carbone est transformé en graphite à l'aide d'un système automatisé (AGE 3, Ion Plus) par catalyse, suivant la méthode décrite par Vogel *et al.* (1984, *Nuclear Instruments and Methods in Physics Research Section B: Beam Interactions with Materials and Atoms*, 5 (2), 289-293).

Mesure des teneurs en Carbone 14 résiduel et détermination de l'âge

Les différents isotopes de carbone ont été séparés par spectrométrie de masse, avec un accélérateur à 250 kV en Joint-Venture avec JSC Barnas (ISO 9001 et ISO 14001). Puis, la concentration en ^{14}C a été déterminée en comparant simultanément les mesures de ^{14}C, ^{13}C et ^{12}C avec celles contenues dans des produits de référence (acide oxalique, CO_2 standard, charbon). Le ratio $^{13}C/^{12}C$ (exprimé $\delta^{13}C$) et le ratio $^{15}N/^{14}N$ (exprimé $\delta^{15}N$) ont été mesurés séparément sur spectromètre de masse dédié à la mesure des rapports isotopiques stables, avec une erreur inférieure à 0,1 ‰ (IRMS, Elementar Isoprime precisION). Les compositions isotopiques mesurées sont normalisées par une droite de calibration construite à partir de la mesure des standards de référence suivants : la caféine IAEA-600 ($\delta^{13}C$ = -27,771±0,043 ‰ V-PDB, $\delta^{15}N$ = +1,0±0,02 ‰ Air, *Coplen et al., 2006,* Analytical Chemistry, *78(7), 2439-2441*), le glucose BCR-657 ($\delta^{13}C$ = -10,76±0,04 ‰ V-PDB, *European Comission certificate EUR 20064 EN*) et le sulfate d'ammonium IAEA-N-2 ($\delta^{15}N$ = +20,41±0,12 ‰ Air, *Gonfiantini, 1978,* Nature*, 271(5645), 534-536 ; Bohlke et al., 1993,* Geostandards Newsletter, *17(1), 159-164*).
L'âge ^{14}C conventionnel a été calculé selon la méthode décrite par Stuiver et Polach (*Radiocarbon,* 19 (3), 1977, 355-363). Il prend en compte la correction du fractionnement isotopique ($\delta^{13}C$), basée sur la comparaison des rapports de concentration $^{13}C/^{12}C$ et $^{14}C/^{12}C$. Ce facteur permet de contrôler les effets d'éventuelles pollutions et d'évaluer la fiabilité de la mesure : il s'agit d'un bon indicateur de la « qualité » de l'échantillon. L'incertitude de mesure associée au résultat (σ) regroupe les incertitudes statistiques de comptage du ^{14}C résiduel, la variabilité des mesures et les effets de la soustraction du « blanc ».
Enfin, les intervalles de dates calendaires sont calculés en utilisant la calibration suivante :
OxCal v4.4 (Bronk Ramsey, 2009, *Radiocarbon, 51*(1), 337-360; Bronk Ramsey and Lee, 2013, Radiocarbon, 55(2-3), 720-730; Bronk Ramsey, 2017, *Radiocarbon, 59*(2), 1809-1833).
IntCal 20, Calibration pour l'hémisphère nord (Reimer et al., 2020, Radiocarbon, 62(4), 725-757 ; Heaton et al., 2020, Radiocarbon, 62(4), 821-863).

Procédure de calibration

La mesure effectuée est exprimée de deux différentes manières : *part of Modern Carbon* (ou pMC) et âge conventionnel. L'âge conventionnel est exprimé en années avant 1950 (BP signifiant *before present* ou avant 1950), qui est l'année de référence. L'âge est exprimé à un écart-type. Les intervalles de datation reflètent une distribution à deux sigmas, c'est à dire 95,4 % de l'ensemble des solutions. L'événement daté peut se retrouver dans n'importe quel intervalle, sans tenir compte de la distribution de probabilité, donnée à titre indicatif.
La courbe rouge est une transcription des résultats de mesure des isotopes du carbone (l'âge conventionnel). Cette valeur a besoin d'être corrigée avant de fournir la moindre information chronologique, en raison de l'hétérogénéité de la concentration en ^{14}C dans l'atmosphère à travers le temps. C'est pourquoi la mesure (en rouge), exprimée sous la forme d'une gaussienne, est interpolée avec la courbe

de calibration bleue, dans le but de corriger l'âge conventionnel. On obtient alors une distribution *a posteriori* des résultats (en gris), divisée en un ou plusieurs intervalles. Chacun d'entre eux représente une partie de la distribution à deux sigmas.
En l'absence d'informations historiques, textuelles ou autre, il n'est pas possible de privilégier un intervalle. En dépit des pourcentages de probabilité, aucun intervalle ne peut être écarté.

NOTE

Les résultats présentés ne s'appliquent qu'aux matériaux analysés. La reproduction de ce rapport d'essai n'est autorisée que sous sa forme intégrale. Le rapport ne doit pas être reproduit partiellement sans l'approbation du laboratoire d'essai. Tous les éléments de traçabilité, ainsi que les incertitudes de mesure, sont disponibles sur demande. Pour les résultats issus d'une sous-traitance, les rapports émis par des laboratoires accrédités sont disponibles sur demande.

Dr Olivier Bobin
Directeur scientifique

CIRAM SAS au capital de 14.000 €
480 825 652 RCS Bordeaux - APE 7112B
SIRET 480 825 652 00047
N° TVA Intracommunautaire FR 56 480 825 652

Technopole Bordeaux Montesquieu
9 allée Jacques Latrille
33650 Martillac
France

Téléphone : +33 (0)5 57 34 34 80
Portable : +33 (0)6 66 63 80 99
E-mail : contact@ciram-art.com
Site Web : www.ciram-art.com

Ce document est protégé par le procédé CIRAM Track®

Centre de
Datation par le
Radiocarbone

http://carbon14.univ-lyon1.fr

40 boulevard Niels Bohr
69622 Villeurbanne Cedex

T 04 72 44 82 57
F 04 72 43 13 17
UMR 5138

M. LE FORESTIER Cyrille
18 ALLEE DES MESANGES

93270 SEVRAN

Résultat d'analyse par le Radiocarbone

MESURE PAR ACCELERATEUR

Identification de l'échantillon :

47585
Nom du site : LES MASTRAITS
Commune / Pays : NOISY LE GRAND /
Niveau / Couche : I.811.1
Nature de l'échantillon : OS

Observations
sur le traitement
effectué au laboratoire : R.A.S

Résultat de l'analyse :

Code laboratoire attribué : Lyon-17546(SacA-60567)

Activité 14C par rapport
au standard international : 86,73 % ± 0,25

Rapport isotopique
13C / 12C (‰) : valeur non disponible

Age 14C BP : 1145 ± 30

Age calibré : de 776 à 975 ap. J.-C.

Observations sur ce résultat :
Rendement en collagène: 112,4 mg/g.

Sous la co-tutelle
cnrs Lyon 1

https://c14.arch.ox.ac.uk/oxc

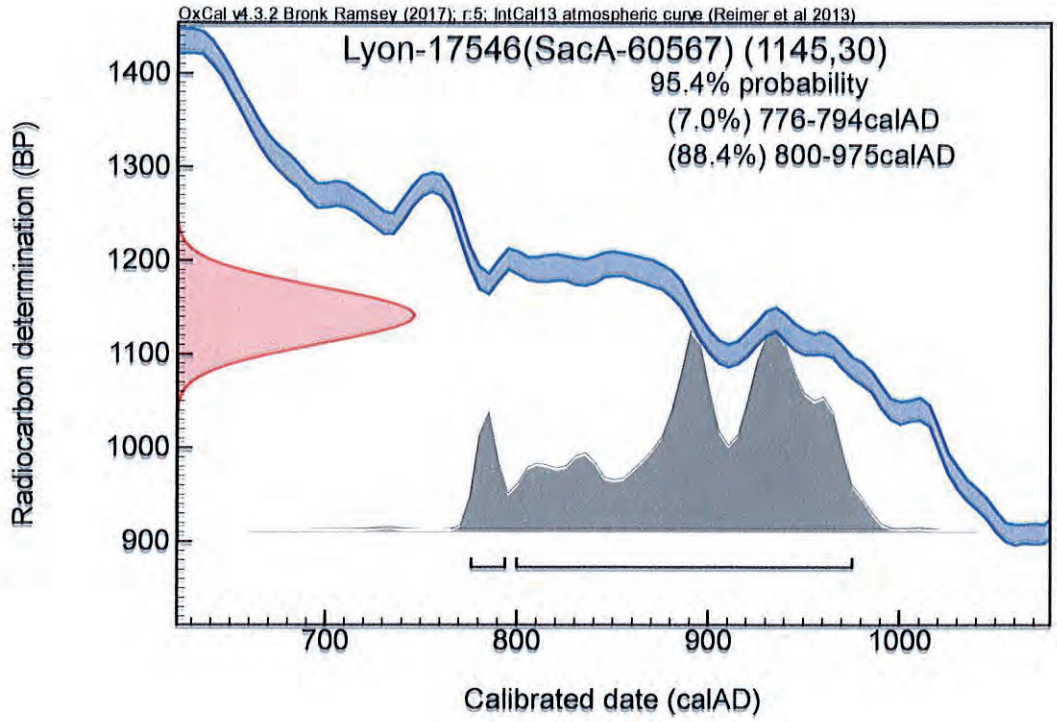

Centre de
Datation par le
Radiocarbone

http://carbon14.univ-lyon1.fr

40 boulevard Niels Bohr
69622 Villeurbanne Cedex

T. 04 72 44 82 57
F. 04 72 43 13 17
UMR 5138

M. LE FORESTIER Cyrille
18 ALLEE DES MESANGES

93270 SEVRAN

Résultat d'analyse par le Radiocarbone

MESURE PAR ACCELERATEUR

Identification de l'échantillon :

47586

Nom du site : LES MASTRAITS

Commune / Pays : NOISY LE GRAND /

Niveau / Couche : I.811.2

Nature de l'échantillon : OS

Observations
sur le traitement
effectué au laboratoire : R.A.S

Résultat de l'analyse :

Code laboratoire attribué : Lyon-17547(SacA-60568)

Activité 14C par rapport
au standard international : 85,37 % ± 0,27

Rapport isotopique
13C / 12C (‰) : valeur non disponible

Age 14C BP : 1270 ± 30

Age calibré : de 663 à 859 ap. J.-C.

Dates autour desquelles se situent les maximum de probabilités :
de 663 à 778 après J.-C.

Observations sur ce résultat :
Rendement en collagène: 94,1 mg/g.

Sous la co-tutelle

cnrs Lyon 1

https://c14.arch.ox.ac.uk/ox

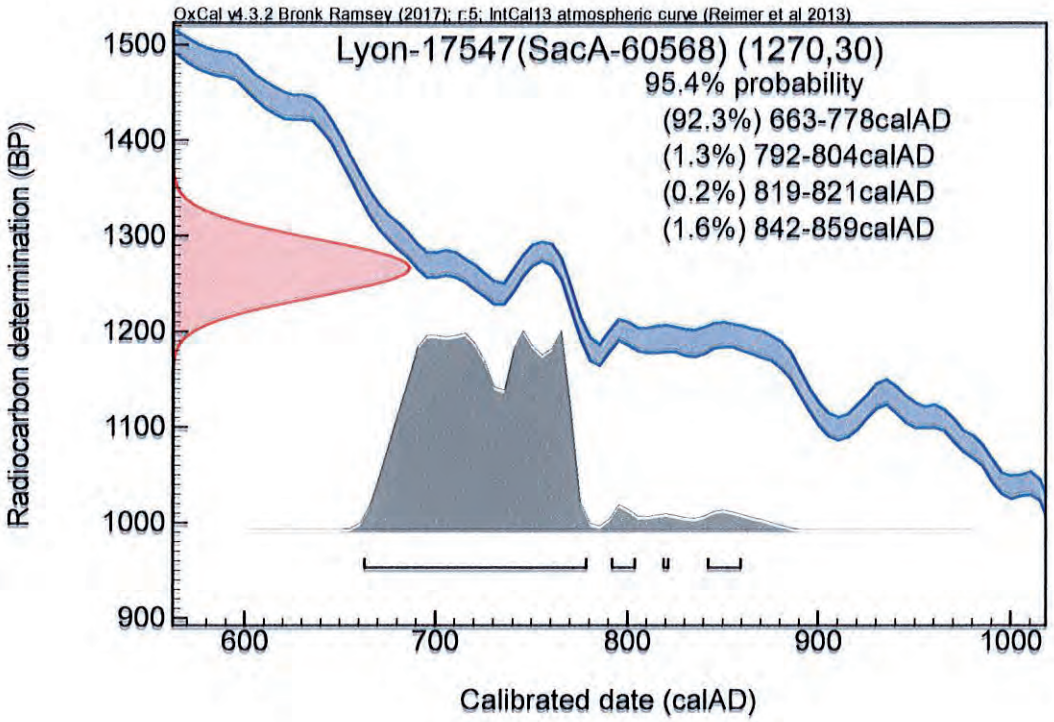

Centre de
Datation par le
Radiocarbone

http://carbon14.univ-lyon1.fr

40 boulevard Niels Bohr
69622 Villeurbanne Cedex

T. 04 72 44 82 57
F. 04 72 43 13 17
UMR 5138

M. LE FORESTIER Cyrille
18 ALLEE DES MESANGES

93270 SEVRAN

Résultat d'analyse par le Radiocarbone

MESURE PAR ACCELERATEUR

Identification de l'échantillon :

47587
Nom du site : LES MASTRAITS
Commune / Pays : NOISY LE GRAND /
Niveau / Couche : I.831.1
Nature de l'échantillon : OS

Observations
sur le traitement
effectué au laboratoire : R.A.S

Résultat de l'analyse :

Code laboratoire attribué : Lyon-17548(SacA-60569)

Activité 14C par rapport
au standard international : 86,68 % ± 0,26

Rapport isotopique
13C / 12C (‰) : valeur non disponible

Age 14C BP : 1150 ± 30

Age calibré : de 776 à 971 ap. J.-C.

Observations sur ce résultat :
Rendement en collagène: 84,2 mg/g.

Sous la co-tutelle

https://c14.arch.ox.ac.uk/oxc

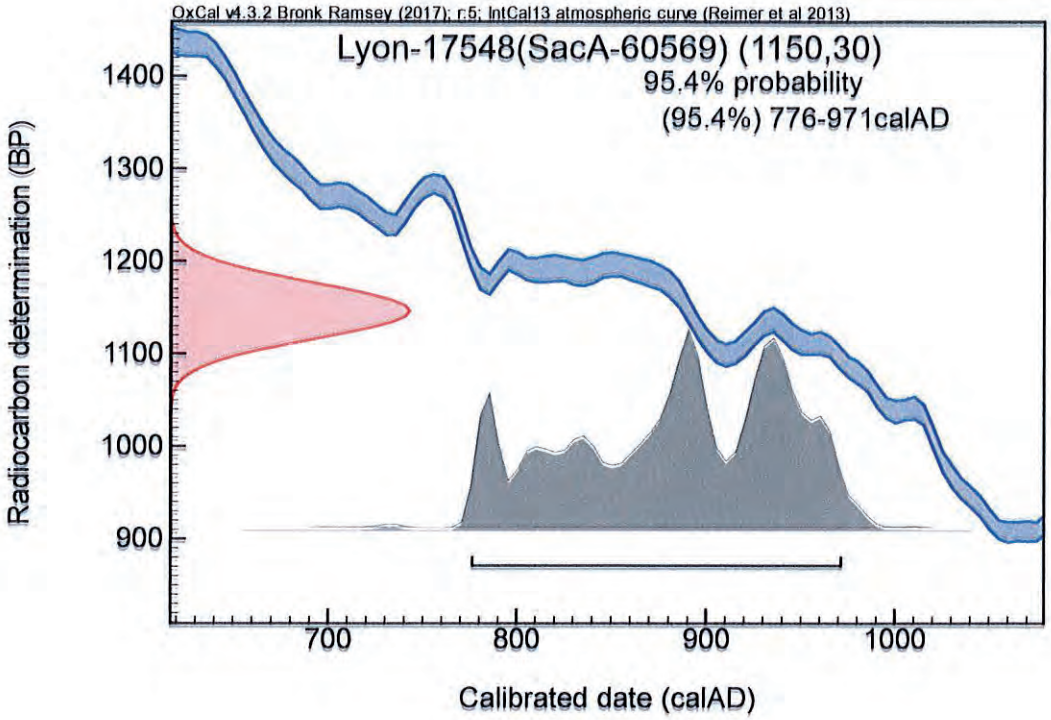

Centre de
Datation par le
Radiocarbone

http://carbon14.univ-lyon1.fr

40 boulevard Niels Bohr
69622 Villeurbanne Cedex

T. 04 72 44 82 57
F. 04 72 43 13 17
UMR 5138

M. LE FORESTIER Cyrille
18 ALLEE DES MESANGES

93270 SEVRAN

Résultat d'analyse par le Radiocarbone

MESURE PAR ACCELERATEUR

Identification de l'échantillon :

47588

Nom du site : LES MASTRAITS

Commune / Pays : NOISY LE GRAND /

Niveau / Couche : I.833.1

Nature de l'échantillon : OS

Observations
sur le traitement
effectué au laboratoire : R.A.S

Résultat de l'analyse :

Code laboratoire attribué : Lyon-17549(SacA-60570)

Activité 14C par rapport
au standard international : 86,71 % ± 0,24

Rapport isotopique
13C / 12C (‰) : valeur non disponible

Age 14C BP : 1145 ± 30

Age calibré : de 776 à 975 ap. J.-C.

Observations sur ce résultat :
Rendement en collagène: 91,6 mg/g.

Sous la co-tutelle
cnrs Lyon 1

https://c14.arch.ox.ac.uk/ox

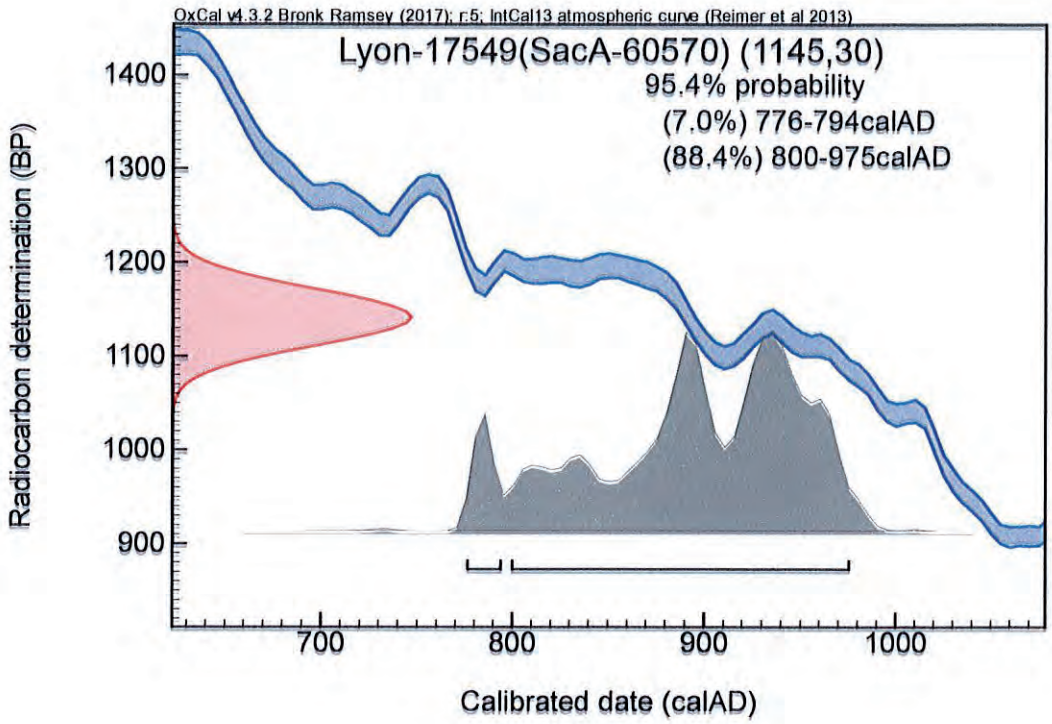

Centre de
Datation par le
Radiocarbone

http://carbon14.univ-lyon1.fr

40 boulevard Niels Bohr
69622 Villeurbanne Cedex

T. 04 72 44 82 57
F. 04 72 43 13 17
UMR 5138

M. LE FORESTIER Cyrille
18 ALLEE DES MESANGES

93270 SEVRAN

Résultat d'analyse par le Radiocarbone

MESURE PAR ACCELERATEUR

Identification de l'échantillon :

47589
Nom du site : LES MASTRAITS
Commune / Pays : NOISY LE GRAND /
Niveau / Couche : I.850.1
Nature de l'échantillon : OS

Observations
sur le traitement
effectué au laboratoire : R.A.S

Résultat de l'analyse :

Code laboratoire attribué : Lyon-17550(SacA-60571)

Activité 14C par rapport
au standard international : 88,64 % ± 0,24

Rapport isotopique
13C / 12C (‰) : valeur non disponible

Age 14C BP : 970 ± 30

Age calibré : de 1016 à 1155 ap. J.-C.

Observations sur ce résultat :
Rendement en collagène: 91,4 mg/g.

Sous la co-tutelle
cnrs Lyon 1

https://c14.arch.ox.ac.uk/ox

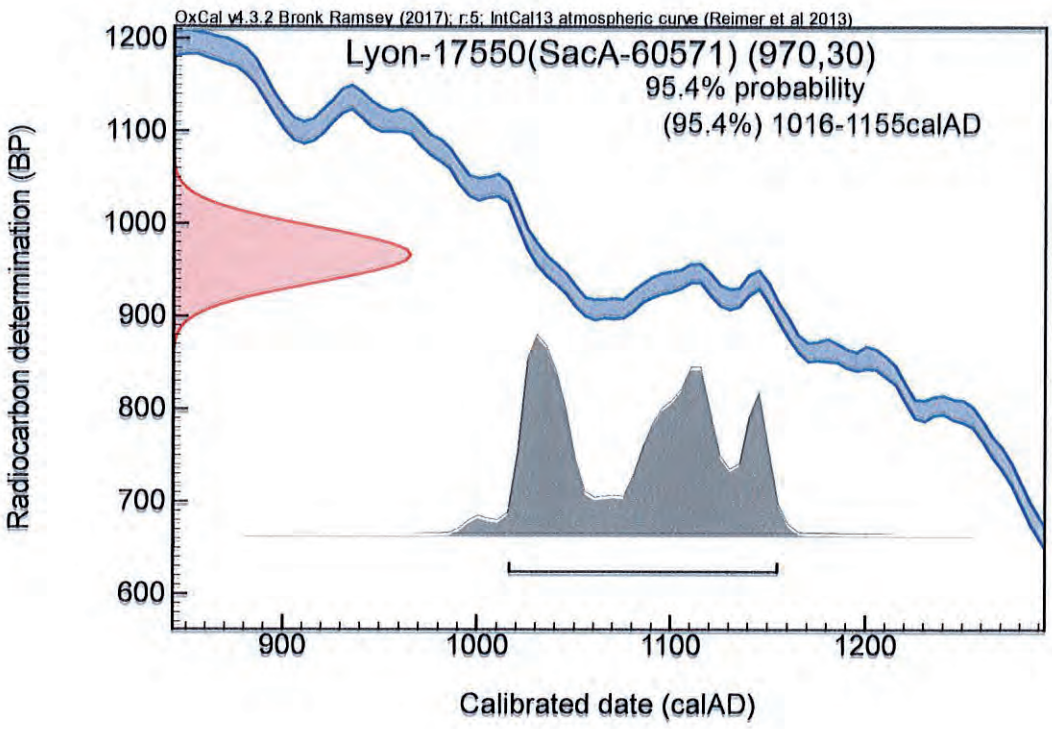

LE CATALOGUE

Le catalogue des sépultures est un bon exemple de l'utilisation de La Nécropole Numérique pour la création de documents de synthèse pour le rapport final d'opération.

L'utilisation d'une interface unique réunissant les données attributaires et spatiales du site, permet de générer le catalogue des sépultures, grâce à la fonction « Atlas » des outils de mise en page de QGIS.

Cet outil permet de multiplier une mise en page modèle selon une entité de la base données avec ou sans dimension spatiale (appelée "couche de couverture") afin de collecter et de restituer les données des champs sélectionnés, précédemment saisies dans les différentes tables de la base de données relationnelle.

Les vues cartographiques se recentrent automatiquement sur le sujet courant de la couche de couverture et les champs ou symboles ajoutés à la mise en page qui dépendent de la saisie dans la base de données sont également mis à jour selon l'entité courante.

Faute de temps, quelques profils sont absent. Ils seront présentés dans le rapport final une fois la totalité des sépultures fouillées.

Les textes et les photos des lésions osseuses ont été réalisés par M. Kérien de l'association Archéologie des nécropoles

1ère face

localisation de la sépulture

orientation, position du corps, des avant-bras, sexe et âge

photographie de la sépulture

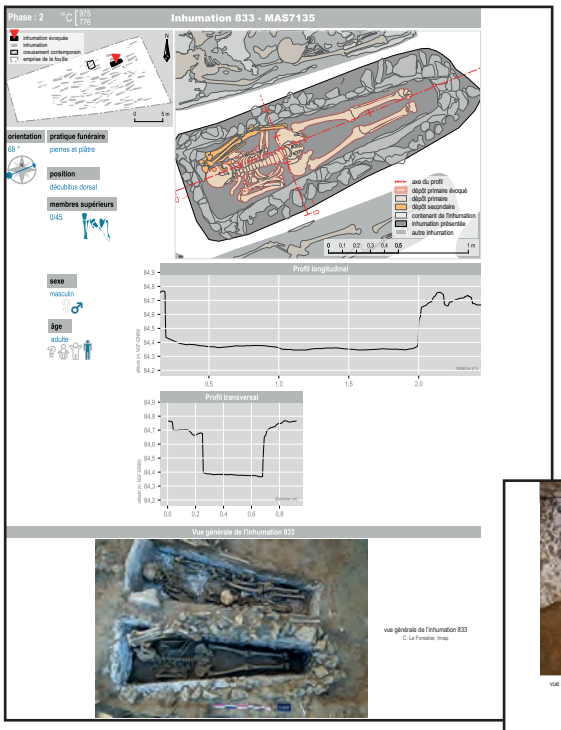

relevé de la sépulture et localisation des axes

profil longitudinaux et transversaux

2ème et 3ème faces

photographie(s) complémentaires de la sépulture, des pathologies, etc.

Phase : 2

Inhumation 810 - MAS7073

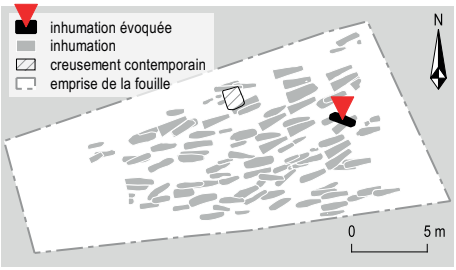

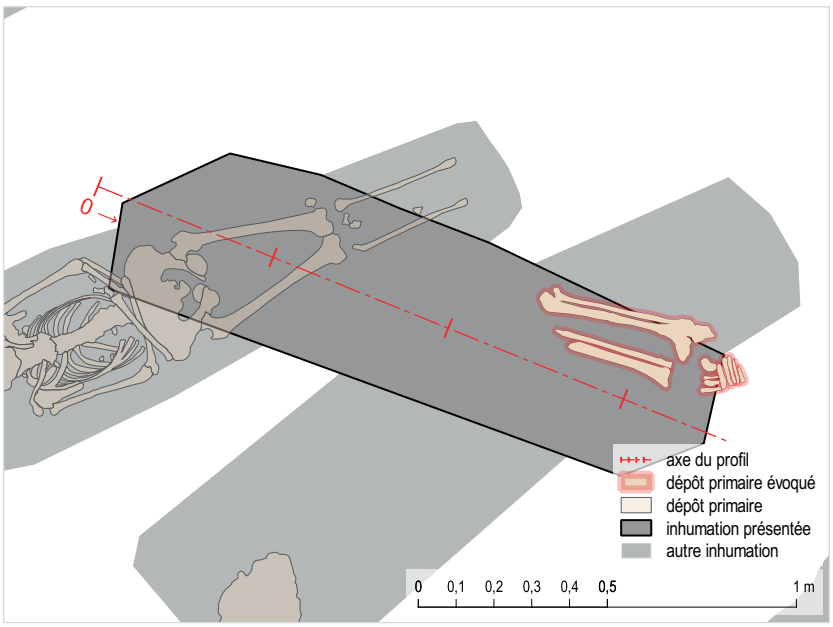

orientation

112 °

pratique funéraire

NULL

position

décubitus dorsal

membres supérieurs

indéterminé

sexe

indéterminé

âge

adulte

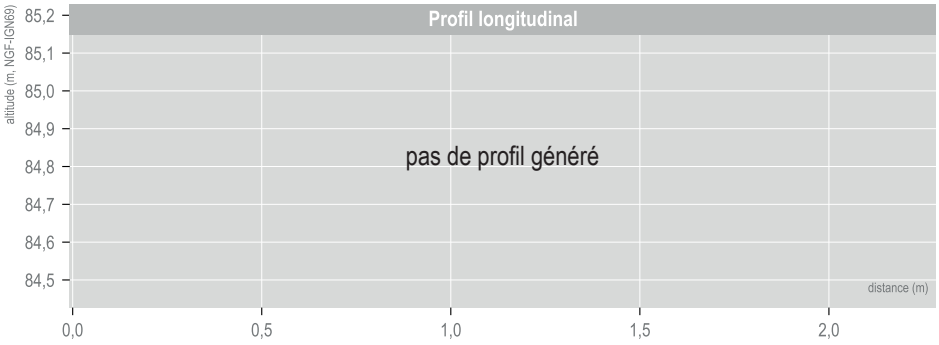

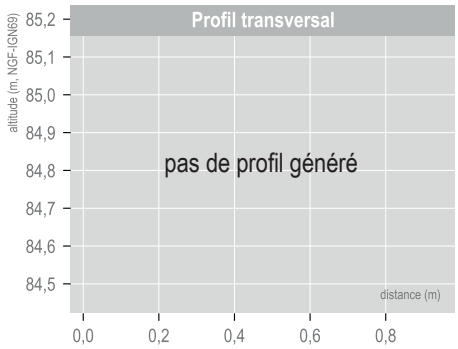

Vue générale de l'inhumation 810

vue générale de l'inhumation 810 (os des jambes)
C. Le Forestier, Inrap

Description de l'inhumation

Le sujet inhumé a été déposé dans une fosse aux limites peu lisibles, orientée sud-est - nord-ouest, dont le comblement et la majeure partie des vestiges osseux ont été recoupés par la sépulture 818. Il ne subsiste que les os des jambes et des pieds de l'individu, pieds au sud-est. Le sujet reposait vraisemblablement en décubitus dorsal, les membres inférieurs alignés, parallèles, convergeant au niveau des métatarses.
Les connexions tibio-fibulaires sont maintenues bilatéralement; la connexion calca-tibio-fibulaire droite est lâche, le calcaneum ayant subi une rotation latérale; les palettes métatarsiennes sont quasi intactes mais les os tarsiens sont dispersés.
Il existe trop peu d'éléments observables pour déterminer avec certitude le mode d'inhumation. La position des pieds suggère néanmoins une contrainte liée à la présence d'un linceul.
Le squelette est celui d'un adulte, de sexe indéterminé.

Phase : 2 ^{14}C [975 776]

Inhumation 811 - MAS7008

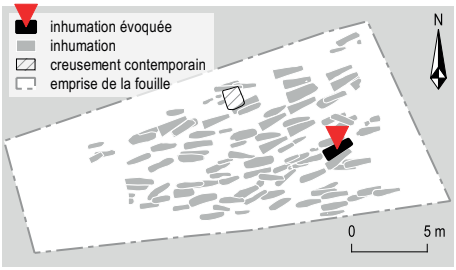

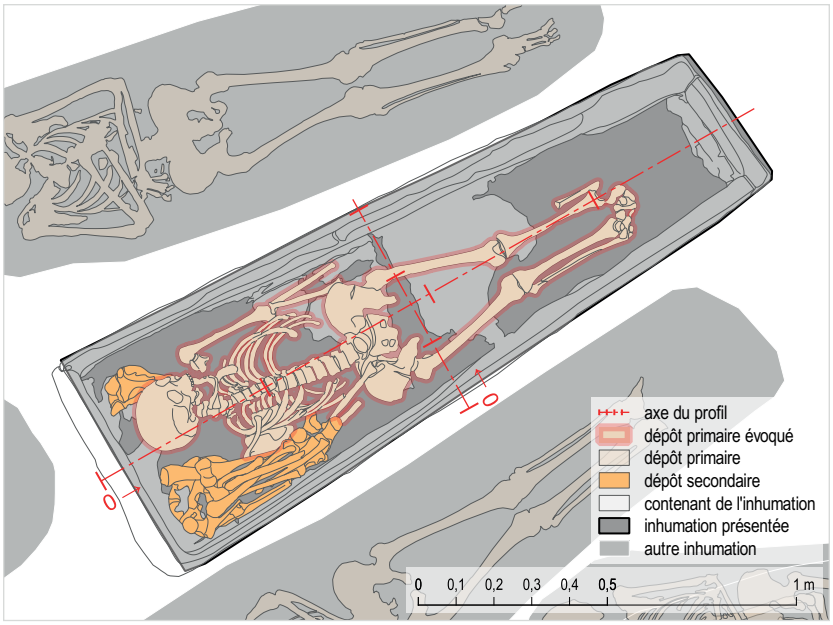

orientation

60 °

pratique funéraire

sarcophage

position

décubitus dorsal

membres supérieurs

180/180

sexe

indéterminé

âge

adulte

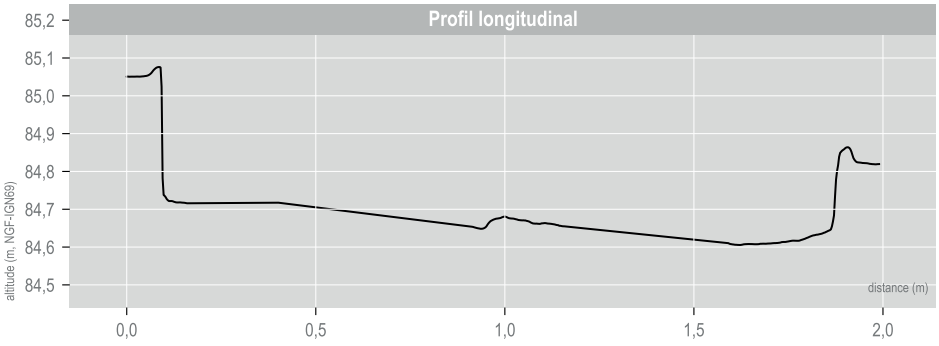

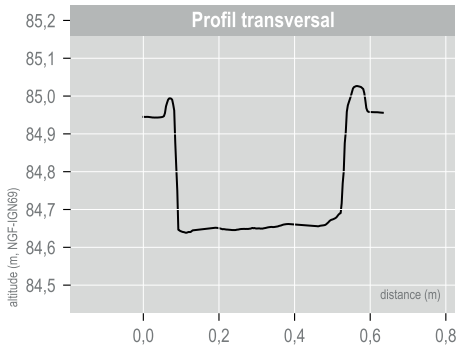

Vue générale de l'inhumation 811

vue générale de l'inhumation 811
C. Le Forestier, Inrap

Description de l'inhumation

Le sujet a été déposé dans une cuve en plâtre, orientée est-ouest, de forme trapézoïdale. Il repose en décubitus dorsal, tête à l'ouest, les bras le long du corps, les membres inférieurs alignés, parallèles, les os des pieds regroupés en fagot. Un amas osseux mas7009 se situe dans l'angle sud-ouest de la cuve et deux coxaux ont été placés dans l'angle nord-ouest. Le Nombre Minimum d'Individus s'élève à 2; à l'exception d'un humérus droit surnuméraire, les ossements correspondent à la réduction d'un seul individu adulte, de sexe indéterminé.

Le calvarium apparaît en vue antéro-latérale droite. Il s'est affaissé latéralement, restant en connexion avec les premières cervicales. La mandibule apparaît, elle, en vue supérieure et a chuté caudalement. Le rachis vertébral, notamment cervical et lombaire, est segmenté, les volumes thoracique et pelvien ne sont pas conservés. Le manubrium a chuté caudalement dans l'hémi-thorax gauche et le sternum latéralement dans l'hémi-thorax droit. Les connexions de la ceinture huméro-scapulaire sont maintenues. La clavicule droite est à l'oblique, les humérus en vue antérieure. Les os de l'avant-bras droit ont migré latéralement, le radius gauche latéralement; l'ulna gauche reste en connexion. La ceinture sacro-pelvienne n'est plus préservée, le sacrum a migré caudalement et les coxaux sont ouverts. Les fémurs en vue antérieure ont conservé la connexion coxo-fémorale et tibio-fibulo-fémorale, à droite. Les connexions aux chevilles et aux pieds sont rompues.

Les nombreuses migrations observées sur l'ensemble du squelette, la rotation du crâne, l'ouverture des coxaux permettent de proposer une décomposition en espace vide.

Le squelette est celui d'un adulte, de sexe indéterminé.

Photographies de détails

vue depuis l'est de l'inhumation 811
C. Le Forestier, Inrap

vue de la réduction 7009
C. Le Forestier, Inrap

Phase : 2 ^{14}C [859 663]

Inhumation 812 - MAS7012

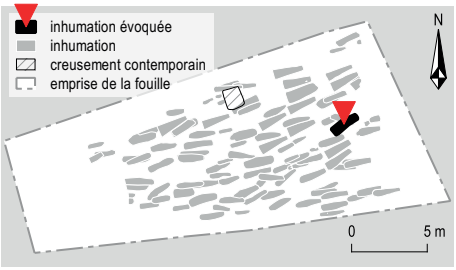

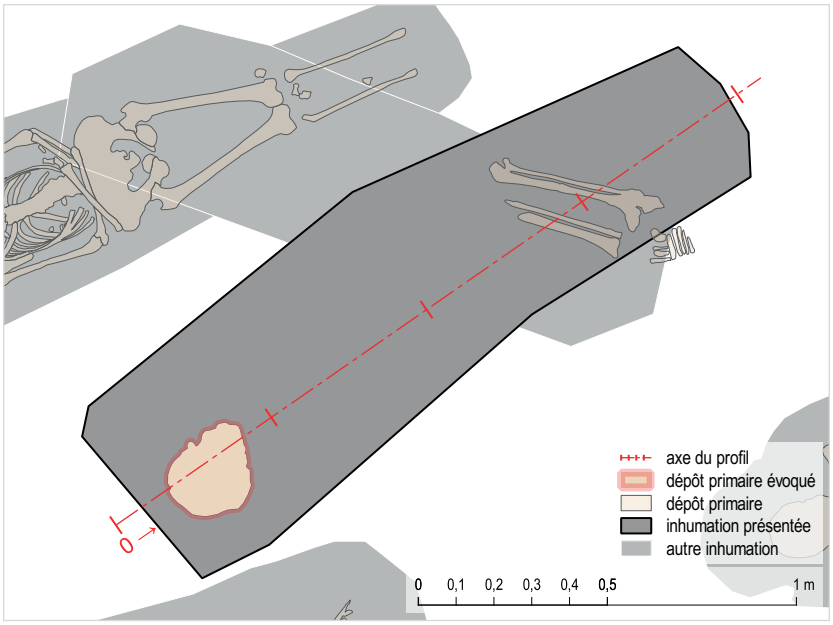

orientation

55 °

pratique funéraire

sarcophage

position

décubitus dorsal

membres supérieurs

indéterminé

sexe

indéterminé

âge

adulte

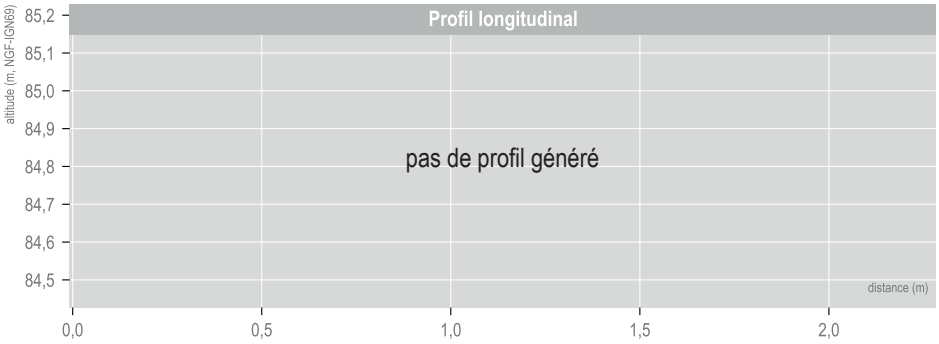

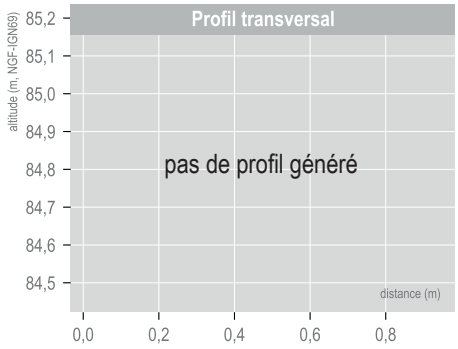

Vue générale de l'inhumation 812

vue générale de l'inhumation 812 (tête osseuse)
C. Le Forestier, Inrap

Description de l'inhumation

Le sujet a été déposé dans une cuve de plâtre, orientée est-ouest, dont le comblement et le squelette de l'individu inhumé ont été percutés lors du creusement de la sépulture 810. Il ne subsiste que le calvarium, à l'ouest, qui apparaît en vue antéro-supérieure gauche, en connexion lâche avec la mandibule.
Les éléments observables sont trop peu nombreux pour déterminer le mode de décomposition de la sépulture.
Le squelette est celui d'un adulte, de sexe indéterminé.

Photographie de détails

vue rapprochée de l'inhumation 812
C. Le Forestier, Inrap

Phase : 1

Inhumation 813 - MAS7015

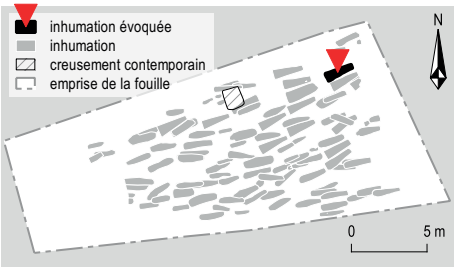

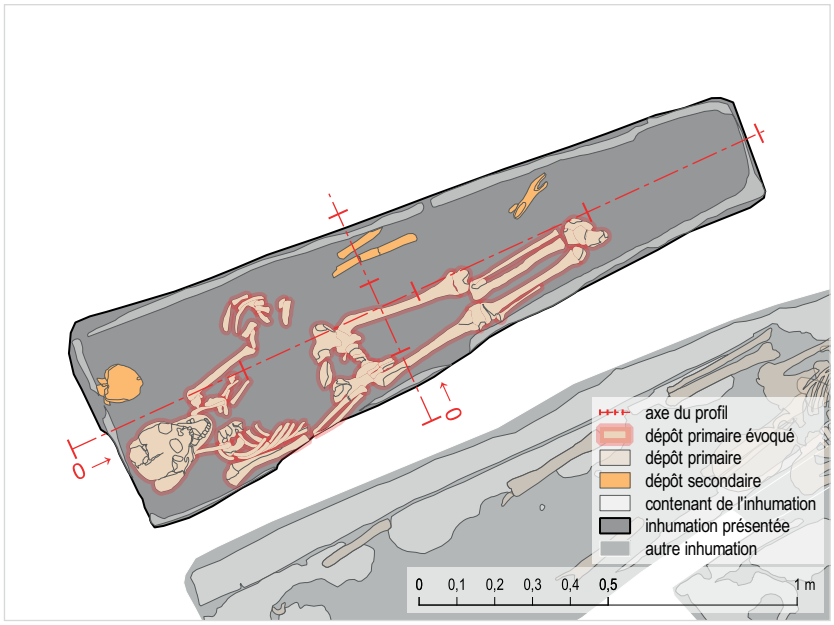

orientation

65 °

pratique funéraire

position

décubitus dorsal

membres supérieurs

135/1

sexe

trop jeune pour détermination

âge

10 à 14 ans

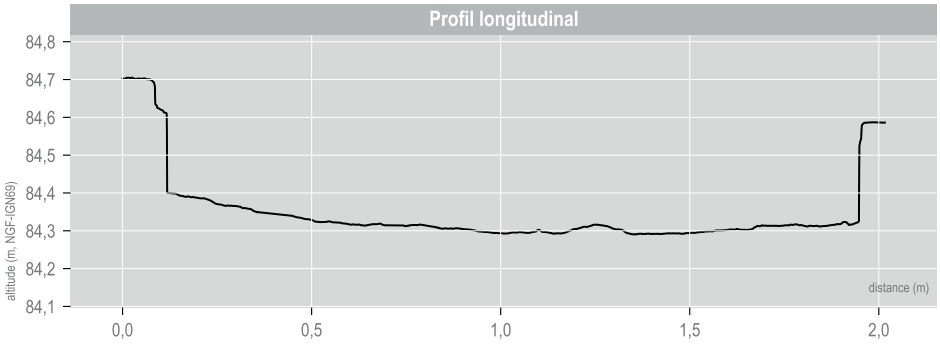

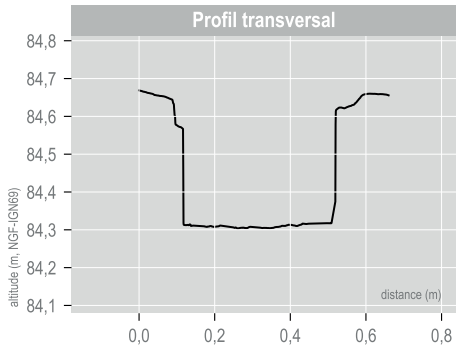

Vue générale de l'inhumation 813

vue générale de l'inhumation 813
C. Le Forestier, Inrap

Description de l'inhumation

Le sujet inhumé a été déposé dans une cuve de plâtre, orientée est-ouest. Il repose en décubitus dorsal, la tête à l'ouest, l'avant-bras droit fléchi à 135°, les membres inférieurs alignés, parallèles, joints aux chevilles et aux pieds, en fagot. Une forte perturbation semble avoir affecté tout le rachis vertébral, l'hémi-thorax et l'avant-bras gauche. Les os mas7028, dispersés au fond de la cuve le long de la paroi nord (Nombre Minimum d'Individu = 1), pourraient correspondre à la réduction d'un individu antérieurement inhumé dans la cuve.
Le calvarium apparaît en vue antérieure; la mandibule, en vue supérieure a chuté vers l'avant. Les volumes corporels ne sont pas conservés, le gril costal droit est à plat, les coxaux sont ouverts. Les clavicules, déconnectées, sont verticalisées. La ceinture huméro-scapulaire est maintenue bilatéralement, les humérus en vue antérieure. Les connexions au coude droit sont rompues, l'ulna et le radius migrant caudalement mais dans le prolongement de l'humérus. Les connexions au poignet sont rompues mais des métacarpes et des phalanges proximales restent en logique anatomique, sur les coxaux. Les os du membres inférieur droit restent en connexion quasi stricte et en vue antérieure; à gauche, le fémur a subi une rotation latérale, le tibia et la fibula migrant médialement. Les connexions aux pieds sont rompues.
L'absence de migration en dehors du volume corporel, le maintien des connexions pour le squelette appendiculaire droit et notamment de connexions labiles comme celles de la main droite, par opposition au squelette appendiculaire gauche fortement perturbé, plaident en faveur d'un colmatage rapide. Les nombreuses migrations observées, vers l'intérieur du volume corporel, supposent néanmoins des espaces vides secondaires, à l'intérieur d'un espace contraint par la présence d'une enveloppe souple; la position des os des pieds, restés groupés, celle de la mandibule et la compression aux épaules argumentent cette hypothèse.
Le squelette est celui d'un immature, dont l'âge au décès se situe entre 10 et 14 ans (IM4).
Il présente des appositions périostées très marquées sur les pariétaux et sur la diaphyse tibiale droite en vue antérieure. D'autre part, on peut observer une fusion des épiphyses distales du tibia et de la fibula droites (face postérieure du tibia et face médiale de la fibula).

Photographies de détails

vue depuis l'est de l'inhumation 813
C. Le Forestier, Inrap

vue de l'élément de surélévation dans l'angle sud-est de l'inhumation 813
C. Le Forestier, Inrap

vue de l'élément de surélévation dans l'angle nord-ouest de l'inhumation 813
C. Le Forestier, Inrap

vue de l'élément de surélévation dans l'angle sud-ouest de l'inhumation 813
C. Le Forestier, Inrap

vue de l'élément de surélévation dans l'angle nord-est de l'inhumation 813
C. Le Forestier, Inrap

Pathologies

I. 813 : fusion des épiphyses distales du tibia et de la fibula droites

I. 813 : fusion des épiphyses distales du tibia et de la fibula droites

Phase : 1

Inhumation 814 - MAS7019

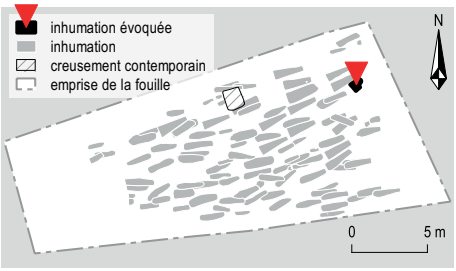

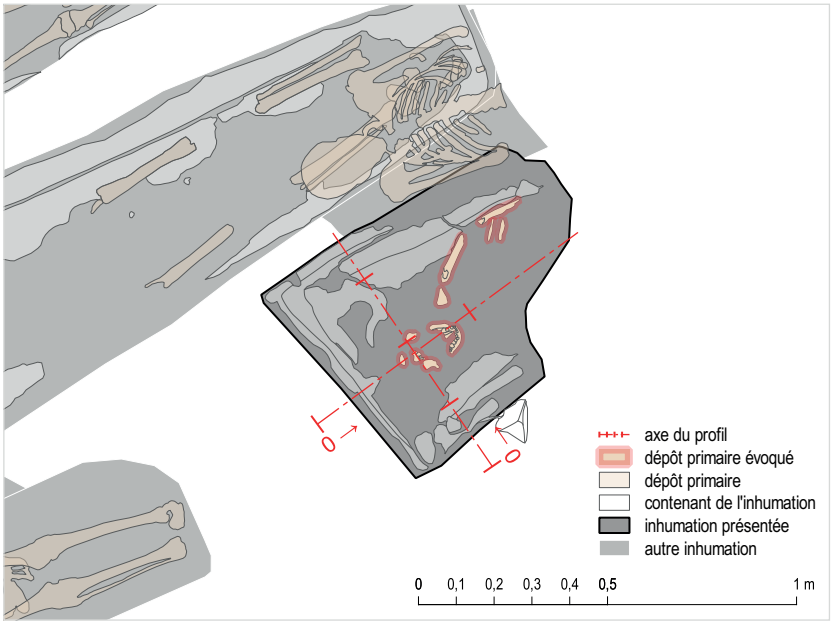

orientation

54 °

pratique funéraire

sarcophage

position

indéterminé

membres supérieurs

indéterminé

sexe

indéterminé

âge

adulte

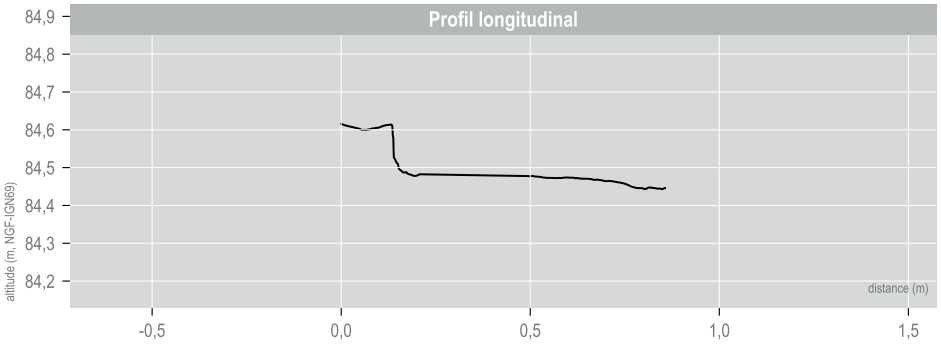

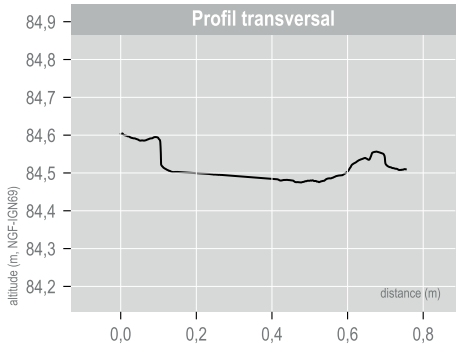

Vue générale de l'inhumation 814

vue générale de l'inhumation 814
C. Le Forestier, Inrap

Description de l'inhumation

La sépulture est très mal conservée, en limite de l'emprise de fouille. Le sujet a été déposé dans une cuve de plâtre, orientée est-ouest, dont il ne reste que la partie supérieure.
Les vestiges osseux de l'individu inhumé sont constitués de la mandibule, en position supérieure et d'un fragment de maxillaire en vue antérieure; à gauche de ceux-ci, deux os longs déconnectés. Ils ne permettent pas de déterminer le mode de décomposition ayant prévalu pour le sujet inhumé.
Le squelette est celui d'un adulte, de sexe indéterminé.

Photographies de détails

vue rapprochée de l'inhumation 814
C. Le Forestier, Inrap

vue de l'élément de surélévation dans l'angle nord-ouest de l'inhumation 814
C. Le Forestier, Inrap

Phase : 3

Inhumation 815 - MAS7023

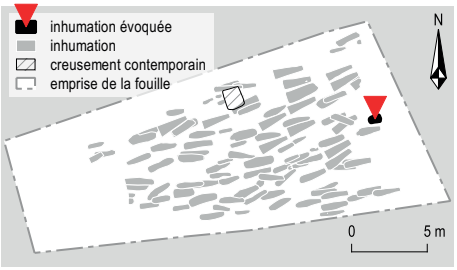

orientation

63 °

pratique funéraire

sans contenant

position

décubitus dorsal

membres supérieurs

indéterminé

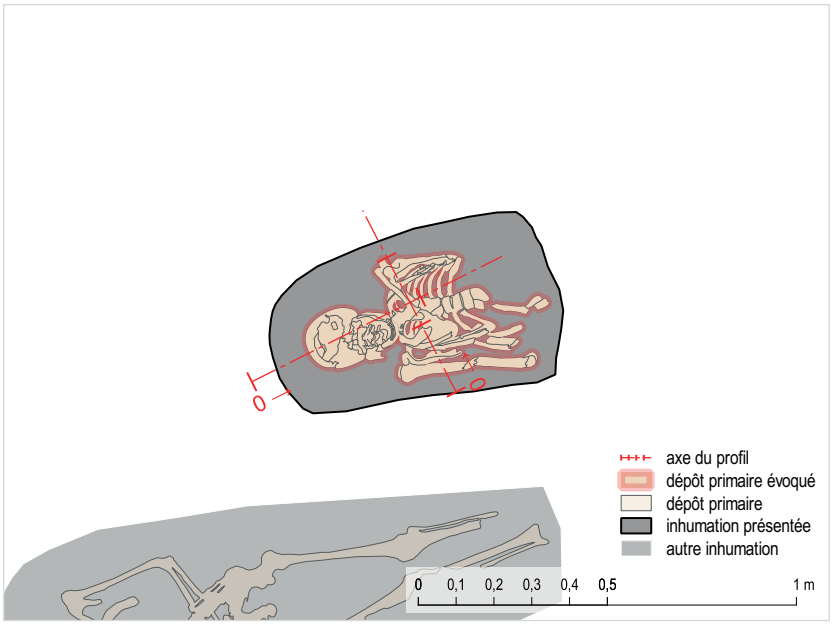

sexe

indéterminé

âge

adulte

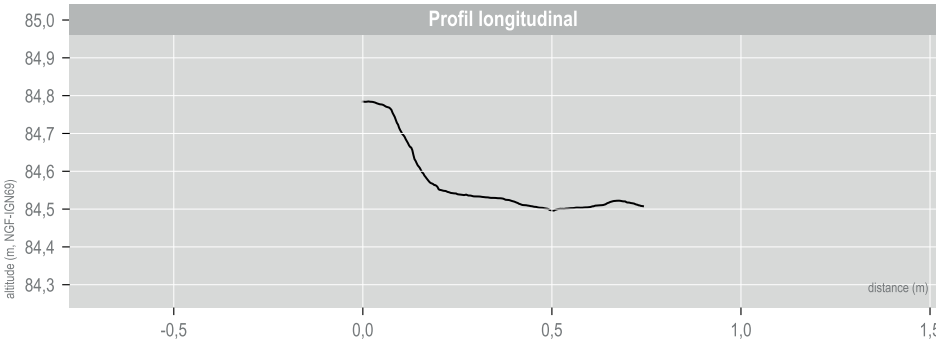

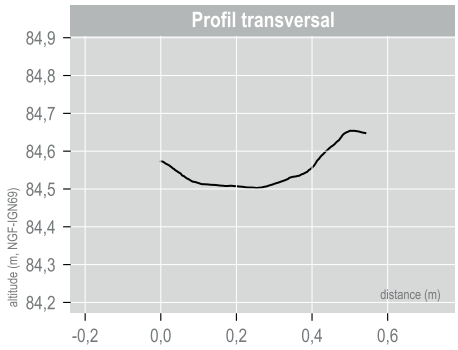

Vue générale de l'inhumation 815

vue générale de l'inhumation 815
C. Le Forestier, Inrap

Description de l'inhumation

La sépulture n'est conservée que dans sa moitié supérieure, du fait de sa situation, en limite d'emprise. Le sujet inhumé a été déposé dans une fosse oblongue, orientée est-ouest. Il repose en décubitus dorsal, la tête à l'ouest.
Le calvarium a basculé vers l'arrière et se présente en vue antérieure. Il est déconnecté des premières cervicales et de la mandibule, qui a chuté caudalement. Le gril costal est à plat, le volume thoracique n'est pas préservé. Le rachis vertébral conservé est d'un seul tenant, le manubrium en place, le sternum affaissé dans l'hémi-thorax droit. L'humérus droit, en rotation interne, et la scapula, à l'oblique, sont en connexion. A gauche, seule subsiste la jonction claviculo-acromiale.
Des éléments d'observation essentiels manquent pour déterminer le mode de décomposition de l'individu inhumé.
Le squelette est celui d'un adulte, de sexe indéterminé.
Le rachis cervical présente de l'arthrose, particulièrement l'atlas, sur sa face antérieure.

Photographie de détails

vue rapprochée de l'inhumation 815
C. Le Forestier, Inrap

Phase : 3

Inhumation 816 - MAS7026

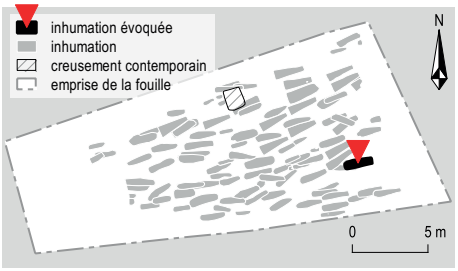

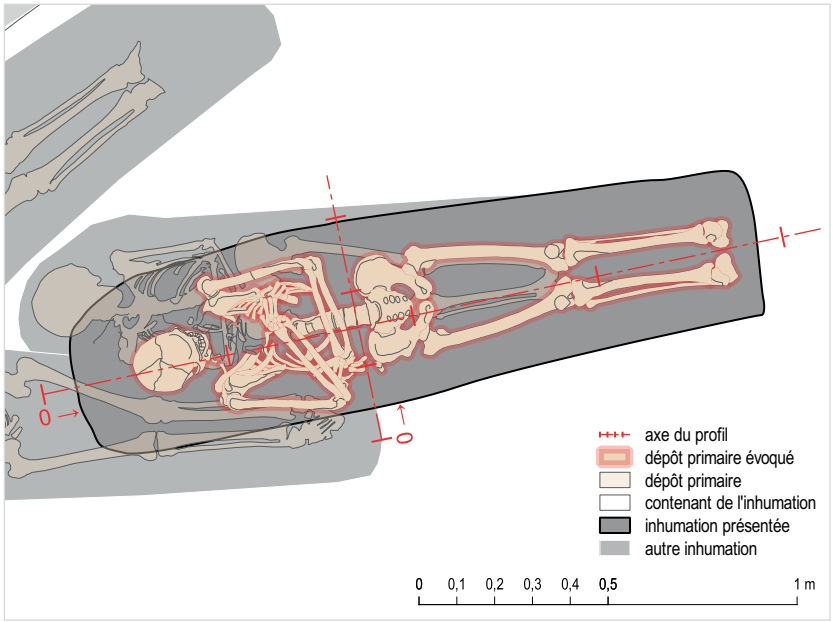

orientation

78 °

pratique funéraire

sans contenant

position

décubitus dorsal

membres supérieurs

45/90

sexe

masculin

âge

adulte

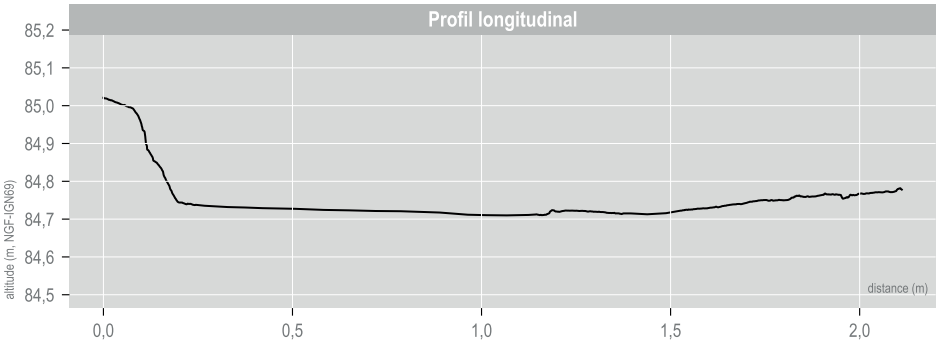

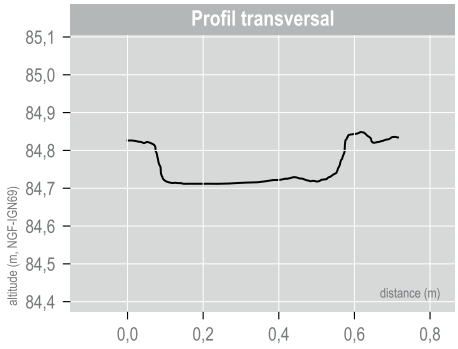

Vue générale de l'inhumation 816

vue générale de l'inhumation 816
C. Le Forestier, Inrap

Description de l'inhumation

Le sujet inhumé repose dans une fosse oblongue, orientée est-ouest., en décubitus dorsal, tête à l'ouest, bénéficiant à la fois d'un calage céphalique et d'un calage mentonnier, constitués de pierres. Ses avant-bras sont fléchis à 45° à droite et 90° à gauche, les membres inférieurs sont alignés, resserrés mais non joints aux genoux et aux chevilles.
Le calvarium apparaît en vue antéro-supérieure, en connexion quasi stricte avec la mandibule. Le rachis vertébral est segmenté entre la 6ème et la 12ème thoracique, le volume thoracique n'est pas conservé, contrairement au volume pelvien, bien préservé. Les clavicules sont verticalisées, les scapulas à l'oblique et les humérus en vue antéro-latérale. Toutes les connexions du squelette supérieur sont bien maintenues, y compris les connexions labiles des os de la main droite jusqu'aux phalanges proximales, en équilibre sur les côtes gauches. Seuls les os de la main gauche ont chuté mais en proximité immédiate avec les os des avant-bras. La ceinture pelvienne est maintenue et les connexions coxo-fémorales sont quasi strictes. Les connexions du squelette inférieur sont également préservées, les os en vue légèrement antéro-médiale, les patellas en place sur les fémurs. La jonction des talus et des calcaneus sont maintenues.
La préservation de la quasi totalité des connexions, l'absence de migration des os, le maintien en équilibre des phalanges et des patellas supposent un colmatage rapide des masses molles. Par ailleurs, la compression au niveau des épaules, des genoux et des chevilles ainsi que l'absence de rotation des talus attestent la présence d'une enveloppe souple.
Le squelette est celui d'un adulte, de sexe masculin.
On peut observer une dépression circulaire (20 x15 mm), aux bords émoussés, sur le frontal.

Photographie de détails

vue rapprochée de l'inhumation 816
C. Le Forestier, Inrap

Phase : 3

Inhumation 817 - MAS7030

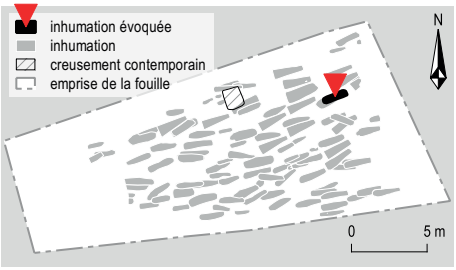

orientation

71 °

pratique funéraire

sans contenant

position

décubitus dorsal

membres supérieurs

90/90

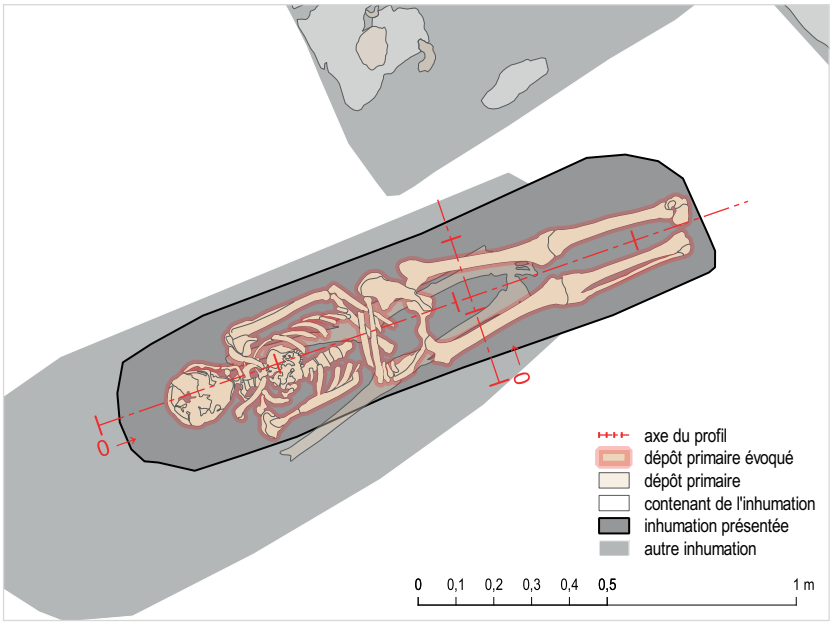

sexe

indéterminé

âge

adulte

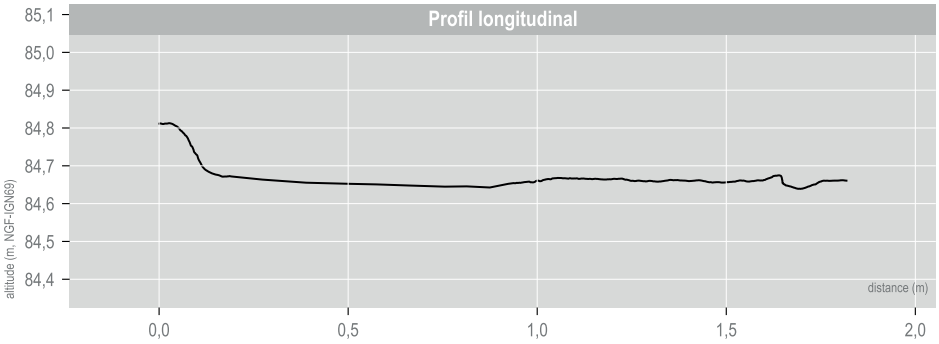

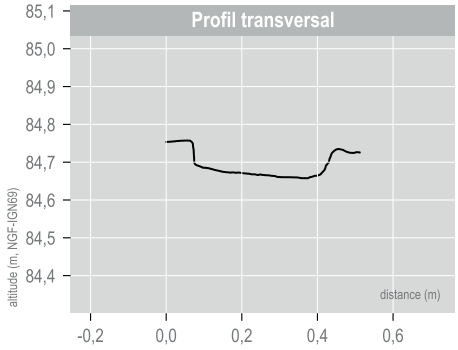

Vue générale de l'inhumation 817

vue générale de l'inhumation 817
C. Le Forestier, Inrap

Description de l'inhumation

Le sujet inhumé a été déposé dans une fosse oblongue, orientée est-ouest. L'individu repose en décubitus dorsal, tête à l'ouest, les avant-bras fléchis à 90°, croisés sur l'abdomen, le droit sur le gauche; les membres inférieurs sont alignés, resserrés mais non joints aux genoux et aux chevilles. La sépulture semble avoir subi une perturbation importante, entraînant la dislocation du rachis cervical et de la ceinture scapulaire droite ainsi que la migration de la mandibule au milieu du thorax.
Le crâne est très fragmenté et toutes les connexions sont rompues. Le rachis cervical est disloqué, l'atlas, en vue supérieure, se situe au dessus de l'épaule gauche. Au-delà, le rachis est d'un seul tenant. Le gril costal est à plat mais le volume pelvien est en partie conservé. La clavicule droite est verticalisée, déconnectée. Les connexions de la ceinture scapulaire gauche sont quasi strictes; la clavicule et la scapula sont à l'oblique; les humérus se présentent en vue antéro-latérale. Aux coudes, les os des avant-bras ont migré caudalement, plus fortement à droite. Trois métacarpes gauches sont restés en équilibre sur l'aile iliaque droite, dans leur position initiale. La ceinture pelvienne et les os des membres inférieurs et du tarse gauche conservent des connexions plus strictes, les fémurs en vue antérieure, les tibias en vue antéro-médiale.
L'absence de migration en dehors du volume corporel, la préservation de certaines connexions et du volume pelvien, le maintien des métacarpes en équilibre sur le coxal droit permettent d'envisager un colmatage plutôt rapide. Néanmoins, outre la perturbation du squelette, certaines migrations, essentiellement caudales, impliquent des espaces vides secondaires. Leur présence, associée à la forte compression observée au niveau des épaules, celle des genoux et des chevilles, le talus gauche ne basculant pas latéralement, argumentent l'hypothèse d'une enveloppe souple.
Le squelette est celui d'un adulte, de sexe indéterminé.

Photographie de détails

vue rapprochée de l'inhumation 817
C. Le Forestier, Inrap

Phase : 3

Inhumation 818 - MAS7033

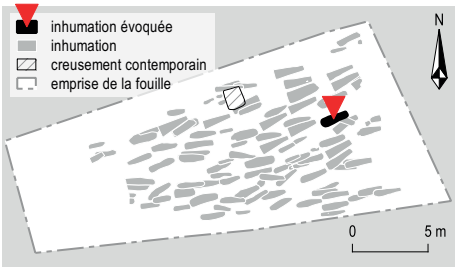

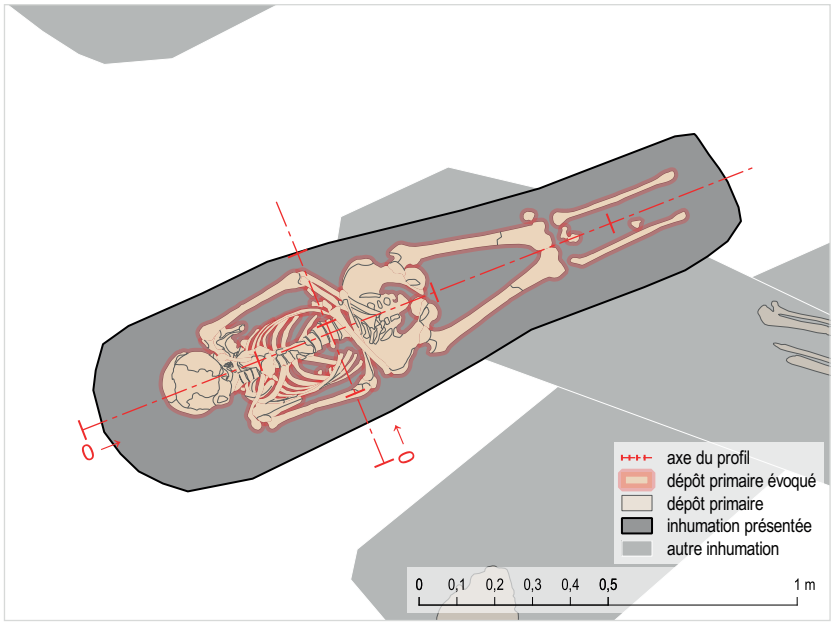

orientation

69 °

pratique funéraire

sans contenant

position

décubitus dorsal

membres supérieurs

90/90

sexe

masculin

âge

adulte

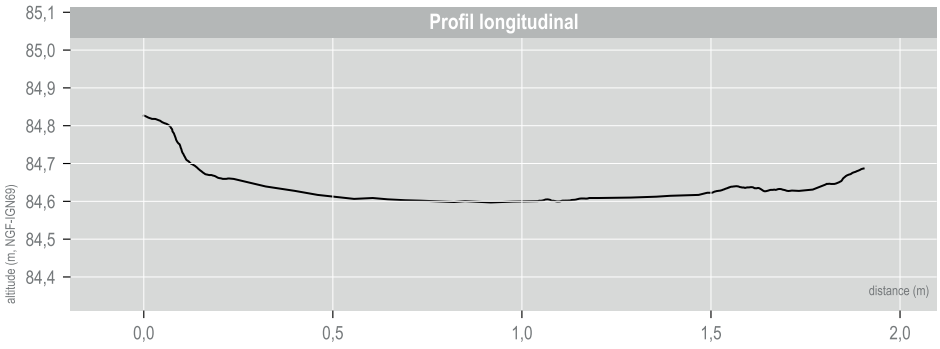

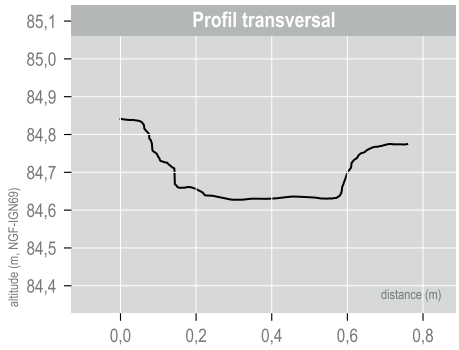

Vue générale de l'inhumation 818

vue générale de l'inhumation 818
C. Le Forestier, Inrap

Description de l'inhumation

Le sujet inhumé a été placé dans une fosse oblongue, orientée est-ouest, située en limite de fouille. Il repose en décubitus dorsal, la tête à l'ouest, les avant-bras fléchis à 90°, croisés sur l'abdomen, le droit sur le gauche. Les membres inférieurs sont alignés, joints aux genoux. Au-delà, le squelette est mal conservé; les tibias et les os des pieds sont absents.
Le calvarium apparaît en vue antéro-supérieure droite, de même que la mandibule en connexion lâche. Le rachis vertébral est d'un seul tenant, le manubrium et le sternum en équilibre sur les vertèbres thoraciques. Les volumes thoraciques et pelviens sont partiellement conservés. La ceinture scapulaire est bien maintenue à droite; la connexion huméro-scapulaire gauche est quasi stricte, les clavicules sont verticalisées, les scapulas à l'oblique et les humérus en vue antéro-latérale. Les connexions strictes au coude gauche et rompues à droite, le radius chutant caudalement. Les os carpiens et des mains sont dispersés dans le prolongement des avant-bras. Les connexions sacro-pelviennes et coxo-fémorales sont maintenues, les fémurs ayant subi une rotation latérale. Les fibula, déconnectées, apparaissent aussi en vue antéro-médiale. Des os des pieds - phalange proximale I, cunéiforme - se situent entre les fibula et près de l'épiphyse distale du fémur gauche.
Le nombre de connexions préservées, la préservation partielle des volumes thoracique et pelvien, l'absence de migration en dehors du volume corporel originel, le maintien en équilibre du manubrium et du sternum supposent un colmatage rapide. La contrainte au niveau du crâne et des genoux, la compression des épaules et les migrations crâniales des os des pieds permettent également d'envisager la présence d'une enveloppe souple, très resserrée au niveau des genoux, voire la présence de liens. La contention des côtes, à distance des humérus, suggère enfin un emmaillotement au niveau du thorax.
Le squelette est celui d'un adulte, de sexe indéterminé probablement masculin (à 93%, mesure sur coxal droit uniquement).

Photographie de détails

vue rapprochée de l'inhumation 818
C. Le Forestier, Inrap

Phase : 1

Inhumation 819 - MAS7036

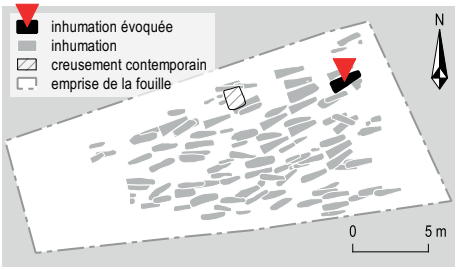

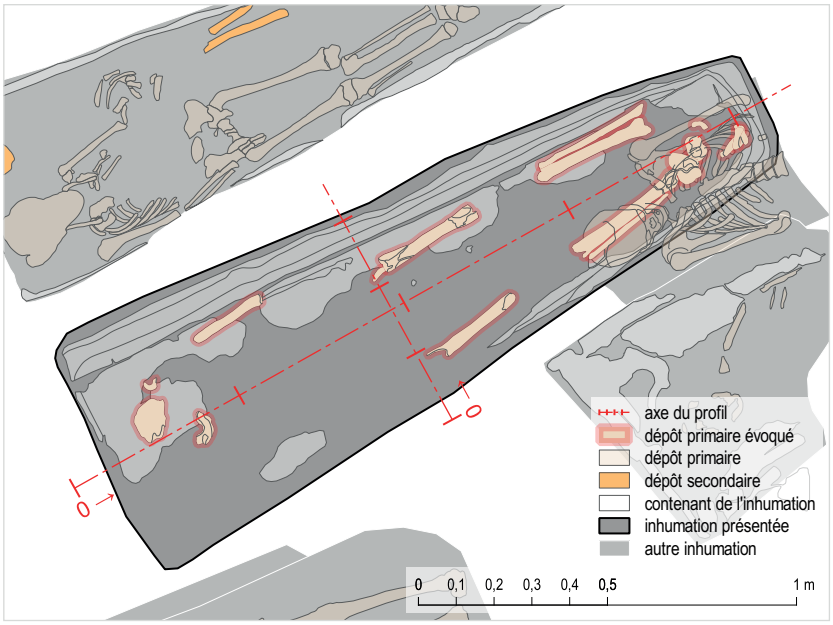

orientation

61 °

pratique funéraire

sarcophage

position

décubitus dorsal

membres supérieurs

indéterminé

sexe

indéterminé

âge

adulte

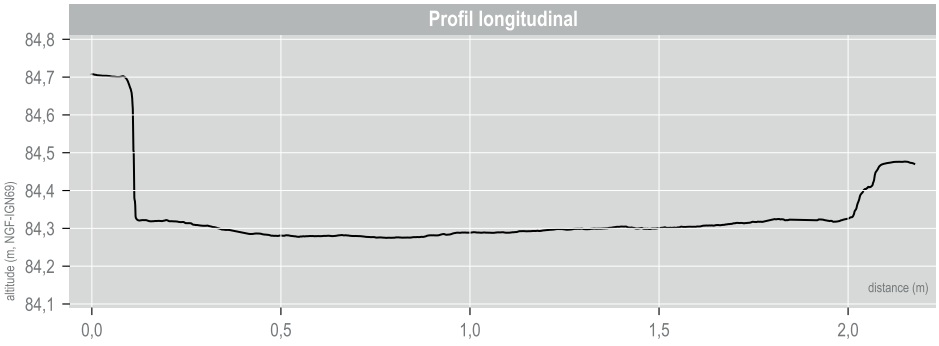

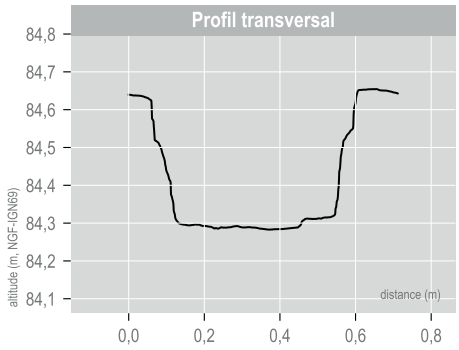

Vue générale de l'inhumation 819

vue générale de l'inhumation 819
C. Le Forestier, Inrap

Description de l'inhumation

Cette sépulture peut être associée à la sépulture 813. Il s'agit d'un sujet inhumé dans une cuve de plâtre, orientée est-ouest. Il repose en décubitus dorsal, tête à l'ouest, les membres inférieurs alignés, parallèles, les pieds non joints. Le squelette de l'individu est très mal conservé.
Le frontal apparaît en vue antéro-supérieure. L'humérus gauche, en vue antérieure, est isolé, contre la paroi du sarcophage. Les fémurs déconnectés reposent près des parois latérales. Les seules connexions apparentes concernent les tibias et les fibula, dans le prolongement des fémurs et la connexion tibio-calcanéenne droite. Un talus et quelques phalanges de pied, déconnectés, se trouvent vers la paroi de fond.
Si les os se présentent tous dans la continuité anatomique, la position des fémurs, des tibias et des fibula, contre les parois de la cuve suggère une décomposition en espace vide.
Le squelette est celui d'un adulte, de sexe indéterminé.

Phase : 3

Inhumation 820 - MAS7042

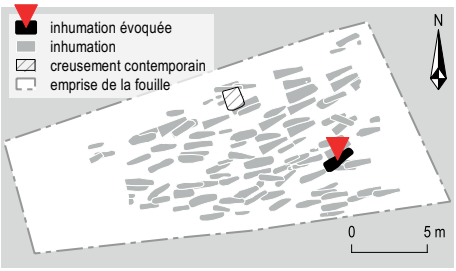

orientation

54 °

pratique funéraire

sans contenant

position

décubitus dorsal

membres supérieurs

45/135

sexe

masculin

âge

adulte

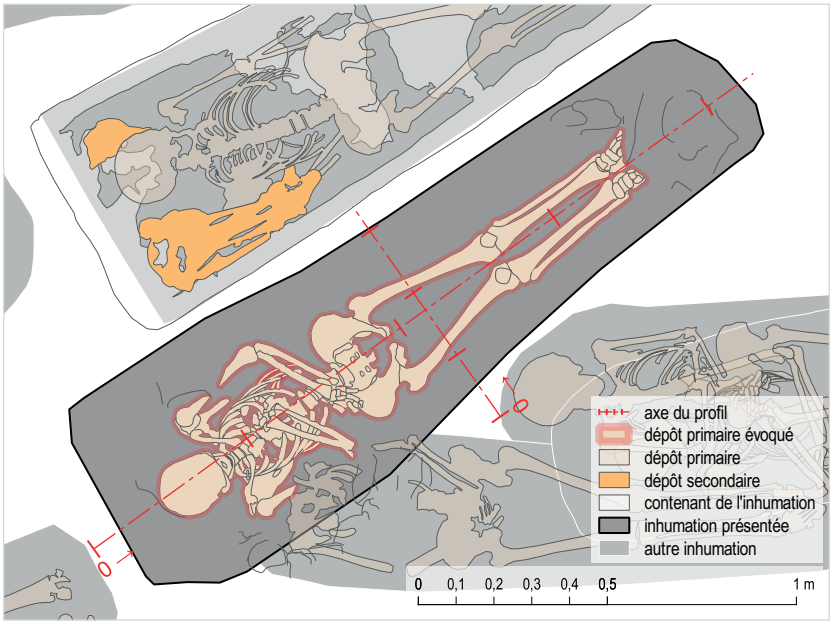

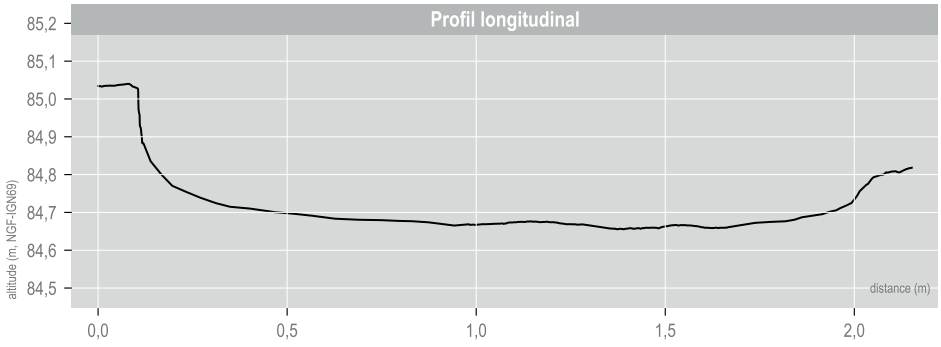

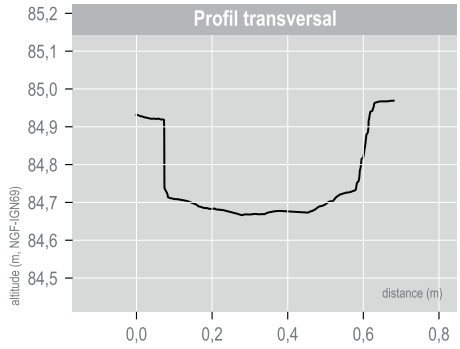

Vue générale de l'inhumation 820

vue générale de l'inhumation 820
C. Le Forestier, Inrap

Description de l'inhumation

Cette sépulture se situe contre le sarcophage de plâtre de la sépulture 811. Elle bénéficie d'une large fosse, comportant en son pourtour de nombreux blocs de pierre, surplombant le squelette de l'individu, qui l'apparentent à une fosse à banquette et d'un aménagement céphalique de type logette. Par ailleurs, un bloc de forme triangulaire est placé au centre d'un aménagement circulaire de pierres, sur le bord sud de la fosse, qui pourrait correspondre à un marqueur, voire à une stèle.
L'individu repose en décubitus dorsal, la tête à l'ouest, surélevée par un bloc de pierre, les avant-bras fléchis à 45° à droite et 135° à gauche, les membres inférieurs alignés, parallèles, resserrés aux genoux et aux chevilles, le pied gauche en hyper extension, le droit en hyperflexion.
Le crâne apparaît en vue antéro-supérieure, les connexions crâniennes étant strictement maintenues. Les volumes thoracique et surtout pelvien sont bien conservés. Le rachis vertébral est perturbé au niveau des vertèbres thoraciques. Le squelette supérieur conserve des connexions quasi strictes aux épaules, surtout à gauche, clavicule verticalisée, scapula à l'oblique et les humérus en rotation interne. A droite la clavicule s'est affaissée caudalement. Les connexions aux coudes sont lâches, les ulnas migrant caudalement; les connexions aux poignets sont rompues à droite, les os s'affaissant dans l'espace costal; elles sont partiellement maintenues à gauche, les os carpiens et des mains restant en logique anatomique contre les vertèbres lombaires et l'ilium droit. Le squelette inférieur, de la ceinture pelvienne jusqu'aux palettes métatarsiennes, conserve des connexions quasi strictes, les os longs en vue antérieure, les patellas en place sur les fémurs.
La prévalence de connexions strictes, y compris de connexions labiles, l'absence de migration en dehors du volume corporel initial, la préservation partielle de certains volumes corporels et la présence d'os restés en équilibre témoignent d'un colmatage rapide. La forte contrainte aux épaules et aux pieds, les tarses maintenus en vue antérieure valident l'hypothèse d'une enveloppe souple, générant des espaces vides secondaires lors de la décomposition de l'individu.
Le squelette est celui d'un adulte, de sexe masculin.
Les pariétaux présentent un aspect porotique, à la jonction des sutures lambdoide et sagittale. Les premières vertèbres thoraciques témoignent de lésions arthrosiques, les plus sévères se développant en becs de perroquet entre les vertèbres thoraciques V et VI.

Photographie de détails

vue rapprochée de l'inhumation 820
C. Le Forestier, Inrap

Phase : 2

Inhumation 821 - MAS7046

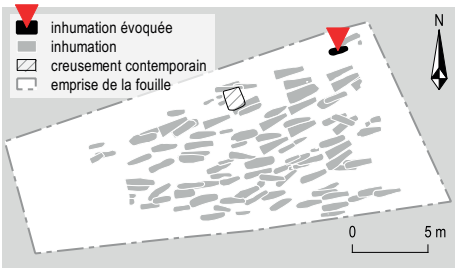

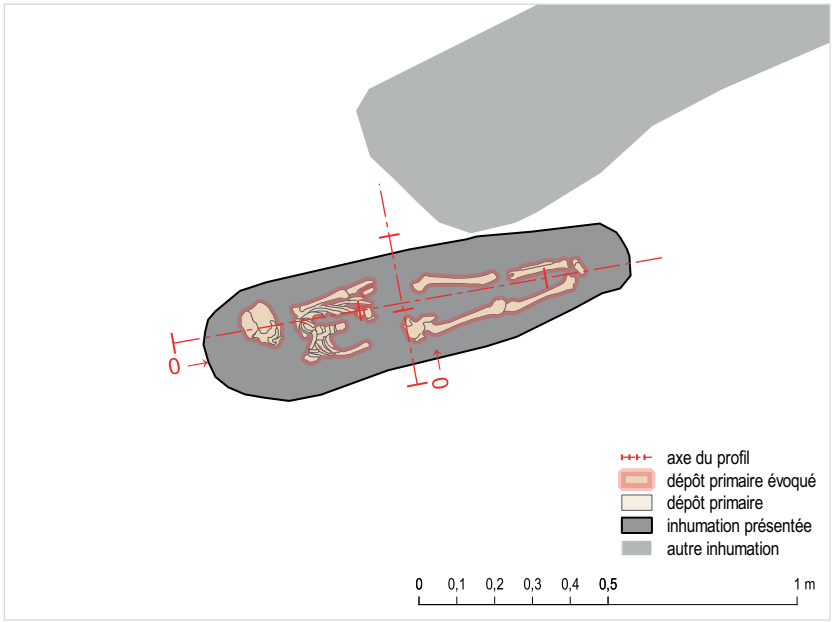

orientation

80 °

pratique funéraire

sans contenant

position

décubitus dorsal

membres supérieurs

indéterminé

sexe

trop jeune pour détermination

âge

1 à 4 ans

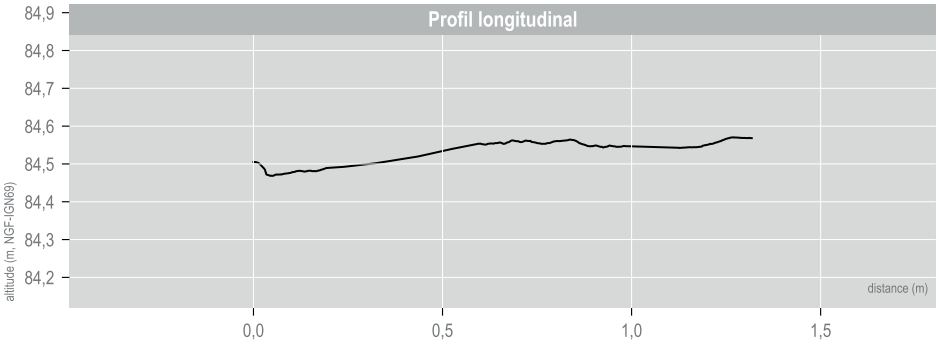

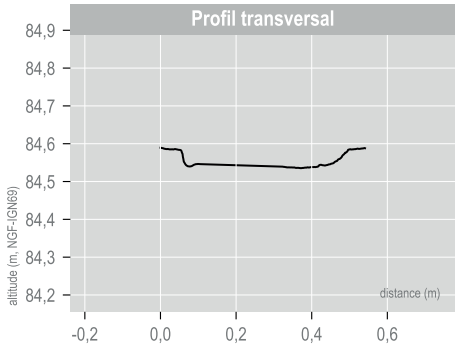

Vue générale de l'inhumation 821

vue générale de l'inhumation 821
C. Le Forestier, Inrap

Description de l'inhumation

Le sujet inhumé a été déposé dans une fosse orientée est-ouest. Il repose en décubitus dorsal, la tête à l'ouest, les membres inférieurs alignés, non joints. Le squelette est très peu conservé.
Le calvarium est déconnecté, en vue supérieure. Le gril costal est à plat; le volume pelvien non conservé ; quelques vertèbres thoraciques apparaissent en vue antérieure. Les connexions observables sont lâches : la connexion huméro-scapulaire gauche ; la connexion coxo-fémorale et la connexion fémoro-tibiale droites. Les fémurs apparaissent en vue antérieure ; le tibia droit en vue antéro-médiale.
On ne note aucune migration en dehors du volume corporel; néanmoins les éléments manquent pour déterminer avec pertinence le mode de décomposition.
Le squelette est celui d'un immature dont l'âge au décès se situe entre 4 et 5 ans(IM2).

Phase : 2

Inhumation 822 - MAS7049

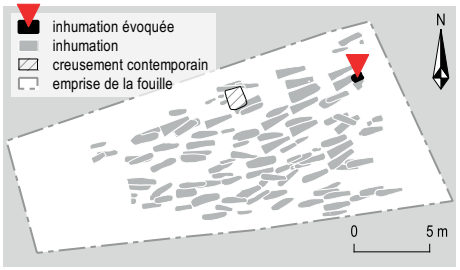

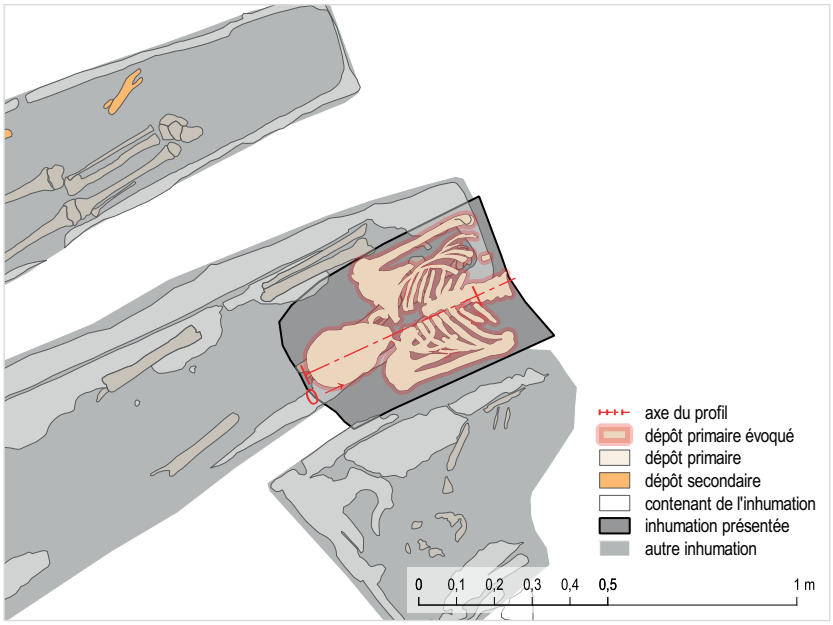

orientation

65 °

pratique funéraire

NULL

position

décubitus dorsal

membres supérieurs

indéterminé

sexe

indéterminé

âge

adulte

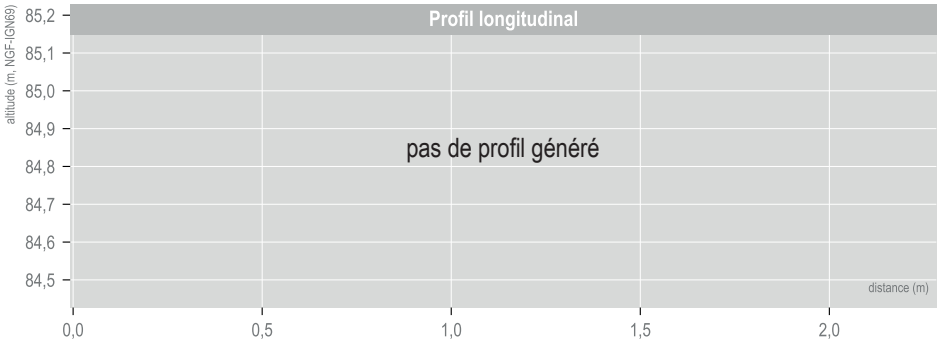

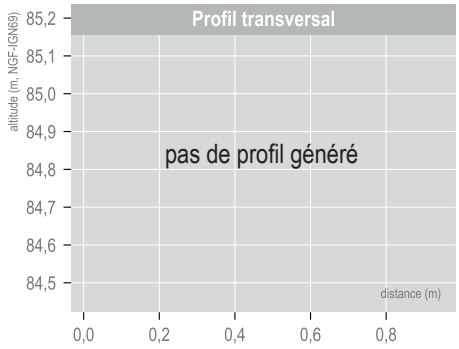

Vue générale de l'inhumation 822

vue générale de l'inhumation 822
C. Le Forestier, Inrap

Description de l'inhumation

Cette sépulture se situant en limite d'emprise, est très peu conservée. Seule la partie supérieure de la fosse et celle du squelette sont préservées. La fosse est orientée est-ouest; son creusement a recoupé la cuve de plâtre de la sépulture 819. Le sujet a été inhumé en décubitus dorsal, tête à l'ouest.
Le crâne est légèrement surélevé contre un fragment de paroi de la cuve de la sépulture 819. Il apparaît en vue antéro-supérieure, la connexion calva-mandibulaire est stricte. Le rachis cervical et thoracique est d'un seul tenant ; le sternum est resté en équilibre. Les seules connexions observables, de la ceinture scapulaire et huméro-scapulaire sont maintenues: les clavicules et les scapulas à l'oblique, les humérus en rotation interne.
Ces éléments d'observation sont insuffisants pour déterminer avec pertinence le mode de décomposition de l'individu inhumé.
Le squelette est celui d'un adulte, de sexe indéterminé.
On note sur le crâne une perforation circulaire de 4mm de diamètre, dont les bords sont remaniés, associée sur la surface endo-crânienne à une dépression ovale (30mm sur 10mm).

Photographie de détails

vue rapprochée de l'inhumation 822
C. Le Forestier, Inrap

Phase : 3

Inhumation 823 - MAS7052

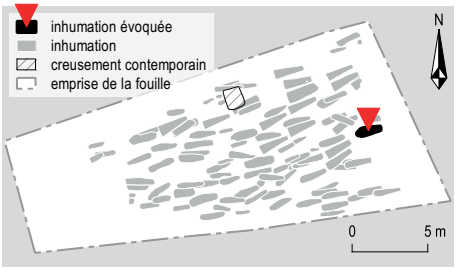

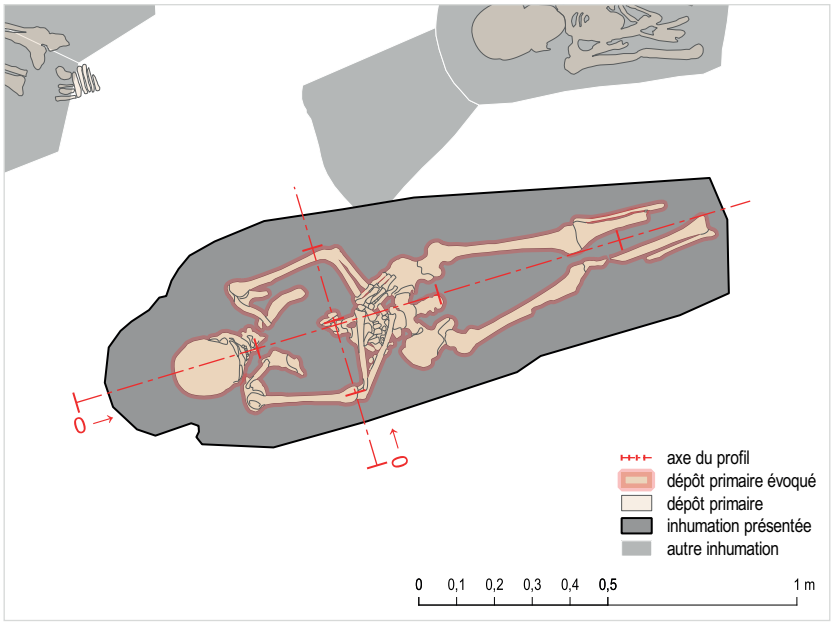

orientation

73 °

pratique funéraire

sans contenant

position

décubitus dorsal

membres supérieurs

90/90

sexe

indéterminé

âge

adulte

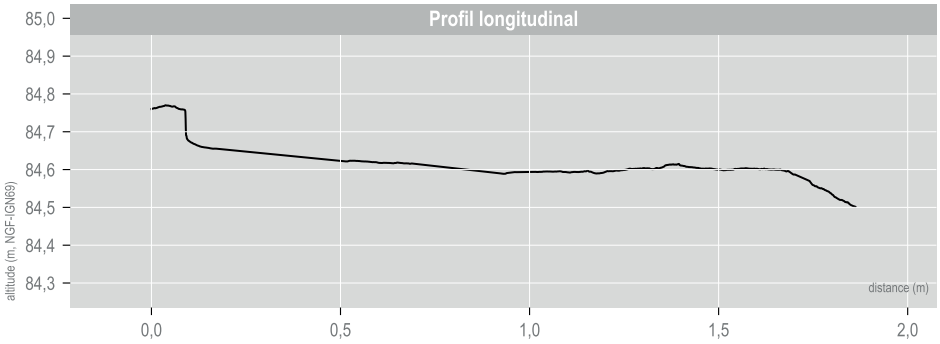

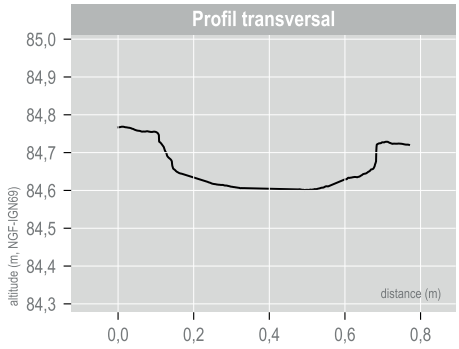

Vue générale de l'inhumation 823

vue générale de l'inhumation 823
C. Le Forestier, Inrap

Description de l'inhumation

Le sujet inhumé a été déposé dans une fosse oblongue, orientée est-ouest, située en limite de fouille. Son comblement et une partie du squelette de l'individu ont été recoupés sur son bord oriental et au niveau des tibias de l'individu. Ce dernier a été déposé en décubitus dorsal, tête à l'ouest, appuyée contre une pierre faisant office de calage céphalique. Ses avant-bras sont fléchis à 90°, croisés sur l'abdomen, le droit sur le gauche. Ses membres inférieurs sont alignés, parallèles, resserrés aux genoux.
Le crâne, en vue supérieure, a conservé une connexion lâche avec la mandibule. Le volume thoracique n'est pas préservé. Les coxaux sont ouverts. Les clavicules sont verticalisées. Les connexions huméro-scapulaires sont partiellement conservées, les scapulas à l'oblique et les humérus en vue antéro-latérale. Les connexions au coude gauche sont lâches et sont rompues à droite, les ulnas ayant migré caudalement. Les os carpiens et de la main gauche sont regroupés, déconnectés, sous l'avant-bras droit ; à gauche, quatre métacarpes et les phalanges proximales de II à V sont restées en connexion, en équilibre sur l'avant-bras et l'ilium gauche. L'ouverture des coxaux a favorisé la rotation externe des fémurs. Par contre, les connexions fibulo-tibio-fémorales sont maintenues.
La plupart de connexions observables étant maintenues, y compris des connexions labiles, aucune migration n'étant observée en dehors du volume corporel et les os de la main droite étant restés en équilibre instable, il est possible d'envisager un colmatage rapide ; la compression forte aux épaules et aux genoux implique la présence d'une enveloppe souple, dont la rupture aurait permis la migration des ulnas et la rotation des fémurs.
Le squelette est celui d'un adulte, de sexe indéterminé.

Photographie de détails

vue rapprochée de l'inhumation 823
C. Le Forestier, Inrap

Phase : 3

Inhumation 824 - MAS7055

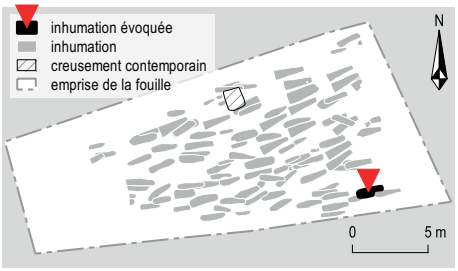

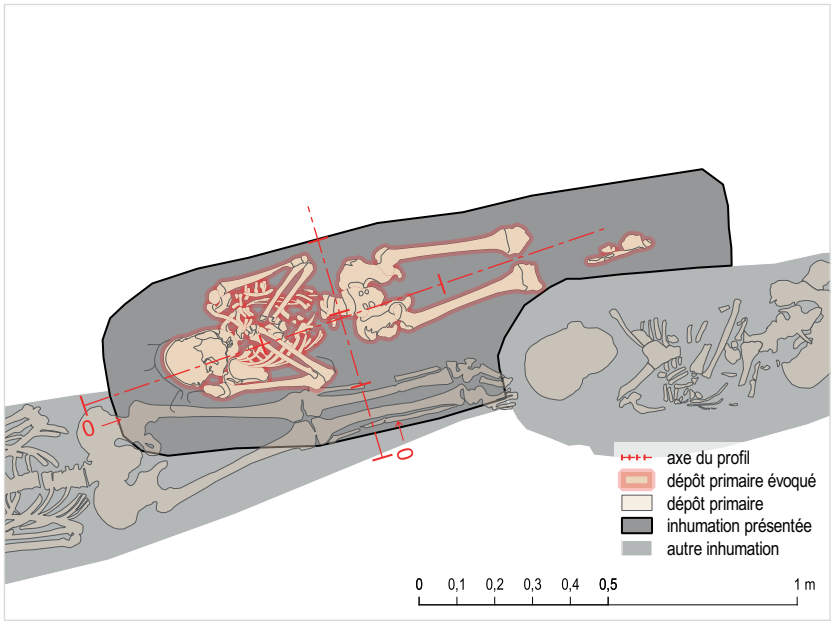

orientation

71 °

pratique funéraire

sans contenant

position

décubitus dorsal

membres supérieurs

45/45

sexe

trop jeune pour détermination

âge

10 à 14 ans

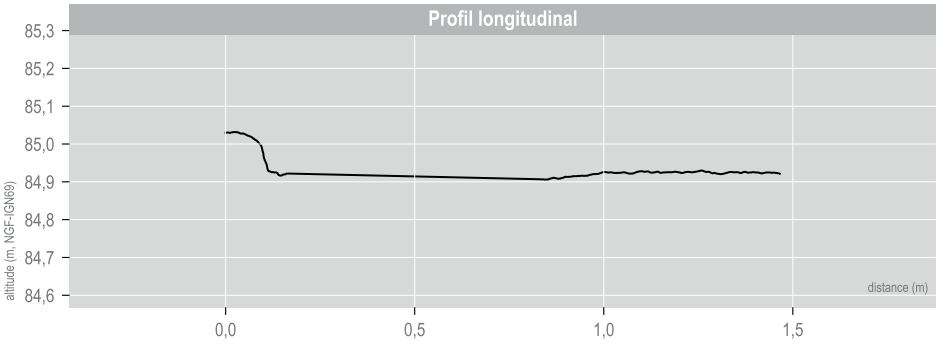

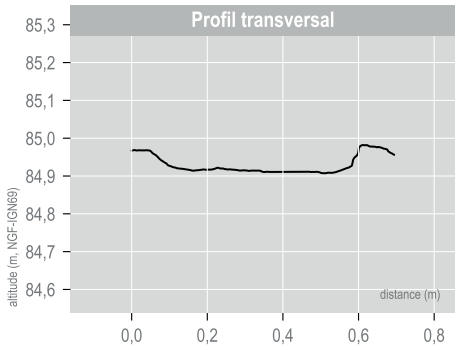

Vue générale de l'inhumation 824

vue générale de l'inhumation 824
C. Le Forestier, Inrap

Description de l'inhumation

Cette sépulture se situe en limite d'emprise et a été recoupée par la sépulture 828. Le sujet inhumé a été déposé dans une fosse oblongue, orientée est-ouest, dont le comblement et une partie du squelette de l'individu ont été percutés au niveau des jambes et des pieds. Il repose en décubitus dorsal, tête à l'ouest, calée par une pierre, les avant-bras fléchis à 45°, les mains jointes sur la poitrine, la droite sur la gauche. Les fémurs sont parallèles.
Le calvarium, très fragmenté, apparaît en vue antéro-supérieure, en connexion avec la mandibule. Le rachis vertébral est segmenté ; les volume thoracique et pelvien ne sont pas conservés. La clavicule gauche est verticalisée. Les connexions huméro-scapulaires et aux coudes sont maintenues partiellement, les scapulas à l'oblique, les humérus en vue antérieure. Les connexions aux poignets sont quasi strictes ; les os des mains chutant dans l'hémi-thorax gauche. La connexion sacro-pelvienne est maintenue à gauche. Les fémurs sont en position anatomique.Ils apparaissent en vue antéro-médiale et en connexion avec les épiphyses proximales des tibias, seules conservées.
Le maintien de nombreuses connexions, y compris celles des os carpiens, et l'absence de migration en dehors du volume corporel plaident en faveur d'un colmatage rapide. La compression aux épaules permet d'envisager la présence d'une enveloppe souple.
Le squelette est celui d'un immature dont l'âge au décès se situe entre 10 et 14 ans (IM4).

Photographie de détails

vue rapprochée de l'inhumation 824
C. Le Forestier, Inrap

Phase : 2

Inhumation 825 - MAS7058

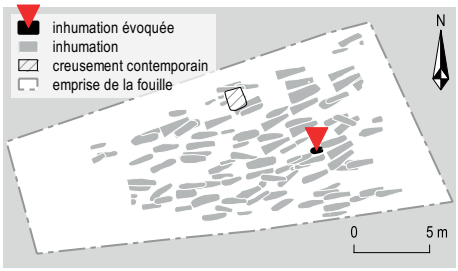

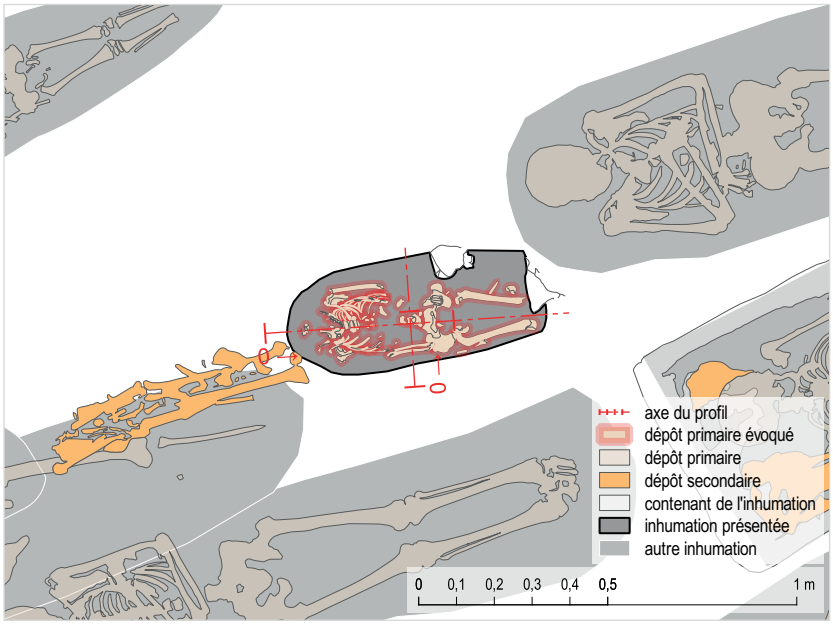

orientation

86 °

pratique funéraire

sans contenant

position

décubitus dorsal

membres supérieurs

180/180

sexe

trop jeune pour détermination

âge

5 à 9 ans

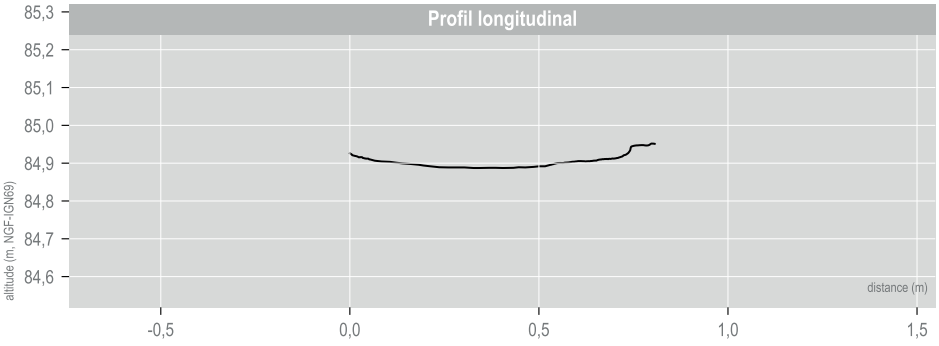

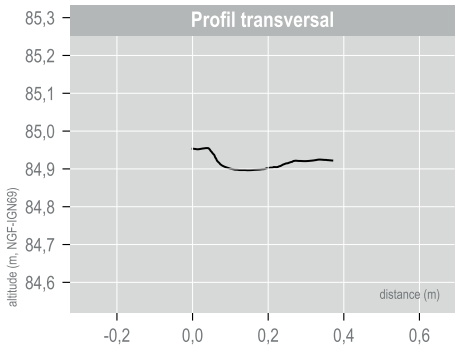

Vue générale de l'inhumation 825

vue générale de l'inhumation 825
C. Le Forestier, Inrap

Description de l'inhumation

La sépulture est mal conservée. Le sujet inhumé a été placé dans une fosse oblongue, orientée est-ouest, bordée de deux blocs de pierre. Le sujet repose en décubitus dorsal, tête à l'ouest, l'avant-bras droit à 180°, le gauche également d'après la position des os de la main sur le coxal; les fémurs sont parallèles. Les os des jambes et des pieds sont absents.
Le calvarium est fragmenté mais la mandibule apparaît en vue supérieure, dans sa position anatomique. Le rachis cervical est d'un seul tenant. Les côtes sont à plat, le coxaux ouverts. Les clavicules sont verticalisées. Les connexions aux épaules ne sont pas conservées mais les os apparaissent en position anatomique, les scapulas à l'oblique, l'humérus gauche en vue antéro-latérale. L'ulna et le radius droits sont en connexion. Quatre métacarpes gauche sont en connexion, reposant sur le coxal gauche. La connexion sacro-pelvienne est maintenue, de même que la connexion coxo-fémorale droite. A gauche, le fémur a migré caudalement.
La préservation de connexions, y compris labiles, l'absence de migration en dehors du volume corporel plaident en faveur d'un colmatage rapide. La compression observée aux épaules est compatible avec l'hypothèse d'une enveloppe souple mais les éléments manquent pour conclure.
Le squelette est celui d'un immature dont l'âge au décès se situe entre 5 et 9 ans (IM3).

Phase : 3

Inhumation 826 - MAS7061

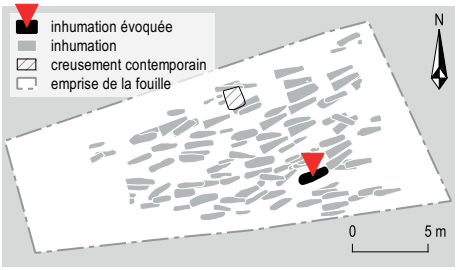

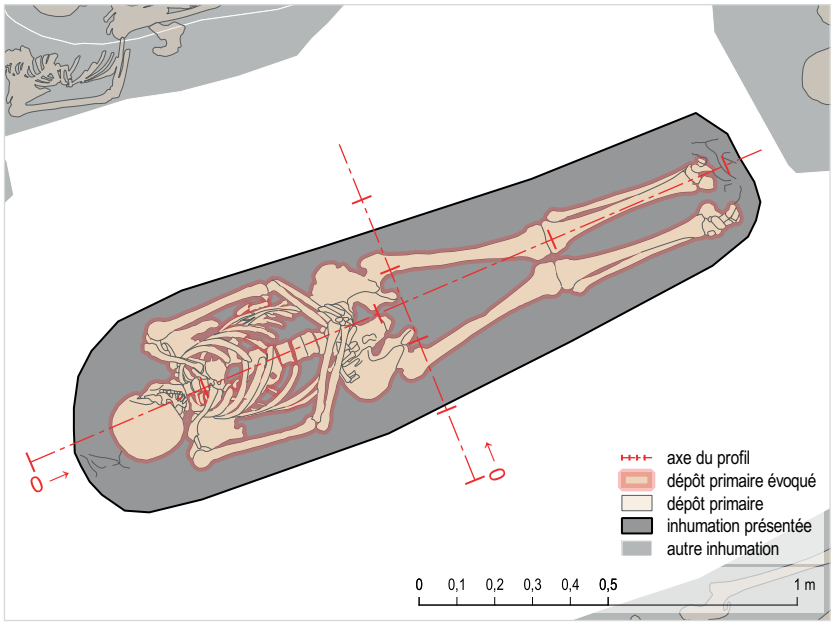

orientation

67 °

pratique funéraire

sans contenant

position

décubitus dorsal

membres supérieurs

135/135

sexe

masculin

âge

adulte

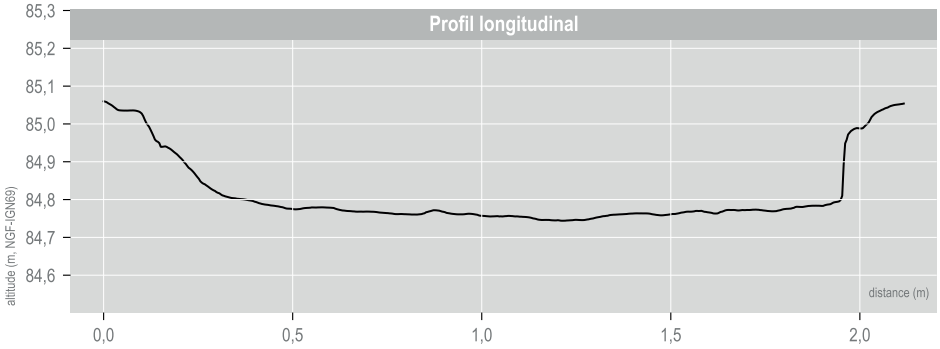

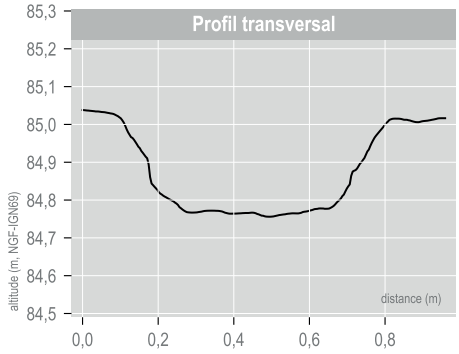

Vue générale de l'inhumation 826

vue générale de l'inhumation 826
C. Le Forestier, Inrap

Description de l'inhumation

Le sujet a été déposé dans une fosse oblongue, orientée est-ouest, en décubitus dorsal, tête à l'ouest, reposant sur une pierre; les avant-bras fléchis à 135°, croisés sur le sacrum, le droit sur le gauche; les membres inférieurs sont alignés, parallèles mais resserrés aux genoux, les pieds non joints, en hyperflexion.
Le crâne apparaît en vue antéro-supérieure, la mandibule en connexion stricte. Les rachis cervical et lombaire sont d'un seul tenant et le manubrium est resté en équilibre, quelques vertèbres thoraciques sont perturbées. Les volumes thoracique et pelvien sont partiellement conservés.
La quasi totalité des connexions observables sont préservées, mis à part les connexions aux poignets, les os carpiens et des mains restant en proximité immédiate dans le prolongement des avant-bras. La ceinture scapulaire est bien maintenue, les clavicules sont quasi verticalisées , les scapulas à l'oblique, les humérus en rotation interne. Les connexions sacro-pelviennes et coxo-fémorales sont strictes. Les os du membre inférieur droit, bien connectés, apparaissent en vue antéro-médiale, les os gauches restant en vue antérieure. Les os du pied droit, en hyperflexion, sont restés en connexion, le tarse en vue antéro-médiale; la palette métatarsienne gauche est disloquée.
La préservation des connexions, y compris celles des os des pieds, l'absence totale de migration en dehors du volume corporel, le maintien du manubrium attestent un colmatage rapide. Les compressions aux épaules, aux genoux et aux pieds, interdisant la bascule du talus et des métatarses impliquent également la présence d'une enveloppe souple. On peut noter également l'effet de contention au niveau du thorax, les côtes quasi alignées et maintenues à distance des humérus, qui pourraient s'expliquer par un emmaillotement particulier ou la présence d'un vêtement.
Le squelette est celui d'un adulte, de sexe masculin.
Les tibias présentent des appositions périostées peu développées sur les diaphyses en vue antéro-médiale.

Photographie de détails

vue rapprochée de l'inhumation 826
C. Le Forestier, Inrap

Phase : 1

Inhumation 827 - MAS7066

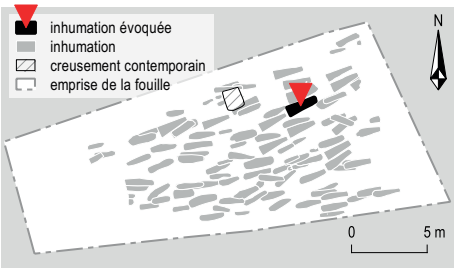

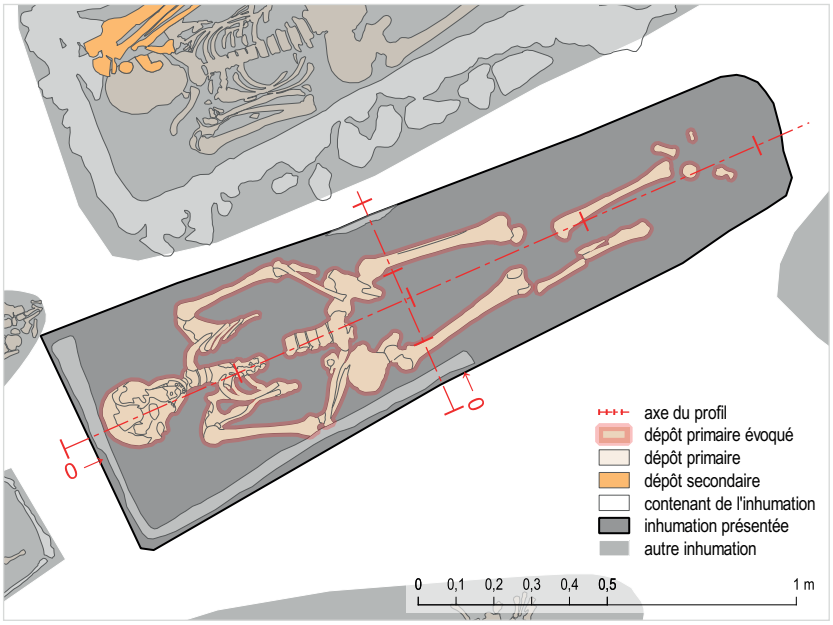

orientation

66 °

pratique funéraire

sarcophage

position

décubitus dorsal

membres supérieurs

135/135

sexe

indéterminé

âge

adulte

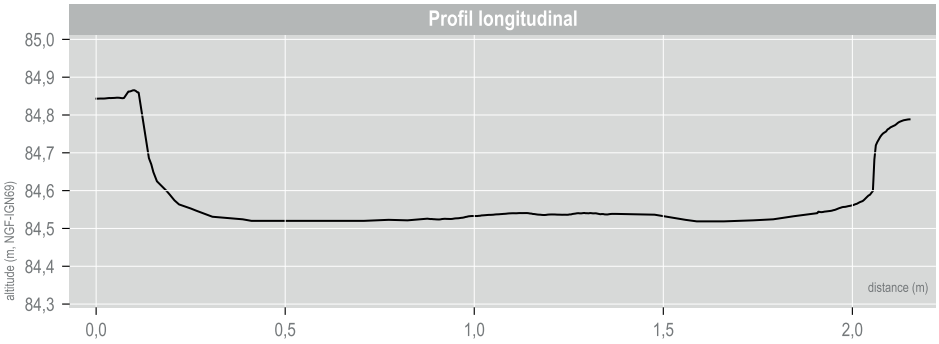

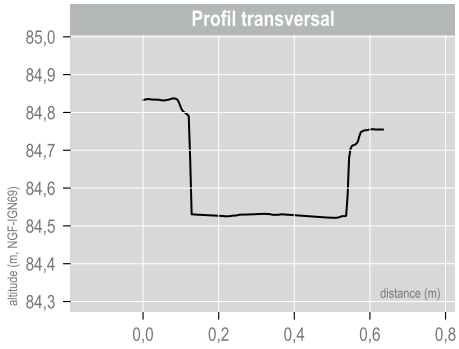

Vue générale de l'inhumation 827

vue générale de l'inhumation 827
C. Le Forestier, Inrap

Description de l'inhumation

Le sujet a été déposé dans une cuve en plâtre, orientée est-ouest, la tête à l'ouest, les avant-bras fléchis à 135°, vers le pubis; les fémurs parallèles. Le squelette de l'individu est assez mal conservé surtout dans sa partie inférieure.
Le calvarium apparaît en vue antérieure, la mandibule en vue supérieure, a migré caudalement. Le gril costal est à plat, les coxaux ouverts et le rachis vertébral est segmenté au niveau des cervicales et des thoraciques. La scapula droite est à l'horizontale, restée en connexion avec l'humérus en vue antérieure alors que l'articulation huméro-scapulaire est plus lâche à gauche. Les os des avant-bras ont migré caudalement et latéralement. Les fémurs ont subi une rotation externe, la patella gauche est située sous l'épicondyle du fémur gauche. Le reste des os du squelette inférieur est très perturbé et dispersé, notamment le tibia droit en vue latérale, migrant caudalement.
L'importance des migrations, au-delà du volume corporel initial, pour les membres inférieurs, la bascule du bloc crânio-facial plaident en faveur d'un colmatage différé, en espace vide.
Le squelette est celui d'un adulte, de sexe indéterminé.
Le tibia droit présente des appositions périostées au niveau de la diaphyse, sur sa face médiale.

Photographie de détails

vue rapprochée de l'inhumation 827
C. Le Forestier, Inrap

Phase : 3

Inhumation 828 - MAS7070

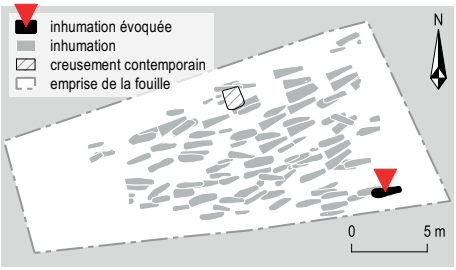

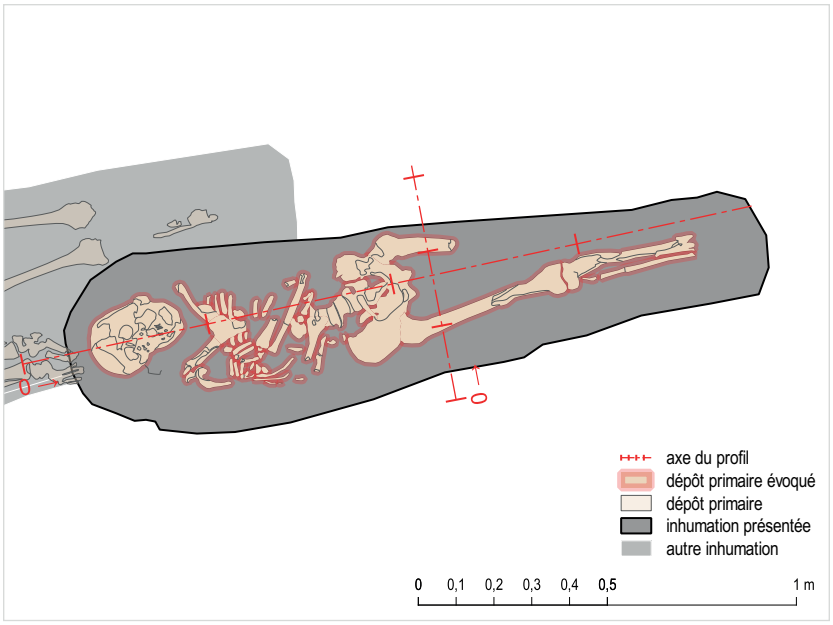

orientation

78 °

pratique funéraire

sans contenant

position

membres supérieurs

sexe

indéterminé

âge

adulte

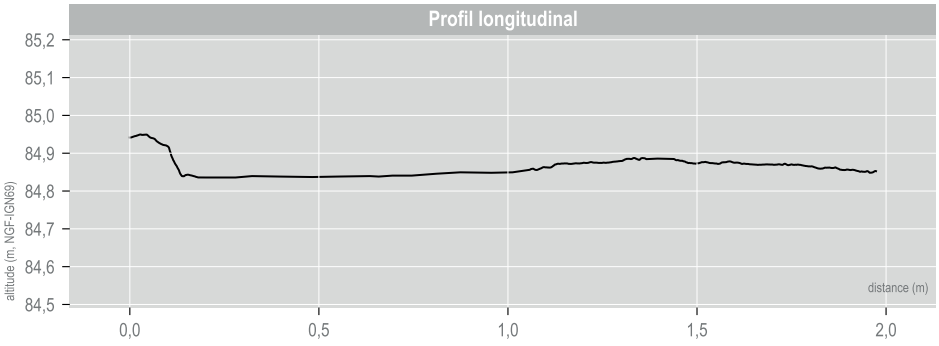

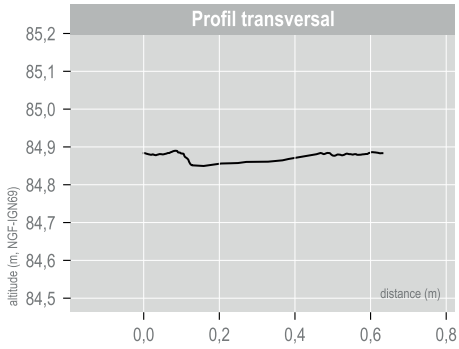

Vue générale de l'inhumation 828

vue générale de l'inhumation 828
C. Le Forestier, Inrap

Description de l'inhumation

Cette sépulture, située en limite de fouille, a été très arasée. Le squelette de l'individu inhumé et la fosse d'inhumation, d'orientation est-ouest, sont très mal conservés. Le sujet repose en décubitus dorsal, la tête à l'ouest, les avant-bras fléchis à 90° droite et 45° à gauche; les membres inférieurs alignés.
Le calvarium, en vue antéro-latérale gauche, a basculé, la mandibule, déconnectée, est restée dans l'axe du corps et apparaît en vue antéro-supérieure. Le rachis vertébral est segmenté mais le rachis lombaire est d'un seul tenant ; les côtes sont à plat; les volumes corporels ne sont pas conservés. Les connexions de la ceinture scapulaire sont maintenues; le manubrium est resté en équilibre; les clavicules sont verticalisées. Les connexions aux poignets sont quasi strictes; trois métacarpes et les phalanges proximales gauches se situent dans le prolongement immédiat du poignet. Les connexions sacro-pelviennes et coxo-fémorales sont préservées, les fémurs en vue antérieure; de même que les tibia et fibula droites, au contact du fémur.
En dépit du mauvais état de conservation, de nombreuses connexions sont préservées, notamment les connexions labiles des poignets ; aucune migration en dehors du volume corporel initial n'est observable; ces éléments laissent envisager un colmatage rapide.
Le squelette est celui d'un adulte, de sexe indéterminé.

Photographie de détails

vue rapprochée de l'inhumation 828
C. Le Forestier, Inrap

Phase : 1

Inhumation 829 - MAS7093

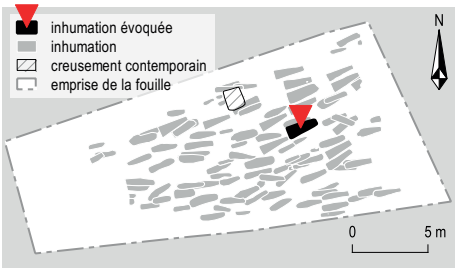

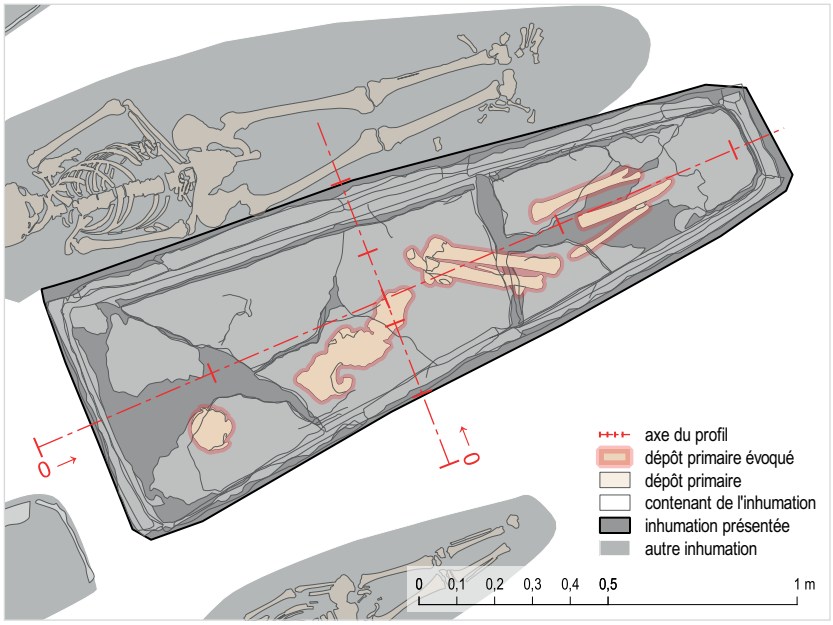

orientation

67 °

pratique funéraire

sarcophage

position

décubitus dorsal

membres supérieurs

indéterminé

sexe

indéterminé

âge

adulte

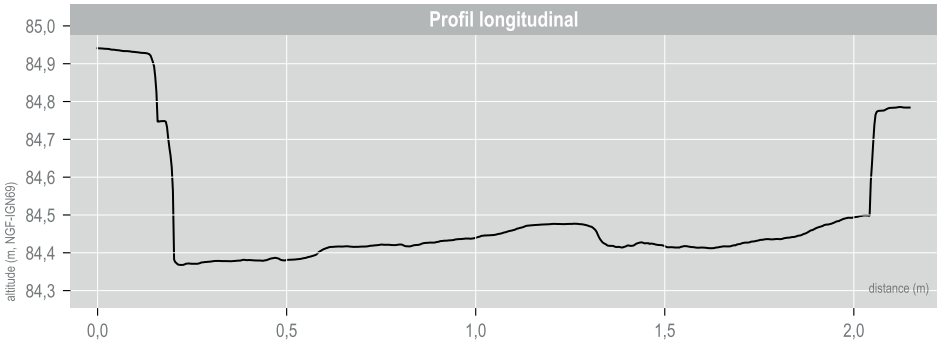

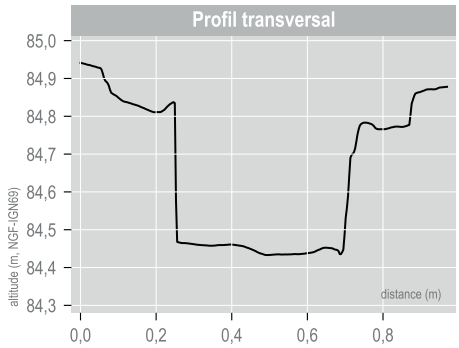

Vue générale de l'inhumation 829

vue de l'inhumation 829 avec le couvercle du sarcophage
C. Le Forestier, Inrap

Description de l'inhumation

Le sujet inhumé été déposé dans une cuve de plâtre, orientée est-ouest.. Le squelette est très mal conservé ; il repose en décubitus dorsal, tête à l'ouest, les membres inférieurs fléchis, parallèles.
Aucune connexion n'est conservée. Le calvarium en vue supérieure, est déconnecté. Les fémurs, en vue postérieure, sont réunis au centre de la cuve. Les tibias et les fibulas, dans le prolongement des fémurs, sont déconnectés.
Les ossements, respectent la logique anatomique mais sont déconnectés et ont subi des migrations importantes. Il s'agit donc d'un colmatage différé.
Le squelette est celui d'un adulte de sexe indéterminé.

Photographies de détails

vue générale de l'inhumation 829
C. Le Forestier, Inrap

vue de la partie ouest du sarcophage de l'inhumation 829
C. Le Forestier, Inrap

Phase : 3

Inhumation 830 - MAS7082

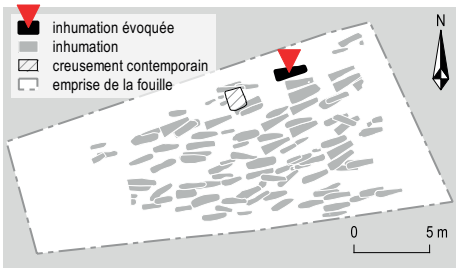

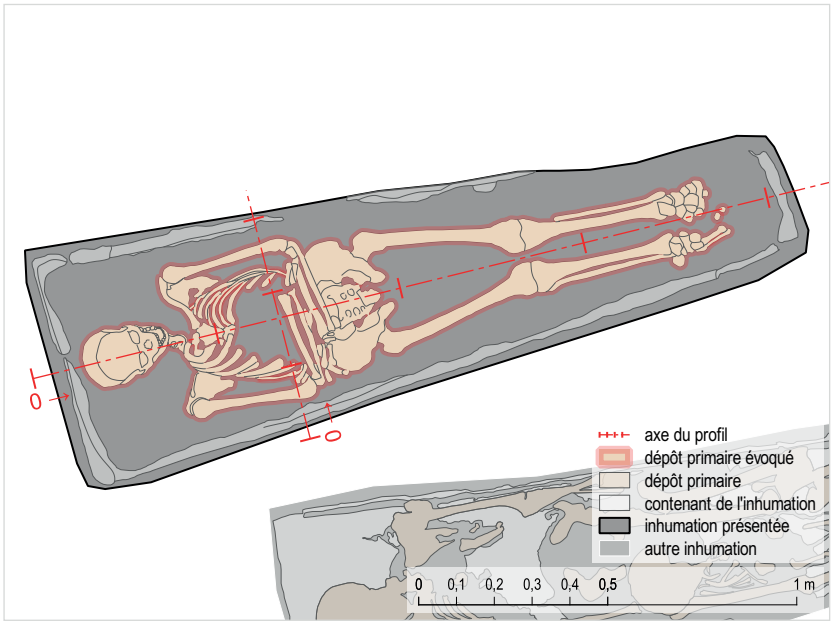

orientation

76 °

pratique funéraire

sarcophage

position

décubitus dorsal

membres supérieurs

90/90

sexe

masculin

âge

adulte

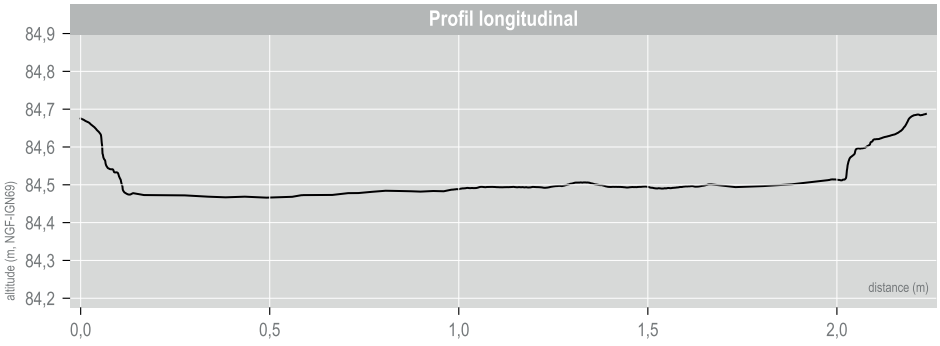

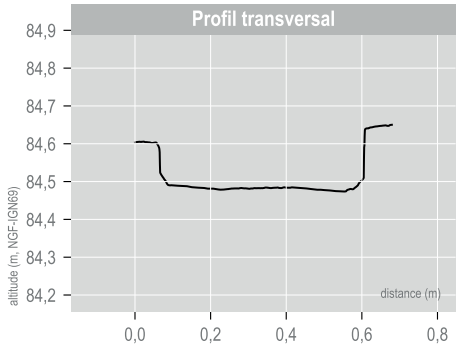

Vue générale de l'inhumation 830

vue générale de l'inhumation 830
C. Le Forestier, Inrap

Description de l'inhumation

Le sujet inhumé a été déposé dans une cuve en plâtre, orientée est-ouest. Il repose en décubitus dorsal, la tête à l'ouest, surélevée sur une pierre de calage et encadrée par un aménagement céphalique constituée de trois blocs de pierre. Ses avant-bras sont fléchis à 90° , les membres inférieurs alignés et parallèles, resserrés aux genoux, le pied droit en hyper extension, le gauche hyper fléchi, vers le droit.
Le calvarium apparaît en vue antérieure, la mandibule, déconnectée ayant chuté caudalement., en position antéro-supérieure droite. Le rachis est très peu conservé. Le manubrium est en place. Le gril costal est à plat; les coxaux en position intermédiaire.
Toutes les connexions observables au niveau de la ceinture scapulaire et huméro-scapulaire sont préservées, les scapulas à l'oblique et les humérus en vue antéro-latérale. Les os des avant-bras ont migré médialement mais sont restés en contact. Les connexions aux poignets sont rompues mais les os carpiens sont dispersés dans le prolongement des avant-bras, de même que quelques métacarpes et phalanges, restés groupés sur l'aile iliaque droite et contre le radius gauche. Au-delà, la ceinture pelvienne est maintenue, les connexions coxo-fémorales sont quasi strictes, le fémur droit en vue antérieure, le gauche ayant subi une rotation externe. Les connexions aux genoux, aux chevilles et aux tarses sont très bien préservées, y compris pour les métatarses droits II à V, les gauches s'effondrant verticalement. Les os apparaissent en vue antérieure, y compris le tarse droit qui n'a pas basculé latéralement, le gauche en vue antéro-latérale.
La grande majorité des connexions étant préservées, y compris des connexions labiles, l'absence de migration en dehors du volume corporel, la position en équilibre de certains os - manubrium et phalanges - impliquent un colmatage rapide. Les migrations de faible amplitude observées - mandibule, os des avant-bras, métatarses - signalent l'existence d'espaces vides secondaires, qui, jointe aux compressions observées au niveau des épaules, genoux et pieds, valident l'hypothèse d'une enveloppe souple.
Un amas osseux mas7083 interstitiel, situé entre les sarcophages 830 et 832, correspond à un Nombre Minimum d'Individu de 4 - deux adultes et deux immatures, dont un de 15-19 ans. La représentativité des ossements est bonne. Il s'agirait donc d'une réutilisation d'un ou des deux sarcophages, la vidange correspondant aux vestiges osseux des occupants précédents.
Le squelette est celui d'un adulte, de sexe masculin.,Le crâne présente des porosités sur le frontal et les pariétaux, de part et d'autre de la suture sagittale sous la forme de surfaces criblées et de perforations, circulaires, de faible ampleur, certaines traversantes, sur le pariétal gauche, avec des bords remaniés.

Photographies de détails

vue du remblai supérieure de l'inhumation 830
C. Le Forestier, Inrap

vue générale de l'inhumation 830 depuis l'est
C. Le Forestier, Inrap

Pathologies

I. 830 : zone criblée sur les deux pariétaux de l'us7083

I. 830 : zone criblée sur les deux pariétaux de l'us7084

Phase : 2 ^{14}C [971 776]

Inhumation 831 - MAS7078

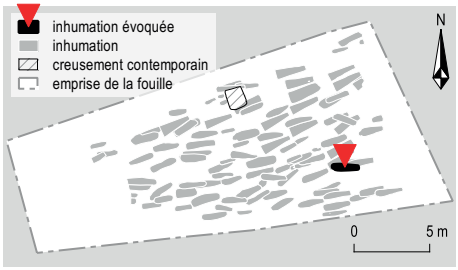

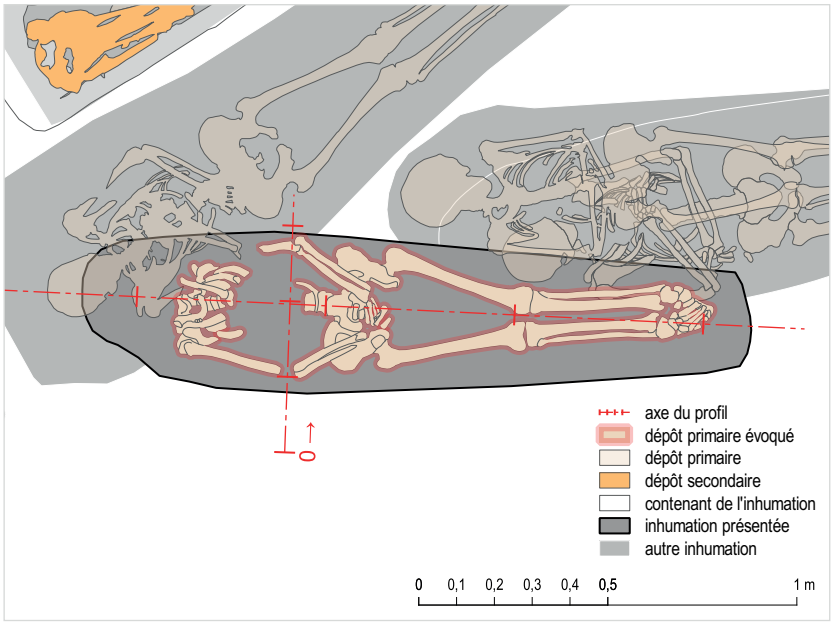

orientation

93 °

pratique funéraire

sans contenant

position

décubitus dorsal

membres supérieurs

135/135

sexe

indéterminé

âge

adulte

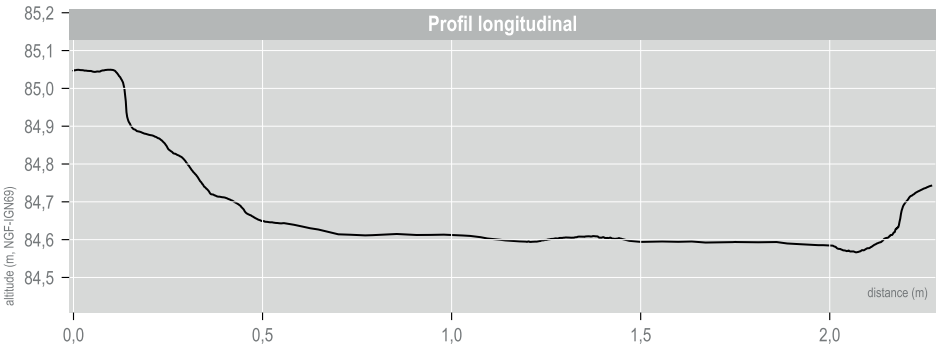

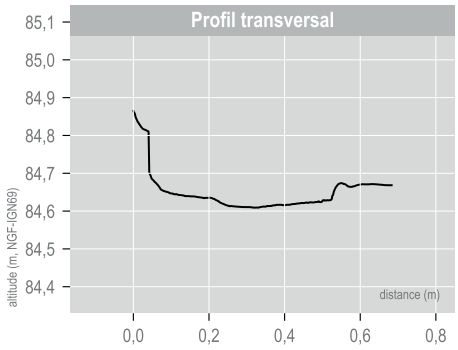

Vue générale de l'inhumation 831

vue générale de l'inhumation 831
C. Le Forestier, Inrap

Description de l'inhumation

La sépulture, dans une fosse oblongue, orientée nord-ouest – sud-est, a été recoupée par la sépulture 820. Le comblement et la partie supérieure du squelette de l'individu inhumé ont été percutés par le creusement de la sépulture 820. Le sujet repose en décubitus, tête au nord-ouest, les avant-bras fléchis à 135°, joints sur le pubis; les membres inférieurs alignés, parallèles mais très resserrés aux genoux et aux chevilles, les pieds joints croisés, le droit en hyperflexion sur le gauche.
La mandibule apparaît en vue antéro-supérieure-latérale gauche, déconnectée. Le rachis vertébral est très perturbé; le rachis cervical est segmenté; les trois dernières lombaires en connexion. Le volume pelvien est conservé. Les clavicules sont très verticalisées ; la connexion huméro-scapulaire droite est stricte, l'humérus en rotation interne. La connexion au coude gauche est lâche; celles aux poignets sont rompues mais deux métacarpes droits et quatre métacarpes gauches sont restés groupés dans le prolongement immédiat des os de l'avant-bras. Toutes les connexions des membres inférieurs, de la ceinture pelvienne jusqu'aux métatarses sont maintenues quasi strictement, les os longs apparaissant en vue antérieure et le talus en vue antéro-médiale.
La majorité des connexions sont maintenues, y compris des connexions labiles ; aucune migration en dehors du volume corporel initial ne s'est produite; laissant envisager un colmatage rapide. La forte compression aux épaules, aux genoux et aux pieds implique la présence d'une enveloppe souple, très enserrante.
Le squelette est celui d'un adulte, de sexe indéterminé.
Le squelette de l'individu présente plusieurs lésions sur les os des membres inférieurs et sur le rachis vertébral. On observe une perforation circulaire (20 mm de diamètre) non traversante sur le fémur gauche au niveau du grand trochanter en vue latérale. Des appositions périostées affectent le tibia et le fémur. Les vertèbres lombaires apparaissent totalement soudées sur les bords latéraux des corps vertébraux, ces derniers présentant également un aspect criblé et pincé.

Pathologies

I. 831 : synostose de deux vertèbres lombaires

I. 831 : perforation latérale du grand trochanter du fémur gauche

I. 831 : perforation latérale du grand trochanter du fémur gauche

Phase : 1

Inhumation 832 - MAS7129

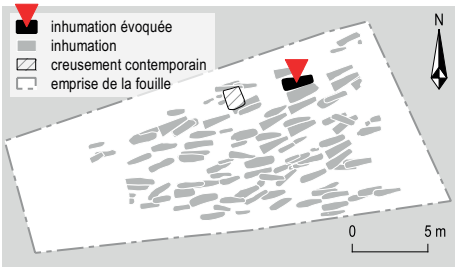

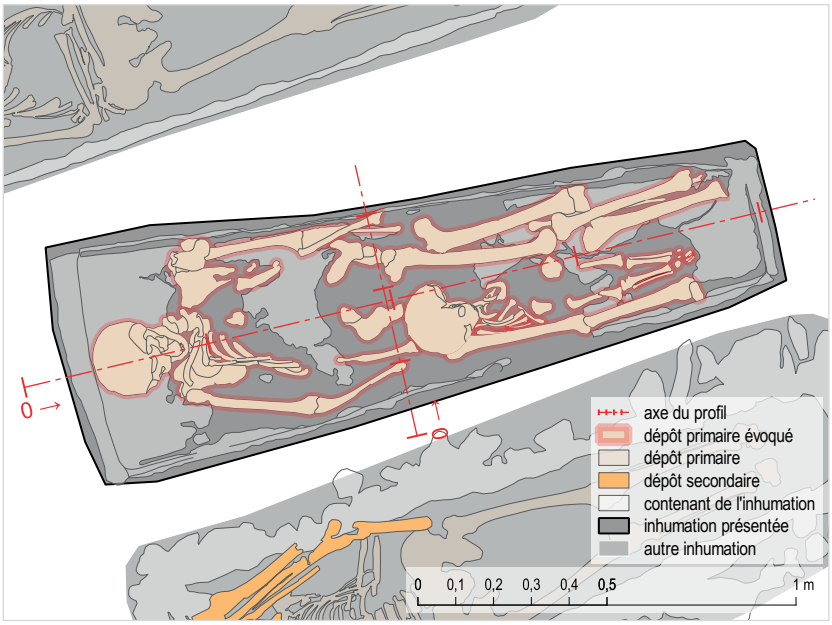

orientation

77 °

pratique funéraire

sarcophage

position

décubitus dorsal

membres supérieurs

indéterminé

sexe

trop jeune pour détermination

âge

1 à 4 ans

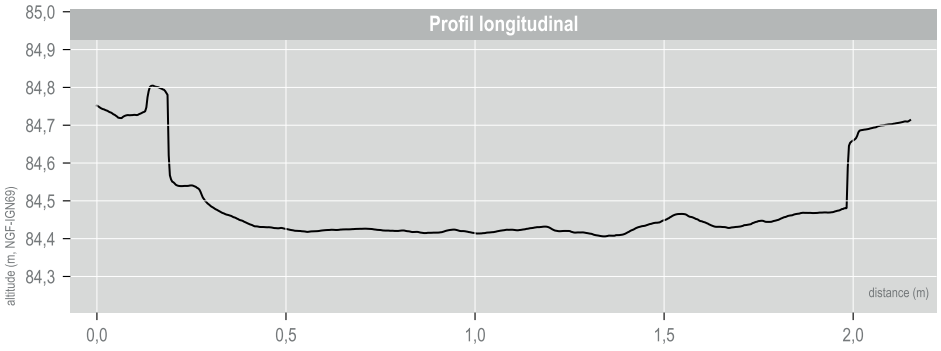

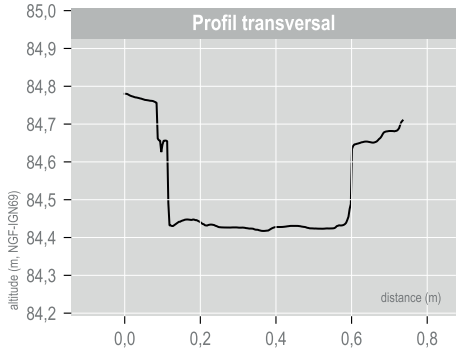

Vue générale de l'inhumation 832

vue générale de l'inhumation 832
C. Le Forestier, Inrap

Description de l'inhumation

Cette sépulture en cuve de plâtre, orientée est-ouest, contient deux dépôts primaires - 832a et 832b - et des os en réduction.
832a : Le sujet a été déposé sur le fond de la cuve, dans sa moitié inférieure. Il repose en décubitus dorsal, les membres inférieurs alignés, parallèles, les pieds joints, en hyper extension. Le crâne est disloqué ; la mandibule en vue antéro-supérieure, le frontal en vue antérieure, ayant migré caudalement. Les volumes corporels ne sont pas conservés. Seul le rachis cervical est présent, d'un seul tenant. L'ilium gauche est isolé. Mis à part le fémur droit, qui est brisé, les os des membres inférieurs respectent la logique anatomique; les tibias et fibulas sont en connexion ; les os des tarses et métatarses droits également. Compte tenu du jeune âge de l'individu inhumé, ce maintien en logique anatomique, l'absence de migration des os en dehors du volume corporel, la position des os du pied droit permettent de conclure à une décomposition en espace colmaté rapidement. La position contrainte des pieds, celle du crâne laissent envisager la présence d'un linceul. Il s'agit du dernier occupant du sarcophage.
Le squelette est celui d'un immature, dont l'âge au décès se situe entre 1 et 4 ans (IM2).
832b : Un second dépôt primaire occupe la moitié supérieure de la cuve. Seul le squelette supérieur de l'individu jusqu'au bassin est conservé en connexion, les membres inférieurs de l'individu ayant été déplacés lors du dépôt de l'inhumation 832a. Il est placé en décubitus dorsal, la tête à l'ouest, les avant-bras à 180°. Le calvarium apparaît en vue antéro-latérale gauche; la mandibule, déconnectée, a migré caudalement. Seul subsiste le rachis cervical, d'un seul tenant. Les volumes corporels ne sont plus conservés. La connexion huméro-scapulaire droite est lâche. Seules les ulnas restent au contact des humérus. Les radius ont migré médialement. Les coxaux sont ouverts.
Les nombreuses migrations observées impliquent une décomposition en espace différé de 832b, puis la réduction partielle de son squelette inférieur, avant le dépôt d'un nouveau défunt, 832a.
Le squelette est celui d'un adulte, de sexe indéterminé.
Il présente des appositions périostées sur le tibia gauche. Des atteintes arthrosiques affectent l'ensemble du rachis vertébral; enfin, la vertèbre lombaire V présente un nodule de Schmorl.
Os déconnectés mas7009 : Les fémurs, les tibias et les fibulas, repoussés sur la paroi latérale gauche, à hauteur de 832a, pourraient correspondre au squelette inférieur de 832b. D'autres ossements humains sont présents dispersés sur les parois latérales (coxal, deux tibias) et au dessus de l'humérus droit de 832a. Il pourrait s'agir de la réduction d'un troisième occupant -le plus ancien -.

Photographies de détails

vuerapprochée de l'inhumation 832
C. Le Forestier, Inrap

vue de la partie ouest du sarcophage de l'inhumation 832
C. Le Forestier, Inrap

vue oblique de la partie ouest du sarcophage de l'inhumation 833
C. Le Forestier, Inrap

vue des inclusions de gypse et du négatif de la paroi de fond du sarcophage de l'inhumation 832
C. Le Forestier, Inrap

Phase : 2 ^{14}C [975 776]

Inhumation 833 - MAS7135

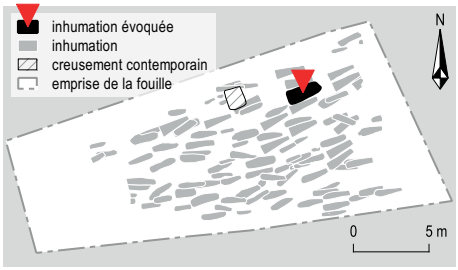

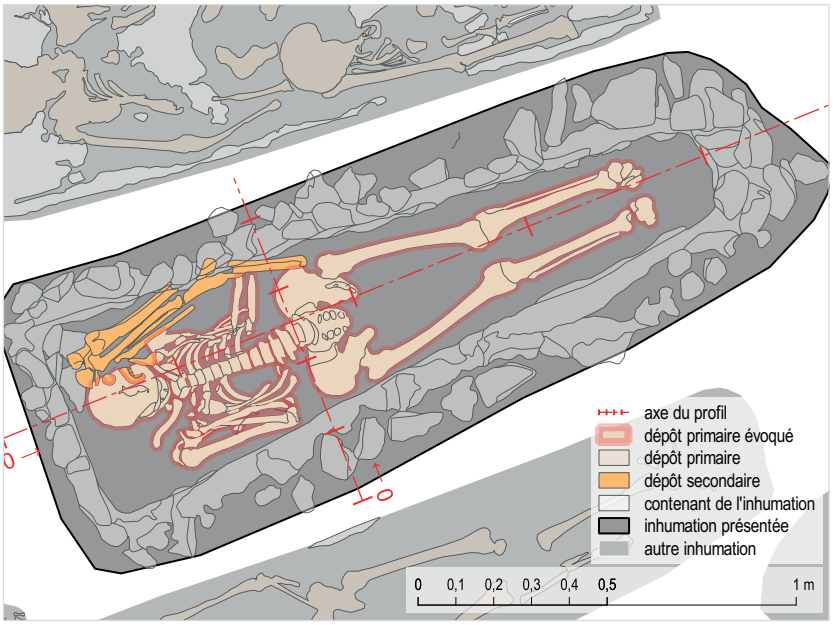

orientation

68 °

pratique funéraire

pierres et plâtre

position

décubitus dorsal

membres supérieurs

0/45

sexe

masculin

âge

adulte

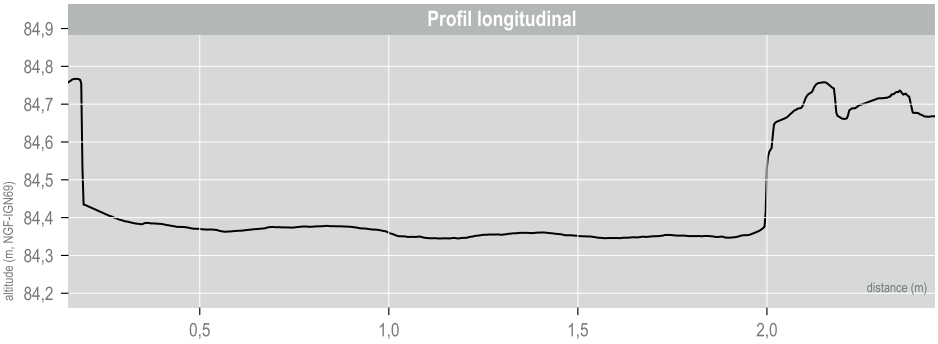

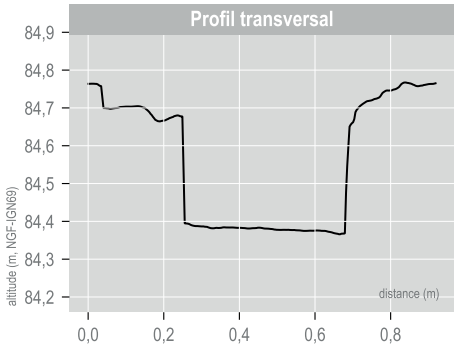

Vue générale de l'inhumation 833

vue générale de l'inhumation 833
C. Le Forestier, Inrap

Description de l'inhumation

Le sujet a été inhumé dans une fosse construite, constituée de pierres liées au plâtre, de forme trapézoïdale, orientée est-ouest.
Le sujet a été déposé en décubitus dorsal, tête à l'ouest, surélevée à l'aide d'un bloc de plâtre, les avant-bras fléchis à 0° à droite, 45° à gauche; les membres inférieurs alignés, non joints, les calcaneus et le talus gauche en vue antéro-médiale.
Le crâne apparaît en vue supérieure latérale droite et a conservé toutes ses connexions. Le rachis vertébral est d'un seul tenant, en vue antérieure; le gril costal est à plat, le manubrium ayant chuté dans l'hémi-thorax droit, les coxaux sont ouverts. La clavicule droite est verticalisée, déconnectée; la gauche restée connectée en position oblique les scapulas à l'horizontale, en connexion quasi stricte avec les humérus. Les connexions aux coudes sont rompues mais les os des avant-bras sont restés à proximité, migrant médialement et caudalement. A droite, des os carpiens sont également en proximité avec le radius mais la plupart des os de la main sont dispersés parmi les côtes. Les connexions sacro-pelviennes et coxo-fémorales sont lâches, les fémurs et les tibias apparaissent en vue antéro-médiale. Les connexions aux chevilles sont rompues à droite, plus lâches à gauche, le talus en vue antéro-médiale.
De nombreuses connexions ne sont plus maintenues strictement, à part les connexions crâniennes; les volumes corporels ne sont plus conservés; néanmoins, aucune migration en dehors du volume corporel n'est observée. Il semble que le sujet ait subi un colmatage progressif à l'intérieur d'un espace vide, ayant probablement bénéficié d'un couvercle, en matériau périssable, comme en témoigne l'amas osseux qui surplombe la sépulture. La compression forte au niveau de l'avant-bras droit implique un élément contraignant, mais peu enserrant, pour l'ensemble du corps.
Le squelette est celui d'un adulte, de sexe masculin.
Deux lésions sur le pariétal gauche et sur le frontal sont observables . Celle du pariétal gauche semble due à un objet tranchant au niveau de la suture sagittale ; celle du pariétal et du frontal droits témoigne d'un soulèvement d'une partie de ces os et de la perte d'un fragment de frontal. En vue endo-crânienne, le long de la suture sagittale sur le pariétal droit, on observe un remodelage osseux. La pariétal gauche pourrait avoir été perforé par un objet tranchant, qui, en ressortant, aurait entrainé le soulèvement d'une partie de l'os; un seconde hypothèse proposerait la réalisation d' une découpe par intervention chirurgicale. Dans les deux cas, les remaniements osseux observés permettent de conclure que ces lésions se sont partiellement résorbées, le sujet survivant à ses blessures. Une lésion affecte également le maxillaire droit en vue antérieure.
Le dépôt osseux secondaire mas7090 se situe dans l'interstice des sépultures 833 et 832 et pourrait constituer la vidange des contenants des deux sépultures. Il se compose de tous les os du squelette humain - hormis les os des mains et des pieds – correspondant à un Nombre Minimal d'Individus de 4: trois adultes de sexe indéterminé et un immature (une mandibule présente).

Photographies de détails

vue du remblai supérieur de l'inhumation 833
C. Le Forestier, Inrap

vue rapprochée de l'inhumation 833
C. Le Forestier, Inrap

vue rapprochée et oblique de l'inhumation 833
C. Le Forestier, Inrap

Pathologies

I. 831 : pariétal droit présentant un traumatisme avec un enlèvement de pièce osseuse (coup porté)

I. 833 : pariétal gauche présentant un traumatisme (coup porté)

Phase : 2

Inhumation 834 - MAS7096

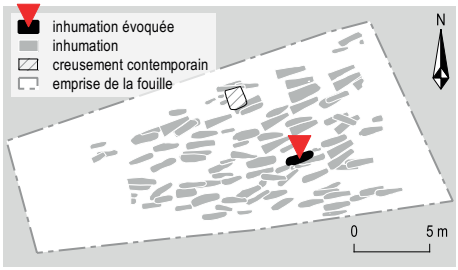

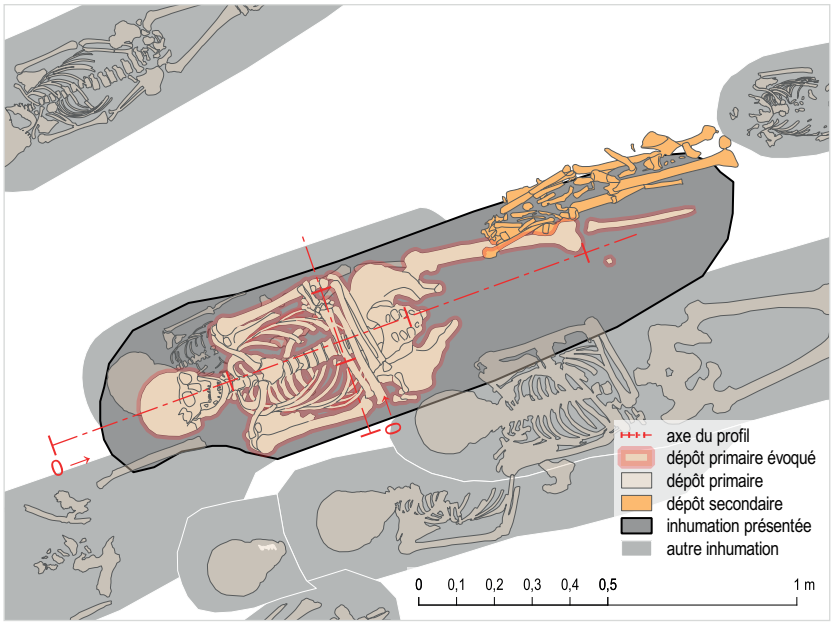

orientation

70 °

pratique funéraire

sans contenant

position

décubitus dorsal

membres supérieurs

90/90

sexe

masculin

âge

adulte

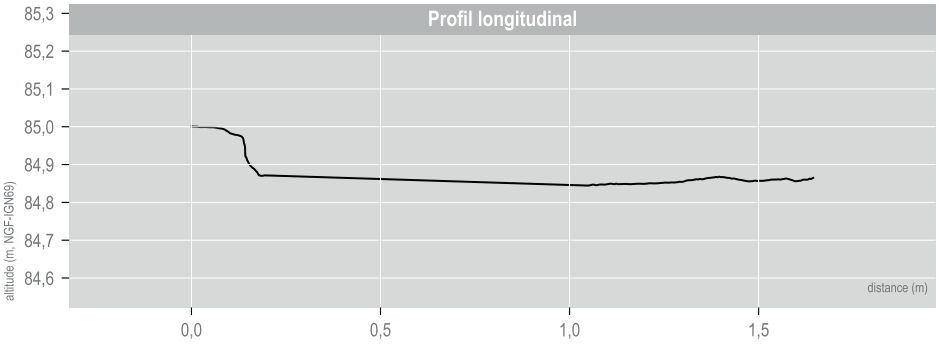

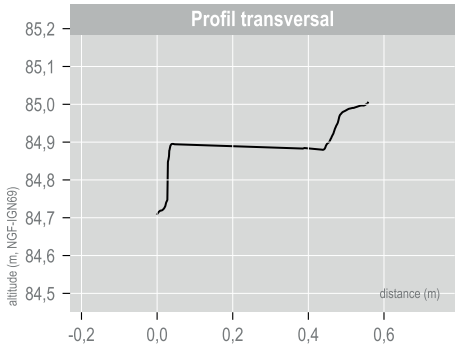

Vue générale de l'inhumation 834

vue générale de l'inhumation 834
C. Le Forestier, Inrap

Description de l'inhumation

Le sujet inhumé a été déposé dans une fosse oblongue, étroite, orientée nord-est - sud-ouest. Une partie du comblement de la fosse et du squelette de l'individu ont été recoupées par le creusement de la sépulture 850. Un important amas osseux a été déposé par dessus le fémur gauche de l'individu et contre la paroi de la fosse d'inhumation. Le squelette de l'individu repose en décubitus dorsal, tête à l'ouest, les avant-bras fléchis à 90°, les mains sur les coudes, le membre inférieur gauche est aligné.
Le calvarium est calé par une pierre et apparaît en vie antéro-supérieure. La mandibule est déconnectée et s'est affaissée sur les cervicales. Le rachis est d'un seul tenant, le manubrium est en place ; les volumes thoraciques et pelvien sont partiellement conservés. La ceinture scapulaire est intégralement préservée ainsi que les connexions huméro-scapulaires. Les clavicules sont à l'oblique, les scapulas de chant, les humérus en vue antéro-latérale. Les ulnas ont migré caudalement mais la connexion huméro-radiale est préservée; les os des avant-bras restent en contact. Les connexions au poignet droit, ulno-radio-carpiennes et carpo-métacarpiennes, sont partiellement maintenues, les métacarpes II et III en équilibre sur l'humérus gauche; à gauche, les connexions sont rompues, des phalanges sont en équilibre instable, le long de l'ilium droit. Toutes les connexions observables du sacrum au fémur gauche sont quasi strictes, le fémur en vue antéro-médiale, la fibula repose en position anatomique.
L'importance des connexions préservées, y compris labiles, la présence d'os en équilibre instable, l'absence de migration en dehors du volume corporel initial plaident en faveur d'un colmatage rapide, dans une fosse étroite. Par ailleurs, la compression aux épaules, les migrations strictement caudales impliquent la présence d'une enveloppe souple.
Le squelette est celui d'un adulte, de sexe masculin.
Le dépôt osseux mas7097 correspond à un Nombre Minimum d'Individus de 2, soit un adulte de sexe indéterminé et un immature. L'inventaire des os adultes contenus dans ce dépôt est complémentaire de celui de l'individu du dépôt primaire.
On observe une déformation volumique de la moitié proximale de la diaphyse fémorale gauche, des enthèses très développées le long de la ligne âpre et des appositions périostées avec un remaniement osseux sur la face postérieure. Des appositions périostées avec remaniement osseux sont également présentes sur l'ensemble de la diaphyse de la fibula gauche.
Dans la réduction mas7097 qui lui est associée, dont la composition correspond aux os manquants du squelette de l'inhumation primaire, les os des membres inférieurs - fémur droit, tibia droit et gauche et fibula droite - présentent les mêmes lésions: prolifération osseuse, surfaces périostées, déformation volumique qui évoquent une atteinte infectieuse et une réaction inflammatoire des os concernés (fémur, fibula) ; cette atteinte est bilatérale mais inégalement développée. On observe une déformation de la moitié supérieure de la diaphyse fémorale droite avec appositions périostées et une déformation de la diaphyse tibiale droite en vue médiale avec appositions périostées et remaniement osseux. C'est le tibia gauche qui est le plus atteint (déformation importante de la diaphyse, surtout dans sa moitié proximale, avec des appositons périostées en vue médiales et en vue latérale, surtout au niveau des insertions musculaires.

Photographie de détails

vue rapprochée de l'inhumation
C. Le Forestier, Inrap

Phase : 3

Inhumation 835 - MAS7103

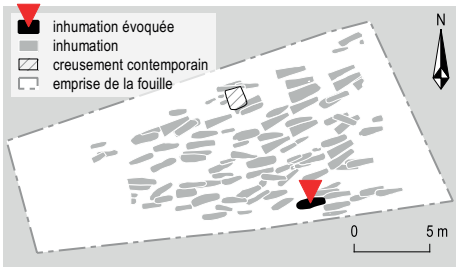

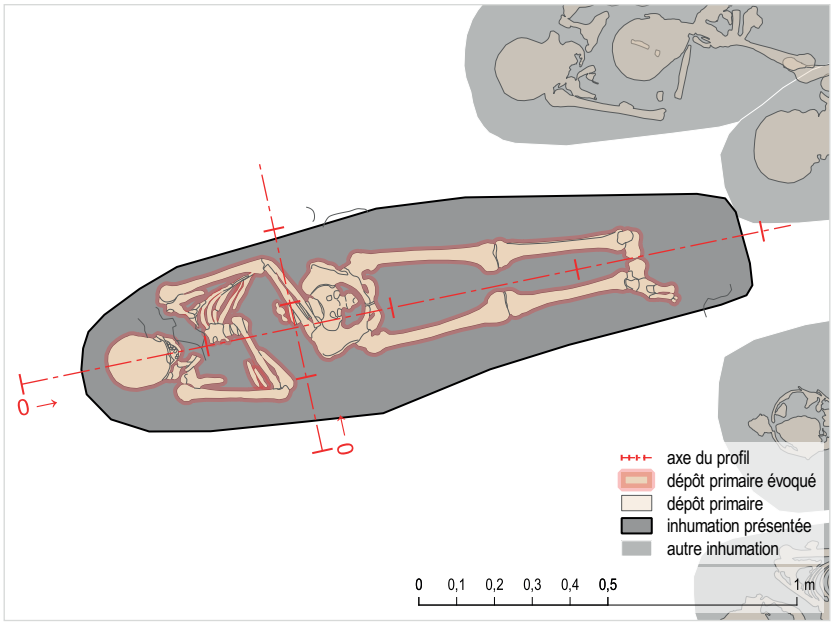

orientation

78 °

pratique funéraire

sans contenant

position

décubitus dorsal

membres supérieurs

45/135

sexe

féminin

âge

adulte

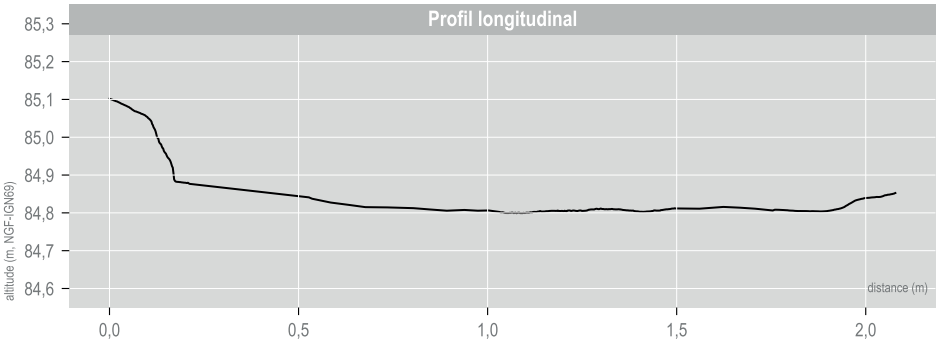

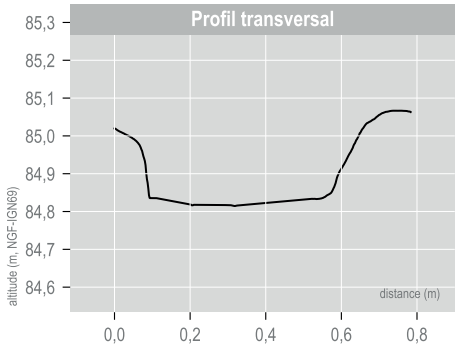

Vue générale de l'inhumation 835

vue générale de l'inhumation 835
C. Le Forestier, Inrap

Description de l'inhumation

Le sujet inhumé a été déposé dans une fosse oblongue, étroite, orientée est-ouest. Le squelette de l'individu repose en décubitus dorsal, tête à l'ouest, calée par des pierres, les avant-bras fléchis à 45° a droite et 135° à gauche, les membres inférieurs alignés, parallèles, les pieds non joints, le droit en hyper extension.
Le crâne apparaît en vue antéro-supérieure, la mandibule bien connectée. Les rachis cervical et lombaire sont d'un seul tenant. Le gril costal est à plat, le volume pelvien est bien conservé. La clavicule droite est verticalisée. Les connexions huméro-scapulaires sont strictes, les scapulas de chant, les humérus en vue antéro-latérale. Les connexions aux coudes sont lâches mais maintenues, l'ulna droit migrant caudalement. La ceinture sacro-pelvienne est bien préservée, tandis que les connexions coxo-fémorales sont plus lâches. Les os du squelette inférieur se présentent en vue antéro-médiale, ayant subi une rotation externe. Les connexions sont maintenues. Les os du pied droit, du tarse aux métatarses apparaissent en vue médiale; à gauche, le calcaneus et le talus sont restés en vue antéro-médiale.
La préservation d'une grande partie des connexions, y comprises labiles, celle du volume pelvien, l'absence de migration en dehors du volume corporel initial illustrent un colmatage rapide des masses molles. La compression aux épaules et au bassin pourraient témoigner de la présence d'une enveloppe souple, contradictoire cependant avec la position observée des os du pied droit.
Le squelette est celui d'un adulte, de sexe féminin.
L'occipital présente une surface porotique et le tibia gauche des appositions périostées.

Phase : 2

Inhumation 836 - MAS7106

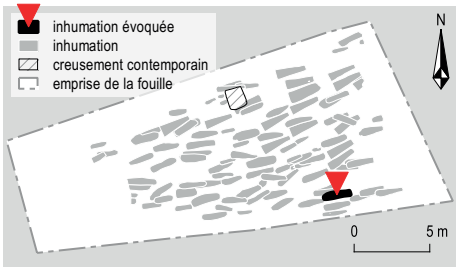

orientation

80 °

pratique funéraire

sans contenant

position

décubitus dorsal

membres supérieurs

90/90

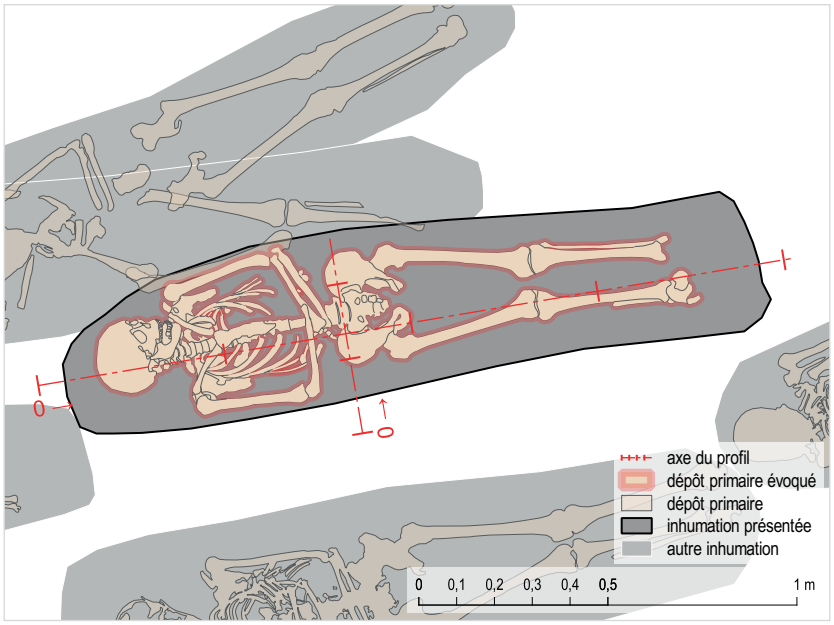

sexe

masculin

âge

adulte

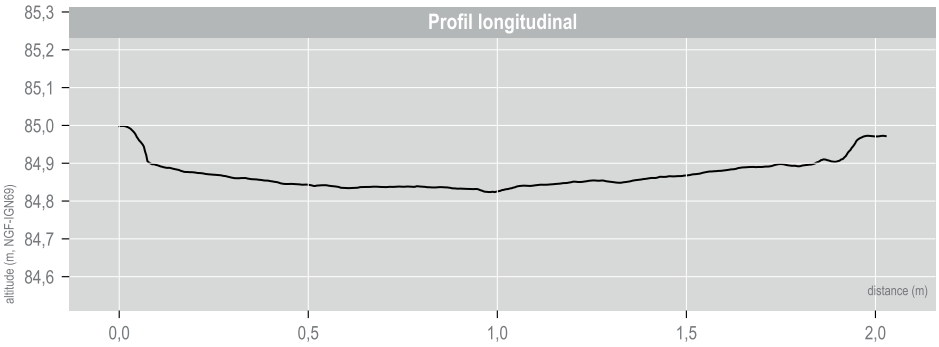

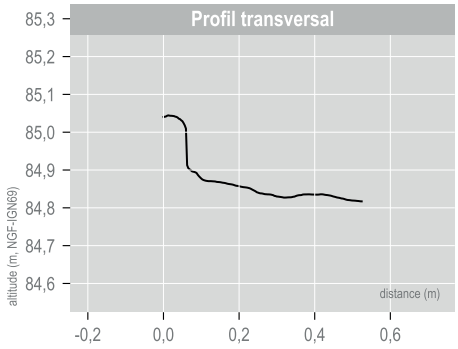

Vue générale de l'inhumation 836

vue générale de l'inhumation 836
C. Le Forestier, Inrap

Description de l'inhumation

Le sujet a été inhumé dans une fosse oblongue, orientée est-ouest. Il repose en décubitus dorsal, la tête à l'ouest, les avant-bras fléchis à 90°, le droit sur le gauche, les membres inférieurs alignés, parallèles, les pieds ouverts, latéralement.
Le crâne apparaît en vue latérale droite, la mandibule déconnectée ayant chuté vers l'avant. Le rachis vertébral est d'un seul tenant, en vue antérieure, manubrium et sternum en équilibre; le volume thoracique est faiblement conservé, le volume pelvien l'est totalement. La ceinture scapulaire et huméro-scapulaire est quasi stricte, les humérus en rotation interne, les clavicules verticalisées, les scapulas à l'oblique.Les os des avant-bras ont migré caudalement, le radius droit médialement. Les os des poignets et des mains sont déconnectés, les gauches restant dans le prolongement immédiat de l'avant-bras gauche, les droits groupés sous l'ulna et le radius gauches. La ceinture sacro-pelvienne est quasi stricte. Les fémurs ont migré en rotation externe; la connexion coxo-fémorale est lâche; les connexions sont maintenues aux genoux, plus lâches à gauche; elles sont rompues à la cheville gauche, le calcaneus migrant caudalement, en vue médiale; elles sont préservées à droite, le talus restant en vue antérieure.
La préservation des connexions et du volume pelvien, le maintien en équilibre du sternum et du manubrium et l'absence de migration en dehors du volume corporel initial plaident en faveur d'un colmatage rapide. Les compressions observables aux épaules, au bassin et aux genoux rendent compte de la présence d'une enveloppe souple, des migrations de faible rayon des os des avant-bras et de la rotation des fémurs.
Le squelette est celui d'un adulte de sexe masculin.
Le métatarse I droit présente de l'arthrose.

Photographie de détails

vue oblique depuis l'est de l'inhumation 836
C. Le Forestier, Inrap

Phase : 2

Inhumation 837 - MAS7109

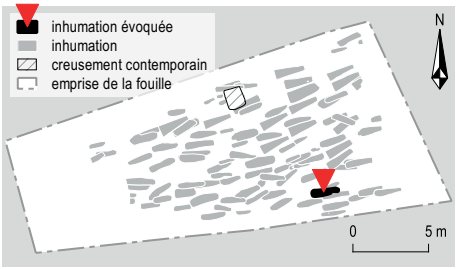

orientation

85 °

pratique funéraire

sans contenant

position

décubitus dorsal

membres supérieurs

90/1

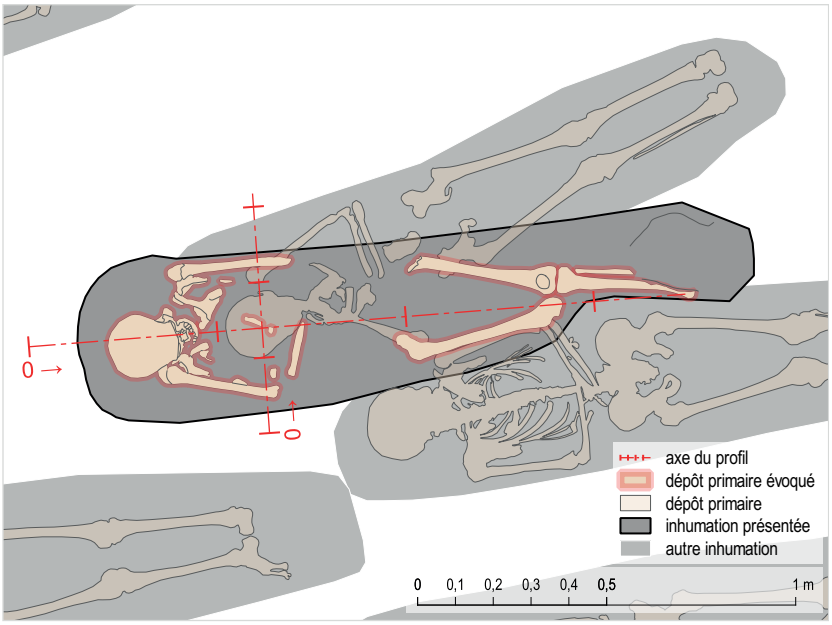

sexe

indéterminé

âge

adulte

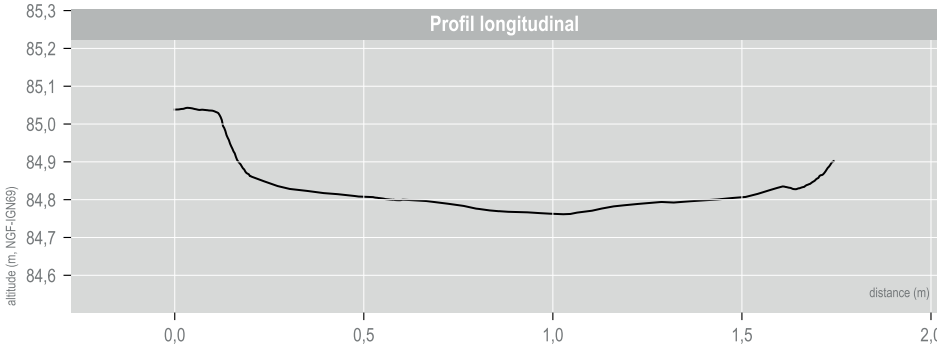

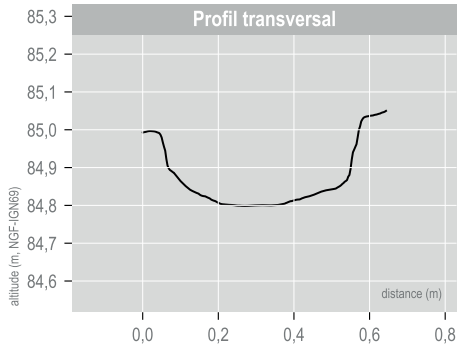

Vue générale de l'inhumation 837

vue générale de l'inhumation 837
C. Le Forestier, Inrap

Description de l'inhumation

Cette sépulture a été recoupée par le creusement de la sépulture 836 et celui de la sépulture 838, percutant le comblement et le squelette du sujet inhumé, au niveau des avant-bras, du bassin et du membres inférieur droit. Le sujet repose en décubitus dorsal, dans une fosse étroite, orientée est-ouest, la tête à l'ouest, s'appuyant sur le bord de la fosse, l'avant-bras droit fléchi à 90°, les membres inférieurs alignés, resserrés aux genoux.
Le crâne apparaît en vue antéro-supérieure, la mandibule en connexion lâche. Les clavicules sont très verticalisées, les scapulas à l'oblique, les humérus en rotation interne.Le fémur droit est en vue antéro-médiale, les os du membre inférieur gauche sont en vue antérieure, la patella en place.
Les connexions observables sont maintenues; on ne note aucune migration en dehors du volume corporel initial et la patella gauche est restée en place. Si ces éléments argumentent tous le colmatage rapide, ils sont trop peu nombreux pour étayer cette hypothèse. La compression visible des épaules et celle des genoux plaident également en faveur d'une enveloppe souple.
Le squelette est celui d'un adulte, de sexe indéterminé.

Photographie de détails

vue avant la fouille de l'inhumation 837
C. Le Forestier, Inrap

Phase : 2

Inhumation 838 - MAS7112

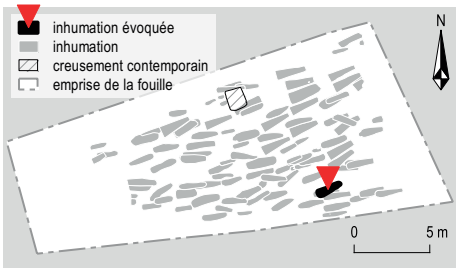

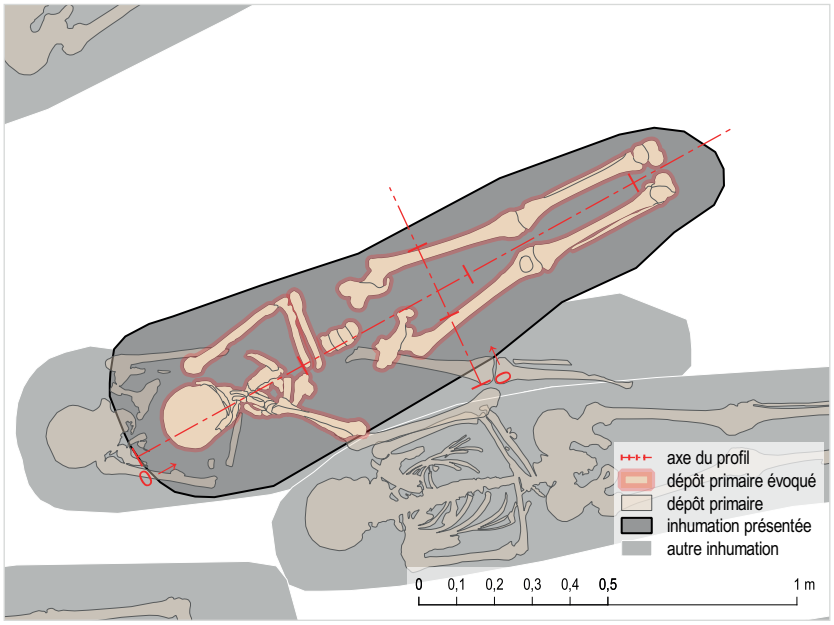

orientation

61 °

pratique funéraire

sans contenant

position

décubitus dorsal

membres supérieurs

45/90

sexe

indéterminé

âge

adulte

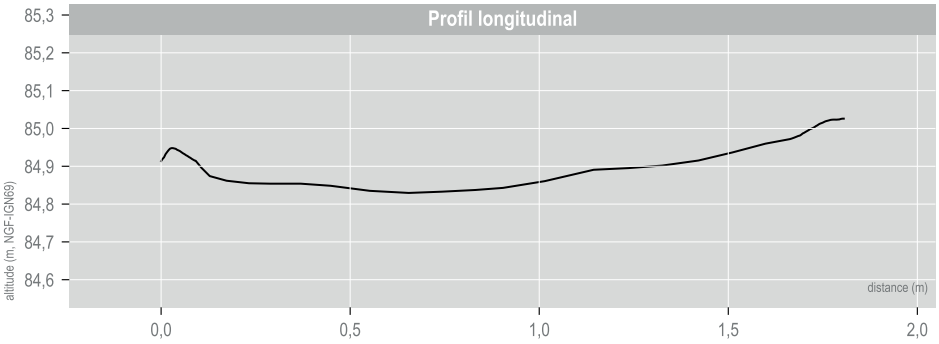

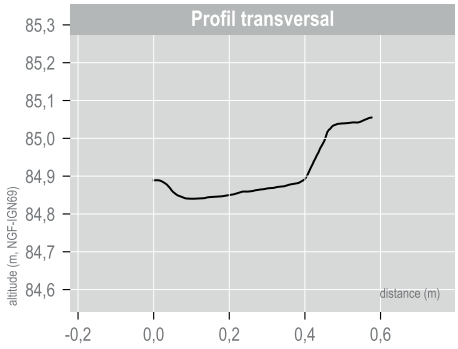

Vue générale de l'inhumation 838

vue générale de l'inhumation 838
C. Le Forestier, Inrap

Description de l'inhumation

Le sujet a été inhumé dans une fosse très étroite, orientée est-ouest, recoupée par le creusement de la sépulture 836. Il repose en décubitus dorsal, la tête à l'ouest, calée par deux pierres, les avant-bras fléchis à 45° à droite et 90° à gauche, les membres inférieurs alignés, parallèles, les pieds non joints, ouverts.
Le crâne apparaît en vue supérieure, la mandibule en connexion stricte. Le rachis vertébral est segmenté, le sternum en équilibre. Les volumes thoracique et pelvien ne sont pas conservés. Au niveau du squelette supérieur droit, la clavicule et la scapula en vue oblique sont déconnectées; l'ulna et le radius sont en connexion, en vue postérieure; une partie des os carpiens, les métacarpes et les phalanges proximales, en vue palmaire, le sont également, quelques phalanges en équilibre contre le maxillaire. A gauche, l'humérus en vue latérale est en connexion avec l'ulna et la radius. Au niveau du squelette inférieur, les connexions coxo-fémorales sont strictes, les fémurs en vue antérieure, patellas en place; les connexions aux genoux et aux chevilles sont préservées, les tibias légèrement ouverts, les talus en vue antéro-médiale.
Toutes les connexions observées sont maintenues, aucune migration en dehors du volume corporel initial ne s'étant produite et plusieurs os restant en équilibre dans leur position initiale, il est possible d'envisager un colmatage rapide. La compression forte au niveau des épaules pourrait s'expliquer par la présence d'une enveloppe souple mais les éléments manquent pour argumenter cette hypothèse; la contrainte du crâne et la compression des épaules peuvent également s'expliquer par l'étroitesse de la fosse et la présence d'un calage céphalique.
Le squelette est celui d 'un adulte de sexe indéterminé.

Photographie de détails

vue rapprochée de l'inhumation 838
C. Le Forestier, Inrap

Phase : 3

Inhumation 839 - MAS7115

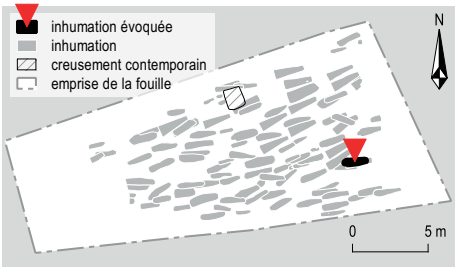

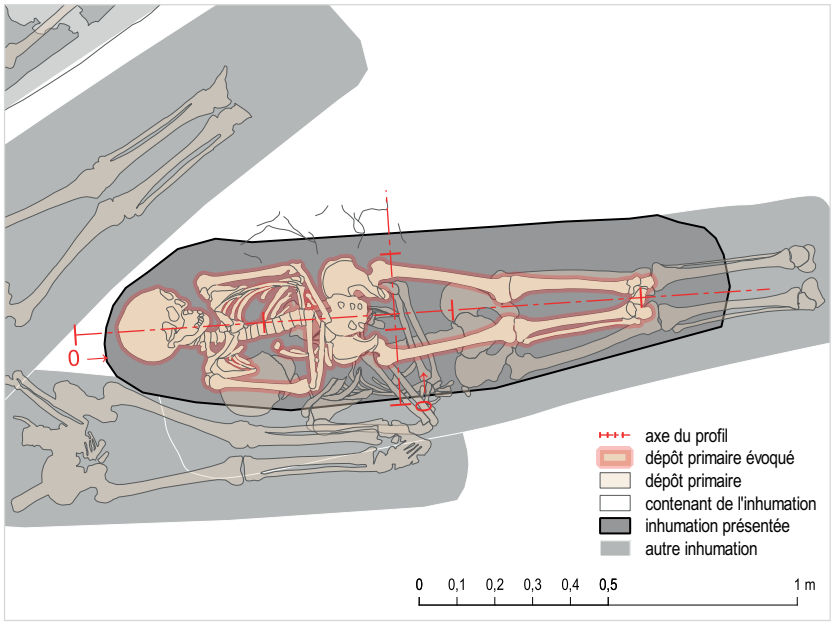

orientation

86 °

pratique funéraire

fosse à banquette

position

décubitus dorsal

membres supérieurs

90/90

sexe

féminin

âge

adulte

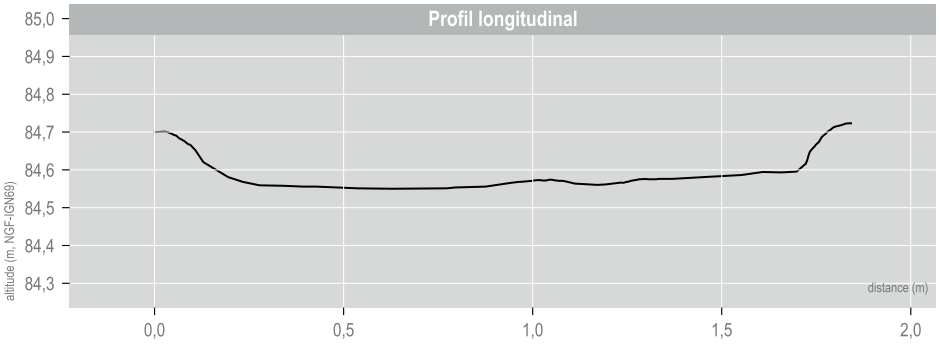

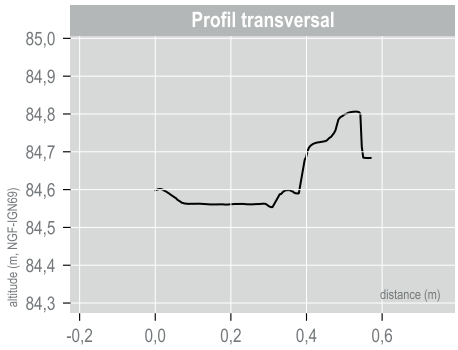

Vue générale de l'inhumation 839

vue générale de l'inhumation 839
C. Le Forestier, Inrap

Description de l'inhumation

Le sujet inhumé a été placé dans une fosse oblongue, assez étroite, d'orientation nord-ouest sud-est, dont le pourtour est bordé de blocs de pierre alignés, évoquant une fosse à banquette. Il repose en décubitus dorsal, la tête au nord-ouest, calée sous le menton par un petit bloc de pierre; les avant-bras sont fléchis à 90°, croisés sur l'abdomen, le droit sur le gauche; les membres inférieurs sont alignés, parallèles, se rejoignant aux chevilles, le pied gauche, en vue médiale, le droit en vue antérieure.
Le calvarium a migré crânialement et apparaît en vue antéro-latérale droite; la mandibule a chuté, butant contre la pierre de calage. Le volume vertébral est d'un seul tenant, le gril costal est à plat, le volume pelvien est conservé. La ceinture scapulaire est rompue, le manubrium et les clavicules, à l'oblique, migrant caudalement. Les connexions huméro-scapulaires sont préservées, les humérus en rotation interne, les scapulas à l'oblique Les ulnas ont migré vers l'intérieur du volume corporel. Les connexions des poignets et des mains sont rompues; quelques métacarpes gauches restent en équilibre sur l'ilium droit. Les connexions des membres inférieurs sont maintenues strictement depuis la ceinture pelvienne jusqu'aux tarses, les fémurs, le tibia et le tarse droit en vue antérieure, le tibia et le tarse gauche en vue médiale.
De nombreuses connexions sont maintenues et on ne note aucune migration en dehors du volume corporel initial, plaidant en faveur d'un colmatage rapide. Néanmoins, les migrations observées, au niveau du squelette supérieur, rendent compte d'espaces vides secondaires, qui suggèrent la présence d'une enveloppe souple.
Le squelette est celui d'un adulte, de sexe féminin.
Les trois dernières cervicales et quelques thoraciques présentent de l'arthrose.

Photographie de détails

vue rapprochée de l'inhumation 839
C. Le Forestier, Inrap

Phase : 2

Inhumation 840 - MAS7118

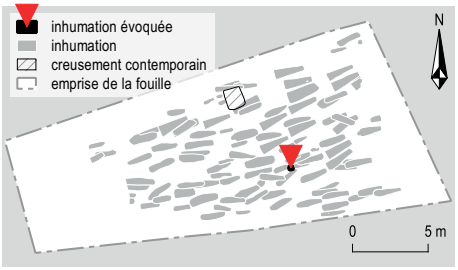

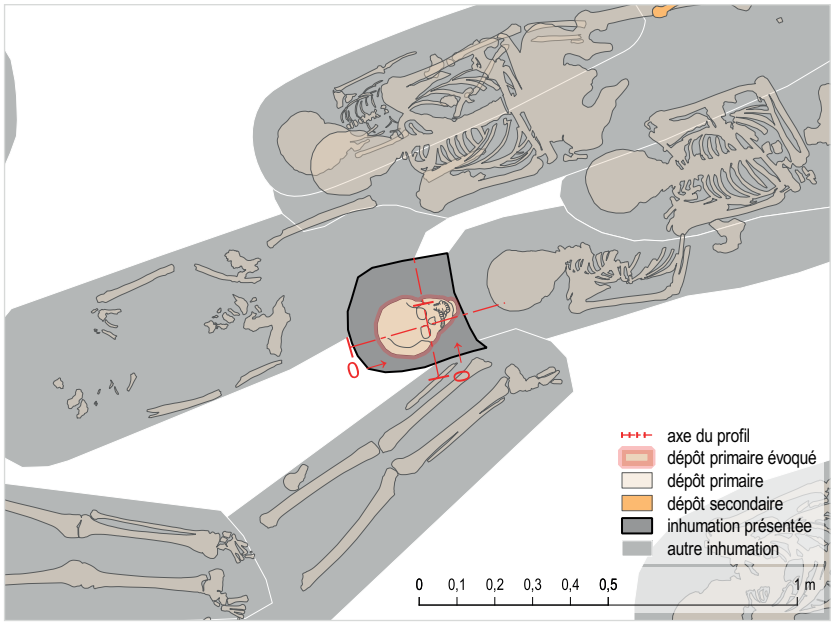

orientation

74 °

pratique funéraire

sans contenant

position

indéterminé

membres supérieurs

indéterminé

sexe

trop jeune pour détermination

âge

5 à 9 ans

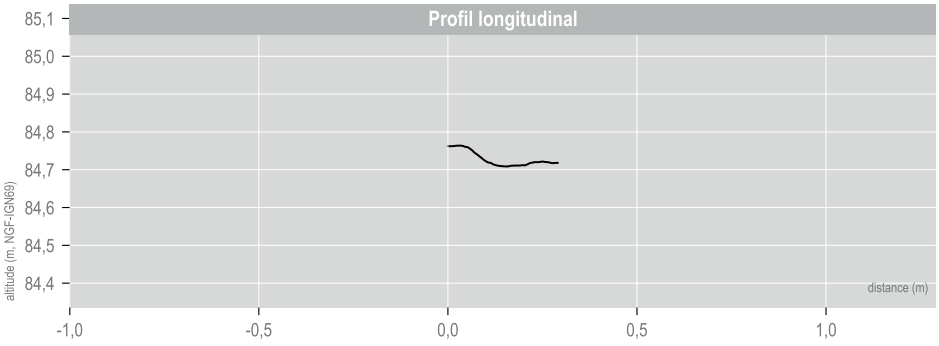

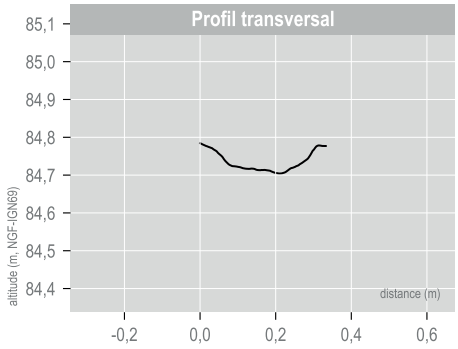

Vue générale de l'inhumation 840

vue générale de l'inhumation 840
C. Le Forestier, Inrap

Description de l'inhumation

La sépulture est totalement recoupée par le creusement de la sépulture 849. Il ne subsiste que l'extrémité occidentale de la fosse d'inhumation. Les vestiges osseux du sujet inhumé se limitent au crâne, à l'ouest, et au rachis cervical. Le calvarium apparaît en vue antérieure. la mandibule déconnectée reposant sur les dernières cervicales, en vue antéro-supérieure. Le rachis cervical est d'un seul tenant, en vue antérieure.
Trop peu d'éléments sont présents pour pouvoir déterminer le mode de décomposition du corps.
Le squelette est celui d'un immature, dont l'âge au décès se situe entre 5 et 9 ans (IM3).
On peut observer des lésions porotiques sur les parois orbitales (cribra orbitalia) ainsi que sur l'occipital et le pariétal gauche, sur une surface assez importante.

Phase : 2

Inhumation 841 - MAS8038

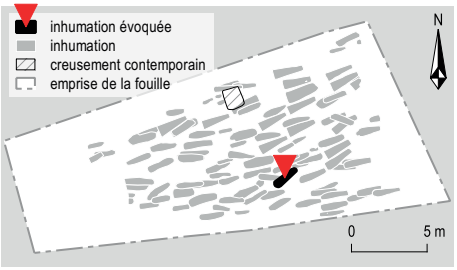

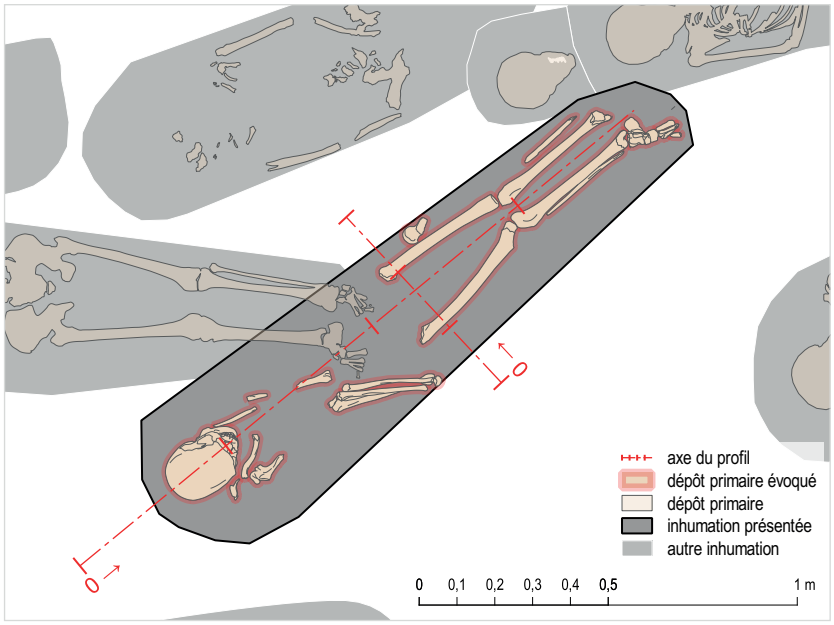

orientation

51 °

pratique funéraire

sans contenant

position

décubitus dorsal

membres supérieurs

0/1

sexe

indéterminé

âge

adulte

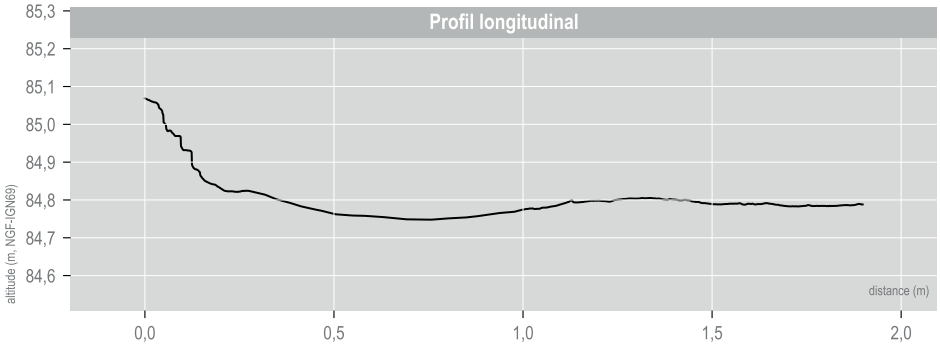

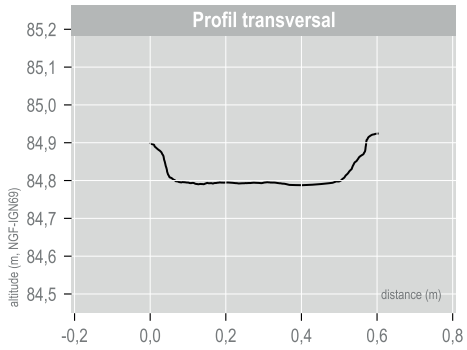

Vue générale de l'inhumation 841

vue générale de l'inhumation 841
C. Le Forestier, Inrap

Description de l'inhumation

Le sujet repose dans une fosse oblongue, orientée est-nord-est – ouest-sud-ouest, recoupée à l'ouest par le creusement de la sépulture 861 et celui de la sépulture 849 au nord-est. Deux gros blocs de pierre se trouvent sur le pourtour de la fosse. Le squelette de l'individu inhumé a été bouleversé, dans sa partie supérieure. L'individu repose en décubitus dorsal, le crâne à l'ouest, le bras droit replié sur lui-même, à 0°, et les jambes alignées, parallèles, le pied droit en hyperflexion.
Le crâne apparaît en vue antéro-supérieure, la mandibule en connexion stricte avec le calvarium. La connexion claviculo-scapulaire droite est maintenue, la clavicule en position quasi verticale, l'humérus en vue antéro-latérale, l'ulna et le radius en vue postérieure sont restés en connexion; au genou, le fémur droit a maintenu une connexion partielle avec le tibia, en vue antéro-médiale; au-delà, les connexions à la cheville, au tarse et aux métatarses droits sont quasiment strictes, en vue antéro-médiale. A gauche, les os ont été fortement perturbés par les recoupements: le fémur, en vue antérieure, est rompu. Le tibia et la fibula sont déconnectés, la fibula a migré latéralement. Des ossements ont été repoussés crânialement (coxal, radius, ulna).
Du fait de la perturbation de la sépulture, les éléments d'observation sont trop partiels pour déterminer le mode de décomposition du sujet.
Le squelette est celui d'un adulte, de sexe indéterminé.

Phase : 3

Inhumation 842 - MAS7124

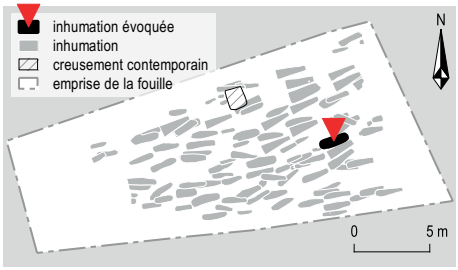

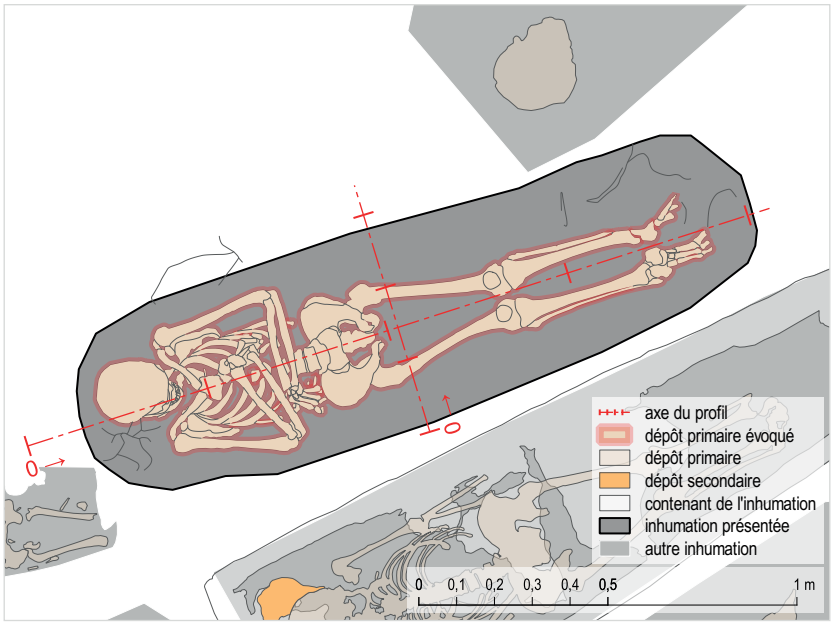

orientation

72 °

pratique funéraire

fosse à banquette

position

décubitus dorsal

membres supérieurs

45/90

sexe

masculin

âge

adulte

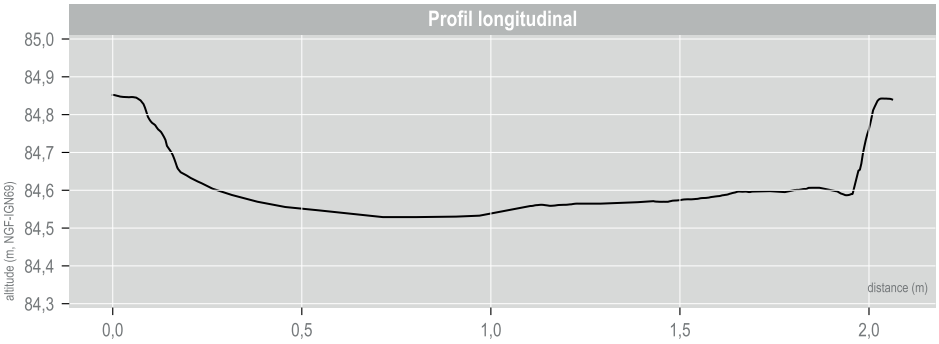

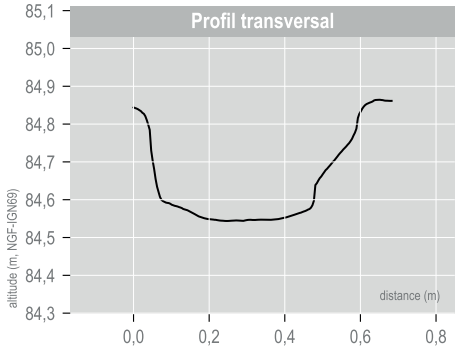

Vue générale de l'inhumation 842

vue générale de l'inhumation 842
C. Le Forestier, Inrap

Description de l'inhumation

Le sujet inhumé a été déposé dans une fosse oblongue, orientée est-ouest, contenant des pierres qui forment un calage céphalique. Il repose en décubitus dorsal, la tête à l'ouest, surélevée; les avant-bras sont fléchis à 45° à droite, 90° à gauche. Les membres inférieurs sont alignés, parallèles, les deux pieds en hyper extension, non joints.
Le crâne apparaît en vue supérieure, le rachis vertébral est d'un seul tenant, le manubrium en place; les volumes thoracique et surtout pelvien, sont préservés. Les clavicules sont verticalisées, les scapulas à l'oblique et les humérus en rotation interne. Toutes les connexions du squelette supérieur sont conservées, de la ceinture scapulaire et huméro-scapulaire, aux coudes et aux poignets. Les os carpiens et les métacarpes gauches sont strictement connectés, les premières phalanges proximales restant à proximité; à droite seul le carpe est maintenu en connexion avec le radius, l'ulna et les os de la main migrant caudalement. Il en est de même pour les connexions des membres inférieurs, de la ceinture pelvienne aux genoux. Les fémurs apparaissent en vue antérieure, patellas en place, les tibias légèrement ouverts. La fibula gauche a migré latéralement, de même que le talus droit. Par contre, les connexions tarso-métatarsiennes et des phalanges proximales et moyennes sont restées strictes.
La préservation des connexions, y compris des plus labiles, l'absence de migration en dehors du volume corporel initial et le maintien d'os en équilibre, parfois instable, attestent un colmatage rapide. Les compressions observées au niveau des épaules, des coxaux, non ouverts, des genoux et des pieds, talus non basculés, impliquent la présence d'une enveloppe souple.
Le squelette est celui d'un adulte, de sexe masculin.

Photographie de détails

vue rapprochée de l'inhumation 842
C. Le Forestier, Inrap

Phase : 1

Inhumation 843 - MAS8041

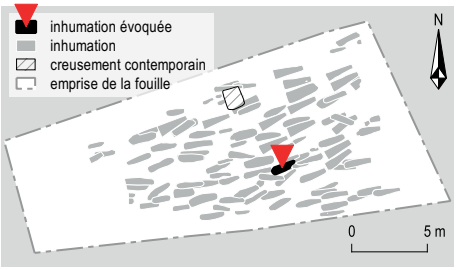

orientation

73 °

pratique funéraire

sans contenant

position

décubitus dorsal

membres supérieurs

180/135

sexe

indéterminé

âge

adulte

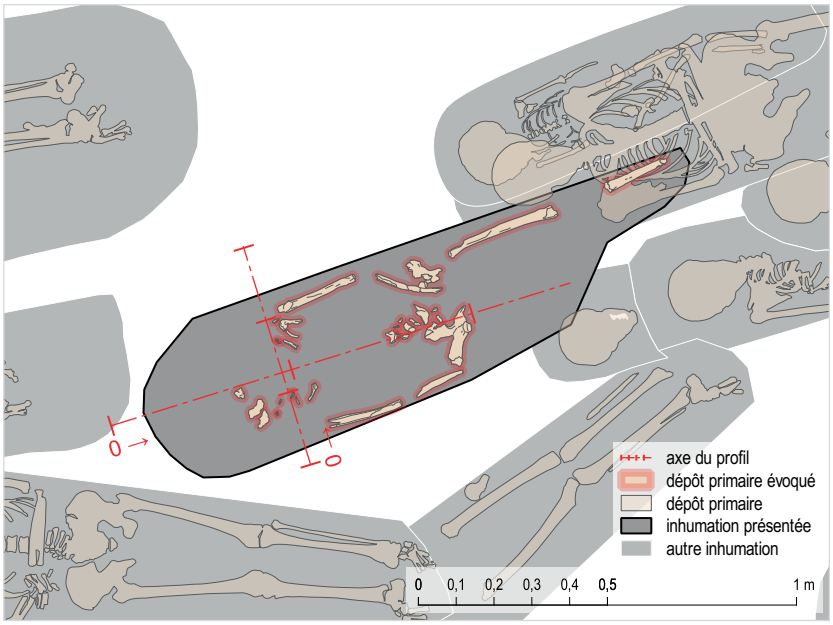

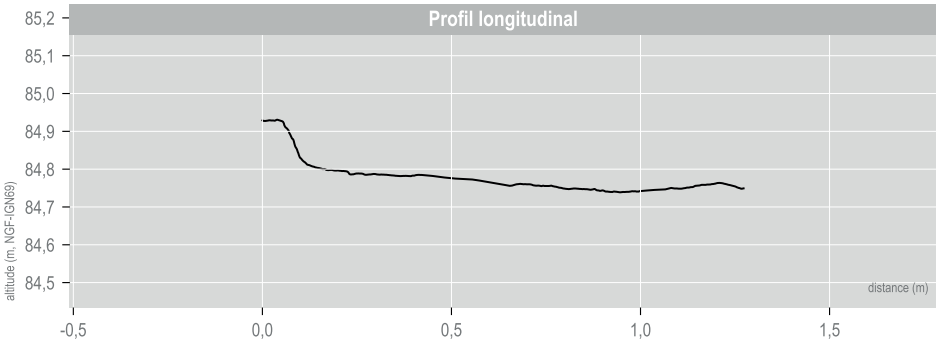

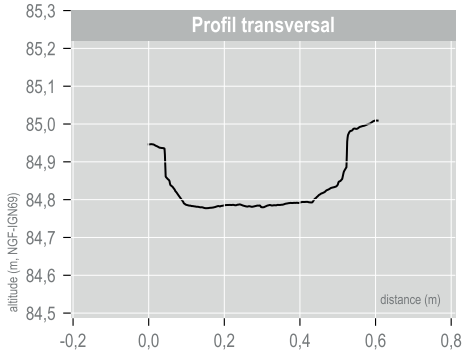

Vue générale de l'inhumation 843

vue générale de l'inhumation 843
C. Le Forestier, Inrap

Description de l'inhumation

Le sujet a été inhumé dans une fosse oblongue, orientée est-ouest, recoupée par les creusements des sépultures 834, 840 et 849. Le squelette est très incomplet et fragmenté. Il ne subsiste que la moitié supérieure du squelette, le bassin et le membre inférieur gauche. L'individu repose en décubitus dorsal, tête à l'ouest, le bras droit le long du corps , le gauche replié sur le pubis, la jambe gauche alignée.
Le crâne est déconnecté et fragmenté. La seule connexion observable se situe au niveau de la ceinture scapulaire gauche, l'humérus et la scapula en vue antérieure se trouvant en cohérence anatomique. Le volume pelvien n'est pas conservé. Les coxaux sont ouverts.
Les éléments d'observation sont insuffisants pour déterminer le mode de décomposition du sujet.
Le squelette est celui d'un adulte, de sexe indéterminé.

Phase : 1

Inhumation 844 - MAS7133

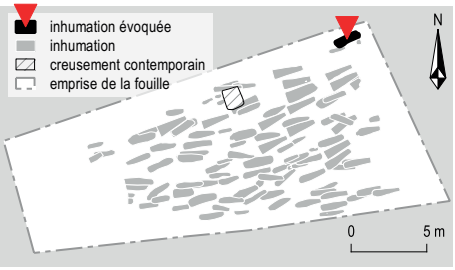

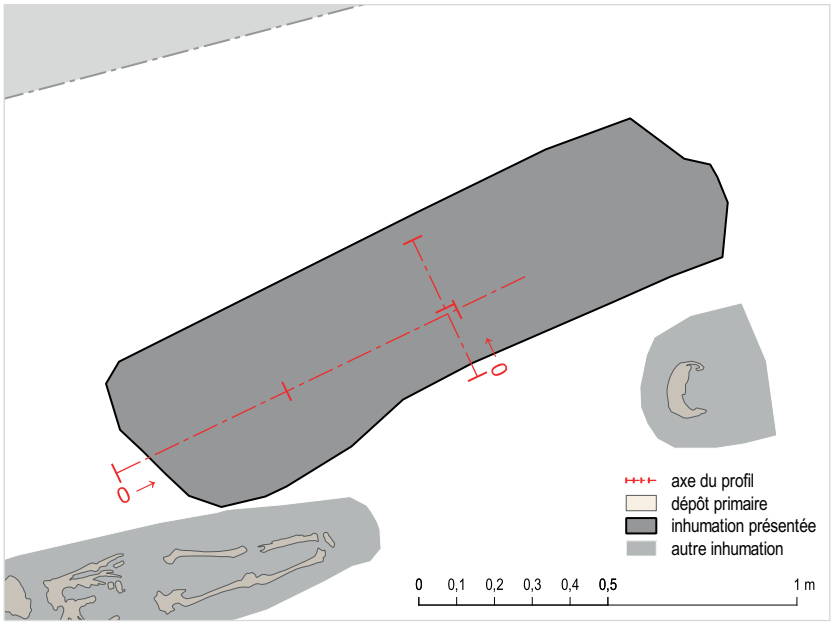

orientation

64 °

pratique funéraire

sarcophage

position

indéterminé

membres supérieurs

indéterminé

sexe

indéterminé

âge

adulte

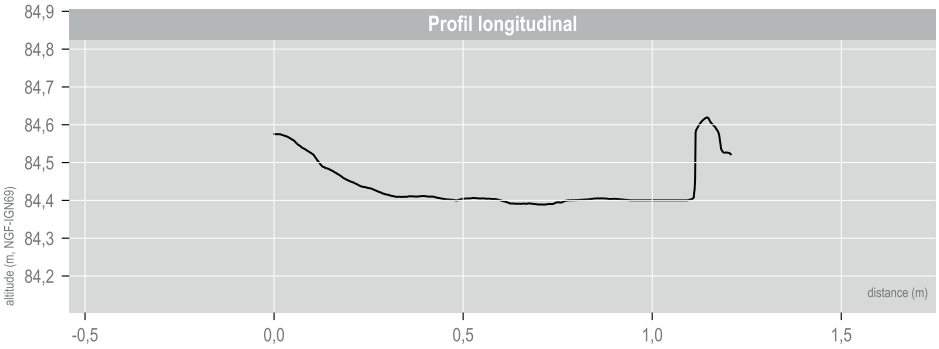

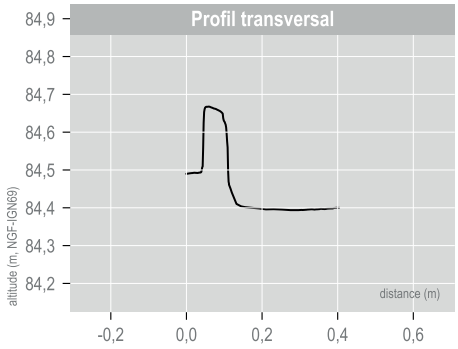

Vue générale de l'inhumation 844

vue générale de l'inhumation 844
C. Le Forestier, Inrap

Description de l'inhumation

La sépulture est constituée d'une fosse, orientée est-ouest, dans laquelle se trouve une cuve de plâtre, contenant quelques fragments d'ossements déconnectés.
Ils correspondent à des os d'adulte, de sexe indéterminé.

Photographie de détails

vue rapprochée de l'inhumation 844
C. Le Forestier, Inrap

Phase : 2

Inhumation 845 - MAS7137

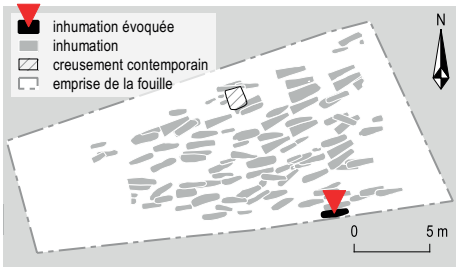

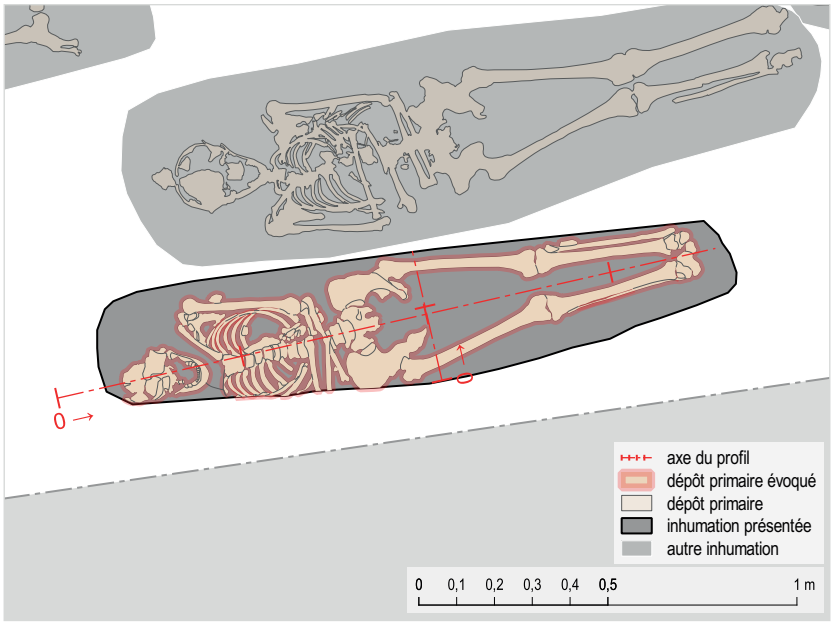

orientation

77 °

pratique funéraire

sans contenant

position

décubitus dorsal

membres supérieurs

90/90

sexe

féminin

âge

adulte

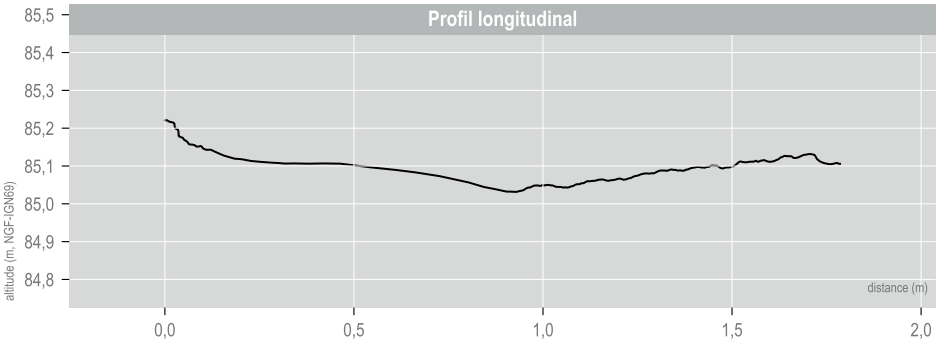

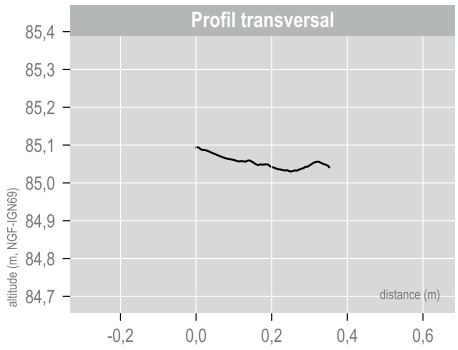

Vue générale de l'inhumation 845

vue générale de l'inhumation 845
C. Le Forestier, Inrap

Description de l'inhumation

Située en limite méridionale de l'emprise de fouille, cette sépulture n'est que partiellement dégagée. Les limites de la fosse d'inhumation et le squelette supérieur droit échappent à l'observation. Le sujet inhumé a été placé dans une fosse oblongue, orientée est-ouest; il repose en décubitus dorsal, la tête à l'ouest, calée au niveau du menton par une pierre; les avant-bras fléchis à 90°, les membres inférieurs alignés, parallèles, les pieds non joints, en vue antéro-médiale à droite, antérieure à gauche.

Le calvarium est bouleversé, la mandibule apparaît en vue antéro-supérieure. Le rachis vertébral est faiblement segmenté, le manubrium est resté en place, le sternum a glissé vers l'hémi-thorax gauche. Les volumes thoracique et pelvien ne sont pas préservés. La ceinture scapulaire est bien maintenue, les clavicules étant verticalisées. Au-delà, les connexions sont lâches ou sont rompues. L'humérus est en vue latérale, la fibula a migré caudalement. Les os du carpe et de la main droite sont groupés, entre les vertèbres et les côtes gauches. Les connexions des membres inférieurs sont dans l'ensemble préservées, des coxaux aux tarses. Le fémur et les os de la jambe gauche, entrainés par l'ouverture du coxal, apparaissent en position antéro-médiale, ceux du tarse restant en vue antérieure. Le fémur droit est resté en vue antérieure, tandis que les os de jambe et du tarse apparaissent en vue antéro-médiale.

La préservation de nombreuses connexions, l'absence de migration en dehors du volume corporel, le maintien du manubrium en équilibre témoignent d'un colmatage rapide. La verticalisation des clavicules, la compression aux coudes et aux pieds, l'absence de rotation du tarse gauche impliquent la présence d'une enveloppe souple, ayant généré des espaces vides secondaires, à l'origine des migrations de faible ampleur observées sur le squelette supérieur.

Le squelette est celui d'un adulte, de sexe féminin.

Photographie de détails

vue rapprochée de l'inhumation 845
C. Le Forestier, Inrap

Phase : 3

Inhumation 846 - MAS7140

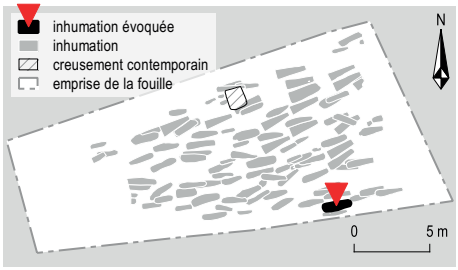

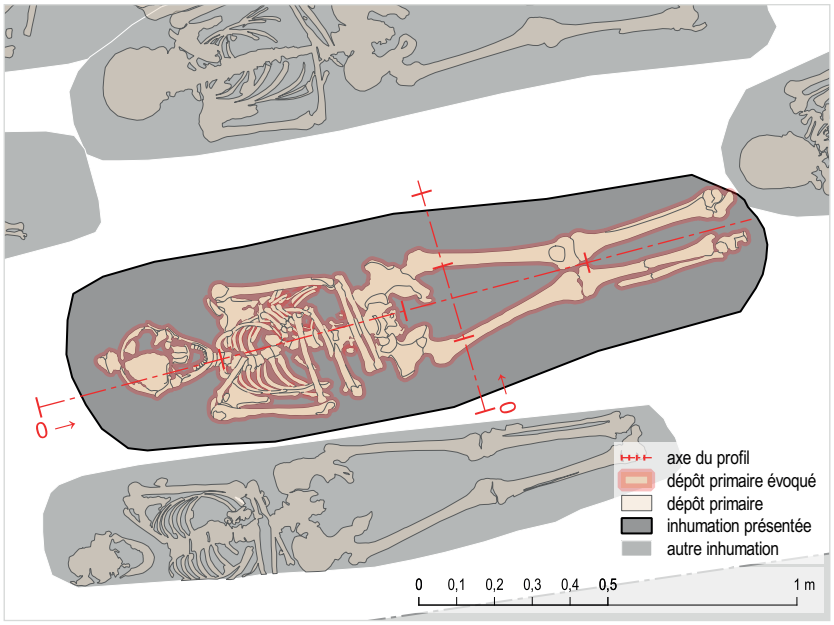

orientation

75 °

pratique funéraire

sans contenant

position

décubitus dorsal

membres supérieurs

90/90

sexe

masculin

âge

adulte

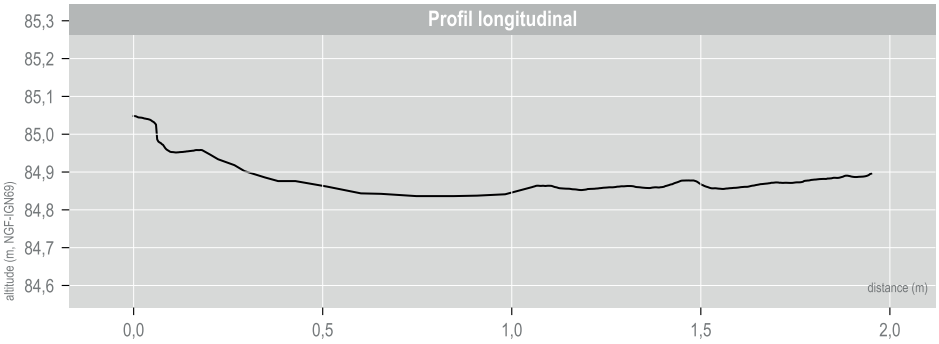

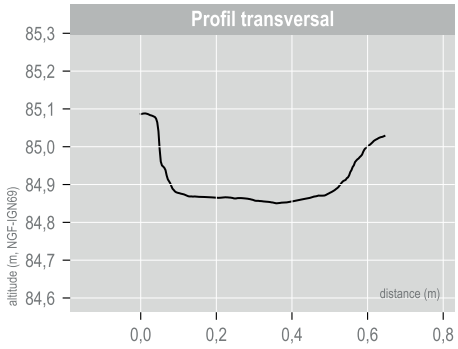

Vue générale de l'inhumation 846

vue générale de l'inhumation 846
C. Le Forestier, Inrap

Description de l'inhumation

Cette sépulture a été légèrement recoupée par la sépulture 848, perturbant le comblement de la fosse et le squelette du sujet inhumé au niveau des pieds. L'individu a été déposé dans une fosse orientée est-ouest, en décubitus dorsal, tête à l'ouest, calée entre deux pierres, les avant-bras fléchis à 90°, les membres inférieurs alignés, joints aux genoux.
Le calvarium et la mandibule apparaissent en vue antéro-supérieure, déconnectés. Le rachis vertébral est segmenté; les volumes thoracique et pelvien non conservés. Seules les connexions huméro-scapulaires – quasi strictes, les scapulas à l'oblique, les humérus en rotation interne – , celles du coude gauche – plus lâche – et celles du carpe et de quatre métacarpes droits, restés groupés sur les côtes - sont maintenues. La ceinture scapulaire est rompue : le manubrium a chuté dans l'hémi-thorax gauche, la clavicule droite s'est affaissée; l'ulna et le radius droits sont bouleversés. Les connexions préservées pour les membres inférieurs sont plus nombreuses – des coxaux aux tarses -, les os longs en vue antérieure, la patella gauche en place, le tarse gauche en vue antéro-médiale, le droit déconnecté.
La préservation de nombreuses connexions, y compris labiles, l'absence de migration en dehors du volume corporel le maintien en équilibre des métacarpes plaident en faveur d'un colmatage rapide. La forte contrainte observée sur l'ensemble du squelette appendiculaire gauche, notamment aux épaules et aux genoux, la verticalisation des clavicules, la position restée parallèle des tarses supposent la présence d'une enveloppe souple, voire de liens au niveau des genoux.
Le squelette est celui d'un adulte de sexe masculin.
Le tibia droit est périosté. Deux vertèbres présentent des nodules de Schmorl.

Photographie de détails

vue rapprochée de l'inhumation 846
C. Le Forestier, Inrap

Phase : 2

Inhumation 847 - MAS7143

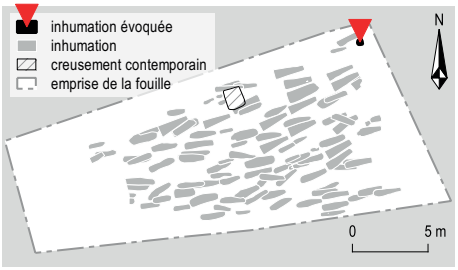

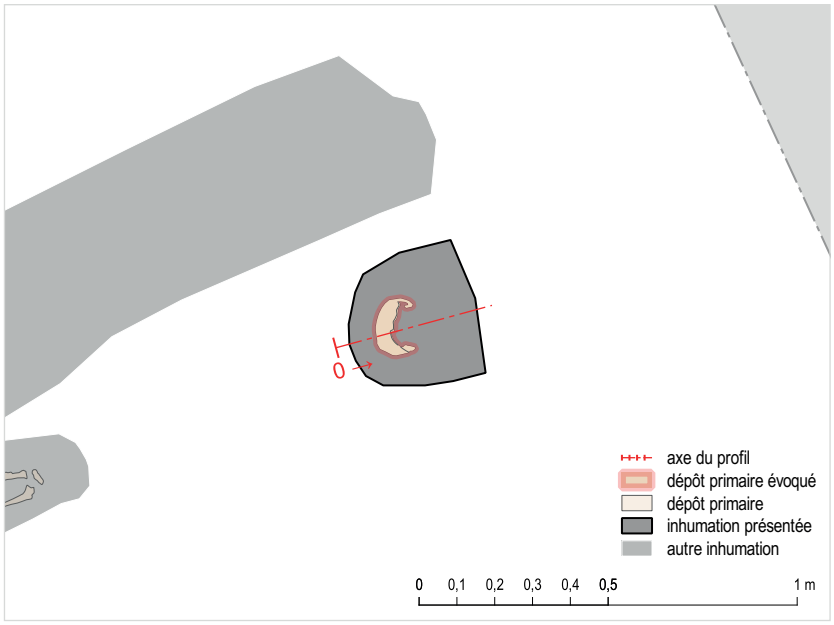

orientation

75 °

pratique funéraire

sans contenant

position

indéterminé

membres supérieurs

indéterminé

sexe

trop jeune pour détermination

âge

0 à 19 ans

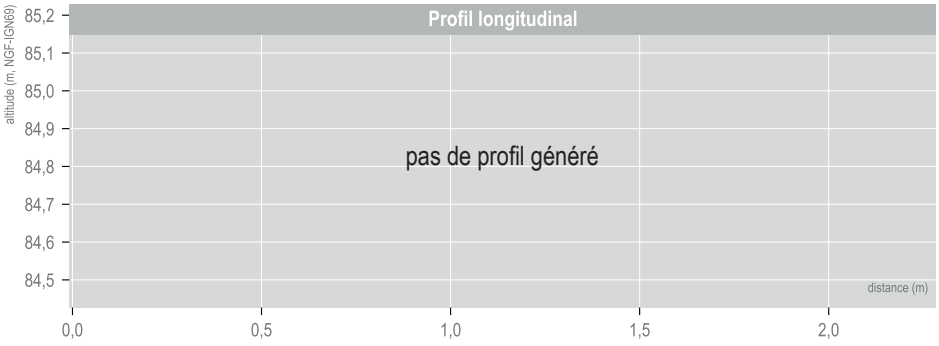

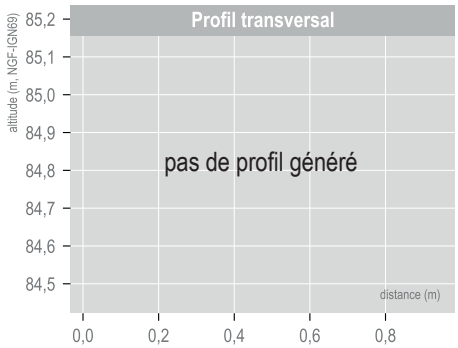

Vue générale de l'inhumation 847

vue générale de l'inhumation 847
C. Le Forestier, Inrap

Description de l'inhumation

Cette sépulture, située en limite orientale de l'emprise de fouille, a été quasi détruite. Il ne subsiste que la partie occidentale de la fosse et un calvarium.
Le crâne est celui d'un adulte, de sexe indéterminé.

Photographie de détails

vue des environs de l'inhumation 847
C. Le Forestier, Inrap

Phase : 3

Inhumation 848 - MAS7146

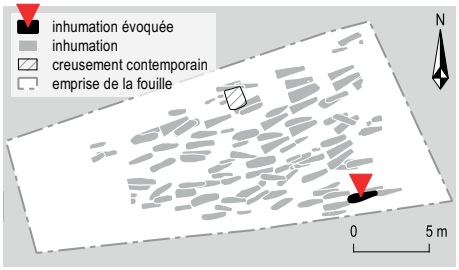

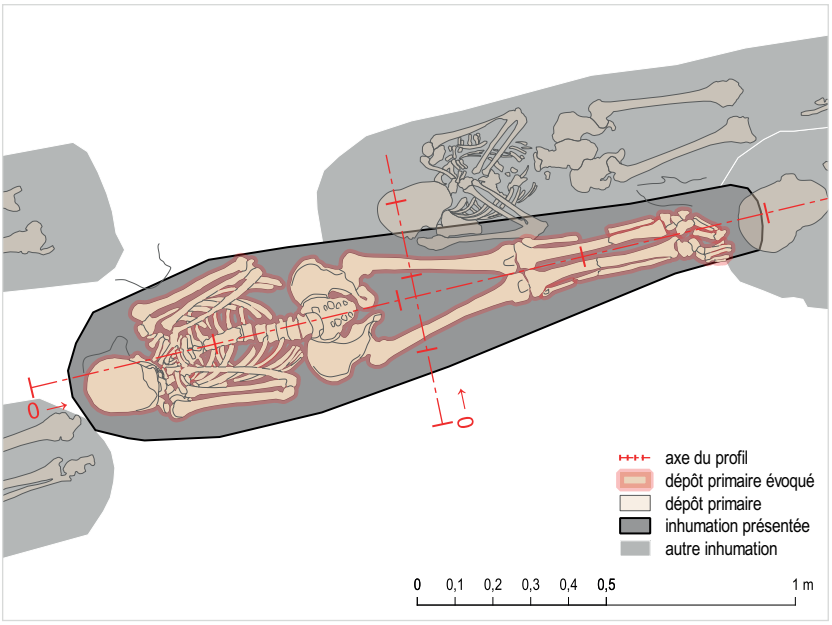

orientation

77 °

pratique funéraire

sans contenant

position

décubitus dorsal

membres supérieurs

0/0

sexe

masculin

âge

adulte

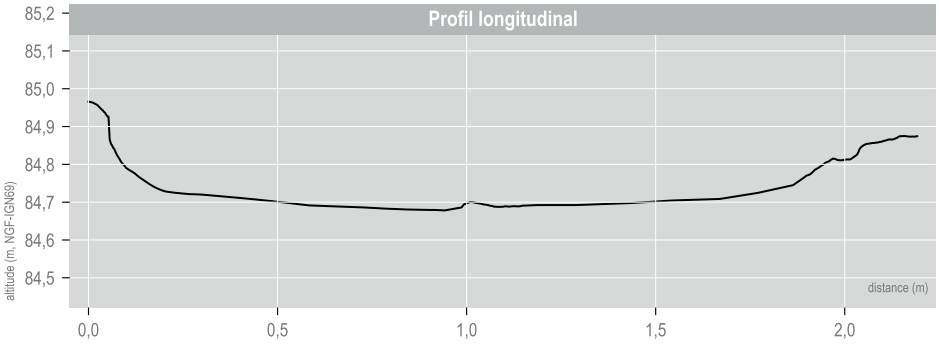

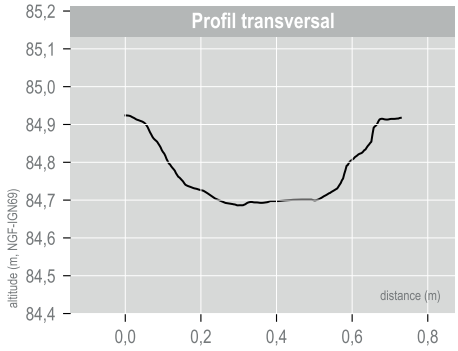

Vue générale de l'inhumation 848

vue générale de l'inhumation 848
C. Le Forestier, Inrap

Description de l'inhumation

Le sujet a été déposé dans une fosse oblongue, étroite, orientée est-ouest. Il repose en décubitus dorsal, s'appuyant contre le bord gauche de la fosse, la tête à l'ouest, surélevée, contre une pierre de calage ; les avant-bras sont fléchis à 0°, les mains jointes sous le menton, les membres inférieurs alignés, très resserrés aux genoux et aux chevilles, les deux pieds parallèles, le droit en hyperflexion, le gauche en extension vers le droit.
Le calvarium est en vue antéro-supérieure gauche, la mandibule en connexion. Le rachis est d'un seul tenant,en vue antérieure, manubrium et sternum en équilibre. Le gril costal est à plat, le volume pelvien bien préservé. Les connexions du squelette supérieur sont mieux préservées à gauche, du fait de la position du sujet dans la fosse. La scapula est de chant, à gauche, à l'oblique à droite; les humérus en rotation interne; seule la connexion radio-humérale est maintenue, les ulnas migrant vers l'intérieur du volume thoracique. Si les connexions aux poignets sont rompues, les métacarpes et les phalanges proximales et moyennes restent groupés en vue dorsale à gauche et palmaire à droite, certaines phalanges en équilibre sur le manubrium.
Toutes les connexions du squelette inférieur sont maintenues: strictement, au niveau des coxaux et des os longs du squelette inférieur droit; plus lâches à gauche, le fémur en vue antéro-médiale, le tibia en vue antéro-latérale. Les os tarsiens et métatarsiens droits sont en connexion stricte, en vue antéro-médiale; à gauche, le talus n'a pas basculé, ,tandis que les os métacarpiens apparaissent en vue antéro-latérale.
Le maintien de nombreuses connexions et celle du volume pelvien, l'absence de migration en dehors du volume corporel initial et la présence de nombreux os en équilibre, plaident en faveur d'un colmatage rapide. Par ailleurs, les très fortes compressions observées au niveau des épaules et du thorax, des genoux et des chevilles quasi joints,ne peuvent s'expliquer que par la présence d'une enveloppe souple très enserrante, et de liens - au thorax, aux genoux et aux chevilles - à l'origine probablement de la rupture des tibias. Outre l'existence d'un linceul, la position contrainte du pied gauche est due au bloc de pierre, qui le jouxte, dans le fond de la fosse.
Le squelette est celui d'un adulte, de sexe masculin.

Photographie de détails

vue rapprochée de l'inhumation 848
C. Le Forestier, Inrap

Phase : 3

Inhumation 849 - MAS7149

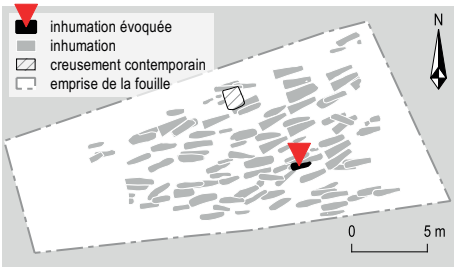

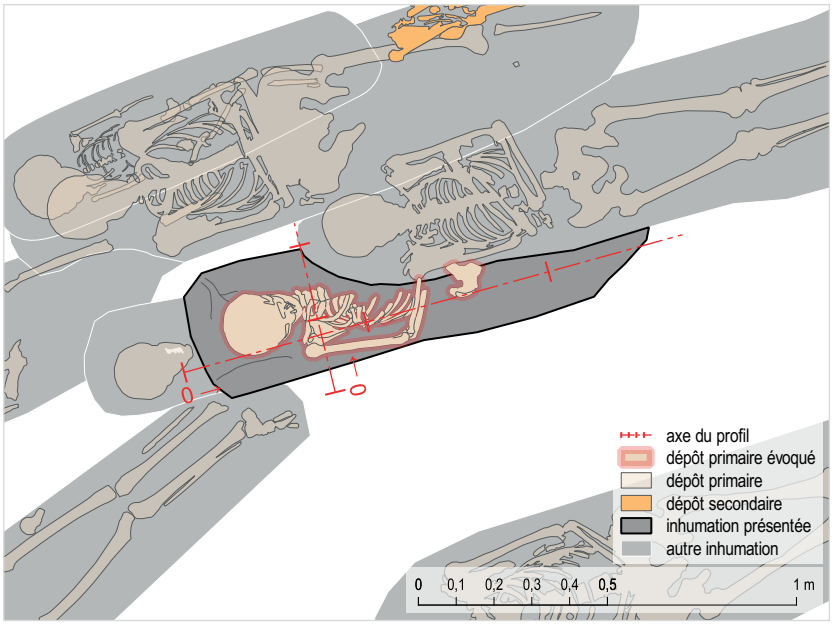

orientation

75 °

pratique funéraire

sans contenant

position

décubitus dorsal

membres supérieurs

90/1

sexe

trop jeune pour détermination

âge

15 à 19 ans

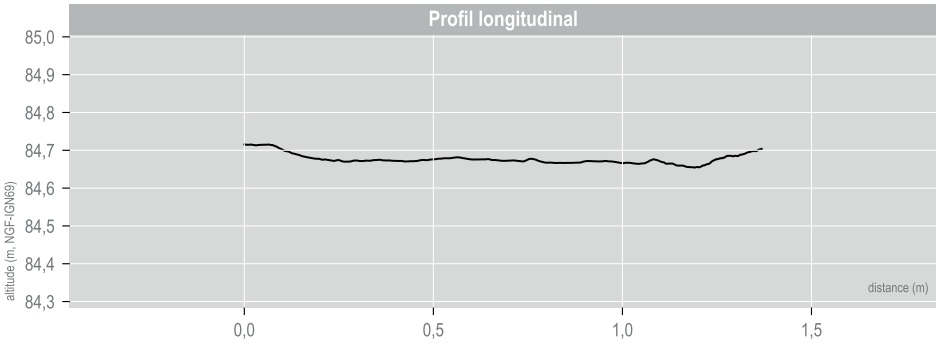

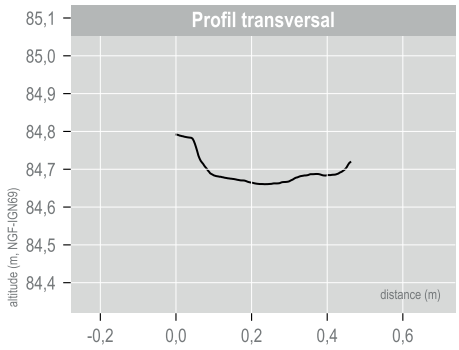

Vue générale de l'inhumation 849

vue générale de l'inhumation 849
C. Le Forestier, Inrap

Description de l'inhumation

Cette sépulture est très peu conservée, du fait de son recoupement par la sépulture 850. Il ne subsiste que la partie supérieure de la fosse, orientée est-ouest et le squelette supérieur droit de l'individu inhumé. Celui-ci repose en décubitus dorsal, la tête à l'ouest maintenue par une pierre de calage, l'avant-bras droit fléchi à 90°.
Le crâne apparaît en vue antéro-supérieure, en connexion stricte avec la mandibule et le rachis cervical. Ce dernier est d'un seul tenant, en vue antérieure. Le gril costal droit est à plat. La clavicule est à l'horizontale, la scapula à l'oblique et l'humérus en vue antéro-latérale.
Toutes les connexions observables étant préservées - crâniennes, huméro-scapulaires, radio-ulno-humérales -, aucune migration en dehors du volume corporel n'ayant eu lieu, plusieurs phalanges proximales et moyennes restant groupées, certaines en équilibre instable sur les côtes - , il est possible d'envisager un colmatage rapide de la sépulture.
Le squelette est celui d'un immature dont l'âge au décès se situe entre 15 et 19 ans (IM5).
On observe une porosité sur la surface crânienne, à la jonction des sutures sagittale et lambdoïde.

Photographie de détails

vue rapprochée de l'inhumation 849
C. Le Forestier, Inrap

Phase : 3 ^{14}C [1155 1016

Inhumation 850 - MAS7152

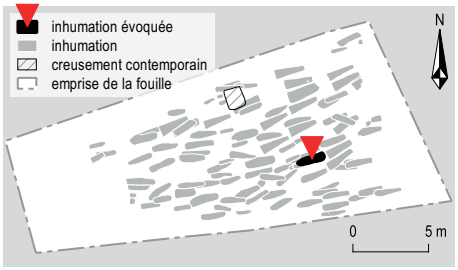

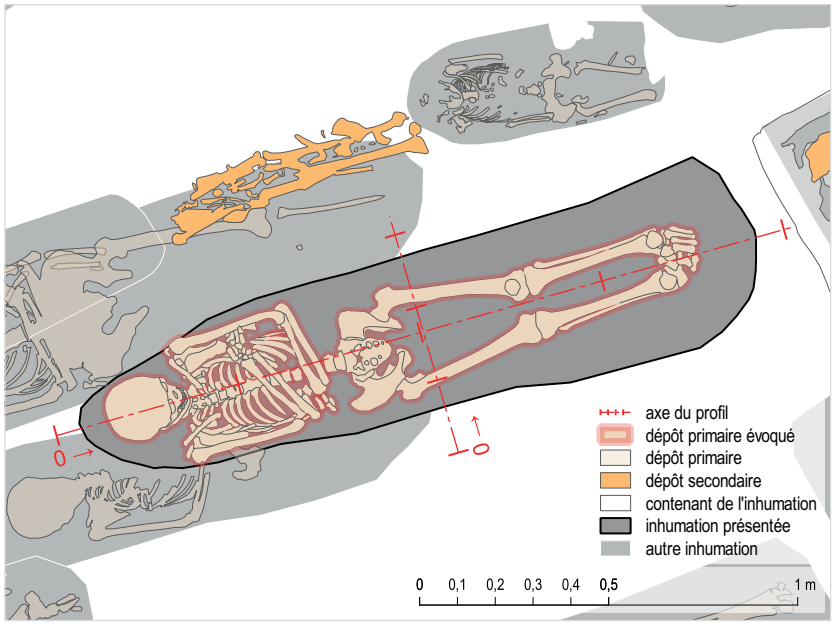

orientation

74 °

pratique funéraire

sans contenant

position

décubitus dorsal

membres supérieurs

45/90

sexe

indéterminé

âge

adulte

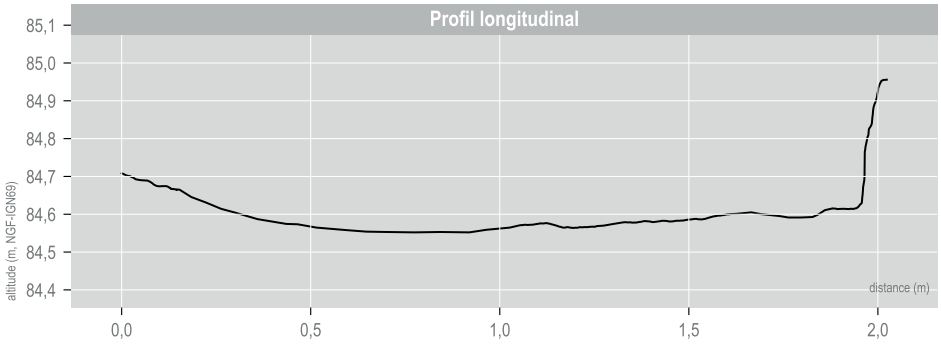

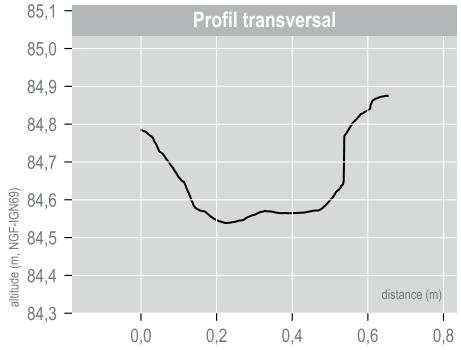

Vue générale de l'inhumation 850

vue générale de l'inhumation 850
C. Le Forestier, Inrap

Description de l'inhumation

Le sujet a été déposé dans une fosse oblongue, étroite, orientée est-ouest. Il repose en décubitus dorsal, tête à l'ouest, les avant-bras fléchis à 45° à droite et 90° à gauche; les membres inférieurs alignés, parallèles, resserrés aux genoux, et les pieds joints.
Le crâne apparaît en vue antéro-supérieure, adossé à la paroi de la fosse; la mandibule, déconnectée, s'est affaissée caudalement. Les volumes corporels sont bien conservés. Le rachis vertébral est légèrement segmenté au niveau des vertèbres thoraciques. Si la clavicule droite est déconnectée, toutes les autres connexions de la ceinture scapulaire sont maintenues, la clavicule et les scapulas à l'oblique, les humérus en vue antéro-latérale. A part l'ulna et le radius droits déconnectés de l'humérus, toutes les connexions au coude gauche et aux poignets sont maintenues ; des métacarpes restent groupés dans le prolongement des avant-bras. Enfin, toutes les connexions, de la ceinture pelvienne aux chevilles, sont strictes. Les fémurs, tibias et fibulas se présentent en vue antérieure, la patella gauche est en place; les métatarses gauches déconnectés sont restés néanmoins dans la logique anatomique.
La persistance d'un très grand nombre de connexions, y compris labiles, l'absence de migration en dehors du volume corporel initial, la patella restée en équilibre sur le fémur gauche, plaident en faveur d'un colmatage rapide. Par ailleurs, la compression observée au niveau des épaules et des pieds – les os ne migrant pas - peuvent s'expliquer par la présence d'une enveloppe souple très enserrante. Les espaces vides secondaires ainsi créés et la position générale contrainte de l'individu, dans une fosse très exigüe.- le squelette supérieur droit étant surélevé contre le rebord de la fosse - rendent compte des quelques migrations de faible ampleur observées sur la clavicule et l'avant-bras droits.
Le squelette est celui d'un adulte, de sexe indéterminé.
Des surfaces porotiques sont observables sur le crâne. Le fémur gauche présente une forte déformation volumique de la diaphyse dans sa moitié proximale ; dont la surface comporte des appositions périostées ainsi que des cloaques. Un petit arrachement osseux est observable, d'ordre possiblement traumatique, et qui aurait entrainé une infection de la zone affectée.

Photographie de détails

vue rapprochée et oblique de l'inhumation 850
C. Le Forestier, Inrap

Phase : 2

Inhumation 851 - MAS7157

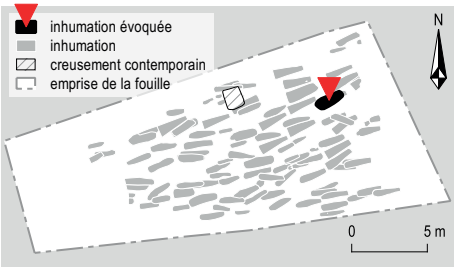

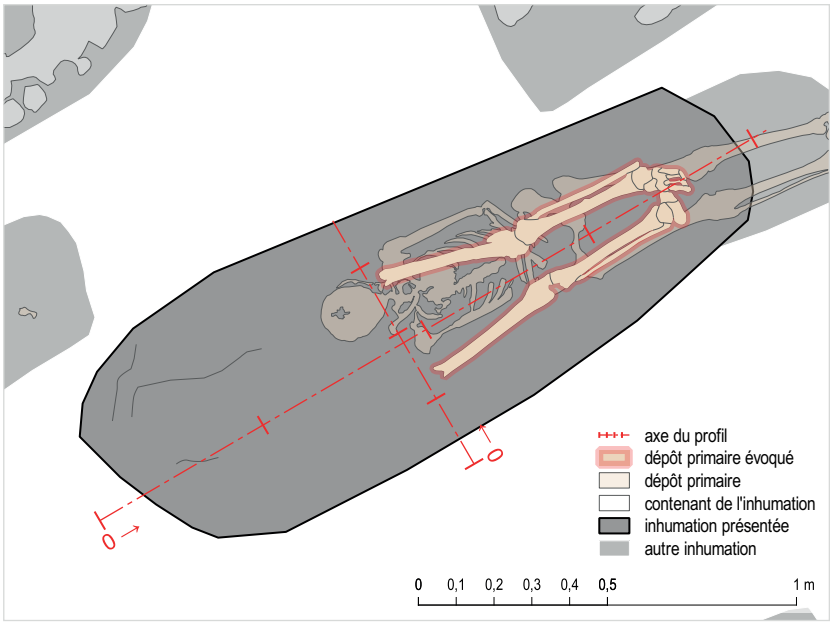

orientation

60 °

pratique funéraire

sans contenant

position

décubitus dorsal

membres supérieurs

indéterminé

sexe

indéterminé

âge

adulte

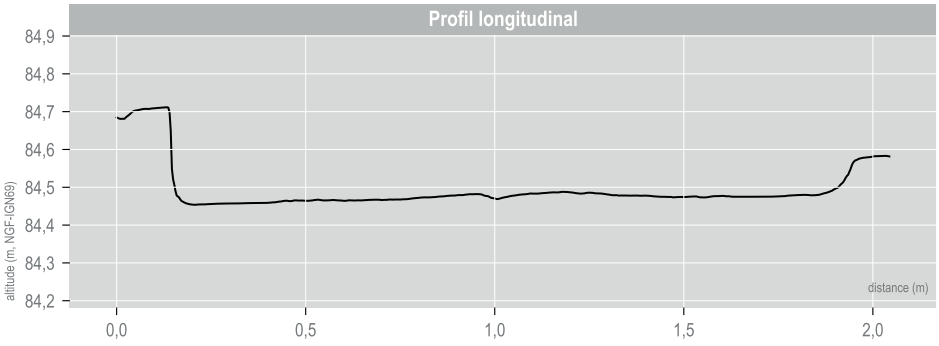

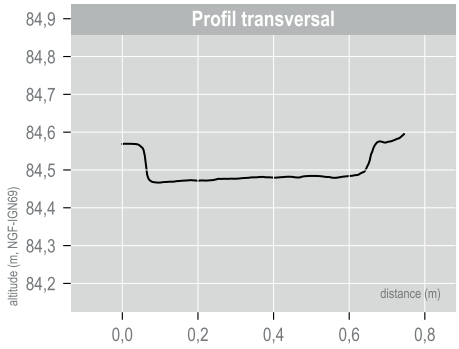

Vue générale de l'inhumation 851

vue générale de l'inhumation 851
C. Le Forestier, Inrap

Description de l'inhumation

Le sujet inhumé a été placé dans une fosse oblongue, orientée est-ouest et se situe sous la sépulture 817. Seuls, les membres inférieurs sont conservés, pieds à l'est. Ils sont alignés, parallèles, pieds non joints, le gauche en extension.
Toutes les connexions observables - aux genoux, aux chevilles et aux pieds - sont maintenues, y compris des connexions labiles tarsiennes et métatarsiennes gauches. En l'absence de migration en dehors du volume corporel initial, on peut envisager un colmatage rapide.
Le squelette est celui d'un adulte, de sexe indéterminé.
Les deux tibias présentent une déformation volumique au niveau des diaphyses, ainsi que des appositions périostées.

Phase : 2

Inhumation 852 - MAS8315

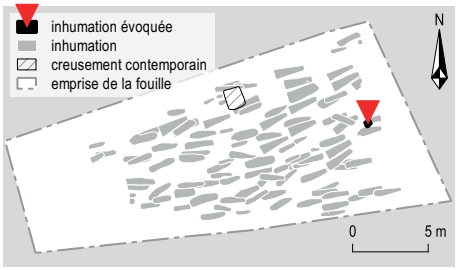

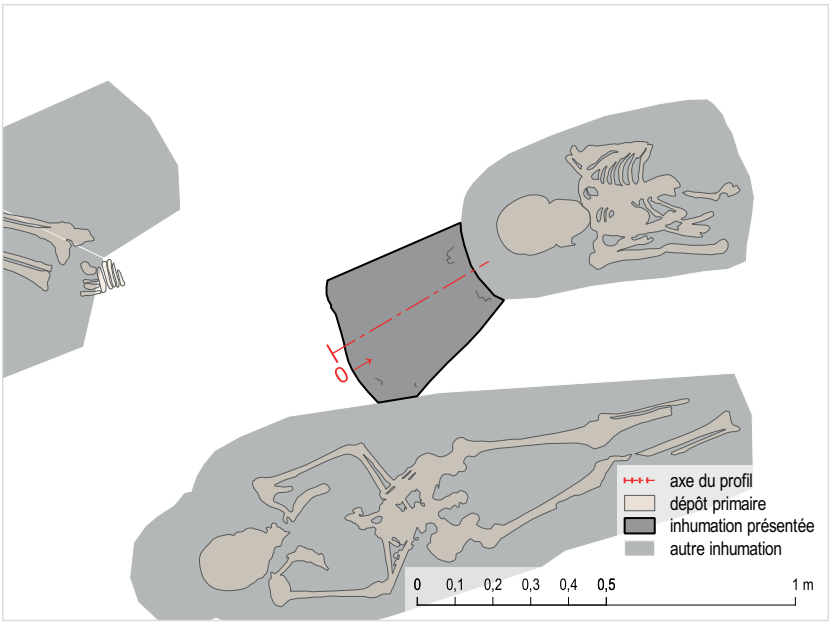

orientation

59 °

pratique funéraire

NULL

position

indéterminé

membres supérieurs

indéterminé

sexe

indéterminé

âge

adulte

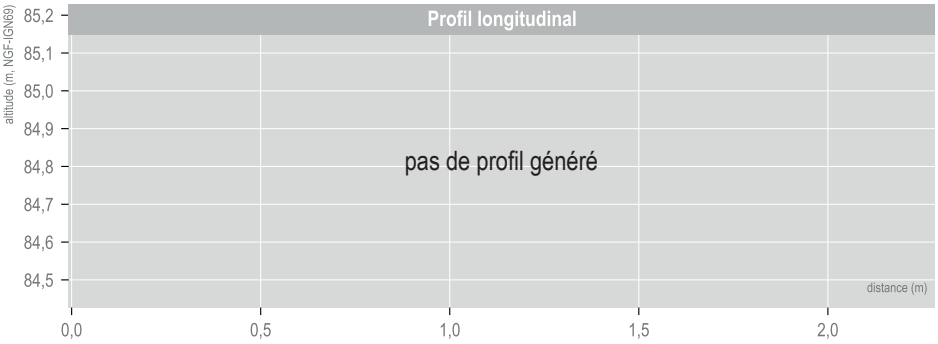

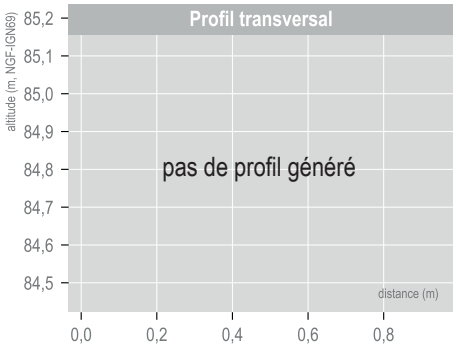

Vue générale de l'inhumation 852

vue générale de l'inhumation 852
C. Le Forestier, Inrap

Description de l'inhumation

Seuls deux fémurs, un droit et un gauche, parallèles ont été retrouvés. Bien qu'il n'y ait pas de connexions ostéo-articulaires, la logique anatomique permet de considérer ce dépôt comme primaire.
Les ossements appartiennent à un adulte, de sexe indéterminé.

Phase : 3

Inhumation 853 - MAS8004

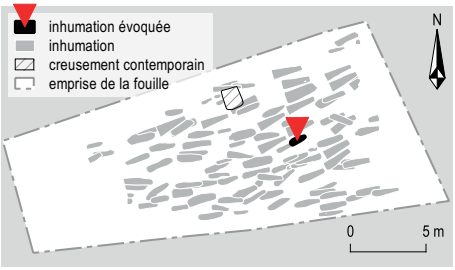

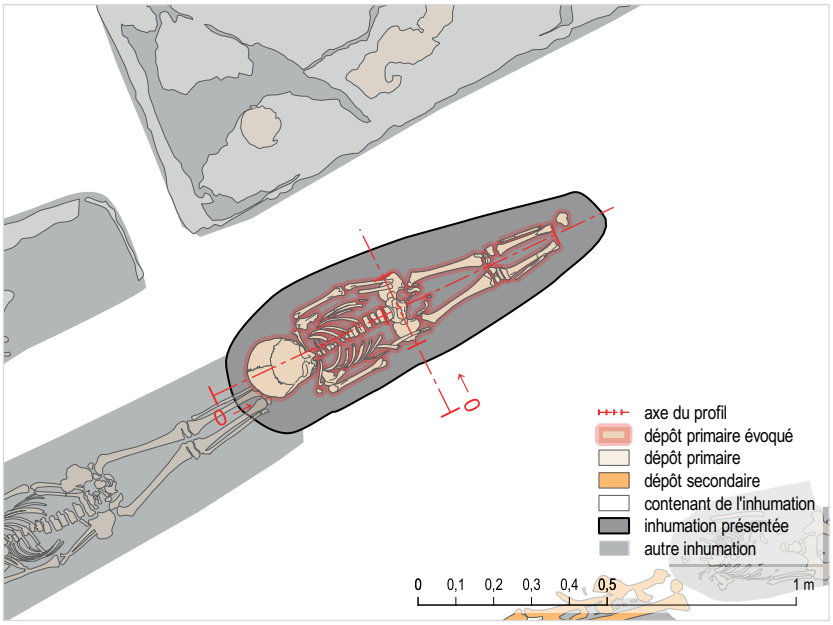

orientation

65 °

pratique funéraire

sans contenant

position

décubitus dorsal

membres supérieurs

180/180

sexe

trop jeune pour détermination

âge

5 à 9 ans

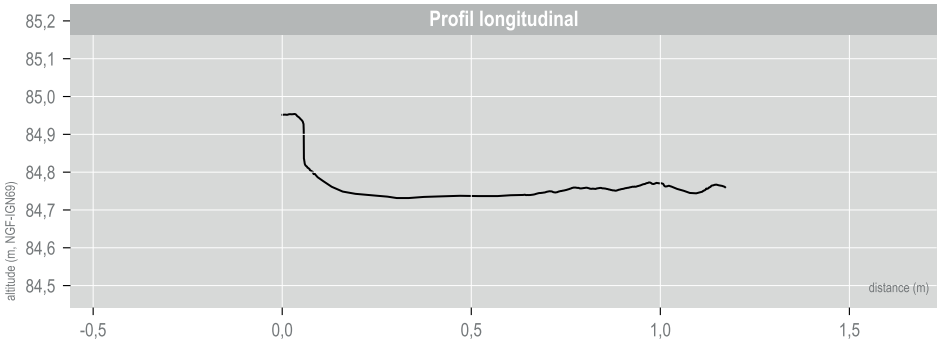

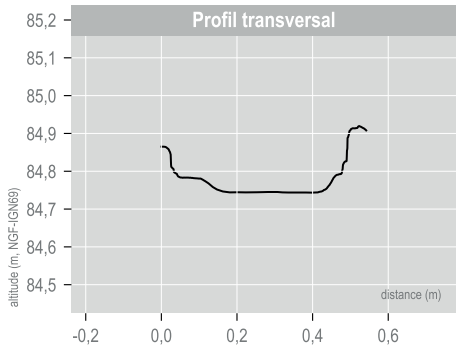

Vue générale de l'inhumation 853

vue générale de l'inhumation 853
C. Le Forestier, Inrap

Description de l'inhumation

Le sujet a été inhumé dans une fosse oblongue, étroite, orientée est-ouest, située entre deux sarcophages. Elle était surmontée de blocs de pierre à l'ouest, au niveau du crâne. Le squelette, bien conservé, repose en décubitus dorsal, tête à l'ouest, adossé au rebord de la fosse, les bras le long du corps et les jambes alignées, resserrées aux genoux, le corps légèrement surélevé contre le bord gauche de la fosse.
Le crâne apparaît en vue antéro-supérieure, les connexions calva-mandibulaires quasi strictes. Le rachis vertébral est d'un seul tenant, le volume costal est partiellement préservé de même que le volume pelvien, à droite. Les connexions de la ceinture scapulaire droite sont partiellement maintenues, les clavicules et scapulas quasi à l'horizontale, les humérus en vue antéro-latérale. Les os de l'avant-bras gauche, déconnectés, restent dans le prolongement de l'humérus ; ceux de droite, perturbés, ont migré médialement. Les os des mains sont dispersés dans le volume pelvien. La ceinture pelvienne est préservée à droite; les connexions coxo-fémorales sont quasi-strictes, les fémurs reposant en vue antérieure. Les tibias et les fibula ont migré latéralement. Le calcaneus gauche est déconnecté.
Compte tenu du jeune âge du sujet inhumé, les connexions sont généralement maintenues et en l'absence de migration en dehors du volume corporel initial, il est possible d'envisager un colmatage rapide. Les compressions au niveau du crâne, du bassin et des genoux pourraient s'expliquer par la présence d'une enveloppe souple, de type linceul.
Le squelette est celui d'un immature, dont l'âge au décès se situe entre 5 et 9 ans (IM3).

Photographie de détails

vue rapprochée de l'inhumation
C. Le Forestier, Inrap

Phase : 2

Inhumation 854 - MAS8007

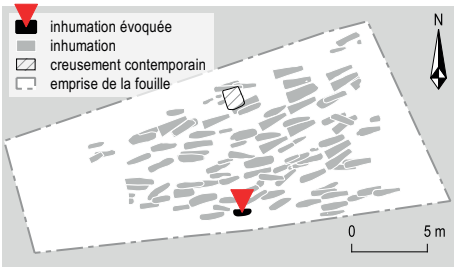

orientation

84 °

pratique funéraire

sans contenant

position

décubitus dorsal

membres supérieurs

180/180

sexe

trop jeune pour détermination

âge

1 à 4 ans

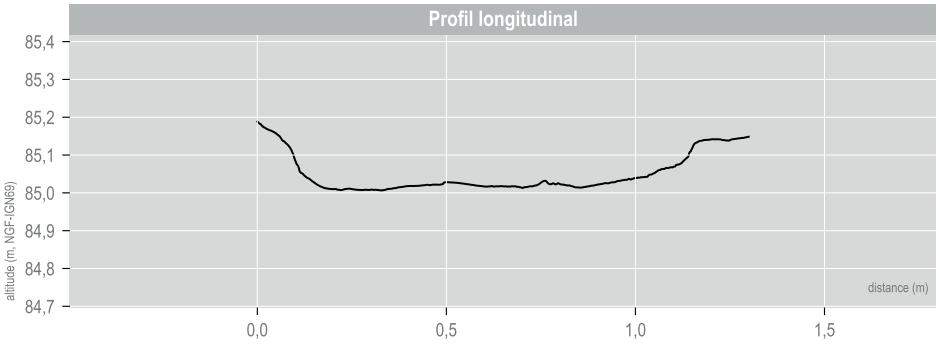

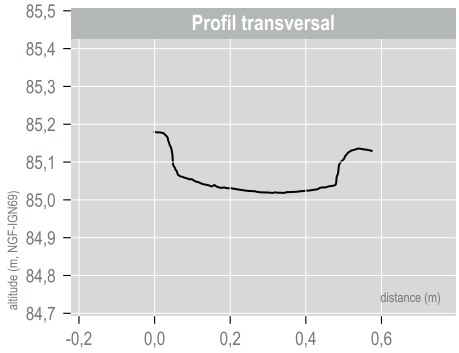

Vue générale de l'inhumation 854

vue générale de l'inhumation 854
C. Le Forestier, Inrap

Description de l'inhumation

Le sujet a été déposé dans une fosse oblongue, étroite, orientée nord-est – sud-ouest. Le squelette de l'individu est assez bien conservé jusqu'aux genoux. Il repose en décubitus dorsal, tête au sud-ouest, les bras le long du corps, le droit légèrement surélevé contre le bord de la fosse, les membres inférieurs alignés, resserrés aux genoux.
Le crâne apparait en vue antéro-supérieure, la mandibule ayant chuté et reposant sur les premières côtes. Le rachis vertébral est d'un seul tenant, le volume costal est partiellement conservé et le volume pelvien est semi-ouvert, à gauche. Les connexions du membre supérieur gauche semblent dans l'ensemble bien préservées, la clavicule est verticalisée, l'humérus en vue antéro-latérale. Les os de l'avant-bras gauche sont en continuité anatomique avec l'humérus ; des os de la main gauche ont migré dans le prolongement de l'avant-bras. Les connexions sacro-iliaques et coxo-fémorales sont préservées, les fémurs reposant en vue antérieure. Les diaphyses distales des tibias et fibulas restent en position anatomique. Le calcaneus et le talus droits sont présents, déconnectés. Par contre, les connexions du membre supérieur droit sont rompues à l'épaule et au coude: la clavicule à l'horizontale, l'humérus et les os des avant-bras sont déconnectés et ont migré latéralement.
Si la plupart des connexions observables sont maintenues et permettent d'envisager un colmatage rapide, et si les contraintes observées au niveau du crâne, de la ceinture scapulaire gauche, des membres inférieurs réunis au niveau des chevilles suggèrent la présence d'une enveloppe souple, les migrations observées au niveau du membre supérieur droit contredisent ces hypothèses et ne permettent pas de conclure.
Le squelette est celui d'un immature, dont l'âge au décès se situe entre 1 et 4 ans (IM2).
Le sujet présente des lésions périostées sur les os longs – fémurs et humérus – et particulièrement d'aspect serpentiforme sur le calvarium – parois orbitales et pariétaux, sur leur face endo-crânienne –. Par ailleurs quatre dents permanentes – molaires et incisive supérieure permanente – présentent une coloration brune. Le fémur droit est fortement arqué. Cette pathologie pourrait avoir une origine carentielle – scorbut, notamment – ou infectieuse – tuberculose osseuse(Cf exemple similaire à Bondy expertisé par F.Boursier en 2018).

Photographie de détails

vue rapprochée de l'inhumation 854
C. Le Forestier, Inrap

Pathologies

I. 854 : vue postérieure - fémur droit arqué et présentant un aspect de surface serpentiforme

I. 854 : vue antéro-médiale - fémur droit arqué et présentant un aspect de surface serpentiforme

I. 854 : humérus droit et gauche présentant une aspect de surface serpentiforme

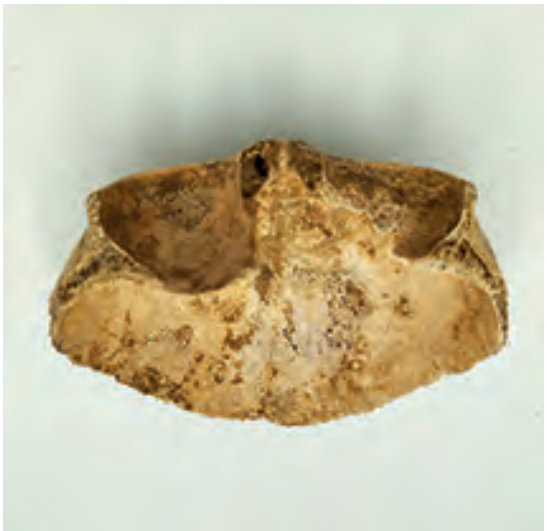

I. 854 : os frontal présentant un aspect de surface serpentiforme et le début d'une cribra orbitalia

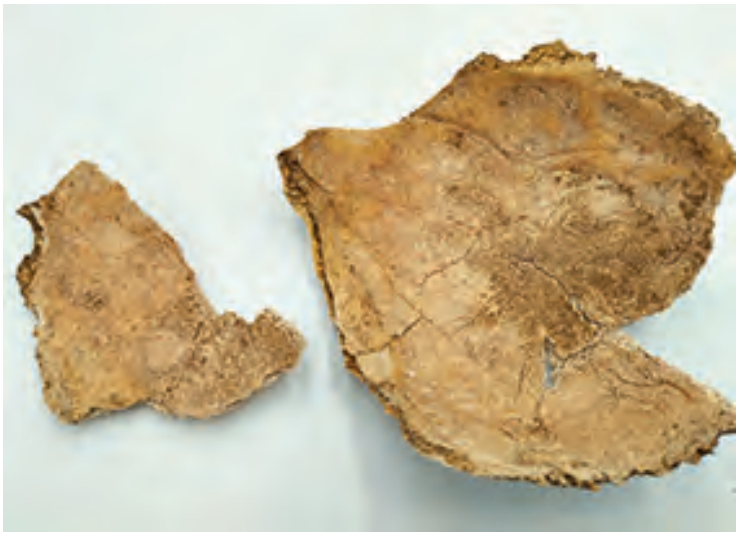

I. 854 : pariétal droit présentant un aspect serpentiforme (face endocrânienne)

Phase : 2

Inhumation 855 - MAS8011

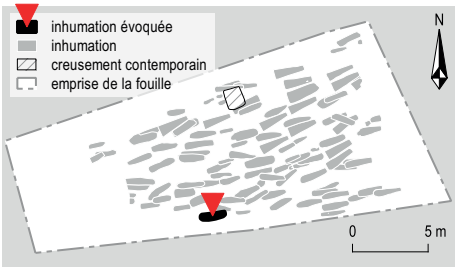

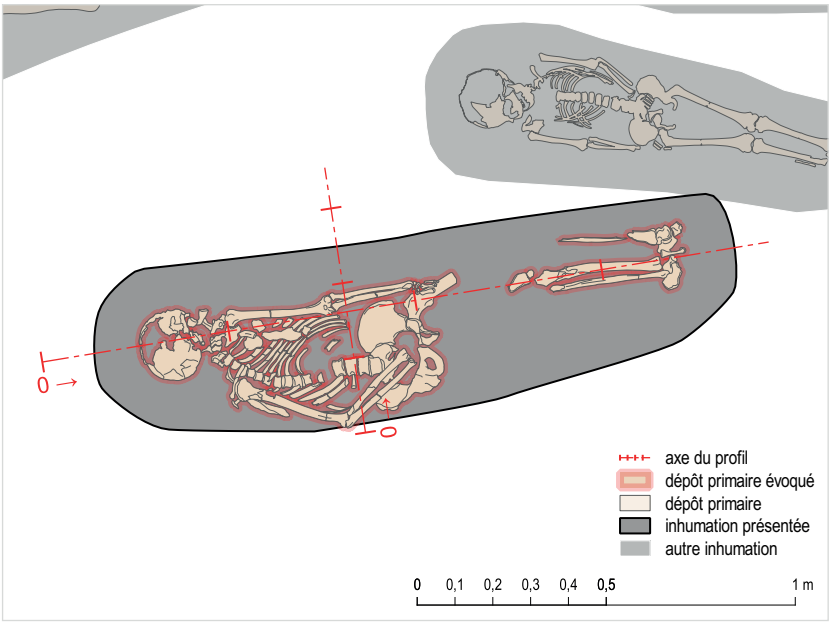

orientation

81 °

pratique funéraire

sans contenant

position

décubitus latéral gauche

membres supérieurs

135/180

sexe

indéterminé

âge

adulte

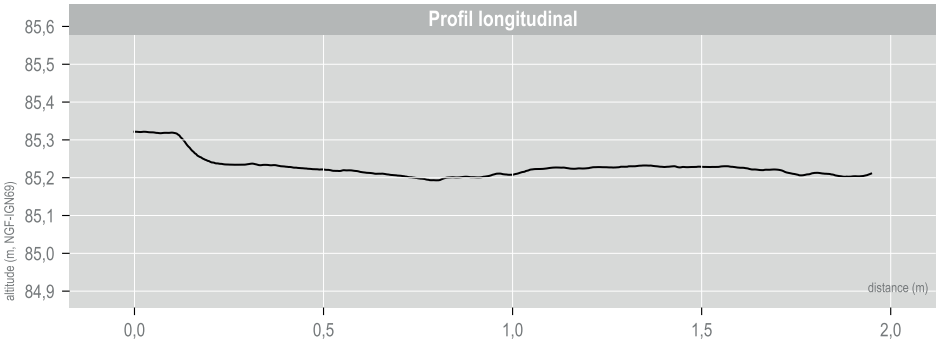

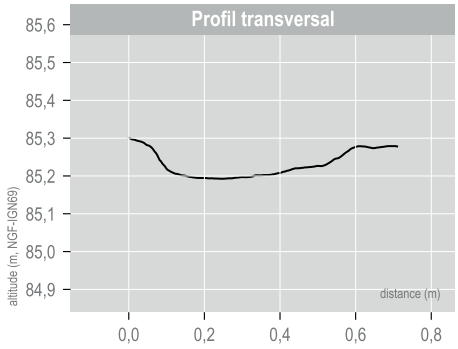

Vue générale de l'inhumation 855

vue générale de l'inhumation 855
C. Le Forestier, Inrap

Description de l'inhumation

Ce sujet repose dans une fosse oblongue, orientée nord-nord-est – sud-sud-ouest, dont les dimensions semblent insuffisantes par rapport à sa corpulence. Il a été déposé en décubitus latéral gauchedroit, appuyé contre le rebord de la fosse, le bras gauche le long du corps alors que le droit est replié vers l'intérieur sur le bassin. Les membres inférieurs sont parallèles, fléchis , les pieds non joints, en vue latérale pour le droit et médiale pour le gauche. Le squelette est inégalement conservé, les fémurs semblent avoir été perturbés, sans qu'il soit possible d'en déterminer la cause.
Le crâne est très fragmenté, en vue latérale droite et la mandibule est déconnectée. Le rachis cervical est segmenté, les rachis thoracique et lombaire dessinent une forte sinusoïdalité. Le gril costal est à plat, le volume pelvien est intermédiaire. Le manubrium et le sternum ont chuté dans l'hémi-thorax gauche.
La plupart des os du squelette appendiculaire gauche apparaissent en vue antérieure et les connexions sont strictes: scapulo-humérale, radio-ulno-humérales, radio-ulno-carpiennes et métacarpiennes, sacro-pelvienne et coxo-fémorale. A droite, la connexion n'est conservée qu'au niveau de la ceinture huméro-scapulaire, l'humérus en vue antéro-latérale; les os de l'avant-bras droit sont en logique anatomique avec l'humérus et reposent également en vue antéro-latérale sur l'iliaque; la connexion sacro-pelvienne est lâche et les connexions coxo-fémorales sont strictes. Les connexions calca-fibulo-tibiales gauches et fibulo-tibio-tarsiennes droites sont partiellement préservées.
L'importance des connexions préservées, notamment des connexions labiles à droite, l'absence de migration en dehors du volume corporel plaident en faveur d'un colmatage rapide des masses molles, la position du corps ayant toutefois contribué à créer des espaces vides, favorisant notamment la migration du sternum, la bascule du crâne et la rupture du rachis cervical.
Le squelette est celui d'un adulte, de sexe indéterminé

Photographie de détails

vue rapprochée de l'inhumation 855
C. Le Forestier, Inrap

Phase : 2

Inhumation 856 - MAS8014

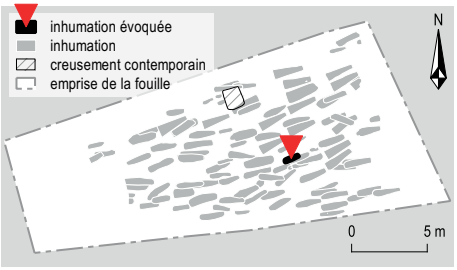

orientation

66 °

pratique funéraire

sans contenant

position

décubitus dorsal

membres supérieurs

180/180

sexe

trop jeune pour détermination

âge

5 à 9 ans

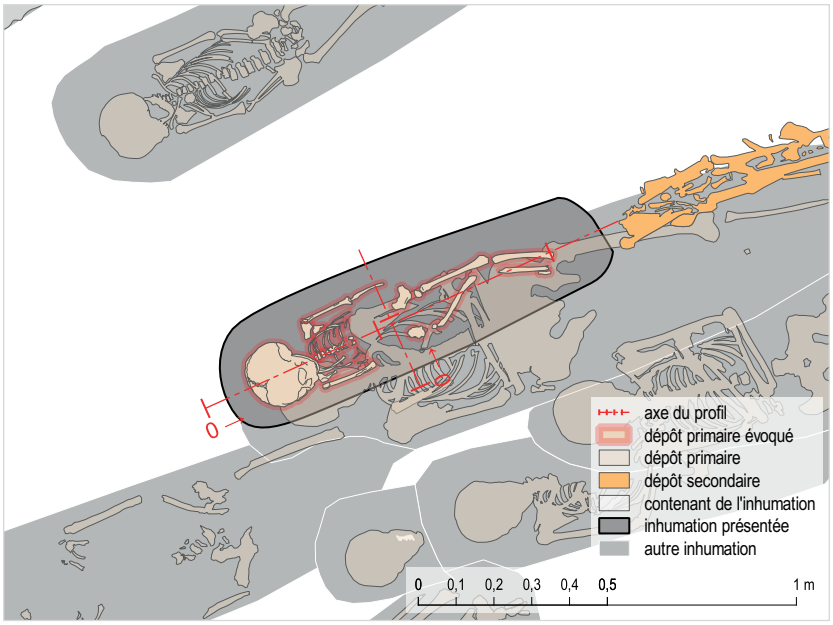

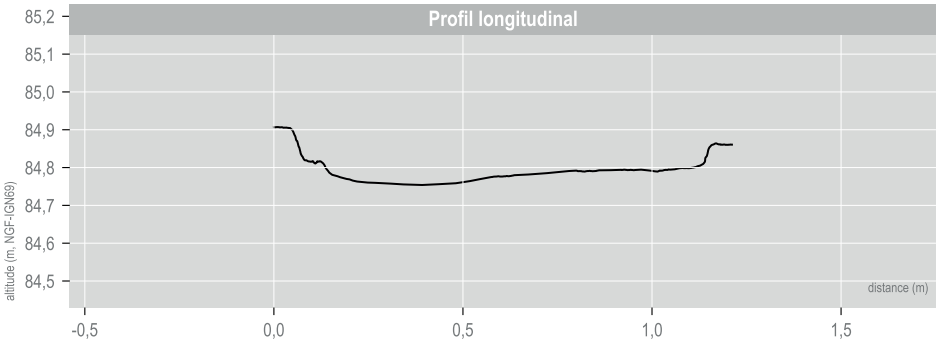

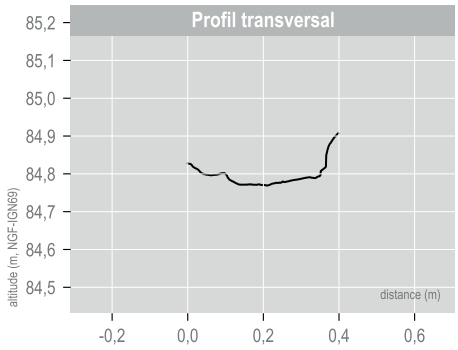

Vue générale de l'inhumation 856

vue générale de l'inhumation 856
C. Le Forestier, Inrap

Description de l'inhumation

Le sujet a été déposé dans une fosse quadrangulaire, étroite, orientée est-ouest; il repose en décubitus dorsal, tête à l'ouest, les bras allongés le long du corps; la jambe gauche est tendue, la droite fléchie vers l'intérieur du corps, les jambes sont resserrées.
Le squelette est inégalement conservé et semble avoir subi une perturbation importante au niveau de l'abdomen et du bras droit.
Le crâne apparaît en vue antéro-supérieure gauche, en connexion stricte avec la mandibule. Le rachis cervical est d'un seul tenant. Le gril costal est à plat et les coxaux sont ouverts. Les connexions scapulo-humérales sont lâches, les scapulas en vue oblique, les humérus en vue antéro-latérale. La connexion au coude gauche est rompue mais l'ulna se situe dans le prolongement immédiat de l'humérus. A partir du bassin, les connexions ne sont pas préservées: les fémurs, en vue antéro-médiale à gauche et antéro-latérale à droite, ont migré caudalement, et vers l'intérieur du volume corporel pour le fémur droit; les tibias, parallèles, en vue antérieure, sont restés en position anatomique.
Les connexions maintenues dans la moitié supérieure du squelette et l'absence de migration en dehors du volume corporel permettent d'envisager un colmatage rapide des masses molles. Les contraintes au niveau du crâne et des épaules semblent davantage dictées par l'étroitesse de la fosse que par la présence d'un linceul.
Le squelette est celui d'un immature, dont l'âge au décès se situe entre 5 et 9 ans (IM3).

Photographie de détails

vue rapprochée de l'inhumation 856
C. Le Forestier, Inrap

Phase : 2

Inhumation 857 - MAS8021

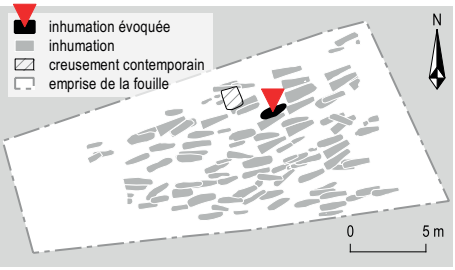

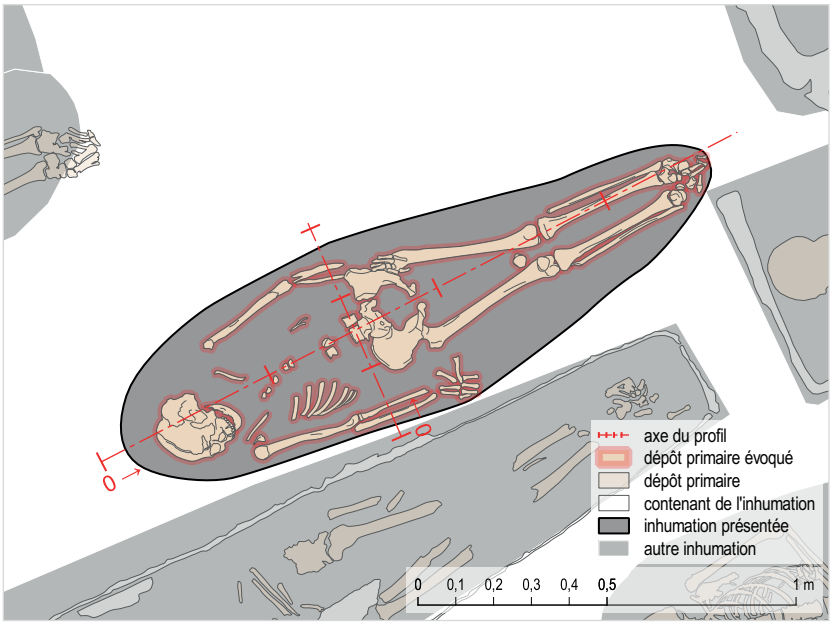

orientation

63 °

pratique funéraire

sans contenant

position

décubitus dorsal

membres supérieurs

180/180

sexe

féminin

âge

15 à 19 ans

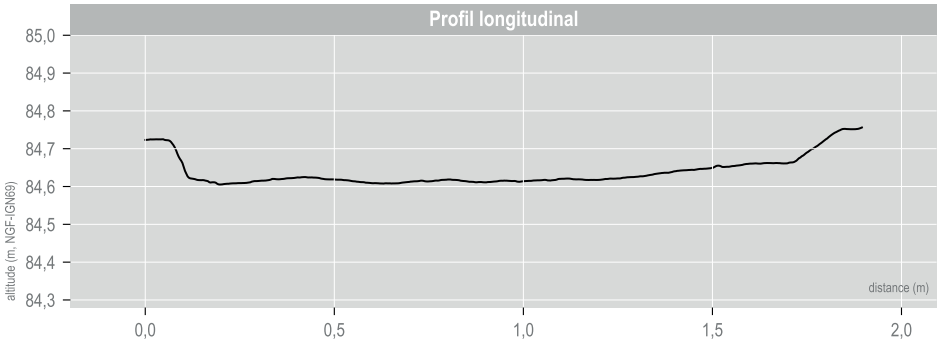

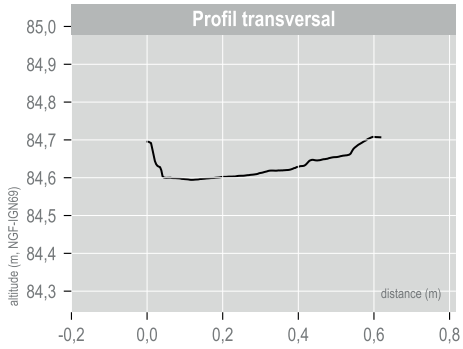

Vue générale de l'inhumation 857

vue générale de l'inhumation 857
C. Le Forestier, Inrap

Description de l'inhumation

Le sujet a été inhumé dans une fosse oblongue, orientée est-ouest. Il repose en décubitus dorsal, tête à l'ouest, les bras allongés le long du corps, les membres inférieurs alignés, pieds joints, parallèles. Le squelette de l'individu est inégalement conservé, notamment dans sa moitié supérieure.
Le crâne apparait en vue antéro-latérale gauche, la mandibule, déconnectée, s'est affaissée au fond de la fosse. Le gril costal droit, seul observable, est à plat, les coxaux sont ouverts. Les clavicules sont verticalisées, les humérus en vue latérale à droite et antéro-latérale à gauche. Les connexions aux coudes sont quasi strictes. Elles sont rompues au poignet, les ulnas migrant latéralement. Le crâne et les os du membre supérieur droit ont migré latéralement et caudalement, en dehors du volume corporel initial. Les os de la main droite, en pronation, sont restés regroupés contre le bord de la fosse, certaines connexions métacarpiennes sont préservées. Les os de la main gauche reposent sur la tête fémorale gauche, en pronation. Les fémurs, en vue antérieure, sont en connexion quasi stricte avec les coxaux, patella droite en place, patella gauche ayant chuté entre les deux fémurs, en vue antéro-latérale. Les connexions tibio-fémorales ne sont préservées qu'à droite, plus lâches à gauche; les fibula ont migré latéralement; par contre, les connexions tibio-fibulo-tarsiennes sont bien maintenues, talus et calcaneus en vue antéro-supérieure. Au-delà, les métatarses et phalanges, déconnectés, sont rassemblés dans le prolongement du volume corporel.
Les nombreuses migrations observées au niveau du squelette supérieur , l'ouverture du coxal gauche, la migration de la patella gauche permettent d'envisager un colmatage différé. La contrainte au niveau des chevilles et des pieds suggèrent la présence d'une enveloppe souple, en contradiction avec la position du bras droit. Les éléments d'observation manquent donc pour conclure.
Le squelette est celui d'un immature dont l'âge au décès se situe entre 15 et 19 ans (IM5 ou adulte jeune), de sexe féminin.

Photographie de détails

vue oblique de l'inhumation 857
C. Le Forestier, Inrap

Phase : 2

Inhumation 858 - MAS8024

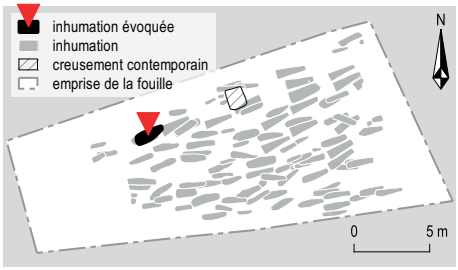

orientation

58 °

pratique funéraire

sans contenant

position

décubitus dorsal

membres supérieurs

135/135

sexe

masculin

âge

adulte

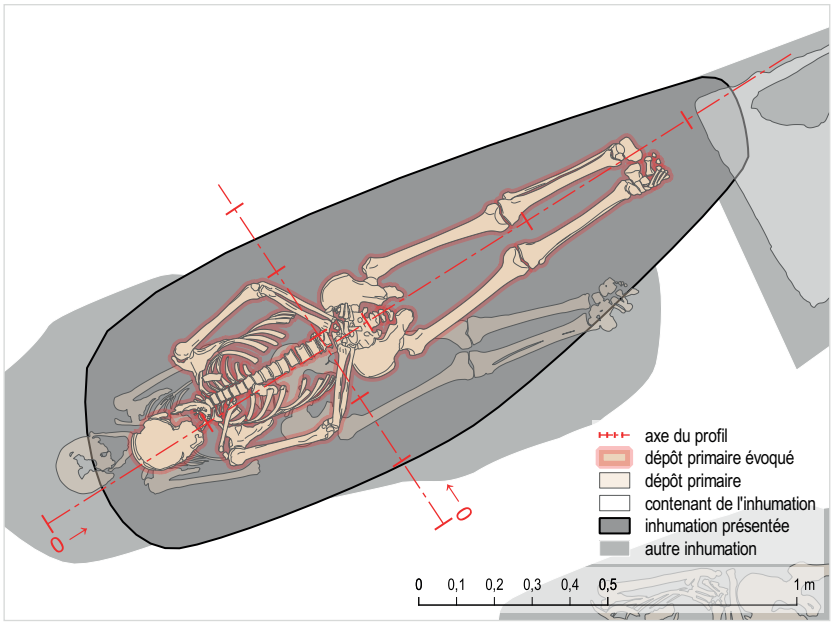

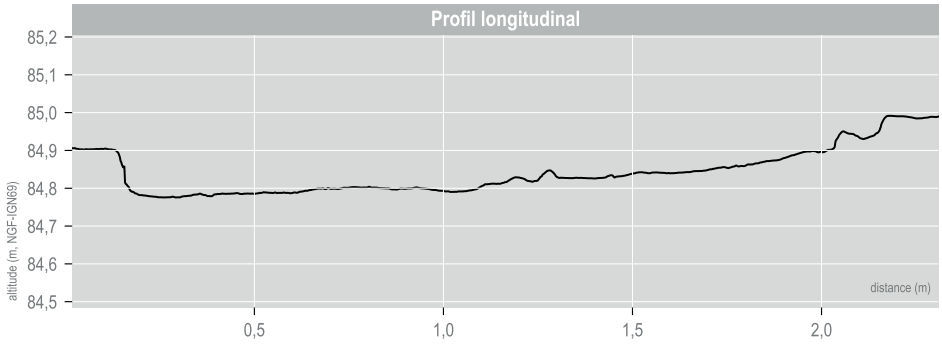

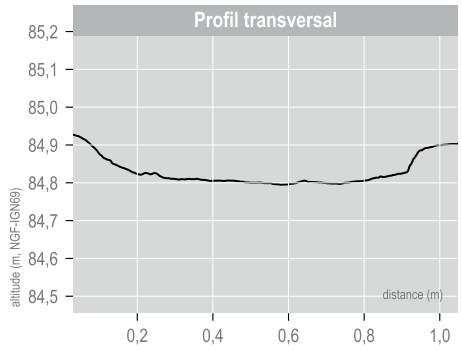

Vue générale de l'inhumation 858

vue générale de l'inhumation 858
C. Le Forestier, Inrap

Description de l'inhumation

Le sujet a été inhumé dans une fosse oblongue, orientée ouest-sud-ouest – est-nord-est, contenant de nombreux blocs de pierre autour du crâne de l'individu, formant un calage céphalique et le long des bords longitudinaux. Il repose en décubitus dorsal, la tête à l'ouest, les bras repliés sur l'abdomen, les mains croisées, la droite sur la gauche, les jambes allongées, parallèles, les pieds joints aux talons uniquement, le droit en hyperflexion.
La connexion crânio-mandibulaire a cédé : le crâne apparaît en vue antéro-latérale gauche, la mandibule en vue supérieure. Le rachis vertébral est d'un seul tenant, le volume thoracique est partiellement préservé, le sternum s'est affaissé vers l'intérieur de l'hémi-thorax droit; le volume pelvien est intact.
La clavicule droite est verticalisée, les connexions huméro-scapulaires sont quasi strictes, les scapulas à l'oblique et les humérus en vue antéro-latérale. Il en est de même des connexions aux coudes. Les connexions aux poignets sont rompues mais les os carpiens et une partie des métacarpes droits sont restés partiellement en connexion. Certains os de la main gauche ont chuté dans l'espace compris entre les lombaires et l'ilium. Au-delà, les connexions sacro-pelviennes et coxo-fémorales sont strictement maintenues ainsi qu'au niveau des genoux et chevilles, les tibias et fibulas se présentant en vue antérieure. Le pied droit est en hyperflexion. Les connexions principales sont strictement préservées, à l'exception du premier métatarsien, qui a chuté médialement. Les os du pied gauche apparaissent en vue antéro-médiale de même que le calcanéus et le talus gauches.
Le maintien quasi strict de la plupart des connexions observables et la préservation des volumes, la position en équilibre des os de la main droite plaident en faveur d'un espace de décomposition colmaté rapidement. La compression aux épaules et aux chevilles, la contrainte forte observable au niveau du pied droit permet de d'envisager la présence d'une enveloppe souple, très enserrante.
Le squelette est celui d'un adulte, de sexe masculin.
Le squelette présente des lésions arthrosiques en plusieurs points formant des ponts osseux : au niveau de l'articulation sacro-pelvienne ; sur le rachis thoracique et lombaire avec des « becs de perroquet » se développant préférentiellement sur le coté gauche des corps vertébraux ; au niveau de l'articulation manubrium-première côte droite et d'une phalange distale I de pied.

Photographie de détails

vue rapprochée de l'inhumation 858
C. Le Forestier, Inrap

Pathologies

I. 858 : ankylose et ostéophyte sur quelques vertèbres lombaires (vue latérale gauche)

I.858 : ankylose et ostéophyte sur quelques vertèbres lombaires (vue antérieure)

Phase : 2

Inhumation 859 - MAS8027

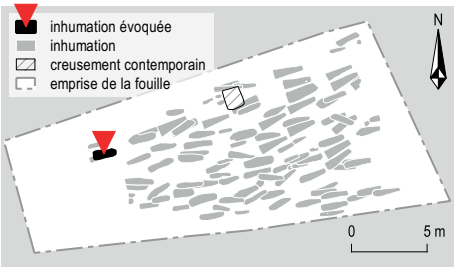

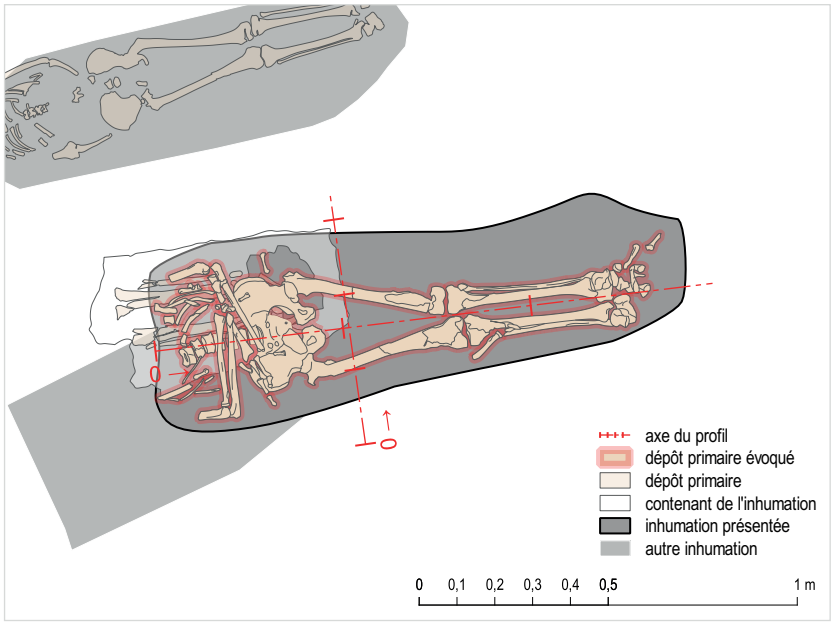

orientation

83 °

pratique funéraire

sans contenant

position

décubitus dorsal

membres supérieurs

90/90

sexe

masculin

âge

adulte

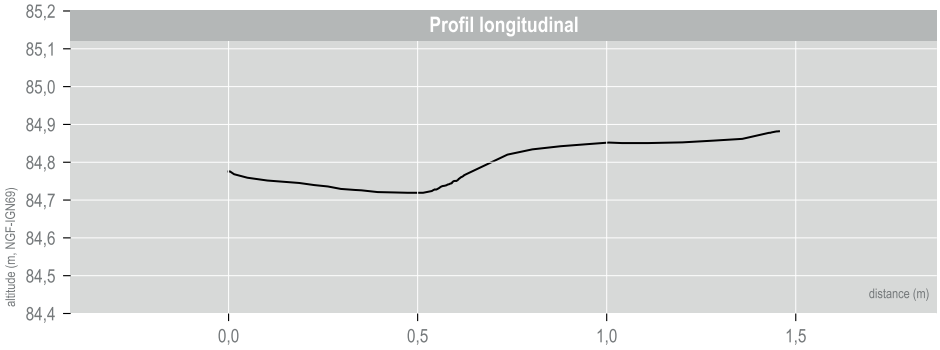

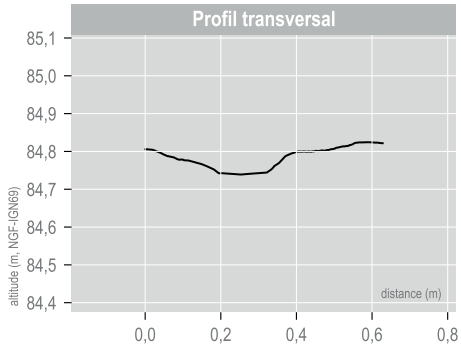

Vue générale de l'inhumation 859

vue générale de l'inhumation 859
C. Le Forestier, Inrap

Description de l'inhumation

Ce sujet repose dans une fosse aux limites peu visibles, recoupée par un creusement moderne. Le squelette de l'individu n'est préservé que dans sa moitié inférieure à partir du rachis lombaire. Il repose en décubitus dorsal, les pieds à l'est, les avant-bras croisés, le droit sur le gauche, au niveau des lombaires, les membres inférieurs alignés, très resserrés à partie des genoux et des chevilles, pieds quasi joints.
Les humérus, en vue antéro-latérale, sont restés en connexion lâche avec les os des avant-bras; les connexions aux poignets ont cédé. Les os des mains se sont dispersés dans le prolongement des avant-bras, reposant à droite sur l'iliaque et dans le fond de la fosse; à gauche, migrant crânialement entre l'humérus et les côtes ou caudalement sur l'iliaque et le fond de la fosse. Quelques os carpiens sont restés en proximité immédiate avec les épiphyses ulnaire et radiale et en équilibre, sur les os de l'avant-bras gauche. Au-delà, toutes les connexions observables du pelvis, des genoux et des chevilles sont quasiment strictes. Les fémurs, les tibias et fibulas apparaissent en vue antérieure; les tarses en vue médiale à droite et antéro-médiale à gauche. Au-delà, quelques métatarses et phalanges sont déconnectés, en fagot.
Le maintien de la plupart des connexions, la préservation du volume pelvien, la présence des os carpiens droits restés en équilibre et l'absence de migration en dehors du volume corporel suggèrent un colmatage rapide des masses molles. La contrainte observée au niveau des genoux et des chevilles, l'absence de rotation du tarse gauche argumentent la présence d'une enveloppe enserrante, voire de liens.
Le squelette est celui d'un adulte, de sexe masculin.
Le rachis lombaire présente un aspect poreux; on note une forte vascularisation des têtes fémorales et des ostéophytes sur le bord de la fossette fémorale.

Phase : 2

Inhumation 860 - MAS8030

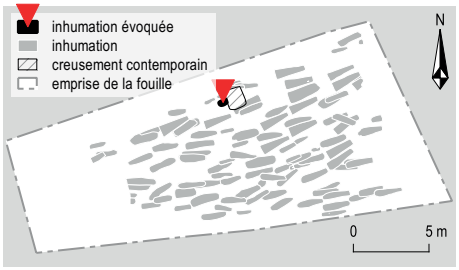

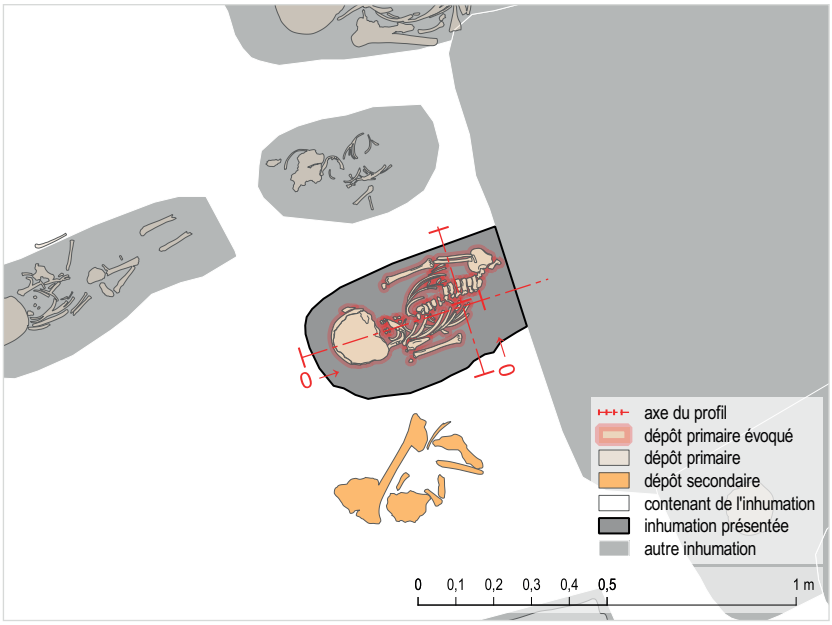

orientation

72 °

pratique funéraire

sans contenant

position

décubitus dorsal

membres supérieurs

1/180

sexe

trop jeune pour détermination

âge

1 à 4 ans

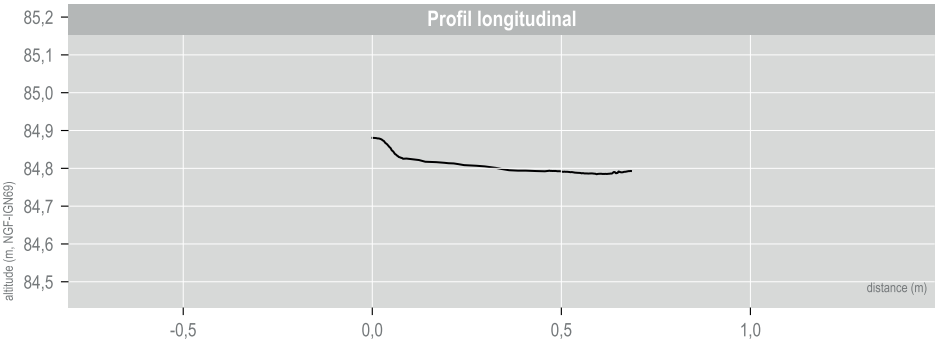

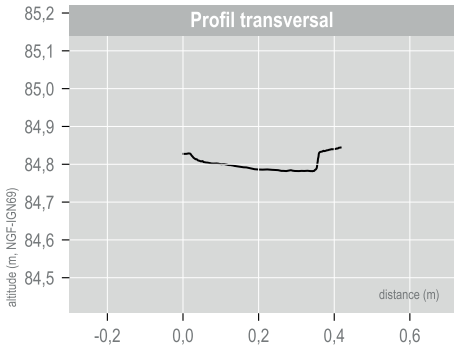

Vue générale de l'inhumation 860

vue générale de l'inhumation 860
C. Le Forestier, Inrap

Description de l'inhumation

Le sujet a été déposé dans une fosse oblongue, orientée nord-nord-ouest - sud-sud-est, recoupée par un creusement quadrangulaire, mas8033. Seul le squelette supérieur de l'individu est conservé, qui semble par ailleurs avoir été perturbé à droite, comme en témoigne l'absence des os de l'avant-bras et du coxal. Il repose en décubitus dorsal, tête au nord-nord-ouest, légèrement tournée et surélevée vers la droite, le bras gauche allongé le long du corps.
Le crâne, peu conservé, apparaît en vue antéro-latérale gauche. La mandibule, en vue supérieure gauche, est déconnectée et a chuté sur les premières côtes droites. Le rachis thoracique est très segmenté. Le manubrium a glissé latéralement contre la 6ème thoracique. Les côtes sont à plat. Le coxal gauche est ouvert. La clavicule droite est verticalisée, la scapula à l'oblique et l'humérus en vue antéro-latérale. A gauche, la connexion au coude est rompue mais les os apparaissent en vue antérieure, en position anatomique. L'ulna a migré latéralement.
Les déconnexions observées suggèrent la présence d'espaces vides mais les éléments manquent pour déterminer le mode de décomposition.
Le squelette est celui d'un immature, dont l'âge au décès se situe entre 1 et 4 ans (IM2).

Phase : 3

Inhumation 861 - MAS8035

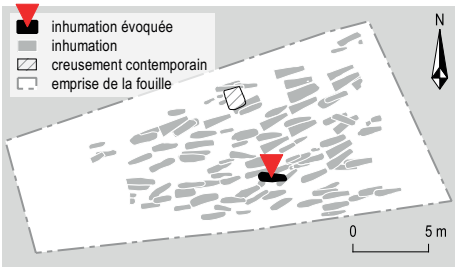

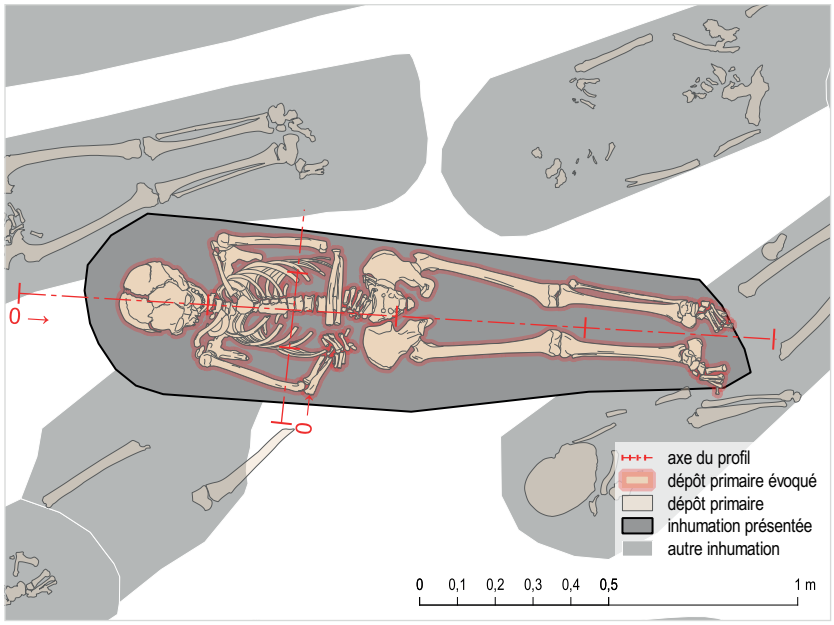

orientation

93 °

pratique funéraire

sans contenant

position

décubitus dorsal

membres supérieurs

90/90

sexe

féminin

âge

15 à 19 ans

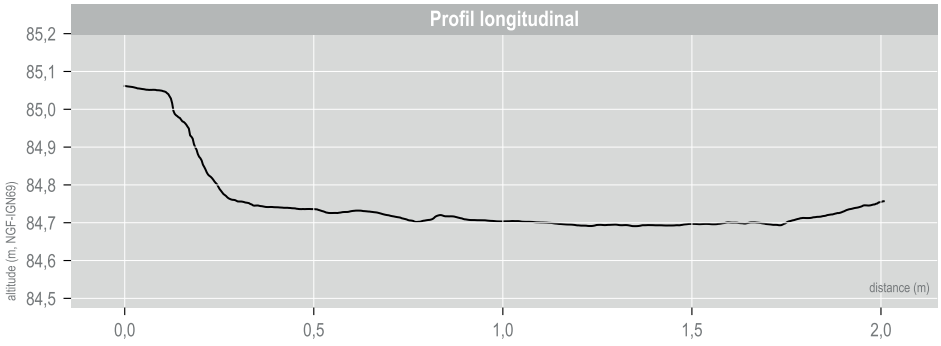

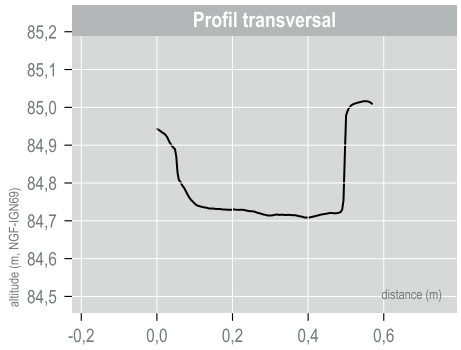

Vue générale de l'inhumation 861

vue générale de l'inhumation 861
C. Le Forestier, Inrap

Description de l'inhumation

Le sujet a été inhumé dans une fosse oblongue, orientée ouest-est, dont le creusement recoupe les sépultures 841 et 886. Il repose en décubitus dorsal, tête à l'ouest, les bras croisés sur l'abdomen, le gauche sur le droit, et repliés à 90°/90°, les membres inférieurs alignés, non joints, les pieds en hyperflexion.
Le crâne apparait en vue antéro-supérieure, la mandibule, en vue antérieure, affaissée sur le rachis cervical, légèrement segmenté. Les rachis thoracique et lombaire sont d'un seul tenant, le sternum et le manubrium en place. Le volume thoracique n'est pas conservé. Le volume pelvien l'est partiellement, à gauche.
Les connexions de la ceinture scapulaire sont bien maintenues, quasi-strictes à gauche: la clavicule gauche est à l'oblique, la droite plus horizontale; les scapulas à l'oblique, les humérus en vue antéro-latérale. Les connexions de l'avant-bras et du poignet droit sont intactes, elles ont cédé au niveau du poignet à gauche du fait des espaces vides provoqués par la surélévation de l'avant-bras; la palette métacarpienne et les premières phalanges restant, elles, en proximité anatomique. La connexion sacro-iliaque est rompue à droite, mieux préservée à gauche. Au-delà, les connexions coxo-fémorales sont strictes, les fémurs en vue antérieure; elles sont partiellement conservées aux genoux et aux chevilles: plus strictes à gauche, tibia et fibula en vue antérieure, les os des pieds en vue antéro-médiale; à droite, le tibia en vue médiale, de même que le tarse et les métatarses, restés en connexion stricte.
Le maintien de la plupart des connexions, y compris des connexions labiles, l'absence de migration en dehors du volume corporel témoignent d'un colmatage rapide. D'autre part, la position du crâne, la compression observée au niveau des épaules et des pieds, en hyperflexion, l'absence de rotation du tarse gauche plaident en faveur de la présence d'un élément enserrant, de type linceul.
Le squelette est celui d'd'un immature entre 15 et 19 ans (IM5), de sexe féminin.
La face médiale de la diaphyse fémorale droite ainsi que les faces latérales des diaphyses tibiale et humérale droites sont périostées.

Photographie de détails

vue rapprochée de l'inhumation 861
C. Le Forestier, Inrap

Pathologies

I.861 : apositions périostées sur les faces latérales des diaphyses tibiales et humérales droites

Phase : 3

Inhumation 862 - MAS8051

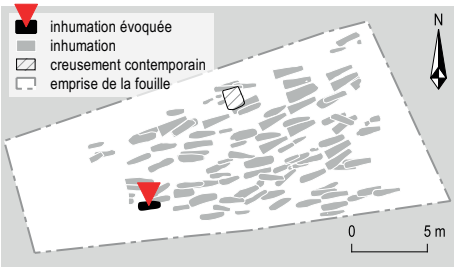

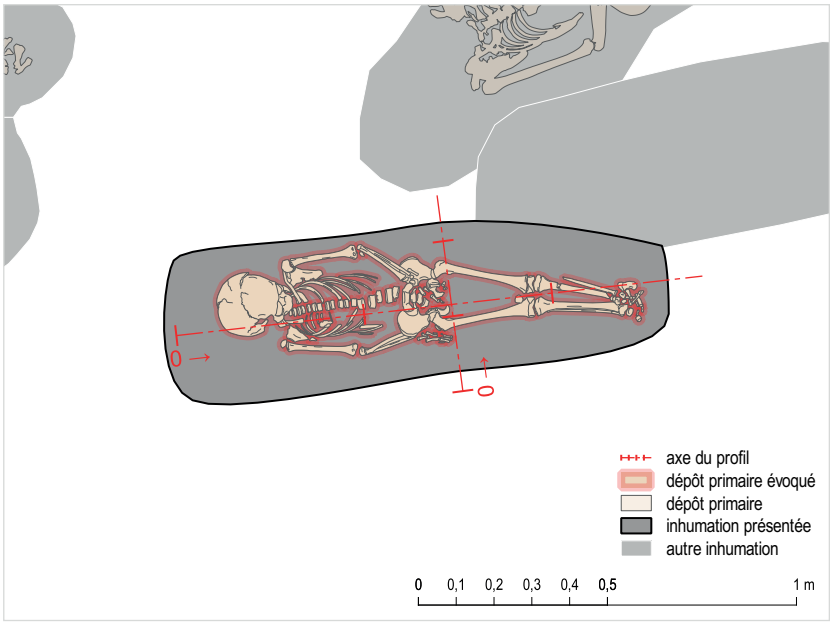

orientation

84 °

pratique funéraire

sans contenant

position

décubitus dorsal

membres supérieurs

135/135

sexe

trop jeune pour détermination

âge

5 à 9 ans

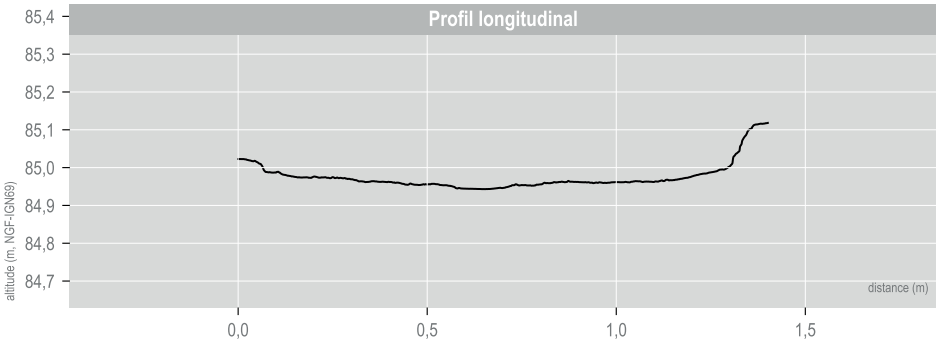

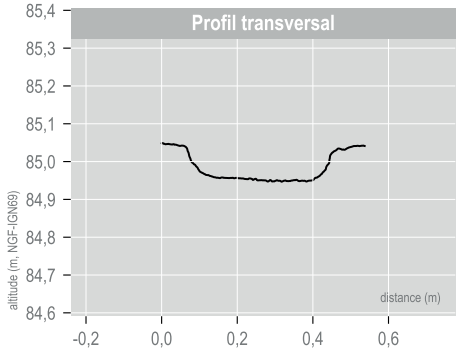

Vue générale de l'inhumation 862

vue générale de l'inhumation 862
C. Le Forestier, Inrap

Description de l'inhumation

Le sujet a été déposé dans une fosse oblongue, étroite, orientée est-ouest, bordée de nombreux blocs de pierre à l'ouest. Le squelette est très bien conservé. Il repose en décubitus dorsal, tête à l'ouest, les bras le long du corps légèrement repliés vers le pubis, les membres inférieurs alignés, resserrés aux genoux, chevilles et pieds joints. Le crâne est surélevé, appuyé contre un aménagement de pierres formant un coussin céphalique.
Le crâne apparait en vue antéro-supérieure, le bloc facial s'est affaissé caudalement. La mandibule est déconnectée, renversée, en position aberrante. Le rachis vertébral est d'un seul tenant, le gril costal est à plat, le volume pelvien n'est pas conservé.
Les connexions de la ceinture scapulaire droite sont rompues: la clavicule est verticalisée, la scapula à l'horizontale, l'humérus en vue antéro-latérale. Les connexions aux coudes sont lâches, le radius a migré, reposant sous l'iliaque. Les connexions du poignet et de la main sont rompues mais les métacarpes et phalanges sont restés groupés en position anatomique contre l'iliaque et la tête fémorale. A gauche, les connexions sont mieux préservées à l'épaule, la clavicule est à l'horizontale, la scapulaire à plat et l'humérus en vue antérieure. L'ulna et le radius ont légèrement migré latéralement; les connexions au poignet sont rompues, les os carpiens et les os de la main migrant dans le prolongement de l'avant-bras sur l'iliaque et dans l'espace pelvien. Les fémurs en vue antérieure sont restés en connexion stricte. La patella gauche a chuté entre les deux fémurs. Les connexions fémoro-tibio-fibulaires sont maintenues strictement à droite; à gauche la fibula a migré latéralement. L'ensemble des os des pieds sont déconnectés, très regroupés en fagot dans le prolongement des jambes, certains ayant migré crânialement.
L'absence de migration en dehors du volume corporel, la faible amplitude des migrations et le maintien en cohérence anatomique de l'ensemble du squelette, s'agissant d'un sujet immature, permettent de proposer un colmatage rapide des masses molles. La forte contrainte au niveau du crâne et des genoux et des chevilles, le regroupement des os des pieds déconnectés dans un volume restreint impliquent la présence d'une enveloppe enserrante, voire de liens, générant de nombreux espaces vides ayant favorisé les migrations observées, soit caudalement comme pour le crâne, les os de la main droite, soit à l'intérieur des os longs – patella et os des pieds. Par ailleurs la contention au niveau des côtes n'exclut pas l'hypothèse d'un emmaillotement.
Le squelette est celui d'un immature, dont l'âge au décès se situe entre 5 et 9 ans (IM3).
Les premières molaires droites inférieure et supérieure ont un dépôt de tartre très important, rarement observé chez un immature.

Photographie de détails

vue rapprochée de l'inhumation 862
C. Le Forestier, Inrap

Pathologies

I. 862 : dépôt volumineux de tartre

Phase : 3

Inhumation 863 - MAS8054

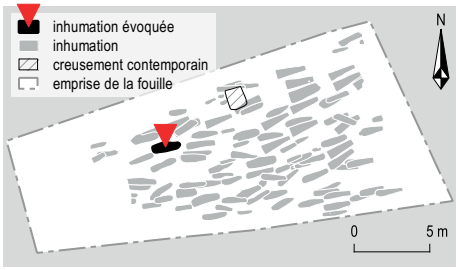

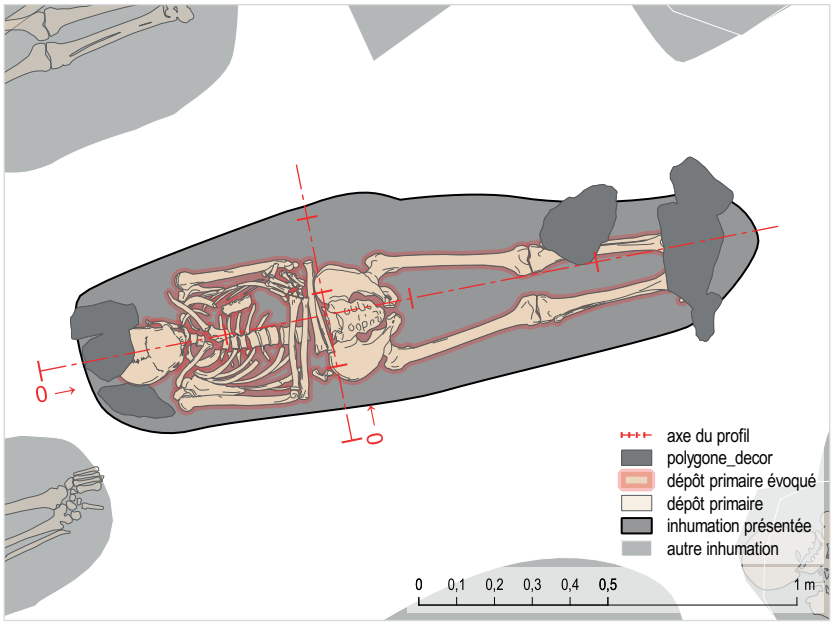

orientation

79 °

pratique funéraire

fosse à banquette

position

décubitus dorsal

membres supérieurs

90/90

sexe

masculin

âge

adulte

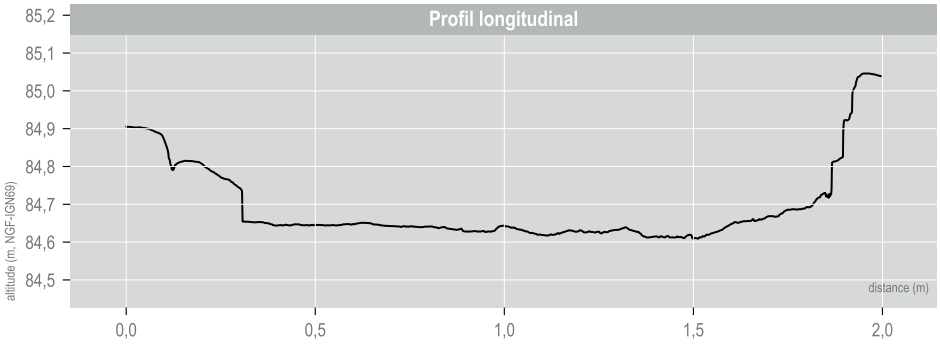

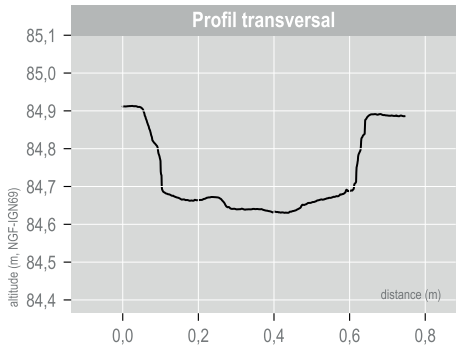

Vue générale de l'inhumation 863

vue générale de l'inhumation 863
C. Le Forestier, Inrap

Description de l'inhumation

Ce sujet a été inhumé dans une fosse oblongue étroite, orientée est-ouest. Il repose en décubitus dorsal, tête à l'ouest, et il bénéficie d'un calage céphalique constitué de trois blocs de pierre disposés sur le pourtour et sous le crâne ; les membres supérieurs sont croisés sur l'abdomen, le droit sur le gauche, les membres inférieurs alignés, non joints, les pieds en extension. Le crâne apparaît en vue supérieure, la mandibule est déconnectée et repose en vue antéro-latérale droite, affaissée sur les cervicales. Le gril costal est à plat, le volume pelvien est partiellement préservé. Le rachis vertébral est segmenté et sinusoïdal. Le manubrium s'est déversé vers l'hémi-thorax gauche et le sternum repose sur les côtes gauches. Le volume pelvien est mieux conservé. Les connexions de la ceinture scapulaire sont bien préservées à droite comme à gauche: les clavicules sont verticalisées, les scapulas en pendage oblique, les humérus en vue antéro-latérale. Les connexions au coude et au poignet droit sont lâches, les métacarpes et premières phalanges restant également en position anatomique. A gauche, les connexions sont rompues, le radius et l'ulna gauches migrant caudalement et quelques os carpiens et métacarpiens, déconnectés, étant regroupés dans leur prolongement. Au-delà, à partir de la ceinture pelvienne jusqu'aux articulations tibio-fibulo-tarsiennes, les connexions sont maintenues quasi-strictement bilatéralement; les coxaux, les fémurs, les tibias et fibula en vue antérieure, les talus en vue antéro-médiale. Les os des pieds, en hyper extension, sont en connexion lâche.
La plupart des connexions étant maintenues, aucune migration en dehors du volume corporel n'étant observée, on peut conclure à un colmatage rapide des masses molles. La forte compression au niveau des épaules, l'alignement strict des os à gauche, avec la migration caudale des os de l'avant-bras, le maintien des premières phalanges à la verticale sur l'humérus gauche, l'absence de rotation des os tarsiens plaident en faveur d'un élément enserrant, de type linceul.
Le squelette est celui d'un adulte, de sexe masculin.

Photographie de détails

vue rapprochée de l'inhumation 863
C. Le Forestier, Inrap

Pathologies

I. 863 :cas de swan-neck (déformation en boutonnière)

Phase : 2

Inhumation 865 - MAS8060

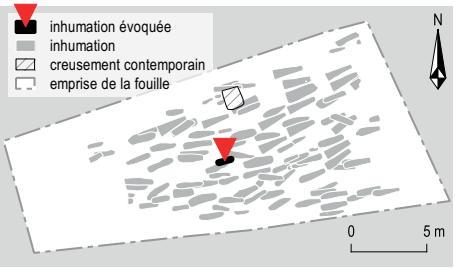

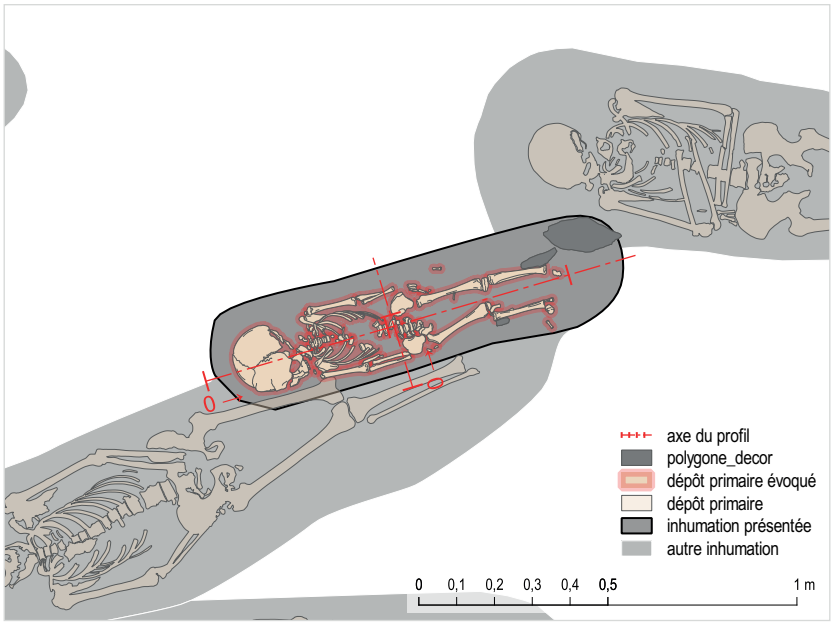

orientation

74 °

pratique funéraire

sans contenant

position

décubitus dorsal

membres supérieurs

180/180

sexe

trop jeune pour détermination

âge

5 à 9 ans

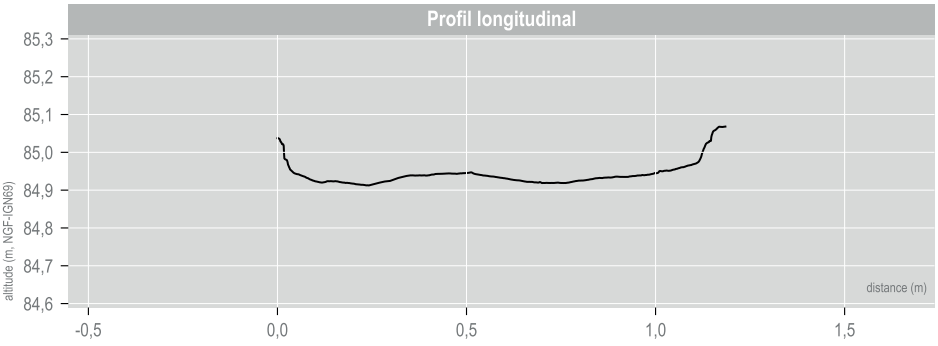

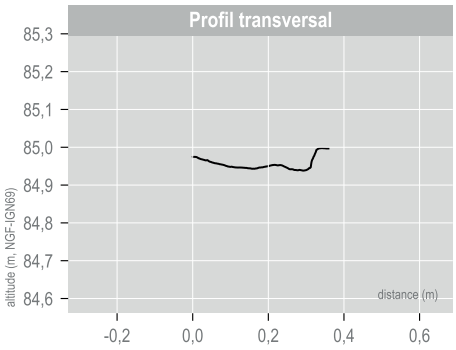

Vue générale de l'inhumation 865

vue générale de l'inhumation 865
C. Le Forestier, Inrap

Description de l'inhumation

Le sujet a été inhumé dans une fosse oblongue, très étroite, orientée sud-sud-ouest – nord-nord-est, dont le creusement a percuté la sépulture 866. Il repose en décubitus dorsal, tête au sud-ouest, les bras le long du corps, les membres inférieurs alignés parallèlement. Le squelette est assez bien conservé.
Le crâne apparait en vue antéro-supérieure latérale gauche, la mandibule, déconnectée, est légèrement affaissée. Le volume thoracique est partiellement conservé, les rachis thoracique et lombaire sont bouleversés, les coxaux sont à plat. Les connexions de la ceinture scapulaire sont bien maintenues, les clavicules sont verticalisées , les scapulas à l'oblique, les humérus en vue antéro-latérale. Les connexions aux coudes ont cédé, les radius ont migré caudalement, surtout le radius gauche, en équilibre instable sur l'ulna. Au-delà les os des mains sont déconnectés et ont migré caudalement, jusqu'à mi-hauteur des diaphyses fémorales à gauche. Toutes les connexions des membres inférieurs sont rompues : à gauche, le fémur est en vue médiale, les tibias et fibula en vue antérieure ; à droite, le fémur est resté en vue antérieure, mais a migré médialement, le tibia est en vue postérieure. Les os de métatarses sont déconnectés, dispersés latéralement et caudalement.
L'importance des déconnexions, les nombreuses migrations observées en dehors du volume corporel, la disparition des volumes initiaux plaident en faveur d'un colmatage différé. Si la position des membres inférieurs ne semble pas compatible avec la présence d'un linceul, on pourrait proposer l'existence d'un contenant étroit, en matériau périssable, ayant favorisé les migrations caudales observées tout en calant le crâne et le squelette supérieur.
Le squelette est celui d'un immature, dont l'âge au décès se situe entre 5 et 9 ans (IM3).

Photographie de détails

vue rapprochée de l'inhumation 865
C. Le Forestier, Inrap

Phase : 3

Inhumation 866 - MAS8063

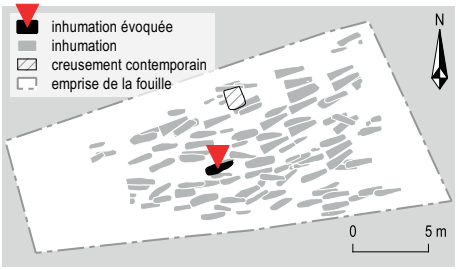

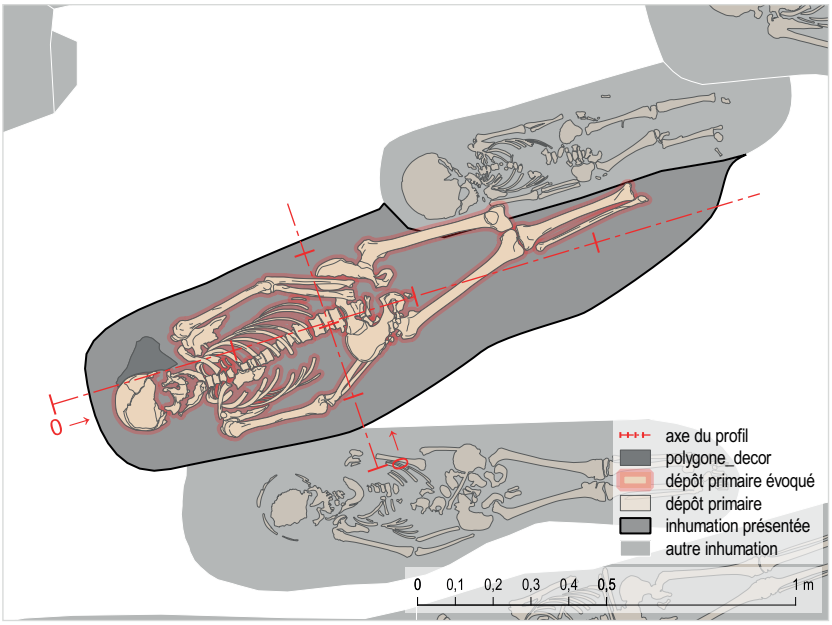

orientation

73 °

pratique funéraire

sans contenant

position

décubitus dorsal

membres supérieurs

135/135

sexe

indéterminé

âge

adulte

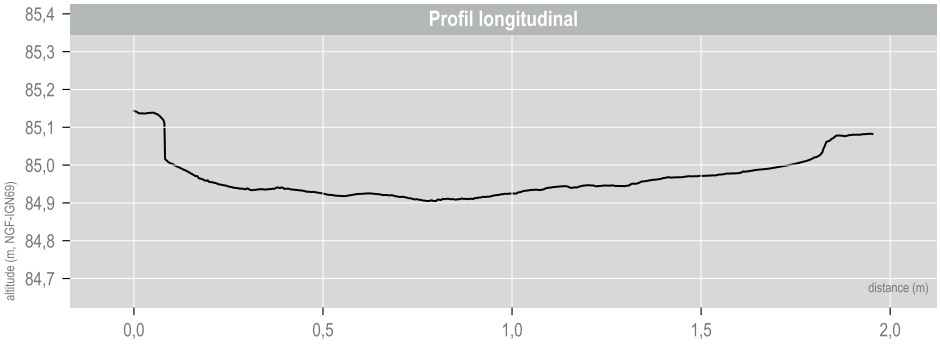

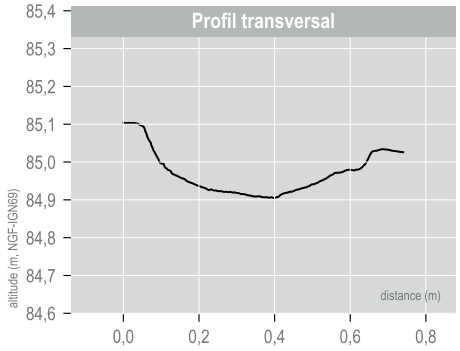

Vue générale de l'inhumation 866

vue générale de l'inhumation 866
C. Le Forestier, Inrap

Description de l'inhumation

Le sujet repose dans une fosse oblongue, assez étroite, orientée est-ouest, recoupée dans son quart nord-est par la fosse d'inhumation de la sépulture 865. Le squelette de l'individu est bien conservé, hormis les os de la jambe gauche et des deux pieds. Il repose en décubitus dorsal, orienté est-ouest, tête à l'ouest calée contre un bloc de pierre à gauche; les bras allongés et légèrement repliés, sous le coxal droit et sur le coxal gauche, les membres inférieurs alignés, joints aux genoux.
Le crâne apparait en vue antéro-latérale droite, la mandibule est déconnectée et a chuté caudalement sur les vertèbres. Le gril costal est à plat; le rachis vertébral est légèrement sinusoïdal et segmenté de la deuxième lombaire au rachis thoracique. Le sternum et le manubrium se sont partiellement déversés vers la droite. Le volume pelvien est partiellement conservé. La clavicule droite est déconnectée et apparait en vue inférieure ; la gauche est restée à l'oblique et en connexion. Les ceintures huméro-scapulaires sont bien préservées, la scapula droite en vue latérale, la gauche en vue antérieure ; les humérus en vue antéro-latérale. Les connexions aux coudes sont maintenues mais sont rompues aux poignets, l'ulna gauche migrant latéralement. Tous les os de la main gauche sont dispersés dans le volume pelvien, certains en équilibre instable, ceux de la main droite restant partiellement en connexion sous le coxal droit. Les connexions coxo-fémorales sont strictes, les fémurs reposant en vue antérieure, la patella gauche reposant en place. Le tibia droit, en vue antérieure, est resté en connexion avec le fémur. La fibula a migré latéralement.
La préservation de la plupart des connexions observables, l'absence de migrations en dehors du volume corporel, la position de la patella gauche et de certaines phalanges impliquent un colmatage rapide. La forte compression aux épaules, la présence d'espaces secondaires ayant favorisé la dispersion des os dans le volume pelvien, la compression aux genoux attestent la présence d'un élément enserrant de type linceul. On peut enfin observer le strict alignement des côtes, à distance des humérus, qui suggère la présence d'un vêtement ou d'un emmaillotement.
Le squelette est celui d'un adulte, de sexe indéterminé.

Photographie de détails

vue de la zone pelvienne de l'inhumation 866
C. Le Forestier, Inrap

Phase : 3 ^{14}C [1158 1060

Inhumation 867 - MAS8066

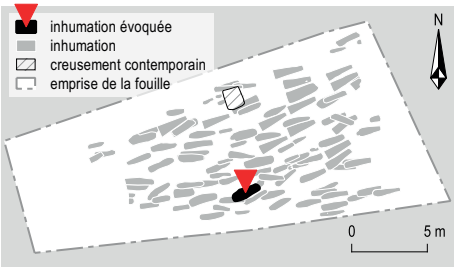

orientation

59 °

pratique funéraire

fosse à banquette

position

décubitus dorsal

membres supérieurs

45/90

sexe

féminin

âge

adulte

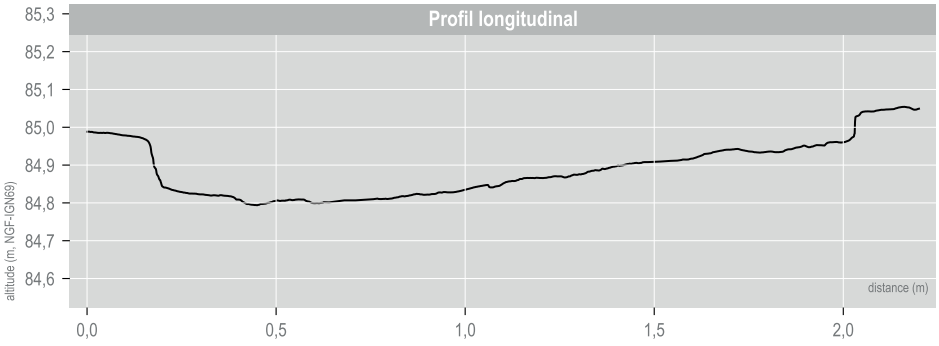

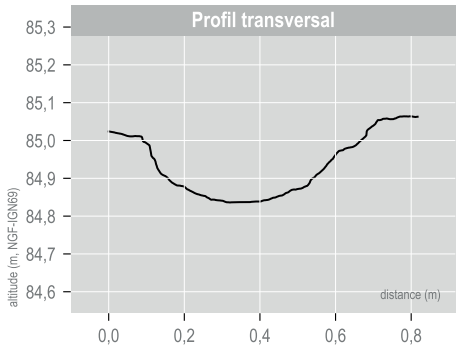

Vue générale de l'inhumation 867

vue générale de l'inhumation 867
C. Le Forestier, Inrap

Description de l'inhumation

Le sujet est inhumé dans une fosse profonde, orientée est-ouest, plutôt quadrangulaire, dont le comblement supérieur est constitué de blocs de pierres, disposés sur le pourtour de la fosse. Il pourrait s'agir d'une fosse à banquette. Le squelette de l'individu est très bien conservé. Il repose en décubitus dorsal, la tête à l'ouest, entourée d'un calage de pierres, la mandibule maintenue par un calage mentonnier. Les bras sont croisés, le droit replié à 45°sur la poitrine, le gauche à 95° sur l'abdomen, les os des membres inférieurs alignés, parallèles, les pieds en hyper extension.
Le bloc crânio-facial apparait en vue antéro-supérieure droite, en connexion stricte avec la mandibule. Le rachis vertébral, en vue antérieure, est d'un seul tenant, le manubrium et le sternum restés en place, affaissés latéralement; les volumes corporels – thoracique et pelvien – sont préservés. Les connexions de la ceinture scapulaire sont quasiment strictes, bilatéralement: les clavicules en position horizontale, les scapulas et les humérus en vue antérieure. Les connexions aux coudes et aux poignets sont restées intactes de même qu'une bonne partie des os du carpe et des métacarpes, en vue dorsale, quelques phalanges restant en équilibre instable au bord de l'aile iliaque. A droite, la position du bras surélevé sur la poitrine peut expliquer la migration caudale des os de l'avant-bras, et l'affaissement à la verticale, du carpe et des métacarpes, les phalanges proximales et intermédiaires, restant en étroite proximité, sur les vertèbres et les côtes gauches. Toutes les connexions des os des membres inférieurs et des chevilles sont, elles aussi maintenues strictement, les os longs en vue antérieure, les patellas en place; les tarses et métatarses en stricte connexion, en position d'hyper extension à droite. Les phalanges et métatarses gauches, déconnectés, restent en proximité.
Le maintien de la plupart des connexions et des volumes corporels, les os en équilibre instable, les patellas en place, l'absence de migration en dehors du volume corporel témoignent d'un colmatage très rapide. L'effet de paroi suggéré par la position des pieds, non ouverts, le maintien du volume pelvien pourraient s'expliquer par la présence d'un aménagement bilatéral, en matériau périssable, tel que des planches.
Le squelette est celui d'un adulte, de sexe féminin.

Photographie de détails

vue rapprochée de l'inhumation 867
C. Le Forestier, Inrap

Phase : 3

Inhumation 868 - MAS8070

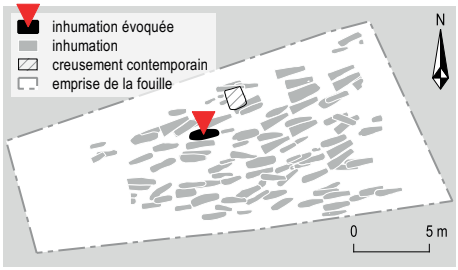

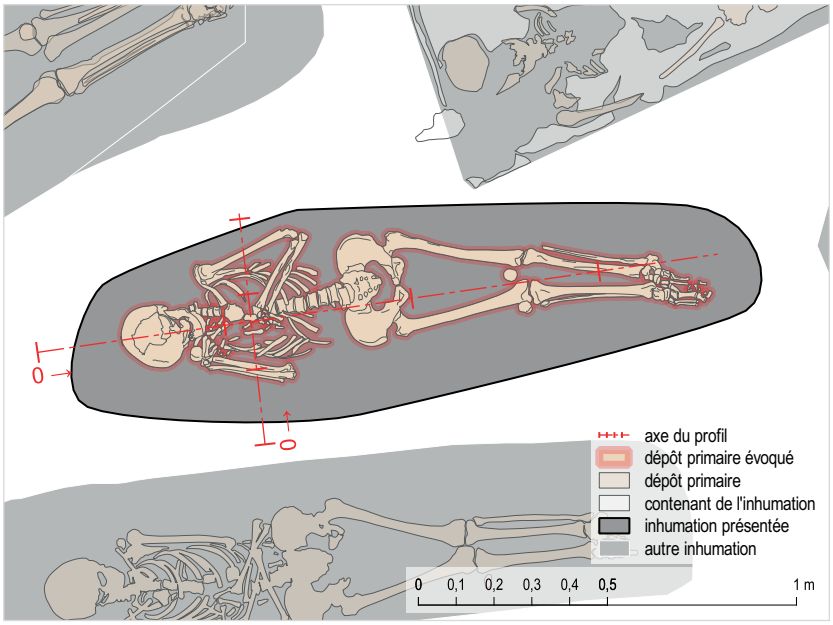

orientation

82 °

pratique funéraire

sans contenant

position

décubitus dorsal

membres supérieurs

0/45

sexe

féminin

âge

adulte

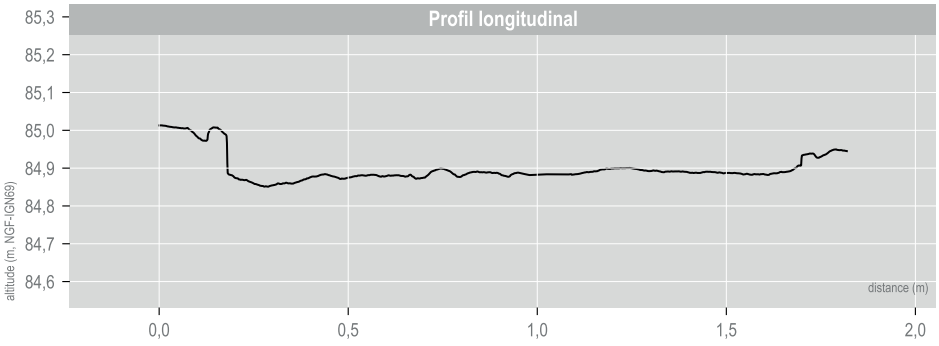

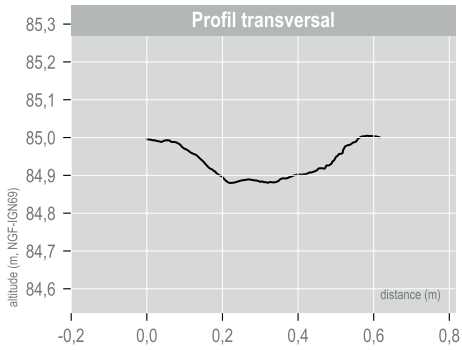

Vue générale de l'inhumation 868

vue générale de l'inhumation 868
C. Le Forestier, Inrap

Description de l'inhumation

Le sujet a été inhumé dans une fosse oblongue, étroite, orientée est-ouest, dont le fond est très irrégulier, notamment dans sa moitié supérieure, du fait de la présence d'un empierrement, qui pourrait constituer une voie de circulation au sein de la nécropole. Le squelette de l'individu est bien conservé. Il repose en décubitus dorsal, tête à l'ouest, bénéficiant d'un aménagement céphalique et d'un calage mentonnier; le buste est légèrement surélevé, les bras sont repliés à 0° à droite et 45° à gauche, les jambes alignées, resserrées aux genoux, les pieds joints, en hyperflexion, le droit sur le gauche.
Le crâne apparaît en vue antéro-supérieure gauche, affaissé caudalement sur la mandibule. La connexion calva-mandibulaire est préservée. Les rachis lombaire et thoracique sont segmentés mais le manubrium et le sternum sont restés en place, en vue antérieure; le volume thoracique est partiellement conservé, à gauche; les coxaux sont en position intermédiaire. La plupart des connexions du squelette supérieur sont maintenues strictement aux épaules, clavicules et scapulas à l'oblique, l'humérus en rotation interne; aux coudes et aux poignets, ulna et radius en vue postérieure à droite, en vue antérieure à gauche. Les métacarpes et les phalanges droits restent en position anatomique, sur l'humérus et le long de la clavicule; les os carpiens et métacarpiens gauches reposant, en logique anatomique, sur les vertèbres et s'affaissant vers le gril costal droit. Mis à part une légère migration latérale des fibulas, toutes les connexions des os des membres inférieurs, en vue antérieure, sont strictes. La patella droite est en équilibre instable, la gauche éversée entre les deux fémurs. Il en est de même des pieds jusqu'aux phalanges proximales, les pieds reposant en vue antéro-latérale pour le pied gauche et en vue antéro-médiale pour le pied droit.
Les connexions pour la plupart strictes, les sternum, manubrium et patella droite en place, l'absence de migration en dehors du volume corporel impliquent un colmatage rapide. Par ailleurs, la forte contrainte au niveau du bras droit replié à 0°, la compression aux épaules, celle s'exerçant au niveau des pieds maintenus strictement l'un sur l'autre et la position en équilibre instable de la patella droite supposent la présence d'une enveloppe souple.
Le squelette est celui d'un adulte, de sexe féminin.
Le squelette présente deux fractures de l'ulna gauche, l'une sur le tiers distal de la diaphyse et l'autre à mi-hauteur, dont la réduction imparfaite a donné lieu à la formation de cals osseux au milieu de la diaphyse (18mm sur 40) et au niveau du tiers distal (14mm sur 22).

Photographie de détails

vue rapprochée de l'inhumation 868
C. Le Forestier, Inrap

Pathologies

I. 868 : double fracture de l'ulna gauche avec présence de cals osseux

Phase : 1

Inhumation 869 - MAS8072

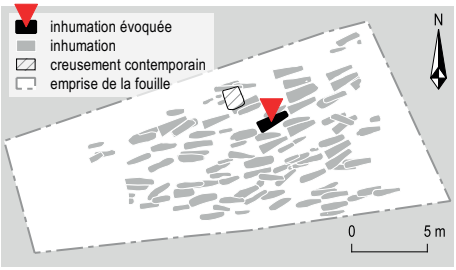

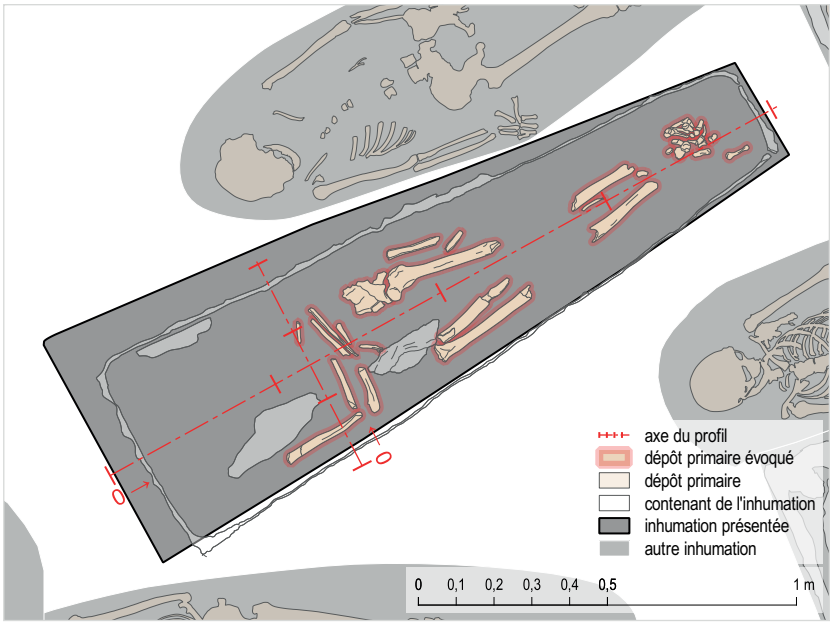

orientation

61 °

pratique funéraire

sarcophage

position

décubitus dorsal

membres supérieurs

90/90

sexe

indéterminé

âge

adulte

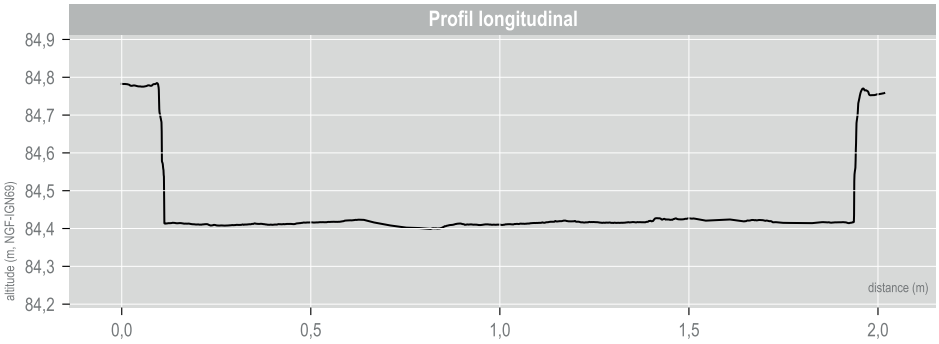

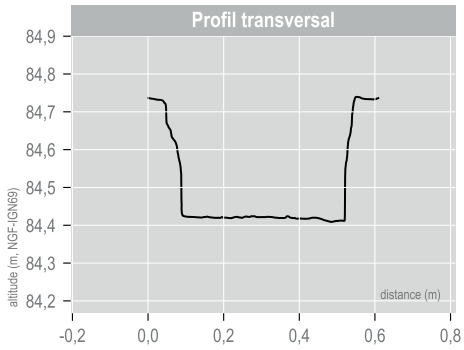

Vue générale de l'inhumation 869

vue générale de l'inhumation 869
C. Le Forestier, Inrap

Description de l'inhumation

Le sujet a été déposé dans une cuve en plâtre, orientée est-ouest. Son squelette est très peu conservé. Il repose en décubitus dorsal, pieds à l'est, les bras croisés, repliés à 90° à droite et à gauche. Les os des membres inférieurs sont alignés, parallèles. La plupart des connexions, de même que les volumes corporels, ne sont pas observables. L'humérus droit apparait en rotation interne. L'ulna et le radius sont déconnectés, la première migrant caudalement et le second crânialement. La connexion coxo-fémorale gauche est maintenue, le fémur apparaissant en vue antérieure. Les tibias se présentent en vue antérieure. Des os des pieds sont regroupés en fagot au fond du sarcophage, un métatarse I en vue médiale a migré contre la paroi de fond, dans l'angle droit.
Les éléments d'observation sont trop minces pour pouvoir déterminer le mode de décomposition. Par ailleurs, des os adultes sont présents dans le remblai au-dessous des ossements de l'individu. Il pourrait s'agir de la réutilisation du sarcophage afin d'y inhumer un nouvel individu.
Le squelette est celui d'un adulte, de sexe indéterminé.

Photographie de détails

vue oblique depuis l'est de l'inhumation 869
C. Le Forestier, Inrap

Phase : 3

Inhumation 871 - MAS8078

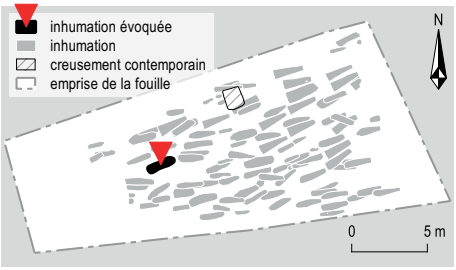

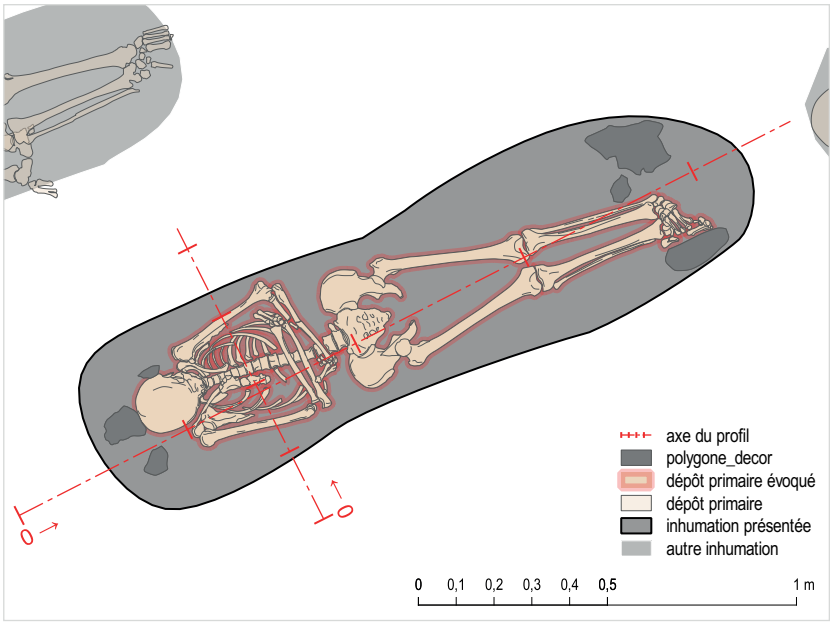

orientation

63 °

pratique funéraire

fosse à banquette

position

décubitus dorsal

membres supérieurs

90/90

sexe

féminin

âge

adulte

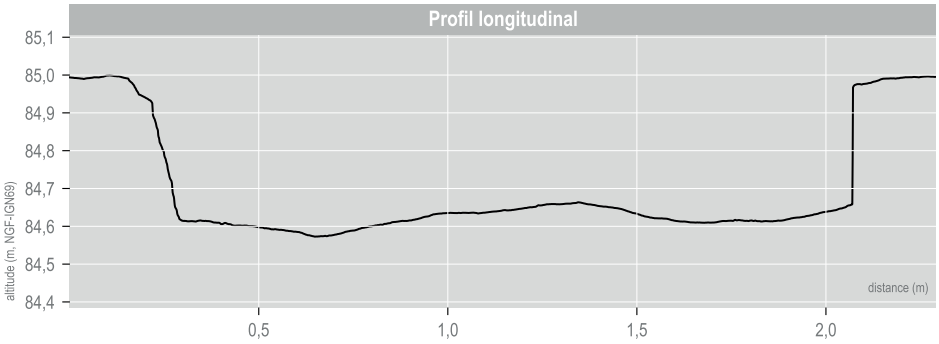

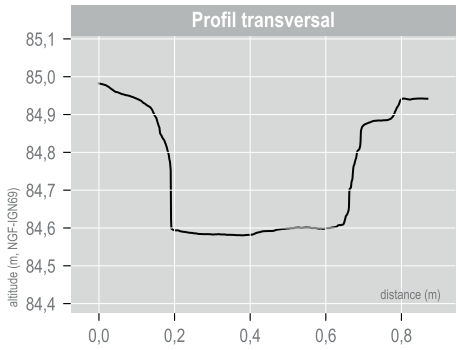

Vue générale de l'inhumation 871

vue générale de l'inhumation 871
C. Le Forestier, Inrap

Description de l'inhumation

Le sujet repose dans une fosse oblongue, orientée est-ouest, creusée au-dessus d'un sarcophage de plâtre, à l'ouest, qui s'apparente aux fosses à banquette. L'individu a été déposé en décubitus dorsal, orienté est-ouest, tête à l'ouest sur un bloc de pierre; les membres supérieurs repliés sur l'abdomen , les membres inférieurs alignés, resserrés aux genoux, joints aux chevilles, les pieds croisés, le gauche en hyper extension reposant sur le droit en hyperflexion.
Le crâne apparaît en vue supérieure, en connexion lâche avec la mandibule, apparaissant en vue antéro-supérieure. Le volume thoracique n'est pas préservé, le rachis vertébral est d'un seul tenant, le manubrium, en vue antéo-latérale gauche, et le sternum déversés vers l'hémi-thorax droit; les coxaux sont partiellement ouverts. Les clavicules sont verticalisées, la gauche, en vue inférieure, ayant migré caudalement ; la connexion huméro-scapulaire est rompue à droite, la scapula en vue antéro-latérale et l'humérus en vue latérale ayant migré crânialement; elle est mieux préservée à gauche, la scapula apparaissant en vue antéro-latérale, l'humérus en vue antérieure. Les connexions aux coudes sont également rompues, les os des avant-bras apparaissent en vue latérale ; les connexions aux poignets, des carpes et des métacarpes sont quasi strictes à droite mais sont rompues à gauche, les os carpiens restant groupés contre les lombaires. Les connexions sacro-pelviennes sont lâches, les fémurs restent en connexion stricte à gauche, plus lâche à droite. Au-delà, toutes les connexions sont maintenues quasi strictement aux genoux, aux chevilles, aux pieds. Les coxaux et les os longs apparaissent en vue antérieure ; les tarses et les métatarses en vue antéro-médiale, à l'exception du métatarse I gauche, déconnecté et en vue plantaire.
La préservation de nombreuses connexions, y compris labiles, l'absence de migration en dehors du volume corporel plaident en faveur d'un colmatage rapide. D'autre part, la forte compression au niveau des épaules, des genoux et aux pieds dénote la présence d'un élément enserrant, de type linceul. Celle-ci peut expliquer les déconnexions observées dans la moitié supérieure du squelette, du fait de la création d'espaces vides secondaires, et les migrations relevées, notamment celles des humérus et des os des avant-bras, lors de la rupture du linceul.
Le squelette est celui d'un adulte, de sexe féminin.
Le sujet souffre de parodontose sur le maxillaire, pour les molaires supérieures droites.

Photographie de détails

vue oblique de l'inhumation 871
C. Le Forestier, Inrap

Pathologies

I. 871 : légère parodontose sur la face latérale droite du maxillaire

Phase : 3

Inhumation 872 - MAS8081

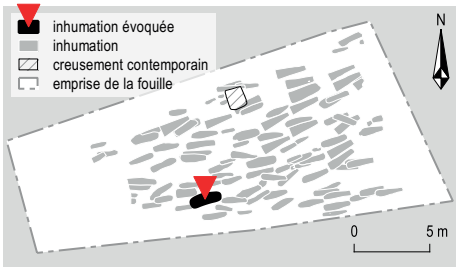

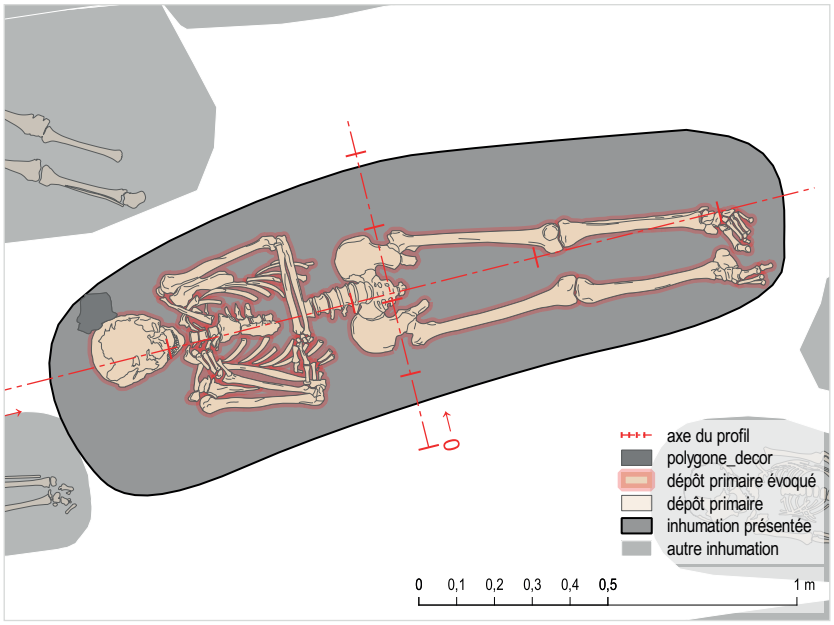

orientation

76 °

pratique funéraire

sans contenant

position

décubitus dorsal

membres supérieurs

0/90

sexe

masculin

âge

adulte

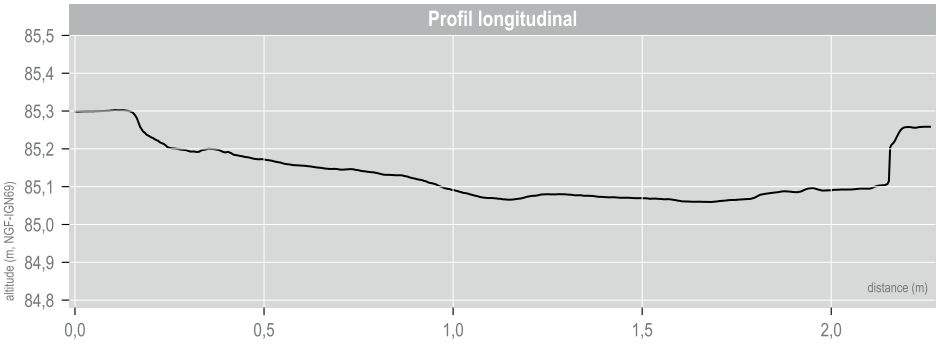

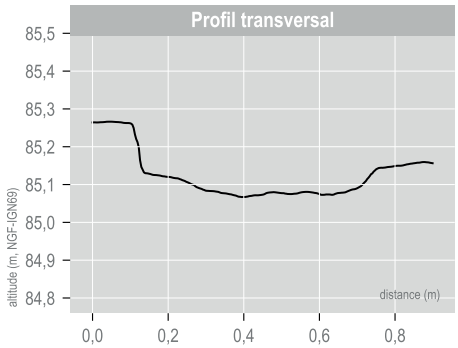

Vue générale de l'inhumation 872

vue générale de l'inhumation 872
C. Le Forestier, Inrap

Description de l'inhumation

Le sujet a été inhumé dans une fosse oblongue, orientée est-ouest. Il a été déposé en décubitus dorsal, tête à l'ouest, le bras droit replié sur lui-même à 5°, le gauche à 90° au-dessus de l'abdomen, les membres inférieurs alignés, parallèlement, chevilles et pieds non joints, le droit en hyperflexion, le gauche en hyper extension vers le droit.
Le crâne apparait en vue antéro-supérieure droite, la mandibule connectée. Le grill costal est à plat, le rachis vertébral est d'un seul tenant, le sternum et le manubrium reposant en place sur les vertèbres thoraciques, le volume pelvien est intermédiaire.
La plupart des connexions du squelette supérieur sont maintenues quasi strictement: au niveau de la ceinture scapulaire, les clavicules sont à l'oblique, les scapulas à l'horizontale, les humérus en rotation interne; aux coudes, avec à droite une légère migration du radius; enfin partiellement aux poignets, au niveau du carpe à gauche, au niveau du carpe et de la palette métacarpienne à droite. Au-delà, les phalanges restent dans la continuité anatomique, sur les côtes et l'ulna droits à gauche et sur les vertèbres thoraciques à droite. Toutes les connexions des os des membres inférieurs sont également intactes: à gauche, le fémur en vue antéro-médiale, la patella en place, le tibia en vue antérieure, les os du pied en hyperflexion et en vue antéro-médiale; à droite, le fémur en vue antérieure, le tibia en vue antéro-médiale, les os des pieds en vue antéro-médiale, le gauche en hyper extension, le droit en hyperflexion.
Le maintien de la plupart des connexions, la position du sternum et du manubrium ainsi que celle de la patella gauche, l'absence de migration en dehors du volume corporel impliquent un colmatage rapide. La contrainte au niveau du crâne, du bras droit et des épaules, celle observée au niveau des pieds, notamment à gauche permettent d'envisager la présence d'une enveloppe souple.
Le squelette est celui d'un adulte, de sexe masculin.
On observe une synostose de l'articulation sacro-pelvienne gauche pouvant être d'ordre génétique. Il est à noter que plusieurs cas identiques ont été mis en évidence dans la nécropole.

Photographie de détails

vue rapprochée de l'inhumation 872
C. Le Forestier, Inrap

Pathologies

I. 872 : synostose sacro-coxale gauche

Phase : 2

Inhumation 873 - MAS8084

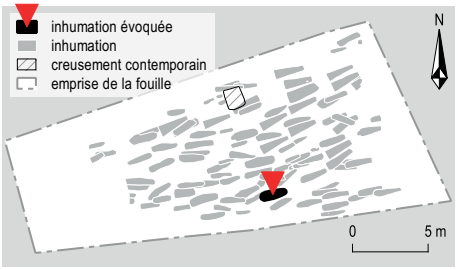

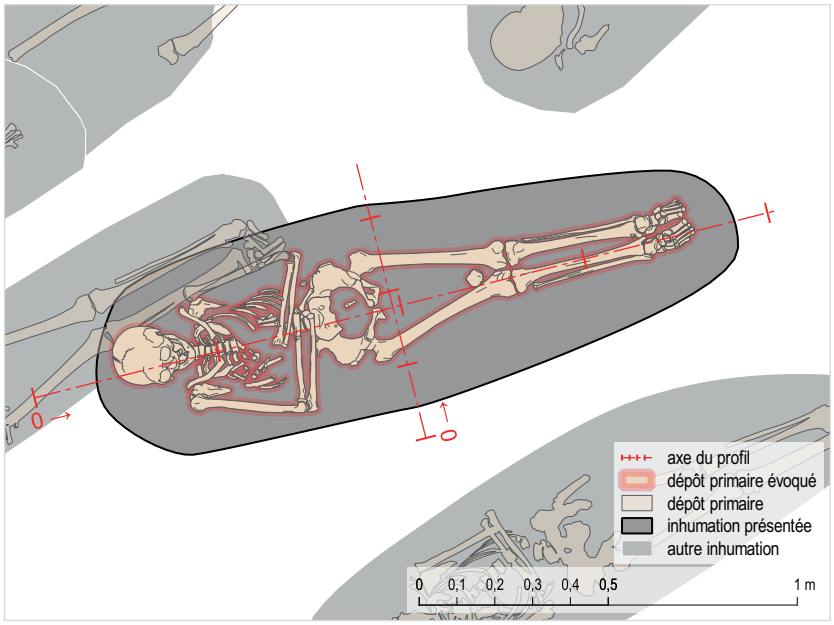

orientation

76 °

pratique funéraire

sans contenant

position

décubitus dorsal

membres supérieurs

90/90

sexe

féminin

âge

adulte

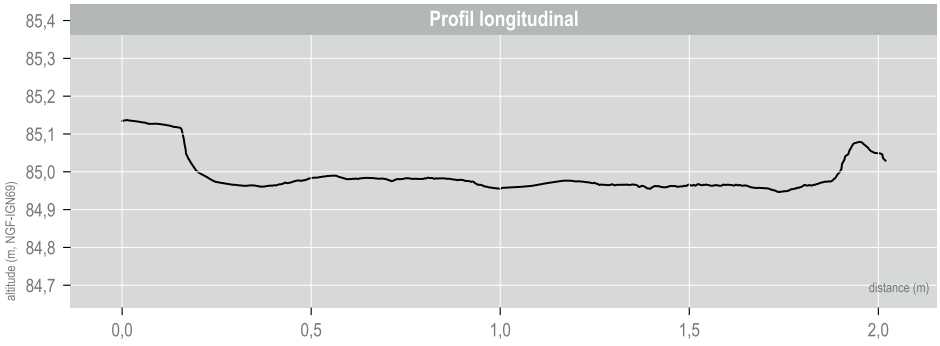

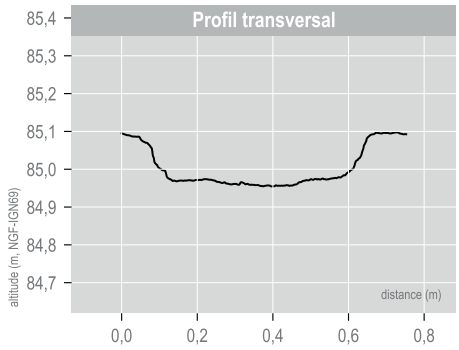

Vue générale de l'inhumation 873

vue générale de l'inhumation 873
C. Le Forestier, Inrap

Description de l'inhumation

Le sujet a été déposé dans une fosse oblongue, orientée est-ouest. Le squelette est bien conservé mais une partie des rachis thoracique et lombaire et du gril costal droit sont absents, témoignant peut-être d'une perturbation *post mortem*. Il repose en décubitus dorsal, orienté est-ouest, tête à l'ouest, les membres supérieurs repliés sur l'abdomen, les membres inférieurs alignés, joints aux genoux et aux chevilles, les pieds parallèles, en hyper extension.
Le crâne apparait en vue antéro-supérieure, de même que la mandibule, qui a chuté sur les vertèbres. Le rachis vertébral, en vue antérieure, se limite aux cervicales et premières thoraciques, d'un seul tenant, et aux dernières lombaires. Le gril costal est à plat et le volume pelvien est partiellement conservé. Les connexions de la ceinture huméro-scapulaire sont lâches: les clavicules sont verticalisées, les scapulas apparaissent en vue antéro-latérale, l'humérus droit en vue latérale et le gauche en vue antéro-latérale. Les connexions aux coudes sont rompues, les ulnas ayant migré caudalement; les radius restant en connexion lâche. Les connexions aux poignets ne sont pas préservées. Les os des mains sont dispersés dans le volume pelvien ou dans les côtes. Au-delà, les connexions sacro-iliaques et coxo-fémorales sont bien préservées, les coxaux en vue antéro-supérieure, le fémur droit en vue antéro-latérale, le gauche en vue antérieure. Les connexions aux genoux, aux chevilles et aux pieds sont quasi-strictes, les os apparaissant en vue antérieure.
La bonne préservation des connexions, notamment celles du squelette inférieur, l'absence de migration des os en dehors du volume corporel impliquent un colmatage rapide. La position du crâne, la compression observée au niveau des épaules, des genoux et des chevilles, l'absence de bascule des os des pieds attestent la présence d'un élément enserrant, du type linceul, probablement maintenu par des liens à hauteur des jambes. Les déconnexions observées, de la mandibule, des ulnas et des os des mains dénotent la présence d'espaces vides secondaires, créés par cette enveloppe souple.
Le squelette est celui d'un adulte, de sexe féminin.
On observe un édentement quasi complet du maxillaire et de la mandibule, les quelques alvéoles dentaires encore observables étant en cours de résorption. Les deux dents isolées se caractérisent par un dépôt important de tartre.

Photographie de détails

vue rapprochée de l'inhumation 873
C. Le Forestier, Inrap

Pathologies

I. 873 : edentement quasi complet de la mandibule et du maxillaire

Phase : 3

Inhumation 874 - MAS8087

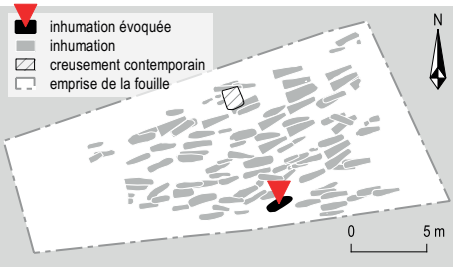

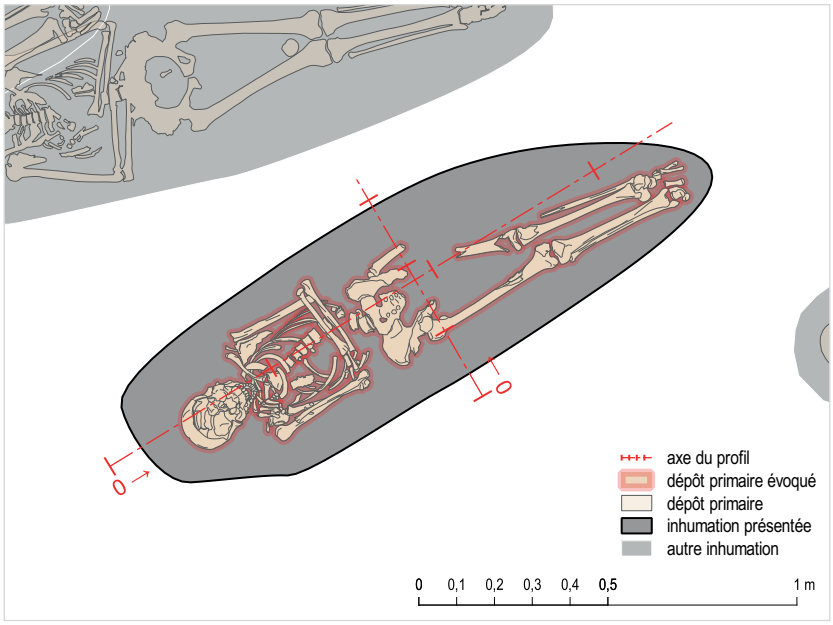

orientation

59 °

pratique funéraire

sans contenant

position

décubitus dorsal

membres supérieurs

0/90

sexe

indéterminé

âge

adulte

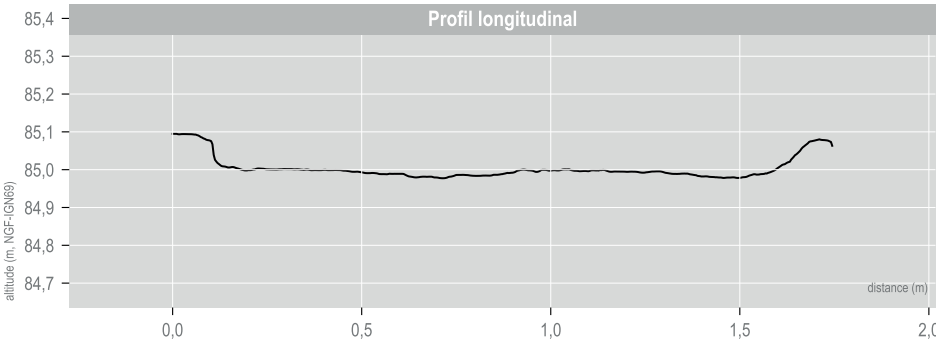

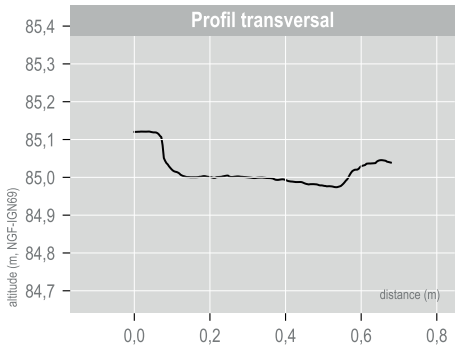

Vue générale de l'inhumation 874

vue générale de l'inhumation 874
C. Le Forestier, Inrap

Description de l'inhumation

Le sujet a été déposé dans une fosse oblongue, orientée est-ouest. Le squelette est inégalement conservé et semble avoir été perturbé au niveau de l'épaule et du fémur gauche. Il repose en décubitus dorsal, orienté est-ouest, tête à l'ouest, les membres supérieurs repliés à 0°/90°, main droite sous le menton, les membres inférieurs alignés, le droit tendu, resserrés aux genoux et aux pieds, le pied gauche en hyper extension.
Le crâne apparait en vue antéro-supérieure, la mandibule, déconnectée, en vue supérieure. Le rachis vertébral présente une forte sinusoïdalité, le rachis lombaire est disloqué et le rachis thoracique très segmenté. Le gril costal est à plat, le manubrium restant en équilibre sur les vertèbres. Le volume pelvien est partiellement conservé à gauche, ouvert à droite. Les connexions de la ceinture scapulaire et huméro-scapulaire sont conservées à droite. Les clavicules sont quasiment à l'horizontale, les scapulas à l'oblique et les humérus en vue antérieure. La connexion au coude droit est stricte pour l'ulna et le radius, qui se présentent en vue postérieure. Les connexions du poignet sont rompues; par contre, les métacarpes, en équilibre sur la clavicule, les premières et les deuxièmes phalanges sont restées en majorité en continuité anatomique. A gauche, l'humérus a migré médialement.
L'ulna et le radius sont déconnectés; les os de la main restent groupés, déconnectés, dans le prolongement des os de l'avant-bras. La ceinture pelvienne est maintenue à gauche. Les connexions coxo-fémorales sont également préservées. Les fémurs et les tibias, la fibula droite en vue antérieure, restent en connexion stricte. Les connexions de la cheville droite sont lâches, mais quasi strictes à gauche, le calcaneus en vue latérale, le talus en vue antéro-latérale; les métatarses sont déconnectés.
De manière générale, les connexions semblent plutôt bien préservées à droite, plaidant en faveur d'un colmatage rapide, malgré les migrations observées pour le squelette appendiculaire gauche, qui semblent liées à une perturbation. L'alignement des os à droite, la forte contrainte observée au niveau de l'avant-bras droit maintenu contre l'humérus, la sinusoïdalité du rachis vertébral, la position des genoux et des pieds attestent la présence d'un élément enserrant , de type linceul.
Le squelette est celui d'un adulte, de sexe indéterminé.
Il présente des appositions périostées sur la moitié proximale de la diaphyse tibiale gauche et des ostéophytes, notamment sur le IVe métatarse gauche, sur la surface articulaire médiale. On peut observer des ostéophytes ascendantes sur le calcaneus droit en face dorsale, et des collerettes sur le bord inférieur et en vue antérieure des cervicales V, VI, VII.

Photographie de détails

vue rapprochée de l'inhumation 874
C. Le Forestier, Inrap

Pathologies

I. 874 : ostéophyte sur les vertèbres cervicales

I. 874 : exostose sur le IVème métatarse gauche

Phase : 3 ^{14}C [1158 [1030 — Inhumation 875 - MAS8090

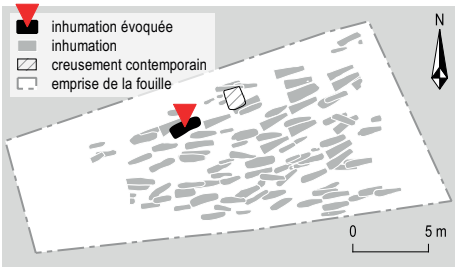

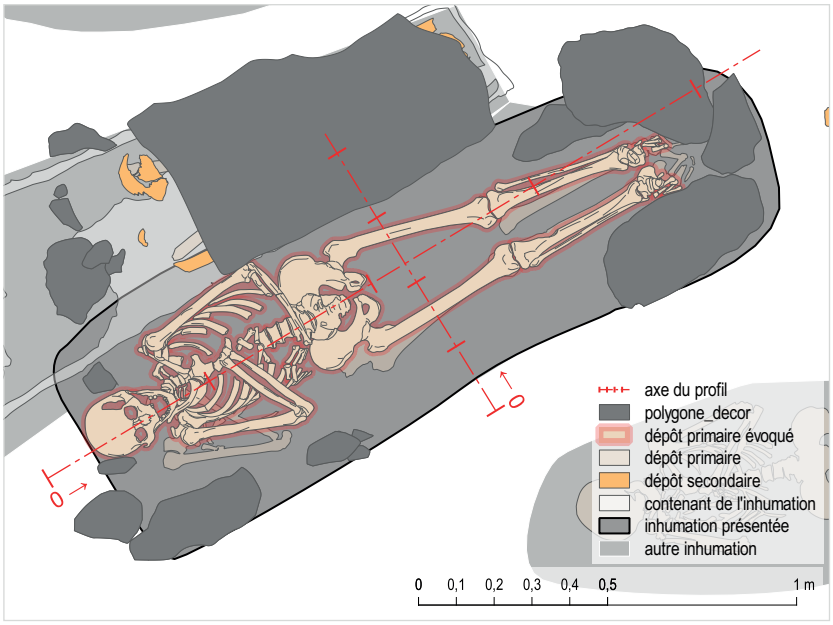

orientation
59 °

pratique funéraire
fosse à banquette

position
décubitus dorsal

membres supérieurs
45/90

sexe
masculin

âge
adulte

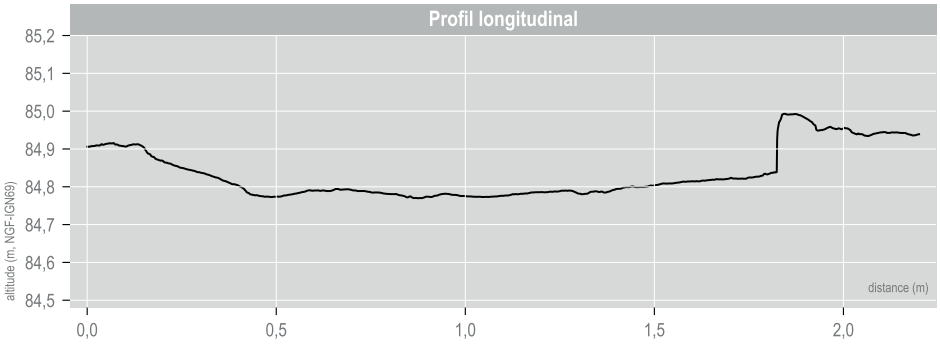

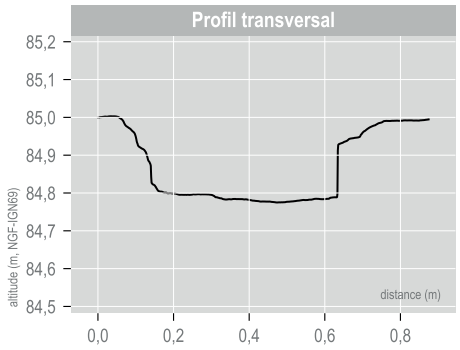

Vue générale de l'inhumation 875

vue générale de l'inhumation 875
C. Le Forestier, Inrap

Description de l'inhumation

Le sujet a été déposé dans une fosse oblongue, orientée est-ouest, comportant des blocs de pierre en son pourtour, dont l'une de taille et de forme remarquable, constituant une fosse à banquette. Le squelette de l'individu est très bien conservé. Il repose en décubitus dorsal, orienté est-ouest, tête à l'ouest, les membres supérieurs repliés, sur la poitrine à droite et sur l'abdomen à gauche, les membres inférieurs alignés, parallèles, se rejoignant aux chevilles, le pied droit en hyperflexion, le gauche en hyper extension.
Le crâne apparait en vue antérieure, la mandibule, en vue antéro-supérieure, en connexion lâche. Le rachis vertébral est d'un seul tenant, le manubrium et le sternum sont en place. Le gril costal est à plat. Le volume pelvien est partiellement préservé. La ceinture huméro-scapulaire est quasi stricte bilatéralement. Les clavicules sont verticalisées, les scapulas en vue latérale, les humérus en vue antéro-latérale. Les connexions aux coudes sont bien maintenues, les ulnas et radius en vue latérale; les connexions au poignet sont rompues; les os de la main droite sont dispersés dans le volume costal et au niveau des dernières vertèbres thoraciques ; les métacarpes et les premières phalanges gauches sont restés dans le prolongement des os de l'avant-bras. Toutes les connexions de la ceinture pelvienne, des articulations coxo-fémorales, des genoux et des chevilles sont strictement préservées, les os apparaissant en vue antérieure; une partie des os du tarse et des métatarses sont restés en connexion, en vue antéro-médiale.
La grande majorité des connexions préservées, l'absence de toute migration en dehors du volume corporel, le maintien du manubrium en place, attestent d'un colmatage rapide. La forte compression observée au niveau des épaules et des pieds, le strict alignement des os, notamment à gauche valident l'hypothèse d'un élément enserrant de type linceul.
Le squelette est celui d'un adulte, de sexe masculin.
Une grande partie du squelette présente une prolifération osseuse. Celle-ci concerne prioritairement le rachis vertébral, des cervicales III à VII, aux thoraciques (III à VII) et aux lombaires (I à V) Tout le rachis cervical et les cinq premières thoraciques présentent des collerettes ostéophytiques sur le bord inférieur gauche pour les cervicales et le bord inférieur droit pour les thoraciques et les lombaires, se rejoignant en « pont osseux » et on observe une jonction des IIIe et IVe thoraciques sur les bords latéraux droits évoquant une ossification des ligaments, propres à la maladie de Forestier.
Des ostéophytes sont également présentes sur le bord de la capsule scapulaire , sur la patella droite et sur les coxaux – aile iliaque, pubis, la tubérosité ischiatique.

Photographie de détails

vue générale de l'inhumation
C. Le Forestier, Inrap

Pathologies

I. 875 : ostéophyte sur les vertèbres lombaires

Phase : 2

Inhumation 876 - MAS8093

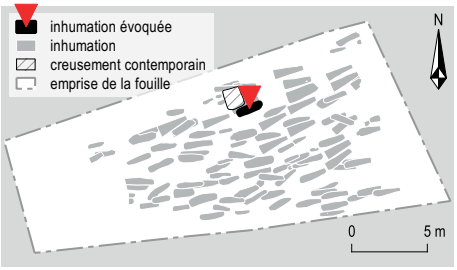

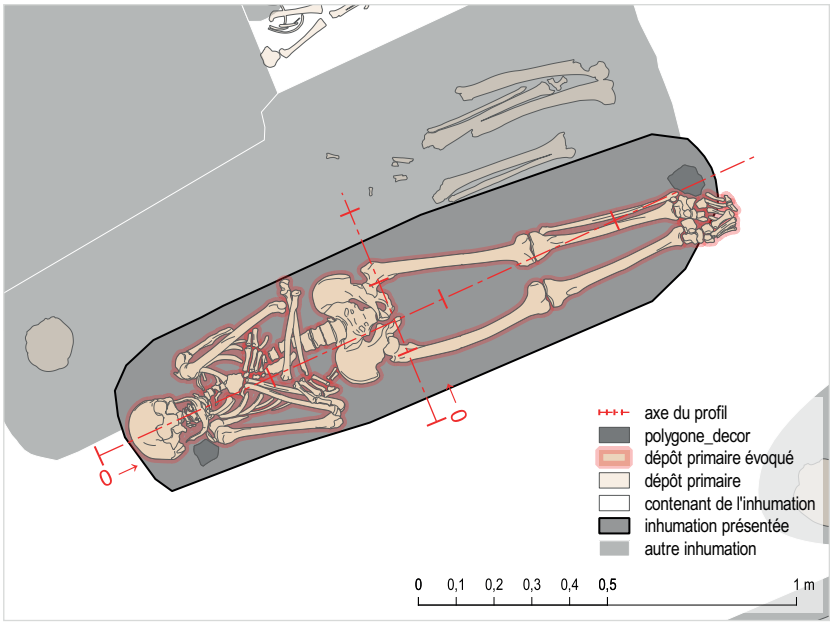

orientation

65 °

pratique funéraire

sans contenant

position

décubitus dorsal

membres supérieurs

45/90

sexe

masculin

âge

adulte

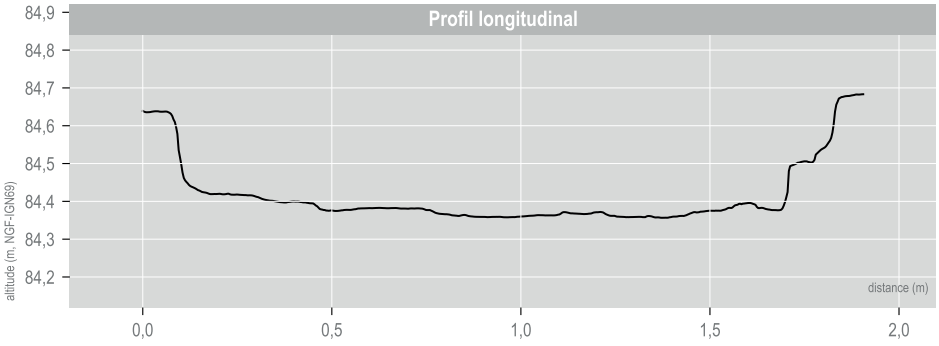

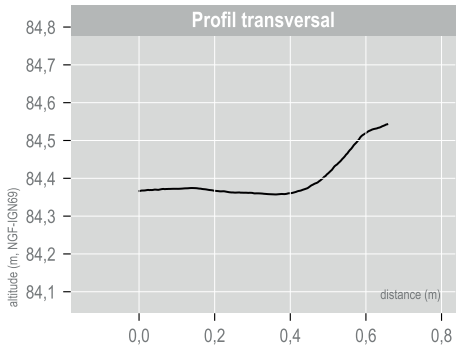

Vue générale de l'inhumation 876

vue générale de l'inhumation 876
C. Le Forestier, Inrap

Description de l'inhumation

L'individu repose dans une fosse oblongue étroite, orientée est-ouest, dont le creusement a recoupé la fosse pierres et plâtre de la sépulture 891. Il repose en décubitus dorsal, tête à l'ouest, les membres supérieurs repliés le droit sur la poitrine, le gauche sur l'abdomen, les membres inférieurs alignés, se rejoignant aux chevilles, les pieds joints, le gauche en hyper extension sous le droit, en hyperflexion.
Le crâne apparait en vue antéro-latérale droite, la mandibule est déconnectée, quasiment en vue antérieure. Le rachis cervical est très segmenté, le reste est d'un seul tenant. Le gril costal est à plat ; par contre le volume pelvien est quasiment conservé. Les clavicules sont verticalisées, les scapulas apparaissent de chant à droite, à l'oblique à gauche, les humérus, en vue antéro-latérale à droite et latérale à gauche, ont migré latéralement à droite, médialement à gauche . De ce fait, les connexions aux coudes sont rompues, l'ulna et le radius droits restent en vue antéro-latérale ; à gauche, l'ulna a migré caudalement et latéralement, en dehors du volume corporel. Les connexions aux poignets ne sont pas conservées; cependant plusieurs métacarpes et premières phalanges droites sont restés en connexion, reposant sur les côtes gauches; à droite, les os de la main sont déconnectés et dispersés dans le prolongement des avant-bras. Au-delà, les connexions sacro-iliaques sont strictes; à gauche, les connexions coxo-fémorales, celles au genoux, aux chevilles et au pied gauche sont quasiment strictes, les os apparaissant en vue antérieure. A droite, l'articulation coxo-fémorale est rompue ; la connexion au genou est plus lâche ; celles de la cheville et des pieds sont strictes.
u fait de l'importance des connexions préservées, du maintien du manubrium en position initiale, de la préservation de connexions labiles, on peut envisager un colmatage rapide. La très forte compression au niveau des épaules, celle observée au niveau des pieds, impliquent la présence d'un élément enserrant, dont la rupture brutale pourrait être à l'origine des déplacements observés au niveau des humérus et de l'ulna gauche.
Le squelette est celui d'un adulte, de sexe masculin.
Le squelette présente plusieurs lésions : d'ordre traumatique avec un enfoncement de la boite crânienne, de forme ovalaire (de 55mm sur 15) sur le pariétal droit, dont les bords semblent avoir fait l'objet d'un remodelage ; sa forme permet d'envisager un coup porté avec un objet tranchant, ayant peut-être entaillé le pariétal sans le perforer à moins que l'os ait pu se remodeler naturellement; d'ordre dégénératif avec un quasi édentement (à l'exception de deux dents); des exostoses sur les os inférieurs - fémur, tibias et calcaneus - , la synostose des cervicales III et IV par la facette articulaire latérale gauche.

Pathologies

I. 876 : légère dépression sur le pariétal droit

I. 876 : edentement quasi complet de la mandibule et du maxillaire

Phase : 3

Inhumation 877 - MAS8096

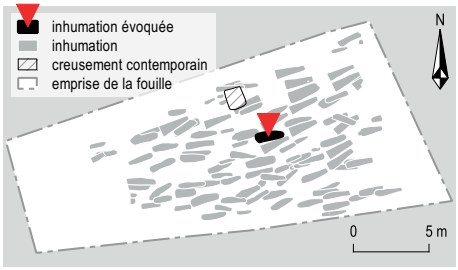

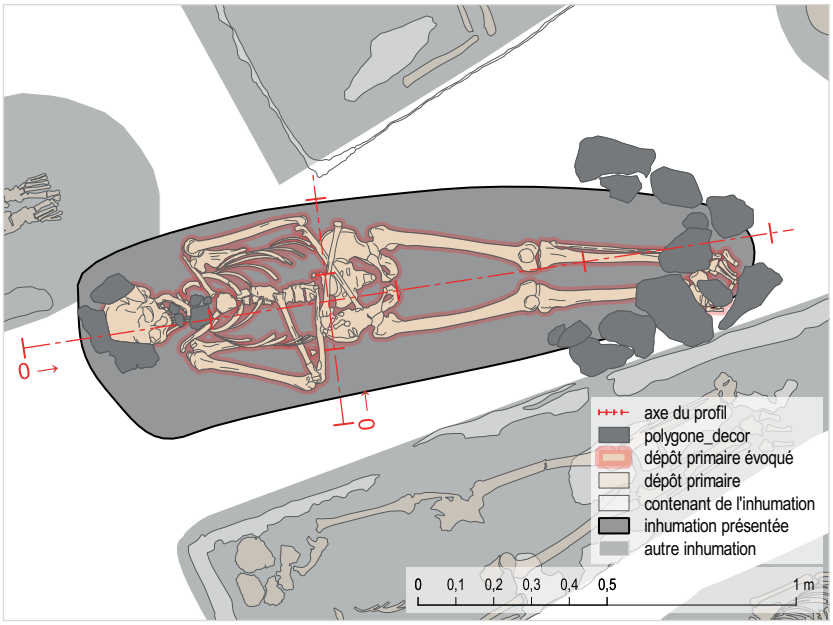

orientation

81 °

pratique funéraire

sans contenant

position

décubitus dorsal

membres supérieurs

90/90

sexe

masculin

âge

adulte

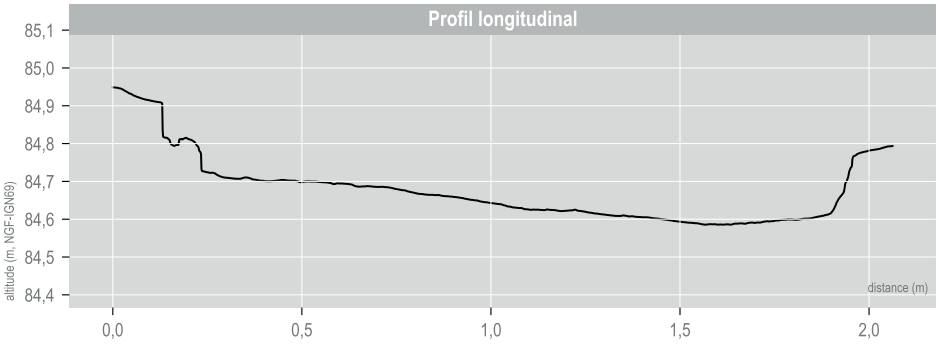

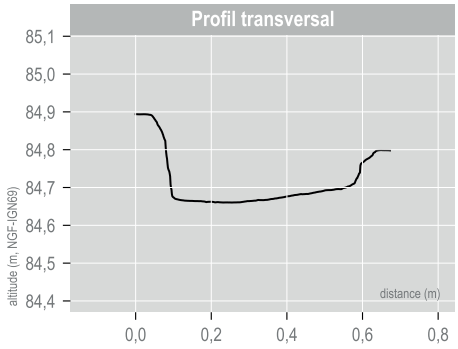

Vue générale de l'inhumation 877

vue générale de l'inhumation 877
C. Le Forestier, Inrap

Description de l'inhumation

Le sujet repose dans une fosse oblongue étroite, orientée nord-nord-ouest – sud-sud-est. Il repose en décubitus dorsal, la tête au nord-nord-ouest, les bras repliés sur l'abdomen, les jambes alignées et légèrement resserrées aux genoux, le pied gauche en hyper extension et le droit en hyperflexion. La tête est maintenue par un calage céphalique et un calage mentonnier.
Le crâne apparait en vue antéro-latérale gauche, la mandibule, en vue antérieure, est déconnectée et a chuté caudalement. Le gril costal est à plat, le volume pelvien est préservé. Le rachis vertébral d'un seul tenant, en vue antérieure, le manubrium en place tandis que le sternum, qui a migré caudalement, reste en équilibre sur les thoraciques. Toutes les connexions de la ceinture huméro-scapulaire sont maintenues: clavicules et scapulas à l'oblique, humérus en rotation interne. Les connexions aux coudes sont rompues: le radius droit migrant fortement de même que l'ulna et le radius gauche, initialement surélevés, chutant sur le sacrum et l'aile iliaque. Les os des mains sont déconnectés, dispersés dans le volume pelvien et les côtes. Les connexions des os des membres inférieurs sont strictes, les fémurs en vue antérieure, patellas en place; les tibias en vue antéro-médiale.
Au vu des connexions préservées, de l'absence de migration en dehors du volume corporel, du maintien des patellas et du manubrium en place, la sépulture a bénéficié d'un colmatage rapide. La compression observée aux genoux et aux pieds, de même que la dislocation des connexions aux coudes peuvent argumenter l'existence d'une enveloppe souple; celle-ci , en se décomposant, ayant pu provoquer les fortes migrations observées.
Le squelette est celui d'un adulte, de sexe masculin.

Photographie de détail

vue rapprochée de l'inhumation 877
C. Le Forestier, Inrap

Pathologies

I. 877 : exemple de perte de dents ante-mortem (hémi-mandibule gauche)

Phase : 3

Inhumation 878 - MAS8099

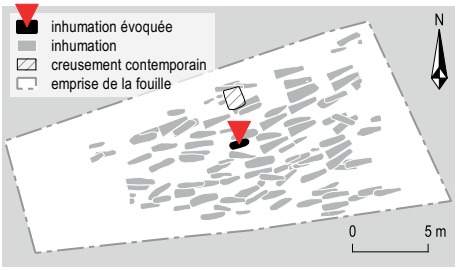

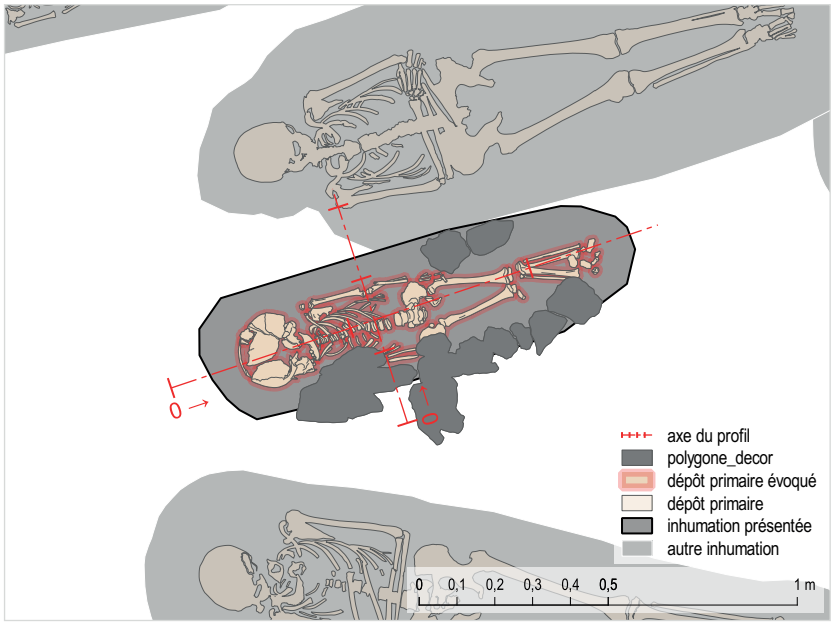

orientation

71 °

pratique funéraire

fosse à banquette

position

décubitus dorsal

membres supérieurs

180/180

sexe

trop jeune pour détermination

âge

5 à 9 ans

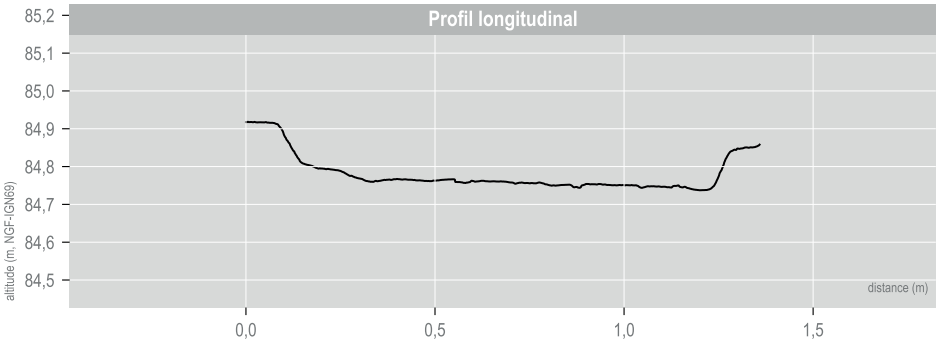

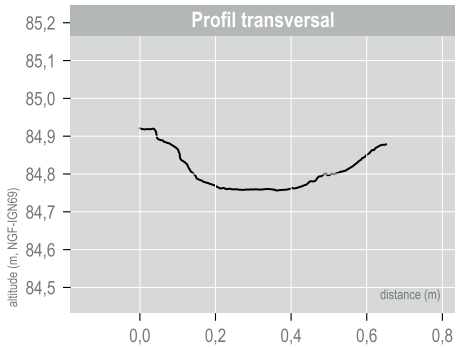

Vue générale de l'inhumation 878

vue générale de l'inhumation 878
C. Le Forestier, Inrap

Description de l'inhumation

Le sujet repose dans une fosse étroite, oblongue, orientée est-ouest, dont le comblement supérieur est constitué d'un aménagement de blocs de pierre disposées sur son pourtour, constituant une fosse à banquettes. Il repose en décubitus dorsal, tête à l'ouest, les membres supérieurs alignés le long du corps, les membres inférieurs se joignant au niveau des genoux et des pieds.
Le calvarium et la mandibule apparaissent en vue antéro-latérale gauche, en connexion lâche, le bloc crânio-facial est affaissé caudalement. Les rachis lombaire et thoracique sont segmentés, les volume pelvien et thoracique ne sont pas conservés, les coxaux sont ouverts et le gril costal est à plat. Les connexions de la ceinture scapulaire gauche ne sont pas maintenues : la clavicule est à l'oblique et a migré caudalement, la scapula et l'humérus en vue antérieure. La clavicule droite est verticalisée. Les connexions aux coudes sont rompues : l'ulna et le radius gauches ont légèrement migré caudalement; à droite, le radius a migré médialement. Quelques métacarpes et phalanges gauches reposent en vue dorsale, le long du coxal et du fémur, dans le prolongement des avant-bras. Les connexions de la ceinture pelvienne ne sont pas préservées, le coxal droit migrant latéralement. Les fémurs sont déconnectés, le droit, en vue médiale, le gauche en vue latérale. Le tibia et la fibula droites ont fortement migré, se retrouvent en équilibre sur le tibia gauche. Les os de la jambe gauche sont restés en logique anatomique mais sont déconnectés, la fibula migrant latéralement. Aucune connexion n'est conservée au niveau des pieds. Les os sont rassemblés en fagot, le calcaneus droit migrant crânialement entre les deux tibias.
L'importance des déconnexions, les nombreuses migrations observées témoignent d'un colmatage différé en espace vide. La compression générale du squelette, notamment au niveau des genoux et des pieds, l'alignement strict des os à gauche, la prédominance de migrations caudales permettent d'envisager la présence d'un coffrage en matériau périssable, donc les blocs de pierre assureraient le calage, ou (et) d'un emmaillotement très enserrant, comme en témoigne la contrainte observée aux genoux.
Le squelette est celui d'un immature, dont l'âge au décès se situe entre 5 e 9 ans (IM3).

Photographie de détail

vue rapprochée de l'inhumation 878
C. Le Forestier, Inrap

Phase : 2

Inhumation 879 - MAS8102

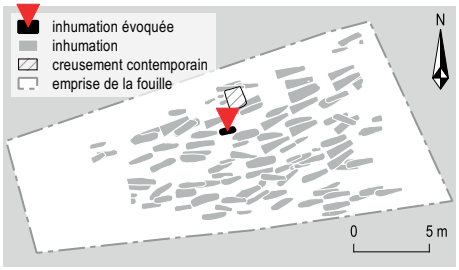

orientation

77 °

pratique funéraire

sans contenant

position

décubitus dorsal

membres supérieurs

180/180

sexe

trop jeune pour détermination

âge

1 à 4 ans

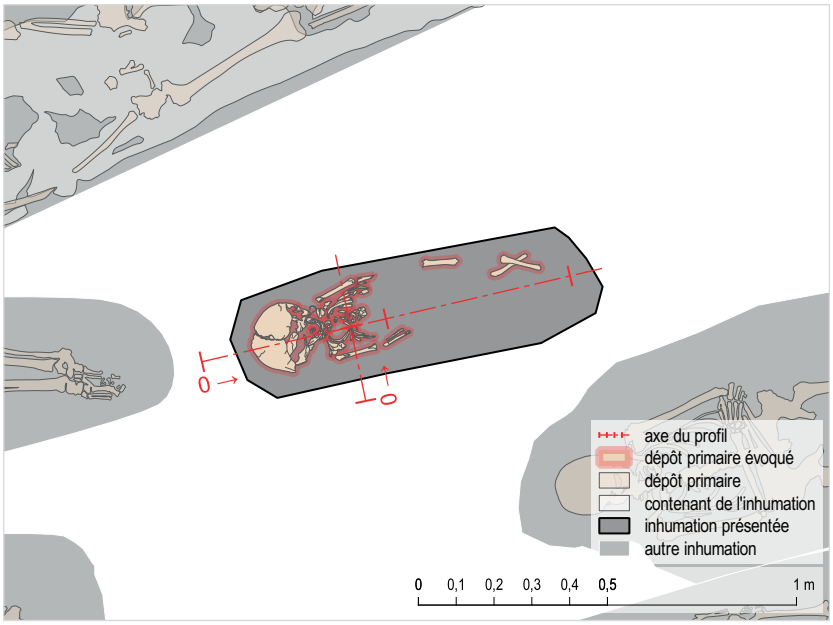

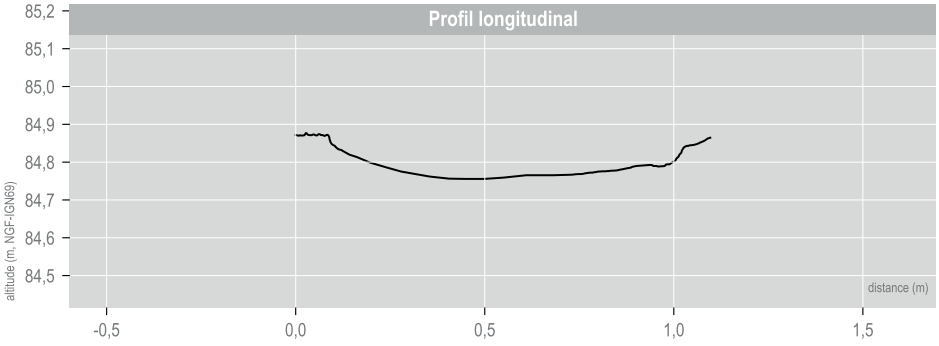

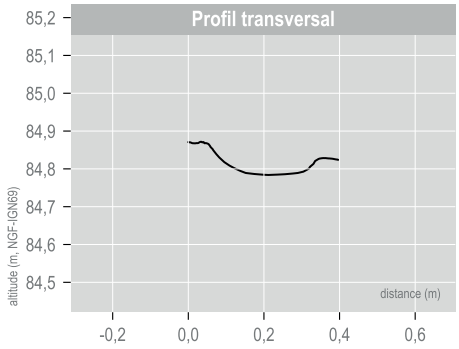

Vue générale de l'inhumation 879

vue générale de l'inhumation 878
C. Le Forestier, Inrap

Description de l'inhumation

Ce sujet a été déposé dans une fosse oblongue, étroite, au fond très caillouteux, orientée est-ouest. Il repose en décubitus dorsal, tête à l'ouest, les bras allongés le long du corps. Le squelette est mal conservé, le bassin et les membres inférieurs n'étant plus observables.
Le crâne et la mandibule restés en connexion, apparaissent en vue antérieure. Le gril costal est à plat, le rachis vertébral, en vue antérieure, est très peu conservé. Les connexions huméro-scapulaires sont rompues: les scapulas sont 'oblique, l'humérus droit en vue antéro-latérale, le gauche en vue antérieure. L'ulna et le radius droits ont migré, dans le prolongement de l'humérus. Une diaphyse fémorale gauche et les deux tibias, croisés, sont présents, déconnectés.
Les éléments manquent pour déterminer le mode de décomposition de l'individu. La compression de l'épaule gauche et la position des os des membres inférieurs ne suffisent pas à avérer la présence d'un linceul.
Le squelette est celui d'un immature, dont l'âge au décès se situe entre 1 et 4 ans (IM2).

Phase : 2

Inhumation 880 - MAS8105

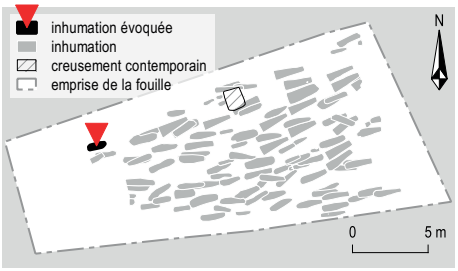

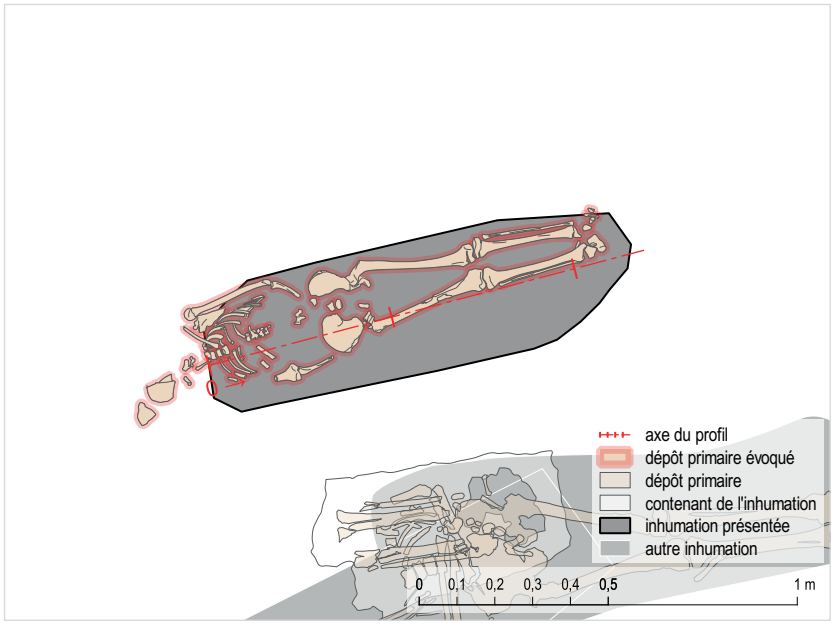

orientation

75 °

pratique funéraire

sans contenant

position

décubitus dorsal

membres supérieurs

180/135

sexe

trop jeune pour détermination

âge

10 à 14 ans

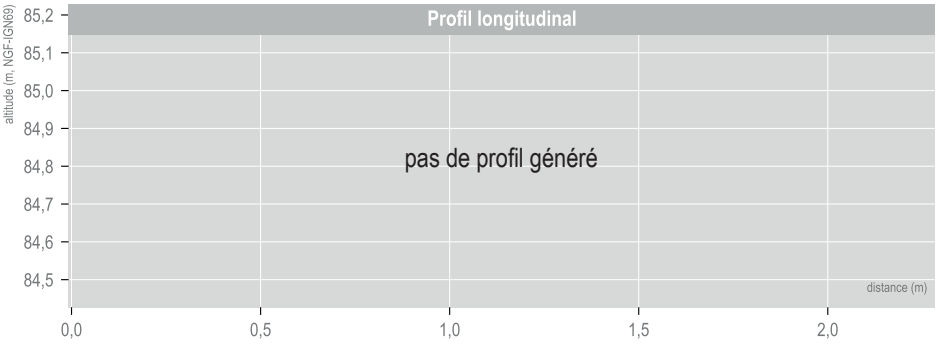

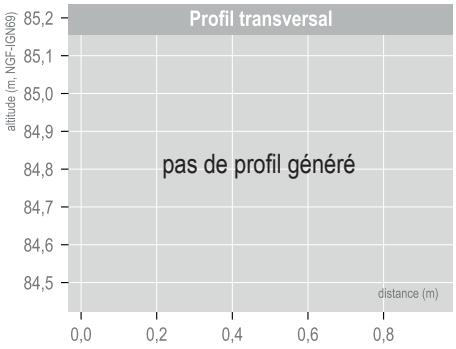

Vue générale de l'inhumation 880

vue générale de l'inhumation 880
C. Le Forestier, Inrap

Description de l'inhumation

Le sujet a été déposé dans une fosse oblongue, étroite, orientée, est-ouest. Il est situé au nord des sépultures 890 et 859. Le squelette a été perturbé au niveau du crâne, de l'épaule droite et du thorax. Il repose en décubitus, tête à l'ouest, les bras repliés (180°-135°), les membres inférieurs alignés, resserrés aux genoux, les pieds non joints.
Le gril costal est à plat et les coxaux sont ouverts. Le rachis vertébral est très segmenté. Les connexions du squelette supérieur sont lâches: la scapula et la clavicule gauches se présentent à l'oblique, l'humérus en vue antéro-latérale. L'ulna est en connexion. A droite, l'épiphyse distale de l'humérus, en vue antéro-latérale et l'ulna sont également connectées. Des phalanges reposent sur le coxal et la tête fémorale droits. La ceinture pelvienne est rompue. La connexion coxo-fémorale gauche est stricte, rompue à droite. En revanche, les connexions sont bien maintenues au niveau des genoux, - fémurs, tibias et fibulas en vue antérieure - strictes à droites, plus lâches à gauche., avec une faible migration latérale du tibia et de la fibula. A droite, le calcaneus et le talus, connectés, apparaissent en vue antéro-médiale, au contact du tibia.
La préservation des connexions du squelette inférieur, l'absence de migration en dehors du volume pelvien plaident en faveur d'un colmatage rapide, cependant les perturbations observées sur le squelette supérieur ne permettent pas de conclure. La compression à l'épaule gauche et aux genoux permet d'envisager la présence d'une enveloppe souple.
Le squelette est celui d'un immature, dont l'âge au décès se situe entre 10 et 14 ans (IM4).

Phase : 2

Inhumation 881 - MAS8108

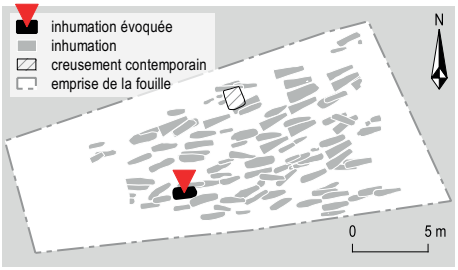

orientation

86 °

pratique funéraire

sans contenant

position

décubitus dorsal

membres supérieurs

indéterminé

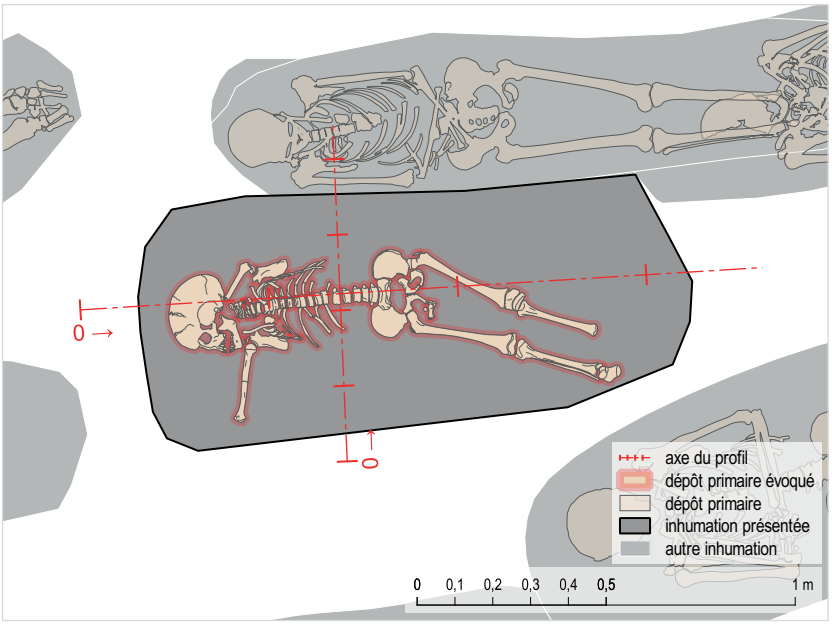

sexe

trop jeune pour détermination

âge

5 à 9 ans

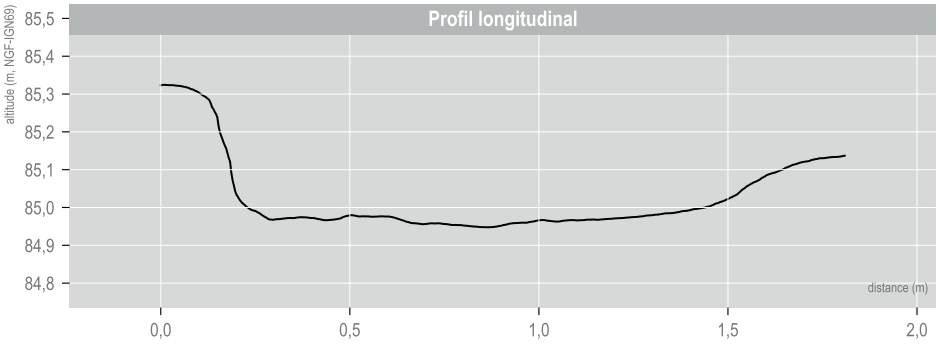

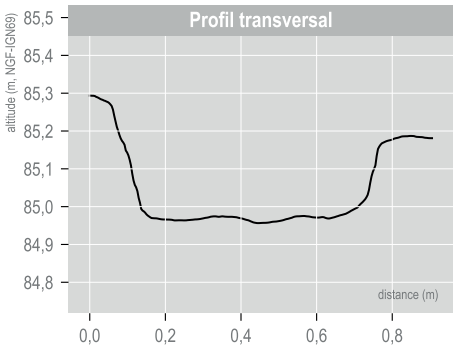

Vue générale de l'inhumation 881

vue générale de l'inhumation 881
C. Le Forestier, Inrap

Description de l'inhumation

Le sujet a été inhumé dans une fosse dont les limites n'ont pas été déterminées. Il repose en décubitus dorsal, tête à l'ouest, les deux bras levés vers la droite, les membres inférieurs alignés et parallèles.
Le crâne et la mandibule apparaissent en vue latérale gauche, en stricte connexion. Le rachis vertébral est d'un seul tenant. Le manubrium a migré latéralement à l'intérieur du volume costal droit. Le volume pelvien est partiellement conservé, le gril costal est à plat. Les connexions aux épaules sont quasi strictes, à l'exception de la clavicule droite, verticalisée; les scapulas sont à l'horizontale, l'humérus gauche en vue postérieure, le droit en vue antéro-médiale. Les connexions sacro-pelviennes, coxo-fémorales et fibulo-tibio-fémorales sont préservées; le fémur, le tibia et la fibula droits en vue antérieure; les gauches en vue antéro-médiale. Le calcaneus et le talus droits, en vue antérieure, sont également restés en connexion.
Le maintien de toutes les connexions observables, l'absence de migration en dehors du volume corporel valident l'hypothèse d'un colmatage rapide. La position des membres inférieurs et l'ouverture des bras ne sont pas compatibles avec la présence d'un linceul. La position générale du corps, avec la rotation du buste et les bras en l'air, ne correspond pas au mode de dépôt des sépultures de la nécropole et reste inexpliqué.
Le squelette est celui d'un immature, dont l'âge au décès se situe entre 10 et 14 ans (IM4).

Photographies de détail

vue rapprochée de l'inhumation 881
C. Le Forestier, Inrap

vue eloignée, depuis l'est, de l'inhumation 881
C. Le Forestier, Inrap

Phase : 3

Inhumation 882 - MAS8111

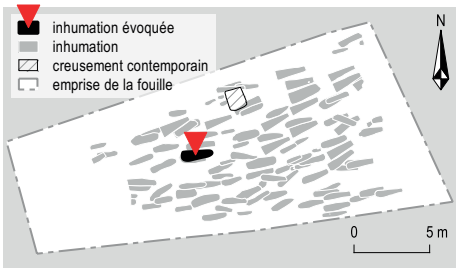

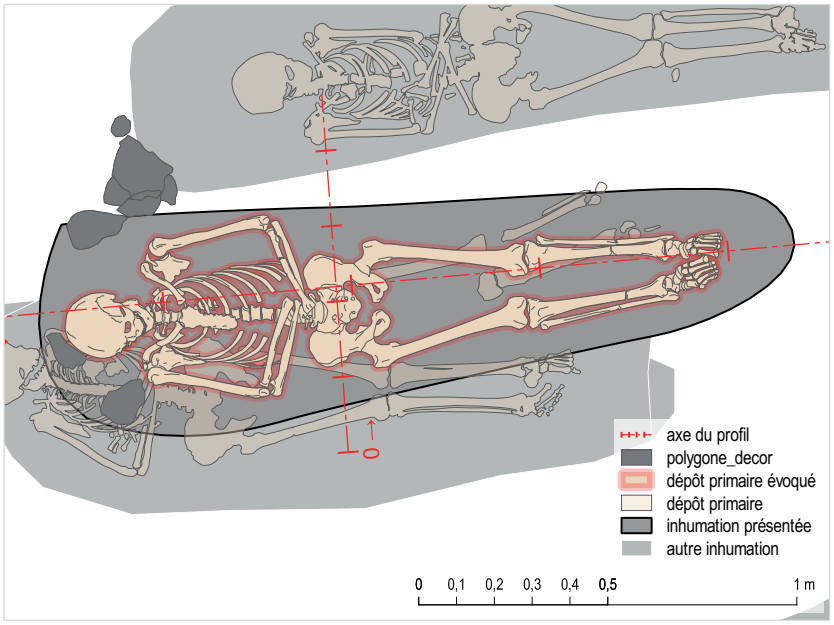

orientation

85 °

pratique funéraire

sans contenant

position

décubitus dorsal

membres supérieurs

90/90

sexe

masculin

âge

adulte

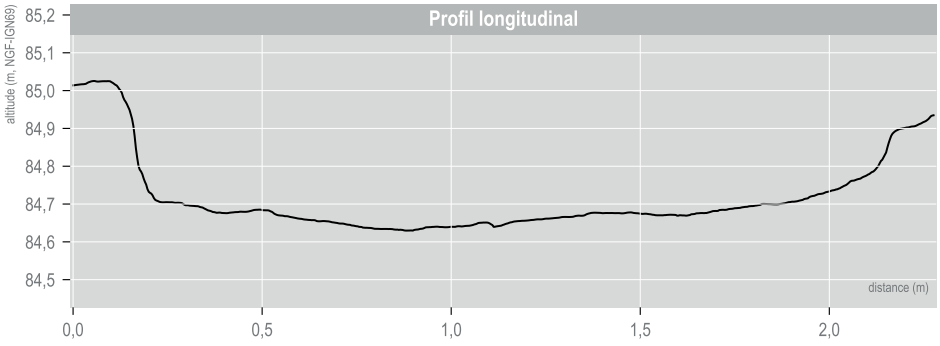

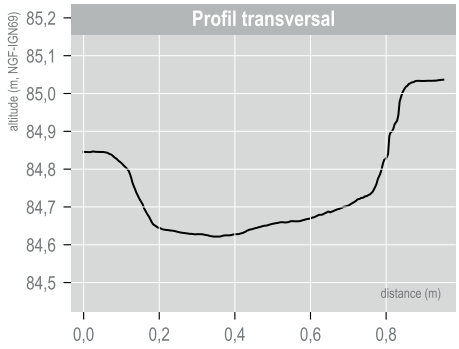

Vue générale de l'inhumation 882

vue générale de l'inhumation 882
C. Le Forestier, Inrap

Description de l'inhumation

Ce sujet a été déposé dans une fosse oblongue, orientée est-ouest, à fond plat, dont le pourtour présente les caractéristiques d'une fosse à banquette. Le squelette est très bien conservé. Il repose en décubitus dorsal, tête à l'ouest, les bras repliés sur l'abdomen, les membres inférieurs allongés, parallèlement, se rejoignant à l'extrémité des pieds, en hyper extension. De part et d'autre du crâne, des pierres et un crâne humain en assurent le calage.
Le crâne apparait en vue antéro-supérieure latérale gauche. La connexion calva-mandibulaire est stricte. Le rachis vertébral est d'un seul tenant, en vue antérieure, le manubrium et le sternum en place. Les volume thoracique et pelvien sont partiellement conservés. Les connexions de la ceinture scapulaire sont strictes, bilatéralement : clavicules et scapulas à l'oblique, humérus en vue antéro-latérale. Elles sont maintenues aux coudes, avec un léger déplacement crânial du radius droit. Au-delà, les os des mains et des poignets sont déconnectés à l'intérieur de l'espace thoracique. Toutes les connexions de la ceinture pelvienne et des membres inférieurs sont préservées, jusqu'aux métatarses, les os longs en vue antérieure, avec un léger déplacement latéral de la fibula droite. Les pieds sont en hyper extension, en vue antérieure à droite et antéro-médiale à gauche.
La conservation quasi-stricte des connexions, la position du sternum, l'absence de migration en dehors du volume corporel témoignent d'un colmatage très rapide. La compression aux épaules et aux pieds, le maintien strict du volume pelvien, l'absence d'ouverture des pieds impliquent la présence d'une enveloppe souple.
Le squelette est celui d'une adulte, de sexe masculin.
Le squelette inférieur et le rachis vertébral présentent de nombreuses atteintes arthrosiques : de la vertèbre thoracique IX à la vertèbre lombaire V, les corps vertébraux sont ourlés d'ostéophytes, localisés principalement à droite, formant des becs de perroquet (Thoraciques IX et X et thoraciques X et XI) ; les branches ischio-pubiennes, le trochanter et la fossette du fémur droit, la tubérosité tibiale gauche, les extrémités distales des tibias et fibulas, les calcaneus présentent également des ostéophytes plus ou moins importants. On observe une synostose du manubrium et du sternum.

Photographie de détail

vue rapprochée de l'inhumation 882
C. Le Forestier, Inrap

Pathologies

I. 882 : ostéophyte sur les vertèbre lombaires

I. 882 : exostose sur la face postérieure du fémur gauche (trouble musculaire)

I. 882 : synostose du manubrium et du corps sternal

Phase : 3

Inhumation 883 - MAS8114

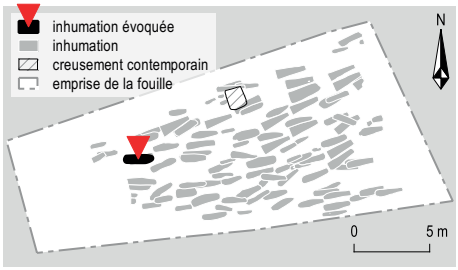

orientation

90 °

pratique funéraire

sans contenant

position

décubitus dorsal

membres supérieurs

1/0

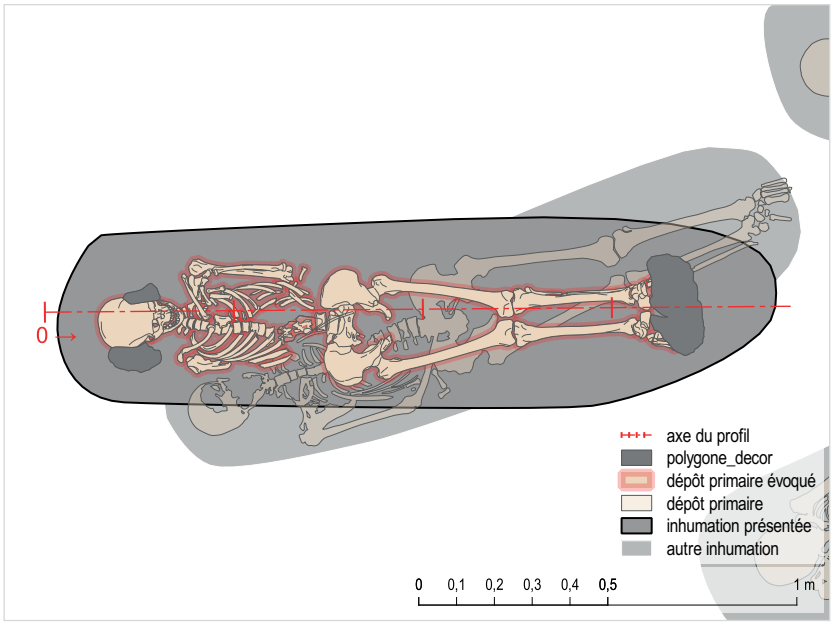

sexe

féminin

âge

adulte

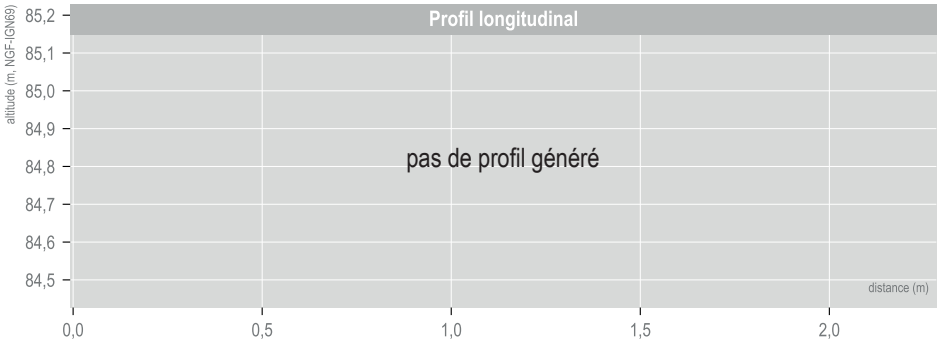

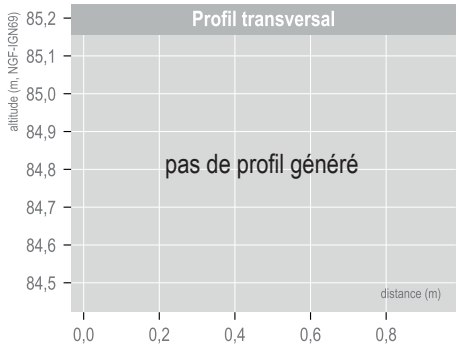

Vue générale de l'inhumation 883

vue générale de l'inhumation 883
C. Le Forestier, Inrap

Description de l'inhumation

Le sujet a été déposé dans une fosse, orientée est-ouest, dont le creusement a atteint la sépulture sous-jacente, S.884. Le squelette est assez bien conservé sauf dans sa partie supérieure droite. Il repose en décubitus dorsal, la tête à l'ouest, calée par un aménagement de pierres. Le bras gauche est totalement replié sur lui-même à 0°, les membres inférieurs sont alignés, se rejoignant aux genoux et aux chevilles. Les pieds sont en hyperflexion, en rotation externe.
Le crâne et la mandibule apparaissent en vue antéro-supérieure, la connexion calva-mandibulaire est maintenue. Le rachis vertébral, en vue antérieure, est très segmenté et sinusoïdal. Le manubrium est affaissé latéralement contre les 6eme et 7eme thoraciques. Le volume thoracique et pelviens sont partiellement conservés. Les connexions de la ceinture scapulaire sont quasi-strictes à gauche, la clavicule à l'oblique, la scapula à l'horizontale et l'humérus en vue antérieure. A droite, seule la connexion claviculo-scapulaire est maintenue. Le radius gauche apparait en vue postérieure, en connexion avec l'humérus. Au-delà, les os carpiens et de la main gauche se sont dispersés sur la scapula. Quelques phalanges reposent, déconnectées. En revanche, toutes les connexions de la ceinture pelvienne, des membres inférieurs et des pieds sont préservées et de façon quasiment-stricte. Les os longs – fémurs, tibias et fibula – apparaissent en vue antéro-médiale. Les tarses et les métatarses sont en vue antéro-médiale et en connexion stricte à gauche, plus lâche à droite.
Le maintien de la plupart des connexions, l'absence de migration en dehors du volume corporel impliquent un colmatage rapide des masses molles. Les bouleversements observés au niveau du squelette supérieur sont imputables à la décomposition de la sépulture 884 créant des espaces vides secondaires. La contention observée au niveau du bras gauche replié à 0°, la compression au niveau des épaules, des genoux et des pieds implique la présence d'une enveloppe souple, voire de liens aux genoux.
Le squelette est celui d'un adulte, de sexe féminin.
Toute la denture – soit 27 dents, les 5 autres étant tombées ante mortem - est recouverte d'une épaisse couche de tartre, sur les faces vestibulaire et approximale des dents. Par ailleurs, la surface du frontal présente d'importantes zones porotiques, sur ses faces antérieure et latérales.

Photographie de détail

vue rapprochée de l'inhumation 883
C. Le Forestier, Inrap

Pathologies

I. 883 : présence très importante de tartre sur l'ensemble des dents (principalement sur les faces juguales)

Phase : 2

Inhumation 884 - MAS8117

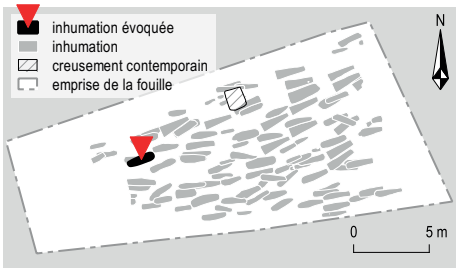

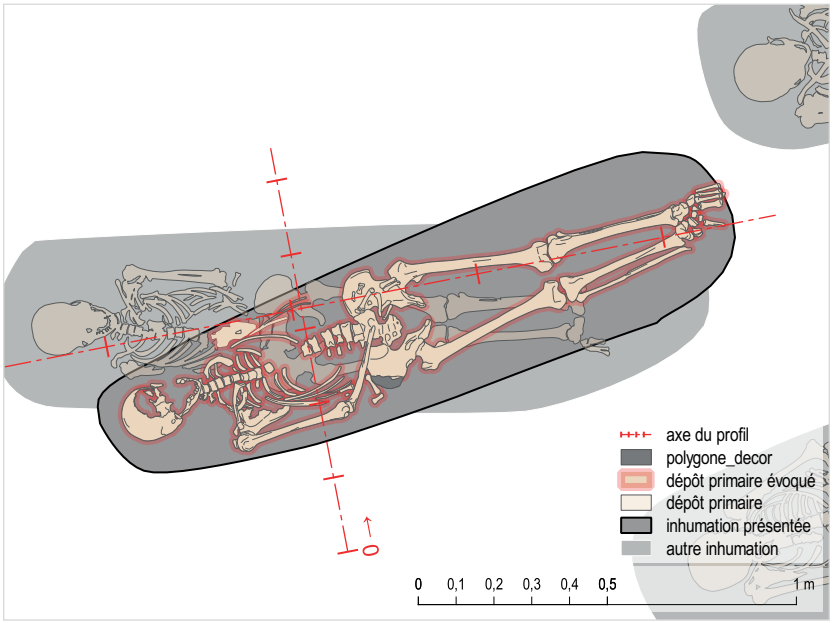

orientation

79 °

pratique funéraire

sans contenant

position

décubitus dorsal

membres supérieurs

135/1

sexe

masculin

âge

adulte

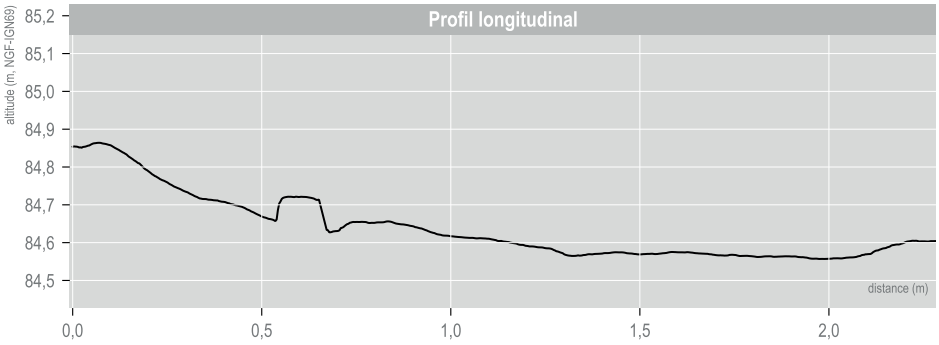

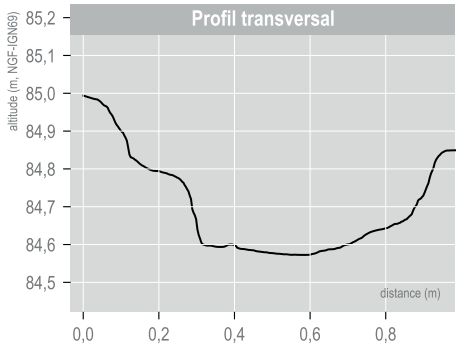

Vue générale de l'inhumation 884

vue générale de l'inhumation 884
C. Le Forestier, Inrap

Description de l'inhumation

Le sujet a été déposé dans une fosse oblongue, orientée ouest-sud-ouest – est-nord-est, percutée par le creusement de la sépulture 883. Le squelette a été fortement perturbé dans sa partie supérieure gauche. Il repose en décubitus dorsal, tête au sud-sud-ouest, le bras droit est replié sur le pubis, les membres inférieurs sont alignés, resserrés aux genoux, les pieds joints, le gauche en hyper extension, le droit en hyperflexion.
Le crâne a basculé. Il apparait en vue antéro-latérale droite et la mandibule, déconnectée, en vue antéro-supérieure droite. Le rachis vertébral, en vue antérieure, est sinusoïdal, le gril costal est à plat et les coxaux sont ouverts. Seule, la connexion huméro-scapulaire est conservée: la scapula est à l'oblique et l'humérus en vue antéro-latérale. La clavicule, à l'horizontale est segmentée. Au coude, la connexion n'est que partiellement conservée avec l'ulna. Les os des mains ont chuté, dispersés dans le volume pelvien et pour certains, en équilibre instable au-dessus de l'aile iliaque droite. Les connexions des os des membres inférieurs sont, elles, quasi strictes, les os longs apparaissent en vue antérieure. Seule la fibula droite a subi une légère migration latérale. Les os du pied gauche - tarse et métatarses - sont également restés en connexion stricte, contrairement à ceux du pied droit, dont le talus apparait en vue postérieure.
La plupart des connexions observées étant maintenues, y compris des connexions labiles, une phalange restée en équilibre instable et en l'absence de migration extérieure au volume corporel, on peut conclure à un colmatage rapide. La compression aux genoux, la position des pieds, le strict alignement des os à droite, permettent d'envisager la présence d'une enveloppe souple. Les fortes perturbations du squelette supérieur et du rachis lombaire correspondent au dépôt de la sépulture 883.
Le squelette est celui d'un adulte de sexe masculin.

Photographie de détail

vue olbique de l'inhumation 884
C. Le Forestier, Inrap

Phase : 3

Inhumation 885 - MAS8122

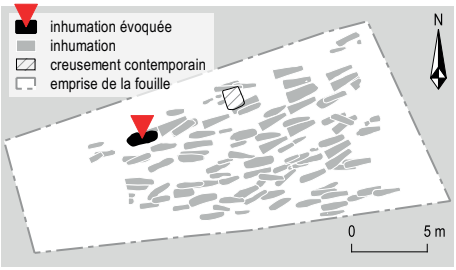

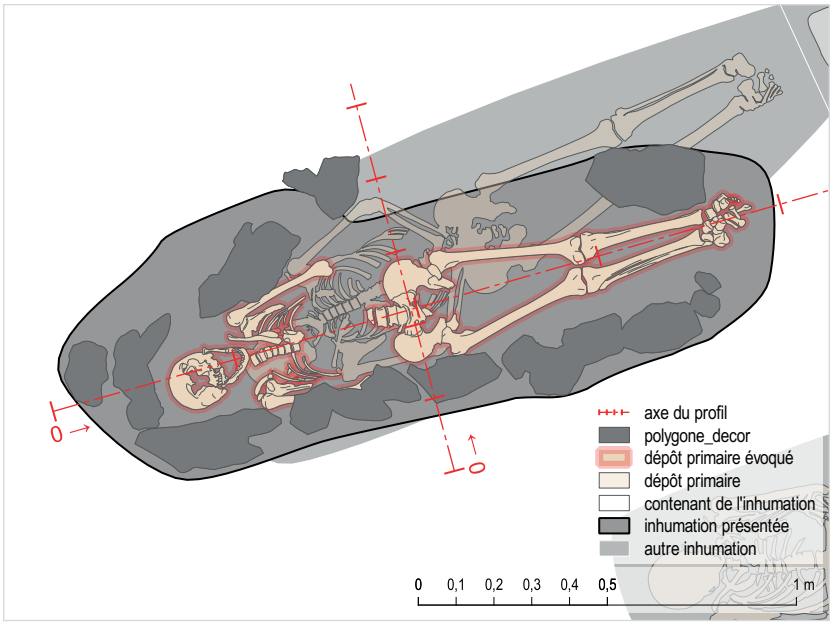

orientation

74 °

pratique funéraire

fosse à banquette

position

décubitus dorsal

membres supérieurs

indéterminé

sexe

masculin

âge

adulte

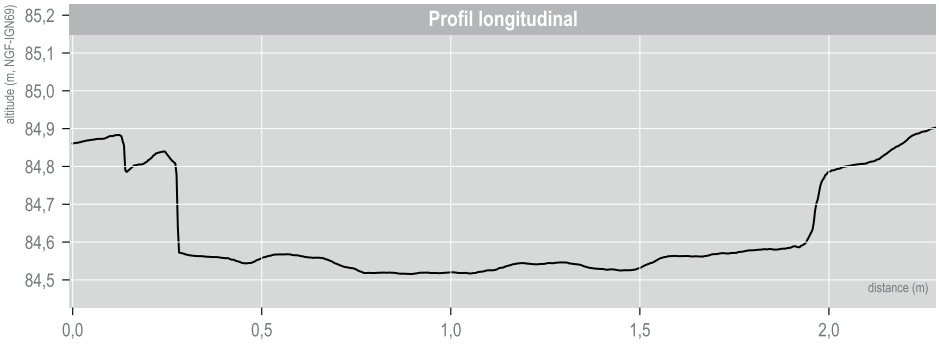

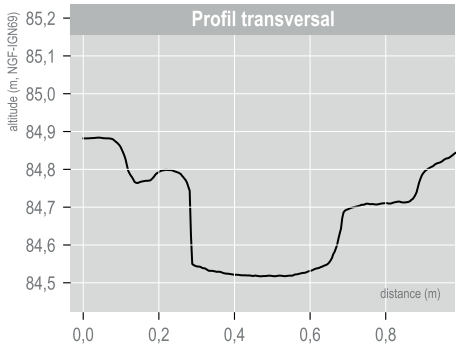

Vue générale de l'inhumation 885

vue générale de l'inhumation 885
C. Le Forestier, Inrap

Description de l'inhumation

Le sujet se situe au-dessous de la sépulture 858 dans une fosse oblongue et très étroite, orientée est-ouest, creusée dans le calcaire, dont le pourtour est empierré, formant une fosse à banquette avec un aménagement céphalique. Le squelette a pu être perturbé par le creusement de la sépulture 858. Il repose en décubitus dorsal, les membres inférieurs alignés, resserrés aux genoux, chevilles et pieds joints.
Les connexions crâniennes sont rompues: le crâne a basculé et apparait en vue antéro-inférieure, la mandibule en vue antéro-supérieure droite. Le gril costal est à plat, le volume pelvien est conservé. Le rachis vertébral, fortement perturbé, de la 6eme thoracique à la 3eme lombaire, apparait en vue antérieure. Le manubrium a glissé légèrement à gauche sur la 6eme thoracique.
La ceinture scapulaire gauche est bien maintenue, clavicule à la verticale, scapula à l'oblique, et l'humérus en vue antéro-latérale. A droite, elle l'est partiellement, la scapula à l'horizontale et l'humérus en vue antérieure. Toutes les connexions de la ceinture pelvienne et des membres inférieurs sont quasi strictes, les fémurs en vue antérieure, les tibias en vue antéro-médiale.
Les connexions aux chevilles sont lâches mais les os des tarses sont restés parallèles, conservant quelques connexions. Les os des pieds sont groupés en fagot.
Le maintien de nombreuses connexions, la préservation du volume pelvien, l'absence de migration en dehors du volume corporel plaident en faveur d'un colmatage rapide. La compression aux genoux, la contrainte observée au niveau des épaules et des pieds argumentent la présence d'une enveloppe souple. La présence d'une fosse à banquette permet aussi de poser l'hypothèse d'espaces vides, autorisant la bascule du crâne, au moment de la rupture du linceul.
Le squelette est celui d'un adulte, de sexe masculin.
La surface endocrânienne du frontal et du pariétal gauche présente de petites perforations, le long des sutures sagittale et coronale.

Phase : 2

Inhumation 886 - MAS8126

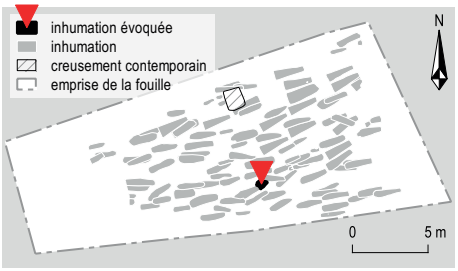

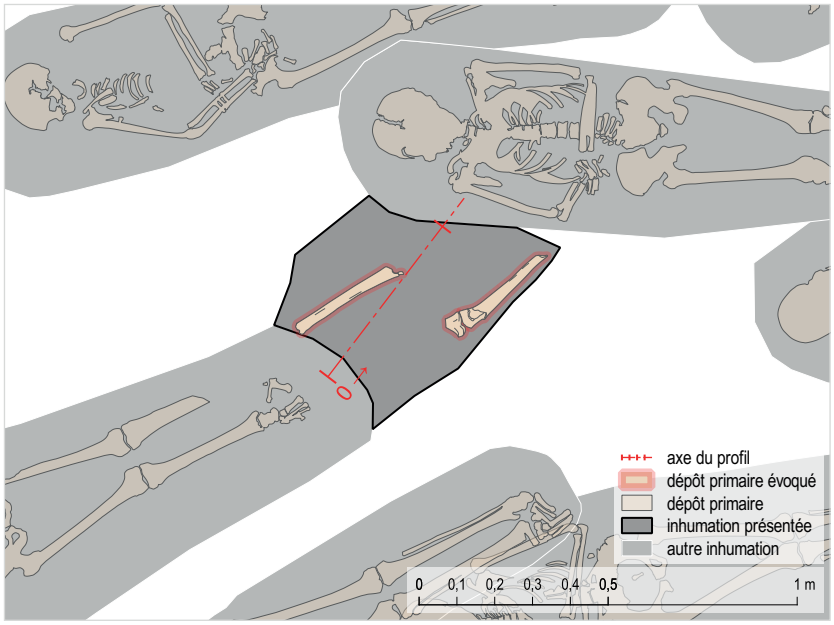

orientation

37 °

pratique funéraire

sans contenant

position

indéterminé

membres supérieurs

indéterminé

sexe

indéterminé

âge

adulte

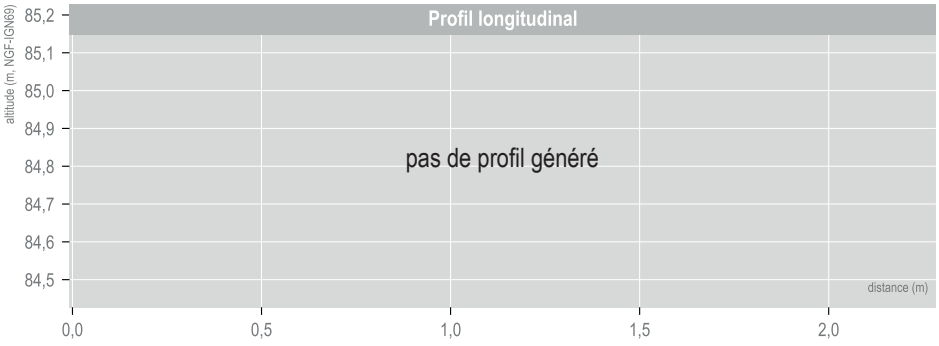

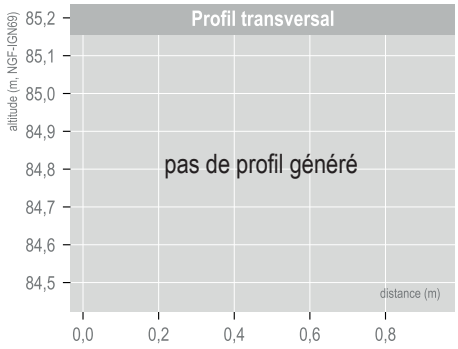

Vue générale de l'inhumation 886

vue générale de l'inhumation 886
C. Le Forestier, Inrap

Description de l'inhumation

La fosse d’inhumation de cette sépulture n’a pas été lue lors de la fouille. Seule subsistent quatre os longs - une diaphyse de fémur gauche, une épiphyse fémorale en connexion stricte avec un tibia et une extrémité distale de fibula. Les éléments d’observation manquent pour déterminer l’espace de décomposition.
Le squelette est celui d’un adulte, de sexe indéterminé.

Phase : 1

Inhumation 887 - MAS8128

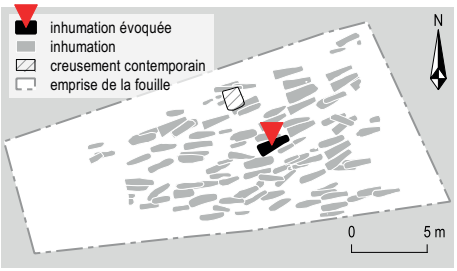

orientation

65 °

pratique funéraire

sarcophage

position

décubitus dorsal

membres supérieurs

180/180

sexe

indéterminé

âge

adulte

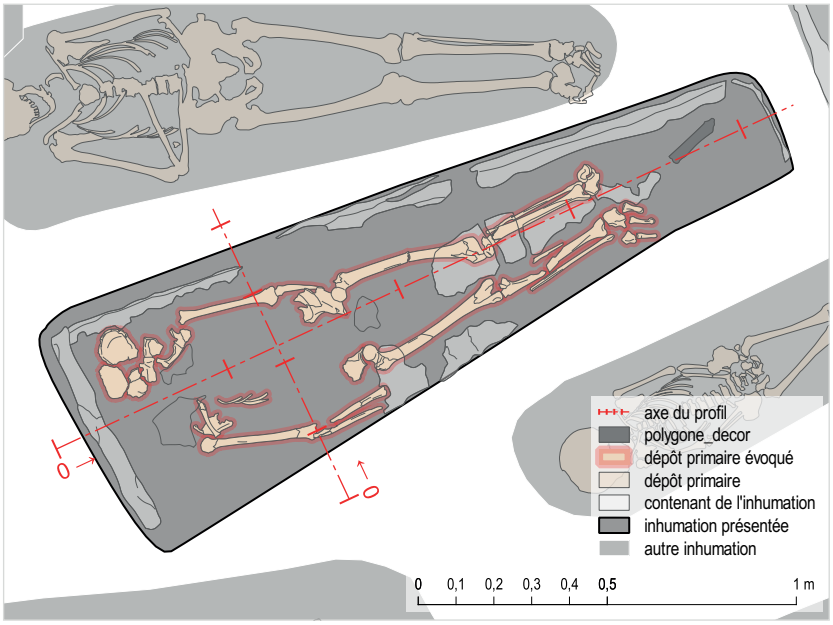

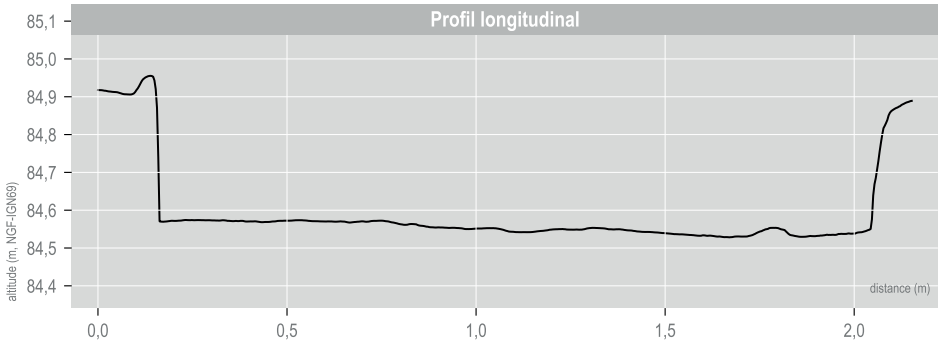

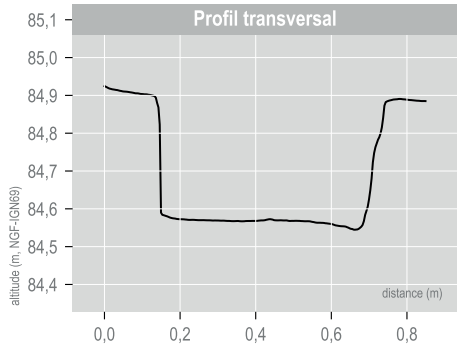

Vue générale de l'inhumation 887

vue générale de l'inhumation 887
C. Le Forestier, Inrap

Description de l'inhumation

Le sujet adulte a été déposé dans une fosse, à l'intérieur d'un sarcophage de plâtre, orienté est-ouest. Il repose en décubitus dorsal, tête à l'ouest, les bras allongés le long du corps, les membres inférieurs alignés, parallèles, les pieds ouverts, non joints, en extension. Le squelette est médiocrement conservé.
Les connexions crâniennes sont rompues, les os sont fragmentés et sont regroupés dans l'angle nord-ouest du sarcophage. Les volumes thoracique et pelvien ne sont pas conservés. Ne subsistent que les premières cervicales. Les connexions de la ceinture scapulaire ne sont pas préservées. La scapula et l'humérus droits, restés en contact, sont très éloignés du thorax. Les connexions aux coudes sont rompues, les os des avant-bras restant dans le prolongement de l'humérus. Les fémurs, en position anatomique par rapport aux coxaux, apparaissent en vue antérieure. Seuls, les tibias sont maintenus en connexion lâche avec les fémurs et avec les tarses. La fibula droite a migré latéralement, la gauche est fragmentée. Les os tarsiens et quelques métatarses apparaissent en vue médiale à droite et antéro-médiale à gauche.
L'importance des déconnexions et des migrations impliquent une décomposition en espace vide. On note un os humain dans le remblai, au fond du sarcophage.
Le squelette est celui d'un adulte de sexe indéterminé.

Photographie de détail

vue rapprochée de l'inhumation 887
C. Le Forestier, Inrap

Phase : 2

Inhumation 888 - MAS8132

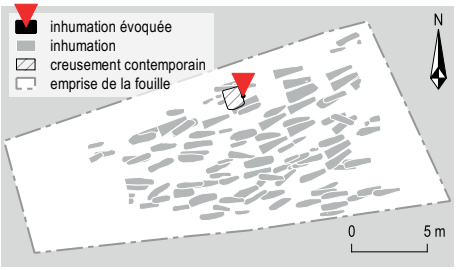

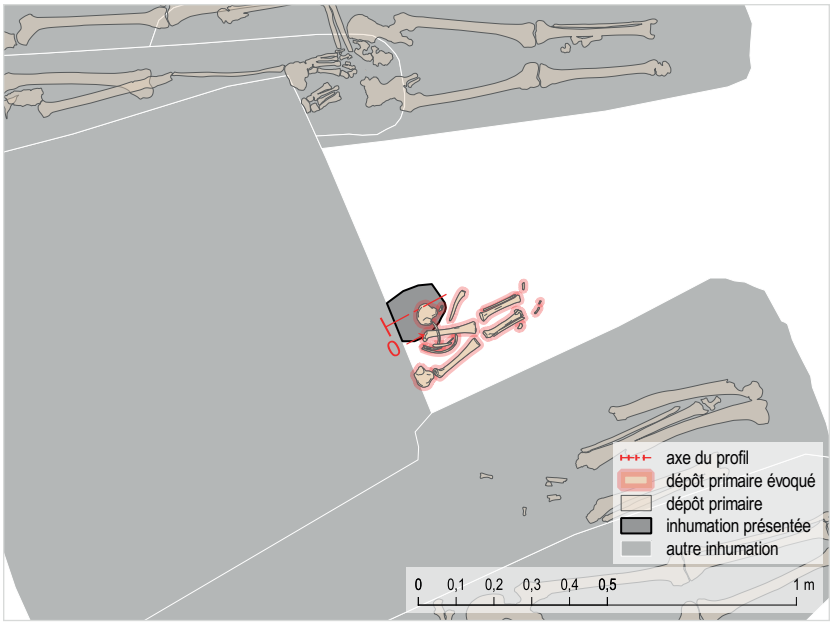

orientation

62 °

pratique funéraire

sans contenant

position

décubitus dorsal

membres supérieurs

indéterminé

sexe

trop jeune pour détermination

âge

1 à 4 ans

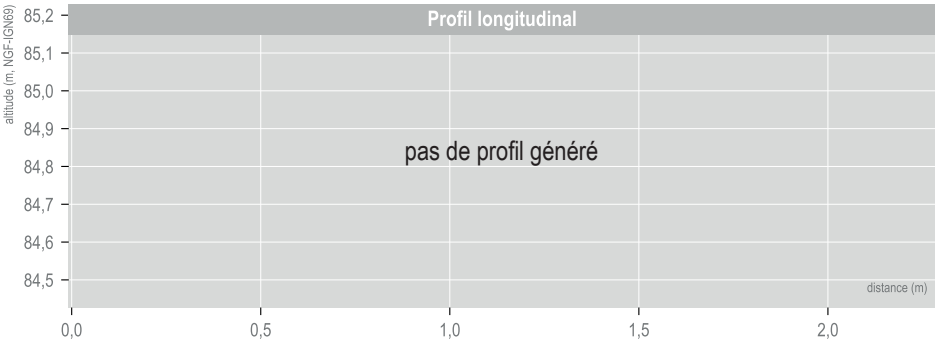

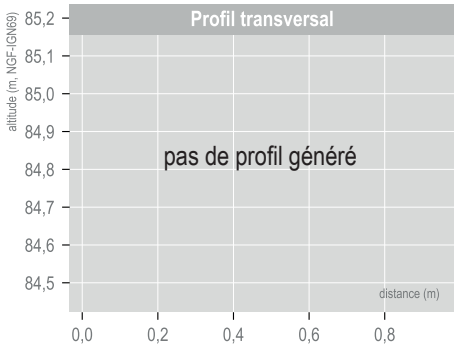

Vue générale de l'inhumation 888

vue générale de l'inhumation 888
C. Le Forestier, Inrap

Description de l'inhumation

Le sujet est déposé dans une fosse oblongue, orientée est-ouest, recoupée par la fosse mas8033. Seul, le squelette inférieur est préservé mais a été perturbé à gauche. Les membres inférieurs sont alignés et parallèles. Le sujet repose en décubitus dorsal, pieds à l'est.
La plupart des ossements sont déconnectés: le fémur, l'aile iliaque, l'ulna et des côtes gauches ont été perturbés. Le fémur droit est en connexion stricte avec l'aile iliaque en vue antérieure. Les connexions aux genoux ne sont pas maintenues ; cependant les os du membre inférieur droit sont en alignement logique. Les tibias et fibula sont en vue antérieure à droite, en vue antéro-médiale à gauche. Quelques os des pieds ont migré de façon aléatoire vers le fond et le rebord droit de la fosse.
Les déconnexions et les migrations sont nombreuses et permettent de proposer l'hypothèse d'une décomposition différée. Néanmoins, de nombreuses connexions n'étant plus observables et le squelette ayant été perturbé, il est impossible de conclure.
Le squelette est celui d'un immature, dont l'âge au décès se situe entre 1 et 4 ans (IM2).

Phase : 1

Inhumation 889 - MAS8134

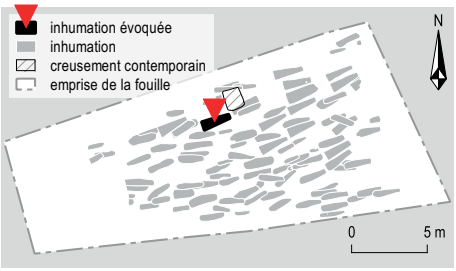

orientation

69 °

pratique funéraire

sarcophage

position

décubitus dorsal

membres supérieurs

135/135

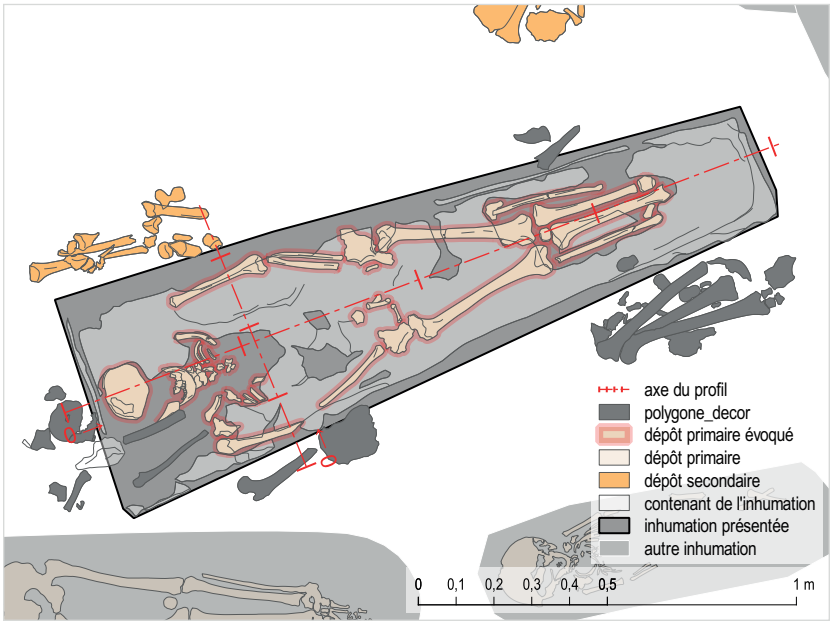

sexe

indéterminé

âge

adulte

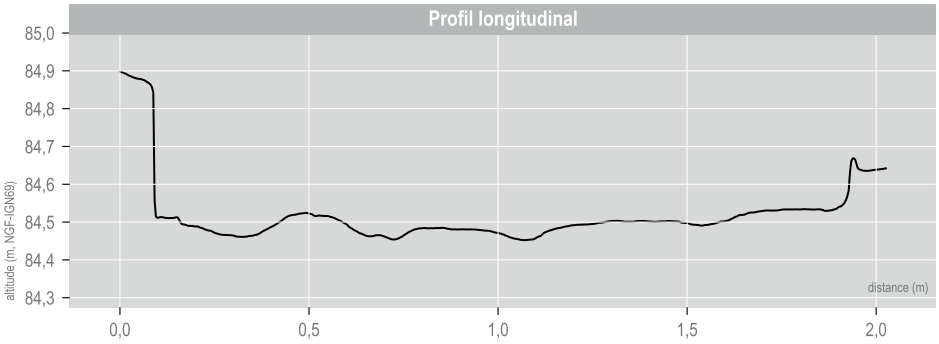

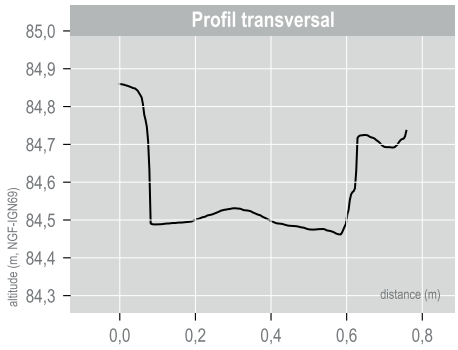

Vue générale de l'inhumation 889

vue générale de l'inhumation 889
C. Le Forestier, Inrap

Description de l'inhumation

Ce sujet a été déposé dans une fosse, orientée est-ouest, à l'intérieur d'une cuve de plâtre. Il y repose en décubitus dorsal, tête à l'ouest, les bras repliés sur le pubis, les jambes allongées, resserrées aux genoux. Le squelette est assez mal conservé.
Les connexions crâniennes sont rompues. La mandibule apparaît en vue antérieure. Le crâne semble avoir migré contre la paroi de tête du sarcophage. Le rachis vertébral et le gril costal ne sont pas observables. Les coxaux sont ouverts. La connexion huméro-scapulaire droite est lâche, la scapula à l'horizontale et l'humérus en vue antéro-latérale. Elle est rompue à gauche. Les connexions au coude ne sont pas préservées à droite et sont lâches à gauche. Quelques métacarpes sont dispersés sur l'aile iliaque droite. Seules les connexions coxo-fémorales sont préservées pour les os des membres inférieurs, les fémurs en vue antérieure. Le tibia gauche, en vue latérale, a migré vers l'intérieur et caudalement, le tibia droit est en vue antéro-latérale; la fibula gauche a migré crânialement jusqu'à hauteur de la diaphyse fémorale gauche. Une patella a chuté au fond du sarcophage, en vue postérieure, dans l'espace libéré par le déplacement des tibias. Le calcaneus gauche est resté au contact du tibia.
L'importance des migrations observées, la faiblesse du nombre des connexions préservées plaident en faveur d'un colmatage différé, en espace vide. Dans le remblai inférieur du sarcophage des os humains – un ulna et une diaphyse fémorale – pourraient résulter de la réduction d'un précédent occupant. Plusieurs amas osseux ont été dégagés sur le pourtour de la fosse : le plus important - mas8045 - se situe au-dessus du couvercle et au-delà de la paroi de tête, incluant sans ordre apparent, des os d'adultes et d'immatures; au niveau de la paroi latérale droite et vers le fond, un second amas, mas8047 regroupe un crâne et des os longs adultes; enfin, un troisième amas, contre la paroi latérale gauche, au niveau de la tête, comprend un nombre important d'ossements, à la verticale. Ces ossements pourraient correspondre à la vidange ou à des vidanges successives d'occupants antérieurs.
Le squelette est celui d'un adulte, de sexe indéterminé.
Les membres inférieurs – fémurs et tibias – présentent des surfaces périostées sur leurs diaphyses postérieures et des ostéophytes sur le bord des insertions musculaires.

Photographies de détail

vue oblique de l'inhumation 889
C. Le Forestier, Inrap

vue rapprochée de l'inhumation 889 et de sa vidange au nord
C. Le Forestier, Inrap

Phase : 1

Inhumation 890 - MAS8138

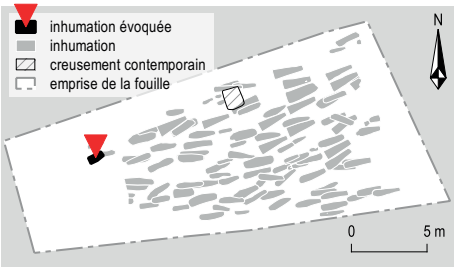

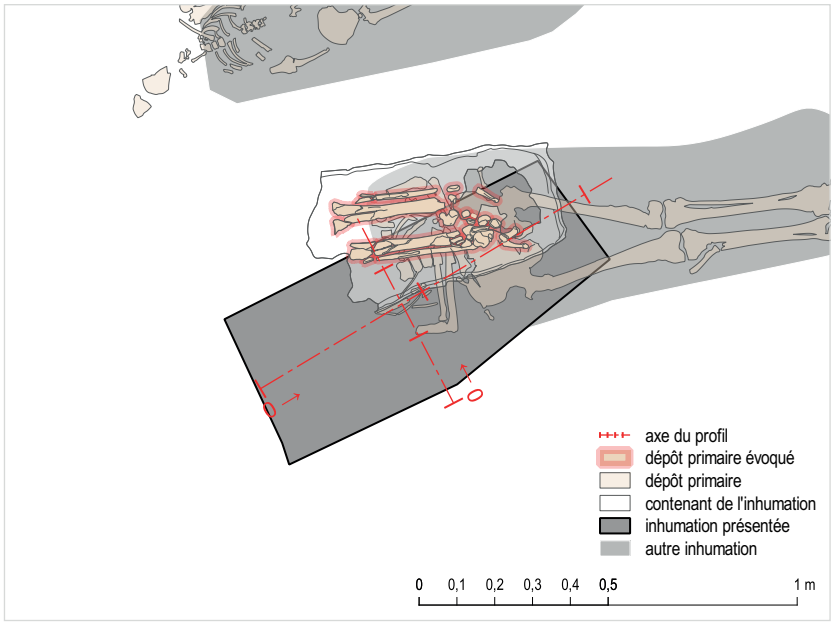

orientation

59 °

pratique funéraire

sarcophage

position

décubitus dorsal

membres supérieurs

indéterminé

sexe

indéterminé

âge

adulte

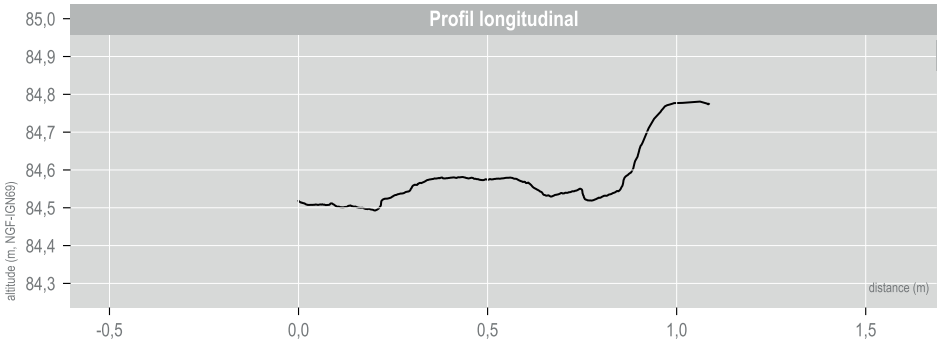

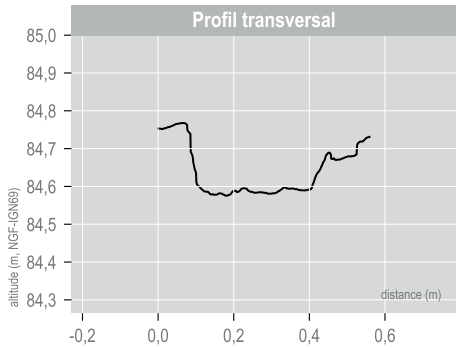

Vue générale de l'inhumation 890

vue générale de l'inhumation 890
C. Le Forestier, Inrap

Description de l'inhumation

Le sujet repose dans une fosse, orientée est-ouest, à l'intérieur d'une cuve de plâtre. La sépulture a été recoupée et il n'en subsiste que la moitié inférieure. Les os des jambes sont parallèles et reposent au fond de la fosse, déconnectés; les fibulas ayant migré latéralement. Un coxal droit adulte, en vue postérieure, repose sur le tibia droit. Au niveau des pieds, des os tarsiens et métatarsiens sont regroupés sans ordre apparent, recouverts partiellement pas des os déconnectés.
La part prédominante des ossements déconnectés plaide en faveur d'une décomposition différée, en espace vide. Les ossements rassemblés dans le fond du sarcophage pourraient correspondre à la réduction d'un ou plusieurs individus, en vue de la réutilisation du sarcophage.
Le squelette est celui d'un adulte, de sexe indéterminé.

Photographie de détail

vue oblique de l'inhumation 890
C. Le Forestier, Inrap

Phase : 1

Inhumation 891 - MAS8202

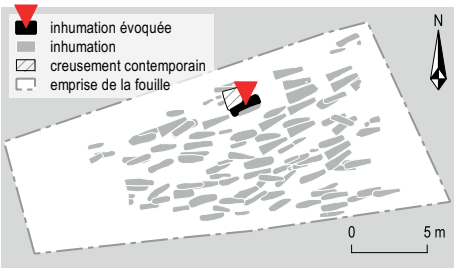

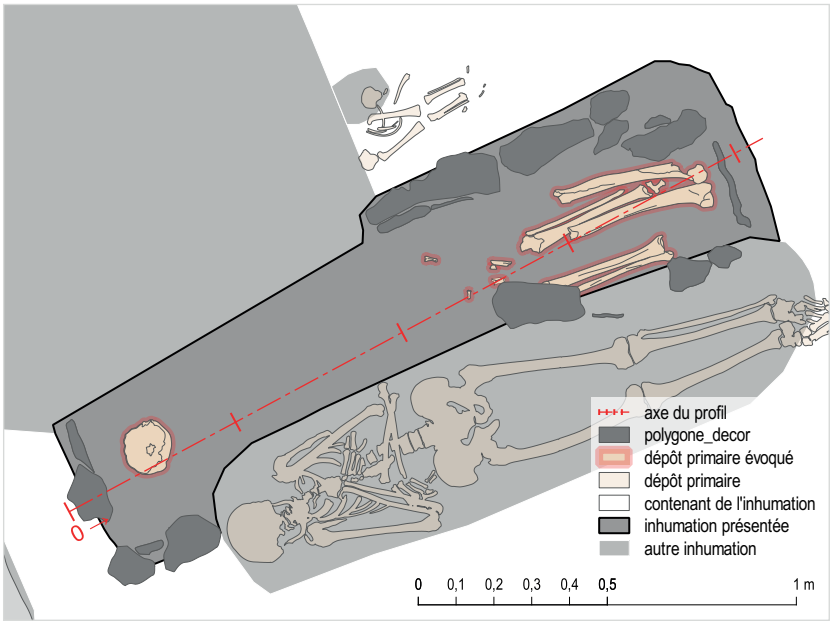

orientation

62 °

pratique funéraire

pierres et plâtre

position

décubitus dorsal

membres supérieurs

indéterminé

sexe

indéterminé

âge

adulte

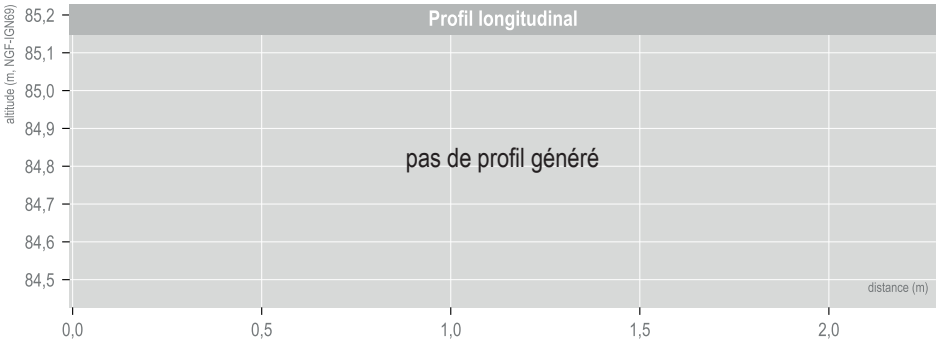

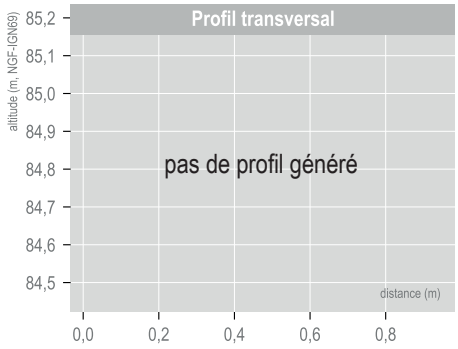

Vue générale de l'inhumation 891

vue générale de l'inhumation 891
C. Le Forestier, Inrap

Description de l'inhumation

Le sujet a été déposé dans une fosse construite de pierre et plâtre, quadrangulaire, orientée est-ouest. La sépulture a été recoupée par le creusement de la sépulture 876 et celui d'une fosse moderne mas8033. Seuls sont partiellement conservés les os des membres inférieurs, orientés est-ouest, pieds à l'ouest, non joints.Le comblement de la fosse a livré deux fémurs, de part et d'autre du tibia gauche, qui pourraient appartenir à l'individu inhumé, résultant de la destruction de la sépulture.
Les tibias apparaissent en vue antérieure. Les fibulas, en vue médiale, ont migré latéralement. Le calcaneus gauche, déconnecté, est resté en proximité anatomique. Les deux fémurs sont déconnectés, placés de part et d'autre du tibia gauche, en vue dorsale.
Si la présence d'une fosse construite permet d'envisager un colmatage en espace vide, trop peu d'éléments subsistent pour l'attester.
Le squelette est celui d'un adulte, de sexe indéterminé.

Phase : 3

Inhumation 892 - MAS8206

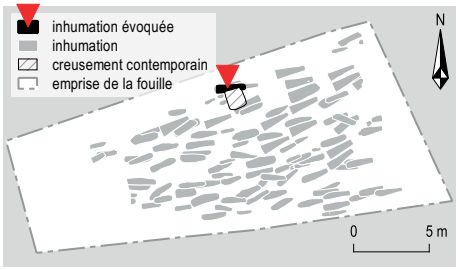

orientation

pratique funéraire

sans contenant

position

décubitus dorsal

membres supérieurs

90/90

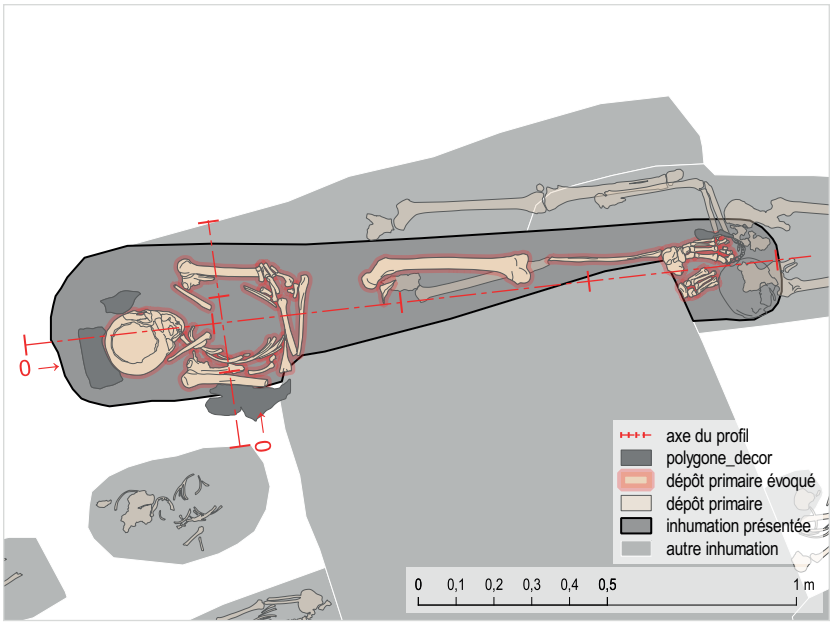

sexe

indéterminé

âge

adulte

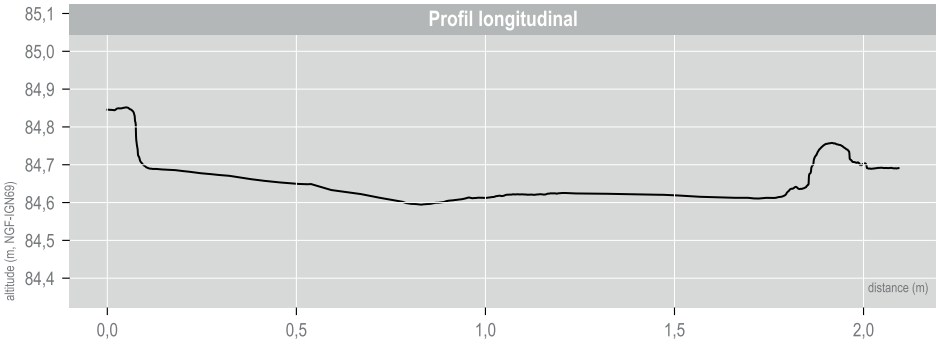

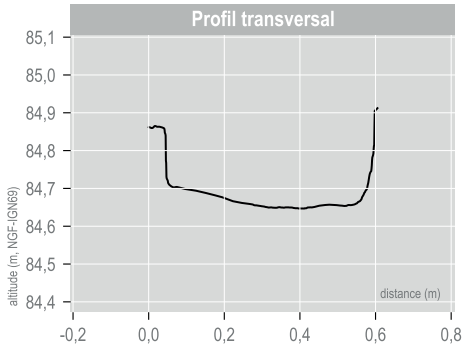

Vue générale de l'inhumation 892

vue générale de l'inhumation 892
C. Le Forestier, Inrap

Description de l'inhumation

Le sujet a été inhumé dans une fosse oblongue, orientée est-ouest, dont le creusement a recoupé les sépultures 903 et 904. Elle a été percutée au sud par le creusement de la fosse mas8033, qui a détruit une partie du squelette de l'individu. Celui-ci repose en décubitus dorsal, les avant-bras croisés, fléchis sur le thorax, la main droite sur le coude gauche. Les os inférieurs droits sont alignés, jambe droite tendue, les pieds joints, en extension. Le crâne de l'individu a été surélevé et calé par deux morceaux de plâtre. Dans le prolongement des pieds de l'individu, se trouve un amas osseux, constitué d'un calvarium, d'une mandibule et de quelques os longs. Il pourrait rassembler les os de la sépulture 904, percutée lors du creusement de la fosse d'inhumation.
Le crâne et la mandibule apparaissent en vue antéro-supérieure; la mandibule, déconnectée, est restée en position anatomique. Les volumes corporels ne sont plus observables, les côtes droites sont à plat. Les clavicules sont verticalisées. Seules, les connexions huméro-scapulaires sont maintenues, les scapulas à l'oblique, les humérus apparaissant en vue antéro-latérale. Les os des avant-bras ont migré caudalement et médialement et les connexions aux poignets sont rompues, des métacarpes chutant entre les humérus et les côtes. Quelques phalanges de la main droite sont restées groupées sur l'humérus gauche. Le fémur et la fibula, en vue antérieure, sont isolées. Au-delà, les connexions tarsiennes et métatarsiennes sont strictes à gauche, maintenues partiellement à droite, des phalanges restant dans le prolongement.
L'absence de migration au-delà du volume corporel, le maintien quasi strict des connexions, y compris labiles, au niveau des pieds, la position en équilibre des phalanges de la main droite sur l'humérus gauche plaident en faveur d'un colmatage rapide. Néanmoins, la migration des os des avant-bras, la chute de la mandibule et des métacarpes soulignent la présence d'espaces vides secondaires. Enfin, les contraintes observées au niveau de la ceinture scapulaire - verticalisation des clavicules, rotation interne des humérus – et au niveau des pieds – absence de rotation des os tarsiens – permettent d'évoquer la présence d'une enveloppe souple, de type linceul.
Le squelette est celui d'un adulte, de sexe indéterminé.

Photographie de détail

vue rapprochée de l'inhumation 892
C. Le Forestier, Inrap

Phase : 3

Inhumation 893 - MAS8211

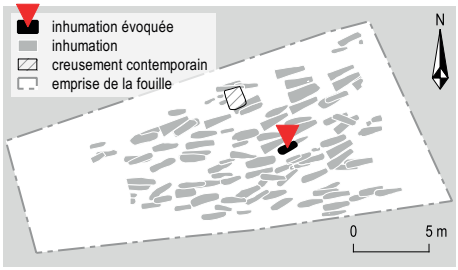

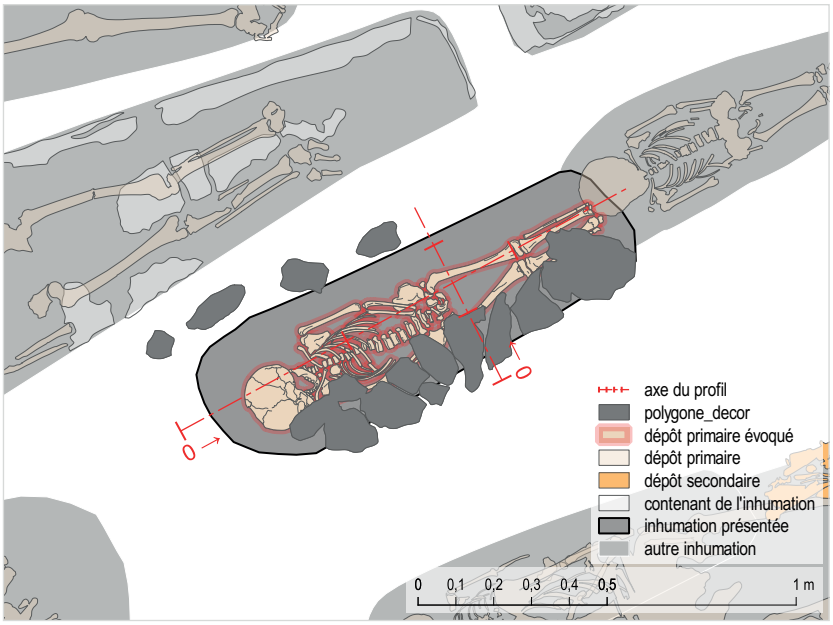

orientation

61 °

pratique funéraire

fosse à banquette

position

décubitus dorsal

membres supérieurs

135/135

sexe

trop jeune pour détermination

âge

5 à 9 ans

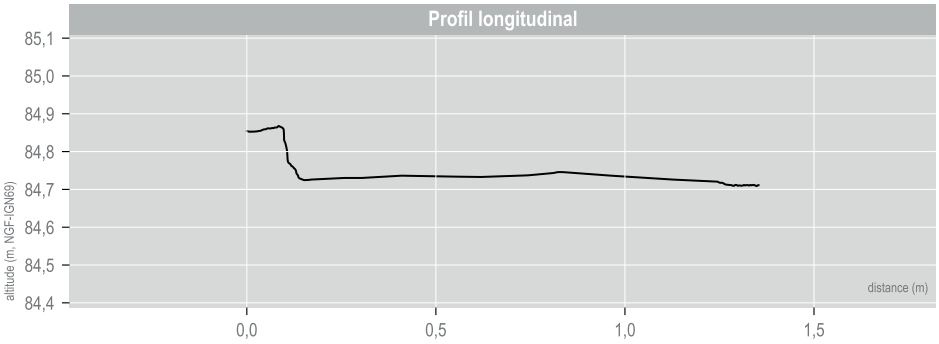

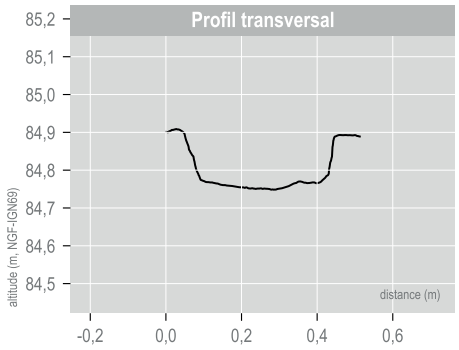

Vue générale de l'inhumation 893

vue générale de l'inhumation 893
C. Le Forestier, Inrap

Description de l'inhumation

Le sujet a été déposé dans une fosse oblongue (fosse à banquette), dont le rebord oriental est marqué par un alignement de blocs de pierre, surplombant le squelette de l'individu. La sépulture a été recoupée en son extrémité distale par la sépulture 863.
L'individu repose en décubitus dorsal, la tête à l'ouest, les bras fléchis à 135° sur l'abdomen, les membres inférieurs alignés, resserrés au niveau des genoux et des chevilles.
Le calvarium apparaît en vue antéro-latérale gauche. La mandibule, en vue supéro-antérieure, est déconnectée, restée dans sa position initiale. Les volume thoracique et pelvien ne sont pas conservés, les côtes sont à plat, les coxaux sont ouverts. Le rachis vertébral est segmenté à partir du rachis lombaire. Le manubrium s'est affaissé à droite. Les connexions de la ceinture huméro-scapulaire sont quasi strictes à droite, la clavicule légèrement à l'oblique , la scapula et l'humérus en vue antérieure; les os de l'avant-bras en connexion lâche. A gauche, les os sont restés dans la logique anatomique, subissant des migrations de faible ampleur, latéralement pour l'humérus, médialement pour le radius. Les connexions aux poignets sont rompues, les os des mains se dispersant dans le volume pelvien. Au delà, les coxaux, les os des membres inférieurs, en vue antérieure, sont en connexion stricte.
Le maintien de nombreuses connexions et l'absence de migration en dehors du volume corporel impliquent un colmatage rapide des masses molles. La compression observée au niveau du crâne, la contrainte aux coudes et aux genoux impliquent un emmaillotement très enserrant, dans un linceul.
Le squelette est celui d'un immature, dont l'âge au décès se situe entre 5 et 9 ans (IM3).
Des appositions périostées sont observables sur l'humérus gauche, sur la moitié supérieure de la diaphyse sur sa face latérale.
Un cribra orbitalia est également présent, bilatéralement.

Photographie de détail

vue rapprochée de l'inhumation 893
C. Le Forestier, Inrap

Phase : 3

Inhumation 894 - MAS8216

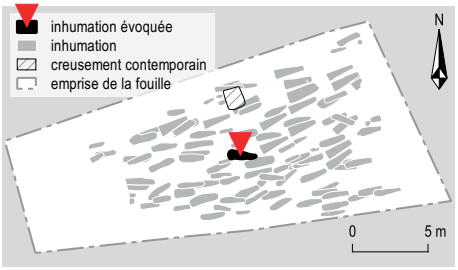

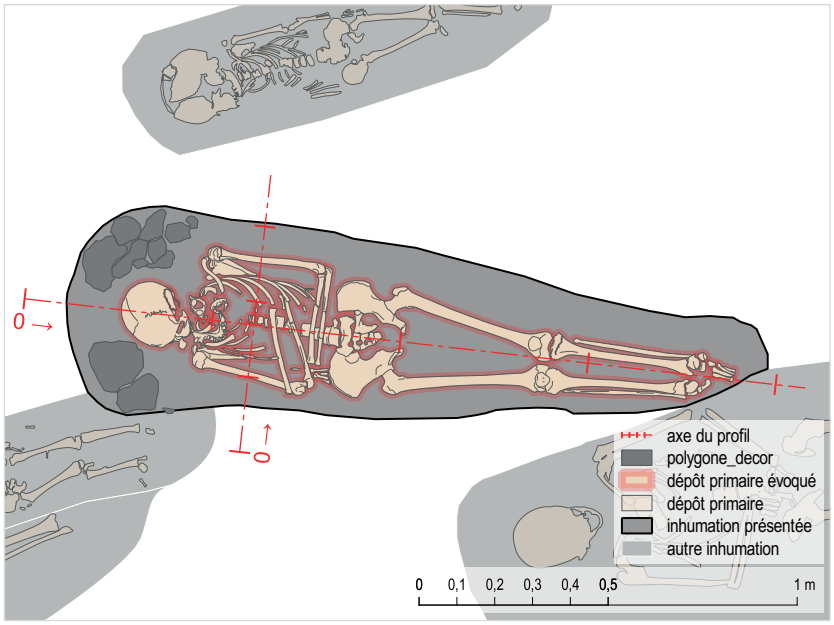

orientation

97 °

pratique funéraire

fosse à banquette

position

décubitus dorsal

membres supérieurs

90/90

sexe

trop jeune pour détermination

âge

15 à 19 ans

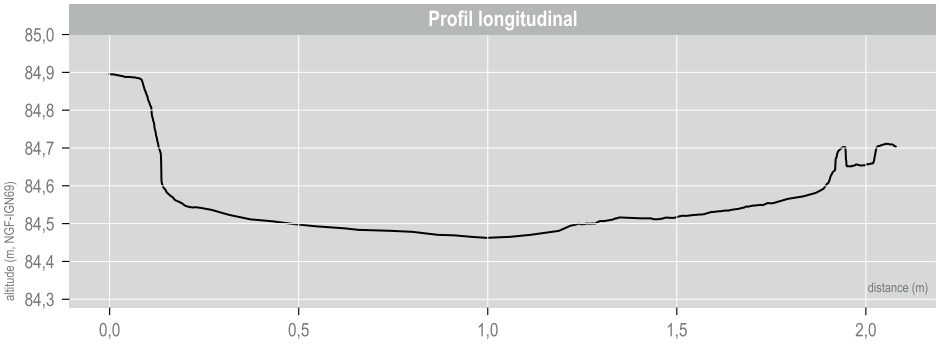

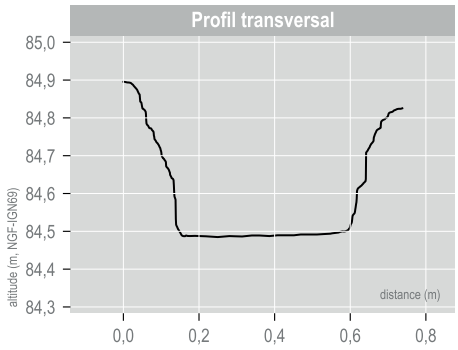

Vue générale de l'inhumation 894

vue générale de l'inhumation 894
C. Le Forestier, Inrap

Description de l'inhumation

Le sujet a été inhumé dans une fosse oblongue, orientée nord-ouest – sud-est, dont le pourtour est aménagé sur un replat de blocs de pierre, caractérisant une fosse à banquette. La sépulture est recoupée au sud par la sépulture 900 au niveau du pied droit du squelette. Celui-ci repose en décubitus dorsal, tête au nord-ouest, les bras fléchis à 90°, les membres inférieurs alignés, convergeant vers les pieds, en extension.
Le calvarium apparait en vue antéro-latérale gauche, totalement déconnecté. La mandibule, qui a migré caudalement et le rachis cervical bouleversé témoignent d'une perturbation très localisée, due à une intervention extérieure non caractérisée. En dehors des cervicales, le rachis vertébral est segmenté; le gril costal est à plat, le volume pelvien est ouvert. Les ceintures huméro-scapulaires sont en connexion quasi strictes, les clavicules à l'oblique, les scapulas de chant et les humérus en vue antéro-latérale. Les connexions au coude gauche sont maintenues tandis qu'elles sont rompues à droite avec une migration crâniale du radius et caudale de l'ulna. Les métacarpes gauches se sont affaissés sans migrer, emprisonnés par l'ouverture de l'iliaque. Les connexions sacro-pelviennes sont lâches. Au delà, toutes les connexions sacro-fémorales et celles des os des membres inférieurs sont maintenues strictement. Les patellas sont en place sur les fémurs, restés en vue antérieure, les tibias, en vue antéro-médiale. Les connexions aux chevilles sont intactes et sont maintenues, y compris pour les métatarses à gauche.
Le maintien de la plupart des connexions, y compris labiles, l'absence de migration en dehors du volume corporel, le maintien des patellas en place, accréditent un colmatage rapide. Les migrations observées , notamment au niveau des avants-bras impliquent néanmoins des espaces vides secondaires. La compression observée au niveau du crâne, des épaules, des coudes et des pieds valident l'hypothèse d'une enveloppe souple, de type linceul.
Le squelette est celui d'un immature dont l'âge au décès se situe entre 15 et 19 ans, de sexe indéterminé (IM5).
Un spina bifida affecte le sacrum. Une grande partie du rachis vertébral – les thoraciques VII à XII, et les lombaires, I à V – ainsi que le sacrum présentent plusieurs lésions osseuses. Celles-ci se caractérisent par un pincement des corps vertébraux et un aspect porotique, particulièrement marqué sur leur partie latérale gauche. Les vertèbres sacrées ne sont pas totalement fermées et vertébraux criblés et vascularisés.

Photographie de détail

vue rapprochée de l'inhumation 894
C. Le Forestier, Inrap

Pathologies

I. 894 : perforation en face antérieure de la totalité des vertèbres

I. 894 : spina bifida occulta

Phase : 3

Inhumation 895 - MAS8218

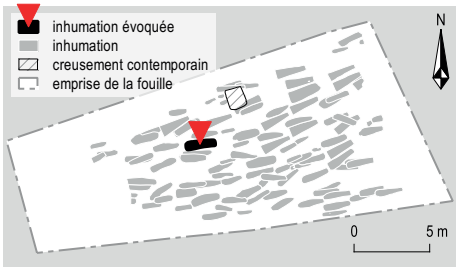

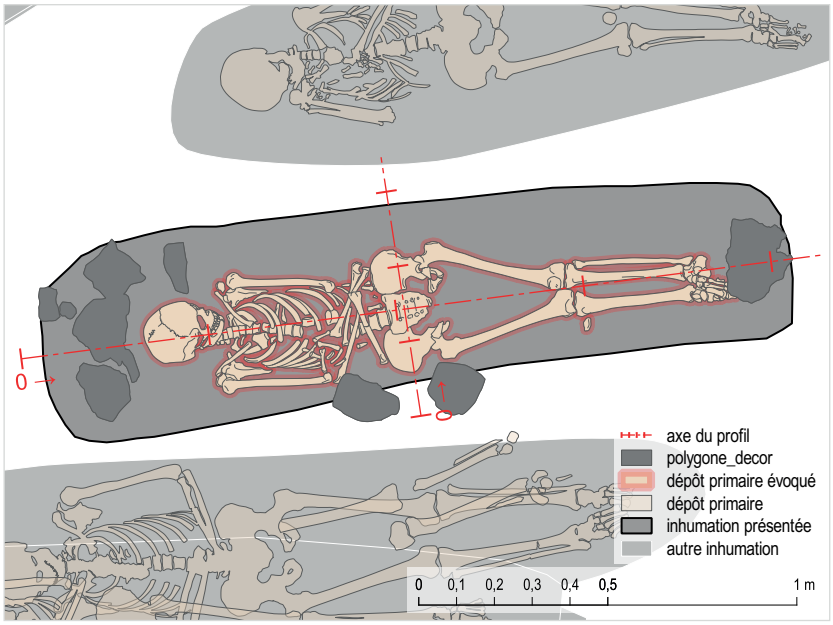

orientation

83 °

pratique funéraire

fosse à banquette

position

décubitus dorsal

membres supérieurs

90/90

sexe

féminin

âge

15 à 19 ans

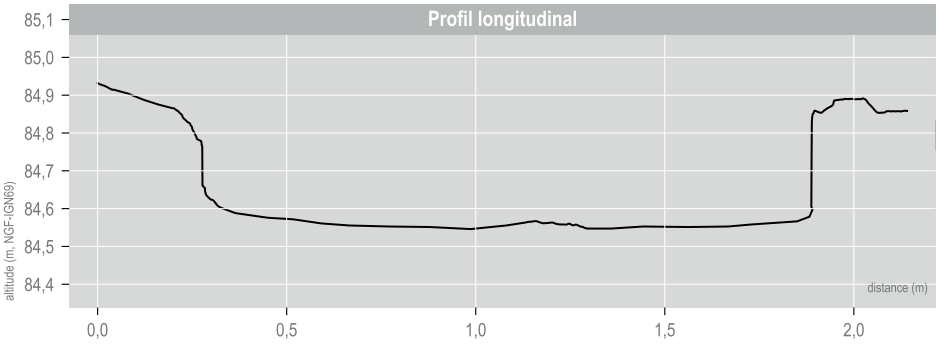

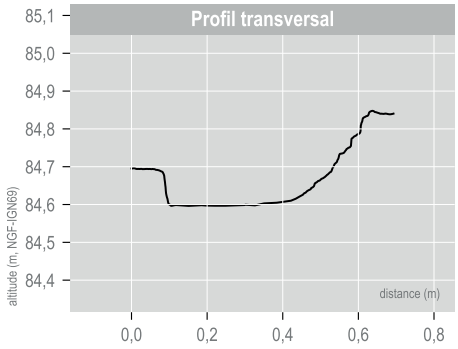

Vue générale de l'inhumation 895

vue générale de l'inhumation 895
C. Le Forestier, Inrap

Description de l'inhumation

Le sujet a été inhumé dans une fosse oblongue, orientée est-ouest, dont le pourtour est constitué de blocs de pierre. Cet aménagement par sa forme et sa disposition caractérise une fosse à banquette. L'individu repose en décubitus dorsal, la tête légèrement surélevée, orientée à l'ouest, les bras fléchis à 90° sur le thorax, les membres inférieurs alignés, joints aux genoux et aux pieds, le gauche recouvrant le droit.
Le calvarium apparaît en vue antéro-latérale droite, en connexion maintenue avec la mandibule et les premières cervicales Le rachis cervical est d'un seul tenant, mais il est bouleversé au niveau des thoraciques et des premières lombaires ; par contre, les volumes thoracique et pelvien sont partiellement préservés. Le manubrium s'est affaissé le long des vertèbres. Les connexions huméro-scapulaires sont maintenues, strictes à gauche et plus lâches à droite. Les clavicules sont à l'oblique, les humérus et les scapulas en vue antéro-latérale. Les connexions aux coudes sont rompues, l'ulna et le radius gauches ayant migré latéralement et caudalement; les os de l'avant-bras droit ont migré sur les lombaires. Tous les os des mains sont dispersés. Les connexions sacro-pelviennes et coxo-fémorales sont préservées, strictement à gauche, plus lâchement à droite. Les os des membres inférieurs sont restés quasi strictement en connexion à gauche, du fémur au tibia, apparaissent en vue antérieure. La patella gauche est en place, la droite a chuté latéralement. A droite, le tibia est en vue antéro-médiale. Les connexions aux chevilles et aux pieds sont également maintenues, des tarses aux métatarses à gauche, jusqu'aux deuxièmes phalanges à droite. Les os apparaissent en vue latérale à gauche, et en vue antéro-médiale à droite.
La conservation de la plupart des connexions, y compris labiles, le maintien en place des patellas, l'absence de migration en dehors du volume corporel attestent d'un colmatage rapide. Les migrations observées au niveau des avant-bras et du rachis vertébral, celle de la patella droite impliquent cependant des espaces vides secondaires. Les compressions observées au niveau des épaules, des genoux et des chevilles, ainsi que la position des os des pieds restés groupés, les gauches en rotation médiale, attestent la présence d'une enveloppe souple, de type linceul.
Le squelette est celui d'un immature dont l'âge au décès se situe entre 15 et 19 ans, de sexe féminin (IM5).

Photographie de détail

vue rapprochée de l'inhumation 895
C. Le Forestier, Inrap

Phase : 3

Inhumation 896 - MAS8222

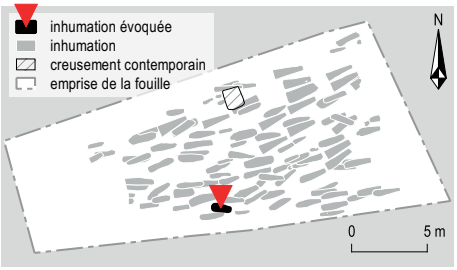

orientation

100 °

pratique funéraire

sans contenant

position

décubitus dorsal

membres supérieurs

180/135

sexe

trop jeune pour détermination

âge

5 à 9 ans

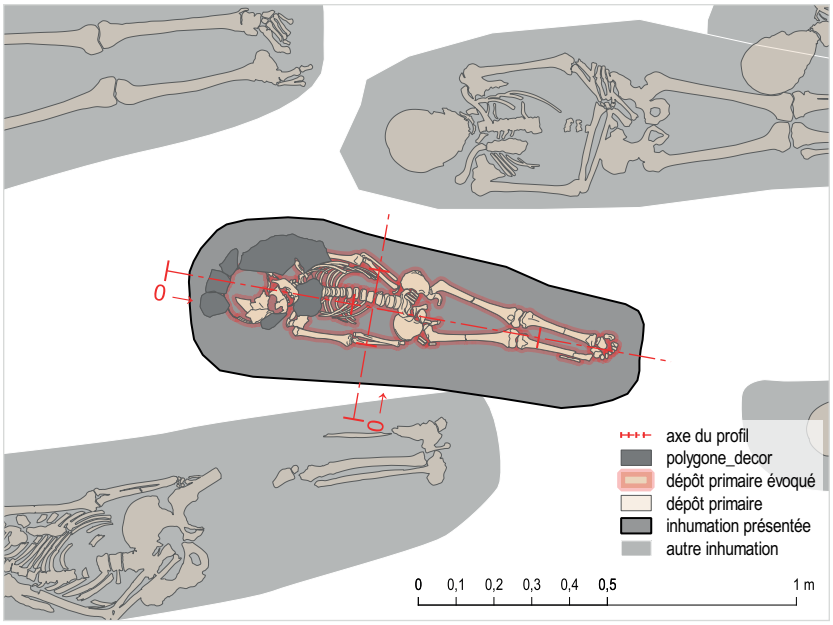

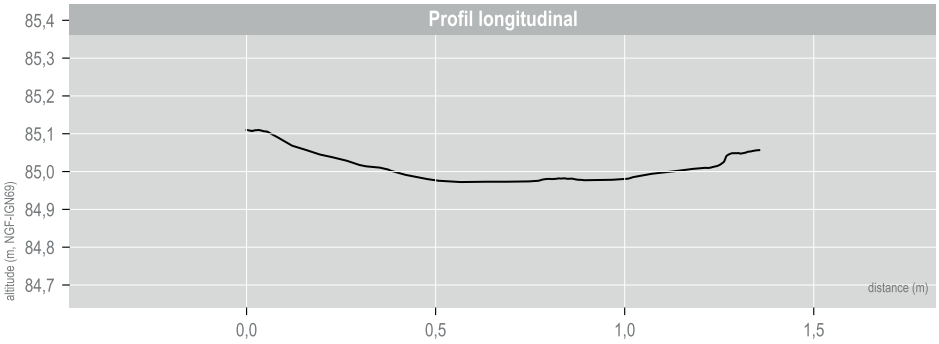

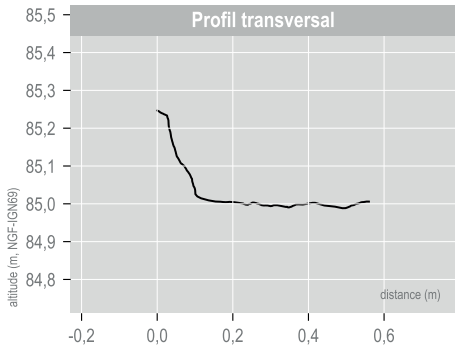

Vue générale de l'inhumation 896

vue générale de l'inhumation 896
C. Le Forestier, Inrap

Description de l'inhumation

Le sujet a été inhumé dans une fosse quadrangulaire, orientée est-ouest. Il repose en décubitus dorsal, la tête surélevée par des pierres, les bras le long du corps, le gauche fléchi à 135°, les membres inférieurs alignés, les pieds joints. Un petit bloc de pierre est placé sous sa mandibule, constituant un calage mentonnier.
Le calvarium apparaît en vue antéro-latérale gauche, la mandibule a migré caudalement. Le rachis vertébral est d'un seul tenant, le manubrium est en place.Les volumes thoracique et pelvien ne sont pas conservés. Les clavicules droite est à l'oblique, la gauche verticalisée. Les connexions huméro-sacapulaires et ulno-radio-humérales sont préservées. Une légère migration latérale de l'ulna gauche est observable. Les connexions aux poignets sont rompues et on peut observer une forte migration caudale des métacarpes, sous le coxal droit et sur l'aile iliaque droite, les métacarpes restant groupés. Les coxaux sont ouverts.Les connexions coxo-fémorales sont strictes, bilatéralement. Celles des os du membre inférieur gauche sont intactes,les fémurs et les tibias, en vue antérieure. Certaines connexions sont également préservées au niveau du pied gauche - talus et calcaneus - . Au delà, les os tarsiens sont regroupés dans le prolongement du squelette.
La plupart des connexions étant préservées, les quelques migrations observées restant à l'intérieur du volume corporel impliquent un colmatage rapide. La contrainte au niveau du crâne, la compression aux épaules et aux genoux, le regroupement des os des pieds suggèrent la présence d'une enveloppe souple, de type linceul.
Le squelette est celui d'un immature dont l'âge au décès se situe entre 5 et 9 ans (IM3).

Photographie de détail

vue rapprochée de l'inhumation 896
C. Le Forestier, Inrap

Phase : 3

Inhumation 897 - MAS8225

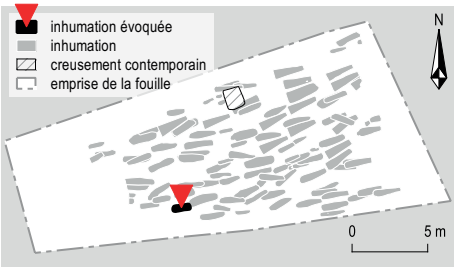

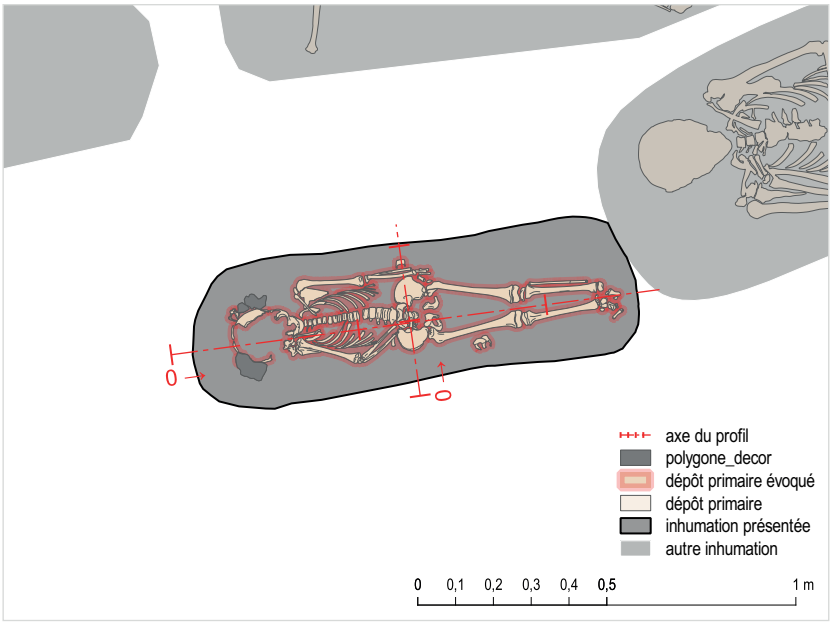

orientation

82 °

pratique funéraire

sans contenant

position

décubitus dorsal

membres supérieurs

135/180

sexe

trop jeune pour détermination

âge

5 à 9 ans

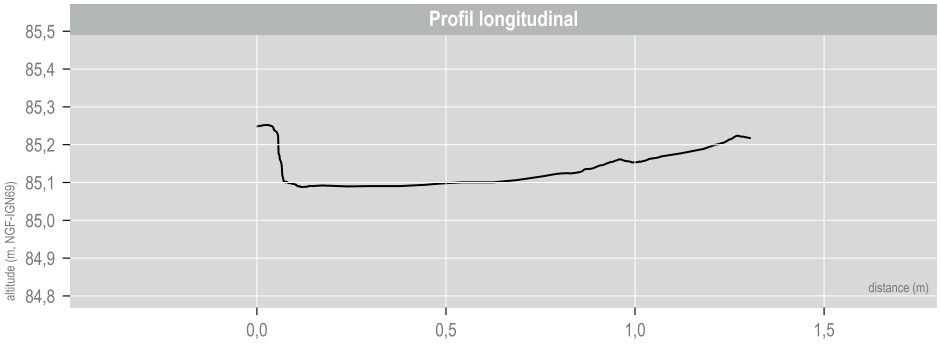

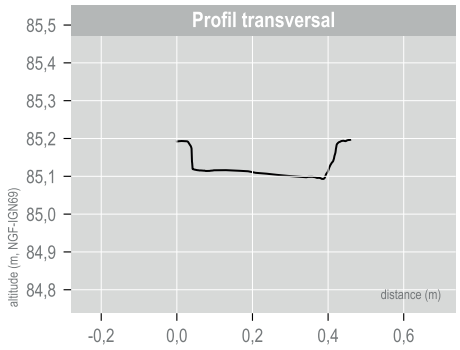

Vue générale de l'inhumation 897

vue générale de l'inhumation 897
C. Le Forestier, Inrap

Description de l'inhumation

Le sujet a été inhumé dans une fosse quadrangulaire, orientée est-ouest. Il repose en décubitus dorsal, la tête surélevée par des pierres, les bras le long du corps, le droit fléchi à 135°, les membres inférieurs alignés parallèlement, pieds non joints.
Le calvarium apparaît en vue antérieure, ainsi que la mandibule restée en connexion. Le rachis vertébral est d'un seul tenant, les volumes thoracique et pelvien ne sont pas conservés. La clavicule droite est verticalisée, à la gauche est à l'oblique. Les connexions des os des membres supérieurs- claviculo-scapulaire et scapulo-humérale sont mieux conservées à gauche.
L'humérus droit est déconnecté et a migré médialement de même que l'ulna, déplacée caudalement. A gauche, l'ulna et le radius ont migré latéralement. Les connexions aux poignets sont rompues. Quelques métacarpes gauches restent dans la continuité anatomique tandis que les os de la main droite ont chuté à l'intérieur du volume pelvien. Les coxaux sont ouverts et les connexions coxo-fémorales sont lâches, bilatéralement. Les fémurs et les tibias, en vue antérieure, sont restés en connexion quasi-stricte. La fibula gauche a migré latéralement. Au delà, les os tarsiens, métatarsiens et quelques phalanges sont regroupés en fagot, dans le prolongement du squelette.
La plupart des connexions étant préservées, les quelques migrations observées restant à l'intérieur du volume corporel impliquent un colmatage rapide. Les déconnexions observées peuvent s'expliquer partiellement par les irrégularités du fond de la fosse mais le maintien du crâne, la compression aux épaules et aux genoux, le regroupement des os des pieds suggèrent également la présence d'une enveloppe souple, de type linceul.
Le squelette est celui d'un immature dont l'âge au décès se situe entre 5 et 9 ans (IM3).

Photographie de détail

vue rapprochée de l'inhumation 897
C. Le Forestier, Inrap

Phase : 2

Inhumation 898 - MAS8228

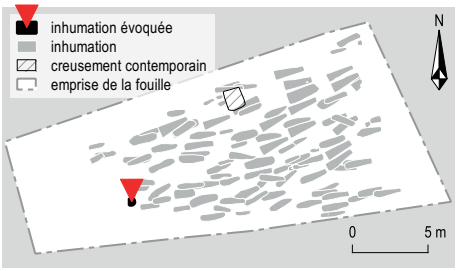

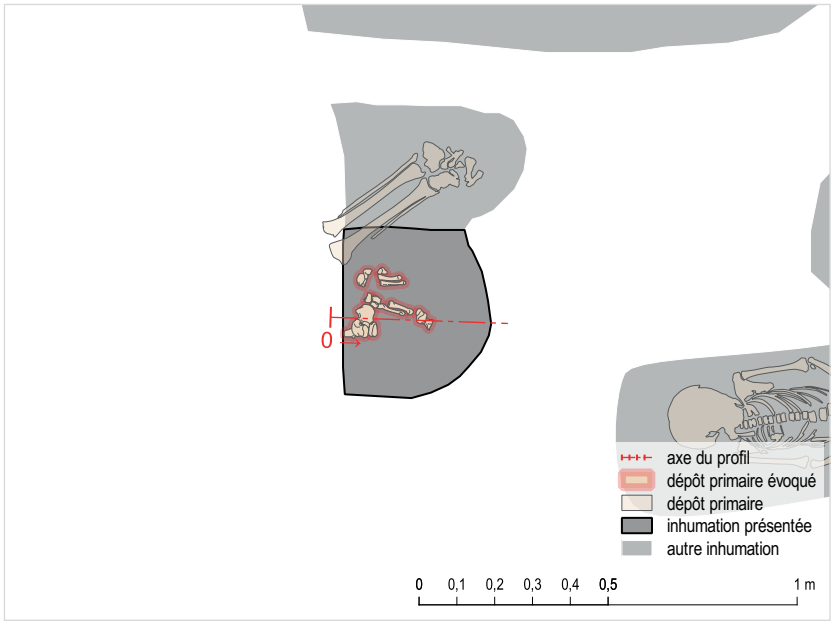

orientation

92 °

pratique funéraire

sans contenant

position

indéterminé

membres supérieurs

indéterminé

sexe

indéterminé

âge

adulte

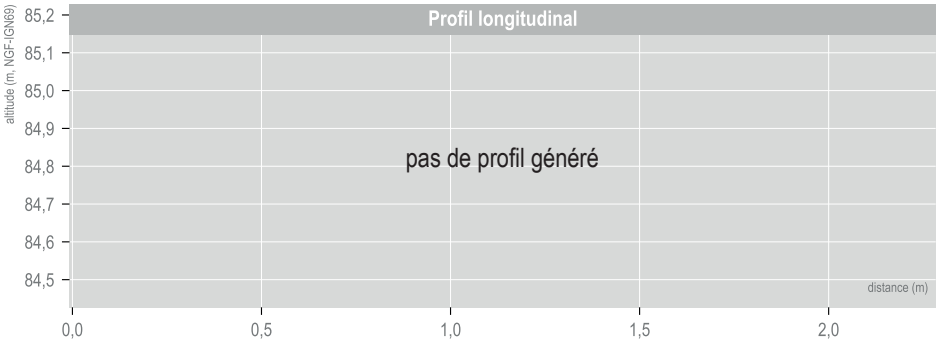

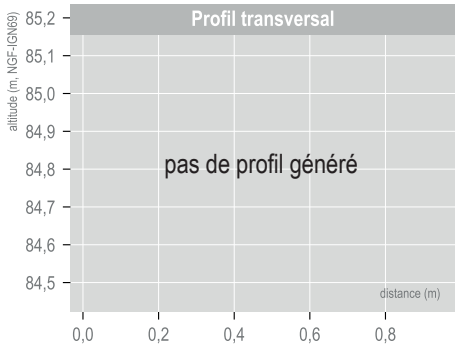

Vue générale de l'inhumation 898

vue générale de l'inhumation 898
C. Le Forestier, Inrap

Description de l'inhumation

Cette sépulture a été très fortement endommagée par le creusement d'une fosse moderne. Il n'en subsiste que l'extrémité orientale qui contient les os des pieds de l'individu inhumé. A droite, le calcaneus, le talus et le naviculaire apparaissent en vue antéro-latérale et sont restés en connexion. A gauche, une partie du tarse et des métatarses sont dispersés, quelques-uns conservant quelques connexions.
Les éléments d'observation sont insuffisants pour déterminer le mode de décomposition de l'individu inhumé.
Le squelette est celui d'un adulte, de sexe indéterminé.

Phase : 3

Inhumation 899 - MAS8231

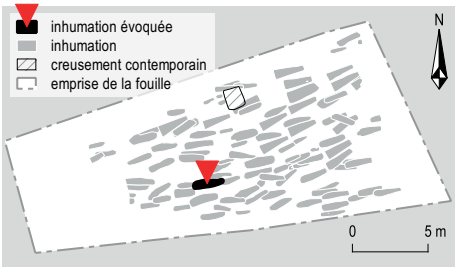

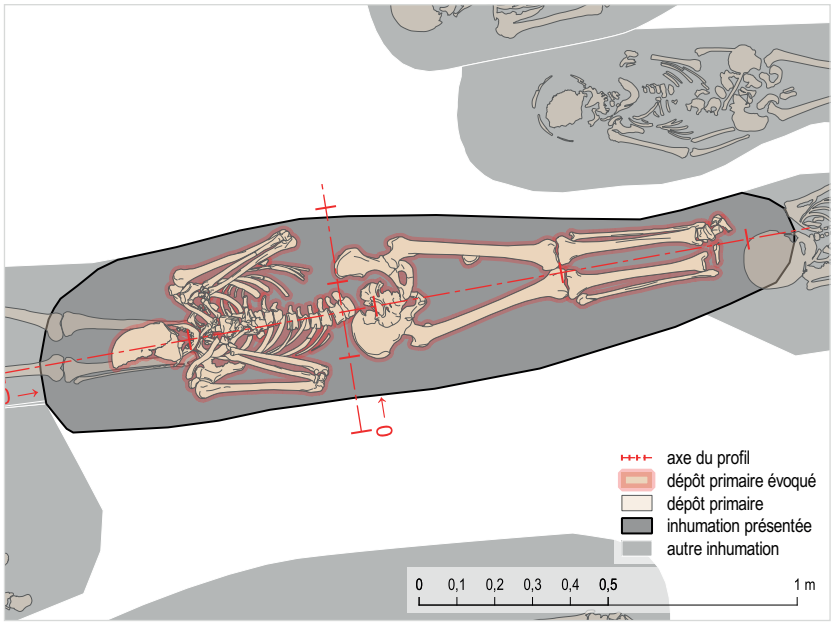

orientation

80 °

pratique funéraire

sans contenant

position

décubitus dorsal

membres supérieurs

45/45

sexe

féminin

âge

adulte

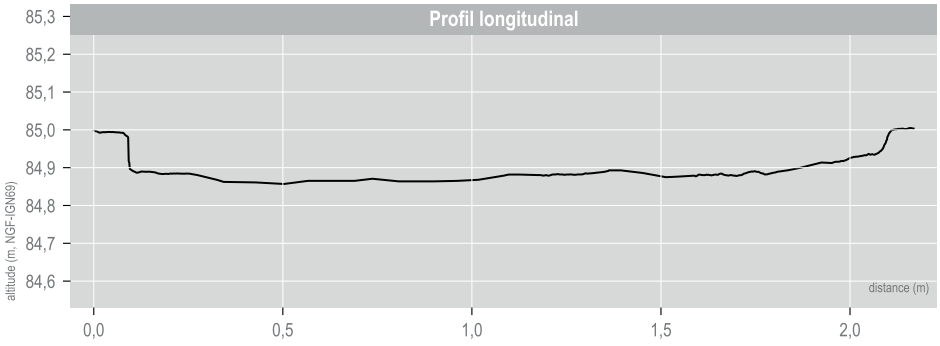

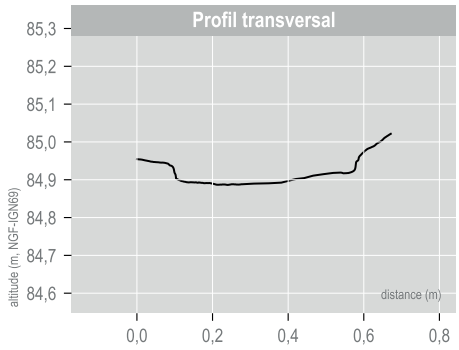

Vue générale de l'inhumation 899

vue générale de l'inhumation 899
C. Le Forestier, Inrap

Description de l'inhumation

La sépulture a été recoupée en son extrémité orientale par le creusement de la sépulture 918. Le sujet a été inhumé dans une fosse oblongue, orientée est-ouest. Il repose en décubitus dorsal, tête à l'ouest, surélevée, les avant-bras convergeant vers le haut du thorax, les membres inférieurs alignés, parallèlement, le pied gauche, seul conservé, en extension.
Le crâne apparaît en vue antéro-supérieure, la connexion calva-mandibulaire est maintenue. Les volumes thoracique et pelvien ne sont pas conservés. Le rachis vertébral est segmenté à partir des vertèbres lombaires, déconnectées du sacrum. Le manubrium et le sternum sont restés en place. Toutes les connexions des ceintures claviculo-huméro-scapulaires sont strictement maintenues, les clavicules verticalisées, les scapulas en vue antéro-latérale et les humérus en vue antéro-latérale. Il est est de même pour les connexions aux coudes. Au delà, les os des carpes et des mains ont chuté, se dispersant à l'intérieur du gril costal et sur les premières vertèbres. La ceinture sacro-pelvienne est totalement rompue. Le sacrum a migré caudalement et apparaît en vue antéro-supérieure, le coxal droit est à plat alors que le gauche est resté en position anatomique. Les connexions des membres inférieurs sont maintenues mais le fémur gauche, en vue antéro-médiale, la fibula droite, déconnectée du tibia, la patella gauche, sous la diaphyse fémorale gauche, ont migré. Les tibias apparaissent en vue antérieure, en connexion lâche avec les fémurs et la fibula a droite. A gauche, les connexions tibio-tarsiennes sont conservées, les os du tarse en vue antéro-médiale. Deux métatarses, déconnectés, restent en proximité immédiate des os tarsiens.
Le maintien quasi strict des connexions du squelette supérieur, l'absence de migration en dehors du volume corporel, la position du crâne et le maintien en équilibre instable de plusieurs métacarpes sur les vertèbres, permettent d'envisager un colmatage rapide. Néanmoins, les migrations observées – du sacrum, de la patella gauche, de la fibula - – impliquant des espaces vides secondaires, la très forte compression du squelette – aux épaules, au bassin et aux genoux- accréditent l'hypothèse d'une enveloppe souple, très enserrante.
Le squelette est celui d'un adulte, de sexe féminin.

Photographie de détail

vue rapprochée de l'inhumation 899
C. Le Forestier, Inrap

Phase : 3

Inhumation 900 - MAS8234

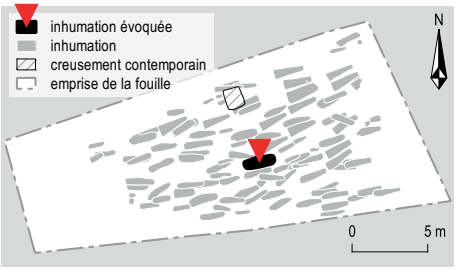

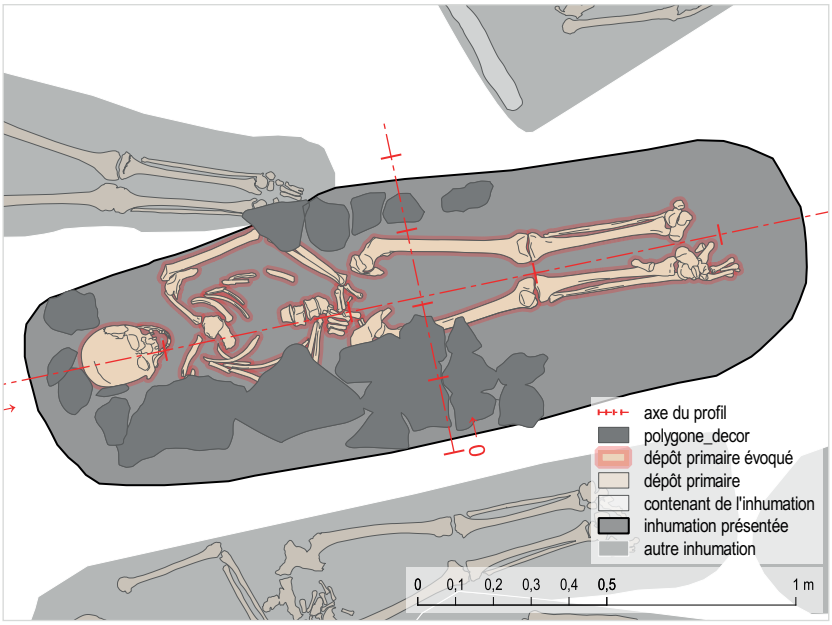

orientation

78 °

pratique funéraire

fosse à banquette

position

décubitus dorsal

membres supérieurs

135/135

sexe

indéterminé

âge

adulte

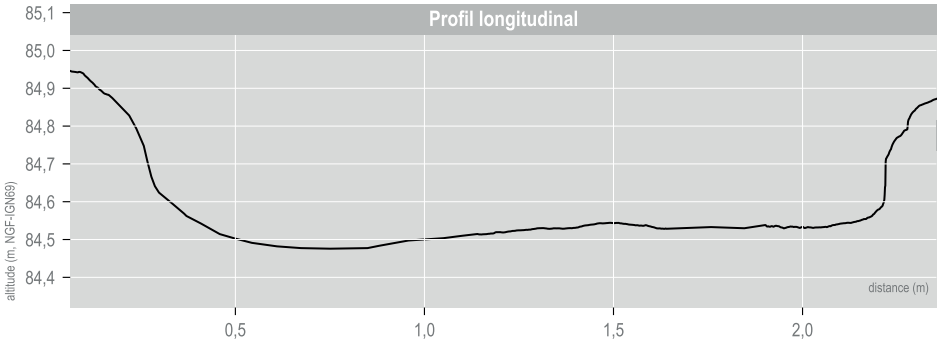

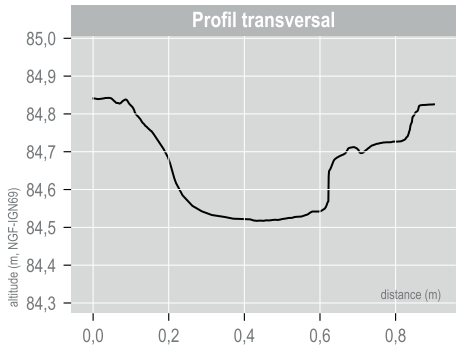

Vue générale de l'inhumation 900

vue générale de l'inhumation 900
C. Le Forestier, Inrap

Description de l'inhumation

Cette sépulture est constituée d'une large fosse, orientée, est-ouest, dont le pourtour se compose de blocs de pierre de taille différente, s'affaissant vers l'intérieur du creusement, au-dessus des os du sujet inhumé. Les bords de la fosse présentent un replat caractéristique des fosses à banquette. Le sujet repose en décubitus dorsal, tête à l'ouest, calée par un aménagement céphalique de pierres et fragments de plâtre, les avant-bras repliés à 135°, les membres inférieurs alignés, parallèles, les pieds non joints, en rotation latérale, le pied droit en hyperflexion.
Le calvarium apparaît en vue antéro-supérieure, la mandibule a chuté verticalement et la connexion est rompue. Le gril costal est à plat, seules subsistent le rachis lombaire segmenté et déconnecté. Le manubrium est en place. Les clavicules sont à l'oblique à droite, quasi à l'horizontale à gauche ; les scapulas en vue antérieure en connexion avec les humérus, en vue antéro-latérale. Les connexions sont partiellement préservées aux coudes. Au delà, les os des mains sont restés très regroupés, en cohérence anatomique, au-dessus des coxaux. Les connexions fcoxo-fémorales sont lâches. La patella droite est en équilibre sur le fémur droit. Les connexions aux genoux et à la cheville, celles des tarses sont quasi strictes, les fémurs, les tibias et les fibulas en vue antérieure, les tarses en vue médiale. La plupart des métatarses droit sont restés groupés, un métatarse I se situe au-dessus de la malléole médiale du tibia droit.
L'absence de migration en dehors du volume corporel, la préservation quasi stricte de connexions, y compris labiles, pour les os des membres inférieurs, la position de la patella droite ou du manubrium plaident en faveur d'un colmatage rapide, la couverture éventuelle de la fosse en matériau périssable n'offrant pas une résistance durable. Les migrations observées – de la mandibule au métatarse - impliquent des espaces secondaires dont la présence ne semble pas relever de l'existence d'un linceul, hypothèse peu compatible avec l'absence de compression du buste ni ou la position des os des pieds. La contrainte observable au niveau des os du pied droit pourrait par contre marquer la présence d'un coffrage. Par ailleurs, la contention observable au niveau du gril costal, à distance des humérus, pourrait aussi évoquer la présence d'un emmaillotement du buste ou la celle d'un vêtement.
Le squelette est celui d'un adulte, de sexe indéterminé.

Photographie de détail

vue rapprochée de l'inhumation 900
C. Le Forestier, Inrap

Phase : 2

Inhumation 901 - MAS8237

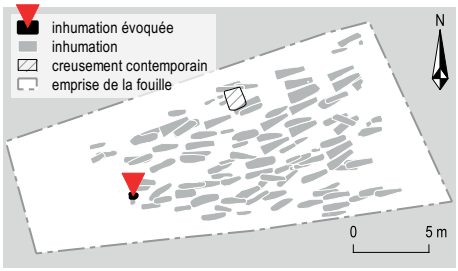

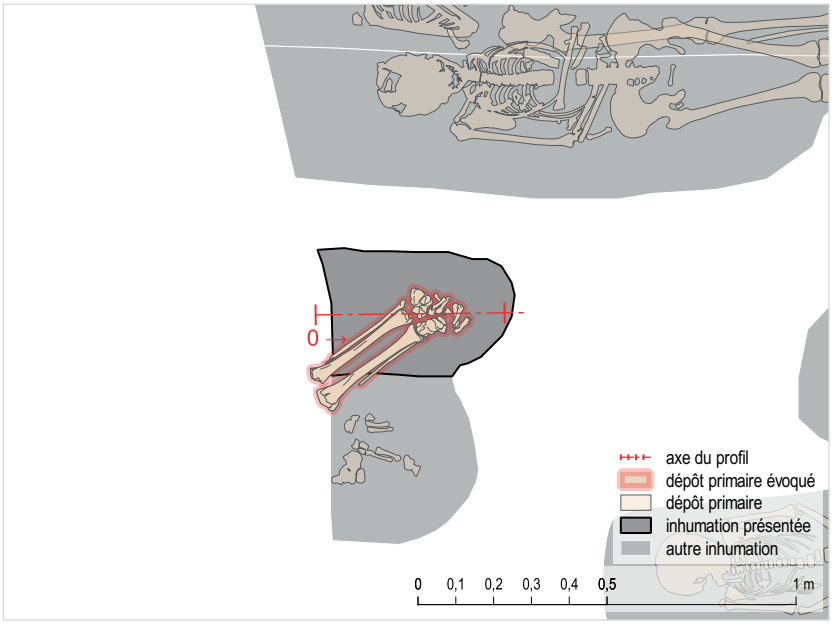

orientation

89 °

pratique funéraire

sans contenant

position

décubitus dorsal

membres supérieurs

indéterminé

sexe

indéterminé

âge

adulte

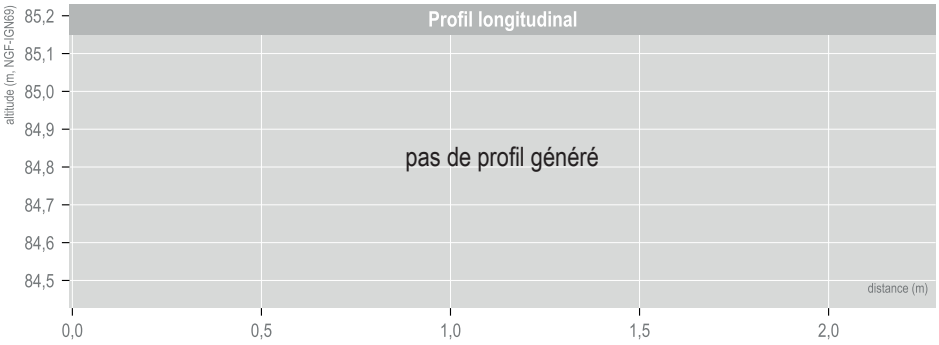

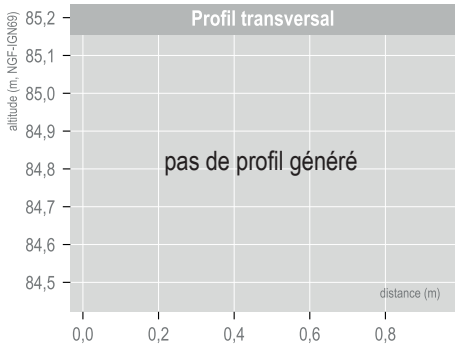

Vue générale de l'inhumation 901

vue générale de l'inhumation 901
C. Le Forestier, Inrap

Description de l'inhumation

Cette sépulture a été partiellement détruite par le creusement d'une fosse moderne. Seule, son extrémité orientale est conservée, contenant les os des jambes et des pieds de l'individu inhumé. Celui-ci avait été déposé en décubitus dorsal, les jambes parallèles, les pieds joints, le gauche sur le droit.
Les tibias et les fibulas, en connexion, apparaissent en vue antérieure. Les connexions radio-fibulo-talaires sont partiellement préservées à droite. Les os des pieds sont regroupés, du fait du basculement médial du pied gauche sur le droit.
La contrainte observée au niveau des pieds, le regroupement des os dans le prolongement des tibias permettent d'envisager a présence d'une enveloppe souple mais des éléments déterminants font défaut pour conclure.
Le squelette est celui d'un adulte, de sexe indéterminé.

Phase : 3 ^{14}C [1150 991

Inhumation 902 - MAS8240

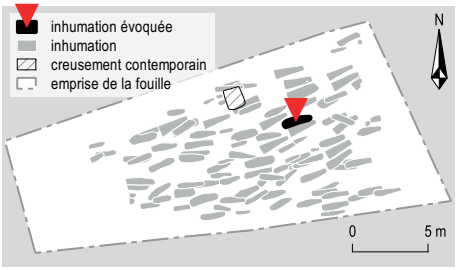

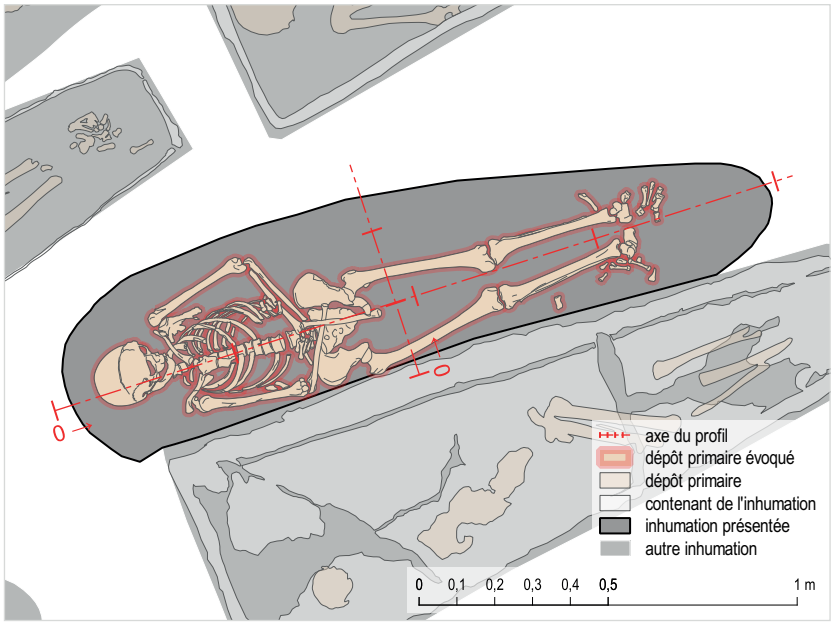

orientation

72 °

pratique funéraire

sans contenant

position

décubitus dorsal

membres supérieurs

1/90

sexe

indéterminé

âge

adulte

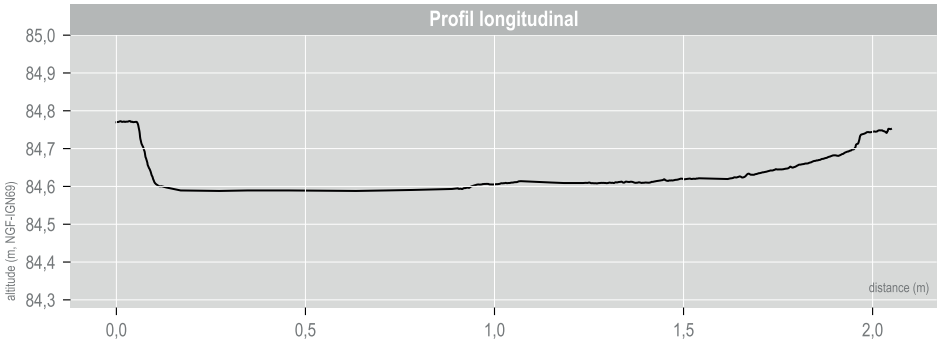

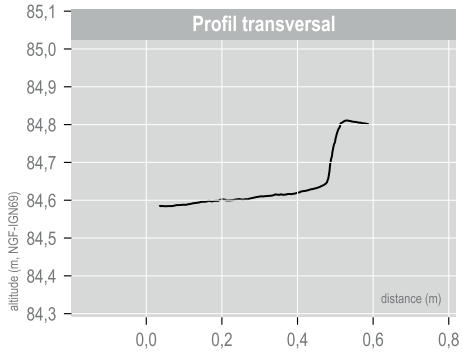

Vue générale de l'inhumation 902

vue générale de l'inhumation 902
C. Le Forestier, Inrap

Description de l'inhumation

Le sujet inhumé repose dans une fosse oblongue, orientée est-ouest, creusée contre la cuve de la sépulture 829. Il a été déposé en décubitus dorsal, la tête à l'ouest, les avant-bras fléchis à 90°, le droit par dessus le gauche, comme en témoignent les os de la main droite regroupés sur les côtes et le radius gauche; les membres inférieurs alignés, parallèles, pieds non joints, ouverts.
Le crâne apparaît en vue antéro-latérale droite, la mandibule a chuté mais reste en connexion lâche avec le calvarium. Le rachis vertébral est d'un seul tenant puis segmenté à partir des lombaires, le manubrium et le sternum sont en place. Le volume thoracique n'est pas conservé; le volume pelvien l'est, partiellement. Les connexions de la ceinture scapulaire et huméro-scapulaire droites sont strictes, la clavicule à l'oblique, l'humérus en vue antérieure, la scapula en vue antéro-latérale; à gauche, les os ont migré crânialement et latéralement, la clavicule, déconnectée, est à l'horizontale et l'humérus apparaît en vue antéro-latérale. Les connexions aux coudes sont rompues : les os des avant-bras ont chuté caudalement, le radius droit se situe entre les coxaux ; les os des mains sont restés groupés, les droits en équilibre sur les côtes et le radius gauche, les gauches, sur les vertèbres lombaires dans la continuité anatomique des os des avant-bras. La ceinture sacro-pelvienne est lâche, de même que les connexions coxo-fémorales du fait de l'ouverture des fémurs; les fémurs et les tibias, en vue antéro-médiale, restent en connexion stricte; les connexions aux chevilles sont maintenues, les tarses reposant en vue médiale; au-delà, les os des pieds sont bouleversés: à gauche, les métatarses sont renversés en vue postérieure, le métatarse V situé le long du tibia; à droite, ils sont dispersés crânialement.
De nombreuses déconnexions sont observables et des migrations importantes se sont produites, au niveau du squelette supérieur et des pieds. Elles sont moins nombreuses pour le squelette appendiculaire droit, du fait de la présence de la cuve de plâtre, alors qu'elles affectent sensiblement le gril costal gauche, et l'humérus gauche. Enfin, la dispersion des os des pieds, entre la cuve et les os de la jambe droite témoignent aussi d'un colmatage différé.
Le squelette est celui d'un adulte, de sexe indéterminé.
Le rachis lombaire présente des ostéophytes en becs de perroquet entre le plateau vertébral supérieur droit de la lombaire V et le plateau inférieur droit de la lombaire IV ainsi que sur la lombaire III.

Photographie de détail

vue rapprochée de l'inhumation 902
C. Le Forestier, Inrap

Phase : 2

Inhumation 903 - MAS8243

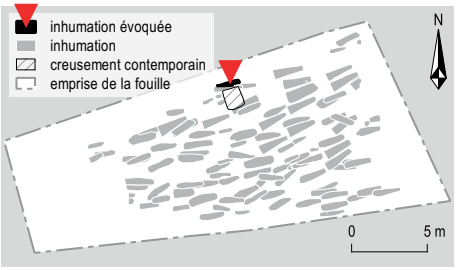

orientation

73 °

pratique funéraire

sans contenant

position

indéterminé

membres supérieurs

indéterminé

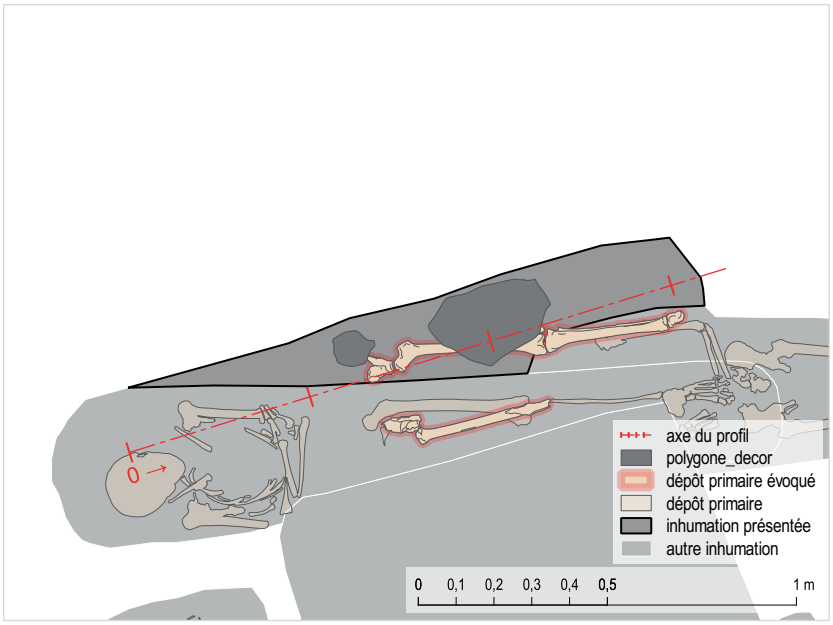

sexe

indéterminé

âge

adulte

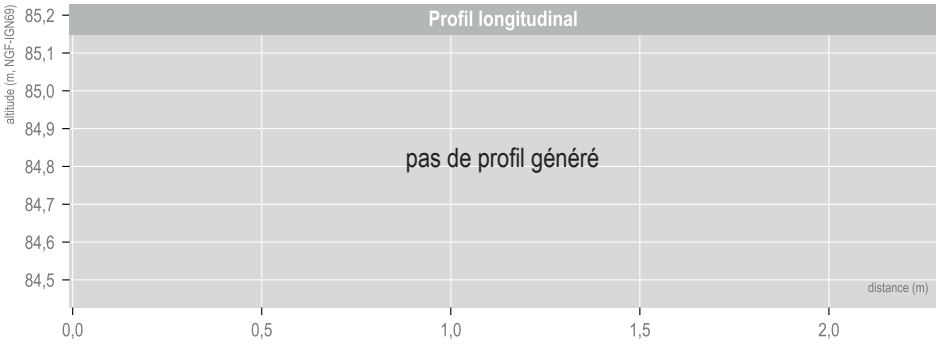

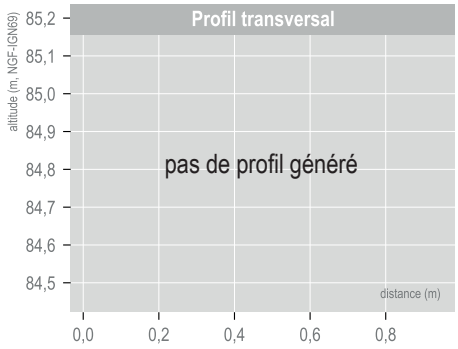

Vue générale de l'inhumation 903

vue générale de l'inhumation 903
C. Le Forestier, Inrap

Description de l'inhumation

Les limites de la fosse d'inhumation ne sont pas lisibles, la sépulture ayant été recoupée par le creusement des sépultures 892 et 904 et se trouvant située en limite de l'emprise fouillée. Le squelette du sujet inhumé, orienté est-ouest, pieds à l'est, est donc très peu conservé.
Le fémur et le tibia gauche de l'individu en vue antérieure, sont en connexion.Le talus est conservé dans la logique anatomique. La patella a glissé latéralement mais reste au contact du fémur. Un coxal et un fémur droits déconnectés, pourraient appartenir au même individu.
Les éléments manquent pour caractériser le mode de décomposition.
Le squelette est celui d'un adulte, de sexe indéterminé.

Phase : 2

Inhumation 904 - MAS8247

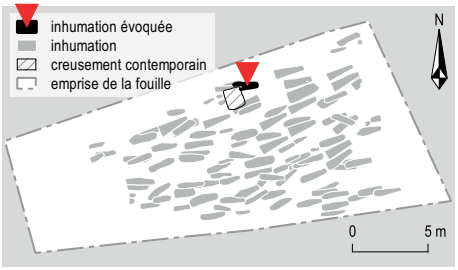

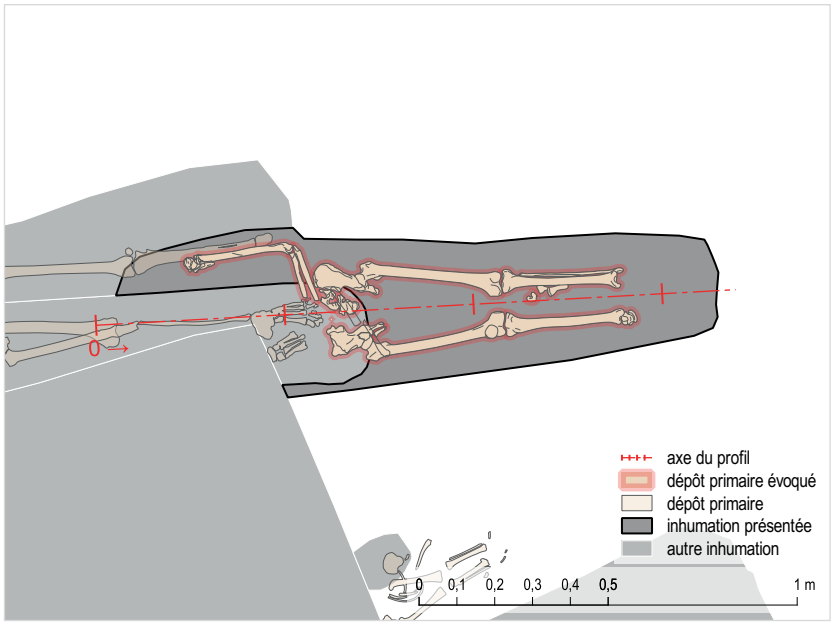

orientation

87 °

pratique funéraire

sans contenant

position

décubitus dorsal

membres supérieurs

1/90

sexe

féminin

âge

adulte

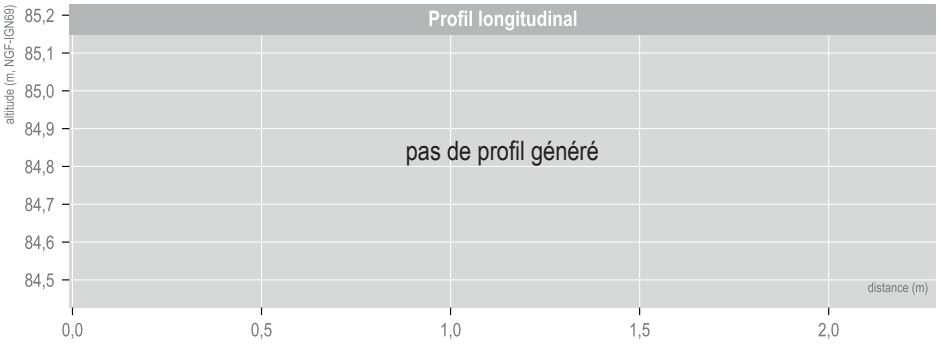

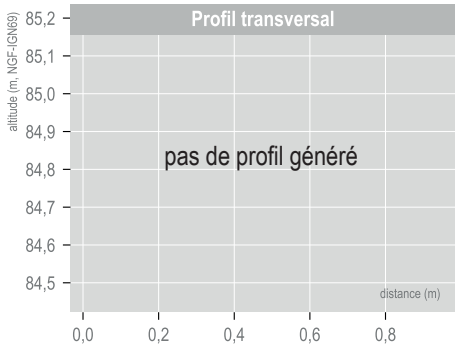

Vue générale de l'inhumation 904

Description de l'inhumation

La sépulture n'est que partiellement conservée du fait du creusement de la sépulture 892, qui en a détruit la moitié occidentale. Le sujet a été inhumé dans une fosse oblongue, orientée est-ouest. Seul le squelette inférieur est préservé ainsi que le membre supérieur gauche. Il repose en décubitus dorsal, les pieds à l'ouest, l'avant-bras gauche fléchi à 90° sur l'abdomen, les membres inférieurs alignés, parallèles, les pieds non joints. Le dépôt secondaire dans la sépulture 892 se situe exactement au dessus du sacrum et entre les deux coxaux de la sépulture 904. il pourrait correspondre aux ossements percutés lors du creusement de la sépulture 892.
L'humérus gauche, en rotation interne, reste en connexion avec l'ulna et le radius. Les os de la main ont disparu. Un métacarpe se situe entre le coxal et le fémur droit. Les coxaux sont ouverts, la connexion sacro-pelvienne n'est maintenue qu'à gauche. Les connexions coxo-fémorales sont lâches, les fémurs se présentent en vue antéro-médiale mais la patella droite est restée en équilibre. Les connexions aux genoux sont bien préservées; le tibia et la fibula gauches, en vue antéro-médiale, restent en connexion, le tibia et le talus droits également. Le tarse droit apparaît en flexion, en vue antéro-médiale. Quelques os tarsiens et un métatarse I ont migré crânialement le long du tibia gauche.
La bonne préservation des connexions, la présence en équilibre de la patella droite, l'absence de migration en dehors du volume corporel suggèrent un colmatage rapide. De même la position fléchie du tarse droit, la migration crâniale à l'intérieur de l'espace corporel de quelques os plaident en faveur de la présence d'une enveloppe souple. Néanmoins, en l'absence du crâne et du squelette supérieur, ces éléments ne permettent pas de conclure.
Le squelette est celui d'un adulte, de sexe indéterminé.
Le capitulum de l'humérus gauche offre une surface d'éburnation.

Phase : 3 ^{14}C [1158 [1062

Inhumation 905 - MAS8249

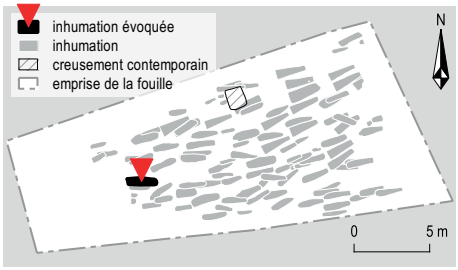

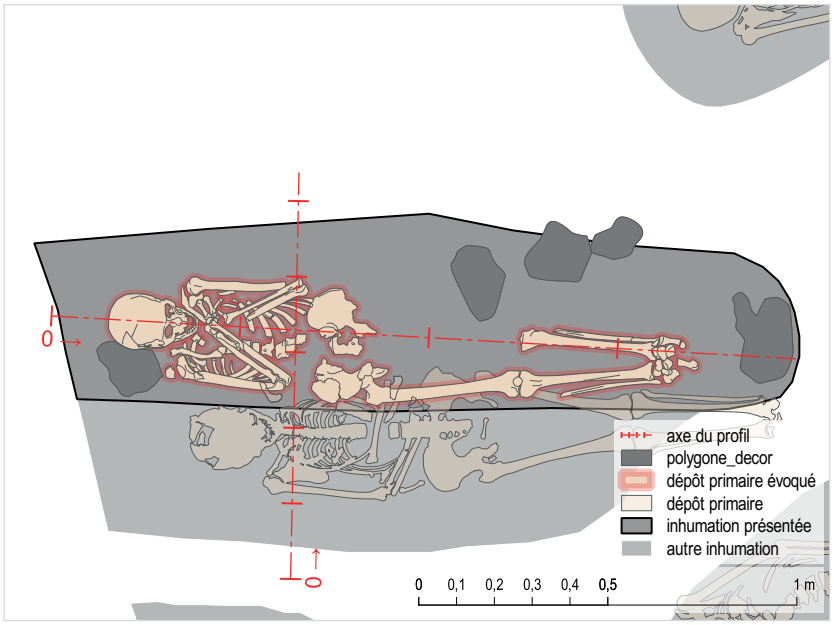

orientation

93 °

pratique funéraire

sans contenant

position

décubitus dorsal

membres supérieurs

45/45

sexe

indéterminé

âge

adulte

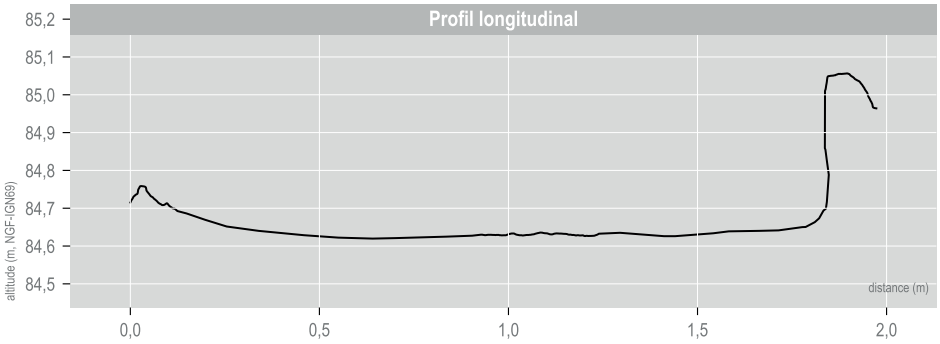

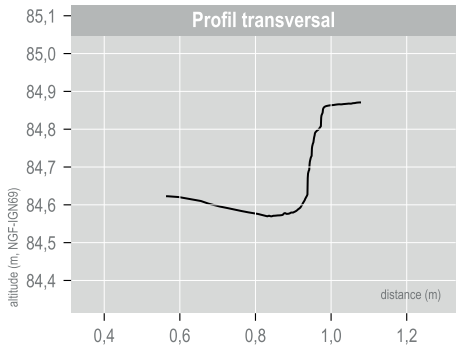

Vue générale de l'inhumation 905

vue générale de l'inhumation 905
C. Le Forestier, Inrap

Description de l'inhumation

Le sujet a été inhumé dans une fosse oblongue, orientée nord-ouest-sud-est , recoupant le comblement de la sépulture 905. Il repose en décubitus dorsal, tête au nord-ouest, les avant-bras repliés et convergeant sur la poitrine, les membres inférieurs alignés, joints aux chevilles, les pieds rassemblés. Quelques blocs de pierre constituent un calage céphalique, surélevant le crâne de l'individu.

Celui-ci apparaît en vue antéro-supérieure; la mandibule déconnectée, a chuté dans le prolongement du calvarium. Le rachis vertébral est segmenté au niveau des vertèbres thoraciques; le volume thoracique est partiellement préservé à droite, les coxaux sont ouverts. La compression aux épaules est importante: les clavicules sont verticalisées, les humérus en rotation interne et les scapulas à l'oblique. Seules les connexions de la ceinture scapulaire gauche sont préservées. Les connexions au coude droit sont quasi strictes, certains os carpiens sont restés en connexion et les métacarpes, déconnectés, sont restés en position anatomique, s'affaissant dans les espaces vides de la ceinture scapulaire. En revanche, les connexions des os de l'avant-bras gauche sont rompues, l'humérus en vue latérale, sous l'ulna et le radius, ayant migré caudalement. A part la connexion coxo-fémorale droite, qui est lâche, toutes les connexions observables à droite, au niveau du genou droit et de la cheville, sont strictes; le fémur et le tibia sont en vue antérieure, la patella droite est en place. Le pied droit est en extension, les os tarsiens, maintenus en connexion, apparaissent en vue antérieure. Le tibia gauche est déconnecté mais les connexions à la cheville sont bien maintenues.

La préservation des nombreuses connexions, y compris au niveau des pieds et des mains, le maintien de la patella en place, l'absence de migration en dehors du volume corporel impliquent une colmatage rapide. Par ailleurs, la forte compression observée au niveau des épaules, du thorax et des chevilles, la position des pieds en extension ne peuvent s'expliquer que par la présence d'une enveloppe souple, fortement enserrante, à la poitrine et aux pieds.

Le squelette est celui d'un adulte, de sexe indéterminé.

De nombreux os du squelette (fémur droit, humérus, manubrium et talus) se caractérisent par une forte vascularisation et la lombaire V présente de l'arthrose sous forme de bec de perroquet sur son bord inférieur. La clavicule gauche présente une déviation axiale qui pourrait provenir d'une fracture mal réduite, comme en témoigne la formation d'un cal osseux . Enfin, on observe un tartre très important sur de nombreuses dents.(6) associé à des caries importantes sur les molaires supérieures.

Photographies de détail

vue rapprochée de l'inhumation 905
C. Le Forestier, Inrap

vue rapprochée de l'inhumation 905
C. Le Forestier, Inrap

Pathologies

I. 905 : présence très importante de tartre

Phase : 3

Inhumation 906 - MAS8253

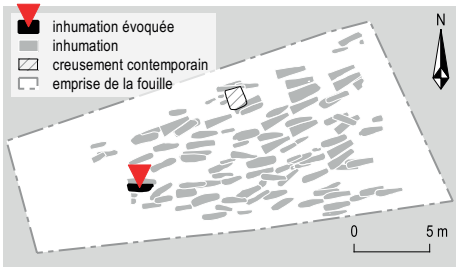

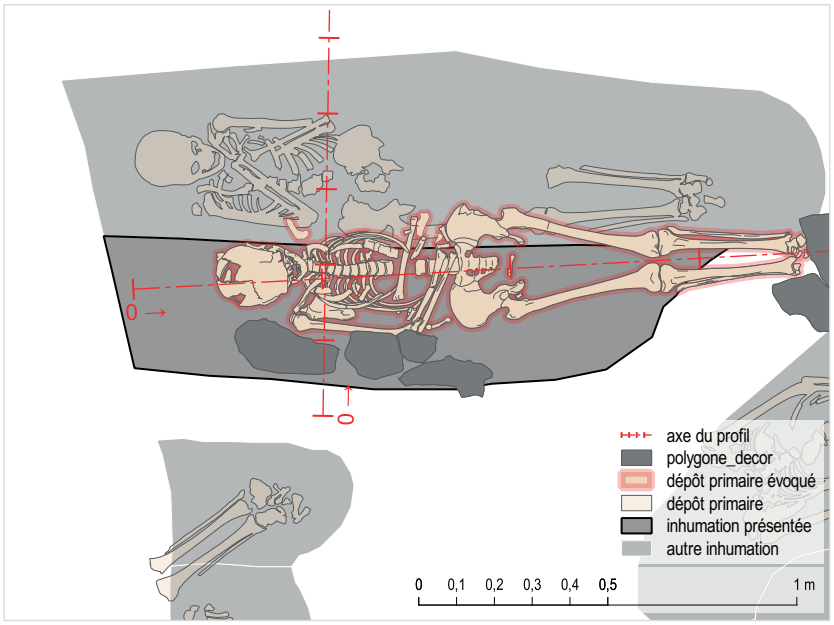

orientation

87 °

pratique funéraire

sans contenant

position

membres supérieurs

sexe

féminin

âge

adulte

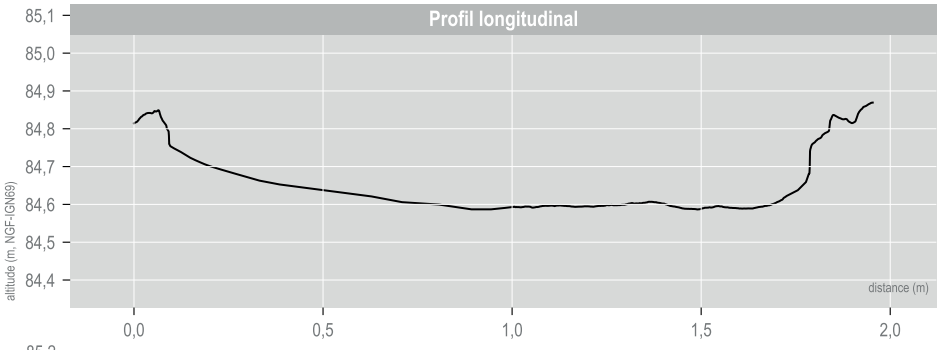

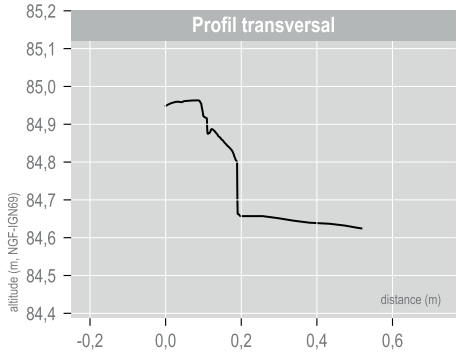

Vue générale de l'inhumation 906

vue générale de l'inhumation 906
C. Le Forestier, Inrap

Description de l'inhumation

Le sujet inhumé repose dans une large fosse oblongue, orientée nord-ouest- sud-est, perturbée dans son bord nord-ouest et au niveau de la ceinture huméro-scapulaire gauche du squelette par le creusement de la sépulture 905. Son pourtour, constitué de blocs de pierre, s'affaissant vers l'intérieur de la fosse et le replat conservé sur le bord sud la caractérisent comme une fosse à banquette. L'individu a été déposé en décubitus dorsal, les avant-bras sont fléchis à 90°à gauche et 135° à droite, sur l'abdomen, les membres inférieurs sont alignés, serrés aux genoux, convergeant aux chevilles et les pieds sont en hyper extension.
Le calvarium apparaît en vue supérieure, le frontal a chuté verticalement, dans la mandibule, restée dans sa position initiale, en vue antéro-supérieure. Les rachis cervical et thoracique sont d'un seul tenant mais le rachis lombaire est fortement perturbé. Les volumes thoracique et pelvien ne sont pas conservés.Le sternum a migré fortement sur les dernières côtes gauches. La compression observable au niveau de l'épaule droite est forte : verticalisation de la clavicule, rotation interne de l'humérus et scapula à l'oblique. L'ulna et le radius sont en connexion lâche, mais le radius est brisé. L'ulna et le radius gauches sont déconnectés. Les os carpiens et des mains sont dispersés entre les côtes jusqu'aux coxaux. Les connexions sacro-pelviennes et coxo-fémorales sont maintenues. Elles sont quasi strictes pour l'articulation fémoro-tibio-fibulaire, à droite comme à gauche, et pour les articulations tibio-fibulo-tarsiennes, les os reposant en vue antérieure. Les connexions tarsiennes sont bien préservées, les os en vue antérieure, joints.
Le maintien de la plupart des connexions, l'absence de migration en dehors du volume corporel impliquent un colmatage rapide. Les migrations observées au niveau des mains et des avant-bras, celle du sternum, la dislocation du rachis lombaire s'expliquent par des espaces vides secondaires, générés par la forte compression des épaules et du thorax. Ils valident la présence d'une enveloppe souple, très contraignante, tant au niveau du crâne, maintenu verticalement, que des pieds, empêchant toute rotation de la poulie talienne.
Le squelette est celui d'un adulte, de sexe féminin.
Le frontal offre en vue endogène un aspect porotique, caractérisé par de petites cavités de forme circulaire, irrégulières, à bord lisse et intérieur fibreux. Les vertèbres se caractérisent par des plateaux vertébraux très vascularisés. La patella gauche présente, elle, une ostéophyte.

Phase : 3 ^{14}C [1046 978

Inhumation 907 - MAS8316

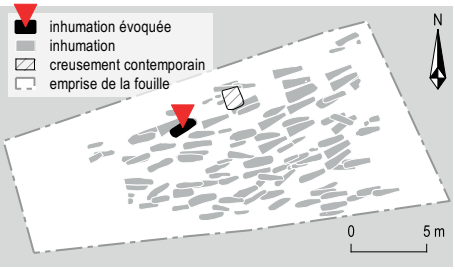

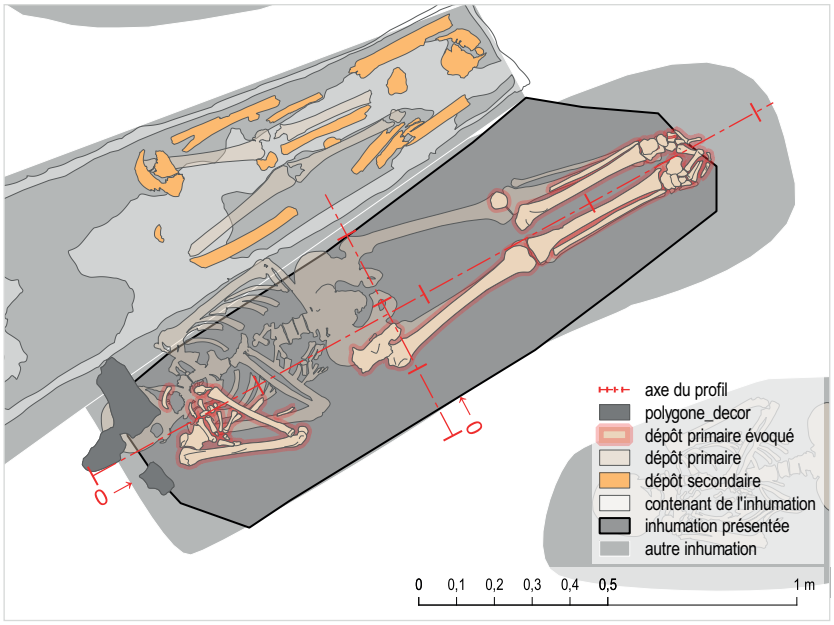

orientation

61 °

pratique funéraire

position

décubitus dorsal

membres supérieurs

45/1

sexe

indéterminé

âge

adulte

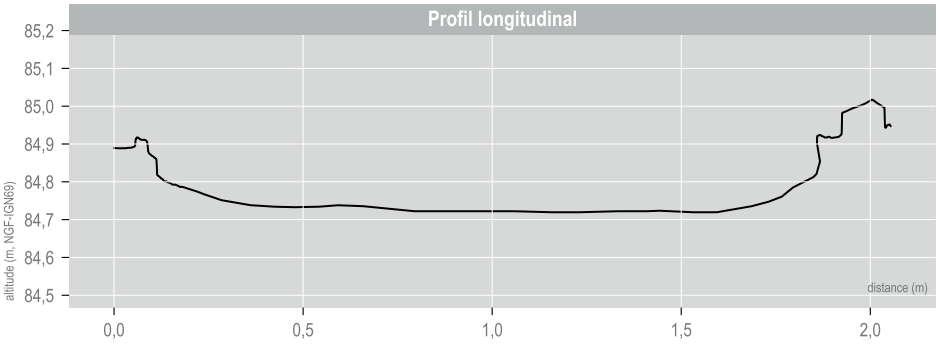

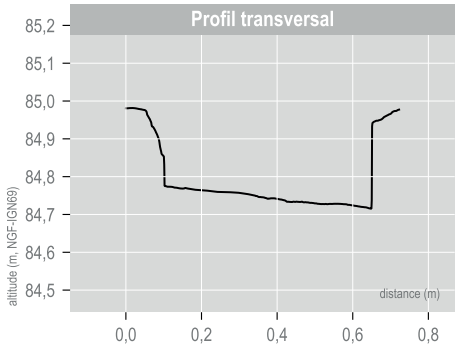

Vue générale de l'inhumation 907

vue générale de l'inhumation 907
C. Le Forestier, Inrap

Description de l'inhumation

Le sujet inhumé repose dans une fosse assez large, orientée est-ouest, bordée de blocs de pierre , reposant sur un replat, constituant une fosse à banquette. Cette sépulture est située contre le sarcophage de plâtre 920 et immédiatement sous une autre sépulture, la sépulture 875, qui l'a partiellement recoupée dans son comblement et au niveau du squelette de l'individu inhumé. Le crâne et une partie du squelette appendiculaire gauche sont absents.Le sujet a été déposé en décubitus dorsal, l'avant-bras droit est replié à 45°, les membres inférieurs alignés, parallèles, non joints aux chevilles, les pieds convergents, en hyperflexion.
La connexion huméro-scapulaire droite est stricte; l'humérus est en vue antérieure, le radius a migré latéralement mais reste au contact de l'humérus. Les os carpiens, de nombreux métacarpes et phalanges sont restés groupés, dans la continuité anatomique entre l'humérus et le radius. Les connexions coxo-fémorale et fémoro-tibiale sont maintenues, les os reposant en vue antérieure. Le tibia gauche se présente en vue antéro-médiale. La patella gauche a migré latéralement. Les connexions aux chevilles – tibio-fibulo-tarsiennes sont strictement conservées , y compris pour les métatarses à droite, en vue antéro-médiale. A gauche, en l'absence de rotation du talus, les os du tarse et les métatarses se sont effondrés en fagot.
La préservation de toutes les connexions observables à droite, notamment celles des os du pied et l'absence de migration en dehors du volume corporel sont compatibles avec l'hypothèse d'un colmatage rapide. La position caractéristique des pieds témoignent d'une compression forte, qui suggère la présence d'une enveloppe souple.
Le squelette est celui d'un adulte, de sexe indéterminé.

Photographie de détail

vue rapprochée de l'inhumation 907
C. Le Forestier, Inrap

Phase : 3 ^{14}C [1030 897]

Inhumation 908 - MAS8262

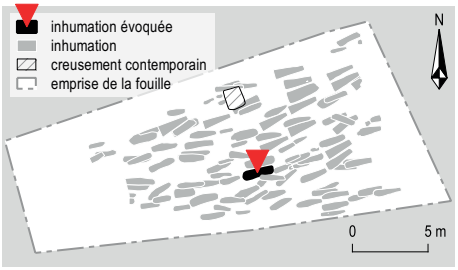

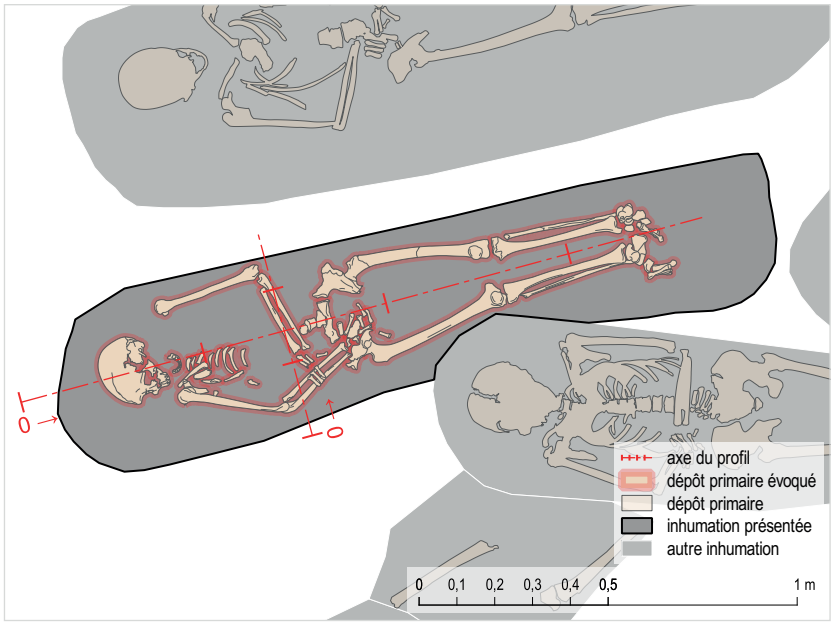

orientation

75 °

pratique funéraire

sans contenant

position

décubitus dorsal

membres supérieurs

135/90

sexe

indéterminé

âge

adulte

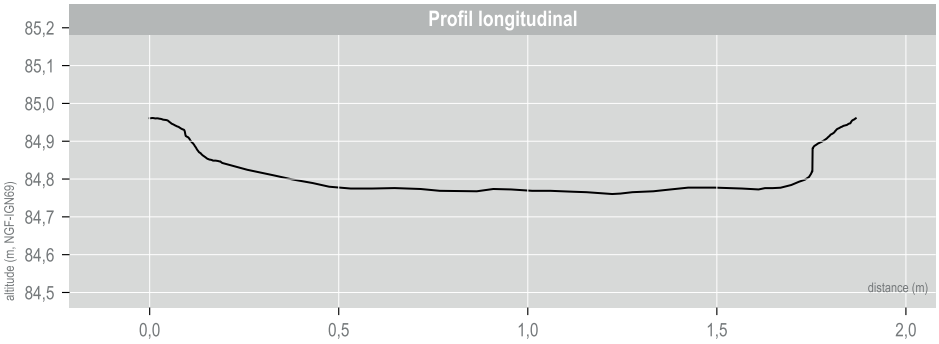

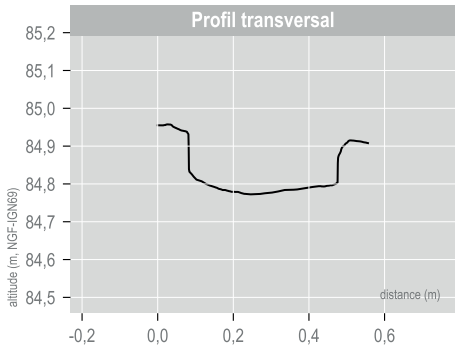

Vue générale de l'inhumation 908

vue générale de l'inhumation 908
C. Le Forestier, Inrap

Description de l'inhumation

Le sujet a été inhumé dans une fosse oblongue, orientée est-ouest, dont le comblement a été partiellement recoupé par la sépulture 861. Il repose en décubitus dorsal, tête à l'ouest, les avant-bras repliés, à 135° à droite, sur le pubis, et à 90° à gauche, la main posée sur le bras droit. Les membres inférieurs sont alignés, parallèles, les pieds non joints, le droit en hyperflexion, le gauche en hyper extension.
Le crâne est déconnecté. Le calvarium apparaît en vue latérale gauche, la mandibule en vue supérieure. Le gril costal et le rachis vertébral sont très peu conservés. Les coxaux sont ouverts. Seule, la ceinture huméro-scapulaire droite est préservée, la clavicule verticalisée, l'humérus en vue antérieure, la scapula à l'oblique. Les connexions sont plus lâches au niveau du coude mais sont maintenues; l'humérus gauche est déconnecté et a subi une rotation latérale, les connexions au coude sont rompues. Par contre, les os du carpe, les métacarpes et phalanges restent dans le prolongement anatomique des avant-bras. Des phalanges gauches sont en équilibre sur l'ulna et le radius droits. Le squelette inférieur bénéficie d'un maintien quasi strict de toutes les connexions aux coxaux, aux genoux et aux chevilles. Les os reposent en vue antérieure, les patellas sont en place. Les os du pied droit reposent en vue médiale et en hyperflexion; ceux du pied gauche, restés en élévation, ont chuté.
L'importance des connexions préservées, y compris des connexions labiles, l'absence de migration en dehors du volume corporel, le maintien en place des patellas et des phalanges, restées en équilibre, plaident en faveur d'un colmatage rapide. Les perturbations observées au niveau du squelette supérieur ne peuvent s'expliquer que par une intervention extérieure.
Le squelette est celui d'un adulte, de sexe indéterminé.

Photographie de détail

vue rapprochée de l'inhumation 908
C. Le Forestier, Inrap

Phase : 2

Inhumation 909 - MAS8260

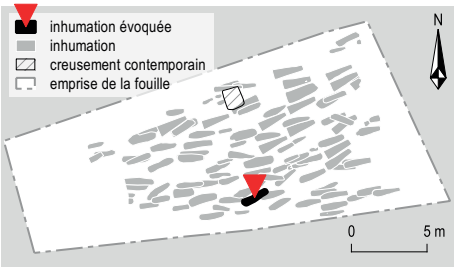

orientation

60 °

pratique funéraire

sans contenant

position

décubitus dorsal

membres supérieurs

180/135

sexe

indéterminé

âge

adulte

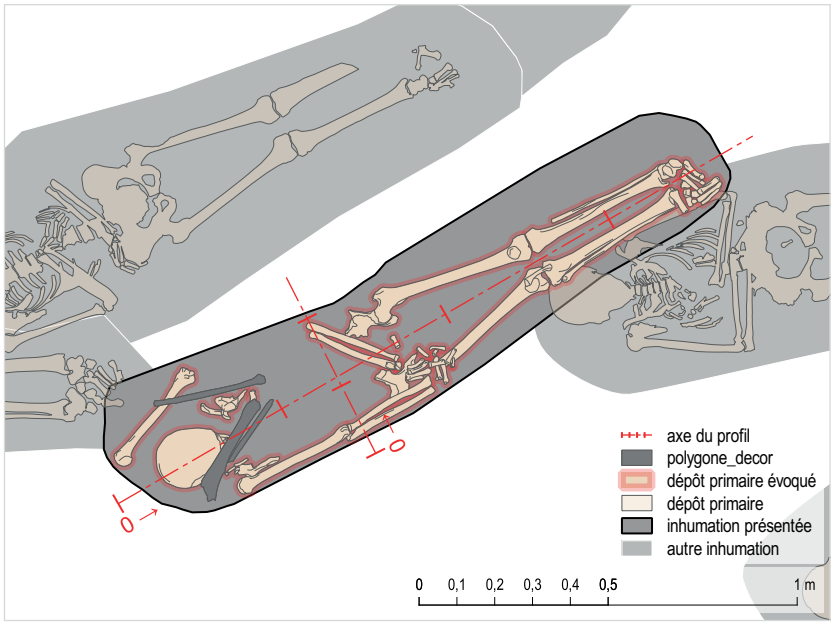

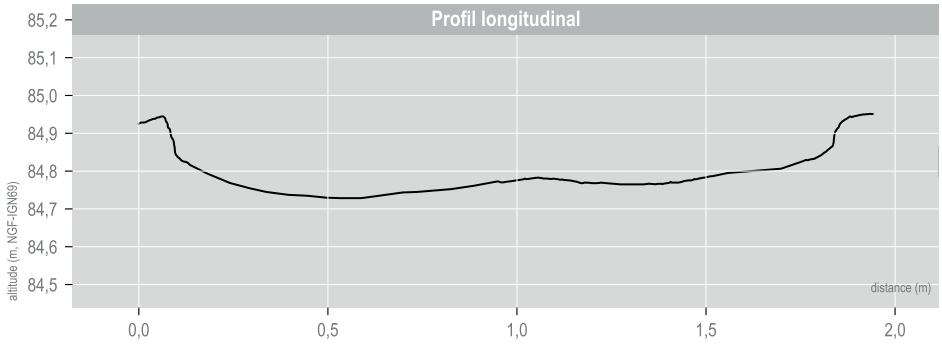

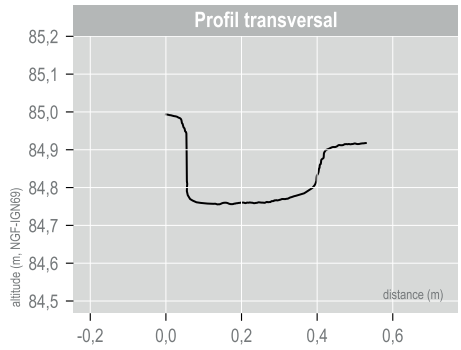

Vue générale de l'inhumation 909

vue générale de l'inhumation 909
C. Le Forestier, Inrap

Description de l'inhumation

Le sujet a été inhumé dans une fosse oblongue, étroite, orientée est-ouest. La sépulture a subi une perturbation dans sa partie supérieure, l'humérus ayant été fortement déplacé. Le comblement supérieur de la sépulture contient des os déconnectés , situés de part et d'autre du crâne. Le défunt a été déposé en décubitus dorsal, le bras droit le long du corps, l'avant-bras gauche fléchi à 135°, les mains se rejoignant sur la hanche droite. Les membres inférieurs sont alignés, resserrés aux genoux, les chevilles jointes, le pied droit en extension, le gauche convergeant vers le droit.
Les connexions crâniales sont maintenues, le calvarium et la mandibule apparaissant en vue supérieure. Le volume thoracique et le rachis vertébral ne sont pas conservés. Les coxaux sont ouverts. La ceinture huméro-scapulaire gauche est bouleversée; humérus gauche, en position aberrante,a migré à hauteur du crâne, la clavicule est verticalisée, la scapula est éversée, en vue postéro-latérale. A droite, la connexion huméro-scapulaire est strictement maintenue, l'humérus en vue antéro-latérale et la scapula à l'oblique. La clavicule, déconnectée, est verticalisée. Les connexions au coude sont strictes à droite, l'ulna et le radius gauche en position anatomique. Les connexions aux poignets sont rompues, les os de la main droite sont dispersés caudalement; les métacarpes gauches une première phalange sont restées groupés, en vue dorsale, sur le coxal et le fémur.Les connexions du squelette inférieur sont toutes strictement conservées, les os longs en position antérieure, les patellas en place. Les os tarsiens apparaissent en vue antéro-médiale, les métatarses en vue antérieure à droite,en connexion quasi stricte à droite et en vue latérale, déconnectés, à gauche. Un métatarse I a migré crânialement, sur le talus droit, un autre se trouve en équilibre sur la patella droite.
En dehors du thorax et de la ceinture scapulaire gauche, fortement perturbés, la quasi totalité des connexions sont maintenues, les migrations sont restées à l'intérieur du volume corporel; les patellas sont en place. et certains os sont restés en équilibre, validant l'hypothèse d'un colmatage rapide. Les compression aux épaules, aux genoux et aux pieds témoignent de la présence d'une enveloppe souple et de l'exigüité de la fosse d'inhumation.
Le squelette est celui d'un adulte, de sexe indéterminé.
Les deux calcaneus, particulièrement le droit, témoignent de lésions arthrosiques, sous la forme d'ostéophytes, sur leur face plantaire.

Pathologies

I. 909 : enthèse sur les faces psotérieures des calcanéums

Phase : 2

Inhumation 910 - MAS8265

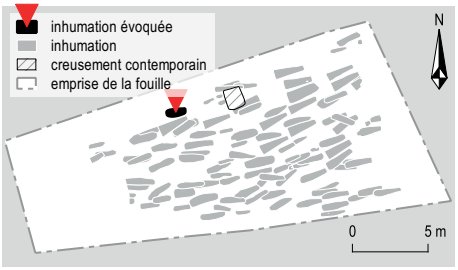

orientation

81 °

pratique funéraire

sans contenant

position

décubitus dorsal

membres supérieurs

1/180

sexe

trop jeune pour détermination

âge

5 à 9 ans

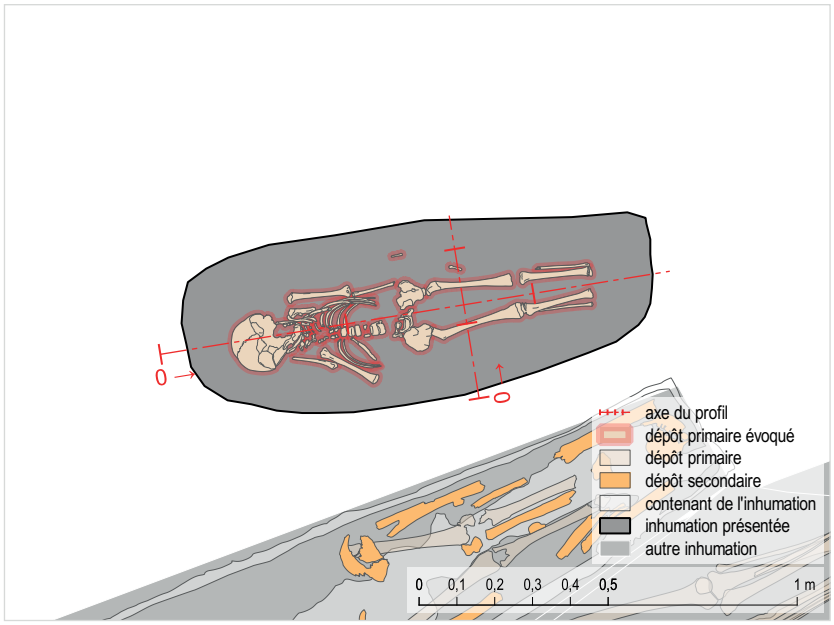

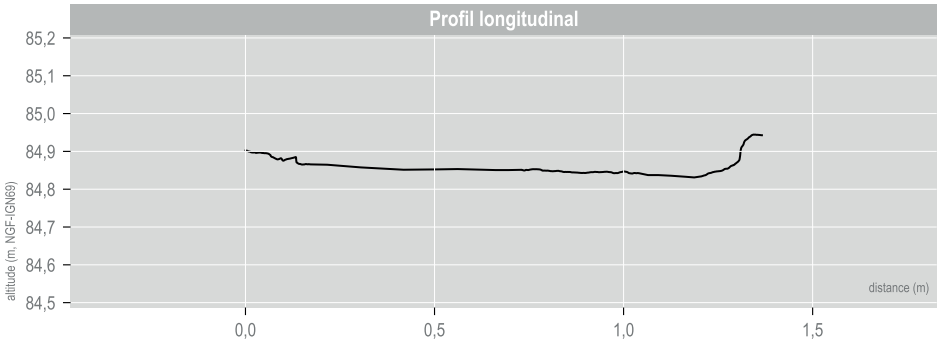

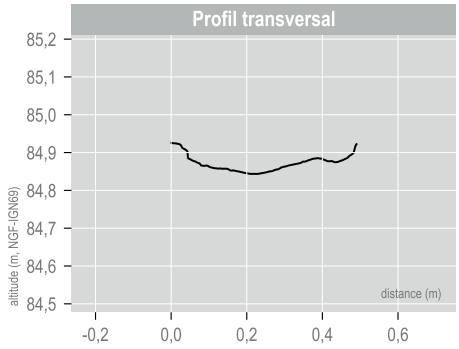

Vue générale de l'inhumation 910

vue générale de l'inhumation 910
C. Le Forestier, Inrap

Description de l'inhumation

Le sujet inhumé repose dans une fosse oblongue, orientée est-ouest. Il a été déposé en décubitus dorsal, la tête à l'ouest, le bras gauche le long du corps, les membres inférieurs alignés, parallèlement. Les os du membre supérieur droit sont bouleversés; l'ulna gauche et une côte situés au niveau du tibia droit témoignant d'une perturbation extérieure inexpliquée.
Le calvarium a basculé. La mandibule et le maxillaire apparaissent en vue antérieure, maintenus dans leur position initiale. Le rachis vertébral est très segmenté, le gril costal et les coxaux sont ouverts. La connexion claviculo-scapulaire gauche est maintenue, la clavicule est verticalisée, la scapula à l'oblique. L'humérus, en vue antérieure, a migré latéralement. La connexion au coude est lâche. Le radius se situe dans le prolongement immédiat de l'humérus. Les fémurs sont déconnectés des coxaux, qui apparaissent en vue antérieure. Le tibia et la fibula gauche ont migré caudalement. Seule, la connexion tibio-fémorale est maintenue à droite. La fibula a migré latéralement. Un métatarse se situe latéralement au niveau de la diaphyse fémorale.
S'agissant d'un immature, l'essentiel des os sont maintenus dans la cohérence anatomique. Cependant, les nombreuses déconnexions, les migrations caudales et latérales observées, impliquent soit une décomposition en espace vide soit une perturbation exogène, après le dépôt du corps. La présence d'un coffrage en matériau périssable est par ailleurs suggérée par l'alignement strict du squelette à gauche.
Le squelette est celui d'un immature, dont l'âge au décès se situe entre 5 et 9 ans (IM3).

Photographie de détail

vue rapprochée de l'inhumation 910
C. Le Forestier, Inrap

Phase : 3

Inhumation 911 - MAS8269

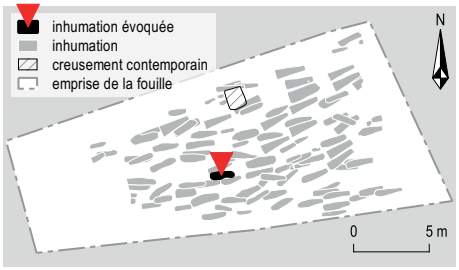

orientation

85 °

pratique funéraire

sans contenant

position

décubitus dorsal

membres supérieurs

180/180

sexe

trop jeune pour détermination

âge

5 à 9 ans

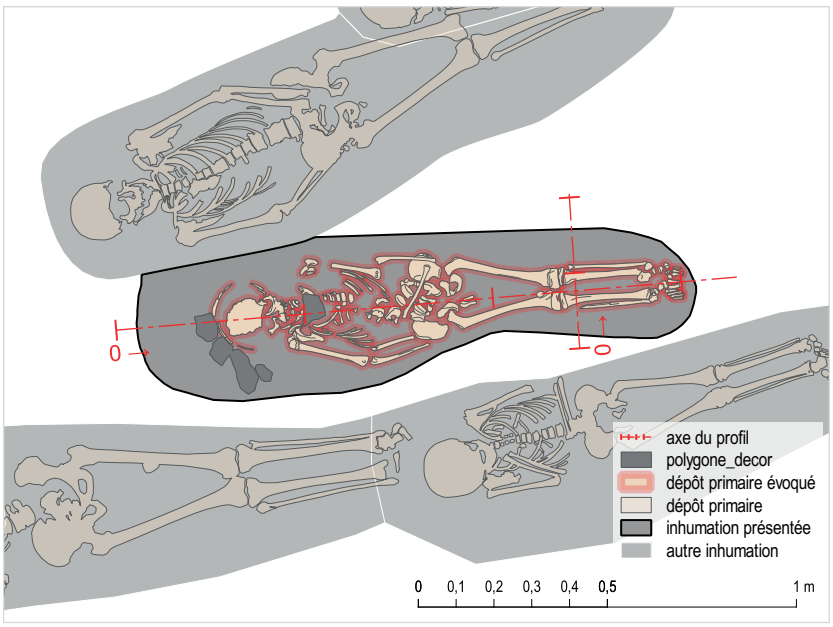

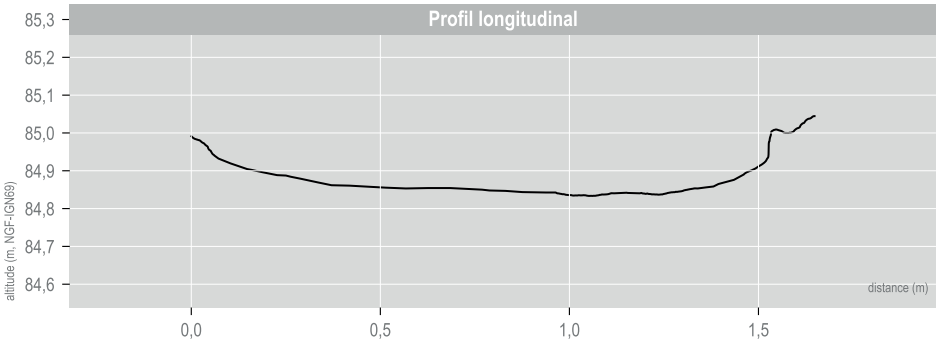

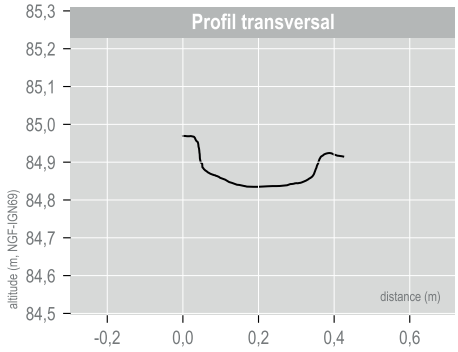

Vue générale de l'inhumation 911

vue générale de l'inhumation 911
C. Le Forestier, Inrap

Description de l'inhumation

Le sujet a été déposé dans une fosse oblongue, orientée est-ouest. Il repose en décubitus dorsal, la tête à l'ouest, légèrement surélevée par des pierres, les membres supérieurs alignés, les membres inférieurs alignés, serrés aux genoux et se rejoignant aux pieds, en extension.
Le calvarium apparaît en vue antérieure. La mandibule a migré crânialement et se trouve posée contre une pierre de calage, au niveau des premières thoraciques.Les volumes ne sont pas conservés: le gril costal est à plat, le rachis vertébral est bouleversé à hauteur du rachis lombaire et les coxaux sont à plat. Au niveau du squelette supérieur, seule les connexions de la ceinture scapulaire droite sont maintenues: la clavicule est verticalisée, la scapula à l'horizontale et l'humérus en vue antérieure.
L'humérus gauche, en vue antéro-latérale, a migré caudalement. Les os des avant-bras sont déconnectés. Le radius droit a migré médialement, le gauche a chuté sur les lombaires. Des métacarpes ont migré entre les coxaux. Les connexions des os du squelette inférieur sont au contraire quasi strictes – coxo-fémorales et fémoro-tibiales – les os apparaissent en vue antérieure, la patella droite en équilibre sur l'épicondyle fémoral médial ; les connexions aux chevilles sont partiellement préservées à droite, mais quasi strictes à gauche; les palettes métatarsiennes sont intactes.
Le maintien en connexion stricte des connexions des membres inférieurs, notamment de connexions labiles, le maintien en équilibre de la patella et l'absence de migration en dehors du volume corporel évoquent un colmatage rapide. D'autre part, la compression aux épaules, observable à droite,celle des genoux et des pieds légitiment l'hypothèse d'un enveloppe souple. Le bouleversement du rachis, les migrations importantes – de la mandibule, des avant-bras, de l'humérus gauche – pourraient donc résulter d'un pillage.
Le squelette est celui d'un immature, dont l'âge au décès se situe entre 5 et 9 ans (IM3).

Photographie de détail

vue rapprochée de l'inhumation 911
C. Le Forestier, Inrap

Phase : 3

Inhumation 913 - MAS8279

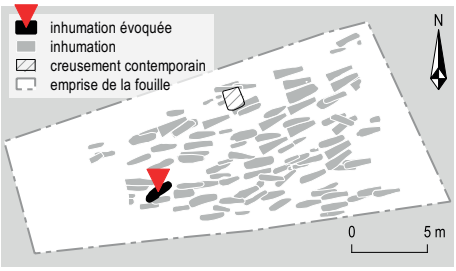

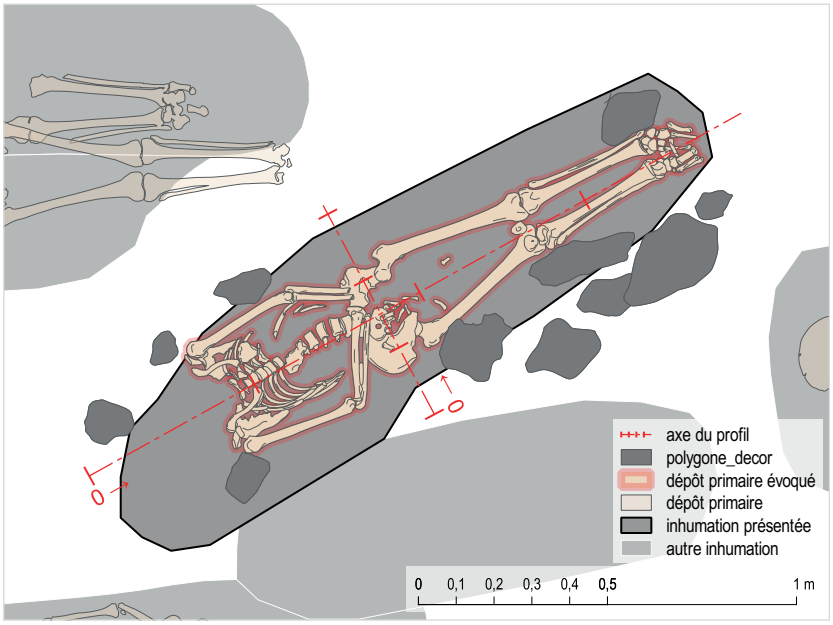

orientation

61 °

pratique funéraire

fosse à banquette

position

décubitus dorsal

membres supérieurs

135/135

sexe

indéterminé

âge

adulte

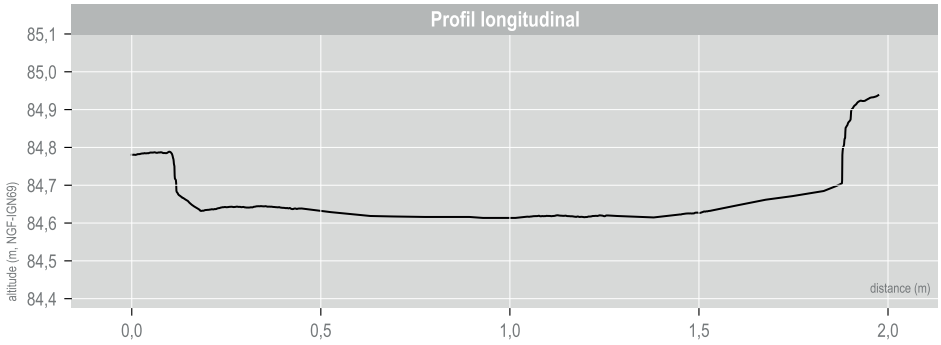

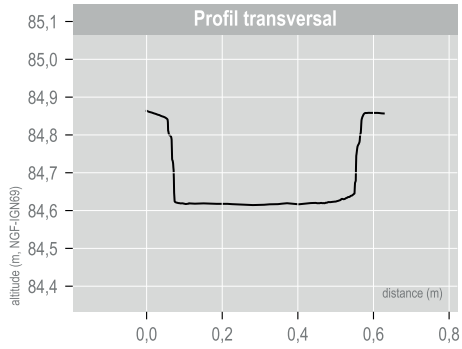

Vue générale de l'inhumation 913

vue générale de l'inhumation 913
C. Le Forestier, Inrap

Description de l'inhumation

Le sujet inhumé repose dans une fosse assez large, orientée est-ouest, de forme oblongue, comprenant de nombreux blocs de pierre, en surplomb ou de chant contre les parois, caractéristique d'une fosse à banquette. Il repose en décubitus dorsal, la tête à l'ouest. Les avant-bras fléchis à 135°, se rejoignant sur l'abdomen, les membres inférieurs alignés, genoux serrés, chevilles et pieds joints, le pied droit en hyper extension a droite, le gauche en hyperflexion.
Le crâne apparaît en vue antéro-supérieure, la mandibule en connexion lâche. Le rachis vertébral est sinuzoïdal, fortement segmenté, le manubrium a chuté latéralement sur les côtes gauches, le sternum est resté en équilibre sur les vertèbres. Les volumes thoracique et pelvien ne sont pas conservés, le gril costal est à plat, les coxaux sont ouverts. Les clavicules sont à la verticale, les scapulas à l'oblique et les humérus en vue antéro-latérale. Toutes les connexions sont strictes, aux épaules et aux coudes. Les connexions aux poignets sont rompues, les os carpiens et des mains ont chuté à l'intérieur du volume pelvien mais restent regroupés. Les os des membres inférieurs sont maintenus en connexion stricte, les fémurs, tibias et fibulas en vue antérieure; la patella droite en place, la gauche, affaissée entre les deux fémurs. Les connexions tarsiennes et métatarsiennes sont préservées au pied droit, les os apparaissant en vue antérieure. Les os tarsiens gauche, en connexion, apparaissent en vue antéro-latérale, les métacarpes chutant vers le pied droit.
Le maintien quasi strict des connexions, l'absence de migration en dehors du volume corporel, le maintien de la patella en place correspondent à un colmatage rapide. La forte compression du crâne, des épaules et du thorax, des genoux et des pieds, l'absence de bascule du talus droit accréditent la présence d'une enveloppe souple.
Le squelette est celui d'un adulte, de sexe indéterminé.
De nombreuses atteintes dégénératives affectent le squelette inférieur sous forme d'arthrose du rachis lombaire (III, IV et V) et d'exostoses, en bec de perroquet, sur le bord supérieur gauche de la lombaire V, sur la crête de la surface préauriculaire du coxal droit et sur le bord latéral droit du sacrum correspondant, pouvant mettre en cause à termel 'articulation sacro-pelvienne.
Les calcaneus présentent des ostéophytes ascendantes sur leur face postérieure et les métatarses I des surfaces d'éburnation et des exostoses débordantes sur leur extrémité distale.

Phase : 3

Inhumation 914 - MAS8302

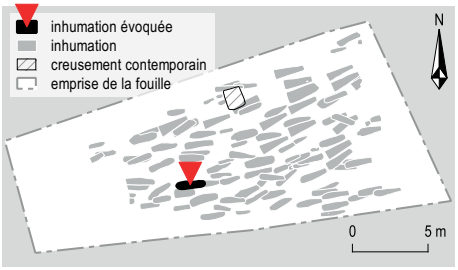

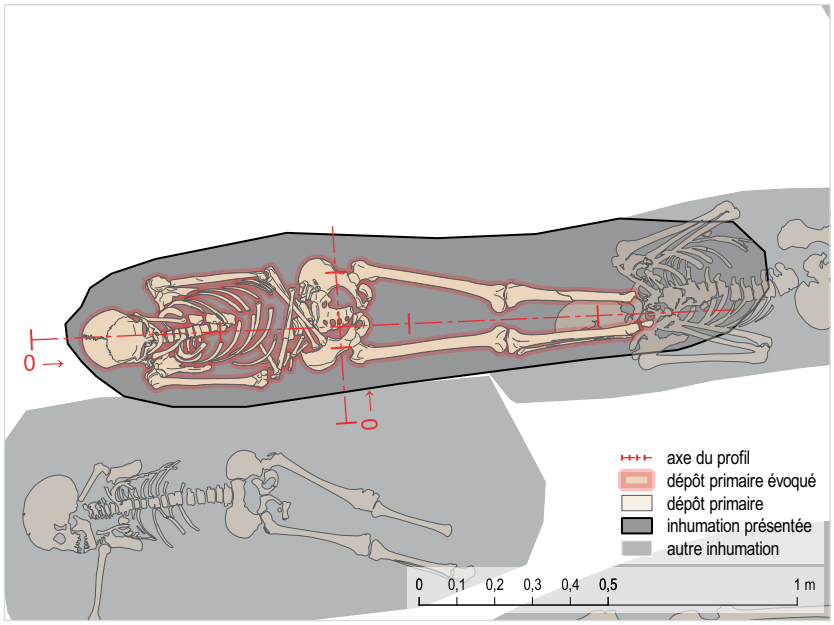

orientation

88 °

pratique funéraire

sans contenant

position

décubitus dorsal

membres supérieurs

90/135

sexe

féminin

âge

adulte

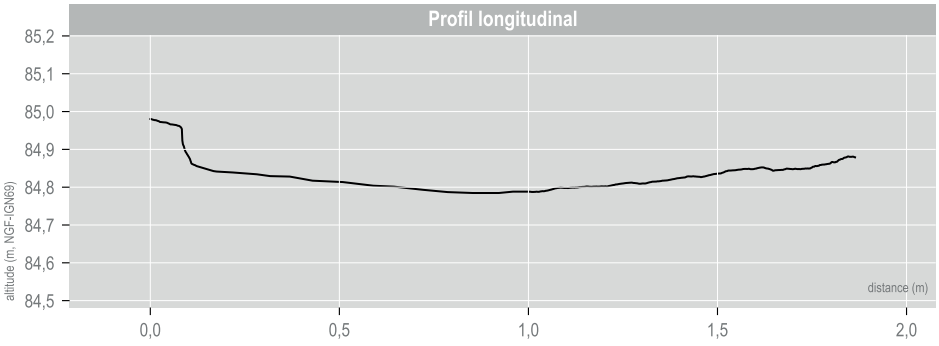

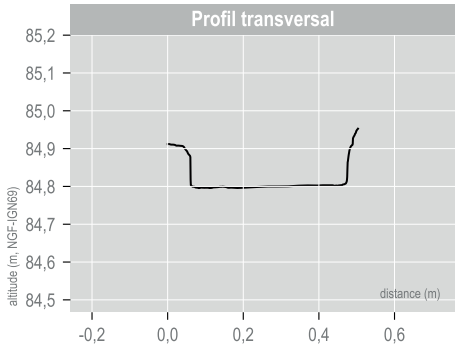

Vue générale de l'inhumation 914

vue générale de l'inhumation 914
C. Le Forestier, Inrap

Description de l'inhumation

Le sujet inhumé a été déposé dans une fosse oblongue, orientée est-ouest, en décubitus dorsal, la tête à l'ouest, surélevée, les avant-bras repliés à 90° à droite et 135° à gauche, sur l'abdomen; les membres inférieurs sont alignés et parallèles.
Le crâne apparaît en vue antéro-supérieure et la mandibule est en connexion. Le rachis vertébral est d'un seul tenant, le gril costal est à plat, le volume pelvien partiellement conservé.Le sternum est resté en équilibre sur les vertèbres. Les clavicules sont très verticalisées, la gauche est déconnectée. Les scapulas sont à l'oblique, les humérus en rotation interne, les connexions sont conservées. Les connexions au coude gauche sont lâches. Les ulnas et radius droits sont déconnectés et ont migré médialement. Les os tarsiens et les métacarpes sont dispersés, les droits regroupés sur le coxal gauche, les gauches épars entre le coxal droit et les lombaires. Les connexions de la ceinture pelvienne - sacro-pelviennes et coxo-fémorales- sont bien maintenues, bilatéralement. Les fémurs et les tibias reposent en vue antéro-médiale. La connexion fibulo-tibila droite est préservée.
La persistance de la plupart des connexions, la bonne conservation du volume pelvien et l'absence de migration en dehors du volume corporel plaident en faveur d'un colmatage rapide. D'autre part, la position maintenue du crâne, la forte compression aux épaules suggèrent la présence d'une enveloppe souple.
Le squelette est celui d'un adulte, de sexe féminin.
Il présente de nombreuses lésions arthrosiques localisées sur l'aile iliaque droite, sous forme d'exostoses, sur les vertèbres cervicales III à V, la lombaire V et le sacrum I, et d'ostéophytes sur la patella droite. Des appositions périostées sont observables sur la diaphyse tibiale droite et on note une forte vascularisation des têtes fémorales et humérales.

Photographie de détail

vue rapprochée de l'inhumation 914
C. Le Forestier, Inrap

Phase : 3

Inhumation 915 - MAS8271

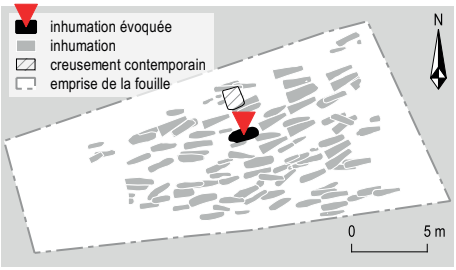

orientation

75 °

pratique funéraire

fosse à banquette

position

décubitus dorsal

membres supérieurs

90/90

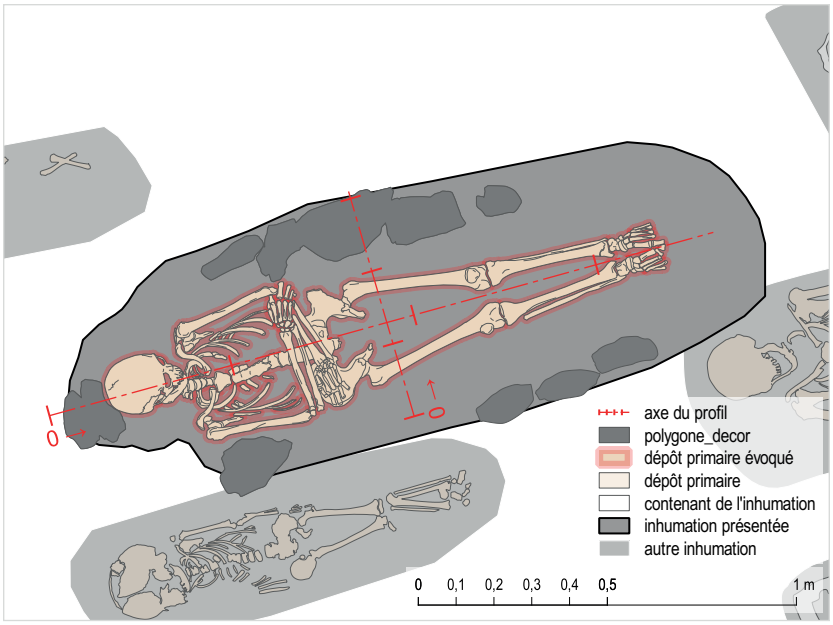

sexe

indéterminé

âge

adulte

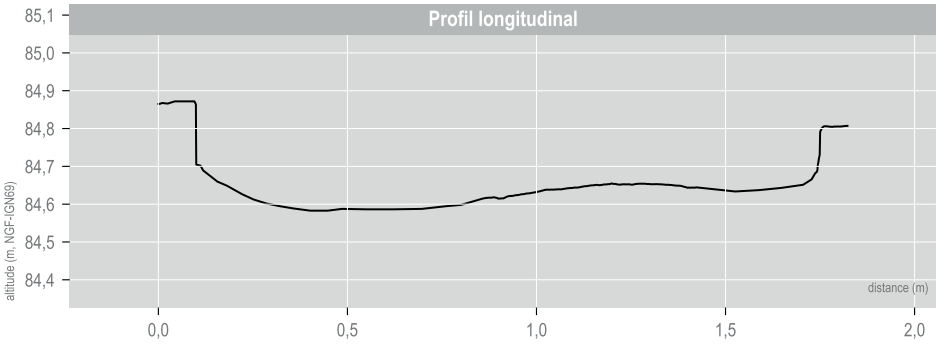

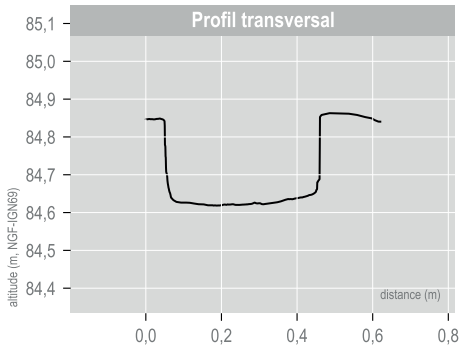

Vue générale de l'inhumation 915

vue générale de l'inhumation 915
C. Le Forestier, Inrap

Description de l'inhumation

Le sujet a été déposé dans une fosse oblongue, orientée est-ouest, dont le pourtour est constitué d'alignements de pierres caractéristique d'une fosse à banquette et d'une logette céphalique. Le sujet repose en décubitus dorsal, la tête à l'ouest, calée et légèrement surélevée, les avant-bras sont croisés, à 90°, le droit par dessus le gauche, la main droite sur le coude gauche, la main gauche sur le flanc droit. Les membres inférieurs sont alignés, non joints, convergeant aux pieds, en hyper extension.
Le crâne apparaît en vue antéro-supérieure, les connexions calva-mandibulaires étant strictement maintenues. Le rachis vertébral est d'un seul tenant, le sternum et le manubrium en équilibre sur les premières thoraciques. Le gril costal est à plat, les coxaux sont en position intermédiaire. Toutes les connexions des membres supérieurs sont strictement conservées bilatéralement: les clavicules et les scapulas à l'oblique, les humérus en rotation interne ; les radius et l'ulna en vue postérieure ; les os carpiens, les palettes métacarpiennes et la plupart des phalanges proximales, en vue antérieure et en connexion stricte. Il en est de même pour les connexions des membres inférieurs. Les fémurs, en connexion avec les coxaux et les tibias, reposent en vue antérieure, les patellas en équilibre. Les tibias se présentent en vue antéro-médiale. Les connexions tibio-fibulo-tarsiennes et des tarses aux métatarses sont strictement maintenues, les tarses n'ayant pas basculé latéralement, les os apparaissent en vue dorsale.
La plupart des connexions étant strictement conservées, y compris des connexions labiles, l'absence de toute migration des os en dehors du volume corporel, le maintien en équilibre des patellas et du sternum valident l'hypothèse d'un colmatage rapide. Le maintien du crâne, la compression aux épaules et la contrainte au niveau des pieds attestent la présence d'une enveloppe souple.
Le squelette est celui d'un adulte, de sexe indéterminé.

Photographie de détail

vue rapprochée de l'inhumation 915
C. Le Forestier, Inrap

Phase : 3

Inhumation 916 - MAS8285

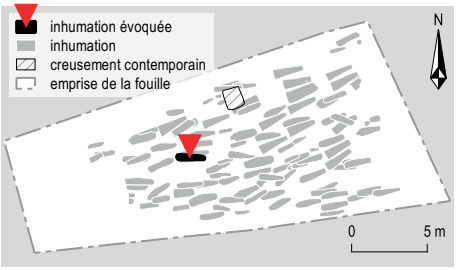

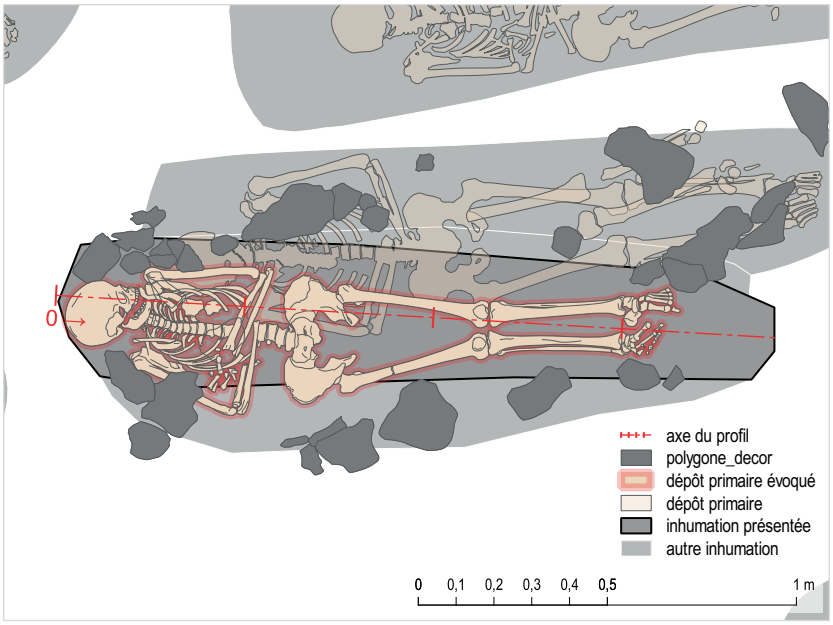

orientation

93 °

pratique funéraire

fosse à banquette

position

décubitus dorsal

membres supérieurs

90/90

sexe

féminin

âge

adulte

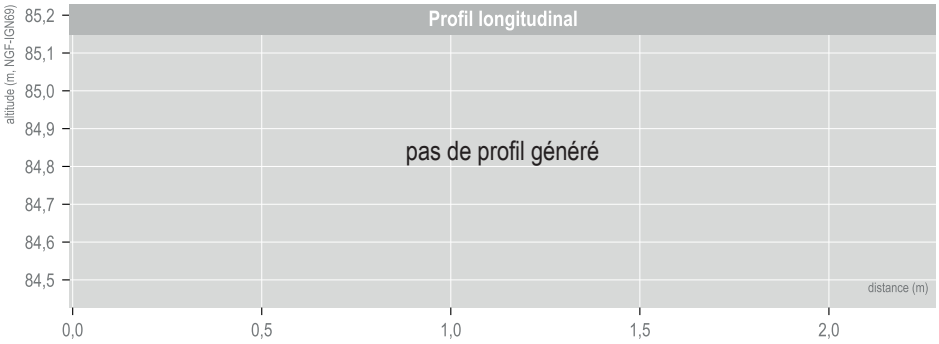

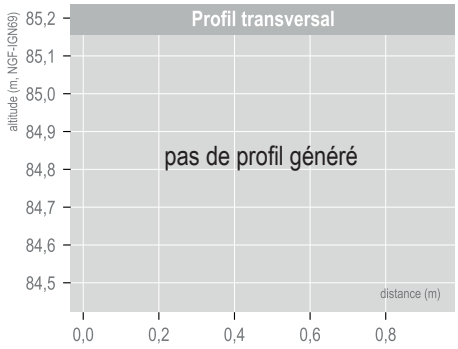

Vue générale de l'inhumation 916

vue générale de l'inhumation 916
C. Le Forestier, Inrap

Description de l'inhumation

Le sujet a été inhumé dans une large fosse au pourtour empierré, l'apparentant à une fosse à banquette, orientée est-ouest et comprenant une logette céphalique. Il repose en décubitus dorsal, la tête à l'ouest, surélevée et calée par des blocs de pierre, les avant-bras fléchis, croisés sur le thorax, les membres inférieurs alignés, parallèles, joints aux genoux, les pieds parallèles, en hyperflexion pour le droit et en hyper extension pour le gauche.
Le calvarium et la mandibule apparaîssent en vue antéro-supérieure latérale droite, en connexion lâche. Le rachis est d'un seul tenant, en vue antérieure, le manubrium a chuté caudalement parmi les côtes gauches. Les volumes thoracique et pelvien sont partiellement conservés. Les clavicules, très verticalisées, ont migré caudalement. Les connexions huméro-scapulaires sont strictes, les scapulas en vue oblique et les humérus en rotation interne. Les connexions aux coudes sont lâches à droite, déconnectées à gauche, l'ulna ayant migré caudalement. Les os carpiens et des mains gauches sont déconnectés, dans le prolongement des os des avant-bras. Toutes les connexions de la ceinture pelvienne et celles des membres inférieurs sont en connexion stricte, les os longs en vue antérieure, les patellas sont en place. Les connexions tarsiennes et métatarsiennes,y compris de quelques phalanges proximales le sont aussi.
La grande majorité des connexions étant préservée, y compris des connexions labiles, et en l'absence de toute migration en dehors du volume corporel, on peut conclure à un colmatage rapide. La forte compression des épaules, la contrainte au niveau des genoux, l'absence de bascule du talus droit impliquent la présence d'une enveloppe souple.
Le squelette est celui d'un adulte, de sexe féminin.

Photographie de détail

vue rapprochée de l'inhumation 916
C. Le Forestier, Inrap

Phase : 3

Inhumation 917 - MAS8287

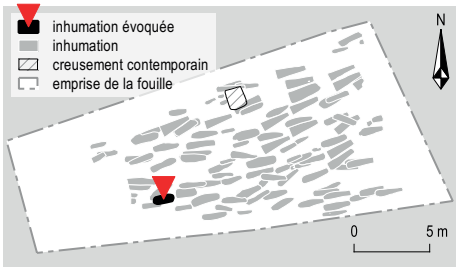

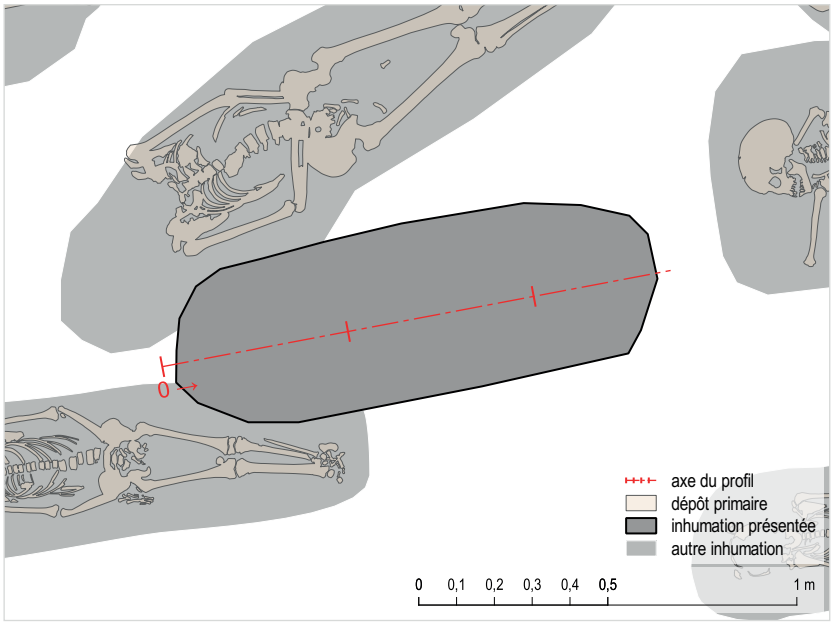

orientation

79 °

pratique funéraire

sans contenant

position

décubitus dorsal

membres supérieurs

90/90

sexe

trop jeune pour détermination

âge

10 à 14 ans

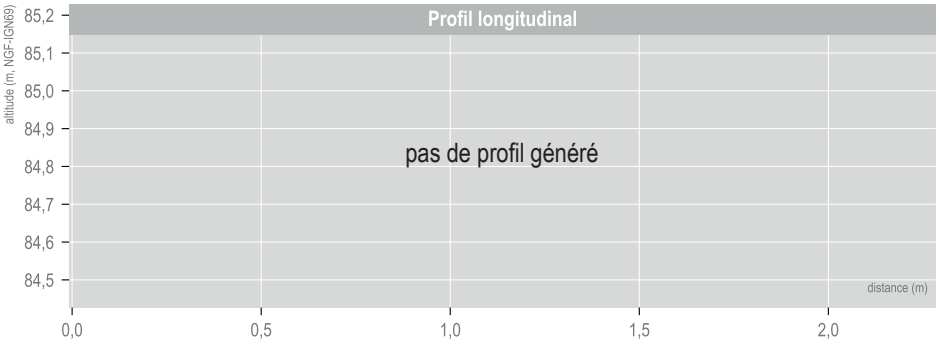

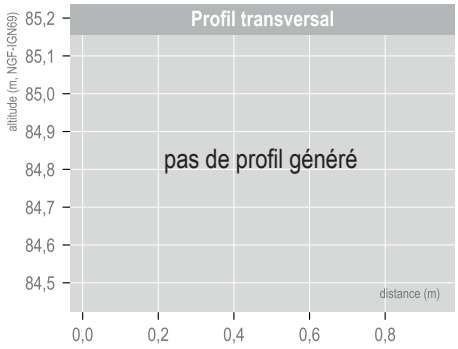

Vue générale de l'inhumation 917

vue générale de l'inhumation 917
C. Le Forestier, Inrap

Description de l'inhumation

Le sujet a été inhumé dans une fosse oblongue, orientée est-ouest, dont le comblement a été légèrement recoupée par le creusement de la sépulture 913. Elle présente un calage céphalique, constitué d'au moins trois blocs de pierres. Le sujet repose en décubitus dorsal, tête à l'ouest, surélevée, les avants-bras repliés à 90°, le droit en appui sur des pierres, les membres inférieurs alignés, parallèles, les pieds non joints et ouverts, en hyperflexion.
Le calvarium et la mandibule, en connexion stricte, apparaissent en vue supérieure, reposant sur les cervicales. Le rachis vertébral est d'un seul tenant, le manubrium encore sur les vertèbres, ayant glissé vers la droite. Les volumes thoracique et pelvien ne sont pas préservés. La clavicule gauche est verticalisée, la scapula est en vue antéro-latérale, en connexion lâche avec l'humérus, en vue antérieure. Les connexions aux coudes sont lâches à gauche, et totalement rompues à droite, l'humérus ayant migré médialement et les os des avant-bras caudalement. Les coxaux sont ouverts mais en connexion lâche avec le sacrum. Les fémurs, en vue antérieure, sont déconnectés mais restés en position anatomique. Au delà, aux genoux et aux chevilles, les connexions sont bien préservées. Les os tarsiens apparaissent en vue antéro-médiale. Trois métatarses droits sont restés en place.
S'agissant d'un sujet immature, la majorité des connexions est bien préservée, aucune migration en dehors du volume corporel n'est observable, ce qui concorde avec un colmatage rapide. La position du crâne, sur les cervicales, celle des épaules,contraintes, celle des pieds, en hyperflexion impliquent une forte compression du squelette et la présence d'une enveloppe souple très enserrante; la migration des avant-bras de l'humérus droit bénéficiant des espaces vides secondaires créés également par la surélévation du bras droit.
Il s'agit d'un sujet immature de 9 à 12 ans (IM4).
Le squelette présente bilatéralement des lésions orbitales dues à un cribra orbitalia une hyperostose porotique, se manifestant principalement sur les pariétaux de part et d'autre de la suture sagittale et dans une moindre mesure sur le frontal. Ces lésions signalent vraisemblablement un problème de type carentiel.

Photographie de détail

vue rapprochée de l'inhumation 917
C. Le Forestier, Inrap

Pathologies

I. 917 : cribra orbitalia sur les orbites

Phase : 3

Inhumation 918 - MAS8290

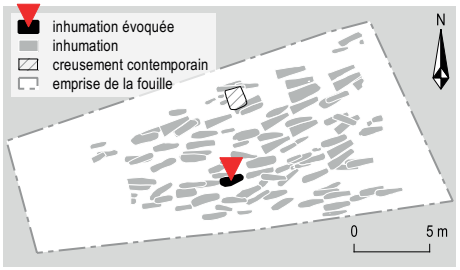

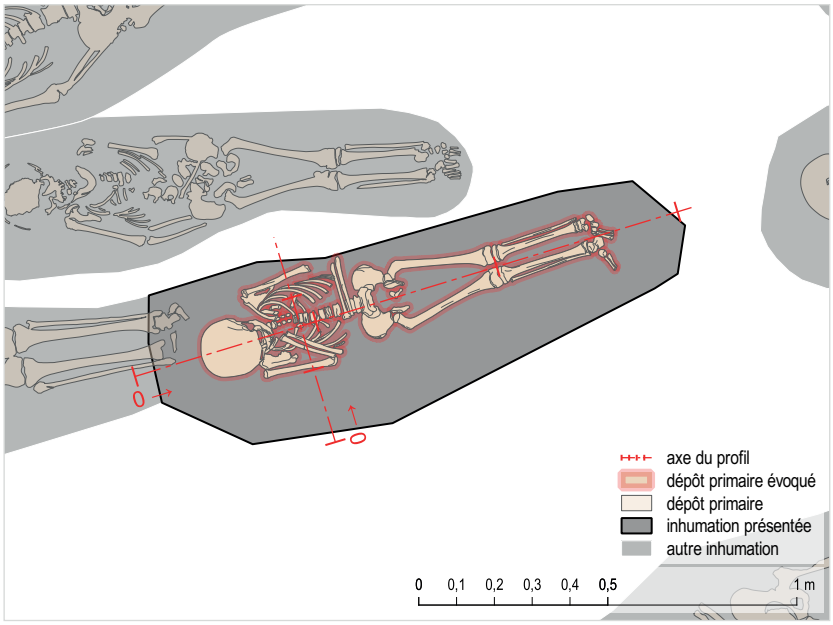

orientation

73 °

pratique funéraire

position

décubitus dorsal

membres supérieurs

45/90

sexe

trop jeune pour détermination

âge

5 à 9 ans

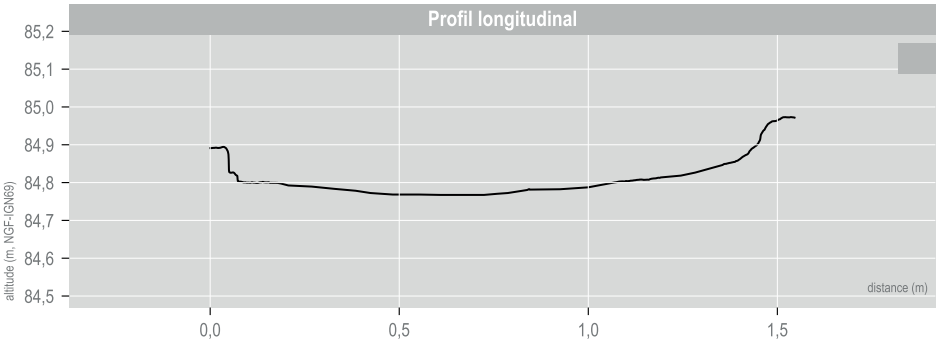

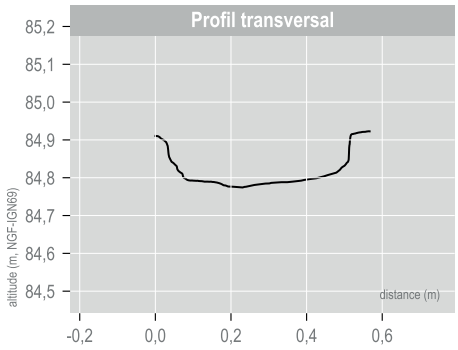

Vue générale de l'inhumation 918

vue générale de l'inhumation 918
C. Le Forestier, Inrap

Description de l'inhumation

Le sujet a été inhumé dans une fosse oblongue, orientée est-ouest. Il repose en décubitus dorsal, la tête à l'ouest, les avant-bras fléchis, le droit à 45°, le gauche à 90°, les membres inférieurs alignés, serrés aux genoux, les pieds non joints, en extension, parallèles et tournés vers le sud.
Le calvarium apparaît en vue supérieure, les connexions sont strictes avec la mandibule. Le rachis vertébral est d'un seul tenant, le gril costal est à plat; le volume pelvien est partiellement conservé. Toutes les connexions de la ceinture huméro-scapulaire droite et gauche sont maintenues, les clavicules et les scapulas à l'oblique, les humérus en rotation interne. La connexion au coude droit est lâche mais l'ulna et le radius gauche, déconnectés, ont migré loin de l'humérus, sur les dernières lombaires. Des os carpiens et des mains sont dispersés à l'intérieur du volume thoracique, certains en équilibre sur les côtes. Les connexions sacro-pelviennes et coxo-fémorales sont également bien préservées Celles des membres inférieurs sont quasi-strictes, les os reposant en vue antérieure. Les tarses apparaissent en vue antéro-médiale à droite et antéro-latérale à gauche, sans bascule des talus, en connexion quasi stricte avec les métatarses.
Les seules migrations observées concernant les os des avant-bras, la plupart des connexions étant conservées, et en l'absence de migration en dehors du volume corporel, on peut conclure à un colmatage rapide. La forte contrainte au niveau du crâne, la compression des épaules, la migration strictement caudale des os de l'avant-bras gauche plaident en faveur de la présence d'une enveloppe souple ; d'autant plus que la proximité des genoux, la position des talus restés en position antéro-médiale à droite, contrairement aux métatarses en vue médiale, suggèrent l'existence de liens enserrants.
Le squelette est celui d'un immature, dont l'âge au décès se situe entre 8 ans et 10 ans (IM3IM4).
Le sujet présente des lésions orbitales de type cribra orbitalia, plus développées sur l'orbite gauche, témoignant d'un possible problème carentiel.

Photographie de détail

vue rapprochée de l'inhumation 918
C. Le Forestier, Inrap

Phase : 3

Inhumation 919 - MAS8293

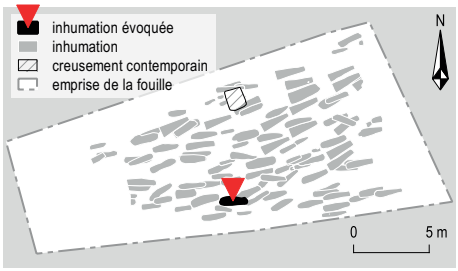

orientation

88 °

pratique funéraire

sans contenant

position

décubitus dorsal

membres supérieurs

135/135

sexe

masculin

âge

adulte

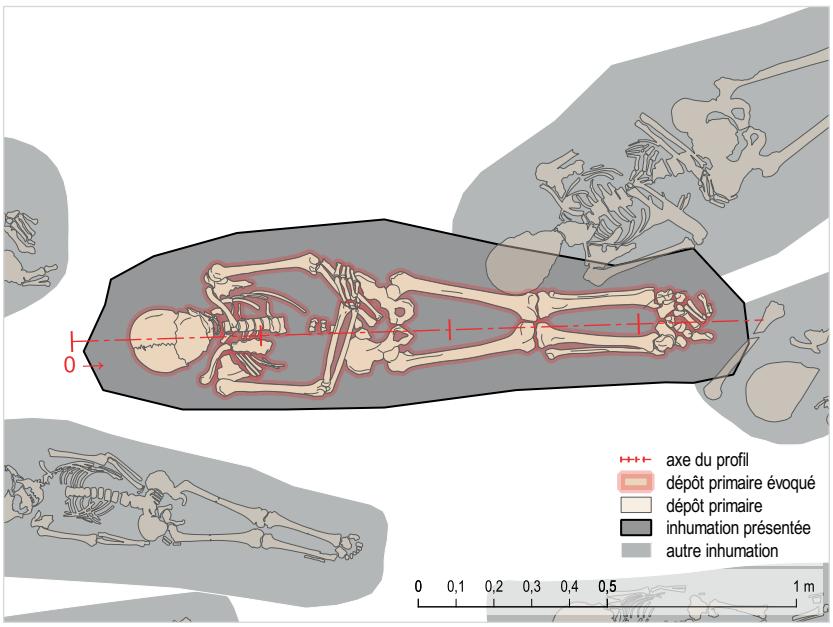

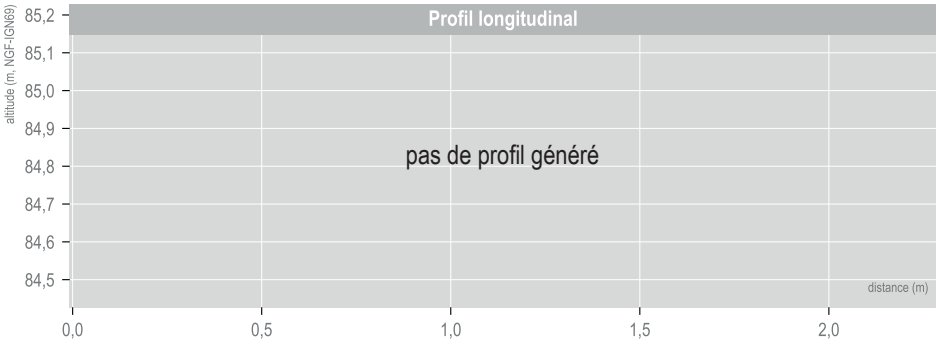

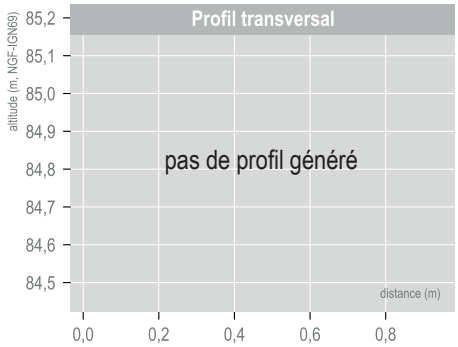

Vue générale de l'inhumation 919

vue générale de l'inhumation 919
C. Le Forestier, Inrap

Description de l'inhumation

Le sujet a été inhumé dans une fosse oblongue, orientée est-ouest. Il repose en décubitus dorsal, la tête à l'ouest, les avant-bras fléchis à 135° , croisés sur l'abdomen, le droit sur le gauche; , les membres inférieurs alignés, serrés aux genoux, non joints aux chevilles et convergeant aux pieds joints, en extension à droite et en hyperflexion à gauche.
Le calvarium apparaît en vue supérieure, les connexions sont strictes avec la mandibule, qui repose sur les cervicales. Le rachis vertébral a été très perturbé. Le sternum a migré crânialement et latéralement, dans l'hémi-thorax droit. Il est peu conservé. Le volume pelvien est partiellement conservé. La clavicule droite est déconnectée et apparaît en vue dorsale. La gauche est à l'oblique. Les connexions huméro-scapulaires et huméro-radio-ulnaires sont quasi strictes, bilatéralement. Les os carpiens, métacarpiens et les premières phalanges de la main droite sont restés en connexion, en vue dorsale, sur les os de l'avant-bras gauche, les premières phalanges contre l'ulna. Les connexions sacro-pelviennes et coxo-fémorales sont maintenues; les fémurs apparaissent en vue antéro-médiale, les tibias en vue antérieure, la fibula droite déconnectée, ayant migré latéralement les connexions sont aux genoux sont lâches; à l'opposé, les connexions fibulo-tibio-tarsiennes sont bien maintenues, les os du pied droit en vue antérieure, ceux du pied gauche en vue antéro-médiale, les métatarses, groupés en vue antérieure.
Mis à part la perturbation importante observée au niveau du thorax, le squelette a conservé la plupart de ses connexions, y compris les connexions labiles de la main droite; les migrations observées sont de faible ampleur, le frontal s'affaissant à la verticale; la fibula droite restant connectée au tibia; aucune ne s'effectuant en dehors du volume corporel, ce qui implique un colmatage rapide. La contrainte forte au niveau du crâne, des genoux, très serrés et des pieds, restés groupés, le talus droit resté en vue antérieure, témoignent de la présence d'une enveloppe souple, voire de liens maintenus aux genoux et aux chevilles.
Le squelette est celui d'un adulte, de sexe masculin.
La sphère bucco-dentaire se caractérise par la présence sur toutes les dents observables (16) d'un dépôt de tartre vestibulaire très important. L'usure des dents - en biseau – pourrait signaler un phénomène de bruxisme. Enfin, les pertes *ante mortem* sont nombreuses (9).

Photographie de détail

vue rapprochée de l'inhumation 919
C. Le Forestier, Inrap

Description de l'inhumation

Le sujet a été inhumé dans un sarcophage de plâtre, orienté est-ouest, recouvert dans sa moitié inférieure par une large dalle en calcaire qui remplace le couvercle initial. Le squelette de l'individu est très mal conservé, notamment dans sa partie supérieure, non couverte. Il repose en décubitus dorsal, les membres inférieurs alignés, non joints. Des os en réduction, correspondant à un Nombre Minimal d'Individu de 2 adultes, ont été rassemblés de part et d'autre et aux pieds du dernier occupant.
Des os crâniens sont déconnectés. Les fémurs et les tibias apparaissent en vue antérieure, le gauche ayant migré latéralement.
La patella gauche a chuté médialement, la droite est en place.
Les éléments d'observation manquent pour déterminer le mode de décomposition de l'individu inhumé.
Le squelette est celui d'un adulte, de sexe indéterminé.

Photographies de détail

vue de la cuve de l'inhumation 920
C. Le Forestier, Inrap

vue de l'extrémité ouest de la cuve de l'inhumation 920
C. Le Forestier, Inrap

vue de la paroi de tête de la cuve de l'inhumation 920
C. Le Forestier, Inrap

vue de l'enduit de la cuve de l'inhumation 920
C. Le Forestier, Inrap

vue du négatif du moule interne de la cuve de l'inhumation 920
C. Le Forestier, Inrap

vue générale de l'inhumation 920, depuis l'est
C. Le Forestier, Inrap

vue d'un fragment de neurocrâne de l'inhumation 920
C. Le Forestier, Inrap

vue des membres inférieurs de l'inhumation 920 ainsi que de la réduction
C. Le Forestier, Inrap

vue d'une perforation liée à un dispositif de surélévation du moule interne de la cuve de l'inhumation 920
C. Le Forestier, Inrap

Phase : 2

Inhumation 921 - MAS8298

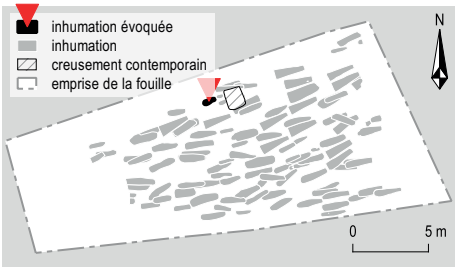

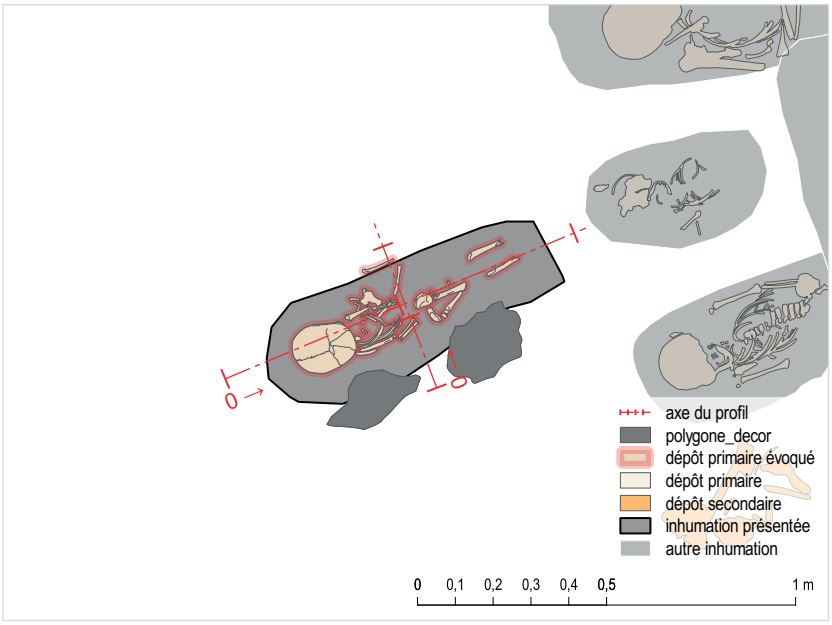

orientation

67 °

pratique funéraire

sans contenant

position

décubitus dorsal

membres supérieurs

135/1

sexe

trop jeune pour détermination

âge

1 à 4 ans

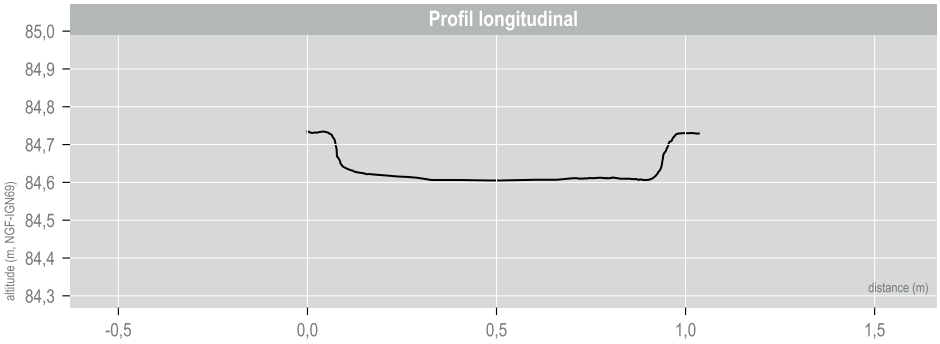

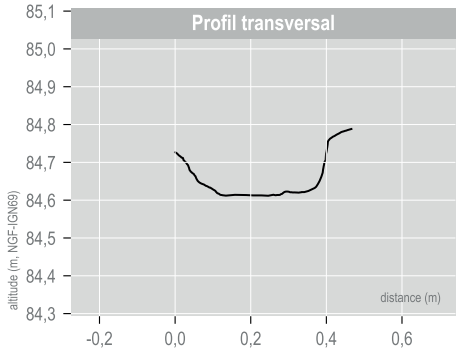

Vue générale de l'inhumation 921

vue générale de l'inhumation 921
C. Le Forestier, Inrap

Description de l'inhumation

Il s'agit d'un sujet immature, inhumé dans une fosse assez large, quadrangulaire, orientée est-ouest, comprenant trois blocs de pierre en son pourtour. Le sujet inhumé repose en décubitus dorsal, tête à l'ouest, l'avant-bras droit fléchi à 135°, les membres inférieurs alignés, non parallèles. Il semble avoir été perturbé, au niveau de l'abdomen, du bassin et des fémur d'après ls migrations observées.
Le calvarium et la mandibule, en vue supérieure, sont restés en connexion. Les volumes thoracique et pelvien ne sont pas conservés. Le rachis vertébral observable se réduit aux premières vertèbres. Le manubrium a chuté latéralement. Les clavicules sont à l'oblique. Les humérus apparaissent en vue antéro-latérale. L'ulna et le radius droits ont migré médialement. L'ulna et le radius ont migré en dehors du volume corporel, latéralement. Il en est de même du coxal droit qui se situe au niveau de l'humérus gauche. Les fémurs sont croisés, le fémur gauche, resté en connexion avec le coxal, en vue antérieure, au-dessus du droit en vue médiale. Les tibias ont migré caudalement.
Les connexions maintenues sont rares. Les migrations sont importantes relevant d'un colmatage différé. La contrainte forte du crâne maintenu à la verticale pourrait justifier l'hypothèse d'un coffrage.
Le squelette est celui d'un immature, dont l'âge au décès se situe entre 1 et 4 ans (IM2).

Phase : 2

Inhumation 922 - MAS8303

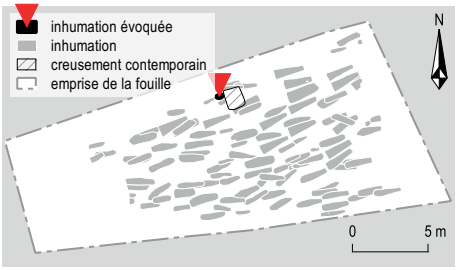

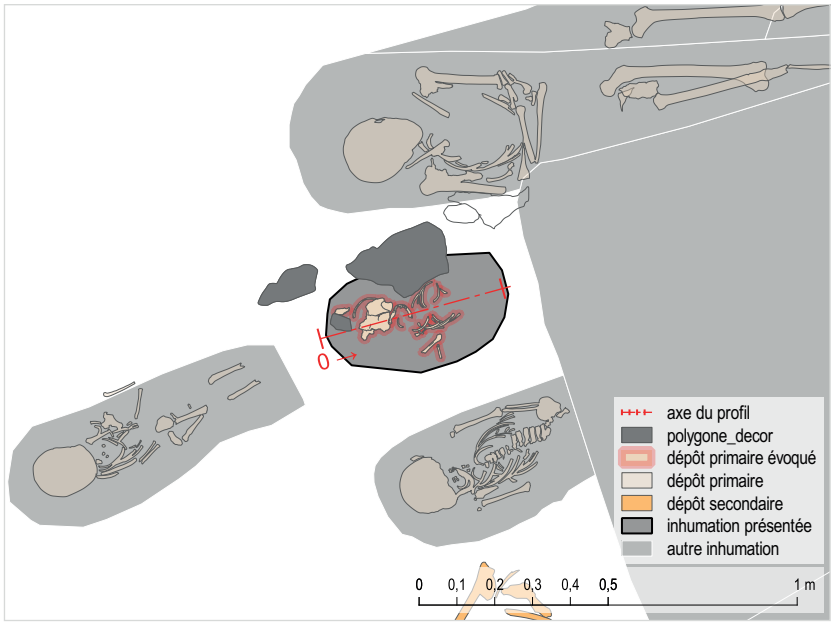

orientation

75 °

pratique funéraire

sans contenant

position

décubitus dorsal

membres supérieurs

indéterminé

sexe

trop jeune pour détermination

âge

0 à 1 an

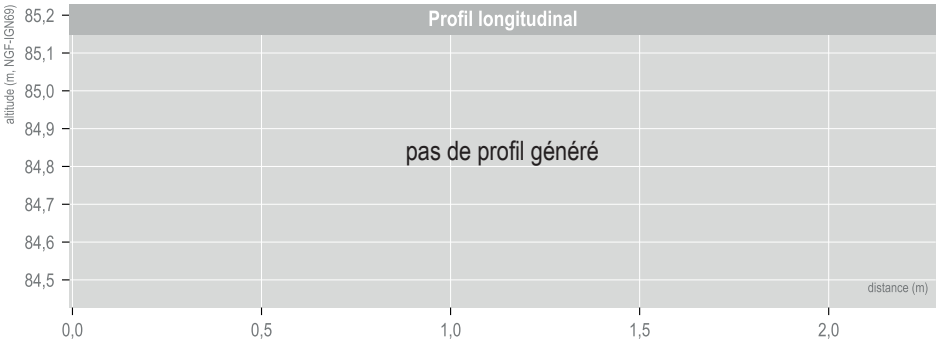

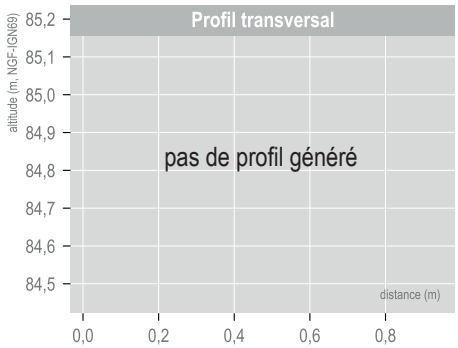

Vue générale de l'inhumation 922

vue générale de l'inhumation 922
C. Le Forestier, Inrap

Description de l'inhumation

Il s'agit d'un sujet immature, inhumé dans une fosse aux limites peu apparentes,, orientée est-ouest. Il n'en subsiste que le squelette supérieur. Il repose en décubitus dorsal, tête à l'ouest.
Le crâne est déconnecté. Le gril costal est à plat. Le rachis vertébral est fragmenté. Aucune connexion n'est observable et de nombreuses migrations sont relevées pour la mandibule, l'humérus droit, plusieurs côtes.
Les éléments observables accréditent l'hypothèse d'un colmatage différé.
Le squelette est celui d'un immature, dont l'âge au décès se situe entre 9 et 12 mois (IM1).

Photographie de détail

vue rapprochée de l'inhumation 922
C. Le Forestier, Inrap

Phase : 1

Inhumation 923 - MAS8309

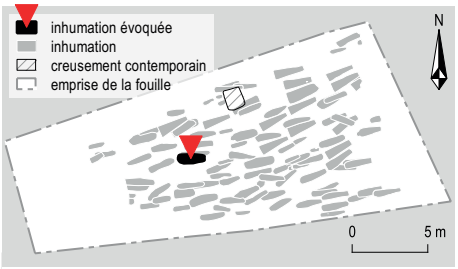

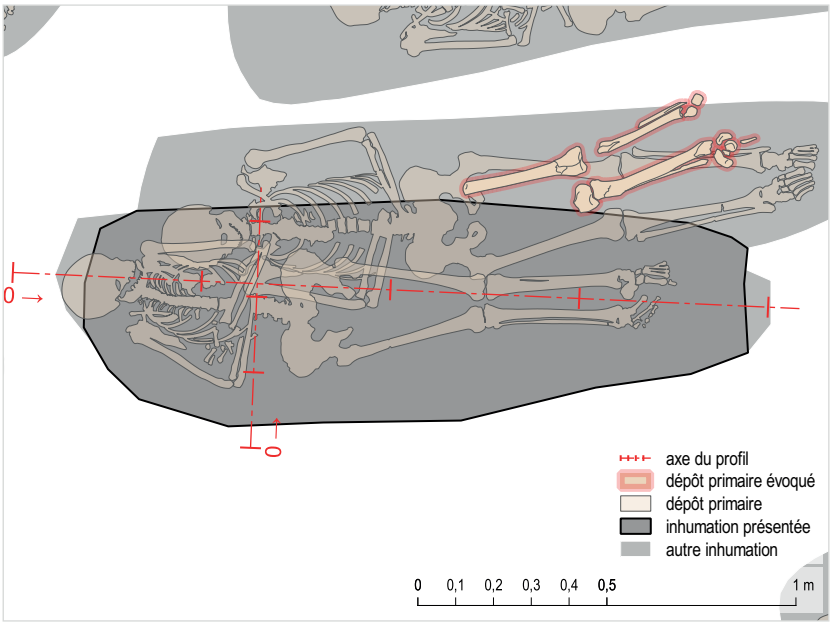

orientation

93 °

pratique funéraire

pierres et plâtre

position

décubitus dorsal

membres supérieurs

indéterminé

sexe

indéterminé

âge

adulte

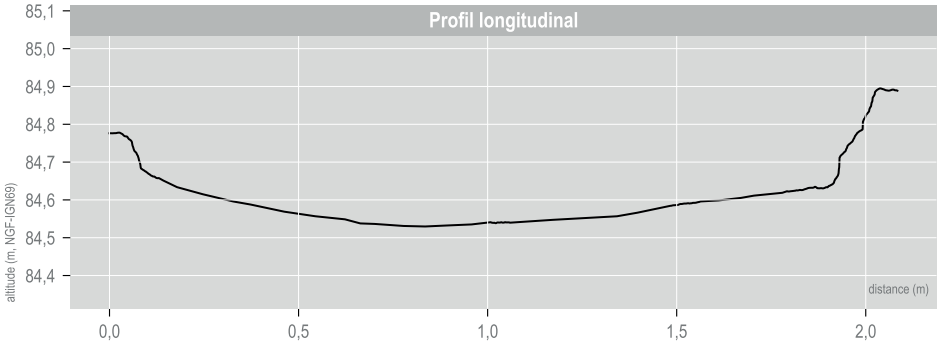

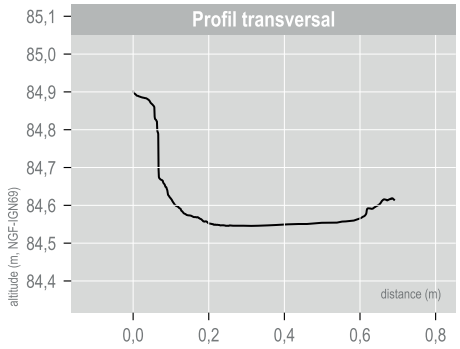

Vue générale de l'inhumation 923

vue générale de l'inhumation 923
C. Le Forestier, Inrap

Description de l'inhumation

Cette sépulture, de forme oblongue, orientée est-ouest, a été recoupée par le creusement de la sépulture 916 et se situe sous le dépôt secondaire Mas8305 qui lui est associé. Le sujet reposait en décubitus dorsal dans une cuve de plâtre, les pieds à l'est.
La connexion fémoro-tibiale droite est lâche, le fémur en vue antérieure, le tibia en vue médiale. Le calcaneus et le talus, en connexion stricte, apparaissent en vue médiale, dans le prolongement anatomique de la jambe. Seuls le tibia et la fibula gauches restent en connexion.
Les éléments manquent pour déterminer le mode de décomposition du sujet inhumé.
Le squelette est celui d'un adulte, de sexe indéterminé. La diaphyse tibiale gauche présente une déformation volumique importante dans sa moitié proximale, associée à des lésions périostées sur 85 mm sur sa face latérale.

INVENTAIRE DES UNITÉS STRATIGRAPHIQUES

us	fait	type_us	nature_us	interpret.	composition	texture	couleur	us_post	us_ant	d_us_post	d_us_ant
7001	810	couche	occupation	comblement	limon-sableux	meuble	brun	7073			7013
7006	811	négatif	construction	creusement				7010		7010	
7007	811	couche	remblai	comblement	limon-sableux	meuble	brun	7000	7008	7041, 7123	7008
7008	811	couche	occupation	dépôt primaire inhum	os humains	bonne cons		7007	7009	7007	7009
7009	811	couche	occupation	dépôt non prim. Inhum.	os humains	bonne cons		7008	7010	7008	7010
7010	811	couche	construction	contenant inhum	plâtre		blanc	7009	7006	7009	7006
7011	812	négatif	occupation	creusement				7012		7012	
7012	812	couche	occupation	dépôt primaire inhum	os humains	bonne cons	beige	7013	7011	7013	7011
7013	812	couche	remblai	comblement	limon-sableux	meuble	brun	7001	7012		7012
7014	813	négatif	occupation	creusement				7017		7017	
7015	813	couche	occupation	dépôt primaire inhum	os humains	bonne cons		7016	7017	7016	7017
7016	813	couche	remblai	comblement	limon-sableux	meuble	brun	7016	7015		7015, 7016
7017	813	couche	construction	contenant inhum	plâtre		blanc	7015	7014	7015	7014
7018	814	négatif	occupation	creusement				7021		7021	
7019	814	couche	occupation	dépôt primaire inhum	os humains	bonne cons		7020	7021	7020	7021
7020	814	couche	remblai	comblement	limon-sableux	meuble	brun		7019	7048	7019
7021	814	couche	construction	contenant inhum	plâtre		blanc	7019	7018	7019	7018
7022	815	négatif	occupation	creusement				7024		7023	7053
7023	815	couche	occupation	dépôt primaire inhum	os humains	bonne cons		7024	7022	7024	
7024	815	couche	remblai	comblement	limon-sableux	compact	beige	7000	7023		7022, 7023
7025	816	négatif	occupation	creusement				7026		7026	7079

us	fait	type_us	nature_us	interpret.	composition	texture	couleur	us_post	us_ant	d_us_post	d_us_ant
7026	816	couche	occupation	dépôt primaire inhum	os humains	bonne cons		7027	7025	7027	7025
7027	816	couche	remblai	comblement	limon-sableux	meuble	beige	7000	7026		7026
7028	813	couche	occupation	dépôt non prim. Inhum.	os humains	bonne cons					
7029	817	négatif	occupation	creusement				7030		7030	7158
7030	817	couche	occupation	dépôt primaire inhum	os humains	bonne cons			7029, 7031	7031	7029
7031	817	couche	remblai	comblement	limon-sableux	meuble	beige	7000	7030	7030	
7032	818	négatif	occupation	creusement				7033		7033	
7033	818	couche	occupation	dépôt primaire inhum	os humains	bonne cons		7034	7032	7034	7032
7034	818	couche	remblai	comblement	limon-sableux	meuble	brun	7000	7033		7033
7035	819	négatif	occupation	creusement				7037		7037	
7036	819	couche	occupation	dépôt primaire inhum	os humains	bonne cons		7038	7037	7038	7037
7037	819	couche	construction	contenant inhum	plâtre		blanc	7036	7035	7036	7035
7038	819	couche	remblai	comblement	limon-sableux	meuble	beige		7036	7048	7036
7040	813	couche	construction	contenant inhum	plâtre		blanc				
7041	820	négatif	occupation	creusement				7044	7007	7044	
7042	820	couche	occupation	dépôt primaire inhum	os humains	bonne cons		7043	7044	7043	7044
7043	820	couche	remblai	comblement	limon-sableux	compact	brun		7042		7042
7044	820	couche	construction	contenant inhum	plâtre		blanc	7042	7041	7042	7041
7045	821	négatif	occupation	creusement				7046		7046	
7046	821	couche	occupation	dépôt primaire inhum	os humains	bonne cons		7047	7045	7047	7045
7047	821	couche	remblai	comblement	limon-sableux	compact	beige	7000	7046		7046
7048	822	négatif	occupation	creusement					7020, 7038		

us	fait	type_us	nature_us	interpret.	composition	texture	couleur	us_post	us_ant	d_us_post	d_us_ant
7049	822	couche	occupation	dépôt primaire inhum	os humains	bonne cons					
7050	822	couche	remblai	comblement	limon-sableux	meuble	beige				
7051	823	négatif	occupation	creusement				7052		7052	
7052	823	couche	occupation	dépôt primaire inhum	os humains	bonne cons		7053	7051	7053	7051
7053	823	couche	remblai	comblement	limon-sableux	meuble	brun	7022	7052		7052
7054	824	négatif	occupation	creusement							7147
7055	824	couche	occupation	dépôt primaire inhum	os humains	bonne cons					
7056	824	couche	remblai	comblement	limon-sableux	meuble	beige			7069	
7057	825	négatif	occupation	creusement				7058		7058	7095
7058	825	couche	occupation	dépôt primaire inhum	os humains	bonne cons		7059	7057	7059	7057
7059	825	couche	remblai	comblement	limon-sableux	compact	brun	7000	7058		7058
7060	826	négatif	occupation	creusement				7061		7061	
7061	826	couche	occupation	dépôt primaire inhum	os humains	bonne cons		7062	7060	7062	7060
7062	826	couche	occupation	comblement	limon-sableux	meuble	beige	7000	7061		7061
7065	827	négatif	occupation	creusement				7068		7068	
7066	827	couche	occupation	dépôt primaire inhum	os humains	bonne cons		7067	7068	7067	7068
7067	827	couche	remblai	comblement	limon-sableux	meuble	beige	7000	7066		7066
7068	827	couche	construction	contenant inhum	plâtre		blanc	7066	7065	7066, 7092	7065
7069	828	négatif	occupation	creusement				7071	7056	7071	
7070	828	couche	occupation	dépôt primaire inhum	os humains	bonne cons		7000	7071		7071
7071	828	couche	remblai	comblement	limon-sableux	compact	beige	7070	7069	7070	7069
7072	810	couche	occupation	comblement	limon-sableux	meuble	brun		7073		7073
7073	810	couche	occupation	dépôt primaire inhum	os humains	bonne cons		7072		7072	7001

us	fait	type_us	nature_us	interpret.	composition	texture	couleur	us_post	us_ant	d_us_post	d_us_ant
7074	829	négatif	occupation	creusement				7076			7076
7075	829	couche	remblai	comblement	limon-sableux	meuble	beige	7000	7093		7093
7076	829	couche	construction	contenant inhum	plâtre		blanc	7074		7093	7074
7077	831	négatif	occupation	creusement				7080		7080	
7078	831	couche	occupation	dépôt primaire inhum	os humains	bonne cons		7079	7080	7079	7080
7079	831	couche	remblai	comblement	limon-sableux	meuble	beige	7025	7078		7078
7080	831	couche	construction	contenant inhum	plâtre		blanc	7078	7077	7078	7077
7081	830	négatif	occupation	creusement				7155		7155	
7082	830	couche	occupation	dépôt primaire inhum	os humains	bonne cons		7130	7155	7130	7155
7083	830	couche	occupation	dépôt non prim. Inhum.	os humains	bonne cons		7101	7130	7101	7130
7084	832	négatif	occupation	creusement				7086		7086	
7085	832	couche	remblai	comblement	limon-sableux	meuble	beige	7000	7087		7087
7086	832	couche	construction	contenant inhum	plâtre		blanc	7087	7084	7087	7084
7087	832	couche	occupation	dépôt primaire inhum	os humains	bonne cons		7085	7086	7085	7086
7088	833	négatif	occupation	creusement				7091		7091	
7089	833	couche	remblai	comblement	limon-sableux	meuble	beige	7090	7093	7090	7135
7090	833	couche	occupation	dépôt non prim. Inhum.	os humains	bonne cons		7000	7089		7089
7091	833	couche	construction	contenant inhum	plâtre		blanc	7135	7088	7135	7088
7092	827	couche	remblai	comblement	limon-sableux	compact	brun	7000	7068		
7093	829	couche	occupation	dépôt primaire inhum	os humains	bonne cons		7075	7076	7075, 7089	
7094	834	négatif	occupation	creusement		meuble		7096		7096	
7095	834	couche	remblai	comblement	limon-sableux	meuble	beige	7057, 7151	7097		7097

us	fait	type_us	nature_us	interpret.	composition	texture	couleur	us_post	us_ant	d_us_post	d_us_ant
7096	834	couche	occupation	dépôt primaire inhum	os humains	bonne cons		7097	7094	7097	7094
7097	834	couche	occupation	dépôt non prim. Inhum.	os humains	bonne cons		7095	7096	7095	7096
7102	835	négatif	occupation	creusement				7103		7103	7113
7103	835	couche	occupation	dépôt primaire inhum	os humains	bonne cons		7104	7102	7104	7102
7104	835	couche	remblai	comblement	limon-sableux	meuble	beige	7000	7103		7103
7105	836	négatif	occupation	creusement				7106		7106	
7106	836	couche	occupation	dépôt primaire inhum	os humains	bonne cons		7107	7105	7107	7105
7107	836	couche	remblai	comblement	limon-sableux	compact	brun	7000	7106		7106
7108	837	négatif	occupation	creusement				7109		7109	7113
7109	837	couche	occupation	dépôt primaire inhum	os humains	bonne cons		7110	7108	7110	7108
7110	837	couche	remblai	comblement	limon-sableux	meuble	beige	7000	7109		7109
7111	838	négatif	occupation	creusement				7112		7112	
7112	838	couche	occupation	dépôt primaire inhum	os humains	bonne cons		7113	7111	7113	7111
7113	838	couche	remblai	comblement	limon-sableux	meuble	beige	7102, 7108	7112		7112
7114	839	négatif	occupation	creusement				7115		7115	
7115	839	couche	occupation	dépôt primaire inhum	os humains	bonne cons		7116	7114	7116	7114
7116	839	couche	remblai	comblement	limon-sableux	meuble	beige	7000	7115		7115
7117	840	négatif	occupation	creusement				7118		7118	
7118	840	couche	occupation	dépôt primaire inhum	os humains	bonne cons		7119	7117	7119	7117
7119	840	couche	remblai	comblement	limon-sableux	meuble	beige	7148	7118	7148	7118
7120	841	négatif	occupation	creusement				7121		7121	
7122	841	couche	remblai	comblement	limon-sableux	meuble	beige		7121		7121
7123	842	négatif	occupation	creusement				7124	7007	7124	

us	fait	type_us	nature_us	interpret.	composition	texture	couleur	us_post	us_ant	d_us_post	d_us_ant
7124	842	couche	occupation	dépôt primaire inhum	os humains	bonne cons		7125	7123	7125	7123
7125	842	couche	remblai	comblement	limon-sableux	meuble	brun	7000	7124		7124
7126	843	négatif	occupation	creusement				7127			
7128	843	couche	remblai	comblement	limon-sableux	compact	brun		7127		7127
7129	832	couche	occupation	dépôt primaire inhum	os humains	bonne cons					
7130	830	couche	remblai	comblement	limon-sableux	compact	brun	7083	7082	7083	7082
7131	844	négatif	occupation	creusement				7134		7134	
7132	844	couche	remblai	comblement	limon-sableux	meuble	brun		7133		7133
7133	844	couche	occupation	dépôt primaire inhum	os humains	bonne cons		7132	7134	7132	7134
7134	844	couche	construction	contenant inhum	plâtre		blanc	7133	7131	7133	7131
7135	833	couche	occupation	dépôt primaire inhum	os humains	bonne cons		7089	7091		7091
7136	845	négatif	occupation	creusement				7137		7137	
7137	845	couche	occupation	dépôt primaire inhum	os humains	bonne cons			7136, 7138	7138	7136
7138	845	couche	remblai	comblement	limon-sableux	meuble	brun	7000	7137	7137	
7139	846	négatif	occupation	creusement				7140		7140	
7140	846	couche	occupation	dépôt primaire inhum	os humains	bonne cons		7141	7139	7141	7139
7141	846	couche	remblai	comblement	limon-sableux	meuble	brun		7140	7145	7140
7142	847	négatif	occupation	creusement				7143		7143	
7143	847	couche	occupation	dépôt primaire inhum	os humains	bonne cons		7144	7142	7144	7142
7144	847	couche	remblai	comblement	limon-sableux	compact	brun	7000	7143		7143
7145	848	négatif	occupation	creusement				7146	7141	7146	
7146	848	couche	occupation	dépôt primaire inhum	os humains	bonne cons		7147	7145	7147	7145
7147	848	couche	remblai	comblement	limon-sableux	meuble	brun	7054	7146		7146

us	fait	type_us	nature_us	interpret.	composition	texture	couleur	us_post	us_ant	d_us_post	d_us_ant
7148	849	négatif	occupation	creusement				7149	7119	7149	7119
7149	849	couche	occupation	dépôt primaire inhum	os humains	bonne cons		7150	7148	7150	7148
7150	849	couche	remblai	comblement	limon-sableux	meuble	brun	7151	7149	7151	7149
7151	850	négatif	occupation	creusement				7152	7150	7152	7095, 7150
7152	850	couche	occupation	dépôt primaire inhum	os humains	bonne cons		7153	7151	7153	7151
7153	850	couche	remblai	comblement	limon-sableux	meuble	brun	7000	7152		7152
7155	830	couche	construction	contenant inhum	plâtre		blanc	7082	7081	7082	7081
7156	851	négatif	occupation	creusement				7157			7157
7157	851	couche	occupation	dépôt primaire inhum	os humains	bonne cons		7156, 7158		7158	7156
7158	851	couche	remblai	comblement	limon-sableux	meuble	brun	7029	7157		7157
8002	8012	couche	construction	radier	pierres	"(dia. De 2 à 10 cm"		8001			8010, 8050, 8077, 8080, 8113
8003	853	couche	remblai	comblement	limon-sableux	meuble	brun-orangé	8001	8004		8004
8004	853	couche	occupation	dépôt primaire inhum	os humains	bonne cons		8003	8005	8003	8005
8005	853	négatif	occupation	creusement				8004		8004	8213
8006	854	couche	remblai	comblement	limon-sableux	compact	brun	8009	8007		8007
8007	854	couche	occupation	dépôt primaire inhum	os humains	bonne cons		8006	8008	8006	8008
8008	854	négatif	occupation	creusement				8007		8007	
8010	855	couche	remblai	comblement	limon-sableux	compact	brun	8002	8011		8011
8011	855	couche	occupation	dépôt primaire inhum	os humains	bonne cons		8010	8012	8010	8012
8012	855	négatif	occupation	creusement				8011		8011	
8013	856	couche	remblai	comblement	limon-sableux	meuble	brun-orangé	8001	8014		8014
8014	856	couche	occupation	dépôt primaire inhum	os humains	bonne cons		8013	8015	8013	8015

us	fait	type_us	nature_us	interpret.	composition	texture	couleur	us_post	us_ant	d_us_post	d_us_ant
8015	856	négatif	occupation	creusement				8014		8014	
8016	869	couche	remblai	comblement	limon-sableux	meuble	brun-orangé	8001	8017		8017
8017	869	couche	construction	contenant inhum	plâtre		blanc	8016		8016	8018
8018	869	couche	remblai	comblement	limon-sableux	meuble	brun	8017	8019	8022	8019
8019	869	négatif	occupation	creusement				8018		8018	
8020	857	couche	remblai	comblement	limon-sableux	meuble	brun-orangé	8001	8021		8021
8021	857	couche	occupation	dépôt primaire inhum	os humains	bonne cons		8020	8022	8020	8022
8022	857	négatif	construction	creusement				8021	8018	8021	
8023	858	couche	remblai	comblement	limon-sableux	meuble	brun-orangé	8044	8024		8024
8024	858	couche	occupation	dépôt primaire inhum	os humains	bonne cons		8023	8025	8023	8025
8025	858	négatif	occupation	creusement				8024		8024	8121
8026	859	couche	remblai	comblement	limon-sableux	meuble	brun	8044	8027		8027
8027	859	couche	occupation	dépôt primaire inhum	os humains	bonne cons		8026	8028	8026	8028
8028	859	négatif	occupation	creusement				8027		8027	8120
8029	860	couche	remblai	comblement	limon-sableux	meuble	brun-orangé	8033	8030	8032	8030
8030	860	couche	occupation	dépôt primaire inhum	os humains	bonne cons		8029	8031	8029	8031
8031	860	négatif	construction	creusement				8030		8030	
8032	8033	couche	remblai	comblement	limon-sableux	meuble	brun-gris	8044	8029, 8032	8032	8033
8033	8033	négatif	construction	creusement				8032			8029, 8131, 8203, 8207
8034	861	couche	remblai	comblement	limon-sableux	meuble	brun-orangé	8001	8035		8035
8035	861	couche	occupation	dépôt primaire inhum	os humains	bonne cons		8034	8036	8034	8036
8036	861	négatif	occupation	creusement				8035	8037, 8125	8035	8037, 8125
8037	841	couche	remblai	comblement	limon-sableux	meuble	brun-orangé	8036		8036	8038

us	fait	type_us	nature_us	interpret.	composition	texture	couleur	us_post	us_ant	d_us_post	d_us_ant
8038	841	couche	occupation	dépôt primaire inhum	os humains	bonne cons		8037	8039		8039
8039	841	négatif	occupation	creusement				8038		8038	
8040	843	couche	remblai	comblement	limon-sableux	meuble	brun-orangé		8041		8041
8041	843	couche	occupation	dépôt primaire inhum	os humains	bonne cons		8040	8042	8040	8042
8042	843	négatif	occupation	creusement				8041		8041	
8045	889	couche	occupation	dépôt non prim. Inhum.	os humains	bonne cons		8044		8044	
8046	889	couche	construction	contenant inhum	plâtre		blanc	8048		5371, 8048	
8047	0	couche	occupation	dépôt non prim. Inhum.	os humains	bonne cons		8044	8048		8048
8048	0	couche	remblai	comblement	limon-sableux	meuble	brun-orangé	8047	8046	8047	8046
8050	862	couche	remblai	comblement	limon-sableux	meuble	brun-orangé	8002	8051		8051
8051	862	couche	occupation	dépôt primaire inhum	os humains	bonne cons		8050	8052	8050	8052
8052	862	négatif	occupation	creusement				8051		8051	
8053	863	couche	occupation	comblement	limon-sableux	meuble	brun-orangé				
8054	863	couche	occupation	dépôt primaire inhum	os humains	bonne cons					
8055	863	négatif	occupation	creusement							
8056	864	négatif	remblai	comblement	limon-sableux	meuble	brun		8057	8057	
8057	864	couche	occupation	dépôt primaire inhum	os humains	bonne cons			8056, 8058	8056	8058
8058	864	négatif	occupation	creusement				8057		8057	
8059	865	couche	remblai	comblement	limon-sableux	meuble	brun-orangé	8009	8060		8060
8060	865	couche	occupation	dépôt primaire inhum	os humains	bonne cons		8059	8061	8059	8061
8061	865	négatif	occupation	creusement				8060	8062	8060	
8062	866	couche	remblai	comblement	limon-sableux	meuble	brun-orangé	8009	8063	8061	8063

us	fait	type_us	nature_ us	inter- pret.	compo- sition	texture	couleur	us_post	us_ant	d_us_ post	d_us_ ant
8063	866	couche	occupa- tion	dépôt primaire inhum	os humains	bonne cons		8062	8064	8062	8064
8064	866	négatif	occupa- tion	creuse- ment				8063		8063	
8065	867	couche	remblai	comble- ment	limon- sableux	meuble	brun- orangé	8009	8066		8066
8066	867	couche	occupa- tion	dépôt primaire inhum	os humains	bonne cons		8065	8067	8065	8067
8067	867	couche	construc- tion	conte- nant inhum	plâtre		blanc	8066	8068	8066	8068
8068	867	négatif	occupa- tion	creuse- ment				8067	8125	8067	8125
8069	868	couche	remblai	comble- ment	limon- sableux	meuble	brun- orangé		8070		8070
8070	868	couche	occupa- tion	dépôt primaire inhum	os humains	bonne cons		8069	8071	8069	8071
8071	868	négatif	occupa- tion	creuse- ment				8070		8070	
8072	869	couche	occupa- tion	dépôt primaire inhum	os humains	bonne cons					
8073	869	couche	occupa- tion	dépôt primaire inhum	os humains	bonne cons					
8074	870	couche	remblai	comble- ment	limon- sableux	compact	brun- orangé		8075		
8075	870	couche	occupa- tion	dépôt primaire inhum	os humains	bonne cons				8074	
8076	870	négatif	occupa- tion	creuse- ment							
8077	871	couche	remblai	comble- ment	limon- sableux	meuble	brun- orangé	8002	8078		8078
8078	871	couche	occupa- tion	dépôt primaire inhum	os humains	bonne cons		8077	8079	8077	8079
8079	871	négatif	occupa- tion	creuse- ment				8078		8078	
8080	872	couche	construc- tion	conte- nant inhum	plâtre	compact	brun- orangé	8002	8081		8081
8081	872	couche	occupa- tion	dépôt primaire inhum	os humains	bonne cons		8080	8082	8080	8082
8082	872	négatif	occupa- tion	creuse- ment				8081		8081	
8083	873	couche	remblai	comble- ment	limon- sableux	compact	brun- orangé		8084		8084
8084	873	couche	occupa- tion	dépôt primaire inhum	os humains	bonne cons		8083	8085	8083	8085

us	fait	type_us	nature_us	interpret.	composition	texture	couleur	us_post	us_ant	d_us_post	d_us_ant
8085	873	négatif	occupation	creusement				8084		8084	
8086	874	couche	remblai	comblement	limon-sableux	compact	brun-orangé		8097		8087
8087	874	couche	occupation	dépôt primaire inhum	os humains	bonne cons		8086	8088		8088
8088	874	négatif	occupation	creusement				8087		8087	
8089	875	couche	remblai	comblement	limon-sableux	meuble	brun-orangé		8090		8090
8090	875	couche	occupation	dépôt primaire inhum	os humains	bonne cons		8089	8091	8089	
8091	875	négatif	occupation	creusement				8091		8090	8091
8092	876	couche	remblai	comblement	limon-sableux	meuble	brun-orangé		8093		8093
8093	876	couche	occupation	dépôt primaire inhum	os humains	bonne cons		8092	8094	8092	8094
8094	876	négatif	occupation	creusement				8093		8093	8203
8095	877	couche	remblai	comblement	limon-sableux	meuble	brun-orangé		8096		8096
8096	877	couche	occupation	dépôt primaire inhum	os humains	bonne cons		8095	8097	8095	8097
8097	877	négatif	occupation	creusement				8096		8086, 8096	
8098	878	couche	remblai	comblement	limon-sableux	meuble	brun-orangé	8001	8099		8099
8099	878	couche	occupation	dépôt primaire inhum	os humains	bonne cons		8098	8100	8098	8100
8100	878	négatif	occupation	creusement				8099		8099	
8101	879	couche	remblai	comblement	limon-sableux	meuble	brun-orangé	8001	8102		8102
8102	879	couche	occupation	dépôt primaire inhum	os humains	bonne cons		8101	8103	8101	8103
8103	879	négatif	construction	creusement				8102		8102	
8104	880	couche	remblai	comblement	limon-sableux	meuble	brun-orangé	8044	8105		8105
8105	880	couche	occupation	dépôt primaire inhum	os humains	bonne cons		8104	8106	8104	8106
8106	880	négatif	construction	creusement				8105		8105	
8107	881	couche	remblai	comblement	limon-sableux	meuble	brun-orangé		8108		8108

us	fait	type_us	nature_us	interpret.	composition	texture	couleur	us_post	us_ant	d_us_post	d_us_ant
8108	881	couche	occupation	dépôt primaire inhum	os humains	bonne cons		8107	8109	8107	8109
8109	881	négatif	construction	creusement				8108		8108	
8110	882	couche	remblai	comblement	limon-sableux	meuble	brun-orangé		8111		8111
8111	882	couche	occupation	dépôt primaire inhum	os humains	bonne cons		8110	8112	8110	8112
8112	882	couche	construction	creusement				8111		8111	
8113	883	couche	remblai	comblement	limon-sableux	meuble	brun-orangé	8002	8114		8114
8114	883	couche	occupation	dépôt primaire inhum	os humains	bonne cons		8113	8115	8113	8115
8115	883	négatif	construction	creusement				8114	8116	8114	
8116	884	couche	remblai	comblement	limon-sableux	meuble	brun-orangé		8117	8115	8117
8117	884	couche	occupation	dépôt primaire inhum	os humains	bonne cons		8116	8118	8116	8118
8118	884	négatif	construction	creusement				8117		8117	
8119	887	couche	remblai	comblement	limon-sableux	meuble	brun				
8121	885	couche	remblai	comblement	limon-sableux	meuble	brun-orangé	8025	8122		8122
8122	885	couche	occupation	dépôt primaire inhum	os humains	bonne cons		8121	8123	8121	8123
8123	885	couche	construction	contenant inhum	plâtre		blanc	8122	8124	8122	8124
8124	885	négatif	construction	creusement				8123		8123	
8125	886	couche	remblai	comblement	limon-sableux	meuble	brun-orangé	8036, 8068	8126	8036, 8068	8126
8126	886	couche	occupation	dépôt primaire inhum	os humains	bonne cons		8125	8127	8125	
8127	886	négatif	construction	creusement						8126	
8128	887	couche	occupation	dépôt primaire inhum	os humains	bonne cons					
8129	887	couche	construction	contenant inhum	plâtre		blanc				
8130	887	négatif	construction	creusement							
8131	888	couche	remblai	comblement	limon-sableux	meuble	brun-orangé	8033	8132		

us	fait	type_us	nature_us	interpret.	composition	texture	couleur	us_post	us_ant	d_us_post	d_us_ant
8132	888	couche	occupation	dépôt primaire inhum	os humains	bonne cons		8132	8133	8131	8132, 8133
8133	888	négatif	construction	creusement				8132		8132	
8134	889	couche	occupation	dépôt primaire inhum	os humains	bonne cons					
8135	890	couche	construction	contenant inhum	plâtre		blanc			8136, 8138	
8136	890	couche	remblai	comblement	limon-sableux	meuble	brun-orangé		8135		
8138	890	couche	occupation	dépôt primaire inhum	os humains	bonne cons		8120	8135		
8139	887	couche	occupation	dépôt non prim. Inhum.	os humains	bonne cons					
8140	889	couche	occupation	dépôt non prim. Inhum.	os humains	bonne cons					
8141	887	couche	occupation	dépôt non prim. Inhum.	os humains	bonne cons					
8201	891	négatif	construction	creusement							
8202	891	couche	occupation	dépôt primaire inhum	os humains	bonne cons					
8203	891	couche	remblai	comblement	limon-sableux	compact	brun	8033, 8094			
8204	891	couche	construction	contenant inhum	plâtre		blanc				
8205	892	négatif	construction	creusement				8206	8244		8244
8206	892	couche	occupation	dépôt primaire inhum	os humains	bonne cons		8207			8205
8207	892	couche	remblai	comblement	limon-sableux	compact	brun	8033			8206
8208	904	négatif	construction	creusement						8209	
8209	904	couche	remblai	comblement	limon-sableux	compact	brun		8208		
8210	893	négatif	construction	creusement						8211	
8211	893	couche	occupation	dépôt primaire inhum	os humains	bonne cons		8213	8210	8213	
8212	893	couche	construction	contenant inhum	plâtre		blanc	8213			

us	fait	type_us	nature_us	interpret.	composition	texture	couleur	us_post	us_ant	d_us_post	d_us_ant
8214	894	négatif	construction	creusement							
8215	894	couche	remblai	comblement	limon-sableux	compact	brun				
8216	894	couche	occupation	dépôt primaire inhum	os humains	bonne cons					
8217	895	négatif	construction	creusement				8218		8218	
8218	895	couche	occupation	dépôt primaire inhum	os humains	bonne cons		8219	8217		8217
8219	895	couche	occupation	comblement	limon-sableux	compact	brun		8219	8219	8218
8220	0	couche	occupation	dépôt non prim. Inhum.	os humains	bonne cons					
8221	896	négatif	construction	creusement							
8222	896	couche	occupation	dépôt primaire inhum	os humains	bonne cons		8221			
8223	896	couche	occupation	comblement	limon-sableux	compact	brun	8222			
8224	897	négatif	construction	creusement					8225		
8225	897	couche	occupation	dépôt primaire inhum	os humains	bonne cons					
8226	897	couche	remblai	comblement	limon-sableux	compact	brun				
8227	898	négatif	construction	creusement							
8228	898	couche	occupation	dépôt primaire inhum	os humains	bonne cons					
8229	898	couche	remblai	comblement	limon-sableux	compact	brun				
8230	899	négatif	construction	creusement							8281, 8282
8231	899	couche	occupation	dépôt primaire inhum	os humains	bonne cons					
8232	899	couche	remblai	comblement	limon-sableux	compact	brun				
8233	900	négatif	construction	creusement							
8234	900	couche	occupation	dépôt primaire inhum	os humains	bonne cons					
8235	900	couche	occupation	comblement	limon-sableux	compact	brun				
8236	901	négatif	construction	creusement				8237		8237	

us	fait	type_us	nature_us	interpret.	composition	texture	couleur	us_post	us_ant	d_us_post	d_us_ant
8237	901	couche	occupation	dépôt primaire inhum	os humains	bonne cons		8238	8236	8238	8236
8238	901	couche	occupation	comblement	limon-sableux	compact	brun		8237		8237
8239	902	négatif	construction	creusement							
8240	902	couche	occupation	dépôt primaire inhum	os humains	bonne cons					
8241	902	couche	occupation	comblement	limon-sableux	compact	brun				
8242	903	négatif	construction	creusement							
8243	903	couche	occupation	dépôt primaire inhum	os humains	bonne cons					
8244	903	couche	occupation	comblement	limon-sableux	compact	brun	8205		8205	
8247	904	couche	occupation	dépôt primaire inhum	os humains	bonne cons					
8248	905	négatif	construction	creusement				8249	8252	8249	8252
8249	905	couche	occupation	dépôt primaire inhum	os humains	bonne cons		8250	8248	8250	8248
8250	905	couche	occupation	comblement	limon-sableux	compact	brun		8249		8249
8251	906	négatif	construction	creusement				8253		8253	
8252	906	couche	occupation	comblement	limon-sableux	compact	brun	8248	8253	8248	8253
8253	906	couche	occupation	dépôt primaire inhum	os humains	bonne cons		8252	8251	8252	8251
8255	0	négatif	construction	creusement							
8256	0	couche	occupation	comblement	limon-sableux	compact	brun				
8258	909	négatif	construction	creusement							
8259	909	couche	occupation	comblement	limon-sableux	compact	brun				
8260	909	couche	occupation	dépôt primaire inhum	os humains	bonne cons					
8261	908	négatif	construction	creusement							
8262	908	couche	occupation	dépôt primaire inhum	os humains	bonne cons					
8263	908	couche	occupation	comblement	limon-sableux	compact	brun				
8264	910	négatif	construction	creusement							

us	fait	type_us	nature_us	interpret.	composition	texture	couleur	us_post	us_ant	d_us_post	d_us_ant
8265	910	couche	occupation	dépôt primaire inhum	os humains	bonne cons					
8266	910	couche	occupation	comblement	limon-sableux	compact	brun				
8267	911	négatif	construction	creusement							
8268	911	négatif	construction	creusement							
8269	911	couche	occupation	dépôt primaire inhum	os humains	bonne cons					
8270	915	couche	occupation	comblement	limon-sableux	compact	brun				
8271	915	couche	occupation	dépôt primaire inhum	os humains	bonne cons					
8273	915	négatif	construction	creusement							
8274	920	couche	occupation	contenant inhum	plâtre		blanc				
8275	920	couche	occupation	comblement	limon-sableux	compact	brun				
8277	913	négatif	construction	creusement							
8278	913	couche	occupation	comblement	limon-sableux	compact	brun				
8279	913	couche	occupation	dépôt primaire inhum	os humains	bonne cons					
8280	914	négatif	construction	creusement				8281			
8282	914	couche	occupation	comblement	limon-sableux	compact	brun	8230	8281		
8283	916	négatif	construction	creusement							
8284	916	couche	occupation	comblement	limon-sableux	meuble	brun				
8285	916	couche	occupation	dépôt primaire inhum	os humains	bonne cons					
8286	917	négatif	construction	creusement							
8287	917	couche	occupation	dépôt primaire inhum	os humains	bonne cons					
8288	917	couche	occupation	comblement	limon-sableux	meuble	brun				
8289	918	négatif	construction	creusement							
8290	918	couche	occupation	dépôt primaire inhum	os humains	bonne cons					
8291	918	couche	occupation	comblement	limon-sableux	compact	brun				

us	fait	type_us	nature_us	interpret.	composition	texture	couleur	us_post	us_ant	d_us_post	d_us_ant
8292	919	négatif	construction	creusement							
8293	919	couche	occupation	dépôt primaire inhum	os humains	bonne cons					
8295	920	négatif	construction	creusement							
8296	920	couche	occupation	dépôt primaire inhum	os humains	bonne cons					
8297	921	négatif	construction	creusement							
8298	921	couche	occupation	dépôt primaire inhum	os humains	bonne cons					
8299	921	couche	occupation	comblement	limon-sableux	compact	brun				
8300	922	négatif	construction	creusement							
8301	922	couche	occupation	comblement	limon-sableux	compact	brun				
8302	914	couche	occupation	dépôt primaire inhum	os humains	bonne cons					
8303	922	couche	occupation	dépôt primaire inhum	os humains	bonne cons					
8304	920	couche	occupation	dépôt non prim. Inhum.	os humains	bonne cons					
8305	916	couche	occupation	dépôt non prim. Inhum.	os humains	bonne cons					
8307	923	négatif	construction	creusement							
8308	923	couche	occupation	comblement	limon-sableux	meuble	brun				
8309	923	couche	occupation	dépôt primaire inhum	os humains	bonne cons					
8310	0	couche	occupation	dépôt non prim. Inhum.	os humains	bonne cons					
8311	0	couche	occupation	dépôt non prim. Inhum.	os humains	bonne cons					
8312	0	couche	occupation	dépôt non prim. Inhum.	os humains	bonne cons					
8313	923	couche	construction	contenant inhum	plâtre		blanc				

us	fait	type_us	nature_ us	inter- pret.	compo- sition	texture	couleur	us_post	us_ant	d_us_ post	d_us_ ant
8315	852	couche	occupa- tion	dépôt primaire inhum	os humains	bonne cons					
8316	907	couche	occupa- tion	dépôt primaire inhum	os humains	bonne cons					
8318	8318	négatif	construc- tion	creuse- ment							
8319	0	couche	remblai	comble- ment	limon- sableux	meuble	brun				

PRÉFET DE LA RÉGION D'ILE-DE-FRANCE	N° OA	Type d'opération	Année de l'opération	Date debut terrain	Date fin terrain	Nom du responsable	Operateur						
Liberté • Égalité • Fraternité RÉPUBLIQUE FRANÇAISE	1010935	programmée	2019-2022	01-juin-19	20-juin-22	C. Le Forestier	"Association Archéologie des nécropoles"						
Localisation de l'opération													
N° INSEE commune	Commune	Départ.	Lieu dit Adresse										
93051	Noisy-le-Grand	93	2 à 4 rue des Mastraits										
Inventaire du Mobilier													

Localisation cadastral	N° d'OA	N° d'U.E	N° de Matière	N°d'ordre	Catégorie	Identification	Description	Période	Conservation	Poids en gr	Date découverte	Conditionn. type	"N° Cond. caisse"
P152	1010935	7008	14 - ANTHROPO	1	Os humain	Squelette	/	Haut Moyen Âge	bonne	3533	2019	caisse Alibert	2
P152	1010935	7009	14 - ANTHROPO	1	Os humain	Squelette	/	Haut Moyen Âge	bonne	2181	2019	caisse Alibert	21
P152	1010935	7012	14 - ANTHROPO	1	Os humain	Squelette	/	Haut Moyen Âge	bonne	1279	2019	caisse Alibert	3
P152	1010935	7015	14 - ANTHROPO	1	Os humain	Squelette	/	Haut Moyen Âge	bonne	1368	2019	caisse Alibert	3
P152	1010935	7019	14 - ANTHROPO	1	Os humain	Squelette	/	Haut Moyen Âge	mauvaise	124	2019	caisse Alibert	3
P152	1010935	7023	14 - ANTHROPO	1	Os humain	Squelette	/	Haut Moyen Âge	bonne	1064	2019	caisse Alibert	4
P152	1010935	7026	14 - ANTHROPO	1	Os humain	Squelette	/	Haut Moyen Âge	bonne	2754	2019	caisse Alibert	4
P152	1010935	7028	14 - ANTHROPO	1	Os humain	Squelette	/	Haut Moyen Âge	bonne	316	2019	caisse Alibert	20
P152	1010935	7030	14 - ANTHROPO	1	Os humain	Squelette	/	Haut Moyen Âge	bonne	1847	2019	caisse Alibert	5
P152	1010935	7033	14 - ANTHROPO	1	Os humain	Squelette	/	Haut Moyen Âge	bonne	1981	2019	caisse Alibert	5
P152	1010935	7036	14 - ANTHROPO	1	Os humain	Squelette	/	Haut Moyen Âge	mauvaise	1019	2019	caisse Alibert	6

Localisation cadastral	N° d'OA	N° d'U.E	N° de Matière	N°d'ordre	Catégorie	Identification	Description	Période	Conservation	Poids en gr	Date découverte	Condition. type	"N° Cond. caisse"
P152	1010935	7042	14 - ANTHROPO	1	Os humain	Squelette	/	Haut Moyen Âge	bonne	3057	2019	caisse Alibert	6
P152	1010935	7046	14 - ANTHROPO	1	Os humain	Squelette	/	Haut Moyen Âge	moyenne	178	2019	caisse Alibert	7
P152	1010935	7049	14 - ANTHROPO	1	Os humain	Squelette	/	Haut Moyen Âge	bonne	1260	2019	caisse Alibert	7
P152	1010935	7052	14 - ANTHROPO	1	Os humain	Squelette	/	Haut Moyen Âge	moyenne	2020	2019	caisse Alibert	7
P152	1010935	7055	14 - ANTHROPO	1	Os humain	Squelette	/	Haut Moyen Âge	bonne	1049	2019	caisse Alibert	8
P152	1010935	7058	14 - ANTHROPO	1	Os humain	Squelette	/	Haut Moyen Âge	moyenne	310	2019	caisse Alibert	8
P152	1010935	7061	14 - ANTHROPO	1	Os humain	Squelette	/	Haut Moyen Âge	bonne	4129	2019	caisse Alibert	8
P152	1010935	7066	14 - ANTHROPO	1	Os humain	Squelette	/	Haut Moyen Âge	bonne	2352	2019	caisse Alibert	9
P152	1010935	7070	14 - ANTHROPO	1	Os humain	Squelette	/	Haut Moyen Âge	bonne	10	2019	caisse Alibert	20
P152	1010935	7073	14 - ANTHROPO	1	Os humain	Squelette	/	Haut Moyen Âge	bonne	413	2019	caisse Alibert	2
P152	1010935	7078	14 - ANTHROPO	1	Os humain	Squelette	/	Haut Moyen Âge	bonne	1125	2019	caisse Alibert	11
P152	1010935	7082	14 - ANTHROPO	1	Os humain	Squelette	/	Haut Moyen Âge	bonne	3505	2019	caisse Alibert	10
P152	1010935	7083	14 - ANTHROPO	1	Os humain	Squelette	/	Haut Moyen Âge	bonne	3624	2019	caisse Alibert	21
P152	1010935	7087	14 - ANTHROPO	1	Os humain	Squelette	/	Haut Moyen Âge	bonne	3577	2019	caisse Alibert	11
P152	1010935	7090	14 - ANTHROPO	1	Os humain	Squelette	/	Haut Moyen Âge	bonne	3321	2019	caisse Alibert	20
P152	1010935	7093	14 - ANTHROPO	1	Os humain	Squelette	/	Haut Moyen Âge	mauvaise	1036	2019	caisse Alibert	10
P152	1010935	7096	14 - ANTHROPO	1	Os humain	Squelette	/	Haut Moyen Âge	bonne	4673	2019	caisse Alibert	13
P152	1010935	7097	14 - ANTHROPO	1	Os humain	Squelette	/	Haut Moyen Âge	bonne	960	2019	caisse Alibert	13
P152	1010935	7103	14 - ANTHROPO	1	Os humain	Squelette	/	Haut Moyen Âge	bonne	2300	2019	caisse Alibert	14

Localisation cadastral	N° d'OA	N° d'U.E	N° de Matière	N°d'ordre	Catégorie	Identification	Description	Période	Conservation	Poids en gr	Date découverte	Condition. type	"N° Cond. caisse"
P152	1010935	7106	14 - ANTHROPO	1	Os humain	Squelette	/	Haut Moyen Âge	bonne	3248	2019	caisse Alibert	14
P152	1010935	8021	14 - ANTHROPO	1	Os humain	Squelette	/	Haut Moyen Âge	bonne	2226	2021	caisse Alibert	3
P152	1010935	8024	14 - ANTHROPO	1	Os humain	Squelette	/	Haut Moyen Âge	bonne	3606	2021	caisse Alibert	3
P152	1010935	8027	14 - ANTHROPO	1	Os humain	Squelette	/	Haut Moyen Âge	bonne	1624	2021	caisse Alibert	4
P152	1010935	8030	14 - ANTHROPO	1	Os humain	Squelette	/	Haut Moyen Âge	bonne	403	2021	caisse Alibert	4
P152	1010935	8035	14 - ANTHROPO	1	Os humain	Squelette	/	Haut Moyen Âge	bonne	2815	2021	caisse Alibert	4
P152	1010935	8038	14 - ANTHROPO	1	Os humain	Squelette	/	Haut Moyen Âge	moyenne	2231	2021	caisse Alibert	2
P152	1010935	8041	14 - ANTHROPO	1	Os humain	Squelette	/	Haut Moyen Âge	mauvaise	314	2021	caisse Alibert	2
P152	1010935	8045	14 - ANTHROPO	1	Os humain	Squelette	/	Haut Moyen Âge	bonne	535	2021	caisse Alibert	17
P152	1010935	8047	14 - ANTHROPO	1	Os humain	Squelette	/	Haut Moyen Âge	bonne	1003	2021	caisse Alibert	17
P152	1010935	8051	14 - ANTHROPO	1	Os humain	Squelette	/	Haut Moyen Âge	bonne	1013	2021	caisse Alibert	5
P152	1010935	8054	14 - ANTHROPO	1	Os humain	Squelette	/	Haut Moyen Âge	bonne	3969	2021	caisse Alibert	5
P152	1010935	8060	14 - ANTHROPO	1	Os humain	Squelette	/	Haut Moyen Âge	bonne	495	2021	caisse Alibert	5
P152	1010935	8063	14 - ANTHROPO	1	Os humain	Squelette	/	Haut Moyen Âge	bonne	1964	2021	caisse Alibert	6
P152	1010935	8066	14 - ANTHROPO	1	Os humain	Squelette	/	Haut Moyen Âge	bonne	2239	2021	caisse Alibert	6
P152	1010935	8070	14 - ANTHROPO	1	Os humain	Squelette	/	Haut Moyen Âge	bonne	2375	2021	caisse Alibert	7
P152	1010935	8072	14 - ANTHROPO	1	Os humain	Squelette	/	Haut Moyen Âge	mauvaise	1012	2021	caisse Alibert	7
P152	1010935	8073	14 - ANTHROPO	1	Os humain	Squelette	/	Haut Moyen Âge	bonne	107	2021	caisse Alibert	17
P152	1010935	8078	14 - ANTHROPO	1	Os humain	Squelette	/	Haut Moyen Âge	bonne	2954	2021	caisse Alibert	7

Localisation cadastral	N° d'OA	N° d'U.E	N° de Matière	N°d'ordre	Catégorie	Identification	Description	Période	Conservation	Poids en gr	Date découverte	Condition. type	"N° Cond. caisse"
P152	1010935	8081	14 - ANTHROPO	1	Os humain	Squelette	/	Haut Moyen Âge	bonne	2745	2021	caisse Alibert	8
P152	1010935	8084	14 - ANTHROPO	1	Os humain	Squelette	/	Haut Moyen Âge	bonne	2272	2021	caisse Alibert	8
P152	1010935	8087	14 - ANTHROPO	1	Os humain	Squelette	/	Haut Moyen Âge	bonne	1421	2021	caisse Alibert	9
P152	1010935	8090	14 - ANTHROPO	1	Os humain	Squelette	/	Haut Moyen Âge	bonne	4412	2021	caisse Alibert	9
P152	1010935	8093	14 - ANTHROPO	1	Os humain	Squelette	/	Haut Moyen Âge	bonne	3635	2021	caisse Alibert	10
P152	1010935	8096	14 - ANTHROPO	1	Os humain	Squelette	/	Haut Moyen Âge	bonne	3434	2021	caisse Alibert	11
P152	1010935	8099	14 - ANTHROPO	1	Os humain	Squelette	/	Haut Moyen Âge	bonne	691	2021	caisse Alibert	12
P152	1010935	8102	14 - ANTHROPO	1	Os humain	Squelette	/	Haut Moyen Âge	moyenne	243	2021	caisse Alibert	12
P152	1010935	8105	14 - ANTHROPO	1	Os humain	Squelette	/	Haut Moyen Âge	bonne	905	2021	caisse Alibert	12
P152	1010935	8108	14 - ANTHROPO	1	Os humain	Squelette	/	Haut Moyen Âge	bonne	1029	2021	caisse Alibert	12
P152	1010935	8111	14 - ANTHROPO	1	Os humain	Squelette	/	Haut Moyen Âge	bonne	4813	2021	caisse Alibert	13
P152	1010935	8114	14 - ANTHROPO	1	Os humain	Squelette	/	Haut Moyen Âge	bonne	1946	2021	caisse Alibert	14
P152	1010935	8117	14 - ANTHROPO	1	Os humain	Squelette	/	Haut Moyen Âge	bonne	2922	2021	caisse Alibert	14
P152	1010935	8122	14 - ANTHROPO	1	Os humain	Squelette	/	Haut Moyen Âge	bonne	2523	2021	caisse Alibert	15
P152	1010935	8126	14 - ANTHROPO	1	Os humain	Squelette	/	Haut Moyen Âge	bonne	250	2021	caisse Alibert	15
P152	1010935	8128	14 - ANTHROPO	1	Os humain	Squelette	/	Haut Moyen Âge	bonne	1139	2021	caisse Alibert	16
P152	1010935	8132	14 - ANTHROPO	1	Os humain	Squelette	/	Haut Moyen Âge	bonne	74	2021	caisse Alibert	16
P152	1010935	8134	14 - ANTHROPO	1	Os humain	Squelette	/	Haut Moyen Âge	moyenne	3066	2021	caisse Alibert	16
P152	1010935	8138	14 - ANTHROPO	1	Os humain	Squelette	/	Haut Moyen Âge	bonne	352	2021	caisse Alibert	16

Localisation cadastral	N° d'OA	N° d'U.E	N° de Matière	N°d'ordre	Catégorie	Identification	Description	Période	Conservation	Poids en gr	Date découverte	Condition. type	"N° Cond. caisse"
P152	1010935	8139	14 - ANTHROPO	1	Os humain	Squelette	/	Haut Moyen Âge	moyenne	97	2021	caisse Alibert	17
P152	1010935	8140	14 - ANTHROPO	1	Os humain	Squelette	/	Haut Moyen Âge	bonne	90	2021	caisse Alibert	17
P152	1010935	8202	14 - ANTHROPO	1	Os humain	Squelette	/	Haut Moyen Âge	moyenne	1355	2022	caisse Alibert	1
P152	1010935	8206	14 - ANTHROPO	1	Os humain	Squelette	/	Haut Moyen Âge	bonne	1587	2022	caisse Alibert	1
P152	1010935	8211	14 - ANTHROPO	1	Os humain	Squelette	/	Haut Moyen Âge	bonne	934	2022	caisse Alibert	1
P152	1010935	8216	14 - ANTHROPO	1	Os humain	Squelette	/	Haut Moyen Âge	bonne	2720	2022	caisse Alibert	2
P152	1010935	8218	14 - ANTHROPO	1	Os humain	Squelette	/	Haut Moyen Âge	bonne	3087	2022	caisse Alibert	2
P152	1010935	8220	14 - ANTHROPO	1	Os humain	Squelette	/	Haut Moyen Âge	bonne	240	2022	caisse Alibert	13
P152	1010935	8222	14 - ANTHROPO	1	Os humain	Squelette	/	Haut Moyen Âge	bonne	755	2022	caisse Alibert	3
P152	1010935	8225	14 - ANTHROPO	1	Os humain	Squelette	/	Haut Moyen Âge	bonne	735	2022	caisse Alibert	3
P152	1010935	8228	14 - ANTHROPO	1	Os humain	Squelette	/	Haut Moyen Âge	bonne	171	2022	caisse Alibert	3
P152	1010935	8231	14 - ANTHROPO	1	Os humain	Squelette	/	Haut Moyen Âge	bonne	3149	2022	caisse Alibert	3
P152	1010935	8234	14 - ANTHROPO	1	Os humain	Squelette	/	Haut Moyen Âge	bonne	2712	2022	caisse Alibert	4
P152	1010935	8237	14 - ANTHROPO	1	Os humain	Squelette	/	Haut Moyen Âge	bonne	451	2022	caisse Alibert	4
P152	1010935	8240	14 - ANTHROPO	1	Os humain	Squelette	/	Haut Moyen Âge	bonne	2521	2022	caisse Alibert	4
P152	1010935	8243	14 - ANTHROPO	1	Os humain	Squelette	/	Haut Moyen Âge	bonne	552	2022	caisse Alibert	5
P152	1010935	8247	14 - ANTHROPO	1	Os humain	Squelette	/	Haut Moyen Âge	bonne	1104	2022	caisse Alibert	5
P152	1010935	8249	14 - ANTHROPO	1	Os humain	Squelette	/	Haut Moyen Âge	bonne	2350	2022	caisse Alibert	5
P152	1010935	8253	14 - ANTHROPO	1	Os humain	Squelette	/	Haut Moyen Âge	bonne	2193	2022	caisse Alibert	6

Localisation cadastral	N° d'OA	N° d'U.E	N° de Matière	N°d'ordre	Catégorie	Identification	Description	Période	Conservation	Poids en gr	Date découverte	Condition. type	"N° Cond. caisse"
P152	1010935	8260	14 - ANTHROPO	1	Os humain	Squelette	/	Haut Moyen Âge	bonne	2910	2022	caisse Alibert	7
P152	1010935	8262	14 - ANTHROPO	1	Os humain	Squelette	/	Haut Moyen Âge	bonne	1731	2022	caisse Alibert	7
P152	1010935	8265	14 - ANTHROPO	1	Os humain	Squelette	/	Haut Moyen Âge	bonne	684	2022	caisse Alibert	7
P152	1010935	8269	14 - ANTHROPO	1	Os humain	Squelette	/	Haut Moyen Âge	bonne	1083	2022	caisse Alibert	8
P152	1010935	8271	14 - ANTHROPO	1	Os humain	Squelette	/	Haut Moyen Âge	bonne	2268	2022	caisse Alibert	9
P152	1010935	8279	14 - ANTHROPO	1	Os humain	Squelette	/	Haut Moyen Âge	bonne	3105	2022	caisse Alibert	8
P152	1010935	8285	14 - ANTHROPO	1	Os humain	Squelette	/	Haut Moyen Âge	bonne	3164	2022	caisse Alibert	10
P152	1010935	8287	14 - ANTHROPO	1	Os humain	Squelette	/	Haut Moyen Âge	bonne	1296	2022	caisse Alibert	10
P152	1010935	8290	14 - ANTHROPO	1	Os humain	Squelette	/	Haut Moyen Âge	bonne	1153	2022	caisse Alibert	10
P152	1010935	8293	14 - ANTHROPO	1	Os humain	Squelette	/	Haut Moyen Âge	bonne	2275	2022	caisse Alibert	11
P152	1010935	8296	14 - ANTHROPO	1	Os humain	Squelette	/	Haut Moyen Âge	moyenne	660	2022	caisse Alibert	11
P152	1010935	8298	14 - ANTHROPO	1	Os humain	Squelette	/	Haut Moyen Âge	bonne	314	2022	caisse Alibert	11
P152	1010935	8303	14 - ANTHROPO	1	Os humain	Squelette	/	Haut Moyen Âge	bonne	88	2022	caisse Alibert	11
P152	1010935	8304	14 - ANTHROPO	1	Os humain	Squelette	/	Haut Moyen Âge	bonne	1195	2022	caisse Alibert	13
P152	1010935	8309	14 - ANTHROPO	1	Os humain	Squelette	/	Haut Moyen Âge	bonne	668	2022	caisse Alibert	11
P152	1010935	8311	14 - ANTHROPO	1	Os humain	Squelette	/	Haut Moyen Âge	bonne	626	2022	caisse Alibert	13
P152	1010935	8312	14 - ANTHROPO	1	Os humain	Squelette	/	Haut Moyen Âge	bonne	934	2022	caisse Alibert	13
P152	1010935	7000	14 - ANTHROPO	1	Os humain	Squelette	/	Haut Moyen Âge	bonne	1596	2019	caisse Alibert	20
P152	1010935	7003	14 - ANTHROPO	1	Os humain	Squelette	/	Haut Moyen Âge	bonne	5	2019	caisse Alibert	20

Localisation cadastral	N° d'OA	N° d'U.E	N° de Matière	N°d'ordre	Catégorie	Identification	Description	Période	Conservation	Poids en gr	Date découverte	Condition. type	"N° Cond. caisse"
P152	1010935	7005	14 - ANTHROPO	1	Os humain	Squelette	/	Haut Moyen Âge	bonne	412	2019	caisse Alibert	20
P152	1010935	7007	14 - ANTHROPO	1	Os humain	Squelette	/	Haut Moyen Âge	bonne	245	2019	caisse Alibert	21
P152	1010935	7016	14 - ANTHROPO	1	Os humain	Squelette	/	Haut Moyen Âge	bonne	76	2019	caisse Alibert	20
P152	1010935	7031	14 - ANTHROPO	1	Os humain	Squelette	/	Haut Moyen Âge	bonne	140	2019	caisse Alibert	20
P152	1010935	7043	14 - ANTHROPO	1	Os humain	Squelette	/	Haut Moyen Âge	bonne	235	2019	caisse Alibert	20
P152	1010935	7047	14 - ANTHROPO	1	Os humain	Squelette	/	Haut Moyen Âge	bonne	166	2019	caisse Alibert	20
P152	1010935	7050	14 - ANTHROPO	1	Os humain	Squelette	/	Haut Moyen Âge	bonne	4	2019	caisse Alibert	20
P152	1010935	7053	14 - ANTHROPO	1	Os humain	Squelette	/	Haut Moyen Âge	bonne	176	2019	caisse Alibert	21
P152	1010935	7059	14 - ANTHROPO	1	Os humain	Squelette	/	Haut Moyen Âge	bonne	8	2019	caisse Alibert	20
P152	1010935	7063	14 - ANTHROPO	1	Os humain	Squelette	/	Haut Moyen Âge	bonne	16	2019	caisse Alibert	20
P152	1010935	7071	14 - ANTHROPO	1	Os humain	Squelette	/	Haut Moyen Âge	bonne	2088	2019	caisse Alibert	9
P152	1010935	7075	14 - ANTHROPO	1	Os humain	Squelette	/	Haut Moyen Âge	bonne	35	2019	caisse Alibert	20
P152	1010935	7085	14 - ANTHROPO	1	Os humain	Squelette	/	Haut Moyen Âge	bonne	1084	2019	caisse Alibert	20
P152	1010935	7085 ri 7087	14 - ANTHROPO	1	Os humain	Squelette	/	Haut Moyen Âge	bonne	581	2019	caisse Alibert	20
P152	1010935	7089	14 - ANTHROPO	1	Os humain	Squelette	/	Haut Moyen Âge	bonne	74	2019	caisse Alibert	20
P152	1010935	7092	14 - ANTHROPO	1	Os humain	Squelette	/	Haut Moyen Âge	bonne	174	2019	caisse Alibert	20
P152	1010935	7095	14 - ANTHROPO	1	Os humain	Squelette	/	Haut Moyen Âge	bonne	45	2019	caisse Alibert	20
P152	1010935	7113	14 - ANTHROPO	1	Os humain	Squelette	/	Haut Moyen Âge	bonne	65	2019	caisse Alibert	20
P152	1010935	7113 ri 7107	14 - ANTHROPO	1	Os humain	Squelette	/	Haut Moyen Âge	bonne	341	2019	caisse Alibert	20

Localisation cadastral	N° d'OA	N° d'U.E	N° de Matière	N°d'ordre	Catégorie	Identification	Description	Période	Conservation	Poids en gr	Date découverte	Condition. type	"N° Cond. caisse"
P152	1010935	7125	14 - ANTHROPO	1	Os humain	Squelette	/	Haut Moyen Âge	bonne	25	2019	caisse Alibert	20
P152	1010935	7153	14 - ANTHROPO	1	Os humain	Squelette	/	Haut Moyen Âge	bonne	208	2019	caisse Alibert	20
P152	1010935	7154	14 - ANTHROPO	1	Os humain	Squelette	/	Haut Moyen Âge	bonne	384	2019	caisse Alibert	2
P152	1010935	7157	14 - ANTHROPO	1	Os humain	Squelette	/	Haut Moyen Âge	bonne	72	2019	caisse Alibert	20
P152	1010935	8000	14 - ANTHROPO	1	Os humain	Squelette	/	Haut Moyen Âge	bonne	14	2021	caisse Alibert	18
P152	1010935	8001	14 - ANTHROPO	1	Os humain	Squelette	/	Haut Moyen Âge	bonne	1	2021	caisse Alibert	18
P152	1010935	8002	14 - ANTHROPO	1	Os humain	Squelette	/	Haut Moyen Âge	bonne	31	2021	caisse Alibert	18
P152	1010935	8009	14 - ANTHROPO	1	Os humain	Squelette	/	Haut Moyen Âge	bonne	89	2021	caisse Alibert	18
P152	1010935	8009 ri 8087	14 - ANTHROPO	1	Os humain	Squelette	/	Haut Moyen Âge	bonne	7	2021	caisse Alibert	18
P152	1010935	8016	14 - ANTHROPO	1	Os humain	Squelette	/	Haut Moyen Âge	bonne	59	2021	caisse Alibert	18
P152	1010935	8032	14 - ANTHROPO	1	Os humain	Squelette	/	Haut Moyen Âge	bonne	726	2021	caisse Alibert	18
P152	1010935	8034	14 - ANTHROPO	1	Os humain	Squelette	/	Haut Moyen Âge	bonne	101	2021	caisse Alibert	18
P152	1010935	8037	14 - ANTHROPO	1	Os humain	Squelette	/	Haut Moyen Âge	bonne	113	2021	caisse Alibert	18
P152	1010935	8040	14 - ANTHROPO	1	Os humain	Squelette	/	Haut Moyen Âge	bonne	2	2021	caisse Alibert	18
P152	1010935	8043	14 - ANTHROPO	1	Os humain	Squelette	/	Haut Moyen Âge	bonne	121	2021	caisse Alibert	18
P152	1010935	8044	14 - ANTHROPO	1	Os humain	Squelette	/	Haut Moyen Âge	bonne	335	2021	caisse Alibert	18
P152	1010935	8048	14 - ANTHROPO	1	Os humain	Squelette	/	Haut Moyen Âge	bonne	4	2021	caisse Alibert	18
P152	1010935	8065 ri 8066	14 - ANTHROPO	1	Os humain	Squelette	/	Haut Moyen Âge	bonne	1	2021	caisse Alibert	18
P152	1010935	8070 ri 8069	14 - ANTHROPO	1	Os humain	Squelette	/	Haut Moyen Âge	bonne	14	2021	caisse Alibert	18

Localisation cadastral	N° d'OA	N° d'U.E	N° de Matière	N°d'ordre	Catégorie	Identification	Description	Période	Conservation	Poids en gr	Date découverte	Condition. type	"N° Cond. caisse"
P152	1010935	8074	14 - ANTHROPO	1	Os humain	Squelette	/	Haut Moyen Âge	bonne	16	2021	caisse Alibert	18
P152	1010935	8077	14 - ANTHROPO	1	Os humain	Squelette	/	Haut Moyen Âge	bonne	39	2021	caisse Alibert	7
P152	1010935	8078	14 - ANTHROPO	1	Os humain	Squelette	/	Haut Moyen Âge	bonne	2	2021	caisse Alibert	18
P152	1010935	8083	14 - ANTHROPO	1	Os humain	Squelette	/	Haut Moyen Âge	bonne	160	2021	caisse Alibert	18
P152	1010935	8089	14 - ANTHROPO	1	Os humain	Squelette	/	Haut Moyen Âge	bonne	14	2021	caisse Alibert	18
P152	1010935	8090	14 - ANTHROPO	1	Os humain	Squelette	/	Haut Moyen Âge	bonne	175	2021	caisse Alibert	18
P152	1010935	8092	14 - ANTHROPO	1	Os humain	Squelette	/	Haut Moyen Âge	bonne	1	2021	caisse Alibert	18
P152	1010935	8098	14 - ANTHROPO	1	Os humain	Squelette	/	Haut Moyen Âge	bonne	939	2021	caisse Alibert	18
P152	1010935	8110	14 - ANTHROPO	1	Os humain	Squelette	/	Haut Moyen Âge	bonne	310	2021	caisse Alibert	18
P152	1010935	8113	14 - ANTHROPO	1	Os humain	Squelette	/	Haut Moyen Âge	bonne	238	2021	caisse Alibert	18
P152	1010935	8119	14 - ANTHROPO	1	Os humain	Squelette	/	Haut Moyen Âge	bonne	107	2021	caisse Alibert	16
P152	1010935	8119	14 - ANTHROPO	1	Os humain	Squelette	/	Haut Moyen Âge	bonne	60	2021	caisse Alibert	18
P152	1010935	8120	14 - ANTHROPO	1	Os humain	Squelette	/	Haut Moyen Âge	bonne	998	2021	caisse Alibert	18
P152	1010935	8121	14 - ANTHROPO	1	Os humain	Squelette	/	Haut Moyen Âge	bonne	162	2021	caisse Alibert	15
P152	1010935	8128	14 - ANTHROPO	1	Os humain	Squelette	/	Haut Moyen Âge	bonne	160	2021	caisse Alibert	18
P152	1010935	8137	14 - ANTHROPO	1	Os humain	Squelette	/	Haut Moyen Âge	bonne	132	2021	caisse Alibert	18
P152	1010935	HS	14 - ANTHROPO	1	Os humain	Squelette	/	Haut Moyen Âge	bonne	65	2021	caisse Alibert	18
P152	1010935	?	14 - ANTHROPO	1	Os humain	Squelette	/	Haut Moyen Âge	bonne	67	2021	caisse Alibert	18
P152	1010935	8000	14 - ANTHROPO	1	Os humain	Squelette	/	Haut Moyen Âge	bonne	69	2022	caisse Alibert	12

Localisation cadastral	N° d'OA	N° d'U.E	N° de Matière	N°d'ordre	Catégorie	Identification	Description	Période	Conservation	Poids en gr	Date découverte	Condition. type	"N° Cond. caisse"
P152	1010935	8002	14 - ANTHROPO	1	Os humain	Squelette	/	Haut Moyen Âge	bonne	80	2022	caisse Alibert	12
P152	1010935	8045	14 - ANTHROPO	1	Os humain	Squelette	/	Haut Moyen Âge	bonne	2276	2022	caisse Alibert	13
P152	1010935	8060 ri 8059	14 - ANTHROPO	1	Os humain	Squelette	/	Haut Moyen Âge	bonne	2	2022	caisse Alibert	12
P152	1010935	8200	14 - ANTHROPO	1	Os humain	Squelette	/	Haut Moyen Âge	bonne	140	2022	caisse Alibert	12
P152	1010935	8202 ri 8093	14 - ANTHROPO	1	Os humain	Squelette	/	Haut Moyen Âge	bonne	17	2022	caisse Alibert	12
P152	1010935	8207	14 - ANTHROPO	1	Os humain	Squelette	/	Haut Moyen Âge	bonne	755	2022	caisse Alibert	13
P152	1010935	8223	14 - ANTHROPO	1	Os humain	Squelette	/	Haut Moyen Âge	bonne	1	2022	caisse Alibert	12
P152	1010935	8254	14 - ANTHROPO	1	Os humain	Squelette	/	Haut Moyen Âge	bonne	1521	2022	caisse Alibert	6
P152	1010935	8259	14 - ANTHROPO	1	Os humain	Squelette	/	Haut Moyen Âge	bonne	502	2022	caisse Alibert	12
P152	1010935	8270	14 - ANTHROPO	1	Os humain	Squelette	/	Haut Moyen Âge	bonne	1	2022	caisse Alibert	12
P152	1010935	8275	14 - ANTHROPO	1	Os humain	Squelette	/	Haut Moyen Âge	bonne	272	2022	caisse Alibert	12
P152	1010935	8281	14 - ANTHROPO	1	Os humain	Squelette	/	Haut Moyen Âge	bonne	1965	2022	caisse Alibert	9
P152	1010935	8284	14 - ANTHROPO	1	Os humain	Squelette	/	Haut Moyen Âge	bonne	370	2022	caisse Alibert	12
P152	1010935	8284 ri 8285	14 - ANTHROPO	1	Os humain	Squelette	/	Haut Moyen Âge	bonne	12	2022	caisse Alibert	12
P152	1010935	8300	14 - ANTHROPO	1	Os humain	Squelette	/	Haut Moyen Âge	bonne	330	2022	caisse Alibert	12
P152	1010935	8306	14 - ANTHROPO	1	Os humain	Squelette	/	Haut Moyen Âge	bonne	1	2022	caisse Alibert	12

INVENTAIRE DES DOCUMENTS ARCHÉOLOGIQUES

Liberté • Égalité • Fraternité RÉPUBLIQUE FRANÇAISE	Identification de l'opération						
PRÉFET DE LA RÉGION D'ILE-DE-FRANCE	N° OA	Type d'opération	Année de l'opération	Date debut terrain	Date fin terrain	Nom du responsable	Operateur
	1010935	programmée	2019-2022	1_06_2019	30_06_2022	Le Forestier	"Asso ADN"
Localisation de l'opération							
N° INSEE commune	Commune	Département	Lieu dit Adresse				
93051	Noisy-le-Grand	93	2 à 4 rue des Mastraits				

Il n'a pas été possible d'homogénéiser la documentation graphique selon les nouvelles normes du protocole de l'arrêté du 7 février 2022. A la fin de la fouille de la parcelle 152, les acteurs s'engage à fournir la totalité de la documentation depuis 2019 selon ces nouvelles directives.

Voici cependant quelques informations sur les clichés :
série : il s'agit de TERR et de RAPP
catégorie : photographie
type : photographie (terrain) ; minute (orthophotoplan)
support : numérique- Disque dur
format : .jpg / .psx (Agisoft Metashape).
crédit : Les clichés sont de C. Le Forestier, Inrap (pour les sépultures et autres structures archéologiques), exemple :

898_02.JPG

et de R. El Hajaoui pour les modèles (numéros précédés de M ou écrit "modèle", exemple :

M137_893_85.JPG

Le champ num_us correspond au numéro de la sépulture (3 chiffres) ou de l'unité stratigraphique (4 chiffres). Dès qu'il y a un M, sous la forme par exemple de M_140, il s'agit de photos prises pour la réalisation d'un modèle tridimensionnel duquel est tiré la minute (le relevé de la sépulture par exemple). Enfin, dès qu'il y a inscrit modèle, cela correspond au modèle 3D.

num_photo	num_us	taille	format

num_photo	num_us	taille	format
7076.JPG	7076	9198	5184x2920,16M
7076_02.JPG	7076	9295	5184x2920,16M
7076_03.JPG	7076	9478	5184x2920,16M
7076_04.JPG	7076	9193	5184x2920,16M
7076_05.JPG	7076	8874	5184x2920,16M
7076_06.JPG	7076	9142	5184x2920,16M
7076_07.JPG	7076	9150	5184x2920,16M
7076_08.JPG	7076	8712	5184x2920,16M
7076_09.JPG	7076	8615	5184x2920,16M
7076_10.JPG	7076	9157	5184x2920,16M
7076_11.JPG	7076	8930	5184x2920,16M
7076_12.JPG	7076	9016	5184x2920,16M
7076_13.JPG	7076	8801	5184x2920,16M
7076_14.JPG	7076	8827	5184x2920,16M
7076_15.JPG	7076	8128	5184x2920,16M
7076_16.JPG	7076	8245	5184x2920,16M
7076_17.JPG	7076	8598	5184x2920,16M
7076_18.JPG	7076	8667	5184x2920,16M
7076_19.JPG	7076	8873	5184x2920,16M
7076_20.JPG	7076	8740	5184x2920,16M
7076_21.JPG	7076	8306	5184x2920,16M
7076_22.JPG	7076	8923	5184x2920,16M
7076_23.JPG	7076	8465	5184x2920,16M
7076_24.JPG	7076	7832	5184x2920,16M
7076_25.JPG	7076	8195	5184x2920,16M
7076_26.JPG	7076	8132	5184x2920,16M
7076_27.JPG	7076	8279	5184x2920,16M
7076_28.JPG	7076	8360	5184x2920,16M
7076_29.JPG	7076	8293	5184x2920,16M
7076_30.JPG	7076	8736	5184x2920,16M
8002_radier.JPG	8002	5654	3888x5184,16M
8002_radier_02.JPG	8002	5671	5184x3888,16M
8002_radier_03.JPG	8002	5721	5184x3888,16M
8002_radier_04.JPG	8002	6047	5184x3888,16M
8002_radier_05.JPG	8002	6361	5184x3888,16M
8002_radier_06.JPG	8002	5933	3888x5184,16M
8002_radier_07.JPG	8002	6079	3888x5184,16M
8021.JPG	8021	1139	5184x3888,16M
8021_02.JPG	8021	1146	5184x3888,16M
8021_03.JPG	8021	1143	5184x3888,16M
8021_04.JPG	8021	1122	5184x3888,16M
8021_05.jpg	8021	5847	2000x1387,16M
8021_06.JPG	8021	1143	5184x3888,16M
8021_07.JPG	8021	1134	5184x3888,16M
8021_08.JPG	8021	1137	5184x3888,16M
8021_09.JPG	8021	1061	5184x3888,16M
8021_10.JPG	8021	1080	5184x3888,16M
8021_11.JPG	8021	1152	5184x3888,16M
8021_12.JPG	8021	1149	5184x3888,16M
8021_13.JPG	8021	1081	5184x3888,16M
8021_14.JPG	8021	1146	5184x3888,16M
8021_15.JPG	8021	1151	5184x3888,16M
8021_16.JPG	8021	1152	5184x3888,16M
8021_17.JPG	8021	1102	5184x3888,16M
8021_18.JPG	8021	1154	5184x3888,16M

num_photo	num_us	taille	format
8021_19.JPG	8021	1109	5184x3888,16M
8021_20.JPG	8021	1042	5184x3888,16M
8021_21.JPG	8021	9351	3888x5184,16M
8046.JPG	8046	1087	5184x3888,16M
8046_02.JPG	8046	1130	5184x3888,16M
8046_03.JPG	8046	1013	5184x3888,16M
8046_04.JPG	8046	1089	5184x3888,16M
8046_05.JPG	8046	1097	5184x3888,16M
8046_06.JPG	8046	1097	5184x3888,16M
8046_07.JPG	8046	1024	5184x3888,16M
8046_08.JPG	8046	9911	5184x3888,16M
8046_09.JPG	8046	1023	5184x3888,16M
8046_10.JPG	8046	1019	5184x3888,16M
8046_11.JPG	8046	1037	5184x3888,16M
8046_12.JPG	8046	9849	5184x3888,16M
8046_13.JPG	8046	1021	5184x3888,16M
8046_14.JPG	8046	1162	5184x3888,16M
8046_15.JPG	8046	1158	5184x3888,16M
8046_16.JPG	8046	1144	5184x3888,16M
8046_17.JPG	8046	1163	5184x3888,16M
8046_18.JPG	8046	1130	5184x3888,16M
8046_19.JPG	8046	1144	5184x3888,16M
8046_20.JPG	8046	1109	5184x3888,16M
8046_21.JPG	8046	1088	5184x3888,16M
8046_22.JPG	8046	1085	5184x3888,16M
8046_23.JPG	8046	1116	5184x3888,16M
8046_24.JPG	8046	1067	5184x3888,16M
8046_25.JPG	8046	1007	5184x3888,16M
8046_26.JPG	8046	1076	5184x3888,16M
8046_27.JPG	8046	1024	5184x3888,16M
8046_28.JPG	8046	1051	5184x3888,16M
8046_29.JPG	8046	1091	5184x3888,16M
8047.JPG	8047	1107	5184x3888,16M
8047_02.JPG	8047	1132	5184x3888,16M
8047_03.JPG	8047	1181	5184x3888,16M
8047_04.JPG	8047	1176	5184x3888,16M
8047_05.JPG	8047	1037	5184x3888,16M
8047_06.JPG	8047	1098	5184x3888,16M
8047_07.JPG	8047	1152	5184x3888,16M
8047_08.JPG	8047	1153	5184x3888,16M
8047_09.JPG	8047	1155	5184x3888,16M
8047_10.JPG	8047	1164	5184x3888,16M
8047_11.JPG	8047	1180	5184x3888,16M
8047_12.JPG	8047	1139	5184x3888,16M
8047_13.JPG	8047	1096	5184x3888,16M
8047_14.JPG	8047	1070	5184x3888,16M
8047_15.JPG	8047	1080	5184x3888,16M
8047_16.JPG	8047	1096	5184x3888,16M
8047_17.JPG	8047	1098	5184x3888,16M
8047_18.JPG	8047	1084	5184x3888,16M
8047_19.jpg	8047	5269	2000x1322,16M
8047_20.JPG	8047	1098	5184x3888,16M
8047_21.JPG	8047	1110	5184x3888,16M
8047_22.JPG	8047	1022	3888x5184,16M
8047_23.JPG	8047	1060	5184x3888,16M

num_photo	num_us	taille	format
8047_24.JPG	8047	1056	5184x3888,16M
8047_25.JPG	8047	1119	5184x3888,16M
8047_26.JPG	8047	1123	5184x3888,16M
8047_27.JPG	8047	1097	5184x3888,16M
8047_28.jpg	8047	8912	2000x2185,16M
8049_Radier.JPG	8049	1008	3888x5184,16M
8049_Radier_02.JPG	8049	1663	1500x1950,16M
8049_Radier_03.jpg	8049	1664	1500x1950,16M
8049_Radier_04.JPG	8049	9871	3888x5184,16M
8049_Radier_05.JPG	8049	9893	3888x5184,16M
8049_Radier_06.JPG	8049	1074	5184x3888,16M
8049_Radier_07.JPG	8049	1097	5184x3888,16M
811.JPG	811	1000	3888x5184,16M
811_02.JPG	811	1064	5184x3888,16M
811_03.JPG	811	1036	5184x3888,16M
811_04.JPG	811	1046	5184x3888,16M
811_05.JPG	811	1118	5184x3888,16M
811_06.JPG	811	1163	5184x3888,16M
811_07.JPG	811	1139	5184x3888,16M
811_08.JPG	811	1135	5184x3888,16M
811_09.JPG	811	1094	5184x3888,16M
811_10.JPG	811	1085	5184x3888,16M
811_11.JPG	811	1144	5184x3888,16M
811_12.JPG	811	1146	5184x3888,16M
811_13.JPG	811	1132	5184x3888,16M
811_14.JPG	811	1131	5184x3888,16M
811_15.JPG	811	1123	5184x3888,16M
812.JPG	812	1165	5184x3888,16M
812_02.JPG	812	1141	5184x3888,16M
812_03.JPG	812	1087	5184x3888,16M
812_04.JPG	812	1064	5184x3888,16M
812_05.JPG	812	1145	5184x3888,16M
812_06.JPG	812	1056	5184x3888,16M
812_07.JPG	812	1001	5184x3888,16M
812_08.JPG	812	9147	5184x3888,16M
812_09.JPG	812	1016	5184x3888,16M
812_10.JPG	812	9574	5184x3888,16M
812_11.JPG	812	1052	5184x3888,16M
812_12.JPG	812	1112	5184x3888,16M
812_13.JPG	812	1017	5184x3888,16M
812_14.JPG	812	1066	5184x3888,16M
812_15.JPG	812	1079	5184x3888,16M
813.JPG	813	1133	5184x3888,16M
813_02.JPG	813	1049	5184x3888,16M
813_03.JPG	813	1137	5184x3888,16M
813_04.JPG	813	1148	5184x3888,16M
813_05.JPG	813	1152	5184x3888,16M
813_06.JPG	813	1150	5184x3888,16M
813_07.JPG	813	1145	5184x3888,16M
813_08.JPG	813	1144	5184x3888,16M
813_09.JPG	813	1186	5184x3888,16M
813_10.JPG	813	1123	5184x3888,16M
813_11.JPG	813	1100	5184x3888,16M
813_12.JPG	813	1098	5184x3888,16M
813_13.JPG	813	1145	5184x3888,16M

num_photo	num_us	taille	format
813_14.JPG	813	1136	5184x3888,16M
813_15.JPG	813	1029	5184x3888,16M
813_16.JPG	813	1015	5184x3888,16M
813_17.JPG	813	1091	5184x3888,16M
813_18.JPG	813	1063	5184x3888,16M
813_19.JPG	813	1091	5184x3888,16M
813_20.JPG	813	1046	5184x3888,16M
813_21.JPG	813	1034	5184x3888,16M
813_22.JPG	813	1092	5184x3888,16M
813_23.JPG	813	1068	5184x3888,16M
813_24.JPG	813	1016	5184x3888,16M
813_25.JPG	813	9900	5184x3888,16M
813_26.JPG	813	9810	5184x3888,16M
813_27.JPG	813	1085	5184x3888,16M
813_28.JPG	813	1075	5184x3888,16M
813_29.JPG	813	1058	5184x3888,16M
813_30.JPG	813	1096	5184x3888,16M
813_31.JPG	813	1041	5184x3888,16M
813_32.JPG	813	1056	5184x3888,16M
813_33.JPG	813	1057	5184x3888,16M
813_34.JPG	813	1052	5184x3888,16M
813_35.JPG	813	1071	5184x3888,16M
813_36.JPG	813	1066	5184x3888,16M
813_37.JPG	813	1097	5184x3888,16M
813_38.JPG	813	1106	5184x3888,16M
813_39.JPG	813	1092	5184x3888,16M
813_40.JPG	813	1050	5184x3888,16M
813_41.JPG	813	1036	5184x3888,16M
813_42.JPG	813	1033	5184x3888,16M
813_43.JPG	813	1117	5184x3888,16M
813_44.JPG	813	1114	5184x3888,16M
813_45.JPG	813	1075	5184x3888,16M
813_46.JPG	813	1077	5184x3888,16M
813_47.JPG	813	1060	5184x3888,16M
813_48.JPG	813	1031	5184x3888,16M
813_49.JPG	813	1068	5184x3888,16M
813_50.JPG	813	1014	5184x3888,16M
813_51.JPG	813	1058	5184x3888,16M
813_52.JPG	813	1059	5184x3888,16M
813_53.JPG	813	1070	5184x3888,16M
813_54.JPG	813	1036	5184x3888,16M
814.JPG	814	1115	5184x3888,16M
814_02.JPG	814	1108	5184x3888,16M
814_03.JPG	814	1117	5184x3888,16M
814_04.JPG	814	1120	5184x3888,16M
814_05.JPG	814	1110	5184x3888,16M
814_06.JPG	814	1133	5184x3888,16M
814_07.JPG	814	1111	5184x3888,16M
814_08.JPG	814	1076	5184x3888,16M
814_09.JPG	814	1185	5184x3888,16M
814_10.JPG	814	1135	5184x3888,16M
814_11.JPG	814	1161	5184x3888,16M
814_12.JPG	814	1152	5184x3888,16M
814_13.JPG	814	1099	5184x3888,16M
814_14.JPG	814	1118	5184x3888,16M

num_photo	num_us	taille	format
814_15.JPG	814	1129	5184x3888,16M
814_16.JPG	814	1126	5184x3888,16M
814_17.JPG	814	1090	5184x3888,16M
814_18.JPG	814	1082	5184x3888,16M
814_19.JPG	814	1074	5184x3888,16M
814_20.JPG	814	1124	5184x3888,16M
814_21.JPG	814	1089	5184x3888,16M
815.JPG	815	1067	5184x3888,16M
815_02.JPG	815	1108	5184x3888,16M
815_03.JPG	815	1040	5184x3888,16M
815_04.JPG	815	1045	5184x3888,16M
815_05.JPG	815	1059	5184x3888,16M
815_06.JPG	815	1048	5184x3888,16M
815_07.JPG	815	1078	5184x3888,16M
815_08.JPG	815	1047	5184x3888,16M
815_09.JPG	815	1112	5184x3888,16M
815_10.JPG	815	1048	5184x3888,16M
816.JPG	816	1126	5184x3888,16M
816_02.JPG	816	1177	5184x3888,16M
816_03.JPG	816	1131	5184x3888,16M
816_04.JPG	816	1034	5184x3888,16M
816_05.JPG	816	1056	5184x3888,16M
816_06.JPG	816	1053	5184x3888,16M
816_07.JPG	816	1004	5184x3888,16M
816_08.JPG	816	1039	5184x3888,16M
816_09.JPG	816	1032	3888x5184,16M
817.JPG	817	1060	5184x3888,16M
817_02.JPG	817	1120	5184x3888,16M
817_03.JPG	817	1075	5184x3888,16M
817_04.JPG	817	1002	5184x3888,16M
817_05.JPG	817	1043	5184x3888,16M
817_06.JPG	817	1080	5184x3888,16M
817_07.JPG	817	1131	5184x3888,16M
817_08.JPG	817	1091	5184x3888,16M
817_09.JPG	817	1134	5184x3888,16M
817_10.JPG	817	1106	5184x3888,16M
817_11.JPG	817	1090	5184x3888,16M
818.JPG	818	8926	5184x3888,16M
818_02.JPG	818	9728	5184x3888,16M
818_03.JPG	818	1077	5184x3888,16M
818_04.JPG	818	1091	5184x3888,16M
818_05.JPG	818	1078	5184x3888,16M
818_06.JPG	818	1067	5184x3888,16M
818_07.JPG	818	1091	5184x3888,16M
818_08.JPG	818	9881	5184x3888,16M
818_09.JPG	818	1078	5184x3888,16M
818_10.JPG	818	1077	5184x3888,16M
818_11.JPG	818	1073	5184x3888,16M
818_12.JPG	818	1111	5184x3888,16M
818_13.JPG	818	1032	5184x3888,16M
8184.JPG	818	1116	5184x3888,16M
8184_02.JPG	818	1119	5184x3888,16M
8184_03.JPG	818	1116	5184x3888,16M
8184_04.JPG	818	1090	5184x3888,16M
8184_05.JPG	818	1065	5184x3888,16M

num_photo	num_us	taille	format
819.JPG	819	1089	5184x3888,16M
819_02.JPG	819	1085	5184x3888,16M
819_03.JPG	819	1097	5184x3888,16M
819_04.JPG	819	9754	5184x3888,16M
819_05.JPG	819	1115	5184x3888,16M
819_06.JPG	819	1059	5184x3888,16M
819_07.JPG	819	9642	3888x5184,16M
819_08.JPG	819	1044	5184x3888,16M
819_09.JPG	819	1058	5184x3888,16M
819_10.JPG	819	1074	5184x3888,16M
819_11.JPG	819	1052	5184x3888,16M
819_12.JPG	819	1067	5184x3888,16M
820.JPG	820	1004	5184x3888,16M
820_02.JPG	820	1019	5184x3888,16M
820_03.JPG	820	1014	5184x3888,16M
820_04.JPG	820	1021	5184x3888,16M
820_05.JPG	820	1015	5184x3888,16M
820_06.JPG	820	1048	5184x3888,16M
820_07.JPG	820	1043	5184x3888,16M
820_08.JPG	820	1043	3888x5184,16M
820_09.JPG	820	1142	5184x3888,16M
820_10.JPG	820	1150	5184x3888,16M
820_11.JPG	820	1073	5184x3888,16M
820_12.JPG	820	1039	5184x3888,16M
820_13.JPG	820	1096	5184x3888,16M
820_14.JPG	820	9972	5184x3888,16M
820_15.JPG	820	1045	5184x3888,16M
820_16.JPG	820	1026	5184x3888,16M
820_17.JPG	820	1018	5184x3888,16M
820_18.JPG	820	1092	5184x3888,16M
820_19.JPG	820	1046	5184x3888,16M
820_20.JPG	820	1023	5184x3888,16M
820_21.JPG	820	1020	5184x3888,16M
820_22.JPG	820	1033	5184x3888,16M
820_23.JPG	820	1021	5184x3888,16M
820_24.JPG	820	1038	5184x3888,16M
820_25.JPG	820	9918	5184x3888,16M
821.JPG	821	1055	5184x3888,16M
821_02.JPG	821	1116	5184x3888,16M
821_03.JPG	821	1176	5184x3888,16M
821_04.JPG	821	1131	5184x3888,16M
821_05.JPG	821	1120	5184x3888,16M
821_06.JPG	821	1108	5184x3888,16M
821_07.JPG	821	1113	5184x3888,16M
822.JPG	822	9589	5184x3888,16M
822_02.JPG	822	1142	5184x3888,16M
822_03.JPG	822	1125	5184x3888,16M
822_04.JPG	822	1036	5184x3888,16M
822_05.JPG	822	1062	5184x3888,16M
822_06.JPG	822	1102	5184x3888,16M
822_07.JPG	822	1128	5184x3888,16M
822_08.JPG	822	1113	5184x3888,16M
822_09.JPG	822	1125	5184x3888,16M
822_10.JPG	822	1118	5184x3888,16M
822_11.JPG	822	1137	5184x3888,16M

num_photo	num_us	taille	format
822_12.JPG	822	1088	5184x3888,16M
822_13.JPG	822	9968	5184x3888,16M
822_14.JPG	822	9961	5184x3888,16M
822_15.JPG	822	1032	5184x3888,16M
822_16.JPG	822	1030	5184x3888,16M
823.JPG	823	9973	5184x3888,16M
823_02.JPG	823	1089	5184x3888,16M
823_03.JPG	823	1011	5184x3888,16M
823_04.JPG	823	1123	5184x3888,16M
823_05.JPG	823	1024	5184x3888,16M
823_06.JPG	823	1048	5184x3888,16M
823_07.JPG	823	1106	5184x3888,16M
823_08.JPG	823	1117	5184x3888,16M
823_09.JPG	823	1119	5184x3888,16M
823_10.JPG	823	1036	5184x3888,16M
823_11.JPG	823	9854	5184x3888,16M
823_12.JPG	823	1046	5184x3888,16M
823_13.JPG	823	9862	5184x3888,16M
823_14.JPG	823	1090	5184x3888,16M
823_15.JPG	823	1051	5184x3888,16M
824.JPG	824	1055	5184x3888,16M
824_02.JPG	824	1058	5184x3888,16M
824_03.JPG	824	1143	5184x3888,16M
824_04.JPG	824	1121	5184x3888,16M
824_05.JPG	824	1118	5184x3888,16M
824_06.JPG	824	1119	5184x3888,16M
824_07.JPG	824	1146	5184x3888,16M
824_08.JPG	824	1120	5184x3888,16M
825.JPG	825	1102	5184x3888,16M
825_02.JPG	825	1101	5184x3888,16M
825_03.JPG	825	1076	5184x3888,16M
825_04.JPG	825	1020	5184x3888,16M
825_05.JPG	825	1026	5184x3888,16M
825_06.JPG	825	1094	5184x3888,16M
825_07.JPG	825	1092	5184x3888,16M
825_08.JPG	825	9035	3888x5184,16M
825_09.JPG	825	1057	5184x3888,16M
825_10.JPG	825	1049	5184x3888,16M
825_11.JPG	825	1080	5184x3888,16M
825_12.JPG	825	1101	5184x3888,16M
825_13.JPG	825	1081	5184x3888,16M
825_14.JPG	825	1080	5184x3888,16M
825_15.JPG	825	1126	5184x3888,16M
825_16.JPG	825	1093	5184x3888,16M
826.JPG	826	1021	5184x3888,16M
826_02.JPG	826	1046	5184x3888,16M
826_03.JPG	826	9986	5184x3888,16M
826_04.JPG	826	1072	5184x3888,16M
826_05.JPG	826	1017	5184x3888,16M
826_06.JPG	826	1133	5184x3888,16M
826_07.JPG	826	1142	5184x3888,16M
826_08.JPG	826	1142	5184x3888,16M
826_09.JPG	826	1020	5184x3888,16M
826_10.JPG	826	1017	5184x3888,16M
826_11.JPG	826	1070	5184x3888,16M

num_photo	num_us	taille	format
826_12.JPG	826	1054	5184x3888,16M
826_13.JPG	826	1065	5184x3888,16M
826_14.JPG	826	1114	5184x3888,16M
827.JPG	827	1047	5184x3888,16M
827_02.JPG	827	1092	5184x3888,16M
827_03.JPG	827	1112	5184x3888,16M
827_04.JPG	827	1127	5184x3888,16M
827_05.JPG	827	1046	5184x3888,16M
827_06.JPG	827	1103	5184x3888,16M
827_07.JPG	827	1076	5184x3888,16M
827_08.JPG	827	1054	5184x3888,16M
827_09.JPG	827	1067	5184x3888,16M
827_10.JPG	827	1109	5184x3888,16M
827_11.JPG	827	1018	5184x3888,16M
827_12.JPG	827	1118	5184x3888,16M
827_13.JPG	827	1038	5184x3888,16M
827_14.JPG	827	1035	5184x3888,16M
827_15.JPG	827	1027	5184x3888,16M
827_16.JPG	827	1069	5184x3888,16M
827_17.JPG	827	1050	5184x3888,16M
827_18.JPG	827	9410	5184x3888,16M
827_19.JPG	827	1105	5184x3888,16M
827_20.JPG	827	1055	5184x3888,16M
827_21.JPG	827	1069	5184x3888,16M
827_22.JPG	827	1086	5184x3888,16M
8274.JPG	8274	9025	5184x2920,16M
8274_02.JPG	8274	9035	5184x2920,16M
8274_03.JPG	8274	8364	5184x2920,16M
8274_04.JPG	8274	8357	5184x2920,16M
8274_05.JPG	8274	9054	5184x2920,16M
8274_06.JPG	8274	8180	5184x2920,16M
8274_07.JPG	8274	8705	5184x2920,16M
8274_08.JPG	8274	9050	5184x2920,16M
8274_09.JPG	8274	8419	5184x2920,16M
8274_10.JPG	8274	8987	5184x2920,16M
8274_11.JPG	8274	8752	5184x2920,16M
8274_12.JPG	8274	8563	5184x2920,16M
8274_13.JPG	8274	8538	5184x2920,16M
8274_14.JPG	8274	8655	5184x2920,16M
8274_15.JPG	8274	8889	5184x2920,16M
8274_16.JPG	8274	9137	5184x2920,16M
8274_17.JPG	8274	8763	5184x2920,16M
8274_18.JPG	8274	6659	5184x2920,16M
8274_19.JPG	8274	8261	5184x2920,16M
8274_20.JPG	8274	8760	5184x2920,16M
8274_21.JPG	8274	8890	5184x2920,16M
8274_22.JPG	8274	8803	5184x2920,16M
8274_23.JPG	8274	9063	5184x2920,16M
8274_24.JPG	8274	8938	5184x2920,16M
8274_25.JPG	8274	9112	5184x2920,16M
8274_26.JPG	8274	8739	5184x2920,16M
8274_27.JPG	8274	8361	5184x2920,16M
8274_28.JPG	8274	8263	5184x2920,16M
8274_29.JPG	8274	8379	5184x2920,16M
8274_30.JPG	8274	8598	5184x2920,16M

num_photo	num_us	taille	format
8274_31.JPG	8274	9089	5184x2920,16M
8274_32.JPG	8274	8446	5184x2920,16M
8274_33.JPG	8274	8371	5184x2920,16M
8274_34.JPG	8274	8539	5184x2920,16M
8274_35.JPG	8274	8413	5184x2920,16M
8274_36.JPG	8274	8624	5184x2920,16M
8274_37.JPG	8274	8200	5184x2920,16M
8274_38.JPG	8274	8881	5184x2920,16M
8274_39.JPG	8274	8193	5184x2920,16M
8274_40.JPG	8274	8984	5184x2920,16M
8274_41.JPG	8274	9053	5184x2920,16M
8274_42.JPG	8274	8856	5184x2920,16M
8274_43.JPG	8274	8973	5184x2920,16M
8274_44.JPG	8274	8744	5184x2920,16M
8274_45.JPG	8274	8747	5184x2920,16M
8274_46.JPG	8274	8885	5184x2920,16M
8274_47.JPG	8274	8740	5184x2920,16M
8274_48.JPG	8274	8741	5184x2920,16M
8274_49.JPG	8274	9121	5184x2920,16M
8274_50.JPG	8274	8999	5184x2920,16M
828.JPG	828	1077	5184x3888,16M
828_02.JPG	828	1090	5184x3888,16M
828_03.JPG	828	1050	5184x3888,16M
828_04.JPG	828	1140	5184x3888,16M
828_05.JPG	828	1132	5184x3888,16M
828_06.JPG	828	1143	5184x3888,16M
828_07.JPG	828	1092	5184x3888,16M
828_08.JPG	828	1139	5184x3888,16M
828_09.JPG	828	1119	5184x3888,16M
828_10.JPG	828	1118	5184x3888,16M
828_11.JPG	828	1070	5184x3888,16M
829.JPG	829	1004	5184x3888,16M
829_02.JPG	829	1062	5184x3888,16M
829_03.JPG	829	1104	5184x3888,16M
829_04.JPG	829	1102	5184x3888,16M
829_05.JPG	829	1109	5184x3888,16M
829_06.JPG	829	1115	5184x3888,16M
829_07.JPG	829	1093	5184x3888,16M
829_08.JPG	829	1020	5184x3888,16M
829_09.JPG	829	1071	5184x3888,16M
829_10.JPG	829	1046	5184x3888,16M
829_11.JPG	829	1054	5184x3888,16M
829_12.JPG	829	1020	5184x3888,16M
829_13.JPG	829	1068	5184x3888,16M
829_14.JPG	829	1082	5184x3888,16M
829_15.JPG	829	1047	5184x3888,16M
829_16.JPG	829	1054	5184x3888,16M
829_17.JPG	829	1039	5184x3888,16M
829_18.JPG	829	1110	5184x3888,16M
829_19.JPG	829	1101	5184x3888,16M
829_20.JPG	829	1066	5184x3888,16M
829_21.JPG	829	1097	5184x3888,16M
829_22.JPG	829	1069	5184x3888,16M
829_23.JPG	829	1027	5184x3888,16M
829_24.JPG	829	1087	5184x3888,16M

num_photo	num_us	taille	format
829_25.JPG	829	1091	5184x3888,16M
829_26.JPG	829	1064	5184x3888,16M
829_27.JPG	829	1031	5184x3888,16M
829_28.JPG	829	1050	5184x3888,16M
829_29.JPG	829	1054	5184x3888,16M
829_30.JPG	829	1046	5184x3888,16M
829_31.JPG	829	1048	5184x3888,16M
829_32.JPG	829	1079	5184x3888,16M
829_33.JPG	829	1072	5184x3888,16M
829_34.JPG	829	1085	5184x3888,16M
829_35.JPG	829	1046	5184x3888,16M
829_36.JPG	829	1073	5184x3888,16M
829_37.JPG	829	1053	5184x3888,16M
829_38.JPG	829	1070	5184x3888,16M
829_39.JPG	829	1053	5184x3888,16M
830.JPG	830	1071	5184x3888,16M
830_02.JPG	830	1048	5184x3888,16M
830_03.JPG	830	1127	5184x3888,16M
830_04.JPG	830	1084	5184x3888,16M
830_05.JPG	830	1070	5184x3888,16M
830_06.JPG	830	9255	3888x5184,16M
830_07.JPG	830	1044	5184x3888,16M
830_08.JPG	830	1096	5184x3888,16M
830_09.JPG	830	1016	5184x3888,16M
830_10.JPG	830	1073	5184x3888,16M
830_11.JPG	830	1037	5184x3888,16M
830_12.JPG	830	1050	5184x3888,16M
830_13.JPG	830	9746	3888x5184,16M
830_14.JPG	830	1135	5184x3888,16M
830_15.JPG	830	1124	5184x3888,16M
830_16.JPG	830	1146	5184x3888,16M
830_17.JPG	830	9760	3888x5184,16M
830_18.JPG	830	1048	5184x3888,16M
830_19.JPG	830	1017	5184x3888,16M
830_20.JPG	830	1054	5184x3888,16M
831.JPG	831	1095	5184x3888,16M
831_02.JPG	831	1117	5184x3888,16M
831_03.JPG	831	1123	5184x3888,16M
831_04.JPG	831	1093	5184x3888,16M
831_05.JPG	831	1093	5184x3888,16M
831_06.JPG	831	1090	5184x3888,16M
831_07.JPG	831	1073	5184x3888,16M
831_08.JPG	831	1042	5184x3888,16M
831_09.JPG	831	1067	5184x3888,16M
831_10.JPG	831	1060	5184x3888,16M
831_11.JPG	831	1057	5184x3888,16M
831_12.JPG	831	1069	5184x3888,16M
831_13.JPG	831	1073	5184x3888,16M
831_14.JPG	831	1113	5184x3888,16M
831_15.JPG	831	1038	5184x3888,16M
831_16.JPG	831	1056	5184x3888,16M
831_17.JPG	831	1108	5184x3888,16M
831_18.JPG	831	1115	5184x3888,16M
832.JPG	832	9716	3888x5184,16M
832_02.JPG	832	1074	5184x3888,16M

num_photo	num_us	taille	format
832_03.JPG	832	1061	5184x3888,16M
832_04.JPG	832	1075	5184x3888,16M
832_05.JPG	832	1086	5184x3888,16M
832_06.JPG	832	1086	5184x3888,16M
832_07.JPG	832	1102	5184x3888,16M
832_08.JPG	832	1081	5184x3888,16M
832_09.JPG	832	9807	5184x3888,16M
832_10.JPG	832	1077	5184x3888,16M
832_11.JPG	832	1070	5184x3888,16M
832_12.JPG	832	1066	5184x3888,16M
832_13.JPG	832	1119	5184x3888,16M
832_14.JPG	832	1052	5184x3888,16M
832_15.JPG	832	1066	5184x3888,16M
832_16.JPG	832	1037	5184x3888,16M
832_17.JPG	832	1025	5184x3888,16M
832_18.JPG	832	1029	5184x3888,16M
832_19.JPG	832	1066	5184x3888,16M
832_20.JPG	832	1070	5184x3888,16M
832_21.JPG	832	1057	5184x3888,16M
832_22.JPG	832	1110	5184x3888,16M
832_23.JPG	832	1100	5184x3888,16M
832_24.JPG	832	1106	5184x3888,16M
832_25.JPG	832	1088	5184x3888,16M
832_26.JPG	832	1103	5184x3888,16M
832_27.JPG	832	1073	5184x3888,16M
832_28.JPG	832	1103	5184x3888,16M
832_29.JPG	832	1107	5184x3888,16M
832_30.JPG	832	1071	5184x3888,16M
832_31.JPG	832	1072	5184x3888,16M
832_32.JPG	832	1091	5184x3888,16M
832_33.JPG	832	1094	5184x3888,16M
832_34.JPG	832	1121	5184x3888,16M
832_35.JPG	832	1095	5184x3888,16M
832_36.JPG	832	1104	5184x3888,16M
832_37.JPG	832	1110	5184x3888,16M
832_38.JPG	832	1098	5184x3888,16M
832_39.JPG	832	1109	5184x3888,16M
832_40.JPG	832	1087	5184x3888,16M
832_41.JPG	832	1078	5184x3888,16M
832_42.JPG	832	1060	5184x3888,16M
832_43.JPG	832	1080	5184x3888,16M
832_44.JPG	832	1069	5184x3888,16M
832_45.JPG	832	1139	5184x3888,16M
832_46.JPG	832	1134	5184x3888,16M
832_47.JPG	832	1149	5184x3888,16M
832_48.JPG	832	1130	5184x3888,16M
832_49.JPG	832	1033	5184x3888,16M
832_50.JPG	832	1057	5184x3888,16M
832_51.JPG	832	1098	5184x3888,16M
832_52.JPG	832	1123	5184x3888,16M
832_53.JPG	832	1088	5184x3888,16M
832_54.JPG	832	1102	5184x3888,16M
832_55.JPG	832	1108	5184x3888,16M
833.JPG	833	1142	5184x3888,16M
833_02.JPG	833	1129	5184x3888,16M

num_photo	num_us	taille	format
833_03.JPG	833	1093	5184x3888,16M
833_04.JPG	833	1124	5184x3888,16M
833_05.JPG	833	1083	5184x3888,16M
833_06.JPG	833	1071	5184x3888,16M
833_07.JPG	833	1108	5184x3888,16M
833_08.JPG	833	1072	5184x3888,16M
833_09.JPG	833	1118	5184x3888,16M
833_10.JPG	833	1045	5184x3888,16M
833_11.JPG	833	1065	5184x3888,16M
833_12.JPG	833	1063	5184x3888,16M
833_13.JPG	833	1048	5184x3888,16M
833_14.JPG	833	9813	3888x5184,16M
833_15.JPG	833	9591	3888x5184,16M
833_16.JPG	833	9597	3888x5184,16M
833_17.JPG	833	1068	5184x3888,16M
833_18.JPG	833	1068	5184x3888,16M
833_19.JPG	833	1060	5184x3888,16M
833_20.JPG	833	1039	5184x3888,16M
833_21.JPG	833	1062	5184x3888,16M
833_22.JPG	833	1076	5184x3888,16M
833_23.JPG	833	1069	5184x3888,16M
833_24.JPG	833	1045	5184x3888,16M
833_25.JPG	833	1068	5184x3888,16M
833_26.JPG	833	1068	5184x3888,16M
833_27.JPG	833	1088	5184x3888,16M
834.JPG	834	1044	5184x3888,16M
834_02.JPG	834	1024	5184x3888,16M
834_03.JPG	834	1003	5184x3888,16M
834_04.JPG	834	9995	5184x3888,16M
834_05.JPG	834	1088	5184x3888,16M
834_06.JPG	834	1064	5184x3888,16M
834_07.JPG	834	9989	5184x3888,16M
834_08.JPG	834	1051	5184x3888,16M
834_09.JPG	834	1043	5184x3888,16M
834_10.JPG	834	9992	5184x3888,16M
834_11.JPG	834	1068	5184x3888,16M
834_12.JPG	834	1065	5184x3888,16M
834_13.JPG	834	1054	5184x3888,16M
834_14.JPG	834	1048	5184x3888,16M
834_15.JPG	834	1041	5184x3888,16M
834_16.JPG	834	9288	3888x5184,16M
834_17.JPG	834	1115	5184x3888,16M
834_18.JPG	834	1103	5184x3888,16M
834_19.JPG	834	1073	5184x3888,16M
834_20.JPG	834	1079	5184x3888,16M
834_21.JPG	834	1087	5184x3888,16M
834_22.JPG	834	1063	5184x3888,16M
834_23.JPG	834	1060	5184x3888,16M
834_24.JPG	834	1059	5184x3888,16M
834_25.JPG	834	1022	5184x3888,16M
834_26.JPG	834	1043	5184x3888,16M
834_27.JPG	834	1046	5184x3888,16M
834_28.JPG	834	9148	5184x3888,16M
834_29.JPG	834	1055	5184x3888,16M
834_30.JPG	834	1062	5184x3888,16M

num_photo	num_us	taille	format
835.JPG	835	1087	5184x3888,16M
835_02.JPG	835	1047	5184x3888,16M
835_03.JPG	835	1065	5184x3888,16M
835_04.JPG	835	9530	5184x3888,16M
835_05.JPG	835	1064	5184x3888,16M
835_06.JPG	835	1056	5184x3888,16M
835_07.JPG	835	1060	5184x3888,16M
835_08.JPG	835	1097	5184x3888,16M
835_09.JPG	835	1075	5184x3888,16M
835_10.JPG	835	1116	5184x3888,16M
835_11.JPG	835	1084	5184x3888,16M
835_12.JPG	835	1092	5184x3888,16M
835_13.JPG	835	8930	3888x5184,16M
835_14.JPG	835	1006	5184x3888,16M
835_15.JPG	835	1093	5184x3888,16M
835_16.JPG	835	1080	5184x3888,16M
835_17.JPG	835	9652	3888x5184,16M
835_18.JPG	835	1061	5184x3888,16M
836.JPG	836	1092	5184x3888,16M
836_02.JPG	836	9976	5184x3888,16M
836_03.JPG	836	1006	5184x3888,16M
836_04.JPG	836	1085	5184x3888,16M
836_05.JPG	836	1069	5184x3888,16M
836_06.JPG	836	1014	5184x3888,16M
836_07.JPG	836	1127	5184x3888,16M
836_08.JPG	836	1065	5184x3888,16M
836_09.JPG	836	1061	5184x3888,16M
836_10.JPG	836	1071	5184x3888,16M
836_11.JPG	836	1058	5184x3888,16M
836_12.JPG	836	1018	5184x3888,16M
836_13.JPG	836	1093	5184x3888,16M
836_14.JPG	836	1080	5184x3888,16M
836_15.JPG	836	1061	5184x3888,16M
836_16.JPG	836	1061	5184x3888,16M
837.JPG	837	1094	5184x3888,16M
837_02.JPG	837	1032	5184x3888,16M
837_03.JPG	837	1080	5184x3888,16M
837_04.JPG	837	1022	5184x3888,16M
837_05.JPG	837	1012	5184x3888,16M
837_06.JPG	837	1066	5184x3888,16M
837_07.JPG	837	1014	5184x3888,16M
837_08.JPG	837	1027	5184x3888,16M
837_09.JPG	837	1084	5184x3888,16M
837_10.JPG	837	1024	5184x3888,16M
837_11.JPG	837	1022	5184x3888,16M
837_12.JPG	837	1024	5184x3888,16M
837_13.JPG	837	1028	5184x3888,16M
838.JPG	838	1088	5184x3888,16M
838_02.JPG	838	1103	5184x3888,16M
838_03.JPG	838	1067	5184x3888,16M
838_04.JPG	838	1086	5184x3888,16M
838_05.JPG	838	1012	5184x3888,16M
838_06.JPG	838	1115	5184x3888,16M
838_07.JPG	838	1022	5184x3888,16M
838_08.JPG	838	1016	5184x3888,16M

num_photo	num_us	taille	format
838_09.JPG	838	1106	5184x3888,16M
838_10.JPG	838	1074	5184x3888,16M
838_11.JPG	838	1079	5184x3888,16M
838_12.JPG	838	1050	5184x3888,16M
838_13.JPG	838	1145	5184x3888,16M
838_14.JPG	838	1094	5184x3888,16M
838_15.JPG	838	1032	5184x3888,16M
838_16.JPG	838	1080	5184x3888,16M
838_17.JPG	838	1022	5184x3888,16M
838_18.JPG	838	1012	5184x3888,16M
839.JPG	839	1041	5184x3888,16M
839_02.JPG	839	1017	5184x3888,16M
839_03.JPG	839	9405	5184x3888,16M
839_04.JPG	839	1116	5184x3888,16M
839_05.JPG	839	1112	5184x3888,16M
839_06.JPG	839	1052	5184x3888,16M
839_07.JPG	839	1040	5184x3888,16M
839_08.JPG	839	1021	5184x3888,16M
839_09.JPG	839	1130	5184x3888,16M
839_10.JPG	839	1097	5184x3888,16M
839_11.JPG	839	1066	5184x3888,16M
839_12.JPG	839	1056	5184x3888,16M
839_13.JPG	839	1105	5184x3888,16M
840.JPG	840	1053	5184x3888,16M
841.docx	841	1165	
841.JPG	841	1179	5184x3888,16M
841_02.JPG	841	1138	5184x3888,16M
841_03.JPG	841	1160	5184x3888,16M
841_04.JPG	841	1075	5184x3888,16M
841_05.JPG	841	1165	5184x3888,16M
841_06.JPG	841	1156	5184x3888,16M
841_07.JPG	841	1176	5184x3888,16M
841_08.JPG	841	1173	5184x3888,16M
841_09.JPG	841	1133	5184x3888,16M
841_10.JPG	841	1063	5184x3888,16M
841_11.JPG	841	1000	5184x3888,16M
841_12.JPG	841	1063	5184x3888,16M
841_13.JPG	841	1110	5184x3888,16M
841_14.JPG	841	1088	5184x3888,16M
841_15.JPG	841	1114	5184x3888,16M
841_16.JPG	841	1136	5184x3888,16M
841_17.JPG	841	1136	5184x3888,16M
841_18.JPG	841	1135	5184x3888,16M
842.JPG	842	1004	5184x3888,16M
842_02.JPG	842	1025	5184x3888,16M
842_03.JPG	842	1026	5184x3888,16M
842_04.JPG	842	9940	5184x3888,16M
842_05.JPG	842	1017	5184x3888,16M
842_06.JPG	842	1010	5184x3888,16M
842_07.JPG	842	1039	5184x3888,16M
842_08.JPG	842	1056	5184x3888,16M
842_09.JPG	842	1152	5184x3888,16M
842_10.JPG	842	1031	5184x3888,16M
842_11.JPG	842	1048	5184x3888,16M
842_12.JPG	842	1076	5184x3888,16M

num_photo	num_us	taille	format
842_13.JPG	842	1101	5184x3888,16M
842_14.JPG	842	1032	5184x3888,16M
842_15.JPG	842	1101	5184x3888,16M
842_16.JPG	842	1025	5184x3888,16M
842_17.JPG	842	1024	5184x3888,16M
842_18.JPG	842	1025	5184x3888,16M
842_19.JPG	842	9609	5184x3888,16M
842_20.JPG	842	1113	5184x3888,16M
842_21.JPG	842	1038	5184x3888,16M
842_22.JPG	842	1028	5184x3888,16M
842_23.JPG	842	9605	5184x3888,16M
842_24.JPG	842	1017	5184x3888,16M
842_25.JPG	842	9125	5184x3888,16M
842_26.JPG	842	7766	5184x3888,16M
842_27.JPG	842	9368	5184x3888,16M
842_28.JPG	842	1072	5184x3888,16M
842_29.JPG	842	1090	5184x3888,16M
843.docx	843	1165	
843.JPG	843	1163	5184x3888,16M
843_02.JPG	843	1164	5184x3888,16M
843_03.JPG	843	1173	5184x3888,16M
843_04.JPG	843	1158	5184x3888,16M
843_05.JPG	843	1148	5184x3888,16M
843_06.JPG	843	1121	5184x3888,16M
843_07.JPG	843	1173	5184x3888,16M
843_08.JPG	843	1120	5184x3888,16M
843_09.JPG	843	9527	5184x3888,16M
843_10.JPG	843	1024	5184x3888,16M
843_11.JPG	843	1073	5184x3888,16M
844.JPG	844	1114	5184x3888,16M
844_02.JPG	844	1018	5184x3888,16M
844_03.JPG	844	9796	5184x3888,16M
844_04.JPG	844	1045	5184x3888,16M
844_05.JPG	844	1028	5184x3888,16M
844_06.JPG	844	1045	5184x3888,16M
844_07.JPG	844	1050	5184x3888,16M
845.JPG	845	1111	5184x3888,16M
845_02.JPG	845	1092	5184x3888,16M
845_03.JPG	845	1027	5184x3888,16M
845_04.JPG	845	1025	5184x3888,16M
845_05.JPG	845	1067	5184x3888,16M
845_06.JPG	845	1065	5184x3888,16M
845_07.JPG	845	1082	5184x3888,16M
845_08.JPG	845	1106	5184x3888,16M
845_09.JPG	845	1103	5184x3888,16M
845_10.JPG	845	1111	5184x3888,16M
845_11.JPG	845	1067	5184x3888,16M
845_12.JPG	845	1034	5184x3888,16M
846.JPG	846	9974	5184x3888,16M
846_02.JPG	846	9362	5184x3888,16M
846_03.JPG	846	1027	5184x3888,16M
846_04.JPG	846	1035	5184x3888,16M
846_05.JPG	846	1020	5184x3888,16M
846_06.JPG	846	1026	5184x3888,16M
846_07.JPG	846	1035	5184x3888,16M

num_photo	num_us	taille	format
846_08.JPG	846	1098	5184x3888,16M
846_09.JPG	846	1020	5184x3888,16M
846_10.JPG	846	1056	5184x3888,16M
846_11.JPG	846	1056	5184x3888,16M
846_12.JPG	846	1073	5184x3888,16M
846_13.JPG	846	1016	5184x3888,16M
846_14.JPG	846	1101	5184x3888,16M
847.JPG	847	1086	5184x3888,16M
847_02.JPG	847	1010	5184x3888,16M
847_03.JPG	847	1072	5184x3888,16M
847_04.JPG	847	1095	5184x3888,16M
847_05.JPG	847	1115	5184x3888,16M
847_06.JPG	847	1139	5184x3888,16M
847_07.JPG	847	1132	5184x3888,16M
847_08.JPG	847	1098	5184x3888,16M
848.JPG	848	1024	5184x3888,16M
848_02.JPG	848	1025	5184x3888,16M
848_03.JPG	848	1000	5184x3888,16M
848_04.JPG	848	1052	5184x3888,16M
848_05.JPG	848	1060	5184x3888,16M
848_06.JPG	848	1107	5184x3888,16M
848_07.JPG	848	1057	5184x3888,16M
848_08.JPG	848	1006	5184x3888,16M
848_09.JPG	848	1079	5184x3888,16M
848_10.JPG	848	1060	5184x3888,16M
848_11.JPG	848	1067	5184x3888,16M
848_12.JPG	848	1049	5184x3888,16M
848_13.JPG	848	1058	5184x3888,16M
848_14.JPG	848	1071	5184x3888,16M
848_15.JPG	848	1041	5184x3888,16M
848_16.JPG	848	1020	5184x3888,16M
848_17.JPG	848	9424	3888x5184,16M
848_18.JPG	848	1016	5184x3888,16M
848_19.JPG	848	1056	5184x3888,16M
848_20.JPG	848	1033	5184x3888,16M
848_21.JPG	848	9915	5184x3888,16M
848_22.JPG	848	1085	5184x3888,16M
848_23.JPG	848	9955	3888x5184,16M
848_24.JPG	848	9165	5184x3888,16M
848_25.JPG	848	9821	3888x5184,16M
848_26.JPG	848	1077	5184x3888,16M
848_27.JPG	848	1074	5184x3888,16M
848_28.JPG	848	1054	5184x3888,16M
848_29.JPG	848	9676	3888x5184,16M
848_30.JPG	848	9589	3888x5184,16M
848_31.JPG	848	9403	3888x5184,16M
848_32.JPG	848	1057	5184x3888,16M
848_33.JPG	848	1044	5184x3888,16M
848_34.JPG	848	1081	5184x3888,16M
848_35.JPG	848	1055	5184x3888,16M
848_36.JPG	848	1003	5184x3888,16M
848_37.JPG	848	1090	5184x3888,16M
848_38.JPG	848	1078	5184x3888,16M
848_39.JPG	848	1054	5184x3888,16M
848_40.JPG	848	9389	3888x5184,16M

num_photo	num_us	taille	format
848_41.JPG	848	9217	3888x5184,16M
848_42.JPG	848	1046	5184x3888,16M
848_43.JPG	848	1067	5184x3888,16M
848_44.JPG	848	1032	5184x3888,16M
849.JPG	849	1050	5184x3888,16M
849_02.JPG	849	1085	5184x3888,16M
849_03.JPG	849	1053	5184x3888,16M
849_04.JPG	849	1063	5184x3888,16M
849_05.JPG	849	1119	5184x3888,16M
849_06.JPG	849	1136	5184x3888,16M
849_07.JPG	849	1052	5184x3888,16M
849_08.JPG	849	1030	5184x3888,16M
849_09.JPG	849	1009	5184x3888,16M
849_10.JPG	849	9729	5184x3888,16M
849_11.JPG	849	1032	5184x3888,16M
850.JPG	850	1050	5184x3888,16M
850_02.JPG	850	1066	5184x3888,16M
850_03.JPG	850	1076	5184x3888,16M
850_04.JPG	850	1075	5184x3888,16M
850_05.JPG	850	9950	5184x3888,16M
850_06.JPG	850	9620	3888x5184,16M
850_07.JPG	850	1138	5184x3888,16M
850_08.JPG	850	1138	5184x3888,16M
850_09.JPG	850	1112	5184x3888,16M
850_10.JPG	850	1124	5184x3888,16M
850_11.JPG	850	1066	5184x3888,16M
850_12.JPG	850	1001	5184x3888,16M
850_13.JPG	850	1034	5184x3888,16M
851.JPG	851	1098	5184x3888,16M
851_02.JPG	851	1093	5184x3888,16M
851_03.JPG	851	1107	5184x3888,16M
851_04.JPG	851	1077	5184x3888,16M
851_05.JPG	851	1069	5184x3888,16M
851_06.JPG	851	1074	5184x3888,16M
851_07.JPG	851	1116	5184x3888,16M
851_08.JPG	851	1073	5184x3888,16M
851_09.JPG	851	1022	5184x3888,16M
851_10.JPG	851	1013	5184x3888,16M
851_11.JPG	851	9694	5184x3888,16M
851_12.JPG	851	9052	5184x3888,16M
853.JPG	853	5319	5184x3888,16M
853_02.JPG	853	5165	5184x3888,16M
853_03.JPG	853	4994	5184x3888,16M
853_04.JPG	853	5322	5184x3888,16M
853_05.JPG	853	5759	5184x3888,16M
853_06.JPG	853	5295	5184x3888,16M
853_07.JPG	853	4913	5184x3888,16M
853_08.JPG	853	5258	5184x3888,16M
853_09.JPG	853	5334	5184x3888,16M
853_10.JPG	853	5208	5184x3888,16M
853_11.JPG	853	4324	5184x3888,16M
853_12.JPG	853	5153	5184x3888,16M
853_13.JPG	853	5612	5184x3888,16M
853_14.JPG	853	5687	5184x3888,16M
853_15.JPG	853	4791	5184x3888,16M

num_photo	num_us	taille	format
854.JPG	854	1081	5184x3888,16M
854_02.JPG	854	1172	5184x3888,16M
854_03.JPG	854	1094	5184x3888,16M
854_04.JPG	854	1063	5184x3888,16M
854_05.JPG	854	9653	5184x3888,16M
854_06.JPG	854	9826	5184x3888,16M
854_07.JPG	854	1012	5184x3888,16M
854_08.JPG	854	1130	5184x3888,16M
854_09.JPG	854	8896	5184x3888,16M
855.JPG	855	1062	5184x3888,16M
855_02.JPG	855	1132	5184x3888,16M
855_03.JPG	855	1125	5184x3888,16M
855_04.JPG	855	1126	5184x3888,16M
855_05.JPG	855	1113	5184x3888,16M
855_06.JPG	855	1131	5184x3888,16M
855_07.JPG	855	1163	5184x3888,16M
855_08.JPG	855	1183	5184x3888,16M
855_09.JPG	855	1154	5184x3888,16M
855_10.JPG	855	1145	5184x3888,16M
855_11.JPG	855	1145	5184x3888,16M
855_12.JPG	855	1159	5184x3888,16M
855_13.JPG	855	1052	5184x3888,16M
855_14.JPG	855	1146	5184x3888,16M
855_15.JPG	855	1059	5184x3888,16M
855_16.JPG	855	1068	5184x3888,16M
855_17.JPG	855	1161	5184x3888,16M
855_18.JPG	855	1084	5184x3888,16M
856.JPG	856	1142	5184x3888,16M
856_02.JPG	856	1151	5184x3888,16M
856_03.JPG	856	1162	5184x3888,16M
856_04.JPG	856	1162	5184x3888,16M
856_05.JPG	856	1159	5184x3888,16M
856_06.JPG	856	1103	5184x3888,16M
856_07.JPG	856	1152	5184x3888,16M
856_08.JPG	856	1157	5184x3888,16M
856_09.JPG	856	1073	5184x3888,16M
856_10.JPG	856	1111	5184x3888,16M
856_11.JPG	856	1129	5184x3888,16M
856_12.JPG	856	9771	5184x3888,16M
856_13.JPG	856	1033	5184x3888,16M
857.JPG	857	1144	5184x3888,16M
857_02.JPG	857	1101	5184x3888,16M
857_03.JPG	857	1087	5184x3888,16M
857_04.JPG	857	1138	5184x3888,16M
857_05.JPG	857	1139	5184x3888,16M
857_06.JPG	857	1135	5184x3888,16M
857_07.JPG	857	1138	5184x3888,16M
857_08.JPG	857	1140	5184x3888,16M
857_09.JPG	857	1124	5184x3888,16M
857_10.JPG	857	1132	5184x3888,16M
857_11.JPG	857	1127	5184x3888,16M
857_12.JPG	857	1108	5184x3888,16M
857_13.JPG	857	1153	5184x3888,16M
857_14.JPG	857	1164	5184x3888,16M
857_15.JPG	857	1135	5184x3888,16M
857_16.JPG	857	1154	5184x3888,16M
857_17.JPG	857	1126	5184x3888,16M
857_18.JPG	857	1079	5184x3888,16M
857_19.JPG	857	1085	5184x3888,16M
857_20.JPG	857	1096	5184x3888,16M
857_21.JPG	857	1131	5184x3888,16M
857_22.JPG	857	1119	5184x3888,16M
858.JPG	858	1077	5184x3888,16M
858_02.JPG	858	1087	5184x3888,16M
858_03.JPG	858	1077	5184x3888,16M
858_04.JPG	858	1103	5184x3888,16M
858_05.JPG	858	1089	5184x3888,16M
858_06.JPG	858	1097	5184x3888,16M
858_07.JPG	858	1082	5184x3888,16M
858_08.JPG	858	1071	5184x3888,16M
858_09.JPG	858	1009	5184x3888,16M
858_10.JPG	858	1029	5184x3888,16M
858_11.JPG	858	1098	5184x3888,16M
858_12.JPG	858	1052	5184x3888,16M
859.JPG	859	1061	5184x3888,16M
859_02.JPG	859	1180	5184x3888,16M
859_03.JPG	859	1066	5184x3888,16M
859_04.JPG	859	1198	5184x3888,16M
859_05.JPG	859	1208	5184x3888,16M
859_06.JPG	859	1192	5184x3888,16M
859_07.JPG	859	1152	5184x3888,16M
859_08.JPG	859	1115	5184x3888,16M
859_09.JPG	859	1171	5184x3888,16M
859_10.JPG	859	1054	5184x3888,16M
859_11.JPG	859	9224	5184x3888,16M
859_12.JPG	859	1164	5184x3888,16M
859_13.JPG	859	1027	5184x3888,16M
859_14.JPG	859	1184	5184x3888,16M
859_15.JPG	859	9824	5184x3888,16M
859_16.JPG	859	1115	5184x3888,16M
859_17.JPG	859	1084	5184x3888,16M
859_18.JPG	859	1132	5184x3888,16M
859_19.JPG	859	1119	5184x3888,16M
859_20.JPG	859	1116	5184x3888,16M
859_21.JPG	859	1116	5184x3888,16M
859_22.JPG	859	1133	5184x3888,16M
859_23.JPG	859	1117	5184x3888,16M
859_24.JPG	859	1108	5184x3888,16M
859_25.JPG	859	1061	5184x3888,16M
859_26.JPG	859	1097	5184x3888,16M
859_27.JPG	859	1111	5184x3888,16M
859_28.JPG	859	1109	5184x3888,16M
859_29.JPG	859	1128	5184x3888,16M
859_30.JPG	859	1037	5184x3888,16M
859_31.JPG	859	1026	5184x3888,16M
860.JPG	860	1130	5184x3888,16M
860_02.JPG	860	1153	5184x3888,16M
860_03.JPG	860	1154	5184x3888,16M
860_04.JPG	860	1176	5184x3888,16M
860_05.JPG	860	1014	5184x3888,16M

num_photo	num_us	taille	format
860_06.JPG	860	1125	5184x3888,16M
860_07.JPG	860	1013	5184x3888,16M
860_08.JPG	860	1178	5184x3888,16M
861.JPG	861	9977	5184x3888,16M
861_02.JPG	861	9987	5184x3888,16M
861_03.JPG	861	1113	5184x3888,16M
861_04.JPG	861	1113	5184x3888,16M
861_05.JPG	861	1022	5184x3888,16M
861_06.JPG	861	1147	5184x3888,16M
861_07.JPG	861	1162	5184x3888,16M
861_08.JPG	861	1078	5184x3888,16M
861_09.JPG	861	1095	5184x3888,16M
861_10.JPG	861	1103	5184x3888,16M
861_11.JPG	861	1174	5184x3888,16M
862.JPG	862	1078	5184x3888,16M
862_02.JPG	862	1037	5184x3888,16M
862_03.JPG	862	1171	5184x3888,16M
862_04.JPG	862	1100	5184x3888,16M
862_05.JPG	862	1128	5184x3888,16M
862_06.JPG	862	1035	5184x3888,16M
862_07.JPG	862	1149	5184x3888,16M
862_08.JPG	862	1154	5184x3888,16M
862_09.JPG	862	1062	5184x3888,16M
862_10.JPG	862	1143	5184x3888,16M
862_11.JPG	862	9988	5184x3888,16M
862_12.JPG	862	9604	5184x3888,16M
862_13.JPG	862	1057	5184x3888,16M
863.JPG	863	1028	5184x3888,16M
863_02.JPG	863	1092	5184x3888,16M
863_03.JPG	863	1065	5184x3888,16M
863_04.JPG	863	1068	5184x3888,16M
863_05.JPG	863	1048	5184x3888,16M
863_06.JPG	863	1138	5184x3888,16M
863_07.JPG	863	1056	5184x3888,16M
863_08.JPG	863	1071	5184x3888,16M
863_09.JPG	863	1067	5184x3888,16M
863_10.JPG	863	1049	5184x3888,16M
863_11.JPG	863	1002	5184x3888,16M
863_12.JPG	863	1018	5184x3888,16M
863_13.JPG	863	1062	5184x3888,16M
863_14.JPG	863	1038	5184x3888,16M
863_15.JPG	863	1038	5184x3888,16M
863_16.JPG	863	1077	5184x3888,16M
863_17.JPG	863	1021	5184x3888,16M
863_18.JPG	863	1076	5184x3888,16M
863_19.JPG	863	1076	5184x3888,16M
865.JPG	865	1133	5184x3888,16M
865_02.JPG	865	1019	5184x3888,16M
865_03.JPG	865	1128	5184x3888,16M
865_04.JPG	865	1095	5184x3888,16M
865_05.JPG	865	1089	5184x3888,16M
865_06.JPG	865	1102	5184x3888,16M
865_07.JPG	865	1089	5184x3888,16M
865_08.JPG	865	1075	5184x3888,16M
865_09.JPG	865	1062	5184x3888,16M

num_photo	num_us	taille	format
865_10.JPG	865	1166	5184x3888,16M
865_11.JPG	865	1151	5184x3888,16M
865_12.JPG	865	1053	5184x3888,16M
865_13.JPG	865	1030	5184x3888,16M
865_14.JPG	865	1001	5184x3888,16M
865_15.JPG	865	9885	5184x3888,16M
865_16.JPG	865	9821	5184x3888,16M
866.JPG	866	1096	5184x3888,16M
866_02.JPG	866	1086	5184x3888,16M
866_03.JPG	866	1125	5184x3888,16M
866_04.JPG	866	1104	5184x3888,16M
866_05.JPG	866	1096	5184x3888,16M
866_06.JPG	866	1149	5184x3888,16M
866_07.JPG	866	1099	5184x3888,16M
866_08.JPG	866	1196	5184x3888,16M
866_09.JPG	866	1120	5184x3888,16M
866_10.JPG	866	1102	5184x3888,16M
866_11.JPG	866	1097	5184x3888,16M
866_12.JPG	866	1082	5184x3888,16M
866_13.JPG	866	1025	5184x3888,16M
866_14.JPG	866	1155	5184x3888,16M
866_15.JPG	866	1084	5184x3888,16M
866_16.JPG	866	1161	5184x3888,16M
866_17.JPG	866	1119	5184x3888,16M
866_18.JPG	866	1003	5184x3888,16M
866_19.JPG	866	1049	5184x3888,16M
866_20.JPG	866	1037	5184x3888,16M
866_21.JPG	866	1036	5184x3888,16M
867.JPG	867	1015	5184x3888,16M
867_02.JPG	867	1018	5184x3888,16M
867_03.JPG	867	1047	5184x3888,16M
867_04.JPG	867	1130	5184x3888,16M
867_05.JPG	867	1059	5184x3888,16M
867_06.JPG	867	1047	5184x3888,16M
867_07.JPG	867	1109	5184x3888,16M
867_08.JPG	867	1056	5184x3888,16M
867_09.JPG	867	1061	5184x3888,16M
867_10.JPG	867	1072	5184x3888,16M
867_11.JPG	867	1003	5184x3888,16M
867_12.JPG	867	1007	5184x3888,16M
867_13.JPG	867	1073	5184x3888,16M
867_14.JPG	867	1046	5184x3888,16M
867_15.JPG	867	1039	5184x3888,16M
867_16.JPG	867	1089	5184x3888,16M
867_17.JPG	867	1116	5184x3888,16M
867_18.JPG	867	1144	5184x3888,16M
867_19.JPG	867	1047	5184x3888,16M
867_20.JPG	867	1005	5184x3888,16M
867_21.JPG	867	1004	5184x3888,16M
867_22.JPG	867	1139	5184x3888,16M
867_23.JPG	867	1009	5184x3888,16M
867_24.JPG	867	1061	5184x3888,16M
867_25.JPG	867	1095	5184x3888,16M
867_26.JPG	867	1103	5184x3888,16M
867_27.JPG	867	1095	5184x3888,16M

num_photo	num_us	taille	format
867_28.JPG	867	1106	5184x3888,16M
867_29.JPG	867	1046	5184x3888,16M
867_30.JPG	867	1019	5184x3888,16M
867_31.JPG	867	8775	5184x3888,16M
867_32.JPG	867	1033	5184x3888,16M
867_33.JPG	867	1032	5184x3888,16M
867_34.JPG	867	1112	5184x3888,16M
867_35.JPG	867	1050	5184x3888,16M
868.JPG	868	1053	5184x3888,16M
868_02.JPG	868	9781	5184x3888,16M
868_03.JPG	868	1110	5184x3888,16M
868_04.JPG	868	1044	5184x3888,16M
868_05.JPG	868	1096	5184x3888,16M
868_06.JPG	868	1045	5184x3888,16M
868_07.JPG	868	9878	3888x5184,16M
868_08.jpg	868	1243	2000x2667,16M
868_09.JPG	868	1066	5184x3888,16M
868_10.JPG	868	1137	5184x3888,16M
868_11.JPG	868	1131	5184x3888,16M
868_12.JPG	868	1140	5184x3888,16M
868_13.JPG	868	1110	5184x3888,16M
868_14.JPG	868	1061	5184x3888,16M
869.JPG	869	1052	5184x3888,16M
869_02.JPG	869	1056	5184x3888,16M
869_03.JPG	869	1039	5184x3888,16M
869_04.JPG	869	1122	5184x3888,16M
869_05.JPG	869	1130	5184x3888,16M
869_06.JPG	869	1066	5184x3888,16M
869_07.JPG	869	1053	5184x3888,16M
869_08.JPG	869	1032	5184x3888,16M
869_09.JPG	869	1068	5184x3888,16M
869_10.JPG	869	1066	5184x3888,16M
869_11.JPG	869	1079	5184x3888,16M
869_12.JPG	869	1069	5184x3888,16M
869_13.JPG	869	1020	5184x3888,16M
869_14.JPG	869	1077	5184x3888,16M
869_15.JPG	869	1059	5184x3888,16M
869_16.JPG	869	1041	5184x3888,16M
869_17.JPG	869	9986	5184x3888,16M
869_18.JPG	869	9678	5184x3888,16M
869_19.JPG	869	9046	3888x5184,16M
869_20.jpg	869	8319	2000x2600,16M
869_21.JPG	869	9241	3888x5184,16M
869_22.JPG	869	1076	5184x3888,16M
869_23.JPG	869	1061	5184x3888,16M
871.JPG	871	8838	5184x3888,16M
871_02.JPG	871	1026	5184x3888,16M
871_03.JPG	871	1094	5184x3888,16M
871_04.JPG	871	1135	5184x3888,16M
871_05.JPG	871	1118	5184x3888,16M
871_06.JPG	871	1094	5184x3888,16M
871_07.JPG	871	1019	5184x3888,16M
871_08.JPG	871	1126	5184x3888,16M
871_09.JPG	871	1036	5184x3888,16M
871_10.JPG	871	1042	5184x3888,16M

num_photo	num_us	taille	format
871_11.JPG	871	1034	5184x3888,16M
871_12.JPG	871	1038	5184x3888,16M
871_13.JPG	871	1123	5184x3888,16M
871_14.JPG	871	1098	5184x3888,16M
871_15.JPG	871	1070	5184x3888,16M
871_16.JPG	871	1055	5184x3888,16M
871_17.JPG	871	1091	5184x3888,16M
871_18.JPG	871	1055	5184x3888,16M
871_19.JPG	871	1073	5184x3888,16M
871_20.JPG	871	1069	5184x3888,16M
871_21.JPG	871	1085	5184x3888,16M
871_22.jpg	871	6351	2000x1505,16M
871_23.JPG	871	1096	5184x3888,16M
871_24.JPG	871	1066	5184x3888,16M
872.JPG	872	1004	5184x3888,16M
872_02.JPG	872	1042	5184x3888,16M
872_03.JPG	872	1013	5184x3888,16M
872_04.JPG	872	1020	5184x3888,16M
872_05.JPG	872	1050	5184x3888,16M
872_06.JPG	872	1034	5184x3888,16M
872_07.JPG	872	1022	5184x3888,16M
872_08.JPG	872	1043	5184x3888,16M
872_09.JPG	872	1037	5184x3888,16M
872_10.JPG	872	1005	5184x3888,16M
872_11.JPG	872	1043	5184x3888,16M
872_12.JPG	872	1073	5184x3888,16M
872_13.JPG	872	1095	5184x3888,16M
872_14.JPG	872	1067	5184x3888,16M
872_15.JPG	872	1086	5184x3888,16M
872_16.JPG	872	1042	5184x3888,16M
872_17.JPG	872	1087	5184x3888,16M
872_18.JPG	872	1047	5184x3888,16M
872_19.JPG	872	1051	5184x3888,16M
872_20.JPG	872	1038	5184x3888,16M
872_21.JPG	872	1080	5184x3888,16M
872_22.JPG	872	1048	5184x3888,16M
872_23.JPG	872	1042	5184x3888,16M
872_24.JPG	872	1068	5184x3888,16M
872_25.JPG	872	1012	5184x3888,16M
872_26.JPG	872	1051	5184x3888,16M
872_27.JPG	872	1027	5184x3888,16M
872_28.JPG	872	9988	5184x3888,16M
873.JPG	873	9789	5184x3888,16M
873_02.JPG	873	1017	5184x3888,16M
873_03.JPG	873	1047	5184x3888,16M
873_04.JPG	873	9868	5184x3888,16M
873_05.JPG	873	9942	5184x3888,16M
873_06.JPG	873	1088	5184x3888,16M
873_07.JPG	873	1109	5184x3888,16M
873_08.JPG	873	1080	5184x3888,16M
873_09.JPG	873	9699	5184x3888,16M
873_10.JPG	873	1010	5184x3888,16M
873_11.JPG	873	1041	5184x3888,16M
873_12.JPG	873	9930	5184x3888,16M
873_13.JPG	873	9947	5184x3888,16M

num_photo	num_us	taille	format
873_14.JPG	873	1127	5184x3888,16M
873_15.JPG	873	1155	5184x3888,16M
873_16.JPG	873	1070	5184x3888,16M
873_17.JPG	873	1096	5184x3888,16M
873_18.JPG	873	1080	5184x3888,16M
873_19.JPG	873	1099	5184x3888,16M
873_20.JPG	873	1118	5184x3888,16M
873_21.JPG	873	1025	5184x3888,16M
874.JPG	874	1180	5184x3888,16M
874_02.JPG	874	1127	5184x3888,16M
874_03.JPG	874	1090	5184x3888,16M
874_04.JPG	874	1159	5184x3888,16M
874_05.JPG	874	1161	5184x3888,16M
874_06.JPG	874	1094	5184x3888,16M
874_07.JPG	874	1122	5184x3888,16M
874_08.JPG	874	1085	5184x3888,16M
874_09.JPG	874	1070	5184x3888,16M
874_10.JPG	874	1132	5184x3888,16M
874_11.JPG	874	1188	5184x3888,16M
874_12.JPG	874	1184	5184x3888,16M
874_13.JPG	874	1133	5184x3888,16M
874_14.JPG	874	1118	5184x3888,16M
874_15.JPG	874	1071	5184x3888,16M
874_16.JPG	874	1149	5184x3888,16M
874_17.JPG	874	1163	5184x3888,16M
874_18.JPG	874	1064	5184x3888,16M
874_19.JPG	874	1106	5184x3888,16M
874_20.JPG	874	1063	5184x3888,16M
874_21.JPG	874	1063	5184x3888,16M
874_22.JPG	874	1041	5184x3888,16M
874_23.JPG	874	1070	5184x3888,16M
874_24.JPG	874	1140	5184x3888,16M
874_25.JPG	874	1017	5184x3888,16M
874_26.JPG	874	1139	5184x3888,16M
874_27.JPG	874	1118	5184x3888,16M
874_28.JPG	874	1046	5184x3888,16M
874_29.JPG	874	1031	5184x3888,16M
874_30.JPG	874	1039	5184x3888,16M
874_31.JPG	874	1070	5184x3888,16M
874_32.JPG	874	1034	5184x3888,16M
874_33.JPG	874	1119	5184x3888,16M
874_34.JPG	874	1021	5184x3888,16M
874_35.JPG	874	9665	5184x3888,16M
874_36.JPG	874	1145	5184x3888,16M
874_37.JPG	874	1129	5184x3888,16M
874_38.JPG	874	1135	5184x3888,16M
874_39.JPG	874	9896	5184x3888,16M
874_40.JPG	874	1015	5184x3888,16M
874_41.JPG	874	1133	5184x3888,16M
874_42.JPG	874	1053	5184x3888,16M
875.JPG	875	1038	5184x3888,16M
875_02.JPG	875	1031	5184x3888,16M
875_03.JPG	875	1113	5184x3888,16M
875_04.jpg	875	5290	2000x1346,16M
875_05.JPG	875	1116	5184x3888,16M

num_photo	num_us	taille	format
875_06.JPG	875	1071	5184x3888,16M
875_07.JPG	875	1134	5184x3888,16M
875_08.JPG	875	9898	5184x3888,16M
875_09.JPG	875	1152	5184x3888,16M
875_10.JPG	875	1124	5184x3888,16M
875_11.JPG	875	1094	5184x3888,16M
875_12.JPG	875	1109	5184x3888,16M
875_13.JPG	875	1128	5184x3888,16M
875_14.JPG	875	1118	5184x3888,16M
875_15.JPG	875	1171	5184x3888,16M
875_16.JPG	875	1162	5184x3888,16M
875_17.JPG	875	1159	5184x3888,16M
875_18.JPG	875	1059	5184x3888,16M
875_19.JPG	875	1147	5184x3888,16M
875_20.JPG	875	1155	5184x3888,16M
875_21.JPG	875	1148	5184x3888,16M
875_22.JPG	875	1163	5184x3888,16M
875_23.JPG	875	1155	5184x3888,16M
875_24.JPG	875	1137	5184x3888,16M
876.JPG	876	1122	5184x3888,16M
876_02.JPG	876	1084	5184x3888,16M
876_03.JPG	876	1001	5184x3888,16M
876_04.JPG	876	1073	5184x3888,16M
876_05.JPG	876	1030	5184x3888,16M
876_06.JPG	876	9811	5184x3888,16M
876_07.JPG	876	1044	5184x3888,16M
876_08.JPG	876	1086	5184x3888,16M
876_09.JPG	876	1078	5184x3888,16M
876_10.JPG	876	1071	5184x3888,16M
876_11.JPG	876	1115	5184x3888,16M
876_12.JPG	876	1073	5184x3888,16M
876_13.JPG	876	1005	5184x3888,16M
876_14.JPG	876	1095	5184x3888,16M
876_15.JPG	876	1082	5184x3888,16M
876_16.JPG	876	1041	5184x3888,16M
876_17.JPG	876	1086	5184x3888,16M
876_18.JPG	876	1014	5184x3888,16M
876_19.JPG	876	1082	5184x3888,16M
876_20.JPG	876	1088	5184x3888,16M
877.JPG	877	1074	5184x3888,16M
877_02.JPG	877	1115	5184x3888,16M
877_03.JPG	877	1058	5184x3888,16M
877_04.JPG	877	1100	5184x3888,16M
877_05.JPG	877	1097	5184x3888,16M
877_06.JPG	877	1082	5184x3888,16M
877_07.JPG	877	1107	5184x3888,16M
877_08.JPG	877	1113	5184x3888,16M
877_09.JPG	877	1097	5184x3888,16M
877_10.JPG	877	1104	5184x3888,16M
877_11.JPG	877	1125	5184x3888,16M
877_12.JPG	877	1119	5184x3888,16M
877_13.JPG	877	1144	5184x3888,16M
877_14.JPG	877	1133	5184x3888,16M
877_15.JPG	877	1107	5184x3888,16M
877_16.JPG	877	1115	5184x3888,16M

num_photo	num_us	taille	format
877_17.JPG	877	1127	5184x3888,16M
877_18.JPG	877	1107	5184x3888,16M
877_19.JPG	877	1129	5184x3888,16M
877_20.JPG	877	1145	5184x3888,16M
877_21.JPG	877	1051	5184x3888,16M
877_22.JPG	877	1048	5184x3888,16M
877_23.JPG	877	9795	5184x3888,16M
877_24.JPG	877	9869	5184x3888,16M
877_25.JPG	877	1054	5184x3888,16M
877_26.JPG	877	1076	5184x3888,16M
877_27.JPG	877	1067	5184x3888,16M
877_28.JPG	877	1033	5184x3888,16M
877_29.JPG	877	1101	5184x3888,16M
877_30.JPG	877	1051	5184x3888,16M
877_31.JPG	877	1043	5184x3888,16M
877_32.JPG	877	1082	5184x3888,16M
878.JPG	878	1177	5184x3888,16M
878_02.JPG	878	1046	5184x3888,16M
878_03.JPG	878	1159	5184x3888,16M
878_04.JPG	878	1066	5184x3888,16M
878_05.JPG	878	1050	5184x3888,16M
878_06.JPG	878	1058	5184x3888,16M
878_07.JPG	878	1060	5184x3888,16M
878_08.JPG	878	1160	5184x3888,16M
878_09.JPG	878	1039	5184x3888,16M
878_10.JPG	878	1097	5184x3888,16M
878_11.JPG	878	1136	5184x3888,16M
878_12.JPG	878	1015	5184x3888,16M
878_13.JPG	878	1009	5184x3888,16M
878_14.JPG	878	1117	5184x3888,16M
878_15.JPG	878	1113	5184x3888,16M
878_16.JPG	878	1088	5184x3888,16M
878_17.JPG	878	1121	5184x3888,16M
878_18.JPG	878	1103	5184x3888,16M
879.JPG	879	1146	5184x3888,16M
879_02.JPG	879	1146	5184x3888,16M
879_03.JPG	879	1137	5184x3888,16M
879_04.JPG	879	1135	5184x3888,16M
879_05.JPG	879	1097	5184x3888,16M
879_06.JPG	879	1102	5184x3888,16M
879_07.JPG	879	1116	5184x3888,16M
879_08.JPG	879	1106	5184x3888,16M
879_09.JPG	879	1108	5184x3888,16M
879_10.JPG	879	1139	5184x3888,16M
879_11.JPG	879	1112	5184x3888,16M
879_12.JPG	879	1030	5184x3888,16M
879_13.JPG	879	1017	5184x3888,16M
880.JPG	880	1129	5184x3888,16M
880_02.JPG	880	1062	5184x3888,16M
880_03.JPG	880	1102	5184x3888,16M
880_04.JPG	880	1097	5184x3888,16M
880_05.JPG	880	1107	5184x3888,16M
880_06.JPG	880	1099	5184x3888,16M
880_07.JPG	880	1085	5184x3888,16M
881.JPG	881	1137	5184x3888,16M

num_photo	num_us	taille	format
881_02.JPG	881	1135	5184x3888,16M
881_03.JPG	881	1056	5184x3888,16M
881_04.JPG	881	1142	5184x3888,16M
881_05.JPG	881	1105	5184x3888,16M
881_06.JPG	881	1081	5184x3888,16M
881_07.JPG	881	1114	5184x3888,16M
881_08.JPG	881	1125	5184x3888,16M
881_09.JPG	881	1082	5184x3888,16M
881_10.JPG	881	1104	5184x3888,16M
881_11.JPG	881	1096	5184x3888,16M
881_12.JPG	881	1070	5184x3888,16M
881_13.JPG	881	1041	5184x3888,16M
881_14.JPG	881	1077	5184x3888,16M
881_15.JPG	881	9482	5184x3888,16M
882.JPG	882	1046	5184x3888,16M
882_02.JPG	882	1142	5184x3888,16M
882_03.JPG	882	1134	5184x3888,16M
882_04.JPG	882	1059	5184x3888,16M
882_05.JPG	882	1072	5184x3888,16M
882_06.JPG	882	1140	5184x3888,16M
882_07.JPG	882	1130	5184x3888,16M
882_08.JPG	882	1035	5184x3888,16M
882_09.JPG	882	1089	5184x3888,16M
882_10.JPG	882	1180	5184x3888,16M
882_11.JPG	882	1075	5184x3888,16M
882_12.JPG	882	1016	5184x3888,16M
882_13.JPG	882	1034	3888x5184,16M
882_14.JPG	882	1118	5184x3888,16M
882_15.JPG	882	1021	5184x3888,16M
882_16.JPG	882	1123	5184x3888,16M
882_17.JPG	882	1029	5184x3888,16M
882_18.JPG	882	1022	5184x3888,16M
882_19.JPG	882	1029	5184x3888,16M
882_20.JPG	882	1007	5184x3888,16M
882_21.JPG	882	1027	5184x3888,16M
882_22.JPG	882	1081	5184x3888,16M
882_23.JPG	882	1152	5184x3888,16M
882_24.JPG	882	1131	5184x3888,16M
882_25.JPG	882	1079	5184x3888,16M
882_26.JPG	882	1123	5184x3888,16M
882_27.JPG	882	1119	5184x3888,16M
882_28.JPG	882	1135	5184x3888,16M
882_29.JPG	882	1023	5184x3888,16M
882_30.JPG	882	1093	5184x3888,16M
882_31.JPG	882	1084	5184x3888,16M
883.JPG	883	1106	5184x3888,16M
883_02.JPG	883	1111	5184x3888,16M
883_03.JPG	883	1096	5184x3888,16M
883_04.JPG	883	1170	5184x3888,16M
883_05.JPG	883	1023	5184x3888,16M
883_06.JPG	883	1088	5184x3888,16M
883_07.JPG	883	1093	5184x3888,16M
883_08.JPG	883	1028	5184x3888,16M
883_09.JPG	883	1039	5184x3888,16M
883_10.JPG	883	1185	5184x3888,16M

num_photo	num_us	taille	format
883_11.JPG	883	1090	5184x3888,16M
883_12.JPG	883	1022	5184x3888,16M
883_13.JPG	883	1199	5184x3888,16M
883_14.JPG	883	1082	5184x3888,16M
883_15.JPG	883	1070	5184x3888,16M
883_16.JPG	883	1108	5184x3888,16M
883_17.JPG	883	1064	5184x3888,16M
883_18.JPG	883	1069	5184x3888,16M
883_19.JPG	883	1132	5184x3888,16M
883_20.JPG	883	1039	5184x3888,16M
883_21.JPG	883	1043	5184x3888,16M
883_22.JPG	883	1050	5184x3888,16M
883_23.JPG	883	1008	5184x3888,16M
883_24.JPG	883	1045	5184x3888,16M
883_25.JPG	883	1108	5184x3888,16M
883_26.JPG	883	1074	5184x3888,16M
883_27.JPG	883	1132	5184x3888,16M
883_28.JPG	883	1124	5184x3888,16M
883_29.JPG	883	1110	5184x3888,16M
884.JPG	884	1103	5184x3888,16M
884_02.JPG	884	1122	5184x3888,16M
884_03.JPG	884	1078	5184x3888,16M
884_04.JPG	884	1070	5184x3888,16M
884_05.JPG	884	1080	5184x3888,16M
884_06.JPG	884	1133	5184x3888,16M
884_07.JPG	884	1142	5184x3888,16M
884_08.JPG	884	1097	5184x3888,16M
884_09.JPG	884	1100	5184x3888,16M
884_10.JPG	884	1094	5184x3888,16M
884_11.JPG	884	1090	5184x3888,16M
884_12.JPG	884	1096	5184x3888,16M
884_13.JPG	884	1119	5184x3888,16M
884_14.JPG	884	1180	5184x3888,16M
884_15.JPG	884	1034	5184x3888,16M
884_16.JPG	884	1119	5184x3888,16M
884_17.JPG	884	1003	5184x3888,16M
884_18.JPG	884	1101	5184x3888,16M
884_19.JPG	884	1145	5184x3888,16M
884_20.JPG	884	1119	5184x3888,16M
884_21.JPG	884	1084	5184x3888,16M
884_22.JPG	884	1024	5184x3888,16M
885.JPG	885	1079	5184x3888,16M
885_02.JPG	885	1070	5184x3888,16M
885_03.JPG	885	1009	5184x3888,16M
885_04.JPG	885	1099	5184x3888,16M
885_05.JPG	885	1106	5184x3888,16M
885_06.JPG	885	1103	5184x3888,16M
885_07.JPG	885	1101	5184x3888,16M
885_08.JPG	885	1102	5184x3888,16M
885_09.JPG	885	1085	5184x3888,16M
885_10.JPG	885	1024	5184x3888,16M
885_11.JPG	885	1123	5184x3888,16M
885_12.JPG	885	1104	5184x3888,16M
885_13.JPG	885	1104	5184x3888,16M
885_14.JPG	885	1035	5184x3888,16M

num_photo	num_us	taille	format
885_15.JPG	885	1052	5184x3888,16M
885_16.JPG	885	1071	5184x3888,16M
886.JPG	886	1080	5184x3888,16M
886_02.JPG	886	1093	5184x3888,16M
886_03.JPG	886	1028	5184x3888,16M
886_04.JPG	886	1086	5184x3888,16M
887.JPG	887	1064	5184x3888,16M
887_02.JPG	887	1056	5184x3888,16M
887_03.JPG	887	1082	5184x3888,16M
887_04.JPG	887	1094	5184x3888,16M
887_05.JPG	887	1093	5184x3888,16M
887_06.JPG	887	1094	5184x3888,16M
887_07.JPG	887	1060	5184x3888,16M
887_08.JPG	887	1065	5184x3888,16M
887_09.JPG	887	1051	5184x3888,16M
887_10.JPG	887	1052	5184x3888,16M
887_11.JPG	887	1078	5184x3888,16M
887_12.JPG	887	1103	5184x3888,16M
887_13.JPG	887	1104	5184x3888,16M
887_14.JPG	887	1104	5184x3888,16M
887_15.JPG	887	1106	5184x3888,16M
887_16.JPG	887	1126	5184x3888,16M
887_17.JPG	887	1096	5184x3888,16M
887_18.JPG	887	1076	5184x3888,16M
887_19.JPG	887	1110	5184x3888,16M
887_20.JPG	887	1126	5184x3888,16M
887_21.JPG	887	1041	5184x3888,16M
887_22.JPG	887	1118	5184x3888,16M
887_23.JPG	887	1101	5184x3888,16M
888.JPG	888	1065	5184x3888,16M
888_02.JPG	888	1151	5184x3888,16M
888_03.JPG	888	1139	5184x3888,16M
888_04.JPG	888	1131	5184x3888,16M
888_05.JPG	888	1143	5184x3888,16M
888_06.JPG	888	1126	5184x3888,16M
889.JPG	889	1104	5184x3888,16M
889_02.JPG	889	1173	5184x3888,16M
889_03.JPG	889	1179	5184x3888,16M
889_04.JPG	889	1118	5184x3888,16M
889_05.JPG	889	1175	5184x3888,16M
889_06.JPG	889	1178	5184x3888,16M
889_07.JPG	889	1175	5184x3888,16M
889_08.JPG	889	1130	5184x3888,16M
889_09.JPG	889	1185	5184x3888,16M
889_10.JPG	889	1177	5184x3888,16M
889_11.JPG	889	1165	5184x3888,16M
889_12.JPG	889	1199	5184x3888,16M
889_13.JPG	889	1185	5184x3888,16M
889_14.JPG	889	1116	5184x3888,16M
889_15.JPG	889	1147	5184x3888,16M
889_16.JPG	889	1108	5184x3888,16M
889_17.JPG	889	1107	5184x3888,16M
889_18.jpg	889	3383	948x942,16M
889_19.JPG	889	1044	5184x3888,16M
889_20.JPG	889	1080	5184x3888,16M

num_photo	num_us	taille	format
889_21.JPG	889	1104	5184x3888,16M
889_22.JPG	889	1060	5184x3888,16M
889_23.JPG	889	1139	5184x3888,16M
889_24.JPG	889	1019	5184x3888,16M
889_25.JPG	889	1075	5184x3888,16M
889_26.JPG	889	1087	5184x3888,16M
889_27.JPG	889	1016	5184x3888,16M
889_28.JPG	889	1177	5184x3888,16M
889_29.JPG	889	1164	5184x3888,16M
889_30.jpg	889	9898	2000x1826,16M
889_31.JPG	889	1028	5184x3888,16M
890.JPG	890	1164	5184x3888,16M
890_02.JPG	890	1150	5184x3888,16M
890_03.JPG	890	1163	5184x3888,16M
890_04.JPG	890	1149	5184x3888,16M
890_05.JPG	890	1098	5184x3888,16M
890_06.JPG	890	1133	5184x3888,16M
890_07.JPG	890	1184	5184x3888,16M
890_08.JPG	890	1170	5184x3888,16M
890_09.JPG	890	1058	5184x3888,16M
890_10.JPG	890	1129	5184x3888,16M
890_11.JPG	890	1104	5184x3888,16M
890_12.JPG	890	1119	5184x3888,16M
890_13.JPG	890	1118	5184x3888,16M
890_14.JPG	890	1136	5184x3888,16M
890_15.JPG	890	1102	5184x3888,16M
890_16.JPG	890	1108	5184x3888,16M
890_17.JPG	890	1160	5184x3888,16M
890_18.JPG	890	1062	5184x3888,16M
890_19.JPG	890	1075	5184x3888,16M
890_20.JPG	890	1069	5184x3888,16M
890_21.JPG	890	1077	5184x3888,16M
890_22.JPG	890	1176	5184x3888,16M
890_23.JPG	890	1119	5184x3888,16M
890_24.JPG	890	1100	5184x3888,16M
890_25.JPG	890	1148	5184x3888,16M
890_26.JPG	890	1096	5184x3888,16M
890_27.JPG	890	1088	5184x3888,16M
générale.JPG	générale	5552	3840x2160,16M
générale_02.JPG	générale	5607	3840x2160,16M
générale_03.JPG	générale	5167	3840x2160,16M
générale_04.JPG	générale	8682	5184x2920,16M
générale_05.JPG	générale	8755	5184x2920,16M
générale_06.JPG	générale	8680	5184x2920,16M
générale_07.JPG	générale	8713	5184x2920,16M
générale_08.JPG	générale	8825	5184x2920,16M
générale_09.JPG	générale	8811	5184x2920,16M
générale_10.JPG	générale	8913	5184x2920,16M
générale_11.JPG	générale	8919	5184x2920,16M
générale_12.JPG	générale	8309	5184x2920,16M
générale_13.JPG	générale	8699	5184x2920,16M
générale_14.JPG	générale	8517	5184x2920,16M
générale_15.JPG	générale	8794	5184x2920,16M
générale_16.JPG	générale	8674	5184x2920,16M
générale_17.JPG	générale	8388	5184x2920,16M

num_photo	num_us	taille	format
générale_18.JPG	générale	8763	5184x2920,16M
générale_19.JPG	générale	8705	5184x2920,16M
générale_20.JPG	générale	8462	5184x2920,16M
générale_21.JPG	générale	8802	5184x2920,16M
générale_22.JPG	générale	8402	5184x2920,16M
générale_23.JPG	générale	8224	5184x2920,16M
générale_24.JPG	générale	8880	5184x2920,16M
générale_25.JPG	générale	8610	5184x2920,16M
générale_26.JPG	générale	8747	5184x2920,16M
générale_27.JPG	générale	8467	5184x2920,16M
générale_28.JPG	générale	8706	5184x2920,16M
générale_29.JPG	générale	8619	5184x2920,16M
générale_30.JPG	générale	8571	5184x2920,16M
générale_31.JPG	générale	8945	5184x2920,16M
générale_32.JPG	générale	8700	5184x2920,16M
générale_33.JPG	générale	8920	5184x2920,16M
générale_34.JPG	générale	8743	5184x2920,16M
891.JPG	891	8648	5184x2920,16M
891_02.JPG	891	9216	5184x2920,16M
891_03.JPG	891	8875	5184x2920,16M
891_04.JPG	891	8917	5184x2920,16M
891_05.JPG	891	9282	5184x2920,16M
891_06.JPG	891	9345	5184x2920,16M
891_07.JPG	891	9007	5184x2920,16M
891_08.JPG	891	8291	5184x2920,16M
891_09.JPG	891	8712	5184x2920,16M
891_10.JPG	891	8753	5184x2920,16M
891_11.JPG	891	9275	5184x2920,16M
891_12.JPG	891	9338	5184x2920,16M
891_13.JPG	891	9044	5184x2920,16M
891_14.JPG	891	8976	5184x2920,16M
891_15.JPG	891	9164	5184x2920,16M
891_16.JPG	891	8828	5184x2920,16M
891_17.JPG	891	9148	5184x2920,16M
892.JPG	892	8402	5184x2920,16M
892_02.JPG	892	8397	5184x2920,16M
892_03.JPG	892	8235	5184x2920,16M
892_04.JPG	892	8276	5184x2920,16M
892_05.JPG	892	7992	5184x2920,16M
892_06.JPG	892	8739	5184x2920,16M
892_07.JPG	892	8630	5184x2920,16M
892_08.JPG	892	8235	5184x2920,16M
892_09.JPG	892	8344	5184x2920,16M
892_10.JPG	892	6851	5184x2920,16M
892_11.JPG	892	8330	5184x2920,16M
892_12.JPG	892	8729	5184x2920,16M
892_13.JPG	892	7563	5184x2920,16M
892_14.JPG	892	8702	5184x2920,16M
892_15.JPG	892	8338	5184x2920,16M
892_16.JPG	892	8069	5184x2920,16M
892_17.JPG	892	8184	5184x2920,16M
892_18.JPG	892	8535	5184x2920,16M
892_19.JPG	892	8649	5184x2920,16M
893.JPG	893	9119	5184x2920,16M
893_02.JPG	893	9115	5184x2920,16M

num_photo	num_us	taille	format
893_03.JPG	893	9377	5184x2920,16M
893_04.JPG	893	9208	5184x2920,16M
893_05.JPG	893	9028	5184x2920,16M
893_06.JPG	893	8988	5184x2920,16M
893_07.JPG	893	8951	5184x2920,16M
893_08.JPG	893	9041	5184x2920,16M
893_09.JPG	893	8973	5184x2920,16M
893_10.JPG	893	8866	5184x2920,16M
893_11.JPG	893	8420	5184x2920,16M
893_12.JPG	893	8800	5184x2920,16M
893_13.JPG	893	8353	5184x2920,16M
893_14.JPG	893	8996	5184x2920,16M
893_15.JPG	893	9126	5184x2920,16M
893_16.JPG	893	8402	5184x2920,16M
893_17.JPG	893	9101	5184x2920,16M
893_18.JPG	893	8557	5184x2920,16M
893_19.JPG	893	8613	5184x2920,16M
893_20.JPG	893	9200	5184x2920,16M
893_21.JPG	893	9235	5184x2920,16M
893_22.JPG	893	9298	5184x2920,16M
893_23.JPG	893	8273	5184x2920,16M
893_24.JPG	893	9322	5184x2920,16M
893_25.JPG	893	9002	5184x2920,16M
893_26.JPG	893	8719	5184x2920,16M
894.JPG	894	8415	5184x2920,16M
894_02.JPG	894	8365	5184x2920,16M
894_03.JPG	894	8378	5184x2920,16M
894_04.JPG	894	8253	5184x2920,16M
894_05.JPG	894	7865	5184x2920,16M
894_06.JPG	894	7605	5184x2920,16M
894_07.JPG	894	8097	5184x2920,16M
894_08.JPG	894	8310	5184x2920,16M
894_09.JPG	894	8694	5184x2920,16M
894_10.JPG	894	8771	5184x2920,16M
894_11.JPG	894	8257	5184x2920,16M
894_12.JPG	894	9029	5184x2920,16M
894_13.JPG	894	8435	5184x2920,16M
894_14.JPG	894	8518	5184x2920,16M
894_15.JPG	894	8562	5184x2920,16M
894_16.JPG	894	8186	5184x2920,16M
894_17.JPG	894	8736	5184x2920,16M
894_18.JPG	894	6668	5184x2920,16M
894_19.JPG	894	8005	5184x2920,16M
894_20.JPG	894	7531	5184x2920,16M
894_21.JPG	894	8158	5184x2920,16M
894_22.JPG	894	8199	5184x2920,16M
895.JPG	895	8471	5184x2920,16M
895_02.JPG	895	8481	5184x2920,16M
895_03.JPG	895	8672	5184x2920,16M
895_04.JPG	895	8571	5184x2920,16M
895_05.JPG	895	8713	5184x2920,16M
895_06.JPG	895	8222	5184x2920,16M
895_07.JPG	895	8645	5184x2920,16M
895_08.JPG	895	8769	5184x2920,16M
895_09.JPG	895	8793	5184x2920,16M

num_photo	num_us	taille	format
895_10.JPG	895	9193	5184x2920,16M
895_11.JPG	895	8587	5184x2920,16M
895_12.JPG	895	8094	5184x2920,16M
895_13.JPG	895	8716	5184x2920,16M
895_14.JPG	895	8080	5184x2920,16M
895_15.JPG	895	8142	5184x2920,16M
895_16.JPG	895	7943	5184x2920,16M
895_17.JPG	895	8275	5184x2920,16M
895_18.JPG	895	9169	5184x2920,16M
895_19.JPG	895	8991	5184x2920,16M
895_20.JPG	895	9245	5184x2920,16M
896.JPG	896	9233	5184x2920,16M
896_02.JPG	896	8613	5184x2920,16M
896_03.JPG	896	9222	5184x2920,16M
896_04.JPG	896	9215	5184x2920,16M
896_05.JPG	896	9264	5184x2920,16M
896_06.JPG	896	9340	5184x2920,16M
896_07.JPG	896	8517	5184x2920,16M
896_08.JPG	896	9119	5184x2920,16M
896_09.JPG	896	9351	5184x2920,16M
896_10.JPG	896	6754	5184x2920,16M
896_11.JPG	896	8522	5184x2920,16M
896_12.JPG	896	8598	5184x2920,16M
896_13.JPG	896	8553	5184x2920,16M
896_14.JPG	896	8620	5184x2920,16M
896_15.JPG	896	8798	5184x2920,16M
896_16.JPG	896	8207	5184x2920,16M
896_17.JPG	896	8117	5184x2920,16M
896_18.JPG	896	8821	5184x2920,16M
896_19.JPG	896	8359	5184x2920,16M
896_20.JPG	896	8561	5184x2920,16M
896_21.JPG	896	8298	5184x2920,16M
897.JPG	897	8924	5184x2920,16M
897_02.JPG	897	8754	5184x2920,16M
897_03.JPG	897	8813	5184x2920,16M
897_04.JPG	897	8840	5184x2920,16M
897_05.JPG	897	9234	5184x2920,16M
897_06.JPG	897	8862	5184x2920,16M
897_07.JPG	897	8822	5184x2920,16M
897_08.JPG	897	8261	5184x2920,16M
897_09.JPG	897	8257	5184x2920,16M
897_10.JPG	897	7263	5184x2920,16M
897_11.JPG	897	8321	5184x2920,16M
897_12.JPG	897	6792	5184x2920,16M
897_13.JPG	897	8796	5184x2920,16M
897_14.JPG	897	8079	5184x2920,16M
898.JPG	898	8834	5184x2920,16M
898_02.JPG	898	8956	5184x2920,16M
898_03.JPG	898	8957	5184x2920,16M
898_04.JPG	898	8925	5184x2920,16M
898_05.JPG	898	8907	5184x2920,16M
898_06.JPG	898	8881	5184x2920,16M
898_07.JPG	898	9077	5184x2920,16M
898_08.JPG	898	9011	5184x2920,16M
898_09.JPG	898	8861	5184x2920,16M

num_photo	num_us	taille	format
898_10.JPG	898	9239	5184x2920,16M
898_11.JPG	898	9081	5184x2920,16M
898_12.JPG	898	9149	5184x2920,16M
898_13.JPG	898	9186	5184x2920,16M
898_14.JPG	898	9169	5184x2920,16M
898_15.JPG	898	8658	5184x2920,16M
898_16.JPG	898	9431	5184x2920,16M
898_17.JPG	898	9224	5184x2920,16M
898_18.JPG	898	9248	5184x2920,16M
898_901.JPG	898	8834	5184x2920,16M
898_901_02.JPG	898	8959	5184x2920,16M
898_901_03.JPG	898	8956	5184x2920,16M
898_901_04.JPG	898	8957	5184x2920,16M
898_901_05.JPG	898	8925	5184x2920,16M
898_901_06.JPG	898	8907	5184x2920,16M
898_901_07.JPG	898	8881	5184x2920,16M
898_901_08.JPG	898	9077	5184x2920,16M
898_901_09.JPG	898	9011	5184x2920,16M
898_901_10.JPG	898	8861	5184x2920,16M
898_901_11.JPG	898	9239	5184x2920,16M
898_901_12.JPG	898	9081	5184x2920,16M
898_901_13.JPG	898	9149	5184x2920,16M
898_901_14.JPG	898	9186	5184x2920,16M
898_901_15.JPG	898	9011	5184x2920,16M
898_901_16.JPG	898	9169	5184x2920,16M
898_901_17.JPG	898	8658	5184x2920,16M
898_901_18.JPG	898	9431	5184x2920,16M
898_901_19.JPG	898	9224	5184x2920,16M
898_901_20.JPG	898	9248	5184x2920,16M
899.JPG	899	8671	5184x2920,16M
899_02.JPG	899	8990	5184x2920,16M
899_03.JPG	899	8594	5184x2920,16M
899_04.JPG	899	8674	5184x2920,16M
899_05.JPG	899	8650	5184x2920,16M
899_06.JPG	899	8776	5184x2920,16M
899_07.JPG	899	8340	5184x2920,16M
899_08.JPG	899	8649	5184x2920,16M
899_09.JPG	899	8712	5184x2920,16M
899_10.JPG	899	8410	5184x2920,16M
899_11.JPG	899	8748	5184x2920,16M
899_12.JPG	899	8902	5184x2920,16M
899_13.JPG	899	8657	5184x2920,16M
899_14.JPG	899	8118	5184x2920,16M
899_15.JPG	899	8365	5184x2920,16M
899_16.JPG	899	8499	5184x2920,16M
899_17.JPG	899	8638	5184x2920,16M
899_18.JPG	899	8721	5184x2920,16M
899_19.JPG	899	8854	5184x2920,16M
899_20.JPG	899	8914	5184x2920,16M
899_21.JPG	899	8367	5184x2920,16M
899_22.JPG	899	8620	5184x2920,16M
899_23.JPG	899	8678	5184x2920,16M
899_24.JPG	899	8312	5184x2920,16M
899_25.JPG	899	8495	5184x2920,16M
899_26.JPG	899	8483	5184x2920,16M

num_photo	num_us	taille	format
899_27.JPG	899	8985	5184x2920,16M
899_28.JPG	899	8097	5184x2920,16M
899_29.JPG	899	8042	5184x2920,16M
899_30.JPG	899	8109	5184x2920,16M
899_31.JPG	899	8663	5184x2920,16M
899_32.JPG	899	8659	5184x2920,16M
899_33.JPG	899	8646	5184x2920,16M
900.JPG	900	8463	5184x2920,16M
900_02.JPG	900	8379	5184x2920,16M
900_03.JPG	900	8542	5184x2920,16M
900_04.JPG	900	8329	5184x2920,16M
900_05.JPG	900	8540	5184x2920,16M
900_06.JPG	900	8461	5184x2920,16M
900_07.JPG	900	8464	5184x2920,16M
900_08.JPG	900	8020	5184x2920,16M
900_09.JPG	900	8624	5184x2920,16M
900_10.JPG	900	8176	5184x2920,16M
900_11.JPG	900	8491	5184x2920,16M
900_12.JPG	900	8222	5184x2920,16M
900_13.JPG	900	8671	5184x2920,16M
900_14.JPG	900	8081	5184x2920,16M
900_15.JPG	900	8261	5184x2920,16M
900_16.JPG	900	8399	5184x2920,16M
900_17.JPG	900	8305	5184x2920,16M
900_18.JPG	900	8185	5184x2920,16M
900_19.JPG	900	7414	5184x2920,16M
900_20.JPG	900	7305	5184x2920,16M
900_21.JPG	900	7098	5184x2920,16M
900_22.JPG	900	8575	5184x2920,16M
900_23.JPG	900	5842	5184x2920,16M
900_24.JPG	900	6174	5184x2920,16M
900_25.JPG	900	8270	5184x2920,16M
900_26.JPG	900	8239	5184x2920,16M
900_27.JPG	900	8563	5184x2920,16M
900_28.JPG	900	8749	5184x2920,16M
902.JPG	902	8220	5184x2920,16M
902_02.JPG	902	8834	5184x2920,16M
902_03.JPG	902	8358	5184x2920,16M
902_04.JPG	902	8385	5184x2920,16M
902_05.JPG	902	8371	5184x2920,16M
902_06.JPG	902	8993	5184x2920,16M
902_07.JPG	902	8955	5184x2920,16M
902_08.JPG	902	8840	5184x2920,16M
902_09.JPG	902	8729	5184x2920,16M
902_10.JPG	902	9240	5184x2920,16M
902_11.JPG	902	9231	5184x2920,16M
902_12.JPG	902	9224	5184x2920,16M
903.JPG	903	8724	5184x2920,16M
903_02.JPG	903	8769	5184x2920,16M
903_03.JPG	903	8730	5184x2920,16M
903_04.JPG	903	8828	5184x2920,16M
903_05.JPG	903	8810	5184x2920,16M
903_06.JPG	903	8766	5184x2920,16M
903_07.JPG	903	8657	5184x2920,16M
903_08.JPG	903	8922	5184x2920,16M

num_photo	num_us	taille	format
903_09.JPG	903	8435	5184x2920,16M
903_10.JPG	903	8764	5184x2920,16M
903_11.JPG	903	8967	5184x2920,16M
903_12.JPG	903	8948	5184x2920,16M
903_13.JPG	903	8994	5184x2920,16M
903_14.JPG	903	9325	5184x2920,16M
904.JPG	904	8446	5184x2920,16M
904_02.JPG	904	8347	5184x2920,16M
904_03.JPG	904	8227	5184x2920,16M
904_04.JPG	904	7975	5184x2920,16M
904_05.JPG	904	8212	5184x2920,16M
904_06.JPG	904	7748	5184x2920,16M
904_07.JPG	904	8267	5184x2920,16M
904_08.JPG	904	8307	5184x2920,16M
904_09.JPG	904	7551	5184x2920,16M
904_10.JPG	904	6588	5184x2920,16M
904_11.JPG	904	7323	5184x2920,16M
904_12.JPG	904	7316	5184x2920,16M
904_13.JPG	904	8279	5184x2920,16M
904_14.JPG	904	8435	5184x2920,16M
904_15.JPG	904	8764	5184x2920,16M
904_16.JPG	904	8967	5184x2920,16M
904_17.JPG	904	8948	5184x2920,16M
904_18.JPG	904	8994	5184x2920,16M
904_19.JPG	904	9325	5184x2920,16M
905_906.JPG	905	8097	5184x2920,16M
905_906_02.JPG	905	8494	5184x2920,16M
905_906_03.JPG	905	8667	5184x2920,16M
905_906_04.JPG	905	8770	5184x2920,16M
905_906_05.JPG	905	8587	5184x2920,16M
905_906_06.JPG	905	8593	5184x2920,16M
905_906_07.JPG	905	7889	5184x2920,16M
905_906_08.JPG	905	8609	5184x2920,16M
905_906_09.JPG	905	8129	5184x2920,16M
905_906_10.JPG	905	8655	5184x2920,16M
905_906_11.JPG	905	8254	5184x2920,16M
905_906_12.JPG	905	8080	5184x2920,16M
905_906_13.JPG	905	8445	5184x2920,16M
905_906_14.JPG	905	8804	5184x2920,16M
905_906_15.JPG	905	8893	5184x2920,16M
905_906_16.JPG	905	8536	5184x2920,16M
905_906_17.JPG	905	8347	5184x2920,16M
905_906_18.JPG	905	8674	5184x2920,16M
905_906_19.JPG	905	8402	5184x2920,16M
905_906_20.JPG	905	8640	5184x2920,16M
905_906_21.JPG	905	8585	5184x2920,16M
905_906_22.JPG	905	8784	5184x2920,16M
905_906_23.JPG	905	8374	5184x2920,16M
905_906_24.JPG	905	8014	5184x2920,16M
905_906_25.JPG	905	9216	5184x2920,16M
905_906_26.JPG	905	8653	5184x2920,16M
905_906_27.JPG	905	8868	5184x2920,16M
905_906_28.JPG	905	8896	5184x2920,16M
907.JPG	907	8755	5184x2920,16M
907_02.JPG	907	8745	5184x2920,16M

num_photo	num_us	taille	format
907_03.JPG	907	8900	5184x2920,16M
907_04.JPG	907	8884	5184x2920,16M
907_05.JPG	907	8708	5184x2920,16M
907_06.JPG	907	8693	5184x2920,16M
907_07.JPG	907	8104	5184x2920,16M
907_08.JPG	907	8791	5184x2920,16M
907_09.JPG	907	8778	5184x2920,16M
907_10.JPG	907	8884	5184x2920,16M
907_11.JPG	907	9274	5184x2920,16M
907_12.JPG	907	8518	5184x2920,16M
907_13.JPG	907	8491	5184x2920,16M
907_14.JPG	907	8681	5184x2920,16M
907_15.JPG	907	9020	5184x2920,16M
907_16.JPG	907	8872	5184x2920,16M
907_17.JPG	907	8751	5184x2920,16M
907_18.JPG	907	8395	5184x2920,16M
907_19.JPG	907	8433	5184x2920,16M
907_20.JPG	907	8265	5184x2920,16M
907_21.JPG	907	9213	5184x2920,16M
907_22.JPG	907	8899	5184x2920,16M
907_23.JPG	907	8896	5184x2920,16M
907_24.JPG	907	8092	5184x2920,16M
907_25.JPG	907	9079	5184x2920,16M
907_26.JPG	907	8577	5184x2920,16M
908.JPG	908	8333	5184x2920,16M
908_02.JPG	908	8198	5184x2920,16M
908_03.JPG	908	8875	5184x2920,16M
908_04.JPG	908	8873	5184x2920,16M
908_05.JPG	908	8951	5184x2920,16M
908_06.JPG	908	8992	5184x2920,16M
908_07.JPG	908	8293	5184x2920,16M
908_08.JPG	908	8336	5184x2920,16M
908_09.JPG	908	7987	5184x2920,16M
908_10.JPG	908	8581	5184x2920,16M
908_11.JPG	908	8338	5184x2920,16M
908_12.JPG	908	7915	5184x2920,16M
908_13.JPG	908	8869	5184x2920,16M
908_14.JPG	908	8303	5184x2920,16M
908_15.JPG	908	8306	5184x2920,16M
908_16.JPG	908	8446	5184x2920,16M
908_17.JPG	908	8347	5184x2920,16M
908_18.JPG	908	8227	5184x2920,16M
908_19.JPG	908	7975	5184x2920,16M
908_20.JPG	908	8212	5184x2920,16M
908_21.JPG	908	7748	5184x2920,16M
908_22.JPG	908	8267	5184x2920,16M
908_23.JPG	908	8307	5184x2920,16M
908_24.JPG	908	7551	5184x2920,16M
908_25.JPG	908	6588	5184x2920,16M
908_26.JPG	908	7323	5184x2920,16M
908_27.JPG	908	7316	5184x2920,16M
908_28.JPG	908	8279	5184x2920,16M
909.JPG	909	8854	5184x2920,16M
909_02.JPG	909	8914	5184x2920,16M
909_03.JPG	909	8367	5184x2920,16M

num_photo	num_us	taille	format
909_04.JPG	909	8620	5184x2920,16M
909_05.JPG	909	8678	5184x2920,16M
909_06.JPG	909	8312	5184x2920,16M
909_07.JPG	909	8495	5184x2920,16M
909_08.JPG	909	8483	5184x2920,16M
909_09.JPG	909	8985	5184x2920,16M
909_10.JPG	909	8097	5184x2920,16M
909_11.JPG	909	8042	5184x2920,16M
909_12.JPG	909	8109	5184x2920,16M
909_13.JPG	909	8663	5184x2920,16M
909_14.JPG	909	8659	5184x2920,16M
909_15.JPG	909	8646	5184x2920,16M
910.JPG	910	8346	5184x2920,16M
910_02.JPG	910	9063	5184x2920,16M
910_03.JPG	910	9008	5184x2920,16M
910_04.JPG	910	9049	5184x2920,16M
910_05.JPG	910	9187	5184x2920,16M
910_06.JPG	910	9414	5184x2920,16M
910_07.JPG	910	9202	5184x2920,16M
910_08.JPG	910	7883	5184x2920,16M
911.JPG	911	8796	5184x2920,16M
911_02.JPG	911	8760	5184x2920,16M
911_03.JPG	911	9168	5184x2920,16M
911_04.JPG	911	8801	5184x2920,16M
911_05.JPG	911	8420	5184x2920,16M
911_06.JPG	911	9190	5184x2920,16M
911_07.JPG	911	9226	5184x2920,16M
911_08.JPG	911	8584	5184x2920,16M
911_09.JPG	911	8909	5184x2920,16M
911_10.JPG	911	8796	5184x2920,16M
913.JPG	913	8595	5184x2920,16M
913_02.JPG	913	8461	5184x2920,16M
913_03.JPG	913	8093	5184x2920,16M
913_04.JPG	913	8670	5184x2920,16M
913_05.JPG	913	8749	5184x2920,16M
913_06.JPG	913	8968	5184x2920,16M
913_07.JPG	913	8921	5184x2920,16M
913_08.JPG	913	9196	5184x2920,16M
914.JPG	914	8233	5184x2920,16M
914_02.JPG	914	7907	5184x2920,16M
914_03.JPG	914	7977	5184x2920,16M
914_04.JPG	914	7934	5184x2920,16M
914_05.JPG	914	7998	5184x2920,16M
914_06.JPG	914	7908	5184x2920,16M
914_07.JPG	914	8002	5184x2920,16M
914_08.JPG	914	8203	5184x2920,16M
914_09.JPG	914	8153	5184x2920,16M
914_10.JPG	914	9017	5184x2920,16M
914_11.JPG	914	7974	5184x2920,16M
914_12.JPG	914	7930	5184x2920,16M
914_13.JPG	914	8835	5184x2920,16M
914_14.JPG	914	8669	5184x2920,16M
914_15.JPG	914	8099	5184x2920,16M
914_16.JPG	914	9201	5184x2920,16M
914_17.JPG	914	9330	5184x2920,16M
914_18.JPG	914	6954	5184x2920,16M
915.JPG	915	8148	5184x2920,16M
915_02.JPG	915	8240	5184x2920,16M
915_03.JPG	915	8263	5184x2920,16M
915_04.JPG	915	8192	5184x2920,16M
915_05.JPG	915	8270	5184x2920,16M
915_06.JPG	915	8347	5184x2920,16M
915_07.JPG	915	8376	5184x2920,16M
915_08.JPG	915	8351	5184x2920,16M
915_09.JPG	915	8532	5184x2920,16M
915_10.JPG	915	9125	5184x2920,16M
915_11.JPG	915	9169	5184x2920,16M
915_12.JPG	915	9138	5184x2920,16M
915_13.JPG	915	9149	5184x2920,16M
915_14.JPG	915	9196	5184x2920,16M
915_15.JPG	915	9208	5184x2920,16M
915_16.JPG	915	9224	5184x2920,16M
915_17.JPG	915	8645	5184x2920,16M
915_18.JPG	915	8214	5184x2920,16M
915_19.JPG	915	8294	5184x2920,16M
916.JPG	916	8706	5184x2920,16M
916_02.JPG	916	9187	5184x2920,16M
916_03.JPG	916	8578	5184x2920,16M
916_04.JPG	916	8248	5184x2920,16M
916_05.JPG	916	9246	5184x2920,16M
916_06.JPG	916	9276	5184x2920,16M
916_07.JPG	916	9432	5184x2920,16M
916_08.JPG	916	9121	5184x2920,16M
916_09.JPG	916	9374	5184x2920,16M
916_10.JPG	916	8877	5184x2920,16M
916_11.JPG	916	9076	5184x2920,16M
916_12.JPG	916	9090	5184x2920,16M
916_13.JPG	916	9152	5184x2920,16M
918.JPG	918	8641	5184x2920,16M
918_02.JPG	918	9142	5184x2920,16M
918_03.JPG	918	9107	5184x2920,16M
918_04.JPG	918	9081	5184x2920,16M
918_05.JPG	918	8800	5184x2920,16M
918_06.JPG	918	8713	5184x2920,16M
918_07.JPG	918	8490	5184x2920,16M
918_08.JPG	918	9029	5184x2920,16M
918_09.JPG	918	8526	5184x2920,16M
918_10.JPG	918	8652	5184x2920,16M
920 sarco.JPG	920 sarco	8912	5184x2920,16M
920 sarco_02.JPG	920 sarco	8897	5184x2920,16M
920 sarco_03.JPG	920 sarco	8987	5184x2920,16M
920 sarco_04.JPG	920 sarco	8970	5184x2920,16M
920 sarco_05.JPG	920 sarco	8561	5184x2920,16M
920 sarco_06.JPG	920 sarco	8626	5184x2920,16M
920 sarco_07.JPG	920 sarco	8687	5184x2920,16M
920 sarco_08.JPG	920 sarco	8402	5184x2920,16M
920 sarco_09.JPG	920 sarco	8480	5184x2920,16M
920 sarco_10.JPG	920 sarco	8663	5184x2920,16M
920 sarco_11.JPG	920 sarco	8705	5184x2920,16M
920 sarco_12.JPG	920 sarco	8732	5184x2920,16M

num_photo	num_us	taille	format
920 sarco_13.JPG	920 sarco	8520	5184x2920,16M
920 sarco_14.JPG	920 sarco	8330	5184x2920,16M
920 sarco_15.JPG	920 sarco	9135	5184x2920,16M
920 sarco_16.JPG	920 sarco	9211	5184x2920,16M
920 sarco_17.JPG	920 sarco	8972	5184x2920,16M
920 sarco_18.JPG	920 sarco	9060	5184x2920,16M
920 sarco_19.JPG	920 sarco	9191	5184x2920,16M
920 sarco_20.JPG	920 sarco	8733	5184x2920,16M
920 sarco_21.JPG	920 sarco	8613	5184x2920,16M
920 sarco_22.JPG	920 sarco	8352	5184x2920,16M
920 sarco_23.JPG	920 sarco	8491	5184x2920,16M
920 sarco_24.JPG	920 sarco	8880	5184x2920,16M
920 sarco_25.JPG	920 sarco	8788	5184x2920,16M
920 sarco_26.JPG	920 sarco	8638	5184x2920,16M
920 sarco_27.JPG	920 sarco	8634	5184x2920,16M
920 sarco_28.JPG	920 sarco	9098	5184x2920,16M
920 sarco_29.JPG	920 sarco	8132	5184x2920,16M
920 sarco_30.JPG	920 sarco	8339	5184x2920,16M
920 sarco_31.JPG	920 sarco	8379	5184x2920,16M
920 sarco_32.JPG	920 sarco	8206	5184x2920,16M
920 sarco_33.JPG	920 sarco	8302	5184x2920,16M
920 sarco_34.JPG	920 sarco	8726	5184x2920,16M
920 sarco_35.JPG	920 sarco	8306	5184x2920,16M
920 sarco_36.JPG	920 sarco	8496	5184x2920,16M
920 sarco_37.JPG	920 sarco	8700	5184x2920,16M
920 sarco_38.JPG	920 sarco	8515	5184x2920,16M
920 sarco_39.JPG	920 sarco	8495	5184x2920,16M
920 sarco_40.JPG	920 sarco	8424	5184x2920,16M
920 sarco_41.JPG	920 sarco	6189	5184x2920,16M
920 sarco_42.JPG	920 sarco	6169	5184x2920,16M
920 sarco_43.JPG	920 sarco	7086	5184x2920,16M
920 sarco_44.JPG	920 sarco	6408	5184x2920,16M
920 sarco_45.JPG	920 sarco	8221	5184x2920,16M
920 sarco_46.JPG	920 sarco	8668	5184x2920,16M
920 sarco_47.JPG	920 sarco	9228	5184x2920,16M
920 sarco_48.JPG	920 sarco	8688	5184x2920,16M
920 sarco_49.JPG	920 sarco	9126	5184x2920,16M
920 sarco_50.JPG	920 sarco	8535	5184x2920,16M
920 sarco_51.JPG	920 sarco	8439	5184x2920,16M
920 sarco_52.JPG	920 sarco	8804	5184x2920,16M
920 sarco_53.JPG	920 sarco	8457	5184x2920,16M
920 sarco_54.JPG	920 sarco	8833	5184x2920,16M
920 sarco_55.JPG	920 sarco	8815	5184x2920,16M
920 sarco_56.JPG	920 sarco	8184	5184x2920,16M
920 sarco_57.JPG	920 sarco	8107	5184x2920,16M
920 sarco_58.JPG	920 sarco	8320	5184x2920,16M
920 sarco_59.JPG	920 sarco	8579	5184x2920,16M
920 sarco_60.JPG	920 sarco	9197	5184x2920,16M
921.JPG	921	8812	5184x2920,16M
921_02.JPG	921	9215	5184x2920,16M
921_03.JPG	921	9049	5184x2920,16M
921_04.JPG	921	8820	5184x2920,16M
921_05.JPG	921	8986	5184x2920,16M
921_06.JPG	921	9203	5184x2920,16M
921_07.JPG	921	8928	5184x2920,16M

num_photo	num_us	taille	format
921_08.JPG	921	9126	5184x2920,16M
921_09.JPG	921	9415	5184x2920,16M
921_10.JPG	921	8758	5184x2920,16M
922.JPG	922	8543	5184x2920,16M
922_02.JPG	922	8745	5184x2920,16M
922_03.JPG	922	8773	5184x2920,16M
922_04.JPG	922	8567	5184x2920,16M
922_05.JPG	922	9202	5184x2920,16M
922_06.JPG	922	9212	5184x2920,16M
922_07.JPG	922	8483	5184x2920,16M
922_08.JPG	922	8555	5184x2920,16M
922_09.JPG	922	9165	5184x2920,16M
922_10.JPG	922	9123	5184x2920,16M
922_11.JPG	922	9122	5184x2920,16M
922_12.JPG	922	8419	5184x2920,16M
922_13.JPG	922	8654	5184x2920,16M
923.JPG	923	9572	5184x2920,16M
923_02.JPG	923	9308	5184x2920,16M
923_03.JPG	923	9272	5184x2920,16M
923_04.JPG	923	9447	5184x2920,16M
923_05.JPG	923	9228	5184x2920,16M
923_06.JPG	923	8257	5184x2920,16M
923_07.JPG	923	8794	5184x2920,16M
923_08.JPG	923	8120	5184x2920,16M
923_09.JPG	923	8772	5184x2920,16M
923_10.JPG	923	9222	5184x2920,16M
923_11.JPG	923	9327	5184x2920,16M
923_12.JPG	923	9051	5184x2920,16M
923_13.JPG	923	8956	5184x2920,16M
923_14.JPG	923	8935	5184x2920,16M
923_15.JPG	923	8182	5184x2920,16M
923_16.JPG	923	9181	5184x2920,16M
M001.JPG	M001	6337	4608x3456,16M
M001_02.JPG	M001	6151	4608x3456,16M
M001_03.JPG	M001	6039	4608x3456,16M
M001_04.JPG	M001	5903	4608x3456,16M
M001_05.JPG	M001	6284	4608x3456,16M
M001_06.JPG	M001	6152	4608x3456,16M
M001_07.JPG	M001	5895	4608x3456,16M
M001_08.JPG	M001	5972	4608x3456,16M
M001_09.JPG	M001	6132	4608x3456,16M
M001_10.JPG	M001	6165	4608x3456,16M
M001_11.JPG	M001	5997	4608x3456,16M
M001_12.JPG	M001	5828	4608x3456,16M
M001_13.JPG	M001	6084	4608x3456,16M
M001_14.JPG	M001	6107	4608x3456,16M
M001_15.JPG	M001	5847	4608x3456,16M
M001_16.JPG	M001	5955	4608x3456,16M
M001_17.JPG	M001	6206	4608x3456,16M
M001_18.JPG	M001	6419	4608x3456,16M
M001_19.JPG	M001	6039	4608x3456,16M
M001_20.JPG	M001	5976	4608x3456,16M
M001_21.JPG	M001	6158	4608x3456,16M
M001_22.JPG	M001	6129	4608x3456,16M
M001_23.JPG	M001	5958	4608x3456,16M

num_photo	num_us	taille	format
M001_24.JPG	M001	6223	4608x3456,16M
M001_25.JPG	M001	6089	4608x3456,16M
M001_26.JPG	M001	6172	4608x3456,16M
M001_27.JPG	M001	5993	4608x3456,16M
M001_28.JPG	M001	6038	4608x3456,16M
M001_29.JPG	M001	6033	4608x3456,16M
M001_30.JPG	M001	6191	4608x3456,16M
M001_31.JPG	M001	5979	4608x3456,16M
M001_32.JPG	M001	6195	4608x3456,16M
M001_33.JPG	M001	5859	4608x3456,16M
M001_34.JPG	M001	5827	4608x3456,16M
M001_35.JPG	M001	6108	4608x3456,16M
M001_36.JPG	M001	6119	4608x3456,16M
M001_37.JPG	M001	6078	4608x3456,16M
M001_38.JPG	M001	6194	4608x3456,16M
M001_39.JPG	M001	6000	4608x3456,16M
M001_40.JPG	M001	6196	4608x3456,16M
M001_41.JPG	M001	5974	4608x3456,16M
M001_42.JPG	M001	5950	4608x3456,16M
M001_43.JPG	M001	6109	4608x3456,16M
M001_44.JPG	M001	6206	4608x3456,16M
M001_45.JPG	M001	6097	4608x3456,16M
M001_46.JPG	M001	5801	4608x3456,16M
M001_47.JPG	M001	6174	4608x3456,16M
M001_48.JPG	M001	6215	4608x3456,16M
M001_49.JPG	M001	6037	4608x3456,16M
M001_50.JPG	M001	6096	4608x3456,16M
M001_51.JPG	M001	6156	4608x3456,16M
M001_52.JPG	M001	6064	4608x3456,16M
M001_53.JPG	M001	5842	4608x3456,16M
M001_54.JPG	M001	5811	4608x3456,16M
M001_55.JPG	M001	6044	4608x3456,16M
M001_56.JPG	M001	6193	4608x3456,16M
M001_57.JPG	M001	6371	4608x3456,16M
M001_58.JPG	M001	5896	4608x3456,16M
M001_59.JPG	M001	6323	4608x3456,16M
M001_60.JPG	M001	6029	4608x3456,16M
M001_61.JPG	M001	6313	4608x3456,16M
M001_62.JPG	M001	6246	4608x3456,16M
M001_63.JPG	M001	5772	4608x3456,16M
M001_64.JPG	M001	6298	4608x3456,16M
M001_65.JPG	M001	6011	4608x3456,16M
M001_66.JPG	M001	6060	4608x3456,16M
M001_67.JPG	M001	6272	4608x3456,16M
M001_68.JPG	M001	6210	4608x3456,16M
M001_69.JPG	M001	6136	4608x3456,16M
M001_70.JPG	M001	6190	4608x3456,16M
M001_71.JPG	M001	6142	4608x3456,16M
M001_72.JPG	M001	6144	4608x3456,16M
M001_73.JPG	M001	6281	4608x3456,16M
M001_74.JPG	M001	5882	4608x3456,16M
M001_75.JPG	M001	6317	4608x3456,16M
M001_76.JPG	M001	6065	4608x3456,16M
M001_77.JPG	M001	5989	4608x3456,16M
M001_78.JPG	M001	6191	4608x3456,16M

num_photo	num_us	taille	format
M001_79.JPG	M001	6077	4608x3456,16M
M001_80.JPG	M001	5985	4608x3456,16M
M001_81.JPG	M001	6268	4608x3456,16M
M001_82.JPG	M001	6042	4608x3456,16M
M001_83.JPG	M001	6322	4608x3456,16M
M001_84.JPG	M001	6062	4608x3456,16M
M001_85.JPG	M001	6193	4608x3456,16M
M001_86.JPG	M001	6209	4608x3456,16M
M001_87.JPG	M001	6246	4608x3456,16M
M001_88.JPG	M001	6074	4608x3456,16M
M001_89.JPG	M001	5979	4608x3456,16M
M001_90.JPG	M001	6260	4608x3456,16M
M001_91.JPG	M001	6301	4608x3456,16M
M001_92.JPG	M001	6338	4608x3456,16M
M001_93.JPG	M001	6295	4608x3456,16M
M001_94.JPG	M001	5969	4608x3456,16M
M001_95.JPG	M001	6205	4608x3456,16M
M001_96.JPG	M001	6052	4608x3456,16M
M001_97.JPG	M001	6049	4608x3456,16M
M001_98.JPG	M001	6068	4608x3456,16M
M002.JPG	M002	5957	5184x3888,16M
M002_02.JPG	M002	5952	5184x3888,16M
M002_03.JPG	M002	5875	5184x3888,16M
M002_04.JPG	M002	5654	5184x3888,16M
M002_05.JPG	M002	5792	5184x3888,16M
M002_06.JPG	M002	5722	5184x3888,16M
M002_07.JPG	M002	5794	5184x3888,16M
M002_08.JPG	M002	6049	5184x3888,16M
M002_09.JPG	M002	5536	5184x3888,16M
M002_10.JPG	M002	5687	5184x3888,16M
M002_11.JPG	M002	5853	5184x3888,16M
M002_12.JPG	M002	5560	5184x3888,16M
M002_13.JPG	M002	6282	5184x3888,16M
M002_14.JPG	M002	6064	5184x3888,16M
M002_15.JPG	M002	5603	5184x3888,16M
M002_16.JPG	M002	6072	5184x3888,16M
M002_17.JPG	M002	5894	5184x3888,16M
M002_18.JPG	M002	6169	5184x3888,16M
M002_19.JPG	M002	6231	5184x3888,16M
M002_20.JPG	M002	6191	5184x3888,16M
M002_21.JPG	M002	5480	5184x3888,16M
M002_22.JPG	M002	6447	5184x3888,16M
M002_23.JPG	M002	6092	5184x3888,16M
M002_24.JPG	M002	6086	5184x3888,16M
M002_25.JPG	M002	6396	5184x3888,16M
M002_26.JPG	M002	5289	5184x3888,16M
M002_27.JPG	M002	6413	5184x3888,16M
M002_28.JPG	M002	6400	5184x3888,16M
M002_29.JPG	M002	5183	5184x3888,16M
M002_30.JPG	M002	5218	5184x3888,16M
M002_31.JPG	M002	6249	5184x3888,16M
M002_32.JPG	M002	5408	5184x3888,16M
M002_33.JPG	M002	5284	5184x3888,16M
M002_34.JPG	M002	5170	5184x3888,16M
M002_35.JPG	M002	5118	5184x3888,16M

num_photo	num_us	taille	format
M002_36.JPG	M002	5225	5184x3888,16M
M002_37.JPG	M002	5239	5184x3888,16M
M002_38.JPG	M002	6418	5184x3888,16M
M002_39.JPG	M002	5147	5184x3888,16M
M002_40.JPG	M002	5292	5184x3888,16M
M002_41.JPG	M002	6392	5184x3888,16M
M002_42.JPG	M002	6118	5184x3888,16M
M002_43.JPG	M002	4649	5184x3888,16M
M002_44.JPG	M002	4672	5184x3888,16M
M002_45.JPG	M002	6359	5184x3888,16M
M002_46.JPG	M002	5353	5184x3888,16M
M002_47.JPG	M002	5203	5184x3888,16M
M002_48.JPG	M002	6333	5184x3888,16M
M002_49.JPG	M002	6161	5184x3888,16M
M002_50.JPG	M002	5016	5184x3888,16M
M002_51.JPG	M002	6025	5184x3888,16M
M002_52.JPG	M002	6245	5184x3888,16M
M002_53.JPG	M002	5193	5184x3888,16M
M002_54.JPG	M002	6207	5184x3888,16M
M002_55.JPG	M002	5631	5184x3888,16M
M002_56.JPG	M002	6266	5184x3888,16M
M002_57.JPG	M002	5293	5184x3888,16M
M002_58.JPG	M002	6360	5184x3888,16M
M002_59.JPG	M002	5396	5184x3888,16M
M002_60.JPG	M002	6189	5184x3888,16M
M002_61.JPG	M002	5823	5184x3888,16M
M002_62.JPG	M002	6222	5184x3888,16M
M002_63.JPG	M002	5685	5184x3888,16M
M002_64.JPG	M002	6324	5184x3888,16M
M002_65.JPG	M002	6040	5184x3888,16M
M002_66.JPG	M002	5159	5184x3888,16M
M002_67.JPG	M002	6373	5184x3888,16M
M002_68.JPG	M002	6290	5184x3888,16M
M002_69.JPG	M002	6016	5184x3888,16M
M002_70.JPG	M002	6381	5184x3888,16M
M002_71.JPG	M002	5816	5184x3888,16M
M002_72.JPG	M002	5019	5184x3888,16M
M002_73.JPG	M002	4889	5184x3888,16M
M002_74.JPG	M002	6040	5184x3888,16M
M002_75.JPG	M002	5248	5184x3888,16M
M002_76.JPG	M002	5258	5184x3888,16M
M002_77.JPG	M002	5188	5184x3888,16M
M002_78.JPG	M002	6337	5184x3888,16M
M002_79.JPG	M002	6373	5184x3888,16M
M002_80.JPG	M002	5968	5184x3888,16M
M002_81.JPG	M002	6099	5184x3888,16M
M002_82.JPG	M002	5189	5184x3888,16M
M002_83.JPG	M002	4878	5184x3888,16M
M002_84.JPG	M002	5265	5184x3888,16M
M002_85.JPG	M002	4845	5184x3888,16M
M002_86.JPG	M002	4532	5184x3888,16M
M002_87.JPG	M002	5078	5184x3888,16M
M002_88.JPG	M002	4835	5184x3888,16M
M002_89.JPG	M002	5037	5184x3888,16M
M002_90.JPG	M002	4997	5184x3888,16M

num_photo	num_us	taille	format
M002_91.JPG	M002	4583	5184x3888,16M
M002_92.JPG	M002	4736	5184x3888,16M
M003.JPG	M003	6439	5184x3888,16M
M003.psx	M003	106	
M003_02.JPG	M003	6233	5184x3888,16M
M003_03.JPG	M003	5755	5184x3888,16M
M003_04.JPG	M003	5745	5184x3888,16M
M003_05.JPG	M003	5740	5184x3888,16M
M003_06.JPG	M003	5818	5184x3888,16M
M003_07.JPG	M003	5683	5184x3888,16M
M003_08.JPG	M003	5635	5184x3888,16M
M003_09.JPG	M003	5570	5184x3888,16M
M003_10.JPG	M003	5736	5184x3888,16M
M003_11.JPG	M003	6160	5184x3888,16M
M003_12.JPG	M003	5906	5184x3888,16M
M003_13.JPG	M003	5180	5184x3888,16M
M003_14.JPG	M003	6302	5184x3888,16M
M003_15.JPG	M003	5231	5184x3888,16M
M003_16.JPG	M003	5116	5184x3888,16M
M003_17.JPG	M003	6319	5184x3888,16M
M003_18.JPG	M003	6241	5184x3888,16M
M003_19.JPG	M003	6084	5184x3888,16M
M003_20.JPG	M003	5133	5184x3888,16M
M003_21.JPG	M003	5195	5184x3888,16M
M003_22.JPG	M003	5132	5184x3888,16M
M003_23.JPG	M003	6366	5184x3888,16M
M003_24.JPG	M003	6284	5184x3888,16M
M004.JPG	M004	6456	5184x3888,16M
M004.psx	M004	106	
M004_02.JPG	M004	6284	5184x3888,16M
M004_03.JPG	M004	6190	5184x3888,16M
M004_04.JPG	M004	6261	5184x3888,16M
M004_05.JPG	M004	6088	5184x3888,16M
M004_06.JPG	M004	6096	5184x3888,16M
M004_07.JPG	M004	5860	5184x3888,16M
M004_08.JPG	M004	5116	5184x3888,16M
M004_09.JPG	M004	5300	5184x3888,16M
M004_10.JPG	M004	5315	5184x3888,16M
M004_11.JPG	M004	5171	5184x3888,16M
M004_12.JPG	M004	5335	5184x3888,16M
M004_13.JPG	M004	5944	5184x3888,16M
M004_14.JPG	M004	5461	5184x3888,16M
M004_15.JPG	M004	5487	5184x3888,16M
M004_16.JPG	M004	5487	5184x3888,16M
M004_17.JPG	M004	5287	5184x3888,16M
M004_18.JPG	M004	5227	5184x3888,16M
M004_19.JPG	M004	5164	5184x3888,16M
M004_20.JPG	M004	5143	5184x3888,16M
M004_21.JPG	M004	6373	5184x3888,16M
M004_22.JPG	M004	6063	5184x3888,16M
M004_23.JPG	M004	6195	5184x3888,16M
M004_24.JPG	M004	6217	5184x3888,16M
M004_25.JPG	M004	5126	5184x3888,16M
M004_26.JPG	M004	6302	5184x3888,16M
M004_27.JPG	M004	6188	5184x3888,16M

num_photo	num_us	taille	format
M004_28.JPG	M004	5316	5184x3888,16M
M004_29.JPG	M004	5257	5184x3888,16M
M004_30.JPG	M004	5351	5184x3888,16M
M004_31.JPG	M004	4856	5184x3888,16M
M004_32.JPG	M004	5419	5184x3888,16M
M004_33.JPG	M004	5338	5184x3888,16M
M004_34.JPG	M004	5394	5184x3888,16M
M004_35.JPG	M004	5691	5184x3888,16M
M004_36.JPG	M004	5612	5184x3888,16M
M004_37.JPG	M004	5488	5184x3888,16M
M004_38.JPG	M004	5181	5184x3888,16M
M004_39.JPG	M004	5550	5184x3888,16M
M004_40.JPG	M004	5274	5184x3888,16M
M004_41.JPG	M004	5562	5184x3888,16M
M004_42.JPG	M004	5504	5184x3888,16M
M004_43.JPG	M004	5312	5184x3888,16M
M004_44.JPG	M004	5161	5184x3888,16M
M004_45.JPG	M004	6405	5184x3888,16M
M004_46.JPG	M004	5461	5184x3888,16M
M004_47.JPG	M004	5284	5184x3888,16M
M004_48.JPG	M004	5232	5184x3888,16M
M004_49.JPG	M004	6187	5184x3888,16M
M004_50.JPG	M004	6333	5184x3888,16M
M004_51.JPG	M004	6253	5184x3888,16M
M004_52.JPG	M004	6239	5184x3888,16M
M004_53.JPG	M004	5185	5184x3888,16M
M004_54.JPG	M004	5596	5184x3888,16M
M004_55.JPG	M004	6006	5184x3888,16M
M004_56.JPG	M004	6317	5184x3888,16M
M004_57.JPG	M004	5881	5184x3888,16M
M004_58.JPG	M004	5624	5184x3888,16M
M004_59.JPG	M004	6435	5184x3888,16M
M004_60.JPG	M004	5203	5184x3888,16M
M004_61.JPG	M004	6338	5184x3888,16M
M004_62.JPG	M004	6276	5184x3888,16M
M004_63.JPG	M004	5346	5184x3888,16M
M004_64.JPG	M004	5444	5184x3888,16M
M004_65.JPG	M004	5358	5184x3888,16M
M004_66.JPG	M004	5235	5184x3888,16M
M004_67.JPG	M004	5447	5184x3888,16M
M004_68.JPG	M004	5540	5184x3888,16M
M004_69.JPG	M004	5429	5184x3888,16M
M004_70.JPG	M004	5350	5184x3888,16M
M004_71.JPG	M004	5455	5184x3888,16M
M004_72.JPG	M004	5260	5184x3888,16M
M004_73.JPG	M004	5189	5184x3888,16M
M004_74.JPG	M004	6023	5184x3888,16M
M004_75.JPG	M004	5484	5184x3888,16M
M004_76.JPG	M004	5962	5184x3888,16M
M004_77.JPG	M004	5745	5184x3888,16M
M004_78.JPG	M004	6297	5184x3888,16M
M004_79.JPG	M004	5718	5184x3888,16M
M004_80.JPG	M004	6211	5184x3888,16M
M004_81.JPG	M004	5780	5184x3888,16M
M004_82.JPG	M004	5928	5184x3888,16M

num_photo	num_us	taille	format
M004_83.JPG	M004	5105	5184x3888,16M
M004_84.JPG	M004	6336	5184x3888,16M
M004_85.JPG	M004	5646	5184x3888,16M
M004_86.JPG	M004	5297	5184x3888,16M
M004_87.JPG	M004	5786	5184x3888,16M
M004_88.JPG	M004	6111	5184x3888,16M
M004_89.JPG	M004	6301	5184x3888,16M
M004_90.JPG	M004	5185	5184x3888,16M
M004_91.JPG	M004	5294	5184x3888,16M
M004_92.JPG	M004	5856	5184x3888,16M
M004_93.JPG	M004	5774	5184x3888,16M
M004_94.JPG	M004	6196	5184x3888,16M
M004_95.JPG	M004	5256	5184x3888,16M
M004_96.JPG	M004	5918	5184x3888,16M
M004_97.JPG	M004	5196	5184x3888,16M
M005.JPG	M005	5215	5184x3888,16M
M005_02.JPG	M005	5476	5184x3888,16M
M005_03.JPG	M005	5481	5184x3888,16M
M005_04.JPG	M005	5474	5184x3888,16M
M005_05.JPG	M005	5213	5184x3888,16M
M005_06.JPG	M005	5265	5184x3888,16M
M005_07.JPG	M005	5322	5184x3888,16M
M005_08.JPG	M005	5173	5184x3888,16M
M005_09.JPG	M005	5196	5184x3888,16M
M005_10.JPG	M005	6301	5184x3888,16M
M005_11.JPG	M005	6006	5184x3888,16M
M005_12.JPG	M005	6306	5184x3888,16M
M005_13.JPG	M005	6357	5184x3888,16M
M005_14.JPG	M005	5551	5184x3888,16M
M005_15.JPG	M005	6101	5184x3888,16M
M005_16.JPG	M005	6089	5184x3888,16M
M005_17.JPG	M005	5792	5184x3888,16M
M005_18.JPG	M005	5829	5184x3888,16M
M005_19.JPG	M005	6342	5184x3888,16M
M005_20.JPG	M005	5929	5184x3888,16M
M005_21.JPG	M005	5947	5184x3888,16M
M005_22.JPG	M005	5681	5184x3888,16M
M005_23.JPG	M005	5779	5184x3888,16M
M005_24.JPG	M005	5956	5184x3888,16M
M005_25.JPG	M005	5432	5184x3888,16M
M005_26.JPG	M005	5697	5184x3888,16M
M005_27.JPG	M005	5545	5184x3888,16M
M005_28.JPG	M005	5560	5184x3888,16M
M005_29.JPG	M005	5691	5184x3888,16M
M005_30.JPG	M005	5482	5184x3888,16M
M005_31.JPG	M005	5517	5184x3888,16M
M005_32.JPG	M005	5374	5184x3888,16M
M005_33.JPG	M005	5304	5184x3888,16M
M005_34.JPG	M005	6339	5184x3888,16M
M005_35.JPG	M005	6268	5184x3888,16M
M005_36.JPG	M005	6153	5184x3888,16M
M005_37.JPG	M005	5301	5184x3888,16M
M005_38.JPG	M005	5343	5184x3888,16M
M005_39.JPG	M005	5339	5184x3888,16M
M005_40.JPG	M005	5520	5184x3888,16M

num_photo	num_us	taille	format
M005_41.JPG	M005	5511	5184x3888,16M
M005_42.JPG	M005	5852	5184x3888,16M
M005_43.JPG	M005	6039	5184x3888,16M
M005_44.JPG	M005	5864	5184x3888,16M
M005_45.JPG	M005	5812	5184x3888,16M
M005_46.JPG	M005	6093	5184x3888,16M
M005_47.JPG	M005	6096	5184x3888,16M
M005_48.JPG	M005	5496	5184x3888,16M
M005_49.JPG	M005	5798	5184x3888,16M
M005_50.JPG	M005	5459	5184x3888,16M
M005_51.JPG	M005	6222	5184x3888,16M
M005_52.JPG	M005	5311	5184x3888,16M
M005_53.JPG	M005	5887	5184x3888,16M
M005_54.JPG	M005	5147	5184x3888,16M
M005_55.JPG	M005	5579	5184x3888,16M
M005_56.JPG	M005	5802	5184x3888,16M
M005_57.JPG	M005	5418	5184x3888,16M
M005_58.JPG	M005	5370	5184x3888,16M
M005_59.JPG	M005	5367	5184x3888,16M
M005_60.JPG	M005	5436	5184x3888,16M
M005_61.JPG	M005	5396	5184x3888,16M
M005_62.JPG	M005	5439	5184x3888,16M
M005_63.JPG	M005	5277	5184x3888,16M
M006.JPG	M006	5322	5184x3888,16M
M006_02.JPG	M006	5333	5184x3888,16M
M006_03.JPG	M006	5135	5184x3888,16M
M006_04.JPG	M006	5047	5184x3888,16M
M006_05.JPG	M006	5119	5184x3888,16M
M006_06.JPG	M006	5378	5184x3888,16M
M006_07.JPG	M006	5658	5184x3888,16M
M006_08.JPG	M006	5838	5184x3888,16M
M006_09.JPG	M006	4729	5184x3888,16M
M006_10.JPG	M006	5310	5184x3888,16M
M006_11.JPG	M006	5135	5184x3888,16M
M006_12.JPG	M006	5102	5184x3888,16M
M006_13.JPG	M006	5250	5184x3888,16M
M006_14.JPG	M006	5297	5184x3888,16M
M006_15.JPG	M006	5480	5184x3888,16M
M006_16.JPG	M006	5131	5184x3888,16M
M006_17.JPG	M006	5607	5184x3888,16M
M006_18.JPG	M006	5480	5184x3888,16M
M006_19.JPG	M006	5490	5184x3888,16M
M006_20.JPG	M006	5315	5184x3888,16M
M006_21.JPG	M006	5527	5184x3888,16M
M006_22.JPG	M006	5733	5184x3888,16M
M006_23.JPG	M006	5867	5184x3888,16M
M006_24.JPG	M006	6269	5184x3888,16M
M006_25.JPG	M006	6368	5184x3888,16M
M006_26.JPG	M006	5923	5184x3888,16M
M006_27.JPG	M006	5902	5184x3888,16M
M006_28.JPG	M006	5708	5184x3888,16M
M006_29.JPG	M006	5688	5184x3888,16M
M006_30.JPG	M006	5633	5184x3888,16M
M006_31.JPG	M006	5779	5184x3888,16M
M006_32.JPG	M006	5656	5184x3888,16M

num_photo	num_us	taille	format
M006_33.JPG	M006	5832	5184x3888,16M
M006_34.JPG	M006	5985	5184x3888,16M
M006_35.JPG	M006	4797	5184x3888,16M
M006_36.JPG	M006	5870	5184x3888,16M
M006_37.JPG	M006	5813	5184x3888,16M
M006_38.JPG	M006	5866	5184x3888,16M
M006_39.JPG	M006	5803	5184x3888,16M
M006_40.JPG	M006	5799	5184x3888,16M
M006_41.JPG	M006	5849	5184x3888,16M
M006_42.JPG	M006	6024	5184x3888,16M
M006_43.JPG	M006	6243	5184x3888,16M
M006_44.JPG	M006	6367	5184x3888,16M
M006_45.JPG	M006	6332	5184x3888,16M
M006_46.JPG	M006	5858	5184x3888,16M
M006_47.JPG	M006	5597	5184x3888,16M
M006_48.JPG	M006	5496	5184x3888,16M
M006_49.JPG	M006	5564	5184x3888,16M
M006_50.JPG	M006	5644	5184x3888,16M
M006_51.JPG	M006	5670	5184x3888,16M
M006_52.JPG	M006	5770	5184x3888,16M
M006_53.JPG	M006	5700	5184x3888,16M
M006_54.JPG	M006	5451	5184x3888,16M
M006_55.JPG	M006	5144	5184x3888,16M
M006_56.JPG	M006	5811	5184x3888,16M
M006_57.JPG	M006	5395	5184x3888,16M
M006_58.JPG	M006	5261	5184x3888,16M
M006_59.JPG	M006	5385	5184x3888,16M
M006_60.JPG	M006	5357	5184x3888,16M
M006_61.JPG	M006	5302	5184x3888,16M
M006_62.JPG	M006	5834	5184x3888,16M
M006_63.JPG	M006	5887	5184x3888,16M
M006_64.JPG	M006	6032	5184x3888,16M
M006_65.JPG	M006	6109	5184x3888,16M
M006_66.JPG	M006	6277	5184x3888,16M
M006_67.JPG	M006	5938	5184x3888,16M
M006_68.JPG	M006	6137	5184x3888,16M
M006_69.JPG	M006	5617	5184x3888,16M
M006_70.JPG	M006	5340	5184x3888,16M
M006_71.JPG	M006	5592	5184x3888,16M
M006_72.JPG	M006	5622	5184x3888,16M
M006_73.JPG	M006	5928	5184x3888,16M
M006_74.JPG	M006	5966	5184x3888,16M
M006_75.JPG	M006	4908	5184x3888,16M
M006_76.JPG	M006	5932	5184x3888,16M
M007.JPG	M007	9254	2592x1944,16M
M007.psx	M007	106	
M007_02.JPG	M007	9331	2592x1944,16M
M007_03.JPG	M007	9316	2592x1944,16M
M007_04.JPG	M007	9447	2592x1944,16M
M007_05.JPG	M007	9727	2592x1944,16M
M007_06.JPG	M007	9673	2592x1944,16M
M007_07.JPG	M007	9742	2592x1944,16M
M007_08.JPG	M007	9768	2592x1944,16M
M007_09.JPG	M007	1006	2592x1944,16M
M007_10.JPG	M007	1002	2592x1944,16M

num_photo	num_us	taille	format
M007_11.JPG	M007	9825	2592x1944,16M
M007_12.JPG	M007	9715	2592x1944,16M
M007_13.JPG	M007	9573	2592x1944,16M
M007_14.JPG	M007	9520	2592x1944,16M
M007_15.JPG	M007	9299	2592x1944,16M
M007_16.JPG	M007	9431	2592x1944,16M
M007_17.JPG	M007	9684	2592x1944,16M
M007_18.JPG	M007	9529	2592x1944,16M
M007_19.JPG	M007	9331	2592x1944,16M
M007_20.JPG	M007	9342	2592x1944,16M
M007_21.JPG	M007	9208	2592x1944,16M
M007_22.JPG	M007	9028	2592x1944,16M
M007_23.JPG	M007	9345	2592x1944,16M
M007_24.JPG	M007	9687	2592x1944,16M
M007_25.JPG	M007	1019	2592x1944,16M
M007_26.JPG	M007	9994	2592x1944,16M
M007_27.JPG	M007	9736	2592x1944,16M
M007_28.JPG	M007	9337	2592x1944,16M
M007_29.JPG	M007	9026	2592x1944,16M
M007_30.JPG	M007	9078	2592x1944,16M
M007_31.JPG	M007	9345	2592x1944,16M
M007_32.JPG	M007	9465	2592x1944,16M
M007_33.JPG	M007	9781	2592x1944,16M
M007_34.JPG	M007	1039	2592x1944,16M
M007_35.JPG	M007	1050	2592x1944,16M
M007_36.JPG	M007	9946	2592x1944,16M
M007_37.JPG	M007	1003	2592x1944,16M
M007_38.JPG	M007	9357	2592x1944,16M
M008.JPG	M008	1135	2592x1944,16M
M008.psx	M008	106	
M008_02.JPG	M008	1159	2592x1944,16M
M008_03.JPG	M008	1114	2592x1944,16M
M008_04.JPG	M008	1153	2592x1944,16M
M008_05.JPG	M008	1212	2592x1944,16M
M008_06.JPG	M008	1172	2592x1944,16M
M008_07.JPG	M008	1110	2592x1944,16M
M008_08.JPG	M008	1189	2592x1944,16M
M008_09.JPG	M008	1225	2592x1944,16M
M008_10.JPG	M008	1207	2592x1944,16M
M008_100.JPG	M008	1279	2592x1944,16M
M008_101.JPG	M008	1254	2592x1944,16M
M008_102.JPG	M008	1097	2592x1944,16M
M008_103.JPG	M008	1112	2592x1944,16M
M008_104.JPG	M008	1118	2592x1944,16M
M008_105.JPG	M008	1150	2592x1944,16M
M008_106.JPG	M008	1183	2592x1944,16M
M008_107.JPG	M008	1135	2592x1944,16M
M008_108.JPG	M008	1032	2592x1944,16M
M008_109.JPG	M008	6398	2592x1944,16M
M008_11.JPG	M008	1163	2592x1944,16M
M008_12.JPG	M008	1187	2592x1944,16M
M008_13.JPG	M008	1209	2592x1944,16M
M008_14.JPG	M008	1228	2592x1944,16M
M008_15.JPG	M008	1188	2592x1944,16M
M008_16.JPG	M008	1217	2592x1944,16M

num_photo	num_us	taille	format
M008_17.JPG	M008	1206	2592x1944,16M
M008_18.JPG	M008	1204	2592x1944,16M
M008_19.JPG	M008	1197	2592x1944,16M
M008_20.JPG	M008	1245	2592x1944,16M
M008_21.JPG	M008	1207	2592x1944,16M
M008_22.JPG	M008	1208	2592x1944,16M
M008_23.JPG	M008	1253	2592x1944,16M
M008_24.JPG	M008	1243	2592x1944,16M
M008_25.JPG	M008	1224	2592x1944,16M
M008_26.JPG	M008	1217	2592x1944,16M
M008_27.JPG	M008	1157	2592x1944,16M
M008_28.JPG	M008	1140	2592x1944,16M
M008_29.JPG	M008	1198	2592x1944,16M
M008_30.JPG	M008	1154	2592x1944,16M
M008_31.JPG	M008	1142	2592x1944,16M
M008_32.JPG	M008	1166	2592x1944,16M
M008_33.JPG	M008	1139	2592x1944,16M
M008_34.JPG	M008	1267	2592x1944,16M
M008_35.JPG	M008	1263	2592x1944,16M
M008_36.JPG	M008	1242	2592x1944,16M
M008_37.JPG	M008	1202	2592x1944,16M
M008_38.JPG	M008	1187	2592x1944,16M
M008_39.JPG	M008	1195	2592x1944,16M
M008_40.JPG	M008	1246	2592x1944,16M
M008_41.JPG	M008	1222	2592x1944,16M
M008_42.JPG	M008	1151	2592x1944,16M
M008_43.JPG	M008	1234	2592x1944,16M
M008_44.JPG	M008	1240	2592x1944,16M
M008_45.JPG	M008	1317	2592x1944,16M
M008_46.JPG	M008	1228	2592x1944,16M
M008_47.JPG	M008	1187	2592x1944,16M
M008_48.JPG	M008	1267	2592x1944,16M
M008_49.JPG	M008	1262	2592x1944,16M
M008_50.JPG	M008	1246	2592x1944,16M
M008_51.JPG	M008	1230	2592x1944,16M
M008_52.JPG	M008	1203	2592x1944,16M
M008_53.JPG	M008	1151	2592x1944,16M
M008_54.JPG	M008	1072	2592x1944,16M
M008_55.JPG	M008	1135	2592x1944,16M
M008_56.JPG	M008	1054	2592x1944,16M
M008_57.JPG	M008	1036	2592x1944,16M
M008_58.JPG	M008	1037	2592x1944,16M
M008_59.JPG	M008	1108	2592x1944,16M
M008_60.JPG	M008	7478	2592x1944,16M
M008_61.JPG	M008	6959	2592x1944,16M
M008_62.JPG	M008	1185	2592x1944,16M
M008_63.JPG	M008	1128	2592x1944,16M
M008_64.JPG	M008	9800	2592x1944,16M
M008_65.JPG	M008	8111	2592x1944,16M
M008_66.JPG	M008	8796	2592x1944,16M
M008_67.JPG	M008	8051	2592x1944,16M
M008_68.JPG	M008	9886	2592x1944,16M
M008_69.JPG	M008	9955	2592x1944,16M
M008_70.JPG	M008	9439	2592x1944,16M
M008_71.JPG	M008	5550	2592x1944,16M

num_photo	num_us	taille	format
M008_72.JPG	M008	9540	2592x1944,16M
M008_73.JPG	M008	8025	2592x1944,16M
M008_74.JPG	M008	5307	2592x1944,16M
M008_75.JPG	M008	9232	2592x1944,16M
M008_76.JPG	M008	9065	2592x1944,16M
M008_77.JPG	M008	9721	2592x1944,16M
M008_78.JPG	M008	9747	2592x1944,16M
M008_79.JPG	M008	9752	2592x1944,16M
M008_80.JPG	M008	7196	2592x1944,16M
M008_81.JPG	M008	1033	2592x1944,16M
M008_82.JPG	M008	1291	2592x1944,16M
M008_83.JPG	M008	1151	2592x1944,16M
M008_84.JPG	M008	1234	2592x1944,16M
M008_85.JPG	M008	1212	2592x1944,16M
M008_86.JPG	M008	1170	2592x1944,16M
M008_87.JPG	M008	1193	2592x1944,16M
M008_88.JPG	M008	1196	2592x1944,16M
M008_89.JPG	M008	1134	2592x1944,16M
M008_90.JPG	M008	1199	2592x1944,16M
M008_91.JPG	M008	1273	2592x1944,16M
M008_92.JPG	M008	1371	2592x1944,16M
M008_93.JPG	M008	1269	2592x1944,16M
M008_94.JPG	M008	1237	2592x1944,16M
M008_95.JPG	M008	1251	2592x1944,16M
M008_96.JPG	M008	1273	2592x1944,16M
M008_97.JPG	M008	1166	2592x1944,16M
M008_98.JPG	M008	1242	2592x1944,16M
M008_99.JPG	M008	1291	2592x1944,16M
M009.JPG	M009	1132	2592x1944,16M
M009.psx	M009	106	
M009_02.JPG	M009	1037	2592x1944,16M
M009_03.JPG	M009	1154	2592x1944,16M
M009_04.JPG	M009	1073	2592x1944,16M
M009_05.JPG	M009	1087	2592x1944,16M
M009_06.JPG	M009	1141	2592x1944,16M
M009_07.JPG	M009	1079	2592x1944,16M
M009_08.JPG	M009	1119	2592x1944,16M
M009_09.JPG	M009	1149	2592x1944,16M
M009_10.JPG	M009	1128	2592x1944,16M
M009_11.JPG	M009	1090	2592x1944,16M
M009_12.JPG	M009	1066	2592x1944,16M
M009_13.JPG	M009	1184	2592x1944,16M
M009_14.JPG	M009	1240	2592x1944,16M
M009_15.JPG	M009	1265	2592x1944,16M
M009_16.JPG	M009	1265	2592x1944,16M
M009_17.JPG	M009	1229	2592x1944,16M
M009_18.JPG	M009	1238	2592x1944,16M
M009_19.JPG	M009	1226	2592x1944,16M
M009_20.JPG	M009	1293	2592x1944,16M
M009_21.JPG	M009	1263	2592x1944,16M
M009_22.JPG	M009	1356	2592x1944,16M
M009_23.JPG	M009	1294	2592x1944,16M
M009_24.JPG	M009	1288	2592x1944,16M
M009_25.JPG	M009	1219	2592x1944,16M
M009_26.JPG	M009	1196	2592x1944,16M

num_photo	num_us	taille	format
M009_27.JPG	M009	1169	2592x1944,16M
M009_28.JPG	M009	1258	2592x1944,16M
M009_29.JPG	M009	1241	2592x1944,16M
M009_30.JPG	M009	1276	2592x1944,16M
M009_31.JPG	M009	1311	2592x1944,16M
M009_32.JPG	M009	1279	2592x1944,16M
M009_33.JPG	M009	1130	2592x1944,16M
M009_34.JPG	M009	1238	2592x1944,16M
M009_35.JPG	M009	1258	2592x1944,16M
M009_36.JPG	M009	1282	2592x1944,16M
M009_37.JPG	M009	1297	2592x1944,16M
M009_38.JPG	M009	1290	2592x1944,16M
M009_39.JPG	M009	1095	2592x1944,16M
M009_40.JPG	M009	1219	2592x1944,16M
M009_41.JPG	M009	1203	2592x1944,16M
M009_42.JPG	M009	1062	2592x1944,16M
M009_43.JPG	M009	1214	2592x1944,16M
M009_44.JPG	M009	1271	2592x1944,16M
M009_45.JPG	M009	1273	2592x1944,16M
M009_46.JPG	M009	1328	2592x1944,16M
M009_47.JPG	M009	1266	2592x1944,16M
M009_48.JPG	M009	1267	2592x1944,16M
M009_49.JPG	M009	7200	2592x1944,16M
M009_50.JPG	M009	1308	2592x1944,16M
M009_51.JPG	M009	1405	2592x1944,16M
M009_52.JPG	M009	1250	2592x1944,16M
M009_53.JPG	M009	1268	2592x1944,16M
M009_54.JPG	M009	4127	2592x1944,16M
M009_55.JPG	M009	1226	2592x1944,16M
M009_56.JPG	M009	4525	2592x1944,16M
M009_57.JPG	M009	1013	2592x1944,16M
M009_58.JPG	M009	4599	2592x1944,16M
M009_59.JPG	M009	1354	2592x1944,16M
M009_60.JPG	M009	1436	2592x1944,16M
M009_61.JPG	M009	1304	2592x1944,16M
M009_62.JPG	M009	1293	2592x1944,16M
M009_63.JPG	M009	1326	2592x1944,16M
M009_64.JPG	M009	1297	2592x1944,16M
M009_65.JPG	M009	1301	2592x1944,16M
M009_66.JPG	M009	1396	2592x1944,16M
M009_67.JPG	M009	1370	2592x1944,16M
M009_68.JPG	M009	7964	2592x1944,16M
M009_69.JPG	M009	1044	2592x1944,16M
M009_70.JPG	M009	7212	2592x1944,16M
M009_71.JPG	M009	1139	2592x1944,16M
M009_72.JPG	M009	1055	2592x1944,16M
M009_73.JPG	M009	9840	2592x1944,16M
M009_74.JPG	M009	6623	2592x1944,16M
M009_75.JPG	M009	9520	2592x1944,16M
M009_76.JPG	M009	1117	2592x1944,16M
M009_77.JPG	M009	1227	2592x1944,16M
M009_78.JPG	M009	1180	2592x1944,16M
M009_79.JPG	M009	1047	2592x1944,16M
M009_80.JPG	M009	5668	2592x1944,16M
M009_81.JPG	M009	1033	2592x1944,16M

num_photo	num_us	taille	format
M009_82.JPG	M009	8566	2592x1944,16M
M009_83.JPG	M009	1079	2592x1944,16M
M009_84.JPG	M009	1311	2592x1944,16M
M009_85.JPG	M009	1338	2592x1944,16M
M009_86.JPG	M009	1141	2592x1944,16M
M009_87.JPG	M009	1156	2592x1944,16M
M009_88.JPG	M009	1220	2592x1944,16M
M009_89.JPG	M009	1075	2592x1944,16M
M009_90.JPG	M009	1073	2592x1944,16M
M009_91.JPG	M009	1095	2592x1944,16M
M009_92.JPG	M009	1120	2592x1944,16M
M009_93.JPG	M009	1019	2592x1944,16M
M010.JPG	M010	6195	5184x3888,16M
M010_02.JPG	M010	5965	5184x3888,16M
M010_03.JPG	M010	5888	5184x3888,16M
M010_04.JPG	M010	5839	5184x3888,16M
M010_05.JPG	M010	5959	5184x3888,16M
M010_06.JPG	M010	5905	5184x3888,16M
M010_07.JPG	M010	5897	5184x3888,16M
M010_08.JPG	M010	6041	5184x3888,16M
M010_09.JPG	M010	5859	5184x3888,16M
M010_10.JPG	M010	5857	5184x3888,16M
M010_11.JPG	M010	4774	5184x3888,16M
M010_12.JPG	M010	5226	5184x3888,16M
M010_13.JPG	M010	5296	5184x3888,16M
M010_14.JPG	M010	5439	5184x3888,16M
M010_15.JPG	M010	5345	5184x3888,16M
M010_16.JPG	M010	5234	5184x3888,16M
M010_17.JPG	M010	5905	5184x3888,16M
M010_18.JPG	M010	5561	5184x3888,16M
M010_19.JPG	M010	5328	5184x3888,16M
M010_20.JPG	M010	6138	5184x3888,16M
M010_21.JPG	M010	5224	5184x3888,16M
M010_22.JPG	M010	5685	5184x3888,16M
M010_23.JPG	M010	5303	5184x3888,16M
M010_24.JPG	M010	6242	5184x3888,16M
M010_25.JPG	M010	5532	5184x3888,16M
M010_26.JPG	M010	5576	5184x3888,16M
M010_27.JPG	M010	5140	5184x3888,16M
M010_28.JPG	M010	5290	5184x3888,16M
M010_29.JPG	M010	5224	5184x3888,16M
M010_30.JPG	M010	5174	5184x3888,16M
M010_31.JPG	M010	5381	5184x3888,16M
M010_32.JPG	M010	5410	5184x3888,16M
M010_33.JPG	M010	5550	5184x3888,16M
M010_34.JPG	M010	5736	5184x3888,16M
M010_35.JPG	M010	5302	5184x3888,16M
M010_36.JPG	M010	5696	5184x3888,16M
M010_37.JPG	M010	5440	5184x3888,16M
M010_38.JPG	M010	6228	5184x3888,16M
M010_39.JPG	M010	6205	5184x3888,16M
M010_40.JPG	M010	5986	5184x3888,16M
M010_41.JPG	M010	5838	5184x3888,16M
M010_42.JPG	M010	6210	5184x3888,16M
M010_43.JPG	M010	5137	5184x3888,16M

num_photo	num_us	taille	format
M010_44.JPG	M010	6069	5184x3888,16M
M010_45.JPG	M010	5137	5184x3888,16M
M010_46.JPG	M010	5695	5184x3888,16M
M010_47.JPG	M010	5801	5184x3888,16M
M010_48.JPG	M010	5488	5184x3888,16M
M010_49.JPG	M010	4649	5184x3888,16M
M010_50.JPG	M010	5110	5184x3888,16M
M010_51.JPG	M010	5302	5184x3888,16M
M010_52.JPG	M010	5069	5184x3888,16M
M010_53.JPG	M010	4794	5184x3888,16M
M010_54.JPG	M010	5141	5184x3888,16M
M010_55.JPG	M010	5037	5184x3888,16M
M010_56.JPG	M010	4863	5184x3888,16M
M010_57.JPG	M010	5977	5184x3888,16M
M010_58.JPG	M010	6274	5184x3888,16M
M010_59.JPG	M010	5960	5184x3888,16M
M010_60.JPG	M010	5473	5184x3888,16M
M010_61.JPG	M010	6195	5184x3888,16M
M010_62.JPG	M010	6007	5184x3888,16M
M010_63.JPG	M010	5275	5184x3888,16M
M010_64.JPG	M010	6204	5184x3888,16M
M010_65.JPG	M010	5178	5184x3888,16M
M010_66.JPG	M010	5319	5184x3888,16M
M010_67.JPG	M010	5297	5184x3888,16M
M010_68.JPG	M010	5273	5184x3888,16M
M010_69.JPG	M010	5961	5184x3888,16M
M011.JPG	M011	5359	5184x3888,16M
M011_02.JPG	M011	5369	5184x3888,16M
M011_03.JPG	M011	5355	5184x3888,16M
M011_04.JPG	M011	5601	5184x3888,16M
M011_05.JPG	M011	5463	5184x3888,16M
M011_06.JPG	M011	5680	5184x3888,16M
M011_07.JPG	M011	5766	5184x3888,16M
M011_08.JPG	M011	6023	5184x3888,16M
M011_09.JPG	M011	5890	5184x3888,16M
M011_10.JPG	M011	5982	5184x3888,16M
M011_100.JPG	M011	5211	5184x3888,16M
M011_101.JPG	M011	6444	5184x3888,16M
M011_102.JPG	M011	6211	5184x3888,16M
M011_103.JPG	M011	5554	5184x3888,16M
M011_104.JPG	M011	5798	5184x3888,16M
M011_105.JPG	M011	5667	5184x3888,16M
M011_106.JPG	M011	5769	5184x3888,16M
M011_107.JPG	M011	5217	5184x3888,16M
M011_108.JPG	M011	5339	5184x3888,16M
M011_109.JPG	M011	5365	5184x3888,16M
M011_11.JPG	M011	6023	5184x3888,16M
M011_110.JPG	M011	6101	5184x3888,16M
M011_111.JPG	M011	5230	5184x3888,16M
M011_112.JPG	M011	5412	5184x3888,16M
M011_113.JPG	M011	5463	5184x3888,16M
M011_114.JPG	M011	6030	5184x3888,16M
M011_115.JPG	M011	6099	5184x3888,16M
M011_116.JPG	M011	6096	5184x3888,16M
M011_117.JPG	M011	6375	5184x3888,16M

num_photo	num_us	taille	format
M011_118.JPG	M011	6314	5184x3888,16M
M011_119.JPG	M011	5940	5184x3888,16M
M011_12.JPG	M011	6057	5184x3888,16M
M011_120.JPG	M011	6043	5184x3888,16M
M011_121.JPG	M011	5954	5184x3888,16M
M011_122.JPG	M011	6036	5184x3888,16M
M011_123.JPG	M011	6055	5184x3888,16M
M011_124.JPG	M011	6050	5184x3888,16M
M011_13.JPG	M011	6067	5184x3888,16M
M011_14.JPG	M011	6183	5184x3888,16M
M011_15.JPG	M011	6173	5184x3888,16M
M011_16.JPG	M011	6024	5184x3888,16M
M011_17.JPG	M011	5941	5184x3888,16M
M011_18.JPG	M011	6000	5184x3888,16M
M011_19.JPG	M011	5670	5184x3888,16M
M011_20.JPG	M011	5898	5184x3888,16M
M011_21.JPG	M011	5799	5184x3888,16M
M011_22.JPG	M011	5749	5184x3888,16M
M011_23.JPG	M011	5907	5184x3888,16M
M011_24.JPG	M011	6171	5184x3888,16M
M011_25.JPG	M011	6092	5184x3888,16M
M011_26.JPG	M011	6056	5184x3888,16M
M011_27.JPG	M011	6147	5184x3888,16M
M011_28.JPG	M011	6244	5184x3888,16M
M011_29.JPG	M011	5916	5184x3888,16M
M011_30.JPG	M011	5678	5184x3888,16M
M011_31.JPG	M011	6302	5184x3888,16M
M011_32.JPG	M011	6222	5184x3888,16M
M011_33.JPG	M011	6113	5184x3888,16M
M011_34.JPG	M011	5350	5184x3888,16M
M011_35.JPG	M011	5286	5184x3888,16M
M011_36.JPG	M011	5252	5184x3888,16M
M011_37.JPG	M011	5175	5184x3888,16M
M011_38.JPG	M011	5216	5184x3888,16M
M011_39.JPG	M011	6290	5184x3888,16M
M011_40.JPG	M011	6141	5184x3888,16M
M011_41.JPG	M011	6046	5184x3888,16M
M011_42.JPG	M011	5994	5184x3888,16M
M011_43.JPG	M011	5962	5184x3888,16M
M011_44.JPG	M011	6049	5184x3888,16M
M011_45.JPG	M011	6177	5184x3888,16M
M011_46.JPG	M011	6025	5184x3888,16M
M011_47.JPG	M011	6122	5184x3888,16M
M011_48.JPG	M011	6107	5184x3888,16M
M011_49.JPG	M011	6304	5184x3888,16M
M011_50.JPG	M011	6330	5184x3888,16M
M011_51.JPG	M011	5148	5184x3888,16M
M011_52.JPG	M011	6408	5184x3888,16M
M011_53.JPG	M011	5121	5184x3888,16M
M011_54.JPG	M011	5313	5184x3888,16M
M011_55.JPG	M011	5163	5184x3888,16M
M011_56.JPG	M011	5287	5184x3888,16M
M011_57.JPG	M011	5191	5184x3888,16M
M011_58.JPG	M011	5424	5184x3888,16M
M011_59.JPG	M011	5393	5184x3888,16M

num_photo	num_us	taille	format
M011_60.JPG	M011	5953	5184x3888,16M
M011_61.JPG	M011	6399	5184x3888,16M
M011_62.JPG	M011	6265	5184x3888,16M
M011_63.JPG	M011	5091	5184x3888,16M
M011_64.JPG	M011	5244	5184x3888,16M
M011_65.JPG	M011	6448	5184x3888,16M
M011_66.JPG	M011	5872	5184x3888,16M
M011_67.JPG	M011	5945	5184x3888,16M
M011_68.JPG	M011	6158	5184x3888,16M
M011_69.JPG	M011	6105	5184x3888,16M
M011_70.JPG	M011	6198	5184x3888,16M
M011_71.JPG	M011	6236	5184x3888,16M
M011_72.JPG	M011	5868	5184x3888,16M
M011_73.JPG	M011	5931	5184x3888,16M
M011_74.JPG	M011	6221	5184x3888,16M
M011_75.JPG	M011	5685	5184x3888,16M
M011_76.JPG	M011	5486	5184x3888,16M
M011_77.JPG	M011	5588	5184x3888,16M
M011_78.JPG	M011	5758	5184x3888,16M
M011_79.JPG	M011	5800	5184x3888,16M
M011_80.JPG	M011	4973	5184x3888,16M
M011_81.JPG	M011	4942	5184x3888,16M
M011_82.JPG	M011	4886	5184x3888,16M
M011_83.JPG	M011	5001	5184x3888,16M
M011_84.JPG	M011	5103	5184x3888,16M
M011_85.JPG	M011	5743	5184x3888,16M
M011_86.JPG	M011	5633	5184x3888,16M
M011_87.JPG	M011	5372	5184x3888,16M
M011_88.JPG	M011	6208	5184x3888,16M
M011_89.JPG	M011	5590	5184x3888,16M
M011_90.JPG	M011	5429	5184x3888,16M
M011_91.JPG	M011	5618	5184x3888,16M
M011_92.JPG	M011	5535	5184x3888,16M
M011_93.JPG	M011	5994	5184x3888,16M
M011_94.JPG	M011	5952	5184x3888,16M
M011_95.JPG	M011	5807	5184x3888,16M
M011_96.JPG	M011	5719	5184x3888,16M
M011_97.JPG	M011	6162	5184x3888,16M
M011_98.JPG	M011	6434	5184x3888,16M
M011_99.JPG	M011	6371	5184x3888,16M
M012.JPG	M012	1080	5184x3888,16M
M012_02.JPG	M012	1101	5184x3888,16M
M012_03.JPG	M012	1105	5184x3888,16M
M012_04.JPG	M012	1107	5184x3888,16M
M012_05.JPG	M012	1118	5184x3888,16M
M012_06.JPG	M012	1118	5184x3888,16M
M012_07.JPG	M012	1122	5184x3888,16M
M012_08.JPG	M012	1142	5184x3888,16M
M012_09.JPG	M012	1136	5184x3888,16M
M012_10.JPG	M012	1072	5184x3888,16M
M012_11.JPG	M012	1034	5184x3888,16M
M012_12.JPG	M012	1030	5184x3888,16M
M012_13.JPG	M012	1020	5184x3888,16M
M012_14.JPG	M012	1050	5184x3888,16M
M012_15.JPG	M012	1066	5184x3888,16M

num_photo	num_us	taille	format
M012_16.JPG	M012	1069	5184x3888,16M
M012_17.JPG	M012	1084	5184x3888,16M
M012_18.JPG	M012	1054	5184x3888,16M
M012_19.JPG	M012	1086	5184x3888,16M
M012_20.JPG	M012	1082	5184x3888,16M
M012_21.JPG	M012	1092	5184x3888,16M
M012_22.JPG	M012	1101	5184x3888,16M
M012_23.JPG	M012	1109	5184x3888,16M
M012_24.JPG	M012	1076	5184x3888,16M
M012_25.JPG	M012	1081	5184x3888,16M
M012_26.JPG	M012	1086	5184x3888,16M
M012_27.JPG	M012	1039	5184x3888,16M
M012_28.JPG	M012	1046	5184x3888,16M
M012_29.JPG	M012	1043	5184x3888,16M
M012_30.JPG	M012	1042	5184x3888,16M
M012_31.JPG	M012	1008	5184x3888,16M
M012_32.JPG	M012	1022	5184x3888,16M
M012_33.JPG	M012	9885	5184x3888,16M
M012_34.JPG	M012	9650	5184x3888,16M
M012_35.JPG	M012	9630	5184x3888,16M
M012_36.JPG	M012	9660	5184x3888,16M
M012_37.JPG	M012	9901	5184x3888,16M
M012_38.JPG	M012	9704	5184x3888,16M
M012_39.JPG	M012	9904	5184x3888,16M
M012_40.JPG	M012	1013	5184x3888,16M
M012_41.JPG	M012	9798	5184x3888,16M
M012_42.JPG	M012	9671	5184x3888,16M
M012_43.JPG	M012	9475	5184x3888,16M
M012_44.JPG	M012	9967	5184x3888,16M
M012_45.JPG	M012	9732	5184x3888,16M
M012_46.JPG	M012	9609	5184x3888,16M
M012_47.JPG	M012	9174	5184x3888,16M
M012_48.JPG	M012	9240	5184x3888,16M
M012_49.JPG	M012	9281	5184x3888,16M
M012_50.JPG	M012	9255	5184x3888,16M
M012_51.JPG	M012	9310	5184x3888,16M
M012_52.JPG	M012	8996	5184x3888,16M
M012_53.JPG	M012	9017	5184x3888,16M
M012_54.JPG	M012	8861	5184x3888,16M
M012_55.JPG	M012	9860	5184x3888,16M
M012_56.JPG	M012	9618	5184x3888,16M
M012_57.JPG	M012	9795	5184x3888,16M
M012_58.JPG	M012	1010	5184x3888,16M
M012_59.JPG	M012	9606	5184x3888,16M
M012_60.JPG	M012	1005	5184x3888,16M
M012_61.JPG	M012	9933	5184x3888,16M
M012_62.JPG	M012	9632	5184x3888,16M
M012_63.JPG	M012	9458	5184x3888,16M
M012_64.JPG	M012	9298	5184x3888,16M
M012_65.JPG	M012	1043	5184x3888,16M
M012_66.JPG	M012	1018	5184x3888,16M
M012_67.JPG	M012	9940	5184x3888,16M
M012_68.JPG	M012	1027	5184x3888,16M
M012_69.JPG	M012	1017	5184x3888,16M
M012_70.JPG	M012	1038	5184x3888,16M

num_photo	num_us	taille	format
M012_71.JPG	M012	1012	5184x3888,16M
M012_72.JPG	M012	1017	5184x3888,16M
M012_73.JPG	M012	9942	5184x3888,16M
M012_74.JPG	M012	9651	5184x3888,16M
M012_75.JPG	M012	1020	5184x3888,16M
M012_76.JPG	M012	1067	5184x3888,16M
M012_77.JPG	M012	1040	5184x3888,16M
M012_78.JPG	M012	1057	5184x3888,16M
M012_79.JPG	M012	1047	5184x3888,16M
M012_80.JPG	M012	1037	5184x3888,16M
M012_81.JPG	M012	1074	5184x3888,16M
M012_82.JPG	M012	1036	5184x3888,16M
M012_83.JPG	M012	1064	5184x3888,16M
M012_84.JPG	M012	1016	5184x3888,16M
M012_85.JPG	M012	1029	5184x3888,16M
M012_86.JPG	M012	1034	5184x3888,16M
M012_87.JPG	M012	1024	5184x3888,16M
M012_88.JPG	M012	1034	5184x3888,16M
M012_89.JPG	M012	1034	5184x3888,16M
M012_90.JPG	M012	1033	5184x3888,16M
M012_91.JPG	M012	9988	5184x3888,16M
M012_92.JPG	M012	9745	5184x3888,16M
M013.JPG	M013	5388	5184x3888,16M
M013_02.JPG	M013	5238	5184x3888,16M
M013_03.JPG	M013	5206	5184x3888,16M
M013_04.JPG	M013	5304	5184x3888,16M
M013_05.JPG	M013	4981	5184x3888,16M
M013_06.JPG	M013	5384	5184x3888,16M
M013_07.JPG	M013	4929	5184x3888,16M
M013_08.JPG	M013	5304	5184x3888,16M
M013_09.JPG	M013	5117	5184x3888,16M
M013_10.JPG	M013	5332	5184x3888,16M
M013_100.JPG	M013	4932	5184x3888,16M
M013_101.JPG	M013	5057	5184x3888,16M
M013_102.JPG	M013	5140	5184x3888,16M
M013_103.JPG	M013	4780	5184x3888,16M
M013_104.JPG	M013	5723	5184x3888,16M
M013_105.JPG	M013	5400	5184x3888,16M
M013_106.JPG	M013	5276	5184x3888,16M
M013_107.JPG	M013	5342	5184x3888,16M
M013_108.JPG	M013	5024	5184x3888,16M
M013_109.JPG	M013	5442	5184x3888,16M
M013_11.JPG	M013	5402	5184x3888,16M
M013_110.JPG	M013	5439	5184x3888,16M
M013_111.JPG	M013	5270	5184x3888,16M
M013_12.JPG	M013	5755	5184x3888,16M
M013_13.JPG	M013	5689	5184x3888,16M
M013_14.JPG	M013	5346	5184x3888,16M
M013_15.JPG	M013	5274	5184x3888,16M
M013_16.JPG	M013	5553	5184x3888,16M
M013_17.JPG	M013	5373	5184x3888,16M
M013_18.JPG	M013	5505	5184x3888,16M
M013_19.JPG	M013	5363	5184x3888,16M
M013_20.JPG	M013	5640	5184x3888,16M
M013_21.JPG	M013	5721	5184x3888,16M

num_photo	num_us	taille	format
M013_22.JPG	M013	5969	5184x3888,16M
M013_23.JPG	M013	6008	5184x3888,16M
M013_24.JPG	M013	5882	5184x3888,16M
M013_25.JPG	M013	5987	5184x3888,16M
M013_26.JPG	M013	5823	5184x3888,16M
M013_27.JPG	M013	5578	5184x3888,16M
M013_28.JPG	M013	5626	5184x3888,16M
M013_29.JPG	M013	5332	5184x3888,16M
M013_30.JPG	M013	5400	5184x3888,16M
M013_31.JPG	M013	6041	5184x3888,16M
M013_32.JPG	M013	5541	5184x3888,16M
M013_33.JPG	M013	5673	5184x3888,16M
M013_34.JPG	M013	5674	5184x3888,16M
M013_35.JPG	M013	6142	5184x3888,16M
M013_36.JPG	M013	6449	5184x3888,16M
M013_37.JPG	M013	5868	5184x3888,16M
M013_38.JPG	M013	5991	5184x3888,16M
M013_39.JPG	M013	5778	5184x3888,16M
M013_40.JPG	M013	5811	5184x3888,16M
M013_41.JPG	M013	5789	5184x3888,16M
M013_42.JPG	M013	5849	5184x3888,16M
M013_43.JPG	M013	5817	5184x3888,16M
M013_44.JPG	M013	5786	5184x3888,16M
M013_45.JPG	M013	5865	5184x3888,16M
M013_46.JPG	M013	5857	5184x3888,16M
M013_47.JPG	M013	5875	5184x3888,16M
M013_48.JPG	M013	5947	5184x3888,16M
M013_49.JPG	M013	6027	5184x3888,16M
M013_50.JPG	M013	6240	5184x3888,16M
M013_51.JPG	M013	6119	5184x3888,16M
M013_52.JPG	M013	6117	5184x3888,16M
M013_53.JPG	M013	5943	5184x3888,16M
M013_54.JPG	M013	6085	5184x3888,16M
M013_55.JPG	M013	6001	5184x3888,16M
M013_56.JPG	M013	5938	5184x3888,16M
M013_57.JPG	M013	5931	5184x3888,16M
M013_58.JPG	M013	6148	5184x3888,16M
M013_59.JPG	M013	6364	5184x3888,16M
M013_60.JPG	M013	6435	5184x3888,16M
M013_61.JPG	M013	6376	5184x3888,16M
M013_62.JPG	M013	6029	5184x3888,16M
M013_63.JPG	M013	5768	5184x3888,16M
M013_64.JPG	M013	5650	5184x3888,16M
M013_65.JPG	M013	5834	5184x3888,16M
M013_66.JPG	M013	5605	5184x3888,16M
M013_67.JPG	M013	5756	5184x3888,16M
M013_68.JPG	M013	5853	5184x3888,16M
M013_69.JPG	M013	5961	5184x3888,16M
M013_70.JPG	M013	5537	5184x3888,16M
M013_71.JPG	M013	5990	5184x3888,16M
M013_72.JPG	M013	5605	5184x3888,16M
M013_73.JPG	M013	5716	5184x3888,16M
M013_74.JPG	M013	5345	5184x3888,16M
M013_75.JPG	M013	5460	5184x3888,16M
M013_76.JPG	M013	5564	5184x3888,16M

num_photo	num_us	taille	format
M013_77.JPG	M013	5408	5184x3888,16M
M013_78.JPG	M013	5579	5184x3888,16M
M013_79.JPG	M013	5172	5184x3888,16M
M013_80.JPG	M013	5418	5184x3888,16M
M013_81.JPG	M013	5568	5184x3888,16M
M013_82.JPG	M013	5412	5184x3888,16M
M013_83.JPG	M013	5580	5184x3888,16M
M013_84.JPG	M013	5494	5184x3888,16M
M013_85.JPG	M013	5187	5184x3888,16M
M013_86.JPG	M013	5216	5184x3888,16M
M013_87.JPG	M013	5081	5184x3888,16M
M013_88.JPG	M013	4456	5184x3888,16M
M013_89.JPG	M013	5287	5184x3888,16M
M013_90.JPG	M013	4937	5184x3888,16M
M013_91.JPG	M013	5092	5184x3888,16M
M013_92.JPG	M013	5815	5184x3888,16M
M013_93.JPG	M013	5891	5184x3888,16M
M013_94.JPG	M013	5686	5184x3888,16M
M013_95.JPG	M013	5686	5184x3888,16M
M013_96.JPG	M013	5512	5184x3888,16M
M013_97.JPG	M013	5182	5184x3888,16M
M013_98.JPG	M013	5581	5184x3888,16M
M013_99.JPG	M013	5688	5184x3888,16M
M014.JPG	M014	4655	5184x3888,16M
M014_02.JPG	M014	4678	5184x3888,16M
M014_03.JPG	M014	4786	5184x3888,16M
M014_04.JPG	M014	4919	5184x3888,16M
M014_05.JPG	M014	4909	5184x3888,16M
M014_06.JPG	M014	4930	5184x3888,16M
M014_07.JPG	M014	4690	5184x3888,16M
M014_08.JPG	M014	4547	5184x3888,16M
M014_09.JPG	M014	4573	5184x3888,16M
M014_10.JPG	M014	5041	5184x3888,16M
M014_11.JPG	M014	5265	5184x3888,16M
M014_12.JPG	M014	5109	5184x3888,16M
M014_13.JPG	M014	4996	5184x3888,16M
M014_14.JPG	M014	4993	5184x3888,16M
M014_15.JPG	M014	5123	5184x3888,16M
M014_16.JPG	M014	5028	5184x3888,16M
M014_17.JPG	M014	4820	5184x3888,16M
M014_18.JPG	M014	5160	5184x3888,16M
M014_19.JPG	M014	5275	5184x3888,16M
M014_20.JPG	M014	4770	5184x3888,16M
M014_21.JPG	M014	5062	5184x3888,16M
M014_22.JPG	M014	5085	5184x3888,16M
M014_23.JPG	M014	5088	5184x3888,16M
M014_24.JPG	M014	5092	5184x3888,16M
M014_25.JPG	M014	5091	5184x3888,16M
M014_26.JPG	M014	4703	5184x3888,16M
M014_27.JPG	M014	4998	5184x3888,16M
M014_28.JPG	M014	4692	5184x3888,16M
M014_29.JPG	M014	5092	5184x3888,16M
M014_30.JPG	M014	4949	5184x3888,16M
M014_31.JPG	M014	4857	5184x3888,16M
M014_32.JPG	M014	4574	5184x3888,16M

num_photo	num_us	taille	format
M014_33.JPG	M014	4841	5184x3888,16M
M014_34.JPG	M014	5032	5184x3888,16M
M014_35.JPG	M014	4637	5184x3888,16M
M014_36.JPG	M014	5749	5184x3888,16M
M014_37.JPG	M014	5475	5184x3888,16M
M014_38.JPG	M014	5456	5184x3888,16M
M014_39.JPG	M014	5754	5184x3888,16M
M014_40.JPG	M014	5358	5184x3888,16M
M014_41.JPG	M014	5435	5184x3888,16M
M014_42.JPG	M014	5611	5184x3888,16M
M014_43.JPG	M014	5474	5184x3888,16M
M014_44.JPG	M014	5700	5184x3888,16M
M014_45.JPG	M014	5609	5184x3888,16M
M014_46.JPG	M014	5339	5184x3888,16M
M014_47.JPG	M014	5656	5184x3888,16M
M014_48.JPG	M014	5466	5184x3888,16M
M014_49.JPG	M014	5338	5184x3888,16M
M014_50.JPG	M014	5219	5184x3888,16M
M014_51.JPG	M014	5338	5184x3888,16M
M014_52.JPG	M014	5283	5184x3888,16M
M014_53.JPG	M014	5838	5184x3888,16M
M014_54.JPG	M014	5550	5184x3888,16M
M015.JPG	M015	5147	5184x3888,16M
M015_02.JPG	M015	5250	5184x3888,16M
M015_03.JPG	M015	5248	5184x3888,16M
M015_04.JPG	M015	5115	5184x3888,16M
M015_05.JPG	M015	5137	5184x3888,16M
M015_06.JPG	M015	4821	5184x3888,16M
M015_07.JPG	M015	4579	5184x3888,16M
M015_08.JPG	M015	4607	5184x3888,16M
M015_09.JPG	M015	4441	5184x3888,16M
M015_10.JPG	M015	4932	5184x3888,16M
M015_11.JPG	M015	4807	5184x3888,16M
M015_12.JPG	M015	5401	5184x3888,16M
M015_13.JPG	M015	4923	5184x3888,16M
M015_14.JPG	M015	5587	5184x3888,16M
M015_15.JPG	M015	5759	5184x3888,16M
M015_16.JPG	M015	5673	5184x3888,16M
M015_17.JPG	M015	5560	5184x3888,16M
M015_18.JPG	M015	5836	5184x3888,16M
M015_19.JPG	M015	6050	5184x3888,16M
M015_20.JPG	M015	5837	5184x3888,16M
M015_21.JPG	M015	6021	5184x3888,16M
M015_22.JPG	M015	5660	5184x3888,16M
M015_23.JPG	M015	5395	5184x3888,16M
M015_24.JPG	M015	5240	5184x3888,16M
M015_25.JPG	M015	5729	5184x3888,16M
M015_26.JPG	M015	5798	5184x3888,16M
M015_27.JPG	M015	5877	5184x3888,16M
M015_28.JPG	M015	5044	5184x3888,16M
M015_29.JPG	M015	5573	5184x3888,16M
M015_30.JPG	M015	5526	5184x3888,16M
M015_31.JPG	M015	5192	5184x3888,16M
M015_32.JPG	M015	5267	5184x3888,16M
M015_33.JPG	M015	5277	5184x3888,16M

num_photo	num_us	taille	format
M015_34.JPG	M015	5488	5184x3888,16M
M015_35.JPG	M015	5264	5184x3888,16M
M015_36.JPG	M015	4920	5184x3888,16M
M015_37.JPG	M015	4560	5184x3888,16M
M015_38.JPG	M015	5848	5184x3888,16M
M015_39.JPG	M015	5744	5184x3888,16M
M015_40.JPG	M015	5440	5184x3888,16M
M016.JPG	M016	6125	5184x3888,16M
M016_02.JPG	M016	5118	5184x3888,16M
M016_03.JPG	M016	4856	5184x3888,16M
M016_04.JPG	M016	4467	5184x3888,16M
M016_05.JPG	M016	4721	5184x3888,16M
M016_06.JPG	M016	4405	5184x3888,16M
M016_07.JPG	M016	4684	5184x3888,16M
M016_08.JPG	M016	4321	5184x3888,16M
M016_09.JPG	M016	4399	5184x3888,16M
M016_10.JPG	M016	4432	5184x3888,16M
M016_100.JPG	M016	5396	5184x3888,16M
M016_101.JPG	M016	5327	5184x3888,16M
M016_102.JPG	M016	6060	5184x3888,16M
M016_103.JPG	M016	4949	5184x3888,16M
M016_104.JPG	M016	4643	5184x3888,16M
M016_105.JPG	M016	4497	5184x3888,16M
M016_106.JPG	M016	4211	5184x3888,16M
M016_107.JPG	M016	4681	5184x3888,16M
M016_108.JPG	M016	4706	5184x3888,16M
M016_109.JPG	M016	5106	5184x3888,16M
M016_11.JPG	M016	4347	5184x3888,16M
M016_110.JPG	M016	5417	5184x3888,16M
M016_111.JPG	M016	4922	5184x3888,16M
M016_12.JPG	M016	4644	5184x3888,16M
M016_13.JPG	M016	4450	5184x3888,16M
M016_14.JPG	M016	4590	5184x3888,16M
M016_15.JPG	M016	4872	5184x3888,16M
M016_16.JPG	M016	5193	5184x3888,16M
M016_17.JPG	M016	4998	5184x3888,16M
M016_18.JPG	M016	5208	5184x3888,16M
M016_19.JPG	M016	5016	5184x3888,16M
M016_20.JPG	M016	5353	5184x3888,16M
M016_21.JPG	M016	5192	5184x3888,16M
M016_22.JPG	M016	4939	5184x3888,16M
M016_23.JPG	M016	4979	5184x3888,16M
M016_24.JPG	M016	4874	5184x3888,16M
M016_25.JPG	M016	4872	5184x3888,16M
M016_26.JPG	M016	4808	5184x3888,16M
M016_27.JPG	M016	4861	5184x3888,16M
M016_28.JPG	M016	4794	5184x3888,16M
M016_29.JPG	M016	4699	5184x3888,16M
M016_30.JPG	M016	4875	5184x3888,16M
M016_31.JPG	M016	4681	5184x3888,16M
M016_32.JPG	M016	4897	5184x3888,16M
M016_33.JPG	M016	4798	5184x3888,16M
M016_34.JPG	M016	4763	5184x3888,16M
M016_35.JPG	M016	5484	5184x3888,16M
M016_36.JPG	M016	4795	5184x3888,16M

num_photo	num_us	taille	format
M016_37.JPG	M016	4609	5184x3888,16M
M016_38.JPG	M016	5183	5184x3888,16M
M016_39.JPG	M016	5294	5184x3888,16M
M016_40.JPG	M016	5067	5184x3888,16M
M016_41.JPG	M016	5251	5184x3888,16M
M016_42.JPG	M016	5291	5184x3888,16M
M016_43.JPG	M016	4291	5184x3888,16M
M016_44.JPG	M016	5371	5184x3888,16M
M016_45.JPG	M016	5431	5184x3888,16M
M016_46.JPG	M016	5470	5184x3888,16M
M016_47.JPG	M016	5199	5184x3888,16M
M016_48.JPG	M016	5640	5184x3888,16M
M016_49.JPG	M016	5600	5184x3888,16M
M016_50.JPG	M016	5322	5184x3888,16M
M016_51.JPG	M016	5087	5184x3888,16M
M016_52.JPG	M016	5635	5184x3888,16M
M016_53.JPG	M016	5532	5184x3888,16M
M016_54.JPG	M016	5599	5184x3888,16M
M016_55.JPG	M016	5680	5184x3888,16M
M016_56.JPG	M016	5739	5184x3888,16M
M016_57.JPG	M016	5679	5184x3888,16M
M016_58.JPG	M016	5414	5184x3888,16M
M016_59.JPG	M016	5445	5184x3888,16M
M016_60.JPG	M016	5382	5184x3888,16M
M016_61.JPG	M016	5147	5184x3888,16M
M016_62.JPG	M016	5088	5184x3888,16M
M016_63.JPG	M016	4894	5184x3888,16M
M016_64.JPG	M016	5363	5184x3888,16M
M016_65.JPG	M016	5193	5184x3888,16M
M016_66.JPG	M016	5421	5184x3888,16M
M016_67.JPG	M016	5102	5184x3888,16M
M016_68.JPG	M016	5342	5184x3888,16M
M016_69.JPG	M016	5413	5184x3888,16M
M016_70.JPG	M016	5548	5184x3888,16M
M016_71.JPG	M016	5692	5184x3888,16M
M016_72.JPG	M016	5949	5184x3888,16M
M016_73.JPG	M016	5791	5184x3888,16M
M016_74.JPG	M016	5399	5184x3888,16M
M016_75.JPG	M016	5978	5184x3888,16M
M016_76.JPG	M016	5621	5184x3888,16M
M016_77.JPG	M016	5563	5184x3888,16M
M016_78.JPG	M016	5182	5184x3888,16M
M016_79.JPG	M016	4796	5184x3888,16M
M016_80.JPG	M016	5157	5184x3888,16M
M016_81.JPG	M016	5500	5184x3888,16M
M016_82.JPG	M016	5402	5184x3888,16M
M016_83.JPG	M016	5441	5184x3888,16M
M016_84.JPG	M016	5504	5184x3888,16M
M016_85.JPG	M016	5336	5184x3888,16M
M016_86.JPG	M016	5017	5184x3888,16M
M016_87.JPG	M016	4910	5184x3888,16M
M016_88.JPG	M016	5292	5184x3888,16M
M016_89.JPG	M016	5129	5184x3888,16M
M016_90.JPG	M016	5006	5184x3888,16M
M016_91.JPG	M016	4491	5184x3888,16M

num_photo	num_us	taille	format
M016_92.JPG	M016	5031	5184x3888,16M
M016_93.JPG	M016	5145	5184x3888,16M
M016_94.JPG	M016	4940	5184x3888,16M
M016_95.JPG	M016	5165	5184x3888,16M
M016_96.JPG	M016	5625	5184x3888,16M
M016_97.JPG	M016	5347	5184x3888,16M
M016_98.JPG	M016	5380	5184x3888,16M
M016_99.JPG	M016	5305	5184x3888,16M
M017.JPG	M017	5199	5184x3888,16M
M017.psx	M017	106	
M017_02.JPG	M017	5020	5184x3888,16M
M017_03.JPG	M017	5110	5184x3888,16M
M017_04.JPG	M017	5043	5184x3888,16M
M017_05.JPG	M017	4935	5184x3888,16M
M017_06.JPG	M017	4897	5184x3888,16M
M017_07.JPG	M017	4980	5184x3888,16M
M017_08.JPG	M017	5046	5184x3888,16M
M017_09.JPG	M017	5015	5184x3888,16M
M017_10.JPG	M017	5113	5184x3888,16M
M017_100.JPG	M017	5619	5184x3888,16M
M017_101.JPG	M017	5790	5184x3888,16M
M017_11.JPG	M017	4810	5184x3888,16M
M017_12.JPG	M017	4912	5184x3888,16M
M017_13.JPG	M017	5143	5184x3888,16M
M017_14.JPG	M017	5150	5184x3888,16M
M017_15.JPG	M017	5028	5184x3888,16M
M017_16.JPG	M017	5257	5184x3888,16M
M017_17.JPG	M017	5451	5184x3888,16M
M017_18.JPG	M017	5328	5184x3888,16M
M017_19.JPG	M017	5209	5184x3888,16M
M017_20.JPG	M017	5363	5184x3888,16M
M017_21.JPG	M017	5389	5184x3888,16M
M017_22.JPG	M017	5162	5184x3888,16M
M017_23.JPG	M017	5054	5184x3888,16M
M017_24.JPG	M017	5622	5184x3888,16M
M017_25.JPG	M017	5203	5184x3888,16M
M017_26.JPG	M017	5242	5184x3888,16M
M017_27.JPG	M017	5547	5184x3888,16M
M017_28.JPG	M017	5677	5184x3888,16M
M017_29.JPG	M017	5720	5184x3888,16M
M017_30.JPG	M017	5381	5184x3888,16M
M017_31.JPG	M017	5372	5184x3888,16M
M017_32.JPG	M017	5325	5184x3888,16M
M017_33.JPG	M017	5448	5184x3888,16M
M017_34.JPG	M017	5324	5184x3888,16M
M017_35.JPG	M017	5224	5184x3888,16M
M017_36.JPG	M017	5458	5184x3888,16M
M017_37.JPG	M017	5168	5184x3888,16M
M017_38.JPG	M017	5222	5184x3888,16M
M017_39.JPG	M017	5608	5184x3888,16M
M017_40.JPG	M017	5474	5184x3888,16M
M017_41.JPG	M017	5786	5184x3888,16M
M017_42.JPG	M017	5816	5184x3888,16M
M017_43.JPG	M017	5511	5184x3888,16M
M017_44.JPG	M017	5516	5184x3888,16M

num_photo	num_us	taille	format
M017_45.JPG	M017	5545	5184x3888,16M
M017_46.JPG	M017	5658	5184x3888,16M
M017_47.JPG	M017	5705	5184x3888,16M
M017_48.JPG	M017	5915	5184x3888,16M
M017_49.JPG	M017	5751	5184x3888,16M
M017_50.JPG	M017	5642	5184x3888,16M
M017_51.JPG	M017	5875	5184x3888,16M
M017_52.JPG	M017	5744	5184x3888,16M
M017_53.JPG	M017	5560	5184x3888,16M
M017_54.JPG	M017	5585	5184x3888,16M
M017_55.JPG	M017	5536	5184x3888,16M
M017_56.JPG	M017	5439	5184x3888,16M
M017_57.JPG	M017	6301	5184x3888,16M
M017_58.JPG	M017	6153	5184x3888,16M
M017_59.JPG	M017	6128	5184x3888,16M
M017_60.JPG	M017	5950	5184x3888,16M
M017_61.JPG	M017	5927	5184x3888,16M
M017_62.JPG	M017	5361	5184x3888,16M
M017_63.JPG	M017	5693	5184x3888,16M
M017_64.JPG	M017	5821	5184x3888,16M
M017_65.JPG	M017	5849	5184x3888,16M
M017_66.JPG	M017	5677	5184x3888,16M
M017_67.JPG	M017	5521	5184x3888,16M
M017_68.JPG	M017	5470	5184x3888,16M
M017_69.JPG	M017	5226	5184x3888,16M
M017_70.JPG	M017	5113	5184x3888,16M
M017_71.JPG	M017	4621	5184x3888,16M
M017_72.JPG	M017	5727	5184x3888,16M
M017_73.JPG	M017	5753	5184x3888,16M
M017_74.JPG	M017	5500	5184x3888,16M
M017_75.JPG	M017	5582	5184x3888,16M
M017_76.JPG	M017	5569	5184x3888,16M
M017_77.JPG	M017	5803	5184x3888,16M
M017_78.JPG	M017	6037	5184x3888,16M
M017_79.JPG	M017	5955	5184x3888,16M
M017_80.JPG	M017	5808	5184x3888,16M
M017_81.JPG	M017	5597	5184x3888,16M
M017_82.JPG	M017	5815	5184x3888,16M
M017_83.JPG	M017	5553	5184x3888,16M
M017_84.JPG	M017	5330	5184x3888,16M
M017_85.JPG	M017	5681	5184x3888,16M
M017_86.JPG	M017	5541	5184x3888,16M
M017_87.JPG	M017	5774	5184x3888,16M
M017_88.JPG	M017	5934	5184x3888,16M
M017_89.JPG	M017	6004	5184x3888,16M
M017_90.JPG	M017	6032	5184x3888,16M
M017_91.JPG	M017	6102	5184x3888,16M
M017_92.JPG	M017	5903	5184x3888,16M
M017_93.JPG	M017	5895	5184x3888,16M
M017_94.JPG	M017	5832	5184x3888,16M
M017_95.JPG	M017	5946	5184x3888,16M
M017_96.JPG	M017	5922	5184x3888,16M
M017_97.JPG	M017	5881	5184x3888,16M
M017_98.JPG	M017	5822	5184x3888,16M
M017_99.JPG	M017	5569	5184x3888,16M

num_photo	num_us	taille	format
M018.JPG	M018	5183	5184x3888,16M
M018.psx	M018	106	
M018_02.JPG	M018	5494	5184x3888,16M
M018_03.JPG	M018	5490	5184x3888,16M
M018_04.JPG	M018	5504	5184x3888,16M
M018_05.JPG	M018	5225	5184x3888,16M
M018_06.JPG	M018	5632	5184x3888,16M
M018_07.JPG	M018	5394	5184x3888,16M
M018_08.JPG	M018	5473	5184x3888,16M
M018_09.JPG	M018	5662	5184x3888,16M
M018_10.JPG	M018	5263	5184x3888,16M
M018_11.JPG	M018	5323	5184x3888,16M
M018_12.JPG	M018	4948	5184x3888,16M
M018_13.JPG	M018	5675	5184x3888,16M
M018_14.JPG	M018	5468	5184x3888,16M
M018_15.JPG	M018	5551	5184x3888,16M
M018_16.JPG	M018	5849	5184x3888,16M
M018_17.JPG	M018	5585	5184x3888,16M
M018_18.JPG	M018	5641	5184x3888,16M
M018_19.JPG	M018	5723	5184x3888,16M
M018_20.JPG	M018	5862	5184x3888,16M
M018_21.JPG	M018	5844	5184x3888,16M
M018_22.JPG	M018	5954	5184x3888,16M
M018_23.JPG	M018	5892	5184x3888,16M
M018_24.JPG	M018	6074	5184x3888,16M
M018_25.JPG	M018	6069	5184x3888,16M
M018_26.JPG	M018	6161	5184x3888,16M
M018_27.JPG	M018	6057	5184x3888,16M
M018_28.JPG	M018	6022	5184x3888,16M
M018_29.JPG	M018	5979	5184x3888,16M
M018_30.JPG	M018	5888	5184x3888,16M
M018_31.JPG	M018	5880	5184x3888,16M
M018_32.JPG	M018	5440	5184x3888,16M
M018_33.JPG	M018	5846	5184x3888,16M
M018_34.JPG	M018	5923	5184x3888,16M
M018_35.JPG	M018	5978	5184x3888,16M
M018_36.JPG	M018	5992	5184x3888,16M
M018_37.JPG	M018	6058	5184x3888,16M
M018_38.JPG	M018	4561	5184x3888,16M
M018_39.JPG	M018	5643	5184x3888,16M
M018_40.JPG	M018	5633	5184x3888,16M
M018_41.JPG	M018	6090	5184x3888,16M
M018_42.JPG	M018	5911	5184x3888,16M
M018_43.JPG	M018	5959	5184x3888,16M
M018_44.JPG	M018	5949	5184x3888,16M
M018_45.JPG	M018	6189	5184x3888,16M
M018_46.JPG	M018	6058	5184x3888,16M
M018_47.JPG	M018	6100	5184x3888,16M
M018_48.JPG	M018	6232	5184x3888,16M
M018_49.JPG	M018	5145	5184x3888,16M
M018_50.JPG	M018	5116	5184x3888,16M
M018_51.JPG	M018	5182	5184x3888,16M
M018_52.JPG	M018	6200	5184x3888,16M
M018_53.JPG	M018	5629	5184x3888,16M
M018_54.JPG	M018	5210	5184x3888,16M

num_photo	num_us	taille	format
M018_55.JPG	M018	6454	5184x3888,16M
M018_56.JPG	M018	6221	5184x3888,16M
M018_57.JPG	M018	5167	5184x3888,16M
M018_58.JPG	M018	6448	5184x3888,16M
M018_59.JPG	M018	6428	5184x3888,16M
M018_60.JPG	M018	6366	5184x3888,16M
M018_61.JPG	M018	6262	5184x3888,16M
M018_62.JPG	M018	6227	5184x3888,16M
M018_63.JPG	M018	5590	5184x3888,16M
M018_64.JPG	M018	6019	5184x3888,16M
M018_65.JPG	M018	6005	5184x3888,16M
M019.JPG	M019	5658	5184x3888,16M
M019_02.JPG	M019	5727	5184x3888,16M
M019_03.JPG	M019	5497	5184x3888,16M
M019_04.JPG	M019	5280	5184x3888,16M
M019_05.JPG	M019	5081	5184x3888,16M
M019_06.JPG	M019	5041	5184x3888,16M
M019_07.JPG	M019	5049	5184x3888,16M
M019_08.JPG	M019	5025	5184x3888,16M
M019_09.JPG	M019	5480	5184x3888,16M
M019_10.JPG	M019	5604	5184x3888,16M
M019_100.JPG	M019	4970	5184x3888,16M
M019_101.JPG	M019	5388	5184x3888,16M
M019_102.JPG	M019	5266	5184x3888,16M
M019_103.JPG	M019	5368	5184x3888,16M
M019_104.JPG	M019	5705	5184x3888,16M
M019_105.JPG	M019	5240	5184x3888,16M
M019_106.JPG	M019	5318	5184x3888,16M
M019_107.JPG	M019	4953	5184x3888,16M
M019_108.JPG	M019	5092	5184x3888,16M
M019_11.JPG	M019	5548	5184x3888,16M
M019_12.JPG	M019	5691	5184x3888,16M
M019_13.JPG	M019	5763	5184x3888,16M
M019_14.JPG	M019	5818	5184x3888,16M
M019_15.JPG	M019	5916	5184x3888,16M
M019_16.JPG	M019	6001	5184x3888,16M
M019_17.JPG	M019	5937	5184x3888,16M
M019_18.JPG	M019	6125	5184x3888,16M
M019_19.JPG	M019	6159	5184x3888,16M
M019_20.JPG	M019	6166	5184x3888,16M
M019_21.JPG	M019	5534	5184x3888,16M
M019_22.JPG	M019	5350	5184x3888,16M
M019_23.JPG	M019	5350	5184x3888,16M
M019_24.JPG	M019	5210	5184x3888,16M
M019_25.JPG	M019	5049	5184x3888,16M
M019_26.JPG	M019	5032	5184x3888,16M
M019_27.JPG	M019	4945	5184x3888,16M
M019_28.JPG	M019	5017	5184x3888,16M
M019_29.JPG	M019	4931	5184x3888,16M
M019_30.JPG	M019	4816	5184x3888,16M
M019_31.JPG	M019	4893	5184x3888,16M
M019_32.JPG	M019	4638	5184x3888,16M
M019_33.JPG	M019	4870	5184x3888,16M
M019_34.JPG	M019	5371	5184x3888,16M
M019_35.JPG	M019	5363	5184x3888,16M

num_photo	num_us	taille	format
M019_36.JPG	M019	5036	5184x3888,16M
M019_37.JPG	M019	5265	5184x3888,16M
M019_38.JPG	M019	5311	5184x3888,16M
M019_39.JPG	M019	5357	5184x3888,16M
M019_40.JPG	M019	5269	5184x3888,16M
M019_41.JPG	M019	5193	5184x3888,16M
M019_42.JPG	M019	5597	5184x3888,16M
M019_43.JPG	M019	5446	5184x3888,16M
M019_44.JPG	M019	5266	5184x3888,16M
M019_45.JPG	M019	5151	5184x3888,16M
M019_46.JPG	M019	5216	5184x3888,16M
M019_47.JPG	M019	5331	5184x3888,16M
M019_48.JPG	M019	5735	5184x3888,16M
M019_49.JPG	M019	5579	5184x3888,16M
M019_50.JPG	M019	4962	5184x3888,16M
M019_51.JPG	M019	4970	5184x3888,16M
M019_52.JPG	M019	4823	5184x3888,16M
M019_53.JPG	M019	4906	5184x3888,16M
M019_54.JPG	M019	4867	5184x3888,16M
M019_55.JPG	M019	5054	5184x3888,16M
M019_56.JPG	M019	5324	5184x3888,16M
M019_57.JPG	M019	4936	5184x3888,16M
M019_58.JPG	M019	5131	5184x3888,16M
M019_59.JPG	M019	5205	5184x3888,16M
M019_60.JPG	M019	5019	5184x3888,16M
M019_61.JPG	M019	4952	5184x3888,16M
M019_62.JPG	M019	5110	5184x3888,16M
M019_63.JPG	M019	5400	5184x3888,16M
M019_64.JPG	M019	5606	5184x3888,16M
M019_65.JPG	M019	5549	5184x3888,16M
M019_66.JPG	M019	5483	5184x3888,16M
M019_67.JPG	M019	6105	5184x3888,16M
M019_68.JPG	M019	6237	5184x3888,16M
M019_69.JPG	M019	5572	5184x3888,16M
M019_70.JPG	M019	5571	5184x3888,16M
M019_71.JPG	M019	5357	5184x3888,16M
M019_72.JPG	M019	5445	5184x3888,16M
M019_73.JPG	M019	5552	5184x3888,16M
M019_74.JPG	M019	5476	5184x3888,16M
M019_75.JPG	M019	5481	5184x3888,16M
M019_76.JPG	M019	5678	5184x3888,16M
M019_77.JPG	M019	5234	5184x3888,16M
M019_78.JPG	M019	5052	5184x3888,16M
M019_79.JPG	M019	4648	5184x3888,16M
M019_80.JPG	M019	4735	5184x3888,16M
M019_81.JPG	M019	5053	5184x3888,16M
M019_82.JPG	M019	5044	5184x3888,16M
M019_83.JPG	M019	5046	5184x3888,16M
M019_84.JPG	M019	4655	5184x3888,16M
M019_85.JPG	M019	5251	5184x3888,16M
M019_86.JPG	M019	4896	5184x3888,16M
M019_87.JPG	M019	4981	5184x3888,16M
M019_88.JPG	M019	4604	5184x3888,16M
M019_89.JPG	M019	4543	5184x3888,16M
M019_90.JPG	M019	4916	5184x3888,16M

num_photo	num_us	taille	format
M019_91.JPG	M019	4638	5184x3888,16M
M019_92.JPG	M019	4941	5184x3888,16M
M019_93.JPG	M019	4878	5184x3888,16M
M019_94.JPG	M019	5004	5184x3888,16M
M019_95.JPG	M019	4996	5184x3888,16M
M019_96.JPG	M019	4888	5184x3888,16M
M019_97.JPG	M019	5232	5184x3888,16M
M019_98.JPG	M019	5191	5184x3888,16M
M019_99.JPG	M019	5146	5184x3888,16M
M050.psx	M050	106	
M050_8002.JPG	M050	6164	5184x3888,16M
M050_8002_02.JPG	M050	6346	5184x3888,16M
M050_8002_03.JPG	M050	5194	5184x3888,16M
M050_8002_04.JPG	M050	5142	5184x3888,16M
M050_8002_05.JPG	M050	6056	5184x3888,16M
M050_8002_06.JPG	M050	6200	5184x3888,16M
M050_8002_07.JPG	M050	5209	5184x3888,16M
M050_8002_08.JPG	M050	6366	5184x3888,16M
M050_8002_09.JPG	M050	6365	5184x3888,16M
M050_8002_10.JPG	M050	5172	5184x3888,16M
M050_8002_11.JPG	M050	5252	5184x3888,16M
M050_8002_12.JPG	M050	5165	5184x3888,16M
M050_8002_13.JPG	M050	6189	5184x3888,16M
M050_8002_14.JPG	M050	6358	5184x3888,16M
M050_8002_15.JPG	M050	6318	5184x3888,16M
M050_8002_16.JPG	M050	6185	5184x3888,16M
M050_8002_17.JPG	M050	5929	5184x3888,16M
M050_8002_18.JPG	M050	6275	5184x3888,16M
M050_8002_19.JPG	M050	5525	5184x3888,16M
M051.psx	M051	106	
M051_853.JPG	M051	4993	5184x3888,16M
M051_853_02.JPG	M051	4925	5184x3888,16M
M051_853_03.JPG	M051	6152	5184x3888,16M
M051_853_04.JPG	M051	6045	5184x3888,16M
M051_853_05.JPG	M051	6080	5184x3888,16M
M051_853_06.JPG	M051	5656	5184x3888,16M
M051_853_07.JPG	M051	5722	5184x3888,16M
M051_853_08.JPG	M051	5688	5184x3888,16M
M051_853_09.JPG	M051	5597	5184x3888,16M
M051_853_10.JPG	M051	5845	5184x3888,16M
M051_853_11.JPG	M051	5701	5184x3888,16M
M051_853_12.JPG	M051	5615	5184x3888,16M
M051_853_13.JPG	M051	6312	5184x3888,16M
M051_853_14.JPG	M051	6216	5184x3888,16M
M051_853_15.JPG	M051	5982	5184x3888,16M
M051_853_16.JPG	M051	6002	5184x3888,16M
M051_853_17.JPG	M051	6012	5184x3888,16M
M051_853_18.JPG	M051	5972	5184x3888,16M
M051_853_19.JPG	M051	6187	5184x3888,16M
M051_853_20.JPG	M051	6016	5184x3888,16M
M051_853_21.JPG	M051	5561	5184x3888,16M
M051_853_22.JPG	M051	6005	5184x3888,16M
M051_853_23.JPG	M051	5883	5184x3888,16M
M051_853_24.JPG	M051	6049	5184x3888,16M
M051_853_25.JPG	M051	6349	5184x3888,16M

num_photo	num_us	taille	format
M051_853_26.JPG	M051	5943	5184x3888,16M
M051_853_27.JPG	M051	6033	5184x3888,16M
M051_853_28.JPG	M051	5556	5184x3888,16M
M051_853_29.JPG	M051	5867	5184x3888,16M
M051_853_30.JPG	M051	6078	5184x3888,16M
M051_853_31.JPG	M051	5719	5184x3888,16M
M051_853_32.JPG	M051	5795	5184x3888,16M
M051_853_33.JPG	M051	5211	5184x3888,16M
M051_853_34.JPG	M051	6245	5184x3888,16M
M051_853_35.JPG	M051	6165	5184x3888,16M
M051_853_36.JPG	M051	5700	5184x3888,16M
M051_853_37.JPG	M051	5799	5184x3888,16M
M052.psx	M052	106	
M052_generale.JPG	M052	1136	5184x3888,16M
M052_generale_02.JPG	M052	1122	5184x3888,16M
M052_generale_03.JPG	M052	1139	5184x3888,16M
M052_generale_04.JPG	M052	1178	5184x3888,16M
M052_generale_05.JPG	M052	1120	5184x3888,16M
M052_generale_06.JPG	M052	1161	5184x3888,16M
M052_generale_07.JPG	M052	1162	5184x3888,16M
M052_generale_08.JPG	M052	1105	5184x3888,16M
M052_generale_09.JPG	M052	1084	5184x3888,16M
M052_generale_10.JPG	M052	1132	5184x3888,16M
M052_generale_11.JPG	M052	1032	5184x3888,16M
M052_generale_12.JPG	M052	1027	5184x3888,16M
M052_generale_13.JPG	M052	1027	5184x3888,16M
M052_generale_14.JPG	M052	1048	5184x3888,16M
M052_generale_15.JPG	M052	1076	5184x3888,16M
M052_generale_16.JPG	M052	1055	5184x3888,16M
M052_generale_17.JPG	M052	1071	5184x3888,16M
M052_generale_18.JPG	M052	1115	5184x3888,16M
M052_generale_19.JPG	M052	1114	5184x3888,16M
M052_generale_20.JPG	M052	1116	5184x3888,16M
M052_generale_21.JPG	M052	1086	5184x3888,16M
M052_generale_22.JPG	M052	1073	5184x3888,16M
M052_generale_23.JPG	M052	1135	5184x3888,16M
M052_generale_24.JPG	M052	1065	5184x3888,16M
M052_generale_25.JPG	M052	1077	5184x3888,16M
M052_generale_26.JPG	M052	1072	5184x3888,16M
M052_generale_27.JPG	M052	1063	5184x3888,16M
M052_generale_28.JPG	M052	1117	5184x3888,16M
M052_generale_29.JPG	M052	1122	5184x3888,16M
M052_generale_30.JPG	M052	1134	5184x3888,16M
M052_generale_31.JPG	M052	1107	5184x3888,16M
M052_generale_32.JPG	M052	1153	5184x3888,16M
M052_generale_33.JPG	M052	1045	5184x3888,16M
M052_generale_34.JPG	M052	1075	5184x3888,16M
M052_generale_35.JPG	M052	1014	5184x3888,16M
M052_generale_36.JPG	M052	1092	5184x3888,16M
M052_generale_37.JPG	M052	1080	5184x3888,16M
M052_generale_38.JPG	M052	1086	5184x3888,16M
M052_generale_39.JPG	M052	1115	5184x3888,16M
M052_generale_40.JPG	M052	1079	5184x3888,16M
M052_generale_41.JPG	M052	1069	5184x3888,16M
M052_generale_42.JPG	M052	1057	5184x3888,16M

num_photo	num_us	taille	format
M052_generale_43.JPG	M052	1077	5184x3888,16M
M052_generale_44.JPG	M052	1049	5184x3888,16M
M052_generale_45.JPG	M052	1048	5184x3888,16M
M052_generale_46.JPG	M052	1082	5184x3888,16M
M052_generale_47.JPG	M052	1072	5184x3888,16M
M052_generale_48.JPG	M052	1086	5184x3888,16M
M052_generale_49.JPG	M052	1108	5184x3888,16M
M052_generale_50.JPG	M052	1097	5184x3888,16M
M052_generale_51.JPG	M052	1119	5184x3888,16M
M052_generale_52.JPG	M052	1131	5184x3888,16M
M052_generale_53.JPG	M052	1086	5184x3888,16M
M052_generale_54.JPG	M052	1098	5184x3888,16M
M052_generale_55.JPG	M052	1115	5184x3888,16M
M052_generale_56.JPG	M052	1070	5184x3888,16M
M052_generale_57.JPG	M052	1045	5184x3888,16M
M052_generale_58.JPG	M052	1077	5184x3888,16M
M052_generale_59.JPG	M052	1045	5184x3888,16M
M052_generale_60.JPG	M052	1040	5184x3888,16M
M052_generale_61.JPG	M052	1067	5184x3888,16M
M052_generale_62.JPG	M052	1033	5184x3888,16M
M052_generale_63.JPG	M052	1025	5184x3888,16M
M052_generale_64.JPG	M052	1126	5184x3888,16M
M052_generale_65.JPG	M052	1097	5184x3888,16M
M052_generale_66.JPG	M052	1096	5184x3888,16M
M052_generale_67.JPG	M052	1103	5184x3888,16M
M052_generale_68.JPG	M052	1088	5184x3888,16M
M052_generale_69.JPG	M052	1060	5184x3888,16M
M052_generale_70.JPG	M052	1057	5184x3888,16M
M052_generale_71.JPG	M052	1089	5184x3888,16M
M052_generale_72.JPG	M052	1030	5184x3888,16M
M053.psx	M053	106	
M053_856.JPG	M053	1125	5184x3888,16M
M053_856_02.JPG	M053	1131	5184x3888,16M
M053_856_03.JPG	M053	1133	5184x3888,16M
M053_856_04.JPG	M053	1132	5184x3888,16M
M053_856_05.JPG	M053	1124	5184x3888,16M
M053_856_06.JPG	M053	1113	5184x3888,16M
M053_856_07.JPG	M053	1135	5184x3888,16M
M053_856_08.JPG	M053	1158	5184x3888,16M
M053_856_09.JPG	M053	1150	5184x3888,16M
M053_856_10.JPG	M053	1133	5184x3888,16M
M053_856_11.JPG	M053	1107	5184x3888,16M
M053_856_12.JPG	M053	1090	5184x3888,16M
M053_856_13.JPG	M053	1109	5184x3888,16M
M053_856_14.JPG	M053	1081	5184x3888,16M
M053_856_15.JPG	M053	1092	5184x3888,16M
M053_856_16.JPG	M053	1110	5184x3888,16M
M053_856_17.JPG	M053	1083	5184x3888,16M
M053_856_18.JPG	M053	1062	5184x3888,16M
M053_856_19.JPG	M053	1075	5184x3888,16M
M053_856_20.JPG	M053	1054	5184x3888,16M
M053_856_21.JPG	M053	1058	5184x3888,16M
M053_856_22.JPG	M053	1047	5184x3888,16M
M053_856_23.JPG	M053	1055	5184x3888,16M
M053_856_24.JPG	M053	1101	5184x3888,16M

num_photo	num_us	taille	format
M053_856_25.JPG	M053	1060	5184x3888,16M
M053_856_26.JPG	M053	1043	5184x3888,16M
M053_856_27.JPG	M053	1045	5184x3888,16M
M053_856_28.JPG	M053	1035	5184x3888,16M
M053_856_29.JPG	M053	1053	5184x3888,16M
M053_856_30.JPG	M053	1082	5184x3888,16M
M053_856_31.JPG	M053	1043	5184x3888,16M
M053_856_32.JPG	M053	1078	5184x3888,16M
M053_856_33.JPG	M053	1091	5184x3888,16M
M053_856_34.JPG	M053	1101	5184x3888,16M
M053_856_35.JPG	M053	1030	5184x3888,16M
M053_856_36.JPG	M053	1033	5184x3888,16M
M053_856_37.JPG	M053	1100	5184x3888,16M
M053_856_38.JPG	M053	1061	5184x3888,16M
M053_856_39.JPG	M053	1035	5184x3888,16M
M053_856_40.JPG	M053	1073	5184x3888,16M
M053_856_41.JPG	M053	1076	5184x3888,16M
M053_856_42.JPG	M053	1122	5184x3888,16M
M053_856_43.JPG	M053	1047	5184x3888,16M
M053_856_44.JPG	M053	9989	5184x3888,16M
M053_856_45.JPG	M053	1012	5184x3888,16M
M053_856_46.JPG	M053	1033	5184x3888,16M
M053_856_47.JPG	M053	1080	5184x3888,16M
M053_856_48.JPG	M053	1054	5184x3888,16M
M053_856_49.JPG	M053	1048	5184x3888,16M
M053_856_50.JPG	M053	1029	5184x3888,16M
M053_856_51.JPG	M053	1039	5184x3888,16M
M053_856_52.JPG	M053	1045	5184x3888,16M
M053_856_53.JPG	M053	1020	5184x3888,16M
M053_856_54.JPG	M053	1015	5184x3888,16M
M053_856_55.JPG	M053	1094	5184x3888,16M
M053_856_56.JPG	M053	1107	5184x3888,16M
M053_856_57.JPG	M053	1091	5184x3888,16M
M053_856_58.JPG	M053	1020	5184x3888,16M
M053_856_59.JPG	M053	9442	5184x3888,16M
M053_856_60.JPG	M053	1046	5184x3888,16M
M053_856_61.JPG	M053	1059	5184x3888,16M
M053_856_62.JPG	M053	1014	5184x3888,16M
M054.psx	M054	106	
M054_854.JPG	M054	1071	5184x3888,16M
M054_854_02.JPG	M054	1095	5184x3888,16M
M054_854_03.JPG	M054	1048	5184x3888,16M
M054_854_04.JPG	M054	1028	5184x3888,16M
M054_854_05.JPG	M054	1088	5184x3888,16M
M054_854_06.JPG	M054	1059	5184x3888,16M
M054_854_07.JPG	M054	1096	5184x3888,16M
M054_854_08.JPG	M054	1062	5184x3888,16M
M054_854_09.JPG	M054	1115	5184x3888,16M
M054_854_10.JPG	M054	1113	5184x3888,16M
M054_854_11.JPG	M054	1055	5184x3888,16M
M054_854_12.JPG	M054	1040	5184x3888,16M
M054_854_13.JPG	M054	1072	5184x3888,16M
M054_854_14.JPG	M054	1073	5184x3888,16M
M054_854_15.JPG	M054	1066	5184x3888,16M
M054_854_16.JPG	M054	1023	5184x3888,16M

num_photo	num_us	taille	format
M054_854_17.JPG	M054	1092	5184x3888,16M
M054_854_18.JPG	M054	1035	5184x3888,16M
M054_854_19.JPG	M054	1056	5184x3888,16M
M054_854_20.JPG	M054	1067	5184x3888,16M
M054_854_21.JPG	M054	1015	5184x3888,16M
M054_854_22.JPG	M054	1055	5184x3888,16M
M054_854_23.JPG	M054	1000	5184x3888,16M
M054_854_24.JPG	M054	1038	5184x3888,16M
M054_854_25.JPG	M054	1083	5184x3888,16M
M054_854_26.JPG	M054	1093	5184x3888,16M
M054_854_27.JPG	M054	1061	5184x3888,16M
M054_854_28.JPG	M054	1085	5184x3888,16M
M054_854_29.JPG	M054	1078	5184x3888,16M
M054_854_30.JPG	M054	1055	5184x3888,16M
M054_854_31.JPG	M054	1047	5184x3888,16M
M054_854_32.JPG	M054	1060	5184x3888,16M
M054_854_33.JPG	M054	1069	5184x3888,16M
M054_854_34.JPG	M054	1057	5184x3888,16M
M054_854_35.JPG	M054	1121	5184x3888,16M
M054_854_36.JPG	M054	1114	5184x3888,16M
M054_854_37.JPG	M054	9930	5184x3888,16M
M054_854_38.JPG	M054	1059	5184x3888,16M
M054_854_39.JPG	M054	1079	5184x3888,16M
M054_854_40.JPG	M054	1121	5184x3888,16M
M054_854_41.JPG	M054	1064	5184x3888,16M
M054_854_42.JPG	M054	1015	5184x3888,16M
M054_854_43.JPG	M054	1126	5184x3888,16M
M054_854_44.JPG	M054	1068	5184x3888,16M
M054_854_45.JPG	M054	1091	5184x3888,16M
M054_854_46.JPG	M054	1140	5184x3888,16M
M054_854_47.JPG	M054	1073	5184x3888,16M
M054_854_48.JPG	M054	1008	5184x3888,16M
M054_854_49.JPG	M054	1094	5184x3888,16M
M054_854_50.JPG	M054	1074	5184x3888,16M
M054_854_51.JPG	M054	1011	5184x3888,16M
M054_854_52.JPG	M054	1042	5184x3888,16M
M054_854_53.JPG	M054	9979	5184x3888,16M
M054_854_54.JPG	M054	1015	5184x3888,16M
M054_854_55.JPG	M054	1037	5184x3888,16M
M054_854_56.JPG	M054	1036	5184x3888,16M
M054_854_57.JPG	M054	1048	5184x3888,16M
M054_854_58.JPG	M054	1037	5184x3888,16M
M054_854_59.JPG	M054	9835	5184x3888,16M
M054_854_60.JPG	M054	1004	5184x3888,16M
M054_854_61.JPG	M054	1028	5184x3888,16M
M054_854_62.JPG	M054	1015	5184x3888,16M
M054_854_63.JPG	M054	9724	5184x3888,16M
M054_854_64.JPG	M054	9914	5184x3888,16M
M054_854_65.JPG	M054	1022	5184x3888,16M
M054_854_66.JPG	M054	1031	5184x3888,16M
M054_854_67.JPG	M054	1023	5184x3888,16M
M054_854_68.JPG	M054	1013	5184x3888,16M
M054_854_69.JPG	M054	1087	5184x3888,16M
M054_854_70.JPG	M054	1039	5184x3888,16M
M055.psx	M055	106	

num_photo	num_us	taille	format
M055_859.JPG	M055	1059	5184x3888,16M
M055_859_02.JPG	M055	1068	5184x3888,16M
M055_859_03.JPG	M055	1065	5184x3888,16M
M055_859_04.JPG	M055	1134	5184x3888,16M
M055_859_05.JPG	M055	1081	5184x3888,16M
M055_859_06.JPG	M055	1040	5184x3888,16M
M055_859_07.JPG	M055	1074	5184x3888,16M
M055_859_08.JPG	M055	1046	5184x3888,16M
M055_859_09.JPG	M055	1106	5184x3888,16M
M055_859_10.JPG	M055	1079	5184x3888,16M
M055_859_100.JPG	M055	1105	5184x3888,16M
M055_859_101.JPG	M055	1077	5184x3888,16M
M055_859_102.JPG	M055	1114	5184x3888,16M
M055_859_103.JPG	M055	1107	5184x3888,16M
M055_859_104.JPG	M055	1017	5184x3888,16M
M055_859_105.JPG	M055	1085	5184x3888,16M
M055_859_106.JPG	M055	1092	5184x3888,16M
M055_859_107.JPG	M055	1071	5184x3888,16M
M055_859_108.JPG	M055	1034	5184x3888,16M
M055_859_109.JPG	M055	1018	5184x3888,16M
M055_859_11.JPG	M055	1071	5184x3888,16M
M055_859_12.JPG	M055	1116	5184x3888,16M
M055_859_13.JPG	M055	1093	5184x3888,16M
M055_859_14.JPG	M055	1079	5184x3888,16M
M055_859_15.JPG	M055	1058	5184x3888,16M
M055_859_16.JPG	M055	1084	5184x3888,16M
M055_859_17.JPG	M055	1119	5184x3888,16M
M055_859_18.JPG	M055	1052	5184x3888,16M
M055_859_19.JPG	M055	1075	5184x3888,16M
M055_859_20.JPG	M055	1042	5184x3888,16M
M055_859_21.JPG	M055	1063	5184x3888,16M
M055_859_22.JPG	M055	1054	5184x3888,16M
M055_859_23.JPG	M055	1114	5184x3888,16M
M055_859_24.JPG	M055	1094	5184x3888,16M
M055_859_25.JPG	M055	1076	5184x3888,16M
M055_859_26.JPG	M055	1113	5184x3888,16M
M055_859_27.JPG	M055	1095	5184x3888,16M
M055_859_28.JPG	M055	1084	5184x3888,16M
M055_859_29.JPG	M055	1083	5184x3888,16M
M055_859_30.JPG	M055	1093	5184x3888,16M
M055_859_31.JPG	M055	1128	5184x3888,16M
M055_859_32.JPG	M055	1108	5184x3888,16M
M055_859_33.JPG	M055	1062	5184x3888,16M
M055_859_34.JPG	M055	1058	5184x3888,16M
M055_859_35.JPG	M055	1051	5184x3888,16M
M055_859_36.JPG	M055	1055	5184x3888,16M
M055_859_37.JPG	M055	1067	5184x3888,16M
M055_859_38.JPG	M055	1071	5184x3888,16M
M055_859_39.JPG	M055	1079	5184x3888,16M
M055_859_40.JPG	M055	1144	5184x3888,16M
M055_859_41.JPG	M055	1042	5184x3888,16M
M055_859_42.JPG	M055	9976	5184x3888,16M
M055_859_43.JPG	M055	1123	5184x3888,16M
M055_859_44.JPG	M055	1050	5184x3888,16M
M055_859_45.JPG	M055	1124	5184x3888,16M

num_photo	num_us	taille	format
M055_859_46.JPG	M055	1142	5184x3888,16M
M055_859_47.JPG	M055	1092	5184x3888,16M
M055_859_48.JPG	M055	1080	5184x3888,16M
M055_859_49.JPG	M055	1133	5184x3888,16M
M055_859_50.JPG	M055	1099	5184x3888,16M
M055_859_51.JPG	M055	1089	5184x3888,16M
M055_859_52.JPG	M055	1100	5184x3888,16M
M055_859_53.JPG	M055	1031	5184x3888,16M
M055_859_54.JPG	M055	1069	5184x3888,16M
M055_859_55.JPG	M055	1034	5184x3888,16M
M055_859_56.JPG	M055	1076	5184x3888,16M
M055_859_57.JPG	M055	1079	5184x3888,16M
M055_859_58.JPG	M055	1064	5184x3888,16M
M055_859_59.JPG	M055	1077	5184x3888,16M
M055_859_60.JPG	M055	1082	5184x3888,16M
M055_859_61.JPG	M055	1066	5184x3888,16M
M055_859_62.JPG	M055	1092	5184x3888,16M
M055_859_63.JPG	M055	1065	5184x3888,16M
M055_859_64.JPG	M055	1117	5184x3888,16M
M055_859_65.JPG	M055	1059	5184x3888,16M
M055_859_66.JPG	M055	1088	5184x3888,16M
M055_859_67.JPG	M055	1021	5184x3888,16M
M055_859_68.JPG	M055	1105	5184x3888,16M
M055_859_69.JPG	M055	1125	5184x3888,16M
M055_859_70.JPG	M055	1050	5184x3888,16M
M055_859_71.JPG	M055	1046	5184x3888,16M
M055_859_72.JPG	M055	1054	5184x3888,16M
M055_859_73.JPG	M055	1039	5184x3888,16M
M055_859_74.JPG	M055	1055	5184x3888,16M
M055_859_75.JPG	M055	1052	5184x3888,16M
M055_859_76.JPG	M055	9957	5184x3888,16M
M055_859_77.JPG	M055	1026	5184x3888,16M
M055_859_78.JPG	M055	1051	5184x3888,16M
M055_859_79.JPG	M055	1035	5184x3888,16M
M055_859_80.JPG	M055	1054	5184x3888,16M
M055_859_81.JPG	M055	1012	5184x3888,16M
M055_859_82.JPG	M055	1044	5184x3888,16M
M055_859_83.JPG	M055	1111	5184x3888,16M
M055_859_84.JPG	M055	1098	5184x3888,16M
M055_859_85.JPG	M055	1112	5184x3888,16M
M055_859_86.JPG	M055	1072	5184x3888,16M
M055_859_87.JPG	M055	1058	5184x3888,16M
M055_859_88.JPG	M055	1091	5184x3888,16M
M055_859_89.JPG	M055	1103	5184x3888,16M
M055_859_90.JPG	M055	1058	5184x3888,16M
M055_859_91.JPG	M055	1029	5184x3888,16M
M055_859_92.JPG	M055	1059	5184x3888,16M
M055_859_93.JPG	M055	1053	5184x3888,16M
M055_859_94.JPG	M055	1042	5184x3888,16M
M055_859_95.JPG	M055	1061	5184x3888,16M
M055_859_96.JPG	M055	1111	5184x3888,16M
M055_859_97.JPG	M055	1052	5184x3888,16M
M055_859_98.JPG	M055	1058	5184x3888,16M
M055_859_99.JPG	M055	1024	5184x3888,16M
M056.psx	M056	106	

num_photo	num_us	taille	format
M056_853.JPG	M056	1132	5184x3888,16M
M056_853_02.JPG	M056	1063	5184x3888,16M
M056_853_03.JPG	M056	1118	5184x3888,16M
M056_853_04.JPG	M056	1131	5184x3888,16M
M056_853_05.JPG	M056	1058	5184x3888,16M
M056_853_06.JPG	M056	1048	5184x3888,16M
M056_853_07.JPG	M056	1133	5184x3888,16M
M056_853_08.JPG	M056	1118	5184x3888,16M
M056_853_09.JPG	M056	1082	5184x3888,16M
M056_853_10.JPG	M056	1045	5184x3888,16M
M056_853_11.JPG	M056	1131	5184x3888,16M
M056_853_12.JPG	M056	1051	5184x3888,16M
M056_853_13.JPG	M056	1125	5184x3888,16M
M056_853_14.JPG	M056	1071	5184x3888,16M
M056_853_15.JPG	M056	1098	5184x3888,16M
M056_853_16.JPG	M056	1110	5184x3888,16M
M056_853_17.JPG	M056	1073	5184x3888,16M
M056_853_18.JPG	M056	1107	5184x3888,16M
M056_853_19.JPG	M056	1132	5184x3888,16M
M056_853_20.JPG	M056	1064	5184x3888,16M
M056_853_21.JPG	M056	1057	5184x3888,16M
M056_853_22.JPG	M056	1089	5184x3888,16M
M056_853_23.JPG	M056	1068	5184x3888,16M
M056_853_24.JPG	M056	1041	5184x3888,16M
M056_853_25.JPG	M056	1072	5184x3888,16M
M056_853_26.JPG	M056	1042	5184x3888,16M
M056_853_27.JPG	M056	1044	5184x3888,16M
M056_853_28.JPG	M056	1100	5184x3888,16M
M056_853_29.JPG	M056	1068	5184x3888,16M
M056_853_30.JPG	M056	1065	5184x3888,16M
M056_853_31.JPG	M056	1063	5184x3888,16M
M056_853_32.JPG	M056	1094	5184x3888,16M
M056_853_33.JPG	M056	1079	5184x3888,16M
M056_853_34.JPG	M056	1101	5184x3888,16M
M056_853_35.JPG	M056	1112	5184x3888,16M
M056_853_36.JPG	M056	1104	5184x3888,16M
M056_853_37.JPG	M056	1169	5184x3888,16M
M056_853_38.JPG	M056	1134	5184x3888,16M
M056_853_39.JPG	M056	1128	5184x3888,16M
M056_853_40.JPG	M056	1136	5184x3888,16M
M056_853_41.JPG	M056	1124	5184x3888,16M
M056_853_42.JPG	M056	1137	5184x3888,16M
M056_853_43.JPG	M056	1034	5184x3888,16M
M056_853_44.JPG	M056	1059	5184x3888,16M
M056_853_45.JPG	M056	1107	5184x3888,16M
M056_853_46.JPG	M056	1105	5184x3888,16M
M056_853_47.JPG	M056	1091	5184x3888,16M
M056_853_48.JPG	M056	1098	5184x3888,16M
M056_853_49.JPG	M056	1091	5184x3888,16M
M056_853_50.JPG	M056	1124	5184x3888,16M
M056_853_51.JPG	M056	1040	5184x3888,16M
M056_853_52.JPG	M056	1099	5184x3888,16M
M056_853_53.JPG	M056	1059	5184x3888,16M
M056_853_54.JPG	M056	1009	5184x3888,16M
M056_853_55.JPG	M056	1082	5184x3888,16M

num_photo	num_us	taille	format
M056_853_56.JPG	M056	1044	5184x3888,16M
M056_853_57.JPG	M056	1059	5184x3888,16M
M056_853_58.JPG	M056	1004	5184x3888,16M
M056_853_59.JPG	M056	1035	5184x3888,16M
M056_853_60.JPG	M056	1114	5184x3888,16M
M057.psx	M057	106	
M057_860.JPG	M057	1082	5184x3888,16M
M057_860_02.JPG	M057	1158	5184x3888,16M
M057_860_03.JPG	M057	1150	5184x3888,16M
M057_860_04.JPG	M057	1055	5184x3888,16M
M057_860_05.JPG	M057	1053	5184x3888,16M
M057_860_06.JPG	M057	1078	5184x3888,16M
M057_860_07.JPG	M057	1059	5184x3888,16M
M057_860_08.JPG	M057	1065	5184x3888,16M
M057_860_09.JPG	M057	1160	5184x3888,16M
M057_860_10.JPG	M057	1072	5184x3888,16M
M057_860_11.JPG	M057	1160	5184x3888,16M
M057_860_12.JPG	M057	1134	5184x3888,16M
M057_860_13.JPG	M057	1137	5184x3888,16M
M057_860_14.JPG	M057	1130	5184x3888,16M
M057_860_15.JPG	M057	1127	5184x3888,16M
M057_860_16.JPG	M057	1095	5184x3888,16M
M057_860_17.JPG	M057	1079	5184x3888,16M
M057_860_18.JPG	M057	1055	5184x3888,16M
M057_860_19.JPG	M057	1042	5184x3888,16M
M057_860_20.JPG	M057	1072	5184x3888,16M
M057_860_21.JPG	M057	1034	5184x3888,16M
M057_860_22.JPG	M057	1019	5184x3888,16M
M057_860_23.JPG	M057	1079	5184x3888,16M
M057_860_24.JPG	M057	1076	5184x3888,16M
M057_860_25.JPG	M057	1086	5184x3888,16M
M057_860_26.JPG	M057	1094	5184x3888,16M
M057_860_27.JPG	M057	1139	5184x3888,16M
M057_860_28.JPG	M057	1114	5184x3888,16M
M057_860_29.JPG	M057	1165	5184x3888,16M
M057_860_30.JPG	M057	1131	5184x3888,16M
M057_860_31.JPG	M057	1119	5184x3888,16M
M057_860_32.JPG	M057	1142	5184x3888,16M
M057_860_33.JPG	M057	1122	5184x3888,16M
M057_860_34.JPG	M057	1144	5184x3888,16M
M057_860_35.JPG	M057	1132	5184x3888,16M
M057_860_36.JPG	M057	1131	5184x3888,16M
M057_860_37.JPG	M057	1141	5184x3888,16M
M057_860_38.JPG	M057	1068	5184x3888,16M
M057_860_39.JPG	M057	1136	5184x3888,16M
M057_860_40.JPG	M057	1123	5184x3888,16M
M057_860_41.JPG	M057	1123	5184x3888,16M
M057_860_42.JPG	M057	1128	5184x3888,16M
M057_860_43.JPG	M057	1130	5184x3888,16M
M057_860_44.JPG	M057	1131	5184x3888,16M
M057_860_45.JPG	M057	1096	5184x3888,16M
M058.psx	M058	106	
M058_generale.JPG	M058	1075	5184x3888,16M
M058_generale_02.JPG	M058	1075	5184x3888,16M
M058_generale_03.JPG	M058	1103	5184x3888,16M

num_photo	num_us	taille	format
M058_generale_04.JPG	M058	1115	5184x3888,16M
M058_generale_05.JPG	M058	1103	5184x3888,16M
M058_generale_06.JPG	M058	1080	5184x3888,16M
M058_generale_07.JPG	M058	1060	5184x3888,16M
M058_generale_08.JPG	M058	1054	5184x3888,16M
M058_generale_09.JPG	M058	1070	5184x3888,16M
M058_generale_10.JPG	M058	1046	5184x3888,16M
M058_generale_100.JPG	M058	1063	5184x3888,16M
M058_generale_101.JPG	M058	1021	5184x3888,16M
M058_generale_102.JPG	M058	9965	5184x3888,16M
M058_generale_103.JPG	M058	9691	5184x3888,16M
M058_generale_104.JPG	M058	1058	5184x3888,16M
M058_generale_105.JPG	M058	1026	5184x3888,16M
M058_generale_106.JPG	M058	9892	5184x3888,16M
M058_generale_107.JPG	M058	1066	5184x3888,16M
M058_generale_108.JPG	M058	1005	5184x3888,16M
M058_generale_109.JPG	M058	9197	5184x3888,16M
M058_generale_11.JPG	M058	1065	5184x3888,16M
M058_generale_110.JPG	M058	1106	5184x3888,16M
M058_generale_111.JPG	M058	1043	5184x3888,16M
M058_generale_112.JPG	M058	1067	5184x3888,16M
M058_generale_113.JPG	M058	9506	5184x3888,16M
M058_generale_114.JPG	M058	1042	5184x3888,16M
M058_generale_115.JPG	M058	9933	5184x3888,16M
M058_generale_116.JPG	M058	1010	5184x3888,16M
M058_generale_117.JPG	M058	1031	5184x3888,16M
M058_generale_118.JPG	M058	1044	5184x3888,16M
M058_generale_119.JPG	M058	1057	5184x3888,16M
M058_generale_12.JPG	M058	1063	5184x3888,16M
M058_generale_120.JPG	M058	1054	5184x3888,16M
M058_generale_121.JPG	M058	9303	5184x3888,16M
M058_generale_122.JPG	M058	9504	5184x3888,16M
M058_generale_123.JPG	M058	1000	5184x3888,16M
M058_generale_124.JPG	M058	1042	5184x3888,16M
M058_generale_125.JPG	M058	9507	5184x3888,16M
M058_generale_126.JPG	M058	1059	5184x3888,16M
M058_generale_127.JPG	M058	1123	5184x3888,16M
M058_generale_128.JPG	M058	1012	5184x3888,16M
M058_generale_129.JPG	M058	1012	5184x3888,16M
M058_generale_13.JPG	M058	1067	5184x3888,16M
M058_generale_130.JPG	M058	1034	5184x3888,16M
M058_generale_131.JPG	M058	9131	5184x3888,16M
M058_generale_132.JPG	M058	1020	5184x3888,16M
M058_generale_133.JPG	M058	1036	5184x3888,16M
M058_generale_134.JPG	M058	9798	5184x3888,16M
M058_generale_135.JPG	M058	1025	5184x3888,16M
M058_generale_136.JPG	M058	1066	5184x3888,16M
M058_generale_137.JPG	M058	1046	5184x3888,16M
M058_generale_138.JPG	M058	1050	5184x3888,16M
M058_generale_139.JPG	M058	1034	5184x3888,16M
M058_generale_14.JPG	M058	1131	5184x3888,16M
M058_generale_140.JPG	M058	1003	5184x3888,16M
M058_generale_141.JPG	M058	9463	5184x3888,16M
M058_generale_142.JPG	M058	1040	5184x3888,16M
M058_generale_143.JPG	M058	9824	5184x3888,16M

num_photo	num_us	taille	format
M058_generale_144.JPG	M058	1036	5184x3888,16M
M058_generale_145.JPG	M058	1027	5184x3888,16M
M058_generale_146.JPG	M058	1017	5184x3888,16M
M058_generale_147.JPG	M058	9259	5184x3888,16M
M058_generale_148.JPG	M058	9090	5184x3888,16M
M058_generale_149.JPG	M058	1052	5184x3888,16M
M058_generale_15.JPG	M058	1095	5184x3888,16M
M058_generale_150.JPG	M058	1058	5184x3888,16M
M058_generale_151.JPG	M058	1030	5184x3888,16M
M058_generale_152.JPG	M058	1019	5184x3888,16M
M058_generale_153.JPG	M058	1037	5184x3888,16M
M058_generale_154.JPG	M058	1046	5184x3888,16M
M058_generale_155.JPG	M058	1035	5184x3888,16M
M058_generale_156.JPG	M058	1005	5184x3888,16M
M058_generale_157.JPG	M058	1044	5184x3888,16M
M058_generale_158.JPG	M058	1015	5184x3888,16M
M058_generale_159.JPG	M058	1021	5184x3888,16M
M058_generale_16.JPG	M058	9916	5184x3888,16M
M058_generale_160.JPG	M058	1025	5184x3888,16M
M058_generale_161.JPG	M058	1049	5184x3888,16M
M058_generale_162.JPG	M058	9256	5184x3888,16M
M058_generale_163.JPG	M058	1027	5184x3888,16M
M058_generale_164.JPG	M058	1007	5184x3888,16M
M058_generale_165.JPG	M058	1034	5184x3888,16M
M058_generale_166.JPG	M058	1040	5184x3888,16M
M058_generale_167.JPG	M058	8735	5184x3888,16M
M058_generale_168.JPG	M058	9797	5184x3888,16M
M058_generale_169.JPG	M058	1027	5184x3888,16M
M058_generale_17.JPG	M058	1006	5184x3888,16M
M058_generale_170.JPG	M058	1032	5184x3888,16M
M058_generale_171.JPG	M058	1062	5184x3888,16M
M058_generale_172.JPG	M058	1013	5184x3888,16M
M058_generale_173.JPG	M058	1035	5184x3888,16M
M058_generale_174.JPG	M058	9802	5184x3888,16M
M058_generale_175.JPG	M058	9116	5184x3888,16M
M058_generale_176.JPG	M058	7733	5184x3888,16M
M058_generale_177.JPG	M058	7602	5184x3888,16M
M058_generale_178.JPG	M058	1015	5184x3888,16M
M058_generale_179.JPG	M058	1109	5184x3888,16M
M058_generale_18.JPG	M058	1091	5184x3888,16M
M058_generale_180.JPG	M058	1016	5184x3888,16M
M058_generale_181.JPG	M058	9353	5184x3888,16M
M058_generale_182.JPG	M058	1021	5184x3888,16M
M058_generale_183.JPG	M058	1009	5184x3888,16M
M058_generale_184.JPG	M058	1013	5184x3888,16M
M058_generale_185.JPG	M058	1038	5184x3888,16M
M058_generale_186.JPG	M058	1072	5184x3888,16M
M058_generale_187.JPG	M058	1000	5184x3888,16M
M058_generale_188.JPG	M058	1016	5184x3888,16M
M058_generale_189.JPG	M058	9587	5184x3888,16M
M058_generale_19.JPG	M058	1062	5184x3888,16M
M058_generale_190.JPG	M058	1045	5184x3888,16M
M058_generale_191.JPG	M058	1034	5184x3888,16M
M058_generale_192.JPG	M058	1031	5184x3888,16M
M058_generale_193.JPG	M058	9745	5184x3888,16M

num_photo	num_us	taille	format
M058_generale_194.JPG	M058	1018	5184x3888,16M
M058_generale_195.JPG	M058	1007	5184x3888,16M
M058_generale_196.JPG	M058	1024	5184x3888,16M
M058_generale_197.JPG	M058	1049	5184x3888,16M
M058_generale_198.JPG	M058	1072	5184x3888,16M
M058_generale_199.JPG	M058	1037	5184x3888,16M
M058_generale_20.JPG	M058	1065	5184x3888,16M
M058_generale_200.JPG	M058	1044	5184x3888,16M
M058_generale_201.JPG	M058	9617	5184x3888,16M
M058_generale_202.JPG	M058	1116	5184x3888,16M
M058_generale_203.JPG	M058	1115	5184x3888,16M
M058_generale_204.JPG	M058	1061	5184x3888,16M
M058_generale_205.JPG	M058	9951	5184x3888,16M
M058_generale_206.JPG	M058	1027	5184x3888,16M
M058_generale_207.JPG	M058	1095	5184x3888,16M
M058_generale_208.JPG	M058	1131	5184x3888,16M
M058_generale_209.JPG	M058	1108	5184x3888,16M
M058_generale_21.JPG	M058	1089	5184x3888,16M
M058_generale_210.JPG	M058	1088	5184x3888,16M
M058_generale_22.JPG	M058	1040	5184x3888,16M
M058_generale_23.JPG	M058	1039	5184x3888,16M
M058_generale_24.JPG	M058	1102	5184x3888,16M
M058_generale_25.JPG	M058	1094	5184x3888,16M
M058_generale_26.JPG	M058	1032	5184x3888,16M
M058_generale_27.JPG	M058	1061	5184x3888,16M
M058_generale_28.JPG	M058	1076	5184x3888,16M
M058_generale_29.JPG	M058	1089	5184x3888,16M
M058_generale_30.JPG	M058	9784	5184x3888,16M
M058_generale_31.JPG	M058	1059	5184x3888,16M
M058_generale_32.JPG	M058	1069	5184x3888,16M
M058_generale_33.JPG	M058	1006	5184x3888,16M
M058_generale_34.JPG	M058	1021	5184x3888,16M
M058_generale_35.JPG	M058	1080	5184x3888,16M
M058_generale_36.JPG	M058	1071	5184x3888,16M
M058_generale_37.JPG	M058	1090	5184x3888,16M
M058_generale_38.JPG	M058	1089	5184x3888,16M
M058_generale_39.JPG	M058	1075	5184x3888,16M
M058_generale_40.JPG	M058	1010	5184x3888,16M
M058_generale_41.JPG	M058	9789	5184x3888,16M
M058_generale_42.JPG	M058	1044	5184x3888,16M
M058_generale_43.JPG	M058	1022	5184x3888,16M
M058_generale_44.JPG	M058	1001	5184x3888,16M
M058_generale_45.JPG	M058	1106	5184x3888,16M
M058_generale_46.JPG	M058	1040	5184x3888,16M
M058_generale_47.JPG	M058	1116	5184x3888,16M
M058_generale_48.JPG	M058	1047	5184x3888,16M
M058_generale_49.JPG	M058	1057	5184x3888,16M
M058_generale_50.JPG	M058	1102	5184x3888,16M
M058_generale_51.JPG	M058	9894	5184x3888,16M
M058_generale_52.JPG	M058	1013	5184x3888,16M
M058_generale_53.JPG	M058	1030	5184x3888,16M
M058_generale_54.JPG	M058	1071	5184x3888,16M
M058_generale_55.JPG	M058	1084	5184x3888,16M
M058_generale_56.JPG	M058	1113	5184x3888,16M
M058_generale_57.JPG	M058	1070	5184x3888,16M

num_photo	num_us	taille	format
M058_generale_58.JPG	M058	1110	5184x3888,16M
M058_generale_59.JPG	M058	1000	5184x3888,16M
M058_generale_60.JPG	M058	9967	5184x3888,16M
M058_generale_61.JPG	M058	1011	5184x3888,16M
M058_generale_62.JPG	M058	9896	5184x3888,16M
M058_generale_63.JPG	M058	1040	5184x3888,16M
M058_generale_64.JPG	M058	1110	5184x3888,16M
M058_generale_65.JPG	M058	1027	5184x3888,16M
M058_generale_66.JPG	M058	1074	5184x3888,16M
M058_generale_67.JPG	M058	9820	5184x3888,16M
M058_generale_68.JPG	M058	1117	5184x3888,16M
M058_generale_69.JPG	M058	1017	5184x3888,16M
M058_generale_70.JPG	M058	1052	5184x3888,16M
M058_generale_71.JPG	M058	1021	5184x3888,16M
M058_generale_72.JPG	M058	1021	5184x3888,16M
M058_generale_73.JPG	M058	1059	5184x3888,16M
M058_generale_74.JPG	M058	1066	5184x3888,16M
M058_generale_75.JPG	M058	1107	5184x3888,16M
M058_generale_76.JPG	M058	1058	5184x3888,16M
M058_generale_77.JPG	M058	1118	5184x3888,16M
M058_generale_78.JPG	M058	1035	5184x3888,16M
M058_generale_79.JPG	M058	9197	5184x3888,16M
M058_generale_80.JPG	M058	9935	5184x3888,16M
M058_generale_81.JPG	M058	9918	5184x3888,16M
M058_generale_82.JPG	M058	9756	5184x3888,16M
M058_generale_83.JPG	M058	1028	5184x3888,16M
M058_generale_84.JPG	M058	1101	5184x3888,16M
M058_generale_85.JPG	M058	1047	5184x3888,16M
M058_generale_86.JPG	M058	1056	5184x3888,16M
M058_generale_87.JPG	M058	1076	5184x3888,16M
M058_generale_88.JPG	M058	1059	5184x3888,16M
M058_generale_89.JPG	M058	1033	5184x3888,16M
M058_generale_90.JPG	M058	1031	5184x3888,16M
M058_generale_91.JPG	M058	1079	5184x3888,16M
M058_generale_92.JPG	M058	1071	5184x3888,16M
M058_generale_93.JPG	M058	1064	5184x3888,16M
M058_generale_94.JPG	M058	1036	5184x3888,16M
M058_generale_95.JPG	M058	9592	5184x3888,16M
M058_generale_96.JPG	M058	1035	5184x3888,16M
M058_generale_97.JPG	M058	1038	5184x3888,16M
M058_generale_98.JPG	M058	1085	5184x3888,16M
M058_generale_99.JPG	M058	1037	5184x3888,16M
M059_857.JPG	M059	1143	5184x3888,16M
M059_857_02.JPG	M059	1152	5184x3888,16M
M059_857_03.JPG	M059	1160	5184x3888,16M
M059_857_04.JPG	M059	1115	5184x3888,16M
M059_857_05.JPG	M059	1153	5184x3888,16M
M059_857_06.JPG	M059	1137	5184x3888,16M
M059_857_07.JPG	M059	1146	5184x3888,16M
M059_857_08.JPG	M059	1116	5184x3888,16M
M059_857_09.JPG	M059	1154	5184x3888,16M
M059_857_10.JPG	M059	1139	5184x3888,16M
M059_857_100.JPG	M059	1020	5184x3888,16M
M059_857_101.JPG	M059	1022	5184x3888,16M
M059_857_102.JPG	M059	1022	5184x3888,16M

num_photo	num_us	taille	format
M059_857_103.JPG	M059	1065	5184x3888,16M
M059_857_104.JPG	M059	1008	5184x3888,16M
M059_857_105.JPG	M059	1075	5184x3888,16M
M059_857_106.JPG	M059	1061	5184x3888,16M
M059_857_107.JPG	M059	1043	5184x3888,16M
M059_857_108.JPG	M059	1024	5184x3888,16M
M059_857_109.JPG	M059	9880	5184x3888,16M
M059_857_11.JPG	M059	1132	5184x3888,16M
M059_857_110.JPG	M059	9903	5184x3888,16M
M059_857_111.JPG	M059	1021	5184x3888,16M
M059_857_112.JPG	M059	1013	5184x3888,16M
M059_857_113.JPG	M059	1050	5184x3888,16M
M059_857_114.JPG	M059	1039	5184x3888,16M
M059_857_115.JPG	M059	1040	5184x3888,16M
M059_857_116.JPG	M059	1095	5184x3888,16M
M059_857_117.JPG	M059	1036	5184x3888,16M
M059_857_118.JPG	M059	1040	5184x3888,16M
M059_857_119.JPG	M059	7544	5184x3888,16M
M059_857_12.JPG	M059	1109	5184x3888,16M
M059_857_13.JPG	M059	1077	5184x3888,16M
M059_857_14.JPG	M059	1006	5184x3888,16M
M059_857_15.JPG	M059	1090	5184x3888,16M
M059_857_16.JPG	M059	1123	5184x3888,16M
M059_857_17.JPG	M059	1164	5184x3888,16M
M059_857_18.JPG	M059	1136	5184x3888,16M
M059_857_19.JPG	M059	1040	5184x3888,16M
M059_857_20.JPG	M059	1032	5184x3888,16M
M059_857_21.JPG	M059	1056	5184x3888,16M
M059_857_22.JPG	M059	1062	5184x3888,16M
M059_857_23.JPG	M059	1150	5184x3888,16M
M059_857_24.JPG	M059	1093	5184x3888,16M
M059_857_25.JPG	M059	1133	5184x3888,16M
M059_857_26.JPG	M059	1123	5184x3888,16M
M059_857_27.JPG	M059	1077	5184x3888,16M
M059_857_28.JPG	M059	1094	5184x3888,16M
M059_857_29.JPG	M059	1022	5184x3888,16M
M059_857_30.JPG	M059	1076	5184x3888,16M
M059_857_31.JPG	M059	1147	5184x3888,16M
M059_857_32.JPG	M059	1105	5184x3888,16M
M059_857_33.JPG	M059	1110	5184x3888,16M
M059_857_34.JPG	M059	1100	5184x3888,16M
M059_857_35.JPG	M059	1144	5184x3888,16M
M059_857_36.JPG	M059	1024	5184x3888,16M
M059_857_37.JPG	M059	1097	5184x3888,16M
M059_857_38.JPG	M059	1117	5184x3888,16M
M059_857_39.JPG	M059	1090	5184x3888,16M
M059_857_40.JPG	M059	1087	5184x3888,16M
M059_857_41.JPG	M059	1144	5184x3888,16M
M059_857_42.JPG	M059	1137	5184x3888,16M
M059_857_43.JPG	M059	1150	5184x3888,16M
M059_857_44.JPG	M059	1146	5184x3888,16M
M059_857_45.JPG	M059	1083	5184x3888,16M
M059_857_46.JPG	M059	1120	5184x3888,16M
M059_857_47.JPG	M059	1120	5184x3888,16M
M059_857_48.JPG	M059	1130	5184x3888,16M

num_photo	num_us	taille	format
M059_857_49.JPG	M059	1117	5184x3888,16M
M059_857_50.JPG	M059	1135	5184x3888,16M
M059_857_51.JPG	M059	1108	5184x3888,16M
M059_857_52.JPG	M059	1131	5184x3888,16M
M059_857_53.JPG	M059	1079	5184x3888,16M
M059_857_54.JPG	M059	1105	5184x3888,16M
M059_857_55.JPG	M059	1033	5184x3888,16M
M059_857_56.JPG	M059	1107	5184x3888,16M
M059_857_57.JPG	M059	1143	5184x3888,16M
M059_857_58.JPG	M059	1108	5184x3888,16M
M059_857_59.JPG	M059	1114	5184x3888,16M
M059_857_60.JPG	M059	1119	5184x3888,16M
M059_857_61.JPG	M059	1109	5184x3888,16M
M059_857_62.JPG	M059	1124	5184x3888,16M
M059_857_63.JPG	M059	1100	5184x3888,16M
M059_857_64.JPG	M059	1123	5184x3888,16M
M059_857_65.JPG	M059	1076	5184x3888,16M
M059_857_66.JPG	M059	1070	5184x3888,16M
M059_857_67.JPG	M059	1067	5184x3888,16M
M059_857_68.JPG	M059	1092	5184x3888,16M
M059_857_69.JPG	M059	1036	5184x3888,16M
M059_857_70.JPG	M059	1033	5184x3888,16M
M059_857_71.JPG	M059	1066	5184x3888,16M
M059_857_72.JPG	M059	1065	5184x3888,16M
M059_857_73.JPG	M059	1045	5184x3888,16M
M059_857_74.JPG	M059	1088	5184x3888,16M
M059_857_75.JPG	M059	1052	5184x3888,16M
M059_857_76.JPG	M059	1078	5184x3888,16M
M059_857_77.JPG	M059	1038	5184x3888,16M
M059_857_78.JPG	M059	1049	5184x3888,16M
M059_857_79.JPG	M059	1032	5184x3888,16M
M059_857_80.JPG	M059	9875	5184x3888,16M
M059_857_81.JPG	M059	1077	5184x3888,16M
M059_857_82.JPG	M059	1095	5184x3888,16M
M059_857_83.JPG	M059	9888	5184x3888,16M
M059_857_84.JPG	M059	1053	5184x3888,16M
M059_857_85.JPG	M059	9883	5184x3888,16M
M059_857_86.JPG	M059	1067	5184x3888,16M
M059_857_87.JPG	M059	1055	5184x3888,16M
M059_857_88.JPG	M059	1079	5184x3888,16M
M059_857_89.JPG	M059	1041	5184x3888,16M
M059_857_90.JPG	M059	1056	5184x3888,16M
M059_857_91.JPG	M059	1030	5184x3888,16M
M059_857_92.JPG	M059	1027	5184x3888,16M
M059_857_93.JPG	M059	1002	5184x3888,16M
M059_857_94.JPG	M059	1027	5184x3888,16M
M059_857_95.JPG	M059	1031	5184x3888,16M
M059_857_96.JPG	M059	1042	5184x3888,16M
M059_857_97.JPG	M059	1032	5184x3888,16M
M059_857_98.JPG	M059	1037	5184x3888,16M
M059_857_99.JPG	M059	1033	5184x3888,16M
M060_855.JPG	M060	1124	5184x3888,16M
M060_855_02.JPG	M060	1161	5184x3888,16M
M060_855_03.JPG	M060	1165	5184x3888,16M
M060_855_04.JPG	M060	1109	5184x3888,16M

num_photo	num_us	taille	format
M060_855_05.JPG	M060	1164	5184x3888,16M
M060_855_06.JPG	M060	1162	5184x3888,16M
M060_855_07.JPG	M060	1122	5184x3888,16M
M060_855_08.JPG	M060	1109	5184x3888,16M
M060_855_09.JPG	M060	1152	5184x3888,16M
M060_855_10.JPG	M060	1104	5184x3888,16M
M060_855_100.JPG	M060	1102	5184x3888,16M
M060_855_101.JPG	M060	1034	5184x3888,16M
M060_855_102.JPG	M060	1044	5184x3888,16M
M060_855_103.JPG	M060	1047	5184x3888,16M
M060_855_104.JPG	M060	1093	5184x3888,16M
M060_855_105.JPG	M060	1050	5184x3888,16M
M060_855_106.JPG	M060	1031	5184x3888,16M
M060_855_107.JPG	M060	1099	5184x3888,16M
M060_855_108.JPG	M060	1115	5184x3888,16M
M060_855_109.JPG	M060	1096	5184x3888,16M
M060_855_11.JPG	M060	1123	5184x3888,16M
M060_855_110.JPG	M060	1054	5184x3888,16M
M060_855_111.JPG	M060	1037	5184x3888,16M
M060_855_112.JPG	M060	1070	5184x3888,16M
M060_855_113.JPG	M060	1064	5184x3888,16M
M060_855_114.JPG	M060	1068	5184x3888,16M
M060_855_115.JPG	M060	1040	5184x3888,16M
M060_855_116.JPG	M060	1054	5184x3888,16M
M060_855_117.JPG	M060	1069	5184x3888,16M
M060_855_118.JPG	M060	1096	5184x3888,16M
M060_855_119.JPG	M060	1102	5184x3888,16M
M060_855_12.JPG	M060	1136	5184x3888,16M
M060_855_120.JPG	M060	1051	5184x3888,16M
M060_855_121.JPG	M060	1014	5184x3888,16M
M060_855_122.JPG	M060	1046	5184x3888,16M
M060_855_123.JPG	M060	1028	5184x3888,16M
M060_855_124.JPG	M060	1101	5184x3888,16M
M060_855_125.JPG	M060	1029	5184x3888,16M
M060_855_13.JPG	M060	1168	5184x3888,16M
M060_855_14.JPG	M060	1176	5184x3888,16M
M060_855_15.JPG	M060	1161	5184x3888,16M
M060_855_16.JPG	M060	1174	5184x3888,16M
M060_855_17.JPG	M060	1115	5184x3888,16M
M060_855_18.JPG	M060	1113	5184x3888,16M
M060_855_19.JPG	M060	1082	5184x3888,16M
M060_855_20.JPG	M060	1176	5184x3888,16M
M060_855_21.JPG	M060	1179	5184x3888,16M
M060_855_22.JPG	M060	1152	5184x3888,16M
M060_855_23.JPG	M060	1180	5184x3888,16M
M060_855_24.JPG	M060	1176	5184x3888,16M
M060_855_25.JPG	M060	1167	5184x3888,16M
M060_855_26.JPG	M060	1154	5184x3888,16M
M060_855_27.JPG	M060	1158	5184x3888,16M
M060_855_28.JPG	M060	1158	5184x3888,16M
M060_855_29.JPG	M060	1160	5184x3888,16M
M060_855_30.JPG	M060	1098	5184x3888,16M
M060_855_31.JPG	M060	1117	5184x3888,16M
M060_855_32.JPG	M060	1100	5184x3888,16M
M060_855_33.JPG	M060	1092	5184x3888,16M

num_photo	num_us	taille	format
M060_855_34.JPG	M060	1117	5184x3888,16M
M060_855_35.JPG	M060	1080	5184x3888,16M
M060_855_36.JPG	M060	1081	5184x3888,16M
M060_855_37.JPG	M060	1071	5184x3888,16M
M060_855_38.JPG	M060	1062	5184x3888,16M
M060_855_39.JPG	M060	1075	5184x3888,16M
M060_855_40.JPG	M060	1056	5184x3888,16M
M060_855_41.JPG	M060	1136	5184x3888,16M
M060_855_42.JPG	M060	1120	5184x3888,16M
M060_855_43.JPG	M060	1066	5184x3888,16M
M060_855_44.JPG	M060	1080	5184x3888,16M
M060_855_45.JPG	M060	1123	5184x3888,16M
M060_855_46.JPG	M060	1011	5184x3888,16M
M060_855_47.JPG	M060	1092	5184x3888,16M
M060_855_48.JPG	M060	1093	5184x3888,16M
M060_855_49.JPG	M060	1108	5184x3888,16M
M060_855_50.JPG	M060	1081	5184x3888,16M
M060_855_51.JPG	M060	1056	5184x3888,16M
M060_855_52.JPG	M060	1085	5184x3888,16M
M060_855_53.JPG	M060	1139	5184x3888,16M
M060_855_54.JPG	M060	1075	5184x3888,16M
M060_855_55.JPG	M060	1123	5184x3888,16M
M060_855_56.JPG	M060	1087	5184x3888,16M
M060_855_57.JPG	M060	1064	5184x3888,16M
M060_855_58.JPG	M060	1079	5184x3888,16M
M060_855_59.JPG	M060	1033	5184x3888,16M
M060_855_60.JPG	M060	1098	5184x3888,16M
M060_855_61.JPG	M060	1095	5184x3888,16M
M060_855_62.JPG	M060	1045	5184x3888,16M
M060_855_63.JPG	M060	1073	5184x3888,16M
M060_855_64.JPG	M060	1097	5184x3888,16M
M060_855_65.JPG	M060	1084	5184x3888,16M
M060_855_66.JPG	M060	1087	5184x3888,16M
M060_855_67.JPG	M060	1063	5184x3888,16M
M060_855_68.JPG	M060	1015	5184x3888,16M
M060_855_69.JPG	M060	1076	5184x3888,16M
M060_855_70.JPG	M060	1030	5184x3888,16M
M060_855_71.JPG	M060	1133	5184x3888,16M
M060_855_72.JPG	M060	1046	5184x3888,16M
M060_855_73.JPG	M060	1126	5184x3888,16M
M060_855_74.JPG	M060	1052	5184x3888,16M
M060_855_75.JPG	M060	1089	5184x3888,16M
M060_855_76.JPG	M060	1077	5184x3888,16M
M060_855_77.JPG	M060	1081	5184x3888,16M
M060_855_78.JPG	M060	1054	5184x3888,16M
M060_855_79.JPG	M060	1050	5184x3888,16M
M060_855_80.JPG	M060	1090	5184x3888,16M
M060_855_81.JPG	M060	1083	5184x3888,16M
M060_855_82.JPG	M060	1037	5184x3888,16M
M060_855_83.JPG	M060	1076	5184x3888,16M
M060_855_84.JPG	M060	1040	5184x3888,16M
M060_855_85.JPG	M060	1047	5184x3888,16M
M060_855_86.JPG	M060	1085	5184x3888,16M
M060_855_87.JPG	M060	1064	5184x3888,16M
M060_855_88.JPG	M060	1030	5184x3888,16M

num_photo	num_us	taille	format
M060_855_89.JPG	M060	1071	5184x3888,16M
M060_855_90.JPG	M060	1033	5184x3888,16M
M060_855_91.JPG	M060	1088	5184x3888,16M
M060_855_92.JPG	M060	1089	5184x3888,16M
M060_855_93.JPG	M060	1034	5184x3888,16M
M060_855_94.JPG	M060	1056	5184x3888,16M
M060_855_95.JPG	M060	1056	5184x3888,16M
M060_855_96.JPG	M060	1071	5184x3888,16M
M060_855_97.JPG	M060	1040	5184x3888,16M
M060_855_98.JPG	M060	1053	5184x3888,16M
M060_855_99.JPG	M060	1030	5184x3888,16M
M061_841.JPG	M061	9819	5184x3888,16M
M061_841_02.JPG	M061	1109	5184x3888,16M
M061_841_03.JPG	M061	1030	5184x3888,16M
M061_841_04.JPG	M061	1162	5184x3888,16M
M061_841_05.JPG	M061	1151	5184x3888,16M
M061_841_06.JPG	M061	1150	5184x3888,16M
M061_841_07.JPG	M061	1162	5184x3888,16M
M061_841_08.JPG	M061	1147	5184x3888,16M
M061_841_09.JPG	M061	1149	5184x3888,16M
M061_841_10.JPG	M061	1125	5184x3888,16M
M061_841_11.JPG	M061	1133	5184x3888,16M
M061_841_12.JPG	M061	1152	5184x3888,16M
M061_841_13.JPG	M061	1171	5184x3888,16M
M061_841_14.JPG	M061	1163	5184x3888,16M
M061_841_15.JPG	M061	1181	5184x3888,16M
M061_841_16.JPG	M061	1100	5184x3888,16M
M061_841_17.JPG	M061	1157	5184x3888,16M
M061_841_18.JPG	M061	1125	5184x3888,16M
M061_841_19.JPG	M061	1151	5184x3888,16M
M061_841_20.JPG	M061	1069	5184x3888,16M
M061_841_21.JPG	M061	1083	5184x3888,16M
M061_841_22.JPG	M061	1140	5184x3888,16M
M061_841_23.JPG	M061	1110	5184x3888,16M
M061_841_24.JPG	M061	1022	5184x3888,16M
M061_841_25.JPG	M061	1133	5184x3888,16M
M061_841_26.JPG	M061	1157	5184x3888,16M
M061_841_27.JPG	M061	1185	5184x3888,16M
M061_841_28.JPG	M061	1104	5184x3888,16M
M061_841_29.JPG	M061	1177	5184x3888,16M
M061_841_30.JPG	M061	1171	5184x3888,16M
M061_841_31.JPG	M061	1161	5184x3888,16M
M061_841_32.JPG	M061	1045	5184x3888,16M
M061_841_33.JPG	M061	1060	5184x3888,16M
M061_841_34.JPG	M061	1131	5184x3888,16M
M061_841_35.JPG	M061	1115	5184x3888,16M
M061_841_36.JPG	M061	1097	5184x3888,16M
M061_841_37.JPG	M061	1110	5184x3888,16M
M061_841_38.JPG	M061	1073	5184x3888,16M
M061_841_39.JPG	M061	1052	5184x3888,16M
M061_841_40.JPG	M061	1044	5184x3888,16M
M061_841_41.JPG	M061	1040	5184x3888,16M
M061_841_42.JPG	M061	1045	5184x3888,16M
M061_841_43.JPG	M061	1067	5184x3888,16M
M061_841_44.JPG	M061	1014	5184x3888,16M

num_photo	num_us	taille	format
M061_841_45.JPG	M061	1119	5184x3888,16M
M061_841_46.JPG	M061	1118	5184x3888,16M
M061_841_47.JPG	M061	1112	5184x3888,16M
M061_841_48.JPG	M061	1085	5184x3888,16M
M061_841_49.JPG	M061	1160	5184x3888,16M
M061_841_50.JPG	M061	1131	5184x3888,16M
M061_841_51.JPG	M061	1139	5184x3888,16M
M061_841_52.JPG	M061	1106	5184x3888,16M
M061_841_53.JPG	M061	1070	5184x3888,16M
M061_841_54.JPG	M061	1015	5184x3888,16M
M061_841_55.JPG	M061	1035	5184x3888,16M
M061_841_56.JPG	M061	1052	5184x3888,16M
M061_841_57.JPG	M061	1086	5184x3888,16M
M061_841_58.JPG	M061	1054	5184x3888,16M
M061_841_59.JPG	M061	1098	5184x3888,16M
M061_841_60.JPG	M061	1056	5184x3888,16M
M061_841_61.JPG	M061	1092	5184x3888,16M
M061_841_62.JPG	M061	1072	5184x3888,16M
M061_841_63.JPG	M061	1069	5184x3888,16M
M061_841_64.JPG	M061	1126	5184x3888,16M
M061_841_65.JPG	M061	1127	5184x3888,16M
M061_841_66.JPG	M061	1105	5184x3888,16M
M061_841_67.JPG	M061	1129	5184x3888,16M
M061_841_68.JPG	M061	1041	5184x3888,16M
M061_841_69.JPG	M061	1049	5184x3888,16M
M061_841_70.JPG	M061	1108	5184x3888,16M
M061_841_71.JPG	M061	1048	5184x3888,16M
M061_841_72.JPG	M061	1101	5184x3888,16M
M061_841_73.JPG	M061	1051	5184x3888,16M
M061_841_74.JPG	M061	9901	5184x3888,16M
M061_841_75.JPG	M061	1073	5184x3888,16M
M061_841_76.JPG	M061	1046	5184x3888,16M
M061_841_77.JPG	M061	1056	5184x3888,16M
M061_841_78.JPG	M061	1050	5184x3888,16M
M061_841_79.JPG	M061	1093	5184x3888,16M
M061_841_80.JPG	M061	1044	5184x3888,16M
M061_841_81.JPG	M061	1051	5184x3888,16M
M061_841_82.JPG	M061	1062	5184x3888,16M
M061_841_83.JPG	M061	1060	5184x3888,16M
M061_841_84.JPG	M061	1060	5184x3888,16M
M061_841_85.JPG	M061	1068	5184x3888,16M
M061_841_86.JPG	M061	1072	5184x3888,16M
M061_841_87.JPG	M061	1099	5184x3888,16M
M061_841_88.JPG	M061	1099	5184x3888,16M
M061_841_89.JPG	M061	1054	5184x3888,16M
M061_841_90.JPG	M061	1013	5184x3888,16M
M062_generale.jpg	M062	3598	19278x13260,16M
M062_generale_02.JPG	M062	5154	5184x3888,16M
M062_generale_03.JPG	M062	4533	5184x3888,16M
M062_generale_04.JPG	M062	4937	5184x3888,16M
M062_generale_05.JPG	M062	4695	5184x3888,16M
M062_generale_06.JPG	M062	4450	5184x3888,16M
M062_generale_07.JPG	M062	4300	5184x3888,16M
M062_generale_08.JPG	M062	4687	5184x3888,16M
M062_generale_09.JPG	M062	4819	5184x3888,16M

num_photo	num_us	taille	format
M062_generale_10.JPG	M062	4951	5184x3888,16M
M062_generale_100.JPG	M062	4476	5184x3888,16M
M062_generale_101.JPG	M062	4677	5184x3888,16M
M062_generale_102.JPG	M062	4532	5184x3888,16M
M062_generale_103.JPG	M062	4607	5184x3888,16M
M062_generale_104.JPG	M062	4503	5184x3888,16M
M062_generale_105.JPG	M062	4265	5184x3888,16M
M062_generale_106.JPG	M062	6324	5184x3888,16M
M062_generale_107.JPG	M062	6396	5184x3888,16M
M062_generale_108.JPG	M062	4194	5184x3888,16M
M062_generale_109.JPG	M062	4275	5184x3888,16M
M062_generale_11.JPG	M062	5030	5184x3888,16M
M062_generale_110.JPG	M062	6265	5184x3888,16M
M062_generale_111.JPG	M062	4226	5184x3888,16M
M062_generale_112.JPG	M062	4197	5184x3888,16M
M062_generale_113.JPG	M062	4436	5184x3888,16M
M062_generale_114.JPG	M062	4383	5184x3888,16M
M062_generale_115.JPG	M062	4824	5184x3888,16M
M062_generale_116.JPG	M062	4343	5184x3888,16M
M062_generale_117.JPG	M062	4359	5184x3888,16M
M062_generale_118.JPG	M062	4325	5184x3888,16M
M062_generale_119.JPG	M062	4530	5184x3888,16M
M062_generale_12.JPG	M062	6278	5184x3888,16M
M062_generale_120.JPG	M062	4370	5184x3888,16M
M062_generale_121.JPG	M062	4309	5184x3888,16M
M062_generale_122.JPG	M062	4378	5184x3888,16M
M062_generale_123.JPG	M062	4710	5184x3888,16M
M062_generale_124.JPG	M062	4551	5184x3888,16M
M062_generale_125.JPG	M062	4494	5184x3888,16M
M062_generale_126.JPG	M062	4559	5184x3888,16M
M062_generale_127.JPG	M062	4351	5184x3888,16M
M062_generale_128.JPG	M062	6234	5184x3888,16M
M062_generale_129.JPG	M062	5848	5184x3888,16M
M062_generale_13.JPG	M062	5528	5184x3888,16M
M062_generale_130.JPG	M062	4527	5184x3888,16M
M062_generale_131.JPG	M062	4644	5184x3888,16M
M062_generale_132.JPG	M062	4638	5184x3888,16M
M062_generale_133.JPG	M062	4667	5184x3888,16M
M062_generale_134.JPG	M062	4704	5184x3888,16M
M062_generale_135.JPG	M062	4375	5184x3888,16M
M062_generale_136.JPG	M062	4289	5184x3888,16M
M062_generale_137.JPG	M062	4293	5184x3888,16M
M062_generale_138.JPG	M062	4256	5184x3888,16M
M062_generale_139.JPG	M062	4472	5184x3888,16M
M062_generale_14.JPG	M062	4530	5184x3888,16M
M062_generale_140.JPG	M062	4234	5184x3888,16M
M062_generale_141.JPG	M062	6343	5184x3888,16M
M062_generale_142.JPG	M062	6415	5184x3888,16M
M062_generale_143.JPG	M062	4249	5184x3888,16M
M062_generale_144.JPG	M062	4476	5184x3888,16M
M062_generale_145.JPG	M062	4486	5184x3888,16M
M062_generale_146.JPG	M062	4736	5184x3888,16M
M062_generale_147.JPG	M062	4499	5184x3888,16M
M062_generale_148.JPG	M062	4557	5184x3888,16M
M062_generale_149.JPG	M062	4603	5184x3888,16M

num_photo	num_us	taille	format
M062_generale_15.JPG	M062	5058	5184x3888,16M
M062_generale_150.JPG	M062	4710	5184x3888,16M
M062_generale_151.JPG	M062	4831	5184x3888,16M
M062_generale_152.JPG	M062	4682	5184x3888,16M
M062_generale_153.JPG	M062	4853	5184x3888,16M
M062_generale_154.JPG	M062	5104	5184x3888,16M
M062_generale_155.JPG	M062	5217	5184x3888,16M
M062_generale_156.JPG	M062	5023	5184x3888,16M
M062_generale_157.JPG	M062	5229	5184x3888,16M
M062_generale_158.JPG	M062	5044	5184x3888,16M
M062_generale_159.JPG	M062	4710	5184x3888,16M
M062_generale_16.JPG	M062	4945	5184x3888,16M
M062_generale_160.JPG	M062	4653	5184x3888,16M
M062_generale_161.JPG	M062	4361	5184x3888,16M
M062_generale_162.JPG	M062	4293	5184x3888,16M
M062_generale_163.JPG	M062	6232	5184x3888,16M
M062_generale_164.JPG	M062	6283	5184x3888,16M
M062_generale_165.JPG	M062	6146	5184x3888,16M
M062_generale_166.JPG	M062	6201	5184x3888,16M
M062_generale_167.JPG	M062	5933	5184x3888,16M
M062_generale_168.JPG	M062	5939	5184x3888,16M
M062_generale_169.JPG	M062	6300	5184x3888,16M
M062_generale_17.JPG	M062	5071	5184x3888,16M
M062_generale_170.JPG	M062	4891	5184x3888,16M
M062_generale_171.JPG	M062	5681	5184x3888,16M
M062_generale_172.JPG	M062	6010	5184x3888,16M
M062_generale_173.JPG	M062	5771	5184x3888,16M
M062_generale_174.JPG	M062	4640	5184x3888,16M
M062_generale_18.JPG	M062	4683	5184x3888,16M
M062_generale_19.JPG	M062	5169	5184x3888,16M
M062_generale_20.JPG	M062	4616	5184x3888,16M
M062_generale_21.JPG	M062	4785	5184x3888,16M
M062_generale_22.JPG	M062	4739	5184x3888,16M
M062_generale_23.JPG	M062	5469	5184x3888,16M
M062_generale_24.JPG	M062	4323	5184x3888,16M
M062_generale_25.JPG	M062	4777	5184x3888,16M
M062_generale_26.JPG	M062	4930	5184x3888,16M
M062_generale_27.JPG	M062	4989	5184x3888,16M
M062_generale_28.JPG	M062	4859	5184x3888,16M
M062_generale_29.JPG	M062	4250	5184x3888,16M
M062_generale_30.JPG	M062	4576	5184x3888,16M
M062_generale_31.JPG	M062	4979	5184x3888,16M
M062_generale_32.JPG	M062	4443	5184x3888,16M
M062_generale_33.JPG	M062	4313	5184x3888,16M
M062_generale_34.JPG	M062	6366	5184x3888,16M
M062_generale_35.JPG	M062	5785	5184x3888,16M
M062_generale_36.JPG	M062	4453	5184x3888,16M
M062_generale_37.JPG	M062	4223	5184x3888,16M
M062_generale_38.JPG	M062	4526	5184x3888,16M
M062_generale_39.JPG	M062	4341	5184x3888,16M
M062_generale_40.JPG	M062	5953	5184x3888,16M
M062_generale_41.JPG	M062	5027	5184x3888,16M
M062_generale_42.JPG	M062	5093	5184x3888,16M
M062_generale_43.JPG	M062	5302	5184x3888,16M
M062_generale_44.JPG	M062	5339	5184x3888,16M

num_photo	num_us	taille	format
M062_generale_45.JPG	M062	4776	5184x3888,16M
M062_generale_46.JPG	M062	4314	5184x3888,16M
M062_generale_47.JPG	M062	4382	5184x3888,16M
M062_generale_48.JPG	M062	4182	5184x3888,16M
M062_generale_49.JPG	M062	6441	5184x3888,16M
M062_generale_50.JPG	M062	6445	5184x3888,16M
M062_generale_51.JPG	M062	4375	5184x3888,16M
M062_generale_52.JPG	M062	4624	5184x3888,16M
M062_generale_53.JPG	M062	4421	5184x3888,16M
M062_generale_54.JPG	M062	4641	5184x3888,16M
M062_generale_55.JPG	M062	4472	5184x3888,16M
M062_generale_56.JPG	M062	4378	5184x3888,16M
M062_generale_57.JPG	M062	5997	5184x3888,16M
M062_generale_58.JPG	M062	6428	5184x3888,16M
M062_generale_59.JPG	M062	6256	5184x3888,16M
M062_generale_60.JPG	M062	6385	5184x3888,16M
M062_generale_61.JPG	M062	6283	5184x3888,16M
M062_generale_62.JPG	M062	6334	5184x3888,16M
M062_generale_63.JPG	M062	4908	5184x3888,16M
M062_generale_64.JPG	M062	5251	5184x3888,16M
M062_generale_65.JPG	M062	5248	5184x3888,16M
M062_generale_66.JPG	M062	5218	5184x3888,16M
M062_generale_67.JPG	M062	5359	5184x3888,16M
M062_generale_68.JPG	M062	5195	5184x3888,16M
M062_generale_69.JPG	M062	5687	5184x3888,16M
M062_generale_70.JPG	M062	5885	5184x3888,16M
M062_generale_71.JPG	M062	5961	5184x3888,16M
M062_generale_72.JPG	M062	5727	5184x3888,16M
M062_generale_73.JPG	M062	5633	5184x3888,16M
M062_generale_74.JPG	M062	5071	5184x3888,16M
M062_generale_75.JPG	M062	4972	5184x3888,16M
M062_generale_76.JPG	M062	4456	5184x3888,16M
M062_generale_77.JPG	M062	4715	5184x3888,16M
M062_generale_78.JPG	M062	4466	5184x3888,16M
M062_generale_79.JPG	M062	4432	5184x3888,16M
M062_generale_80.JPG	M062	4390	5184x3888,16M
M062_generale_81.JPG	M062	4251	5184x3888,16M
M062_generale_82.JPG	M062	4381	5184x3888,16M
M062_generale_83.JPG	M062	4433	5184x3888,16M
M062_generale_84.JPG	M062	4499	5184x3888,16M
M062_generale_85.JPG	M062	6337	5184x3888,16M
M062_generale_86.JPG	M062	4462	5184x3888,16M
M062_generale_87.JPG	M062	4504	5184x3888,16M
M062_generale_88.JPG	M062	4644	5184x3888,16M
M062_generale_89.JPG	M062	4293	5184x3888,16M
M062_generale_90.JPG	M062	4267	5184x3888,16M
M062_generale_91.JPG	M062	4215	5184x3888,16M
M062_generale_92.JPG	M062	4297	5184x3888,16M
M062_generale_93.JPG	M062	4194	5184x3888,16M
M062_generale_94.JPG	M062	4222	5184x3888,16M
M062_generale_95.JPG	M062	6433	5184x3888,16M
M062_generale_96.JPG	M062	4422	5184x3888,16M
M062_generale_97.JPG	M062	4693	5184x3888,16M
M062_generale_98.JPG	M062	4840	5184x3888,16M
M062_generale_99.JPG	M062	4671	5184x3888,16M

num_photo	num_us	taille	format
M063_858.JPG	M063	1088	5184x3888,16M
M063_858_02.JPG	M063	1098	5184x3888,16M
M063_858_03.JPG	M063	1079	5184x3888,16M
M063_858_04.JPG	M063	1028	5184x3888,16M
M063_858_05.JPG	M063	1137	5184x3888,16M
M063_858_06.JPG	M063	1039	5184x3888,16M
M063_858_07.JPG	M063	1071	5184x3888,16M
M063_858_08.JPG	M063	1083	5184x3888,16M
M063_858_09.JPG	M063	1058	5184x3888,16M
M063_858_10.JPG	M063	1112	5184x3888,16M
M063_858_11.JPG	M063	1026	5184x3888,16M
M063_858_12.JPG	M063	1101	5184x3888,16M
M063_858_13.JPG	M063	1158	5184x3888,16M
M063_858_14.JPG	M063	1048	5184x3888,16M
M063_858_15.JPG	M063	1065	5184x3888,16M
M063_858_16.JPG	M063	1132	5184x3888,16M
M063_858_17.JPG	M063	1020	5184x3888,16M
M063_858_18.JPG	M063	1104	5184x3888,16M
M063_858_19.JPG	M063	1110	5184x3888,16M
M063_858_20.JPG	M063	1075	5184x3888,16M
M063_858_21.JPG	M063	1063	5184x3888,16M
M063_858_22.JPG	M063	1073	5184x3888,16M
M063_858_23.JPG	M063	1087	5184x3888,16M
M063_858_24.JPG	M063	1059	5184x3888,16M
M063_858_25.JPG	M063	1037	5184x3888,16M
M063_858_26.JPG	M063	1071	5184x3888,16M
M114.JPG	M114	8998	5184x2920,16M
M114_02.JPG	M114	9004	5184x2920,16M
M114_03.JPG	M114	8759	5184x2920,16M
M114_04.JPG	M114	9104	5184x2920,16M
M114_05.JPG	M114	9210	5184x2920,16M
M114_06.JPG	M114	8931	5184x2920,16M
M114_07.JPG	M114	9031	5184x2920,16M
M114_08.JPG	M114	9003	5184x2920,16M
M114_09.JPG	M114	8941	5184x2920,16M
M114_10.JPG	M114	8784	5184x2920,16M
M114_11.JPG	M114	8701	5184x2920,16M
M114_12.JPG	M114	8917	5184x2920,16M
M114_13.JPG	M114	8659	5184x2920,16M
M114_14.JPG	M114	8926	5184x2920,16M
M114_15.JPG	M114	8501	5184x2920,16M
M114_16.JPG	M114	9009	5184x2920,16M
M114_17.JPG	M114	9051	5184x2920,16M
M114_18.JPG	M114	8821	5184x2920,16M
M114_19.JPG	M114	8775	5184x2920,16M
M114_20.JPG	M114	9025	5184x2920,16M
M114_21.JPG	M114	8947	5184x2920,16M
M114_22.JPG	M114	8911	5184x2920,16M
M114_23.JPG	M114	8636	5184x2920,16M
M114_24.JPG	M114	8758	5184x2920,16M
M114_25.JPG	M114	8557	5184x2920,16M
M114_26.JPG	M114	8913	5184x2920,16M
M114_27.JPG	M114	9269	5184x2920,16M
M114_28.JPG	M114	9090	5184x2920,16M
M114_29.JPG	M114	8989	5184x2920,16M

num_photo	num_us	taille	format
M114_30.JPG	M114	9062	5184x2920,16M
M114_31.JPG	M114	8709	5184x2920,16M
M114_32.JPG	M114	8211	5184x2920,16M
M114_33.JPG	M114	8706	5184x2920,16M
M114_34.JPG	M114	8985	5184x2920,16M
M114_35.JPG	M114	8879	5184x2920,16M
M114_36.JPG	M114	8890	5184x2920,16M
M114_37.JPG	M114	8980	5184x2920,16M
M114_38.JPG	M114	8909	5184x2920,16M
M114_39.JPG	M114	8815	5184x2920,16M
M114_40.JPG	M114	8795	5184x2920,16M
M114_41.JPG	M114	8714	5184x2920,16M
M114_42.JPG	M114	9080	5184x2920,16M
M114_43.JPG	M114	9004	5184x2920,16M
M114_44.JPG	M114	9081	5184x2920,16M
M114_45.JPG	M114	8607	5184x2920,16M
M114_46.JPG	M114	8966	5184x2920,16M
M114_47.JPG	M114	8933	5184x2920,16M
M114_48.JPG	M114	8543	5184x2920,16M
M114_49.JPG	M114	8900	5184x2920,16M
M114_50.JPG	M114	8479	5184x2920,16M
M114_51.JPG	M114	8676	5184x2920,16M
M114_52.JPG	M114	8621	5184x2920,16M
M114_53.JPG	M114	8943	5184x2920,16M
M114_54.JPG	M114	8620	5184x2920,16M
M114_55.JPG	M114	8684	5184x2920,16M
M114_56.JPG	M114	8815	5184x2920,16M
M114_57.JPG	M114	8844	5184x2920,16M
M114_58.JPG	M114	8903	5184x2920,16M
M114_59.JPG	M114	8628	5184x2920,16M
M114_60.JPG	M114	8289	5184x2920,16M
M114_61.JPG	M114	8556	5184x2920,16M
M114_62.JPG	M114	8339	5184x2920,16M
M114_63.JPG	M114	8778	5184x2920,16M
M114_64.JPG	M114	8488	5184x2920,16M
M114_65.JPG	M114	8927	5184x2920,16M
M114_66.JPG	M114	8890	5184x2920,16M
M114_67.JPG	M114	8949	5184x2920,16M
M114_68.JPG	M114	8758	5184x2920,16M
M114_69.JPG	M114	8713	5184x2920,16M
M114_70.JPG	M114	8815	5184x2920,16M
M114_71.JPG	M114	8644	5184x2920,16M
M114_72.JPG	M114	8641	5184x2920,16M
M114_73.JPG	M114	9005	5184x2920,16M
M114_74.JPG	M114	8120	5184x2920,16M
M114_75.JPG	M114	9056	5184x2920,16M
M114_76.JPG	M114	8390	5184x2920,16M
M114_77.JPG	M114	8716	5184x2920,16M
M114_78.JPG	M114	8059	5184x2920,16M
M114_79.JPG	M114	8856	5184x2920,16M
M114_80.JPG	M114	8815	5184x2920,16M
M114_81.JPG	M114	8665	5184x2920,16M
M114_82.JPG	M114	8133	5184x2920,16M
M115_893.JPG	M115	8552	5184x2920,16M
M115_893_02.JPG	M115	8353	5184x2920,16M

num_photo	num_us	taille	format
M115_893_03.JPG	M115	8738	5184x2920,16M
M115_893_04.JPG	M115	8420	5184x2920,16M
M115_893_05.JPG	M115	8914	5184x2920,16M
M115_893_06.JPG	M115	9120	5184x2920,16M
M115_893_07.JPG	M115	8799	5184x2920,16M
M115_893_08.JPG	M115	8811	5184x2920,16M
M115_893_09.JPG	M115	8342	5184x2920,16M
M115_893_10.JPG	M115	8773	5184x2920,16M
M115_893_11.JPG	M115	8776	5184x2920,16M
M115_893_12.JPG	M115	8739	5184x2920,16M
M115_893_13.JPG	M115	8219	5184x2920,16M
M115_893_14.JPG	M115	8042	5184x2920,16M
M115_893_15.JPG	M115	8643	5184x2920,16M
M115_893_16.JPG	M115	8775	5184x2920,16M
M115_893_17.JPG	M115	8799	5184x2920,16M
M115_893_18.JPG	M115	8768	5184x2920,16M
M115_893_19.JPG	M115	8646	5184x2920,16M
M115_893_20.JPG	M115	8799	5184x2920,16M
M115_893_21.JPG	M115	8687	5184x2920,16M
M115_893_22.JPG	M115	8648	5184x2920,16M
M115_893_23.JPG	M115	9004	5184x2920,16M
M115_893_24.JPG	M115	8710	5184x2920,16M
M115_893_25.JPG	M115	8988	5184x2920,16M
M115_893_26.JPG	M115	8768	5184x2920,16M
M115_893_27.JPG	M115	8835	5184x2920,16M
M115_893_28.JPG	M115	8785	5184x2920,16M
M115_893_29.JPG	M115	8769	5184x2920,16M
M115_893_30.JPG	M115	8872	5184x2920,16M
M115_893_31.JPG	M115	8174	5184x2920,16M
M115_893_32.JPG	M115	8079	5184x2920,16M
M115_893_33.JPG	M115	8694	5184x2920,16M
M115_893_34.JPG	M115	8804	5184x2920,16M
M115_893_35.JPG	M115	9190	5184x2920,16M
M115_893_36.JPG	M115	8800	5184x2920,16M
M115_893_37.JPG	M115	9087	5184x2920,16M
M115_893_38.JPG	M115	8776	5184x2920,16M
M115_893_39.JPG	M115	8838	5184x2920,16M
M115_893_40.JPG	M115	8820	5184x2920,16M
M115_893_41.JPG	M115	9016	5184x2920,16M
M115_893_42.JPG	M115	8969	5184x2920,16M
M115_893_43.JPG	M115	8916	5184x2920,16M
M115_893_44.JPG	M115	8919	5184x2920,16M
M115_893_45.JPG	M115	8451	5184x2920,16M
M115_893_46.JPG	M115	8764	5184x2920,16M
M115_893_47.JPG	M115	8610	5184x2920,16M
M115_893_48.JPG	M115	8880	5184x2920,16M
M115_893_49.JPG	M115	8693	5184x2920,16M
M115_893_50.JPG	M115	8864	5184x2920,16M
M115_893_51.JPG	M115	8839	5184x2920,16M
M115_893_52.JPG	M115	8745	5184x2920,16M
M115_893_53.JPG	M115	8837	5184x2920,16M
M115_893_54.JPG	M115	8777	5184x2920,16M
M115_893_55.JPG	M115	8585	5184x2920,16M
M115_893_56.JPG	M115	8123	5184x2920,16M
M115_893_57.JPG	M115	8465	5184x2920,16M

num_photo	num_us	taille	format
M115_893_58.JPG	M115	8785	5184x2920,16M
M115_893_59.JPG	M115	8825	5184x2920,16M
M115_893_60.JPG	M115	8825	5184x2920,16M
M115_893_61.JPG	M115	8878	5184x2920,16M
M115_893_62.JPG	M115	8010	5184x2920,16M
M115_893_63.JPG	M115	8210	5184x2920,16M
M115_893_64.JPG	M115	8903	5184x2920,16M
M115_893_65.JPG	M115	8334	5184x2920,16M
M115_893_66.JPG	M115	8421	5184x2920,16M
M115_893_67.JPG	M115	8106	5184x2920,16M
M115_893_68.JPG	M115	8125	5184x2920,16M
M115_893_69.JPG	M115	7987	5184x2920,16M
M115_893_70.JPG	M115	8108	5184x2920,16M
M115_893_71.JPG	M115	8678	5184x2920,16M
M115_893_72.JPG	M115	8745	5184x2920,16M
M115_893_73.JPG	M115	8606	5184x2920,16M
M115_893_74.JPG	M115	8681	5184x2920,16M
M115_893_75.JPG	M115	8589	5184x2920,16M
M115_893_76.JPG	M115	8635	5184x2920,16M
M115_893_77.JPG	M115	8624	5184x2920,16M
M116_891.JPG	M116	8907	5184x2920,16M
M116_891_02.JPG	M116	8837	5184x2920,16M
M116_891_03.JPG	M116	8974	5184x2920,16M
M116_891_04.JPG	M116	8730	5184x2920,16M
M116_891_05.JPG	M116	8334	5184x2920,16M
M116_891_06.JPG	M116	8578	5184x2920,16M
M116_891_07.JPG	M116	8464	5184x2920,16M
M116_891_08.JPG	M116	8333	5184x2920,16M
M116_891_09.JPG	M116	8747	5184x2920,16M
M116_891_10.JPG	M116	8876	5184x2920,16M
M116_891_11.JPG	M116	8414	5184x2920,16M
M116_891_12.JPG	M116	8650	5184x2920,16M
M116_891_13.JPG	M116	8667	5184x2920,16M
M116_891_14.JPG	M116	9010	5184x2920,16M
M116_891_15.JPG	M116	8406	5184x2920,16M
M116_891_16.JPG	M116	8366	5184x2920,16M
M116_891_17.JPG	M116	8495	5184x2920,16M
M116_891_18.JPG	M116	8718	5184x2920,16M
M116_891_19.JPG	M116	8627	5184x2920,16M
M116_891_20.JPG	M116	8852	5184x2920,16M
M116_891_21.JPG	M116	8562	5184x2920,16M
M116_891_22.JPG	M116	8662	5184x2920,16M
M116_891_23.JPG	M116	8714	5184x2920,16M
M116_891_24.JPG	M116	8732	5184x2920,16M
M116_891_25.JPG	M116	8395	5184x2920,16M
M116_891_26.JPG	M116	8768	5184x2920,16M
M116_891_27.JPG	M116	9186	5184x2920,16M
M116_891_28.JPG	M116	8969	5184x2920,16M
M116_891_29.JPG	M116	9134	5184x2920,16M
M116_891_30.JPG	M116	9127	5184x2920,16M
M116_891_31.JPG	M116	9103	5184x2920,16M
M116_891_32.JPG	M116	9050	5184x2920,16M
M116_891_33.JPG	M116	8844	5184x2920,16M
M116_891_34.JPG	M116	8813	5184x2920,16M
M116_891_35.JPG	M116	8669	5184x2920,16M

num_photo	num_us	taille	format
M116_891_36.JPG	M116	8543	5184x2920,16M
M116_891_37.JPG	M116	9014	5184x2920,16M
M116_891_38.JPG	M116	8654	5184x2920,16M
M116_891_39.JPG	M116	8939	5184x2920,16M
M116_891_40.JPG	M116	8864	5184x2920,16M
M116_891_41.JPG	M116	8675	5184x2920,16M
M116_891_42.JPG	M116	8812	5184x2920,16M
M116_891_43.JPG	M116	8960	5184x2920,16M
M116_891_44.JPG	M116	8623	5184x2920,16M
M116_891_45.JPG	M116	8272	5184x2920,16M
M116_891_46.JPG	M116	8542	5184x2920,16M
M116_891_47.JPG	M116	8957	5184x2920,16M
M116_891_48.JPG	M116	8371	5184x2920,16M
M116_891_49.JPG	M116	8268	5184x2920,16M
M116_891_50.JPG	M116	8351	5184x2920,16M
M116_891_51.JPG	M116	8016	5184x2920,16M
M116_891_52.JPG	M116	8351	5184x2920,16M
M116_891_53.JPG	M116	8376	5184x2920,16M
M116_891_54.JPG	M116	8418	5184x2920,16M
M116_891_55.JPG	M116	8791	5184x2920,16M
M116_891_56.JPG	M116	8757	5184x2920,16M
M116_891_57.JPG	M116	8452	5184x2920,16M
M116_891_58.JPG	M116	8409	5184x2920,16M
M116_891_59.JPG	M116	8406	5184x2920,16M
M116_891_60.JPG	M116	8378	5184x2920,16M
M116_891_61.JPG	M116	8481	5184x2920,16M
M116_891_62.JPG	M116	8536	5184x2920,16M
M116_891_63.JPG	M116	8894	5184x2920,16M
M116_891_64.JPG	M116	8133	5184x2920,16M
M116_891_65.JPG	M116	7928	5184x2920,16M
M116_891_66.JPG	M116	8486	5184x2920,16M
M116_891_67.JPG	M116	8363	5184x2920,16M
M116_891_68.JPG	M116	8273	5184x2920,16M
M116_891_69.JPG	M116	5314	5184x2920,16M
M117_generale.JPG	M117	8107	5184x2920,16M
M117_minute_02.JPG	M117MIN	7998	5184x2920,16M
M117_generale_03.JPG	M117	8615	5184x2920,16M
M117_generale_04.JPG	M117	8356	5184x2920,16M
M117_generale_05.JPG	M117	8056	5184x2920,16M
M117_generale_06.JPG	M117	8530	5184x2920,16M
M117_generale_07.JPG	M117	8053	5184x2920,16M
M117_generale_08.JPG	M117	8512	5184x2920,16M
M117_generale_09.JPG	M117	8814	5184x2920,16M
M117_generale_10.JPG	M117	8157	5184x2920,16M
M117_generale_100.JPG	M117	8333	5184x2920,16M
M117_generale_101.JPG	M117	8518	5184x2920,16M
M117_generale_102.JPG	M117	8256	5184x2920,16M
M117_generale_103.JPG	M117	8318	5184x2920,16M
M117_generale_104.JPG	M117	8262	5184x2920,16M
M117_generale_105.JPG	M117	8381	5184x2920,16M
M117_generale_106.JPG	M117	7847	5184x2920,16M
M117_generale_107.JPG	M117	8378	5184x2920,16M
M117_generale_108.JPG	M117	8712	5184x2920,16M
M117_generale_109.JPG	M117	8438	5184x2920,16M
M117_generale_11.JPG	M117	8495	5184x2920,16M

num_photo	num_us	taille	format
M117_generale_110.JPG	M117	8545	5184x2920,16M
M117_generale_111.JPG	M117	8421	5184x2920,16M
M117_generale_112.JPG	M117	8371	5184x2920,16M
M117_generale_113.JPG	M117	8577	5184x2920,16M
M117_generale_114.JPG	M117	8505	5184x2920,16M
M117_generale_115.JPG	M117	8683	5184x2920,16M
M117_generale_116.JPG	M117	8685	5184x2920,16M
M117_generale_117.JPG	M117	8805	5184x2920,16M
M117_generale_118.JPG	M117	8750	5184x2920,16M
M117_generale_119.JPG	M117	8420	5184x2920,16M
M117_generale_12.JPG	M117	8626	5184x2920,16M
M117_generale_120.JPG	M117	8775	5184x2920,16M
M117_generale_121.JPG	M117	8452	5184x2920,16M
M117_generale_122.JPG	M117	8698	5184x2920,16M
M117_generale_123.JPG	M117	8294	5184x2920,16M
M117_generale_124.JPG	M117	7940	5184x2920,16M
M117_generale_125.JPG	M117	8456	5184x2920,16M
M117_generale_126.JPG	M117	8501	5184x2920,16M
M117_generale_127.JPG	M117	8067	5184x2920,16M
M117_generale_128.JPG	M117	8129	5184x2920,16M
M117_generale_129.JPG	M117	8147	5184x2920,16M
M117_generale_13.JPG	M117	8374	5184x2920,16M
M117_generale_130.JPG	M117	8513	5184x2920,16M
M117_generale_131.JPG	M117	8218	5184x2920,16M
M117_generale_132.JPG	M117	8223	5184x2920,16M
M117_generale_133.JPG	M117	8308	5184x2920,16M
M117_generale_134.JPG	M117	8115	5184x2920,16M
M117_generale_135.JPG	M117	7900	5184x2920,16M
M117_generale_136.JPG	M117	7726	5184x2920,16M
M117_generale_137.JPG	M117	8293	5184x2920,16M
M117_generale_138.JPG	M117	8069	5184x2920,16M
M117_generale_139.JPG	M117	8103	5184x2920,16M
M117_generale_14.JPG	M117	8406	5184x2920,16M
M117_generale_140.JPG	M117	8854	5184x2920,16M
M117_generale_15.JPG	M117	8445	5184x2920,16M
M117_generale_16.JPG	M117	8391	5184x2920,16M
M117_generale_17.JPG	M117	8025	5184x2920,16M
M117_generale_18.JPG	M117	8186	5184x2920,16M
M117_generale_19.JPG	M117	8540	5184x2920,16M
M117_generale_20.JPG	M117	8539	5184x2920,16M
M117_generale_21.JPG	M117	8156	5184x2920,16M
M117_generale_22.JPG	M117	8736	5184x2920,16M
M117_generale_23.JPG	M117	8370	5184x2920,16M
M117_generale_24.JPG	M117	8786	5184x2920,16M
M117_generale_25.JPG	M117	8015	5184x2920,16M
M117_generale_26.JPG	M117	8434	5184x2920,16M
M117_generale_27.JPG	M117	8217	5184x2920,16M
M117_generale_28.JPG	M117	8417	5184x2920,16M
M117_generale_29.JPG	M117	8163	5184x2920,16M
M117_generale_30.JPG	M117	8467	5184x2920,16M
M117_generale_31.JPG	M117	8279	5184x2920,16M
M117_generale_32.JPG	M117	8211	5184x2920,16M
M117_generale_33.JPG	M117	8379	5184x2920,16M
M117_generale_34.JPG	M117	8365	5184x2920,16M
M117_generale_35.JPG	M117	8438	5184x2920,16M

num_photo	num_us	taille	format
M117_generale_36.JPG	M117	8480	5184x2920,16M
M117_generale_37.JPG	M117	8612	5184x2920,16M
M117_generale_38.JPG	M117	8477	5184x2920,16M
M117_generale_39.JPG	M117	8193	5184x2920,16M
M117_generale_40.JPG	M117	8268	5184x2920,16M
M117_generale_41.JPG	M117	8481	5184x2920,16M
M117_generale_42.JPG	M117	8627	5184x2920,16M
M117_generale_43.JPG	M117	8492	5184x2920,16M
M117_generale_44.JPG	M117	8222	5184x2920,16M
M117_generale_45.JPG	M117	8590	5184x2920,16M
M117_generale_46.JPG	M117	7832	5184x2920,16M
M117_generale_47.JPG	M117	8174	5184x2920,16M
M117_generale_48.JPG	M117	8015	5184x2920,16M
M117_generale_49.JPG	M117	8334	5184x2920,16M
M117_generale_50.JPG	M117	8237	5184x2920,16M
M117_generale_51.JPG	M117	8476	5184x2920,16M
M117_generale_52.JPG	M117	8573	5184x2920,16M
M117_generale_53.JPG	M117	8276	5184x2920,16M
M117_generale_54.JPG	M117	8320	5184x2920,16M
M117_generale_55.JPG	M117	8806	5184x2920,16M
M117_generale_56.JPG	M117	8838	5184x2920,16M
M117_generale_57.JPG	M117	8815	5184x2920,16M
M117_generale_58.JPG	M117	8796	5184x2920,16M
M117_generale_59.JPG	M117	8513	5184x2920,16M
M117_generale_60.JPG	M117	8392	5184x2920,16M
M117_generale_61.JPG	M117	8165	5184x2920,16M
M117_generale_62.JPG	M117	8067	5184x2920,16M
M117_generale_63.JPG	M117	8157	5184x2920,16M
M117_generale_64.JPG	M117	8429	5184x2920,16M
M117_generale_65.JPG	M117	8646	5184x2920,16M
M117_generale_66.JPG	M117	8456	5184x2920,16M
M117_generale_67.JPG	M117	8645	5184x2920,16M
M117_generale_68.JPG	M117	8505	5184x2920,16M
M117_generale_69.JPG	M117	8709	5184x2920,16M
M117_generale_70.JPG	M117	9121	5184x2920,16M
M117_generale_71.JPG	M117	8832	5184x2920,16M
M117_generale_72.JPG	M117	8306	5184x2920,16M
M117_generale_73.JPG	M117	8288	5184x2920,16M
M117_generale_74.JPG	M117	8721	5184x2920,16M
M117_generale_75.JPG	M117	8405	5184x2920,16M
M117_generale_76.JPG	M117	8577	5184x2920,16M
M117_generale_77.JPG	M117	8569	5184x2920,16M
M117_generale_78.JPG	M117	8719	5184x2920,16M
M117_generale_79.JPG	M117	8706	5184x2920,16M
M117_generale_80.JPG	M117	8342	5184x2920,16M
M117_generale_81.JPG	M117	8391	5184x2920,16M
M117_generale_82.JPG	M117	8071	5184x2920,16M
M117_generale_83.JPG	M117	8143	5184x2920,16M
M117_generale_84.JPG	M117	8023	5184x2920,16M
M117_generale_85.JPG	M117	8668	5184x2920,16M
M117_generale_86.JPG	M117	8638	5184x2920,16M
M117_generale_87.JPG	M117	8654	5184x2920,16M
M117_generale_88.JPG	M117	8540	5184x2920,16M
M117_generale_89.JPG	M117	8801	5184x2920,16M
M117_generale_90.JPG	M117	8559	5184x2920,16M

num_photo	num_us	taille	format
M117_generale_91.JPG	M117	8707	5184x2920,16M
M117_generale_92.JPG	M117	8026	5184x2920,16M
M117_generale_93.JPG	M117	8226	5184x2920,16M
M117_generale_94.JPG	M117	8859	5184x2920,16M
M117_generale_95.JPG	M117	8404	5184x2920,16M
M117_generale_96.JPG	M117	8065	5184x2920,16M
M117_generale_97.JPG	M117	8317	5184x2920,16M
M117_generale_98.JPG	M117	8426	5184x2920,16M
M117_generale_99.JPG	M117	8386	5184x2920,16M
M118_893.JPG	M118	8963	5184x2920,16M
M118_893_02.JPG	M118	8534	5184x2920,16M
M118_893_03.JPG	M118	9207	5184x2920,16M
M118_893_04.JPG	M118	9002	5184x2920,16M
M118_893_05.JPG	M118	9092	5184x2920,16M
M118_893_06.JPG	M118	9146	5184x2920,16M
M118_893_07.JPG	M118	9073	5184x2920,16M
M118_893_08.JPG	M118	8936	5184x2920,16M
M118_893_09.JPG	M118	8978	5184x2920,16M
M118_893_10.JPG	M118	8760	5184x2920,16M
M118_893_11.JPG	M118	8931	5184x2920,16M
M118_893_12.JPG	M118	8607	5184x2920,16M
M118_893_13.JPG	M118	8555	5184x2920,16M
M118_893_14.JPG	M118	8660	5184x2920,16M
M118_893_15.JPG	M118	8574	5184x2920,16M
M118_893_16.JPG	M118	9187	5184x2920,16M
M118_893_17.JPG	M118	8770	5184x2920,16M
M118_893_18.JPG	M118	8974	5184x2920,16M
M118_893_19.JPG	M118	8835	5184x2920,16M
M118_893_20.JPG	M118	9160	5184x2920,16M
M118_893_21.JPG	M118	8190	5184x2920,16M
M118_893_22.JPG	M118	8721	5184x2920,16M
M118_893_23.JPG	M118	8424	5184x2920,16M
M118_893_24.JPG	M118	8837	5184x2920,16M
M118_893_25.JPG	M118	8948	5184x2920,16M
M118_893_26.JPG	M118	8918	5184x2920,16M
M118_893_27.JPG	M118	8306	5184x2920,16M
M118_893_28.JPG	M118	8910	5184x2920,16M
M118_893_29.JPG	M118	8615	5184x2920,16M
M118_893_30.JPG	M118	8960	5184x2920,16M
M118_893_31.JPG	M118	8549	5184x2920,16M
M118_893_32.JPG	M118	8253	5184x2920,16M
M118_893_33.JPG	M118	8411	5184x2920,16M
M118_893_34.JPG	M118	8175	5184x2920,16M
M118_893_35.JPG	M118	8193	5184x2920,16M
M118_893_36.JPG	M118	8450	5184x2920,16M
M118_893_37.JPG	M118	8593	5184x2920,16M
M118_893_38.JPG	M118	8143	5184x2920,16M
M118_893_39.JPG	M118	8944	5184x2920,16M
M118_893_40.JPG	M118	7866	5184x2920,16M
M118_893_41.JPG	M118	8656	5184x2920,16M
M118_893_42.JPG	M118	8996	5184x2920,16M
M118_893_43.JPG	M118	8224	5184x2920,16M
M118_893_44.JPG	M118	8871	5184x2920,16M
M118_893_45.JPG	M118	8857	5184x2920,16M
M118_893_46.JPG	M118	8692	5184x2920,16M

num_photo	num_us	taille	format
M118_893_47.JPG	M118	9000	5184x2920,16M
M118_893_48.JPG	M118	8478	5184x2920,16M
M118_893_49.JPG	M118	8615	5184x2920,16M
M118_893_50.JPG	M118	8536	5184x2920,16M
M118_893_51.JPG	M118	8198	5184x2920,16M
M118_893_52.JPG	M118	8924	5184x2920,16M
M118_893_53.JPG	M118	8229	5184x2920,16M
M118_893_54.JPG	M118	8511	5184x2920,16M
M118_893_55.JPG	M118	8723	5184x2920,16M
M118_893_56.JPG	M118	8250	5184x2920,16M
M118_893_57.JPG	M118	8521	5184x2920,16M
M118_893_58.JPG	M118	8609	5184x2920,16M
M118_893_59.JPG	M118	9093	5184x2920,16M
M118_893_60.JPG	M118	8259	5184x2920,16M
M118_893_61.JPG	M118	8378	5184x2920,16M
M118_893_62.JPG	M118	8974	5184x2920,16M
M118_893_63.JPG	M118	8652	5184x2920,16M
M119_901_898.JPG	M119	8424	5184x2920,16M
M119_901_898_02.JPG	M119	8861	5184x2920,16M
M119_901_898_03.JPG	M119	8615	5184x2920,16M
M119_901_898_04.JPG	M119	8422	5184x2920,16M
M119_901_898_05.JPG	M119	8574	5184x2920,16M
M119_901_898_06.JPG	M119	8172	5184x2920,16M
M119_901_898_07.JPG	M119	8536	5184x2920,16M
M119_901_898_08.JPG	M119	8733	5184x2920,16M
M119_901_898_09.JPG	M119	8955	5184x2920,16M
M119_901_898_10.JPG	M119	8705	5184x2920,16M
M119_901_898_11.JPG	M119	8574	5184x2920,16M
M119_901_898_12.JPG	M119	8682	5184x2920,16M
M119_901_898_13.JPG	M119	8775	5184x2920,16M
M119_901_898_14.JPG	M119	8824	5184x2920,16M
M119_901_898_15.JPG	M119	8695	5184x2920,16M
M119_901_898_16.JPG	M119	8862	5184x2920,16M
M119_901_898_17.JPG	M119	8250	5184x2920,16M
M119_901_898_18.JPG	M119	8274	5184x2920,16M
M119_901_898_19.JPG	M119	8447	5184x2920,16M
M119_901_898_20.JPG	M119	8498	5184x2920,16M
M119_901_898_21.JPG	M119	9009	5184x2920,16M
M119_901_898_22.JPG	M119	8627	5184x2920,16M
M119_901_898_23.JPG	M119	8599	5184x2920,16M
M119_901_898_24.JPG	M119	8811	5184x2920,16M
M119_901_898_25.JPG	M119	8539	5184x2920,16M
M119_901_898_26.JPG	M119	7510	5184x2920,16M
M119_901_898_27.JPG	M119	8231	5184x2920,16M
M119_901_898_28.JPG	M119	8531	5184x2920,16M
M119_901_898_29.JPG	M119	8401	5184x2920,16M
M119_901_898_30.JPG	M119	8226	5184x2920,16M
M119_901_898_31.JPG	M119	8546	5184x2920,16M
M119_901_898_32.JPG	M119	8715	5184x2920,16M
M119_901_898_33.JPG	M119	8651	5184x2920,16M
M119_901_898_34.JPG	M119	8576	5184x2920,16M
M119_901_898_35.JPG	M119	8376	5184x2920,16M
M119_901_898_36.JPG	M119	8761	5184x2920,16M
M119_901_898_37.JPG	M119	8890	5184x2920,16M
M119_901_898_38.JPG	M119	8880	5184x2920,16M

num_photo	num_us	taille	format
M119_901_898_39.JPG	M119	8420	5184x2920,16M
M119_901_898_40.JPG	M119	8355	5184x2920,16M
M119_901_898_41.JPG	M119	8760	5184x2920,16M
M119_901_898_42.JPG	M119	8248	5184x2920,16M
M119_901_898_43.JPG	M119	8727	5184x2920,16M
M119_901_898_44.JPG	M119	8504	5184x2920,16M
M119_901_898_45.JPG	M119	8614	5184x2920,16M
M119_901_898_46.JPG	M119	8526	5184x2920,16M
M119_901_898_47.JPG	M119	8499	5184x2920,16M
M119_901_898_48.JPG	M119	8195	5184x2920,16M
M119_901_898_49.JPG	M119	8187	5184x2920,16M
M119_901_898_50.JPG	M119	8641	5184x2920,16M
M119_901_898_51.JPG	M119	8423	5184x2920,16M
M119_901_898_52.JPG	M119	8423	5184x2920,16M
M119_901_898_53.JPG	M119	8370	5184x2920,16M
M119_901_898_54.JPG	M119	8361	5184x2920,16M
M119_901_898_55.JPG	M119	8078	5184x2920,16M
M119_901_898_56.JPG	M119	8458	5184x2920,16M
M119_901_898_57.JPG	M119	8512	5184x2920,16M
M119_901_898_58.JPG	M119	8348	5184x2920,16M
M119_901_898_59.JPG	M119	8756	5184x2920,16M
M119_901_898_60.JPG	M119	8808	5184x2920,16M
M119_901_898_61.JPG	M119	8377	5184x2920,16M
M119_901_898_62.JPG	M119	8386	5184x2920,16M
M119_901_898_63.JPG	M119	8781	5184x2920,16M
M119_901_898_64.JPG	M119	8067	5184x2920,16M
M119_901_898_65.JPG	M119	8430	5184x2920,16M
M119_901_898_66.JPG	M119	8315	5184x2920,16M
M119_901_898_67.JPG	M119	8308	5184x2920,16M
M119_901_898_68.JPG	M119	7983	5184x2920,16M
M119_901_898_69.JPG	M119	8477	5184x2920,16M
M119_901_898_70.JPG	M119	7369	5184x2920,16M
M119_901_898_71.JPG	M119	6709	5184x2920,16M
M119_901_898_72.JPG	M119	8359	5184x2920,16M
M119_901_898_73.JPG	M119	8607	5184x2920,16M
M119_901_898_74.JPG	M119	8301	5184x2920,16M
M119_901_898_75.JPG	M119	8231	5184x2920,16M
M119_901_898_76.JPG	M119	8378	5184x2920,16M
M119_901_898_77.JPG	M119	7070	5184x2920,16M
M119_901_898_78.JPG	M119	8419	5184x2920,16M
M119_901_898_79.JPG	M119	8281	5184x2920,16M
M119_901_898_80.JPG	M119	7684	5184x2920,16M
M119_901_898_81.JPG	M119	8737	5184x2920,16M
M119_901_898_82.JPG	M119	8688	5184x2920,16M
M119_901_898_83.JPG	M119	8187	5184x2920,16M
M119_901_898_84.JPG	M119	8236	5184x2920,16M
M119_901_898_85.JPG	M119	8610	5184x2920,16M
M119_901_898_86.JPG	M119	8788	5184x2920,16M
M119_901_898_87.JPG	M119	8871	5184x2920,16M
M119_901_898_88.JPG	M119	8192	5184x2920,16M
M119_901_898_89.JPG	M119	8672	5184x2920,16M
M120_892.JPG	M120	8056	5184x2920,16M
M120_892.txt	M120	287	
M120_892_02.JPG	M120	8694	5184x2920,16M
M120_892_03.JPG	M120	8552	5184x2920,16M

num_photo	num_us	taille	format
M120_892_04.JPG	M120	8648	5184x2920,16M
M120_892_05.JPG	M120	8661	5184x2920,16M
M120_892_06.JPG	M120	8144	5184x2920,16M
M120_892_07.JPG	M120	8352	5184x2920,16M
M120_892_08.JPG	M120	8340	5184x2920,16M
M120_892_09.JPG	M120	8247	5184x2920,16M
M120_892_10.JPG	M120	8512	5184x2920,16M
M120_892_11.JPG	M120	8427	5184x2920,16M
M120_892_12.JPG	M120	8461	5184x2920,16M
M120_892_13.JPG	M120	8485	5184x2920,16M
M120_892_14.JPG	M120	8655	5184x2920,16M
M120_892_15.JPG	M120	8403	5184x2920,16M
M120_892_16.JPG	M120	8180	5184x2920,16M
M120_892_17.JPG	M120	8591	5184x2920,16M
M120_892_18.JPG	M120	8561	5184x2920,16M
M120_892_19.JPG	M120	8433	5184x2920,16M
M120_892_20.JPG	M120	7313	5184x2920,16M
M120_892_21.JPG	M120	8894	5184x2920,16M
M120_892_22.JPG	M120	8467	5184x2920,16M
M120_892_23.JPG	M120	8816	5184x2920,16M
M120_892_24.JPG	M120	8457	5184x2920,16M
M120_892_25.JPG	M120	8335	5184x2920,16M
M120_892_26.JPG	M120	9025	5184x2920,16M
M120_892_27.JPG	M120	8748	5184x2920,16M
M120_892_28.JPG	M120	8648	5184x2920,16M
M120_892_29.JPG	M120	8463	5184x2920,16M
M120_892_30.JPG	M120	8544	5184x2920,16M
M120_892_31.JPG	M120	8570	5184x2920,16M
M120_892_32.JPG	M120	8511	5184x2920,16M
M120_892_33.JPG	M120	8638	5184x2920,16M
M120_892_34.JPG	M120	8460	5184x2920,16M
M120_892_35.JPG	M120	8132	5184x2920,16M
M120_892_36.JPG	M120	8188	5184x2920,16M
M120_892_37.JPG	M120	8456	5184x2920,16M
M120_892_38.JPG	M120	8437	5184x2920,16M
M120_892_39.JPG	M120	8180	5184x2920,16M
M120_892_40.JPG	M120	8574	5184x2920,16M
M120_892_41.JPG	M120	8773	5184x2920,16M
M120_892_42.JPG	M120	8167	5184x2920,16M
M120_892_43.JPG	M120	8840	5184x2920,16M
M120_892_44.JPG	M120	8790	5184x2920,16M
M120_892_45.JPG	M120	8785	5184x2920,16M
M120_892_46.JPG	M120	8597	5184x2920,16M
M120_892_47.JPG	M120	8555	5184x2920,16M
M120_892_48.JPG	M120	8501	5184x2920,16M
M120_892_49.JPG	M120	8822	5184x2920,16M
M120_892_50.JPG	M120	8612	5184x2920,16M
M120_892_51.JPG	M120	8462	5184x2920,16M
M120_892_52.JPG	M120	8126	5184x2920,16M
M120_892_53.JPG	M120	8524	5184x2920,16M
M120_892_54.JPG	M120	8214	5184x2920,16M
M120_892_55.JPG	M120	8119	5184x2920,16M
M120_892_56.JPG	M120	8739	5184x2920,16M
M120_892_57.JPG	M120	8441	5184x2920,16M
M120_892_58.JPG	M120	9043	5184x2920,16M

num_photo	num_us	taille	format
M120_892_59.JPG	M120	8550	5184x2920,16M
M120_892_60.JPG	M120	8867	5184x2920,16M
M120_892_61.JPG	M120	8740	5184x2920,16M
M120_892_62.JPG	M120	8519	5184x2920,16M
M120_892_63.JPG	M120	8492	5184x2920,16M
M120_892_64.JPG	M120	8882	5184x2920,16M
M120_892_65.JPG	M120	8613	5184x2920,16M
M120_892_66.JPG	M120	8511	5184x2920,16M
M120_892_67.JPG	M120	8960	5184x2920,16M
M120_892_68.JPG	M120	8598	5184x2920,16M
M120_892_69.JPG	M120	8092	5184x2920,16M
M120_892_70.JPG	M120	8955	5184x2920,16M
M120_892_71.JPG	M120	8735	5184x2920,16M
M120_892_72.JPG	M120	7164	5184x2920,16M
M120_892_73.JPG	M120	8599	5184x2920,16M
M120_892_74.JPG	M120	8360	5184x2920,16M
M120_892_75.JPG	M120	8693	5184x2920,16M
M120_892_76.JPG	M120	8633	5184x2920,16M
M120_892_77.JPG	M120	8215	5184x2920,16M
M120_892_78.JPG	M120	8106	5184x2920,16M
M120_892_79.JPG	M120	8560	5184x2920,16M
M120_892_80.JPG	M120	8563	5184x2920,16M
M120_892_81.JPG	M120	5244	5184x2920,16M
M121_896.JPG	M121	8257	5184x2920,16M
M121_896_02.JPG	M121	8497	5184x2920,16M
M121_896_03.JPG	M121	8759	5184x2920,16M
M121_896_04.JPG	M121	8689	5184x2920,16M
M121_896_05.JPG	M121	9007	5184x2920,16M
M121_896_06.JPG	M121	8648	5184x2920,16M
M121_896_07.JPG	M121	8526	5184x2920,16M
M121_896_08.JPG	M121	8370	5184x2920,16M
M121_896_09.JPG	M121	8695	5184x2920,16M
M121_896_10.JPG	M121	8930	5184x2920,16M
M121_896_11.JPG	M121	8656	5184x2920,16M
M121_896_12.JPG	M121	9010	5184x2920,16M
M121_896_13.JPG	M121	8509	5184x2920,16M
M121_896_14.JPG	M121	8573	5184x2920,16M
M121_896_15.JPG	M121	8601	5184x2920,16M
M121_896_16.JPG	M121	8594	5184x2920,16M
M121_896_17.JPG	M121	8460	5184x2920,16M
M121_896_18.JPG	M121	8546	5184x2920,16M
M121_896_19.JPG	M121	8789	5184x2920,16M
M121_896_20.JPG	M121	8830	5184x2920,16M
M121_896_21.JPG	M121	9066	5184x2920,16M
M121_896_22.JPG	M121	8287	5184x2920,16M
M121_896_23.JPG	M121	8697	5184x2920,16M
M121_896_24.JPG	M121	8483	5184x2920,16M
M121_896_25.JPG	M121	8475	5184x2920,16M
M121_896_26.JPG	M121	8488	5184x2920,16M
M121_896_27.JPG	M121	8843	5184x2920,16M
M121_896_28.JPG	M121	8658	5184x2920,16M
M121_896_29.JPG	M121	8530	5184x2920,16M
M121_896_30.JPG	M121	8382	5184x2920,16M
M121_896_31.JPG	M121	8506	5184x2920,16M
M121_896_32.JPG	M121	8654	5184x2920,16M

num_photo	num_us	taille	format
M121_896_33.JPG	M121	8804	5184x2920,16M
M121_896_34.JPG	M121	8817	5184x2920,16M
M121_896_35.JPG	M121	8737	5184x2920,16M
M121_896_36.JPG	M121	8586	5184x2920,16M
M121_896_37.JPG	M121	8888	5184x2920,16M
M121_896_38.JPG	M121	8379	5184x2920,16M
M121_896_39.JPG	M121	8389	5184x2920,16M
M121_896_40.JPG	M121	8172	5184x2920,16M
M121_896_41.JPG	M121	8355	5184x2920,16M
M121_896_42.JPG	M121	8456	5184x2920,16M
M121_896_43.JPG	M121	8441	5184x2920,16M
M121_896_44.JPG	M121	8611	5184x2920,16M
M121_896_45.JPG	M121	8794	5184x2920,16M
M121_896_46.JPG	M121	8308	5184x2920,16M
M121_896_47.JPG	M121	8650	5184x2920,16M
M121_896_48.JPG	M121	8838	5184x2920,16M
M121_896_49.JPG	M121	8261	5184x2920,16M
M121_896_50.JPG	M121	8776	5184x2920,16M
M121_896_51.JPG	M121	8142	5184x2920,16M
M121_896_52.JPG	M121	8855	5184x2920,16M
M121_896_53.JPG	M121	8411	5184x2920,16M
M121_896_54.JPG	M121	8538	5184x2920,16M
M121_896_55.JPG	M121	8902	5184x2920,16M
M121_896_56.JPG	M121	8445	5184x2920,16M
M121_896_57.JPG	M121	8724	5184x2920,16M
M121_896_58.JPG	M121	8617	5184x2920,16M
M121_896_59.JPG	M121	8478	5184x2920,16M
M121_896_60.JPG	M121	8662	5184x2920,16M
M121_896_61.JPG	M121	8835	5184x2920,16M
M121_896_62.JPG	M121	8262	5184x2920,16M
M121_896_63.JPG	M121	8180	5184x2920,16M
M121_896_64.JPG	M121	8764	5184x2920,16M
M121_896_65.JPG	M121	8322	5184x2920,16M
M121_896_66.JPG	M121	8819	5184x2920,16M
M121_896_67.JPG	M121	8579	5184x2920,16M
M121_896_68.JPG	M121	8333	5184x2920,16M
M121_896_69.JPG	M121	8279	5184x2920,16M
M121_896_70.JPG	M121	8489	5184x2920,16M
M121_896_71.JPG	M121	8437	5184x2920,16M
M121_896_72.JPG	M121	8600	5184x2920,16M
M121_896_73.JPG	M121	8560	5184x2920,16M
M121_896_74.JPG	M121	8231	5184x2920,16M
M121_896_75.JPG	M121	8209	5184x2920,16M
M121_896_76.JPG	M121	8159	5184x2920,16M
M121_896_77.JPG	M121	8777	5184x2920,16M
M121_896_78.JPG	M121	8467	5184x2920,16M
M121_896_79.JPG	M121	8380	5184x2920,16M
M121_896_80.JPG	M121	8296	5184x2920,16M
M121_896_81.JPG	M121	8191	5184x2920,16M
M121_896_82.JPG	M121	8431	5184x2920,16M
M121_896_83.JPG	M121	8631	5184x2920,16M
M121_896_84.JPG	M121	8537	5184x2920,16M
M121_896_85.JPG	M121	8845	5184x2920,16M
M121_896_86.JPG	M121	8295	5184x2920,16M
M121_896_87.JPG	M121	8039	5184x2920,16M

num_photo	num_us	taille	format
M121_896_88.JPG	M121	8645	5184x2920,16M
M121_896_89.JPG	M121	8431	5184x2920,16M
M121_896_90.JPG	M121	8347	5184x2920,16M
M121_896_91.JPG	M121	8764	5184x2920,16M
M121_896_92.JPG	M121	8170	5184x2920,16M
M121_896_93.JPG	M121	8107	5184x2920,16M
M121_896_94.JPG	M121	8322	5184x2920,16M
M121_896_95.JPG	M121	7982	5184x2920,16M
M121_896_96.JPG	M121	8220	5184x2920,16M
M121_896_97.JPG	M121	8193	5184x2920,16M
M121_896_98.JPG	M121	7916	5184x2920,16M
M121_896_99.JPG	M121	7959	5184x2920,16M
M122_897.csv	M122	287	
M122_897.JPG	M122	8193	5184x2920,16M
M122_897_02.csv	M122	287	
M122_897_02.JPG	M122	8834	5184x2920,16M
M122_897_03.JPG	M122	8599	5184x2920,16M
M122_897_04.JPG	M122	9021	5184x2920,16M
M122_897_05.JPG	M122	8127	5184x2920,16M
M122_897_06.JPG	M122	8471	5184x2920,16M
M122_897_07.JPG	M122	8362	5184x2920,16M
M122_897_08.JPG	M122	8808	5184x2920,16M
M122_897_09.JPG	M122	8695	5184x2920,16M
M122_897_10.JPG	M122	8550	5184x2920,16M
M122_897_11.JPG	M122	8784	5184x2920,16M
M122_897_12.JPG	M122	8990	5184x2920,16M
M122_897_13.JPG	M122	8480	5184x2920,16M
M122_897_14.JPG	M122	8504	5184x2920,16M
M122_897_15.JPG	M122	8867	5184x2920,16M
M122_897_16.JPG	M122	8479	5184x2920,16M
M122_897_17.JPG	M122	8502	5184x2920,16M
M122_897_18.JPG	M122	8648	5184x2920,16M
M122_897_19.JPG	M122	8954	5184x2920,16M
M122_897_20.JPG	M122	8349	5184x2920,16M
M122_897_21.JPG	M122	8895	5184x2920,16M
M122_897_22.JPG	M122	8496	5184x2920,16M
M122_897_23.JPG	M122	8867	5184x2920,16M
M122_897_24.JPG	M122	8400	5184x2920,16M
M122_897_25.JPG	M122	8537	5184x2920,16M
M122_897_26.JPG	M122	8182	5184x2920,16M
M122_897_27.JPG	M122	8537	5184x2920,16M
M122_897_28.JPG	M122	8187	5184x2920,16M
M122_897_29.JPG	M122	8261	5184x2920,16M
M122_897_30.JPG	M122	8491	5184x2920,16M
M122_897_31.JPG	M122	8074	5184x2920,16M
M122_897_32.JPG	M122	8220	5184x2920,16M
M122_897_33.JPG	M122	8093	5184x2920,16M
M122_897_34.JPG	M122	8584	5184x2920,16M
M122_897_35.JPG	M122	8247	5184x2920,16M
M122_897_36.JPG	M122	8578	5184x2920,16M
M122_897_37.JPG	M122	9017	5184x2920,16M
M122_897_38.JPG	M122	9010	5184x2920,16M
M122_897_39.JPG	M122	8220	5184x2920,16M
M122_897_40.JPG	M122	8674	5184x2920,16M
M122_897_41.JPG	M122	8748	5184x2920,16M

num_photo	num_us	taille	format
M122_897_42.JPG	M122	8641	5184x2920,16M
M122_897_43.JPG	M122	8730	5184x2920,16M
M122_897_44.JPG	M122	8471	5184x2920,16M
M122_897_45.JPG	M122	8540	5184x2920,16M
M122_897_46.JPG	M122	8286	5184x2920,16M
M122_897_47.JPG	M122	8596	5184x2920,16M
M122_897_48.JPG	M122	8237	5184x2920,16M
M122_897_49.JPG	M122	8330	5184x2920,16M
M122_897_50.JPG	M122	8641	5184x2920,16M
M122_897_51.JPG	M122	8926	5184x2920,16M
M122_897_52.JPG	M122	8390	5184x2920,16M
M122_897_53.JPG	M122	8239	5184x2920,16M
M122_897_54.JPG	M122	8318	5184x2920,16M
M122_897_55.JPG	M122	8395	5184x2920,16M
M122_897_56.JPG	M122	8387	5184x2920,16M
M122_897_57.JPG	M122	8185	5184x2920,16M
M122_897_58.JPG	M122	8168	5184x2920,16M
M122_897_59.JPG	M122	8376	5184x2920,16M
M122_897_60.JPG	M122	8481	5184x2920,16M
M122_897_61.JPG	M122	8439	5184x2920,16M
M122_897_62.JPG	M122	8950	5184x2920,16M
M122_897_63.JPG	M122	8212	5184x2920,16M
M122_897_64.JPG	M122	8546	5184x2920,16M
M122_897_65.JPG	M122	8595	5184x2920,16M
M122_897_66.JPG	M122	8498	5184x2920,16M
M122_897_67.JPG	M122	8075	5184x2920,16M
M122_897_68.JPG	M122	8262	5184x2920,16M
M122_897_69.JPG	M122	8344	5184x2920,16M
M122_897_70.JPG	M122	8562	5184x2920,16M
M122_897_71.JPG	M122	8462	5184x2920,16M
M122_897_72.JPG	M122	8674	5184x2920,16M
M122_897_73.JPG	M122	8205	5184x2920,16M
M122_897_74.JPG	M122	8163	5184x2920,16M
M122_897_75.JPG	M122	8601	5184x2920,16M
M122_897_76.JPG	M122	8295	5184x2920,16M
M122_897_77.JPG	M122	8176	5184x2920,16M
M122_897_78.JPG	M122	8414	5184x2920,16M
M122_897_79.JPG	M122	8266	5184x2920,16M
M122_897_80.JPG	M122	8242	5184x2920,16M
M122_897_81.JPG	M122	8257	5184x2920,16M
M122_897_82.JPG	M122	8295	5184x2920,16M
M123_895.JPG	M123	8246	5184x2920,16M
M123_895_02.JPG	M123	8090	5184x2920,16M
M123_895_03.JPG	M123	8547	5184x2920,16M
M123_895_04.JPG	M123	8758	5184x2920,16M
M123_895_05.JPG	M123	8893	5184x2920,16M
M123_895_06.JPG	M123	8792	5184x2920,16M
M123_895_07.JPG	M123	8356	5184x2920,16M
M123_895_08.JPG	M123	8612	5184x2920,16M
M123_895_09.JPG	M123	8354	5184x2920,16M
M123_895_10.JPG	M123	8481	5184x2920,16M
M123_895_100.JPG	M123	8115	5184x2920,16M
M123_895_101.JPG	M123	8205	5184x2920,16M
M123_895_102.JPG	M123	8387	5184x2920,16M
M123_895_103.JPG	M123	8185	5184x2920,16M

num_photo	num_us	taille	format
M123_895_104.JPG	M123	8327	5184x2920,16M
M123_895_105.JPG	M123	8602	5184x2920,16M
M123_895_106.JPG	M123	8517	5184x2920,16M
M123_895_107.JPG	M123	8374	5184x2920,16M
M123_895_108.JPG	M123	8169	5184x2920,16M
M123_895_109.JPG	M123	8497	5184x2920,16M
M123_895_11.JPG	M123	8465	5184x2920,16M
M123_895_110.JPG	M123	9020	5184x2920,16M
M123_895_111.JPG	M123	8263	5184x2920,16M
M123_895_112.JPG	M123	8261	5184x2920,16M
M123_895_113.JPG	M123	8496	5184x2920,16M
M123_895_114.JPG	M123	8539	5184x2920,16M
M123_895_115.JPG	M123	8460	5184x2920,16M
M123_895_116.JPG	M123	8609	5184x2920,16M
M123_895_117.JPG	M123	8376	5184x2920,16M
M123_895_118.JPG	M123	8505	5184x2920,16M
M123_895_119.JPG	M123	8283	5184x2920,16M
M123_895_12.JPG	M123	8644	5184x2920,16M
M123_895_120.JPG	M123	8592	5184x2920,16M
M123_895_121.JPG	M123	8424	5184x2920,16M
M123_895_122.JPG	M123	8351	5184x2920,16M
M123_895_123.JPG	M123	8348	5184x2920,16M
M123_895_124.JPG	M123	8394	5184x2920,16M
M123_895_125.JPG	M123	8350	5184x2920,16M
M123_895_126.JPG	M123	8407	5184x2920,16M
M123_895_127.JPG	M123	7928	5184x2920,16M
M123_895_128.JPG	M123	8738	5184x2920,16M
M123_895_129.JPG	M123	8985	5184x2920,16M
M123_895_13.JPG	M123	8261	5184x2920,16M
M123_895_14.JPG	M123	8238	5184x2920,16M
M123_895_15.JPG	M123	8056	5184x2920,16M
M123_895_16.JPG	M123	8370	5184x2920,16M
M123_895_17.JPG	M123	8813	5184x2920,16M
M123_895_18.JPG	M123	8580	5184x2920,16M
M123_895_19.JPG	M123	8683	5184x2920,16M
M123_895_20.JPG	M123	8900	5184x2920,16M
M123_895_21.JPG	M123	8888	5184x2920,16M
M123_895_22.JPG	M123	8904	5184x2920,16M
M123_895_23.JPG	M123	8464	5184x2920,16M
M123_895_24.JPG	M123	8577	5184x2920,16M
M123_895_25.JPG	M123	8643	5184x2920,16M
M123_895_26.JPG	M123	8664	5184x2920,16M
M123_895_27.JPG	M123	8337	5184x2920,16M
M123_895_28.JPG	M123	8597	5184x2920,16M
M123_895_29.JPG	M123	8277	5184x2920,16M
M123_895_30.JPG	M123	8920	5184x2920,16M
M123_895_31.JPG	M123	8097	5184x2920,16M
M123_895_32.JPG	M123	8941	5184x2920,16M
M123_895_33.JPG	M123	8250	5184x2920,16M
M123_895_34.JPG	M123	8510	5184x2920,16M
M123_895_35.JPG	M123	8012	5184x2920,16M
M123_895_36.JPG	M123	8801	5184x2920,16M
M123_895_37.JPG	M123	8666	5184x2920,16M
M123_895_38.JPG	M123	8270	5184x2920,16M
M123_895_39.JPG	M123	8802	5184x2920,16M

num_photo	num_us	taille	format
M123_895_40.JPG	M123	8649	5184x2920,16M
M123_895_41.JPG	M123	8256	5184x2920,16M
M123_895_42.JPG	M123	8795	5184x2920,16M
M123_895_43.JPG	M123	7937	5184x2920,16M
M123_895_44.JPG	M123	8396	5184x2920,16M
M123_895_45.JPG	M123	8417	5184x2920,16M
M123_895_46.JPG	M123	8932	5184x2920,16M
M123_895_47.JPG	M123	9128	5184x2920,16M
M123_895_48.JPG	M123	8613	5184x2920,16M
M123_895_49.JPG	M123	8933	5184x2920,16M
M123_895_50.JPG	M123	8452	5184x2920,16M
M123_895_51.JPG	M123	8551	5184x2920,16M
M123_895_52.JPG	M123	8821	5184x2920,16M
M123_895_53.JPG	M123	8198	5184x2920,16M
M123_895_54.JPG	M123	8811	5184x2920,16M
M123_895_55.JPG	M123	8532	5184x2920,16M
M123_895_56.JPG	M123	8617	5184x2920,16M
M123_895_57.JPG	M123	8407	5184x2920,16M
M123_895_58.JPG	M123	8532	5184x2920,16M
M123_895_59.JPG	M123	8762	5184x2920,16M
M123_895_60.JPG	M123	8582	5184x2920,16M
M123_895_61.JPG	M123	8188	5184x2920,16M
M123_895_62.JPG	M123	8425	5184x2920,16M
M123_895_63.JPG	M123	8451	5184x2920,16M
M123_895_64.JPG	M123	8263	5184x2920,16M
M123_895_65.JPG	M123	8622	5184x2920,16M
M123_895_66.JPG	M123	8615	5184x2920,16M
M123_895_67.JPG	M123	8476	5184x2920,16M
M123_895_68.JPG	M123	8284	5184x2920,16M
M123_895_69.JPG	M123	8357	5184x2920,16M
M123_895_70.JPG	M123	8752	5184x2920,16M
M123_895_71.JPG	M123	8462	5184x2920,16M
M123_895_72.JPG	M123	8372	5184x2920,16M
M123_895_73.JPG	M123	8534	5184x2920,16M
M123_895_74.JPG	M123	8454	5184x2920,16M
M123_895_75.JPG	M123	8867	5184x2920,16M
M123_895_76.JPG	M123	8990	5184x2920,16M
M123_895_77.JPG	M123	8118	5184x2920,16M
M123_895_78.JPG	M123	8097	5184x2920,16M
M123_895_79.JPG	M123	8243	5184x2920,16M
M123_895_80.JPG	M123	8590	5184x2920,16M
M123_895_81.JPG	M123	8601	5184x2920,16M
M123_895_82.JPG	M123	7939	5184x2920,16M
M123_895_83.JPG	M123	8382	5184x2920,16M
M123_895_84.JPG	M123	8667	5184x2920,16M
M123_895_85.JPG	M123	8768	5184x2920,16M
M123_895_86.JPG	M123	8993	5184x2920,16M
M123_895_87.JPG	M123	8627	5184x2920,16M
M123_895_88.JPG	M123	8525	5184x2920,16M
M123_895_89.JPG	M123	8992	5184x2920,16M
M123_895_90.JPG	M123	8735	5184x2920,16M
M123_895_91.JPG	M123	8607	5184x2920,16M
M123_895_92.JPG	M123	7976	5184x2920,16M
M123_895_93.JPG	M123	8985	5184x2920,16M
M123_895_94.JPG	M123	8472	5184x2920,16M

num_photo	num_us	taille	format
M123_895_95.JPG	M123	8406	5184x2920,16M
M123_895_96.JPG	M123	8636	5184x2920,16M
M123_895_97.JPG	M123	8156	5184x2920,16M
M123_895_98.JPG	M123	8571	5184x2920,16M
M123_895_99.JPG	M123	8236	5184x2920,16M
M124_900.JPG	M124	8331	5184x2920,16M
M124_900_02.JPG	M124	8498	5184x2920,16M
M124_900_03.JPG	M124	8614	5184x2920,16M
M124_900_04.JPG	M124	8546	5184x2920,16M
M124_900_05.JPG	M124	8586	5184x2920,16M
M124_900_06.JPG	M124	8745	5184x2920,16M
M124_900_07.JPG	M124	8345	5184x2920,16M
M124_900_08.JPG	M124	8153	5184x2920,16M
M124_900_09.JPG	M124	8112	5184x2920,16M
M124_900_10.JPG	M124	8335	5184x2920,16M
M124_900_100.JPG	M124	8494	5184x2920,16M
M124_900_101.JPG	M124	8535	5184x2920,16M
M124_900_102.JPG	M124	8334	5184x2920,16M
M124_900_103.JPG	M124	8203	5184x2920,16M
M124_900_104.JPG	M124	8279	5184x2920,16M
M124_900_105.JPG	M124	8502	5184x2920,16M
M124_900_106.JPG	M124	8259	5184x2920,16M
M124_900_107.JPG	M124	8026	5184x2920,16M
M124_900_108.JPG	M124	8467	5184x2920,16M
M124_900_109.JPG	M124	8328	5184x2920,16M
M124_900_11.JPG	M124	8880	5184x2920,16M
M124_900_110.JPG	M124	8502	5184x2920,16M
M124_900_111.JPG	M124	8550	5184x2920,16M
M124_900_112.JPG	M124	8378	5184x2920,16M
M124_900_113.JPG	M124	7945	5184x2920,16M
M124_900_114.JPG	M124	8073	5184x2920,16M
M124_900_115.JPG	M124	8742	5184x2920,16M
M124_900_116.JPG	M124	8336	5184x2920,16M
M124_900_117.JPG	M124	8545	5184x2920,16M
M124_900_118.JPG	M124	8192	5184x2920,16M
M124_900_119.JPG	M124	7976	5184x2920,16M
M124_900_12.JPG	M124	8704	5184x2920,16M
M124_900_120.JPG	M124	8534	5184x2920,16M
M124_900_121.JPG	M124	8392	5184x2920,16M
M124_900_13.JPG	M124	8186	5184x2920,16M
M124_900_14.JPG	M124	7993	5184x2920,16M
M124_900_15.JPG	M124	8291	5184x2920,16M
M124_900_16.JPG	M124	8810	5184x2920,16M
M124_900_17.JPG	M124	8370	5184x2920,16M
M124_900_18.JPG	M124	8561	5184x2920,16M
M124_900_19.JPG	M124	8626	5184x2920,16M
M124_900_20.JPG	M124	8815	5184x2920,16M
M124_900_21.JPG	M124	8249	5184x2920,16M
M124_900_22.JPG	M124	8559	5184x2920,16M
M124_900_23.JPG	M124	8670	5184x2920,16M
M124_900_24.JPG	M124	8613	5184x2920,16M
M124_900_25.JPG	M124	8225	5184x2920,16M
M124_900_26.JPG	M124	8670	5184x2920,16M
M124_900_27.JPG	M124	8638	5184x2920,16M
M124_900_28.JPG	M124	8235	5184x2920,16M

num_photo	num_us	taille	format
M124_900_29.JPG	M124	8766	5184x2920,16M
M124_900_30.JPG	M124	8584	5184x2920,16M
M124_900_31.JPG	M124	8381	5184x2920,16M
M124_900_32.JPG	M124	8428	5184x2920,16M
M124_900_33.JPG	M124	8568	5184x2920,16M
M124_900_34.JPG	M124	8180	5184x2920,16M
M124_900_35.JPG	M124	8390	5184x2920,16M
M124_900_36.JPG	M124	8541	5184x2920,16M
M124_900_37.JPG	M124	8539	5184x2920,16M
M124_900_38.JPG	M124	8177	5184x2920,16M
M124_900_39.JPG	M124	8301	5184x2920,16M
M124_900_40.JPG	M124	8908	5184x2920,16M
M124_900_41.JPG	M124	8667	5184x2920,16M
M124_900_42.JPG	M124	8422	5184x2920,16M
M124_900_43.JPG	M124	8621	5184x2920,16M
M124_900_44.JPG	M124	8376	5184x2920,16M
M124_900_45.JPG	M124	8527	5184x2920,16M
M124_900_46.JPG	M124	8022	5184x2920,16M
M124_900_47.JPG	M124	8587	5184x2920,16M
M124_900_48.JPG	M124	8135	5184x2920,16M
M124_900_49.JPG	M124	8827	5184x2920,16M
M124_900_50.JPG	M124	8130	5184x2920,16M
M124_900_51.JPG	M124	7999	5184x2920,16M
M124_900_52.JPG	M124	8379	5184x2920,16M
M124_900_53.JPG	M124	8352	5184x2920,16M
M124_900_54.JPG	M124	8561	5184x2920,16M
M124_900_55.JPG	M124	8328	5184x2920,16M
M124_900_56.JPG	M124	8761	5184x2920,16M
M124_900_57.JPG	M124	8497	5184x2920,16M
M124_900_58.JPG	M124	8798	5184x2920,16M
M124_900_59.JPG	M124	8100	5184x2920,16M
M124_900_60.JPG	M124	8169	5184x2920,16M
M124_900_61.JPG	M124	8603	5184x2920,16M
M124_900_62.JPG	M124	8333	5184x2920,16M
M124_900_63.JPG	M124	8100	5184x2920,16M
M124_900_64.JPG	M124	8223	5184x2920,16M
M124_900_65.JPG	M124	8609	5184x2920,16M
M124_900_66.JPG	M124	8189	5184x2920,16M
M124_900_67.JPG	M124	8088	5184x2920,16M
M124_900_68.JPG	M124	8395	5184x2920,16M
M124_900_69.JPG	M124	8516	5184x2920,16M
M124_900_70.JPG	M124	8019	5184x2920,16M
M124_900_71.JPG	M124	8239	5184x2920,16M
M124_900_72.JPG	M124	8467	5184x2920,16M
M124_900_73.JPG	M124	7864	5184x2920,16M
M124_900_74.JPG	M124	8550	5184x2920,16M
M124_900_75.JPG	M124	7995	5184x2920,16M
M124_900_76.JPG	M124	8623	5184x2920,16M
M124_900_77.JPG	M124	8153	5184x2920,16M
M124_900_78.JPG	M124	8709	5184x2920,16M
M124_900_79.JPG	M124	8421	5184x2920,16M
M124_900_80.JPG	M124	8215	5184x2920,16M
M124_900_81.JPG	M124	8525	5184x2920,16M
M124_900_82.JPG	M124	8306	5184x2920,16M
M124_900_83.JPG	M124	8027	5184x2920,16M

num_photo	num_us	taille	format
M124_900_84.JPG	M124	7865	5184x2920,16M
M124_900_85.JPG	M124	8100	5184x2920,16M
M124_900_86.JPG	M124	8269	5184x2920,16M
M124_900_87.JPG	M124	8126	5184x2920,16M
M124_900_88.JPG	M124	8814	5184x2920,16M
M124_900_89.JPG	M124	8792	5184x2920,16M
M124_900_90.JPG	M124	8204	5184x2920,16M
M124_900_91.JPG	M124	8342	5184x2920,16M
M124_900_92.JPG	M124	8485	5184x2920,16M
M124_900_93.JPG	M124	8765	5184x2920,16M
M124_900_94.JPG	M124	8673	5184x2920,16M
M124_900_95.JPG	M124	8512	5184x2920,16M
M124_900_96.JPG	M124	8236	5184x2920,16M
M124_900_97.JPG	M124	8430	5184x2920,16M
M124_900_98.JPG	M124	8272	5184x2920,16M
M124_900_99.JPG	M124	8269	5184x2920,16M
M125.JPG	M125	8898	5184x2920,16M
M125_02.JPG	M125	8885	5184x2920,16M
M125_03.JPG	M125	8785	5184x2920,16M
M125_04.JPG	M125	9126	5184x2920,16M
M125_05.JPG	M125	8600	5184x2920,16M
M125_06.JPG	M125	8461	5184x2920,16M
M125_07.JPG	M125	8811	5184x2920,16M
M125_08.JPG	M125	8665	5184x2920,16M
M125_09.JPG	M125	8814	5184x2920,16M
M125_10.JPG	M125	9224	5184x2920,16M
M125_100.JPG	M125	8330	5184x2920,16M
M125_101.JPG	M125	8555	5184x2920,16M
M125_102.JPG	M125	8440	5184x2920,16M
M125_103.JPG	M125	8793	5184x2920,16M
M125_104.JPG	M125	8649	5184x2920,16M
M125_105.JPG	M125	9012	5184x2920,16M
M125_106.JPG	M125	8749	5184x2920,16M
M125_107.JPG	M125	8223	5184x2920,16M
M125_108.JPG	M125	8367	5184x2920,16M
M125_109.JPG	M125	8443	5184x2920,16M
M125_11.JPG	M125	8709	5184x2920,16M
M125_110.JPG	M125	8354	5184x2920,16M
M125_111.JPG	M125	8301	5184x2920,16M
M125_112.JPG	M125	8227	5184x2920,16M
M125_113.JPG	M125	8365	5184x2920,16M
M125_114.JPG	M125	8552	5184x2920,16M
M125_115.JPG	M125	9052	5184x2920,16M
M125_116.JPG	M125	8734	5184x2920,16M
M125_117.JPG	M125	8645	5184x2920,16M
M125_118.JPG	M125	8335	5184x2920,16M
M125_119.JPG	M125	8914	5184x2920,16M
M125_12.JPG	M125	8759	5184x2920,16M
M125_120.JPG	M125	8148	5184x2920,16M
M125_121.JPG	M125	8833	5184x2920,16M
M125_122.JPG	M125	8735	5184x2920,16M
M125_123.JPG	M125	8481	5184x2920,16M
M125_124.JPG	M125	8415	5184x2920,16M
M125_125.JPG	M125	8400	5184x2920,16M
M125_126.JPG	M125	8365	5184x2920,16M

num_photo	num_us	taille	format
M125_127.JPG	M125	8862	5184x2920,16M
M125_128.JPG	M125	8619	5184x2920,16M
M125_129.JPG	M125	8669	5184x2920,16M
M125_13.JPG	M125	8543	5184x2920,16M
M125_130.JPG	M125	8324	5184x2920,16M
M125_131.JPG	M125	8622	5184x2920,16M
M125_132.JPG	M125	8180	5184x2920,16M
M125_133.JPG	M125	9036	5184x2920,16M
M125_134.JPG	M125	8835	5184x2920,16M
M125_14.JPG	M125	8796	5184x2920,16M
M125_15.JPG	M125	8930	5184x2920,16M
M125_16.JPG	M125	8710	5184x2920,16M
M125_17.JPG	M125	8073	5184x2920,16M
M125_18.JPG	M125	8816	5184x2920,16M
M125_19.JPG	M125	8950	5184x2920,16M
M125_20.JPG	M125	9101	5184x2920,16M
M125_21.JPG	M125	9142	5184x2920,16M
M125_22.JPG	M125	8875	5184x2920,16M
M125_23.JPG	M125	8837	5184x2920,16M
M125_24.JPG	M125	8702	5184x2920,16M
M125_25.JPG	M125	8975	5184x2920,16M
M125_26.JPG	M125	8251	5184x2920,16M
M125_27.JPG	M125	8739	5184x2920,16M
M125_28.JPG	M125	8601	5184x2920,16M
M125_29.JPG	M125	8661	5184x2920,16M
M125_30.JPG	M125	8664	5184x2920,16M
M125_31.JPG	M125	8499	5184x2920,16M
M125_32.JPG	M125	8795	5184x2920,16M
M125_33.JPG	M125	9022	5184x2920,16M
M125_34.JPG	M125	8566	5184x2920,16M
M125_35.JPG	M125	8423	5184x2920,16M
M125_36.JPG	M125	9126	5184x2920,16M
M125_37.JPG	M125	8516	5184x2920,16M
M125_38.JPG	M125	8596	5184x2920,16M
M125_39.JPG	M125	8887	5184x2920,16M
M125_40.JPG	M125	8187	5184x2920,16M
M125_41.JPG	M125	8200	5184x2920,16M
M125_42.JPG	M125	8448	5184x2920,16M
M125_43.JPG	M125	8863	5184x2920,16M
M125_44.JPG	M125	8942	5184x2920,16M
M125_45.JPG	M125	8548	5184x2920,16M
M125_46.JPG	M125	8639	5184x2920,16M
M125_47.JPG	M125	8018	5184x2920,16M
M125_48.JPG	M125	8641	5184x2920,16M
M125_49.JPG	M125	8794	5184x2920,16M
M125_50.JPG	M125	8361	5184x2920,16M
M125_51.JPG	M125	8919	5184x2920,16M
M125_52.JPG	M125	9402	5184x2920,16M
M125_53.JPG	M125	9348	5184x2920,16M
M125_54.JPG	M125	8890	5184x2920,16M
M125_55.JPG	M125	9241	5184x2920,16M
M125_56.JPG	M125	8707	5184x2920,16M
M125_57.JPG	M125	8793	5184x2920,16M
M125_58.JPG	M125	8869	5184x2920,16M
M125_59.JPG	M125	9239	5184x2920,16M

num_photo	num_us	taille	format
M125_60.JPG	M125	8665	5184x2920,16M
M125_61.JPG	M125	8558	5184x2920,16M
M125_62.JPG	M125	8325	5184x2920,16M
M125_63.JPG	M125	8768	5184x2920,16M
M125_64.JPG	M125	8914	5184x2920,16M
M125_65.JPG	M125	8816	5184x2920,16M
M125_66.JPG	M125	9173	5184x2920,16M
M125_67.JPG	M125	8705	5184x2920,16M
M125_68.JPG	M125	8794	5184x2920,16M
M125_69.JPG	M125	8884	5184x2920,16M
M125_70.JPG	M125	8956	5184x2920,16M
M125_71.JPG	M125	8236	5184x2920,16M
M125_72.JPG	M125	9205	5184x2920,16M
M125_73.JPG	M125	9092	5184x2920,16M
M125_74.JPG	M125	8527	5184x2920,16M
M125_75.JPG	M125	8725	5184x2920,16M
M125_76.JPG	M125	8789	5184x2920,16M
M125_77.JPG	M125	8717	5184x2920,16M
M125_78.JPG	M125	8867	5184x2920,16M
M125_79.JPG	M125	8860	5184x2920,16M
M125_80.JPG	M125	8617	5184x2920,16M
M125_81.JPG	M125	8284	5184x2920,16M
M125_82.JPG	M125	8693	5184x2920,16M
M125_83.JPG	M125	8765	5184x2920,16M
M125_84.JPG	M125	8998	5184x2920,16M
M125_85.JPG	M125	8714	5184x2920,16M
M125_86.JPG	M125	8655	5184x2920,16M
M125_87.JPG	M125	8572	5184x2920,16M
M125_88.JPG	M125	8752	5184x2920,16M
M125_89.JPG	M125	8774	5184x2920,16M
M125_90.JPG	M125	9102	5184x2920,16M
M125_91.JPG	M125	8416	5184x2920,16M
M125_92.JPG	M125	8804	5184x2920,16M
M125_93.JPG	M125	8500	5184x2920,16M
M125_94.JPG	M125	8689	5184x2920,16M
M125_95.JPG	M125	8539	5184x2920,16M
M125_96.JPG	M125	8888	5184x2920,16M
M125_97.JPG	M125	8507	5184x2920,16M
M125_98.JPG	M125	8713	5184x2920,16M
M125_99.JPG	M125	8221	5184x2920,16M
M126_generale.JPG	M126	9013	5184x2920,16M
M126_generale_02.JPG	M126	8867	5184x2920,16M
M126_generale_03.JPG	M126	9043	5184x2920,16M
M126_generale_04.JPG	M126	8566	5184x2920,16M
M126_generale_05.JPG	M126	8587	5184x2920,16M
M126_generale_06.JPG	M126	8540	5184x2920,16M
M126_generale_07.JPG	M126	8470	5184x2920,16M
M126_generale_08.JPG	M126	8164	5184x2920,16M
M126_generale_09.JPG	M126	8639	5184x2920,16M
M126_generale_10.JPG	M126	8743	5184x2920,16M
M126_generale_100.JPG	M126	8873	5184x2920,16M
M126_generale_101.JPG	M126	8903	5184x2920,16M
M126_generale_102.JPG	M126	9019	5184x2920,16M
M126_generale_103.JPG	M126	8929	5184x2920,16M
M126_generale_104.JPG	M126	8901	5184x2920,16M

num_photo	num_us	taille	format
M126_generale_105.JPG	M126	8514	5184x2920,16M
M126_generale_106.JPG	M126	8438	5184x2920,16M
M126_generale_107.JPG	M126	8889	5184x2920,16M
M126_generale_108.JPG	M126	8966	5184x2920,16M
M126_generale_109.JPG	M126	8734	5184x2920,16M
M126_generale_11.JPG	M126	8247	5184x2920,16M
M126_generale_110.JPG	M126	8128	5184x2920,16M
M126_generale_111.JPG	M126	8120	5184x2920,16M
M126_generale_112.JPG	M126	8269	5184x2920,16M
M126_generale_113.JPG	M126	8374	5184x2920,16M
M126_generale_114.JPG	M126	8045	5184x2920,16M
M126_generale_115.JPG	M126	9020	5184x2920,16M
M126_generale_116.JPG	M126	8966	5184x2920,16M
M126_generale_117.JPG	M126	8711	5184x2920,16M
M126_generale_118.JPG	M126	8603	5184x2920,16M
M126_generale_119.JPG	M126	8285	5184x2920,16M
M126_generale_12.JPG	M126	8573	5184x2920,16M
M126_generale_120.JPG	M126	9152	5184x2920,16M
M126_generale_121.JPG	M126	8851	5184x2920,16M
M126_generale_122.JPG	M126	8994	5184x2920,16M
M126_generale_123.JPG	M126	8933	5184x2920,16M
M126_generale_124.JPG	M126	9206	5184x2920,16M
M126_generale_125.JPG	M126	8706	5184x2920,16M
M126_generale_126.JPG	M126	8853	5184x2920,16M
M126_generale_127.JPG	M126	8459	5184x2920,16M
M126_generale_128.JPG	M126	8689	5184x2920,16M
M126_generale_129.JPG	M126	8488	5184x2920,16M
M126_generale_13.JPG	M126	8309	5184x2920,16M
M126_generale_130.JPG	M126	8526	5184x2920,16M
M126_generale_131.JPG	M126	8312	5184x2920,16M
M126_generale_132.JPG	M126	8411	5184x2920,16M
M126_generale_133.JPG	M126	8610	5184x2920,16M
M126_generale_134.JPG	M126	8139	5184x2920,16M
M126_generale_135.JPG	M126	8326	5184x2920,16M
M126_generale_136.JPG	M126	8437	5184x2920,16M
M126_generale_137.JPG	M126	8771	5184x2920,16M
M126_generale_138.JPG	M126	8562	5184x2920,16M
M126_generale_139.JPG	M126	9065	5184x2920,16M
M126_generale_14.JPG	M126	8205	5184x2920,16M
M126_generale_140.JPG	M126	8563	5184x2920,16M
M126_generale_141.JPG	M126	8850	5184x2920,16M
M126_generale_142.JPG	M126	8701	5184x2920,16M
M126_generale_143.JPG	M126	8638	5184x2920,16M
M126_generale_144.JPG	M126	8569	5184x2920,16M
M126_generale_145.JPG	M126	8200	5184x2920,16M
M126_generale_146.JPG	M126	8467	5184x2920,16M
M126_generale_147.JPG	M126	8728	5184x2920,16M
M126_generale_148.JPG	M126	8289	5184x2920,16M
M126_generale_149.JPG	M126	8256	5184x2920,16M
M126_generale_15.JPG	M126	8003	5184x2920,16M
M126_generale_150.JPG	M126	8519	5184x2920,16M
M126_generale_151.JPG	M126	8459	5184x2920,16M
M126_generale_152.JPG	M126	8499	5184x2920,16M
M126_generale_153.JPG	M126	8638	5184x2920,16M
M126_generale_154.JPG	M126	8535	5184x2920,16M

num_photo	num_us	taille	format
M126_generale_155.JPG	M126	8278	5184x2920,16M
M126_generale_156.JPG	M126	8343	5184x2920,16M
M126_generale_157.JPG	M126	7385	5184x2920,16M
M126_generale_158.JPG	M126	7987	5184x2920,16M
M126_generale_159.JPG	M126	8697	5184x2920,16M
M126_generale_16.JPG	M126	8401	5184x2920,16M
M126_generale_160.JPG	M126	8454	5184x2920,16M
M126_generale_161.JPG	M126	8001	5184x2920,16M
M126_generale_162.JPG	M126	8274	5184x2920,16M
M126_generale_163.JPG	M126	8388	5184x2920,16M
M126_generale_164.JPG	M126	8488	5184x2920,16M
M126_generale_165.JPG	M126	8605	5184x2920,16M
M126_generale_166.JPG	M126	8752	5184x2920,16M
M126_generale_167.JPG	M126	8584	5184x2920,16M
M126_generale_168.JPG	M126	8786	5184x2920,16M
M126_generale_169.JPG	M126	8550	5184x2920,16M
M126_generale_17.JPG	M126	8554	5184x2920,16M
M126_generale_170.JPG	M126	8363	5184x2920,16M
M126_generale_171.JPG	M126	8319	5184x2920,16M
M126_generale_172.JPG	M126	8695	5184x2920,16M
M126_generale_173.JPG	M126	8240	5184x2920,16M
M126_generale_174.JPG	M126	8593	5184x2920,16M
M126_generale_175.JPG	M126	8615	5184x2920,16M
M126_generale_176.JPG	M126	8424	5184x2920,16M
M126_generale_18.JPG	M126	8332	5184x2920,16M
M126_generale_19.JPG	M126	8368	5184x2920,16M
M126_generale_20.JPG	M126	8476	5184x2920,16M
M126_generale_21.JPG	M126	8495	5184x2920,16M
M126_generale_22.JPG	M126	8312	5184x2920,16M
M126_generale_23.JPG	M126	8312	5184x2920,16M
M126_generale_24.JPG	M126	8321	5184x2920,16M
M126_generale_25.JPG	M126	8491	5184x2920,16M
M126_generale_26.JPG	M126	8819	5184x2920,16M
M126_generale_27.JPG	M126	8348	5184x2920,16M
M126_generale_28.JPG	M126	8547	5184x2920,16M
M126_generale_29.JPG	M126	8529	5184x2920,16M
M126_generale_30.JPG	M126	8619	5184x2920,16M
M126_generale_31.JPG	M126	8407	5184x2920,16M
M126_generale_32.JPG	M126	8328	5184x2920,16M
M126_generale_33.JPG	M126	8264	5184x2920,16M
M126_generale_34.JPG	M126	8291	5184x2920,16M
M126_generale_35.JPG	M126	8191	5184x2920,16M
M126_generale_36.JPG	M126	8360	5184x2920,16M
M126_generale_37.JPG	M126	8770	5184x2920,16M
M126_generale_38.JPG	M126	8296	5184x2920,16M
M126_generale_39.JPG	M126	8118	5184x2920,16M
M126_generale_40.JPG	M126	6887	5184x2920,16M
M126_generale_41.JPG	M126	8495	5184x2920,16M
M126_generale_42.JPG	M126	8574	5184x2920,16M
M126_generale_43.JPG	M126	8268	5184x2920,16M
M126_generale_44.JPG	M126	8282	5184x2920,16M
M126_generale_45.JPG	M126	8122	5184x2920,16M
M126_generale_46.JPG	M126	8156	5184x2920,16M
M126_generale_47.JPG	M126	7302	5184x2920,16M
M126_generale_48.JPG	M126	8049	5184x2920,16M

num_photo	num_us	taille	format
M126_generale_49.JPG	M126	7641	5184x2920,16M
M126_generale_50.JPG	M126	8572	5184x2920,16M
M126_generale_51.JPG	M126	8464	5184x2920,16M
M126_generale_52.JPG	M126	8501	5184x2920,16M
M126_generale_53.JPG	M126	8085	5184x2920,16M
M126_generale_54.JPG	M126	8657	5184x2920,16M
M126_generale_55.JPG	M126	8575	5184x2920,16M
M126_generale_56.JPG	M126	8305	5184x2920,16M
M126_generale_57.JPG	M126	9160	5184x2920,16M
M126_generale_58.JPG	M126	9031	5184x2920,16M
M126_generale_59.JPG	M126	8478	5184x2920,16M
M126_generale_60.JPG	M126	8409	5184x2920,16M
M126_generale_61.JPG	M126	8242	5184x2920,16M
M126_generale_62.JPG	M126	8808	5184x2920,16M
M126_generale_63.JPG	M126	8326	5184x2920,16M
M126_generale_64.JPG	M126	8356	5184x2920,16M
M126_generale_65.JPG	M126	8164	5184x2920,16M
M126_generale_66.JPG	M126	8564	5184x2920,16M
M126_generale_67.JPG	M126	8382	5184x2920,16M
M126_generale_68.JPG	M126	8640	5184x2920,16M
M126_generale_69.JPG	M126	8832	5184x2920,16M
M126_generale_70.JPG	M126	8484	5184x2920,16M
M126_generale_71.JPG	M126	8835	5184x2920,16M
M126_generale_72.JPG	M126	8285	5184x2920,16M
M126_generale_73.JPG	M126	8237	5184x2920,16M
M126_generale_74.JPG	M126	8539	5184x2920,16M
M126_generale_75.JPG	M126	8256	5184x2920,16M
M126_generale_76.JPG	M126	8568	5184x2920,16M
M126_generale_77.JPG	M126	8423	5184x2920,16M
M126_generale_78.JPG	M126	8043	5184x2920,16M
M126_generale_79.JPG	M126	8411	5184x2920,16M
M126_generale_80.JPG	M126	7767	5184x2920,16M
M126_generale_81.JPG	M126	8312	5184x2920,16M
M126_generale_82.JPG	M126	8661	5184x2920,16M
M126_generale_83.JPG	M126	8696	5184x2920,16M
M126_generale_84.JPG	M126	8525	5184x2920,16M
M126_generale_85.JPG	M126	8656	5184x2920,16M
M126_generale_86.JPG	M126	8457	5184x2920,16M
M126_generale_87.JPG	M126	8688	5184x2920,16M
M126_generale_88.JPG	M126	8311	5184x2920,16M
M126_generale_89.JPG	M126	8446	5184x2920,16M
M126_generale_90.JPG	M126	8494	5184x2920,16M
M126_generale_91.JPG	M126	8735	5184x2920,16M
M126_generale_92.JPG	M126	9130	5184x2920,16M
M126_generale_93.JPG	M126	8297	5184x2920,16M
M126_generale_94.JPG	M126	8249	5184x2920,16M
M126_generale_95.JPG	M126	8781	5184x2920,16M
M126_generale_96.JPG	M126	8614	5184x2920,16M
M126_generale_97.JPG	M126	8989	5184x2920,16M
M126_generale_98.JPG	M126	9024	5184x2920,16M
M126_generale_99.JPG	M126	8857	5184x2920,16M
M127.JPG	M127	8733	5184x2920,16M
M127_02.JPG	M127	8424	5184x2920,16M
M127_03.JPG	M127	8762	5184x2920,16M
M127_04.JPG	M127	8635	5184x2920,16M

num_photo	num_us	taille	format
M127_05.JPG	M127	8905	5184x2920,16M
M127_06.JPG	M127	8835	5184x2920,16M
M127_07.JPG	M127	9015	5184x2920,16M
M127_08.JPG	M127	9006	5184x2920,16M
M127_09.JPG	M127	8640	5184x2920,16M
M127_10.JPG	M127	8442	5184x2920,16M
M127_100.JPG	M127	8868	5184x2920,16M
M127_101.JPG	M127	8248	5184x2920,16M
M127_102.JPG	M127	9035	5184x2920,16M
M127_103.JPG	M127	8794	5184x2920,16M
M127_104.JPG	M127	8679	5184x2920,16M
M127_105.JPG	M127	8695	5184x2920,16M
M127_106.JPG	M127	8639	5184x2920,16M
M127_107.JPG	M127	8483	5184x2920,16M
M127_108.JPG	M127	8450	5184x2920,16M
M127_109.JPG	M127	8491	5184x2920,16M
M127_11.JPG	M127	8370	5184x2920,16M
M127_110.JPG	M127	9097	5184x2920,16M
M127_111.JPG	M127	9115	5184x2920,16M
M127_112.JPG	M127	8977	5184x2920,16M
M127_113.JPG	M127	8826	5184x2920,16M
M127_114.JPG	M127	8903	5184x2920,16M
M127_115.JPG	M127	9013	5184x2920,16M
M127_116.JPG	M127	8535	5184x2920,16M
M127_117.JPG	M127	8525	5184x2920,16M
M127_118.JPG	M127	8669	5184x2920,16M
M127_119.JPG	M127	8769	5184x2920,16M
M127_12.JPG	M127	8620	5184x2920,16M
M127_120.JPG	M127	8583	5184x2920,16M
M127_121.JPG	M127	8676	5184x2920,16M
M127_122.JPG	M127	8601	5184x2920,16M
M127_123.JPG	M127	8350	5184x2920,16M
M127_124.JPG	M127	8536	5184x2920,16M
M127_125.JPG	M127	8735	5184x2920,16M
M127_13.JPG	M127	8595	5184x2920,16M
M127_14.JPG	M127	8360	5184x2920,16M
M127_15.JPG	M127	8338	5184x2920,16M
M127_16.JPG	M127	8433	5184x2920,16M
M127_17.JPG	M127	8754	5184x2920,16M
M127_18.JPG	M127	8747	5184x2920,16M
M127_19.JPG	M127	8688	5184x2920,16M
M127_20.JPG	M127	8415	5184x2920,16M
M127_21.JPG	M127	8401	5184x2920,16M
M127_22.JPG	M127	8247	5184x2920,16M
M127_23.JPG	M127	8348	5184x2920,16M
M127_24.JPG	M127	8396	5184x2920,16M
M127_25.JPG	M127	8232	5184x2920,16M
M127_26.JPG	M127	8645	5184x2920,16M
M127_27.JPG	M127	8922	5184x2920,16M
M127_28.JPG	M127	8518	5184x2920,16M
M127_29.JPG	M127	8540	5184x2920,16M
M127_30.JPG	M127	8494	5184x2920,16M
M127_31.JPG	M127	8047	5184x2920,16M
M127_32.JPG	M127	8761	5184x2920,16M
M127_33.JPG	M127	8030	5184x2920,16M

num_photo	num_us	taille	format
M127_34.JPG	M127	8106	5184x2920,16M
M127_35.JPG	M127	8393	5184x2920,16M
M127_36.JPG	M127	8325	5184x2920,16M
M127_37.JPG	M127	8269	5184x2920,16M
M127_38.JPG	M127	8473	5184x2920,16M
M127_39.JPG	M127	8804	5184x2920,16M
M127_40.JPG	M127	8303	5184x2920,16M
M127_41.JPG	M127	9105	5184x2920,16M
M127_42.JPG	M127	9170	5184x2920,16M
M127_43.JPG	M127	9041	5184x2920,16M
M127_44.JPG	M127	9044	5184x2920,16M
M127_45.JPG	M127	9014	5184x2920,16M
M127_46.JPG	M127	9065	5184x2920,16M
M127_47.JPG	M127	8642	5184x2920,16M
M127_48.JPG	M127	8894	5184x2920,16M
M127_49.JPG	M127	8820	5184x2920,16M
M127_50.JPG	M127	9150	5184x2920,16M
M127_51.JPG	M127	8470	5184x2920,16M
M127_52.JPG	M127	9147	5184x2920,16M
M127_53.JPG	M127	8818	5184x2920,16M
M127_54.JPG	M127	8807	5184x2920,16M
M127_55.JPG	M127	8820	5184x2920,16M
M127_56.JPG	M127	8485	5184x2920,16M
M127_57.JPG	M127	8402	5184x2920,16M
M127_58.JPG	M127	8679	5184x2920,16M
M127_59.JPG	M127	8484	5184x2920,16M
M127_60.JPG	M127	8277	5184x2920,16M
M127_61.JPG	M127	8361	5184x2920,16M
M127_62.JPG	M127	8602	5184x2920,16M
M127_63.JPG	M127	8691	5184x2920,16M
M127_64.JPG	M127	8407	5184x2920,16M
M127_65.JPG	M127	8850	5184x2920,16M
M127_66.JPG	M127	8729	5184x2920,16M
M127_67.JPG	M127	8927	5184x2920,16M
M127_68.JPG	M127	9097	5184x2920,16M
M127_69.JPG	M127	8547	5184x2920,16M
M127_70.JPG	M127	8394	5184x2920,16M
M127_71.JPG	M127	8382	5184x2920,16M
M127_72.JPG	M127	8922	5184x2920,16M
M127_73.JPG	M127	8595	5184x2920,16M
M127_74.JPG	M127	8506	5184x2920,16M
M127_75.JPG	M127	8199	5184x2920,16M
M127_76.JPG	M127	9057	5184x2920,16M
M127_77.JPG	M127	8559	5184x2920,16M
M127_78.JPG	M127	8667	5184x2920,16M
M127_79.JPG	M127	8449	5184x2920,16M
M127_80.JPG	M127	8755	5184x2920,16M
M127_81.JPG	M127	8753	5184x2920,16M
M127_82.JPG	M127	8702	5184x2920,16M
M127_83.JPG	M127	8608	5184x2920,16M
M127_84.JPG	M127	8636	5184x2920,16M
M127_85.JPG	M127	8310	5184x2920,16M
M127_86.JPG	M127	8518	5184x2920,16M
M127_87.JPG	M127	8564	5184x2920,16M
M127_88.JPG	M127	8174	5184x2920,16M

num_photo	num_us	taille	format
M127_89.JPG	M127	8655	5184x2920,16M
M127_90.JPG	M127	8524	5184x2920,16M
M127_91.JPG	M127	8617	5184x2920,16M
M127_92.JPG	M127	8597	5184x2920,16M
M127_93.JPG	M127	8386	5184x2920,16M
M127_94.JPG	M127	9021	5184x2920,16M
M127_95.JPG	M127	8773	5184x2920,16M
M127_96.JPG	M127	8626	5184x2920,16M
M127_97.JPG	M127	8391	5184x2920,16M
M127_98.JPG	M127	8662	5184x2920,16M
M127_99.JPG	M127	8765	5184x2920,16M
M128_899.JPG	M128	8644	5184x2920,16M
M128_899_02.JPG	M128	8359	5184x2920,16M
M128_899_03.JPG	M128	8869	5184x2920,16M
M128_899_04.JPG	M128	8862	5184x2920,16M
M128_899_05.JPG	M128	8498	5184x2920,16M
M128_899_06.JPG	M128	8716	5184x2920,16M
M128_899_07.JPG	M128	8714	5184x2920,16M
M128_899_08.JPG	M128	9189	5184x2920,16M
M128_899_09.JPG	M128	9146	5184x2920,16M
M128_899_10.JPG	M128	8796	5184x2920,16M
M128_899_11.JPG	M128	8775	5184x2920,16M
M128_899_12.JPG	M128	8474	5184x2920,16M
M128_899_13.JPG	M128	8763	5184x2920,16M
M128_899_14.JPG	M128	8391	5184x2920,16M
M128_899_15.JPG	M128	8613	5184x2920,16M
M128_899_16.JPG	M128	9022	5184x2920,16M
M128_899_17.JPG	M128	8932	5184x2920,16M
M128_899_18.JPG	M128	8742	5184x2920,16M
M128_899_19.JPG	M128	8745	5184x2920,16M
M128_899_20.JPG	M128	8636	5184x2920,16M
M128_899_21.JPG	M128	8725	5184x2920,16M
M128_899_22.JPG	M128	8709	5184x2920,16M
M128_899_23.JPG	M128	8397	5184x2920,16M
M128_899_24.JPG	M128	8822	5184x2920,16M
M128_899_25.JPG	M128	8714	5184x2920,16M
M128_899_26.JPG	M128	8950	5184x2920,16M
M128_899_27.JPG	M128	8518	5184x2920,16M
M128_899_28.JPG	M128	8530	5184x2920,16M
M128_899_29.JPG	M128	9219	5184x2920,16M
M128_899_30.JPG	M128	8953	5184x2920,16M
M128_899_31.JPG	M128	8923	5184x2920,16M
M128_899_32.JPG	M128	8860	5184x2920,16M
M128_899_33.JPG	M128	8607	5184x2920,16M
M128_899_34.JPG	M128	8858	5184x2920,16M
M128_899_35.JPG	M128	8878	5184x2920,16M
M128_899_36.JPG	M128	8445	5184x2920,16M
M128_899_37.JPG	M128	9146	5184x2920,16M
M128_899_38.JPG	M128	9029	5184x2920,16M
M128_899_39.JPG	M128	8791	5184x2920,16M
M128_899_40.JPG	M128	8778	5184x2920,16M
M128_899_41.JPG	M128	8771	5184x2920,16M
M128_899_42.JPG	M128	8925	5184x2920,16M
M128_899_43.JPG	M128	8825	5184x2920,16M
M128_899_44.JPG	M128	8784	5184x2920,16M

num_photo	num_us	taille	format
M128_899_45.JPG	M128	8843	5184x2920,16M
M128_899_46.JPG	M128	8412	5184x2920,16M
M128_899_47.JPG	M128	8847	5184x2920,16M
M128_899_48.JPG	M128	8747	5184x2920,16M
M128_899_49.JPG	M128	8187	5184x2920,16M
M128_899_50.JPG	M128	8697	5184x2920,16M
M128_899_51.JPG	M128	8312	5184x2920,16M
M128_899_52.JPG	M128	8263	5184x2920,16M
M128_899_53.JPG	M128	8850	5184x2920,16M
M128_899_54.JPG	M128	8239	5184x2920,16M
M128_899_55.JPG	M128	8671	5184x2920,16M
M128_899_56.JPG	M128	8726	5184x2920,16M
M128_899_57.JPG	M128	8542	5184x2920,16M
M128_899_58.JPG	M128	8827	5184x2920,16M
M128_899_59.JPG	M128	8552	5184x2920,16M
M128_899_60.JPG	M128	8793	5184x2920,16M
M128_899_61.JPG	M128	8666	5184x2920,16M
M128_899_62.JPG	M128	8568	5184x2920,16M
M128_899_63.JPG	M128	8838	5184x2920,16M
M128_899_64.JPG	M128	8587	5184x2920,16M
M128_899_65.JPG	M128	8785	5184x2920,16M
M128_899_66.JPG	M128	8353	5184x2920,16M
M128_899_67.JPG	M128	8316	5184x2920,16M
M128_899_68.JPG	M128	8581	5184x2920,16M
M128_899_69.JPG	M128	8710	5184x2920,16M
M128_899_70.JPG	M128	9040	5184x2920,16M
M128_899_71.JPG	M128	8924	5184x2920,16M
M128_899_72.JPG	M128	8329	5184x2920,16M
M128_899_73.JPG	M128	8677	5184x2920,16M
M128_899_74.JPG	M128	8944	5184x2920,16M
M128_899_75.JPG	M128	8602	5184x2920,16M
M128_899_76.JPG	M128	8430	5184x2920,16M
M128_899_77.JPG	M128	9050	5184x2920,16M
M128_899_78.JPG	M128	8617	5184x2920,16M
M128_899_79.JPG	M128	8507	5184x2920,16M
M128_899_80.JPG	M128	8499	5184x2920,16M
M128_899_81.JPG	M128	8303	5184x2920,16M
M128_899_82.JPG	M128	8645	5184x2920,16M
M128_899_83.JPG	M128	8887	5184x2920,16M
M128_899_84.JPG	M128	8977	5184x2920,16M
M128_899_85.JPG	M128	8384	5184x2920,16M
M128_899_86.JPG	M128	8581	5184x2920,16M
M128_899_87.JPG	M128	8694	5184x2920,16M
M128_899_88.JPG	M128	8504	5184x2920,16M
M128_899_89.JPG	M128	8442	5184x2920,16M
M128_899_90.JPG	M128	8368	5184x2920,16M
M128_899_91.JPG	M128	8242	5184x2920,16M
M128_899_92.JPG	M128	8343	5184x2920,16M
M128_899_93.JPG	M128	8800	5184x2920,16M
M128_899_94.JPG	M128	8852	5184x2920,16M
M128_899_95.JPG	M128	8645	5184x2920,16M
M129.JPG	M129	8662	5184x2920,16M
M129_02.JPG	M129	8602	5184x2920,16M
M129_03.JPG	M129	8819	5184x2920,16M
M129_04.JPG	M129	9007	5184x2920,16M

num_photo	num_us	taille	format
M129_05.JPG	M129	9055	5184x2920,16M
M129_06.JPG	M129	8766	5184x2920,16M
M129_07.JPG	M129	8409	5184x2920,16M
M129_08.JPG	M129	8557	5184x2920,16M
M129_09.JPG	M129	8444	5184x2920,16M
M129_10.JPG	M129	8839	5184x2920,16M
M129_100.JPG	M129	8971	5184x2920,16M
M129_101.JPG	M129	9171	5184x2920,16M
M129_102.JPG	M129	8582	5184x2920,16M
M129_103.JPG	M129	8413	5184x2920,16M
M129_104.JPG	M129	8548	5184x2920,16M
M129_105.JPG	M129	8673	5184x2920,16M
M129_106.JPG	M129	8658	5184x2920,16M
M129_107.JPG	M129	8606	5184x2920,16M
M129_108.JPG	M129	8732	5184x2920,16M
M129_109.JPG	M129	8890	5184x2920,16M
M129_11.JPG	M129	8441	5184x2920,16M
M129_110.JPG	M129	9037	5184x2920,16M
M129_111.JPG	M129	8956	5184x2920,16M
M129_112.JPG	M129	8671	5184x2920,16M
M129_113.JPG	M129	8385	5184x2920,16M
M129_114.JPG	M129	8230	5184x2920,16M
M129_115.JPG	M129	9134	5184x2920,16M
M129_116.JPG	M129	8450	5184x2920,16M
M129_117.JPG	M129	8593	5184x2920,16M
M129_118.JPG	M129	8566	5184x2920,16M
M129_119.JPG	M129	8554	5184x2920,16M
M129_12.JPG	M129	8466	5184x2920,16M
M129_120.JPG	M129	8443	5184x2920,16M
M129_121.JPG	M129	8588	5184x2920,16M
M129_122.JPG	M129	8605	5184x2920,16M
M129_123.JPG	M129	8835	5184x2920,16M
M129_124.JPG	M129	8909	5184x2920,16M
M129_125.JPG	M129	8785	5184x2920,16M
M129_126.JPG	M129	8816	5184x2920,16M
M129_127.JPG	M129	8975	5184x2920,16M
M129_128.JPG	M129	8509	5184x2920,16M
M129_129.JPG	M129	8555	5184x2920,16M
M129_13.JPG	M129	8010	5184x2920,16M
M129_130.JPG	M129	8653	5184x2920,16M
M129_131.JPG	M129	8248	5184x2920,16M
M129_132.JPG	M129	8652	5184x2920,16M
M129_133.JPG	M129	8627	5184x2920,16M
M129_134.JPG	M129	8427	5184x2920,16M
M129_135.JPG	M129	8481	5184x2920,16M
M129_136.JPG	M129	8202	5184x2920,16M
M129_137.JPG	M129	8685	5184x2920,16M
M129_138.JPG	M129	9045	5184x2920,16M
M129_139.JPG	M129	9231	5184x2920,16M
M129_14.JPG	M129	8185	5184x2920,16M
M129_140.JPG	M129	9057	5184x2920,16M
M129_141.JPG	M129	8921	5184x2920,16M
M129_142.JPG	M129	9057	5184x2920,16M
M129_143.JPG	M129	8663	5184x2920,16M
M129_144.JPG	M129	8578	5184x2920,16M

num_photo	num_us	taille	format
M129_145.JPG	M129	8537	5184x2920,16M
M129_15.JPG	M129	8008	5184x2920,16M
M129_16.JPG	M129	8280	5184x2920,16M
M129_17.JPG	M129	8747	5184x2920,16M
M129_18.JPG	M129	8926	5184x2920,16M
M129_19.JPG	M129	8420	5184x2920,16M
M129_20.JPG	M129	8856	5184x2920,16M
M129_21.JPG	M129	8353	5184x2920,16M
M129_22.JPG	M129	8186	5184x2920,16M
M129_23.JPG	M129	8605	5184x2920,16M
M129_24.JPG	M129	8211	5184x2920,16M
M129_25.JPG	M129	8241	5184x2920,16M
M129_26.JPG	M129	8522	5184x2920,16M
M129_27.JPG	M129	8723	5184x2920,16M
M129_28.JPG	M129	8640	5184x2920,16M
M129_29.JPG	M129	8408	5184x2920,16M
M129_30.JPG	M129	8231	5184x2920,16M
M129_31.JPG	M129	8646	5184x2920,16M
M129_32.JPG	M129	8462	5184x2920,16M
M129_33.JPG	M129	8537	5184x2920,16M
M129_34.JPG	M129	8733	5184x2920,16M
M129_35.JPG	M129	9004	5184x2920,16M
M129_36.JPG	M129	8689	5184x2920,16M
M129_37.JPG	M129	8666	5184x2920,16M
M129_38.JPG	M129	8645	5184x2920,16M
M129_39.JPG	M129	8368	5184x2920,16M
M129_40.JPG	M129	8664	5184x2920,16M
M129_41.JPG	M129	8559	5184x2920,16M
M129_42.JPG	M129	8456	5184x2920,16M
M129_43.JPG	M129	8256	5184x2920,16M
M129_44.JPG	M129	8176	5184x2920,16M
M129_45.JPG	M129	8546	5184x2920,16M
M129_46.JPG	M129	8417	5184x2920,16M
M129_47.JPG	M129	8580	5184x2920,16M
M129_48.JPG	M129	8339	5184x2920,16M
M129_49.JPG	M129	9033	5184x2920,16M
M129_50.JPG	M129	8534	5184x2920,16M
M129_51.JPG	M129	8428	5184x2920,16M
M129_52.JPG	M129	8268	5184x2920,16M
M129_53.JPG	M129	8483	5184x2920,16M
M129_54.JPG	M129	8564	5184x2920,16M
M129_55.JPG	M129	8374	5184x2920,16M
M129_56.JPG	M129	8885	5184x2920,16M
M129_57.JPG	M129	8879	5184x2920,16M
M129_58.JPG	M129	8534	5184x2920,16M
M129_59.JPG	M129	8381	5184x2920,16M
M129_60.JPG	M129	8838	5184x2920,16M
M129_61.JPG	M129	8657	5184x2920,16M
M129_62.JPG	M129	8826	5184x2920,16M
M129_63.JPG	M129	8472	5184x2920,16M
M129_64.JPG	M129	8665	5184x2920,16M
M129_65.JPG	M129	8546	5184x2920,16M
M129_66.JPG	M129	8523	5184x2920,16M
M129_67.JPG	M129	8932	5184x2920,16M
M129_68.JPG	M129	8539	5184x2920,16M

num_photo	num_us	taille	format
M129_69.JPG	M129	8653	5184x2920,16M
M129_70.JPG	M129	8500	5184x2920,16M
M129_71.JPG	M129	8579	5184x2920,16M
M129_72.JPG	M129	8712	5184x2920,16M
M129_73.JPG	M129	8444	5184x2920,16M
M129_74.JPG	M129	8845	5184x2920,16M
M129_75.JPG	M129	8956	5184x2920,16M
M129_76.JPG	M129	8586	5184x2920,16M
M129_77.JPG	M129	8859	5184x2920,16M
M129_78.JPG	M129	8393	5184x2920,16M
M129_79.JPG	M129	8748	5184x2920,16M
M129_80.JPG	M129	8821	5184x2920,16M
M129_81.JPG	M129	8547	5184x2920,16M
M129_82.JPG	M129	9067	5184x2920,16M
M129_83.JPG	M129	8431	5184x2920,16M
M129_84.JPG	M129	8615	5184x2920,16M
M129_85.JPG	M129	8730	5184x2920,16M
M129_86.JPG	M129	8635	5184x2920,16M
M129_87.JPG	M129	8673	5184x2920,16M
M129_88.JPG	M129	8664	5184x2920,16M
M129_89.JPG	M129	8536	5184x2920,16M
M129_90.JPG	M129	8535	5184x2920,16M
M129_91.JPG	M129	8134	5184x2920,16M
M129_92.JPG	M129	8412	5184x2920,16M
M129_93.JPG	M129	8640	5184x2920,16M
M129_94.JPG	M129	8801	5184x2920,16M
M129_95.JPG	M129	8740	5184x2920,16M
M129_96.JPG	M129	8804	5184x2920,16M
M129_97.JPG	M129	8686	5184x2920,16M
M129_98.JPG	M129	8753	5184x2920,16M
M129_99.JPG	M129	9026	5184x2920,16M
M130.JPG	M130	4876	5184x2920,16M
M130_02.JPG	M130	8425	5184x2920,16M
M130_03.JPG	M130	8315	5184x2920,16M
M130_04.JPG	M130	8765	5184x2920,16M
M130_05.JPG	M130	8864	5184x2920,16M
M130_06.JPG	M130	8608	5184x2920,16M
M130_07.JPG	M130	8412	5184x2920,16M
M130_08.JPG	M130	8971	5184x2920,16M
M130_09.JPG	M130	9006	5184x2920,16M
M130_10.JPG	M130	8666	5184x2920,16M
M130_100.JPG	M130	8404	5184x2920,16M
M130_101.JPG	M130	8841	5184x2920,16M
M130_102.JPG	M130	8097	5184x2920,16M
M130_11.JPG	M130	8309	5184x2920,16M
M130_12.JPG	M130	8293	5184x2920,16M
M130_13.JPG	M130	8157	5184x2920,16M
M130_14.JPG	M130	8541	5184x2920,16M
M130_15.JPG	M130	8699	5184x2920,16M
M130_16.JPG	M130	8785	5184x2920,16M
M130_17.JPG	M130	8909	5184x2920,16M
M130_18.JPG	M130	9038	5184x2920,16M
M130_19.JPG	M130	8545	5184x2920,16M
M130_20.JPG	M130	8554	5184x2920,16M
M130_21.JPG	M130	8460	5184x2920,16M

num_photo	num_us	taille	format
M130_22.JPG	M130	8850	5184x2920,16M
M130_23.JPG	M130	8599	5184x2920,16M
M130_24.JPG	M130	8180	5184x2920,16M
M130_25.JPG	M130	8468	5184x2920,16M
M130_26.JPG	M130	8833	5184x2920,16M
M130_27.JPG	M130	8502	5184x2920,16M
M130_28.JPG	M130	8922	5184x2920,16M
M130_29.JPG	M130	8251	5184x2920,16M
M130_30.JPG	M130	8802	5184x2920,16M
M130_31.JPG	M130	8424	5184x2920,16M
M130_32.JPG	M130	8563	5184x2920,16M
M130_33.JPG	M130	8256	5184x2920,16M
M130_34.JPG	M130	8964	5184x2920,16M
M130_35.JPG	M130	7813	5184x2920,16M
M130_36.JPG	M130	8461	5184x2920,16M
M130_37.JPG	M130	8194	5184x2920,16M
M130_38.JPG	M130	8424	5184x2920,16M
M130_39.JPG	M130	8269	5184x2920,16M
M130_40.JPG	M130	8559	5184x2920,16M
M130_41.JPG	M130	8132	5184x2920,16M
M130_42.JPG	M130	8914	5184x2920,16M
M130_43.JPG	M130	8738	5184x2920,16M
M130_44.JPG	M130	9079	5184x2920,16M
M130_45.JPG	M130	8167	5184x2920,16M
M130_46.JPG	M130	8495	5184x2920,16M
M130_47.JPG	M130	8010	5184x2920,16M
M130_48.JPG	M130	8420	5184x2920,16M
M130_49.JPG	M130	8721	5184x2920,16M
M130_50.JPG	M130	8475	5184x2920,16M
M130_51.JPG	M130	8407	5184x2920,16M
M130_52.JPG	M130	8812	5184x2920,16M
M130_53.JPG	M130	8421	5184x2920,16M
M130_54.JPG	M130	8129	5184x2920,16M
M130_55.JPG	M130	8866	5184x2920,16M
M130_56.JPG	M130	8262	5184x2920,16M
M130_57.JPG	M130	8968	5184x2920,16M
M130_58.JPG	M130	8638	5184x2920,16M
M130_59.JPG	M130	8559	5184x2920,16M
M130_60.JPG	M130	8412	5184x2920,16M
M130_61.JPG	M130	8108	5184x2920,16M
M130_62.JPG	M130	8514	5184x2920,16M
M130_63.JPG	M130	8660	5184x2920,16M
M130_64.JPG	M130	8469	5184x2920,16M
M130_65.JPG	M130	8203	5184x2920,16M
M130_66.JPG	M130	8160	5184x2920,16M
M130_67.JPG	M130	8165	5184x2920,16M
M130_68.JPG	M130	8586	5184x2920,16M
M130_69.JPG	M130	8447	5184x2920,16M
M130_70.JPG	M130	8298	5184x2920,16M
M130_71.JPG	M130	8672	5184x2920,16M
M130_72.JPG	M130	8750	5184x2920,16M
M130_73.JPG	M130	8225	5184x2920,16M
M130_74.JPG	M130	8279	5184x2920,16M
M130_75.JPG	M130	8581	5184x2920,16M
M130_76.JPG	M130	8498	5184x2920,16M

num_photo	num_us	taille	format
M130_77.JPG	M130	8802	5184x2920,16M
M130_78.JPG	M130	8609	5184x2920,16M
M130_79.JPG	M130	8523	5184x2920,16M
M130_80.JPG	M130	8350	5184x2920,16M
M130_81.JPG	M130	8396	5184x2920,16M
M130_82.JPG	M130	8296	5184x2920,16M
M130_83.JPG	M130	8320	5184x2920,16M
M130_84.JPG	M130	8589	5184x2920,16M
M130_85.JPG	M130	8116	5184x2920,16M
M130_86.JPG	M130	8626	5184x2920,16M
M130_87.JPG	M130	8616	5184x2920,16M
M130_88.JPG	M130	8554	5184x2920,16M
M130_89.JPG	M130	8707	5184x2920,16M
M130_90.JPG	M130	8598	5184x2920,16M
M130_91.JPG	M130	8676	5184x2920,16M
M130_92.JPG	M130	8079	5184x2920,16M
M130_93.JPG	M130	8944	5184x2920,16M
M130_94.JPG	M130	8418	5184x2920,16M
M130_95.JPG	M130	8921	5184x2920,16M
M130_96.JPG	M130	8208	5184x2920,16M
M130_97.JPG	M130	8628	5184x2920,16M
M130_98.JPG	M130	8444	5184x2920,16M
M130_99.JPG	M130	8389	5184x2920,16M
M131.JPG	M131	8632	5184x2920,16M
M131_02.JPG	M131	8400	5184x2920,16M
M131_03.JPG	M131	8988	5184x2920,16M
M131_04.JPG	M131	8584	5184x2920,16M
M131_05.JPG	M131	9086	5184x2920,16M
M131_06.JPG	M131	8431	5184x2920,16M
M131_07.JPG	M131	9191	5184x2920,16M
M131_08.JPG	M131	8492	5184x2920,16M
M131_09.JPG	M131	8763	5184x2920,16M
M131_10.JPG	M131	8328	5184x2920,16M
M131_100.JPG	M131	8590	5184x2920,16M
M131_101.JPG	M131	8454	5184x2920,16M
M131_102.JPG	M131	8734	5184x2920,16M
M131_103.JPG	M131	8433	5184x2920,16M
M131_104.JPG	M131	8722	5184x2920,16M
M131_105.JPG	M131	8236	5184x2920,16M
M131_106.JPG	M131	8537	5184x2920,16M
M131_107.JPG	M131	8445	5184x2920,16M
M131_108.JPG	M131	8268	5184x2920,16M
M131_109.JPG	M131	8495	5184x2920,16M
M131_11.JPG	M131	8896	5184x2920,16M
M131_110.JPG	M131	8746	5184x2920,16M
M131_111.JPG	M131	8632	5184x2920,16M
M131_112.JPG	M131	8900	5184x2920,16M
M131_113.JPG	M131	8330	5184x2920,16M
M131_114.JPG	M131	8517	5184x2920,16M
M131_115.JPG	M131	8786	5184x2920,16M
M131_116.JPG	M131	8367	5184x2920,16M
M131_117.JPG	M131	8316	5184x2920,16M
M131_118.JPG	M131	8217	5184x2920,16M
M131_119.JPG	M131	8545	5184x2920,16M
M131_12.JPG	M131	8684	5184x2920,16M

num_photo	num_us	taille	format
M131_120.JPG	M131	8295	5184x2920,16M
M131_13.JPG	M131	8686	5184x2920,16M
M131_14.JPG	M131	8214	5184x2920,16M
M131_15.JPG	M131	8012	5184x2920,16M
M131_16.JPG	M131	8504	5184x2920,16M
M131_17.JPG	M131	8660	5184x2920,16M
M131_18.JPG	M131	8373	5184x2920,16M
M131_19.JPG	M131	9139	5184x2920,16M
M131_20.JPG	M131	8380	5184x2920,16M
M131_21.JPG	M131	8690	5184x2920,16M
M131_22.JPG	M131	8094	5184x2920,16M
M131_23.JPG	M131	8840	5184x2920,16M
M131_24.JPG	M131	8763	5184x2920,16M
M131_25.JPG	M131	8269	5184x2920,16M
M131_26.JPG	M131	8843	5184x2920,16M
M131_27.JPG	M131	8717	5184x2920,16M
M131_28.JPG	M131	8426	5184x2920,16M
M131_29.JPG	M131	8190	5184x2920,16M
M131_30.JPG	M131	8469	5184x2920,16M
M131_31.JPG	M131	8888	5184x2920,16M
M131_32.JPG	M131	8272	5184x2920,16M
M131_33.JPG	M131	8736	5184x2920,16M
M131_34.JPG	M131	8362	5184x2920,16M
M131_35.JPG	M131	7991	5184x2920,16M
M131_36.JPG	M131	8327	5184x2920,16M
M131_37.JPG	M131	8772	5184x2920,16M
M131_38.JPG	M131	8049	5184x2920,16M
M131_39.JPG	M131	8572	5184x2920,16M
M131_40.JPG	M131	8593	5184x2920,16M
M131_41.JPG	M131	8502	5184x2920,16M
M131_42.JPG	M131	7975	5184x2920,16M
M131_43.JPG	M131	8763	5184x2920,16M
M131_44.JPG	M131	8590	5184x2920,16M
M131_45.JPG	M131	8634	5184x2920,16M
M131_46.JPG	M131	9082	5184x2920,16M
M131_47.JPG	M131	8552	5184x2920,16M
M131_48.JPG	M131	8634	5184x2920,16M
M131_49.JPG	M131	8557	5184x2920,16M
M131_50.JPG	M131	8551	5184x2920,16M
M131_51.JPG	M131	8556	5184x2920,16M
M131_52.JPG	M131	8473	5184x2920,16M
M131_53.JPG	M131	8600	5184x2920,16M
M131_54.JPG	M131	8330	5184x2920,16M
M131_55.JPG	M131	8511	5184x2920,16M
M131_56.JPG	M131	8581	5184x2920,16M
M131_57.JPG	M131	8839	5184x2920,16M
M131_58.JPG	M131	8635	5184x2920,16M
M131_59.JPG	M131	8459	5184x2920,16M
M131_60.JPG	M131	8553	5184x2920,16M
M131_61.JPG	M131	8650	5184x2920,16M
M131_62.JPG	M131	8675	5184x2920,16M
M131_63.JPG	M131	8958	5184x2920,16M
M131_64.JPG	M131	8524	5184x2920,16M
M131_65.JPG	M131	8616	5184x2920,16M
M131_66.JPG	M131	8459	5184x2920,16M

num_photo	num_us	taille	format
M131_67.JPG	M131	8607	5184x2920,16M
M131_68.JPG	M131	8221	5184x2920,16M
M131_69.JPG	M131	8446	5184x2920,16M
M131_70.JPG	M131	8571	5184x2920,16M
M131_71.JPG	M131	8467	5184x2920,16M
M131_72.JPG	M131	8666	5184x2920,16M
M131_73.JPG	M131	8668	5184x2920,16M
M131_74.JPG	M131	8493	5184x2920,16M
M131_75.JPG	M131	8620	5184x2920,16M
M131_76.JPG	M131	8738	5184x2920,16M
M131_77.JPG	M131	8012	5184x2920,16M
M131_78.JPG	M131	8881	5184x2920,16M
M131_79.JPG	M131	8866	5184x2920,16M
M131_80.JPG	M131	8930	5184x2920,16M
M131_81.JPG	M131	8728	5184x2920,16M
M131_82.JPG	M131	9123	5184x2920,16M
M131_83.JPG	M131	8983	5184x2920,16M
M131_84.JPG	M131	8793	5184x2920,16M
M131_85.JPG	M131	8843	5184x2920,16M
M131_86.JPG	M131	8381	5184x2920,16M
M131_87.JPG	M131	8395	5184x2920,16M
M131_88.JPG	M131	8225	5184x2920,16M
M131_89.JPG	M131	8143	5184x2920,16M
M131_90.JPG	M131	8398	5184x2920,16M
M131_91.JPG	M131	8475	5184x2920,16M
M131_92.JPG	M131	8359	5184x2920,16M
M131_93.JPG	M131	8586	5184x2920,16M
M131_94.JPG	M131	8346	5184x2920,16M
M131_95.JPG	M131	8482	5184x2920,16M
M131_96.JPG	M131	7941	5184x2920,16M
M131_97.JPG	M131	8799	5184x2920,16M
M131_98.JPG	M131	7890	5184x2920,16M
M131_99.JPG	M131	8299	5184x2920,16M
M132.JPG	M132	8617	5184x2920,16M
M132_02.JPG	M132	9127	5184x2920,16M
M132_03.JPG	M132	9025	5184x2920,16M
M132_04.JPG	M132	8519	5184x2920,16M
M132_05.JPG	M132	8654	5184x2920,16M
M132_06.JPG	M132	9135	5184x2920,16M
M132_07.JPG	M132	8822	5184x2920,16M
M132_08.JPG	M132	9019	5184x2920,16M
M132_09.JPG	M132	8449	5184x2920,16M
M132_10.JPG	M132	8741	5184x2920,16M
M132_11.JPG	M132	8647	5184x2920,16M
M132_12.JPG	M132	8819	5184x2920,16M
M132_13.JPG	M132	8835	5184x2920,16M
M132_14.JPG	M132	8729	5184x2920,16M
M132_15.JPG	M132	8734	5184x2920,16M
M132_16.JPG	M132	8499	5184x2920,16M
M132_17.JPG	M132	8647	5184x2920,16M
M132_18.JPG	M132	8715	5184x2920,16M
M132_19.JPG	M132	8636	5184x2920,16M
M132_20.JPG	M132	8757	5184x2920,16M
M132_21.JPG	M132	8844	5184x2920,16M
M132_22.JPG	M132	8608	5184x2920,16M

num_photo	num_us	taille	format
M132_23.JPG	M132	8611	5184x2920,16M
M132_24.JPG	M132	8499	5184x2920,16M
M132_25.JPG	M132	8423	5184x2920,16M
M132_26.JPG	M132	8440	5184x2920,16M
M132_27.JPG	M132	8882	5184x2920,16M
M132_28.JPG	M132	8766	5184x2920,16M
M132_29.JPG	M132	8821	5184x2920,16M
M132_30.JPG	M132	8433	5184x2920,16M
M132_31.JPG	M132	8950	5184x2920,16M
M132_32.JPG	M132	8815	5184x2920,16M
M132_33.JPG	M132	8823	5184x2920,16M
M132_34.JPG	M132	8832	5184x2920,16M
M132_35.JPG	M132	8675	5184x2920,16M
M132_36.JPG	M132	8568	5184x2920,16M
M132_37.JPG	M132	8844	5184x2920,16M
M132_38.JPG	M132	8573	5184x2920,16M
M132_39.JPG	M132	8464	5184x2920,16M
M132_40.JPG	M132	8018	5184x2920,16M
M132_41.JPG	M132	8369	5184x2920,16M
M132_42.JPG	M132	8492	5184x2920,16M
M132_43.JPG	M132	8142	5184x2920,16M
M132_44.JPG	M132	8348	5184x2920,16M
M132_45.JPG	M132	8470	5184x2920,16M
M132_46.JPG	M132	8529	5184x2920,16M
M132_47.JPG	M132	8392	5184x2920,16M
M132_48.JPG	M132	9132	5184x2920,16M
M132_49.JPG	M132	8376	5184x2920,16M
M132_50.JPG	M132	8465	5184x2920,16M
M132_51.JPG	M132	8872	5184x2920,16M
M132_52.JPG	M132	8824	5184x2920,16M
M132_53.JPG	M132	8671	5184x2920,16M
M132_54.JPG	M132	8402	5184x2920,16M
M132_55.JPG	M132	8464	5184x2920,16M
M132_56.JPG	M132	8372	5184x2920,16M
M132_57.JPG	M132	8360	5184x2920,16M
M132_58.JPG	M132	8376	5184x2920,16M
M132_59.JPG	M132	8962	5184x2920,16M
M132_60.JPG	M132	8509	5184x2920,16M
M132_61.JPG	M132	8483	5184x2920,16M
M132_62.JPG	M132	8721	5184x2920,16M
M132_63.JPG	M132	8594	5184x2920,16M
M132_64.JPG	M132	8787	5184x2920,16M
M132_65.JPG	M132	8602	5184x2920,16M
M132_66.JPG	M132	8224	5184x2920,16M
M132_67.JPG	M132	8928	5184x2920,16M
M132_68.JPG	M132	9014	5184x2920,16M
M132_69.JPG	M132	8584	5184x2920,16M
M132_70.JPG	M132	8141	5184x2920,16M
M132_71.JPG	M132	8815	5184x2920,16M
M132_72.JPG	M132	8641	5184x2920,16M
M132_73.JPG	M132	8084	5184x2920,16M
M132_74.JPG	M132	8365	5184x2920,16M
M132_75.JPG	M132	8126	5184x2920,16M
M132_76.JPG	M132	8284	5184x2920,16M
M132_77.JPG	M132	8603	5184x2920,16M

num_photo	num_us	taille	format
M132_78.JPG	M132	8404	5184x2920,16M
M132_79.JPG	M132	8628	5184x2920,16M
M132_80.JPG	M132	8291	5184x2920,16M
M132_81.JPG	M132	8417	5184x2920,16M
M132_82.JPG	M132	8909	5184x2920,16M
M132_83.JPG	M132	8368	5184x2920,16M
M132_84.JPG	M132	8823	5184x2920,16M
M132_85.JPG	M132	8575	5184x2920,16M
M133_generale.JPG	M133	8605	5184x2920,16M
M133_generale_02.JPG	M133	8785	5184x2920,16M
M133_generale_03.JPG	M133	8355	5184x2920,16M
M133_generale_04.JPG	M133	8345	5184x2920,16M
M133_generale_05.JPG	M133	8457	5184x2920,16M
M133_generale_06.JPG	M133	8496	5184x2920,16M
M133_generale_07.JPG	M133	8621	5184x2920,16M
M133_generale_08.JPG	M133	8222	5184x2920,16M
M133_generale_09.JPG	M133	8781	5184x2920,16M
M133_generale_10.JPG	M133	8742	5184x2920,16M
M133_generale_100.JPG	M133	8167	5184x2920,16M
M133_generale_101.JPG	M133	8344	5184x2920,16M
M133_generale_102.JPG	M133	8593	5184x2920,16M
M133_generale_103.JPG	M133	8776	5184x2920,16M
M133_generale_104.JPG	M133	8409	5184x2920,16M
M133_generale_105.JPG	M133	8119	5184x2920,16M
M133_generale_106.JPG	M133	8131	5184x2920,16M
M133_generale_107.JPG	M133	8258	5184x2920,16M
M133_generale_108.JPG	M133	8696	5184x2920,16M
M133_generale_109.JPG	M133	8337	5184x2920,16M
M133_generale_11.JPG	M133	8824	5184x2920,16M
M133_generale_110.JPG	M133	8154	5184x2920,16M
M133_generale_111.JPG	M133	8301	5184x2920,16M
M133_generale_112.JPG	M133	8016	5184x2920,16M
M133_generale_113.JPG	M133	8004	5184x2920,16M
M133_generale_114.JPG	M133	7928	5184x2920,16M
M133_generale_115.JPG	M133	8579	5184x2920,16M
M133_generale_116.JPG	M133	8595	5184x2920,16M
M133_generale_117.JPG	M133	8427	5184x2920,16M
M133_generale_118.JPG	M133	8721	5184x2920,16M
M133_generale_119.JPG	M133	8329	5184x2920,16M
M133_generale_12.JPG	M133	8255	5184x2920,16M
M133_generale_120.JPG	M133	8444	5184x2920,16M
M133_generale_121.JPG	M133	8512	5184x2920,16M
M133_generale_122.JPG	M133	8473	5184x2920,16M
M133_generale_123.JPG	M133	8715	5184x2920,16M
M133_generale_124.JPG	M133	8538	5184x2920,16M
M133_generale_125.JPG	M133	8367	5184x2920,16M
M133_generale_126.JPG	M133	8279	5184x2920,16M
M133_generale_127.JPG	M133	8282	5184x2920,16M
M133_generale_128.JPG	M133	8288	5184x2920,16M
M133_generale_129.JPG	M133	8381	5184x2920,16M
M133_generale_13.JPG	M133	8851	5184x2920,16M
M133_generale_130.JPG	M133	8242	5184x2920,16M
M133_generale_131.JPG	M133	8555	5184x2920,16M
M133_generale_132.JPG	M133	8118	5184x2920,16M
M133_generale_133.JPG	M133	8220	5184x2920,16M

num_photo	num_us	taille	format
M133_generale_14.JPG	M133	8361	5184x2920,16M
M133_generale_15.JPG	M133	8377	5184x2920,16M
M133_generale_16.JPG	M133	8382	5184x2920,16M
M133_generale_17.JPG	M133	8227	5184x2920,16M
M133_generale_18.JPG	M133	8452	5184x2920,16M
M133_generale_19.JPG	M133	8541	5184x2920,16M
M133_generale_20.JPG	M133	8376	5184x2920,16M
M133_generale_21.JPG	M133	8556	5184x2920,16M
M133_generale_22.JPG	M133	8259	5184x2920,16M
M133_generale_23.JPG	M133	8359	5184x2920,16M
M133_generale_24.JPG	M133	8337	5184x2920,16M
M133_generale_25.JPG	M133	8505	5184x2920,16M
M133_generale_26.JPG	M133	8535	5184x2920,16M
M133_generale_27.JPG	M133	8347	5184x2920,16M
M133_generale_28.JPG	M133	8409	5184x2920,16M
M133_generale_29.JPG	M133	7574	5184x2920,16M
M133_generale_30.JPG	M133	8316	5184x2920,16M
M133_generale_31.JPG	M133	8634	5184x2920,16M
M133_generale_32.JPG	M133	8351	5184x2920,16M
M133_generale_33.JPG	M133	7938	5184x2920,16M
M133_generale_34.JPG	M133	8381	5184x2920,16M
M133_generale_35.JPG	M133	8177	5184x2920,16M
M133_generale_36.JPG	M133	8570	5184x2920,16M
M133_generale_37.JPG	M133	8454	5184x2920,16M
M133_generale_38.JPG	M133	8329	5184x2920,16M
M133_generale_39.JPG	M133	8349	5184x2920,16M
M133_generale_40.JPG	M133	8337	5184x2920,16M
M133_generale_41.JPG	M133	8373	5184x2920,16M
M133_generale_42.JPG	M133	7973	5184x2920,16M
M133_generale_43.JPG	M133	8446	5184x2920,16M
M133_generale_44.JPG	M133	8253	5184x2920,16M
M133_generale_45.JPG	M133	8394	5184x2920,16M
M133_generale_46.JPG	M133	8659	5184x2920,16M
M133_generale_47.JPG	M133	8037	5184x2920,16M
M133_generale_48.JPG	M133	8272	5184x2920,16M
M133_generale_49.JPG	M133	8468	5184x2920,16M
M133_generale_50.JPG	M133	8717	5184x2920,16M
M133_generale_51.JPG	M133	8409	5184x2920,16M
M133_generale_52.JPG	M133	8432	5184x2920,16M
M133_generale_53.JPG	M133	8282	5184x2920,16M
M133_generale_54.JPG	M133	8186	5184x2920,16M
M133_generale_55.JPG	M133	8740	5184x2920,16M
M133_generale_56.JPG	M133	8850	5184x2920,16M
M133_generale_57.JPG	M133	8564	5184x2920,16M
M133_generale_58.JPG	M133	8472	5184x2920,16M
M133_generale_59.JPG	M133	8389	5184x2920,16M
M133_generale_60.JPG	M133	8460	5184x2920,16M
M133_generale_61.JPG	M133	8683	5184x2920,16M
M133_generale_62.JPG	M133	8486	5184x2920,16M
M133_generale_63.JPG	M133	8254	5184x2920,16M
M133_generale_64.JPG	M133	8539	5184x2920,16M
M133_generale_65.JPG	M133	8859	5184x2920,16M
M133_generale_66.JPG	M133	8770	5184x2920,16M
M133_generale_67.JPG	M133	7959	5184x2920,16M
M133_generale_68.JPG	M133	8522	5184x2920,16M

num_photo	num_us	taille	format
M133_generale_69.JPG	M133	7994	5184x2920,16M
M133_generale_70.JPG	M133	8348	5184x2920,16M
M133_generale_71.JPG	M133	8233	5184x2920,16M
M133_generale_72.JPG	M133	8287	5184x2920,16M
M133_generale_73.JPG	M133	8098	5184x2920,16M
M133_generale_74.JPG	M133	8152	5184x2920,16M
M133_generale_75.JPG	M133	8283	5184x2920,16M
M133_generale_76.JPG	M133	8363	5184x2920,16M
M133_generale_77.JPG	M133	8229	5184x2920,16M
M133_generale_78.JPG	M133	8146	5184x2920,16M
M133_generale_79.JPG	M133	8520	5184x2920,16M
M133_generale_80.JPG	M133	8146	5184x2920,16M
M133_generale_81.JPG	M133	8181	5184x2920,16M
M133_generale_82.JPG	M133	7847	5184x2920,16M
M133_generale_83.JPG	M133	8339	5184x2920,16M
M133_generale_84.JPG	M133	8321	5184x2920,16M
M133_generale_85.JPG	M133	8471	5184x2920,16M
M133_generale_86.JPG	M133	8284	5184x2920,16M
M133_generale_87.JPG	M133	8471	5184x2920,16M
M133_generale_88.JPG	M133	8346	5184x2920,16M
M133_generale_89.JPG	M133	8290	5184x2920,16M
M133_generale_90.JPG	M133	8355	5184x2920,16M
M133_generale_91.JPG	M133	8194	5184x2920,16M
M133_generale_92.JPG	M133	7993	5184x2920,16M
M133_generale_93.JPG	M133	8322	5184x2920,16M
M133_generale_94.JPG	M133	8198	5184x2920,16M
M133_generale_95.JPG	M133	6497	5184x2920,16M
M133_generale_96.JPG	M133	7305	5184x2920,16M
M133_generale_97.JPG	M133	8432	5184x2920,16M
M133_generale_98.JPG	M133	8022	5184x2920,16M
M133_generale_99.JPG	M133	8415	5184x2920,16M
M134_910.JPG	M134	4521	5184x2920,16M
M134_910_02.JPG	M134	8786	5184x2920,16M
M134_910_03.JPG	M134	9093	5184x2920,16M
M134_910_04.JPG	M134	9271	5184x2920,16M
M134_910_05.JPG	M134	9198	5184x2920,16M
M134_910_06.JPG	M134	9225	5184x2920,16M
M134_910_07.JPG	M134	9182	5184x2920,16M
M134_910_08.JPG	M134	9222	5184x2920,16M
M134_910_09.JPG	M134	8678	5184x2920,16M
M134_910_10.JPG	M134	9082	5184x2920,16M
M134_910_11.JPG	M134	8603	5184x2920,16M
M134_910_12.JPG	M134	8157	5184x2920,16M
M134_910_13.JPG	M134	8732	5184x2920,16M
M134_910_14.JPG	M134	8931	5184x2920,16M
M134_910_15.JPG	M134	8726	5184x2920,16M
M134_910_16.JPG	M134	9199	5184x2920,16M
M134_910_17.JPG	M134	8580	5184x2920,16M
M134_910_18.JPG	M134	8589	5184x2920,16M
M134_910_19.JPG	M134	8550	5184x2920,16M
M134_910_20.JPG	M134	8585	5184x2920,16M
M134_910_21.JPG	M134	9148	5184x2920,16M
M134_910_22.JPG	M134	8530	5184x2920,16M
M134_910_23.JPG	M134	8625	5184x2920,16M
M134_910_24.JPG	M134	8711	5184x2920,16M

num_photo	num_us	taille	format
M134_910_25.JPG	M134	8473	5184x2920,16M
M134_910_26.JPG	M134	8807	5184x2920,16M
M134_910_27.JPG	M134	9130	5184x2920,16M
M134_910_28.JPG	M134	8436	5184x2920,16M
M134_910_29.JPG	M134	8483	5184x2920,16M
M134_910_30.JPG	M134	8566	5184x2920,16M
M134_910_31.JPG	M134	9182	5184x2920,16M
M134_910_32.JPG	M134	8747	5184x2920,16M
M134_910_33.JPG	M134	9029	5184x2920,16M
M134_910_34.JPG	M134	9045	5184x2920,16M
M134_910_35.JPG	M134	8683	5184x2920,16M
M134_910_36.JPG	M134	8880	5184x2920,16M
M134_910_37.JPG	M134	8728	5184x2920,16M
M134_910_38.JPG	M134	8836	5184x2920,16M
M134_910_39.JPG	M134	8542	5184x2920,16M
M134_910_40.JPG	M134	8570	5184x2920,16M
M134_910_41.JPG	M134	8586	5184x2920,16M
M134_910_42.JPG	M134	8745	5184x2920,16M
M134_910_43.JPG	M134	8814	5184x2920,16M
M134_910_44.JPG	M134	8742	5184x2920,16M
M134_910_45.JPG	M134	8518	5184x2920,16M
M134_910_46.JPG	M134	9228	5184x2920,16M
M134_910_47.JPG	M134	9163	5184x2920,16M
M134_910_48.JPG	M134	8931	5184x2920,16M
M134_910_49.JPG	M134	8675	5184x2920,16M
M134_910_50.JPG	M134	8942	5184x2920,16M
M134_910_51.JPG	M134	9205	5184x2920,16M
M134_910_52.JPG	M134	9149	5184x2920,16M
M134_910_53.JPG	M134	8626	5184x2920,16M
M134_910_54.JPG	M134	8591	5184x2920,16M
M134_910_55.JPG	M134	8480	5184x2920,16M
M134_910_56.JPG	M134	8978	5184x2920,16M
M134_910_57.JPG	M134	8569	5184x2920,16M
M134_910_58.JPG	M134	8662	5184x2920,16M
M134_910_59.JPG	M134	8857	5184x2920,16M
M134_910_60.JPG	M134	8867	5184x2920,16M
M134_910_61.JPG	M134	9005	5184x2920,16M
M134_910_62.JPG	M134	8908	5184x2920,16M
M134_910_63.JPG	M134	8425	5184x2920,16M
M134_910_64.JPG	M134	8338	5184x2920,16M
M134_910_65.JPG	M134	8130	5184x2920,16M
M134_910_66.JPG	M134	8348	5184x2920,16M
M134_910_67.JPG	M134	8381	5184x2920,16M
M134_910_68.JPG	M134	8379	5184x2920,16M
M134_910_69.JPG	M134	8585	5184x2920,16M
M134_910_70.JPG	M134	8473	5184x2920,16M
M134_910_71.JPG	M134	8716	5184x2920,16M
M134_910_72.JPG	M134	8346	5184x2920,16M
M134_910_73.JPG	M134	8694	5184x2920,16M
M134_910_74.JPG	M134	8255	5184x2920,16M
M134_910_75.JPG	M134	8562	5184x2920,16M
M134_910_76.JPG	M134	8342	5184x2920,16M
M134_910_77.JPG	M134	7657	5184x2920,16M
M134_910_78.JPG	M134	8070	5184x2920,16M
M134_910_79.JPG	M134	8245	5184x2920,16M

num_photo	num_us	taille	format
M134_910_80.JPG	M134	8188	5184x2920,16M
M134_910_81.JPG	M134	8306	5184x2920,16M
M134_910_82.JPG	M134	8386	5184x2920,16M
M134_910_83.JPG	M134	7763	5184x2920,16M
M134_910_84.JPG	M134	8222	5184x2920,16M
M134_910_85.JPG	M134	8334	5184x2920,16M
M134_910_86.JPG	M134	8593	5184x2920,16M
M134_910_87.JPG	M134	8546	5184x2920,16M
M134_910_88.JPG	M134	8638	5184x2920,16M
M134_910_89.JPG	M134	8873	5184x2920,16M
M134_910_90.JPG	M134	8521	5184x2920,16M
M134_910_91.JPG	M134	8526	5184x2920,16M
M134_910_92.JPG	M134	8582	5184x2920,16M
M134_910_93.JPG	M134	8486	5184x2920,16M
M134_910_94.JPG	M134	8281	5184x2920,16M
M134_910_95.JPG	M134	8435	5184x2920,16M
M135_907.JPG	M135	5570	5184x2920,16M
M135_907_02.JPG	M135	8734	5184x2920,16M
M135_907_03.JPG	M135	8785	5184x2920,16M
M135_907_04.JPG	M135	9049	5184x2920,16M
M135_907_05.JPG	M135	8564	5184x2920,16M
M135_907_06.JPG	M135	8377	5184x2920,16M
M135_907_07.JPG	M135	9038	5184x2920,16M
M135_907_08.JPG	M135	9049	5184x2920,16M
M135_907_09.JPG	M135	8532	5184x2920,16M
M135_907_10.JPG	M135	8956	5184x2920,16M
M135_907_11.JPG	M135	8897	5184x2920,16M
M135_907_12.JPG	M135	8982	5184x2920,16M
M135_907_13.JPG	M135	8504	5184x2920,16M
M135_907_14.JPG	M135	8573	5184x2920,16M
M135_907_15.JPG	M135	8689	5184x2920,16M
M135_907_16.JPG	M135	8748	5184x2920,16M
M135_907_17.JPG	M135	8514	5184x2920,16M
M135_907_18.JPG	M135	8295	5184x2920,16M
M135_907_19.JPG	M135	8587	5184x2920,16M
M135_907_20.JPG	M135	8954	5184x2920,16M
M135_907_21.JPG	M135	8966	5184x2920,16M
M135_907_22.JPG	M135	8263	5184x2920,16M
M135_907_23.JPG	M135	9139	5184x2920,16M
M135_907_24.JPG	M135	8740	5184x2920,16M
M135_907_25.JPG	M135	8652	5184x2920,16M
M135_907_26.JPG	M135	8756	5184x2920,16M
M135_907_27.JPG	M135	8823	5184x2920,16M
M135_907_28.JPG	M135	8987	5184x2920,16M
M135_907_29.JPG	M135	8537	5184x2920,16M
M135_907_30.JPG	M135	8771	5184x2920,16M
M135_907_31.JPG	M135	8918	5184x2920,16M
M135_907_32.JPG	M135	8433	5184x2920,16M
M135_907_33.JPG	M135	8594	5184x2920,16M
M135_907_34.JPG	M135	8426	5184x2920,16M
M135_907_35.JPG	M135	8524	5184x2920,16M
M135_907_36.JPG	M135	8538	5184x2920,16M
M135_907_37.JPG	M135	8754	5184x2920,16M
M135_907_38.JPG	M135	8648	5184x2920,16M
M135_907_39.JPG	M135	8564	5184x2920,16M

num_photo	num_us	taille	format
M135_907_40.JPG	M135	9134	5184x2920,16M
M135_907_41.JPG	M135	8461	5184x2920,16M
M135_907_42.JPG	M135	8842	5184x2920,16M
M135_907_43.JPG	M135	8895	5184x2920,16M
M135_907_44.JPG	M135	8449	5184x2920,16M
M135_907_45.JPG	M135	8298	5184x2920,16M
M135_907_46.JPG	M135	9124	5184x2920,16M
M135_907_47.JPG	M135	8689	5184x2920,16M
M135_907_48.JPG	M135	9014	5184x2920,16M
M135_907_49.JPG	M135	8499	5184x2920,16M
M135_907_50.JPG	M135	8603	5184x2920,16M
M135_907_51.JPG	M135	8469	5184x2920,16M
M135_907_52.JPG	M135	9021	5184x2920,16M
M135_907_53.JPG	M135	8788	5184x2920,16M
M135_907_54.JPG	M135	8307	5184x2920,16M
M135_907_55.JPG	M135	8640	5184x2920,16M
M135_907_56.JPG	M135	8684	5184x2920,16M
M135_907_57.JPG	M135	8519	5184x2920,16M
M135_907_58.JPG	M135	8410	5184x2920,16M
M135_907_59.JPG	M135	8622	5184x2920,16M
M135_907_60.JPG	M135	8536	5184x2920,16M
M135_907_61.JPG	M135	8683	5184x2920,16M
M135_907_62.JPG	M135	8965	5184x2920,16M
M135_907_63.JPG	M135	8446	5184x2920,16M
M135_907_64.JPG	M135	8703	5184x2920,16M
M135_907_65.JPG	M135	8652	5184x2920,16M
M135_907_66.JPG	M135	8583	5184x2920,16M
M135_907_67.JPG	M135	8625	5184x2920,16M
M135_907_68.JPG	M135	8628	5184x2920,16M
M135_907_69.JPG	M135	8631	5184x2920,16M
M135_907_70.JPG	M135	8646	5184x2920,16M
M135_907_71.JPG	M135	8744	5184x2920,16M
M135_907_72.JPG	M135	8446	5184x2920,16M
M135_907_73.JPG	M135	8709	5184x2920,16M
M135_907_74.JPG	M135	8613	5184x2920,16M
M135_907_75.JPG	M135	8924	5184x2920,16M
M135_907_76.JPG	M135	8610	5184x2920,16M
M135_907_77.JPG	M135	8634	5184x2920,16M
M135_907_78.JPG	M135	8802	5184x2920,16M
M135_907_79.JPG	M135	8471	5184x2920,16M
M135_907_80.JPG	M135	8770	5184x2920,16M
M135_907_81.JPG	M135	8361	5184x2920,16M
M135_907_82.JPG	M135	8842	5184x2920,16M
M135_907_83.JPG	M135	8448	5184x2920,16M
M135_907_84.JPG	M135	8830	5184x2920,16M
M135_907_85.JPG	M135	8806	5184x2920,16M
M135_907_86.JPG	M135	8235	5184x2920,16M
M135_907_87.JPG	M135	8585	5184x2920,16M
M135_907_88.JPG	M135	8772	5184x2920,16M
M135_907_89.JPG	M135	8435	5184x2920,16M
M135_907_90.JPG	M135	8660	5184x2920,16M
M136_902.JPG	M136	5755	5184x2920,16M
M136_902_02.JPG	M136	8672	5184x2920,16M
M136_902_03.JPG	M136	8394	5184x2920,16M
M136_902_04.JPG	M136	8755	5184x2920,16M

num_photo	num_us	taille	format
M136_902_05.JPG	M136	8107	5184x2920,16M
M136_902_06.JPG	M136	8653	5184x2920,16M
M136_902_07.JPG	M136	8196	5184x2920,16M
M136_902_08.JPG	M136	8249	5184x2920,16M
M136_902_09.JPG	M136	8022	5184x2920,16M
M136_902_10.JPG	M136	8439	5184x2920,16M
M136_902_100.JPG	M136	8097	5184x2920,16M
M136_902_101.JPG	M136	8110	5184x2920,16M
M136_902_102.JPG	M136	8306	5184x2920,16M
M136_902_103.JPG	M136	8150	5184x2920,16M
M136_902_104.JPG	M136	8429	5184x2920,16M
M136_902_105.JPG	M136	8038	5184x2920,16M
M136_902_106.JPG	M136	8219	5184x2920,16M
M136_902_107.JPG	M136	8402	5184x2920,16M
M136_902_108.JPG	M136	8307	5184x2920,16M
M136_902_109.JPG	M136	7996	5184x2920,16M
M136_902_11.JPG	M136	8267	5184x2920,16M
M136_902_110.JPG	M136	8110	5184x2920,16M
M136_902_111.JPG	M136	8446	5184x2920,16M
M136_902_112.JPG	M136	8246	5184x2920,16M
M136_902_113.JPG	M136	8144	5184x2920,16M
M136_902_114.JPG	M136	8368	5184x2920,16M
M136_902_115.JPG	M136	8309	5184x2920,16M
M136_902_116.JPG	M136	8527	5184x2920,16M
M136_902_117.JPG	M136	8735	5184x2920,16M
M136_902_118.JPG	M136	8174	5184x2920,16M
M136_902_119.JPG	M136	8302	5184x2920,16M
M136_902_12.JPG	M136	8284	5184x2920,16M
M136_902_120.JPG	M136	8555	5184x2920,16M
M136_902_121.JPG	M136	8072	5184x2920,16M
M136_902_122.JPG	M136	8667	5184x2920,16M
M136_902_123.JPG	M136	8169	5184x2920,16M
M136_902_124.JPG	M136	8255	5184x2920,16M
M136_902_125.JPG	M136	8831	5184x2920,16M
M136_902_126.JPG	M136	8700	5184x2920,16M
M136_902_127.JPG	M136	8635	5184x2920,16M
M136_902_128.JPG	M136	8704	5184x2920,16M
M136_902_129.JPG	M136	8193	5184x2920,16M
M136_902_13.JPG	M136	8509	5184x2920,16M
M136_902_130.JPG	M136	7920	5184x2920,16M
M136_902_131.JPG	M136	8795	5184x2920,16M
M136_902_132.JPG	M136	8474	5184x2920,16M
M136_902_133.JPG	M136	8449	5184x2920,16M
M136_902_14.JPG	M136	8101	5184x2920,16M
M136_902_15.JPG	M136	8753	5184x2920,16M
M136_902_16.JPG	M136	8513	5184x2920,16M
M136_902_17.JPG	M136	8326	5184x2920,16M
M136_902_18.JPG	M136	8568	5184x2920,16M
M136_902_19.JPG	M136	8718	5184x2920,16M
M136_902_20.JPG	M136	8540	5184x2920,16M
M136_902_21.JPG	M136	8292	5184x2920,16M
M136_902_22.JPG	M136	8366	5184x2920,16M
M136_902_23.JPG	M136	8391	5184x2920,16M
M136_902_24.JPG	M136	8738	5184x2920,16M
M136_902_25.JPG	M136	8506	5184x2920,16M

num_photo	num_us	taille	format
M136_902_26.JPG	M136	8720	5184x2920,16M
M136_902_27.JPG	M136	8321	5184x2920,16M
M136_902_28.JPG	M136	8374	5184x2920,16M
M136_902_29.JPG	M136	8106	5184x2920,16M
M136_902_30.JPG	M136	8011	5184x2920,16M
M136_902_31.JPG	M136	8458	5184x2920,16M
M136_902_32.JPG	M136	8496	5184x2920,16M
M136_902_33.JPG	M136	8059	5184x2920,16M
M136_902_34.JPG	M136	8226	5184x2920,16M
M136_902_35.JPG	M136	8290	5184x2920,16M
M136_902_36.JPG	M136	8366	5184x2920,16M
M136_902_37.JPG	M136	8343	5184x2920,16M
M136_902_38.JPG	M136	8360	5184x2920,16M
M136_902_39.JPG	M136	8817	5184x2920,16M
M136_902_40.JPG	M136	8090	5184x2920,16M
M136_902_41.JPG	M136	7994	5184x2920,16M
M136_902_42.JPG	M136	8090	5184x2920,16M
M136_902_43.JPG	M136	7854	5184x2920,16M
M136_902_44.JPG	M136	8747	5184x2920,16M
M136_902_45.JPG	M136	8147	5184x2920,16M
M136_902_46.JPG	M136	8233	5184x2920,16M
M136_902_47.JPG	M136	8535	5184x2920,16M
M136_902_48.JPG	M136	8308	5184x2920,16M
M136_902_49.JPG	M136	8345	5184x2920,16M
M136_902_50.JPG	M136	8464	5184x2920,16M
M136_902_51.JPG	M136	8293	5184x2920,16M
M136_902_52.JPG	M136	8298	5184x2920,16M
M136_902_53.JPG	M136	8572	5184x2920,16M
M136_902_54.JPG	M136	8168	5184x2920,16M
M136_902_55.JPG	M136	8500	5184x2920,16M
M136_902_56.JPG	M136	8252	5184x2920,16M
M136_902_57.JPG	M136	8161	5184x2920,16M
M136_902_58.JPG	M136	8327	5184x2920,16M
M136_902_59.JPG	M136	8660	5184x2920,16M
M136_902_60.JPG	M136	8871	5184x2920,16M
M136_902_61.JPG	M136	8420	5184x2920,16M
M136_902_62.JPG	M136	8243	5184x2920,16M
M136_902_63.JPG	M136	8462	5184x2920,16M
M136_902_64.JPG	M136	8586	5184x2920,16M
M136_902_65.JPG	M136	8272	5184x2920,16M
M136_902_66.JPG	M136	8377	5184x2920,16M
M136_902_67.JPG	M136	7871	5184x2920,16M
M136_902_68.JPG	M136	8606	5184x2920,16M
M136_902_69.JPG	M136	8477	5184x2920,16M
M136_902_70.JPG	M136	8638	5184x2920,16M
M136_902_71.JPG	M136	8369	5184x2920,16M
M136_902_72.JPG	M136	8385	5184x2920,16M
M136_902_73.JPG	M136	8455	5184x2920,16M
M136_902_74.JPG	M136	8312	5184x2920,16M
M136_902_75.JPG	M136	8225	5184x2920,16M
M136_902_76.JPG	M136	8209	5184x2920,16M
M136_902_77.JPG	M136	8487	5184x2920,16M
M136_902_78.JPG	M136	8711	5184x2920,16M
M136_902_79.JPG	M136	8274	5184x2920,16M
M136_902_80.JPG	M136	8417	5184x2920,16M

num_photo	num_us	taille	format
M136_902_81.JPG	M136	8949	5184x2920,16M
M136_902_82.JPG	M136	8606	5184x2920,16M
M136_902_83.JPG	M136	8112	5184x2920,16M
M136_902_84.JPG	M136	8462	5184x2920,16M
M136_902_85.JPG	M136	8244	5184x2920,16M
M136_902_86.JPG	M136	8671	5184x2920,16M
M136_902_87.JPG	M136	8335	5184x2920,16M
M136_902_88.JPG	M136	8461	5184x2920,16M
M136_902_89.JPG	M136	8367	5184x2920,16M
M136_902_90.JPG	M136	8086	5184x2920,16M
M136_902_91.JPG	M136	8401	5184x2920,16M
M136_902_92.JPG	M136	8372	5184x2920,16M
M136_902_93.JPG	M136	8400	5184x2920,16M
M136_902_94.JPG	M136	8366	5184x2920,16M
M136_902_95.JPG	M136	8333	5184x2920,16M
M136_902_96.JPG	M136	8828	5184x2920,16M
M136_902_97.JPG	M136	8377	5184x2920,16M
M136_902_98.JPG	M136	8391	5184x2920,16M
M136_902_99.JPG	M136	8507	5184x2920,16M
M137_893.JPG	M137	8686	5184x2920,16M
M137_893_02.JPG	M137	9098	5184x2920,16M
M137_893_03.JPG	M137	9071	5184x2920,16M
M137_893_04.JPG	M137	8857	5184x2920,16M
M137_893_05.JPG	M137	8463	5184x2920,16M
M137_893_06.JPG	M137	8729	5184x2920,16M
M137_893_07.JPG	M137	8728	5184x2920,16M
M137_893_08.JPG	M137	8691	5184x2920,16M
M137_893_09.JPG	M137	8796	5184x2920,16M
M137_893_10.JPG	M137	8598	5184x2920,16M
M137_893_11.JPG	M137	8596	5184x2920,16M
M137_893_12.JPG	M137	9136	5184x2920,16M
M137_893_13.JPG	M137	9198	5184x2920,16M
M137_893_14.JPG	M137	9176	5184x2920,16M
M137_893_15.JPG	M137	8879	5184x2920,16M
M137_893_16.JPG	M137	8965	5184x2920,16M
M137_893_17.JPG	M137	8625	5184x2920,16M
M137_893_18.JPG	M137	8885	5184x2920,16M
M137_893_19.JPG	M137	8738	5184x2920,16M
M137_893_20.JPG	M137	8604	5184x2920,16M
M137_893_21.JPG	M137	8694	5184x2920,16M
M137_893_22.JPG	M137	8715	5184x2920,16M
M137_893_23.JPG	M137	8669	5184x2920,16M
M137_893_24.JPG	M137	8685	5184x2920,16M
M137_893_25.JPG	M137	8755	5184x2920,16M
M137_893_26.JPG	M137	8657	5184x2920,16M
M137_893_27.JPG	M137	8790	5184x2920,16M
M137_893_28.JPG	M137	8730	5184x2920,16M
M137_893_29.JPG	M137	8759	5184x2920,16M
M137_893_30.JPG	M137	8680	5184x2920,16M
M137_893_31.JPG	M137	8720	5184x2920,16M
M137_893_32.JPG	M137	8884	5184x2920,16M
M137_893_33.JPG	M137	8391	5184x2920,16M
M137_893_34.JPG	M137	8465	5184x2920,16M
M137_893_35.JPG	M137	8946	5184x2920,16M
M137_893_36.JPG	M137	8552	5184x2920,16M

num_photo	num_us	taille	format
M137_893_37.JPG	M137	8525	5184x2920,16M
M137_893_38.JPG	M137	8517	5184x2920,16M
M137_893_39.JPG	M137	8640	5184x2920,16M
M137_893_40.JPG	M137	9016	5184x2920,16M
M137_893_41.JPG	M137	8872	5184x2920,16M
M137_893_42.JPG	M137	8679	5184x2920,16M
M137_893_43.JPG	M137	8766	5184x2920,16M
M137_893_44.JPG	M137	8669	5184x2920,16M
M137_893_45.JPG	M137	8638	5184x2920,16M
M137_893_46.JPG	M137	8617	5184x2920,16M
M137_893_47.JPG	M137	8401	5184x2920,16M
M137_893_48.JPG	M137	8501	5184x2920,16M
M137_893_49.JPG	M137	8249	5184x2920,16M
M137_893_50.JPG	M137	8849	5184x2920,16M
M137_893_51.JPG	M137	8861	5184x2920,16M
M137_893_52.JPG	M137	8964	5184x2920,16M
M137_893_53.JPG	M137	8953	5184x2920,16M
M137_893_54.JPG	M137	9134	5184x2920,16M
M137_893_55.JPG	M137	8913	5184x2920,16M
M137_893_56.JPG	M137	8996	5184x2920,16M
M137_893_57.JPG	M137	8367	5184x2920,16M
M137_893_58.JPG	M137	8461	5184x2920,16M
M137_893_59.JPG	M137	9021	5184x2920,16M
M137_893_60.JPG	M137	9053	5184x2920,16M
M137_893_61.JPG	M137	8605	5184x2920,16M
M137_893_62.JPG	M137	8669	5184x2920,16M
M137_893_63.JPG	M137	8482	5184x2920,16M
M137_893_64.JPG	M137	8925	5184x2920,16M
M137_893_65.JPG	M137	8541	5184x2920,16M
M137_893_66.JPG	M137	8460	5184x2920,16M
M137_893_67.JPG	M137	8556	5184x2920,16M
M137_893_68.JPG	M137	8559	5184x2920,16M
M137_893_69.JPG	M137	8495	5184x2920,16M
M137_893_70.JPG	M137	8607	5184x2920,16M
M137_893_71.JPG	M137	8882	5184x2920,16M
M137_893_72.JPG	M137	8794	5184x2920,16M
M137_893_73.JPG	M137	8439	5184x2920,16M
M137_893_74.JPG	M137	8252	5184x2920,16M
M137_893_75.JPG	M137	8196	5184x2920,16M
M137_893_76.JPG	M137	8506	5184x2920,16M
M137_893_77.JPG	M137	8035	5184x2920,16M
M137_893_78.JPG	M137	8305	5184x2920,16M
M137_893_79.JPG	M137	8671	5184x2920,16M
M137_893_80.JPG	M137	8354	5184x2920,16M
M137_893_81.JPG	M137	8332	5184x2920,16M
M137_893_82.JPG	M137	8449	5184x2920,16M
M137_893_83.JPG	M137	8177	5184x2920,16M
M137_893_84.JPG	M137	8336	5184x2920,16M
M137_893_85.JPG	M137	7898	5184x2920,16M
M137_893_86.JPG	M137	8099	5184x2920,16M
M137_893_87.JPG	M137	8565	5184x2920,16M
M137_893_88.JPG	M137	8415	5184x2920,16M
M137_893_89.JPG	M137	8710	5184x2920,16M
M138_903.JPG	M138	4612	5184x2920,16M
M138_903_02.JPG	M138	8235	5184x2920,16M

num_photo	num_us	taille	format
M138_903_03.JPG	M138	8102	5184x2920,16M
M138_903_04.JPG	M138	8280	5184x2920,16M
M138_903_05.JPG	M138	7985	5184x2920,16M
M138_903_06.JPG	M138	8235	5184x2920,16M
M138_903_07.JPG	M138	8081	5184x2920,16M
M138_903_08.JPG	M138	8418	5184x2920,16M
M138_903_09.JPG	M138	8364	5184x2920,16M
M138_903_10.JPG	M138	8581	5184x2920,16M
M138_903_11.JPG	M138	8304	5184x2920,16M
M138_903_12.JPG	M138	7962	5184x2920,16M
M138_903_13.JPG	M138	8262	5184x2920,16M
M138_903_14.JPG	M138	8141	5184x2920,16M
M138_903_15.JPG	M138	8562	5184x2920,16M
M138_903_16.JPG	M138	8110	5184x2920,16M
M138_903_17.JPG	M138	8630	5184x2920,16M
M138_903_18.JPG	M138	8082	5184x2920,16M
M138_903_19.JPG	M138	8276	5184x2920,16M
M138_903_20.JPG	M138	8424	5184x2920,16M
M138_903_21.JPG	M138	8633	5184x2920,16M
M138_903_22.JPG	M138	8846	5184x2920,16M
M138_903_23.JPG	M138	8401	5184x2920,16M
M138_903_24.JPG	M138	8481	5184x2920,16M
M138_903_25.JPG	M138	8532	5184x2920,16M
M138_903_26.JPG	M138	8375	5184x2920,16M
M138_903_27.JPG	M138	8573	5184x2920,16M
M138_903_28.JPG	M138	8204	5184x2920,16M
M138_903_29.JPG	M138	8165	5184x2920,16M
M138_903_30.JPG	M138	8557	5184x2920,16M
M138_903_31.JPG	M138	8709	5184x2920,16M
M138_903_32.JPG	M138	8231	5184x2920,16M
M138_903_33.JPG	M138	8685	5184x2920,16M
M138_903_34.JPG	M138	8664	5184x2920,16M
M138_903_35.JPG	M138	8717	5184x2920,16M
M138_903_36.JPG	M138	8300	5184x2920,16M
M138_903_37.JPG	M138	8163	5184x2920,16M
M138_903_38.JPG	M138	8066	5184x2920,16M
M138_903_39.JPG	M138	8241	5184x2920,16M
M138_903_40.JPG	M138	8359	5184x2920,16M
M138_903_41.JPG	M138	8508	5184x2920,16M
M138_903_42.JPG	M138	8610	5184x2920,16M
M138_903_43.JPG	M138	7825	5184x2920,16M
M138_903_44.JPG	M138	8967	5184x2920,16M
M138_903_45.JPG	M138	8561	5184x2920,16M
M138_903_46.JPG	M138	8675	5184x2920,16M
M138_903_47.JPG	M138	8923	5184x2920,16M
M138_903_48.JPG	M138	8063	5184x2920,16M
M138_903_49.JPG	M138	8460	5184x2920,16M
M138_903_50.JPG	M138	8412	5184x2920,16M
M138_903_51.JPG	M138	8777	5184x2920,16M
M138_903_52.JPG	M138	8703	5184x2920,16M
M138_903_53.JPG	M138	8735	5184x2920,16M
M138_903_54.JPG	M138	8520	5184x2920,16M
M138_903_55.JPG	M138	8368	5184x2920,16M
M138_903_56.JPG	M138	8942	5184x2920,16M
M138_903_57.JPG	M138	8972	5184x2920,16M

num_photo	num_us	taille	format
M138_903_58.JPG	M138	8195	5184x2920,16M
M138_903_59.JPG	M138	8654	5184x2920,16M
M138_903_60.JPG	M138	8369	5184x2920,16M
M138_903_61.JPG	M138	8874	5184x2920,16M
M138_903_62.JPG	M138	8479	5184x2920,16M
M138_903_63.JPG	M138	8460	5184x2920,16M
M138_903_64.JPG	M138	8636	5184x2920,16M
M138_903_65.JPG	M138	8180	5184x2920,16M
M138_903_66.JPG	M138	8382	5184x2920,16M
M138_903_67.JPG	M138	8756	5184x2920,16M
M138_903_68.JPG	M138	8201	5184x2920,16M
M138_903_69.JPG	M138	8653	5184x2920,16M
M138_903_70.JPG	M138	8227	5184x2920,16M
M138_903_71.JPG	M138	8921	5184x2920,16M
M138_903_72.JPG	M138	8495	5184x2920,16M
M138_903_73.JPG	M138	8900	5184x2920,16M
M138_903_74.JPG	M138	8410	5184x2920,16M
M138_903_75.JPG	M138	8319	5184x2920,16M
M138_903_76.JPG	M138	8243	5184x2920,16M
M138_903_77.JPG	M138	8136	5184x2920,16M
M138_903_78.JPG	M138	7828	5184x2920,16M
M138_903_79.JPG	M138	8038	5184x2920,16M
M138_903_80.JPG	M138	8624	5184x2920,16M
M138_903_81.JPG	M138	8101	5184x2920,16M
M138_903_82.JPG	M138	8215	5184x2920,16M
M138_903_83.JPG	M138	5206	5184x2920,16M
M139_913.JPG	M139	8575	5184x2920,16M
M139_913_02.JPG	M139	9209	5184x2920,16M
M139_913_03.JPG	M139	8830	5184x2920,16M
M139_913_04.JPG	M139	8834	5184x2920,16M
M139_913_05.JPG	M139	9131	5184x2920,16M
M139_913_06.JPG	M139	9175	5184x2920,16M
M139_913_07.JPG	M139	8632	5184x2920,16M
M139_913_08.JPG	M139	8477	5184x2920,16M
M139_913_09.JPG	M139	9095	5184x2920,16M
M139_913_10.JPG	M139	8498	5184x2920,16M
M139_913_100.JPG	M139	8606	5184x2920,16M
M139_913_101.JPG	M139	8650	5184x2920,16M
M139_913_102.JPG	M139	8658	5184x2920,16M
M139_913_103.JPG	M139	8625	5184x2920,16M
M139_913_104.JPG	M139	8673	5184x2920,16M
M139_913_105.JPG	M139	8697	5184x2920,16M
M139_913_106.JPG	M139	8529	5184x2920,16M
M139_913_107.JPG	M139	8557	5184x2920,16M
M139_913_108.JPG	M139	8878	5184x2920,16M
M139_913_109.JPG	M139	8760	5184x2920,16M
M139_913_11.JPG	M139	8531	5184x2920,16M
M139_913_110.JPG	M139	8770	5184x2920,16M
M139_913_111.JPG	M139	8399	5184x2920,16M
M139_913_112.JPG	M139	8632	5184x2920,16M
M139_913_113.JPG	M139	8770	5184x2920,16M
M139_913_114.JPG	M139	8238	5184x2920,16M
M139_913_115.JPG	M139	8776	5184x2920,16M
M139_913_116.JPG	M139	8474	5184x2920,16M
M139_913_117.JPG	M139	8501	5184x2920,16M

num_photo	num_us	taille	format
M139_913_118.JPG	M139	8679	5184x2920,16M
M139_913_119.JPG	M139	8523	5184x2920,16M
M139_913_12.JPG	M139	9032	5184x2920,16M
M139_913_120.JPG	M139	8459	5184x2920,16M
M139_913_121.JPG	M139	8455	5184x2920,16M
M139_913_122.JPG	M139	8568	5184x2920,16M
M139_913_123.JPG	M139	8131	5184x2920,16M
M139_913_124.JPG	M139	8944	5184x2920,16M
M139_913_125.JPG	M139	8903	5184x2920,16M
M139_913_126.JPG	M139	8141	5184x2920,16M
M139_913_127.JPG	M139	8592	5184x2920,16M
M139_913_128.JPG	M139	8636	5184x2920,16M
M139_913_129.JPG	M139	8267	5184x2920,16M
M139_913_13.JPG	M139	9270	5184x2920,16M
M139_913_130.JPG	M139	8259	5184x2920,16M
M139_913_131.JPG	M139	8883	5184x2920,16M
M139_913_132.JPG	M139	9047	5184x2920,16M
M139_913_133.JPG	M139	8599	5184x2920,16M
M139_913_134.JPG	M139	9081	5184x2920,16M
M139_913_135.JPG	M139	8821	5184x2920,16M
M139_913_136.JPG	M139	8765	5184x2920,16M
M139_913_137.JPG	M139	8648	5184x2920,16M
M139_913_138.JPG	M139	9039	5184x2920,16M
M139_913_139.JPG	M139	8522	5184x2920,16M
M139_913_14.JPG	M139	8745	5184x2920,16M
M139_913_140.JPG	M139	8662	5184x2920,16M
M139_913_141.JPG	M139	8536	5184x2920,16M
M139_913_15.JPG	M139	8344	5184x2920,16M
M139_913_16.JPG	M139	8489	5184x2920,16M
M139_913_17.JPG	M139	8774	5184x2920,16M
M139_913_18.JPG	M139	9047	5184x2920,16M
M139_913_19.JPG	M139	8760	5184x2920,16M
M139_913_20.JPG	M139	8890	5184x2920,16M
M139_913_21.JPG	M139	8873	5184x2920,16M
M139_913_22.JPG	M139	8637	5184x2920,16M
M139_913_23.JPG	M139	8749	5184x2920,16M
M139_913_24.JPG	M139	8643	5184x2920,16M
M139_913_25.JPG	M139	8391	5184x2920,16M
M139_913_26.JPG	M139	8848	5184x2920,16M
M139_913_27.JPG	M139	8663	5184x2920,16M
M139_913_28.JPG	M139	8478	5184x2920,16M
M139_913_29.JPG	M139	8564	5184x2920,16M
M139_913_30.JPG	M139	8774	5184x2920,16M
M139_913_31.JPG	M139	8852	5184x2920,16M
M139_913_32.JPG	M139	8440	5184x2920,16M
M139_913_33.JPG	M139	8935	5184x2920,16M
M139_913_34.JPG	M139	9303	5184x2920,16M
M139_913_35.JPG	M139	8860	5184x2920,16M
M139_913_36.JPG	M139	8722	5184x2920,16M
M139_913_37.JPG	M139	8624	5184x2920,16M
M139_913_38.JPG	M139	8877	5184x2920,16M
M139_913_39.JPG	M139	8786	5184x2920,16M
M139_913_40.JPG	M139	8849	5184x2920,16M
M139_913_41.JPG	M139	8867	5184x2920,16M
M139_913_42.JPG	M139	8707	5184x2920,16M

num_photo	num_us	taille	format
M139_913_43.JPG	M139	8501	5184x2920,16M
M139_913_44.JPG	M139	8680	5184x2920,16M
M139_913_45.JPG	M139	8662	5184x2920,16M
M139_913_46.JPG	M139	8118	5184x2920,16M
M139_913_47.JPG	M139	8437	5184x2920,16M
M139_913_48.JPG	M139	8336	5184x2920,16M
M139_913_49.JPG	M139	9138	5184x2920,16M
M139_913_50.JPG	M139	9043	5184x2920,16M
M139_913_51.JPG	M139	8869	5184x2920,16M
M139_913_52.JPG	M139	8394	5184x2920,16M
M139_913_53.JPG	M139	8476	5184x2920,16M
M139_913_54.JPG	M139	8633	5184x2920,16M
M139_913_55.JPG	M139	8288	5184x2920,16M
M139_913_56.JPG	M139	8527	5184x2920,16M
M139_913_57.JPG	M139	8700	5184x2920,16M
M139_913_58.JPG	M139	8433	5184x2920,16M
M139_913_59.JPG	M139	8668	5184x2920,16M
M139_913_60.JPG	M139	8853	5184x2920,16M
M139_913_61.JPG	M139	8928	5184x2920,16M
M139_913_62.JPG	M139	8924	5184x2920,16M
M139_913_63.JPG	M139	8825	5184x2920,16M
M139_913_64.JPG	M139	8809	5184x2920,16M
M139_913_65.JPG	M139	8893	5184x2920,16M
M139_913_66.JPG	M139	8915	5184x2920,16M
M139_913_67.JPG	M139	8460	5184x2920,16M
M139_913_68.JPG	M139	8427	5184x2920,16M
M139_913_69.JPG	M139	9178	5184x2920,16M
M139_913_70.JPG	M139	8542	5184x2920,16M
M139_913_71.JPG	M139	8732	5184x2920,16M
M139_913_72.JPG	M139	9321	5184x2920,16M
M139_913_73.JPG	M139	8790	5184x2920,16M
M139_913_74.JPG	M139	9300	5184x2920,16M
M139_913_75.JPG	M139	8623	5184x2920,16M
M139_913_76.JPG	M139	9031	5184x2920,16M
M139_913_77.JPG	M139	8910	5184x2920,16M
M139_913_78.JPG	M139	8591	5184x2920,16M
M139_913_79.JPG	M139	8921	5184x2920,16M
M139_913_80.JPG	M139	8210	5184x2920,16M
M139_913_81.JPG	M139	8915	5184x2920,16M
M139_913_82.JPG	M139	8282	5184x2920,16M
M139_913_83.JPG	M139	8473	5184x2920,16M
M139_913_84.JPG	M139	8422	5184x2920,16M
M139_913_85.JPG	M139	8708	5184x2920,16M
M139_913_86.JPG	M139	8395	5184x2920,16M
M139_913_87.JPG	M139	8924	5184x2920,16M
M139_913_88.JPG	M139	8441	5184x2920,16M
M139_913_89.JPG	M139	9113	5184x2920,16M
M139_913_90.JPG	M139	8742	5184x2920,16M
M139_913_91.JPG	M139	8702	5184x2920,16M
M139_913_92.JPG	M139	9205	5184x2920,16M
M139_913_93.JPG	M139	8635	5184x2920,16M
M139_913_94.JPG	M139	8596	5184x2920,16M
M139_913_95.JPG	M139	8766	5184x2920,16M
M139_913_96.JPG	M139	8466	5184x2920,16M
M139_913_97.JPG	M139	8626	5184x2920,16M

num_photo	num_us	taille	format
M139_913_98.JPG	M139	8122	5184x2920,16M
M139_913_99.JPG	M139	8600	5184x2920,16M
M140_8274.JPG	M140	8653	5184x2920,16M
M140_8274_02.JPG	M140	8688	5184x2920,16M
M140_8274_03.JPG	M140	8662	5184x2920,16M
M140_8274_04.JPG	M140	8854	5184x2920,16M
M140_8274_05.JPG	M140	8566	5184x2920,16M
M140_8274_06.JPG	M140	8773	5184x2920,16M
M140_8274_07.JPG	M140	9145	5184x2920,16M
M140_8274_08.JPG	M140	8782	5184x2920,16M
M140_8274_09.JPG	M140	8877	5184x2920,16M
M140_8274_10.JPG	M140	8910	5184x2920,16M
M140_8274_100.JPG	M140	8486	5184x2920,16M
M140_8274_101.JPG	M140	8755	5184x2920,16M
M140_8274_102.JPG	M140	8507	5184x2920,16M
M140_8274_103.JPG	M140	8512	5184x2920,16M
M140_8274_104.JPG	M140	8796	5184x2920,16M
M140_8274_105.JPG	M140	8584	5184x2920,16M
M140_8274_106.JPG	M140	8764	5184x2920,16M
M140_8274_107.JPG	M140	8678	5184x2920,16M
M140_8274_108.JPG	M140	9038	5184x2920,16M
M140_8274_109.JPG	M140	8730	5184x2920,16M
M140_8274_11.JPG	M140	8982	5184x2920,16M
M140_8274_110.JPG	M140	8768	5184x2920,16M
M140_8274_111.JPG	M140	8743	5184x2920,16M
M140_8274_112.JPG	M140	8495	5184x2920,16M
M140_8274_113.JPG	M140	8562	5184x2920,16M
M140_8274_114.JPG	M140	8562	5184x2920,16M
M140_8274_115.JPG	M140	8379	5184x2920,16M
M140_8274_116.JPG	M140	9021	5184x2920,16M
M140_8274_117.JPG	M140	8847	5184x2920,16M
M140_8274_118.JPG	M140	8751	5184x2920,16M
M140_8274_119.JPG	M140	8398	5184x2920,16M
M140_8274_12.JPG	M140	8839	5184x2920,16M
M140_8274_120.JPG	M140	8631	5184x2920,16M
M140_8274_121.JPG	M140	8859	5184x2920,16M
M140_8274_122.JPG	M140	8790	5184x2920,16M
M140_8274_123.JPG	M140	8779	5184x2920,16M
M140_8274_124.JPG	M140	9014	5184x2920,16M
M140_8274_125.JPG	M140	8890	5184x2920,16M
M140_8274_126.JPG	M140	8838	5184x2920,16M
M140_8274_127.JPG	M140	8884	5184x2920,16M
M140_8274_128.JPG	M140	8804	5184x2920,16M
M140_8274_129.JPG	M140	8233	5184x2920,16M
M140_8274_13.JPG	M140	8928	5184x2920,16M
M140_8274_130.JPG	M140	8154	5184x2920,16M
M140_8274_131.JPG	M140	8463	5184x2920,16M
M140_8274_132.JPG	M140	8669	5184x2920,16M
M140_8274_133.JPG	M140	8920	5184x2920,16M
M140_8274_134.JPG	M140	8723	5184x2920,16M
M140_8274_135.JPG	M140	9207	5184x2920,16M
M140_8274_136.JPG	M140	8515	5184x2920,16M
M140_8274_137.JPG	M140	8579	5184x2920,16M
M140_8274_138.JPG	M140	8719	5184x2920,16M
M140_8274_139.JPG	M140	8516	5184x2920,16M

num_photo	num_us	taille	format
M140_8274_14.JPG	M140	8701	5184x2920,16M
M140_8274_140.JPG	M140	8787	5184x2920,16M
M140_8274_141.JPG	M140	8667	5184x2920,16M
M140_8274_142.JPG	M140	8620	5184x2920,16M
M140_8274_143.JPG	M140	8736	5184x2920,16M
M140_8274_144.JPG	M140	8694	5184x2920,16M
M140_8274_145.JPG	M140	8674	5184x2920,16M
M140_8274_146.JPG	M140	8357	5184x2920,16M
M140_8274_147.JPG	M140	8764	5184x2920,16M
M140_8274_148.JPG	M140	8193	5184x2920,16M
M140_8274_149.JPG	M140	8955	5184x2920,16M
M140_8274_15.JPG	M140	8660	5184x2920,16M
M140_8274_150.JPG	M140	8503	5184x2920,16M
M140_8274_151.JPG	M140	8330	5184x2920,16M
M140_8274_152.JPG	M140	8624	5184x2920,16M
M140_8274_153.JPG	M140	8448	5184x2920,16M
M140_8274_154.JPG	M140	9213	5184x2920,16M
M140_8274_155.JPG	M140	8995	5184x2920,16M
M140_8274_156.JPG	M140	9381	5184x2920,16M
M140_8274_157.JPG	M140	9460	5184x2920,16M
M140_8274_158.JPG	M140	8842	5184x2920,16M
M140_8274_159.JPG	M140	9155	5184x2920,16M
M140_8274_16.JPG	M140	8624	5184x2920,16M
M140_8274_160.JPG	M140	8727	5184x2920,16M
M140_8274_161.JPG	M140	8749	5184x2920,16M
M140_8274_162.JPG	M140	8813	5184x2920,16M
M140_8274_163.JPG	M140	8774	5184x2920,16M
M140_8274_164.JPG	M140	8536	5184x2920,16M
M140_8274_17.JPG	M140	8674	5184x2920,16M
M140_8274_18.JPG	M140	8775	5184x2920,16M
M140_8274_19.JPG	M140	8636	5184x2920,16M
M140_8274_20.JPG	M140	8606	5184x2920,16M
M140_8274_21.JPG	M140	8262	5184x2920,16M
M140_8274_22.JPG	M140	8722	5184x2920,16M
M140_8274_23.JPG	M140	8814	5184x2920,16M
M140_8274_24.JPG	M140	9190	5184x2920,16M
M140_8274_25.JPG	M140	8787	5184x2920,16M
M140_8274_26.JPG	M140	8820	5184x2920,16M
M140_8274_27.JPG	M140	8507	5184x2920,16M
M140_8274_28.JPG	M140	8743	5184x2920,16M
M140_8274_29.JPG	M140	8737	5184x2920,16M
M140_8274_30.JPG	M140	8688	5184x2920,16M
M140_8274_31.JPG	M140	9083	5184x2920,16M
M140_8274_32.JPG	M140	8901	5184x2920,16M
M140_8274_33.JPG	M140	8913	5184x2920,16M
M140_8274_34.JPG	M140	8965	5184x2920,16M
M140_8274_35.JPG	M140	8625	5184x2920,16M
M140_8274_36.JPG	M140	8445	5184x2920,16M
M140_8274_37.JPG	M140	9040	5184x2920,16M
M140_8274_38.JPG	M140	8827	5184x2920,16M
M140_8274_39.JPG	M140	8792	5184x2920,16M
M140_8274_40.JPG	M140	8927	5184x2920,16M
M140_8274_41.JPG	M140	8891	5184x2920,16M
M140_8274_42.JPG	M140	8458	5184x2920,16M
M140_8274_43.JPG	M140	8465	5184x2920,16M

num_photo	num_us	taille	format
M140_8274_44.JPG	M140	9030	5184x2920,16M
M140_8274_45.JPG	M140	8342	5184x2920,16M
M140_8274_46.JPG	M140	8734	5184x2920,16M
M140_8274_47.JPG	M140	8673	5184x2920,16M
M140_8274_48.JPG	M140	8389	5184x2920,16M
M140_8274_49.JPG	M140	8710	5184x2920,16M
M140_8274_50.JPG	M140	8871	5184x2920,16M
M140_8274_51.JPG	M140	8805	5184x2920,16M
M140_8274_52.JPG	M140	8732	5184x2920,16M
M140_8274_53.JPG	M140	8829	5184x2920,16M
M140_8274_54.JPG	M140	9232	5184x2920,16M
M140_8274_55.JPG	M140	8615	5184x2920,16M
M140_8274_56.JPG	M140	8977	5184x2920,16M
M140_8274_57.JPG	M140	8800	5184x2920,16M
M140_8274_58.JPG	M140	8876	5184x2920,16M
M140_8274_59.JPG	M140	9069	5184x2920,16M
M140_8274_60.JPG	M140	9162	5184x2920,16M
M140_8274_61.JPG	M140	8594	5184x2920,16M
M140_8274_62.JPG	M140	8744	5184x2920,16M
M140_8274_63.JPG	M140	9068	5184x2920,16M
M140_8274_64.JPG	M140	9204	5184x2920,16M
M140_8274_65.JPG	M140	9207	5184x2920,16M
M140_8274_66.JPG	M140	9143	5184x2920,16M
M140_8274_67.JPG	M140	8567	5184x2920,16M
M140_8274_68.JPG	M140	8441	5184x2920,16M
M140_8274_69.JPG	M140	8549	5184x2920,16M
M140_8274_70.JPG	M140	9093	5184x2920,16M
M140_8274_71.JPG	M140	8873	5184x2920,16M
M140_8274_72.JPG	M140	8504	5184x2920,16M
M140_8274_73.JPG	M140	8571	5184x2920,16M
M140_8274_74.JPG	M140	8390	5184x2920,16M
M140_8274_75.JPG	M140	8696	5184x2920,16M
M140_8274_76.JPG	M140	8716	5184x2920,16M
M140_8274_77.JPG	M140	8618	5184x2920,16M
M140_8274_78.JPG	M140	8819	5184x2920,16M
M140_8274_79.JPG	M140	8442	5184x2920,16M
M140_8274_80.JPG	M140	8884	5184x2920,16M
M140_8274_81.JPG	M140	9163	5184x2920,16M
M140_8274_82.JPG	M140	9028	5184x2920,16M
M140_8274_83.JPG	M140	8455	5184x2920,16M
M140_8274_84.JPG	M140	8615	5184x2920,16M
M140_8274_85.JPG	M140	8630	5184x2920,16M
M140_8274_86.JPG	M140	9257	5184x2920,16M
M140_8274_87.JPG	M140	8868	5184x2920,16M
M140_8274_88.JPG	M140	9181	5184x2920,16M
M140_8274_89.JPG	M140	9213	5184x2920,16M
M140_8274_90.JPG	M140	8622	5184x2920,16M
M140_8274_91.JPG	M140	8683	5184x2920,16M
M140_8274_92.JPG	M140	9125	5184x2920,16M
M140_8274_93.JPG	M140	9058	5184x2920,16M
M140_8274_94.JPG	M140	8404	5184x2920,16M
M140_8274_95.JPG	M140	8861	5184x2920,16M
M140_8274_96.JPG	M140	9039	5184x2920,16M
M140_8274_97.JPG	M140	9065	5184x2920,16M
M140_8274_98.JPG	M140	8809	5184x2920,16M

num_photo	num_us	taille	format
M140_8274_99.JPG	M140	8716	5184x2920,16M
M141_829.JPG	M141	9228	5184x2920,16M
M141_829_02.JPG	M141	8785	5184x2920,16M
M141_829_03.JPG	M141	8973	5184x2920,16M
M141_829_04.JPG	M141	8696	5184x2920,16M
M141_829_05.JPG	M141	9056	5184x2920,16M
M141_829_06.JPG	M141	8899	5184x2920,16M
M141_829_07.JPG	M141	8951	5184x2920,16M
M141_829_08.JPG	M141	8693	5184x2920,16M
M141_829_09.JPG	M141	8920	5184x2920,16M
M141_829_10.JPG	M141	8951	5184x2920,16M
M141_829_11.JPG	M141	8875	5184x2920,16M
M141_829_12.JPG	M141	8913	5184x2920,16M
M141_829_13.JPG	M141	9257	5184x2920,16M
M141_829_14.JPG	M141	9189	5184x2920,16M
M141_829_15.JPG	M141	8440	5184x2920,16M
M141_829_16.JPG	M141	8782	5184x2920,16M
M141_829_17.JPG	M141	8730	5184x2920,16M
M141_829_18.JPG	M141	9142	5184x2920,16M
M141_829_19.JPG	M141	8727	5184x2920,16M
M141_829_20.JPG	M141	9078	5184x2920,16M
M141_829_21.JPG	M141	9327	5184x2920,16M
M141_829_22.JPG	M141	9314	5184x2920,16M
M141_829_23.JPG	M141	8994	5184x2920,16M
M141_829_24.JPG	M141	9307	5184x2920,16M
M141_829_25.JPG	M141	8716	5184x2920,16M
M141_829_26.JPG	M141	8621	5184x2920,16M
M141_829_27.JPG	M141	8407	5184x2920,16M
M141_829_28.JPG	M141	8989	5184x2920,16M
M142_914.JPG	M142	6333	5184x2920,16M
M142_914_02.JPG	M142	9072	5184x2920,16M
M142_914_03.JPG	M142	8758	5184x2920,16M
M142_914_04.JPG	M142	8803	5184x2920,16M
M142_914_05.JPG	M142	8368	5184x2920,16M
M142_914_06.JPG	M142	8736	5184x2920,16M
M142_914_07.JPG	M142	9008	5184x2920,16M
M142_914_08.JPG	M142	8811	5184x2920,16M
M142_914_09.JPG	M142	9079	5184x2920,16M
M142_914_10.JPG	M142	9069	5184x2920,16M
M142_914_100.JPG	M142	8484	5184x2920,16M
M142_914_101.JPG	M142	8531	5184x2920,16M
M142_914_102.JPG	M142	8434	5184x2920,16M
M142_914_103.JPG	M142	8637	5184x2920,16M
M142_914_104.JPG	M142	8483	5184x2920,16M
M142_914_105.JPG	M142	9107	5184x2920,16M
M142_914_106.JPG	M142	8056	5184x2920,16M
M142_914_107.JPG	M142	8591	5184x2920,16M
M142_914_108.JPG	M142	8519	5184x2920,16M
M142_914_109.JPG	M142	8056	5184x2920,16M
M142_914_11.JPG	M142	8566	5184x2920,16M
M142_914_110.JPG	M142	9019	5184x2920,16M
M142_914_111.JPG	M142	8653	5184x2920,16M
M142_914_112.JPG	M142	8322	5184x2920,16M
M142_914_113.JPG	M142	8804	5184x2920,16M
M142_914_114.JPG	M142	8776	5184x2920,16M

num_photo	num_us	taille	format
M142_914_115.JPG	M142	8827	5184x2920,16M
M142_914_116.JPG	M142	8611	5184x2920,16M
M142_914_117.JPG	M142	8280	5184x2920,16M
M142_914_118.JPG	M142	8010	5184x2920,16M
M142_914_119.JPG	M142	8325	5184x2920,16M
M142_914_12.JPG	M142	8649	5184x2920,16M
M142_914_120.JPG	M142	8625	5184x2920,16M
M142_914_121.JPG	M142	8247	5184x2920,16M
M142_914_122.JPG	M142	8825	5184x2920,16M
M142_914_123.JPG	M142	8219	5184x2920,16M
M142_914_124.JPG	M142	8870	5184x2920,16M
M142_914_125.JPG	M142	8928	5184x2920,16M
M142_914_126.JPG	M142	8288	5184x2920,16M
M142_914_127.JPG	M142	8779	5184x2920,16M
M142_914_128.JPG	M142	7891	5184x2920,16M
M142_914_129.JPG	M142	7699	5184x2920,16M
M142_914_13.JPG	M142	8848	5184x2920,16M
M142_914_130.JPG	M142	8489	5184x2920,16M
M142_914_131.JPG	M142	8768	5184x2920,16M
M142_914_132.JPG	M142	8659	5184x2920,16M
M142_914_133.JPG	M142	8171	5184x2920,16M
M142_914_134.JPG	M142	8337	5184x2920,16M
M142_914_14.JPG	M142	9047	5184x2920,16M
M142_914_15.JPG	M142	9176	5184x2920,16M
M142_914_16.JPG	M142	8825	5184x2920,16M
M142_914_17.JPG	M142	8756	5184x2920,16M
M142_914_18.JPG	M142	8328	5184x2920,16M
M142_914_19.JPG	M142	8717	5184x2920,16M
M142_914_20.JPG	M142	8675	5184x2920,16M
M142_914_21.JPG	M142	9164	5184x2920,16M
M142_914_22.JPG	M142	9164	5184x2920,16M
M142_914_23.JPG	M142	8423	5184x2920,16M
M142_914_24.JPG	M142	8580	5184x2920,16M
M142_914_25.JPG	M142	9175	5184x2920,16M
M142_914_26.JPG	M142	8974	5184x2920,16M
M142_914_27.JPG	M142	9195	5184x2920,16M
M142_914_28.JPG	M142	8739	5184x2920,16M
M142_914_29.JPG	M142	8692	5184x2920,16M
M142_914_30.JPG	M142	8357	5184x2920,16M
M142_914_31.JPG	M142	8765	5184x2920,16M
M142_914_32.JPG	M142	8937	5184x2920,16M
M142_914_33.JPG	M142	9026	5184x2920,16M
M142_914_34.JPG	M142	8652	5184x2920,16M
M142_914_35.JPG	M142	8611	5184x2920,16M
M142_914_36.JPG	M142	8821	5184x2920,16M
M142_914_37.JPG	M142	8685	5184x2920,16M
M142_914_38.JPG	M142	8706	5184x2920,16M
M142_914_39.JPG	M142	8823	5184x2920,16M
M142_914_40.JPG	M142	8740	5184x2920,16M
M142_914_41.JPG	M142	8804	5184x2920,16M
M142_914_42.JPG	M142	8729	5184x2920,16M
M142_914_43.JPG	M142	8937	5184x2920,16M
M142_914_44.JPG	M142	8849	5184x2920,16M
M142_914_45.JPG	M142	8581	5184x2920,16M
M142_914_46.JPG	M142	8869	5184x2920,16M

num_photo	num_us	taille	format
M142_914_47.JPG	M142	9094	5184x2920,16M
M142_914_48.JPG	M142	9232	5184x2920,16M
M142_914_49.JPG	M142	9268	5184x2920,16M
M142_914_50.JPG	M142	8855	5184x2920,16M
M142_914_51.JPG	M142	8687	5184x2920,16M
M142_914_52.JPG	M142	9134	5184x2920,16M
M142_914_53.JPG	M142	9128	5184x2920,16M
M142_914_54.JPG	M142	8897	5184x2920,16M
M142_914_55.JPG	M142	8506	5184x2920,16M
M142_914_56.JPG	M142	8621	5184x2920,16M
M142_914_57.JPG	M142	9092	5184x2920,16M
M142_914_58.JPG	M142	9112	5184x2920,16M
M142_914_59.JPG	M142	8895	5184x2920,16M
M142_914_60.JPG	M142	9223	5184x2920,16M
M142_914_61.JPG	M142	8898	5184x2920,16M
M142_914_62.JPG	M142	8562	5184x2920,16M
M142_914_63.JPG	M142	8345	5184x2920,16M
M142_914_64.JPG	M142	8424	5184x2920,16M
M142_914_65.JPG	M142	9106	5184x2920,16M
M142_914_66.JPG	M142	9183	5184x2920,16M
M142_914_67.JPG	M142	8987	5184x2920,16M
M142_914_68.JPG	M142	8838	5184x2920,16M
M142_914_69.JPG	M142	8809	5184x2920,16M
M142_914_70.JPG	M142	8531	5184x2920,16M
M142_914_71.JPG	M142	9013	5184x2920,16M
M142_914_72.JPG	M142	8652	5184x2920,16M
M142_914_73.JPG	M142	8854	5184x2920,16M
M142_914_74.JPG	M142	8962	5184x2920,16M
M142_914_75.JPG	M142	9055	5184x2920,16M
M142_914_76.JPG	M142	8423	5184x2920,16M
M142_914_77.JPG	M142	8923	5184x2920,16M
M142_914_78.JPG	M142	8419	5184x2920,16M
M142_914_79.JPG	M142	8577	5184x2920,16M
M142_914_80.JPG	M142	8774	5184x2920,16M
M142_914_81.JPG	M142	9035	5184x2920,16M
M142_914_82.JPG	M142	8398	5184x2920,16M
M142_914_83.JPG	M142	9022	5184x2920,16M
M142_914_84.JPG	M142	8501	5184x2920,16M
M142_914_85.JPG	M142	8540	5184x2920,16M
M142_914_86.JPG	M142	8421	5184x2920,16M
M142_914_87.JPG	M142	8391	5184x2920,16M
M142_914_88.JPG	M142	8264	5184x2920,16M
M142_914_89.JPG	M142	8425	5184x2920,16M
M142_914_90.JPG	M142	8640	5184x2920,16M
M142_914_91.JPG	M142	8443	5184x2920,16M
M142_914_92.JPG	M142	8104	5184x2920,16M
M142_914_93.JPG	M142	8717	5184x2920,16M
M142_914_94.JPG	M142	8648	5184x2920,16M
M142_914_95.JPG	M142	8201	5184x2920,16M
M142_914_96.JPG	M142	8253	5184x2920,16M
M142_914_97.JPG	M142	8403	5184x2920,16M
M142_914_98.JPG	M142	8401	5184x2920,16M
M142_914_99.JPG	M142	8624	5184x2920,16M
M143_clou.JPG	M143	8833	5184x2920,16M
M143_clou_02.JPG	M143	8931	5184x2920,16M

num_photo	num_us	taille	format
M143_clou_03.JPG	M143	8793	5184x2920,16M
M143_clou_04.JPG	M143	8826	5184x2920,16M
M143_clou_05.JPG	M143	8888	5184x2920,16M
M143_clou_06.JPG	M143	8806	5184x2920,16M
M143_clou_07.JPG	M143	8181	5184x2920,16M
M143_clou_08.JPG	M143	8792	5184x2920,16M
M143_clou_09.JPG	M143	8464	5184x2920,16M
M143_clou_10.JPG	M143	8409	5184x2920,16M
M143_clou_11.JPG	M143	8949	5184x2920,16M
M143_clou_12.JPG	M143	9033	5184x2920,16M
M143_clou_13.JPG	M143	8793	5184x2920,16M
M143_clou_14.JPG	M143	8585	5184x2920,16M
M143_clou_15.JPG	M143	8241	5184x2920,16M
M143_clou_16.JPG	M143	8677	5184x2920,16M
M143_clou_17.JPG	M143	8029	5184x2920,16M
M143_clou_18.JPG	M143	8387	5184x2920,16M
M143_clou_19.JPG	M143	8443	5184x2920,16M
M143_clou_20.JPG	M143	8765	5184x2920,16M
M143_clou_21.JPG	M143	8886	5184x2920,16M
M143_clou_22.JPG	M143	8133	5184x2920,16M
M143_clou_23.JPG	M143	8988	5184x2920,16M
M143_clou_24.JPG	M143	8667	5184x2920,16M
M143_clou_25.JPG	M143	8693	5184x2920,16M
M143_clou_26.JPG	M143	8173	5184x2920,16M
M143_clou_27.JPG	M143	8431	5184x2920,16M
M143_clou_28.JPG	M143	8668	5184x2920,16M
M143_clou_29.JPG	M143	8097	5184x2920,16M
M143_clou_30.JPG	M143	8329	5184x2920,16M
M143_clou_31.JPG	M143	8382	5184x2920,16M
M143_clou_32.JPG	M143	8351	5184x2920,16M
M143_clou_33.JPG	M143	8309	5184x2920,16M
M143_clou_34.JPG	M143	8943	5184x2920,16M
M143_clou_35.JPG	M143	8814	5184x2920,16M
M143_clou_36.JPG	M143	8654	5184x2920,16M
M143_clou_37.JPG	M143	8461	5184x2920,16M
M143_clou_38.JPG	M143	8422	5184x2920,16M
M143_clou_39.JPG	M143	8740	5184x2920,16M
M143_clou_40.JPG	M143	8678	5184x2920,16M
M143_clou_41.JPG	M143	8636	5184x2920,16M
M143_clou_42.JPG	M143	9010	5184x2920,16M
M143_clou_43.JPG	M143	8581	5184x2920,16M
M143_clou_44.JPG	M143	9014	5184x2920,16M
M143_clou_45.JPG	M143	8803	5184x2920,16M
M143_clou_46.JPG	M143	8814	5184x2920,16M
M143_clou_47.JPG	M143	8495	5184x2920,16M
M143_clou_48.JPG	M143	8594	5184x2920,16M
M143_clou_49.JPG	M143	8511	5184x2920,16M
M143_clou_50.JPG	M143	8298	5184x2920,16M
M143_clou_51.JPG	M143	8573	5184x2920,16M
M143_clou_52.JPG	M143	8998	5184x2920,16M
M143_clou_53.JPG	M143	8469	5184x2920,16M
M143_clou_54.JPG	M143	8701	5184x2920,16M
M143_clou_55.JPG	M143	9004	5184x2920,16M
M143_clou_56.JPG	M143	8297	5184x2920,16M
M143_clou_57.JPG	M143	8697	5184x2920,16M

num_photo	num_us	taille	format
M144_905_906.JPG	M144	8481	5184x2920,16M
M144_905_906_02.JPG	M144	8402	5184x2920,16M
M144_905_906_03.JPG	M144	9035	5184x2920,16M
M144_905_906_04.JPG	M144	8747	5184x2920,16M
M144_905_906_05.JPG	M144	8457	5184x2920,16M
M144_905_906_06.JPG	M144	8656	5184x2920,16M
M144_905_906_07.JPG	M144	8847	5184x2920,16M
M144_905_906_08.JPG	M144	8646	5184x2920,16M
M144_905_906_09.JPG	M144	8359	5184x2920,16M
M144_905_906_10.JPG	M144	8610	5184x2920,16M
M144_905_906_100.JPG	M144	8607	5184x2920,16M
M144_905_906_101.JPG	M144	8900	5184x2920,16M
M144_905_906_102.JPG	M144	8311	5184x2920,16M
M144_905_906_103.JPG	M144	8742	5184x2920,16M
M144_905_906_104.JPG	M144	8442	5184x2920,16M
M144_905_906_105.JPG	M144	8497	5184x2920,16M
M144_905_906_106.JPG	M144	8946	5184x2920,16M
M144_905_906_107.JPG	M144	8596	5184x2920,16M
M144_905_906_108.JPG	M144	8453	5184x2920,16M
M144_905_906_109.JPG	M144	8473	5184x2920,16M
M144_905_906_11.JPG	M144	8591	5184x2920,16M
M144_905_906_110.JPG	M144	8746	5184x2920,16M
M144_905_906_111.JPG	M144	8549	5184x2920,16M
M144_905_906_112.JPG	M144	8847	5184x2920,16M
M144_905_906_113.JPG	M144	8470	5184x2920,16M
M144_905_906_114.JPG	M144	8545	5184x2920,16M
M144_905_906_115.JPG	M144	8521	5184x2920,16M
M144_905_906_116.JPG	M144	8653	5184x2920,16M
M144_905_906_117.JPG	M144	8725	5184x2920,16M
M144_905_906_118.JPG	M144	8393	5184x2920,16M
M144_905_906_119.JPG	M144	8356	5184x2920,16M
M144_905_906_12.JPG	M144	8795	5184x2920,16M
M144_905_906_120.JPG	M144	8615	5184x2920,16M
M144_905_906_121.JPG	M144	8585	5184x2920,16M
M144_905_906_122.JPG	M144	8708	5184x2920,16M
M144_905_906_123.JPG	M144	8738	5184x2920,16M
M144_905_906_124.JPG	M144	8539	5184x2920,16M
M144_905_906_125.JPG	M144	8714	5184x2920,16M
M144_905_906_126.JPG	M144	8791	5184x2920,16M
M144_905_906_127.JPG	M144	8647	5184x2920,16M
M144_905_906_128.JPG	M144	8837	5184x2920,16M
M144_905_906_129.JPG	M144	8809	5184x2920,16M
M144_905_906_13.JPG	M144	8611	5184x2920,16M
M144_905_906_130.JPG	M144	8832	5184x2920,16M
M144_905_906_131.JPG	M144	8561	5184x2920,16M
M144_905_906_132.JPG	M144	8745	5184x2920,16M
M144_905_906_133.JPG	M144	8796	5184x2920,16M
M144_905_906_134.JPG	M144	8763	5184x2920,16M
M144_905_906_135.JPG	M144	8802	5184x2920,16M
M144_905_906_136.JPG	M144	8617	5184x2920,16M
M144_905_906_137.JPG	M144	8522	5184x2920,16M
M144_905_906_138.JPG	M144	8518	5184x2920,16M
M144_905_906_139.JPG	M144	8696	5184x2920,16M
M144_905_906_14.JPG	M144	8531	5184x2920,16M
M144_905_906_140.JPG	M144	8526	5184x2920,16M

num_photo	num_us	taille	format
M144_905_906_141.JPG	M144	8525	5184x2920,16M
M144_905_906_142.JPG	M144	8837	5184x2920,16M
M144_905_906_143.JPG	M144	8398	5184x2920,16M
M144_905_906_144.JPG	M144	8238	5184x2920,16M
M144_905_906_145.JPG	M144	8134	5184x2920,16M
M144_905_906_146.JPG	M144	8616	5184x2920,16M
M144_905_906_147.JPG	M144	8656	5184x2920,16M
M144_905_906_148.JPG	M144	8633	5184x2920,16M
M144_905_906_149.JPG	M144	8572	5184x2920,16M
M144_905_906_15.JPG	M144	8989	5184x2920,16M
M144_905_906_150.JPG	M144	8266	5184x2920,16M
M144_905_906_151.JPG	M144	8290	5184x2920,16M
M144_905_906_152.JPG	M144	8870	5184x2920,16M
M144_905_906_153.JPG	M144	8451	5184x2920,16M
M144_905_906_154.JPG	M144	8396	5184x2920,16M
M144_905_906_155.JPG	M144	8263	5184x2920,16M
M144_905_906_156.JPG	M144	8483	5184x2920,16M
M144_905_906_157.JPG	M144	8379	5184x2920,16M
M144_905_906_158.JPG	M144	8571	5184x2920,16M
M144_905_906_159.JPG	M144	8078	5184x2920,16M
M144_905_906_16.JPG	M144	8397	5184x2920,16M
M144_905_906_160.JPG	M144	8598	5184x2920,16M
M144_905_906_161.JPG	M144	8466	5184x2920,16M
M144_905_906_162.JPG	M144	8435	5184x2920,16M
M144_905_906_163.JPG	M144	8381	5184x2920,16M
M144_905_906_164.JPG	M144	7990	5184x2920,16M
M144_905_906_165.JPG	M144	8438	5184x2920,16M
M144_905_906_166.JPG	M144	8670	5184x2920,16M
M144_905_906_167.JPG	M144	8589	5184x2920,16M
M144_905_906_168.JPG	M144	8464	5184x2920,16M
M144_905_906_169.JPG	M144	8706	5184x2920,16M
M144_905_906_17.JPG	M144	8257	5184x2920,16M
M144_905_906_170.JPG	M144	8762	5184x2920,16M
M144_905_906_171.JPG	M144	7965	5184x2920,16M
M144_905_906_172.JPG	M144	8485	5184x2920,16M
M144_905_906_173.JPG	M144	8597	5184x2920,16M
M144_905_906_174.JPG	M144	8945	5184x2920,16M
M144_905_906_175.JPG	M144	8797	5184x2920,16M
M144_905_906_176.JPG	M144	8270	5184x2920,16M
M144_905_906_177.JPG	M144	8485	5184x2920,16M
M144_905_906_178.JPG	M144	8281	5184x2920,16M
M144_905_906_179.JPG	M144	8303	5184x2920,16M
M144_905_906_18.JPG	M144	8963	5184x2920,16M
M144_905_906_180.JPG	M144	8674	5184x2920,16M
M144_905_906_181.JPG	M144	8408	5184x2920,16M
M144_905_906_182.JPG	M144	8476	5184x2920,16M
M144_905_906_183.JPG	M144	8712	5184x2920,16M
M144_905_906_184.JPG	M144	8510	5184x2920,16M
M144_905_906_185.JPG	M144	8402	5184x2920,16M
M144_905_906_186.JPG	M144	8117	5184x2920,16M
M144_905_906_187.JPG	M144	8206	5184x2920,16M
M144_905_906_188.JPG	M144	8135	5184x2920,16M
M144_905_906_189.JPG	M144	8137	5184x2920,16M
M144_905_906_19.JPG	M144	8487	5184x2920,16M
M144_905_906_190.JPG	M144	7895	5184x2920,16M

num_photo	num_us	taille	format
M144_905_906_191.JPG	M144	8299	5184x2920,16M
M144_905_906_192.JPG	M144	8523	5184x2920,16M
M144_905_906_193.JPG	M144	8481	5184x2920,16M
M144_905_906_194.JPG	M144	8532	5184x2920,16M
M144_905_906_195.JPG	M144	8586	5184x2920,16M
M144_905_906_196.JPG	M144	8060	5184x2920,16M
M144_905_906_197.JPG	M144	8314	5184x2920,16M
M144_905_906_198.JPG	M144	8242	5184x2920,16M
M144_905_906_199.JPG	M144	8718	5184x2920,16M
M144_905_906_20.JPG	M144	8545	5184x2920,16M
M144_905_906_200.JPG	M144	8491	5184x2920,16M
M144_905_906_201.JPG	M144	8376	5184x2920,16M
M144_905_906_202.JPG	M144	8222	5184x2920,16M
M144_905_906_203.JPG	M144	8405	5184x2920,16M
M144_905_906_204.JPG	M144	8550	5184x2920,16M
M144_905_906_205.JPG	M144	8711	5184x2920,16M
M144_905_906_206.JPG	M144	7915	5184x2920,16M
M144_905_906_207.JPG	M144	8305	5184x2920,16M
M144_905_906_208.JPG	M144	8255	5184x2920,16M
M144_905_906_209.JPG	M144	8358	5184x2920,16M
M144_905_906_21.JPG	M144	8270	5184x2920,16M
M144_905_906_210.JPG	M144	8707	5184x2920,16M
M144_905_906_211.JPG	M144	8489	5184x2920,16M
M144_905_906_212.JPG	M144	8467	5184x2920,16M
M144_905_906_213.JPG	M144	8299	5184x2920,16M
M144_905_906_214.JPG	M144	8068	5184x2920,16M
M144_905_906_215.JPG	M144	8165	5184x2920,16M
M144_905_906_216.JPG	M144	8735	5184x2920,16M
M144_905_906_217.JPG	M144	8884	5184x2920,16M
M144_905_906_218.JPG	M144	6634	5184x2920,16M
M144_905_906_219.JPG	M144	8370	5184x2920,16M
M144_905_906_22.JPG	M144	9086	5184x2920,16M
M144_905_906_220.JPG	M144	8738	5184x2920,16M
M144_905_906_221.JPG	M144	7881	5184x2920,16M
M144_905_906_222.JPG	M144	8885	5184x2920,16M
M144_905_906_223.JPG	M144	8769	5184x2920,16M
M144_905_906_224.JPG	M144	8045	5184x2920,16M
M144_905_906_225.JPG	M144	8311	5184x2920,16M
M144_905_906_226.JPG	M144	8030	5184x2920,16M
M144_905_906_227.JPG	M144	8303	5184x2920,16M
M144_905_906_228.JPG	M144	8475	5184x2920,16M
M144_905_906_229.JPG	M144	8437	5184x2920,16M
M144_905_906_23.JPG	M144	8301	5184x2920,16M
M144_905_906_230.JPG	M144	8559	5184x2920,16M
M144_905_906_231.JPG	M144	8218	5184x2920,16M
M144_905_906_232.JPG	M144	8514	5184x2920,16M
M144_905_906_233.JPG	M144	8710	5184x2920,16M
M144_905_906_234.JPG	M144	8528	5184x2920,16M
M144_905_906_235.JPG	M144	8878	5184x2920,16M
M144_905_906_236.JPG	M144	8297	5184x2920,16M
M144_905_906_237.JPG	M144	8551	5184x2920,16M
M144_905_906_238.JPG	M144	8667	5184x2920,16M
M144_905_906_239.JPG	M144	8651	5184x2920,16M
M144_905_906_24.JPG	M144	8544	5184x2920,16M
M144_905_906_240.JPG	M144	8595	5184x2920,16M

num_photo	num_us	taille	format
M144_905_906_241.JPG	M144	8189	5184x2920,16M
M144_905_906_242.JPG	M144	8277	5184x2920,16M
M144_905_906_243.JPG	M144	8479	5184x2920,16M
M144_905_906_244.JPG	M144	8436	5184x2920,16M
M144_905_906_245.JPG	M144	8355	5184x2920,16M
M144_905_906_246.JPG	M144	8681	5184x2920,16M
M144_905_906_247.JPG	M144	8668	5184x2920,16M
M144_905_906_248.JPG	M144	8288	5184x2920,16M
M144_905_906_249.JPG	M144	8351	5184x2920,16M
M144_905_906_25.JPG	M144	8957	5184x2920,16M
M144_905_906_250.JPG	M144	8612	5184x2920,16M
M144_905_906_251.JPG	M144	8730	5184x2920,16M
M144_905_906_252.JPG	M144	7957	5184x2920,16M
M144_905_906_253.JPG	M144	8483	5184x2920,16M
M144_905_906_254.JPG	M144	8214	5184x2920,16M
M144_905_906_255.JPG	M144	8008	5184x2920,16M
M144_905_906_256.JPG	M144	8879	5184x2920,16M
M144_905_906_257.JPG	M144	8198	5184x2920,16M
M144_905_906_258.JPG	M144	8338	5184x2920,16M
M144_905_906_259.JPG	M144	8700	5184x2920,16M
M144_905_906_26.JPG	M144	8510	5184x2920,16M
M144_905_906_260.JPG	M144	8987	5184x2920,16M
M144_905_906_261.JPG	M144	8658	5184x2920,16M
M144_905_906_262.JPG	M144	7925	5184x2920,16M
M144_905_906_263.JPG	M144	8301	5184x2920,16M
M144_905_906_264.JPG	M144	8787	5184x2920,16M
M144_905_906_265.JPG	M144	8408	5184x2920,16M
M144_905_906_266.JPG	M144	7968	5184x2920,16M
M144_905_906_267.JPG	M144	7245	5184x2920,16M
M144_905_906_268.JPG	M144	6842	5184x2920,16M
M144_905_906_269.JPG	M144	8615	5184x2920,16M
M144_905_906_27.JPG	M144	8777	5184x2920,16M
M144_905_906_270.JPG	M144	8503	5184x2920,16M
M144_905_906_271.JPG	M144	8498	5184x2920,16M
M144_905_906_272.JPG	M144	8836	5184x2920,16M
M144_905_906_273.JPG	M144	8330	5184x2920,16M
M144_905_906_274.JPG	M144	6035	5184x2920,16M
M144_905_906_28.JPG	M144	8621	5184x2920,16M
M144_905_906_29.JPG	M144	8579	5184x2920,16M
M144_905_906_30.JPG	M144	8550	5184x2920,16M
M144_905_906_31.JPG	M144	9058	5184x2920,16M
M144_905_906_32.JPG	M144	8516	5184x2920,16M
M144_905_906_33.JPG	M144	8415	5184x2920,16M
M144_905_906_34.JPG	M144	8439	5184x2920,16M
M144_905_906_35.JPG	M144	8747	5184x2920,16M
M144_905_906_36.JPG	M144	8718	5184x2920,16M
M144_905_906_37.JPG	M144	8655	5184x2920,16M
M144_905_906_38.JPG	M144	8616	5184x2920,16M
M144_905_906_39.JPG	M144	8122	5184x2920,16M
M144_905_906_40.JPG	M144	8774	5184x2920,16M
M144_905_906_41.JPG	M144	8604	5184x2920,16M
M144_905_906_42.JPG	M144	8745	5184x2920,16M
M144_905_906_43.JPG	M144	8664	5184x2920,16M
M144_905_906_44.JPG	M144	8743	5184x2920,16M
M144_905_906_45.JPG	M144	8714	5184x2920,16M

num_photo	num_us	taille	format
M144_905_906_46.JPG	M144	8786	5184x2920,16M
M144_905_906_47.JPG	M144	8662	5184x2920,16M
M144_905_906_48.JPG	M144	8621	5184x2920,16M
M144_905_906_49.JPG	M144	8879	5184x2920,16M
M144_905_906_50.JPG	M144	8752	5184x2920,16M
M144_905_906_51.JPG	M144	8809	5184x2920,16M
M144_905_906_52.JPG	M144	8812	5184x2920,16M
M144_905_906_53.JPG	M144	8774	5184x2920,16M
M144_905_906_54.JPG	M144	8600	5184x2920,16M
M144_905_906_55.JPG	M144	8565	5184x2920,16M
M144_905_906_56.JPG	M144	8958	5184x2920,16M
M144_905_906_57.JPG	M144	8312	5184x2920,16M
M144_905_906_58.JPG	M144	8989	5184x2920,16M
M144_905_906_59.JPG	M144	8476	5184x2920,16M
M144_905_906_60.JPG	M144	8247	5184x2920,16M
M144_905_906_61.JPG	M144	8644	5184x2920,16M
M144_905_906_62.JPG	M144	8800	5184x2920,16M
M144_905_906_63.JPG	M144	8215	5184x2920,16M
M144_905_906_64.JPG	M144	8314	5184x2920,16M
M144_905_906_65.JPG	M144	8586	5184x2920,16M
M144_905_906_66.JPG	M144	8815	5184x2920,16M
M144_905_906_67.JPG	M144	8388	5184x2920,16M
M144_905_906_68.JPG	M144	8990	5184x2920,16M
M144_905_906_69.JPG	M144	8733	5184x2920,16M
M144_905_906_70.JPG	M144	9027	5184x2920,16M
M144_905_906_71.JPG	M144	8772	5184x2920,16M
M144_905_906_72.JPG	M144	8948	5184x2920,16M
M144_905_906_73.JPG	M144	8969	5184x2920,16M
M144_905_906_74.JPG	M144	8441	5184x2920,16M
M144_905_906_75.JPG	M144	8264	5184x2920,16M
M144_905_906_76.JPG	M144	8970	5184x2920,16M
M144_905_906_77.JPG	M144	8770	5184x2920,16M
M144_905_906_78.JPG	M144	9072	5184x2920,16M
M144_905_906_79.JPG	M144	7984	5184x2920,16M
M144_905_906_80.JPG	M144	8272	5184x2920,16M
M144_905_906_81.JPG	M144	8474	5184x2920,16M
M144_905_906_82.JPG	M144	8574	5184x2920,16M
M144_905_906_83.JPG	M144	8022	5184x2920,16M
M144_905_906_84.JPG	M144	8232	5184x2920,16M
M144_905_906_85.JPG	M144	7875	5184x2920,16M
M144_905_906_86.JPG	M144	8562	5184x2920,16M
M144_905_906_87.JPG	M144	8837	5184x2920,16M
M144_905_906_88.JPG	M144	8695	5184x2920,16M
M144_905_906_89.JPG	M144	8873	5184x2920,16M
M144_905_906_90.JPG	M144	8757	5184x2920,16M
M144_905_906_91.JPG	M144	8735	5184x2920,16M
M144_905_906_92.JPG	M144	8756	5184x2920,16M
M144_905_906_93.JPG	M144	8678	5184x2920,16M
M144_905_906_94.JPG	M144	8632	5184x2920,16M
M144_905_906_95.JPG	M144	8605	5184x2920,16M
M144_905_906_96.JPG	M144	8622	5184x2920,16M
M144_905_906_97.JPG	M144	8931	5184x2920,16M
M144_905_906_98.JPG	M144	8583	5184x2920,16M
M144_905_906_99.JPG	M144	8261	5184x2920,16M
M145_922.JPG	M145	9384	5184x2920,16M

num_photo	num_us	taille	format
M145_922_02.JPG	M145	9167	5184x2920,16M
M145_922_03.JPG	M145	9278	5184x2920,16M
M145_922_04.JPG	M145	9127	5184x2920,16M
M145_922_05.JPG	M145	9165	5184x2920,16M
M145_922_06.JPG	M145	9109	5184x2920,16M
M145_922_07.JPG	M145	8951	5184x2920,16M
M145_922_08.JPG	M145	8862	5184x2920,16M
M145_922_09.JPG	M145	8400	5184x2920,16M
M145_922_10.JPG	M145	8607	5184x2920,16M
M145_922_11.JPG	M145	9111	5184x2920,16M
M145_922_12.JPG	M145	8837	5184x2920,16M
M145_922_13.JPG	M145	8360	5184x2920,16M
M145_922_14.JPG	M145	8380	5184x2920,16M
M145_922_15.JPG	M145	8776	5184x2920,16M
M145_922_16.JPG	M145	8947	5184x2920,16M
M145_922_17.JPG	M145	8832	5184x2920,16M
M145_922_18.JPG	M145	8330	5184x2920,16M
M145_922_19.JPG	M145	8453	5184x2920,16M
M145_922_20.JPG	M145	8554	5184x2920,16M
M145_922_21.JPG	M145	8811	5184x2920,16M
M145_922_22.JPG	M145	8865	5184x2920,16M
M145_922_23.JPG	M145	8941	5184x2920,16M
M145_922_24.JPG	M145	9217	5184x2920,16M
M145_922_25.JPG	M145	9289	5184x2920,16M
M145_922_26.JPG	M145	9178	5184x2920,16M
M145_922_27.JPG	M145	9167	5184x2920,16M
M145_922_28.JPG	M145	9208	5184x2920,16M
M145_922_29.JPG	M145	9264	5184x2920,16M
M145_922_30.JPG	M145	9020	5184x2920,16M
M145_922_31.JPG	M145	9086	5184x2920,16M
M145_922_32.JPG	M145	8742	5184x2920,16M
M145_922_33.JPG	M145	9156	5184x2920,16M
M145_922_34.JPG	M145	9135	5184x2920,16M
M145_922_35.JPG	M145	8801	5184x2920,16M
M145_922_36.JPG	M145	8829	5184x2920,16M
M145_922_37.JPG	M145	9050	5184x2920,16M
M145_922_38.JPG	M145	9157	5184x2920,16M
M145_922_39.JPG	M145	8972	5184x2920,16M
M145_922_40.JPG	M145	8568	5184x2920,16M
M145_922_41.JPG	M145	8703	5184x2920,16M
M145_922_42.JPG	M145	9075	5184x2920,16M
M145_922_43.JPG	M145	8903	5184x2920,16M
M145_922_44.JPG	M145	8594	5184x2920,16M
M145_922_45.JPG	M145	9035	5184x2920,16M
M145_922_46.JPG	M145	8765	5184x2920,16M
M145_922_47.JPG	M145	8368	5184x2920,16M
M145_922_48.JPG	M145	8764	5184x2920,16M
M145_922_49.JPG	M145	8772	5184x2920,16M
M145_922_50.JPG	M145	8623	5184x2920,16M
M145_922_51.JPG	M145	8703	5184x2920,16M
M145_922_52.JPG	M145	9151	5184x2920,16M
M145_922_53.JPG	M145	8711	5184x2920,16M
M145_922_54.JPG	M145	8646	5184x2920,16M
M145_922_55.JPG	M145	8374	5184x2920,16M
M145_922_56.JPG	M145	8130	5184x2920,16M

num_photo	num_us	taille	format
M145_922_57.JPG	M145	8204	5184x2920,16M
M145_922_58.JPG	M145	8510	5184x2920,16M
M145_922_59.JPG	M145	8066	5184x2920,16M
M145_922_60.JPG	M145	8220	5184x2920,16M
M145_922_61.JPG	M145	8646	5184x2920,16M
M145_922_62.JPG	M145	8492	5184x2920,16M
M145_922_63.JPG	M145	8445	5184x2920,16M
M145_922_64.JPG	M145	8425	5184x2920,16M
M145_922_65.JPG	M145	8855	5184x2920,16M
M145_922_66.JPG	M145	8780	5184x2920,16M
M145_922_67.JPG	M145	9140	5184x2920,16M
M145_922_68.JPG	M145	8821	5184x2920,16M
M145_922_69.JPG	M145	9041	5184x2920,16M
M145_922_70.JPG	M145	5057	5184x2920,16M
M146_921.JPG	M146	8714	5184x2920,16M
M146_921_02.JPG	M146	8235	5184x2920,16M
M146_921_03.JPG	M146	8562	5184x2920,16M
M146_921_04.JPG	M146	7462	5184x2920,16M
M146_921_05.JPG	M146	8689	5184x2920,16M
M146_921_06.JPG	M146	9011	5184x2920,16M
M146_921_07.JPG	M146	8305	5184x2920,16M
M146_921_08.JPG	M146	8384	5184x2920,16M
M146_921_09.JPG	M146	9093	5184x2920,16M
M146_921_10.JPG	M146	8651	5184x2920,16M
M146_921_11.JPG	M146	9067	5184x2920,16M
M146_921_12.JPG	M146	9044	5184x2920,16M
M146_921_13.JPG	M146	8131	5184x2920,16M
M146_921_14.JPG	M146	9266	5184x2920,16M
M146_921_15.JPG	M146	8841	5184x2920,16M
M146_921_16.JPG	M146	8807	5184x2920,16M
M146_921_17.JPG	M146	8773	5184x2920,16M
M146_921_18.JPG	M146	8255	5184x2920,16M
M146_921_19.JPG	M146	9229	5184x2920,16M
M146_921_20.JPG	M146	8476	5184x2920,16M
M146_921_21.JPG	M146	8950	5184x2920,16M
M146_921_22.JPG	M146	9180	5184x2920,16M
M146_921_23.JPG	M146	8390	5184x2920,16M
M146_921_24.JPG	M146	8935	5184x2920,16M
M146_921_25.JPG	M146	8908	5184x2920,16M
M146_921_26.JPG	M146	9037	5184x2920,16M
M146_921_27.JPG	M146	9134	5184x2920,16M
M146_921_28.JPG	M146	8761	5184x2920,16M
M146_921_29.JPG	M146	8643	5184x2920,16M
M146_921_30.JPG	M146	8393	5184x2920,16M
M146_921_31.JPG	M146	9033	5184x2920,16M
M146_921_32.JPG	M146	8512	5184x2920,16M
M146_921_33.JPG	M146	8419	5184x2920,16M
M146_921_34.JPG	M146	9054	5184x2920,16M
M146_921_35.JPG	M146	8886	5184x2920,16M
M146_921_36.JPG	M146	8744	5184x2920,16M
M146_921_37.JPG	M146	8441	5184x2920,16M
M146_921_38.JPG	M146	8145	5184x2920,16M
M146_921_39.JPG	M146	8175	5184x2920,16M
M146_921_40.JPG	M146	8945	5184x2920,16M
M146_921_41.JPG	M146	8362	5184x2920,16M

num_photo	num_us	taille	format
M146_921_42.JPG	M146	8399	5184x2920,16M
M146_921_43.JPG	M146	8411	5184x2920,16M
M146_921_44.JPG	M146	8502	5184x2920,16M
M146_921_45.JPG	M146	8582	5184x2920,16M
M146_921_46.JPG	M146	8352	5184x2920,16M
M146_921_47.JPG	M146	8621	5184x2920,16M
M146_921_48.JPG	M146	8878	5184x2920,16M
M146_921_49.JPG	M146	8598	5184x2920,16M
M146_921_50.JPG	M146	8133	5184x2920,16M
M146_921_51.JPG	M146	8382	5184x2920,16M
M146_921_52.JPG	M146	8380	5184x2920,16M
M146_921_53.JPG	M146	8444	5184x2920,16M
M146_921_54.JPG	M146	8275	5184x2920,16M
M146_921_55.JPG	M146	8394	5184x2920,16M
M146_921_56.JPG	M146	8431	5184x2920,16M
M146_921_57.JPG	M146	8530	5184x2920,16M
M146_921_58.JPG	M146	7806	5184x2920,16M
M146_921_59.JPG	M146	8485	5184x2920,16M
M146_921_60.JPG	M146	8266	5184x2920,16M
M146_921_61.JPG	M146	8176	5184x2920,16M
M146_921_62.JPG	M146	8081	5184x2920,16M
M146_921_63.JPG	M146	8224	5184x2920,16M
M148_Partielle.JPG	M148	8619	5184x2920,16M
M148_Partielle_02.JPG	M148	8337	5184x2920,16M
M148_Partielle_03.JPG	M148	8429	5184x2920,16M
M148_Partielle_04.JPG	M148	8326	5184x2920,16M
M148_Partielle_05.JPG	M148	8241	5184x2920,16M
M148_Partielle_06.JPG	M148	8504	5184x2920,16M
M148_Partielle_07.JPG	M148	8352	5184x2920,16M
M148_Partielle_08.JPG	M148	8571	5184x2920,16M
M148_Partielle_09.JPG	M148	8255	5184x2920,16M
M148_Partielle_10.JPG	M148	8640	5184x2920,16M
M148_Partielle_11.JPG	M148	8303	5184x2920,16M
M148_Partielle_12.JPG	M148	8183	5184x2920,16M
M148_Partielle_13.JPG	M148	8293	5184x2920,16M
M148_Partielle_14.JPG	M148	8280	5184x2920,16M
M148_Partielle_15.JPG	M148	8451	5184x2920,16M
M148_Partielle_16.JPG	M148	7966	5184x2920,16M
M148_Partielle_17.JPG	M148	8290	5184x2920,16M
M148_Partielle_18.JPG	M148	8411	5184x2920,16M
M148_Partielle_19.JPG	M148	8491	5184x2920,16M
M148_Partielle_20.JPG	M148	8504	5184x2920,16M
M148_Partielle_21.JPG	M148	8534	5184x2920,16M
M148_Partielle_22.JPG	M148	8404	5184x2920,16M
M148_Partielle_23.JPG	M148	8070	5184x2920,16M
M148_Partielle_24.JPG	M148	8172	5184x2920,16M
M148_Partielle_25.JPG	M148	8202	5184x2920,16M
M148_Partielle_26.JPG	M148	8275	5184x2920,16M
M148_Partielle_27.JPG	M148	8299	5184x2920,16M
M148_Partielle_28.JPG	M148	8269	5184x2920,16M
M148_Partielle_29.JPG	M148	8512	5184x2920,16M
M148_Partielle_30.JPG	M148	8248	5184x2920,16M
M148_Partielle_31.JPG	M148	8199	5184x2920,16M
M148_Partielle_32.JPG	M148	8297	5184x2920,16M
M148_Partielle_33.JPG	M148	8575	5184x2920,16M

num_photo	num_us	taille	format
M148_Partielle_34.JPG	M148	8456	5184x2920,16M
M148_Partielle_35.JPG	M148	8454	5184x2920,16M
M148_Partielle_36.JPG	M148	8669	5184x2920,16M
M148_Partielle_37.JPG	M148	8224	5184x2920,16M
M148_Partielle_38.JPG	M148	8907	5184x2920,16M
M148_Partielle_39.JPG	M148	8291	5184x2920,16M
M148_Partielle_40.JPG	M148	8317	5184x2920,16M
M148_Partielle_41.JPG	M148	8570	5184x2920,16M
M148_Partielle_42.JPG	M148	8252	5184x2920,16M
M148_Partielle_43.JPG	M148	8350	5184x2920,16M
M148_Partielle_44.JPG	M148	8313	5184x2920,16M
M148_Partielle_45.JPG	M148	8834	5184x2920,16M
M148_Partielle_46.JPG	M148	8138	5184x2920,16M
M148_Partielle_47.JPG	M148	8019	5184x2920,16M
M148_Partielle_48.JPG	M148	8313	5184x2920,16M
M148_Partielle_49.JPG	M148	8506	5184x2920,16M
M148_Partielle_50.JPG	M148	8636	5184x2920,16M
M148_Partielle_51.JPG	M148	8830	5184x2920,16M
M148_Partielle_52.JPG	M148	8765	5184x2920,16M
M148_Partielle_53.JPG	M148	8055	5184x2920,16M
M148_Partielle_54.JPG	M148	8628	5184x2920,16M
M148_Partielle_55.JPG	M148	8655	5184x2920,16M
M148_Partielle_56.JPG	M148	8614	5184x2920,16M
M148_Partielle_57.JPG	M148	8795	5184x2920,16M
M148_Partielle_58.JPG	M148	8340	5184x2920,16M
M148_Partielle_59.JPG	M148	8139	5184x2920,16M
M148_Partielle_60.JPG	M148	8155	5184x2920,16M
M148_Partielle_61.JPG	M148	8257	5184x2920,16M
M148_Partielle_62.JPG	M148	7361	5184x2920,16M
M148_Partielle_63.JPG	M148	8467	5184x2920,16M
M148_Partielle_64.JPG	M148	8097	5184x2920,16M
M148_Partielle_65.JPG	M148	8383	5184x2920,16M
M148_Partielle_66.JPG	M148	8231	5184x2920,16M
M148_Partielle_67.JPG	M148	8595	5184x2920,16M
M148_Partielle_68.JPG	M148	8197	5184x2920,16M
M148_Partielle_69.JPG	M148	8522	5184x2920,16M
M148_Partielle_70.JPG	M148	8715	5184x2920,16M
M148_Partielle_71.JPG	M148	8529	5184x2920,16M
M148_Partielle_72.JPG	M148	8563	5184x2920,16M
M148_Partielle_73.JPG	M148	8263	5184x2920,16M
M148_Partielle_74.JPG	M148	8450	5184x2920,16M
M148_Partielle_75.JPG	M148	8561	5184x2920,16M
M148_Partielle_76.JPG	M148	8647	5184x2920,16M
M148_Partielle_77.JPG	M148	8860	5184x2920,16M
M149_915.JPG	M149	8563	5184x2920,16M
M149_915_02.JPG	M149	9262	5184x2920,16M
M149_915_03.JPG	M149	8484	5184x2920,16M
M149_915_04.JPG	M149	9099	5184x2920,16M
M149_915_05.JPG	M149	9201	5184x2920,16M
M149_915_06.JPG	M149	8766	5184x2920,16M
M149_915_07.JPG	M149	8673	5184x2920,16M
M149_915_08.JPG	M149	8509	5184x2920,16M
M149_915_09.JPG	M149	8470	5184x2920,16M
M149_915_10.JPG	M149	8750	5184x2920,16M
M149_915_100.JPG	M149	8144	5184x2920,16M

num_photo	num_us	taille	format
M149_915_101.JPG	M149	8319	5184x2920,16M
M149_915_102.JPG	M149	8717	5184x2920,16M
M149_915_103.JPG	M149	8276	5184x2920,16M
M149_915_104.JPG	M149	8085	5184x2920,16M
M149_915_105.JPG	M149	8459	5184x2920,16M
M149_915_106.JPG	M149	8845	5184x2920,16M
M149_915_107.JPG	M149	8236	5184x2920,16M
M149_915_108.JPG	M149	8693	5184x2920,16M
M149_915_109.JPG	M149	8468	5184x2920,16M
M149_915_11.JPG	M149	8508	5184x2920,16M
M149_915_110.JPG	M149	8151	5184x2920,16M
M149_915_111.JPG	M149	8172	5184x2920,16M
M149_915_112.JPG	M149	8508	5184x2920,16M
M149_915_113.JPG	M149	9099	5184x2920,16M
M149_915_114.JPG	M149	9070	5184x2920,16M
M149_915_115.JPG	M149	9033	5184x2920,16M
M149_915_116.JPG	M149	9038	5184x2920,16M
M149_915_117.JPG	M149	8769	5184x2920,16M
M149_915_118.JPG	M149	9101	5184x2920,16M
M149_915_119.JPG	M149	8820	5184x2920,16M
M149_915_12.JPG	M149	8577	5184x2920,16M
M149_915_120.JPG	M149	8757	5184x2920,16M
M149_915_121.JPG	M149	8973	5184x2920,16M
M149_915_122.JPG	M149	9112	5184x2920,16M
M149_915_123.JPG	M149	8866	5184x2920,16M
M149_915_124.JPG	M149	8692	5184x2920,16M
M149_915_125.JPG	M149	8699	5184x2920,16M
M149_915_126.JPG	M149	8493	5184x2920,16M
M149_915_127.JPG	M149	8531	5184x2920,16M
M149_915_128.JPG	M149	8799	5184x2920,16M
M149_915_129.JPG	M149	8373	5184x2920,16M
M149_915_13.JPG	M149	9079	5184x2920,16M
M149_915_130.JPG	M149	8803	5184x2920,16M
M149_915_131.JPG	M149	8673	5184x2920,16M
M149_915_132.JPG	M149	9028	5184x2920,16M
M149_915_133.JPG	M149	9038	5184x2920,16M
M149_915_134.JPG	M149	8877	5184x2920,16M
M149_915_135.JPG	M149	8525	5184x2920,16M
M149_915_136.JPG	M149	8544	5184x2920,16M
M149_915_137.JPG	M149	8851	5184x2920,16M
M149_915_138.JPG	M149	8749	5184x2920,16M
M149_915_139.JPG	M149	8360	5184x2920,16M
M149_915_14.JPG	M149	8787	5184x2920,16M
M149_915_140.JPG	M149	8407	5184x2920,16M
M149_915_141.JPG	M149	8591	5184x2920,16M
M149_915_142.JPG	M149	8719	5184x2920,16M
M149_915_143.JPG	M149	8878	5184x2920,16M
M149_915_144.JPG	M149	9161	5184x2920,16M
M149_915_145.JPG	M149	9224	5184x2920,16M
M149_915_146.JPG	M149	8872	5184x2920,16M
M149_915_147.JPG	M149	9131	5184x2920,16M
M149_915_148.JPG	M149	8867	5184x2920,16M
M149_915_149.JPG	M149	8764	5184x2920,16M
M149_915_15.JPG	M149	8654	5184x2920,16M
M149_915_150.JPG	M149	8870	5184x2920,16M

num_photo	num_us	taille	format
M149_915_151.JPG	M149	8828	5184x2920,16M
M149_915_152.JPG	M149	8602	5184x2920,16M
M149_915_153.JPG	M149	8523	5184x2920,16M
M149_915_154.JPG	M149	8862	5184x2920,16M
M149_915_155.JPG	M149	8515	5184x2920,16M
M149_915_156.JPG	M149	8642	5184x2920,16M
M149_915_157.JPG	M149	9228	5184x2920,16M
M149_915_158.JPG	M149	8517	5184x2920,16M
M149_915_159.JPG	M149	8794	5184x2920,16M
M149_915_16.JPG	M149	8600	5184x2920,16M
M149_915_160.JPG	M149	8368	5184x2920,16M
M149_915_161.JPG	M149	8769	5184x2920,16M
M149_915_162.JPG	M149	8395	5184x2920,16M
M149_915_163.JPG	M149	8440	5184x2920,16M
M149_915_164.JPG	M149	8259	5184x2920,16M
M149_915_165.JPG	M149	7964	5184x2920,16M
M149_915_166.JPG	M149	8252	5184x2920,16M
M149_915_167.JPG	M149	7948	5184x2920,16M
M149_915_168.JPG	M149	8087	5184x2920,16M
M149_915_169.JPG	M149	8698	5184x2920,16M
M149_915_17.JPG	M149	8356	5184x2920,16M
M149_915_170.JPG	M149	8888	5184x2920,16M
M149_915_171.JPG	M149	8871	5184x2920,16M
M149_915_172.JPG	M149	8836	5184x2920,16M
M149_915_173.JPG	M149	9054	5184x2920,16M
M149_915_174.JPG	M149	8712	5184x2920,16M
M149_915_175.JPG	M149	9052	5184x2920,16M
M149_915_176.JPG	M149	8844	5184x2920,16M
M149_915_177.JPG	M149	8119	5184x2920,16M
M149_915_178.JPG	M149	8599	5184x2920,16M
M149_915_179.JPG	M149	8483	5184x2920,16M
M149_915_18.JPG	M149	8522	5184x2920,16M
M149_915_180.JPG	M149	8357	5184x2920,16M
M149_915_181.JPG	M149	9216	5184x2920,16M
M149_915_182.JPG	M149	8627	5184x2920,16M
M149_915_183.JPG	M149	8880	5184x2920,16M
M149_915_184.JPG	M149	8596	5184x2920,16M
M149_915_185.JPG	M149	8832	5184x2920,16M
M149_915_186.JPG	M149	9156	5184x2920,16M
M149_915_187.JPG	M149	5032	5184x2920,16M
M149_915_19.JPG	M149	8611	5184x2920,16M
M149_915_20.JPG	M149	8527	5184x2920,16M
M149_915_21.JPG	M149	8628	5184x2920,16M
M149_915_22.JPG	M149	8697	5184x2920,16M
M149_915_23.JPG	M149	8775	5184x2920,16M
M149_915_24.JPG	M149	8552	5184x2920,16M
M149_915_25.JPG	M149	8584	5184x2920,16M
M149_915_26.JPG	M149	8802	5184x2920,16M
M149_915_27.JPG	M149	8756	5184x2920,16M
M149_915_28.JPG	M149	9027	5184x2920,16M
M149_915_29.JPG	M149	8367	5184x2920,16M
M149_915_30.JPG	M149	8708	5184x2920,16M
M149_915_31.JPG	M149	8822	5184x2920,16M
M149_915_32.JPG	M149	8463	5184x2920,16M
M149_915_33.JPG	M149	8677	5184x2920,16M

num_photo	num_us	taille	format
M149_915_34.JPG	M149	9046	5184x2920,16M
M149_915_35.JPG	M149	8840	5184x2920,16M
M149_915_36.JPG	M149	8898	5184x2920,16M
M149_915_37.JPG	M149	8347	5184x2920,16M
M149_915_38.JPG	M149	9118	5184x2920,16M
M149_915_39.JPG	M149	8996	5184x2920,16M
M149_915_40.JPG	M149	8524	5184x2920,16M
M149_915_41.JPG	M149	8699	5184x2920,16M
M149_915_42.JPG	M149	8424	5184x2920,16M
M149_915_43.JPG	M149	8652	5184x2920,16M
M149_915_44.JPG	M149	8633	5184x2920,16M
M149_915_45.JPG	M149	8571	5184x2920,16M
M149_915_46.JPG	M149	8413	5184x2920,16M
M149_915_47.JPG	M149	8673	5184x2920,16M
M149_915_48.JPG	M149	8651	5184x2920,16M
M149_915_49.JPG	M149	8685	5184x2920,16M
M149_915_50.JPG	M149	8485	5184x2920,16M
M149_915_51.JPG	M149	8184	5184x2920,16M
M149_915_52.JPG	M149	8423	5184x2920,16M
M149_915_53.JPG	M149	8719	5184x2920,16M
M149_915_54.JPG	M149	8653	5184x2920,16M
M149_915_55.JPG	M149	8587	5184x2920,16M
M149_915_56.JPG	M149	8410	5184x2920,16M
M149_915_57.JPG	M149	9222	5184x2920,16M
M149_915_58.JPG	M149	9106	5184x2920,16M
M149_915_59.JPG	M149	9189	5184x2920,16M
M149_915_60.JPG	M149	8615	5184x2920,16M
M149_915_61.JPG	M149	8711	5184x2920,16M
M149_915_62.JPG	M149	8683	5184x2920,16M
M149_915_63.JPG	M149	8724	5184x2920,16M
M149_915_64.JPG	M149	8566	5184x2920,16M
M149_915_65.JPG	M149	8373	5184x2920,16M
M149_915_66.JPG	M149	8463	5184x2920,16M
M149_915_67.JPG	M149	8543	5184x2920,16M
M149_915_68.JPG	M149	8951	5184x2920,16M
M149_915_69.JPG	M149	8584	5184x2920,16M
M149_915_70.JPG	M149	8461	5184x2920,16M
M149_915_71.JPG	M149	8686	5184x2920,16M
M149_915_72.JPG	M149	8531	5184x2920,16M
M149_915_73.JPG	M149	8524	5184x2920,16M
M149_915_74.JPG	M149	8633	5184x2920,16M
M149_915_75.JPG	M149	8407	5184x2920,16M
M149_915_76.JPG	M149	8710	5184x2920,16M
M149_915_77.JPG	M149	8956	5184x2920,16M
M149_915_78.JPG	M149	9103	5184x2920,16M
M149_915_79.JPG	M149	9104	5184x2920,16M
M149_915_80.JPG	M149	8705	5184x2920,16M
M149_915_81.JPG	M149	8571	5184x2920,16M
M149_915_82.JPG	M149	9020	5184x2920,16M
M149_915_83.JPG	M149	8590	5184x2920,16M
M149_915_84.JPG	M149	8598	5184x2920,16M
M149_915_85.JPG	M149	8334	5184x2920,16M
M149_915_86.JPG	M149	8535	5184x2920,16M
M149_915_87.JPG	M149	8555	5184x2920,16M
M149_915_88.JPG	M149	8799	5184x2920,16M

num_photo	num_us	taille	format
M149_915_89.JPG	M149	8506	5184x2920,16M
M149_915_90.JPG	M149	8773	5184x2920,16M
M149_915_91.JPG	M149	8163	5184x2920,16M
M149_915_92.JPG	M149	8573	5184x2920,16M
M149_915_93.JPG	M149	8361	5184x2920,16M
M149_915_94.JPG	M149	8465	5184x2920,16M
M149_915_95.JPG	M149	8108	5184x2920,16M
M149_915_96.JPG	M149	8288	5184x2920,16M
M149_915_97.JPG	M149	8425	5184x2920,16M
M149_915_98.JPG	M149	8594	5184x2920,16M
M149_915_99.JPG	M149	8773	5184x2920,16M
M150_920.JPG	M150	8826	5184x2920,16M
M150_920_02.JPG	M150	8639	5184x2920,16M
M150_920_03.JPG	M150	8438	5184x2920,16M
M150_920_04.JPG	M150	8611	5184x2920,16M
M150_920_05.JPG	M150	8788	5184x2920,16M
M150_920_06.JPG	M150	8729	5184x2920,16M
M150_920_07.JPG	M150	8983	5184x2920,16M
M150_920_08.JPG	M150	8934	5184x2920,16M
M150_920_09.JPG	M150	9063	5184x2920,16M
M150_920_10.JPG	M150	8824	5184x2920,16M
M150_920_100.JPG	M150	8602	5184x2920,16M
M150_920_101.JPG	M150	8423	5184x2920,16M
M150_920_102.JPG	M150	8825	5184x2920,16M
M150_920_103.JPG	M150	8930	5184x2920,16M
M150_920_104.JPG	M150	9108	5184x2920,16M
M150_920_105.JPG	M150	8937	5184x2920,16M
M150_920_106.JPG	M150	8642	5184x2920,16M
M150_920_107.JPG	M150	8140	5184x2920,16M
M150_920_108.JPG	M150	8096	5184x2920,16M
M150_920_109.JPG	M150	8413	5184x2920,16M
M150_920_11.JPG	M150	9108	5184x2920,16M
M150_920_110.JPG	M150	8751	5184x2920,16M
M150_920_111.JPG	M150	8888	5184x2920,16M
M150_920_112.JPG	M150	9056	5184x2920,16M
M150_920_113.JPG	M150	8248	5184x2920,16M
M150_920_114.JPG	M150	8888	5184x2920,16M
M150_920_115.JPG	M150	9022	5184x2920,16M
M150_920_116.JPG	M150	8873	5184x2920,16M
M150_920_117.JPG	M150	8999	5184x2920,16M
M150_920_118.JPG	M150	8588	5184x2920,16M
M150_920_119.JPG	M150	8957	5184x2920,16M
M150_920_12.JPG	M150	8787	5184x2920,16M
M150_920_120.JPG	M150	8900	5184x2920,16M
M150_920_121.JPG	M150	8585	5184x2920,16M
M150_920_122.JPG	M150	8667	5184x2920,16M
M150_920_123.JPG	M150	8632	5184x2920,16M
M150_920_124.JPG	M150	8818	5184x2920,16M
M150_920_125.JPG	M150	8604	5184x2920,16M
M150_920_126.JPG	M150	8801	5184x2920,16M
M150_920_127.JPG	M150	8666	5184x2920,16M
M150_920_128.JPG	M150	8686	5184x2920,16M
M150_920_129.JPG	M150	8597	5184x2920,16M
M150_920_13.JPG	M150	8877	5184x2920,16M
M150_920_130.JPG	M150	8568	5184x2920,16M

num_photo	num_us	taille	format
M150_920_131.JPG	M150	8422	5184x2920,16M
M150_920_132.JPG	M150	8226	5184x2920,16M
M150_920_133.JPG	M150	8836	5184x2920,16M
M150_920_134.JPG	M150	8671	5184x2920,16M
M150_920_135.JPG	M150	8698	5184x2920,16M
M150_920_136.JPG	M150	9245	5184x2920,16M
M150_920_137.JPG	M150	8820	5184x2920,16M
M150_920_138.JPG	M150	9398	5184x2920,16M
M150_920_139.JPG	M150	9351	5184x2920,16M
M150_920_14.JPG	M150	8605	5184x2920,16M
M150_920_140.JPG	M150	9408	5184x2920,16M
M150_920_141.JPG	M150	9208	5184x2920,16M
M150_920_142.JPG	M150	8897	5184x2920,16M
M150_920_143.JPG	M150	8628	5184x2920,16M
M150_920_144.JPG	M150	8547	5184x2920,16M
M150_920_145.JPG	M150	8202	5184x2920,16M
M150_920_146.JPG	M150	8594	5184x2920,16M
M150_920_147.JPG	M150	8528	5184x2920,16M
M150_920_148.JPG	M150	9094	5184x2920,16M
M150_920_149.JPG	M150	8440	5184x2920,16M
M150_920_15.JPG	M150	8815	5184x2920,16M
M150_920_150.JPG	M150	8801	5184x2920,16M
M150_920_16.JPG	M150	8776	5184x2920,16M
M150_920_17.JPG	M150	9169	5184x2920,16M
M150_920_18.JPG	M150	8844	5184x2920,16M
M150_920_19.JPG	M150	8819	5184x2920,16M
M150_920_20.JPG	M150	8772	5184x2920,16M
M150_920_21.JPG	M150	8617	5184x2920,16M
M150_920_22.JPG	M150	9059	5184x2920,16M
M150_920_23.JPG	M150	8511	5184x2920,16M
M150_920_24.JPG	M150	8647	5184x2920,16M
M150_920_25.JPG	M150	8521	5184x2920,16M
M150_920_26.JPG	M150	8733	5184x2920,16M
M150_920_27.JPG	M150	8673	5184x2920,16M
M150_920_28.JPG	M150	8894	5184x2920,16M
M150_920_29.JPG	M150	9164	5184x2920,16M
M150_920_30.JPG	M150	9250	5184x2920,16M
M150_920_31.JPG	M150	9075	5184x2920,16M
M150_920_32.JPG	M150	8713	5184x2920,16M
M150_920_33.JPG	M150	8283	5184x2920,16M
M150_920_34.JPG	M150	8455	5184x2920,16M
M150_920_35.JPG	M150	8751	5184x2920,16M
M150_920_36.JPG	M150	9107	5184x2920,16M
M150_920_37.JPG	M150	9102	5184x2920,16M
M150_920_38.JPG	M150	8730	5184x2920,16M
M150_920_39.JPG	M150	9116	5184x2920,16M
M150_920_40.JPG	M150	8977	5184x2920,16M
M150_920_41.JPG	M150	8506	5184x2920,16M
M150_920_42.JPG	M150	8448	5184x2920,16M
M150_920_43.JPG	M150	8625	5184x2920,16M
M150_920_44.JPG	M150	8706	5184x2920,16M
M150_920_45.JPG	M150	9055	5184x2920,16M
M150_920_46.JPG	M150	9082	5184x2920,16M
M150_920_47.JPG	M150	8563	5184x2920,16M
M150_920_48.JPG	M150	8712	5184x2920,16M

num_photo	num_us	taille	format
M150_920_49.JPG	M150	8771	5184x2920,16M
M150_920_50.JPG	M150	9043	5184x2920,16M
M150_920_51.JPG	M150	8869	5184x2920,16M
M150_920_52.JPG	M150	8804	5184x2920,16M
M150_920_53.JPG	M150	8909	5184x2920,16M
M150_920_54.JPG	M150	8721	5184x2920,16M
M150_920_55.JPG	M150	8776	5184x2920,16M
M150_920_56.JPG	M150	8855	5184x2920,16M
M150_920_57.JPG	M150	8980	5184x2920,16M
M150_920_58.JPG	M150	8776	5184x2920,16M
M150_920_59.JPG	M150	8839	5184x2920,16M
M150_920_60.JPG	M150	8738	5184x2920,16M
M150_920_61.JPG	M150	8706	5184x2920,16M
M150_920_62.JPG	M150	9149	5184x2920,16M
M150_920_63.JPG	M150	9116	5184x2920,16M
M150_920_64.JPG	M150	9000	5184x2920,16M
M150_920_65.JPG	M150	9216	5184x2920,16M
M150_920_66.JPG	M150	8621	5184x2920,16M
M150_920_67.JPG	M150	8819	5184x2920,16M
M150_920_68.JPG	M150	8966	5184x2920,16M
M150_920_69.JPG	M150	8480	5184x2920,16M
M150_920_70.JPG	M150	8736	5184x2920,16M
M150_920_71.JPG	M150	8713	5184x2920,16M
M150_920_72.JPG	M150	8670	5184x2920,16M
M150_920_73.JPG	M150	8807	5184x2920,16M
M150_920_74.JPG	M150	8755	5184x2920,16M
M150_920_75.JPG	M150	8684	5184x2920,16M
M150_920_76.JPG	M150	8691	5184x2920,16M
M150_920_77.JPG	M150	8851	5184x2920,16M
M150_920_78.JPG	M150	9211	5184x2920,16M
M150_920_79.JPG	M150	9082	5184x2920,16M
M150_920_80.JPG	M150	8709	5184x2920,16M
M150_920_81.JPG	M150	8677	5184x2920,16M
M150_920_82.JPG	M150	8705	5184x2920,16M
M150_920_83.JPG	M150	8520	5184x2920,16M
M150_920_84.JPG	M150	8874	5184x2920,16M
M150_920_85.JPG	M150	8619	5184x2920,16M
M150_920_86.JPG	M150	8669	5184x2920,16M
M150_920_87.JPG	M150	8611	5184x2920,16M
M150_920_88.JPG	M150	8965	5184x2920,16M
M150_920_89.JPG	M150	8868	5184x2920,16M
M150_920_90.JPG	M150	8995	5184x2920,16M
M150_920_91.JPG	M150	8652	5184x2920,16M
M150_920_92.JPG	M150	9022	5184x2920,16M
M150_920_93.JPG	M150	8892	5184x2920,16M
M150_920_94.JPG	M150	8758	5184x2920,16M
M150_920_95.JPG	M150	9286	5184x2920,16M
M150_920_96.JPG	M150	8813	5184x2920,16M
M150_920_97.JPG	M150	8972	5184x2920,16M
M150_920_98.JPG	M150	8899	5184x2920,16M
M150_920_99.JPG	M150	9048	5184x2920,16M
M151_960.JPG	M151	7868	5184x2920,16M
M151_960_02.JPG	M151	8262	5184x2920,16M
M151_960_03.JPG	M151	8914	5184x2920,16M
M151_960_04.JPG	M151	8393	5184x2920,16M

num_photo	num_us	taille	format
M151_960_05.JPG	M151	8409	5184x2920,16M
M151_960_06.JPG	M151	8677	5184x2920,16M
M151_960_07.JPG	M151	8779	5184x2920,16M
M151_960_08.JPG	M151	8816	5184x2920,16M
M151_960_09.JPG	M151	8791	5184x2920,16M
M151_960_10.JPG	M151	8649	5184x2920,16M
M151_960_100.JPG	M151	9043	5184x2920,16M
M151_960_101.JPG	M151	8988	5184x2920,16M
M151_960_102.JPG	M151	8781	5184x2920,16M
M151_960_103.JPG	M151	8876	5184x2920,16M
M151_960_104.JPG	M151	8801	5184x2920,16M
M151_960_105.JPG	M151	8696	5184x2920,16M
M151_960_106.JPG	M151	8818	5184x2920,16M
M151_960_107.JPG	M151	8571	5184x2920,16M
M151_960_108.JPG	M151	8663	5184x2920,16M
M151_960_109.JPG	M151	8543	5184x2920,16M
M151_960_11.JPG	M151	8774	5184x2920,16M
M151_960_110.JPG	M151	8632	5184x2920,16M
M151_960_111.JPG	M151	8643	5184x2920,16M
M151_960_112.JPG	M151	8218	5184x2920,16M
M151_960_113.JPG	M151	8696	5184x2920,16M
M151_960_114.JPG	M151	8496	5184x2920,16M
M151_960_115.JPG	M151	8767	5184x2920,16M
M151_960_116.JPG	M151	8667	5184x2920,16M
M151_960_117.JPG	M151	8773	5184x2920,16M
M151_960_118.JPG	M151	8903	5184x2920,16M
M151_960_119.JPG	M151	8733	5184x2920,16M
M151_960_12.JPG	M151	8713	5184x2920,16M
M151_960_120.JPG	M151	8655	5184x2920,16M
M151_960_121.JPG	M151	8617	5184x2920,16M
M151_960_122.JPG	M151	8815	5184x2920,16M
M151_960_123.JPG	M151	8842	5184x2920,16M
M151_960_124.JPG	M151	8617	5184x2920,16M
M151_960_125.JPG	M151	8889	5184x2920,16M
M151_960_126.JPG	M151	8803	5184x2920,16M
M151_960_127.JPG	M151	9081	5184x2920,16M
M151_960_128.JPG	M151	9028	5184x2920,16M
M151_960_129.JPG	M151	8487	5184x2920,16M
M151_960_13.JPG	M151	8754	5184x2920,16M
M151_960_130.JPG	M151	8333	5184x2920,16M
M151_960_131.JPG	M151	9102	5184x2920,16M
M151_960_132.JPG	M151	8962	5184x2920,16M
M151_960_133.JPG	M151	8788	5184x2920,16M
M151_960_134.JPG	M151	8535	5184x2920,16M
M151_960_135.JPG	M151	8579	5184x2920,16M
M151_960_136.JPG	M151	8348	5184x2920,16M
M151_960_137.JPG	M151	8726	5184x2920,16M
M151_960_138.JPG	M151	8788	5184x2920,16M
M151_960_139.JPG	M151	9165	5184x2920,16M
M151_960_14.JPG	M151	8566	5184x2920,16M
M151_960_140.JPG	M151	8743	5184x2920,16M
M151_960_141.JPG	M151	9055	5184x2920,16M
M151_960_142.JPG	M151	8544	5184x2920,16M
M151_960_143.JPG	M151	8795	5184x2920,16M
M151_960_144.JPG	M151	9115	5184x2920,16M

num_photo	num_us	taille	format
M151_960_145.JPG	M151	8610	5184x2920,16M
M151_960_146.JPG	M151	8083	5184x2920,16M
M151_960_147.JPG	M151	9074	5184x2920,16M
M151_960_148.JPG	M151	9063	5184x2920,16M
M151_960_149.JPG	M151	8358	5184x2920,16M
M151_960_15.JPG	M151	9084	5184x2920,16M
M151_960_150.JPG	M151	8613	5184x2920,16M
M151_960_151.JPG	M151	8702	5184x2920,16M
M151_960_152.JPG	M151	8482	5184x2920,16M
M151_960_153.JPG	M151	7956	5184x2920,16M
M151_960_154.JPG	M151	8262	5184x2920,16M
M151_960_155.JPG	M151	8461	5184x2920,16M
M151_960_156.JPG	M151	8595	5184x2920,16M
M151_960_157.JPG	M151	8068	5184x2920,16M
M151_960_158.JPG	M151	8921	5184x2920,16M
M151_960_159.JPG	M151	8583	5184x2920,16M
M151_960_16.JPG	M151	8428	5184x2920,16M
M151_960_160.JPG	M151	8483	5184x2920,16M
M151_960_161.JPG	M151	8489	5184x2920,16M
M151_960_162.JPG	M151	8451	5184x2920,16M
M151_960_163.JPG	M151	8598	5184x2920,16M
M151_960_164.JPG	M151	8247	5184x2920,16M
M151_960_165.JPG	M151	8569	5184x2920,16M
M151_960_166.JPG	M151	8656	5184x2920,16M
M151_960_167.JPG	M151	8467	5184x2920,16M
M151_960_168.JPG	M151	8796	5184x2920,16M
M151_960_169.JPG	M151	8833	5184x2920,16M
M151_960_17.JPG	M151	9073	5184x2920,16M
M151_960_170.JPG	M151	8237	5184x2920,16M
M151_960_171.JPG	M151	8932	5184x2920,16M
M151_960_172.JPG	M151	8448	5184x2920,16M
M151_960_173.JPG	M151	8447	5184x2920,16M
M151_960_174.JPG	M151	8493	5184x2920,16M
M151_960_175.JPG	M151	8494	5184x2920,16M
M151_960_176.JPG	M151	8205	5184x2920,16M
M151_960_177.JPG	M151	8495	5184x2920,16M
M151_960_178.JPG	M151	8550	5184x2920,16M
M151_960_179.JPG	M151	8395	5184x2920,16M
M151_960_18.JPG	M151	8727	5184x2920,16M
M151_960_180.JPG	M151	8421	5184x2920,16M
M151_960_181.JPG	M151	8104	5184x2920,16M
M151_960_182.JPG	M151	8627	5184x2920,16M
M151_960_183.JPG	M151	8375	5184x2920,16M
M151_960_184.JPG	M151	8257	5184x2920,16M
M151_960_185.JPG	M151	8425	5184x2920,16M
M151_960_186.JPG	M151	8278	5184x2920,16M
M151_960_187.JPG	M151	8053	5184x2920,16M
M151_960_188.JPG	M151	8524	5184x2920,16M
M151_960_189.JPG	M151	8566	5184x2920,16M
M151_960_19.JPG	M151	8769	5184x2920,16M
M151_960_190.JPG	M151	8373	5184x2920,16M
M151_960_191.JPG	M151	8296	5184x2920,16M
M151_960_192.JPG	M151	8536	5184x2920,16M
M151_960_193.JPG	M151	8444	5184x2920,16M
M151_960_194.JPG	M151	9072	5184x2920,16M

num_photo	num_us	taille	format
M151_960_195.JPG	M151	8370	5184x2920,16M
M151_960_196.JPG	M151	8629	5184x2920,16M
M151_960_197.JPG	M151	8972	5184x2920,16M
M151_960_20.JPG	M151	8790	5184x2920,16M
M151_960_21.JPG	M151	8898	5184x2920,16M
M151_960_22.JPG	M151	8922	5184x2920,16M
M151_960_23.JPG	M151	8710	5184x2920,16M
M151_960_24.JPG	M151	8639	5184x2920,16M
M151_960_25.JPG	M151	8363	5184x2920,16M
M151_960_26.JPG	M151	8515	5184x2920,16M
M151_960_27.JPG	M151	8736	5184x2920,16M
M151_960_28.JPG	M151	8789	5184x2920,16M
M151_960_29.JPG	M151	8835	5184x2920,16M
M151_960_30.JPG	M151	9281	5184x2920,16M
M151_960_31.JPG	M151	9318	5184x2920,16M
M151_960_32.JPG	M151	9240	5184x2920,16M
M151_960_33.JPG	M151	9085	5184x2920,16M
M151_960_34.JPG	M151	9038	5184x2920,16M
M151_960_35.JPG	M151	8806	5184x2920,16M
M151_960_36.JPG	M151	8672	5184x2920,16M
M151_960_37.JPG	M151	9068	5184x2920,16M
M151_960_38.JPG	M151	8759	5184x2920,16M
M151_960_39.JPG	M151	8672	5184x2920,16M
M151_960_40.JPG	M151	8863	5184x2920,16M
M151_960_41.JPG	M151	8740	5184x2920,16M
M151_960_42.JPG	M151	8832	5184x2920,16M
M151_960_43.JPG	M151	8786	5184x2920,16M
M151_960_44.JPG	M151	8546	5184x2920,16M
M151_960_45.JPG	M151	8849	5184x2920,16M
M151_960_46.JPG	M151	8649	5184x2920,16M
M151_960_47.JPG	M151	8702	5184x2920,16M
M151_960_48.JPG	M151	8613	5184x2920,16M
M151_960_49.JPG	M151	8921	5184x2920,16M
M151_960_50.JPG	M151	8460	5184x2920,16M
M151_960_51.JPG	M151	8427	5184x2920,16M
M151_960_52.JPG	M151	8189	5184x2920,16M
M151_960_53.JPG	M151	8632	5184x2920,16M
M151_960_54.JPG	M151	8987	5184x2920,16M
M151_960_55.JPG	M151	8399	5184x2920,16M
M151_960_56.JPG	M151	8603	5184x2920,16M
M151_960_57.JPG	M151	8579	5184x2920,16M
M151_960_58.JPG	M151	8963	5184x2920,16M
M151_960_59.JPG	M151	8630	5184x2920,16M
M151_960_60.JPG	M151	8835	5184x2920,16M
M151_960_61.JPG	M151	8445	5184x2920,16M
M151_960_62.JPG	M151	8332	5184x2920,16M
M151_960_63.JPG	M151	8473	5184x2920,16M
M151_960_64.JPG	M151	8901	5184x2920,16M
M151_960_65.JPG	M151	8251	5184x2920,16M
M151_960_66.JPG	M151	8371	5184x2920,16M
M151_960_67.JPG	M151	8332	5184x2920,16M
M151_960_68.JPG	M151	8406	5184x2920,16M
M151_960_69.JPG	M151	8356	5184x2920,16M
M151_960_70.JPG	M151	8773	5184x2920,16M
M151_960_71.JPG	M151	8586	5184x2920,16M

num_photo	num_us	taille	format
M151_960_72.JPG	M151	8495	5184x2920,16M
M151_960_73.JPG	M151	8721	5184x2920,16M
M151_960_74.JPG	M151	8507	5184x2920,16M
M151_960_75.JPG	M151	8623	5184x2920,16M
M151_960_76.JPG	M151	8577	5184x2920,16M
M151_960_77.JPG	M151	8174	5184x2920,16M
M151_960_78.JPG	M151	8464	5184x2920,16M
M151_960_79.JPG	M151	8685	5184x2920,16M
M151_960_80.JPG	M151	9062	5184x2920,16M
M151_960_81.JPG	M151	8894	5184x2920,16M
M151_960_82.JPG	M151	8873	5184x2920,16M
M151_960_83.JPG	M151	8838	5184x2920,16M
M151_960_84.JPG	M151	8721	5184x2920,16M
M151_960_85.JPG	M151	8755	5184x2920,16M
M151_960_86.JPG	M151	8814	5184x2920,16M
M151_960_87.JPG	M151	8774	5184x2920,16M
M151_960_88.JPG	M151	8474	5184x2920,16M
M151_960_89.JPG	M151	8734	5184x2920,16M
M151_960_90.JPG	M151	8648	5184x2920,16M
M151_960_91.JPG	M151	8605	5184x2920,16M
M151_960_92.JPG	M151	8590	5184x2920,16M
M151_960_93.JPG	M151	8400	5184x2920,16M
M151_960_94.JPG	M151	8262	5184x2920,16M
M151_960_95.JPG	M151	8566	5184x2920,16M
M151_960_96.JPG	M151	8974	5184x2920,16M
M151_960_97.JPG	M151	8484	5184x2920,16M
M151_960_98.JPG	M151	8767	5184x2920,16M
M151_960_99.JPG	M151	9147	5184x2920,16M
M152_918.JPG	M152	8683	5184x2920,16M
M152_918_02.JPG	M152	8765	5184x2920,16M
M152_918_03.JPG	M152	9005	5184x2920,16M
M152_918_04.JPG	M152	9168	5184x2920,16M
M152_918_05.JPG	M152	8933	5184x2920,16M
M152_918_06.JPG	M152	8793	5184x2920,16M
M152_918_07.JPG	M152	8711	5184x2920,16M
M152_918_08.JPG	M152	8819	5184x2920,16M
M152_918_09.JPG	M152	8765	5184x2920,16M
M152_918_10.JPG	M152	8805	5184x2920,16M
M152_918_100.JPG	M152	8065	5184x2920,16M
M152_918_101.JPG	M152	8256	5184x2920,16M
M152_918_102.JPG	M152	8602	5184x2920,16M
M152_918_103.JPG	M152	8834	5184x2920,16M
M152_918_104.JPG	M152	8356	5184x2920,16M
M152_918_105.JPG	M152	8593	5184x2920,16M
M152_918_106.JPG	M152	8494	5184x2920,16M
M152_918_107.JPG	M152	8328	5184x2920,16M
M152_918_108.JPG	M152	8187	5184x2920,16M
M152_918_109.JPG	M152	8455	5184x2920,16M
M152_918_11.JPG	M152	9073	5184x2920,16M
M152_918_110.JPG	M152	8536	5184x2920,16M
M152_918_111.JPG	M152	8199	5184x2920,16M
M152_918_112.JPG	M152	8166	5184x2920,16M
M152_918_113.JPG	M152	8836	5184x2920,16M
M152_918_114.JPG	M152	8878	5184x2920,16M
M152_918_115.JPG	M152	8542	5184x2920,16M

num_photo	num_us	taille	format
M152_918_116.JPG	M152	8309	5184x2920,16M
M152_918_117.JPG	M152	8098	5184x2920,16M
M152_918_12.JPG	M152	8807	5184x2920,16M
M152_918_13.JPG	M152	8826	5184x2920,16M
M152_918_14.JPG	M152	8934	5184x2920,16M
M152_918_15.JPG	M152	8863	5184x2920,16M
M152_918_16.JPG	M152	9095	5184x2920,16M
M152_918_17.JPG	M152	8916	5184x2920,16M
M152_918_18.JPG	M152	8784	5184x2920,16M
M152_918_19.JPG	M152	8854	5184x2920,16M
M152_918_20.JPG	M152	8768	5184x2920,16M
M152_918_21.JPG	M152	8801	5184x2920,16M
M152_918_22.JPG	M152	8837	5184x2920,16M
M152_918_23.JPG	M152	8790	5184x2920,16M
M152_918_24.JPG	M152	8782	5184x2920,16M
M152_918_25.JPG	M152	8770	5184x2920,16M
M152_918_26.JPG	M152	8518	5184x2920,16M
M152_918_27.JPG	M152	8708	5184x2920,16M
M152_918_28.JPG	M152	8780	5184x2920,16M
M152_918_29.JPG	M152	8742	5184x2920,16M
M152_918_30.JPG	M152	8671	5184x2920,16M
M152_918_31.JPG	M152	8688	5184x2920,16M
M152_918_32.JPG	M152	8670	5184x2920,16M
M152_918_33.JPG	M152	8619	5184x2920,16M
M152_918_34.JPG	M152	8720	5184x2920,16M
M152_918_35.JPG	M152	8703	5184x2920,16M
M152_918_36.JPG	M152	8723	5184x2920,16M
M152_918_37.JPG	M152	8609	5184x2920,16M
M152_918_38.JPG	M152	8711	5184x2920,16M
M152_918_39.JPG	M152	8638	5184x2920,16M
M152_918_40.JPG	M152	9050	5184x2920,16M
M152_918_41.JPG	M152	8670	5184x2920,16M
M152_918_42.JPG	M152	8663	5184x2920,16M
M152_918_43.JPG	M152	8458	5184x2920,16M
M152_918_44.JPG	M152	8749	5184x2920,16M
M152_918_45.JPG	M152	8734	5184x2920,16M
M152_918_46.JPG	M152	8853	5184x2920,16M
M152_918_47.JPG	M152	8890	5184x2920,16M
M152_918_48.JPG	M152	8924	5184x2920,16M
M152_918_49.JPG	M152	8973	5184x2920,16M
M152_918_50.JPG	M152	8950	5184x2920,16M
M152_918_51.JPG	M152	8951	5184x2920,16M
M152_918_52.JPG	M152	8820	5184x2920,16M
M152_918_53.JPG	M152	8930	5184x2920,16M
M152_918_54.JPG	M152	8968	5184x2920,16M
M152_918_55.JPG	M152	8786	5184x2920,16M
M152_918_56.JPG	M152	8833	5184x2920,16M
M152_918_57.JPG	M152	8884	5184x2920,16M
M152_918_58.JPG	M152	8805	5184x2920,16M
M152_918_59.JPG	M152	8550	5184x2920,16M
M152_918_60.JPG	M152	8570	5184x2920,16M
M152_918_61.JPG	M152	8667	5184x2920,16M
M152_918_62.JPG	M152	8164	5184x2920,16M
M152_918_63.JPG	M152	8176	5184x2920,16M
M152_918_64.JPG	M152	8445	5184x2920,16M

num_photo	num_us	taille	format
M152_918_65.JPG	M152	8428	5184x2920,16M
M152_918_66.JPG	M152	8253	5184x2920,16M
M152_918_67.JPG	M152	8225	5184x2920,16M
M152_918_68.JPG	M152	8187	5184x2920,16M
M152_918_69.JPG	M152	8305	5184x2920,16M
M152_918_70.JPG	M152	8266	5184x2920,16M
M152_918_71.JPG	M152	8374	5184x2920,16M
M152_918_72.JPG	M152	8365	5184x2920,16M
M152_918_73.JPG	M152	8380	5184x2920,16M
M152_918_74.JPG	M152	8398	5184x2920,16M
M152_918_75.JPG	M152	8577	5184x2920,16M
M152_918_76.JPG	M152	8260	5184x2920,16M
M152_918_77.JPG	M152	8284	5184x2920,16M
M152_918_78.JPG	M152	8193	5184x2920,16M
M152_918_79.JPG	M152	8367	5184x2920,16M
M152_918_80.JPG	M152	8622	5184x2920,16M
M152_918_81.JPG	M152	8455	5184x2920,16M
M152_918_82.JPG	M152	8461	5184x2920,16M
M152_918_83.JPG	M152	8195	5184x2920,16M
M152_918_84.JPG	M152	8121	5184x2920,16M
M152_918_85.JPG	M152	8145	5184x2920,16M
M152_918_86.JPG	M152	8720	5184x2920,16M
M152_918_87.JPG	M152	8473	5184x2920,16M
M152_918_88.JPG	M152	8860	5184x2920,16M
M152_918_89.JPG	M152	8869	5184x2920,16M
M152_918_90.JPG	M152	8817	5184x2920,16M
M152_918_91.JPG	M152	8190	5184x2920,16M
M152_918_92.JPG	M152	8827	5184x2920,16M
M152_918_93.JPG	M152	8607	5184x2920,16M
M152_918_94.JPG	M152	8146	5184x2920,16M
M152_918_95.JPG	M152	8032	5184x2920,16M
M152_918_96.JPG	M152	8533	5184x2920,16M
M152_918_97.JPG	M152	8326	5184x2920,16M
M152_918_98.JPG	M152	8531	5184x2920,16M
M152_918_99.JPG	M152	8473	5184x2920,16M
modele 923.JPG	modele	8756	5184x2920,16M
modele 923_02.JPG	modele	8708	5184x2920,16M
modele 923_03.JPG	modele	9095	5184x2920,16M
modele 923_04.JPG	modele	8918	5184x2920,16M
modele 923_05.JPG	modele	8489	5184x2920,16M
modele 923_06.JPG	modele	8459	5184x2920,16M
modele 923_07.JPG	modele	9068	5184x2920,16M
modele 923_08.JPG	modele	8845	5184x2920,16M
modele 923_09.JPG	modele	8954	5184x2920,16M
modele 923_10.JPG	modele	8474	5184x2920,16M
modele 923_100.JPG	modele	9018	5184x2920,16M
modele 923_101.JPG	modele	8554	5184x2920,16M
modele 923_102.JPG	modele	8574	5184x2920,16M
modele 923_103.JPG	modele	8429	5184x2920,16M
modele 923_104.JPG	modele	8444	5184x2920,16M
modele 923_105.JPG	modele	8431	5184x2920,16M
modele 923_106.JPG	modele	8886	5184x2920,16M
modele 923_107.JPG	modele	8994	5184x2920,16M
modele 923_108.JPG	modele	7381	5184x2920,16M
modele 923_109.JPG	modele	8401	5184x2920,16M

num_photo	num_us	taille	format
modele 923_11.JPG	modele	8797	5184x2920,16M
modele 923_110.JPG	modele	8487	5184x2920,16M
modele 923_111.JPG	modele	8731	5184x2920,16M
modele 923_112.JPG	modele	8270	5184x2920,16M
modele 923_113.JPG	modele	8412	5184x2920,16M
modele 923_114.JPG	modele	8133	5184x2920,16M
modele 923_115.JPG	modele	8476	5184x2920,16M
modele 923_116.JPG	modele	8324	5184x2920,16M
modele 923_117.JPG	modele	8418	5184x2920,16M
modele 923_118.JPG	modele	8686	5184x2920,16M
modele 923_119.JPG	modele	8620	5184x2920,16M
modele 923_12.JPG	modele	8728	5184x2920,16M
modele 923_120.JPG	modele	8109	5184x2920,16M
modele 923_121.JPG	modele	8104	5184x2920,16M
modele 923_122.JPG	modele	8091	5184x2920,16M
modele 923_123.JPG	modele	8885	5184x2920,16M
modele 923_124.JPG	modele	8203	5184x2920,16M
modele 923_125.JPG	modele	8359	5184x2920,16M
modele 923_126.JPG	modele	8309	5184x2920,16M
modele 923_127.JPG	modele	8587	5184x2920,16M
modele 923_128.JPG	modele	8857	5184x2920,16M
modele 923_129.JPG	modele	8649	5184x2920,16M
modele 923_13.JPG	modele	9137	5184x2920,16M
modele 923_130.JPG	modele	8289	5184x2920,16M
modele 923_131.JPG	modele	8155	5184x2920,16M
modele 923_132.JPG	modele	8894	5184x2920,16M
modele 923_133.JPG	modele	8423	5184x2920,16M
modele 923_134.JPG	modele	8360	5184x2920,16M
modele 923_135.JPG	modele	8448	5184x2920,16M
modele 923_136.JPG	modele	8752	5184x2920,16M
modele 923_137.JPG	modele	8504	5184x2920,16M
modele 923_138.JPG	modele	8736	5184x2920,16M
modele 923_139.JPG	modele	8178	5184x2920,16M
modele 923_14.JPG	modele	9100	5184x2920,16M
modele 923_140.JPG	modele	8747	5184x2920,16M
modele 923_141.JPG	modele	8930	5184x2920,16M
modele 923_142.JPG	modele	7967	5184x2920,16M
modele 923_143.JPG	modele	8678	5184x2920,16M
modele 923_144.JPG	modele	8427	5184x2920,16M
modele 923_145.JPG	modele	8957	5184x2920,16M
modele 923_146.JPG	modele	7942	5184x2920,16M
modele 923_147.JPG	modele	8571	5184x2920,16M
modele 923_148.JPG	modele	8315	5184x2920,16M
modele 923_149.JPG	modele	8142	5184x2920,16M
modele 923_15.JPG	modele	9078	5184x2920,16M
modele 923_150.JPG	modele	8643	5184x2920,16M
modele 923_151.JPG	modele	8580	5184x2920,16M
modele 923_16.JPG	modele	9225	5184x2920,16M
modele 923_17.JPG	modele	9385	5184x2920,16M
modele 923_18.JPG	modele	9160	5184x2920,16M
modele 923_19.JPG	modele	8791	5184x2920,16M
modele 923_20.JPG	modele	8619	5184x2920,16M
modele 923_21.JPG	modele	8202	5184x2920,16M
modele 923_22.JPG	modele	8357	5184x2920,16M
modele 923_23.JPG	modele	8608	5184x2920,16M

num_photo	num_us	taille	format
modele 923_24.JPG	modele	8668	5184x2920,16M
modele 923_25.JPG	modele	8256	5184x2920,16M
modele 923_26.JPG	modele	8701	5184x2920,16M
modele 923_27.JPG	modele	8553	5184x2920,16M
modele 923_28.JPG	modele	8778	5184x2920,16M
modele 923_29.JPG	modele	8354	5184x2920,16M
modele 923_30.JPG	modele	8546	5184x2920,16M
modele 923_31.JPG	modele	8617	5184x2920,16M
modele 923_32.JPG	modele	8393	5184x2920,16M
modele 923_33.JPG	modele	8442	5184x2920,16M
modele 923_34.JPG	modele	8740	5184x2920,16M
modele 923_35.JPG	modele	9169	5184x2920,16M
modele 923_36.JPG	modele	8477	5184x2920,16M
modele 923_37.JPG	modele	8997	5184x2920,16M
modele 923_38.JPG	modele	8795	5184x2920,16M
modele 923_39.JPG	modele	9058	5184x2920,16M
modele 923_40.JPG	modele	9303	5184x2920,16M
modele 923_41.JPG	modele	8498	5184x2920,16M
modele 923_42.JPG	modele	8185	5184x2920,16M
modele 923_43.JPG	modele	8603	5184x2920,16M
modele 923_44.JPG	modele	8623	5184x2920,16M
modele 923_45.JPG	modele	8684	5184x2920,16M
modele 923_46.JPG	modele	9059	5184x2920,16M
modele 923_47.JPG	modele	9164	5184x2920,16M
modele 923_48.JPG	modele	8888	5184x2920,16M
modele 923_49.JPG	modele	8381	5184x2920,16M
modele 923_50.JPG	modele	8229	5184x2920,16M
modele 923_51.JPG	modele	8226	5184x2920,16M
modele 923_52.JPG	modele	8531	5184x2920,16M
modele 923_53.JPG	modele	8270	5184x2920,16M
modele 923_54.JPG	modele	8320	5184x2920,16M
modele 923_55.JPG	modele	8489	5184x2920,16M
modele 923_56.JPG	modele	8398	5184x2920,16M
modele 923_57.JPG	modele	8598	5184x2920,16M
modele 923_58.JPG	modele	8693	5184x2920,16M
modele 923_59.JPG	modele	8342	5184x2920,16M
modele 923_60.JPG	modele	8225	5184x2920,16M
modele 923_61.JPG	modele	8047	5184x2920,16M
modele 923_62.JPG	modele	8229	5184x2920,16M
modele 923_63.JPG	modele	8820	5184x2920,16M
modele 923_64.JPG	modele	8572	5184x2920,16M
modele 923_65.JPG	modele	8850	5184x2920,16M
modele 923_66.JPG	modele	8609	5184x2920,16M
modele 923_67.JPG	modele	8033	5184x2920,16M
modele 923_68.JPG	modele	8325	5184x2920,16M
modele 923_69.JPG	modele	8562	5184x2920,16M
modele 923_70.JPG	modele	8660	5184x2920,16M
modele 923_71.JPG	modele	8421	5184x2920,16M
modele 923_72.JPG	modele	7156	5184x2920,16M
modele 923_73.JPG	modele	8418	5184x2920,16M
modele 923_74.JPG	modele	8710	5184x2920,16M
modele 923_75.JPG	modele	8769	5184x2920,16M
modele 923_76.JPG	modele	8868	5184x2920,16M
modele 923_77.JPG	modele	8729	5184x2920,16M
modele 923_78.JPG	modele	8718	5184x2920,16M

num_photo	num_us	taille	format
modele 923_79.JPG	modele	8862	5184x2920,16M
modele 923_80.JPG	modele	9116	5184x2920,16M
modele 923_81.JPG	modele	8592	5184x2920,16M
modele 923_82.JPG	modele	8444	5184x2920,16M
modele 923_83.JPG	modele	8442	5184x2920,16M
modele 923_84.JPG	modele	8802	5184x2920,16M
modele 923_85.JPG	modele	8657	5184x2920,16M
modele 923_86.JPG	modele	8906	5184x2920,16M
modele 923_87.JPG	modele	8369	5184x2920,16M
modele 923_88.JPG	modele	8434	5184x2920,16M
modele 923_89.JPG	modele	8514	5184x2920,16M
modele 923_90.JPG	modele	9057	5184x2920,16M
modele 923_91.JPG	modele	8886	5184x2920,16M
modele 923_92.JPG	modele	8841	5184x2920,16M
modele 923_93.JPG	modele	9183	5184x2920,16M
modele 923_94.JPG	modele	8437	5184x2920,16M
modele 923_95.JPG	modele	8741	5184x2920,16M
modele 923_96.JPG	modele	8662	5184x2920,16M
modele 923_97.JPG	modele	9091	5184x2920,16M
modele 923_98.JPG	modele	8526	5184x2920,16M
modele 923_99.JPG	modele	8582	5184x2920,16M
orthi final.jpg	orth	1040	33407x24131,16M
orthi final_02.jpg	orth	1488	36690x26837,16M
orthi final_03.jpg	orth	1426	36867x28432,16M
Photos uniques.JPG	Photo	5721	5184x3888,16M
Photos uniques_02.JPG	Photo	1024	5184x3888,16M
Photos uniques_03.JPG	Photo	1080	5184x3888,16M
Photos uniques_04.JPG	Photo	1097	5184x3888,16M
Photos uniques_05.JPG	Photo	1179	5184x3888,16M
Photos uniques_06.JPG	Photo	1100	5184x3888,16M
Photos uniques_07.JPG	Photo	4994	5184x3888,16M
Photos uniques_08.JPG	Photo	1094	5184x3888,16M
Photos uniques_09.JPG	Photo	1132	5184x3888,16M
Photos uniques_10.JPG	Photo	1157	5184x3888,16M
Photos uniques_11.JPG	Photo	1035	3888x5184,16M
Photos uniques_12.JPG	Photo	1089	5184x3888,16M
Photos uniques_13.JPG	Photo	1180	5184x3888,16M
Photos uniques_14.JPG	Photo	1153	5184x3888,16M
Photos uniques_15.JPG	Photo	1123	5184x3888,16M
Photos uniques_16.JPG	Photo	1128	5184x3888,16M
Photos uniques_17.JPG	Photo	1113	5184x3888,16M
Photos uniques_18.JPG	Photo	1131	5184x3888,16M
Photos uniques_19.JPG	Photo	1095	5184x3888,16M
Photos uniques_20.JPG	Photo	1047	5184x3888,16M
Photos uniques_21.JPG	Photo	1053	5184x3888,16M
Photos uniques_22.JPG	Photo	1052	5184x3888,16M
Photos uniques_23.JPG	Photo	1040	5184x3888,16M
Photos uniques_24.JPG	Photo	1005	5184x3888,16M
Photos uniques_25.JPG	Photo	9849	5184x3888,16M
Photos uniques_26.JPG	Photo	1180	5184x3888,16M
Photos uniques_27.JPG	Photo	1090	5184x3888,16M
Photos uniques_28.JPG	Photo	1049	5184x3888,16M
Photos uniques_29.JPG	Photo	1058	5184x3888,16M
Photos uniques_30.JPG	Photo	1177	5184x3888,16M
Photos uniques_31.JPG	Photo	1146	5184x3888,16M

num_photo	num_us	taille	format
Photos uniques_32.JPG	Photo	1129	5184x3888,16M
Photos uniques_33.JPG	Photo	1137	5184x3888,16M
Photos uniques_34.JPG	Photo	1029	5184x3888,16M
Photos uniques_35.JPG	Photo	1111	5184x3888,16M
Photos uniques_36.JPG	Photo	1103	5184x3888,16M
Photos uniques_37.JPG	Photo	1079	5184x3888,16M
Photos uniques_38.JPG	Photo	1080	5184x3888,16M
Photos uniques_39.JPG	Photo	1064	5184x3888,16M
Photos uniques_40.JPG	Photo	1065	5184x3888,16M
Photos uniques_41.JPG	Photo	1104	5184x3888,16M
Photos uniques_42.JPG	Photo	1150	5184x3888,16M
vue d'ensemble.JPG	vue	9087	3888x5184,16M
vue d'ensemble_02.JPG	vue	1062	5184x3888,16M
vue d'ensemble_03.JPG	vue	1045	5184x3888,16M
vue d'ensemble_04.JPG	vue	1084	5184x3888,16M
vue d'ensemble_05.JPG	vue	1001	5184x3888,16M
vue d'ensemble_06.JPG	vue	9973	5184x3888,16M
vue d'ensemble_07.JPG	vue	9155	3888x5184,16M
vue d'ensemble_08.JPG	vue	1021	5184x3888,16M
vue d'ensemble_09.JPG	vue	1118	5184x3888,16M
vue d'ensemble_10.JPG	vue	9896	5184x3888,16M
vue d'ensemble_11.JPG	vue	1098	5184x3888,16M
vue d'ensemble_12.JPG	vue	1116	5184x3888,16M
vue d'ensemble_13.JPG	vue	9611	5184x3888,16M
vue d'ensemble_14.JPG	vue	9720	5184x3888,16M
vue d'ensemble_15.JPG	vue	1042	5184x3888,16M
vue d'ensemble_16.JPG	vue	9778	5184x3888,16M
vue d'ensemble_17.JPG	vue	1046	5184x3888,16M
vue d'ensemble_18.JPG	vue	1041	5184x3888,16M
vue d'ensemble_19.JPG	vue	1064	5184x3888,16M
vue d'ensemble_20.JPG	vue	9393	3888x5184,16M
vue d'ensemble_21.JPG	vue	1055	5184x3888,16M
vue d'ensemble_22.JPG	vue	1059	5184x3888,16M
vue d'ensemble_23.JPG	vue	1042	5184x3888,16M
vue d'ensemble_24.JPG	vue	1052	5184x3888,16M
vue d'ensemble_25.JPG	vue	1051	5184x3888,16M
vue d'ensemble_26.JPG	vue	9123	3888x5184,16M
vue d'ensemble_27.JPG	vue	9506	3888x5184,16M
vue d'ensemble_28.JPG	vue	1056	5184x3888,16M
vue d'ensemble_29.JPG	vue	1035	5184x3888,16M
vue d'ensemble_30.JPG	vue	1060	5184x3888,16M
vue d'ensemble_31.JPG	vue	1066	5184x3888,16M
vue d'ensemble_32.JPG	vue	1047	5184x3888,16M
vue d'ensemble_33.JPG	vue	1051	5184x3888,16M
vue d'ensemble_34.JPG	vue	1061	5184x3888,16M
vue d'ensemble_35.JPG	vue	9549	3888x5184,16M
vue d'ensemble_36.JPG	vue	1013	5184x3888,16M
vue d'ensemble_37.JPG	vue	9145	3888x5184,16M
vue d'ensemble_38.JPG	vue	1062	5184x3888,16M
vue d'ensemble_39.JPG	vue	9226	3888x5184,16M
vue d'ensemble_40.JPG	vue	9127	3888x5184,16M
vue d'ensemble_41.JPG	vue	1003	3888x5184,16M
vue d'ensemble_42.JPG	vue	1067	5184x3888,16M
vue d'ensemble_43.JPG	vue	1073	5184x3888,16M
vue d'ensemble_44.JPG	vue	1081	5184x3888,16M

num_photo	num_us	taille	format
vue d'ensemble_45.JPG	vue	1074	5184x3888,16M
vue d'ensemble_46.JPG	vue	1060	5184x3888,16M
vue d'ensemble_47.JPG	vue	1057	5184x3888,16M
vue d'ensemble_48.JPG	vue	1096	5184x3888,16M
vue d'ensemble_49.JPG	vue	1080	5184x3888,16M
vue d'ensemble_50.JPG	vue	1112	5184x3888,16M
vue d'ensemble_51.JPG	vue	1076	5184x3888,16M
vue d'ensemble_52.JPG	vue	1068	5184x3888,16M
vue d'ensemble_53.JPG	vue	1076	5184x3888,16M
vue d'ensemble_54.JPG	vue	1135	5184x3888,16M
vue d'ensemble_55.JPG	vue	1073	5184x3888,16M
vue d'ensemble_56.JPG	vue	9621	3888x5184,16M
vue d'ensemble_57.JPG	vue	9446	3888x5184,16M
vue d'ensemble_58.JPG	vue	1091	5184x3888,16M
vue d'ensemble_59.JPG	vue	1121	5184x3888,16M
vue d'ensemble_60.JPG	vue	1064	5184x3888,16M
vue d'ensemble_61.JPG	vue	5072	3888x5184,16M
vue d'ensemble_62.JPG	vue	4917	5184x3888,16M
vue d'ensemble_63.JPG	vue	5129	5184x3888,16M
vue d'ensemble_64.JPG	vue	5007	3888x5184,16M
vue d'ensemble_65.JPG	vue	4962	5184x3888,16M
vue d'ensemble_66.JPG	vue	4743	5184x3888,16M
vue d'ensemble_67.JPG	vue	4811	5184x3888,16M
vue d'ensemble_68.JPG	vue	4890	5184x3888,16M
vue d'ensemble_69.JPG	vue	5365	5184x3888,16M
vue d'ensemble_70.JPG	vue	5161	5184x3888,16M
vue d'ensemble_71.JPG	vue	4763	5184x3888,16M
vue d'ensemble_72.JPG	vue	4821	5184x3888,16M
vue d'ensemble_73.JPG	vue	4825	5184x3888,16M
vue d'ensemble_74.JPG	vue	5005	5184x3888,16M
vue d'ensemble_75.JPG	vue	5208	5184x3888,16M
vue d'ensemble_76.JPG	vue	5047	5184x3888,16M
vue d'ensemble_77.JPG	vue	5064	5184x3888,16M
vue d'ensemble_78.JPG	vue	5018	5184x3888,16M
vue d'ensemble_79.JPG	vue	4820	5184x3888,16M
vue d'ensemble_80.JPG	vue	4861	5184x3888,16M
vue d'ensemble_81.JPG	vue	4897	5184x3888,16M
vue d'ensemble_82.JPG	vue	4793	5184x3888,16M
vue d'ensemble_83.JPG	vue	4938	5184x3888,16M
vue d'ensemble_84.JPG	vue	4935	5184x3888,16M
vue d'ensemble_85.JPG	vue	4811	5184x3888,16M
vue d'ensemble_86.JPG	vue	5007	5184x3888,16M
vue d'ensemble_87.JPG	vue	4976	5184x3888,16M
vue d'ensemble_88.JPG	vue	4983	5184x3888,16M
vue d'ensemble_89.JPG	vue	4857	5184x3888,16M
vue d'ensemble_90.JPG	vue	4686	3888x5184,16M
vue d'ensemble_91.JPG	vue	4954	5184x3888,16M
vue d'ensemble_92.JPG	vue	5015	5184x3888,16M